Forschungen in Augst
Band 46

Sandra Ammann und Peter-Andrew Schwarz

Eine Taberna in Augusta Raurica

Ein Verkaufsladen, Werk- und Wohnraum in Insula 5/9



Augusta Raurica

Forschungen in Augst 46

Sandra Ammann und Peter-Andrew Schwarz

Eine Taberna in Augusta Raurica
Ein Verkaufsladen, Werk- und Wohnraum in Insula 5/9

Ergebnisse der Grabungen 1965–1967 und 2002



AUGUSTA RAURICA ist eine kulturelle
Leistung des Kantons Basel-Landschaft
mit Unterstützung des Bundes und der Kantone Aargau und Basel-Stadt



Forschungen in Augst

Band 46

Sandra Ammann und Peter-Andrew Schwarz

Mit Beiträgen von Elisabeth Marti-Grädel, Marlu Kühn und Marlies Klee, Philippe Rentzel, Angela Schlumbaum und Elisabeth Schmid †

Eine Taberna in Augusta Raurica

Ein Verkaufsladen, Werk- und Wohnraum in Insula 5/9

Ergebnisse der Grabungen 1965–1967 und 2002

Augusta Raurica

Augst 2011

Umschlagvorderseite:
Verschiedene Gefässe aus der Grabung 1965–1967.052. Für den Krug mit Bandrand siehe Abb. 11B; für die übrigen Gefässe die Katalogeinträge zu **396, 418, 425** und **569.**
Foto: Susanne Schenker

Umschlagrückseite:
Blick von Süden an den Backofen BO1. Gut zu erkennen sind die vor der Einfeuerungsöffnung liegende Sandsteinplatte sowie das von einer tegula verschlossene Luftloch. Im Vordergrund die angeschnittene Einfassung der Feuerstelle F5. Rechts im Bild Ludwig Berger.
Foto: Rudolf Laur-Belart

Idee: Sandra Ammann und Peter-A. Schwarz
Konzept: Michael Vock und Susanne Schenker
Digitale Umsetzung: Mirjam T. Jenny

Herausgeberin:
Augusta Raurica
Wissenschaftliche Betreuung: Sylvia Fünfschilling und Hans Sütterlin
Redaktion, Lektorat und DTP: Mirjam T. Jenny
Korrektorat: Rudolf Känel
Lithos/Fotoscans: TS Tobias Stöcklin, Allschwil, und Susanne Schenker
Druck: Werner Druck AG, CH-4001 Basel
Verlagsadresse: Museum Augusta Raurica, CH-4302 Augst
Auslieferung: Schwabe AG, Buchauslieferung, Farnsburgerstrasse 8, CH-4132 Muttenz
Tel. 0041 (0)61 467 85 75
Fax 0041 (0)61 467 85 76
E-Mail auslieferung@schwabe.ch
© Augusta Raurica
ISBN 978-3-7151-0046-3

Inhalt

13 Vorwort (ALEX R. FURGER)

14 Dank

15 Einleitung
15 Lage und Anlass der archäologischen Untersuchungen
15 Grabung 1965–1967.052
17 Grabungen 2001.063 und 2002.063
21 Zustand 2009
22 Kurzer Abriss zu den Forschungen nach Abschluss der Grabungen und zur Rezeption
23 Einleitende Bemerkungen zu Befund- und Fundvorlage
23 Quellenkritik Grabungsdokumentation
25 Quellenkritik Fundmaterial: Überlieferung und Erhaltung
28 Quellenkritik Tierknochen: Überlieferung und Erhaltung (ELISABETH MARTI-GRÄDEL)
30 Materialgrundlage und Bestimmungsmethoden
31 Bestimmbarkeit
32 Horizontale und vertikale Gliederung der Befunde: Phaseneinteilung
33 Fundensembles

37 Befundauswertung und Fundvorlage
37 Phase 1: Geologie und Topografie
38 Phase 2: Erste Aktivitäten an der Hangkante
38 Überblick
38 Raum A
38 Befund
40 Ensemble A2
41 Die Tierknochen aus Ensemble A2 (ELISABETH MARTI-GRÄDEL)
41 Heidenlochstrasse
41 Befund
41 Ensemble HL2
46 Die Tierknochen aus Ensemble HL2 (ELISABETH MARTI-GRÄDEL)
49 Phase 3: Bau der Hangstützmauer (MR 1A und MR 1B)
49 Überblick
50 Raum A
50 Befund
52 Ensemble A3-1
54 Ensemble A3-2
56 Die Tierknochen aus den Ensembles A3-1 und A3-2 (ELISABETH MARTI-GRÄDEL)
58 Analyse der Holzkohlereste aus Ensemble A3-2 (ANGELA SCHLUMBAUM)
59 Phase 4: Reparatur der Hangstützmauer (MR 1A–MR 1C)
59 Überblick
61 Raum A
61 Befund
63 Ensemble A4

64 Phase 5: Erste Steinbauten unterhalb der Hangstützmauer
64 Überblick
65 Raum A
65 Befund
68 Ensemble A5
69 Die Tierknochen aus Ensemble A5 (ELISABETH MARTI-GRÄDEL)
69 Raum B: Befund
70 Raum C
70 Befund
72 Ensemble C5
74 Die Tierknochen aus Ensemble C5 (ELISABETH MARTI-GRÄDEL)
75 Phase 6: Verbreiterung der Neuntürmestrasse
75 Überblick
77 Raum A
77 Befund
79 Ensemble A6
80 Die Tierknochen aus Ensemble A6 (ELISABETH MARTI-GRÄDEL)
81 Analyse der Holzkohlereste aus Ensemble A6 (ANGELA SCHLUMBAUM)
82 Die Samen und Früchte aus Ensemble A6 (MARLU KÜHN und MARLIES KLEE)
82 Raum B: Befund
83 Raum C
83 Befund
85 Ensemble C6
89 Die Tierknochen aus Ensemble C6 (ELISABETH MARTI-GRÄDEL)
89 Raum D
89 Befund
95 Ensemble D6
95 Raum E: Befund
96 Heidenlochstrasse
96 Befund
97 Ensemble HL6
98 Die Tierknochen aus Ensemble HL6 (ELISABETH MARTI-GRÄDEL)
99 Phase 7: Letzte kaiserzeitliche Umbauten
99 Überblick
99 Raum A
99 Befund
103 Ensemble A7
105 Die Tierknochen aus Ensemble A7 (ELISABETH MARTI-GRÄDEL)
106 Raum B: Befund
106 Raum C
106 Befund
106 Ensemble C7
107 Die Tierknochen aus Ensemble C7 (ELISABETH MARTI-GRÄDEL)
107 Raum D: Befund
109 Heidenlochstrasse
109 Befund

109 Ensemble HL7
111 Die Tierknochen aus Ensemble HL7 (ELISABETH MARTI-GRÄDEL)
112 Die Zerstörung der Überbauung am Ende von Phase 7
114 Phase 8: Entfernung und Entsorgung des Zerstörungsschutts
114 Überblick
115 Raum A
115 Befund
116 Ensemble A8
123 Die Tierknochen aus Ensemble A8 (ELISABETH MARTI-GRÄDEL)
123 Raum B: Befund
124 Raum D
124 Befund
125 Ensemble D8
128 Phase 9: Instandstellungsarbeiten und Umbauten
128 Überblick
129 Raum A
129 Befund
135 Ensemble A9
136 Die Tierknochen aus Ensemble A9 (ELISABETH MARTI-GRÄDEL)
136 Raum B: Befund
137 Raum C
138 Raum E
139 Phase 10: Einbau der Feuerstelle F5 und eines ersten Backofens (?)
139 Überblick
139 Raum A
139 Befund
142 Ensemble A10-F5
143 Phase 11: Einbau von Backofen BO1 (Raum A) und von Backofen BO2 (Raum B)
143 Überblick
143 Raum A
143 Befund
149 Ensemble A11-BO1
153 Raum B: Befund
154 Die endgültige Zerstörung am Ende von Phase 11
154 Überblick
154 Raum A
154 Befund
160 Ensemble A11-F4
161 Ensemble A11-GH
169 Ensemble A11-EG
179 Ensemble A11-OG
210 Raum B
210 Befund
213 Ensemble B11
215 Raum E: Befund
215 Heidenlochstrasse
215 Befund
216 Ensemble HL11
221 Die Tierknochen aus Ensemble HL11 (ELISABETH MARTI-GRÄDEL)

222 Naturwissenschaftliche Untersuchungen zu den Funden aus dem Brandschutt der Phase 11
222 Die Tierknochen aus dem jüngsten Gehhorizont und aus dem Brandschutt in den Räumen A und B (ELISABETH MARTI-GRÄDEL)
222 Die Tierknochen aus dem jüngsten Gehhorizont in Raum A (Ensembles A11-GH und A11-F4)
224 Die Tierknochen aus dem Brandschutt des Erdgeschosses in Raum A (Ensemble A11-EG)
226 Die Tierknochen aus dem Brandschutt des Obergeschosses in Raum A (Ensemble A11-OG)
228 Vergleich und Bewertung der Tierknochen aus dem Erdgeschoss und aus dem Obergeschoss von Raum A
229 Die Tierknochen aus dem Brandschutt in Raum B
229 Die Getreidereste aus dem Brandschutt in den Räumen A und B (MARLU KÜHN und MARLIES KLEE)
232 Die Samen und Früchte aus dem Töpfchen 565 (MARLU KÜHN)
233 Die organischen Reste am Schwert 665 aus Ensemble A11-OG (ELISABETH SCHMID †)
234 Die Holzkohlereste aus dem Brandschutt in den Räumen A und B (ANGELA SCHLUMBAUM)
235 Geoarchäologische Charakterisierung der Wandlehmfragmente aus den Räumen A, B und E (PHILIPPE RENTZEL)
241 Phase 12: Installation eines Kalkbrennofens
241 Überblick
242 Raum A
242 Befund
245 Ensemble A12
246 Die Tierknochen aus Ensemble A12 (ELISABETH MARTI-GRÄDEL)
246 Raum B: Befund
248 Phase 13: Bau und Belegungszeit der *enceinte réduite* auf dem Kastelenplateau
248 Überblick
249 Raum A: Befund
249 Raum B: Befund
250 Raum C
250 Befund
251 Ensemble C13
254 Die Tierknochen aus Ensemble C13 (ELISABETH MARTI-GRÄDEL)
256 Raum D: Befund
257 Heidenlochstrasse
258 Phase 14: Schleifung der *enceinte réduite* auf dem Kastelenplateau
258 Überblick
258 Raum A
258 Befund
258 Ensemble A14
259 Die Tierknochen aus Ensemble A14 (ELISABETH MARTI-GRÄDEL)
259 Raum D
259 Befund
260 Ensemble D14
265 Die Tierknochen aus Ensemble D14 (ELISABETH MARTI-GRÄDEL)

267 Phase 15: Oberflächenschutt und Humuskante
267 Der Befund im Überblick
268 Raum A
268 Ensemble A15
271 Die Tierknochen aus Ensemble A15 (ELISABETH MARTI-GRÄDEL)
271 Raum B: Ensemble B15
271 Raum C
271 Ensemble C15
272 Die Tierknochen aus Ensemble C15 (ELISABETH MARTI-GRÄDEL)

275 Exkurs 1: Weitere Backöfen und Zerstörungshorizonte in den Insulae 5/9 und 5 sowie in Region 2E
275 Einleitende Bemerkungen
277 Insula 5/9, Grabung 1954.051 (Neubau Museum)
277 Räume F und G: Befund
282 Raum H
282 Befund
284 Ensemble H7-1
285 Ensemble H7-2
291 Ensemble H8–11
292 Insula 5, Grabung 1954.051 (Neubau Museum)
292 Raum 1: Befund
297 Raum 2
297 Befund
300 Ensemble R2/9–11
302 Raum 3
302 Befund
306 Ensemble R3/9–11
306 Insula 5, Grabung 1918.054 (Reservoir Clavel)
306 Raum 21: Befund und Funde
311 Insula 5, Grabung 2001.061 (Wasserleitung Giebenacherstrasse)
311 Befund
313 Region 2E, Grabung 2001.067 (Kabelgraben Schulstrasse)
313 Befund
313 Zusammenfassende Würdigung

319 Exkurs 2: Diachrone und räumliche Auswertung der Tierknochenfunde aus Insula 5/9 (ELISABETH MARTI-GRÄDEL)
319 Voraussetzungen
324 Artenzusammensetzung
324 Wildtiere
324 Haustiere
329 Schlachtalter
331 Skelettteilzusammensetzung
338 Zusammenfassung und Schlussfolgerungen aus den Tierknochenfunden

341 Synthese
341 Einleitung
341 Die bauliche Entwicklung in den Insulae 5/9 und 5 im Überblick
341 Phasen 1–7
346 Zerstörung am Ende von Phase 7
346 Wiederinstandstellung (Phase 8) und *squatter occupation* (Phasen 9–11)

347 Der Zustand von Raum A zum Zeitpunkt der endgültigen Zerstörung am Ende von Phase 11
349 Das Inventar von Raum A zum Zeitpunkt der endgültigen Zerstörung am Ende von Phase 11
349 Einleitende Bemerkungen und Begriffsdefinitionen
353 Hausrat und Mobiliar aus Ensemble A11-GH/F4
353 Keramik
354 Geschirr aus Glas, Bronze, Eisen und Stein
354 Kleinfunde
357 Hausrat und Mobiliar aus Ensemble A11-EG
357 Keramik
358 Geschirr aus Glas, Bronze, Eisen und Stein
358 Kleinfunde
360 Ensembles A11-GH/F4 und A11-EG: Zusammenfassende Bemerkungen zu Fundlage und Fundverteilung
365 Hausrat und Mobiliar aus Ensemble A11-OG
365 Keramik
367 Geschirr aus Glas, Bronze, Eisen und Stein
368 Kleinfunde
377 Ensemble A11-OG: Zusammenfassende Bemerkungen zu Fundlage und Fundverteilung
380 Zwischenfazit
380 Exkurs 3: Vergleich mit Ensembles aus anderen Zerstörungshorizonten
380 Einleitende Bemerkungen
381 Vorgehen
381 Methodische Überlegungen
381 Vergleiche mit Fundensembles aus Augusta Raurica, Oberwinterthur und Avenches
381 Augst/BL, Insula 2 (Süd) (Grabung 1979–1980.055), Phase 1.4 = Bauzustand 2
382 Augst/BL, Insula 1 (Grabung 1991–1993.051), Raum B8/ Phase 2.6
383 Augst/BL, Insula 1 (Grabung 1991–1993.051), Raum C15/ Phase 3.7
384 Augst/BL, Insula 17 (Grabung 1990.051, Kanalverfüllung und Zerstörungsschicht aus einem Kanal bei den Frauenthermen
386 Kaiseraugst/AG, Schmidmatt, Raum 2, Keller Ost (Grabung 1983.055), Geschirrschrank Schmidmatt
388 Oberwinterthur, Unteres Bühl. Fundensemble eines Keramiklagers aus Oberwinterthur
389 Avenches, En Selley, Insula 56, Fundensemble aus Phase 3
391 Schlussfolgerungen
394 Überlegungen zur Funktion und zur Nutzung von Raum A am Ende von Phase 11
394 Erdgeschoss
397 Obergeschoss

399 Zusammenfassung

403 Summary

407 Résumé

411 Riassunto

415 Literatursigel und bibliografische Abkürzungen

425 Abkürzungen

426 Abbildungsnachweise

432 Konkordanzen
432 Konkordanz 1: Inventarnummer – Fundkomplexnummer – Katalognummer/Anmerkung – Ensemblezugehörigkeit
464 Konkordanz 2: Katalognummer/Seitenzahl/Abbildungsnummer/Tafelnummer früherer Publikationen – Katalognummer – Inventarnummer – Fundkomplexnummer – Ensemblezugehörigkeit

470 Anhang
470 Tabellen 1–10 (statistische Angaben zu den in Exkurs 3 behandelten Fundensembles aus Augusta Raurica, *Vitudurum* und *Aventicum)*
474 Tabellen 11–17 (Skelettteillisten zu den Tierknochenfunden aus Insula 5/9)

Beilagen 1–2

Vorwort

Unsere Bemühungen, nebst einzelnen Fundgattungen auch die Befunde und Kontexte von Altgrabungen ausgewertet in Buchform vorzulegen, tragen seit einigen Jahren Früchte. Dazu gehören die Aufarbeitung der Grabungen im Trassee der Autobahn respektive in der Flur Kurzenbettli, der Glasmanufakturen in Kaiseraugst, des Töpferbezirks an der Venusstrasse sowie der Befunde in der Insula 38 und bald auch jener in den Insulae 20, 34 und 50 (im Druck). Alle diese Altgrabungen fanden in den Jahren 1963–1984 statt, liegen also bereits 26–47 Jahre zurück.

Zwei besonders interessante Desiderata betreffen Gebäudekomplexe, die im späteren 3. Jahrhundert n. Chr. abgebrannt sind und nie geplündert oder ausgeräumt und wieder überbaut worden sind. In deren Brand- und Schuttschichten haben sich die Einrichtungen und das Hausmobiliar praktisch vollständig erhalten! Ich meine die in diesem Band vorgelegte «Taberna» gegenüber dem Theater von Augusta Raurica (Grabungen 1965–1967; 2002) und das «Handels- und Gewerbehaus» von Kaiseraugst-Schmidmatt in der Unterstadt (Grabungen 1983–1986). Solche Grabungssituationen sind ein wahres Dorado für uns Archäologen und wir bezeichnen sie schmunzelnd auch als «Pompeji-Befunde» – in Anlehnung an die Katastrophe von 79 n. Chr. und die damals durch Vulkanschichten versiegelten Vesuvstädte.

Es freut mich, dass beide Befunde mitsamt ihren «geschlossenen Ensembles» nun als «unverfälschte Momentaufnahmen» aufgearbeitet wurden und werden – die Taberna mit dem vorliegenden Buch und die Schmidmatt im Rahmen einer soeben begonnenen Berner Dissertation von Stephan Wyss.

Es bleibt mir, meine Anerkennung für den grossartigen Einsatz für dieses Buch dem Hauptautorenteam mit Sandra Ammann und Peter-Andrew Schwarz auszusprechen. Viele Einzelstücke und Fundgruppen aus dem reichen Taberna-Inventar sind zwar schon früher isoliert oder im Rahmen von Fundmonografien publiziert worden. Aber hier werden sie – zusammen mit einer detaillierten Befund- und Bauphasenauswertung – erstmals vollständig im Gesamtkontext vorgelegt. Die Aufarbeitung des reichen Fundmaterials erlaubte es S. Ammann auch, die betreffenden Museumsinventare zu revidieren und dabei Unterlassungen der Vergangenheit zu bereinigen.

Nicht zu unterschätzen ist auch der vorliegende Beitrag zu unserer Kenntnis der Gebrauchskeramik des 3. Jahrhunderts. Während wir unsere Fundensembles und -komplexe des 1. und 2. Jahrhunderts dank der vielen Münzen und der reichlich vorhandenen Terra Sigillata «generationenscharf» datieren können, waren die Resultate für das 3. und 4. Jahrhundert lange Zeit gänzlich unbefriedigend, da man in dieser Spätzeit auf die *Gebrauchs*keramik angewiesen ist. Es ist einem kleinen Team in Augusta Raurica in den letzten Jahren gelungen, mit einer verfeinerten Chronologie der regional bis lokal gefertigten Kochtöpfe, Teller und Schüsseln «Geschichte zu schreiben». Hierzu ist das grosse und geschlossene, hier ausgebreitete Ensemble ein Markstein; weitere werden demnächst folgen (Schatzmann in Vorb.).

Die Gemeinschaftsarbeit ist auch ein erfreuliches Resultat und Zeichen für unsere in letzter Zeit wieder intensivierte Zusammenarbeit mit der Universität Basel: Einerseits haben vom Institut für Prähistorische und Naturwissenschaftliche Archäologie (IPNA) Marlies Klee, Marlu Kühn, Elisabeth Marti-Grädel, Philippe Rentzel und Angela Schlumbaum mit mehreren archäobiologischen Arbeiten mitgewirkt, und andererseits wirkte der heutige Inhaber der «Vindonissa-Professur» P.-A. Schwarz persönlich als verantwortlicher Autor der Befundvorlage und -auswertung mit. Die Vernetzung von Fragestellungen, Befund, Fundmaterial und Nachbardisziplinen hätte nicht besser sein können. Autorin und Autor haben als Projektverantwortliche uns allen beste Teamarbeit vorgelebt. Sie wurden übrigens für diese aufwendige Arbeit nicht von ihren anderen Verpflichtungen freigestellt, sondern haben die Auswertungen und Manuskriptarbeit neben ihren Kernaufgaben in Augusta Raurica bzw. an den Universitäten Passau und Basel geleistet.

Ich danke dem ganzen Team, den Projektverantwortlichen Sandra Ammann und Peter-Andrew Schwarz, den Naturwissenschaftlerinnen Marlies Klee, Marlu Kühn, Elisabeth Marti-Grädel, Philippe Rentzel und Angela Schlumbaum, den Zeichnern/-innen Denise Grossenbacher, Christine Stierli und Michael Vock, der Fotografin Susanne Schenker, der Redaktorin und Buchgestalterin Mirjam Jenny und dem Korrektor Rudolf Känel für die mustergültige Arbeit.

Augusta Raurica
Der Leiter und Herausgeber:

Alex R. Furger

Dank

Obschon seit der Entdeckung, Freilegung und Konservierung der sogenannten Taberne (Raum A) gut 45 Jahre verstrichen sind und zwischenzeitlich hunderte von grösseren und kleineren Grabungen im antiken Siedlungsperimeter von Augusta Raurica durchgeführt wurden, sind die damals dort angetroffenen Befunde und deren «pompejanisch anmutendes Inventar» nach wie vor als aussergewöhnlicher Glücksfall zu taxieren. Bislang konnte nämlich lediglich im Gewerbekomplex in der Schmidmatt (Kaiseraugst, AG) ein ähnlich gut erhaltener und von späteren Eingriffen verschont gebliebener Katastrophenhorizont aus dem späteren 3. Jahrhundert n. Chr. untersucht werden. Allein diese Tatsache rechtfertigt es, diesen einmaligen Grabungsbefund mitsamt dem gesamten archäo(bio)logischen Fundmaterial aus dem angefallenen Brandschutt endlich in angemessener Form vorzulegen.

Alleine und ohne vielfältige und tatkräftige Unterstützung wäre uns dies jedoch nicht möglich gewesen. Ein ganz besonderer Dank für die kritische Durchsicht des Manuskripts und für die zahlreichen anregenden Diskussionen und Hinweise geht an Sylvia Fünfschilling und Hans Sütterlin. Bei Ludwig Berger möchten wir uns zudem auch für das rege Interesse, mit dem er die Auswertungsarbeiten in den vergangenen Jahren verfolgt hat, und für die daraus resultierenden fachlichen Diskussionen herzlich bedanken. Ebenso herzlich danken möchten wir auch Mirjam T. Jenny für die vielen konstruktiven Verbesserungsvorschläge und die akribische Redaktion des Manuskripts sowie für die sorgfältige grafische Gestaltung des vorliegenden Bandes. Ein besonderer Dank geht schliesslich auch an Michael Vock, der die zahlreichen Befund- und Detailpläne anfertigte, und Rudolf Känel für das sorgfältige Korrektorat.

Es ist uns aber ein grosses Anliegen, auch allen anderen Kolleginnen und Kollegen, die in irgendeiner Form zum Gelingen dieser Publikation beigetragen haben, zu danken. Es sind dies in alphabetischer Reihenfolge: Silvia Brunner, Christa Ebnöther, Nina Fernández, Alex R. Furger, Denise Grossenbacher, Sophia Joray, Andrew Lawrence, Stefanie Martin-Kilcher, Christoph Ph. Matt, Donald F. Offers, Markus Peter, Barbara Pfäffli, Cordula Portmann, Felicitas Prescher, Beat Rütti, Germaine Sandoz (†), Peter Schaad, Regula Schatzmann, Markus Schaub, Margit Scheiblechner, Susanne Schenker, Debora Schmid, Christine Stierli, Dani Suter, Ursula Waldmeier und Norma Wirz.

« ... wenn alle Töpfe und Geräte in Reih' und Glied an ihrem Platz sind, das ist für ihn (Xenophon) so erfreulich wie ein gut geordnetes Heer»[1]

«Context is everything»[2]

Einleitung

Lage und Anlass der archäologischen Untersuchungen

Grabung 1965–1967.052

Die damalige Ausgangslage wurde von Ludwig Berger im Grabungsbericht so kurz und prägnant umschrieben, dass sich weitere Ausführungen nahezu erübrigen (Abb. 1–4)[3]:

«Herr L. Dubler-Gessler, der das ihm gehörende Haus Giebenacherstrasse 19 der Verwaltungskommission des Museums vermietet hat, beabsichtigte, unmittelbar südlich dem genannten Altbau ein neues Einfamilienhaus zu errichten.

Bereits mit einem der ersten Sondierschnitte fanden wir die Heidenlochstrasse sowie eine schwache, die Strasse auf der Westseite begleitende Porticusmauer [Beil. 1,MR 3A.MR 3B]. Diese Porticus gehört zu dem zur Insula 5 zusammengefassten Areal an der Flur Rossweg zwischen Theater und Kastelen, welcher auch die unter dem Museum und unter dem Römerhaus vorgefundenen Gebäude zugerechnet werden [= Insulae 5 und 5/9]. Obwohl dieser unmittelbar neben der Giebenacherstrasse [Neuntürmestrasse] gelegene Westteil der Parzelle vom Aushub nicht unmittelbar betroffen, sondern durch die Aufschüttung einer Terrasse lediglich der Forschung entzogen worden wäre, entschlossen wir uns, ihn in erster Dringlichkeit auszugraben. Die Lage am Fusse des Abhanges von Kastelen und die Nähe des Theaters liessen auf besondere Befunde hoffen, Erwartungen, die durch die baldige Aufdeckung einer 1,2 Meter dicken, parallel zur Porticusmauer verlaufenden Mauer [Beil. 1,MR 1A–MR 1C] noch gesteigert wurden. Wir stellten deshalb die Untersuchung der wenigen, auf der Höhe, zu Insula 9 gehörigen Mauern die vom Neubau betroffen worden wären, auf Zusehen hin ein».

Wie der aktuelle Übersichtsplan (Abb. 3; Beil. 1) zeigt, umfasste der Perimeter der Grabung 1965–1967.052 Teile der Insulae 5/9 und 9 sowie der Heidenlochstrasse und der Neuntürmestrasse (heute Giebenacherstrasse). Der Grossteil der Grabungsfläche lag im Süden eines annähernd dreieckigen Geländespickels, der im Norden und Westen von der Domusgasse[4], im Süden von der Neuntürmestrasse und im Osten von der Heidenlochstrasse begrenzt wird (Abb. 6,A–C). Dieses Areal bildet somit einen stark den topografischen Gegebenheiten angepassten, *selbstständigen Baukomplex* innerhalb des Insularasters, der im Folgenden als *Insula 5/9* bezeichnet wird (Abb. 7)[5]. Die restliche Überbauung von

1 K. Heyer, Von Xanthippe bis zum alten Cato. In: Andritzky 1992, 21. Klaus Heyer zitiert Xenophon aus *oikonomikos*: «Es gibt aber nichts, Frau, so gut Brauchbares, nichts so Schönes für den Menschen wie die Ordnung ... Die Ordnung aber scheint mir etwas Ähnliches zu sein, wie wenn ein Bauer zugleich zusammenwerfen würde Gerste, Weizen und Bohnen und dann, wenn er Fladen, Brot oder Gemüse brauchte, auseinandersortieren müsste ... Und du nun, o Frau, falls du dieses Durcheinander nicht brauchen solltest, dann lass uns für jede Sache einen geeigneten Platz aussuchen, sie dorthin tun und der Magd beibringen, sie von dort zu nehmen und auch wieder hinzutun ... Wie schön sieht es aus, wenn die Schuhe in einer Reihe stehen, wenn Kleider ordentlich aufgehängt sind, wie schön Decken und Kupfergeschirr, wie schön, worüber nur ein Spötter lachen dürfte, wenn sogar ordentlich aufgestellte Töpfe einen harmonischen Anblick bieten!» Vgl. hierzu auch bei Richarz 1991, 21 f.; 31–34. Irmintraut Richarz vermerkt, dass neben den Werken der *scriptores rei rusticae* wie Cato oder Columella leider keine weiteren Schriften, die eine «echte römische Lehre vom Haus, die Wissen über die Ökonomik der Römer» vermitteln würden, überliefert worden sind.

2 Clarke 2003, 13.

3 Berger, Bericht 1965.052.

4 Vgl. dazu zuletzt Rychener 2004, 83 f. und die Ausführungen unten S. 278 f.

5 Die Bezeichnung des Areals als Insula 5/9 im Sinne einer *selbstständigen städtetopografischen Einheit* wurde deswegen gewählt, um weitere «Neudefinitionen» und Streichungen einzelner Insulae im Regionenplan von Augusta Raurica zu verhindern (vgl. etwa die differierenden Bezeichnungen auf den Regionenplänen im Bereich der Insulae 51–53 in Rütti 1991; Schmid 1993; Riha 1994; Martin-Kilcher 1987/1994). – Korrekterweise sollte für dieses Areal eine neue, an die Nummerierung der bereits bekannten Insulae 1–52 anschliessende Nummer vergeben werden. – Die Bezeichnung Insula 5/9 wird auch schon verwendet bei Riha 1990; Schmid 1991 (Fundstellenregister). – Zuweilen wurde das Areal der Insula 5 zugewiesen (vgl. jeweils das Fundstellenregister in Riha 1979; Riha/

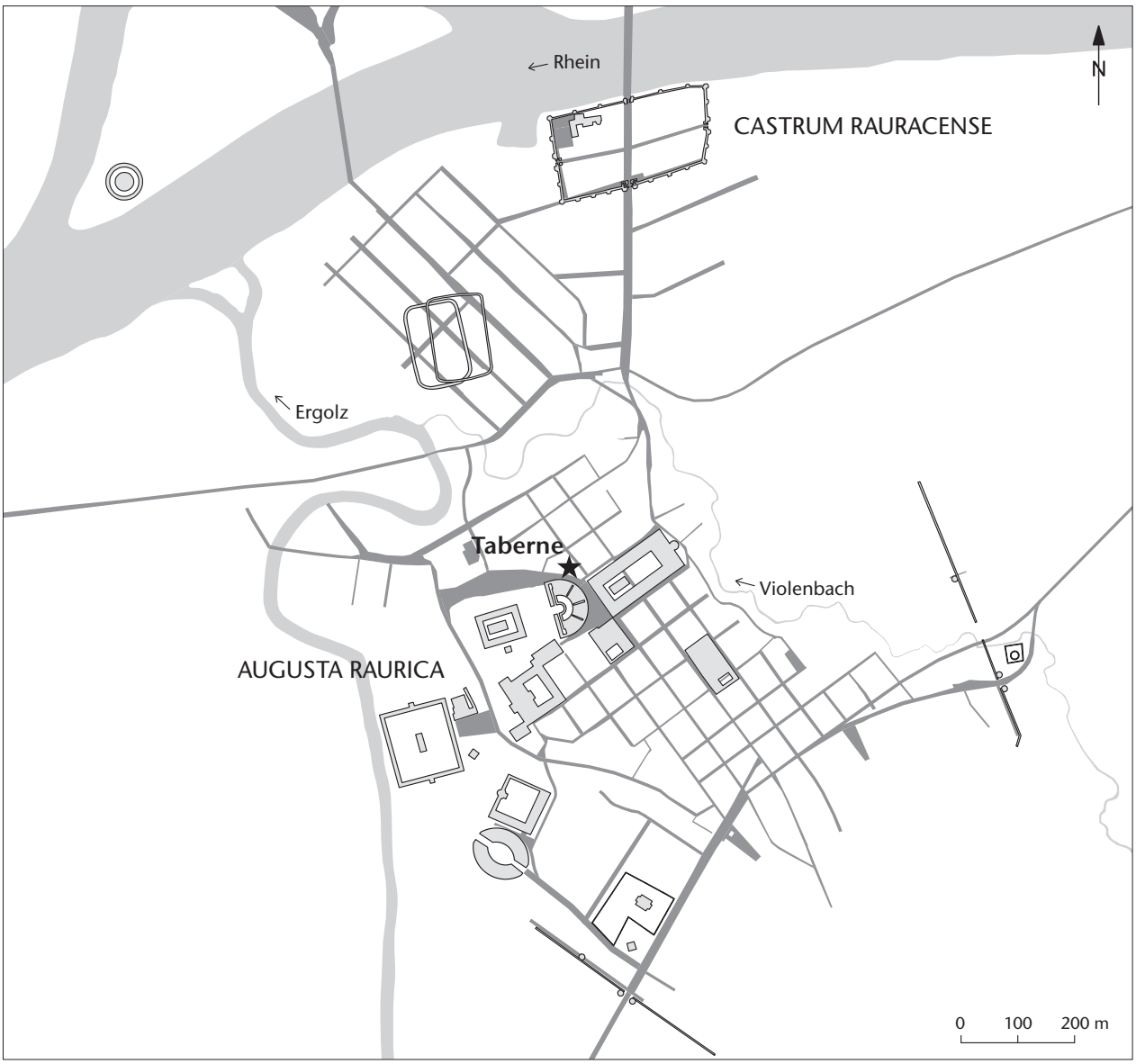


Abb. 1: Übersichtsplan von Augusta Raurica (Augst/BL und Kaiseraugst/AG) mit Lage der sogenannten Taberne in Insula 5/9. M. 1:12 000.

Stern 1982; Riha 1986; Riha 1994; Martin-Kilcher 1987/1994; Schwarz 1994, 51 ff.) oder zusammen mit Insula 9 besprochen (so z. B. bei Rütti 1991; Peter 1996; Rychener 2004, Abb. 2; 15). – Offenbar war bereits seinerzeit nicht ganz klar, welche Strukturen zu welcher Insula gehörten. Vgl. etwa Laur-Belart, Tagebuch, 26.07.1965: «Insula 9 (eigentlich 5)». – Die bei Schibler/Furger 1988, 33 und Schwarz 1990 verwendete Pluralform (Insulae 5/9) sollte eigentlich nur dort verwendet werden, wo sich ein Baukomplex nachweislich über das Areal von zwei Insulae erstreckt (vgl. z. B. Schmid 1993, 113 ff. [Insulae 41/47 = Palazzo]). – Ein ähnliches Überbauungsraster besitzen die Region 17E (Schmidmatt, vgl. Müller 1985, 15), die Insula 28 (Schibler/Furger 1988, Abb. 90; B. Rütti in: Janietz Schwarz/Rouiller 1996, Abb. 1; 2) und die Insula 34 (Kaufmann-Heinimann 1998, Abb. 64). Auch in diesem Fall führte die Entdeckung einer neuen, die beiden Areale trennenden Strasse zu Verschiebungen im Regionenplan (vgl. Martin-Kilcher 1987/1994, Beil. 4; Riha 1994, Taf. 50). – Die Grundrissform dürfte – wie das Beispiel der Hanghäuser in Ephesos zeigt (vgl. Vetters 1977, 12) – nicht nur durch die Hanglage, sondern auch durch den Verlauf der Neuntürmestrasse bedingt gewesen sein. Vgl. dazu die Ausführungen unten S. 75 ff. – Separat ausgewiesen sind die aus der sogenannten Taberne (= Insula 5/9, Raum A) stammenden Funde lediglich bei Kaufmann-Heinimann 1977, Kaufmann-Heinimann 1998 und Schmid 1991. Im Einzelfall bleibt jeweils abzuklären, ob bereits publiziertes Fundmaterial effektiv in der Insula 5/9, in der Insula 5 oder in der Insula 9 gefunden worden ist. Eine FK-Liste der Grabung 1965–1967.052 mit den Zuweisungen zur entsprechenden städtetopografischen Einheit (Insula 9 bzw. Insula 5/9) befindet sich im Archiv der Abteilung Ausgrabungen Augst/Kaiseraugst.



Abb. 2: Augst BL. Luftbild aus dem Jahr 2007 mit dem Zentrum des caput coloniae *von Augusta Raurica. In der Bildmitte die moderne Giebenacherstrasse (= antike Neuntürmestrasse). Im Vordergrund der West- und Südwestabhang des Kastelenplateaus (Insulae 5 und 5/9) mit der Villa Clavel. Rechts im Bild das jüngere szenische Theater, im Hintergrund das Forum mit der rekonstruierten Fassade des Forumtempels. Blick nach Südosten.*

Insula 5/9 ist abgesehen von der sogenannten Taberne (im Folgenden Raum A) weitgehend unbekannt. Im Süden schliesst das Areal an einen grossen Platz in der Region 2A an. Dieser Platz wurde wahrscheinlich aber erst nach dem Bau des jüngeren szenischen Theaters angelegt[6].

Die in Raum A angetroffenen Befunde erwiesen sich in der Folge als so bedeutend, dass sich Rudolf Laur-Belart schon wenige Wochen nach der Entdeckung des vollständig erhaltenen Backofens BO1 dazu entschloss, dem Besitzer der betroffenen Parzelle einen Landabtausch vorzuschlagen. Dies, um den Backofen mitsamt den überdurchschnittlich gut erhaltenen Baubefunden möglichst umfassend untersuchen zu können und den *in situ* konservierten Befund anschliessend der Öffentlichkeit zugänglich zu machen[7]. Das Vorhaben konnte nach zwei weiteren, leider ebenfalls unter nicht sehr günstigen Rahmenbedingungen durchgeführten Grabungskampagnen im Juli 1967 abgeschlossen werden[8]. Es handelt sich dabei um die ersten archäologischen Strukturen in Augusta Raurica, die unter einem Schutzbau konserviert wurden (Abb. 5).

Grabungen 2001.063 und 2002.063

Die beiden Grabungen liegen weitgehend innerhalb des Perimeters des im Anschluss an die Grabung 1965–1967.052

6 Vgl. Schwarz 1991a, 86 ff., bes. Abb. 79 und die Ausführungen unten S. 52.

7 Laur-Belart, Tagebuch, 28.07.1964; Laur-Belart 1966, S. XLIII; zum Schutzhaus und zu den darin konservierten Strukturen vgl. ferner Berger 1998, 169 ff., bes. Abb. 165.

8 Grabung 1965.052: 21.06.–30.08.1965; Grabung 1966.052: 02.05.–23.12.1966; Grabung 1967.052: 18.01.–25.07.1967. – Zu berücksichtigen ist hier und im Folgenden, dass in den Jahren 1965–1967 verschiedene andere Grossgrabungen durchgeführt werden mussten, deren Umfang auch die heutige Infrastruktur überfordert hätte. Es handelte sich u. a. um die grossen Notgrabungen in der *mansio* Kurzenbettli (Bender 1975), in der Insula 31 (Steiger u. a. 1977), in der Insula 20 (P.-A. Schwarz in: Schwarz/Berger 2000, 41 ff.), in der Insula 28 (Janietz Schwarz/Rouiller 1996) sowie beim Osttor (Berger 1985). – Vgl. ferner auch Berger/Martin, Tagebuch, 05.08.1965: «Seit April 65 unterstehen mir dauernd 2–3 weit auseinander liegende Grabungsstellen gleichzeitig! Dass die Protokollierung nur mangelhaft sein kann, liegt auf der Hand».

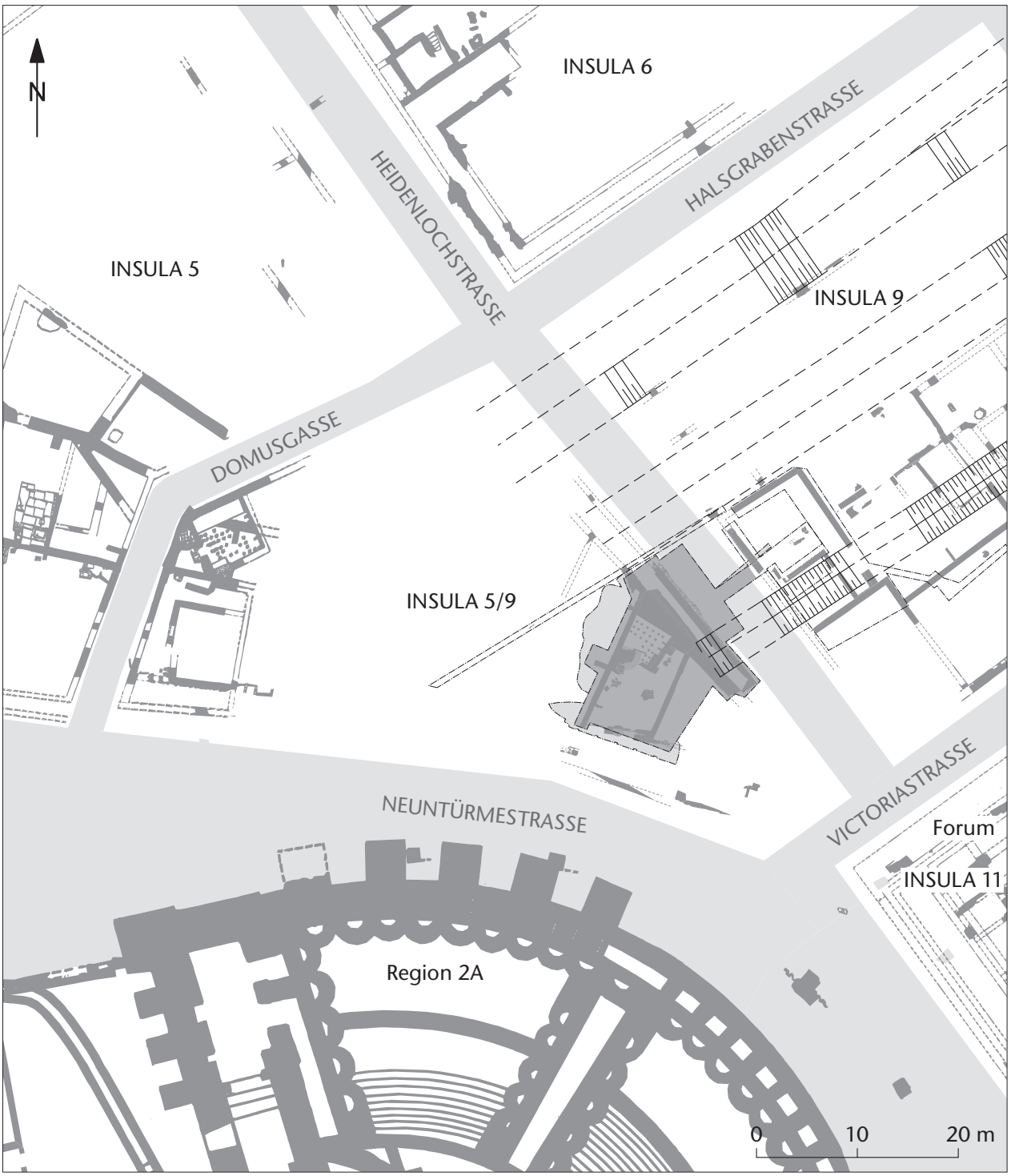


Abb. 3: Augst BL, Insula 5/9 (Grabungen 1965–1967.052 und 2002.063). Lage der Grabungen 1965–1967.052 (dunkles Raster) und 2002.063 (hellgraues Raster). Der Verlauf des spätrömischen Wall-Graben-Systems (Phase 13) ist mit Strichlinien gekennzeichnet. M. 1:600.

errichteten Schutzbaus (Raum A). Ausgelöst wurden die archäologischen Untersuchungen durch den Umstand, dass der *in situ* konservierte Backofen BO1 in Raum A vom Zerfall bedroht war, sowie durch die Sanierungsbedürftigkeit des Schutzbaus. Die Restaurierung des Backofens erfolgte in einer ersten Etappe (Grabung 2001.063 resp. Konservierung 2001.907; Leitung Donald F. Offers), die Sanierung und Neugestaltung des Schutzbaus in einer zweiten (Grabung 2002.063; Leitung Jürg Rychener).

Beide Grabungen haben neue Informationen geliefert, die die Ergebnisse der Befundauswertung der Grabung 1965–1967.052 in wesentlichen Belangen ergänzen und präzisieren konnten. So ermöglichte die Restaurierung des Backofens einerseits verschiedene zusätzliche Detailbeobachtungen,

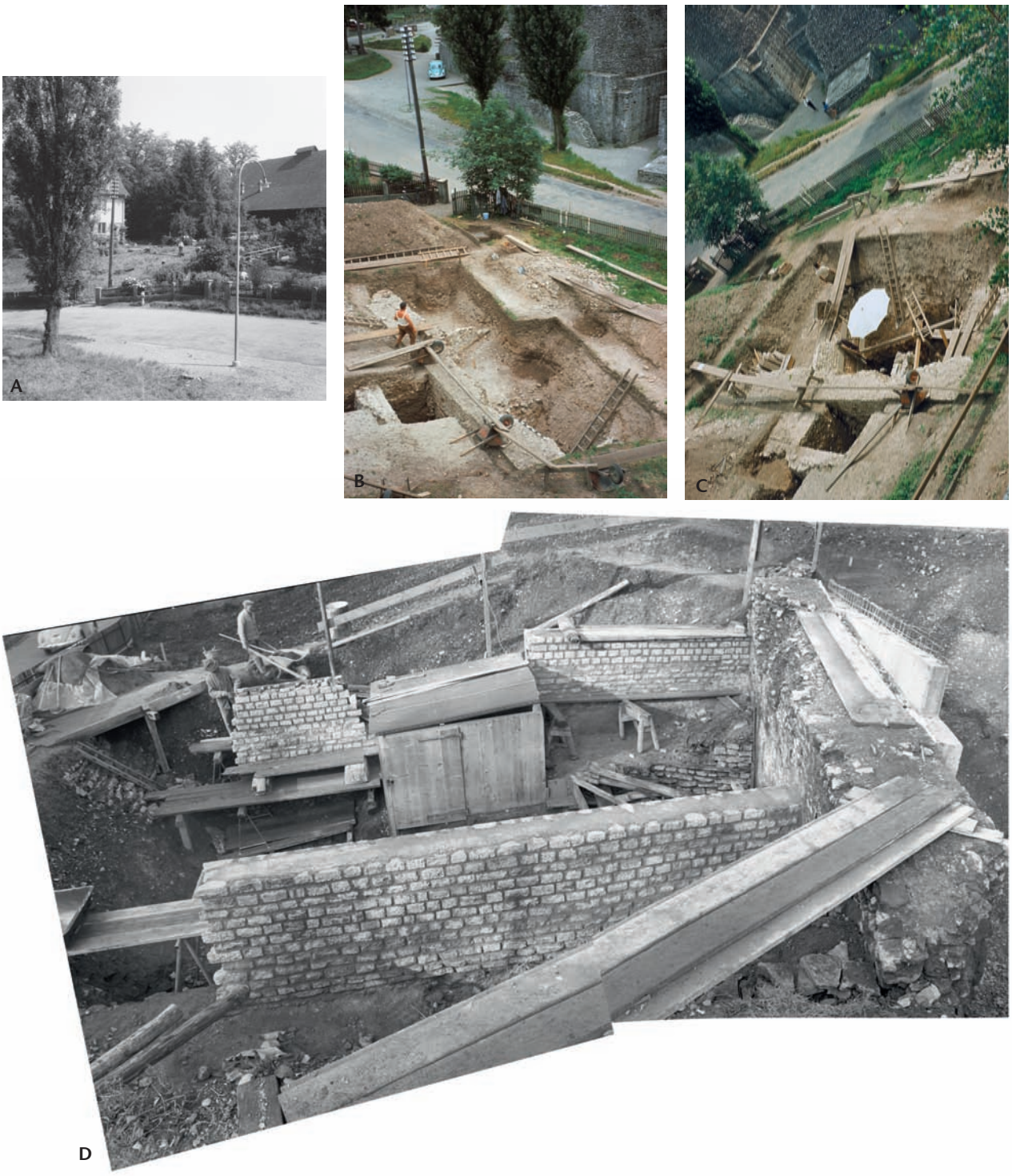


*Abb. 4: Augst BL, Insula 5/9 (Grabung 1965–1967.052). **A** Blick vom Theater nach Norden über die moderne, über der antiken Neuntürmestrasse liegende Giebenacherstrasse auf die Grabungsfläche (22.06.1965). **B** Blick von Westen auf die Grabungsfläche am 13.07.1965. In der Bildmitte ist die Hangstützmauer 1C zu erkennen, südlich davon die mächtigen Deckschichten, die den noch nicht freigelegten Brandschutt in Raum A überlagert haben. Links im Bild die teilweise freigelegte MR 3B, im Hintergrund die Giebenacherstrasse und das jüngere szenische Theater. **C** Blick von Westen auf die Grabungsfläche am 05.08.1965. Südlich der Hangstützmauer ist die Oberkante des am Ende von Phase 11 angefallenen Brandschutts zu erkennen. **D** Blick von Osten auf die bis zum 24.11.1966 freigelegten Befunde in den Räumen C (links) und A (rechts). Gut zu erkennen ist, dass mit den Konservierungsmassnahmen begonnen wurde, bevor die archäologischen Freilegungsarbeiten abgeschlossen waren.*

andererseits konnte auch die seinerzeit angefertigte Dokumentation dieses nach wie vor einmaligen Befunds vervollständigt und ergänzt werden[9].

9 Vgl. Offers/Furger 2002.

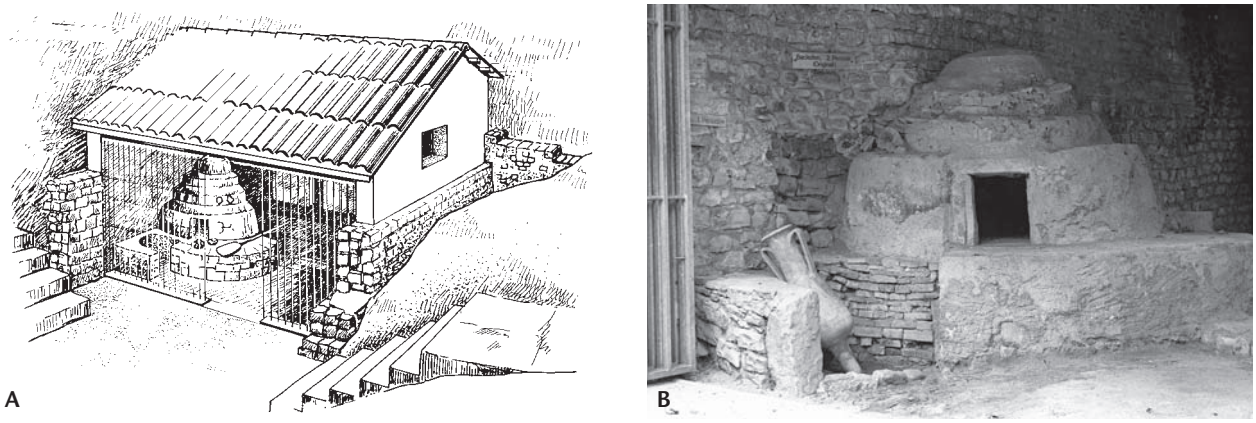


Abb. 5: Augst BL, Insula 5/9, Raum A (Grabung 1965–1967.052). ***A*** *Im Zusammenhang mit der Planung des 1967 eingeweihten Schutzbaus entstandene Federstrichzeichnung unbekannter Herkunft. Die* in situ *konservierten Befunde konnten bis zur Neukonservierung im Jahr 2002 nur durch ein Schutzgitter besichtigt werden.* ***B*** *Zustand der Feuerstelle F5 mit der heute verschollenen Amphore der Form Pélichet 46 (***315***) und von Backofen B01 vor der Neukonservierung von Raum A.*



Abb. 6: Augst BL, Insula 5/9, Raum A (Grabungen 1965–1967.052 und 2002.063). ***A*** *Der 1967 eingeweihte Schutzbau über der sogenannten Taberne (Raum A) kurz vor der Sanierung im Jahr 2002.* ***B*** *Rückbau der bei der Konservierung im Jahr 1967 vor Profil 100 (Abb. 221; zur Lage vgl. Beil. 1) aus Spolien errichteten und mit Grabungsabraum hinterfüllten Stützmauer.* ***C*** *Blick vom jüngeren szenischen Theater auf die «Bäckerei und Wachposten» nach Abschluss der Sanierungs- und Konservierungsarbeiten im August 2002.*

Die archäologischen Untersuchungen umfassten einerseits Dokumentationsarbeiten an der seinerzeit konservierten Bausubstanz von Raum A, andererseits konnten auch einige «Fenster» angelegt werden, die wichtige Informationen zum Aufbau der Stratigrafie im damals – in den 1960er-Jahren – nur kursorisch untersuchten strassenseitigen Teil von Raum A lieferten[10]. Der Aushub für einen neu angelegten Wassersammler lieferte Hinweise zur Stratigrafie im Inneren von Raum A (vgl. Beil. 2H) und zur Datierung der

10 Vgl. zusammenfassend Rychener 2003, 80.



Abb. 7: Augst BL, Insula 5/9, Raum A (Grabungen 1965–1967.052 und 2002.063). Blick von Nordosten auf Raum A nach Abschluss der Sanierungs- und Konservierungsarbeiten im August 2002. Rechts im Bild die Hangstützmauer 1B, in der Bildmitte MR 2, im Hintergrund MR 4.

älteren Bauphase (vgl. unten bei Abb. 41). Beim Zurückversetzen des Westprofils (Abb. 6) konnte einerseits die Abfolge der strassenseitigen Abschlussmauern von Raum A (vgl. Beil. 1; Abb. 71,MR 13.MR 21) geklärt werden, andererseits auch der Nachweis erbracht werden, dass der westliche Abschluss von Raum A zum Zeitpunkt der endgültigen Zerstörung am Ende von Phase 11 von einer Fachwerkwand gebildet wurde, deren Schwellbalken noch *in situ* angetroffen wurde (vgl. Abb. 131)[11].

Des Weiteren konnten anlässlich der Grabung 2002.063 auch sehr viele archäobiologische Funde aus dem westlichen Ausläufer des Brandschutts der Phase 11 geborgen werden, die nicht nur wichtige Hinweise für die Bewertung des anlässlich der Grabung 1965–1967.052 geborgenen Inventars geliefert, sondern auch den Kenntnisstand um einige Aspekte erweitert haben. In diesem Zusammenhang sei namentlich auf die Tierknochen, die verkohlten Getreidereste, die Holzkohlen oder die Wandlehmfragmente verwiesen.

Trotz aller Bemühungen blieb aber auch die Grabung 2002.063 nicht von Pannen verschont: Der im Jahr 1967 bei der Konservierung der Westseite von Mauer 4 entdeckte und nur «während weniger Stunden» freiliegende und in der Folge *in situ* belassene Backofen BO2 in Raum B wurde nämlich beim maschinellen Aushub eines parallel zur Mauer 4 verlaufenden Drainagegrabens infolge eines Missverständnisses unbeobachtet zerstört. Leider konnte auch das beim Anlegen des Drainagegrabens und für die Rekonstruktion der stratigrafischen Situation in Raum B wichtige Profil 6 nur kursorisch dokumentiert werden (vgl. Abb. 37; 179; 183)[12].

Zustand 2009

Im Rahmen der erwähnten Sanierungsmassnahmen wurde auch das Präsentationskonzept für die *in situ* konservierten Befunde überdacht. Anders als im früheren Schutzbau sind die Überreste der älteren Bauphasen seit 2003 nicht mehr sichtbar, sondern es wird nur noch der Zustand vor der endgültigen Zerstörung am Ende von Phase 11 gezeigt – das heisst im Wesentlichen der an eine Fachwerkwand angelehnte Backofen, die Feuerstellen F4 und F5 sowie der auf dem verfüllten Hypokaust eingebrachte Mörtelgussboden (vgl. Abb. 160)[13].

Die auf der Flucht der antiken Südwand von Raum A errichtete moderne Stützmauer aus Beton wurde mit einer Illusionsmalerei versehen, die eine verputzte Fachwerkwand zeigt und den Besuchern/-innen ein wesentlich konkreteres

11 Vgl. Rychener 2003, Abb. 20; 21.

12 Vgl. dazu Rychener, Tagebuch, S. 2: «Der Schreibende als Verantwortlicher für diese Ausgrabung konnte nur sporadisch auf dem Platz sein, weil er ab Ostern 2002 durch die anlaufende Grabung 2002.64 (Degen-Messerli, 2. Etappe) vollumfänglich beansprucht wurde. Infolge verschiedener Umstände verzögerten sich nämlich die Arbeiten an Ausgrabung und Restaurierung mehrfach, sodass der ursprünglich vorgesehene Endtermin für die Ausgrabung 2002.63 (Ostern 2002) bei weitem nicht eingehalten werden konnte. Ungünstig wirkte sich auch die teils mangelnde Koordination aus. So wurden mehrfach relativ eigenmächtige Eingriffe vorgenommen, die seitens AAK mit ‹Feuerwehr-Übungen› beantwortet werden mussten. Während der Umsetzung des Restaurierungsbauwerks waren zudem Änderungen oder Ergänzungen an den vorgesehenen Bauten notwendig, was wiederum zu an sich nicht vorgesehenen Bodeneingriffen führte. Insgesamt ist das Unternehmen aus archäologischer Sicht wenig befriedigend gewesen».

13 Vgl. Offers/Furger 2003; Offers 2002, 7 f.

«Raumgefühl» vermittelt. Dazu trägt auch das Flachdach bei, dessen Stahlträger in etwa auf der Höhe der antiken Deckenbalken verlaufen und dessen Oberkante derjenigen des Fussbodens des Obergeschosses entspricht (Abb. 6,C)[14]. Das rekonstruierte Lararium sowie die Abbildung des berühmten Waffenensembles auf den Infotafeln deuten an, dass bei der Zerstörung von Raum A der gesamte Hausrat in den Boden gekommen ist; die früher an den Wänden ausgestellten Mosaiken wurden entfernt.

Aus heutiger Sicht eher unglücklich ist hingegen die neue Bezeichnung als «Bäckerei und Wachposten»[15]: Wie im Folgenden noch dargelegt wird, lässt sich anhand der Befunde und Funde weder eine «Bäckerei» noch ein «Wachposten» nachweisen. Auch ein weiterer Grund für den Namenswechsel – nämlich die Existenz einer durchgehenden Fachwerkwand im Westen[16] – spricht aus unserer Sicht nicht gegen die frühere Bezeichnung als *taberna*[17].

Kurzer Abriss zu den Forschungen nach Abschluss der Grabungen und zur Rezeption

Wie die bereits erwähnte *in-situ*-Konservierung der Baubefunde zeigt, wurde die Bedeutung der sogenannten Taberne schon während der Freilegungsarbeiten erkannt. Der direkt nach der Entdeckung verfasste Aufsatz «Über das Leben in den Tabernen von Augst unter Berücksichtigung des römischen Rechts» von Paul Bürgin gilt – zumindest was die juristischen Ausführungen betrifft – heute noch als grundlegend[18]. Der im Herbst 1966 zusammen mit einem Messer gefundene und von Ludwig Berger unmittelbar darauf publizierte Thekenbeschlag **651** war das erste in einem eindeutigen Kontext gefundene Exemplar überhaupt und setzte den jahrzehntelangen Diskussionen in der Fachwelt um deren Funktion ein Ende[19].

Von auswärtigen Fachkreisen zur Kenntnis genommen wurde das «pompejanisch anmutende Inventar»[20] aus der sogenannten Taberne allerdings erst mit einer gewissen Verzögerung: 1974 stellte Günther Ulbert in der Festschrift für Joachim Werner die Schwertfunde aus der Taberne in einen grösseren Kontext[21], 1975 wurde die «Keramik der spätesten Koloniezeit aus der Insula 5 [sic]» anlässlich der 10. Tagung der Rei Cretariae Romanae Fautores (04.–09.09.1975) den in Augst versammelten Fautores präsentiert und von Auguste Bruckner in einer Begleitpublikation kurz vorgestellt[22].

Ziemlich genau zehn Jahre nach Abschluss der archäologischen Untersuchungen erfolgte schliesslich die erste ausführliche Vorlage des Grabungsbefunds: Nebst einer detaillierten und nach wie vor gültigen Beschreibung und kulturgeschichtlichen Einordnung des Backofens BO1 wird erstmals auch die bauliche Entwicklung der sogenannten Taberne skizziert[23].

Ersteres bewog den damaligen Leiter des «Ruinendiensts», Werner Hürbin, der zusammen mit seinem Vater zeitweise bei den Grabungen in der sogenannten Taberne mitgewirkt hatte, in der Folge zur Einrichtung der heute noch äusserst rege besuchten «Brotbackstube» – was ursprünglich als temporäre Attraktion für die Besucher/-innen gedacht war, entwickelte sich zur längsten und am besten besuchten Sonderausstellung von Augusta Raurica überhaupt[24]!

Einen weiteren wichtigen Meilenstein bildete dann die Publikation aller Waffenfunde und Militaria aus dem sogenannten Brandschutt: Stefanie Martin-Kilcher kam nämlich zum Schluss, dass die sogenannte Taberne wahrscheinlich im Zusammenhang mit den kriegerischen Ereignissen der Jahre um 273/275 n. Chr. zerstört wurde – und nicht wie bis anhin vermutet anlässlich der (in Augusta Raurica ohnehin nicht sicher nachweisbaren) Alemanneneinfälle der Jahre 259/260 n. Chr. In diesem Zusammenhang stellte S. Martin-Kilcher auch ein kleines Ensemble aus der Verfüllung des sogenannten Halsgrabens der spätrömischen *enceinte réduite* auf dem Kastelenplateau vor (vgl. Abb. 3; 327)[25].

Eine im Jahr 1989 durchgeführte Leitungsgrabung im Areal der Insula 9 sowie die Aufarbeitung der verschiedenen Altgrabungen im Umfeld der sogenannten Taberne zeigten dann, dass der Katastrophenhorizont in der Taberne und der Bau der *enceinte réduite* – wie von Ludwig Berger, Max Martin und Stefanie Martin-Kilcher bereits früher vermutet – tatsächlich in einem engen kausalen Zusammen-

14 Vgl. Offers/Furger 2003, Abb. 42; 46; Offers 2002, 8.
15 Vgl. Offers/Furger 2003, 55 Abb. 44; 45.
16 In diesem Sinne Rychener 2003, 80.
17 Mit dem Begriff *taberna* wurden in der Antike dreierlei Arten von Gebäuden bezeichnet, nämlich einerseits schuppen- bzw. scheunenartige Gebäude, welche zum Aufbewahren von Wagen, Werkzeug, Gerät oder Holz dienten, baracken- bzw. hüttenartige Behausungen aus Holz sowie Ladenlokale und/oder Werkstätten. Bei Letzteren konnte es sich entweder um ein eigenständiges Bauwerk oder um eine zur Strasse hin geöffnete *officina* mit einem darüberliegenden Obergeschoss handeln. Vgl. Bürgin 1965 (mit weiterer Literatur) und RE IV A,2, Sp. 1863 ff. s. v. Taberna, bes. Sp. 1868 (Verweise auf Bildquellen), Sp. 1869 f. (mit Beispielen für die Nutzung) und Sp. 1870 f. (zum Begriff *taberna vinaria* bzw. *taberna cauponia*). Vgl. ferner Kaiser/Sommer 1994, 373 ff. Abb. 262; MacMahon 2005a, 61 ff.; MacMahon 2003, 57 ff.; Vetters 1977, 14 sowie die Ausführungen unten S. 349 ff.
18 Bürgin 1965.
19 Berger 1966, 14 ff. Abb. 12; 13. Vgl. in diesem Zusammenhang auch Berger 2002, 13.
20 Berger, Bericht 1966.052, 2.
21 Ulbert 1974, 207 ff. – Die Erstpublikation erfolgte durch Ludwig Berger (Berger 1966, 18 ff.).
22 Bruckner 1975.
23 Berger 1977. – Die «ältere Periode» bei Berger 1977 entspricht mehr oder weniger den Phasen 1–7, die Befunde im Umfeld des Backofens den Phasen 8–11.
24 Vgl. Hürbin 1994 (ohne explizite Erwähnung); Aitken/Haller 2010.
25 Martin-Kilcher 1985, 181 ff.; 194 f. Abb. 31.

hang stehen[26]: Das Inventar aus dem Brandschutt bildet nach wie vor den zwar nicht unbedingt präzisesten, aber am breitesten abgestützten *terminus post quem* für die Datierung der spätrömischen *enceinte réduite*. Umgekehrt liefert der auf dem Brandschutt deponierte Aushub des Wall-Graben-Systems einen durch andere Beobachtungen recht gut abgesicherten *terminus ante quem* für die Zerstörung der sogenannten Taberne (s. u. S. 377).

In den vergangenen Jahren erinnerten dann verschiedene Aufsätze und Monografien, die einzelne Fundgattungen oder Funde aus dem Brandschutt der sogenannten Taberne zum Inhalt hatten, immer wieder daran, dass die Aufarbeitung des Grabungsbefunds und die Gesamtvorlage der Funde aus dem Brandschutt zu den wichtigeren Forschungsdesideraten von Augusta Raurica gehören.

Einleitende Bemerkungen zu Befund- und Fundvorlage

Quellenkritik Grabungsdokumentation

Bei der Beurteilung der Grabungsqualität und Dokumentationsdichte muss dem Umstand Rechnung getragen werden, dass es sich beim hier besprochenen Teil der Grabung 1965–1967.052 ursprünglich um mehrere Sondierschnitte handelte. Diese mussten wegen der grossen Grabungstiefe zum Teil stark angeböscht werden und wurden schliesslich im Rahmen der drei Grabungskampagnen sukzessive erweitert[27].

Die parallel zu den Freilegungsarbeiten durchgeführten Konservierungsarbeiten und deren Installationen – so z. B. das über Backofen BO1 errichtete Schutzhaus – hatten überdies zur Folge, dass die archäologischen Belange oft in den Hintergrund gedrängt wurden[28] und dass der örtlichen Leitung verschiedentlich ein inadäquates Vorgehen aufgezwungen wurde[29].

Zu berücksichtigen ist ferner, dass wegen der auf einer völlig anderen Ausgangslage basierenden Anlage der Sondierschnitte[30] und wegen der Mächtigkeit der mehrheitlich aus lockerem Schutt bestehenden Stratigrafie nur zwei von der Humuskante bis in den anstehenden Untergrund reichende Profile angelegt werden konnten (Beil. 2C; 2D).

Erheblichen Einfluss auf die Qualität der Grabungsdokumentation hatte auch das ungeschulte und/oder oftmals wechselnde Grabungspersonal[31]. Zudem konnten sich die beiden örtlichen Leiter, Ludwig Berger (1965–1966) und Max Martin (1967), wegen des grossen Grabungsdrucks später nicht mehr der Aufarbeitung und Bereinigung der Grabungsdokumentation widmen. Diese umfasst unter anderem 13 kolorierte Profil- und 21 Detailzeichnungen sowie 238 Schwarz-Weiss-Fotos und 176 Diapositive. Letztere wurden seinerzeit von der örtlichen Grabungsleitung (L. Berger, M. Martin) – *nota bene* entgegen einer ausdrücklichen Weisung von Rudolf Laur-Belart – angefertigt und erst später in die Grabungsdokumentation integriert[32]. Die Fotos sowie die ausführlichen Beschreibungen im *Fotojournal*[33]

26 Vgl. die entsprechenden Literaturangaben bei Schwarz 2002, 17.

27 Berger/Martin, Tagebuch, 01.07.1966: «Das, was wir als Sondierschnitt 4 bezeichnet haben: FK [X]04707, [X]04708, [X]04715 und [X]04716, wurde zu einem tiefen Schlund, der infolge des lockeren, kiesig-schuttigen Materials sehr geböscht werden musste … Seine nördliche und südliche Westgrenze mussten sehr oft geändert werden, da der Schnitt immer wieder zu klein war».

28 Vgl. etwa Laur-Belart, Tagebuch, 14.10.1966: «Berger beklagt sich, dass Hürbins Leute [i. e. die Konservierungsequipe] zuwenig sorgfältig arbeiten».

29 Berger/Martin, Tagebuch, 06.07.1965: «… Anschluss an Mauer 1[C] ist auf der ganzen Linie zerstört, da wir den Befehl erhalten hatten, der Mauer 1[C] auf der ganzen Linie nachzugraben!»; Berger/Martin, Tagebuch, 27.08.1965: «Besuch von Prof. Laur; schmeisst unsere Konzeption über den Haufen»; Berger/Martin, Tagebuch, April 1966: «Prof. Laur wünscht kein systematisches Vorgehen nach Grabungseinheiten. Die Messpunkte sind übrigens alle weg»; Berger/Martin, Tagebuch, 06.12.1966: «Trotz meiner jahrzeit- und personalbedingten Bedenken will Prof. Laur die Sache mit der Nische am Südende von MR 1[B] in X 17–Y 17 [vgl. Abb. 89] noch dieses Jahr untersuchen».

30 So stossen beispielsweise die Profile 1a (Beil. 2B) und 1b (Beil. 2C) nicht ganz rechtwinklig an MR 1C an, was dazu führt, dass die anstossenden Schichten leicht verzerrt wiedergegeben sind. Letzteres ist sehr deutlich an der Form des Strassengrabens zu erkennen (Beil. 2C,18A.18B).

31 So wurde z. B. Profil 1b (Beil. 2C) in drei Etappen und von drei verschiedenen Personen dokumentiert: Von K. Eberhard (16.07. 1965), von Ernst Trachsel (19.07.1965) und von Erich Fehlmann (14.09.1965). Der unter Kote 288,94 m ü. M. liegende Teil wurde am 10.10.1966 von E. Fehlmann ergänzt, der unter Kote 286,72 m ü. M. liegende Teil am 18.10.1966 (ebenfalls von E. Fehlmann).

32 Den Hinweis verdanken wir Ludwig Berger. – Die Weisung von R. Laur-Belart basierte einerseits auf finanziellen Erwägungen, andererseits auf dem Umstand, dass damals bezüglich der Dauerhaftigkeit und Archivsicherheit von Diapositiven noch grosse Unsicherheit bestand. Die z. T. starken farblichen Veränderungen an den Diapositiven zeigen, dass diese Bedenken durchaus berechtigt waren. Dennoch bildeten die (mittlerweile digitalisierten) Diapositive eine wichtige Grundlage für die Beurteilung der Befunde, namentlich wenn diese aus zeitlichen Gründen nicht gezeichnet werden konnten.

33 Das Wissenschaftliche Tagebuch und die Einträge im Fotojournal ermöglichten eine quasi dialektische Auseinandersetzung mit dem Befund. So konnten z. B. die von L. Berger und M. Martin und während der Auswertung formulierten Fragestellungen, Arbeitshypothesen und Ergebnisse gegeneinander abgewogen und in der Regel anhand der dort festgehaltenen Beobachtungen eindeutig bestätigt oder ebenso eindeutig verworfen werden.

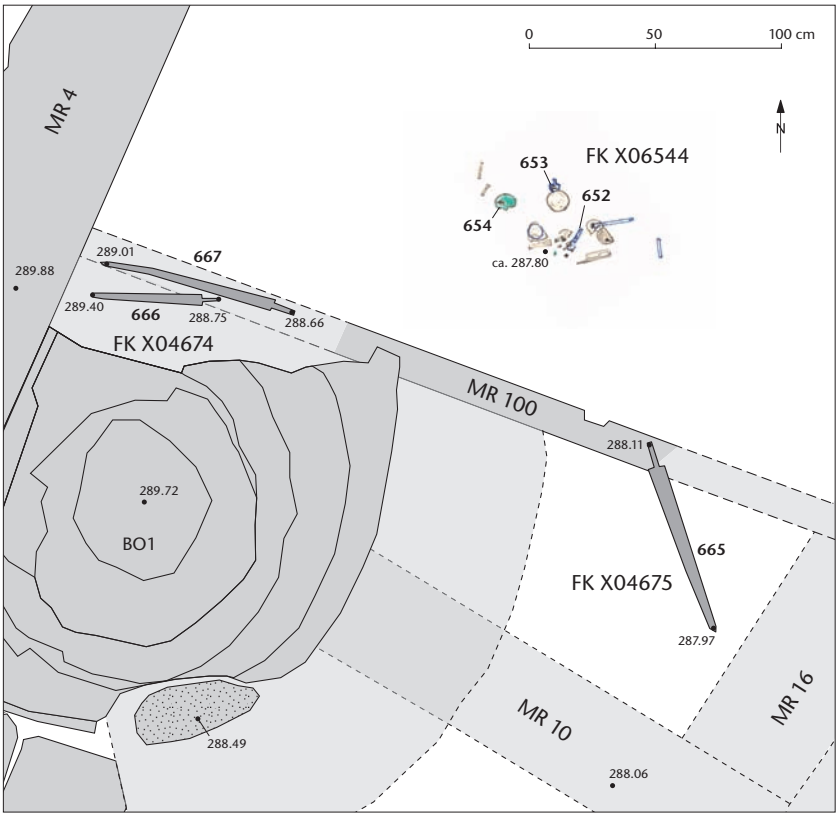


*Abb. 8: Augst BL, Insula 5/9, Raum A (Grabung 1965–1967.052). Umzeichnung dreier Skizzen aus dem Wissenschaftlichen Tagebuch mit der Fundlage der Militaria und anderer Metallfunde. Die noch zuweisbaren Objekte sind mit der Katalognummer gekennzeichnet. Die Ortbänder **641–645** können auf der Skizze nicht lokalisiert werden. Diese und andere Skizzen bildeten eine wichtige Grundlage für die Zuweisung der Inventare zum Erdgeschoss und zum Obergeschoss. M. 1:20.*

lieferten wichtige Informationen für die hier vorliegende Auswertung[34]. Neben den zusammenfassenden Berichten zu den drei Grabungskampagnen[35] die wohl wichtigste Quelle bildete jedoch das rund 70-seitige, handschriftlich geführte *Wissenschaftliche Tagebuch*. Namentlich die darin enthaltenen Skizzen (Abb. 8) bildeten eine wichtige Grundlage für die Rekonstruktion der Befundsituation und damit auch für die Zuweisung der Inventare zum Erdgeschoss bzw. zum Obergeschoss. Hilfreich war zudem, dass die meisten Unklarheiten und/oder Widersprüche mit Ludwig Berger diskutiert bzw. vor Ort an den *in situ* konservierten Teilen des Baubefundes verifiziert werden konnten[36].

Eine wichtige Hilfe bildeten schliesslich auch die von Christoph Ph. Matt im Rahmen seiner Tätigkeit als «wissenschaftliche Hilfskraft» im Römermuseum Augst geleisteten Vorarbeiten. Ihm verdanken wir unter anderem die Reinschrift des Wissenschaftlichen Tagebuchs und des handschriftlichen Berichts zur Grabungskampagne 1966.052 sowie den Profilplan, die Kartierung sämtlicher Fundkomplexe (FK) und die Grobinventare der einzelnen FKs[37]. Im Rahmen eines Blockseminars am Seminar für Ur- und Frühgeschichte der Universität Basel im Frühjahr 1992 wurden dann das Fundgut aus dem Brandschutt (vgl. unten Ensembles A11-GH, A11-EG und A11-OG) einer ersten systematischen Durchsicht unterzogen, auf Passscherben hin untersucht und die Grobinventare zu den einzelnen FKs vervollständigt[38]. Letzteres betraf namentlich auch die zahlreichen und wichtigen Informationen zum Befund und zur Fundlage, die von L. Berger und M. Martin jeweils auf

34 Die Befundauswertung konnte sich zudem – was die bautechnischen Besonderheiten betraf – auf einen vergleichsweise optimalen Forschungs- und Publikationsstand abstützen. Dies betrifft u. a. die in Profil 1b (Beil. 2C) dokumentierten Ziegeldurchschüsse (vgl. etwa Schwarz 1991a, 44 ff.; Schwarz/Trunk 1991, 220 f.), die Entwässerungsröhren und die Sickerpackung (vgl. etwa Hoek 1991, 109 ff.; Hufschmid 1996, Abb. 98), Reparaturen an (Hangstütz-) Mauern (Sütterlin 1999, Abb. 106; Hufschmid 1996, Abb. 110) oder das Wall-Graben-System der spätrömischen Befestigung (Schwarz 1990, 42 ff.; Schwarz 1992, 47 ff.; Schwarz 1994, 51 ff.).

35 Berger, Bericht 1965.052; Berger, Bericht 1966.052; Martin, Bericht 1967.052. – Diese Grabungsberichte dienten Rudolf Laur-Belart als Grundlage für die Jahresberichte (Laur-Belart 1966, S. XLII ff.; Laur-Belart 1967, S. XLV ff.; Laur-Belart 1968, S. XXIX f.).

36 Zu danken haben wir in diesem Zusammenhang v. a. Hans Sütterlin, Augst.

37 Furger 1984, 92. Christoph Ph. Matt sei an dieser Stelle nochmals herzlich für die Überlassung der Unterlagen gedankt, die namentlich die EDV-Erfassung der Fundkomplexe wesentlich erleichterten. Die 1982 angefertigten Unterlagen von Chr. Ph. Matt wurden im Jahre 1990 in das Archiv der Abteilung Ausgrabungen Augst/Kaiseraugst integriert.

38 Leitung: Ludwig Berger und Peter-A. Schwarz, Teilnehmende: Christian Bader, Katrin Bartels, Elisabeth Brunner, Vera von Falkenstein, Jacqueline Furrer, Daniel Keller, René Matteotti, Toni Rey und Peter Streitwolf.

den einzelnen FK-Zetteln festgehalten worden waren und somit einen zentralen Bestandteil der archäologischen Dokumentation bildeten (s. u. S. 26). Wie genau seinerzeit – trotz grossen Zeitdrucks und aus heutiger Sicht äusserst bescheidener Mittel – dokumentiert worden ist, mag der Umstand verdeutlichen, dass etliche Fehler, die dem Römermuseum Augst bei der Inventarisierung der Funde unterliefen, anhand der Grabungsunterlagen korrigiert werden konnten.

Quellenkritik Fundmaterial: Überlieferung und Erhaltung

Nachstehend werden einige Aspekte erläutert, die bei der Bewertung des Fundmaterials aus der sogenannten Taberne berücksichtigt werden mussten:

Wie schon Stefanie Martin-Kilcher darlegte, muss sich «jeder Bearbeiter von Fundgut» mit der Art und Weise der Entstehung der Fundvergesellschaftung kritisch auseinandersetzen[39]. Dies betrifft erstens die Bewertung und Beurteilung des Befunds. Von zentraler Bedeutung ist dabei die Frage nach der Schichtgenese, das heisst, ob die Funde aus Abfallschichten, aus Zerstörungsschichten, aus Planien oder aus Benutzungsschichten stammen. Dadurch hat die Schichtgenese einen massgeblichen Einfluss auf die Qualität und die Aussagekraft der einzelnen Fundkomplexe bzw. Fundensembles.

Des Weiteren ist zu berücksichtigen, dass die Funde nicht nur in der Antike einer *Selektion* unterworfen waren, sondern auch während der Ausgrabung bzw. bei der Inventarisation Funde aussortiert werden. Dies ist bis heute der Fall – doch seit 1987 wird in Augusta Raurica in einer Statistik festgehalten, welche Funde bei der Inventarisation ausgeschieden werden[40].

Für die Jahre 1965–1967 war dem nicht so. Unter den hier vorgelegten Funden wurden während der Inventarisierung «unbrauchbare Funde» ausgelesen und falls die ausgeschiedenen Funde in diesen Jahren überhaupt erfasst wurden, sind die entsprechenden Aufzeichnungen nicht mehr greifbar[41].

Dass seinerzeit eine Selektion stattgefunden hat, legt der Vergleich zwischen den Fundstatistiken von FK E07251 aus der Grabung 2002.063 und von FK Z01668 aus der Grabung 1967.052 nahe:

Wie Abbildung 9 zeigt, wurden bei der Inventarisierung von FK E07251 im Jahr 2002 ausschliesslich helltonige Wandfragmente ausgeschieden, nachdem sie ausgezählt und gewogen worden waren. Dabei wurden insgesamt 81 Fragmente (= 1186 g) inventarisiert und 54 helltonige Fragmente (= 167 g) ausgeschieden. Im Vergleich dazu fällt bei dem im Jahr 1967 ausgegrabenen Fundkomplex Z01668 auf, dass sich unter den insgesamt 156 Keramikfragmenten 81 Einzelscherben aus Terra Sigillata und 14 Einzelscherben aus Glanztonkeramik befinden. Ein Teil dieser Scherben lässt sich den Gefässen **61, 62** oder **65** zuweisen. Hin-

Aus Ensemble A3-2 (FK E07251)	**Inventarisierte Funde**				
Form/Typ	**RS**	**BS**	**WS**	**He**	**Total**
Terra Sigillata	12	5	8		25
TS-Imitation			1		1
Glanztonkeramik			3		3
helltonige Keramik	2	2	28	3	35
grautonige Keramik	3	1	8		12
Reibschalen	1		1		2
Amphoren			1		1
Kochkeramik		1	1		2
Total Fragmente	**18**	**9**	**51**	**3**	**84**
Aus Ensemble A3-2 (FK E07251)	**Ausgeschiedene Funde**				
Form/Typ	**RS**	**BS**	**WS**	**He**	**Total**
Terra Sigillata					
TS-Imitation					
Glanztonkeramik					
helltonige Keramik			54		54
grautonige Keramik					
Reibschalen					
Amphoren					
Kochkeramik					
Total Fragmente	**0**	**0**	**54**		**54**

Ensemble A3-1 (FK Z01668)	**Inventarisierte Funde**				
Form/Typ	**RS**	**BS**	**WS**	**He**	**Total**
Terra Sigillata	34	8	39		81
TS-Imitation			3		3
Glanztonkeramik	6	1	7		14
helltonige Keramik	8	1	3		12
grautonige Keramik	10	9	25		44
Reibschalen					
Amphoren					
Kochkeramik	2				2
Total Fragmente	**60**	**19**	**77**		**156**
Aus Ensemble A3-1 (FK Z01668)	**Ausgeschiedene Funde: keine Überlieferung**				

Abb. 9: Augst BL, Insula 5/9, Raum A (Grabung 1965–1967.052). Zusammenstellung der inventarisierten und ausgeschiedenen Funde aus den Ensembles A3-2 und A3-1.

39 Vgl. dazu grundlegend: Martin-Kilcher 1987/1994, 21–24. Vgl. ferner auch Rütti 1991/1, 20–22; Schucany u. a. 1999, 21–24.

40 Im Gegensatz zu früher hat die Grabungsleitung heute zudem Einfluss auf die Selektion bei der Inventarisierung. Das heisst, dass z. B. FKs aus wichtigen Strukturen vollständig inventarisiert werden.

41 Bis etwa 1961 wurden die ausgeschiedenen Funde auf der Rückseite der Fundkomplexzettel vermerkt. In den Jahren 1965–1967 wurde dies offenbar nicht mehr gemacht. Vgl. dazu auch Martin-Kilcher 1987/1994, Anm. 69. Darüber hinaus wurden Funde teilweise auch auf der Grabung ausgeschieden und nach Grabungsende in der Nähe der Grabung wieder «entsorgt». Solche Entsorgungsdepots können manchmal, wie beispielsweise beim Bau eines Öltanks beim Museum, auch wieder von Neuem ausgegraben werden. Vgl. etwa Schwarz 1995a, 62.

Aus Ensemble A11-EG (FK E06092)	Inventarisierte Funde				
Form/Typ	**RS**	**BS**	**WS**	**He**	**Total**
Terra Sigillata	6	1	16		23
TS-Imitation					
Glanztonkeramik	69		27		96
helltonige Keramik	35	24	77	6	142
grautonige Keramik	9	2	12		23
Reibschalen	4		3		7
Amphoren			2		2
Kochkeramik	14	10	45		69
Total Fragmente	**137**	**37**	**182**	**6**	**362**
Aus Ensemble A11-EG (FK E06092)	**Ausgeschiedene Funde**				
Form/Typ	**RS**	**BS**	**WS**	**He**	**Total**
Terra Sigillata					
TS-Imitation					
Glanztonkeramik			114		114
helltonige Keramik			82		82
grautonige Keramik					
Reibschalen					
Amphoren					
Kochkeramik			17		17
Total Fragmente	**0**	**0**	**213**		**213**

Aus Ensemble A11-EG (FK X06550)	Inventarisierte Funde				
Form/Typ	**RS**	**BS**	**WS**	**He**	**Total**
Terra Sigillata		2			2
TS-Imitation					
Glanztonkeramik	1	3	2		6
helltonige Keramik	12	5	28		45
grautonige Keramik	1				1
Reibschalen					
Amphoren					
Kochkeramik	4				4
Total Fragmente	**18**	**10**	**30**		**58**
Aus Ensemble A11-EG (FK X06550)	**Ausgeschiedene Funde: keine Überlieferung**				

Abb. 10: Augst BL, Insula 5/9, Raum A (Grabung 1965–1967.052). Zusammenstellung der inventarisierten und ausgeschiedenen Funde aus den zum Ensemble A11-EG gehörenden Fundkomplexen E06092 und X06550.

gegen finden sich in FK Z01668 nur 12 Wandfragmente von helltonigen Gefässen. Die geringe Zahl lässt vermuten, dass ein Teil der Fragmente ohne Erfassung ausgeschieden worden ist.

Verifizieren lässt sich diese Vermutung anhand einer weiteren Gegenüberstellung von zwei Fundkomplexen, die zum Ensemble A11-EG gehören. Das Ensemble A11-EG umfasst sowohl Fundkomplexe aus der Grabung 1965–1967.052 als auch solche aus der Grabung 2002.063. Die unterschiedliche Inventarisierung in den Jahren 1965–1967 und im Jahr 2002 lässt sich deutlich ablesen (Abb. 10). Stellen wir die Fundkomplexe aus dem Jahr 1967 (FK X06550) und dem Jahr 2002 (FK E06092) einander gegenüber, so zeigt sich, dass im Jahr 2002 bei der Glanztonkeramik insgesamt 69 Randscherben und 27 Wandscherben mit einem Gesamtgewicht von 4179 g inventarisiert wurden. Dagegen wurden 114 Wandscherben mit einem Gewicht von 619 g ausgeschieden[42]. Im Jahr 1967 wurden von der Glanztonkeramik insgesamt sechs Fragmente ins Inventar aufgenommen; von einer Selektion ist nichts überliefert.

Auch wenn nicht ausgeschlossen werden kann, dass die Zusammensetzung des ausnehmend fundreichen FK E06092 allenfalls aus einer bestimmten Befundsituation in Raum A resultiert, ist der grosse Anteil an Glanztonware, helltoniger Gebrauchskeramik und Grobkeramik im Vergleich zu jenem aus den Fundkomplexen der Grabung 1965–1967.052 auffällig.

Innerhalb von Ensemble A11-EG prägen die Funde aus dem FK E06092 folglich die Anteile der Keramikgattungen und -formen wesentlich. Dies ist insofern relevant, als Ensemble A11-EG deswegen nur bedingt mit den Ensembles A11-GH und A11-OG verglichen werden kann. Letztere umfassen nur Funde aus der Grabung 1965–1967.052, die – wie oben dargelegt – einer Selektion unterworfen waren.

Die Annahme dieser nicht dokumentierten Selektion wird auch durch weitere Beobachtungen am Fundmaterial gestützt: Neben einigen ganz erhaltenen Gefässen, wie beispielsweise **529** und **530,** finden sich im Fundgut auch Gefässe, die nach der Bergung restauriert und ergänzt wurden, so z. B. die Gefässe **306**, **508** und **509**. Bei genauerer Betrachtung fällt auf, dass es sich dabei immer um Terra-Sigillata- oder Glanztongefässe handelt. Die helltonige Gebrauchskeramik wurde offensichtlich nicht restauriert und ergänzt – im Gegenteil: Die Wandscherben wurden ausgeschieden.

Ähnliches lässt sich auch bei den Amphoren feststellen: Ausser der (zwischenzeitlich leider verschollenen) Fischsaucenamphore der Form Pélichet 46 ist heute keine einzige Amphore mehr vollständig rekonstruierbar. Im Falle der beiden Ensembles aus dem Brandschutt (A11-EG und A11-OG) kann dies nur damit erklärt werden, dass ein Teil der Amphorenscherben ohne vorgängige Passscherbensuche ausgeschieden worden ist.

Wesentlich positiver als die Beurteilung der musealen Fundüberlieferung fällt hingegen die Bewertung des bereits erwähnten zweiten Faktors – nämlich der zentralen Frage nach der Genese der einzelnen Schichtpakete – aus. Im Falle der Ensembles A11-EG und A11-OG, die den Grossteil der hier vorgelegten Funde umfassen, hat die Befundauswertung gezeigt, dass sie anlässlich einer Brandkatastrophe, das heisst sicher gleichzeitig, in den Boden gekommen sind. Von massgeblicher Bedeutung für die Fundüberlieferung

42 Das Gesamtgewicht der inventarisierten helltonigen Keramik ist 5608 g und jenes der Kochkeramik 1655 g. Ausgeschieden wurden bei der helltonigen Keramik insgesamt 912 g und bei der Kochkeramik 100 g.

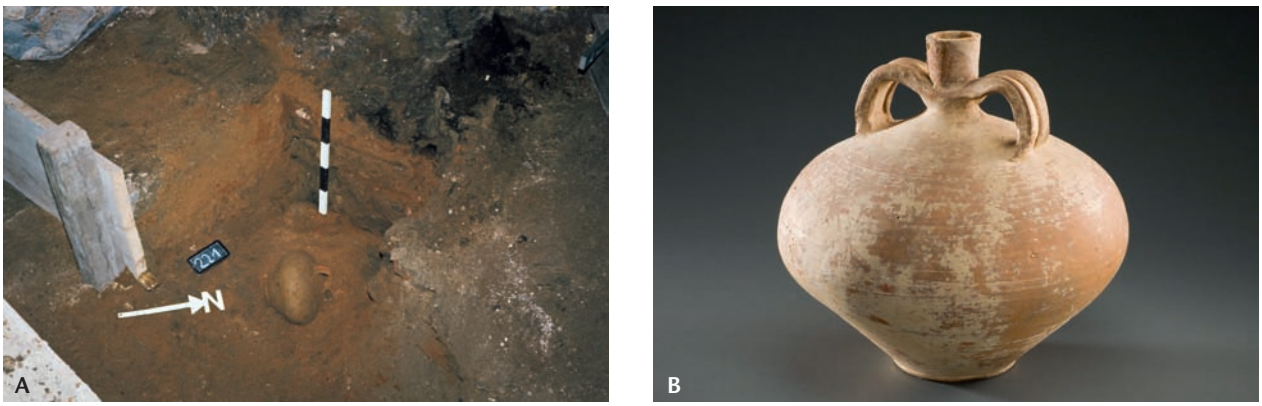


*Abb. 11: Augst BL, Insula 5/9, Raum A (Grabung 1965–1967.052). **A** Ganz erhaltener Krug mit Bandrand* in situ *(Inv. 1967.2486, FK X06530). Trotz Foto des Kruges in Fundlage konnte der Krug keinem Ensemble zugewiesen werden: Unter dem entsprechenden Fundkomplex (gemäss Fotojournal FK X06539) wurde lediglich ein* zerscherbter *(nachträglich zusammengesetzter) Bandrandkrug **314** inventarisiert. **B** Heutiger Zustand.*

ist ferner der Umstand, dass der Brandschutt schon kurze Zeit später vom Aushub des spätrömischen Wall-Graben-Systems überdeckt wurde und deswegen vor späteren Eingriffen weitgehend verschont blieb (s. u. S. 248 ff.). Dieser Sachverhalt ist für die Beurteilung der Ensembles A11-EG und A11-OG insofern relevant, als davon ausgegangen werden kann, dass alle Objekte aus dem Brandschutt – also auch die sogenannten Altfunde – gleichzeitig in den Boden gekommen sind (s. u. S. 154 ff.).

Dies dürfte auch auf den Grossteil der Funde aus dem Gehhorizont im Erdgeschoss (Ensemble A11-GH) zutreffen. Am sinnfälligsten bezeugen dies die beiden Milchkochtöpfe **364** und **365**, die zum Zeitpunkt des Brandausbruchs offensichtlich auf dem Gehhorizont standen. Dass die Funde aus dem Gehhorizont des Erdgeschosses nicht zusammen mit den Funden aus dem Brandschutt des Erdgeschosses (Ensemble A11-EG) vorgelegt und besprochen werden, resultiert aus der Analyse der Schichtgenese des Gehhorizonts. Dieser «Schmutzhorizont» stellt nämlich das Relikt eines länger dauernden Sedimentationsprozesses dar. Er enthält folglich nicht nur Objekte, die zum Zeitpunkt des Brandausbruchs benutzt wurden, sondern auch Funde, die während Phase 11, also während der gut zwanzig Jahre dauernden Benutzungszeit, in den Boden gekommen sind.

Vorbehalte bezüglich der von uns postulierten Geschlossenheit der aus dem Brandschutt stammenden Ensembles A11-EG und A11-OG bestehen allenfalls deswegen, weil eine Vermischung des Fundguts während und nach der Ausgrabung nicht ausgeschlossen werden kann. Dies einerseits aus grabungstechnischen Gründen, beispielsweise weil die Fundstücke in der Hektik oder wegen der sehr nahe beieinander liegenden Grabungsflächen in eine falsche Fundkiste hätten gelangen können. Diese Art der Fundvermischung wird vorab in Form von einzelnen, auch nach gründlicher Abklärung des Sachverhalts nicht erklärbaren Passscherbenverbindungen (vgl. **220**; **263**; **531**) zwischen einzelnen Ensembles evident. Da sich solche Fundvermischungen aber nicht beweisen lassen, wurden diese Passscherbenverbindungen zwischen einzelnen Ensembles im Katalog jeweils vermerkt, aber nicht weiter kommentiert[43].

Besser nachweisen liessen sich hingegen Irrtümer bei der Inventarisierung der Funde: So wurde z. B. der intakte Faltenbecher **418** der Form Nb. 33, der nachweislich im Backofen BO1 gefunden wurde, offenbar erst später inventarisiert und einem falschen FK zugewiesen[44]. Ein ganz erhaltener Krug mit Bandrand liess sich hingegen – obschon er *in situ* fotografiert worden war (Abb. 11) – nicht mehr zweifelsfrei einem bestimmten Ensemble zuweisen[45].

Die *Erhaltung der Funde* ist relativ gut, zum Teil sogar hervorragend. Diese Feststellung trifft vor allem auf die Ob-

43 Weitere, aber anhand der Schichtgenese erklärbare Passscherbenverbindungen liegen im Fall von **2**, **397**, **445**, **576**, **891** und **923** vor.

44 Inv. 1966.4946A, FK X04670. Der Faltenbecher wurde irrtümlicherweise dem FK V05143 zugewiesen. Vgl. Berger 1966, 17; Berger 1977, 36 Anm. 30 (mit Verweis auf Bruckner 1975, 65) Abb. 9. Ein weiterer Becher der Form Nb. 33 (Inv. 1966.3369; o. Abb.) wurde fälschlicherweise FK X04698 statt FK X06508 zugewiesen. Für die Unterstützung bei den diesbezüglichen Recherchen bzw. nach dem Verbleib der Becher danken wir Margit Scheiblechner und Waltraud Attinger, Augst.

45 Inv. 1967.2486, FK X06530. Dieser FK umfasst aber lediglich Inv. 1967.523–542 und stammt mit Sicherheit aus Raum D (vgl. dazu unten Ensemble D6). Dass der intakte Krug mit Bandrand nicht zum Fundensemble D6 gehören kann, zeigt einerseits die Genese und Zusammensetzung der entsprechenden Schicht, andererseits auch die Datierung der Funde (s. u. S. 95). Wahrscheinlich ist, dass der Krug aus dem Brandschutt in Raum A stammt (Ensemble A11-EG oder A11-OG). Weil sich diese Vermutung nicht verifizieren lässt, wurde der Krug in den entsprechenden Ensembles nicht berücksichtigt.

jekte aus dem Brandschutt zu, aus dem etliche intakte oder nahezu vollständig erhaltene Gefässe geborgen wurden. Einige Funde aus dem Brandschutt weisen jedoch hitzebedingte Verfärbungen auf – so unter anderem die grossteilig erhaltenen Gefässe **506** und **507**. Spuren der Feuereinwirkung tragen namentlich die Terra-Sigillata-Gefässe, deren Oberfläche zum Teil braun-schwarz verfärbt ist. Die übrigen Terra-Sigillata-Scherben haben oftmals noch eine stark glänzende Oberfläche und weisen keine verrundeten Bruchstellen auf. Ähnliches trifft auf die Glanztonware – insbesondere der Form Nb. 33 – zu, deren Oberfläche einen geringen Glanz aufweist, wie dies bei diesen regional gefertigten Produktionen typisch ist. Auch die übrige Gefässkeramik ist durch die Bodeneinflüsse oder Ablagerungsprozesse kaum beeinträchtigt worden.

Relativ gut erhalten sind ausserdem die Objekte aus Glas, Bein oder Bronze, auch wenn einige Kleinfunde durch die Brandeinwirkung verformt oder schwarz verfärbt sind. Erstaunlich gut konserviert sind die Eisenfunde, namentlich diejenigen aus dem Brandschutt – so beispielsweise die Eisenbänder **695–699** oder der Eimer **680**.

Quellenkritik Tierknochen: Überlieferung und Erhaltung (Elisabeth Marti-Grädel)

Die Tierknochen aus Insula 5/9 wurden bereits von Jörg Schibler im Rahmen der Gesamtauswertung der Knochenfunde aus allen Grabungen der Jahre 1955–1974 vorgestellt[46]. Die diachrone Auswertung der Tierknochen aus Augusta Raurica basierte damals auf der Zusammenfassung aller datierten Fundkomplexe in sogenannte Datierungsphasen.

Mit der von Sandra Ammann und Peter-A. Schwarz vorgelegten Gesamtauswertung der Befunde und Funde der Grabungen 1965–1967.052 und 2002.063 ergibt sich nun auch eine neue Grundlage für die Auswertung der Tierknochen aus Insula 5/9: Diese ermöglicht nicht nur eine feinere chronologische Differenzierung der einzelnen Fundkomplexe bzw. der Ensembles, sondern auch einen Vergleich zwischen den verschiedenen Befundzonen (Räumen) in Insula 5/9.

Auf Abbildung 12 sind die Fundkomplexe bzw. Ensembles zusammengestellt, die Tierknochenfunde geliefert haben. Die Knochenreste aus schlecht datierten Fundkomplexen und unklarem Befundzusammenhang wurden zusammengefasst.

Im Kapitel Befundauswertung und Fundvorlage (S. 37–274) wird jeweils nur kurz auf die Knochenfunde eingegangen. Eingehender besprochen werden dort lediglich die Tierknochen aus dem jüngsten Benutzungshorizont bzw. aus dem Brandschutt der Phase 11. Von zentralem Interesse war für uns in erster Linie die vergleichende Betrachtung der Knochenfunde innerhalb der einzelnen Befundzonen

46 Schibler/Furger 1988, 33–37.

		Fragmentzahlen				Knochengewicht (g)				Durchschnittsgewicht (g)		
Ensembles	FK	Total	bestimmbar	unbestimmbar	% unbestimmbar	Total	bestimmbar	unbestimmbar	% unbestimmbar	Total	bestimmbar	unbestimmbar
A2	Z01669	13	4	9	69,2	135	75	60	44,4	10,4	18,8	6,7
HL2	X04728	4	4	–	–	230	230	–	–	57,5	57,5	–
HL2	X06230	9	6	3	33,3	315	210	105	33,3	35,0	35,0	35,0
HL2	X06231	205	104	101	49,3	9125	5990	3135	34,4	44,5	57,6	31,0
HL2	X06247	15	9	6	40,0	575	425	150	26,1	38,3	47,2	25,0
HL2	X06510	40	23	17	42,5	1595	865	730	45,8	39,9	37,6	42,9
HL2	X06512	30	16	14	46,7	1220	770	450	36,9	40,7	48,1	32,1
HL2	X06513	114	53	61	53,5	7075	4985	2090	29,5	62,1	94,1	34,3
HL2	X06516	161	77	84	52,2	7500	4580	2920	38,9	46,6	59,5	34,8
HL2	X06518	71	34	37	52,1	4340	3165	1175	27,1	61,1	93,1	31,8
A3-1	Z01668	52	24	28	53,8	990	420	570	57,6	19,0	17,5	20,4
A3-2	E07251	205	156	49	23,9	1957	1871,4	85,6	4,4	9,5	12,0	1,7
A5	Z01667	20	8	12	60,0	130	60	70	53,8	6,5	7,5	5,8
C5	X04713	13	6	7	53,8	270	75	195	72,2	20,8	12,5	27,9
C5	X04718	14	6	8	57,1	270	150	120	44,4	19,3	25,0	15,0
C5	X04734	12	8	4	33,3	355	210	145	40,8	29,6	26,3	36,3
C5	X06242	17	6	11	64,7	650	365	285	43,8	38,2	60,8	25,9
C5	X06244	16	11	5	31,3	1100	905	195	17,7	68,8	82,3	39,0
C5	X06503	9	3	6	66,7	265	105	160	60,4	29,4	35,0	26,7
C5	X06515	54	21	33	61,1	1355	795	560	41,3	25,1	37,9	17,0
A6	E07252	2	1	1	50,0	62,8	62,5	0,3	0,5	31,4	62,5	0,3
A6	E07253	7	7	–	–	183,2	183,2	–	–	26,2	26,2	–
C6	X04696	38	22	16	42,1	855	610	245	28,7	22,5	27,7	15,3
C6	X04736	7	4	3	42,9	130	60	70	53,8	18,6	15,0	23,3
C6	X04737	11	6	5	45,5	220	85	135	61,4	20,0	14,2	27,0
C6	X06218	44	21	23	52,3	1220	730	490	40,2	27,7	34,8	21,3
C6	X06236	16	8	8	50,0	765	590	175	22,9	47,8	73,8	21,9

		Fragmentzahlen				Knochengewicht (g)				Durchschnittsgewicht (g)		
Ensembles	FK	Total	bestimmbar	unbestimm-bar	% unbe-stimmbar	Total	bestimmbar	unbestimm-bar	% unbe-stimmbar	Total	bestimmbar	unbestimm-bar
HL6	X04625	13	3	10	76,9	330	115	215	65,2	25,4	38,3	21,5
HL6	X04712	10	8	2	20,0	235	195	40	17,0	23,5	24,4	20,0
HL6	X04724	15	10	5	33,3	330	230	100	30,3	22,0	23,0	20,0
A7	Z01657	62	28	34	54,8	515	440	75	14,6	8,3	15,7	2,2
C7	X04710	23	11	12	52,2	525	275	250	47,6	22,8	25,0	20,8
HL7	X04687	56	18	38	67,9	1575	535	1040	66,0	28,1	29,7	27,4
HL7	X06203	17	8	9	52,9	700	330	370	52,9	41,2	41,3	41,1
A8	X04649	15	8	7	46,7	400	330	70	17,5	26,7	41,3	10,0
A8	X06546	77	44	33	42,9	340	–	340	100,0	4,4	–	10,3
A8	X06547	21	9	12	57,1	300	125	175	58,3	14,3	13,9	14,6
A8	Z01672	16	10	6	37,5	285	215	70	24,6	17,8	21,5	11,7
A8	Z01673	52	30	22	42,3	620	350	270	43,5	11,9	11,7	12,3
A9	Z01677	18	6	12	66,7	200	95	105	52,5	11,1	15,8	8,8
A11-GH	X06523	96	73	23	24,0	1505	1210	295	19,6	15,7	16,6	12,8
A11-GH	X06543	22	10	12	54,5	475	335	140	29,5	21,6	33,5	11,7
A11-F4	Z01664	15	11	4	26,7	–	–	–	–	–	–	–
A11-EG	E06092	49	37	12	24,5	420,8	383,2	37,6	8,9	8,6	10,4	3,1
A11-EG	E06778	1	1	–	–	1,7	1,7	–	–	1,7	1,7	–
A11-EG	X04634	5	4	1	20,0	80	65	15	18,8	16,0	16,3	15,0
A11-EG	X06520	72	41	31	43,1	880	595	285	32,4	12,2	14,5	9,2
A11-OG	X04606	30	14	16	53,3	705	450	255	36,2	23,5	32,1	15,9
A11-OG	X04621	4	4	–	–	240	240	–	–	60,0	60,0	–
A11-OG	X04624	11	3	8	72,7	130	40	90	69,2	11,8	13,3	11,3
A11-OG	X04627	9	4	5	55,6	175	85	90	51,4	19,4	21,3	18,0
A11-OG	X04644	4	3	1	25,0	75	70	5	6,7	18,8	23,3	5,0
A11-OG	X04648	14	6	8	57,1	230	80	150	65,2	16,4	13,3	18,8
A11-OG	X04650	7	1	6	85,7	135	15	120	88,9	19,3	15,0	20,0
A11-OG	X04652	47	27	20	42,6	625	460	165	26,4	13,3	17,0	8,3
A11-OG	X04658	13	5	8	61,5	155	80	75	48,4	11,9	16,0	9,4
A11-OG	X04671	7	4	3	42,9	190	110	80	42,1	27,1	27,5	26,7
A11-OG	X04675	22	13	9	40,9	480	395	85	17,7	21,8	30,4	9,4
A11-OG	X04677	39	26	13	33,3	1550	1245	305	19,7	39,7	47,9	23,5
A11-OG	X04685	14	5	9	64,3	545	105	440	80,7	38,9	21,0	48,9
A11-OG	X04715	9	7	2	22,2	270	180	90	33,3	30,0	25,7	45,0
A11-OG	X04716	5	4	1	20,0	115	115	–	–	23,0	28,8	–
A11-OG	X04750	10	5	5	50,0	205	120	85	41,5	20,5	24,0	17,0
A11-OG	X06213	14	6	8	57,1	170	85	85	50,0	12,1	14,2	10,6
A11-OG	X06521	13	6	7	53,8	125	25	100	80,0	9,6	4,2	14,3
A11-OG	X06536	18	18	–	–	750	750	–	–	41,7	41,7	–
A11-OG	X06544	24	15	9	37,5	330	280	50	15,2	13,8	18,7	5,6
A11-OG	X06545	43	25	18	41,9	590	425	165	28,0	13,7	17,0	9,2
A11-OG	Z01678	12	10	2	16,7	195	175	20	10,3	16,3	17,5	10,0
B11	E06772	48	48	–	–	168,6	168,6	–	–	3,5	3,5	–
HL11	X04689	10	4	6	60,0	495	120	375	75,8	49,5	30,0	62,5
HL11	X04714	21	9	12	57,1	470	255	215	45,7	22,4	28,3	17,9
HL11	X04717	20	6	14	70,0	415	140	275	66,3	20,8	23,3	19,6
HL11	X06202	32	17	15	46,9	915	610	305	33,3	28,6	35,9	20,3
HL11	X06204	49	27	22	44,9	1290	925	365	28,3	26,3	34,3	16,6
HL11	X06214	24	18	6	25,0	990	830	160	16,2	41,3	46,1	26,7
A12	E06093	3	2	1	33,3	3	2,8	0,2	6,7	1,0	1,4	0,2
A12	E06094	4	2	2	50,0	5,8	4,1	1,7	29,3	1,5	2,1	0,9
A12	E06095	3	3	–	–	17,7	17,7	–	–	5,9	5,9	–
C13	X04645	8	6	2	25,0	195	150	45	23,1	24,4	25,0	22,5
C13	X04680	60	37	23	38,3	1635	1255	380	23,2	27,3	33,9	16,5
C13	X04747	7	4	3	42,9	460	370	90	19,6	65,7	92,5	30,0
C13	X06201	23	15	8	34,8	510	425	85	16,7	22,2	28,3	10,6
A14	X04739	7	5	2	28,6	155	115	40	25,8	22,1	23,0	20,0
D14	X04691	42	18	24	57,1	1205	650	555	46,1	28,7	36,1	23,1
D14	X06217	19	10	9	47,4	475	280	195	41,1	25,0	28,0	21,7
D14	X06227	28	11	17	60,7	1030	655	375	36,4	36,8	59,5	22,1
D14	X06228	22	9	13	59,1	470	250	220	46,8	21,4	27,8	16,9
A15	X04663	14	8	6	42,9	255	175	80	31,4	18,2	21,9	13,3
A15	X04666	9	5	4	44,4	220	155	65	29,5	24,4	31,0	16,3
C15	X04695	9	7	2	22,2	550	470	80	14,5	61,1	67,1	40,0
Ensembles	Grabung 1965–1967	2363	1243	1120	47,4	69700	45255	24445	35,1	29,5	36,4	21,8
	Grabung 2002	322	257	65	20,2	2820,6	2695,2	125,4	4,4	8,8	10,5	1,9
	Total	2685	1500	1185	44,1	72520,6	47950,2	24570,4	33,9	27,0	32,0	20,7
FK ohne Ensemble-zuwei-sung	Grabung 1965–1967	2142	1157	985	46,0	70040	45815	24225	34,6	32,7	39,6	24,6
	Grabung 2002	376	310	66	17,6	4671,5	4508,9	162,6	3,5	12,4	14,5	2,5
	Total	2518	1467	1051	41,7	74711,5	50323,9	24387,6	32,6	29,7	34,3	23,2
Total Insu-la 5/9	Grabung 1965–1967	4505	2400	2105	46,7	139740	91070	48670	34,8	31,0	37,9	23,1
	Grabung 2002	698	567	131	18,8	7492,1	7204,1	288	3,8	10,7	12,7	2,2
	Total	5203	2967	2236	43,0	147232,1	98274,1	48958	33,3	28,3	33,1	21,9

◀▲ *Abb. 12: Augst BL, Insula 5/9 (Grabungen 1965–1967.052 und 2002.063). Fundkomplexe (FK) mit Tierknochen: Ensemblezuweisung und Anzahl, Gewicht (g) und Durchschnittsgewicht (g) der Knochenreste.*

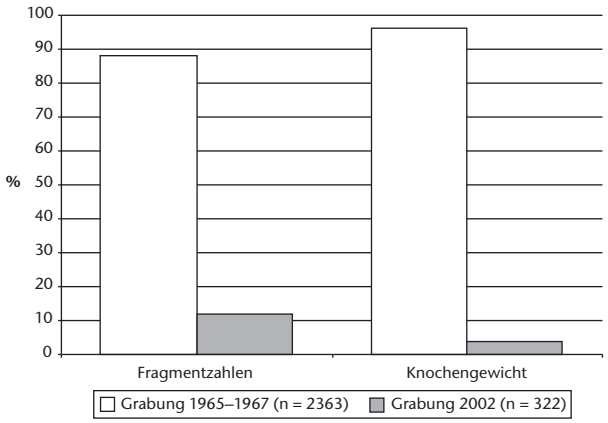


Abb. 13: Augst BL, Insula 5/9 (Grabungen 1965–1967.052 und 2002.063). Anteile der Grabungskampagnen an Fragmentmenge und Gewicht der Knochenfunde (nur Fundkomplexe mit Ensemblezuweisung berücksichtigt).

	n	%	Gewicht (g)	%	DGW (g)
Raum A	1229	45,8	18122,0	24,9	14,7
Raum B	48	1,8	168,6	0,2	3,5
Raum C	381	14,2	11330,0	15,6	29,7
Raum D	111	4,1	3180,0	4,4	28,6
Heidenlochstrasse	916	34,1	39720,0	54,6	43,4
Total	**2685**		**72520,6**		**27,0**
FK ohne Ensemblezuweisung	2518	48,4	74711,5	50,7	29,7
Total Insula 5/9	5203		147232,1		28,3

Abb. 14: Augst BL, Insula 5/9 (Grabungen 1965–1967.052 und 2002.063). Anzahl (n), Gewicht (g) und Durchschnittsgewicht (g) der Knochenreste in den verschiedenen Befundeinheiten (Räumen), in den nicht zugewiesenen Fundkomplexen und im Gesamtmaterial von Insula 5/9.

(Räume). Die ausführliche Diskussion der Zusammensetzung der Tierknochen in den verschiedenen Räumen von Insula 5/9 und in den verschiedenen Zeitstufen erfolgt in Exkurs 2 (S. 319 ff.).

Materialgrundlage und Bestimmungsmethoden

Obschon das Fundmaterial aus Insula 5/9 durch die Grabung 2002.063 eine quantitative Erweiterung erfuhr, stammt der Grossteil des archäobiologischen Fundmaterials aus der Grabung 1965–1967.052. Die Tierknochen aus den hier berücksichtigten Fundkomplexen umfassen 2685 Fragmente, von denen der grösste Teil, nämlich 2363 Fragmente (88%), aus der Grabung 1965–1967.052 und nur 322 (12%) aus der Grabung 2002.063 stammen (Abb. 13). Dies bedeutet, dass unserer Auswertung hauptsächlich die bereits von Jörg Schibler 1988 verwendeten Bestimmungsdaten von Elisabeth Schmid zugrunde liegen, die zwischen 1955 und 1974 wöchentlich die in Augusta Raurica geborgenen Knochen bestimmte und handschriftlich erfasste[47]. Diese Daten wurden in den 1980er-Jahren auf Computerlisten übertragen, wodurch die über die Jahre gewachsene, riesige Datenmenge für eine Auswertung erschlossen werden konnte.

Die Erfassung der Bestimmungsdaten im Feld durch Elisabeth Schmid entspricht nicht den heutigen Standards. Für die Bestimmungsarbeit stand jeweils nur eine behelfsmässig zusammengestellte Vergleichssammlung und nur wenig Zeit zur Verfügung. Gewöhnlich wurden aber für jedes Fragment die Fundkomplexnummer, die Art, der Skelettteil und das Schlachtalter notiert. Diese Angaben bilden heute die wichtigste Auswertungsgrundlage. Das Schlachtalter wurde zwar nur grob erfasst: Erschliessbar ist aber dennoch der (Mindest-)Anteil an Jungtierresten gegenüber der Summe an Resten ausgewachsener Tiere (mit entsprechender Altersangabe) und nicht altersbestimmter Reste (ohne Altersbezeichnung). Angaben zur Fragmentierung wurden nicht regelmässig und auch nicht detailliert aufgenommen, weshalb keine entsprechende Auswertung erfolgte. Dies gilt auch für spezielle Beobachtungen wie Schlacht-, Verbiss- oder Brandspuren, bei denen die damals verwendete Codierung heute nicht mehr sicher aufgeschlüsselt werden kann.

Wirbel und Rippen wurden generell nicht nach Art bestimmt, jedoch immerhin ausgezählt. Das Knochengewicht wurde für jeden Fundkomplex nur je für die Summe der unbestimmbaren und der bestimmbaren Fragmente erfasst. Dies erlaubt Berechnungen zur Bestimmbarkeit des Fundmaterials und eine Einschätzung der Materialbeschaffenheit anhand des durchschnittlichen Fragmentgewichts der bestimmbaren und unbestimmbaren Knochen. Da die Knochenfragmente aber nicht – wie heute üblich – einzeln gewogen wurden, fehlt die Grundlage für eine Quantifizierung der Anteile oder Skelettspektren einzelner Arten nach Gewicht. Osteometrische Daten wurden von E. Schmid aus Zeitgründen ebenfalls nicht erhoben. Dies alles schränkt das Auswertungspotenzial der Knochenfunde stark ein. Da viele Knochenfunde nach dem schriftlichen Festhalten der Bestimmungsdaten weggeworfen wurden, machte auch eine nachträgliche Sichtung der Funde wenig Sinn.

Die anlässlich der Grabung 2002.063 geborgenen Knochenreste wurden von Guido Breuer bestimmt. Zu diesen Knochenresten liegen auch Daten zum Bruchkanten- und Erhaltungszustand sowie zum Knochengewicht der einzelnen Arten und Skelettelemente und teilweise auch osteologische Messwerte vor.

Die Knochenreste aus den für die Datierung der einzelnen Phasen relevanten Ensembles stammen aus den Räumen A, B, C (Korridor) und D (Treppenhaus) sowie aus dem Be-

47 Vgl. Schibler/Furger 1988, 9.

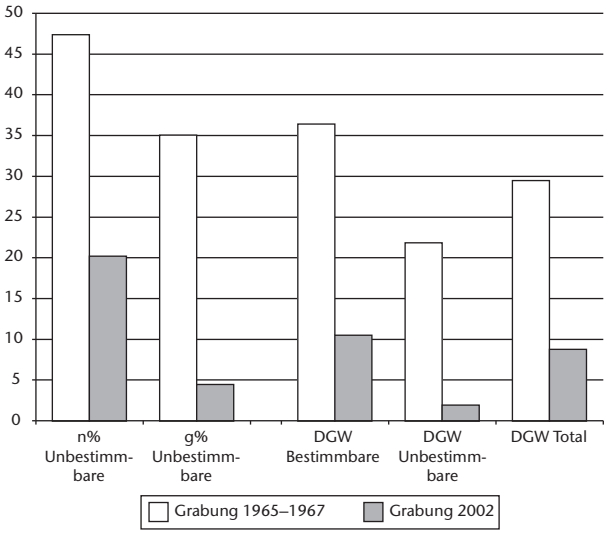


Abb. 15: Augst BL, Insula 5/9 (Grabungen 1965–1967.052 und 2002.063). Vergleich zwischen den beiden Grabungskampagnen bezüglich des Anteils der unbestimmbaren Knochen nach Fragmentzahlen (n%) und Gewicht (g%) sowie bezüglich des Durchschnittsgewichts (g) der Knochenfunde (nur Fundkomplexe mit Ensemblezuweisung berücksichtigt).

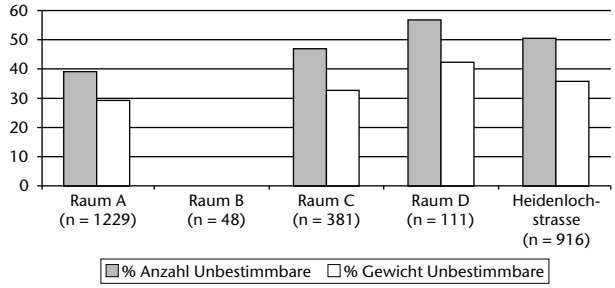


Abb. 16: Augst BL, Insula 5/9 (Grabungen 1965–1967.052 und 2002.063). Anteil der unbestimmbaren Tierknochen nach Fragmentzahlen (n%) und Gewicht (g%) in den verschiedenen Befundeinheiten (Räumen).

reich der Hangkante und der Heidenlochstrasse. Raum A liefert dabei mit über 1200 Knochenresten – davon knapp ein Viertel (n = 274) aus der Grabung 2002.063 – am meisten Reste (45,8%; Abb. 14). Gut ein Drittel nach Fragmentzahlen, aber über die Hälfte nach Gewicht der Knochen stammt aus dem Bereich der Hangkante bzw. der Heidenlochstrasse. Es handelt sich hier folglich um durchschnittlich deutlich schwerere und somit grössere Fragmente als aus den anderen Bereichen. Deutlich geringer ist die Menge an Knochenfunden aus den übrigen Bereichen. Aus Raum C stammen 381 Knochenreste (14%), aus Raum D lediglich 111 (4%). Raum B konnte anlässlich der Grabung 2002.063 nur partiell untersucht werden. Der einzige stratifizierbare Fundkomplex umfasst lediglich 48 Knochenfragmente.

Bestimmbarkeit

Bedingt durch die unterschiedliche Qualität der Bestimmung und Erfassung der Knochenreste sowie durch die unterschiedliche Grabungsqualität zeigen sich zwischen dem Fundmaterial aus der Grabung 1965–1967.052 und jenem aus der Grabung 2002.063 deutliche Unterschiede im Anteil bestimmbarer Knochenfragmente und im Durchschnittsgewicht der Knochenfunde (Abb. 15). So ist der Fragmentanteil der unbestimmbaren Knochen bei den Knochenfunden der Grabung 1965–1967.052 mit durchschnittlich 47% gut doppelt so hoch wie bei denen der Grabung 2002.063, der Gewichtsanteil mit durchschnittlich 35% gut achtmal grösser. Dies beruht einerseits darauf, dass Wirbel und Rippen in den Fundkomplexen der Grabung 1965–1967.052 generell nicht bestimmt wurden und somit unter den unbestimmbaren Knochen figurieren. Dementsprechend ist auch das Durchschnittsgewicht der unbestimmbaren Knochen im Fundmaterial der Grabung 1965–1967.052 höher als in dem der Grabung 2002.063. Andererseits ist aber auch das Durchschnittsgewicht der bestimmbaren Fragmente bei den Knochenresten der Grabung 1965–1967.052 deutlich höher. Dies dürfte die Folge einer selektiven Fundbergung sein: Kleine Fragmente sind im Tierknochenmaterial der Grabung 1965–1967.052 weniger stark vertreten. Möglich ist daher auch, dass Knochen kleinerer Arten im Fundmaterial der älteren Grabung unterrepräsentiert sind.

Unterschiede im Anteil unbestimmbarer Knochenreste lassen sich auch zwischen den einzelnen Befundzonen fassen. In Raum A ist der Anteil unbestimmbarer Knochen nach Fragmentzahlen und Gewicht durchschnittlich geringer als in den anderen Räumen (Abb. 16). Dies liegt jedoch zu einem Teil daran, dass im Fall von Raum A auch Fundkomplexe aus der Grabung 2002.063 berücksichtigt wurden (vgl. Abb. 12). Bei Ausschluss dieser Fundkomplexe ergibt sich eine Annäherung an die Resultate der anderen Bereiche (Anteil unbestimmbarer Knochen nach Fragmentzahlen: 43%; nach Gewicht: 34%).

Zum andern ist aber die Bestimmbarkeit wahrscheinlich auch durch die Erhaltung beeinflusst worden. So umfasst z. B. die Verfüllung von Raum D (= Ensemble D14) weiträumig verlagertes Material, das einen vergleichsweise hohen Anteil an unbestimmbaren Tierknochenfragmenten enthielt (Abb. 16). Dieser hohe Anteil könnte daher die Folge einer überdurchschnittlich schlechten Erhaltung sein. Da seinerzeit keine Angaben zum Erhaltungszustand der Knochenfunde notiert wurden, kann dies jedoch nur vermutet werden.

Hingegen weisen die Ensembles aus dem Gehhorizont der Phase 11 in Raum A, die nur Fundkomplexe aus der Grabung 1965–1967.052 enthalten (Ensembles A11-GH und A11-F4), einen auffallend tiefen Anteil unbestimmbarer Knochen auf. Dies könnte mit den aufgrund der *in-situ*-Lage besonders günstigen Erhaltungsbedingungen zusam-

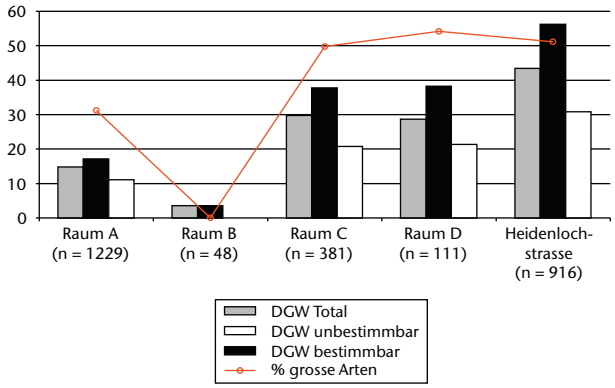


Abb. 17: Augst BL, Insula 5/9 (Grabungen 1965–1967.052 und 2002.063). Durchschnittsgewicht (DGW; in Gramm) der Tierknochen und Fragmentanteil (n%) grosser Arten in den verschiedenen Befundeinheiten (Räumen).

menhängen. Dasselbe gilt wahrscheinlich auch für Ensemble B11 aus Raum B: Es umfasst einen einzigen Fundkomplex, aus dem zwar nur wenige, aber durchwegs bestimmbare Fragmente vorliegen.

Deutliche Unterschiede zwischen den verschiedenen Befundzonen zeigen sich beim Durchschnittsgewicht der Knochen (Abb. 17). Im kleinen Ensemble B11 aus Raum B ist es durch ein möglicherweise konsequenteres Auflesen von Knochenfunden anlässlich der Grabung 2002.063, primär aber infolge des ausschliesslichen Nachweises von Knochen kleiner Arten (Schaf/Ziege) am tiefsten (3,5 g). Vergleichsweise niedrig ist das Durchschnittsgewicht mit rund 15 g aber auch im Material von Raum A; dies auch bei Ausschluss der Funde aus der jüngeren Grabung, bei der von einer sorgfältigeren Auflese der Knochen ausgegangen werden kann (vgl. oben)[48].

Im Schnitt deutlich schwerere und somit grössere Fragmente als in den anderen Bereichen liegen hingegen aus dem Bereich der Heidenlochstrasse vor (Durchschnittsgewicht: 43 g). Die starken Unterschiede im Durchschnittsgewicht können primär auf die Artenzusammensetzung zurückgeführt werden. So sind etwa in den Ensembles aus Raum A kleinere Arten, namentlich Hausschwein und Huhn, mehrheitlich besser vertreten als in den anderen Räumen (s. u. S. 326). Neben der Artenzusammensetzung scheinen aber auch unterschiedliche Erhaltungsbedingungen oder die unterschiedlich sorgfältige Vorgehensweise bei den Grabungen eine Rolle zu spielen. So weist das Material aus dem Bereich der Heidenlochstrasse trotz etwa gleich starken Nachweises grösserer Arten wie in den Räumen C und D ein deutlich höheres Durchschnittsgewicht auf.

Bei den unbestimmbaren Resten wurden keine Grössenklassen differenziert. Der Vergleich des Durchschnittsgewichts der unbestimmbaren Knochen zwischen den verschiedenen Räumen zeigt aber ein ähnliches Bild wie der Vergleich auf der Grundlage der bestimmbaren Knochen. Die Zusammensetzungen in beiden Gruppen dürften daher einander entsprechen, d. h. bei Ensembles mit einem hohen Anteil an Knochen eher kleinerer Tierarten darf davon ausgegangen werden, dass auch die unbestimmbaren Reste (darunter die nicht nach Art bestimmten Wirbel und Rippen) vorwiegend von eher kleineren Tieren stammen.

Horizontale und vertikale Gliederung der Befunde: Phaseneinteilung

Wie eingangs erwähnt, liegt der Grossteil der Grabungsfläche im Areal der Insula 5/9 und zu einem geringeren Teil auch im Bereich der Heidenlochstrasse bzw. in der nordöstlich anschliessenden Insula 9. Da der im Areal der Insula 9 liegende Teil der Grabungsfläche keine Befunde erbracht hat, die für das Verständnis der hier besprochenen Strukturen von Belang wären[49], beschränken wir uns an dieser Stelle auf die Analyse der im Westteil der Grabungsfläche angetroffenen Befunde.

Die Befundvorlage richtet sich dabei mehr oder weniger nach den Raumeinheiten des antiken Überbauungsrasters. Als *Raum* bezeichnen wir im Folgenden primär eine Auswertungseinheit, die durch Mauern und/oder den Grabungsrand begrenzt wird. Der Begriff ist also nicht streng funktional zu betrachten, weshalb beispielsweise auch Höfe oder ganze Gebäude als Raum bezeichnet werden. In der Regel bildet ein einzelner Raum folglich eine stratigrafisch geschlossene Einheit, deren Schichtaufbau sich von den daneben liegenden Räumen unterscheidet[50].

Innerhalb dieser Arbeit ist die Raumbezeichnung zudem das primäre Kriterium für die Verteilung des Fundmaterials. Dieses wird raumweise und nach stratigrafischen bzw. relativchronologischen Kriterien, das heisst nach Phasen geordnet, vorgelegt.

Eine *Phase* definiert jeweils eine chronologische Ebene und umfasst die Gesamtheit der Aktivitäten innerhalb eines (Bau-)Zustandes resp. eines bestimmten Zeitraums[51]. Die *Phaseneinteilung* resp. die daraus resultierende Rekonstruktion der baulichen Entwicklung basiert im Wesentlichen auf den von Ludwig Berger und Max Martin festgehaltenen Beobachtungen zur relativen Chronologie am aufgehenden Mauerwerk sowie auf unseren eigenen Beobachtungen an den *in situ* konservierten Befunden.

48 Unter Ausschluss der FKs aus der Grabung 2002.063 beläuft sich das Durchschnittsgewicht der Knochen auf insgesamt 16,2 g, dasjenige der bestimmbaren Knochen auf 19,1 g und das der unbestimmbaren Knochen auf 12,5 g.

49 Dieser liegt zudem zum Teil im Perimeter einer jüngeren (Grabung 1971.055). Vgl. dazu Schwarz 2002, Beil. 1A,16.

50 In diesem Sinne auch Hufschmid 1996, 20; Sütterlin 1999, 19.

51 Vgl. dazu auch Schwarz 2004, 40 ff.; Schucany 2006, 75 Anm. 159; S. 251.

Die Rekonstruktion und Interpretation der *Schichtgenese* von Raum A basiert zur Hauptsache auf den Profilen 1b (Beil. 2C) und 12 (Beil. 2E), dies, weil seinerzeit lediglich der zwischen Mauer 7 und Mauer 2 liegende Teil von Raum A bis auf das Anstehende hinunter untersucht werden konnte.

Die *unter* dem Unterboden des Hypokausts resp. südlich von Mauer 10 gelegenen Teile von Raum A wurden damals nur bis auf die Kote des jüngsten antiken Gehhorizonts (Phase 11) abgebaut. Dieser lag ziemlich genau auf der Kote des Gehniveaus im ersten Schutzbau (1967–2002)[52]. Er wurde bei der Sanierung des Schutzbaus im Jahr 2002 partiell abgebaut und in der Folge mit Kies überdeckt.

Im westlichen Teil von Raum C und im Bereich der Heidenlochstrasse basiert die Rekonstruktion und Interpretation der *Schichtgenese* im Wesentlichen auf der in den Profilen 1b und 1c (vgl. Beil. 2C) dokumentierten Schichtabfolge.

Im Ostteil von Raum C und im Bereich von Raum D konnte aus zeitlichen, technischen und statischen Gründen kein durchgehendes Profil angelegt werden. In Profilskizze 8 (vgl. Abb. 123) sind lediglich die untersten Schichten zeichnerisch dokumentiert worden. Dank der präzisen Notizen von L. Berger und M. Martin auf den entsprechenden FK-Zetteln war es jedoch trotzdem möglich, die sehr komplexe Schichtabfolge (= Profilskizze 15) zu rekonstruieren (vgl. Abb. 237).

Nur bedingt möglich war hingegen die Rekonstruktion der stratigrafischen Situation in Raum B. Wie oben bereits erwähnt, konnte das beim Anlegen des Drainagegrabens und für die Rekonstruktion wichtige Profil 6 anlässlich der Grabung 2002.063 nur kursorisch dokumentiert werden.

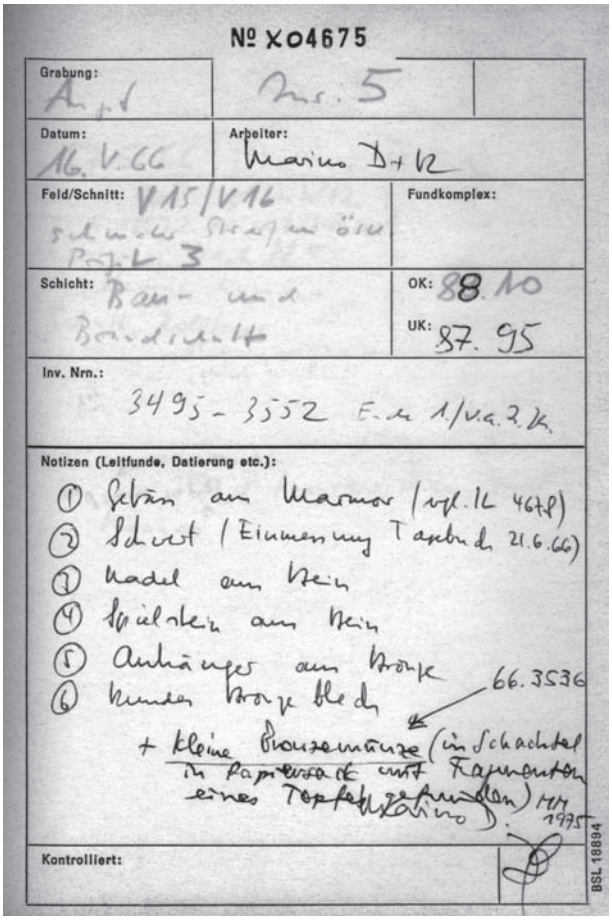


*Abb. 18: Augst BL, Insula 5/9, Raum A (Grabung 1965–1967.052). Die FK-Zettel im sogenannten Kistenbuch bildeten eine wichtige Grundlage und Informationsquelle für die Zusammenstellung der einzelnen Ensembles. Der hier abgebildete Zettel zu FK X04675 verdeutlicht aber auch die Lückenhaftigkeit der Informationen: Auf der Grabung konnten seinerzeit aus Zeitgründen oftmals nicht alle Rubriken ausgefüllt werden. Kapazitätsengpässe im Museum Augusta Raurica führten des Weiteren dazu, dass die einzelnen Fundkomplexe bei der Inventarisation nicht vollständig gesichtet wurden, im konkreten Fall betrifft das u. a. die für die Datierung so wichtige Schlussmünze **622** (vgl. auch Abb. 230,A). **1** Gefäss aus Marmor (vgl. [F]K [X0]4678) [= **732**]. **2** Schwert (Einmessung Tagebuch 21.[0]6.[19]66 [= hier Abb. 8]) [= **665**]. **3** Nadel aus Bein [= Inv. 1966.3542, FK X04675, o. Abb.]. **4** Spielstein aus Bein = **649**. **5** Anhänger aus Bronze [= Inv. 1966.3545, FK X04675, zurzeit nicht auffindbar]. **6** Rundes Bronzeblech [= Inv. 1966.3544, FK X04675, zurzeit nicht auffindbar]. + kleine Bronzemünze [= **622**] (in Schachtel in Papiersack mit Fragmenten eines Topfes [= wahrscheinlich **586** oder **589**] gefunden) M[ax] M[artin] 1975. Marino D [Name des Ausgräbers] Visum von Ruth Steiger (RMA).*

Fundensembles

Als (Fund-)Ensemble bezeichnen wir im Folgenden die Gesamtheit der Funde, die sich einer bestimmten Schicht bzw. einer aufgrund von stratigrafischen Informationen definierbaren Einheit zuweisen lassen. Ein Fundensemble kann demzufolge einen oder mehrere Fundkomplexe (FK) umfassen.

Anlässlich der Grabung 1965–1967.052 wurden 291 Fundkomplexe vergeben, während der Grabung 2002.063 insgesamt 67. Von diesen 358 Fundkomplexen konnten insgesamt 172 einer Schicht und/oder Struktur zugewiesen bzw. einem Fundensemble zugeordnet werden.

Die Zuweisung der FKs aus den Grabungen 1965–1967.052 und 2002.063 und die Zusammenstellung der Fundensembles erfolgten mithilfe einer in monatelanger Kleinarbeit erstellten Datenbank. In dieser wurden sämtliche Angaben auf den FK-Zetteln (Abb. 18) sowie Informationen zu den einzelnen FKs (Inventarnummern, Schichtbeschreibungen, Korrelationen mit Profilschichten etc.) erfasst und mit den Informationen aus dem Wissenschaftlichen Tagebuch, den Grabungsberichten etc. ergänzt. So konnten z. B. die

52 Laut einer Tagebuchskizze wurde lediglich im Bereich des Backofens beim Erstellen eines modernen Punktfundaments eine 0,65 m^2 grosse, 0,70 m tiefe Grube ausgehoben. Unter dem jüngsten Geh- bzw. Schmutzhorizont (Phase 11) kam offenbar nur eine «sicher aufgefüllte, sandig, lehmig, leicht kiesige, kleinschuttige Planieschicht» zum Vorschein. Vgl. Berger/Martin, Tagebuch, 01.02.1967.

mit dem nicht sehr aussagekräftigen bzw. irreführenden Vermerk «Streufunde Begradigen Brandschutt Südböschung» vergebenen FK X06534, FK X06535 und FK X06536 eindeutig dem Ensemble A11-OG zugewiesen werden. Es handelt sich dabei um Funde, die beim Begradigen des Brandschuttes in Profil 10 (= Beil. 2G) geborgen worden sind. Nachweisen liess sich dies, weil sich auf den entsprechenden FK-Zetteln der Vermerk «Brandschutt» fand und aus dem Datum und den Tagebucheinträgen zweifelsfrei hervorging, dass zu diesem Zeitpunkt der untere Teil des Brandschutts noch nicht erreicht worden war.

Ein nicht gelöstes Problem bildete die stratigrafische Zuweisung der jüngsten Münze aus dem Bereich von Raum A, einer Imitation eines zwischen 270 und 273 n. Chr. geprägten Antoninians für Divus Claudius II. (**622**). Diese Münze stammt aus FK X04675, der laut dem Vermerk auf dem FK-Zettel (Abb. 18) – «Brandschutt; Lehm; Mauerschutt; beim Backofen» – sowie der Höhenkoten dem Brandschutt des Obergeschosses (Ensemble A11-OG) zugewiesen werden kann. Da die Münze seinerzeit nicht eingemessen worden war und die entsprechende Fundtüte zudem erst bei der Nachinventarisation des Topfes **589** entdeckt wurde, bleibt ungewiss, ob sie aus dem eigentlichen Brandschutt oder aus dem darüber liegenden Mauerschutt stammt. Weitere Recherchen ergaben dann, dass diese Münze wahrscheinlich in der Übergangszone zwischen dem eigentlichen Brandschutt und dem darüber liegenden Mauerschutt gefunden wurde[53]. Es kann folglich nicht mit Sicherheit entschieden werden, ob diese Münze am Ende von Phase 11, das heisst zusammen mit dem Inventar des Obergeschosses, in den Boden gekommen ist, oder ob sie erst beim Betreiben des Kalkbrennofens (Phase 12) oder beim Aushub des Wall-Graben-Systems der *enceinte réduite* (Phase 13) verloren ging (s. u. S. 181; 243 f.).

Wie erwähnt, wurden anlässlich der Grabungen 1965–1967. 052 und 2002.063 insgesamt 358 Fundkomplexe vergeben. Davon werden 186 im vorliegenden Band nicht berücksichtigt. Es handelt sich dabei um FKs, die später aus «musealen» Gründen vergeben[54] bzw. auf der Grabung vergeben, aber nicht abgebaut wurden[55], sowie um FKs, die steril (fundleer) waren[56], die Fundmaterial aus mehreren Schichten[57] oder Streufunde[58] umfassen oder die aus dem nordöstlich der Heidenlochstrasse liegenden Areal der Insula 9 stammen[59].

Die *Vorlage und Diskussion der Fundensembles* entspricht der Reihenfolge der Phasen. Innerhalb dieser werden die Ensembles jeweils raumweise vorgelegt und besprochen. Die tabellarischen Zusammenstellungen im einleitenden Überblick zu den einzelnen Phasen dienen dabei als Orientierungshilfe (vgl. z. B. Abb. 24).

Die *Bezeichnung der Ensembles* folgt der Kennzeichnung des Raumes und der Phasenzuweisung: So werden beispielsweise die dem Raum A zugewiesenen Ensembles mit dem Buchstaben A bzw. die Fundensembles aus der Heidenlochstrasse mit dem Kürzel HL, gefolgt von der entsprechenden Phasennummer, deklariert.

Nach einer allgemeinen Charakterisierung und einem Kommentar zur zeitlichen Einordnung des Ensembles schliesst der Fundkatalog an. Innerhalb des Katalogs zu den einzelnen Fundgattungen gilt jeweils folgende Reihenfolge: Terra Sigillata, Glanztonware und übrige Keramik. Wie bereits erwähnt, sind dort auch allfällige Passscherbenverbindungen ausgewiesen. Anschliessend folgen die Kleinfunde, das heisst Lampen, Münzen, Glas, Bein, Bronze, Eisen, Varia, Architektur, Wandverputz und die Wandlehmfragmente. Die Bestimmungen der gestempelten Terra Sigillata verdanken wir Brenda Dickinson, Leeds, die Bestimmung der Münzen verdanken wir Markus Peter, Augst.

Im Fundkatalog werden die Funde mit dazugehöriger Inventarnummer und Fundkomplexnummer ausgewiesen. Der Aufbau der Inventarnummer bedarf – bedingt durch die Augster Inventarhistorie – einiger Erklärungen (Abb. 19): Bis ins Jahr 1987 sind die Inventarnummern aus der Jahreszahl und einer Fundlaufnummer zusammengesetzt. Inv. 1967.1 bezeichnet demnach den ersten inventarisierten Fund im Jahr 1967. Bedingt durch den damaligen Usus bei der Inventarisierung, wurden zuweilen mehrere gleichartige Funde mit einer Sammelnummer bezeichnet. Zu-

53 Vgl. hierzu auch Schwarz 1992, 59 Anm. 37 und unten S. 181; 243 f.

54 FK V04756, FK V05018, FK V05019, FK V05056, FK V05057, FK V05080, FK V05143.

55 FK X04667, FK X04704, FK X06216, FK X06250, FK X06537, FK E06782, FK E06784–FK E06789.

56 FK X04629, FK X04640, FK X04725, FK X04741, FK X04748, FK X06237, FK X06239, FK X06241, FK X06506, FK X06509, FK E06086, FK E06088, FK E06098, FK E06775, FK E06794, FK E07752, FK E07753, FK E07755, FK E07757, FK E07760–FK E07770.

57 FK X04643, FK X04654–FK X04657, FK X04660, FK X04661, FK X04693, FK X04720, FK X04729, FK X04740, FK X06206, FK X06210, FK X06212, FK X06221–FK X06223, FK X06232, FK X06233, FK X06240, FK X06243, FK X06533, FK Z01670, FK Z01671, FK Z01675, FK E06082–FK E06085, FK E06087, FK E06089–FK E06091, FK E06097, FK E06099, FK E06770, FK E06779–FK E06781, FK E06792, FK E06793.

58 FK X04612, FK X04653, FK X04665, FK X04679, FK X04681, FK X04706, FK X04730, FK X04745, FK X06229, FK X06238, FK X06501, FK X06507, FK X06527, FK X06531, FK X06540, FK X06549, FK E06100.

59 FK X04603–FK X04605, FK X04607, FK X04609–FK X04611, FK X04613, FK X04615–FK X04620, FK X04622, FK X04623, FK X04626, FK X04630–FK X04633, FK X04635, FK X04637, FK X04641, FK X04642, FK X04646, FK X04647, FK X04651, FK X04662, FK X04672, FK X04673, FK X04676, FK X04683, FK X04684, FK X04686, FK X04688, FK X04694, FK X04701–FK X04703, FK X04705, FK X04707–FK X04709, FK X04711, FK X04719, FK X04721–FK X04723, FK X04726, FK X04727, FK X04732, FK X04733, FK X04735, FK X04742–FK X04744, FK X04746, FK X04749, FK X06207–FK X06209, FK X06215, FK X06219, FK X06224–FK X06226, FK X06234, FK X06235, FK X06245, FK X06246, FK X06248, FK X06249, FK X06502, FK X06504, FK X06505, FK X06511, FK X06525, FK X06532.

Beispiele für Inventarnummern	Bemerkung
1967.1 1967.2 etc.	Reguläre Inventarnummern aus dem Jahr 1967.
2002.063.E06092.1 2002.062.E06092.2 etc.	Reguläre Inventarnummern aus dem Jahr 2002.
1967.11517b.c.e.f	Inventarnummer aus dem Jahr 1967, die ein Gefäss mit mehreren dazugehörigen Teilen kennzeichnet.
2002.063.E06092.30a–g	Inventarnummer aus dem Jahr 2002, die ein Gefäss mit mehreren dazugehörigen Teilen kennzeichnet.
1966.883B 1966.883C 1966.883D	Bei diesen Nummern handelt es sich meistens um eine Nachinventarisierung: Die Grossbuchstaben B, C und D, die an die Nummer 1966.883 angefügt wurden, weisen weitere Funde oder weitere Gefässindividuen aus, die nichts mit dem Fund 1966.883 zu tun haben müssen.
1966.883A.E	Nachinventarisierte Inventarnummern (siehe oben), die aber mit den Teilen A und E beispielsweise zu einem Gefässindividuum gerechnet werden können.
1966.3518a	Inventarnummer kennzeichnet einen Fund, der im Jahr 1966 mit weiteren Teilstücken – beispielsweise mit weiteren Bruchstücken eines Gefässes – inventarisiert worden ist. Dabei handelt es sich um eine Sammelnummer oder auch um einen Gefässteil, der bei der Inventarisierung fälschlicherweise einem Gefäss zugeordnet worden ist. Das Bruchstück a konnte jedoch bei der Auswertung als eigenes Gefässindividuum ausgewiesen werden. In diesem Fall bestehen meistens weitere Nummern wie zum Beispiel 1966.3518b.

Abb. 19: Augst BL, Insula 5/9 (Grabungen 1965–1967.052 und 2002.063). Synopse mit den verschiedenen Bezeichnungen der Inventarnummern im Inventar des Museums Augusta Raurica.

sätzlich haben später ausgeführte Nachinventarisierungen weitere Ungereimtheiten verursacht. Ab dem Jahr 1987 werden in der Inventarnummer die dazugehörigen Grabungs- und Fundkomplexnummern angegeben: So beispielsweise zeigt Inv. 2002.063.E06092.1 den ersten Fund aus dem Fundkomplex E06092 der Grabung 2002.063 an. In Abbildung 19 sind verschiedene Möglichkeiten aufgezeigt, wie sich Inventarnummern im Fundkatalog zusammensetzen können.

Im Fundkatalog werden die Zitate der andernorts bereits publizierten Funde nach dem Vermerk «Publ.:» aufgeführt. Monografisch vorgelegt wurden die Statuetten von Annemarie Kaufmann-Heinimann (1977 und 1998), die Fibeln (1979), Löffel (1992) und metallenen Möbelteile (2001) sowie Schmuck (1990) und Toilettgerät (1986) von Emilie Riha, die Beinartefakte von Sabine Deschler-Erb (1998) und die Militaria von Eckhard Deschler-Erb (1999). Die Schlangentöpfe sind durch Debora Schmid (1991) publiziert, die Amphoren durch Stefanie Martin-Kilcher (1987/1994) und das Glas durch Beat Rütti (1991). Hans-Peter Otten hat die Wandmalereifragmente (1994) bearbeitet, Gaële Féret und Richard Sylvestre die Graffiti (2008) und Ludwig Berger die Thekenbeschläge (2002). In kürzeren Artikeln wurden die Steingefässe durch Sylvia Fünfschilling (1989), die Schlösser durch Alex R. Furger, Werner Hürbin und Silvio Falchi (1990), ausgewählte Militärfunde durch Stefanie Martin-Kilcher (1985) und die Milchkochtöpfe durch Alex R. Furger (1985) besprochen. Alle diese Funde werden in den Kommentaren zu den einzelnen Ensembles fallweise ausführlicher diskutiert; andernfalls finden sich weitere Informationen in den entsprechenden Publikationen.

Dem Fundkatalog folgt eine statistische Übersicht mit allen Keramikfunden aus dem entsprechenden Ensemble (vgl. z. B. Abb. 27). In diesen tabellarischen Zusammenstellungen sind alle – auch die nicht abgebildeten – Anteile der Terra Sigillata, der Glanztonkeramik, der helltonigen und der grautonigen Gebrauchskeramik sowie der Grobkeramik nach Gefässformen erfasst (Anzahl Randscherben, Wandscherben, Bodenscherben und Henkel). In der Rubrik MIZ wird zudem die Mindestindividuenanzahl der Gefässe angezeigt, die anhand der vorhandenen Scherben errechnet wurde[60].

Die Anzahl der jeweils abgebildeten Gefässe steht nicht in einem quantitativen Verhältnis zur errechneten Mindestanzahl von Gefässen innerhalb der einzelnen Ensembles. Es wurde vielmehr versucht, jeweils eine repräsentative Auswahl unter den Keramikfunden eines einzelnen Ensembles zeichnerisch darzustellen und – wenn immer möglich – jeden Keramiktyp mit mindestens einer Zeichnung zu zeigen.

60 Vgl. Schmid 2008, 156 Anm. 333.

Befundauswertung und Fundvorlage

Phase 1: Geologie und Topografie

Das Areal der Insula 5/9 liegt am südlichen Rand der dreieckförmigen Schotterebene, die den etwa 1 km langen und an der südlichen Basis etwa 1,2 km breiten, von Rhein, Ergolz und Violenbach eingefassten Perimeter der Augster Oberstadt bildet (Abb. 20)[61]. Nordwestlich davon liegt das heute spornartig, vor dem gegen Ende des 19. Jahrhunderts einsetzenden Kiesabbau[62] aber noch kopfartig ausgebildete Kastelenplateau, das den Ausläufer des höchsten, auf rund 293,00 m ü. M. gelegenen Niederterrassenfelds des Rheins darstellt[63].

Der Untergrund des Niederterrassenfelds besteht aus quartären Lockergesteinen, die im nördlichen Abschnitt eine Mächtigkeit von nahezu 22 m erreichen. Sie bestehen vorwiegend aus grauen sandigen Kiesen mit dem typischen alpinen Geröllspektrum des Rheins (Abb. 21; 22)[64], wobei vereinzelt auch reine Gerölllagen sowie feinsandige Einschaltungen auftreten können. Ein direkter Vergleich mit Profilaufschlüssen der verschiedenen Grabungen auf dem Kastelenplateau[65] verdeutlicht im Übrigen, dass der im Dach der Rheinschotter auftretende orange bis rötlich-braune Verwitterungshorizont[66] im Bereich der Insulae 5/9 und 9 zum Teil noch erhalten war.



Abb. 20: Rekonstruktionszeichnung der topografischen Situation vor der Gründung der Colonia Augusta Raurica (Augst/BL und Kaiseraugst/AG). Die Lage der sogenannten Taberne (Insula 5/9, Raum A) ist mit einem Stern markiert. Blick nach Norden.



Abb. 21: Augst BL, Insula 5/9, Raum C (Grabung 1965–1967.052). Ausschnitt aus Profil 1b (vgl. Beil. 2C). Im Bereich der ehemaligen Hangkante war der braune Verwitterungslehm, der den hellen Kies der Niederschotterterrasse überlagert, nur noch punktuell erhalten.



Abb. 22: Augst BL, Insula 5/9, Raum A (Grabung 2002.063). Blick auf die Oberkante des anstehenden Niederterrassenschotters der Phase 1 im vorderen (strassenseitigen) Teil von Raum A (vgl. auch Beil. 2H). Während der Phasen 2–11 hat sich – wie auch im hinteren Raumteil (vgl. Beil. 2E) – lediglich eine etwa 1 m mächtige Stratigrafie gebildet.

61 Vgl. Martin 1979, Abb. 3.

62 Vgl. dazu das Vorwort von Fünfschilling 1993; Stehlin 1994, 13; Clareboets 1994, 247 Abb. 11; Schwarz 1994, 44 f., bes. Abb. 5; Hufschmid 1996, 10 f. Abb. 1; Sütterlin 1999, 12 f. Abb. 4.

63 Niveau A1 nach Wittmann 1961. Vgl. dazu auch Rentzel 1994, Abb. 1a; Rentzel/Schwarz 2004.

64 Vgl. auch Bitterli-Brunner 1987, 181, bes. Abb. 127.

65 Vgl. z. B. Schwarz 2004, Beil. 2; 11,E.F; 12,D.E; 13,E.F; 14,E sowie Rentzel/Schwarz 2004, 45 f.

66 Es handelt sich dabei um eine rotgefärbte Schotterbraunerde, die wir im Folgenden als Verwitterungslehm bezeichnen.

Phase 2: Erste Aktivitäten an der Hangkante

Überblick

Ab Phase 2 lassen sich im Bereich der stark nach Süden abfallenden Hangkante erste Baumassnahmen in Form der Terrassierungsmauer (MR 1) fassen (Abb. 23; 24). Deren Bau steht vermutlich im Zusammenhang mit der Nutzbarmachung des zwischen dem Hangfuss und der Neuntürmestrasse liegenden Areals. Der zwischen der Heidenlochstrasse und der Terrassierungsmauer liegende Teil des Abhangs lag brach und diente offensichtlich als Abfalldeponie.

Raum A

Befund

In Phase 2 erfolgte der Bau der ältesten Mauer 1 (MR 1). Sie ist unter den jüngeren Hangstützmauern (MR 1A–MR 1C)

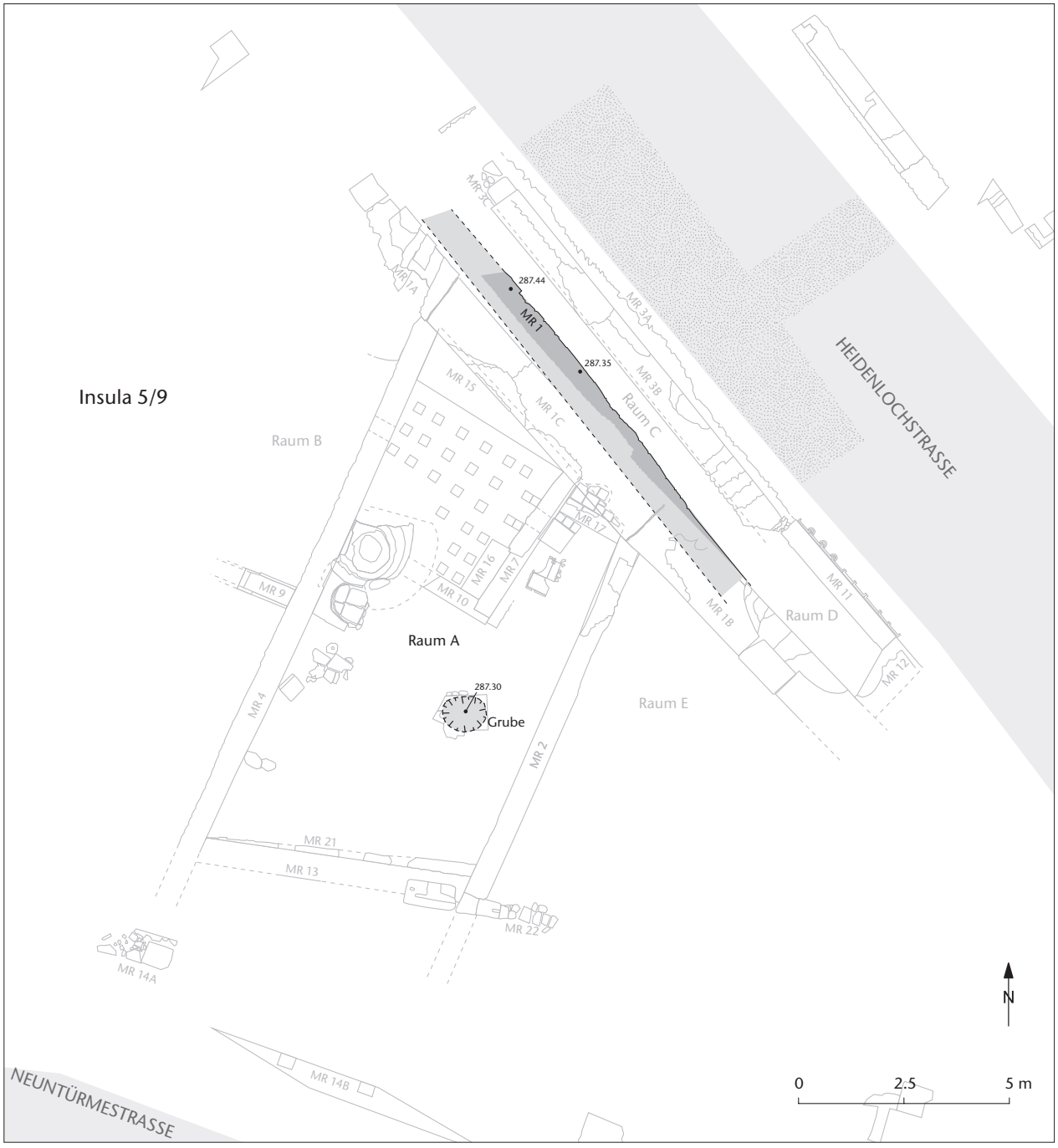


Abb. 23: Augst BL, Insula 5/9 (Grabungen 1965–1967.052 und 2002.063). Übersichtsplan mit den Befunden der Phase 2. M. 1:150.

Raum A	Raum B	Raum C	Raum D	Raum E	Hangkante/ Heidenlochstrasse
• Bau der Terrassierungsmauer (MR 1) • Indet. Nutzung (Grube) • Planie (Beil. 2H,2; Beil. 2E,3) • Gehhorizont (Beil. 2E,2)	• Keine Befunde (nicht untersucht)	• Ablagerung von Abfall an der Hangkante • humose Abfallschicht (Beil. 2C,5; Abb. 96,5)	• Keine Befunde (durch jüngere antike Eingriffe zerstört)	• Keine Befunde (nicht untersucht)	• Bau der Terrassierungsmauer (MR 1) • Ablagerung von Abfall an der Hangkante • Baugrube der Terrassierungsmauer (MR 1) (Beil. 2C,3) • In die Baugrube der Terrassierungsmauer (MR 1) nachgerutschter Niederterrassenschotter (Beil. 2C,4)
• Ensemble A2 (Abb. 28) Datierung: um 40–60 n. Chr.					• Ensemble HL2 (Abb. 31) Datierung: um 10/20–50/60 n. Chr.

Abb. 24: Augst BL, Insula 5/9 (Grabungen 1965–1967.052 und 2002.063). Synoptische Darstellung der Befunde und Fundensembles der Phase 2.

noch auf längerer Strecke erhalten (Abb. 25; 26; vgl. auch Profil 1b auf Beil. 2C). Aufgrund der topografischen Situation und anderer Indizien (s. u. S. 41) ist zu vermuten, dass es sich am ehesten um eine Terrassierungsmauer gehandelt hat. Mauer 1 sollte sehr wahrscheinlich ein Nachrutschen des Niederterrassenschotters verhindern, nachdem die natürliche Hangkante im talseitigen Bereich zum Teil abgetragen und im hangseitigen Bereich stärker angeböscht worden war.

Die während eines längeren Zeitraums entstandene Abfallschicht (Beil. 2C,5) zeigt, dass der Zwischenraum zwischen Mauer 1 und dem angeböschten Niederterrassenschotter nach dem Bau von Mauer 1 nicht verfüllt worden ist. Dies spricht dafür, dass Mauer 1 nicht sehr hoch gewesen ist.

Der Zeitpunkt des Baus von Mauer 1 lässt sich nicht genauer bestimmen, da kein eigentlicher Bauhorizont beobachtet werden konnte. Das Fundmaterial aus der Abfallschicht (vgl. Ensemble HL2; Abb. 30; 31) lässt jedoch den Schluss zu, dass Mauer 1 frühestens um 10/20 n. Chr. errichtet wurde.

Wozu das westlich (talwärts) von Mauer 1 liegende Areal in Phase 2 genutzt wurde, ist nicht genau eruierbar. Gesichert ist lediglich, dass der talwärts liegende Teil der Hangkante im Zusammenhang mit dem Bau von Mauer 1 abgetragen und ausgeebnet worden ist. Letzteres legt u. a. der direkt auf dem gekappten Kies liegende fundleere Gehhorizont nahe (Beil. 2E,2).

Eine in den anstehenden Kies eingetiefte und mit «grauschwarz verschmutztem, brandigem Lehm» verfüllte Grube deutet darauf hin, dass der westliche Teil des Areals während Phase 2 in irgendeiner Form genutzt wurde[67].



Abb. 25: Augst BL, Insula 5/9, Raum C (Grabung 1965–1967.052). Blick auf die Abbruchkrone der Terrassierungsmauer (MR 1). Rechts die im Zuge von Reparaturmassnahmen in Phase 4 errichtete Hangstützmauer (MR 1C).

67 Berger/Martin, Tagebuch, 27.06.1967. Die unter der Feuerstelle F1 (Phase 3; vgl. Abb. 35) liegende Grube war offenbar auch mit Kalkbruchsteinen verfüllt. Diese dienten möglicherweise als Substruktion der Feuerplatte.



Abb. 26: Augst BL, Insula 5/9, Raum C (Grabung 1965–1967.052). Blick an die Nahtstelle zwischen der Terrassierungsmauer (MR 1) und der in Phase 4 errichteten Hangstützmauer (MR 1C). Gut zu erkennen ist, dass die talseitige Mauerschale der Terrassierungsmauer beim Bau der Hangstützmauer zerstört worden ist.

auf und ist im Ton hell, fast weiss. Weitere mit unserem Fund gut vergleichbare Stücke stammen vom Magdalensberg (A) und vom Auerberg (D)[73]. Zur Herkunft dieser keramischen Funde verweisen die Autoren auf die zahlreichen ober- und mittelitalischen Produktionszentren[74]; eine grosse Anzahl von bleiglasierten Gefässen mit Barbotinedekor gelangten auch aus mittelgallischen Produktionsorten unter anderem nach Oberwinterthur[75]. Ohne Analyse lassen sich unsere Gefässfragmente nicht genauer einer Produktionsstätte zuordnen.

Eine Datierung dieses Barbotineschälchens in die Zeit zwischen 40 und 60 n. Chr. wird durch die wenigen Mitfunde gestützt: Der Terra-Sigillata-Teller **1** der Form Drag. 15/17 und die Reliefschüssel der Form Drag. 29 (o. Abb.) sind in Fundensembles aus neronisch-frühflavischer Zeit gut vertreten[76]. In diesen Zeitraum passt auch die Rippenschale **3** der Form AR 2.2/Isings 3b sehr gut[77].

Form/Typ	RS	BS	WS	HE	Total	MIZ
TS, südgallisch						
Drag. 15/17	1				1	1
Drag. 29			1		1	1
Dünnwandkeramik						
Becher, glasiert	1				1	1
Total Fragmente/MIZ	**2**		**1**		**3**	**3**

Abb. 27: Augst BL, Insula 5/9, Raum A (Grabung 1965–1967.052). Ensemble A2: Fundstatistik zur Keramik (FK Z01669). MIZ = RS, BS, WS, HE.

Ensemble A2

Allgemeine Charakterisierung: Die wenigen Funde in Ensemble A2 (Abb. 27; 28) stammen aus der in Phase 2 angelegten Grube in Raum A. Leider liegen nur sehr wenige Keramikfragmente vor, sodass eine präzise zeitliche Einordnung des Ensembles schwierig ist. Die Vorlage der Funde erschien in erster Linie deswegen sinnvoll, weil sich in der Grubenverfüllung auch ein Schälchen mit Bleiglasur fand.

Datierung des Fundmaterials: Das halbkugelige Schälchen mit geradem Rand **2** weist gelbe, glasierte, halbmondförmige und stark plastisch ausgeprägte Barbotineschuppen auf. Das Gefäss ist hart gebrannt, die Glasur auf der Aussenseite ziemlich dick aufgetragen und irisiert ein wenig. Es handelt sich bei dem Gefäss mit zimtfarbenem Ton, brauner Oberfläche und den aus weissem Ton modellierten Barbotineschuppen um ein aus zwei verschiedenen Tonqualitäten hergestelltes Schälchen. Dies ist selten[68]; meist weist die bleiglasierte Ware, die aus Augst[69], aus Vindonissa[70] oder auch aus Chur[71] und Oberwinterthur[72] bekannt ist, eine olivgrüne bis gelbe Glasur auf den Aussenseiten

68 Hochuli-Gysel 1998, 67; 72. Anne Hochuli-Gysel verweist auf die Technik der Farbakzentuierung: Entweder wird, wie bei unserem Stück, die Barbotineauflage auf der Wandung aus einem anderen Ton als das Gefäss aufgelegt und dann das gesamte Gefäss glasiert. Oder es können die aus dem gleichen Ton wie das Gefäss gearbeiteten Barbotinefäden vor dem Brand mit einer braunroten Engobe bemalt werden, was ebenfalls eine Zweifarbigkeit ergibt.

69 Schucany u. a. 1999, 42; 152 Taf. 65 (Fundensemble D.4 Augst 3); Fünfschilling 2006, 147.

70 Ettlinger/Simonett 1952, 34 f. Taf. 30.

71 Hochuli-Gysel u. a. 1986, 91 f. Taf. 20; Hochuli-Gysel u. a. 1991, 110 Taf. 28,19.

72 Hochuli-Gysel 1998, 63–81 Taf. 19–25.

73 Magdalensberg: Schindler-Kaudelka 1980, 54 f. Taf. 70,5; Auerberg: Flügel 1999, 13 Taf. 1,A1. Die Literaturhinweise verdanke ich Eleni Schindler-Kaudelka, Magdalensberg.

74 Schindler-Kaudelka 1980, 55; Flügel 1999, 13. Vgl. ferner Desbat 1986, 106 Taf. 2,1.

75 Hochuli-Gysel 1999, 43; Hochuli-Gysel 1998, 72.

76 Oswald/Pryce 1966, 67; 175; Schucany u. a. 1999, 151 f. Taf. 62–66 (Fundensembles D.3 Augst 2 und D.4 Augst 3).

77 Rütti 1991/1, 31; 40 Abb. 12.

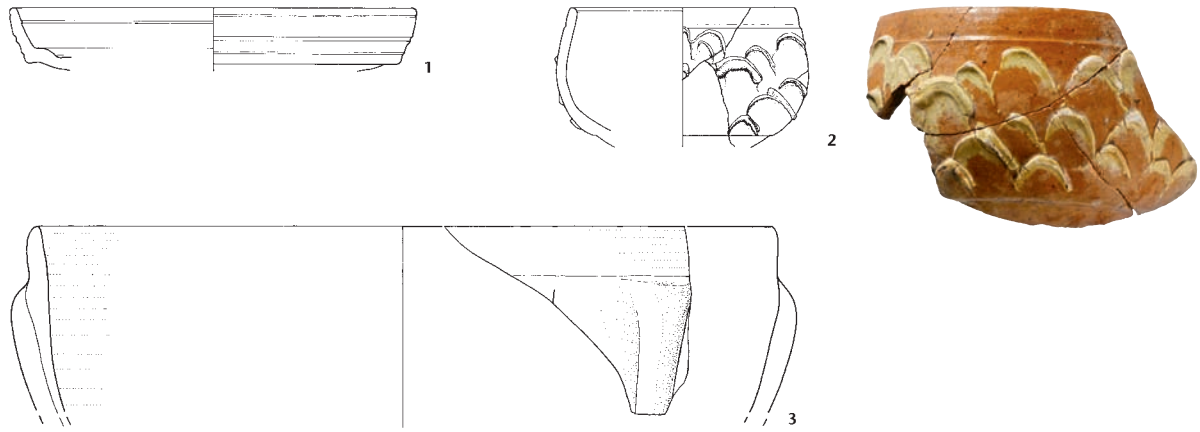


*Abb. 28: Augst BL, Insula 5/9, Raum A (Grabung 1965–1967.052). Ensemble A2: Funde aus der Verfüllung einer kleinen, in den anstehenden Niederterrassenschotter eingetieften Grube unter der Feuerstelle F1. M. 1:3 (Glas, Foto M. 1:2). **1** Terra Sigillata, **2** Glanztonkeramik, **3** Glas.*

Katalog der Funde aus Ensemble A2 (Abb. 28)
Terra Sigillata
1 RS, TS (südgallisch), Teller Drag. 15/17. – Inv. 1967.10388, FK Z01669.

Übrige Keramik
2 RS, glasierte Ware, Schälchen mit Barbotineverzierung. Ton zimtfarben bis braun, innen und aussen hellbraun glasiert, Barbotineverzierung aus weissem Ton und gelbgrün glasiert. – Inv. 1967.10389, FK Z01669. – Passscherbe: Inv. 2002.063. E07251.76a–c (Ensemble A3-2).

Glas
3 RS, tiefe Rippenschale. AR 2.2/Isings 3b. Blaugrün, durchscheinend mit vereinzelten Blasen. – Inv. 1967.10391, FK Z01669. – Publ.: Rütti 1991/2, Kat. 191.

Nicht abgebildete Funde
Keramik
– Vgl. Abb. 27.

Lampe
– Stark fragmentierte Bildlampe. Ton hellbeige, fein, mit roten Überzugsresten. – Inv. 1967.10390, FK Z01669.

Die Tierknochen aus Ensemble A2 (Elisabeth Marti-Grädel)
In Ensemble A2 (FK Z01669) liegen insgesamt 13 Knochenreste vor, von denen lediglich vier bestimmbar waren (Abb. 303). Es handelt sich dabei um je zwei Fragmente von Hausrind und Hausschwein (vgl. Anhang, Tabellen 11–17).

Ensemble A2 datiert in die Zeit zwischen 40 und 60 n. Chr. Wegen der kleinen Fundmenge wurden die Tierknochen dieses Ensembles bei der räumlichen und der diachronen Auswertung der Knochenreste aus Insula 5/9 nur für den Vergleich zwischen den Fundbereichen berücksichtigt (vgl. Exkurs 2, unten S. 319 ff.).

Heidenlochstrasse

Befund
Die humose und stark mit Tierknochen und Keramikfragmenten durchsetzte Abfallschicht wurde nur nordöstlich von Mauer 1 beobachtet (Beil. 2C,5). Sie liegt auf dem beim Bau von Mauer 1 stark abgeböschten Niederterrassenschotter (Abb. 29). Die Mächtigkeit des Schichtpakets und die topografische Situation lassen darauf schliessen, dass die Ablagerung der Siedlungsabfälle von der Nordwest-Südost verlaufenden Heidenlochstrasse aus erfolgte und sich über einen längeren Zeitraum erstreckte[78]. Für Letzteres spricht auch das Ensemble HL2, das in die Zeit zwischen 10/20 und 50/60 n. Chr. datiert.

Ensemble HL2
Allgemeine Charakterisierung: Der Abfallschicht lassen sich insgesamt neun Fundkomplexe zuordnen (Abb. 30). Das Material aus dem Ensemble HL2 zeichnet sich durch eine grössere Anzahl von Tellern und Schälchen aus früher südgallischer Produktion und aus Terra-Sigillata-Imitationen aus (Abb. 31). Neben der südgallischen Sigillata ist das Ensemble gut mit Terra-Sigillata-Importen aus Italien/Lyon[79] durchsetzt. Die restliche Gebrauchskeramik umfasst verschie-

78 In diesem Sinne auch Berger/Martin, Tagebuch, 08.09.1966: «... ist als ‹Schutthügel-ähnliche› Hangschicht zu interpretieren». – Zweifel an einer Ansprache als ursprüngliche Hangkante äusserte auch L. Berger. Vgl. Berger/Martin, Tagebuch, 12.09.1966: «Muss der ursprüngliche Abhang, dessen Untergrund aus gewachsenem Kies besteht, wirklich so steil gewesen sein? Oder wurde der Abhang im unteren Teil zusätzlich abgeschrägt?» – Nach heutigen Erkenntnissen ist der im oberen Bereich von Profil 1b nachgewiesene Verwitterungslehm über dem anstehenden Kies (Beil. 2C,2) offensichtlich gekappt worden. Vgl. dazu auch Rentzel/Schwarz 2004, 45 f.

79 Vgl. hierzu: von Schnurbein 1990, 17–20.



Abb. 29: Augst BL, Insula 5/9, Raum C (Grabung 1965–1967.052). Ausschnitt aus Profil 1b (Beil. 2C). Links ist der helle Kies der Niederschotterterrasse sichtbar, der vom Ausläufer der braunen, während Phase 2 abgelagerten Abfallschicht überlagert wird. Die Abfallschicht bildete sich hinter der in Phase 3 abgebrochenen Terrassierungsmauer (MR 1). Rechts im Bild die in Phase 4 errichtete Hangstützmauer (MR 1C). Über der Abbruchkrone der Terrassierungsmauer ist der untere Teil der in Phase 5 eingebrachten Sickerpackung (Drainage) zu erkennen.

Form/Typ	RS	BS	WS	HE	Total	MIZ
TS, Arretina						
Consp. 18.2	1				1	1
Consp. 12.4	2				2	2
Teller Consp. 4/6?	1				1	1
Consp. 15.1.1	1				1	1
Consp. 22.1–3	1				1	1
Consp. 28.2?	1				1	1
Ritterling 9?			1		1	1
Arretina unbestimmt		5			5	5
TS, südgallisch						
Drag. 15/17	13				13	10
Drag. 17	5				5	2
Drag. 18	3				3	1
Drag. 24/25	3		1		4	3
Drag. 27	2		1		3	2
Drag. 29			3		3	2
Drag. 29 oder 37?			1		1	1
Form unbestimmt		1			1	1
TS-Imitation						
Drack 4	1				1	1
Drack 2Aa	2				2	2
Drack 3A	1				1	1
Drack 10b	1				1	1
Form unbestimmt	5				5	3
Drack 20–22						
Drack 20	9		1		10	10
Drack 21	4		1		5	2
Übrige Keramik						
Helltonige Gebrauchskeramik						
Becher	5	2	1		8	1
Pompejanisch-rote Platte	2				2	2
Teller mit eingeschnürtem Rand	8				8	6
Honigtopf				1	1	1
Krug	2				2	2
Grautonige Gebrauchskeramik						
Teller mit Randleiste	5				5	5
Steilrandtopf/Schultertopf	10				10	5
Tonne/Topf	7	1	1		9	9
Scheibengedrehte Kochkeramik	5				5	5
Dolium	1				1	1
Reibschalen mit Steilrand	4				4	2
Amphoren	1				1	1
Handgemachte Kochkeramik						
Kochteller	2		5		7	2
Kochtöpfe	3	1	1		5	4
Total Fragmente/MIZ	**111**	**10**	**17**	**1**	**139**	**101**

Abb. 30: Augst BL, Insula 5/9, Heidenlochstrasse (Grabung 1965–1967.052). Ensemble HL2: Fundstatistik zur Keramik (FK X04728, FK X06230, FK X06231, FK X06247, FK X06510, FK X06512, FK X06513, FK X06516, FK X06518). MIZ = RS, BS, WS, HE.

dene Teller, Töpfe und handgemachte Keramik. Becher, Krüge, scheibengedrehte Kochtöpfe, Dolien und Amphoren sind in diesem Ensemble marginal vertreten. Auffällig ist, dass Schüsseln nur aus Terra Sigillata und Terra-Sigillata-Imitationen bestehen.

Datierung des Fundmaterials: Die Sigillataformen umfassen ein weites Spektrum aus arretinischen und aus südgallischen Produktionen. Dabei dominiert die südgallische Sigillata die arretinische Sigillata mit einem Verhältnis von 11:4. Auffallend sind bei der Arretina die Teller **4** und **5** der Formen Consp. 12.4 und Consp. 18.2. Während der Teller Consp. 12.4 schon in mittelaugusteischer Zeit auftreten kann, erreichen die Teller Consp. 18.2 sowie auch die Schälchen **12** und **13** der Formen Consp. 15.1.1 und Consp. 22.1–3 auch noch die spätaugusteisch-frühtiberische Zeit[80]. Ein jüngerer Schwerpunkt wird durch die Terra Sigillata aus

80 Ettlinger u. a. 1990, 72; 78; 82; 90.

Südgallien gegeben: Die südgallischen Fragmente stammen von Schälchen **15–19** der Form Drag. 24/25[81] und Drag. 27, von Tellern **7–11** der Form Drag. 15/17, Drag. 17 sowie Drag. 18 und datieren in das zweite Drittel des 1. Jahrhunderts. Die übrige Keramik lässt sich gut in die durch die Terra Sigillata gegebene Zeitspanne einordnen: so etwa die Teller **22–24** und die Schale **25** aus Terra-Sigillata-Imitation sowie die Schüsseln **26–29** der Form Drack 20–21[82]. Auch die Teller mit eingebogenem Rand **34** und **35** oder mit Randleiste **32**, die pompejanisch-rote Platte **31**, die Tonnen mit Sichelrand **40** und **41**, die grobkeramische Ware wie die Kochtöpfe mit gerillter Schulter **44** und **45**, die handgemachten Kochtöpfe **46** und **47**, Kochteller oder Dreibeingefässe **48** und **49** sowie zwei Exemplare von Reibschüsseln mit Steilrand **51** und o. Abb. verweisen dieses Ensemble in die Zeit um 10/20–50/60 n. Chr.[83] In diesen erarbeiteten Zeithorizont fügt sich auch eine gegitterte Aucissa-Fibel **56** vom Typ Riha 5.4 bestens ein[84].

Die jüngere der beiden Münzen **53** und **54**, ein halbierter As des Augustus oder Tiberius, liefert einen – wie die keramischen Funde zeigen – verhältnismässig weit zu fassenden *terminus post quem* von 16 v.–22 n. Chr. für die Ablagerung der Siedlungsabfälle.

Abschliessend darf festgestellt werden, dass der Wechsel der Terra-Sigillata-Qualitäten von der Arretina zur südgallischen Sigillata zwar noch nicht vollzogen ist, dabei aber das Ensemble in sich – gestützt durch die Gebrauchskeramik – recht homogen gestaltet ist. Grundsätzlich sind die Funde des Ensembles HL2 gut mit einer Fundvorlage aus der Militäranlage in der Unterstadt von Augusta Raurica zu vergleichen. Es handelt sich um eine Fundvergesellschaftung, die von den Bearbeitern – unterstützt durch einen guten *terminus post quem* einer Münzreihe – in die claudische Zeit datiert wurde[85].

Katalog der Funde aus Ensemble HL2 (Abb. 31)

Terra Sigillata

4 RS, TS (Arretina), Teller Consp. 12.4/Haltern 1. – Inv. 1966.3979, FK X06513.

5 RS, TS (Arretina), Teller Consp. 18.2/Haltern 2. – Inv. 1966.3951, FK X06512.

6 RS, TS (Arretina), Teller Consp. 4/6? Sehr spezielle Innenrillung auf dem Rand. – Inv. 1966.4493, FK X06510.

7 RS, TS (südgallisch), Teller Drag. 15. – Inv. 1966.3984, FK X06513.

8 3 RS, TS (südgallisch), Teller Drag. 15/17. – Inv. 1966.5336, FK X06516; Inv. 1966.4999, FK X06231; Inv. 1966.3983, FK X06513.

9 2 RS, TS (südgallisch), Teller Drag. 17. Mit Resten einer Spiralauflage. – Inv. 1966.3980a.b, FK X06513.

10 3 RS, TS (südgallisch), Teller Drag. 17. Auf feinem Riffeldekor liegt eine Spiralauflage. – Inv. 1966.5315a–c, FK X06518.

11 3 RS, TS (südgallisch), Teller Drag. 18. – Inv. 1966.5337a–c, FK X06516.

12 RS, TS (Arretina), Schälchen Consp. 22.1–3/Haltern 8. – Inv. 1965.4374, FK X04728.

13 RS, TS (Arretina), Schälchen Consp. 15.1.1/Haltern 10. – Inv. 1966.3986, FK X06513.

14 RS, TS (Arretina), Schälchen Consp. 28.2. – Inv. 1966.5340, FK X06516.

15 RS, TS (südgallisch), Schälchen Drag. 24/25. – Inv. 1966.3985, FK X06513.

16 RS, TS (südgallisch), Schälchen Drag. 24/25. Auf feinem Riffeldekor liegt eine Spiralauflage. – Inv. 1966.5316, FK X06518. – Vgl.: Meyer-Freuler 2003, Taf. 30,Ke 519.

17 RS, TS (südgallisch), Schälchen Drag. 24. Auf feinem Riffeldekor liegt eine Spiralauflage. – Inv. 1966.5339, FK X06516.

18 RS, TS (Arretina oder südgallisch?), Schälchen Consp. 31.1.2 oder Drag. 27? Mit Riffeldekor. – Inv. 1966.5317, FK X06518. – Vgl.: Ettlinger 1949, 22 Taf. 2,17.

19 RS, TS (südgallisch), Schälchen Drag. 27. – Inv. 1966.3989, FK X06513.

20 2 WS, TS (südgallisch), Schüssel Drag. 29. – Inv. 1966.5319, FK X06518; Inv. 1966.3990, FK X06513.

21 WS, TS (südgallisch), Schüssel Drag. 29. – Inv. 1966.5344, FK X06516.

Übrige Keramik

22 RS, Teller Drack 4. Ton hellorange mit rotem Überzug auf der Aussenseite. – Inv. 1966.5003, FK X06231.

23 RS, Teller Drack 2Aa. Ton hellorange mit rotem Überzug auf der Aussen- und Innenseite. – Inv. 1966.5004, FK X06231.

24 RS, Teller Drack 3A. Ton hellorange mit rosa-pastosem, glänzendem Überzug auf der Aussen- und Innenseite. – Inv. 1966.5321, FK X06518.

25 RS, Schale Drack 10b. Ton hellrot mit wenig erhaltenem Überzug. Über dem Rand und auf der Aussenseite starke Brandspuren. – Inv. 1966.5005, FK X06231.

26 RS, Schüssel Drack 20. Ton hellorange mit hellorangem Überzug auf der Aussenseite. Stark abgeplatzte Oberfläche. – Inv. 1966.5012, FK X06231.

27 RS, Schüssel Drack 20. Ton hellgrau mit schwarzem Überzug auf der Aussen- und Innenseite. – Inv. 1966.5322, FK X06518.

28 3 RS, WS, Schüssel Drack 21. Ton hellorange mit hellrotem Überzug auf der Aussenseite. – Inv. 1966.5006, FK X06231; Inv. 1966.3953.3954, FK X06512; Inv. 1966.5345, FK X06516.

29 RS, Schüssel Drack 21. Ton orange mit rotem, leicht abgeplatztem Überzug auf der Aussenseite. – Inv. 1966.3952, FK X06512.

30 5 RS, WS, 2 BS, eiförmiger Becher mit Lippe. Ton ziegelrot, mit Glimmer versetzt und rotbraunem Überzug. – Inv. 1966.3375a.b, FK X06247; Inv. 1966.3955a.b, FK X06512; Inv. 1966.5346a–d, FK X06516. – Vgl.: Martin-Kilcher 1980, Taf. 19,17 (dort aus Terra Nigra); Meyer-Freuler 2003, Taf. 39,Ke 635.

31 RS, pompejanisch-rote Platte mit eingebogenem, leicht verdicktem Rand. Ton orange, innen rot geglättet und glimmerhaltig. – Inv. 1966.5332, FK X06518.

32 RS, Teller mit Randleiste. Ton grau, mit innen geglätteter Oberfläche. – Inv. 1966.5352, FK X06516.

33 RS, Teller oder Schale mit eingebogenem, eingeschnürtem Rand. Ton graubeige und überglättet, leicht glimmerhaltig. – Inv. 1966.5333, FK X06518.

34 RS, Teller oder Schale mit eingebogenem Rand. Ton grau, geglättet. – Inv. 1966.5330, FK X06518.

35 2 RS, Schale mit eingebogenem Rand. Ton grau und aussen überglättet. Schwache Brandspuren auf der Aussenseite. – Inv. 1966.5027a.b, FK X06231. – Vgl.: Martin-Kilcher 1980, Taf. 21,3.

36 RS, Teller mit leicht eingebogenem, stark verdicktem Rand. Ton grau, innen schwarzer Überzug und geglättet. – Inv. 1966.5362, FK X06516.

81 Vgl. Meyer-Freuler 2003, 334; 337–341.

82 Furger/Deschler-Erb 1992, 73.

83 Vgl. hierzu auch das Produktionsprogramm der Töpferei in der Region 4D in Augusta Raurica bei Schmid 2008, 135 ff.

84 Riha 1979, 121 ff.

85 Deschler-Erb u. a. 1991, 92 f.; Schucany u. a. 1999, 151 Taf. 62–64 (Fundensemble D.3 Augst 2).

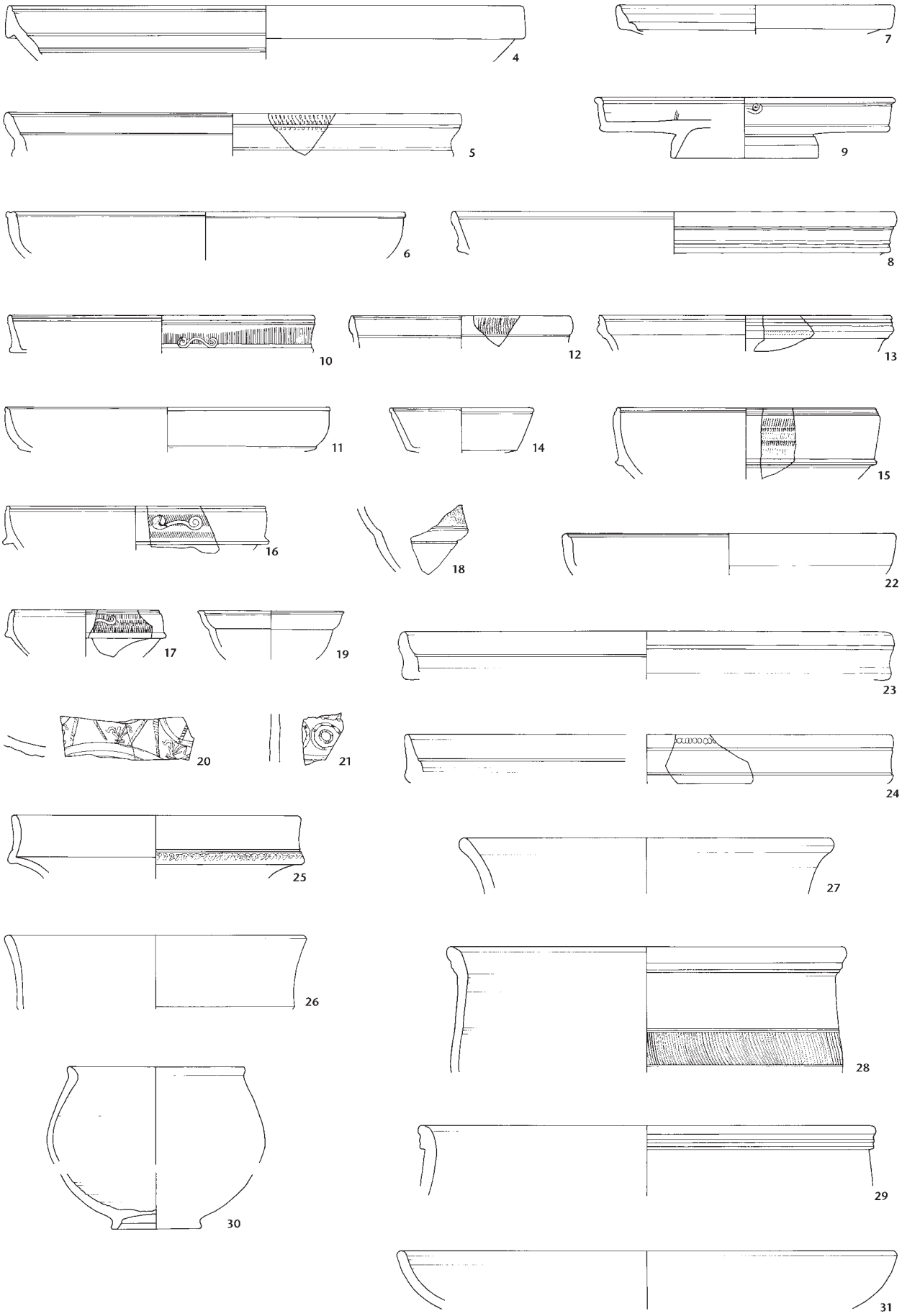


Abb. 31: Augst BL, Insula 5/9, Heidenlochstrasse (Grabung 1965–1967.052). Ensemble HL2: Funde aus der Abfallschicht an der Hangkante. M. 1:3. ***4–21*** *Terra Sigillata,* ***22–29*** *Terra-Sigillata-Imitation,* ***30*** *Feinkeramik,* ***31*** *Gebrauchskeramik.*

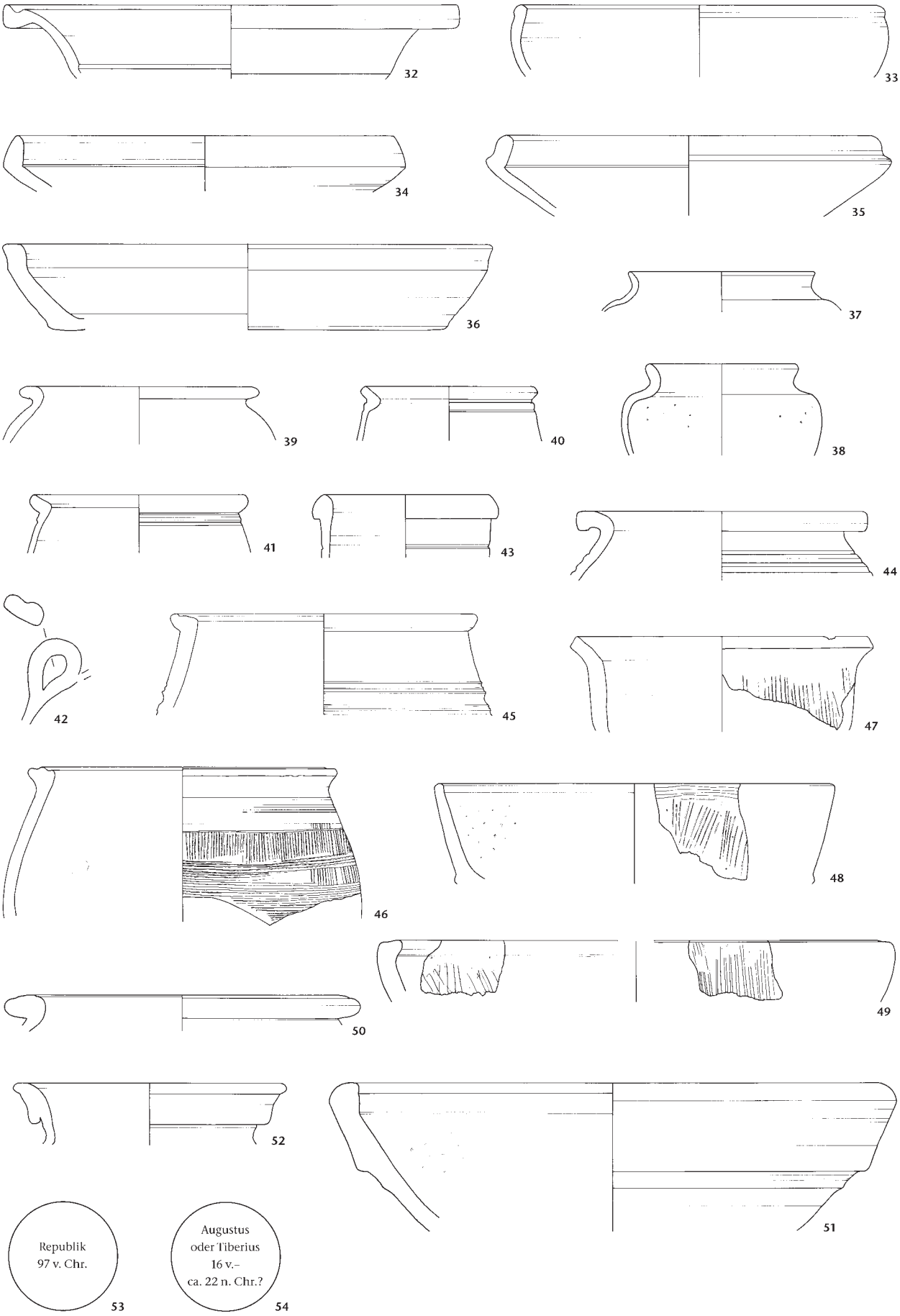
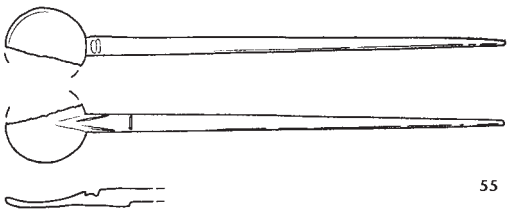


Abb. 31 (Fortsetzung): Augst BL, Insula 5/9, Heidenlochstrasse (Grabung 1965–1967.052). Ensemble HL2: Funde aus der Abfallschicht an der Hangkante. M. 1:3. ***32–52*** *Gebrauchskeramik,* ***53, 54*** *Münzen.*



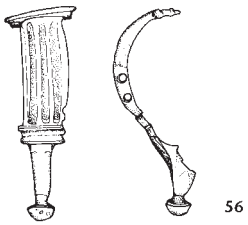


Abb. 31 (Fortsetzung): Augst BL, Insula 5/9, Heidenlochstrasse (Grabung 1965–1967.052). Ensemble HL2: Funde aus der Abfallschicht an der Hangkante. M. 1:2. ***55*** *Bein,* ***56*** *Bronze.*

37 RS, feines Schultertöpfchen. Ton graubeige mit schwarzem Überzug, glänzend geglättet. – Inv. 1966.5347, FK X06516.
38 RS, Schultertopf. Ton orange, aussen unter dem Rand mit Glimmerüberzug. – Inv. 1966.5328, FK X06518.
39 RS, Topf mit wulstigem Rand. Ton grau, aussen überglättet. – Inv. 1966.5022, FK X06231. – Vgl.: Martin-Kilcher 1980, Taf. 32,14.
40 RS, Tonne mit Sichelrand. Ton grau mit schwarzem Überzug, geglättet. – Inv. 1966.5324, FK X06518.
41 RS, Tonne mit Sichelrand. Ton grau mit schwarzem Überzug, geglättet. – Inv. 1966.5325, FK X06518.
42 HE, Honigtopf. Ton orange mit Resten von weisser Engobe. – Inv. 1966.5366, FK X06516.
43 RS, Krug mit Wulstrand. Ton orange. – Inv. 1966.5365, FK X06516.
44 RS, Kochtopf mit Schulterrillen. Ton grau. Scheibengedreht. – Inv. 1966.3956, FK X06512.
45 RS, Kochtopf mit gerilltem Rand. Ton grau, fein mit Muschelkalk gemagert und mit schwarzer Oberfläche. Auf der Schulter mit Rillen verziert. Handgemacht (?) und scheibengedreht. – Inv. 1966.5023, FK X06231.
46 2 RS, Kochtopf mit gerilltem Rand. Ton grauschwarz, fein gemagert. Aussen mit Besenstrich verziert. Handgemacht und im Randbereich überdreht. – Inv. 1966.5024.5025, FK X06231.
47 RS, Kochtopf mit ausbiegendem Rand. Ton schwarz, grob gemagert. Breiter, vertikaler Besenstrich. Innen verrusst und Krustenreste. Handgeformt. – Inv. 1966.5357, FK X06516. – Vgl.: Meyer-Freuler 2003, Taf. 10,Ke 159.
48 RS, 5 WS, Kochteller/Dreibein mit gerade abgestrichenem Rand. Ton grauschwarz, im Kern rot und mit Muschelkalk gemagert. Mit vertikalem Besenstrich verziert. Handgemacht. – Inv. 1966.5026, FK X06231.
49 RS, Kochteller/Dreibein mit verdicktem Rand. Ton graubeige, mit Quarz gemagert. Grober vertikaler Besenstrich innen wie aussen unter dem Rand. – Inv. 1966.3959, FK X06512.
50 RS, Dolium mit ausbiegendem, leicht gerilltem Rand. Ton orange mit rotem Kern. Aussen leichter Glimmer und weisse Engobenreste. – Inv. 1966.5350, FK X06516.
51 2 RS, Reibschale. Ton beigegelb, gelber Schlickerüberzug. Quarzierung innen stark abgerieben. – Inv. 1966.5363, FK X06516; Inv. 1966.4500a, FK X06510.
52 RS, Amphore für Fischsauce, Dressel 9 mit unterschnittenem Rand. Ton hellbeige mit hellbeigeorangem Schlickerüberzug. Baetica. – Inv. 1966.3958, FK X06512.

Münzen
53 Republik. Quinar. Rom, 97 v. Chr. Vgl. RRC, S. 332, Nr. 333/1. A0/0, K3/3, 270°, 1,15 g. Streufund; evtl. aus Insula 9. – Inv. 1966.4466, FK X06512. – Publ.: Peter 1996, Ins. 5.9/1.
54 Augustus oder Tiberius. As (halbiert). 16 v.–ca. 22 n. Chr.? Münze fehlt. Bestimmung nach Skizze auf Fundtüte; unsicher. – Inv. 1966.3962, FK X06231. – Publ.: Peter 1996, Ins. 5.9/8.

Bein
55 Rundlaffiger Löffel mit abgesenkter Laffe. – Inv. 1966.3960, FK X06231. – Publ.: Deschler-Erb 1998, Kat. 306.

Bronze
56 Fibel. Gegitterte Aucissa, Riha Typ 5.4. – Inv. 1966.9746, FK X06518. – Publ.: Riha 1979, Kat. 746.

Nicht abgebildete Funde
Keramik
– Vgl. Abb. 30.
– Zurzeit nicht auffindbar. – Inv. 1966.3991, FK X06513; Inv. 1966.5341–5343, FK X06516; Inv. 1966.4998.5001.5007.5013. 5029.5030.5032.5033, FK X06231.

Bronze
– Gemäss Inventar: Fibel. Zurzeit nicht auffindbar. – Inv. 1966. 3961, FK X06231.

Lampe
– Rund geformter Lampengriff, der Griff ist dreifach gerillt. Ton hellbeige und heller oranger Überzug. – Inv. 1966.5031, FK X06231.

Die Tierknochen aus Ensemble HL2 (Elisabeth Marti-Grädel)
Die neun Fundkomplexe von Ensemble HL2 enthielten alle auch Knochenreste (Abb. 32). Von den insgesamt 649 Knochenfragmenten konnte die Hälfte bestimmt werden. Mit Ausnahme eines Knochens vom Rothirsch liegen ausschliesslich Reste von Haustieren (n = 324) vor. Am häufigsten belegt ist das Hausrind mit einem Anteil von 48%. Am zweithäufigsten nachgewiesen ist das Hausschwein (38%), gefolgt von Schaf/Ziege (12%). Je ein Knochenfragment stammt von einem nicht genauer bestimmbaren Equiden und von einem Hund. Geflügelknochen sind mit vier Fragmenten vom Haushuhn und mit einem Knochen einer Haus- oder Wildgans vertreten.

Die Datengrundlage erlaubt nur für das Hausrind und das Hausschwein eine sinnvolle Bewertung der Skelettteilzusammensetzung. Die Bedeutung der Rumpfelemente (Wirbel, Rippen) muss dabei unbekannt bleiben, da diese in den Fundkomplexen aus der Grabung 1965–1967.052 nicht nach Art bestimmt wurden. Beim Hausrind bilden Schädelfragmente, darunter vor allem lose Zähne und Unterkieferstücke, über die Hälfte der Funde (vgl. Anhang, Tabelle 11). Sie sind gegenüber einem Vergleichsskelett, bei dem die Anteile der Skelettregionen durch Fragmentierungsfaktoren einem archäologischen Fundmaterial angepasst wurden (s. u. S. 331), klar überrepräsentiert (Abb. 33). Von den Fleischregionen der Extremitäten sind der fleischreiche obere Abschnitt (Stylopodium) und der Unterarm- und Unterschenkelbereich (Zygopodium) übervertreten, der un-

		X04728	X06230	X06231	X06247	X06510	X06512	X06513	X06516	X06518	Total	%
Fragment-zahlen	*Bos taurus* (Hausrind)	4	1	71	2	10	4	25	27	11	155	47,7
	Ovis/Capra (Hausschaf/Hausziege)		3	9	2	6	5	8	6	1	40	12,3
	Sus domesticus (Hausschwein)		2	22	5	7	7	19	43	18	123	37,8
	Equus spec. (Pferd/Maultier/Maulesel)								1		1	0,3
	Canis familiaris (Hund)									1	1	0,3
	Gallus domesticus (Haushuhn)			1				1		2	4	1,2
	TOTAL HAUSTIERE	4	6	103	9	23	16	53	77	33	324	99,7
	Cervus elaphus (Rothirsch)									1	1	0,3
	TOTAL WILDTIERE	0	0	0	0	0	0	0	0	1	1	0,3
	TOTAL HAUS- UND WILDTIERE	4	6	103	9	23	16	53	77	34	325	100,0
	Anser dom./spec. (Haus-/Wildgans)			1							1	
	TOTAL GROSSGRUPPEN	0	0	1	0	0	0	0	0	0	1	
	Unbestimmbar, ohne Grössenangabe		3	101	6	17	14	61	84	37	323	
	TOTAL UNBESTIMMBAR	0	3	101	6	17	14	61	84	37	323	
	GESAMTTOTAL	4	9	205	15	40	30	114	161	71	649	
Gewicht (g)	Bestimmbare	230	210	5990	425	865	770	4985	4580	3165	21220	66,4
	Unbestimmbare		105	3135	150	730	450	2090	2920	1175	10755	33,6
	Total	230	315	9125	575	1595	1220	7075	7500	4340	31975	100,0

Abb. 32: Augst BL, Insula 5/9, Heidenlochstrasse (Grabung 1965–1967.052). Ensemble HL2: Tierartenliste, Fragmentzahlen und summarische Gewichtsangaben (g).

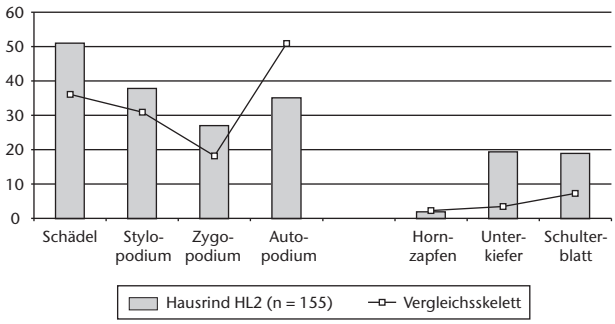


Abb. 33: Augst BL, Insula 5/9, Heidenlochstrasse (Grabung 1965–1967.052). Ensemble HL2: Hausrind: Anteile der einzelnen Skelettregionen und gewerbespezifischer Skelettelemente in Relation zu einem Vergleichsskelett. Grundlage: Fragmentzahlen.

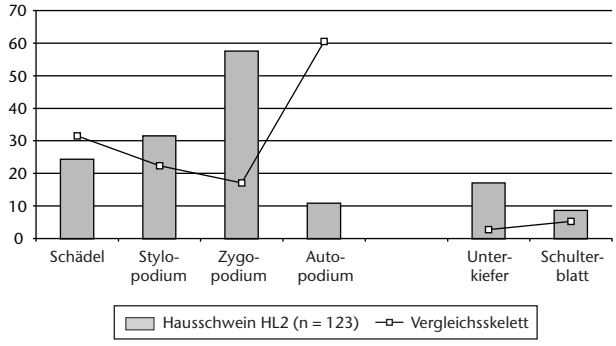


Abb. 34: Augst BL, Insula 5/9, Heidenlochstrasse (Grabung 1965–1967.052). Ensemble HL2: Hausschwein: Anteile der einzelnen Skelettregionen und gewerbespezifischer Skelettelemente in Relation zu einem Vergleichsskelett. Grundlage: Fragmentzahlen.

terste, fleischarme Abschnitt der Extremitätenenden (Autopodium) dagegen unterrepräsentiert. Bei den Stylopodiumteilen handelt es sich überwiegend um Schulterblätter, die, wie auch die Unterkiefer, deutlich überrepräsentiert sind. Dies macht wahrscheinlich, dass in diesem Ensemble Räuchereiwaren vorliegen könnten.

Unter den Resten des Hausschweins sind ebenfalls das Stylopodium – es handelt sich hier vor allem um Reste vom Oberarm (Humerus; vgl. Anhang, Tabelle 12) –, vor allem aber der Unterarm-/Unterschenkelbereich (Zygopodium) überrepräsentiert (Abb. 34). Letzterer ist zwar weniger fleischreich als die oberste Extremitätenregion, aber wegen der Zubereitung von Haxen (Eisbein, Stelzen) kulinarisch interessant. Wie der Vergleich zwischen den verschiedenen Räumen in Insula 5/9 und dem übrigen Stadtgebiet zeigt, ist die Überrepräsentanz dieser Fleischregion nicht ausser-

gewöhnlich (vgl. Exkurs 2, unten S. 319 ff.). In Ensemble HL2 sind Schädelteile des Hausschweins zwar insgesamt untervertreten – überrepräsentiert ist aber der Unterkiefer. Dies weist wiederum auf Räuchereiprodukte (Kinnspeck) hin.

Ensemble HL2 datiert in den Zeitraum von 10/20–50/60 n. Chr. Es wurde beim diachronen und beim räumlichen Vergleich der Knochenreste von Insula 5/9 berücksichtigt und der ersten Zeitstufe («bis 60 n. Chr.») zugewiesen (vgl. Exkurs 2, unten S. 319 ff.).

Phase 3: Bau der Hangstützmauer (MR 1A und MR 1B)

Überblick

Der Bau der mächtigen Hangstützmauer (MR 1A; MR 1B) in Phase 3 führte zu einer massiven Veränderung der topografischen Situation im Bereich des südlichen Abschnitts der Hangkante (Abb. 35). Deren Errichtung erfolgte wohl im Rahmen einer grösseren, möglicherweise öffentlichen Baumassnahme, die auch den südwestlichen Abhang des Kastelenplateaus einschloss (vgl. unten Abb. 255). Eine Feuerstelle F1 und ein Mörtelgussboden könnten darauf hindeuten, dass das am Fuss der Hangstützmauer liegende Areal in der Folge (mit Holzgebäuden?) überbaut wurde.

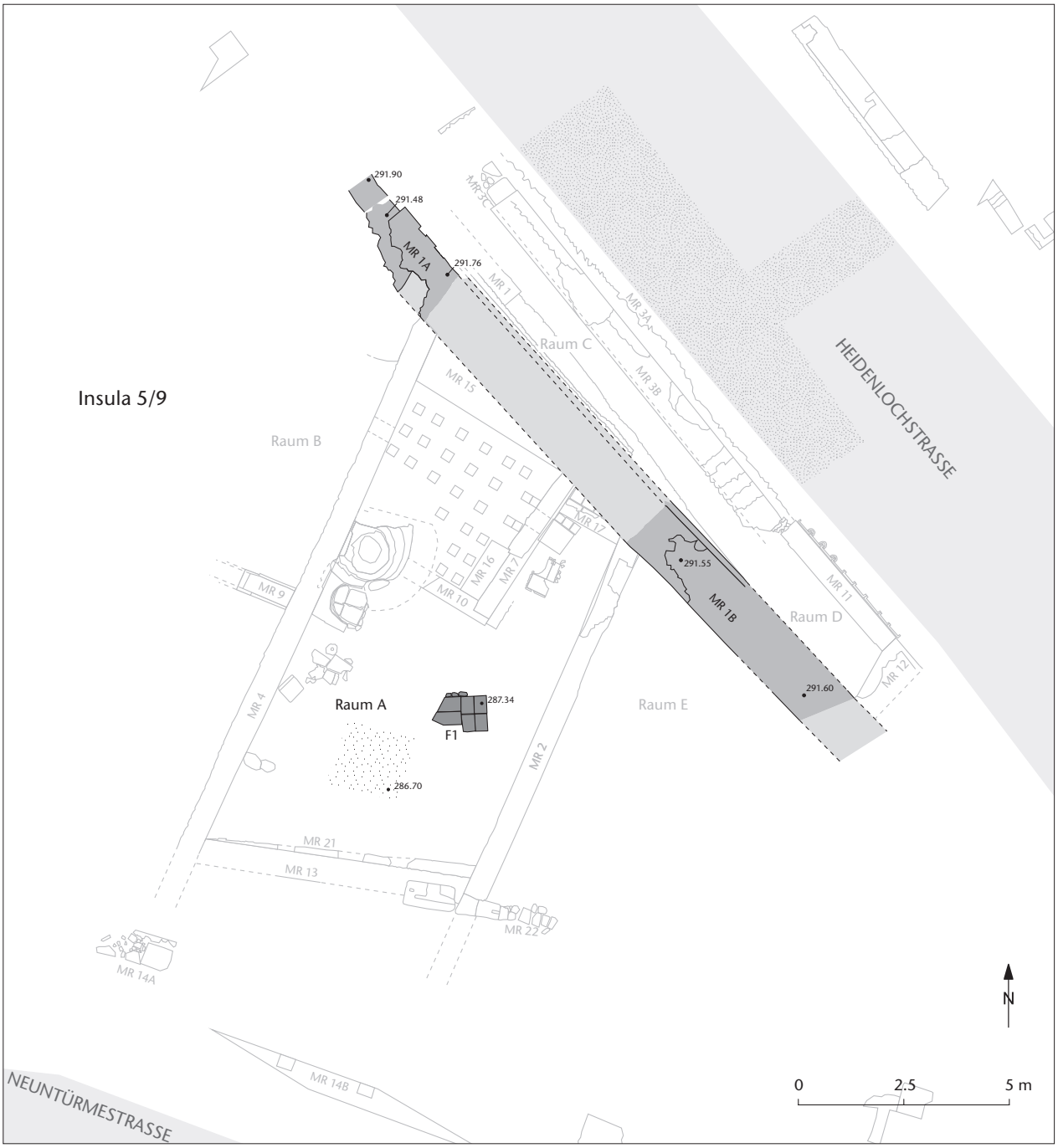


Abb. 35: Augst BL, Insula 5/9 (Grabungen 1965–1967.052 und 2002.063). Übersichtsplan mit den Befunden der Phase 3. MR 1A und MR 1B bilden in Phase 2 noch einen durchgehenden Mauerzug. M. 1:150.

Raum A	Raum B	Raum C	Raum D	Raum E	Heidenlochstrasse
• Bau Hangstützmauer (MR 1A; MR 1B) • Gehhorizont mit Feuerstelle F1 • Mörtelgussboden im strassenseitigen Teil von Raum A (auf 286,70 m ü. M.) • Zerstörung durch Brand	• Bau Hangstützmauer (MR 1A) • sonst keine Befunde (nicht untersucht)	• Keine Befunde (Hinterfüllung durch jüngere antike Eingriffe zerstört)	• Keine Befunde (durch jüngere antike Eingriffe zerstört)	• Keine Befunde (nicht untersucht)	• Keine Befunde (nicht untersucht)
• Substruktion und Feuerplatte der Feuerstelle F1 (Beil. 2E,4) • Brandschutt auf Mörtelgussboden (Beil. 2H,3; Abb. 41).		• Vermutlich nach dem Bau der MR 1A/MR 1B nachgerutschte Teile der Abfallschicht (Beil. 2C,6)			
• Ensemble A3-1 (Abb. 43) Datierung: um 40/50–70/80 n. Chr. • Ensemble A3-2 (Abb. 45) Datierung: um 50/60–70/80 n. Chr.					

Abb. 36: Augst BL, Insula 5/9 (Grabungen 1965–1967.052 und 2002.063). Synoptische Darstellung der Befunde und Fundensembles der Phase 3.

Raum A

Befund

In Phase 3 wird Mauer 1 durch die leicht talwärts versetzt errichtete Hangstützmauer (MR 1A; MR 1B) ersetzt. Mauer 1A und Mauer 1B bilden den Überrest eines ursprünglich zusammenhängenden Mauerzugs (Abb. 37; 38). Dessen Mittelteil wurde in Phase 4 durch den Hangdruck zerstört oder so baufällig, dass er repariert werden musste. Diese rund 8,5 m lange Flickstelle zwischen Mauer 1A und Mauer 1B wird im Folgenden als Mauer 1C bezeichnet.

Nach Aussage von Profil 12 ist ein Teil des beim Abbruch der älteren Mauer 1 angefallenen Mauerschuttes über dem Gehhorizont von Phase 2 ausplaniert worden (Beil. 2E,3).

Nach dem Bau der Hangstützmauer dürfte auch das kiesige, in den Koffer der Heidenlochstrasse übergehende Material angeschüttet worden sein (Beil. 2C,12B). Aufgrund des Befundes ist allerdings davon auszugehen, dass der obere, über 289,80 m ü. M. liegende Teil der Hinterfüllung beim Bau von Mauer 3A in Phase 5 bzw. beim Bau von Mauer 3B in Phase 6 zum Teil wieder abgetragen worden ist.

Ob der unmittelbar westlich der Hangstützmauer liegende Teil des Areals während Phase 3 überbaut war, steht nicht mit Sicherheit fest. Der auf dem ausplanierten Abbruchschutt nachgewiesene Gehhorizont und die auf 287,34 m ü. M. liegende, mit Kalksteinen eingefasste Feuerstelle F1 legen aber die Existenz einer einfacheren Überbauung aus Holz nahe (Abb. 39; 40; Beil. 2E,3)[86].

Aufgrund der Beobachtungen anlässlich der Grabung 2002.063 ist ferner gesichert, dass der an die Neuntürmestrasse anschliessende Teil des Areals überbaut gewesen sein muss. Jedenfalls wurde hier ein – leider nur ausschnittweise untersuchter – Mörtelgussboden angetroffen (Abb. 41; Beil. 2H,3).

Wie der z. T. noch *in situ* angetroffene Brandschutt zeigt, gehörte der Mörtelgussboden offensichtlich zu einem Fachwerkbau, der am Ende von Phase 3 abgebrannt ist[87]. Ob dieser Brand auch den an die Hangstützmauer anschliessenden Teil des Areals betraf, ist ungewiss. Wie unten zu Phase 4 ausgeführt wird, ist jedoch denkbar, dass der Brand zu einer Beschädigung der Hangstützmauer 1A führte.

86 Die Feuerstelle wurde durch das jüngere, frühestens in Phase 5 angelegte Punktfundament (MR 18) zerstört.

87 Bauhofer, Tagebuch, S. 16.



Abb. 37: Augst BL, Insula 5/9, Raum B (Grabung 2002.063). Blick an die talseitige Mauerschale der in Phase 3 errichteten Hangstützmauer (MR 1A). Die ehemals vermutlich verzwickten Balkennegative stammen wahrscheinlich vom Baugerüst der MR 1A. Rechts im Bild die Ostwand (MR 4) von Raum B (Phase 5). In Profil 6 (links im Bild) ist der bei der Zerstörung von Raum B am Ende von Phase 11 angefallene Brandschutt zu erkennen. Er wird vom Aushub von Graben 2 aus Phase 13 überlagert. In der Bildmitte ist der jüngste Gehhorizont (Phase 11) von Raum B zu erkennen. Blick aus Südwesten.



Abb. 38: Augst BL, Insula 5/9 (Grabung 1965–1967.052). Blick von Südosten auf die in Phase 3 errichtete Hangstützmauer (MR 1B). Im Vordergrund ist die eine der beiden halbrunden Nischen in Raum D zu erkennen, die den in Phase 6 ausgebrochenen Durchgang durch die Hangstützmauer flankierten. Links im Bild die zu Raum A gehörenden Mauern (MR 2, MR 7, MR 4).



Abb. 39: Augst BL, Insula 5/9, Raum A (Grabung 1965–1967.052). Blick auf die Stratigrafie im Bereich des talseitigen Fusses der Hangstützmauer (MR 1C). Links die tegulae *der Feuerplatte der Feuerstelle F2, darüber der Eckverband der jüngeren, zum* cubiculum *gehörenden MR 7 und MR 10. Die unter der Feuerstelle liegenden, stark mörtelhaltigen Mauerschichten sind wahrscheinlich beim Abbruch des am Ende von Phase 3 baufällig gewordenen und in Phase 4 durch MR 1C ersetzten Abschnitts der Hangstützmauer entstanden.*

Da die Hinterfüllung von Mauer 1A seinerzeit nicht untersucht werden konnte[88] und die Hinterfüllung von Mauer 1B beim Bau des Treppenhauses (Raum D) in Phase 6 entfernt worden ist (s. u. S. 89 ff.), stützt sich die Datierung von Phase 3 auf Fundmaterial, das aus den vor der Hangstützmauer liegenden Schichten und Strukturen stammt (Beil. 2E,2). Ensemble A3-1 umfasst Funde aus dem Bereich der Feuerstelle F1[89], Ensemble A3-2 Funde aus dem auf dem Mörtelgussboden liegenden Schmutzhorizont. Die Keramik aus Ensemble A3-2 ist relativ stark fragmentiert und

88 Die Baufuge zwischen MR 1A und MR 1C lag ziemlich exakt auf der Linie der an dieser Stelle stark abgeböschten westlichen Grabungsgrenze (vgl. Beil. 1).

89 FK Z01668 wurde nach dem (hier nicht abgebildeten) Profil 11 abgebaut. Da dieses Profil an Profil 12 (Beil. 2E) anschliesst und in etwa die gleiche Schichtabfolge aufweist, ist die bereits auf der Grabung vorgenommene Schichtkorrelation genügend gut abgestützt.

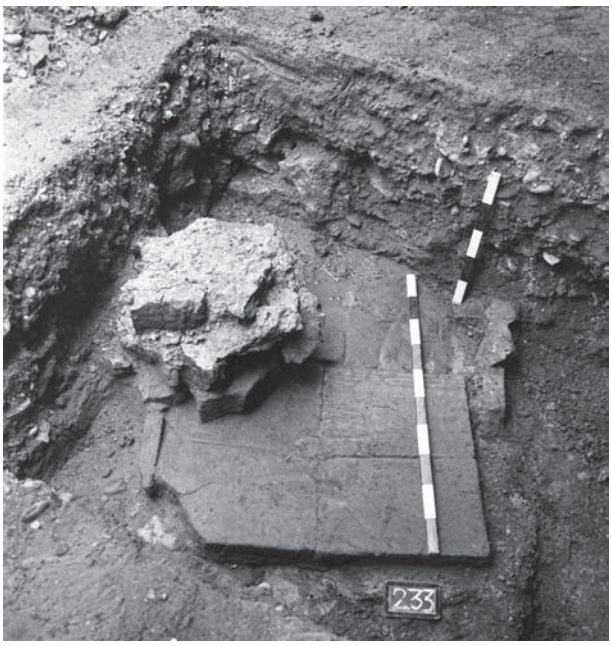


Abb. 40: Augst BL, Insula 5/9, Raum A (Grabung 1965–1967.052). Blick auf die Überreste der Feuerstelle F1 der Phase 3. Die Feuerstelle wurde durch ein in Phase 5 (?) errichtetes Punktfundament (MR 18) zerstört. In den Profilen ist gut zu erkennen, dass die Stratigrafie in Raum A bis zum Ende der kaiserzeitlichen Nutzung am Ende von Phase 7 eine Mächtigkeit von rund 0,5 m erreichte. Das Planum im Hintergrund entspricht in etwa der Oberkante des Gehhorizonts der Phasen 9–11.



Abb. 41: Augst BL, Insula 5/9, Raum A (Grabung 2002.063). Blick auf den zu einem am Ende von Phase 3 abgebrannten Fachwerkbau gehörenden Mörtelgussboden im vorderen (strassenseitigen) Teil von Raum A. Vgl. auch Beil. 2H,3.

verschiedene Scherben sind leicht verrundet. Teilweise tragen sie auch Sinterspuren und Mörtelreste. Daraus darf gefolgert werden, dass sich die Akkumulation des Schmutzhorizontes auf dem Mörtelboden über die ganze Phase 3 erstreckt hat. Passscherben zwischen den Ensembles A2 und A3-2 könnten darauf hindeuten, dass damals auch kleinere Bodeneingriffe und Materialumlagerungen erfolgten, die sich allerdings im nur ausschnittweise untersuchten Befund nicht nachweisen lassen.

Die Keramik aus den beiden der Phase 3 zuweisbaren Fundensembles A3-1 und A3-2 *datiert in frühflavische Zeit und ist spätestens um 70/80 n. Chr.* in den Boden gekommen. Gestützt wird dieser Datierungsansatz auch durch Ensemble A2, das aus der Verfüllung der älteren Grube unter der Feuerstelle F1 stammt.

Der Datierungsansatz sowie die recht massive Konstruktionsweise der Hangstützmauer, die auch den südwestlichen Abhang des Kastelenplateaus umfasst, deuten darauf hin, dass deren Bau im Rahmen einer öffentlichen Baumassnahme, vielleicht mit dem Bau des älteren szenischen Theaters resp. der auch andernorts nachgewiesenen *Neugestaltung des Zentrums* des *caput coloniae,* erfolgt ist[90]. Im konkreten Fall ist zudem davon auszugehen, dass der Bau der Hangstützmauer im Zusammenhang mit dem auch auf dem Kastelenplateau fassbaren Ausbau der nicht näher untersuchten Heidenlochstrasse erfolgte (Beil. 2C,12A; vgl. dazu auch Beil. 2B)[91]. Die chronologische Koinzidenz der verschiedenen Baumassnahmen ist jedenfalls auffällig.

Ensemble A3-1

Allgemeine Charakterisierung: Die Keramikfunde aus Ensemble A3-1 (Abb. 43), namentlich die Terra-Sigillata-Scherben aus dem Fundkomplex Z01668, sind aussergewöhnlich gut erhalten. Der Überzug der Gefässe ist zwar durch kleine Risse etwas beschädigt, er glänzt aber immer noch stark. Die Funde konnten teilweise zu ganzen Gefässen rekonstruiert werden. Dies gilt beispielsweise für den sehr gut erhaltenen Teller **61** der Form Drag. 18 und das Glanztonschälchen mit Griessbewurf **65**, welches im Übrigen auch noch mit einem sehr guten Überzug versehen ist.

Datierung des Fundmaterials: Gefässfragmente aus Arretina sind im Fundmaterial nicht mehr vorhanden. Die ausnahmslos aus südgallischen Produktionen stammende Terra Sigillata weist Formen auf, die alle ab dem ersten oder zweiten Viertel des 1. Jahrhunderts hergestellt wurden. Dazu gehören: das Schälchen **57** der Form Drag. 24, das Schälchen **58** der Form Drag. 27 – mit noch spitz ausgeformten Randlippen – sowie auch das Schälchen **59** der Form Hofheim 9. Gut in dieses Keramikinventar passen auch die Teller **60–62** der Formen Drag. 15/17 und Drag. 18 sowie die Schüsseln **63** und **64** der Formen Hofheim 12 und Drag. 29.

90 Vgl. dazu Schwarz 1991a, 56 ff., bes. Abb. 38–41; Furger/Deschler-Erb 1992, 136 f.

91 Zum Ausbau dieser zentralen Verkehrsachse im Bereich der Insulae 1, 2, 5 und 6 vgl. Schwarz 2004, 80 ff.; 120 ff.

Form/Typ	RS	BS	WS	HE	Total	MIZ
TS, südgallisch						
Drag. 15/17	1				1	1
Drag. 18	14	4	17		35	4
Hofheim 9	1		2		3	2
Drag. 24		2			2	1
Drag. 27	8		3		11	8
Drag. 22/23		1			1	1
Hofheim 12	2		1		3	1
Drag. 29	8		12		20	8
Drag. 37?			2		2	2
Form unbestimmt		1	2		3	3
Drack 20–22						
Drack 20			2		2	1
Form unbestimmt			1		1	1
Glanztonkeramik						
Becher mit Griessbewurf	6	1	7		14	1
Übrige Keramik						
Helltonige Gebrauchskeramik						
Schüssel mit Kragenrand	1				1	1
Schüssel mit Einziehung unter dem Rand	1				1	1
Krüge	3	1	3		7	2
Deckel	3				3	3
Grautonige Gebrauchskeramik						
Schultertöpfe	3	4	13		20	12
Topf mit Zickzacklinie		2	8		10	1
Schüssel mit eingezogenem Rand	7	3	4		14	1
Kochtopf	1				1	1
Handgemachte Kochkeramik						
Kochtopf mit gerilltem Horizontalrand	1				1	1
Total Fragmente/MIZ	**60**	**19**	**77**		**156**	**57**

Abb. 42: Augst BL, Insula 5/9, Raum A (Grabung 1965–1967.052). Ensemble A3-1: Fundstatistik zur Keramik (FK Z01668). MIZ = RS, BS, WS, HE.

Einen etwas jüngeren Datierungsansatz ergeben die zwei Wandscherben (o. Abb.) der Form Drag. 37. Beide sind sehr klein fragmentiert und schwierig zu beurteilen. Das feine dünnwandige Schälchen **65** mit gegliedertem Rand, das auch als Hofheim 22A bezeichnet wird, tritt beispielsweise in Baden ab der Holzbauphase bis in die 4. Steinbauphase auf, was eine Datierungszeitspanne von 15/20–125/130 n. Chr. ergibt[92]. In Augusta Raurica sind solche Schälchen relativ selten und datieren – falls gut stratifiziert – in die Zeit um 20/30–60/70 n. Chr.[93] Der Schultertopf **66**, der Krug **68** sowie auch die Kochtöpfe **70** und **71** lassen sich dieser Datierung anschliessen. Das einzige Gefäss, für das ein etwas jüngerer Datierungsansatz herangezogen werden muss, ist die Schüssel mit eingezogenem Wulstrand **67**: Diese Formen treten in Augusta Raurica erst etwa um 60/70–80 n. Chr. auf[94].

Katalog der Funde aus Ensemble A3-1 (Abb. 43)

Terra Sigillata

57 2 WS, TS (südgallisch), Schälchen Drag. 24. – Inv. 1967.9889A.B, FK Z01668.

58 3 RS, WS, TS (südgallisch), Schälchen Drag. 27. – Inv. 1967.9890A.B.9891B.D, FK Z01668.

59 RS, WS, TS (südgallisch), Schälchen Hofheim 9. – Inv. 1967.9886C.9887A, FK Z01668.

60 RS, TS (südgallisch), Teller Drag. 15/17. Leicht angebrannt. – Inv. 1967.9884, FK Z01668.

61 10 RS, 9 WS, 3 BS, TS (südgallisch), Teller Drag. 18. Mit unleserlichem Stempelrest. – Inv. 1967.9885, FK Z01668.

62 9 RS, 13 WS, 4 BS, TS (südgallisch), Teller Drag. 18. – Inv. 1967.9885b.c, FK Z01668.

63 2 RS, WS, TS (südgallisch), Schüssel Hofheim 12. – Inv. 1967.9892A.B, FK Z01668.

64 RS, TS (südgallisch), reliefierte Schüssel Drag. 29. Relief stark fragmentiert. Wellenranke schwer erkennbar. – Inv. 1967.9894, FK Z01668.

Übrige Keramik

65 6 RS, 7 WS, BS, Glanztonschälchen mit Griessbewurf. Ton hellbeige, aussen und innen orangebrauner Überzug. – Inv. 1967.9903, FK Z01668.

66 RS, Schultertopf. Ton hellgrau. – Inv. 1967.9918, FK Z01668.

67 7 RS, 4 WS, 3 BS, Schüssel mit einwärts gezogenem Wulstrand. Ton schwarz mit orangem Kern. – Inv. 1967.9924, FK Z01668.

68 3 RS, 2 WS, Krug mit Kragenrand. Ton orange mit grauem Kern, weiss engobiert. – Inv. 1967.9930A–E, FK Z01668.

69 RS, Deckel. Ton orange mit grauem Kern. Am Rand leichte Brandspuren. – Inv. 1967.9923, FK Z01668.

70 RS, Kochtopf mit schwach gerilltem Horizontalrand. Ton graubraun mit hellbeigem Kern. Innen stark abgerieben. – Inv. 1967.9920, FK Z01668.

71 RS, Kochtopf mit leicht gekehltem Wulstrand. Ton grau, mit Quarz gemagert. – Inv. 1967.9919, FK Z01668.

Glas

72 BS, Rippenschale. AR 2.1/Isings 3a. Blaugrün, durchscheinend. – Inv. 1967.9931, FK Z01668. – Publ.: Rütti 1991/2, Kat. 629.

Nicht abgebildete Funde

Keramik

– Vgl. Abb. 42.

Glas

– WS, Millefiori, Rippenschale. AR 2.1–2/Isings 3a/b. Grasgrün mit gelb-opaken Spiralen. – Inv. 1967.9932, FK Z01668. – Publ.: Rütti 1991/2, Kat. 287.

Bronze

– Fragment unbestimmbar, sekundär verbrannt. – Inv. 1967.9933, FK Z01668.
– Fragment unbestimmbar, sekundär verbrannt. – Inv. 1967.9934, FK Z01668.
– Gemäss Inventar: Scheibenfibel. Fragment zurzeit nicht auffindbar; nicht bei Riha 1979 publiziert. – Inv. 1967.9935, FK Z01668.

92 Schucany 1996, 84; 164–169.

93 Furger/Deschler-Erb 1992, 77; Schucany u. a. 1999, 151 f. Taf. 62; 65 (Fundensembles D.3 Augst 2 und D.4 Augst 3); Rütti 2004, 198 Abb. 142,655.

94 Furger/Deschler-Erb 1992, 80 Taf. 21,6/50 (Datierung der Phase 6 der Theaterstratigrafie: um 60–80 n. Chr.); Vogel Müller/Schmid 1999, 49; 56 f. Abb. 11; 12; Schmid 2008, 135; 145 Abb. 96.

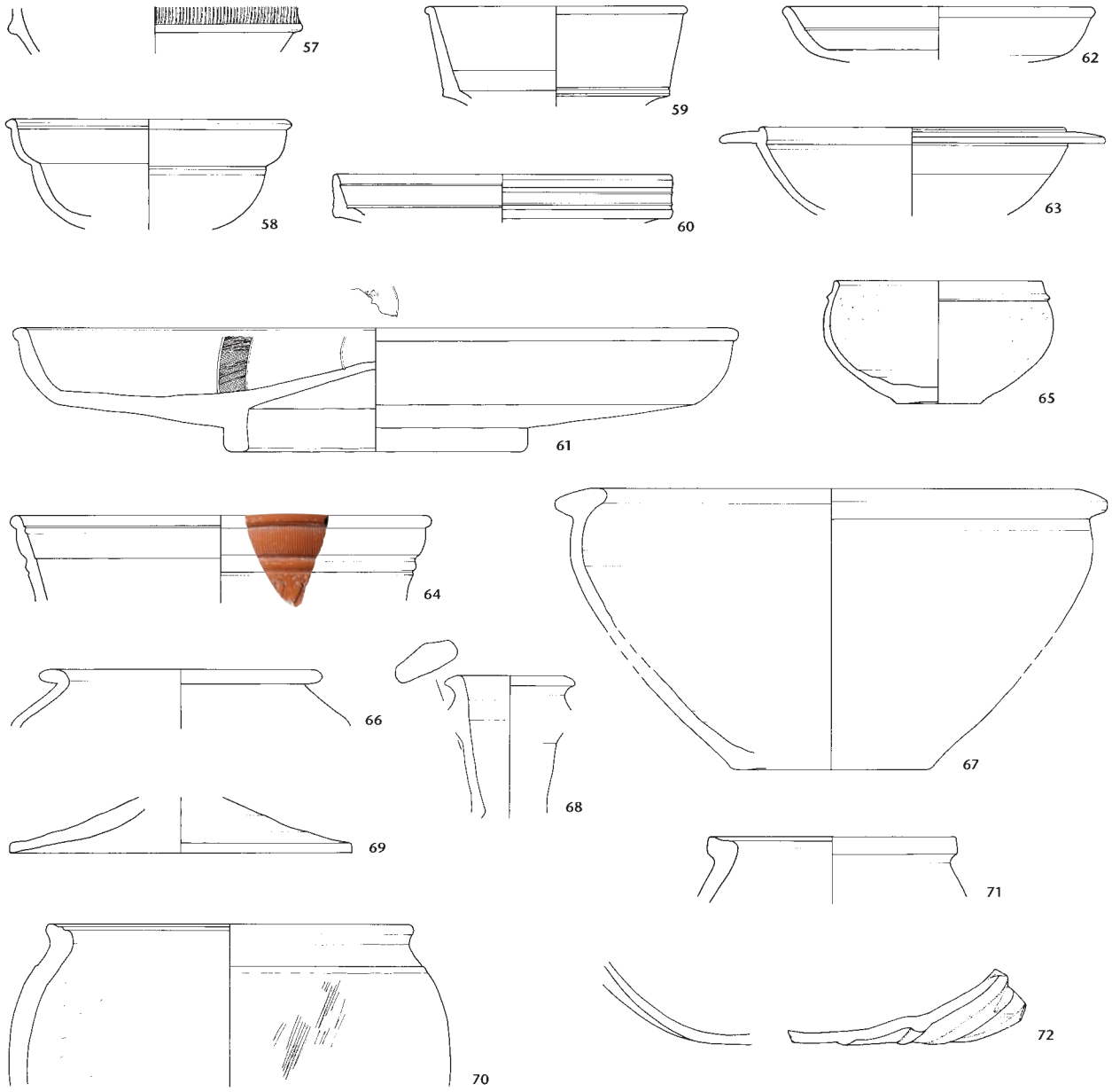


Abb. 43: Augst BL, Insula 5/9, Raum A (Grabung 1965–1967.052). Ensemble A3-1: Funde aus dem Gehhorizont im Bereich der Feuerstelle F1. M. 1:3 (Glas M. 1:2). ***57–64*** *Terra Sigillata,* ***65*** *Glanztonkeramik,* ***66–71*** *Gebrauchskeramik,* ***72*** *Glas.*

Ensemble A3-2

Allgemeine Charakterisierung: FK E07251 kann als gutes Beispiel herangezogen werden, um die oben S. 25 ff. erwähnten Unterschiede bei der Inventarisierung in den 1960er-Jahren und in der heutigen Praxis aufzuzeigen: Die Anzahl der Boden- und der Wandscherben – vor allem der helltonigen Keramik – zeigt eindrücklich, in welchem Masse früher bei der Inventarisation selektiert worden ist (vgl. Abb. 45).

Die Auflistung aller Funde aus FK E07251 auf Abb. 44 demonstriert, wie die Anzahl der Krüge – nur durch Boden-, Wand- und Henkelfragmente repräsentiert und daher im Katalog nicht abgebildet – rasant in die Höhe schnellen kann. Unser Ensemble A3-2 wird demnach stark durch helltonige Keramik dominiert und in diesem Ensemble überwiegen die Krugfragmente ganz speziell.

Datierung des Fundmaterials: Die Terra Sigillata (Abb. 45) stammt fast ausschliesslich aus südgallischen Werkstätten. Lediglich bei einer nicht weiter einzuordnenden Wandscherbe (o. Abb.) ist wegen ihrer etwas ins Orange gehenden Farbe der Oberfläche und des Tons denkbar, dass sie aus mittelgallischer Produktion stammen könnte. Fabrikate aus mittelgallischen Werkstätten sind bereits ab der Mitte des 1. Jahrhunderts in Augst gelegentlich im Fundmaterial vertreten[95].

95 Fünfschilling 2006, 141 f.

Form/Typ	RS	BS	WS	HE	Total	MIZ
TS, südgallisch						
Drag. 24	1				1	1
Drag. 27	1				1	1
Drag. 18	3				3	2
Drag. 35/36	3				3	2
Drag. 46	1				1	1
Drag. 30?	1				1	1
Drag. 37		3			3	1
Form unbestimmt		2	8		10	6
TS, süd-mittelgallisch?						
Form unbestimmt		1			1	1
Drack 20–22						
Drack 20 oder 21?			1		1	1
Glanztonkeramik						
Becher mit Barbotine-verzierung			2		2	2
Becher mit Griessbe-wurf			1		1	1
Dünnwandkeramik						
Becher, glasiert (vgl. **2**)			3		3	1
Übrige Keramik						
Helltonige Gebrauchs-keramik						
Teller mit Randleiste	1				1	1
Schüssel mit Kragen-rand	1				1	1
Krüge		2	29	3	34	27
Grautonige Gebrauchs-keramik						
Schultertöpfchen	2				2	1
Töpfchen	1				1	1
unbestimmt		1	7		8	6
Reibschalen	1				1	1
Amphoren, Typ unbe-stimmt			2		2	2
Handgemachte Koch-keramik						
Form unbestimmt		1	2		3	3
Total Fragmente/MIZ	**16**	**10**	**55**	**3**	**84**	**64**

Abb. 44: Augst BL, Insula 5/9, Raum A (Grabung 2002.063). Ensemble A3-2: Fundstatistik zur Keramik (FK E07251). MIZ = RS, BS, WS, HE.

Die südgallischen Produkte (**74, 76** und o. Abb.) der Formen Drag. 27, Drag. 18 und Drag. 30 kommen bereits ab claudischer Zeit vor; in die flavische Zeit datieren die Formen Drag. 35/36 und Drag. 46 (o. Abb. und **75**)[96]. Einzig das Schälchen **73** der Form Drag. 24 ist ein wenig älter[97].

Die Glanztonware ist in diesem Ensemble mit drei Individuen spärlich vertreten und kann mit der Wandscherbe **77** eines Bechers mit Lunulareihen ebenfalls in die frühflavische Zeit eingeordnet werden[98]. Die Passscherbenverbindung zwischen dem glasierten Schälchen **2** aus Ensemble A2 (Abb. 28) und Ensemble A3-2 dürfte auf einen Bodeneingriff während Phase 3 zurückzuführen sein.

Die übrige Gebrauchskeramik mit einem Teller mit Leistenrand **78** und dem Schultertöpfchen **79** kann demselben Zeithorizont zugewiesen werden. Etwas schwieriger wird es mit dem grauen Töpfchen **80** mit abgeflachten Schultern: Solche kleinen Töpfchen, sehr fein gearbeitet und sorgfältig überglättet, sind relativ selten und ähneln verblüffend stark Töpfchen, die jedoch klar in das 3. Jahrhundert gehören[99]. Diese Töpfchen scheinen also in ähnlicher Form – mit flaueren Schultern – auch schon im 1. Jahrhundert vorzukommen; sie sind jedoch im Ton feiner gearbeitet und sehr selten[100].

Zusammenfassend lässt sich festhalten, dass die Keramik ein in sich gut geschlossenes Ensemble aus frühflavischer Zeit bildet und nicht später als um 70/80 n. Chr. in den Boden gekommen ist.

Katalog der Funde aus Ensemble A3-2 (Abb. 45)

Terra Sigillata

73 RS, TS (südgallisch), Schälchen Drag. 24. – Inv. 2002.063.E07251.1.

74 RS, TS (südgallisch), Schälchen Drag. 27. – Inv. 2002.063.E07251.7.

75 RS, TS (südgallisch), Schälchen Drag. 46. – Inv. 2002.063.E07251.3.

76 3 RS, TS (südgallisch), Teller Drag. 18. – Inv. 2002.063.E07251.2.5.6.

Übrige Keramik

77 WS, Glanztonbecher mit Lunulareihen *en barbotine*. Ton orange mit zinnoberrotem Überzug. Barbotineverzierung. – Inv. 2002.063.E07251.27.

78 RS, Teller mit Randleiste. Ton orange. – Inv. 2002.063.E07251.30.

79 2 RS, 2 WS, Schultertopf. Ton grau, leicht überglättet. – Inv. 2002.063.E07251.61–63a.b.

80 RS, Töpfchen mit flacher Schulter. Ton grau, überglättet. – Inv. 2002.063.E07251.60.

81 RS, Reibschale. Ton orange. Stark beschädigte Oberfläche. – Inv. 2002.063.E07251.73.

Eisen

82 Fragment einer Krampe. – Inv. 2002.063.E07251.85.

83 Fragment eines Beschlages? Nur teilweise freigelegt und restauriert. Stark korrodierte Oberflächen. – Inv. 2002.063.E07251.113.

Nicht abgebildete Funde

Keramik

– Vgl. Abb. 44.

Bronze

– 7 Fragmente, unbestimmbar. – Inv. 2002.063.E07251.77–83.

96 Schucany 1996, 72; 76–80 Abb. 55; 57; 60; 63; 65.

97 Schucany 1996, 70–72 Abb. 52.

98 Schucany u. a. 1999, 152 Taf. 68 (Fundensemble D.5 Augst 4); Rütti 2004, 165 Abb. 121,167.

99 Vgl. Ensemble A11-EG (Abb. 175,**440**) und Ensemble A11-OG (Abb. 177,**565**).

100 Das beste Vergleichsstück – jedoch mit grösserem Durchmesser – stammt aus einer Verfüllung einer Grube G4 auf Kastelen, die claudisch zu datieren ist (vgl. Rütti 2004, 194 Abb. 138,602). Ein weiteres Vergleichsstück stammt aus einer Planieschicht mit Bezug auf eine Töpferproduktion, die in die Jahre 10–40/50 n. Chr. datiert (Schatzmann 2003, 176 Taf. 32,409).

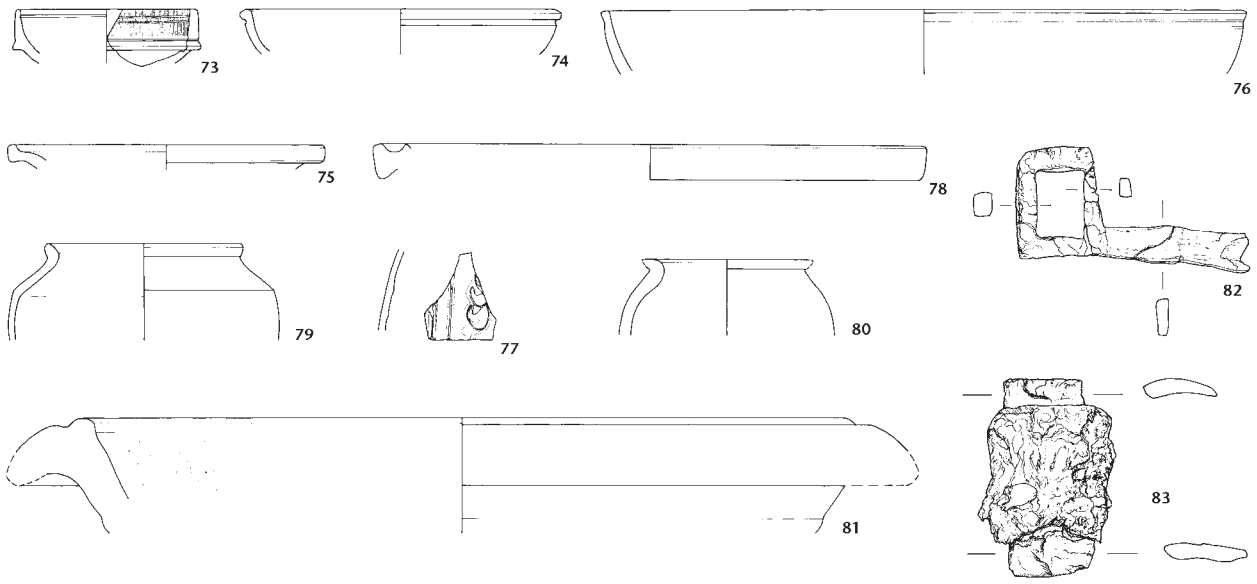


Abb. 45: Augst BL, Insula 5/9, Raum A (Grabung 2002.063). Ensemble A3-2: Funde aus dem Schmutzhorizont und der Brandschicht auf dem Mörtelgussboden der Phase 3. M. 1:3 (Eisen M. 1:2). ***73–76*** *Terra Sigillata,* ***77*** *Glanztonkeramik,* ***78–81*** *Gebrauchskeramik,* ***82, 83*** *Eisen.*

Eisen
- Bleche (Scharnierteile?), nicht näher bestimmbar. Teilweise haften noch Holzreste an. Stark korrodiert. – Inv. 2002.063. E07251.92.95.96.105.108.111.115.117.118.
- 10 Nägel, nicht näher bestimmbar. Teilweise haften noch Holzreste an. Stark korrodiert und evtl. verbrannt. – Inv. 2002.063. E07251.89–91.98.104.106.109.112.119.120.
- Fragmente, nicht näher bestimmbar. Stark korrodiert. – Inv. 2002.063.E07251.84.86–88.93.94.97.99–103.107.110.114.116.

Wandlehm
- Wandlehmfragment mit Strohhäckselabdrücken. – Inv. 2002. 063.E07251.124.

Die Tierknochen aus den Ensembles A3-1 und A3-2 (Elisabeth Marti-Grädel)

Ensemble A3-1 (FK Z01668) lieferte insgesamt 52, Ensemble A3-2 (FK E07251) 205 Knochenreste (Abb. 46). Beide Ensembles zusammen bilden im räumlichen und im chronologischen Vergleich der Knochenreste aus Insula 5/9 die einzige Datengrundlage für die zweite Hälfte des 1. Jahrhunderts (vgl. Exkurs 2, unten S. 319 ff.).

Aus dem Ensemble A3-2, das einen Fundkomplex der Grabung 2002.063 umfasst, liegen bei den Knochen auch Angaben zu Gewicht, Erhaltungszustand und Spuren der Nutzung vor (Abb. 47). Die Erhaltung der Reste aus A3-2 ist demnach grösstenteils gut. Lediglich sieben Fragmente (3,4%) weisen eine absplitternde Knochenoberfläche auf. Einige Knochen (n = 5; 2,4%) tragen sinterartige Auflagerungen. Die meisten Knochen (78%) haben alte oder keine Bruchkanten. Lediglich zwei Fragmente (1%) weisen verrundete Bruchkanten auf. Daraus kann geschlossen werden, dass die Knochenreste keine stärkere mechanische Belastung durch Verlagerung oder Begehung erfuhren. Die Menge an Knochen mit Hundeverbiss ist mit 1,5% (n = 3) sehr gering und lässt auf eine schnelle Einsedimentierung der Abfälle schliessen. An 62 Knochen (30%) wurden Zerlegungsspuren beobachtet: Dabei handelt es sich um Schnitt- und Hackspuren (je 13 bzw. 14%) sowie um Sägespuren (3%). Spuren der Zerlegung fanden sich an den Knochen aller Haustierarten, namentlich an denen des Hausrinds (19 Fragmente bzw. 56%). Nur zwei Knochenreste weisen Brandspuren in Form einer partiellen Verkohlung auf[101].

Der Anteil unbestimmbarer Fragmente in Ensemble A3-1 liegt bei rund 54%, derjenige in Ensemble A3-2 nur bei 24%. Der grössere Anteil unbestimmbarer Knochen in Ensemble A3-1 dürfte darauf beruhen, dass die Funde der Grabung 1965–1967.052 jeweils im Feld bestimmt und Wirbel und Rippen artlich nicht zugewiesen wurden, während die Funde aus den jüngeren Grabungen in Augusta Raurica vollständig und unter besseren Bedingungen, d. h. im Labor und mithilfe der gesamten Vergleichssammlung, bestimmt wurden (vgl. Exkurs 2, unten S. 319 ff.).

Die Zusammensetzung der bestimmbaren Knochen aus den beiden Ensembles ist recht ähnlich (Abb. 46). Wildtierreste kommen keine vor. Nach Stückzahlen dominiert unter den

101 Ein Phalanx II ant./post. vom Hausschwein und ein Lendenwirbel vom Hausrind.

	Ensemble A3-1: FK Z01668		Ensemble A3-2: FK E07251				
	n	(%)	n	n%	g	g%	D-gewicht (g)
Bos taurus (Hausrind)	6	25,0	34	22,1	940,6	50,4	27,7
Ovis aries (Hausschaf)		0,0	2	1,3	48,5	2,6	24,3
*Ovis/Capra (*Hausschaf/Hausziege)	7	29,2	42	27,3	379,1	20,3	9,0
Sus domesticus (Hausschwein)	11	45,8	63	40,9	480,1	25,7	7,6
Gallus domesticus (Haushuhn)		0,0	13	8,4	19,4	1,0	1,5
TOTAL HAUSTIERE	24	100,0	154	100,0	1867,7	100,0	12,1
TOTAL WILDTIERE	0	0,0	0	0,0	0	0,0	-
TOTAL HAUS- UND WILDTIERE	24	100,0	154	100,0	1867,7	100,0	12,1
Anser dom./spec. (Haus-/Wildgans)			1		2,9		
Columba dom./livia (Haus-/Felsentaube)			1		0,4		
TOTAL GROSSGRUPPEN	0		2		3,3		1,7
Unbestimmbar, ohne Grössenangabe	28		16		7,3		0,5
Unbestimmbar, klein			17		21,7		1,3
Unbestimmbar, mittel			5		8		1,6
Unbestimmbar, gross			7		32,4		4,6
Unbestimmbar, sehr gross			4		16,2		4,1
TOTAL UNBESTIMMBAR	28	53,8	49	23,9	85,6	4,4	1,7
GESAMTTOTAL	52	100,0	205	100,0	1956,6	100,0	9,5

Abb. 46: Augst BL, Insula 5/9, Raum A (Grabungen 1965–1967.052 und 2002.063). Ensembles A3-1 und A3-2: Tierartenliste. Detaillierte Gewichtsangaben (g) sind nur für Fundkomplex FK E07251 (Ensemble A2-3) vorhanden. Gewicht der bestimmbaren Tierknochen in Ensemble A3-1: 420 g, Gewicht der unbestimmbaren Knochen 570 g, Total: 990 g; vgl. auch Abb. 12.

Haussäugern in beiden Ensembles das Hausschwein mit über 40%. Auf Schaf/Ziege entfallen rund 29%, auf das Hausrind 22–25%.

Ensemble A3-2 enthält zudem auch Knochen des Haushuhns, das damit im Gesamtensemble (A3-1 und A3-2) einen Anteil von 7% innerhalb der Haustierknochen erreicht. Weitere Vögel sind mit je einem Knochen von Gans und Taube vertreten, bei denen aber jeweils nicht feststellbar war, ob es sich um die Haus- oder eine Wildform handelt. Unter Berücksichtigung dieser Knochen beläuft sich der Anteil an Geflügelresten auf fast 10%.

Betrachten wir die Gewichtsanteile der bestimmbaren Knochenreste in Ensemble A3-2, so tritt das Hausrind stärker hervor als nach Stückzahlen. Dies beruht auf dem höheren Knochengewicht, widerspiegelt aber auch die grössere Bedeutung des Rindes als Fleischlieferant im Vergleich zu den anderen Arten.

Die Artenzusammensetzung der bestimmbaren Knochen aus den Ensembles A3-1 und A3-2 lässt aufgrund der hohen Anteile an Hausschwein und Geflügel auf eine gute Nahrungsqualität schliessen, die sich auch an der Arten- und der Alterszusammensetzung der anderen Ensembles aus Raum A ablesen lässt (vgl. Exkurs 2, unten S. 319 ff.).

Die geringen Fundzahlen erlauben keine zuverlässige Bewertung der Skelettteilzusammensetzung. Da bei den Funden aus Ensemble A3-1, wie auch bei den anderen Fundkomplexen aus der Grabung 1965–1967.052, keine Bestimmung der Rumpfteile vorgenommen wurde, muss die Zusammensetzung für das Gesamtensemble ohne diese betrachtet werden, wodurch sich die Datengrundlage noch verkleinert. Beim Hausschwein, das mit 51 Fragmenten (ohne Rumpfelemente) noch die beste Grundlage liefert, fällt die starke Überrepräsentanz an Elementen des *Zygopodiums* (Unterarm-/Unterschenkelbereich) auf (Abb. 47). Dies ist – wie der Vergleich zwischen den Tierknochenkomplexen aus den verschiedenen Räumen in Insula 5/9 und dem übrigen Stadtgebiet zeigt – nicht aussergewöhnlich (vgl. Exkurs 2, unten S. 319 ff.). Daneben sind auch Schädelteile übervertreten. Es handelt sich dabei vor allem um Unterkiefer.

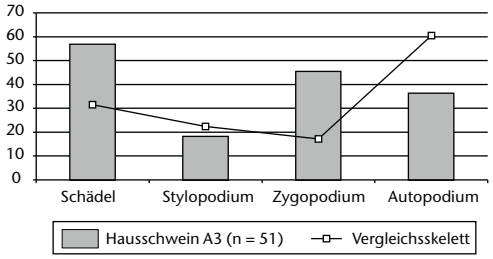


Abb. 47: Augst BL, Insula 5/9, Raum A (Grabungen 1965–1967.052 und 2002.063). Ensembles A3-1 und A3-2. Hausschwein: Anteile der einzelnen Skelettregionen in Relation zu einem Vergleichsskelett. Grundlage: Fragmentzahlen.

Analyse der Holzkohlereste aus Ensemble A3-2 (Angela Schlumbaum)

Die Holzkohlen stammen aus einer Brandschuttlinse (FK E07251), die auf einem Mörtelgussboden lag (vgl. Abb. 41). Letzterer gehörte, wie auch ein Wandlehmfragment (vgl. Abb. 216,B) nahelegt, offensichtlich zu einem Fachwerkbau, der am Ende von Phase 3 abgebrannt ist.

Von den insgesamt acht Holzkohlefragmenten stammen je drei von der Eiche (*Quercus* sp.) und der Rotbuche (*Fagus sylvatica*) sowie je eines von der Erle (*Alnus* sp.) und der Birke (*Betula* sp.).

Bei den Resten von Rotbuche und Erle könnte es sich um grössere Zweige handeln, die anderen Holzkohlen sind zu klein, um Stamm- von Astholz zu unterscheiden. Weil im gleichen Kontext auch Wandlehmfragmente mit Rutenabdrücken vorliegen[102], ist es gut vorstellbar, dass hier Reste von Eichenbalken oder von Ständern mit Gefachfüllungen aus Rotbuche und Erle vorliegen. In diesem Zusammenhang sei namentlich auf die ca. 2 cm dicken Ruten aus Rotbuche aus Insula 51 hingewiesen, die als Bestandteil einer Lehmfachwerkwand angesprochen werden[103]. In der Villa von Biberist fanden sich im Gebäude J ebenfalls Zweige der Rotbuche, die als Bestandteil einer Lehmfachwerkwand interpretiert werden[104].

102 Vgl. dazu den Beitrag von Ph. Rentzel, unten S. 235 ff.
103 Vgl. Hufschmid/Sütterlin 1992, 139.
104 Vgl. Schlumbaum 2006, 630.

Phase 4: Reparatur der Hangstützmauer (MR 1A–MR 1C)

Überblick

In Phase 4 (Abb. 48) wurde der mittlere Teil der Hangstützmauer (MR 1A; MR 1B) repariert (Bau der MR 1C). Ob die Reparatur wegen Brandschäden in der vorangegangenen Phase 3 oder infolge Baufälligkeit notwendig wurde, lässt sich anhand der hier angetroffenen Befunde nicht mit Sicherheit feststellen. Die solide Bauweise der erhalten gebliebenen Teile scheint jedoch gegen Ersteres zu sprechen. Eine Feuerstelle F2 deutet darauf hin, dass das Areal nach der Reparatur der Hangstützmauer wieder überbaut worden ist.

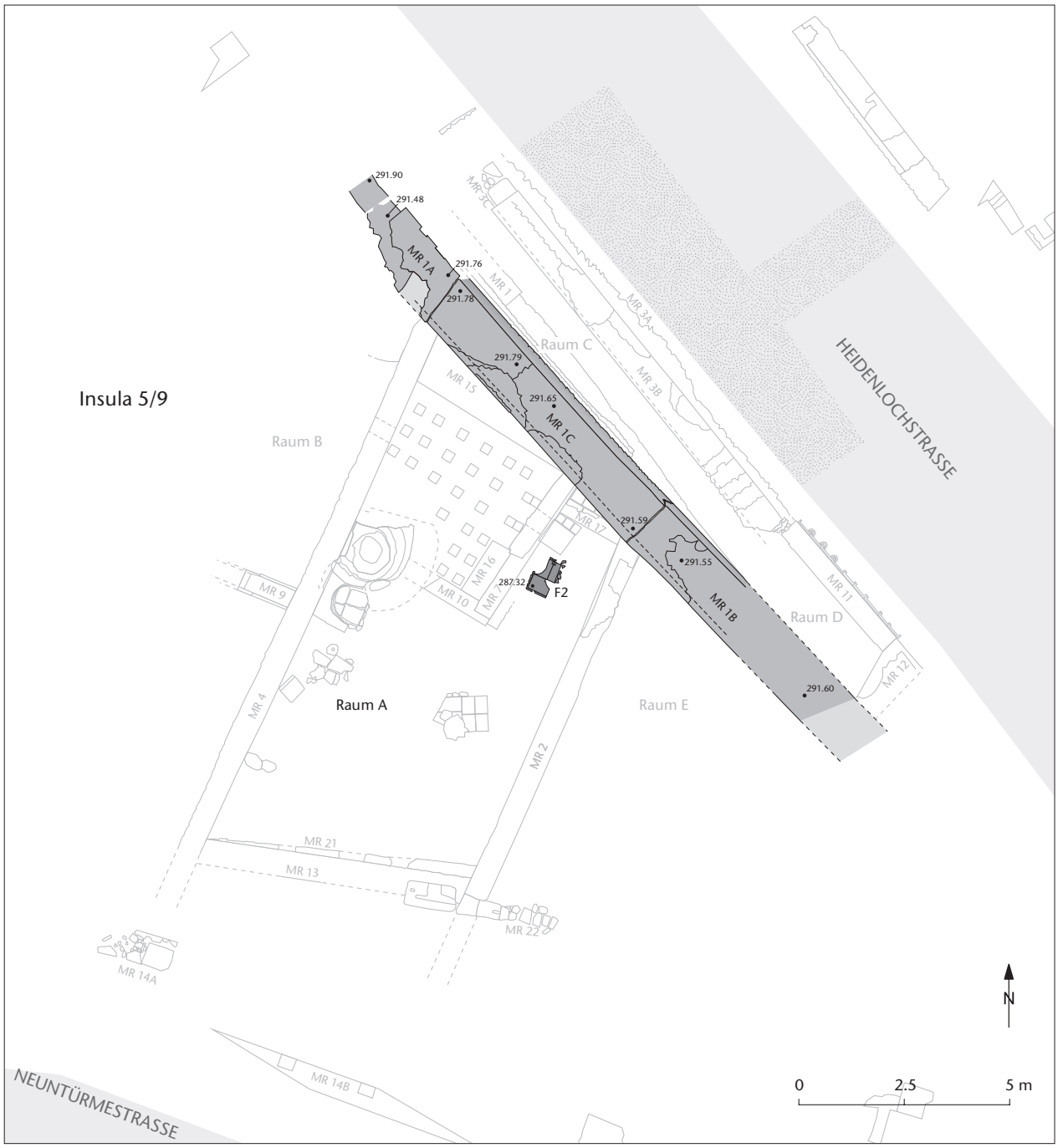


Abb. 48: Augst BL, Insula 5/9 (Grabungen 1965–1967.052 und 2002.063). Übersichtsplan mit den Befunden der Phase 4. M. 1:150.

Raum A	Raum B	Raum C	Raum D	Raum E	Heidenlochstrasse
• Reparatur der Hangstützmauer = MR 1C (Entwässerungsröhren, Ziegeldurchschüsse, talseitige Mauerschale mit Fugenstrich) • Indet. Nutzung: Feuerstelle F2	• Keine Befunde (nicht untersucht)	• Einbringen Hinterfüllung im Bereich von MR 1C	• Keine Befunde (durch jüngere antike Eingriffe zerstört)	• Keine Befunde (nicht untersucht)	• Verbreiterung der Heidenlochstrasse (?)
• Beim Teilabbruch von MR 1 resp. beim Abbruch von MR 1C angefallener Mauerschutt (Beil. 2E,5A; Abb. 39) • Gehhorizont (Beil. 2E,5B) • Kalksteinquader (Spolie?): Einfassung einer Feuerstelle oder Punktfundament eines Pfostens (Beil. 2,H,12)		• Beim Teilabbruch von MR 1 resp. beim Abbruch von MR 1C angefallener Mauerschutt (Beil. 2C,7) • Füllschichten wahrscheinlich nach Reparatur der Hangstützmauer (MR 1C) eingebracht (Beil. 2H,4; Abb. 96,16)			• Kieskoffer der Heidenlochstrasse (Beil. 2B,12A; 2C,12A; Abb. 96,12A) • Kiesschüttung (Beil. 2B,15) • Planieschicht; der nördliche Teil entspricht dem Kieskoffer der Heidenlochstrasse (Beil. 2C,12B; Abb. 96,12B)
• Ensemble A4 (Abb. 55) Datierung: um 140–200 n. Chr.					

Abb. 49: Augst BL, Insula 5/9 (Grabungen 1965–1967.052 und 2002.063). Synoptische Darstellung der Befunde und Fundensembles der Phase 4.

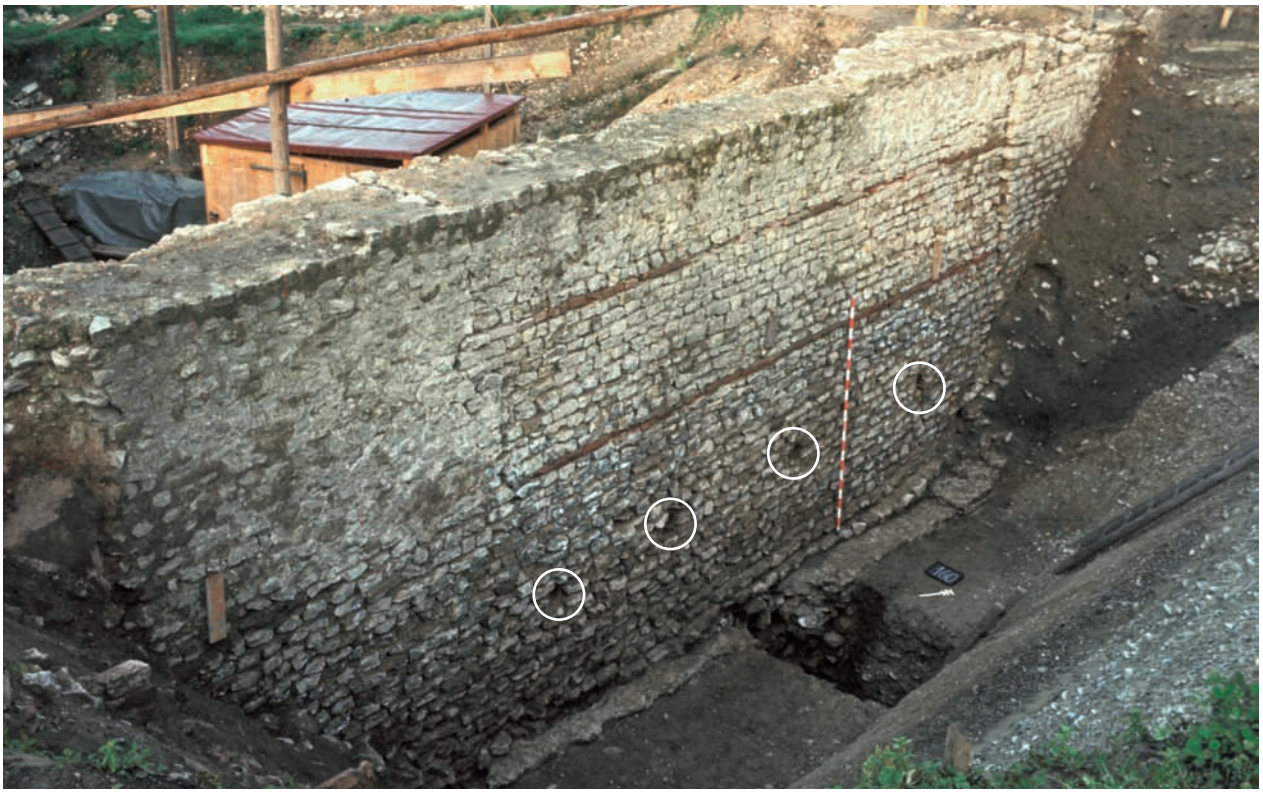


Abb. 50: Augst BL, Insula 5/9 (Grabung 1965–1967.052). Blick von Osten auf die hangseitige Mauerschale der Hangstützmauer. In der Bildmitte der in Phase 4 reparierte, mit Ziegeldurchschüssen und Entwässerungsröhren versehene Teil der Hangstützmauer (MR 1C) und seitlich die älteren, in Phase 3 errichteten Teile der Hangstützmauer (links MR 1B, rechts MR 1A). Im Vordergrund sind die Überreste der beim Bau der Hangstützmauer abgebrochenen Terrassierungsmauer (MR 1) der Phase 2 zu erkennen, im Hintergrund der während der Grabung über dem Backofen BO1 in Raum A errichtete Bretterverschlag.



*Abb. 51: Augst BL, Insula 5/9 (Grabung 1965–1967.052). Detailaufnahmen mit den Baufugen zwischen der mit Ziegeldurchschüssen versehenen MR 1C (Phase 4) und den bereits in Phase 3 errichteten östlichen und westlichen Fortsetzungen der Hangstützmauer (MR 1A, MR 1B). **A** Im Vordergrund die Abbruchkrone der beim Bau der Hangstützmauer abgebrochenen Terrassierungsmauer (MR 1) der Phase 2. Gut ablesen lässt sich auf dieser Aufnahme, dass die Terrassierungsmauer auch vom östlichen Abschnitt der Hangstützmauer (MR 1B) überlagert wird. Es kann sich dabei folglich nicht um die Überreste des in Phase 4 durch MR 1C ersetzten Abschnitts der Hangstützmauer handeln. **B** Auf der Krone von MR 1A sind die möglicherweise von der Verankerung einer Holztreppe oder von der Decke von Raum B stammenden Balkennegative zu erkennen, links unten die Abbruchkrone der beim Bau der Hangstützmauer abgebrochenen Terrassierungsmauer der Phase 2.*

Raum A

Befund

Der Befund am aufgehenden Mauerwerk (Abb. 50; 51) bezeugt, dass der Mittelteil der Hangstützmauer (MR 1A; MR 1B) zu Beginn von Phase 4 ersetzt worden ist. Bei dieser Reparatur wurden auch Teile des im Boden verbliebenen Rests der in Phase 2 errichteten Terrassierungsmauer (MR 1) abgebrochen. Dies zeigt der zwischen der Abbruchkrone von Mauer 1 und dem Fundamentklotz der neu errichteten Mauer 1C gefundene Mauerschutt (Beil. 2C,7; vgl. auch Abb. 25; 26)[105].

Die Lücke zwischen den stehen gebliebenen Teilen der Hangstützmauer wurde in der Folge mit der heute noch rund 5,6 m hoch erhaltenen Mauer 1C geschlossen[106]. Die Interpretation von Mauer 1C als Relikt einer Reparaturmassnahme wird durch verschiedene bautechnische Beobachtungen an der Hangstützmauer gestützt:

- Die neu errichtete, rund 1,2 m mächtige Mauer 1C verläuft nicht exakt in der Flucht der älteren Mauern, sondern ist leicht talwärts versetzt.
- Obschon die alten und die neuen Mauerteile sehr sorgfältig miteinander verzahnt worden sind, zeichnen sich die Baufugen sehr gut ab.

105 Vgl. auch Berger/Martin, Tagebuch, 01.11.1966. Aus dem skizzierten Befund geht deutlich hervor, dass sich zwischen dem Gussmauerwerk des Fundaments von MR 1C und der älteren MR 1 ein «Riss» in der Fundamentpackung abzeichnete, den wir in Analogie zu ähnlichen Befunden heute als Stossfuge interpretieren würden (vgl. etwa Schwarz 1991a, Abb. 20). An Profil 1a bzw. Profil 1b (Beil. 2C; 2D) ist ferner gut ablesbar, dass die Oberkante des westlich von MR 1C liegenden Terrains deutlich über der Unterkante des Fundaments lag.

106 In diesem Sinne auch Berger/Martin, Tagebuch, 08.09.1966.



Abb. 52: Augst BL, Insula 5/9 (Grabung 1965–1967.052). Blick an die hangseitige Mauerschale von MR 1C mit einer der insgesamt vier aus imbrices *bestehenden Entwässerungsröhren. Gut zu erkennen ist auch, dass das Mauerwerk des reparierten Abschnitts der Hangstützmauer deutlich weniger sorgfältig hochgezogen wurde als die älteren Teile der Hangstützmauer (vgl. auch Abb. 50; 51).*



Abb. 53: Augst BL, Insula 5/9, Raum A (Grabung 1965–1967.052). Blick an den Lichtschacht in der Hangstützmauer (MR 1C). In der Bildmitte die in Phase 6 angemauerte MR 7, deren oberer, während der Grabung zurückgebauter Teil den an MR 1C anhaftenden Wandverputz aus Phase 5 geschützt hat. Links im Bild die Überreste des jüngeren «groben» Terrazzobodens des in Phase 8 ausgeplünderten und mit Schutt verfüllten Hypokausts im cubiculum*, rechts ein zwischen MR 7 und MR 2 angelegtes Planum im Brandschutt (Phase 11).*

- Im Gegensatz zum westlichen Abschnitt der Hangstützmauer (MR 1A) sind an der talseitigen Mauerschale von MR 1C keine Gerüsthebellöcher zu erkennen (vgl. Abb. 37).
- Im Gegensatz zu den älteren Mauern ist die neu errichtete Mauer 1C mit zwei einlagigen Ziegelbändern sowie mit vier Entwässerungsröhren ausgestattet (Beil. 2C,8.9)[107]. Letztere bestehen aus aufeinander gelegten *imbrices* (Abb. 52)[108].
  Die vier Entwässerungsröhren weisen eine deutliche talwärtige Neigung auf, liegen jedoch nicht auf der gleichen Kote. Die westlichste Entwässerungsröhre in der Nähe der Baufuge zu Mauer 1A wurde auf 288,49 m ü. M. eingesetzt, die östlichste in der Nähe der Baufuge zu Mauer 1B auf 288,39 m ü. M.[109]
- Der *pietra-rasa-Verputz* in den Stoss- und Lagerfugen der talseitigen Mauer 1C war in diesem Bauzustand mit einem scharf gezogenen *Fugenstrich* versehen (Abb. 53; vgl. auch Abb. 58)[110]. Der *horizontal* verlaufende Fugenstrich war *V-förmig*, der *vertikal* verlaufende *U-förmig* ausgezogen worden[111].

Die heute mit einer Betonmauer hinterfangene Hangstützmauer 1C hat die ihr zugedachte Funktion in der Folge während über 200 Jahren erfüllt – dies trotz des Fehlens der von Vitruv empfohlenen Strebepfeiler bzw. Entlastungsbögen und trotz der Verwendung von ungeeignetem Material für die Hinterfüllung[112].

Eine genaue Datierung der Reparatur der Hangstützmauer bzw. der Errichtung von Mauer 1C ist nicht möglich, weil die Hinterfüllung der Mauer beim Einbau einer Sickerpackung in Phase 5 zum Teil entfernt bzw. mit neu eingefülltem Material vermischt worden ist (Beil. 2C,10).

107 Die Leisten der bis zu 0,46 m langen *tegulae* wurden bündig mit der Flucht der Mauerschale, also auf Sicht verlegt. Der Unterschied zwischen Leiste und Platte wurde vor dem Verlegen der nächsten Steinlage mit *tegula*-Bruchstücken ausgeglichen. Vgl. Berger/Martin, Tagebuch, 05.10.1966. – Zur Verwendung von *tegulae* für Ziegeldurchschüsse vgl. auch Wallat 1993, 357 f. (mit Verweis auf Vitruv).

108 Ähnliche Befunde werden z. B. von Hoek 1991, Abb. 17 ff.; Hufschmid 1996, 92 f. Abb. 98 und Rychener/Sütterlin 2003, Abb. 33 vorgestellt. Zur Funktion vgl. Vitr. 7,4,1. Vitruv nennt sie *spiramenta* (Luftlöcher), welche im obersten und untersten Mauerbereich eingelassen werden sollten, um die Mauer trocken zu halten. Ob die (theoretisch) notwendige zweite Reihe fehlt, weil sie über der noch erhaltenen Mauerkrone lag, oder ob auf den Einbau einer zweiten Reihe verzichtet wurde, liess sich nicht feststellen, da die antike Mauerkrone nicht mehr erhalten war.

109 Vgl. Dokumentation der Grabung 1965–1967.052, Detail 14. Das leichte Nord-Süd-Gefälle könnte das Gefälle der Unterkante der damaligen Baugrube widerspiegeln. – Die Röhren dürften nicht nur zur Entlüftung bzw. Entfeuchtung des Mauerwerks gedient haben, sondern sollten vermutlich auch das Stauwasser ableiten.

110 Vgl. etwa Schwarz 1991a, Abb. 10; 12 (Kellermauern); 25; 26 (Umfassungsmauer und Strebepfeiler des älteren szenischen Theaters); 86 (Mörtelfragmente mit Fugenstrich des jüngeren szenischen Theaters); Hufschmid 1996, Abb. 98; 99 (Fugenstrich an Hangstützmauer). Weitere Beispiele bei Schaub 1991, 241 mit Abb. 12; Schaub 1994, Abb. 9.

111 Vgl. dazu Bender 1975, Abb. 38; 39, wo der unterschiedlich ausgezogene Fugenstrich als Unterscheidungskriterium für die verschiedenen Bauperioden herangezogen wurde. Vgl. in diesem Zusammenhang auch Swoboda 1972/1973, Taf. 17 (Fugenstrich an der Wehrmauer des *Castrum Rauracense*). – Die ebd. postulierte absolutchronologische Einordnung aufgrund der unterschiedlichen Ausgestaltung des Fugenstrichs gilt heute als überholt.

112 Vitr. 6,8,6. Besonders instruktiv ist seine Warnung vor Erdhinterfüllungen, da diese bei Regen an Gewicht und Volumen zunehmen und die Hangstützmauern dadurch zum Einstürzen bringen können. Dass diese Gefahr auch bei MR 1C bestand, zeigt der an Profil 1a (Beil. 2D) und am *in situ* konservierten Mauerabschnitt ablesbare, massive Überhang des Aufgehenden. – Beispiele für *Strebepfeiler* an öffentlichen oder anderen repräsentativen Bauten finden sich u. a. bei Schwarz 1991a, Abb. 28; 33–35; Schwarz/Trunk 1991, Abb. 8; 17; Schaub 1991, Abb. 9; 17. Beispiele für *Entlastungsbögen* öffentlicher oder repräsentativer Bauten: vgl. u. a. Schaub 1992, Abb. 14; Martin-Kilcher 1987/1994, 514 ff. und Hufschmid 1996, Abb. 14; 16; 17; 50; 85; 111.

Neben der aus *tegulae* konstruierten und mit einer Einfassung aus Ziegelbruchstücken versehenen Feuerstelle F2 lässt sich der Phase 4 auch ein Lehmestrichboden zuweisen (Beil. 2E,4). Demzufolge dürfte das westlich der Hangstützmauer liegende Areal – vielleicht mit Ausnahme eines schmalen, später weitgehend von Mauer 17 eingenommenen Streifens am Fuss von Mauer 1C (Entwässerungsröhren!) – auch während Phase 4 teilweise überbaut gewesen sein[113].

Datierendes Fundmaterial liegt lediglich aus dem an die Feuerstelle F2 anschliessenden Teil des mit Herdstellenabraum vermischten Gehhorizonts der Phase 4 vor. Leider konnte der betreffende Fundkomplex (FK Z01680) jedoch nicht eindeutig von den darüber liegenden, in Phase 5 abgelagerten Sedimenten getrennt werden (Beil. 2E,5A.5B).

Das Ensemble A4 suggeriert deswegen eine Datierung der Phase 4 in die Zeit zwischen 140 und 200 n. Chr. und ist somit deutlich jünger als aufgrund der stratigrafischen Gegebenheiten möglich ist: Das Fundmaterial aus der vorangehenden Phase 3 ist nämlich spätestens im letzten Viertel des 1. Jahrhunderts in den Boden gekommen. Leider lässt sich aus dem Fundmaterial der darauffolgenden Phase 5 kein präziser *terminus ante quem* ableiten. Aufgrund der Gesamtsituation ist davon auszugehen, dass Phase 4 in das frühere 2. Jahrhundert datiert.

Ensemble A4

Allgemeine Charakterisierung: Ensemble A4 (Abb. 54; 55) umfasst nur wenige Keramikfragmente, die aus dem Gehhorizont im Bereich der Feuerstelle F2 stammen. Das Ensemble A4 eignet sich aus quantitativen Gründen nur bedingt für eine präzise Datierung der Phase 4.

Datierung des Fundmaterials: Das Ensemble kann nur grob in die Jahre zwischen 140 und 200 n. Chr. eingegrenzt werden: Neben dem Teller **87,** der in dieser Art in der ersten Hälfte des 2. Jahrhunderts aufkommt, treten die Glanztonbecher **85** und **86** um die Mitte des 2. Jahrhunderts auf[114]. Die Terra-Sigillata-Formen mit dem späten süd- oder auch schon mittelgallischen Teller **84** der Form Drag. 18/31 und das Wandfragment der Form Drag. 37 (o. Abb.) aus einer eventuell schon ostgallischen Produktion unterstützen den oben genannten Datierungsansatz.

Form/Typ	RS	BS	WS	HE	Total	MIZ
TS, süd-mittelgallisch?						
Drag. 18/31	1				1	1
TS, mittel-ostgallisch?						
Drag. 37			1		1	1
Glanztonkeramik						
Becher mit Karniesrand	1				1	1
Becher mit Barbotine-verzierung	1				1	1
Übrige Keramik						
Helltonige Gebrauchs-keramik						
Teller mit eingebo-genem Rand	2				2	2
Total Fragmente/MIZ	**5**		**1**		**6**	**6**

Abb. 54: Augst BL, Insula 5/9, Raum A (Grabung 1965–1967.052). Ensemble A4: Fundstatistik zur Keramik (FK Z01680).

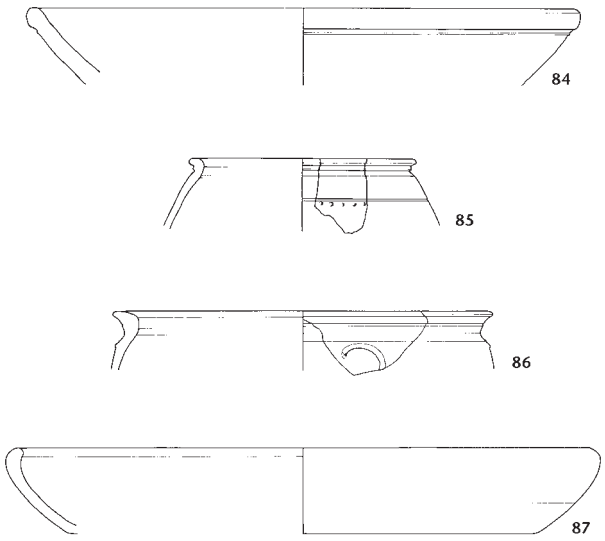


*Abb. 55: Augst BL, Insula 5/9, Raum A (Grabung 1965–1967.052). Ensemble A4: Funde aus dem Gehhorizont und Herdstellenabraum im Bereich der Feuerstelle F2. M. 1:3. **84** Terra Sigillata, **85, 86** Glanztonkeramik, **87** Gebrauchskeramik.*

Katalog der Funde aus Ensemble A4 (Abb. 55)

Terra Sigillata

84 RS, TS (süd-mittelgallisch?), Teller Drag. 18/31. – Inv. 1967.14165, FK Z01680.

Übrige Keramik

85 RS, Glanztonbecher mit Karniesrand. Ton hellbeige mit orangebraunem Überzug. – Inv. 1967.14168, FK Z01680.

86 RS, Glanztonbecher mit Barbotineverzierung. Ton hellbeige mit orangem Überzug. – Inv. 1967.14167, FK Z01680.

87 RS, Teller mit eingebogenem Rand. Ton orange, Innenseite mit Glimmer. Aussen schwache Brandspuren. – Inv. 1967.14171, FK Z01680.

Nicht abgebildete Funde

Keramik

– Vgl. Abb. 54.

Lampe:

– Fuss, Form nicht näher bestimmbar. Ton hell. Innen brandgeschwärzt. – Inv. 1967.14169, FK Z01680.

113 Berger/Martin, Tagebuch, 07.10.1966, erwägen ebenfalls, dass zu diesem Zeitpunkt «noch keine Kammer [i. e. Raum A in Phase 5] auf der Talseite» angebaut war.

114 Zu den Tellern mit eingebogenem Rand vgl. Schucany u. a. 1999, 153 Taf. 70 (Fundensemble D.7 Augst 6). Für die Glanztonbecher vgl. Martin-Kilcher 1980, 20–23 Taf. 17,1.8; Schucany u. a. 1999, 47 Abb. 10,C.6,6.

Phase 5: Erste Steinbauten unterhalb der Hangstützmauer

Überblick

In Phase 5 (Abb. 56) erfolgte der Bau des hallenartigen, langrechteckigen Raumes A an die Hangstützmauer. Der später in Phase 9 zugemauerte Durchgang in Mauer 4 könnte darauf hindeuten, dass Raum B ebenfalls in dieser Zeit errichtet worden ist.

Eine hinter der Hangstützmauer MR 1C eingebrachte Sickerpackung zeigt, dass gewisse Anstrengungen unternommen worden sind, um Raum A vor der Hangfeuchtigkeit zu schützen. Der Bau von Mauer 3A könnte darauf weisen, dass auch der hinter der Hangstützmauer liegende Teil des Areals (Raum C) ab diesem Zeitpunkt überbaut war, auch wenn nicht feststeht, ob es sich dabei um eine Portikus oder um einen geschlossenen Korridor gehandelt hat.

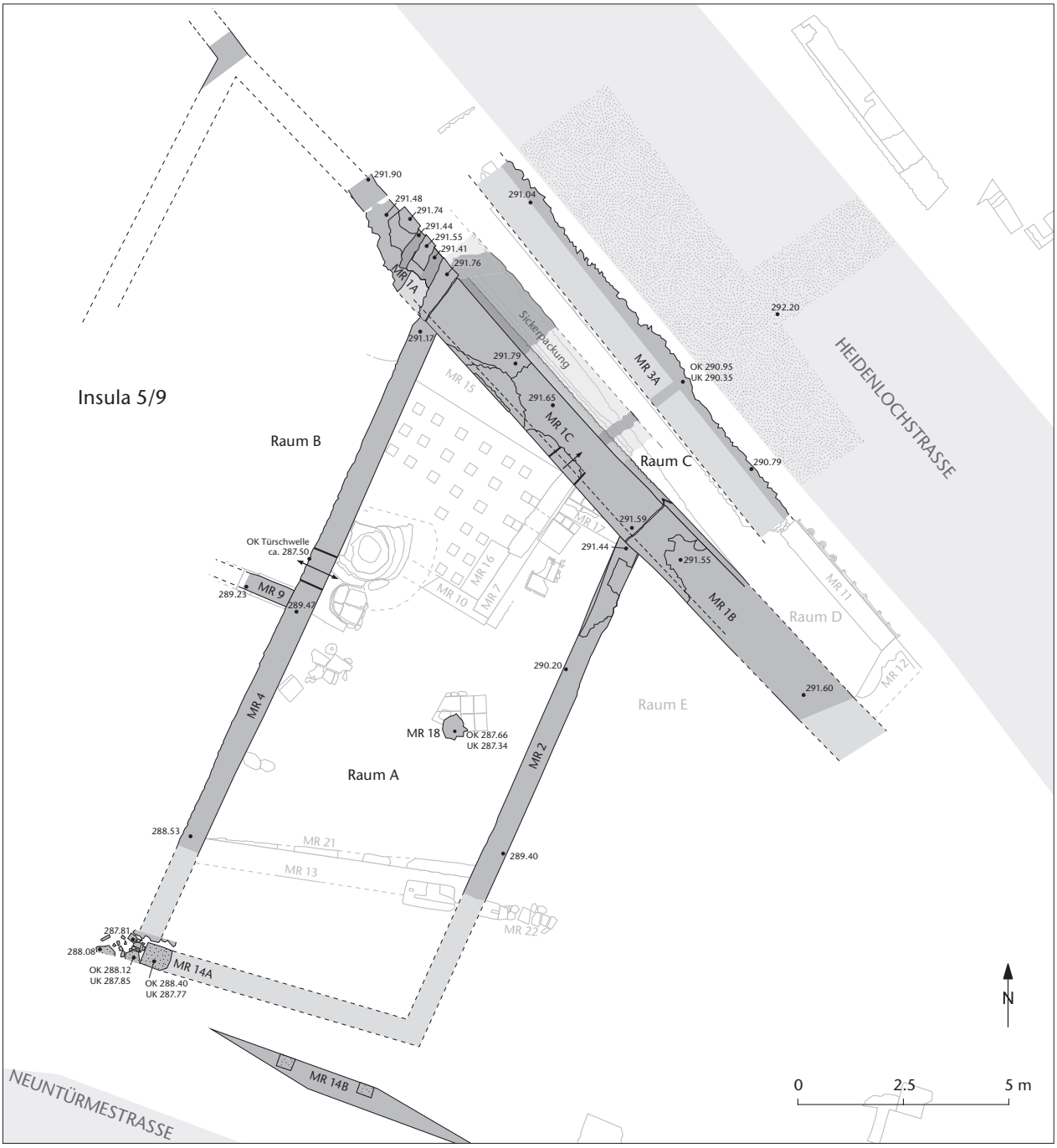


Abb. 56: Augst BL, Insula 5/9 (Grabungen 1965–1967.052 und 2002.063). Übersichtsplan mit den Befunden der Phase 5. Die Zuweisung des Punktfundaments (MR 18; OK 287,66 m ü. M.; UK 287,34 m ü. M.) zu Phase 5 ist nicht gesichert (vgl. auch Abb. 40). M. 1:150.

Raum A	Raum B	Raum C (Korridor)	Raum D	Raum E	Heidenlochstrasse
• Bau der an die Hangstützmauer (M1A–MR 1C) anstossenden MR 2 und MR 4 • Bau von MR 14A und MR 14B • langrechteckiger hallenartiger Raum	• Bau von MR 9 (?) • Erschliessung von Raum A aus via Durchgang in MR 4 • Holztreppe (?): Balkennegative in MR 1A (Abb. 63)	• Einbringen einer Bruchsteinpackung hinter MR 1C (Drainage) • Bau von MR 3A	• Keine Befunde (durch jüngere antike Baumassnahmen zerstört)	• Keine Befunde (nicht untersucht)	• Kieskoffer der Heidenlochstrasse (Beil. 2B,12A; 2C,12A; Abb. 96,12A)
• Lehmestrichboden (Beil. 2H,5) • Gehhorizont (Beil. 2E,6A) • Nachträglich in die Hangstützmauer MR 1C eingeschroteter Lichtschacht (Beil. 2D,3; Abb. 53) • Verputz aus Ziegelschrotmörtel an MR 1C (Beil. 2F,A; Abb. 53; Abb. 59) • Punktfundament (MR 18 [Abb. 40])		• Hinterfüllung der Hangstützmauer MR 1C (Abb. 237,2) • Sickerpackung (Drainage) aus Kalkbruchsteinen, Kieselwacken und Ziegelbruchstücken (Beil. 2C,10; Abb. 64)			
• Ensemble A5 (Abb. 62) Datierung: um 100–200 n. Chr.		• Ensemble C5 (Abb. 66) Datierung: um 50–150 n. Chr.			

Abb. 57: Augst BL, Insula 5/9 (Grabungen 1965–1967.052 und 2002.063). Synoptische Darstellung der Befunde und Fundensembles der Phase 5.

Raum A

Befund

Phase 5 ist im Wesentlichen durch den Bau der Mauern MR 2 und MR 4 charakterisiert. Diese wurden exakt vor die Nahtstellen zwischen den Mauern 1B und 1C bzw. zwischen den Mauern 1A und 1C gesetzt und verdeckten die oben beschriebenen, gut erkennbaren Baufugen auf den talseitigen Schalen der Hangstützmauer (Abb. 59; 60). Die beiden Mauern 2 und 4 stossen zudem nicht im rechten Winkel an die Hangstützmauer an, sondern sind offensichtlich auf den Verlauf der Neuntürmestrasse ausgerichtet.

Die neu errichteten Mauern bilden zusammen mit einem bei früheren Kanalisationsarbeiten entdeckten und erst im Jahre 2003 genauer dokumentierten, an die Neuntürmestrasse anschliessenden Mauerzug MR 14A den leicht schiefwinkligen, rund 15 m langen, 6 m breiten *hallenartigen Raum A*[115].

Wie der Ansatz einer Türschwelle am Westende von Mauer 14A zeigt, konnte Raum A von der Neuntürmestrasse her betreten werden[116]. Eine weitere Zugangsmöglichkeit bot ein später in Phase 9 zugemauerter Durchlass in Mauer 4. Dieser führte in den westlich angrenzenden *Raum B*.

Die Hangstützmauer 1C bildete ab Phase 5 die nördliche, hangseitige Abschlussmauer von Raum A (Abb. 58). Aus diesem Grund wurde ein 0,92 m breiter Licht- oder Warenschacht aus der Hangstützmauer 1C ausgeschrotet[117] und deren Südseite anschliessend mit Ziegelschrotmörtel verputzt[118]. Ebenfalls verputzt wurden die wahrscheinlich un-

115 Es handelt sich dabei um MR 9 nach Rychener 2004, Abb. 15. Diese Mauer wurde bereits anlässlich der Grabung 1954.052 angeschnitten und auf einem Übersichtsplan eingezeichnet, aber nicht näher beschrieben; absolute Höhenangaben fehlen ebenfalls. Zur Grabung 1954.052 vgl. Jahrb. SGU 44, 1954/1955, 95 ff.; Schmid 1993, 53 ff. (ohne Erwähnung des Mauerzugs).

116 Berger/Martin, Tagebuch, 05.10.1966. Vgl. auch Dokumentation der Grabung 1965–1967.052, Detail 16 und Fotos 215–217. Die Oberkante der Türschwelle lag auf 288,42 bzw. 288,34 m ü. M., die Kote des dort gefassten Gehhorizonts auf 288,22 m ü. M.

117 Schlussfolgerung des Verfassers aufgrund von Beobachtungen am erhaltenen Mauerwerk. Der Lichtschacht entspricht einem bei Kellerbauten immer wieder anzutreffenden Typ (vgl. etwa Mangin 1981, Taf. 35,b; 55,a; 65,b; 68,a; 93; Sütterlin 1999, 82 f. Abb. 93).

118 Vgl. dazu auch Vitr. 7,4,1: «Schutz vor Feuchtigkeit durch Beimengung von zerstossenen Tonscherben».



Abb. 58: Augst BL, Insula 5/9, Raum A (Grabung 1965–1967.052). Blick von Südwesten an die talseitige, mit einem sauberen Fugenstrich versehene Mauerschale der Hangstützmauer (MR 1C) aus Phase 4 mit dem in Phase 5 ausgeschroteten Lichtschacht. Im unteren Bereich sind noch Reste des in den Phasen 5 und 6 aufgetragenen und im Verlauf der Grabung abgewitterten Verputzes erhalten (vgl. Abb. 59; 133). Rechts die Ostwand von Raum A (MR 2), in der Bildmitte (unter dem Lichtschacht) die Ostwand (MR 7) des in Phase 7 errichteten cubiculum. *MR 7 ist im Zuge der Konservierungsmassnahmen weitgehend abgebrochen worden (vgl. Abb. 161). Links das über dem Backofen BO1 errichtete Schutzdach.*



Abb. 59: Augst BL, Insula 5/9, Raum A (Grabung 1965–1967.052). Blick auf den teilweise freigelegten Raum A. Links im Bild MR 4, rechts MR 2. An dem in Phase 5 aufgetragenen Verputz aus Ziegelschrotmörtel haften noch Reste des in Phase 6 aufgetragenen, bemalten Verputzes.



Abb. 60: Augst BL, Insula 5/9, Raum B (Grabung 2002.063). Blick an die Stossfuge der älteren Hangstützmauer (MR 1A) und der in Phase 5 errichteten Westwand (MR 4) von Raum A. Die ehemals vermutlich verzwickten Balkennegative stammen wahrscheinlich vom Baugerüst der MR 1A. Die Vermessungsschnur liegt auf 289,00 m ü. M.

brauchbar gewordenen Entwässerungsröhren. Die «Isolationsschicht» aus Ziegelschrotmörtel sollte den unbemalten weissen Kalkverputz vor Feuchtigkeit schützen. Die Reste dieses zweifelsfrei zur Ausstattung von Raum A gehörenden Verputzes waren allerdings nur noch dort erhalten, wo die später in Phase 6 errichtete Mauer 7 an die Hangstützmauer stiess.

Des Weiteren wurde im Inneren von Raum A eine Lehmplanie eingebracht (Beil. 2E,5A). Diese überdeckte die ältere Feuerstelle F2 und wurde ihrerseits von einem dünnen Schmutzhorizont überlagert (Beil. 2E,5B). Da der Gehhorizont nur sehr punktuell untersucht werden konnte, liegen keine konkreten Hinweise auf die Nutzung von Raum A während Phase 5 vor.

Das nicht sicher der Phase 5 zuweisbare Punktfundament MR 18 deutet überdies darauf hin, dass die sehr wahrscheinlich West-Ost orientierten, gut 6 m langen Deckenbalken von Raum A zusätzlich mit Pfosten abgestützt waren[119].

Die Deckenbalken des Erdgeschosses lagen wahrscheinlich auf gleicher Höhe wie der Lehmestrichboden im nördlich der Hangstützmauer 1C liegenden Korridor (Raum C). Gestützt wird diese Annahme durch die vermutlich von einer Treppe stammenden Balkennegative in der Hangstützmauer 1A im Bereich von Raum B. Die Existenz eines in etwa auf der gleichen Höhe wie der Lehmestrichboden im Korridor liegenden Obergeschosses ist wahrscheinlich, aber nicht erwiesen: Die in der Verfüllung des Hypokausts gefundenen Lehmreste an den unten bei Phase 6 näher beschriebenen Wandmalereiresten könnten von einer Binnenmauer im Erdgeschoss stammen oder eben von den Fachwerkwänden des Obergeschosses[120].

Zusammenfassend lässt sich festhalten, dass es sich bei Raum A nicht um einen in den Hang gebauten Halbkeller, sondern um einen auf gleicher Höhe wie die Neuntürmestrasse liegenden und von dort aus zugänglichen, hallenartigen Raum gehandelt hat[121].

Des Weiteren ist anzunehmen, dass der rund 3,5 m hohe Raum A[122] über ein Obergeschoss aus Fachwerk verfügte, dessen Fussboden auf gleicher Höhe wie der nördlich der Hangstützmauer 1C liegende Raum C lag[123].

Nicht gesichert ist hingegen, ob es sich bei Raum A in Phase 5 um ein eigenständiges Gebäude – das heisst um ein

119 In diesem Sinne auch Berger/Martin, Tagebuch, 26.06.1967. Das Fehlen von weiteren Punktfundamenten dürfte darauf zurückzuführen sein, dass der Grossteil von Raum A nicht bis auf den anstehenden Kies untersucht wurde. – Vgl. in diesem Zusammenhang auch Müller 1985, 15 Abb. 4,Raum 10. Dieser weist in etwa die gleichen Dimensionen wie der hier besprochene Raum A auf und besass ebenfalls eine Decke, die zusätzlich mit Holzpfosten abgestützt wurde. – Ein Zusammenhang mit einer ins Obergeschoss führenden Treppe ist wenig wahrscheinlich, weil derartige Treppen nicht frei im Raum standen, sondern an Wände angelehnt waren. Letzteres zeigt z. B. ein Befund in der Insula 11A (Ost) in Herculaneum (Adam 1984, Abb. 480). Vgl. dazu ferner Lüdin u. a. 1962, 39 und Bürgin 1965, 143, bes. Anm. 11 f.

120 Dies ist in erster Linie deswegen naheliegend, weil sich in der Hypokaustverfüllung (vgl. Phase 8) Wandverputzfragmente mit anhaftendem Lehm fanden (vgl. Otten 1994, 71 Kat. 504; 505 = hier Abb. 120,**275–278**). – Eine Vorstellung der mutmasslichen Konstruktionsweise vermittelt etwa Adam 1984, Abb. 285; 286; 470 oder Wallace-Hadrill 1994, Abb. 8.1 (Herculaneum, Insula V). Vgl. dazu ferner auch Lüdin u. a. 1962, 39.

121 Die diesbezüglichen Aussagen in den älteren Publikationen sind zu korrigieren. Beispiele für echte, d. h. zum Teil in den Boden eingetiefte Halbkeller finden sich bei Schwarz 2004, 103 f.; Hufschmid 1996, Abb. 62; Sütterlin 1999, Abb. 52.

122 Die doch recht beachtliche Raumhöhe könnte für die Existenz eines Zwischenstocks *(pergola)* sprechen, vgl. in diesem Zusammenhang z. B. Adam 1984, Abb. 465; 468; Vetters 1977, 13.

123 Das dieser Überbauung zugrunde liegende Konzept entspricht – in kleinem Massstab (!) – in etwa demjenigen der Traiansmärkte in Rom (Adam 1984, Abb. 352) bzw. demjenigen der sogenannten Hangbauten auf dem Magdalensberg (vgl. Piccottini/Vetters 1990, Abb. 13; 15). In Augusta Raurica sind ähnliche architektonische Lösungen auch in der Schmidmatt (Region 17E; vgl. Müller 1985, 15) und in der Insula 39 (vgl. Martin-Kilcher 1987/1994, 514 ff., bes. Abb. 244 [Räume G und F]) nachgewiesen.

Streifenhaus – gehandelt hat. Diesbezügliche Vorbehalte sind u. a. deswegen angebracht, weil Raum A und das westlich angrenzende Areal (d. h. der spätere Raum B) miteinander verbunden waren. Die gut erkennbare Türöffnung in Mauer 4 wurde später in Phase 9 zugemauert.

Für die *Datierung* von Raum A kann lediglich das Fundmaterial aus der *über* der Feuerstelle F2 liegenden Lehmplanie bzw. aus dem darüberliegenden Schmutzhorizont herangezogen werden. Der zwischen 103 und 111 n. Chr. geprägte Denar des Traian stammt laut der dreidimensionalen Einmessung höchstwahrscheinlich ebenfalls aus diesem Schichtpaket.

Ensemble A5

Allgemeine Charakterisierung: Ensemble A5 ist nicht sehr fundreich: Zwei Fundkomplexe (FK Z01667 und FK V05075) konnten dem Ensemble zugewiesen werden; der Fundkomplex V05075 hat ausser einer Münze keine weiteren Funde erbracht (Abb. 61).

Im Fundmaterial (Abb. 62) überwiegen die Terra-Sigillata-Formen; diese weisen zwei zeitliche Schwerpunkte auf. Die heterogene Zusammensetzung kann damit erklärt werden, dass es sich um Funde handelt, die aus der zu Beginn von Phase 5 eingebrachten lehmigen Planieschicht sowie – wohl zu einem geringeren Teil – aus dem darüberliegenden dünnen Schmutzhorizont stammen. Es braucht deswegen nicht zu überraschen, dass die Fragmente zum Teil sehr gross sind und dass sich beispielsweise das ganze Profil von Schälchen **89** rekonstruieren liess.

Form/Typ	RS	BS	WS	HE	Total	MIZ
TS, südgallisch						
Drag. 35/36	1		1		2	2
Drag. 27			2		2	2
Drag. 15/17		6			6	1
Drag. 18/31	1				1	1
Drag. 37	1		3		4	4
TS, mittel?-ostgallisch						
Drag. 33	4				4	1
TS, ostgallisch?						
Curle 15			1		1	1
Ludowici TI	1				1	1
TS, Herkunft unbestimmt						
Teller unbestimmt			1		1	1
Form unbestimmt			5		5	5
Übrige Keramik						
Helltonige Gebrauchskeramik						
Deckel	1				1	1
Grautonige Gebrauchskeramik						
Teller	1	1			2	2
Schüssel mit Kragenrand	2		2		4	1
Total Fragmente/MIZ	**12**	**7**	**15**		**34**	**23**

Abb. 61: Augst BL, Insula 5/9, Raum A (Grabung 1965–1967.052). Ensemble A5: Fundstatistik zur Keramik (FK V05075, FK Z01667). MIZ = RS, BS, WS, HE.

Datierung des Fundmaterials: Die Schälchen der Formen Drag. 27 (o. Abb.) und Drag. 35/36 (**88**), wie auch die Teller **90** und **91** der Formen Drag. 15/17 und Drag. 18/31 sind südgallischer Provenienz und wurden etwa von der Mitte bis gegen Ende des 1. Jahrhunderts produziert. Der Teller **90** trägt einen Töpferstempel des Scotnus, dessen Produktionszeit in die Jahre 45–65 n. Chr. datiert. Die reliefierten Schüsseln (**94,** o. Abb.) der Form Drag. 37 datieren gegen das Ende des 1. Jahrhunderts. Zu den frühen Stücken innerhalb des Keramikensembles gesellen sich spätere Formen wie die Teller der Formen Curle 15 **(93)** und Ludowici TI **(92),** deren Produktion im frühen 2. Jahrhundert beziehungsweise in der zweiten Hälfte des 2. Jahrhunderts beginnt[124]. Die beiden Teller sind wahrscheinlich ostgallische Fabrikate[125] und somit ist deren Produktion entsprechend jünger zu veranschlagen. In diesen umrissenen Zeitraum passt auch gut das mit der Wandung ausladende Schälchen **89** der Form Drag. 33. Die übrige Gebrauchskeramik passt besser zum frühen Datierungsansatz: Die Kragenrandschüssel **97** sowie die Teller **95** und **96** mit ausbiegendem Rand treten bereits um die Mitte des 1. Jahrhunderts auf, finden sich aber auch noch in Komplexen des frühen 2. Jahrhunderts[126].

Das Ensemble ist relativ klein und lässt sich chronologisch nur schwer einordnen: In der vorhandenen Zusammensetzung muss man sagen, dass die Funde sicherlich vom ausgehenden 1. bis an das Ende des 2. Jahrhunderts zu datieren sind. Will man den Zeitpunkt für die Ablagerung des Ensembles genauer umreissen, so muss man mit einer Datierung gegen 200 n. Chr. rechnen.

Katalog der Funde aus Ensemble A5 (Abb. 62)

Terra Sigillata

88 RS, TS (südgallisch), Schälchen Drag. 35/36. – Inv. 1967.10065, FK Z01667.

89 4 RS, TS (mittel?-ostgallisch), Schälchen Drag. 33. – Inv. 1967.10061A.B, FK Z01667.

90 6 BS, TS (südgallisch), Teller Drag. 15/17. Mit zentralem Bodenstempel: [.SC]OTNS[.] (Scotnus, La Graufesenque, 45–65 n. Chr.)[127]. – Inv. 1967.10059A.B, FK Z01667.

124 Zu den Tellern Curle 15 vgl. Schatzmann 2003, 165 Taf. 30,378; Hufschmid 1996, 107 Taf. 18,281. Zu den Tellern Ludowici TI vgl. Hufschmid 1996, 106 Taf. 1,1. Bei allen aufgeführten Vergleichsstücken handelt es sich um ostgallische Produkte.

125 Beim Teller der Form Curle ist eine Herkunftsbestimmung schwierig: Hier könnte es sich eventuell auch noch um ein mittelgallisches Produkt handeln.

126 Sütterlin 1999, 105 f.; Schatzmann 2003, 42 Taf. 1,13.15.

127 Die Lesung und die Datierung des Stempels erfolgten durch Brenda Dickinson, Leeds.

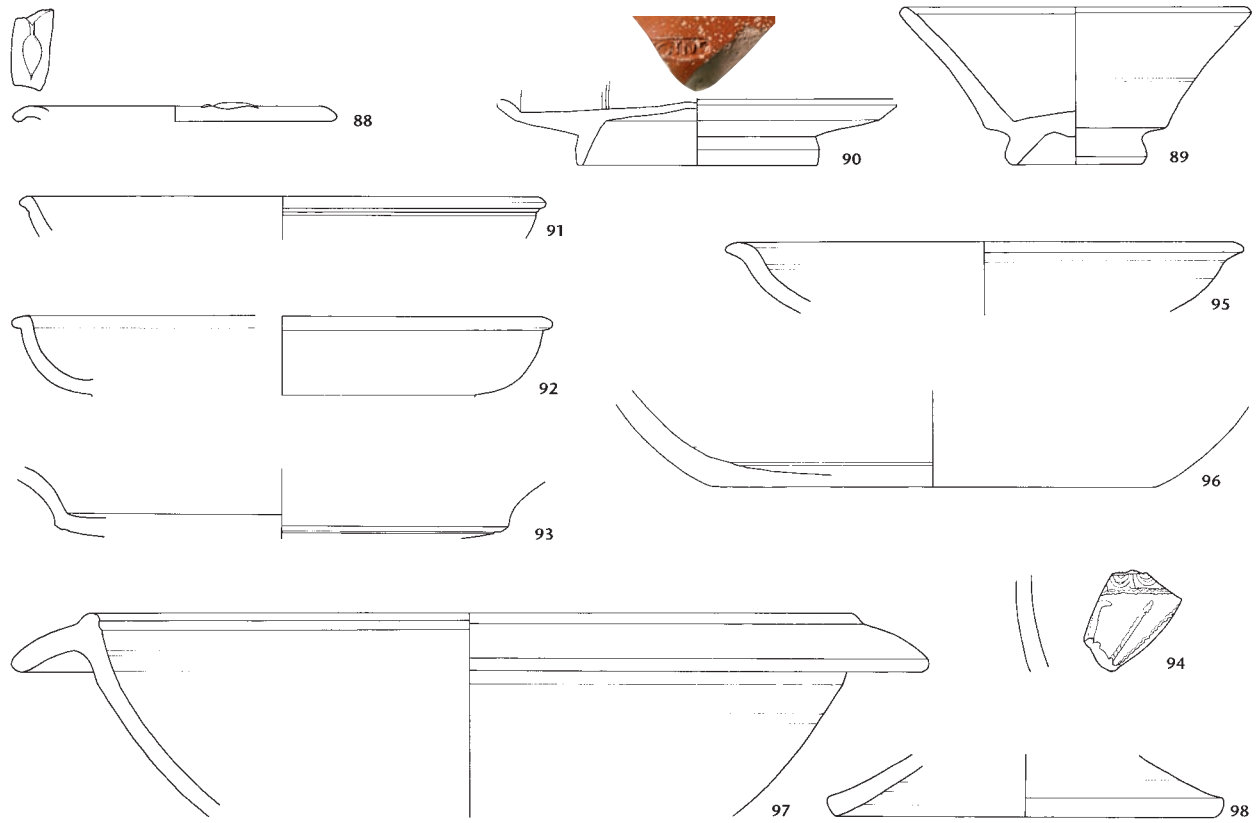


Abb. 62: Augst BL, Insula 5/9, Raum A (Grabung 1965–1967.052). Ensemble A5: Funde aus der Lehmplanie und dem Schmutzhorizont in Raum A. M. 1:3 (Stempel M. 2:3). ***88–94*** *Terra Sigillata,* ***95–98*** *Gebrauchskeramik.*

91 RS, TS (südgallisch), Teller Drag. 18/31. – Inv. 1967.10062, FK Z01667.
92 RS, TS (ostgallisch?), Teller Ludowici TI. – Inv. 1967.10063, FK Z01667.
93 WS, TS (ostgallisch?), Teller Curle 15. – Inv. 1967.10060, FK Z01667.
94 WS, TS (südgallisch), Schüssel Drag. 37. Relief: Eierstab mit doppelter Stabreihe, linker Beistrich, Perlstab, Wand mit Andreaskreuzen? – Inv. 1967.10066, FK Z01667.

Übrige Keramik
95 RS, Teller mit ausbiegendem Rand. Ton schwarz mit grauem Kern, überglättet. – Inv. 1967.10068, FK Z01667.
96 BS, Teller. Ton fleckig grau mit grauem Kern, innen überglättet und versintert. – Inv. 1967.10069C, FK Z01667.
97 2 RS, 2 WS, Schüssel mit Kragenrand. Ton fleckig hellgrau mit grauem Kern, innen und aussen leicht überglättet. – Inv. 1967.10069A.B.D.E, FK Z01667.
98 RS, Deckel. Ton hellbeige, leicht glimmerhaltig. – Inv. 1967.10070, FK Z01667.

Nicht abgebildete Funde
Keramik
– Vgl. Abb. 61.

Eisen
– Fragment unbestimmbar. Stark korrodiert und restauriert. – Inv. 1967.10071, FK Z01667.

Münze
– Traian. Denar. Rom, 103–111 n. Chr. Vgl. RIC II, S. 252, Nr. 116. A2/2, K2/2, 210°, 3,08 g. Brandspuren? – Inv. 1967.16467, FK V05075. – Publ.: Peter 1996, Ins. 5.9/21.

Die Tierknochen aus Ensemble A5 (Elisabeth Marti-Grädel)
Aus Ensemble A5 liegen 20 Knochenfragmente aus Fundkomplex Z01667 vor (vgl. unten Abb. 303). Von den acht bestimmbaren Knochen stammen drei von Schaf/Ziege und fünf vom Hausschwein (vgl. Anhang, Tabellen 12; 13).

Ensemble A5 datiert in die Zeit zwischen 100 und 200 n. Chr. Es wurde in der diachronen und in der räumlichen Auswertung der Tierknochenfunde berücksichtigt und der dritten Zeitstufe (100–220/250 n. Chr.) zugewiesen (vgl. Exkurs 2, unten S. 319 ff.).

Raum B: Befund

Raum B wurde im Rahmen der Grabungen 1965–1967.052 und 2002.063 nur punktuell untersucht (Beil. 1). Die jüngsten Untersuchungen beschränkten sich dabei auf einen knapp 2 m breiten und 10 m langen, parallel zu Mauer 4



Abb. 63: Augst BL, Insula 5/9 (Grabung 1965–1967.052). Blick an die Nahtstelle zwischen der Hangstützmauer MR 1C (oben) und MR 1A (unten). Die nachträglich eingeschroteten Balkenlager auf der Krone der Hangstützmauer 1A stammen wahrscheinlich von einer Holztreppe, die aus Raum B in den Korridor (Raum C) führte.

verlaufenden Streifen (vgl. Abb. 80; 178), der maschinell und ohne archäologische Begleitung ausgehoben wurde[128].

Die stratigrafischen Informationen zu Raum B basieren deswegen im Wesentlichen auf dem Nord-Süd verlaufenden, fotografisch dokumentierten Profil 6. Die darin beobachteten Schichten und Strukturen sind jedoch nur für die Spätzeit von Belang (vgl. Abb. 37; 179; 180; 184)[129].

Die östliche Begrenzung von Raum B wird von Mauer 4 gebildet, die an die Hangstützmauer 1A anstösst (vgl. Abb. 60)[130].

Die westliche Abschlussmauer von Raum B bildet wahrscheinlich ein Mauerzug, der im Jahre 1924 bei Kanalisationsarbeiten angeschnitten worden ist. Er ist nach Aussage der von Karl Stehlin dokumentierten Stossfuge jünger als die Fortsetzung von Hangstützmauer 1A und könnte demnach auch erst in Phase 6 errichtet worden sein[131]. Letzteres trifft auf Mauer 9 zu, die eindeutig an Mauer 4 anstösst und demzufolge erst im Verlauf von Phase 5 oder in Phase 6 errichtet wurde (vgl. Abb. 80).

Bei den beiden dicht nebeneinander liegenden, parallel zur Mauer 4 verlaufenden Balkennegativen auf der Oberkante von Mauer 1A muss es sich nicht zwingend um die Balkenlager der Decke von Raum B handeln; sie könnten auch von einer Holztreppe stammen, die in Raum C führte (Abb. 63)[132]. Ob es sich dabei um eine Aussentreppe oder um eine Innentreppe handelte, ist ungewiss (vgl. dazu unten). Gesichert ist die Existenz eines in Phase 9 zugemauerten Türdurchlasses zwischen den Räumen A und B (vgl. Abb. 68; 138).

Raum C

Befund

Als Raum C wird das zwischen der Hangstützmauer (MR 1A–MR 1C) und der Heidenlochstrasse liegende und in den früheren Phasen noch nicht überbaute Areal bezeichnet. Die der Phase 5 zuweisbaren Aktivitäten stehen in engem Zusammenhang mit dem Bau des etwas später errichteten, an die Hangstützmauer angelehnten hallenartigen Raums A.

In einem ersten Arbeitsgang wurde hinter der Hangstützmauer eine aus Kalkbruchsteinen, Kieselwacken und vereinzelten Ziegelfragmenten zusammengesetzte Steinpackung eingebracht (Beil. 2C,10). Zu diesem Zweck wurden die zwischen 288,20 und 290,00 m ü. M. liegenden älteren Hinterfüllschichten hinter Mauer 1C entfernt. Das Einbringen der neuen Hinterfüllung (Abb. 64; Beil. 2C,11) erfolgte nach Aussage der Stratigrafie mehr oder weniger parallel mit dem Einbringen der Steinpackung; eine Feststellung, die auch aus arbeitstechnischer Sicht naheliegend ist.

Die eigenartige Form des obersten, über 290,00 m ü. M. liegenden Teils der Steinpackung deutet darauf hin, dass sie später beim Bau von Mauer 3A angeschnitten und teilweise zerstört worden ist[133].

128 Anlass für die kleinflächigen Freilegungsarbeiten bildeten jeweils konservatorische Massnahmen (Entfeuchtung) an der Westseite von MR 4. Vgl. dazu Bauhofer, Tagebuch, S. 9 mit Anm. 5 .

129 Die Unterkante der Grabung 2002.063 lag auf 287,22 m ü. M., d. h. im Bereich des gekappten Fachwerkschutts der Phase 8 bzw. z. T. unter dem Gehniveau der Phasen 9–11. Vgl. dazu auch Dokumentation der Grabung 2002.063, Abtrag 2.001, hier Abb. 155,B.

130 Die 2–3 cm breite Baufuge wurde – anders als in Raum A – nicht vermörtelt. Vgl. Bauhofer, Tagebuch, S. 11.

131 Vgl. Stehlin, Akten H7, 1b, 154 (Grabung 1924.055). Vgl. dazu auch Schwarz 1994, Abb. 52A.

132 Berger/Martin, Tagebuch, 02.09.1966 und Dokumentation der Grabung 1965–1967.052, Detail 12.

133 In der Hinterfüllung sind zwar keine Störungen zu erkennen. Dies muss aber nicht gegen einen jüngeren Eingriff sprechen, da dessen Verfüllung nicht zwingend mit dem Einbringen anderer Sedimente verbunden gewesen sein muss.



Abb. 64: Augst BL, Insula 5/9, Raum C (Grabung 1965–1967.052). Blick an die hangseitige Mauerschale der Hangstützmauer (links MR 1C, rechts MR 1A) mit der in Phase 5 eingebrachten Sickerpackung, die nach dem Bau von Raum A die Funktion der Entwässerungsröhren übernahm (vgl. Abb. 50; 52 und Beil. 2C,8.10). Im Hintergrund der während der Grabung über dem Backofen BO1 in Raum A errichtete Bretterverschlag.

Wie ähnliche Befunde zeigen[134], handelt es sich bei dieser Steinpackung nicht um ein – allenfalls mit anderen Baumassnahmen erklärbares – Zufallsprodukt[135], sondern ganz offensichtlich um eine Drainage. Diese hatte die Funktion der oben unter Phase 4 beschriebenen Entwässerungsröhren zu übernehmen[136], indem sie das Stauwasser unter die Unterkante des Fundaments der Hangstützmauer 1C ableitete (vgl. Beil. 2C). Andererseits sollte die Drainage wohl auch die nun mit einem Verputz versehene Hangstützmauer 1C vor der Erdfeuchtigkeit schützen[137]. Letzteres war insofern von Belang, als die Hangstützmauer 1C ab Phase 5 die hangseitige Abschlussmauer des neu errichteten und spätestens ab Phase 6 auch für Wohnzwecke genutzten Raumes A bildete (s. u. S. 77 ff.).

Die sicher erst nach dem Einbringen der Sickerpackung errichtete Mauer 3A liess sich nur noch in Form einer Fundamentschüttung nachweisen. Im Norden dürfte die Fundamentgrube von Mauer 3A höchstwahrscheinlich auch das kiesige, in Phase 3 eingebrachte und in den Kieskoffer der Heidenlochstrasse übergehende Planiematerial durchschlagen haben (Beil. 2C,12B).

Für eine Datierung von Mauer 3A in die Spätzeit von Phase 5 spricht, dass sie *gegen* die zusammen mit der Sickerpackung eingebrachte Hinterfüllung bzw. gegen die Hangstützmauer 1C gemauert worden ist.

Offen bleibt, wozu die parallel zur Hangstützmauer 1C verlaufende Mauer 3A errichtet wurde. Die Mauerstärke von 1 m weist auf eine tragende Mauer. Folglich ist denkbar, dass es sich dabei um das Fundament der Nordfassade von Raum C gehandelt hat. Die südliche Begrenzung von Raum C bildete wahrscheinlich die auf der Hangstützmauer 1C errichtete Nordwand des Obergeschosses von Raum A (vgl. unten Abb. 84). Zu erwägen ist dies deswegen, weil Raum C in Phase 6 den Zugang zum Treppenhaus (Raum D) bildete. Andere Befunde, die diese Annahme stützen würden, liegen nicht vor.

Die Mächtigkeit von Mauer 3A könnte auch mit dem schlechten Baugrund zusammenhängen, weshalb nicht a priori ausgeschlossen ist, dass es sich um ein Streifenfundament handelt, das die Säulen einer offenen Portikus trug. Dies ist jedoch wegen des beträchtlichen Niveauunterschieds von 0,7 m zwischen der Oberkante der Heidenlochstrasse und dem Bodenniveau in Raum C wenig wahrscheinlich[138].

Für die Datierung der Baumassnahmen im Bereich von Raum C kann das Fundmaterial aus dem Teil der Hinterfüllung der Hangstützmauer 1C herangezogen werden, der im Zusammenhang mit der Sickerpackung (Drainage) eingebracht worden ist. Berücksichtigt wurden folglich nur Fundkomplexe, die aus dem unter Mauer 3A liegenden Bereich der

134 Hoek 1991, 109 ff., bes. Abb. 19; 24.

135 Jedenfalls waren am obersten Teil von MR 1C weder damals noch heute Indizien festzustellen, die für eine spätere Reparatur oder für eine Aufstockung des über 290,00 m ü. M. liegenden Teils von MR 1C sprechen würden. – Zum oft recht problematischen Nachweis derartiger Aufstockungen vgl. Hufschmid 1996, 94 Abb. 100. Im ebd. geschilderten Fall war die Aufhöhung einer Hangstützmauer in Insula 1 am Baubefund kaum nachzuweisen, obschon verschiedene andere Hinweise (u. a. die Stratigrafie der Hinterfüllung) zwingend dafür sprachen.

136 In diesem Sinne auch Berger, Bericht 1966.052, 3. Dafür spricht, dass zumindest eine dieser Röhren mit eingeschwemmtem Erdreich verstopft war und eine weitere von der in Phase 5 eingebrachten MR 2 verdeckt wurde. Vgl. ferner Berger/Martin, Tagebuch, 13./14.10.1966.

137 Im Gegensatz zur nicht durch spätere Anbauten verdeckten Stützmauer der Frauenthermen. Dort konnte das nachträgliche Einbringen der Sickerpackung sehr plausibel mit einer ungenügenden Wirkungsweise bzw. mangelnden Kapazität der Entwässerungsröhren erklärt werden (Hoek 1991, 113).

138 Für den auch in den späteren Bauzuständen zu konstatierenden Niveauunterschied zwischen der Oberkante der Heidenlochstrasse (Beil. 2C) und dem zwischen MR 3A bzw. MR 3B und MR 1C liegenden Korridor konnte keine plausible Erklärung gefunden werden. Auch spätere Senkungen, mit denen im eingefüllten Material durchaus zu rechnen ist, können kaum als alleinige Erklärung für die Bildung der markanten, fast 0,7 m hohen Böschung herangezogen werden. – Ein (allerdings sehr entfernt) ähnlicher Befund wurde an der Peripherie der Frauenthermen (Insula 17) in Form eines knapp 1 m hohen Abwasserkanals angetroffen, welcher direkt unterhalb einer Stützmauer verlief (vgl. Hoek 1991, Abb. 2). – Der Niveauunterschied könnte als Indiz dafür gewertet werden, dass es sich tatsächlich um einen Korridor gehandelt hat, der – im Gegensatz zu einer Portikus – nicht unbedingt von der Strasse her zugänglich gewesen sein musste.

Form/Typ	RS	BS	WS	HE	Total	MIZ
TS, südgallisch						
Drag. 18	3				3	3
Drag. 24	1				1	1
Drag. 35/36	6		1		7	7
Drag. 27	1		1		2	2
Drag. 22/23		1			1	1
Déchelette 72/Drag. 54			1		1	1
Curle 11	1				1	1
Drag. 37	1		7		8	8
Form unbestimmt			2		2	1
TS-Imitation						
Drack 2Aa	1				1	1
Drack 3A	1				1	1
Drack 20–22						
Drack 20	3				3	3
Glanztonkeramik						
Becher		1	5		6	5
Übrige Keramik						
Helltonige Gebrauchskeramik						
Teller	2		1	1	3	3
Honigtopf					1	1
Schüssel mit Horizontalrand	2				2	2
Schüssel mit gerilltem Horizontalrand	1				1	1
Krug	4				4	4
Grautonige Gebrauchskeramik						
Teller mit eingeschnürtem Rand	1				1	1
Schüssel mit Kragenrand	1				1	1
Topf/Tonne	5		1		6	6
Schüssel mit verdicktem Wulstrand	1				1	1
Scheibengedrehte Kochkeramik	1				1	1
Reibschüssel	1				1	1
Amphore	7				7	5
Handgemachte Kochkeramik						
Kochtopf	1				1	1
Total Fragmente/MIZ	**45**	**2**	**19**	**1**	**67**	**63**

Abb. 65: Augst BL, Insula 5/9, Raum C (Grabung 1965–1967.052). Ensemble C5: Fundstatistik zur Keramik (FK X04713, FK X04718, FK X04734, FK X06242, FK X06244, FK X06503, FK X06515). MIZ = RS, BS, WS, HE.

Hinterfüllung stammen[139]. In der Sickerpackung selbst wurden lediglich fünf nicht näher datierbare Keramikfragmente gefunden[140].

Aus dem Ensemble C5 lässt sich folglich ein *terminus post quem* für das Einbringen der Drainage und damit auch für den Bau der (leicht jüngeren) Mauer 3A ableiten. Von chronologischer Relevanz ist Ensemble C5 aber auch deswegen, weil das Einbringen der Sickerpackung zweifelsfrei in Zusammenhang mit dem westlich der Hangstützmauer 1C errichteten Raum A erfolgte. Ensemble C5 liefert folglich indirekt auch Hinweise für die Datierung der Baumassnahmen im Bereich von Raum A.

Ensemble C5

Allgemeine Charakterisierung: Ensemble C5 umfasst sieben Fundkomplexe: FK X04713, FK X04718, FK X04734, FK X06242, FK X06244, FK X06503 und FK X06515 (Abb. 65). Alle Fundkomplexe enthielten Funde, waren jedoch für sich alleine genommen nicht sehr fundreich. Da dieses Ensemble (Abb. 66) für die Bestimmung des Zeitpunkts des Einbringens der Drainage und der Hinterfüllung der Hangstützmauer 1C bzw. für den Bau von Mauer 3A von Bedeutung ist, interessieren vor allem die jüngsten Elemente innerhalb des Keramikspektrums.

Datierung des Fundmaterials: Bei der Terra Sigillata finden wir ein relativ heterogenes Spektrum: Die Zeitspanne wird durch das Schälchen **99** der Form Drag. 24 sowie durch das Schälchen **103** der Form Curle 11 gegeben. Das Schälchen der Form Drag. 24 verweist in das zweite Viertel des 1. Jahrhunderts und die Schüssel Curle 11 wird im späten 1. und in der ersten Hälfte des 2. Jahrhunderts geläufig[141]. In einen vergleichbaren Zeitraum können die in ihrer Form noch fein ausgearbeiteten Teller **104** und **105** der Form Drag. 18, das Schälchen **100** der Form Drag. 27 und ab flavischer Zeit auch die mit insgesamt sieben Exemplaren vorkommenden Schälchen (**101** und o. Abb.) der Form Drag. 35/36 eingeordnet werden. An diesen Zeitpunkt lassen sich auch die Schüsseln mit Kragenrand (o. Abb.), die Schüssel **114** mit nach innen verdicktem Wulstrand und die Horizontalrandschüsseln **115** und **116** mit Goldglimmer anschliessen[142]. Die Glanztonbecher **109** und **110** mit Griessbewurf oder mit Fadenauflagen können schon ab flavischer Zeit auftreten, werden jedoch wie die Becher **111** und **112** mit Ratterblechdekor und décor oculé erst im mittleren 2. Jahrhundert geläufig[143]. Zusammenfassend ist fest-

139 Die aus dem oberen Teil von Schicht 11 (vgl. Beil. 2C) stammenden und beim Bau der MR 3A tertiär verlagerten Funde (= FK X04732, FK X06233, FK X06246, FK X06248, FK X06249) helfen in dieser Hinsicht nicht weiter, da sie älter sind als das aus dem tiefer liegenden Teil der Schicht 11 stammende Ensemble HL6 (vgl. Abb. 97; 98). Zur Datierung der FK aus dem oberen Teil von Schicht 11 vgl. u. a. Rütti 1991/2, Kat. 3338 (FK X06236: Glasfragment der Form AR 160 ohne Mitfunde); Riha 1979, Kat. 53 (FK X06248: «Mischkomplex 2. H. 1. Jh. n. Chr. – spätes 2. Jh. n. Chr.») und Martin-Kilcher 1987/1994, Nr. 4495 (FK X06249: «uneinheitlich, 1.–2. Jh. n. Chr.»). Die ebd. angegebenen Fundorte («Ins. 5») sind zu korrigieren.

140 FK X06517. Auf eine Vorlage dieser Funde wurde des geringen Aussagewerts wegen verzichtet.

141 Furger/Deschler-Erb 1992, 57.

142 Kragenrandschüsseln: Schucany u. a. 1999, 139; Schüsseln mit verdicktem Wulstrand: Vogel Müller/Schmid 1999, Abb. 2,12; Schüsseln mit Horizontalrand: Schucany 1996, 109 Abb. 109.

143 Furger 1993, 95 f.; Castella/Meylan Krause 1994, 30; 48.3.

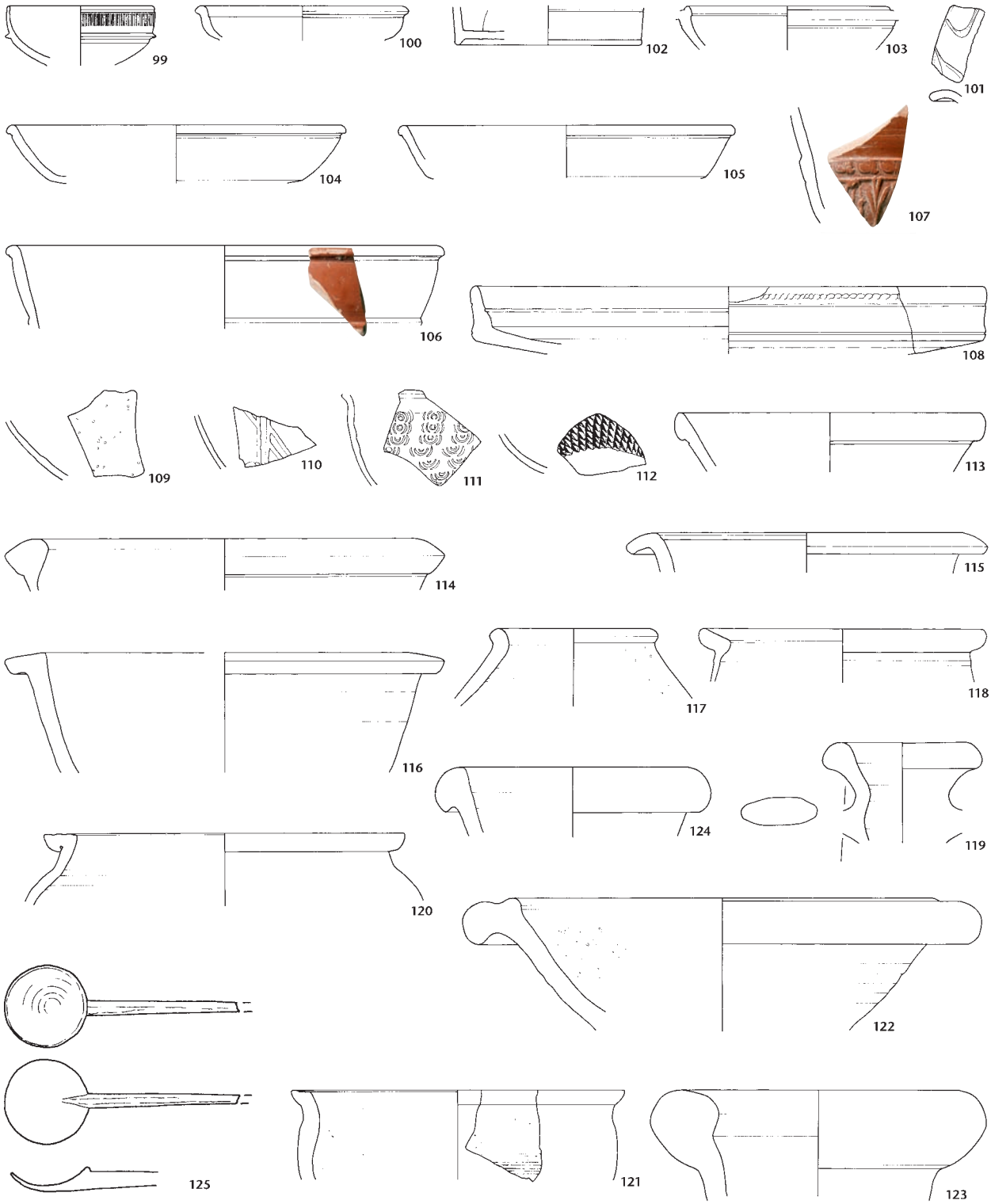


Abb. 66: Augst BL, Insula 5/9, Raum C (Grabung 1965–1967.052). Ensemble C5: Funde aus dem beim Anlegen der Drainage eingebrachten und unter Mauer 3A liegenden älteren Teil der Hinterfüllung der Hangstützmauer MR 1C. M. 1:3 (Bein M. 1:2). ***99–107*** *Terra Sigillata,* ***108*** *Terra-Sigillata-Imitation,* ***109–112*** *Glanztonkeramik,* ***113–124*** *Gebrauchskeramik,* ***125*** *Bein.*

zuhalten, dass das Ensemble – versetzt mit vielen Altstücken aus der Mitte und der zweiten Hälfte des 1. Jahrhunderts – etwas nach der Mitte des 2. Jahrhunderts in den Boden gekommen sein dürfte.

Katalog der Funde aus Ensemble C5 (Abb. 66)

Terra Sigillata

99 RS, TS (südgallisch), Schälchen Drag. 24. – Inv. 1966.3049, FK X06244.

100 RS, TS (südgallisch), Schälchen Drag. 27. – Inv. 1965.4203, FK X04718.
101 RS, TS (südgallisch), Schälchen Drag. 35/36. – Inv. 1966.3678, FK X06242.
102 BS, TS (südgallisch), Schälchen Drag. 22/23. – Inv. 1965.4170, FK X04713.
103 RS, TS (südgallisch), Schälchen Curle 11. – Inv. 1965.4205, FK X04718.
104 RS, TS (südgallisch), Teller Drag. 18. – Inv. 1965.4169, FK X04713.
105 RS, TS (südgallisch), Teller Drag. 18. – Inv. 1966.3676, FK X06242.
106 RS, TS (südgallisch), Schüssel Drag. 37. Relief: Eierstab fehlt, Relief abgebrochen. – Inv. 1965.4206, FK X04718.
107 WS, TS (südgallisch), Schüssel Drag. 37. Relief: Eierstab mit Kern und zwei teilweise unklar ausgeprägten, umlaufenden Stäben, linker Beistrich mit dreiblättrigem Blümchen, Perlstab, Ansätze eines Feldes mit andreaskreuzartigem Ornament und Büschelblatt. – Inv. 1965.3748, FK X04734.

Übrige Keramik
108 RS, Drack 2Aa. Ton orange mit hellorangem, glänzendem Überzug. Über dem Rand auf der Aussen- und Innenseite starke Brandspuren. – Inv. 1966.5300, FK X06515.
109 WS, Glanztonbecher. Ton beige mit dunkelgrauem, leicht irisierendem Überzug, begriesst. – Inv. 1965.4209, FK X04718.
110 WS, Glanztonbecher. Ton orange mit grauem Überzug, Barbotinedekor. – Inv. 1965.3754, FK X04734.
111 2 WS, Glanztonbecher mit décor oculé. Ton orange mit orangem Überzug. – Inv. 1966.5298a.b, FK X06515.
112 WS, Glanztonbecher. Ton beige mit orangebraunem Überzug und Ratterblechdekor. – Inv. 1966.3052, FK X06244.
113 RS, steiler Teller oder Schüssel mit Randlippe. Ton orangegrau, innen und aussen schwarz, geglättet. – Inv. 1965.4210, FK X04718.
114 RS, Schüssel mit einwärts gebogenem Wulstrand. Ton grau, ohne Glättung. – Inv. 1966.3681, FK X06242.
115 RS, Schüssel mit Horizontalrand. Ton orange mit Goldglimmer auf der Aussen- und Innenseite. Über dem Rand leichte Brandspuren. – Inv. 1965.4174, FK X04713.
116 RS, Schüssel mit Horizontalrand. Ton orange mit Goldglimmer auf der Aussen- und Innenseite. – Inv. 1966.3682, FK X06242.
117 RS, Schultertopf. Ton grau, aussen geglättet. Mit Kalk gemagert. – Inv. 1966.3680, FK X06242.
118 RS, Tonne mit Sichelrand. Ton grau. – Inv. 1966.5301, FK X06515.
119 RS, doppelhenkliger Krug mit wellenförmigem Trichterrand. Ton orangebraun. – Inv. 1966.4490, FK X06503.
120 RS, Kochtopf mit gerilltem Horizontalrand. Ton grau, leicht gemagert. Scheibengedreht. – Inv. 1966.4487, FK X06503.
121 RS, Kochtopf mit gerilltem Rand. Ton schwarzgrau, Innenfläche orangebraun. Handgemacht, überdreht. – Inv. 1965.3755, FK X04734.
122 RS, Reibschale. Ton hellbeige, Quarzierung stark abgerieben. – Inv. 1966.4488, FK X06503.
123 RS, Amphore, Dressel 20. – Inv. 1966.3684, FK X06242. – Publ.: Martin-Kilcher 1987/1994, Kat. 317.
124 RS, Amphore, Gauloise 4. – Inv. 1965.4175, FK X04713. – Publ.: Martin-Kilcher 1987/1994, Kat. 2739.

Bein
125 Rundlaffiger Löffel mit abgesenkter Laffe. – Inv. 1966.4482, FK X06515. – Publ.: Deschler-Erb 1998, Kat. 233.

Nicht abgebildete Funde
Keramik
– Vgl. Abb. 65.
– Zurzeit nicht auffindbar. – Inv. 1966.3055.3056, FK X06244.

Eisen
– Zurzeit nicht auffindbar. – Inv. 1966.3058, FK X06244.

Die Tierknochen aus Ensemble C5 (Elisabeth Marti-Grädel)

Von den insgesamt 135 Knochenresten aus Ensemble C5 waren 61 (45%) bestimmbar (Abb. 67). Bei den bestimmbaren Resten handelt es sich ausschliesslich um solche von Haustieren. Darunter ist das Hausrind (41%) etwas häufiger nachgewiesen als das Hausschwein (36%). Deutlich schwächer vertreten sind Reste von Schaf/Ziege (rund 20%). Je ein Knochenfragment stammt von einem nicht näher bestimmten Equiden und vom Haushuhn (Anteil jeweils 1,6%).

Ensemble C5 datiert in die Zeit zwischen 50 und 150 n. Chr. Da das Ensemble keiner bestimmten Zeitstufe zugewiesen werden konnte, wurde es nur beim räumlichen Vergleich der Tierknochenfunde berücksichtigt (s. u. S. 319 ff.).

		X04713	X04718	X04734	X06242	X06244	X06503	X06515	Total	%
Fragmentzahlen	*Bos taurus* (Hausrind)	2	4	4	1	5	2	7	25	41,0
	Capra hircus (Hausziege)							1	1	1,6
	Ovis/Capra (Hausschaf/Hausziege)	2		2	1	2		4	11	18,0
	Sus domesticus (Hausschwein)	2	2	2	3	4	1	8	22	36,1
	Equus spec. (Pferd/Maultier/Maulesel)				1				1	1,6
	Gallus domesticus (Haushuhn)							1	1	1,6
	TOTAL HAUSTIERE	6	6	8	6	11	3	21	61	100,0
	TOTAL WILDTIERE	0	0	0	0	0	0	0	0	0,0
	TOTAL HAUS- UND WILDTIERE	6	6	8	6	11	3	21	61	100,0
	TOTAL GROSSGRUPPEN	0	0	0	0	0	0	0	0	
	Unbestimmbar, ohne Grössenangabe	7	8	4	11	5	6	33	74	
	TOTAL UNBESTIMMBAR	7	8	4	11	5	6	33	74	
	GESAMTTOTAL	13	14	12	17	16	9	54	135	
Gewicht (g)	Bestimmbare	75	150	210	365	905	105	795	2605	61,1
	Unbestimmbare	195	120	145	285	195	160	560	1660	38,9
	Total	270	270	355	650	1100	265	1355	4265	100,0

Abb. 67: Augst BL, Insula 5/9, Raum C (Grabung 1965–1967.052). Ensemble C5: Tierartenliste, Fragmentzahlen und summarische Gewichtsangaben (g).

Phase 6: Verbreiterung der Neuntürmestrasse

Überblick

Phase 6 (Abb. 68) ist durch eine Verkürzung von Raum A (Bau von MR 21) und den Einbau eines «hypokaustierten Gemachs» *(cubiculum)* in dessen Nordwestecke gekennzeichnet. Ebenfalls in Phase 6 erfolgte der Bau von Mauer 3B in Raum C sowie des «Gelasses im Berg» (Raum D). In Phase 6 erfolgte möglicherweise auch der Bau von Mauer 22, die den Raum E gegen die Neuntürmestrasse hin begrenzte. Für diese Annahme spricht einerseits der Bau des Treppenhauses (Raum D), andererseits der Umstand, dass Mauer 22 in der gleichen Flucht verläuft wie die strassenseitige Abschlussmauer 21 von Raum A.

Aufgrund der Gesamtsituation ist davon auszugehen, dass die einzelnen Baumassnahmen mehr oder weniger gleichzeitig erfolgten. Diese Annahme lässt sich stratigrafisch jedoch nicht absichern.

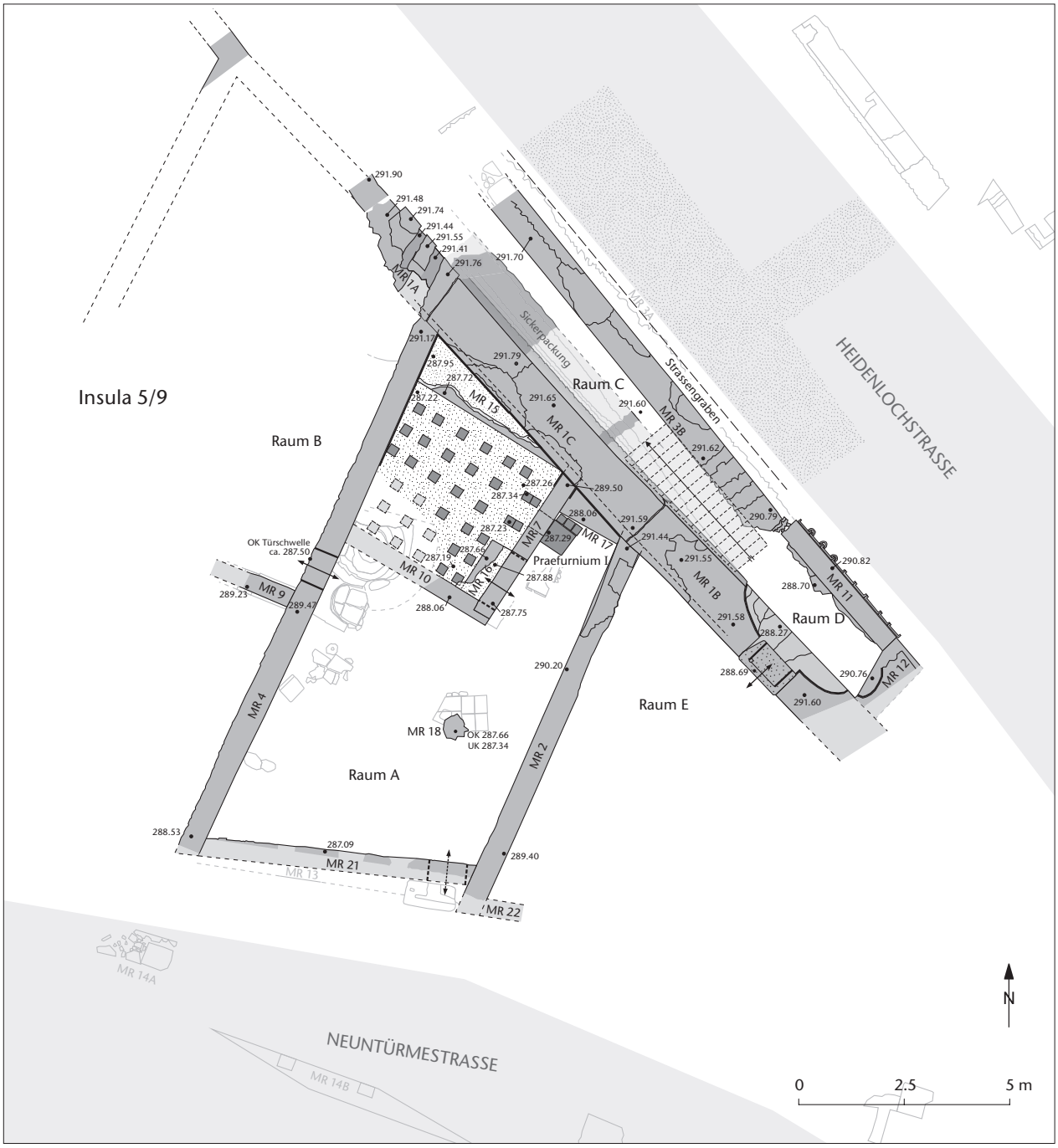


Abb. 68: Augst BL, Insula 5/9 (Grabungen 1965–1967.052 und 2002.063). Übersichtsplan mit den Befunden der Phase 6. M. 1:150.

Raum A	Raum B	Raum C (Korridor)	Raum D (Treppenhaus)	Raum E	Heidenlochstrasse
• Verkürzung des Raums durch Bau von MR 21 • Abbruch von MR 14A und MR 14B wegen Verbreiterung der Neuntürmestrasse • Einbau des hypokaustierten *cubiculum* (MR 15, MR 7, MR 10) • Befeuerung des Hypokaust via Praefurnium I • Zumauerung des Lichtschachts in MR 1C • Anbau des bankettartigen Mauerklotzes (MR 17) an die Hangstützmauer (MR 1C)	• Bau von MR 9 = Streifenfundament für Fachwerkwand • Erschliessung von Raum A aus via Durchgang in MR 4 • wohl hallenartiger Raum (nur punktuell untersucht): Aufgehende Teile bestehen z. T. aus Lehmfachwerk	• Abbruch von MR 3A • Bau von MR 3B	• *exedra*-artiges Treppenhaus («Gelass im Berg») • Bau von MR 11 und MR 12 • Ausschroten eines Durchgangs durch MR 1B • Bretterboden (Abb. 88,8; Abb. 93) • Erschliessung via Raum C durch Holztreppe auf Erdrampe (?) (Abb. 82; 93; 237,3)	• Erschliessung via Raum C durch *exedra*-artiges Treppenhaus (Raum D) • Bau des Vorgängers von MR 22 (?) • Ansonsten keine Befunde (nicht untersucht)	• Kieskoffer der Heidenlochstrasse (Beil. 2B,12A; 2C,12A; Abb. 96,12A) • Anlegen eines Strassengrabens
• Kieskoffer der Neuntürmestrasse auf Abbruchkrone von MR 4 (Abb. 70,1) • bemalter Verputz auf älterem Verputz aus Ziegelschrotmörtel (Phase 5) an der Hangstützmauer (MR 1C) (Beil. 2D,2; 2E,11; 2F,B; 2G,B; Abb. 59; 72; 73) • Älterer «feiner» Terrazzoboden des hypokaustierten *cubiculum* (Beil. 2D,1A; Abb. 102) • Unterboden des Hypokausts im *cubiculum* (Beil. 2D,1C; 2F,1; 2G,1) • Gehhorizont (Beil. 2E,6A) • ausplanierter Mauerschutt; wurde wahrscheinlich im Zusammenhang mit der Verkürzung von Raum A eingebracht (Beil. 2H,6) • Lehmige, mit Holzkohle durchsetzte Gehhorizonte (Beil. 2H,7) • Verfüllung der Einfeuerungsgrube von Praefurnium I (Beil. 2E,6B)		• Oberer Teil der Hinterfüllung der Hangstützmauer (MR 1C) (Beil. 2C,11; Abb. 83) • Bauhorizont der MR 3B (Beil. 2C,13) • Stampflehmboden (Beil. 2C,17)	• sandig, lehmig, erdig, schuttige Sedimente im Fundamentbereich der Hangstützmauer (MR 1B) sowie der MR 11 und MR 12 (Abb. 123,1; 237,1) • «Dachartige», mit Ziegelschrotmörtel verfugte Isolation aus *tegulae* und *imbrices* an MR 11 (Abb. 88,1; 90,A.B) • Wandverputz (Abb. 110,5)		• Mit Mörtelschutt und Kalksteinsplittern durchsetzte Planie (Beil. 2C,14) • Kiesschüttung (Beil. 2C,15) • Auskleidung des Strassengrabens mit Holzbrett (Beil. 2C,18A) • Verfüllung des Strassengrabens (Beil. 2C,18B; Abb. 96,18B)
• Ensemble A6 (Abb. 76) Datierung: um 50 n. Chr. und 100–220/230 n. Chr.		• Ensemble C6 (Abb. 86) Datierung: um 200–250/260 n. Chr.	• Ensemble D6 (Abb. 95) Datierung: um 170/180–200/210 n. Chr.		• Ensemble HL6 (Abb. 98) Datierung: um 180–220/230 n. Chr.

Abb. 69: Augst BL, Insula 5/9 (Grabungen 1965–1967.052 und 2002.063). Synoptische Darstellung der Befunde und Fundensembles der Phase 6.

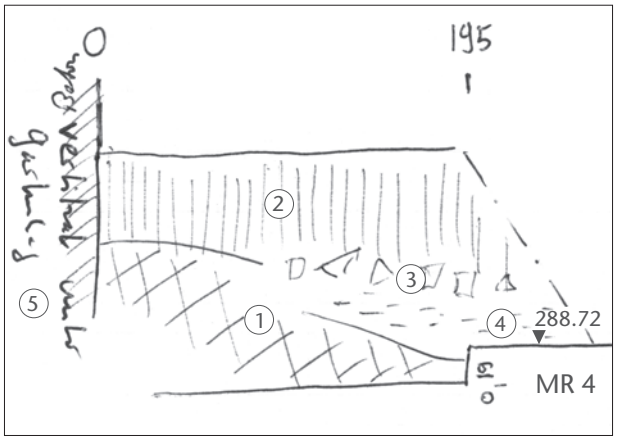


*Abb. 70: Augst BL, Insula 5/9, Neuntürmestrasse (Grabung 1965–1967.052). Tagebuchskizze von Ludwig Berger (Eintrag vom 10.05.1966) mit der Situation im Bereich der an Raum A angrenzenden Neuntürmestrasse: Die bei der Verkürzung von Raum A in Phase 6 entstandene Abbruchkrone der MR 4 wird vom Kieskoffer (**1**) der Neuntürmestrasse überlagert. M. 1:40. **1** Strassenmaterial [der antiken Neuntürmestrasse, heute Giebenacherstrasse]: Lehm, Kalkstein, Rollkies, Ziegel, verbacken. **2** Humus [= Oberflächenschutt, neuzeitliche Ablagerungen der Phase 15 und Humuskante vor Grabungsbeginn; vgl. auch Abb. 247]. **3** Störung [der Phase 12? im Ausläufer des am Ende von Phase 11 angefallenen Brandschutts?]. **4** leicht schuttiger Lehm [Strassengrabenverfüllung Phase 6 resp. Fachwerkschutt Ende Phase 7?]. **5** Beton, vertikal unter Grabung [Stellriemen aus Beton des damaligen Gartenzauns; vgl. Abb. 247].*



Abb. 71: Augst BL, Insula 5/9, Raum A (Grabung 2002.063). Blick auf die Abbruchkrone (?) der in Phase 6 errichteten MR 21. Die an MR 4 (oben) anschliessende MR 21 bildete nach der Verbreiterung der Neuntürmestrasse die strassenseitige Begrenzung von Raum A. Über MR 21 ist links die in Phase 9 errichtete MR 13 zu erkennen (vgl. auch Abb. 128). Die teilweise freigelegte schwarze Holzkohleschicht stammt von einem am Ende von Phase 7 verbrannten Bretterboden (vgl. Beil. 2H,8).

Raum A

Befund

Der Abbruch der südlich von Mauer 21 gelegenen Abschnitte der Mauern 4 und 2 sowie der Bau von Mauer 21 stehen vermutlich in einem kausalen Zusammenhang mit einer Verbreiterung der Neuntürmestrasse nach Norden (Abb. 70; 71)[144].

Die zweite markante bauliche Veränderung in Phase 6 betrifft den Einbau eines hypokaustierten *cubiculum* in der Nordwestecke von Raum A[145]. Dabei wurde der heiztechnisch nicht sehr günstige Winkel zwischen der Hangstützmauer 1C und Mauer 4 mit einem bankartigen Sockel (MR 15) zugemauert[146], bevor die rechtwinklig aneinander stossenden Mauern 7 und 10 hochgezogen worden sind.

Im Bereich des Anschlusses von Mauer 10 an Mauer 4 entzieht sich der Baubefund wegen des *in situ* konservierten Backofens BO1 der Phase 11 einer genaueren Beurteilung. Gut nachvollziehbar ist der Bauablauf hingegen in der Stossfuge zwischen der neu errichteten Mauer 7 und der Hangstützmauer 1C: Dort ist der in Phase 5 angebrachte weisse Verputz noch auf einem knapp 0,5 m breiten Streifen erhalten geblieben. Mauer 7 wurde also offensichtlich nicht mit der Hangstützmauer 1C verzahnt, verdeckte jedoch den wahrscheinlich zugemauerten Lichtschacht[147].

Im Zusammenhang mit dem Einbau des hypokaustierten *cubiculum* wurden auch die Hangstützmauer 1C und Mauer 4 neu verputzt.

144 Vgl. Laur-Belart, Tagebuch, 11.05.1966: «Die Westmauer [MR 4] ... ist von einem starken römischen Strassenkieskörper überdeckt. Die Strasse ist also einmal bergwärts gewandert und die Taberne verkürzt worden». Aus dem im Wissenschaftlichen Tagebuch skizzierten und beschriebenen Befund geht zweifelsfrei hervor, dass der Strassenkies der Neuntürmestrasse *auf* dem südlichen Ende der weitgehend abgebrochenen MR 4 lag. Vgl. Berger/Martin, Tagebuch, 09.05.1966, 11.05.1966, 13.–17.07.1967. – Ob diese Feststellung auch auf MR 14A zutrifft, konnte nicht eruiert werden, da der fragliche Abschnitt des Kanalisationsgrabens anlässlich der Grabung 1954.052 nur sehr summarisch dokumentiert worden ist. – Der Strassenkörper der Neuntürmestrasse (FK X04673) war leider steril. Verkürzungen konnten z. B. auch in den Tabernen der Hanghäuser in Ephesos beobachtet werden (vgl. Vetters 1977, 14).

145 Vgl. etwa Weeber 1995, 60 (Abbildung eines in einen hallenartigen Raum eingebauten Gemachs).

146 Diese bautechnische Besonderheit findet sich auch bei den ebenfalls an Hangstützmauern angelehnten Hypokaustanlagen im westlichen Teil der Insula 5/9 (vgl. unten Abb. 260) und in Insula 5 (vgl. unten Abb. 291).

147 In diesem Sinne auch Berger/Martin, Tagebuch, 23.07.1965.



Abb. 72: Augst BL, Insula 5/9, Raum A (Grabung 1965–1967.052). Blick in die Ecke zwischen der Hangstützmauer (MR 1C) und der westlichen Abschlussmauer (MR 4) von Raum A. Nach dem Einbau des hypokaustierten cubiculum *in Phase 6 wurde die ältere Verputzschicht auf den beiden Mauern gepickt und mit einem neuen, bemalten Wandverputz versehen (vgl. Abb. 73; Beil. 2D,2). Die schwarzen Verfärbungen an den Wänden und auf dem auf MR 15 liegenden Teil des jüngeren «groben» Terrazzobodens sind bei der Brandkatastrophe am Ende von Phase 11 entstanden. Der Umstand, dass auch der ältere Wandverputz schwarz verfärbt ist, zeigt, dass der jüngere Verputz beim Eintritt der Brandkatastrophe bereits beschädigt gewesen sein muss.*



Abb. 73: Augst BL, Insula 5/9, Raum A (Grabung 1965–1967.052). Zum Zeitpunkt der Freilegung noch in situ *erhaltener Wandverputz der Phase 6 im Bereich des hypokaustierten* cubiculum *mit Resten einer pompejanisch-roten Feldereinteilung. Links im Bild MR 4, rechts MR 1C. Gut zu erkennen ist, dass der Verputz durch den Brand am Ende von Phase 11 so stark in Mitleidenschaft gezogen wurde, dass er sich bereits während der Freilegung von den Mauerschalen löste.*

Vor dem Auftragen des neuen Verputzes wurde der alte Kalkputz an der Hangstützmauer 1C abgeschlagen. Der darunter liegende orangefarbene Ziegelschrotmörtel wurde hingegen *in situ* belassen, aber vor dem Auftrag des neuen Verputzes gepickt[148].

Die an der Hangstützmauer 1C und Mauer 4 noch *in situ* angetroffenen Wandmalereien der Phase 6 werden von H.-P. Otten wie folgt beschrieben (Abb. 72; 73)[149]:

- Hangstützmauer 1C: Auf einem rund 2,2 m breiten und 2 m hohen, an Mauer 4 anschliessenden Streifen fanden sich auf der weissen Wandfläche ein durch schmale rote Streifen und dünne schwarze Striche in breite und schmale Felder gegliedertes und mit einem exakt vorgeritzten, kreisförmigen Ornament verziertes geometrisches Muster sowie das Schluss-S eines Graffitos[150].
- Mauer 4: Auf einem 0,5 m breiten und 2 m hohen, an Mauer 1C anschliessenden Streifen war die Fortsetzung des oben beschriebenen Musters erhalten, allerdings fehlen dort die dünnen schwarzen Linien[151].

Die neu errichtete Mauer 7 wurde ebenfalls weiss verputzt (Abb. 74); ob sie auch bemalt war, liess sich nicht mehr eruieren. Die in Phase 8 fast vollständig abgebrochene Südwand des *cubiculum* war – wie ein höchstwahrscheinlich von Mauer 10 stammender Mauerblock aus der Verfüllung des Hypokausts zeigt – wahrscheinlich ebenfalls weiss verputzt[152].

Dank eines an der Ecke zwischen Mauer 7 und Mauer 10 angelegten Sondierschnitts lässt sich die relativchronologische Zeitstellung der zum *cubiculum* gehörenden Mauern auch stratigrafisch absichern: Die auf 287,33 m ü. M. liegende Unterkante der beiden Mauern liegt nämlich auf der auch in Profil 12 beobachteten Lehmplanie auf, die in Phase 5 eingebracht worden ist (vgl. Beil. 2E,5A; Abb. 39)[153].

148 Zu diesem weit verbreiteten Phänomen vgl. etwa Carandini 1985, Abb. 317 und 217 f. (mit weiteren Beispielen).

149 Otten 1994, 65 ff. Vergleichbar sind z. B. die Wandmalereien aus einem *cubiculum* in Hanghaus 2 in Ephesos (vgl. Strocka 1977, 65 f. Abb. 99–110).

150 Otten 1994, 67 Abb. 5/9.5 (wird ebd. irrtümlicherweise dem Korridor [= Raum C] zugewiesen).

151 Otten 1994, 68 ff.

152 Da die eine Mauerschale fehlte, ist nicht klar, ob der weisse Verputz der Innen- oder der Aussenwand des hypokaustierten Gemachs zuzuweisen ist.

153 Berger/Martin, Tagebuch, 18.07.1967.



Abb. 74: Augst BL, Insula 5/9, Raum A (Grabung 1965–1967.052). Blick in den teilweise freigelegten Hypokaust des cubiculum. *An der östlichen Abschlusswand (MR 7) das in Phase 7 zugemauerte Praefurnium. Die Aufnahme zeigt zudem eindrücklich, mit welchen statischen Problemen die Grabungsleitung bei der Freilegung der Befunde in Raum A konfrontiert war. Rechts die Südböschung des «*Schlundes*» (vgl. auch Anm. 27; 347).*

Der Hypokaust kann – obschon die *tubuli*, die *lateres* der *pilae* und die *bipedales* der *suspensura* später in Phase 8 entfernt wurden – problemlos rekonstruiert werden. So konnte beispielsweise die *Lage* der *pilae* anhand der Negative in der auf dem Unterzug liegenden Holzkohleschicht (Beil. 2G,1.2) bestimmt werden[154].

Fest steht des Weiteren, dass der Zwischenraum zwischen dem Unterboden und dem auf den *suspensura*-Platten aufliegenden Terrazzoboden rund 0,6 m hoch war. Dies zeigen unter anderem die Reste des Terrazzobodens auf dem «kühlen Block» (MR 16) beim Eingang in das *cubiculum* und auf der bankartig vorspringenden Mauer 15[155].

Noch deutlicher ablesbar ist der Verlauf des Fussbodens an Mauer 4, wo die Abdrücke der untersten *tubuli*-Reihe noch erhalten waren[156]. Ob die später in Phase 8 oder 9 weitgehend zerstörte Mauer 10 und Mauer 7 ebenfalls mit *tubuli* versehen waren, konnte nicht mit Sicherheit geklärt werden[157]. Bemerkenswert ist ausserdem, dass die zwei aus *lateres* konstruierten Wangen des Schürkanals rund 40 cm in den hypokaustierten Raum hinein ragten.

Die Befeuerung der Anlage erfolgte von einer Bedienungsgrube aus, welche vor dem sorgfältig gemauerten Schürkanal in Mauer 7 lag. Die Bedienungsgrube war in die älteren Schichten eingetieft und mit einer *suspensura*-Platte sowie drei *lateres* verkleidet (Beil. 2E,6A).

Die sicher erst nach dem Bau von Mauer 7 errichtete bankartige Vormauerung (MR 17) an der Hangstützmauer 1C[158] diente möglicherweise als Holzlager.

Der Einbau des kleinen *cubiculum* zeigt, dass der hintere Teil von Raum A in Phase 6 offensichtlich für Wohnzwecke genutzt worden ist. Wozu der vordere, an die Neuntürmestrasse anschliessende und nur punktuell untersuchte Teil von Raum A gedient hat, liess sich nicht eruieren. Fest steht jedoch, dass die Verkürzung resp. die Rückversetzung der Südfassade von Raum A höchstwahrscheinlich im Zusammenhang mit öffentlichen Baumassnahmen in der Region 2A steht.

Für die Datierung der Strukturen in Raum A kann lediglich auf das Fundmaterial aus dem Bereich von Praefurnium I zurückgegriffen werden. Allerdings geht aus dem Befund nicht ganz klar hervor, ob die Ablagerungen in der Mulde vor dem Schürkanal während Phase 6 entstanden oder ob die Sedimente erst zu Beginn von Phase 7 eingefüllt worden sind. Die relativ heterogene Zusammensetzung des Fundmaterials aus Ensemble A6 scheint eher für Letzteres zu sprechen.

Dem kaum 10 cm mächtigen Gehhorizont der Phase 6 konnten leider keine Funde zugewiesen werden[159].

Ensemble A6

Allgemeine Charakterisierung: Der am Ende von Phase 6 oder zu Beginn von Phase 7 eingebrachten Verfüllung der Bedienungsgrube von Praefurnium I lassen sich sieben Fundkomplexe zuweisen (Abb. 75). Die Fundkomplexe E06783 und E07754 haben keine Funde erbracht. Die Fundkomplexe E06791 und E07252 lieferten nur Baukeramik und Holzkohle. Der Fundkomplex E07253 beinhaltet eine Bodenscherbe aus Terra Sigillata und ein Lehmfragment. Die im Jahr 1967 geborgenen Fundkomplexe Z01665 und Z01666 enthielten wesentlich mehr Funde.

Datierung des Fundmaterials: Die Keramik aus Ensemble A6 (Abb. 76) umfasst ein heterogenes Spektrum, das den Zeitraum zwischen der Mitte des 1. Jahrhunderts und dem früheren 3. Jahrhundert abdeckt: So ist der Teller **126** der Form Drag. 15/17 in die Mitte des 1. Jahrhunderts zu datieren und die Schale **128** der Form Curle 15 gilt als typische Form des 2. Jahrhunderts und ist in dieser Ausprägung an das Ende des 2. Jahrhunderts zu setzen.

Auch die Glanztonkeramik zeigt mit dem Becher **130** einen früheren Ansatz – um die Mitte des 2. Jahrhunderts.

154 Laut Laur-Belart, Tagebuch, 04.08.1965, müssen seinerzeit auch noch einige *pilae in situ* angetroffen worden sein.

155 Berger/Martin, Tagebuch, 23.08.1965.

156 Vgl. Berger/Martin, Tagebuch, 31.05.1967, 28.06.1967.

157 Die an MR 4, also gegenüber von Praefurnium I angebrachten *tubuli* sorgten für optimale Zugverhältnisse. An MR 7 und an MR 10 fanden sich keinerlei Hinweise von angebrachten *tubuli*: Da diese beiden Mauern nur bis zur Decke von Raum A reichten, wäre der Rauch in das Obergeschoss entwichen.

158 Die entsprechende Stossfuge wurde seinerzeit *expressis verbis* erwähnt (vgl. Dokumentation der Grabung 1965–1967.052, Profil 13, Schicht 8a). – Aufgrund des Befundes ist auch denkbar, dass MR 17 erst nach der Aufgabe von Praefurnium I (= Phase 7) errichtet wurde.

159 Die Schicht 6A wurde zusammen mit dem Mörtelgussboden (Beil. 2E,8) abgebaut. Zu dessen Datierung vgl. den Kommentar zu Ensemble A6.

Form/Typ	RS	BS	WS	HE	Total	MIZ
TS, südgallisch						
Drag. 15/17	1				1	1
Drag. 42	1				1	1
Drag. 35/36	1				1	1
Drag. 33	1	1			2	2
Drag. 37		1	2		3	3
TS, mittel-ostgallisch						
Curle 15	2				2	1
Imitation						
Drack 20	1				1	1
Glanztonkeramik						
Becher mit Karniesrand	1				1	1
Becher Nb. 33		1	1		2	2
Becher, Typ unbestimmt			1		1	1
Übrige Keramik						
Helltonige Gebrauchskeramik						
Schüssel mit profiliertem Rand	1				1	1
Schüssel	1	1			2	2
Krug	1				1	1
Grautonige Gebrauchskeramik						
Teller	2	1			3	1
Schultertopf	1				1	1
Kragenrandschüssel	1	1			2	2
Amphore, Dressel 20 (Martin-Kilcher 1987/1994, Kat. 727)	1				1	1
Handgemachte Kochkeramik						
Kochtopf	1				1	1
Total Fragmente/MIZ	**17**	**6**	**4**		**27**	**24**

Abb. 75: Augst BL, Insula 5/9, Raum A (Grabungen 1965–1967.052 und 2002.063). Ensemble A6: Fundstatistik zur Keramik (FK E06783, FK E06791, FK E07252, FK E07253, FK E07754, FK Z01665, FK Z01666). MIZ = RS, BS, WS, HE.

Dagegen treten Becher wie **131** der Form Nb. 33 erst um 220 n. Chr. auf[160]. Die orange und graue Gebrauchskeramik zeigt in etwa dasselbe uneinheitliche Bild. So sind Teller wie **132** mit ausbiegendem Rand an den Anfang des 2. Jahrhunderts zu datieren und Schüsseln wie **134** mit profiliertem Rand und Wandknick kommen mit diesen bereits etwas klobiger ausgeformten Rändern erst gegen Ende des 2. Jahrhunderts oder am Anfang des 3. Jahrhunderts auf.

Das Ensemble A6 lässt sich schwer datieren. Die jüngsten Funde stammen aus dem späten 2. Jahrhundert und aus dem frühen 3. Jahrhundert.

Katalog der Funde aus Ensemble A6 (Abb. 76)

Terra Sigillata

126 RS, TS (südgallisch), Teller Drag. 15/17. – Inv. 1967.10046, FK Z01666.

127 RS, TS (südgallisch), Teller Drag. 42. – Inv. 1967.10045, FK Z01666.

128 2 RS, TS (mittel-ostgallisch), Teller/Schale Curle 15. – Inv. 1967.10048A.B, FK Z01666.

129 WS, TS (südgallisch), Schüssel Drag. 37. Relief: Gefiederte Pfeilblätter mit zweifachen Rankenverbindungen, gebunden in Knoten. – Inv. 1967.10048, FK Z01666.

Übrige Keramik

130 RS, Glanztonbecher mit Karniesrand. Ton orange mit zinnoberrotem Überzug und Barbotinedekor. – Inv. 1967.10088, FK Z01665.

131 WS, Glanztonbecher Nb. 33. Ton grau mit schwarzem, leicht glänzendem Überzug und Faltendekor. – Inv. 1967.10053, FK Z01666.

132 2 RS, BS, Teller mit ausbiegendem Rand. Ton grau, innen schwarzer Überzug. – Inv. 1967.10054A–C, FK Z01666.

133 RS, Schüssel mit ausladender Leiste. Ton orange, mit Kalk gemagert. Über dem Rand leichte Brandspuren. – Inv. 1967.10092, FK Z01665.

134 RS, Schüssel mit profiliertem Rand und Wandknick. Ton orange. – Inv. 1967.10093, FK Z01665.

135 RS, Krug mit Wulstrand. Ton orange, aussen wenig weisse Engobe. – Inv. 1967.10096, FK Z01665.

Lampe

136 Ganz erhaltene offene Talglampe. Ton grau. An der Schnauze: Fingerabdruck. – Inv. 1967.10058, FK Z01666.

Bein

137 *tessera* mit konzentrischen Kreisen ohne Stege. – Inv. 1967.10100, FK Z01665. – Publ.: Deschler-Erb 1998, Kat. 1546.

Bronze

138 Scharnierfibel mit längsprofiliertem Bügel, Riha Typ 5.12.2. Nadel fehlt. – Inv. 1967.10099, FK Z01665. – Publ.: Riha 1979, Kat. 882.

Ton

139 Düsenziegel- oder Tiegelfragment? Etwas schlackig, stark verbrannt und gerötet. – Inv. 2002.063.E07253.5.

Nicht abgebildete Funde

Keramik

– Vgl. Abb. 75.

Stein

– Runder Quarzstein. – Inv. 1967.10098, FK Z01665.

Baukeramik

– 59 Hypokaustpfeilerchen, viereckig. – Inv. 2002.063.E06791.1–59.

Holzkohle

– Holzkohle. – Inv. 2002.063.E07252.1.

Die Tierknochen aus Ensemble A6 (Elisabeth Marti-Grädel)

Ensemble A6 erbrachte aus zwei Fundkomplexen der Grabung 2002.063 lediglich neun Knochenfragmente (Abb. 77). Die acht bestimmbaren Knochen stammen ausschliesslich von Haustieren. Wie bei den anderen Knochen aus der Grabung 2002.063 liegen Angaben zum Erhaltungs- und Bruchkantenzustand vor. Die Knochenfragmente sind dem-

160 Schucany u. a. 1999, 154 Taf. 73 (Fundensemble D.9 Augst 8).

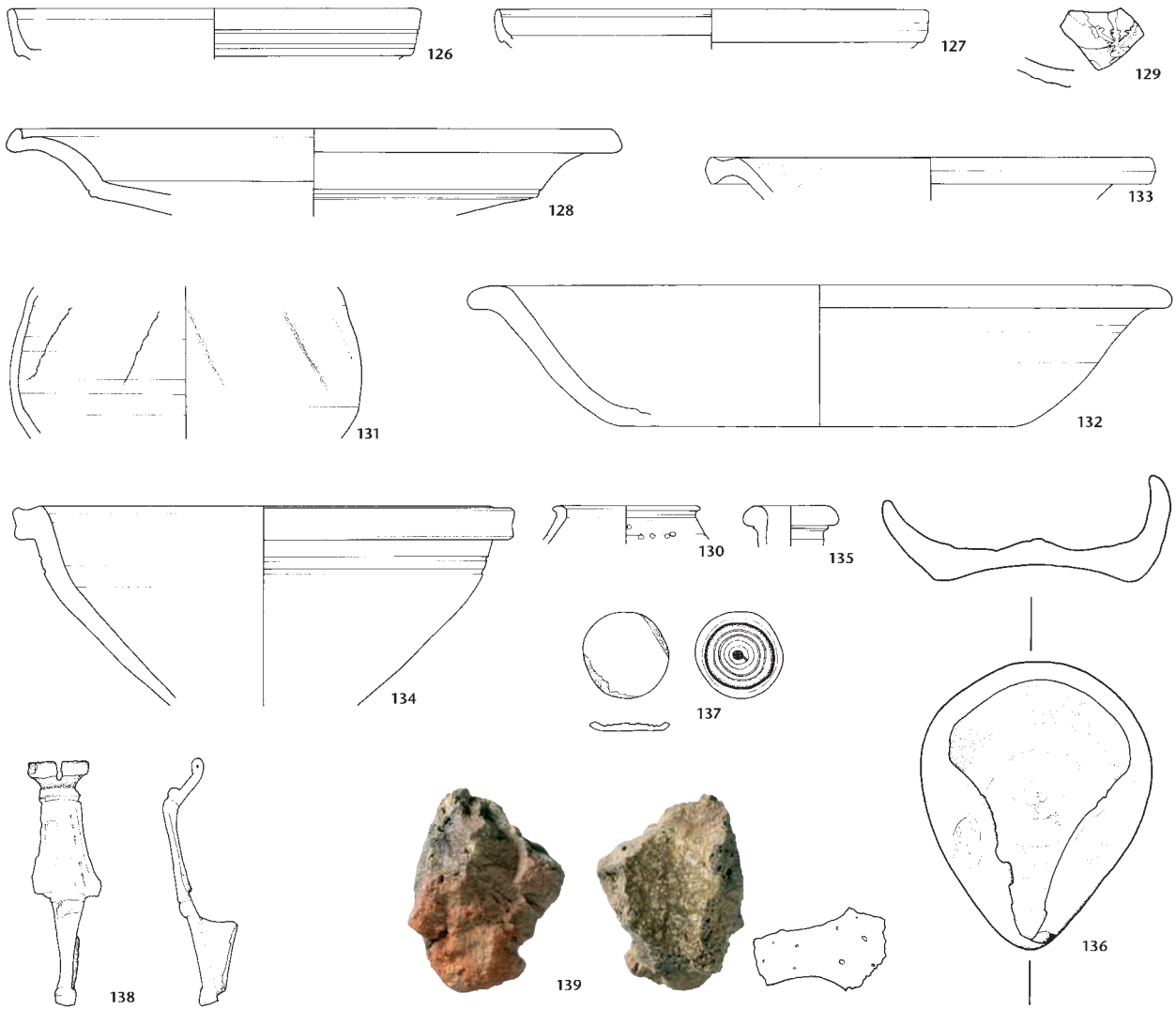


Abb. 76: Augst BL, Insula 5/9, Raum A (Grabungen 1965–1967.052 und 2002.063). Ensemble A6: Funde aus den Ablagerungen in der Einfeuerungsgrube von Praefurnium I. M. 1:3 (Lampe, Bein, Bronze, Ton M. 1:2). ***126–129*** *Terra Sigillata,* ***130, 131*** *Glanztonkeramik,* ***132–135*** *Gebrauchskeramik,* ***136*** *Lampe,* ***137*** *Bein,* ***138*** *Bronze,* ***139*** *verbrannter Lehm.*

nach grösstenteils (n = 7) gut erhalten, zwei weisen eine mittelmässige Erhaltung bzw. eine versinterte Oberfläche auf. Die Bruchkanten sind nicht verrundet und alt (n = 6) oder mehrheitlich alt (n = 2). Ein Knochen (Hausrind, Carpale) ist ganz erhalten und ohne Bruchkanten. Ein Oberarmknochen vom Hausrind weist eine Trennspur auf und ist partiell verkohlt. Weitere Zerlegungsspuren oder Zeichen von Brandeinwirkung konnten nicht beobachtet werden.

Ensemble A6 weist zwei zeitliche Schwerpunkte auf (um 50 n. Chr. bzw. 100–220/230 n. Chr.). Es wurde deswegen nur beim räumlichen Vergleich der Knochenreste berücksichtigt (vgl. Exkurs 2, unten S. 319 ff.).

Analyse der Holzkohlereste aus Ensemble A6 (Angela Schlumbaum)

In der Bedienungsgrube von Praefurnium I wurden anlässlich der Grabung 2002.063 zwei Fundkomplexe geborgen

	Fragment-zahlen			Gewicht		
	E07252	E07253	**Total**	E07252	E07253	**Total**
Bos taurus (Hausrind)	1	2	**3**	62,5	20,2	**82,7**
Sus domesticus (Hausschwein)		4	**4**		137,9	**137,9**
Canis familiaris (Hund)		1	**1**		25,1	**25,1**
TOTAL HAUSTIERE	1	7	**8**	62,5	183,2	**245,7**
TOTAL WILDTIERE	0	0	**0**	0	0	**0**
TOTAL HAUS- UND WILDTIERE	1	7	**8**	62,5	183,2	**245,7**
TOTAL GROSSGRUPPEN	0	0	**0**	0	0	**0**
Unbestimmbar, ohne Grössenangabe	1		**1**	0,3		**0,3**
TOTAL UNBESTIMMBAR	1	0	**1**	0,3	0	**0,3**
GESAMTTOTAL	2	7	**9**	62,8	183,2	**246,0**

Abb. 77: Augst BL, Insula 5/9, Raum A (Grabung 2002.063). Ensemble A6: Tierartenliste, Fragmentzahlen und Knochengewicht (g).

wassergesättigtes Volumen (ml)	4000
Stichprobe 1-mm-Fraktion	ja
Stichprobe 0,35-mm-Fraktion	ja
Steine	XX
Ziegelreste	XX
Mörtelreste	XX
Lehm (teils mit Pflanzenabdrücken; v. a. Halmabdrücke cf. Getreide)	XX
Mollusken	X
Knochen	X
Holzkohle	XXXX
Samen & Früchte (verkohlt)	X

Abb. 78: Augst BL, Insula 5/9, Raum A (Grabung 2002.063). Ensemble A6: Materialklassen der Makroreste aus FK E07252. X vereinzelt, XX wenig, XXXX dominierend.

Botanischer Name		**Deutscher Name**
Carex tricarpellat	1	Segge, drei Fruchtblätter
Rumex obtusifolius-Typ	1	Stumpfblättriger Ampfer
Summe	**2**	
Volumen (ml)	4000	
Konzentrationen (Reste/ Liter; inkl. Indet.)	0,5	

Abb. 79: Augst BL, Insula 5/9, Raum A (Grabung 2002.063). Ensemble A6: verkohlte Pflanzenreste aus FK E07252.



Abb. 80: Augst BL, Insula 5/9, Raum B (Grabung 2002.063). Blick auf die südliche Abschlussmauer (MR 9) von Raum B. Die deutlich erkennbare Baufuge zwischen der im oberen Teil modern aufgemauerten Ostwand von Raum B (MR 4, rechts) und MR 9 spricht dafür, dass Letztere wohl erst in Phase 6 errichtet worden ist. Im Hintergrund die Hangstützmauer (MR 1C). Blick nach Nordosten.

(FK E06791, FK E07252), die grosse Mengen an Holzkohlefragmenten enthielten. Es dürfte sich dabei um Reste von Holz handeln, das zum Beheizen des hypokaustierten *cubiculum* verwendet worden ist.

Die insgesamt 200 Holzkohlefragmente stammen zu gleichen Teilen von Rotbuche *(Fagus sylvatica;* n = 90; 45%) und Esche *(Fraxinus excelsior;* n = 99; 50%) und sind mit wenigen Eichenfragmenten *(Quercus* sp.; n = 8; 5%) vermischt. Drei Rindenfragmente konnten nicht näher bestimmt werden.

Alle Hölzer kommen in der unmittelbaren Umgebung vor und haben gleichermassen günstige Heizeigenschaften, namentlich das Holz der Esche brennt mit einer schönen Flamme und wenig Funken. Der Umstand, dass Rotbuche und Esche in Insula 5/9 ansonsten selten sind (vgl. oben S. 58 sowie Abb. 214; 215), spricht dafür, dass das für das Heizen des Hypokausts verwendete Holz bewusst ausgewählt worden ist.

Die Samen und Früchte aus Ensemble A6
(Marlu Kühn und Marlies Klee)

Neben sehr zahlreichen Holzkohlen (vgl. oben) erbrachte die Untersuchung von FK E07252 einzig den Nachweis je einer verkohlten Frucht einer Segge *(Carex)* sowie des Stumpfblättrigen Ampfers *(Rumex obtusifolius)* (Abb. 78; 79). Seggen sind auf – zumeist frischen – Standorten verschiedenster Art zu finden. Der Stumpfblättrige Ampfer wächst auf Wiesen und Ruderalplätzen.

Dürre Pflanzenteile werden oftmals zum Anzünden eines Feuers benutzt; die beiden Früchtchen können beim Entfachen eines Feuers verkohlt sein. Es mag sich auch um Abfälle handeln, die zufällig mit in die Bedienungsgrube von Praefurnium I gelangten.

Raum B: Befund

Raum B wurde anlässlich der Grabungen 1965–1967.052 und 2002.063 nur punktuell untersucht (Abb. 80). Aufgrund der Befundsituation kann davon ausgegangen werden, dass die westliche Abschlussmauer von Raum B sowie die an Mauer 4 anstossende Mauer 9 spätestens in Phase 6 errichtet worden sind. Ungewiss ist jedoch, ob Mauer 9 die südliche Abschlussmauer von Raum B bildete oder ob es



Abb. 81: Augst BL, Insula 5/9, Raum C (Grabung 1965–1967.052). Übersichtsaufnahme mit der Situation im Bereich der Räume C (rechts) und D (links hinten). Oben die Hangstützmauer (MR 1C), in der Bildmitte die in Phase 6 errichtete und in Phase 9 mithilfe von Spolien reparierte MR 3B. Blick nach Süden.



Abb. 82: Augst BL, Insula 5/9, Räume C und D (Grabungen 1965–1967.052 und 2002.063). Blick nach Südwesten an MR 3A (unten; Phase 5) bzw. MR 3B (oben; Phase 6). Im Hintergrund die Hangstützmauer (links MR 1B, rechts MR 1C). In dem zwischen MR 1B/MR 1C und MR 3A/MR 3B liegenden Streifen ist links andeutungsweise eine in die Hinterfüllung der Hangstützmauer eingetiefte Rampe zu erkennen. Auf dieser lag möglicherweise eine Holztreppe, die in das «Gelass im Berg» (Raum D) hinunterführte. MR 3A/MR 3B ist in Phase 13 beim Anlegen des Wall-Graben-Systems der spätrömischen enceinte réduite *von der westlichen Böschung von Graben 3 durchschlagen worden (vgl. Abb. 236,B; 237).*

sich um eine Binnenmauer gehandelt hat[161]. Der gut erkennbare Mauerabsatz sowie der in Phase 8 ausplanierte Fachwerklehm lassen den Schluss zu, dass es sich bei der später in Phase 9 aufgestockten Mauer 9 um das Streifenfundament einer Fachwerkwand gehandelt hat. Ob die oben erwähnte Treppe weiterhin benutzt wurde, ist wahrscheinlich, aber nicht erwiesen. Dafür spricht, dass Raum A offensichtlich über keine Treppe verfügte, die vom Erdgeschoss ins Obergeschoss führte.

Raum C

Befund

In Phase 6 wurde Mauer 3A abgebrochen und durch Mauer 3B ersetzt (Abb. 81). Wie sich an Profil 1b ablesen lässt, wurde dabei das Aufgehende von Mauer 3A offensichtlich bis auf die Oberkante der Fundamentpackung abgebrochen (Abb. 82). Der *in situ* belassene Teil des Fundaments diente in der Folge als Substruktion der deutlich weniger breiten, frei aufgemauerten Mauer 3B. Deren Bauhorizont zeichnet sich in Profil 1b relativ deutlich ab (Beil. 2C,13)[162].

Die Nordwest-Südost-Ausdehnung der neu errichteten Mauer 3B entspricht mehr oder weniger der Länge von Mauer 1C[163]. Dies deutet – trotz der deutlich abweichenden Flucht – darauf hin, dass sie wohl zum gleichen baulichen Kontext gehört hat[164]. Für diese Annahme spricht auch, dass das Bodenniveau zwischen Mauer 3B und der Hangstützmauer 1C durch das Einbringen einer u. a. mit bemal-

161 Rychener, Tagebuch, S. 11 und Bauhofer, Tagebuch, S. 12.

162 Eine Ansprache als Gehhorizont wurde seinerzeit mit guten Gründen verworfen: «… dagegen spricht die Hinterfüllung 6 [i. e. die Sickerpackung Beil. 2C,10]» und der Vermerk «Ausgrabungsbefund vom 24.08.1966: Teil der Auffüllung 5 [i. e. Beil. 2C,11]». Vgl. Dokumentation der Grabung 1965–1967.052, Profil 1b, Schicht 4. Die Ansprache als Bauhorizont gründet auf dem im Profilbeschrieb erwähnten Vorkommen von Mörtelknollen und Kalksteins*plittern*.

163 Für eine Fortsetzung von MR 3A und MR 3B nach Nordwesten fehlen sowohl in Profil 5 (hier nicht abgebildet) wie auch im Grabungsrand (= Profil 6, hier nicht abgebildet) jegliche Hinweise. Der Südostabschluss von MR 3A/3B (Phase 5 bzw. Phase 6) resp. von MR 3C (Phase 9) ist durch den Graben 3 (Phase 12) zerstört worden (vgl. unten Abb. 228).

164 Die von der Hangstützmauer (MR 1A–MR 1C) abweichende Flucht ist höchstwahrscheinlich damit zu erklären, dass sich die MR 3A/3B an der Flucht der Heidenlochstrasse orientierte. Dafür spricht auch, dass sie parallel zu den Nordwest-Südost verlaufenden Mauerzügen der Insula 9 verläuft (vgl. unten Abb. 228). – Nicht parallel verlaufende, sicher dem gleichen Bauzustand zuweisbare Mauern bilden in Augusta Raurica ein durchaus geläufiges Phänomen (vgl. etwa Hufschmid 1996, Abb. 61; 65) und sind auch andernorts immer wieder anzutreffen (vgl. etwa Goudineau 1979, Taf. 62; 71; 100).



Abb. 83: Augst BL, Insula 5/9, Raum C (Grabung 1965–1967.052). Blick auf eine Konzentration von bemalten Wandverputzfragmenten im oberen, nach dem Setzen der Sickerpackung eingebrachten Teil der Füllschicht hinter der Hangstützmauer (MR 1C). Die Wandverputzfragmente liegen auf 290,65 m ü. M. (vgl. auch Beil. 2C,10.11).

ten Wandverputzfragmenten durchsetzten Planieschicht aufgehöht wurde (Abb. 83; Beil. 2C,16). Diese Planie diente als Unterlage eines mit Kies und Ziegelbruchstücken durchsetzten Stampflehmbodens (Beil. 2C,17)[165].

Raum C ist – vermutlich aufgrund der Lage zur Heidenlochstrasse und wegen eines als Säulen- oder Pfostenbasis interpretierten Sandsteinquaders – bislang immer als Portikus angesprochen worden[166]. Aus heutiger Sicht bestehen jedoch aus verschiedenen Gründen Vorbehalte bezüglich dieser Interpretation:

- Bei dem besagten Sandsteinquader handelt es sich zweifelsfrei um einen Teil der «späten», in Phase 9 aus Spolien errichteten Mauer 3C.
- Mauer 3B kann wegen ihrer Breite von rund 0,6 m schwerlich als Streifenfundament für die Säulen oder Pfeiler einer Portikus angesprochen werden.
- Wie Beil. 2C zeigt, wäre der Wechsel von der Heidenlochstrasse zur Portikus und *vice versa* sehr beschwerlich gewesen (vgl. dazu auch unten S. 96 ff.).

Aus diesen Gründen ist wohl eher zu vermuten, dass es sich bei der massiven Mauer 3B um einen Teil der Nordostfassade von Insula 5/9 gehandelt hat (Abb. 84). Raum C dürfte demzufolge nach Norden abgeschlossen gewesen sein und hat – wie auch das in Raum D nachgewiesene Treppenhaus nahelegt – höchstwahrscheinlich als Korridor gedient.

Ob sich dieser Korridor noch weiter nach Westen fortgesetzt hat oder eine Nord-Süd verlaufende Abschlussmauer besass, ist ungeklärt: Der fragliche Bereich ist in Phase 13 beim Aushub von Graben 2 restlos zerstört worden. Ebenfalls offen bleibt, wie und ob dieser Korridor (Raum C) von dem über dem Raum A liegenden Obergeschoss abgetrennt war. Wie Abbildung 84 zeigt, sind folgende architektonische Lösungen vorstellbar:

- Die in der Antike wahrscheinlich nur wenige Steinlagen höher liegende Krone der Hangstützmauer 1C könnte mehr oder weniger dem damaligen Bodenniveau entsprochen haben[167] oder
- die Hangstützmauer 1C könnte aufgestockt worden sein oder
- die Krone der Hangstützmauer 1C diente als «Fundament» einer in Leichtbauweise errichteten Binnenwand[168].

165 Der Anschluss des Stampflehmbodens an MR 1C wurde durch einen auf Geheiss von R. Laur-Belart angelegten, parallel zu MR 1C verlaufenden Sondierschnitt zerstört (s. a. oben S. 23).

166 Vgl. etwa Berger 1977, Abb. 2; Fünfschilling 1989, Abb. 46; Schwarz 1990, Abb. 25.

167 Dass die seinerzeit angetroffene Krone der MR 1C nicht der antiken Mauerkrone entspricht, zeigen der im oberen Bereich nicht vollständig erhaltene Lichtschacht (vgl. Abb. 53; 58; 230) sowie das Fehlen von Konsolen oder Balkenlöchern für die Aufnahme der Deckenbalken (vgl. Abb. 58).

168 Die rund 1,2 m breite Hangstützmauer 1C hätte jedenfalls genügend Raum für das Aufstellen einer parallel zu MR 3B verlaufenden, 20–30 cm breiten Trennwand geboten.

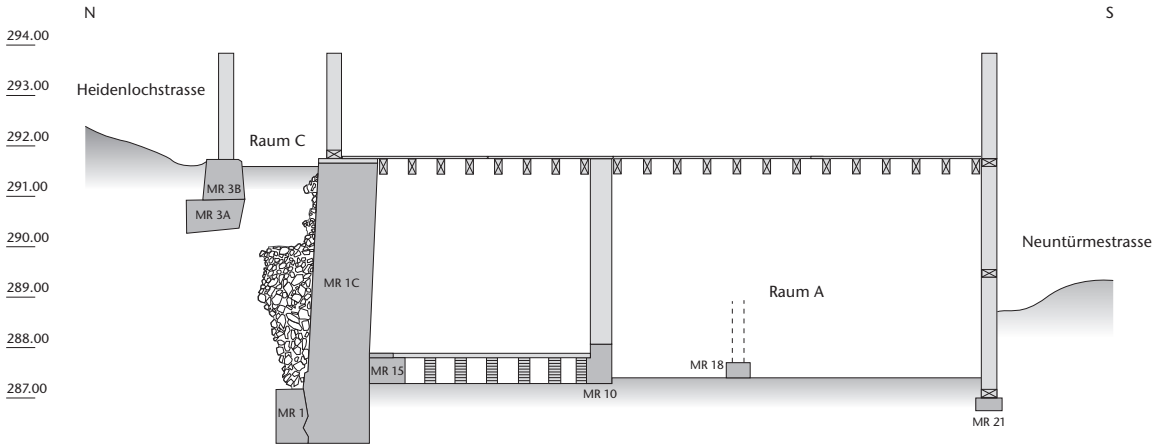


Abb. 84: Augst BL, Insula 5/9, Raum A (Grabungen 1965–1967.052 und 2002.063). Schnitt durch Raum A: Zustand in den Phasen 6 und 7. Das Obergeschoss der Räume A und C bildet eine bauliche Einheit, die durch eine auf der Hangstützmauer (MR 1C) stehende Fachwerkwand unterteilt wird. M. 1:150.

Ensemble C6

Allgemeine Charakterisierung: Die Keramik und die Kleinfunde stammen aus der Planieschicht, die nach dem Bau von Mauer 3B eingebracht wurde und als Unterlage des Stampflehmbodens diente. Der Planieschicht liessen sich insgesamt acht Fundkomplexe zuweisen (FK X04690, FK X04696, FK X04736–FK X04738, FK X06218, FK X06236, FK X06526). Die Fundkomplexe FK X04736 und FK X04738 enthielten keine Funde (Abb. 85).

Datierung des Fundmaterials: Ensemble C6 (Abb. 86) wird durch Keramik geprägt, die in der vorliegenden Zusammensetzung als typisch für das erste und zweite Drittel des 3. Jahrhunderts gelten darf[169]. Die Sigillata-Gefässe stammen aus mittel- und aus ostgallischen Produktionen: Sie wirken teilweise leicht älter als die übrige Gefässkeramik. Aus mittelgallischen Produktionen stammen beispielsweise der Teller **146** der Form Ludowici TI und die Schüssel **147** der Form Curle 11. Der Teller **144** der Form Drag. 31 – wiederum aus Lezoux – besitzt einen Bodenstempel des Sextus, der in die Zeit zwischen 160 und 200 n. Chr. datiert werden kann. Der Bodenstempel **145** des Iulius von Rheinzabern stammt hingegen laut Brenda Dickinson aus den Jahren zwischen 225 und 260 n. Chr.

In den Zeitraum zwischen 200 n. Chr. und spätestens 260 n. Chr. datieren auch weitere Gefässe, so etwa die Glanztonbecher Nb. 33 (**152, 153**), der eigenwillige und seltene Glanztondeckel mit Ratterblechdekor **154**, die Teller mit eingebogenem Rand **156–158**, die Schüsseln mit gerilltem Rand oder die Schüsseln mit klobigem, eng anliegendem Rand **160**, **164** und **165**. Gut in diesen Zeithorizont passen auch die Kochtöpfe mit Leistenrand (**170** und o. Abb.) und die «rätischen» Reibschüsseln (**172** und o. Abb.).

Am jüngsten sind die beiden Schüsseln mit profilierter Wandung **166** und **167**; die Schüssel **166** ist grautonig, die Schüssel **167** ist orangefarben und besitzt auf der Aussenseite Reste eines roten Überzugs. Dieser Schüsseltyp konnte von Stefanie Martin-Kilcher anhand des Fundmaterials aus

169 Schucany u. a. 1999, 154 f. Taf. 73; 74 (Fundensembles D.9 Augst 8 und D.10 Augst 9).

Form/Typ	RS	BS	WS	HE	Total	MIZ
TS, südgallisch						
Drag. 33	2				2	2
Drag. 42	1				1	1
Drag. 35/36	2				2	2
Drag. 18	3				3	3
Drag. 37	1		2		3	3
TS, mittelgallisch						
Drag. 40	1				1	1
Ludowici TI	1				1	1
Drag. 31		2			2	2
Curle 11	1				1	1
Drag. 37			1		1	1
TS, ostgallisch						
Drag. 31		1	1		2	1
Drag. 37		1	2		3	3
TS-Imitation						
Drack 2Aa	1				1	1
Drack 20–22						
Drack 20	3				3	2
Glanztonkeramik						
Becher mit ausbiegendem Rand	2		3		5	1
Nb. 33	3		2		5	5
Becher, Typ unbestimmt	1	1	1		3	2
Becher mit Barbotineverzierung oder Ratterblechverzierung			3		3	3
Deckel	1				1	1

Form/Typ	RS	BS	WS	HE	Total	MIZ
Übrige Keramik						
Helltonige Gebrauchskeramik						
Teller mit eingebogenem Rand	1				1	1
Horizontalrandschüssel	3				3	3
Schüssel mit profilierter Wandung	2				2	2
Schüssel mit gerilltem Rand	1				1	1
Schüssel mit profiliertem Rand	9				9	9
Krüge						
Räucherkelch	1				1	1
Grautonige Gebrauchskeramik						
Teller mit verdicktem Rand	5				5	5
Kragenrandschüssel	1				1	1
Schüssel mit profilierter Wandung	1				1	1
Schüssel mit gerilltem Rand	1				1	1
Schüssel mit profiliertem Rand	1				1	1
Steilrandtöpfe			1		1	1
Form unbestimmt			1		1	1
Kochtöpfe, scheibengedreht	4				4	4
Kochteller	1				1	1
Reibschüsseln	1				1	1
«Rätische» Reibschüssel	2				2	2
Amphoren	1				1	1
Handgemachte Kochkeramik						
Kochtopf	2				2	2
Total Fragmente/MIZ	**60**	**5**	**17**		**82**	**75**

▲► *Abb. 85: Augst BL, Insula 5/9, Raum C (Grabung 1965–1967.052). Ensemble C6: Fundstatistik zur Keramik (FK X04690, FK X04696, FK X04736, FK X04737, FK X04738, FK X06218, FK X06236, FK X06526). MIZ = RS, BS, WS, HE.*

der Villa Laufen-Müschhag in die Jahre um oder kurz nach 250 n. Chr. datiert werden[170]. Für eine Datierung dieser Schüsseln in die Zeit um bzw. nach 250 n. Chr. sprechen auch weitere Ensembles aus Augusta Raurica[171].

Angesichts der Schichtgenese (Planieschicht) erstaunt es nicht, dass in Ensemble C6 auch einige Altstücke vorkommen. Erwähnenswert sind in diesem Zusammenhang die südgallischen Sigillata-Gefässe **140**, **141**, **143**, die Terra-Sigillata-Imitationen (**150** und o. Abb.) sowie ein Steilrandtopf (o. Abb.) oder auch die etwas früheren Schüsseln mit profiliertem Rand **162** und **163**. Letztere sind seit dem frühen 2. Jahrhundert in Gebrauch.

Der Glasbecher **174** und der Glaskrug **175** sind wiederum sehr langlebige Formen: Zylindrische Krüge finden sich vom 1. bis 3. Jahrhundert, während Becher wie **174** der Form AR 98.1/Isings 85b zwischen der Mitte des 2. Jahrhunderts und der Zeit um 300 n. Chr. produziert wurden[172]. Zeitlich nicht näher eingrenzen lässt sich die Scharnierfibel **176** vom Typ Riha 5.12[173].

Katalog der Funde aus Ensemble C6 (Abb. 85)

Terra Sigillata

140 RS, TS (südgallisch), Schale Drag. 33. – Inv. 1966.5093, FK X04696.

141 RS, TS (südgallisch), Schale Drag. 35/36. Keine Barbotineverzierung erhalten. – Inv. 1966.5095, FK X04696.

142 RS, TS (mittelgallisch), Schale Drag. 40. – Inv. 1966.5130, FK X06218.

143 RS, TS (südgallisch), Teller Drag. 18. – Inv. 1966.5131, FK X06218.

144 BS, TS (mittelgallisch), Teller Drag. 31. Mit zentralem Bodenstempel: SEXTI.MAN (Sextus v, Lezoux, 160–200 n. Chr.)[174]. – Inv. 1966.5133, FK X06218.

145 BS, TS (ostgallisch), Teller Drag. 31. Mit zentralem Bodenstempel: IVLIVS (Iulius viii, Rheinzabern, 225–260 n. Chr.)[175]. – Inv. 1966.5132, FK X06218.

146 RS, TS (mittelgallisch), Teller Ludowici TI. – Inv. 1966.5129, FK X06218.

147 RS, TS (mittelgallisch), Schüssel Curle 11. – Inv. 1966.5142, FK X06218.

148 BS, TS (ostgallisch), Schüssel Drag. 37. Relief: Eierstab weggebrochen, unter einer Landschaft mit Hirsch flieht ein Hase, gejagt von einem Hund, Grasbüschel und kleine Blüten als Füllmotive. – Inv. 1966.5140, FK X06218.

149 WS, TS (ostgallisch), Schüssel Drag. 37. Relief stark bestossen und nicht lesbar: Reste von Ornamenten? Innen stark versintert. – Inv. 1966.5097, FK X04696.

Übrige Keramik

150 2 RS, Schüssel Drack 20. Ton grau, hellgraue und beschlagene Oberfläche. – Inv. 1966.5103a.b, FK X04696.

151 2 RS, 3 WS, Glanztonbecher. Ton orange mit rotbraunem Überzug und Griessbewurf. – Inv. 1966.5120, FK X06236.

152 RS, Glanztonbecher Nb. 33. Ton orange mit orangem Überzug. – Inv. 1966.5100, FK X04696.

153 RS, Glanztonbecher Nb. 33. Ton grau mit grauem Überzug. – Inv. 1966.5101, FK X04696.

154 RS, Glanztondeckel. Ton orange mit orangebraunem Überzug und Ratterblechdekor. – Inv. 1966.5149, FK X06218.

155 RS, WS, Becher mit leicht verdicktem Rand. Ton orange, mit matter roter Oberfläche und Stempeldekor. – Inv. 1966.5146a.b, FK X06218.

156 RS, Teller mit eingebogenem Rand. Ton grau mit orangem Kern. – Inv. 1966.5156, FK X06218.

157 RS, Teller mit eingebogenem Rand. Ton orange, innen und aussen oranger Überzug. – Inv. 1966.5157, FK X06218.

158 RS, Teller mit verdicktem Rand. Ton hellgrau mit hellgrauer Oberfläche. Mit Kalk fein gemagert. – Inv. 1966.5155, FK X06218.

159 RS, Schüssel mit Kragenrand. Ton grau, Oberfläche geglättet. – Inv. 1966.5124, FK X06236.

160 RS, Schüssel mit gerilltem Horizontalrand. Ton grau. – Inv. 1966.5105, FK X04696.

161 RS, Schüssel mit profiliertem Rand. Ton orange, aussen unter dem Rand leicht brandgeschwärzt. – Inv. 1966.3449, FK X04690.

162 RS, Schüssel mit profiliertem Rand. Ton orange. – Inv. 1966.5150, FK X06218.

163 RS, Schüssel mit profiliertem Rand. Ton orange. – Inv. 1966.5151, FK X06218.

164 RS, Schüssel mit profiliertem Rand. Ton orangebraun, innen brauner Überzug. – Inv. 1966.5109, FK X04696.

165 RS, Schüssel mit profiliertem Rand. Ton grau, mit Mörtel am Rand. – Inv. 1966.5110, FK X04696.

166 RS, Schüssel mit profilierter Wandung. Ton grau. – Inv. 1966.5111, FK X04696.

167 RS, Schüssel mit profilierter Wandung. Ton orange, überglättet. – Inv. 1966.5112, FK X04696.

168 RS, Räucherkelch. An der Aussenseite weisse und rote Bemalungsreste. – Inv. 1966.5143, FK X06218.

169 2 RS, Kochtopf. Ton hellgrau. Aussen leichter Besenstrich und brandgeschwärzt. Mit Kalk fein gemagert. Handgemacht und überdreht. – Inv. 1966.5159a.b, FK X06218.

170 RS, Kochtopf mit ausbiegender, leicht unterschnittener Randleiste. Ton grau mit orangem Kern. Mit feinem Kalk gemagert. – Inv. 1966.3452, FK X04690.

171 RS, Kochschüssel mit ausladender Randleiste. Ton graubraun. Mit Kalk und Quarz gemagert. Am Rand Reste von organischem Material. – Inv. 1966.5104, FK X04696.

172 RS, «rätische» Reibschüssel. Ton orange, innen und über dem Rand orangebrauner Überzug. – Inv. 1966.5115, FK X04696.

173 RS, Amphore, Gauloise 4. Ton beige. – Inv. 1966.5160, FK X06218. – Publ.: Martin-Kilcher 1987/1994, Kat. 2870.

Glas

174 RS, Becher. AR 98.1/Isings 85b. Beinahe farblos. – Inv. 1966.5162, FK X06218. – Publ.: Rütti 1991/2, Kat. 1767.

175 BS, zylindrischer Krug? Saftgrün, durchscheinend. – Inv. 1966.5126, FK X06236. – Publ.: Rütti 1991/2, Kat. 3338.

Bronze

176 Scharnierfibel mit längsverziertem Bügel. Riha Typ 5.12. Nadel fehlt. – Inv. 1966.4946, FK X06218. – Publ.: Riha 1979, Kat. 1029.

177 Bronzedraht. Leicht gebogen, an beiden Enden abgebrochen. – Inv. 1966.5163, FK X06218.

Bein

178 Beinobjekt. Stabförmig. Nicht näher bestimmbare Funktion. – Inv. 1966.9449, FK X06218.

179 Beinobjekt. Evtl. einfacher Meissel oder Knochenrohling? – Inv. 1966.9447, FK X06218. – Vgl.: Deschler-Erb 1998, Kat. 817; Schenk 2008, Abb. 120,638.

170 Martin-Kilcher 1980, 33 Taf. 29,5–7.

171 Für das Augster Südwestquartier vgl. Schatzmann 2003, 68; 194 Taf. 8,127; 39,524; für die Insula 31 vgl. Martin-Kilcher 1987/1994, 40 Abb. 16,5; für die Nordwestecke bei den Frauenthermen vgl. Engeler-Ohnemus 2006, 244 Taf. 15,385.

172 Rütti 1991/2, 90; 149.

173 Riha 1979, 138; Riha 1994, 122–128.

174 Lesung, Datierung und Produktionszuweisung erfolgten durch Brenda Dickinson, Leeds.

175 Lesung, Datierung und Produktionszuweisung erfolgten durch Brenda Dickinson, Leeds.

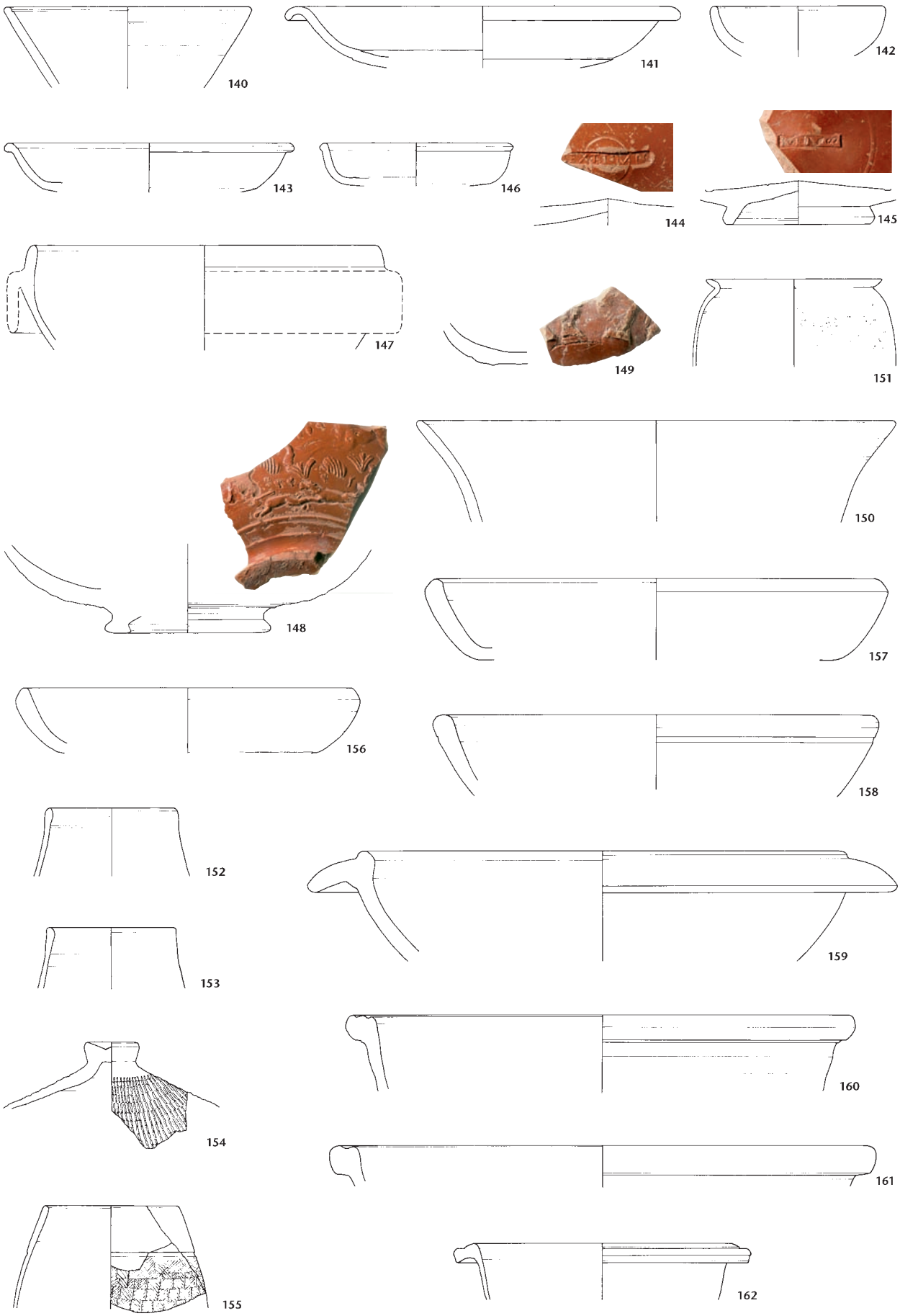


Abb. 86: Augst BL, Insula 5/9, Raum C (Grabung 1965–1967.052). Ensemble C6: Funde aus der Planie unter dem Stampflehmboden in Raum C (vgl. Beil. 2C,16). M. 1:3 (Stempel M. 2:3). ***140–149*** *Terra Sigillata,* ***150*** *Terra-Sigillata-Imitation,* ***151–154*** *Glanztonkeramik,* ***155–162*** *Gebrauchskeramik.*

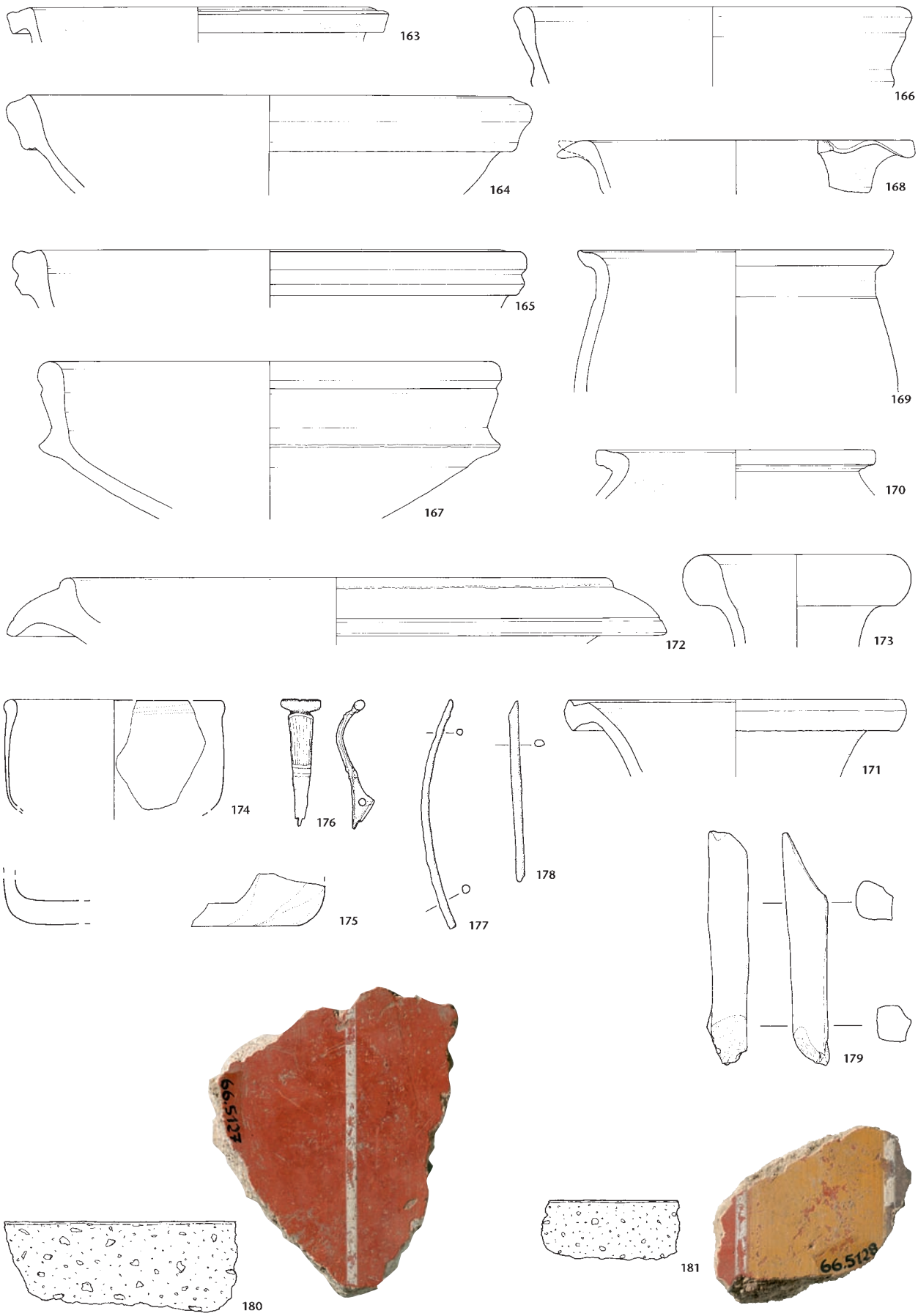


Abb. 86 (Fortsetzung): Augst BL, Insula 5/9, Raum C (Grabung 1965–1967.052). Ensemble C6: Funde aus der Planie unter dem Stampflehmboden in Raum C (vgl. Beil. 2C,16). M. 1:3 (Glas Bronze, Bein, Wandverputz M. 1:2). ***163–173*** *Gebrauchskeramik,* ***174, 175*** *Glas,* ***176, 177*** *Bronze,* ***178, 179*** *Bein,* ***180, 181*** *Wandverputz.*

Wandverputz

180 Fragment mit roter Bemalung und weissem, feinem, gerade gezogenem Strich. – Inv. 1966.5127, FK X06236. – Publ.: Otten 1994, 73 Abb. 345.

181 Fragment mit roter, gelber und wohl ehemals grüner Bemalung; unterteilt mit feinen weissen und gerade gezogenen Strichen. – Inv. 1966.5128, FK X06236. – Publ.: Otten 1994, 73 Abb. 345.

Nicht abgebildete Funde

Keramik

– Vgl. Abb. 85.

Stein

– Versteinerung, sogenannter Donnerkeil. – Inv. 1966.5161, FK X06218.

Bein

– Knochenrohling? – Inv. 1966.9448, FK X06218.

Wandverputz

– Roter Wandverputz. – Inv. 1967.10608, FK X06526. – Publ.: Otten 1994, 74 Kat. 413.

Die Tierknochen aus Ensemble C6 (Elisabeth Marti-Grädel)

Aus Ensemble C6 liegen 116 Knochenfragmente vor, von denen knapp über die Hälfte (n = 61) bestimmbar war (Abb. 87). Dabei handelt es sich hauptsächlich um Haustierknochen. Daneben sind zwei Austern bezeugt. Die 59 Haustierknochen stammen grösstenteils vom Hausschwein (n = 29; 49%). Ebenfalls vertreten sind das Hausrind (n = 19; 32%), Schaf/Ziege (n = 10; 17%) und das Haushuhn (n = 1; 1,7%).

Ensemble C6 datiert in den Zeitraum zwischen 200 und 250/260 n. Chr. Es wurde bei der diachronen und bei der räumlichen Auswertung der Tierknochenfunde berücksichtigt und der dritten Zeitstufe (100–220/250 n. Chr.) zugewiesen (vgl. Exkurs 2, unten S. 319 ff.).

Raum D

Befund

Das im Rahmen der Grabung 1965–1967.052 untersuchte «Gelass im Berg» (Raum D) bildet die südöstliche Fortsetzung des von der Hangstützmauer 1C und Mauer 3A/3B gebildeten Korridors C (Abb. 88). Sowohl die funktionale Interpretation von Raum D wie auch seine Einbindung in den architektonischen Gesamtkontext bzw. seine Zuweisung zu Phase 6 werfen gewisse Probleme auf.

Zurückzuführen ist dies unter anderem auf den grossen Zeitdruck, unter dem die von R. Laur-Belart zum Teil persönlich geleiteten Freilegungsarbeiten erfolgten (Abb. 89)[176]. Die schliesslich abgebrochene Untersuchung beschränkte sich fast ausschliesslich auf das Innere von Raum D. Wegen statischer Probleme der gut 3 m hohen Verfüllung aus lockerem Mauerschutt konnte ausserdem nur der unterste Teil von Profil 8 dokumentiert werden[177].

176 So konnten seinerzeit auf den FK-Zetteln lediglich relative Höhen zu bestimmten Fixpunkten (u. a. der Türschwelle) notiert werden. Dies erwies sich jedoch ungewollt als Glücksfall, weil auf dem Mauerplan (Plan 1966.052.100) in diesem Bereich zum Teil offensichtlich falsche Höhenkoten angegeben sind (z. B. bei MR 12, deren Oberkante irrtümlicherweise mit 301,00 m ü. M. angegeben ist). – Vgl. dazu auch Berger/Martin, Tagebuch, 08.02.1967: «Für Grabungsmethode und Jahrzeit zeichne ich nicht verantwortlich, L[udwig] B[erger].» und die verschiedenen Fotografien (vgl. etwa Abb. 4,B.C; 162).

177 Vgl. Berger/Martin, Tagebuch, 24.02.1967: «In diesem [halb untersuchten] Zustand wird die Hürbin'sche Untersuchung auf Geheiss von Prof. Laur abgebrochen».

		X04696	X04736	X04737	X06218	X06236	Total	(%)
Fragmentzahlen	*Bos taurus* (Hausrind)	7	1		7	4	19	31,1
	Ovis aries (Hausschaf)	1					1	1,6
	Ovis/Capra (Hausschaf/Hausziege)	3	1	2	3		9	14,8
	Sus domesticus (Hausschwein)	9	2	4	10	4	29	47,5
	Gallus domesticus (Haushuhn)	1					1	1,6
	TOTAL HAUSTIERE	21	4	6	20	8	59	96,7
	Ostrea edulis (Auster)	1			1		2	3,3
	TOTAL WILDTIERE	1	0	0	1	0	2	3,3
	TOTAL HAUS- UND WILDTIERE	22	4	6	21	8	61	100,0
	TOTAL GROSSGRUPPEN	0	0	0	0	0	0	
	Unbestimmbar, ohne Grössenangabe	16	3	5	23	8	55	
	TOTAL UNBESTIMMBAR	16	3	5	23	8	55	
	GESAMTTOTAL	38	7	11	44	16	116	
Gewicht (g)	Bestimmbare	610	60	85	730	590	2075	65,0
	Unbestimmbare	245	70	135	490	175	1115	35,0
	Total	855	130	220	1220	765	3190	100,0

Abb. 87: Augst BL, Insula 5/9, Raum C (Grabung 1965–1967.052). Ensemble C6: Tierartenliste, Fragmentzahlen und summarische Gewichtsangaben (g).

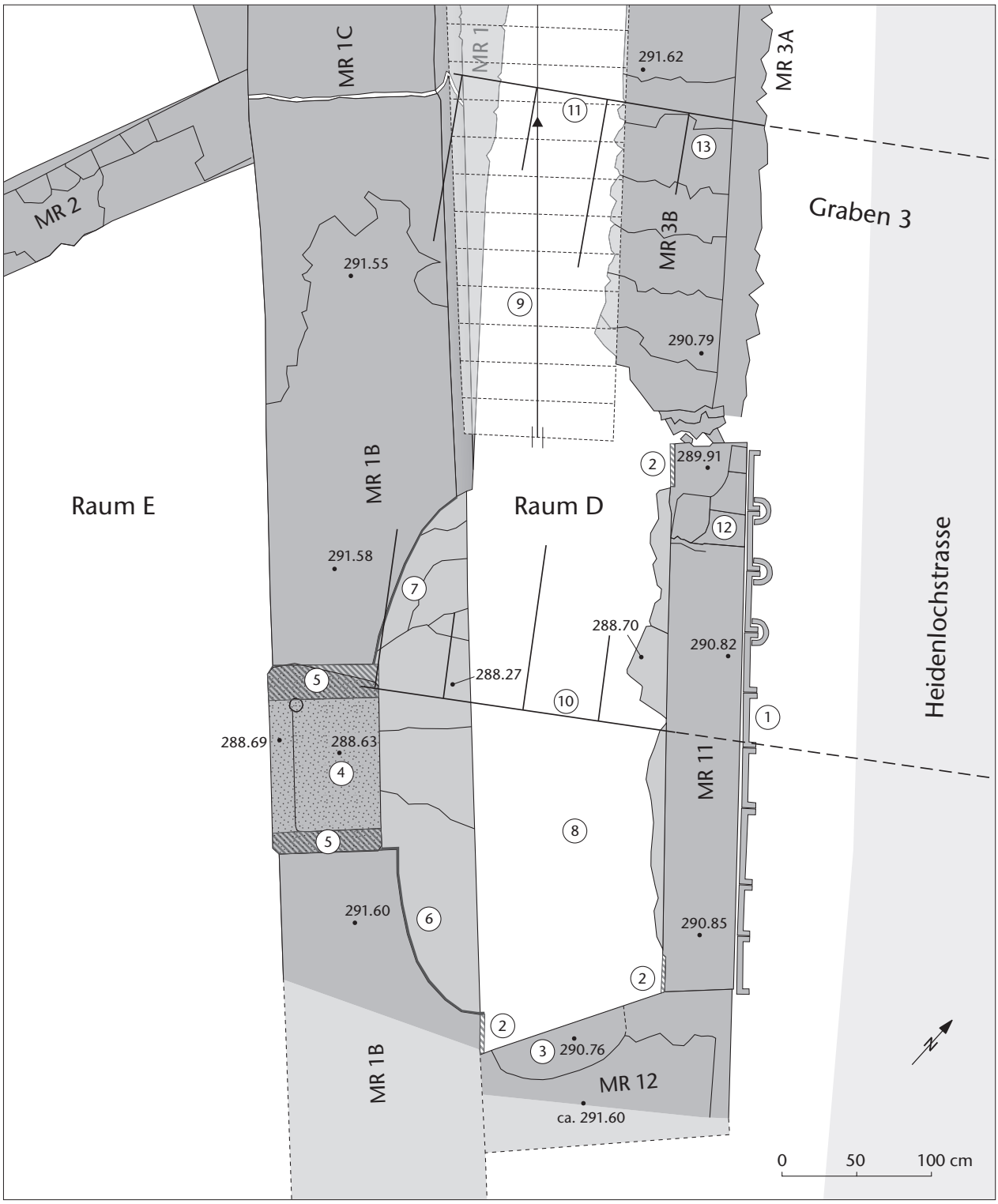


Abb. 88: Augst BL, Insula 5/9, Raum D (Grabungen 1965–1967.052 und 2002.063). Ausschnitt aus dem Gesamtplan mit dem Grundriss des «Gelasses im Berg» (Raum D). M. 1:40. ***1*** *«Dachartige», mit Ziegelschrotmörtel verfugte Isolation aus* tegulae *und* imbrices *(vgl. Abb. 90,A.B).* ***2*** *Negative von senkrecht stehenden Brettern, die wahrscheinlich zur Befestigung einer hölzernen Wandverkleidung am unteren, nicht verputzten Teil von MR 11 dienten (vgl. Abb. 91).* ***3*** *Halbrunde, weiss verputzte Nische in MR 12 (vgl. Abb. 89; 90,A).* ***4*** *Türschwelle aus Sandstein mit Drehangel und Türanschlag (vgl. Abb. 92).* ***5*** *Lage der indirekt nachweisbaren hölzernen Auskleidung des mit* tegulae *verzwickten Ausbruchs des Durchlasses durch die Hangstützmauer (MR 1B).* ***6*** *Mit Ziegelschrotmörtel und feinem weissem Kalkmörtel verputzte Nische mit Darstellung eines fechtenden Retiariers und Graffito TAVRVS ACCLAMATVS (vgl. Abb. 111).* ***7*** *Mit Ziegelschrotmörtel und feinem weissem Kalkmörtel verputzte Nische mit Darstellung eines fechtenden Gladiators (vgl. Abb. 112).* ***8*** *Aufgrund der Holzkohlereste (vgl. Abb. 123,2) rekonstruierter Bretterboden (OK ca. 288,70 m ü. M.).* ***9*** *Bereich des vermuteten Treppenaufgangs (vgl. Abb. 93).* ***10*** *Ansatz der östlichen Grabenkante von Graben 3 (Phase 13).* ***11*** *Ansatz der westlichen Grabenkante von Graben 3 (Phase 13).* ***12*** *abgetreppter Ausbruch der östlichen Grabenkante von Graben 3 an MR 11 (Phase 13; vgl. auch Abb. 236,A).* ***13*** *abgetreppter Ausbruch der westlichen Grabenkante von Graben 3 an MR 3B (Phase 13; vgl. auch Abb. 236,B).*

Das ergänzte Profil 8 und das vollständig rekonstruierte Profil 15[178] zeigen jedoch, dass sich gewisse Dokumentationslücken wohl auch bei einer sorgfältigeren Vorgehensweise nicht hätten vermeiden lassen[179], weil die Schichten am Nordwestende von Mauer 11 bzw. am Südostende von Mauer 3A/3B sowie ein Teil des Baubefundes beim Aushub von Graben 3 in Phase 13 stark zerstört bzw. verunklärt worden sind[180].

Der frühestmögliche Zeitpunkt für den Bau von Raum D ist in Phase 4 anzusetzen, weil der *exedra*-artige Türdurchlass sekundär aus der Hangstützmauer 1B der Phase 3 ausgeschrotet worden ist. Für die hier postulierte Zuweisung zu Phase 6 sprechen der innere Zusammenhang zwischen Korridor C und Raum D sowie das Fundmaterial aus der Fundamentgrube von Mauer 12.

Nicht völlig gesichert ist, ob der Bau der hangseitigen Abschlussmauer 11 von Raum D ebenfalls im Zusammenhang mit dem Einbau des Türdurchlasses erfolgte (Abb. 90). Bei Mauer 11 könnte es sich auch um einen älteren Mauerzug handeln, der in Raum D integriert worden ist.

Für diese Annahme sprechen die von der Hangstützmauer 1B abweichende Flucht von Mauer 11 sowie die Baufugen. Letztere zeigen, dass Mauer 12 vor das südöstliche Haupt der Hangstützmauer 1B und Mauer 11 gesetzt worden ist[181]. Aus der mit «grau verschmutzten, mit Ziegeln, Kalksteinsplittern und -abfällen» durchsetzten Verfüllung der Fundamentgrube von Mauer 12 stammt das kleine Ensemble D6. Es zeigt, dass Mauer 12 und damit auch Raum D frühestens um 170/180–200/210 n. Chr. errichtet worden sind. Raum D wird von Ludwig Berger wie folgt beschrieben (vgl. Abb. 88):

«Am Südrand der Grabung zeigte MR 1[B] im Jahre 1965 oberflächlich einen Ausbruch. Eine Nachuntersuchung Ende 1966 und anfangs 1967 ergab, dass dieser Ausbruch zu der nördlichen zweier Halbnischen gehörte, die einen durch die MR 1[B] von der Berg- zur Talseite führenden Durchgang von 1,25 m Breite flankieren.

Im Durchgang eine Sandsteinschwelle mit Drehloch und Türschlitz. Die flankierenden Nischen waren verputzt und bemalt mit je einem Gladiator»[182].

Wesentlich für das Verständnis der Situation in Raum D sind ferner folgende Beobachtungen[183]:

- Der mit einer Sandsteinschwelle ausgestattete Durchlass (Abb. 88,4) ist mit Sicherheit erst nachträglich aus der Hangstützmauer 1B ausgebrochen worden. Dies bezeugen einerseits die mit Ziegelfragmenten verzwickten und mit Lehm verstrichenen Stellen im Mauerdurchbruch, andererseits die Beobachtungen in den beiden ursprünglich ebenfalls mit Lehm ausgestrichenen Nischen[184]. Dort waren sogar noch die Abdrücke der Holzauskleidung des Türdurchbruchs (Abb. 88,5) zu erkennen[185].
  In welcher Art der vermutlich auf etwa 290,70 m ü. M. liegende, eingebrochene Türsturz des Durchlasses konstruiert worden war, liess sich nicht mehr feststellen. Neben der hier vorgeschlagenen Lösung (Abb. 93) wäre auch eine weniger aufwendige Lösung denkbar[186].
  Die Bearbeitungsspuren auf der Sandsteinschwelle (vgl. Abb. 88,4; 92) und der Vermerk «im Schutt vier eiserne Türangeln»[187] zeigen ferner, dass der Durchlass mit einer Türe verschlossen werden konnte.
- Die unregelmässig strukturierten Wangen der nachträglich ausgebrochenen *exedra*-artigen Nischen in der Hangstützmauer 1B (Abb. 88,6.7) waren mit Ziegelfragmenten verzwickt und mit Lehm ausgestrichen. Dieser diente offenbar als Untergrund für einen nur noch punktuell erhaltenen weissen Verputz.
  Die deutlich ausgeprägten rötlichen Verfärbungen deuten darauf hin, dass der Lehmestrich und der ältere Kalkverputz durch einen Brand beschädigt worden sind[188]. Das in Raum D ansonsten nicht nachweisbare Schadenfeuer muss sich am Ende von Phase 6 ereignet haben, da der neu verputzte Raum während Phase 7 weiterhin benutzt worden ist.
- Der hangseitigen Mauerschale von Mauer 11 war eine dachähnliche Konstruktion aus aufeinander gestellten *tegulae* und *imbrices* vorgeblendet, die mit Ziegelschrotmörtel fixiert waren (Abb. 90,A.B). Es handelt sich dabei um eine in Augusta Raurica ansonsten nicht belegte, aber bei Vitruv in ähnlicher Form beschriebene Isolation[189]. Diese sollte einerseits der Stauwasserbildung vorbeugen, indem das Wasser der «Dachhaut» entlang in den im Fundamentbereich anstehenden Kies geleitet wurde, und andererseits das Eindringen der Erdfeuchtig-

178 Für die Rekonstruktion der Stratigrafie konnten namentlich die ausführlichen Schichtbeschreibungen auf den FK-Zetteln herangezogen werden (vgl. dazu auch die Legenden von Abb. 123; 237).

179 So hätte z. B. ein zwischen den MR 1B/1C und MR 3A/3B bzw. MR 11 liegendes Nord-Süd-Profil angesichts der statischen Situation nur angelegt werden können, wenn man den Verlust der ebenso wichtigen Schichtanschlüsse an die genannten Mauern in Kauf genommen hätte.

180 Der auch in anderen Untersuchungen (z. B. Grabung 1971.055) als Störung bezeichnete Graben 3 wurde erst im Jahre 1989 als Teil des spätrömischen Befestigungssystems erkannt (vgl. Schwarz 1990, Abb. 16–18).

181 MR 11 könnte demnach auch schon zu Beginn von Phase 5 errichtet worden sein und in einem konstruktiven Zusammenhang mit MR 3A gestanden haben.

182 Berger, Bericht 1966.052, 23. – Vgl. dazu die Erläuterungen zu Phase 7, unten S. 99 ff.

183 Vgl. Berger/Martin, Tagebuch, 19.12.1966.

184 Berger/Martin, Tagebuch, 02.09.1966.

185 Vgl. dazu auch Hufschmid 1996, Abb. 45.

186 Parallelen zu der auf Abb. 93 vorgeschlagenen Lösung finden sich etwa bei Adam 1984, Abb. 344. Zu einfacheren Konstruktionen mit hölzernem Türsturz vgl. Adam 1984, Abb. 365; 367; 369; 488.

187 Laur-Belart, Tagebuch, 27.01.1967. Es handelt sich um die zurzeit nicht auffindbaren Ringscharniere Inv. 1967.2–5 aus FK X06529 (vgl. unten S. 126). – Das übrige Fundmaterial aus der nicht nach stratigrafischen Kriterien abgebauten, wahrscheinlich mehrheitlich in Phase 8 eingebrachten Verfüllung von Raum D kann nicht für die Interpretation des Baubefundes herangezogen werden. Vgl. dazu die Ausführungen zur Zerstörung am Ende von Phase 7, unten S. 112 f., und zu Ensemble D8, unten S. 125 ff.

188 Vgl. Dokumentation der Grabung 1965–1967.052, Detail 15 und Berger/Martin, Tagebuch, 02.09.1966. – Die Rotverfärbung des Lehmüberzuges könnte auch durch die Ziegelfragmente verursacht worden sein (vgl. Abb. 110).

189 Vitr. 7,4,1–2. Vitruv führt in diesem Zusammenhang aus, dass einer gegen das Erdreich gemauerten Mauer eine zweite Mauer vorgeblendet werden soll oder dass – wenn dies technisch nicht möglich ist – die Mauer *inwendig* mit Pech bestrichenen *tegulae hamatae* verkleidet werden soll. Beispiele für die Anwendung dieser Technik finden sich etwa bei Goudineau 1979, Taf. 56; Adam 1984, Abb. 631 und Durm 1885, 115 f. Abb. 91.



Abb. 89: Augst BL, Insula 5/9, Raum D (Grabung 1965–1967.052). Übersichtsaufnahme mit den Überresten des «Gelasses im Berg» (Raum D). Links die in Phase 13 beim Anlegen des Wall-Graben-Systems der spätrömischen enceinte réduite *von der westlichen Böschung von Graben 3 durchschlagene MR 11, hinten MR 12. Rechts die östliche der beiden weiss verputzten halbrunden Nischen, die den Durchgang durch die Hangstützmauer (MR 1B) flankierten. Die Betonmauer im Vordergrund wurde im Zuge der Konservierungsmassnahmen im Jahr 1967 zur Entlastung der Hangstützmauer (MR 1C) errichtet.*

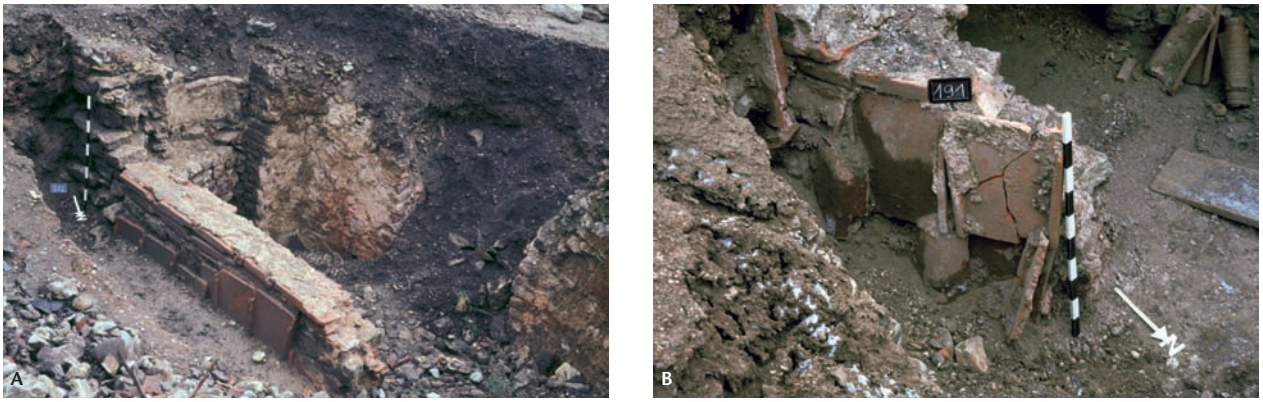


Abb. 90: Augst BL, Insula 5/9, Raum D (Grabung 1965–1967.052). ***A*** *Blick in das in Phase 8 mit Schutt verfüllte «Gelass im Berg» (Raum D). Links die mit einer dachartigen Konstruktion aus* tegulae *und* imbrices *isolierte und mit Ziegeldurchschüssen versehene MR 11 (der obere Teil wurde bei den Freilegungsarbeiten entfernt). In der Bildmitte ist die mit einer weiss verputzten Nische versehene MR 12 zu erkennen, rechts die östliche der beiden halbrunden Nischen, die den hier noch mit Schutt verfüllten Durchgang durch die Hangstützmauer (MR 1B) flankierten.* ***B*** *Blick auf die beim Anlegen des Wall-Graben-Systems der spätrömischen* enceinte réduite *(Phase 13) von der östlichen Böschung von Graben 3 durchschlagene MR 11. Die hangseitige Mauerschale von MR 11 wurde mithilfe einer dachartigen Konstruktion aus vermörtelten* tegulae *und* imbrices *isoliert.*

keit in das Mauerwerk verhindern. Der vergleichsweise grosse Aufwand[190] ist vermutlich damit zu erklären, dass die raumseitige Mauerschale nach Ausweis zweier Negative von senkrecht stehenden Brettern mit einer Bretter- oder Fachwerkwand verkleidet war[191].

Bemerkenswert ist auch der Aufbau von Mauer 11 (Abb. 91): In jeder dritten Lage wurde anstelle der Handquader aus Kalk-

190 Vgl. etwa die Sickerpackung hinter MR 1C. Die Verwendung von Entwässerungsröhren verbot sich von selbst, da es sich um einen geschlossenen Raum handelte.

191 Vgl. etwa den von Vetters/Piccottini 1986, Abb. 55; 56 vorgestellten Befund auf dem Magdalensberg. Dort wurde eine der Feuchtigkeit ausgesetzte Mauer mit einer vorgeblendeten Fachwerkwand versehen.



Abb. 91: Augst BL, Insula 5/9, Raum D (Grabung 1965–1967.052). Blick an die teilweise freigelegte raumseitige Mauerschale von MR 11. In der Ecke von MR 11 und MR 12 (rechts) ist deutlich das Negativ eines in MR 11 eingelassenen Holzbretts zu erkennen. Es diente, zusammen mit einem zweiten Brett am Westende von MR 11, zur Befestigung einer hölzernen Wandverkleidung. Im Vordergrund der bei der Verfüllung von Raum D in Phase 8 eingebrachte Schutt (vgl. auch Abb. 123; 237).



Abb. 92: Augst BL, Insula 5/9, Raum D (Grabung 1965–1967.052). Blick in das als Treppenhaus interpretierte «Gelass im Berg» (Raum D). Links MR 11, rechts die Hangstützmauer (MR 1B) mit dem von zwei verputzten halbrunden Nischen flankierten Durchgang zu Raum E. Die unregelmässige Oberkante der Hangstützmauer zeigt, dass der Durchgang erst nachträglich ausgebrochen worden ist. Die Abbruchkrone von MR 1B war von einem am Ende von Phase 7 verbrannten Bretterboden verdeckt, dessen Oberkante etwa auf der Höhe der Türschwelle lag (vgl. Abb. 93).

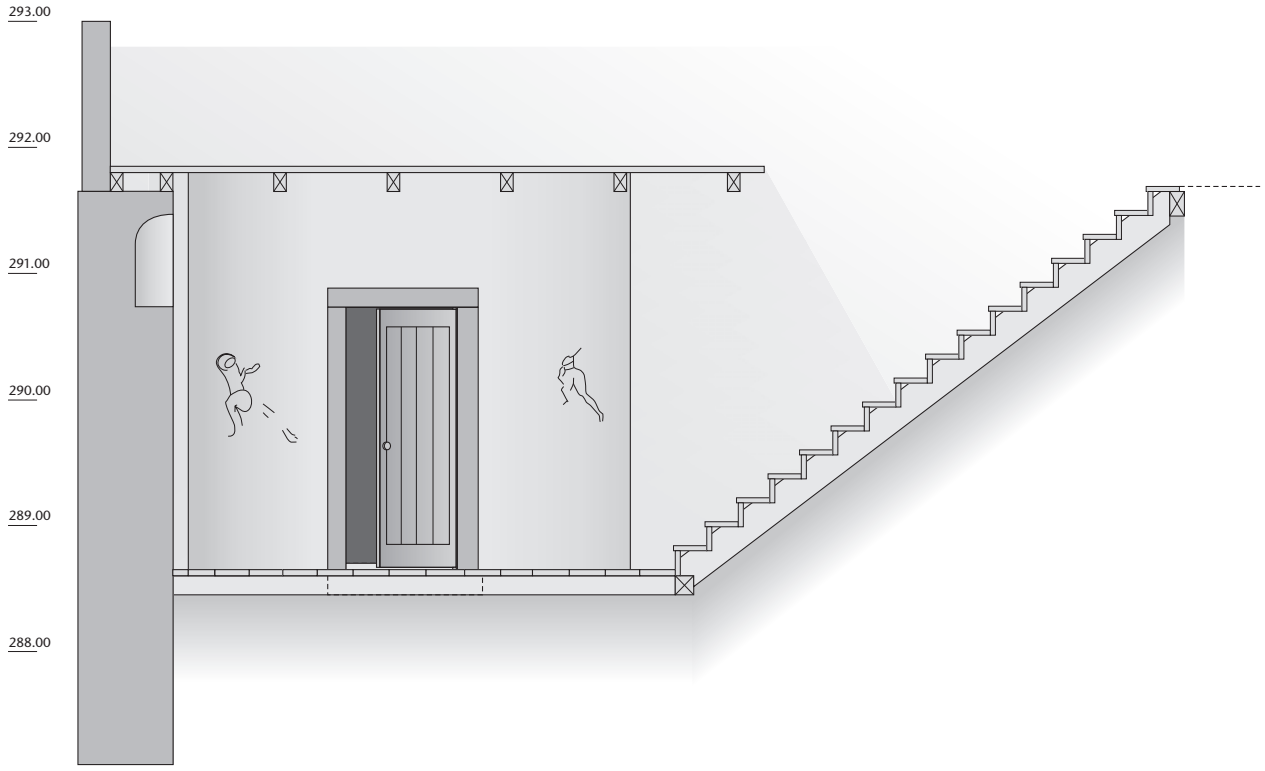


Abb. 93: Augst BL, Insula 5/9, Raum D (Grabung 1965–1967.052). Rekonstruktion der Situation von Raum D in den Phasen 6 und 7. Der nachträglich aus der Hangstützmauer (MR 1B) ausgebrochene Durchgang zwischen dem Treppenhaus (Raum D) und Raum E wird von zwei weiss verputzten halbrunden Nischen flankiert. Die Holztreppe auf der andeutungsweise erschliessbaren Rampe (vgl. Abb. 237) sowie der Deckenbalken sind hypothetisch. Die Wandmalereien mit den beiden Gladiatorendarstellungen entstanden erst in Phase 7 (vgl. Abb. 110–112). M. 1:60.

stein jeweils ein doppelter, nicht durchgehender Ziegeldurchschuss aus leistensichtig verlegten *tegula*-Fragmenten verlegt. Mauermörtel und Verputz waren mit Ziegelschrot gemagert[192].

- Problematisch blieb lange Zeit die für die funktionale Interpretation von Raum D wichtige Situation im Bereich der Nahtstelle zwischen Mauer 3A/3B und Mauer 11 (vgl. Abb. 88). Dort ist auf allen älteren Grundrissplänen eine rund 0,5 m breite Lücke zwischen den beiden Mauern eingetragen[193].
  Dank einer am 06.09.1966 aufgenommenen, seinerzeit jedoch nicht auf den Mauerplan übertragenen Detailzeichnung steht fest, dass diese Lücke nicht beim Abtiefen von Graben 3 in Phase 13 entstanden sein kann[194].
  Wie aus dem berichtigten Gesamtplan hervorgeht, stiess Mauer 11 ursprünglich an Mauer 3A/3B an. Nach Aussage der Höhenkoten muss sie bei der Entdeckung an dieser Stelle sogar noch bis auf eine Höhe von 290,40 m ü. M. erhalten gewesen sein[195].
  Aus diesen Gründen kann heute davon ausgegangen werden, dass Mauer 11 und Mauer 3A/3B eine bauliche Einheit gebildet haben und dass Raum D im Nordwesten, das heisst gegen Raum C, keine Abschlussmauer besass (vgl. unten).
- Die mit einer weiss verputzten halbrunden und relativ hoch sitzenden Nische versehene Mauer 12 war im unteren, sehr unsorgfältig gemauerten Bereich nicht verputzt (Abb. 92)[196]. Der beim Anschluss an Mauer 1B beobachtete Abdruck eines senkrecht stehenden Brettes deutet darauf hin, dass die untere Partie von Mauer 12 höchstwahrscheinlich ebenfalls mit einer Bretterwand verkleidet war.
- Die relativ groben Ausbrüche im Fundamentbereich von Hangstützmauer 1B, der markante Fundamentvorsprung von Mauer 11, das Fehlen eines Gehhorizontes sowie die auf dem lehmigkiesigen Material liegende Holzkohleschicht im Durchgang sprechen dafür, dass Raum D mit einem Bretterboden ausgestattet war.
  Die Oberkante des wohl auf Balken aufliegenden Bretterbodens dürfte auf der Höhe der Türschwelle zu Raum E gelegen haben (288,70 m ü. M.).

Die verschiedenen Detailbeobachtungen zeigen, dass es sich bei Raum D um einen etwa 3,5 m langen und maximal 2 m breiten, repräsentativ ausgestalteten unterirdischen Raum gehandelt hat, der keine nordwestliche Abschlussmauer besass (Abb. 93). Die Decke des knapp 3 m hohen Raums dürfte in etwa auf der Höhe der Mauerkrone der Hangstützmauer 1B bzw. des Gehhorizonts in Raum C gelegen haben, also etwa auf 291,60 m ü. M.[197]

Die verschiedenen Beobachtungen sowie die übrigen, an Profilskizze 15 ablesbaren Informationen lassen den Schluss zu, dass es sich bei Raum D um ein Treppenhaus gehandelt hat, das die Räume C und E miteinander verband (vgl. Abb. 237).

Das konstruktive Hauptelement, die aus dem Korridor (Raum C) in den Raum D hinunterführende Treppe, lässt sich indes nur indirekt nachweisen. Für die Existenz einer Holztreppe sprechen folgende Indizien:

- Der nach dem Abtragen der Humuskante und der Überreste von Wall B in Phase 14[198] dokumentierte Befund lässt andeutungsweise erkennen, dass sich die Verfüllung von Graben 3 in Phase 14 im fraglichen Bereich höchstwahrscheinlich mit der Verfüllung des zerstörten Treppenhauses in Phase 8 überschneidet.
  In diesem Sinn ist auch die Schichtbeschreibung von FK X06217 zu interpretieren: «mörtelig schuttige Auffüllung [von Raum D], im Süden humöse, schuttige Störung [= Verfüllung von Graben 3]»[199]. Die «mörtelig schuttige Auffüllung» des Treppenhauses (= Abb. 237,7A) und die «humöse, schuttige» Verfüllung von Graben 3 (= Abb. 237,10A) sind offensichtlich nicht erkannt und zusammen abgebaut worden[200].
- Auf Abbildung 236,B ist zu erkennen, dass die nach Schichten abgetragene Hinterfüllung von Hangstützmauer 1C rampenartig nach Südosten abfällt. Diese Erdrampe könnte – wie ähnliche Befunde nahelegen[201] – als Unterlage einer hölzernen

192 Beschrieben ist die Mauer auch bei Bender 1975, 140. Die auch von Berger 1977, 36 Anm. 30 übernommene, auf bautypologischen Kriterien fussende Datierung von MR 11 in «das spätere 3. Jahrhundert n. Chr.» ist heute überholt. Zu den Ziegeldurchschüssen vgl. auch Wallat 1993, 357 f.

193 Vgl. etwa Berger 1977, Abb. 2; Berger 1998, Abb. 164; Schwarz 1990, Abb. 25, welche auf dem seinerzeit aufgenommenen Mauerplan (Plan 1966.052.100) basieren. Da der Mauerplan den damaligen Gepflogenheiten entsprechend erst *nach* der Entfernung von morschen Mauerpartien aufgenommen worden ist, ist dieser Teil der MR 11 dort nicht eingetragen worden.

194 Seine Unterkante liegt etwa auf 289,90 m ü. M., also deutlich über dem Fundamentbereich von MR 11 (vgl. Beil. 2C).

195 Die auf den hier vorgelegten Plänen bereits eliminierte Lücke ist höchstwahrscheinlich bei der erst Monate später vorgenommenen endgültigen Freilegung bzw. Reinigung des morschen und überdies durch einen Kranunfall beschädigten (!) Nordwestendes von MR 11 entstanden. Vgl. Dokumentation der Grabung 1965–1967.052, Detail 13, wo ausdrücklich vermerkt wird, dass ein Teil von MR 11 «beim Kranunfall vom 03.10.1966 zerstört und unbeobachtet entfernt» worden ist.

196 Laut Berger/Martin, Tagebuch, 19.12.1966, 08.02.1967, besass MR 12 ebenfalls Ziegelbänder («nicht tief in die Mauer greifend, bloss aus einer Leiste bestehend»). Vgl. dazu auch Wallat 1993, 357 f.

197 Konkrete Hinweise, wie z. B. Konsolensteine oder Balkenlöcher, wurden nicht beobachtet. Die Wandmalereien (Abb. 111; 112) legen aber die Existenz einer Überdachung nahe.

198 Ist durch den hier nicht berücksichtigten FK X04688 verbürgt, mit dem die Humuskante und der oberste Teil des Überrestes von Wall B nach Profil 1b abgetragen worden sind (Beil. 2C,19.20). Der untere Teil von Wall B wurde u. a. mit FK X04747 abgetragen (vgl. Ensemble C13; Abb. 234). – Vgl. dazu auch die Dokumentation der Grabung 1965–1967.052, Foto 98. Im Fotojournal hält L. Berger explizit fest, dass das heute als Überrest von Wall B angesprochene Sediment aus «aufgefülltem sandig-aschigem Lehm und Mauerschutt bestand». Vgl. dazu auch die Ausführungen zu Phase 8, unten S. 114 ff., und zu Phase 13, unten S. 248 ff.

199 Vgl. dazu die Ausführungen zu Phase 14, unten S. 258 ff. Vgl. ferner Berger/Martin, Tagebuch, 02.09.1966: «Die Auffüllung der Portikus [i. e. der Korridor = Raum C] besteht in diesem Bereich aus gestörtem Material».

200 Dies, weil seinerzeit nicht erkennbar war, dass es sich um die Verfüllungen von zwei verschiedenen Strukturen – nämlich des Treppenhauses aus Phase 8 und des späteren in die Verfüllung des Treppenhauses eingetieften Grabens 3 aus Phase 14 gehandelt hat. Vgl. dazu auch die Dokumentation der Grabung 1965–1967.052, Foto 98, zu dem L. Berger ausdrücklich bemerkt, dass es sich dabei «offensichtlich um eine Grube handelt». – Der untere Teil der heute als Teil der Verfüllung von Graben 3 erkannten Schicht wurde später separat abgebaut (FK X06528: «Störung beim Abbruch der Mauer 3[A/B] und der Nische in Mauer 1[B]»).

201 Vgl. z. B. Schwarz 1991a, Abb. 13. Besonders instruktive Beispiele mit ähnlichen Befunden finden sich bei Kaiser/Sommer 1994, Abb. 65; 75; 91.

Treppenkonstruktion gedient haben. Jedenfalls kann sie – wie der Verlauf der Abschrotungen an Mauer 3A/3B zeigt – keinesfalls mit der weiter südöstlich verlaufenden, nordwestlichen Böschung von Graben 3 identisch sein.

- Das auf rund 290,30 m ü. M. liegende Fundament von Mauer 3A/3B muss im Bereich von Mauer 11 tiefer gelegen haben bzw. dürfte – wie auf Abbildung 237 dargestellt – von Nordwesten nach Südosten abgefallen sein[202].

Ensemble D6

Allgemeine Charakterisierung: Ensemble D6 umfasst lediglich einen einzigen Fundkomplex (Abb. 94). FK X06530 stammt aus der Verfüllung der Baugrube von Mauer 12, enthielt aber nur sehr wenige Funde. Die zeitliche Einordnung des Ensembles basiert vor allem auf der Terra Sigillata und der Glanztonware.

Datierung des Fundmaterials: Das kleine Ensemble D6 (Abb. 95) lässt sich in die Jahre um 200 n. Chr. datieren. Dies in erster Linie aufgrund eines Bechers **183** der Form Déchelette 72 aus der zweiten Hälfte des 2. Jahrhunderts[203]. Gut in dieses Bild passen auch die Glanztonbecher **184** und **185**, die sich nach der Mitte des 2. Jahrhunderts entwickeln und in Augusta Raurica typisch für die Zeit kurz vor und um 200 n. Chr. sind[204].

Die übrige Gebrauchskeramik ist mit einer Schüssel mit profiliertem Rand **186** und mit einer grauen Schüssel mit einwärts verdicktem Rand **187** vertreten, die in den oben umrissenen Zeitraum passen. Schliesslich ist festzuhalten, dass sich Ensemble D6 zwar in die Zeit zwischen 170/180 und 200/210 n. Chr. datieren lässt, aber für eine gut abgesicherte Datierung zu klein ist.

Form/Typ	RS	BS	WS	HE	Total	MIZ
TS, südgallisch						
Drag. 35/36	1				1	1
TS, ostgallisch						
Déchelette 72	1		1		2	1
Glanztonkeramik						
Nb. 32	2				2	2
Nb. 30	1				1	1
Form unbestimmt		4	4		8	8
Übrige Keramik						
Helltonige Gebrauchskeramik						
Schüssel mit gerilltem Horizontalrand	1				1	1
Schüssel mit profiliertem Rand	1				1	1
Grautonige Gebrauchskeramik						
Schüssel mit einwärts verdicktem Rand	1				1	1
Reibschüssel	3				3	1
Total Fragmente/MIZ	**11**	**4**	**5**		**20**	**17**

Abb. 94: Augst BL, Insula 5/9, Raum D (Grabung 1965–1967.052). Ensemble D6: Fundstatistik zur Keramik (FK X06530). MIZ = RS, BS, WS, HE.

Katalog der Funde aus Ensemble D6 (Abb. 95)

Terra Sigillata

182 RS, TS (südgallisch), Schale Drag. 35/36. – Inv. 1967.523, FK X06530.

183 RS, WS (ostgallisch), Becher Déchelette 72. – Inv. 1967.524a.b, FK X06530.

Übrige Keramik

184 RS, Glanztonbecher Nb. 32. Ton orange mit braunem, glänzendem Überzug. – Inv. 1967.527, FK X06530.

185 RS, Glanztonbecher Nb. 30. Ton orange mit leicht glänzendem, orangem Überzug. – Inv. 1967.534, FK X06530.

186 RS, Schüssel mit profiliertem Rand. Ton orange. – Inv. 1967.537, FK X06530.

187 RS, Schüssel mit einwärts verdicktem Rand. Ton grau. – Inv. 1967.536, FK X06530.

188 3 RS, Reibschüssel. Ton orange, matt. – Inv. 1967.538a–c, FK X06530.

Eisen

189 Feiner Kloben. Schaft und Angel rechteckig. Angel verjüngt sich deutlich zur Spitze hin. – Inv. 1967.542, FK X06530.

190 Pilzkopfnagel. – Inv. 1967.540, FK X06530.

Nicht abgebildete Funde

Keramik

– Vgl. Abb. 94.

– Ganz erhaltener Krug mit Bandrand. Ton orange mit weisser Engobe auf der Aussenseite. – Inv. 1967.2486, FK X06530. Dieser ganz erhaltene Krug wurde fälschlicherweise dem FK X06530 zugeordnet, stammt aber vermutlich aus einem der Ensembles aus dem Brandschutt (A11-GH, A11-EG oder A11-OG). Da eine gesicherte Zuweisung nicht möglich ist, wurde der Krug in den jeweiligen Ensembles aber nicht berücksichtigt (vgl. dazu auch oben S. 27 mit Abb. 11,B).

– Keramik, zurzeit im Depot nicht auffindbar. – Inv. 1967.539, FK X06530.

Eisen

– Eisen, zurzeit im Depot nicht auffindbar. – Inv. 1967.541, FK X06530.

Raum E: Befund

Das Treppenhaus (Raum D) bzw. der *exedra*-artige Durchgang in der Hangstützmauer 1B lässt den Schluss zu, dass der Bereich von Raum E spätestens ab Phase 6 überbaut

202 Vgl. Berger/Martin, Tagebuch, 09.09.1966: «Beachte das Osthaupt von MR 3, deren Fundamentlagen im Bereich Y16 [= bei MR 11] tiefer hinuntergehen als nördlich davon». Der ansonsten leider nicht dokumentierte Sachverhalt (auf dem Mauerplan 1966.052. 100 fehlen Höhenkoten im fraglichen Bereich) scheint insofern plausibel, weil schräg abfallende Fundamentunterkanten bei Kellertreppen ein geläufiges Phänomen darstellen (vgl. etwa Schwarz 1991a, Abb. 10; 11).

203 Fünfschilling 2006, 142 f.; Hufschmid 1996, 108; Oswald/Pryce 1966, 223 Taf. 77.

204 Vgl. Schucany u. a. 1999, 46–49 Abb. 10 und 154 Taf. 71; 72 (Fundensemble D.8 Augst 7).

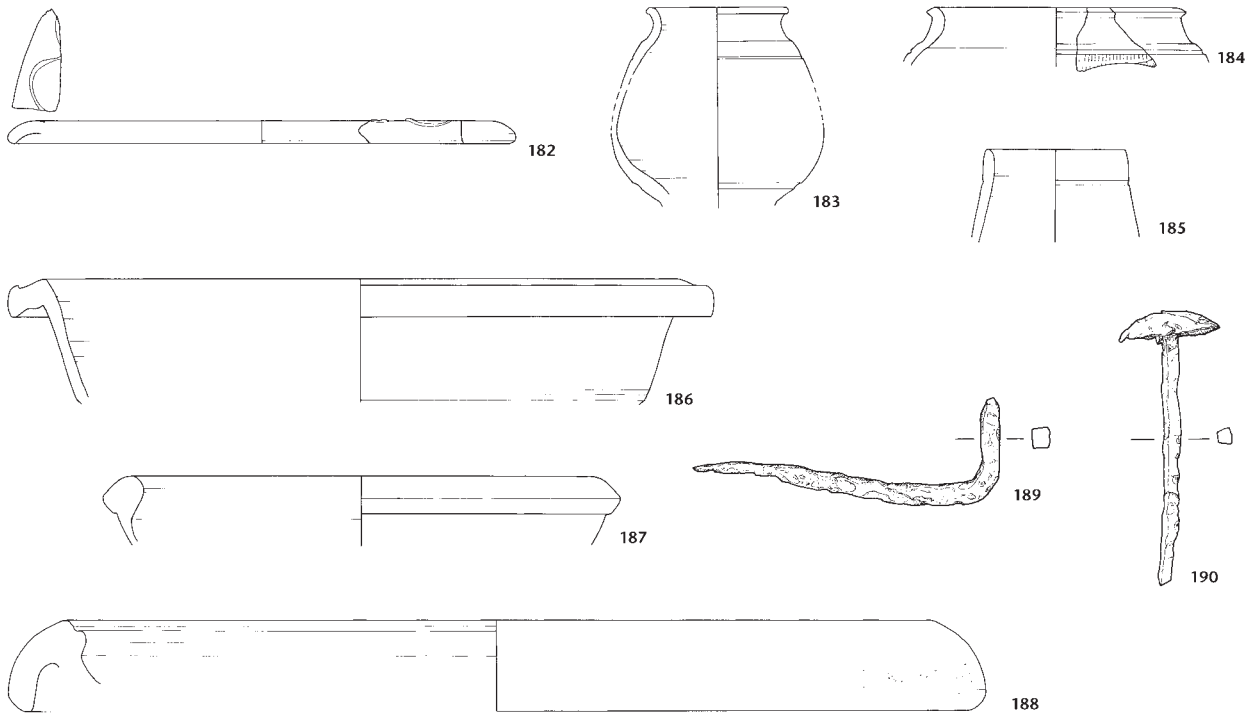


Abb. 95: Augst BL, Insula 5/9, Raum D (Grabung 1965–1967.052). Ensemble D6: Funde aus der Verfüllung der Baugrube der zu Raum D gehörenden Mauer 12. M. 1:3 (Eisen M. 1:2). ***182, 183*** *Terra Sigillata,* ***184, 185*** *Glanztonkeramik,* ***186–188*** *Gebrauchskeramik,* ***189, 190*** *Eisen.*

gewesen sein muss. Das Gehniveau im hangseitigen Teil von Raum E dürfte in etwa auf der Kote der Türschwelle, d. h. auf 288,70 m ü. M., gelegen haben (vgl. Abb. 88).

Ob die strassenseitige Begrenzung von Raum E bereits in Phase 6 von Mauer 22 resp. deren Vorgänger gebildet wurde, ist denkbar, aber nicht erwiesen. Anlässlich der Grabungen 1965–1967.052 und 2002.063 konnten nur die oberen, wahrscheinlich in Phase 9 errichteten Teile von Mauer 22 untersucht werden (vgl. dazu unten bei Abb. 141).

Der parallel zu Mauer 3B verlaufende Strassengraben (Abb. 96,18B; Beil. 2C,18B) war nach Aussage der Grabungsdokumentation mit einem auf der Nordseite noch punktuell erkennbaren, senkrecht gestellten Holzbrett ausgekleidet (Beil. 2C,18A)[207]. Dieses sollte – zusammen mit einer lockeren Steinsetzung – offensichtlich das Nachrutschen der angeböschten Planieschicht (Beil. 2C,15) verhindern.

Das Ensemble HL6 stammt aus dem unteren, humosen Teil der Verfüllung des Strassengrabens am Südrand der

Heidenlochstrasse

Befund

Nach Abschluss der Bauarbeiten in Raum C wurde die durch den ausplanierten Abbruchschutt von Mauer 3A (Beil. 2C,14) nur teilweise verfüllte Senke zwischen Mauer 3B und der höher liegenden Heidenlochstrasse vollständig verfüllt. Die kiesige, mit Bauschutt und Wandmalereiresten durchsetzte Planieschicht (Abb. 96,16; Beil. 2C,15) überdeckt den Abbruchschutt von Mauer 3A und bildet eine deutliche, gegen die Heidenlochstrasse hin ansteigende Böschung[205]. Diese Böschung bzw. der ausgeprägte Niveauunterschied zwischen dem Gehhorizont in Raum C und der Heidenlochstrasse mutet zwar merkwürdig an[206], entsprach aber – wie der Strassengraben zeigt – offensichtlich den damaligen Intentionen.

205 Vgl. Berger/Martin, Tagebuch, 29.08.1966: «Nr. 5a und 5b [= Beil. 2C,14.15] sind nicht eigentlicher ‹gewachsener› Strassenkörper, sondern eingefüllter Werkschutt zur Gewinnung des Strassenniveaus». Für diese Interpretation sprechen auch die in dieser Planieschicht gefundenen bemalten Wandverputzfragmente (Otten 1994, Kat. 323 = o. Abb. in diesem Band). Dass es sich dabei z. T. auch um Teile der tertiär verlagerten Hinterfüllung der Hangstützmauer 1C handeln muss, bezeugt u. a. eine Passscherbenverbindung zwischen dem nach dem Bau von MR 3B (Phase 6) angeböschten Bau- und Abbruchschutt (Beil. 2C,15) und der schon in Phase 5 eingebrachten Hinterfüllung von MR 1C (Beil. 2C,11).

206 Vgl. Berger/Martin, Tagebuch, 20.7.1965: Die aus heutiger Sicht noch immer zutreffende Interpretation wurde 1966 mit der Begründung «… die Strasse, die er entwässerte, müsste sehr hoch und sehr weit über ihm gelegen haben …» verworfen.

207 Vgl. Dokumentation der Grabung 1965–1967.052, Detail 2. Ähnliche Befunde finden sich etwa bei Hänggi 1989, Abb. 19.

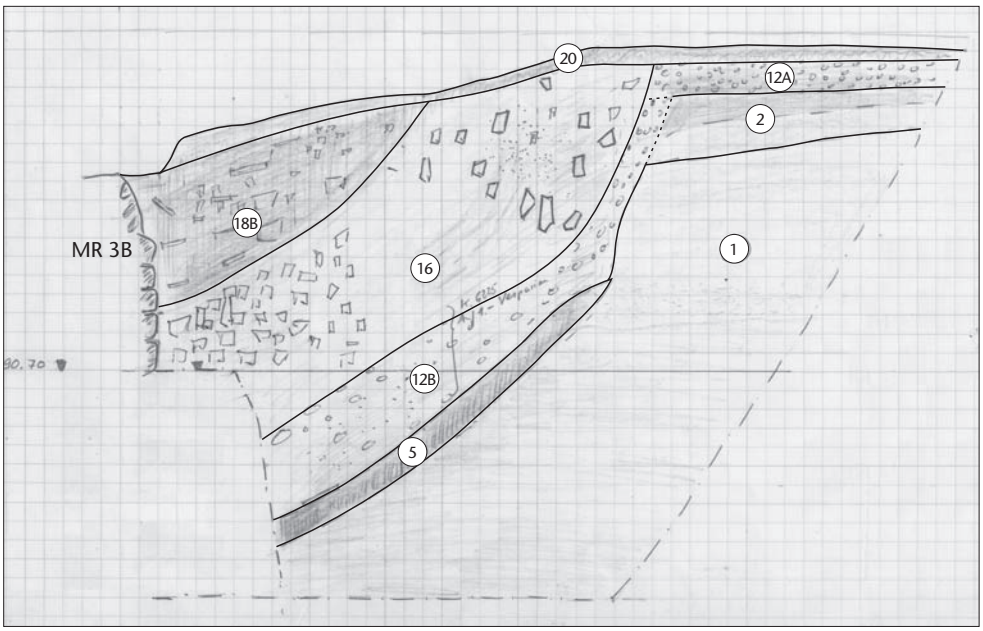


Abb. 96: Augst BL, Insula 5/9, Heidenlochstrasse (Grabung 1965–1967.052). Profilskizze von Ludwig Berger vom 17.08.1966 mit der Situation im Bereich der MR 3A/MR 3B und der Heidenlochstrasse. Der Ausschnitt und die Nummerierung der Schichten entsprechen in etwa dem oberen Teil von Profil 1b (Beil. 2C). M. 1:40. ***1*** *Anstehender Niederterrassenschotter (Phase 1).* ***2*** *Anstehender Verwitterungslehm (Phase 1).* ***5*** *Vermutlich nach dem Bau der Terrassierungsmauer (MR 1) in Phase 2 abgelagerte humose Abfallschicht im Bereich der zum Teil abgetragenen natürlichen Hangkante.* ***12A*** *Kieskoffer der Heidenlochstrasse.* ***12B*** *kiesige Planieschicht; ist im nördlichen Teil mit dem Kieskoffer der Heidenlochstrasse identisch (12A).* ***16*** *Lehmige, mit Abbruchschutt durchsetzte Planie.* ***18B*** *Verfüllung des Strassengrabens (Phasen 6–7).* ***20*** *Oberflächenschutt und Humuskante vor Grabungsbeginn (Phase 15).*

Form/Typ	RS	BS	WS	HE	Total	MIZ
TS, ostgallisch						
Nb. 12	1				1	1
Drack 20–22						
Drack 20	1				1	1
Übrige Keramik						
Helltonige Gebrauchskeramik						
Schüssel mit Hängerand	1				1	1
Krug mit Wulstrand	1				1	1
Grautonige Gebrauchskeramik						
Teller mit ausladender Leiste	1				1	1
Topf/Tonne			1		1	1
Kochtopf			1		1	1
Total Fragmente/MIZ	**5**		**2**		**7**	**7**

Abb. 97: Augst BL, Insula 5/9, Heidenlochstrasse (Grabung 1965–1967.052). Ensemble HL6: Fundstatistik zu den Keramikfunden (FK X04625, FK X04712, FK X04724, FK X06205).

Heidenlochstrasse. Im Westen ist die Verfüllung des Strassengrabens stark mit Ziegelschutt durchmischt, im Osten bildeten die wohl bei der Zerstörung von Raum C am Ende von Phase 7 angefallenen Ziegel eine eigentliche Deckschicht (vgl. unten Abb. 232).

Ensemble HL6

Allgemeine Charakterisierung: Dem unteren Teil der Verfüllung des Strassengrabens liessen sich vier Fundkomplexe (FK X04625, FK X04712, FK X04724 und FK X06205) zuweisen (Abb. 97). Das Fundensemble (Abb. 98) ist zwar relativ klein, lässt sich aber anhand einer Münze **195** aus FK X06205[208] recht gut datieren.

Datierung des Fundmaterials: Das Schälchen **191** der Form Nb. 12 ist das jüngste datierende Element und wird in der Literatur als typische Form für das zweite und dritte

208 Mit FK X06205 wurde die dem Profil 1b, Schicht 5a (= Beil. 2C,15) entsprechende Schicht 7 nach Profilskizze 5 (hier nicht abgebildet) abgebaut. Da die Korrelation der beiden Schichten bereits auf der Grabung vorgenommen worden ist (vgl. Dokumentation der Grabung 1965–1967.052, Profil 5, Schicht 7) und sich die Oberkante (292,50 m ü. M.) und die Unterkante (292,14 m ü. M.) von FK X06205 trotz des leicht nach Norden ansteigenden Terrains in etwa mit dem Befund in Profil 1b decken, darf die stratigrafische Zuweisung der auf 292,19 m ü. M. gefundenen Münze und des einzigen Mitfundes, einer Scharnierfibel (Abb. 98,**196**), als gesichert gelten.

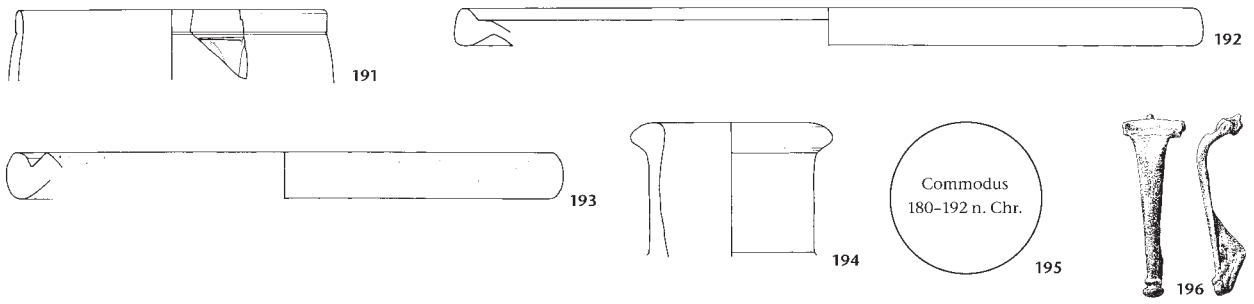


Abb. 98: Augst BL, Insula 5/9, Heidenlochstrasse (Grabung 1965–1967.052). Ensemble HL6: Funde aus dem unteren Teil der Verfüllung des Strassengrabens der Heidenlochstrasse (vgl. Abb. 96,18B; Beil. 2C,18B). M. 1:3 (Bronze M. 1:2). ***191*** *Terra Sigillata,* ***192–194*** *Gebrauchskeramik,* ***195*** *Münze,* ***196*** *Bronze.*

Viertel des 3. Jahrhunderts angeführt[209]. Die übrige Keramik sowie die Fibel **196** liefern keine Anhaltspunkte für eine genauere Datierung. Die Schüssel mit Hängerand **193** kann hingegen in den Zeitraum zwischen der Mitte des 2. bis an den Beginn des 3. Jahrhunderts datiert werden, was für eine Datierung des Ensembles in das frühere 3. Jahrhundert spricht[210]. Gestützt wird dieser Datierungsansatz durch den zwischen 180 und 192 n. Chr. geprägten, leicht abgegriffenen As des Commodus **195**. Nominale dieses Typs zirkulierten auch noch im früheren 3. Jahrhundert[211].

Katalog der Funde aus Ensemble HL6 (Abb. 98)

Terra Sigillata

191 RS, TS (ostgallisch), Schälchen Nb. 12. – Inv. 1965.5357, FK X04625.

Übrige Keramik

192 RS, Teller mit ausladender Leiste und Wandknick. Ton hellgrau mit schwarz geglätteter Oberfläche. – Inv. 1965.5359, FK X04625.

193 RS, Schüssel mit Hängerand. Ton orangebraun. Über dem Rand leichte Brandspuren. – Inv. 1965.5361, FK X04625.

194 RS, Krug mit weiter Mündung und Wulstrand. Ton weissbeige, innen und auf dem Rand graue Farbreste. – Inv. 1965.4311, FK X04724.

Münze

195 Commodus. As. Rom, 180–192 n. Chr. Rs.: Stehende Figur n. l. A2/2, K3/3, 15°, 8,12 g. – Inv. 1966.4478, FK X06205. – Publ.: Peter 1996, Ins. 5.9/43.

Bronze

196 Scharnierfibel mit ungeteiltem Bügel und Fussknopfrudiment. Riha Typ 5.5.9. – Inv. 1966.4479, FK X06205. – Publ.: Riha 1979, Kat. 986.

Nicht abgebildete Funde

Keramik

– Vgl. Abb. 97.

– Zurzeit nicht auffindbar. – Inv. 1965.3918, FK X04712.

Eisen

– Ring. – Inv. 1965.4312, FK X04724.

Die Tierknochen aus Ensemble HL6 (Elisabeth Marti-Grädel)

Drei Fundkomplexe von Ensemble HL6 lieferten 38 Knochenfragmente, von denen 21 bestimmbar waren (Abb. 99).

		X04625	X04712	X04724	Total	(%)
Fragmentzahlen	*Bos taurus* (Hausrind)	2	3	2	7	33,3
	Ovis/Capra (Hausschaf/Hausziege)	1		2	3	14,3
	Sus domesticus (Hausschwein)		4	6	10	47,6
	Gallus domesticus (Haushuhn)		1		1	4,8
	TOTAL HAUSTIERE	3	8	10	21	100,0
	TOTAL WILDTIERE	0	0	0	0	0,0
	TOTAL HAUS- UND WILDTIERE	3	8	10	21	100,0
	TOTAL GROSSGRUPPEN	0	0	0	0	
	Unbestimmbar, ohne Grössenangabe	10	2	5	17	
	TOTAL UNBESTIMMBAR	10	2	5	17	
	GESAMTTOTAL	13	10	15	38	
Gewicht (g)	Bestimmbare	115	195	230	540	
	Unbestimmbare	215	40	100	355	
	Total	330	235	330	895	

Abb. 99: Augst BL, Insula 5/9, Heidenlochstrasse (Grabung 1965–1967.052). Ensemble HL6: Tierartenliste, Fragmentzahlen und summarische Gewichtsangaben (g).

Es handelt sich dabei ausschliesslich um Reste von Haustieren. Am besten vertreten ist das Hausschwein, gefolgt von Hausrind, Schaf/Ziege und Haushuhn.

Das Ensemble datiert in den Zeitraum zwischen 180 und 220/230 n. Chr. Es wurde daher bei der diachronen und bei der räumlichen Auswertung der Tierknochenfunde berücksichtigt und der dritten Zeitstufe (100–220/250 n. Chr.) zugewiesen (vgl. Exkurs 2, unten S. 319 ff.).

209 Pferdehirt 1976, 84 f.; Hoek 1991, 116 Abb. 26,18.19; Schucany u. a. 1999, 155 Taf. 74 ff. (Fundensembles D.10 Augst 9 und D.11 Augst 10); Schatzmann (in Vorb.).

210 Zu Schüsseln mit Hängerand vgl. Furger 1993, 98 Abb. 8,4–7; Schucany u. a. 1999, 142 Abb. 35,3–5.

211 Peter 2001, 115.

Phase 7: Letzte kaiserzeitliche Umbauten

Überblick

Phase 7 (Abb. 100) entspricht der letzten Ausbauphase und ist durch verschiedene bauliche Veränderungen im Inneren der Räume A, C und D gekennzeichnet. Bemerkenswert ist – neben den neuen Wandmalereien in Raum D – der Umstand, dass das hypokaustierte *cubiculum* in Raum A fortan von Raum B aus beheizt wurde. Dies deutet darauf hin, dass diese beiden Räume spätestens ab diesem Zeitpunkt gemeinsam bewirtschaftet wurden bzw. wohl einem Besitzer gehört haben.

Raum A

Befund

Wie die Abbildungen 100 und 101 zeigen, betreffen die baulichen Veränderungen in erster Linie das hypokaustierte *cubiculum*: Der Schürkanal von Praefurnium I wurde zu-

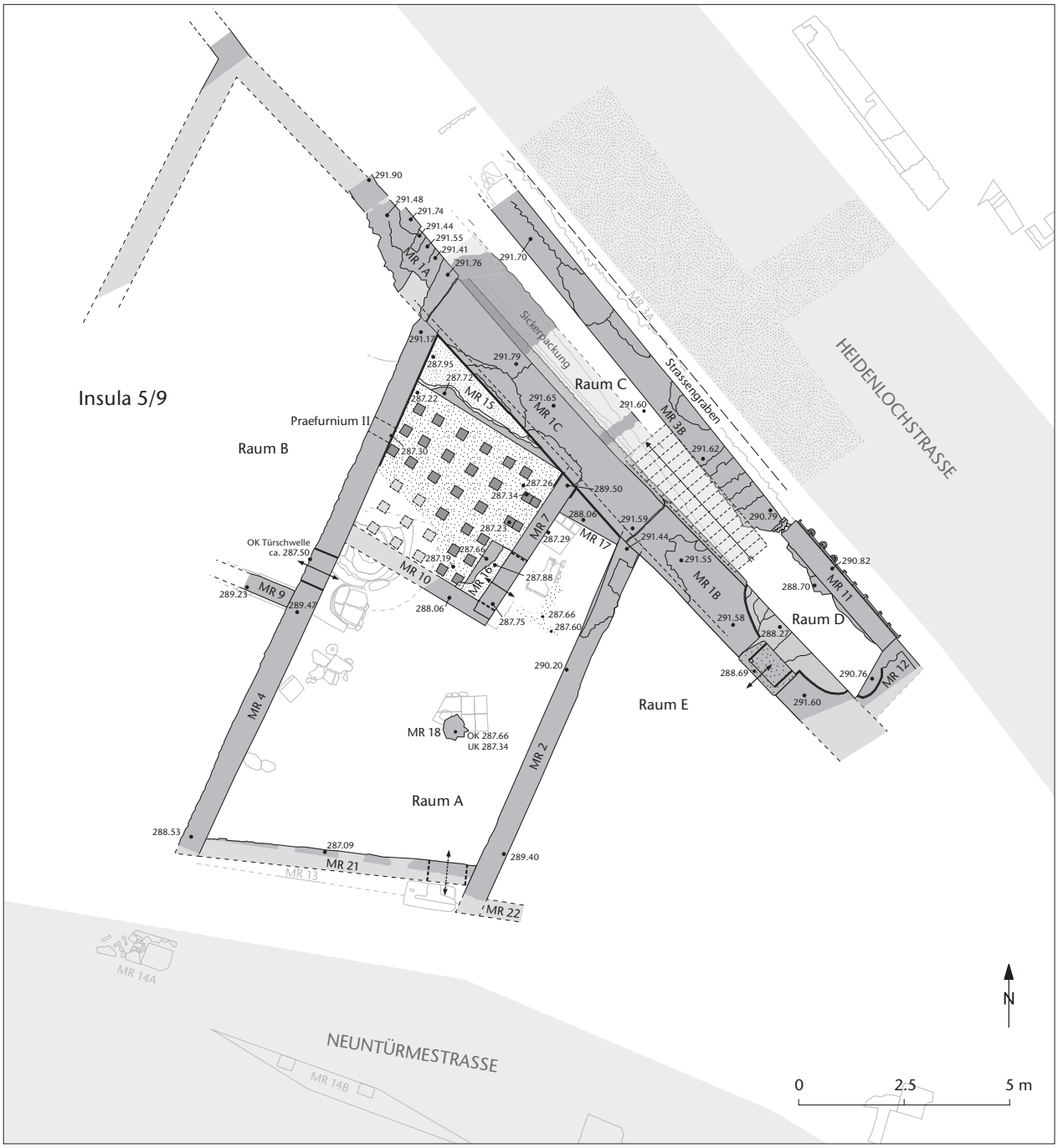


Abb. 100: Augst BL, Insula 5/9 (Grabungen 1965–1967.052 und 2002.063). Übersichtsplan mit den Befunden der Phase 7. M. 1:150.

Raum A	Raum B	Raum C (Korridor)	Raum D (Treppenhaus)	Raum E	Heidenlochstrasse
• Aufgabe von Praefurnium I: Hypokaust wird von Raum B aus befeuert (= Praefurnium II) • Jüngerer «grober» Terrazzoboden des hypokaustierten *cubiculum* (Beil. 2D,1B) • Ablagerung der Holzkohleschicht im Hypokaust (Beil. 2G,2)	• Bau von Praefurnium II (= Durchbruch MR 4)	• Erneuerung des Stampflehmbodens in der Portikus/im Korridor (Raum C)	• Renovation: Erneuerung des Wandverputzes	• Erschliessung via Raum C durch *exedra*-artiges Treppenhaus (Raum D) • Keine Befunde (nicht untersucht)	• Aufkofferung der Heidenlochstrasse.
• Lehmige Planie (Beil. 2C,16) • Mörtelgussboden über dem verfüllten Praefurnium I (Beil. 2E,7; 2E,8; 2E,10) • Ablagerung von Sedimenten auf dem Mörtelgussboden (Beil. 2E,9)		• Mit grobem Kies durchsetzter Stampflehmboden (Beil. 2C,17; Abb. 237,4)	• Wandmalereien: Ringer und Gladiator (TAVRVS ACCLAMATVS) (Abb. 88,6; 93; 110; 111)		• Holzbrett der Auskleidung des Strassengrabens (Beil. 2C,18A) • Verfüllung des Strassengrabens (Beil. 2C,18B; Abb. 96,18B)
Zerstörung durch Brand (infolge Erdbeben ?)					
• Verbrannter Bretterboden im strassenseitigen Teil (Beil. 2H,8; Abb. 237,5; 71; 128; 221,1)	• Fachwerkschutt (Abb. 107; 179,1).	• Keine zuweisbaren Schichten oder Strukturen	• mehrheitlich aus Holzkohle zusammengesetzter Brandschutt (Abb. 123,3)	• Keine Befunde (nicht untersucht)	• Ziegelversturz in Verfüllung des Strassengrabens (Abb. 189; 233)
• Ensemble A7 (Abb. 106) Datierung: um 180/190–230/240 n. Chr.		• Ensemble C7 (Abb. 109) Datierung: um 50/60–120 n. Chr. und um 180–200/220 n. Chr.			• Ensemble HL7 (Abb. 114) Datierung: um 220–250/260 n. Chr.

Abb. 101: Augst BL, Insula 5/9 (Grabungen 1965–1967.052 und 2002.063). Synoptische Darstellung der Befunde und Fundensembles der Phase 7.

gemauert und anschliessend verputzt (Abb. 102,A.B). Der sorgfältig aufgetragene Verputz auf der Zumauerung belegt, dass die Aufgabe von Praefurnium I im Rahmen eines geplanten Umbaus von Raum A erfolgt sein muss.

Das neue, von Sandsteinquadern[212] eingefasste Praefurnium II[213] wurde sekundär aus Mauer 4 ausgebrochen; das *cubiculum* wurde ab Phase 7 offensichtlich von Raum B aus beheizt (Abb. 103; 104). Dies bezeugt, dass die Räume A und B – wie ja auch die Existenz des erst in Phase 9 vermauerten Durchlasses in Mauer 4 zeigt – zu diesem Zeitpunkt noch eine Einheit gebildet haben. Da die Zumauerung von Praefurnium I offensichtlich nicht im Zusammenhang mit einer Aufgabe des Hypokausts resp. mit einer Nutzungsänderung des *cubiculum* steht[214], ist denkbar, dass der Umbau des Hypokausts im Zusammenhang mit einer in der ersten Hälfte des 3. Jahrhunderts verschiedentlich beobachteten

212 Beispiele für die Verwendung des für diese Zwecke eher ungeeigneten Gesteins finden sich z. B. auch im Gewerbehaus Schmidmatt (Müller 1985, 21; 24). Vgl. in diesem Zusammenhang auch Goudineau 1979, Taf. 60.

213 Das Praefurnium II ist – abgesehen von einer Erwähnung bei R. Laur-Belart (Tagebuch, 12.06.1967) und einer Zeichnung (= Abb. 104) – während der Grabung kaum beachtet worden. Laur-Belart 1968, S. XXIX f., hält fest, dass der in MR 4 eingebaute Heizkanal beweist, dass «nebenan noch eine weitere heizbare Taberne liegen muss». Angesichts der baulichen Entwicklung in den Phasen 6 und 7 kann allerdings ausgeschlossen werden, dass Raum B von Raum A aus beheizt worden wäre.

214 Vgl. z. B. die in etwa zeitgenössischen Befunde bei van Ossel 1987, Abb. 5 (Limetz-Villez; Umbau eines Hypokausts in einen Wohnraum); 7 (Herdstellen in ehemals hypokaustiertem Raum); van Ossel 1992, 96 mit weiteren Belegen; Terrier u. a. 1993, Abb. 2 (Einbau einer Herdstelle in ein Praefurnium).



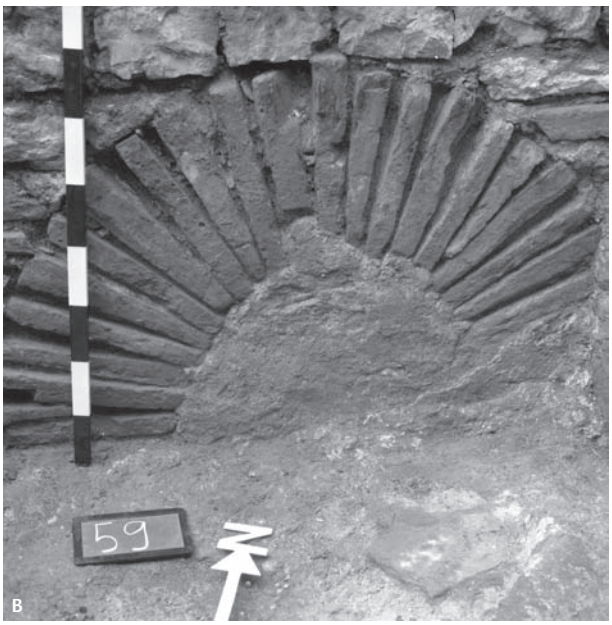


Abb. 102: Augst BL, Insula 5/9, Raum A (Grabung 1965–1967.052). ***A*** *Blick aus dem Inneren des hypokaustierten* cubiculum *an das in Phase 7 zugemauerte Praefurnium I in der östlichen Abschlusswand (MR 7). Auf dem «kühlen Block» (MR 16; rechts) sind noch die Reste des älteren «feinen» Terrazzobodens aus Phase 6 und des jüngeren «groben» aus Phase 7 zu erkennen (vgl. auch Beil. 2D,1A.1B).* ***B*** *Blick von Südosten an die Einfeuerungsöffnung von Praefurnium I in der östlichen Abschlussmauer (MR 7) des* cubiculum.

Reduktion der beheizbaren Bodenfläche steht[215]. Für diese Annahme könnte die Ausdehnung der auf dem Unterboden des Hypokausts beobachteten dünnen Holzkohleschicht sprechen. Diese noch während der Benutzungszeit in Phase 7 abgelagerte feinteilige, mit Asche und Abfällen durchsetzte Schicht[216] konnte nämlich nur im Bereich von Praefurnium II beobachtet werden (Beil. 2G,2)[217]. Dies könnte dafür sprechen, dass deren Ablagerung durch die nicht mehr richtig funktionierende Luftzirkulation verursacht worden ist[218], ohne dass aber eine mangelhafte Wartung oder die Verwendung von grünem oder feuchtem Feuerholz a priori ausgeschlossen werden kann.

Das Fehlen der Holzkohleschicht im östlichen Teil von Raum A (Beil. 2F) könnte folglich dafür sprechen, dass der vor dem aufgehobenen Praefurnium I liegende Teil des Hohlraumes verfüllt oder mithilfe einer eingezogenen Trennmauer abgeriegelt worden ist[219]. Dies geschah, um die zu beheizende Fläche und damit auch den Holzbedarf zu reduzieren[220].



Abb. 103: Augst BL, Insula 5/9, Raum A (Grabung 1965–1967.052). Blick auf die teilweise rekonstruierten Hypokaustinstallationen im cubiculum *(Zustand vor der Sanierung 2002.063). Im Hintergrund MR 4 mit dem in Phase 7 ausgebrochenen Praefurnium II (vgl. auch Abb. 104,7–9). Rechts der an die Hangstützmauer (MR 1C; nicht sichtbar) angemauerte bankettartige Sockel (MR 15) mit dem älteren und dem jüngeren Terrazzoboden.*

215 Ähnliche Befunde finden sich etwa bei Nuber/Seitz 1992; Gaubatz-Sattler 1994, 123 f. (Reduktion des Badegebäudes durch Schliessen des Praefuriums des Tepidariums, mit Verweis auf weitere Beispiele). Zur Interpretation dieses Phänomens vgl. ferner van Ossel 1992, 96; Kuhnen 1992, 68 f.

216 Ein identischer Befund wurde auch in der Insula 1 beobachtet (Hufschmid 1996, Abb. 34; 36).

217 Das mit FK Z01657 abgebaute Sediment wird als «feinsandig und grau-schwarz» bezeichnet. Zur Datierung vgl. unten Ensemble A7, S. 103 ff. – Eine spätere Ablagerung der Holzkohleschicht, etwa bei der Ausplünderung der Hypokaustinstallationen in Phase 8, kann ausgeschlossen werden, da sich in dieser Schicht noch die Negative der *pilae* abzeichneten.

218 Wie bereits festgehalten (s. o. S. 79), konnte der Rauch höchstwahrscheinlich nur durch die an MR 4, also gegenüber von Praefurnium I angebrachten *tubuli* abziehen (Abb. 104). Die Verlegung des Schürkanals hatte zur Konsequenz, dass Praefurnium II direkt unter die *tubuli* zu liegen kam, wodurch mit Sicherheit die Sogwirkung erhöht wurde, was wiederum die Ablagerung von feinen Asche- und Holzkohleteilen im unmittelbar anschliessenden Teil des Hypokausts begünstigte.

219 Zu ähnlichen Befunden vgl. etwa van Ossel 1987, 192 f.

220 In diesem Zusammenhang stellt sich die Frage, ob die Verringerung des Holzverbrauchs durch die Reduktion der zu beheizenden Fläche nicht ihrerseits durch den durch die Nähe zur Tubulatur bedingten stärkeren Luftzug und den entsprechend höheren Holzbedarf aufgehoben worden ist. Zum Heizsystem allg. vgl. etwa Adam 1984, Abb. 624; 634 und die sehr instruktiven Ausführungen bei Heinz 1983, 185 ff., bes. Anm. 464; 466 (Verweise auf Experimente und Rekonstruktionen).

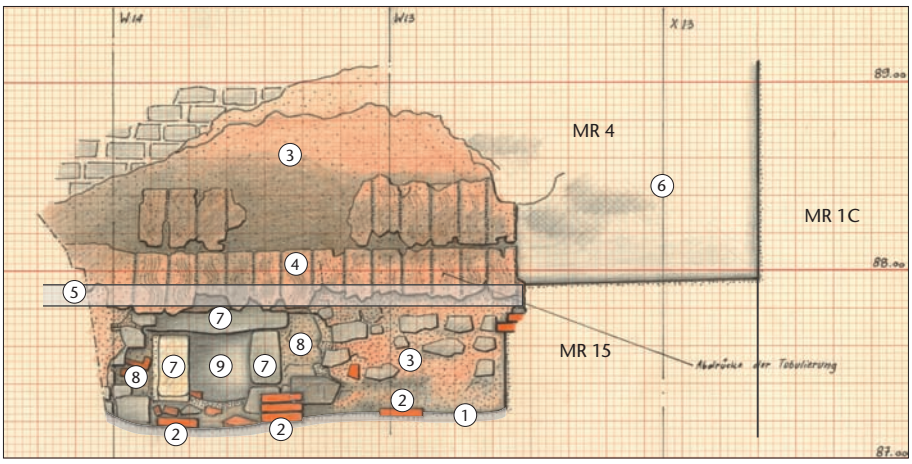


Abb. 104: Augst BL, Insula 5/9, Raum A (Grabung 1965–1967.052). Ansicht der MR 4 im Bereich des hypokaustierten cubiculum. *M. 1:40.* ***1*** *Mörtelgussboden (Unterboden des Hypokausts).* ***2*** in situ *verbliebene* pilae. ***3*** *Verputz aus Ziegelschrotmörtel.* ***4*** *Abdrücke der wohl in Phase 8 entfernten* tubuli *auf dem Ziegelschrotmörtel.* ***5*** *Oberkante/Unterkante des in Phase 7 erneuerten Hypokaustbodens.* ***6*** *bemalter Verputz (Phase 6; vgl. auch Abb. 72; 73).* ***7*** *Sandsteinquader der Einfassung von Praefurnium II.* ***8*** *Verzwickung der beim Ausschroten von Praefurnium II entstandenen Fugen zwischen MR 4 und den Sandsteingewänden.* ***9*** *Einfeuerungskanal von Praefurnium II.*

Die auf den Mauern 15 und 16 erhalten gebliebenen Partien des Terrazzobodens zeigen, dass in Phase 7 offensichtlich auch der ältere Terrazzoboden aus Phase 6 erneuert worden ist. Der neue, 7 cm dicke Terrazzoboden war mit «sichtgeschliffenen» Ziegelbruchstücken durchsetzt[221].

Bauliche Veränderungen liessen sich auch im Bereich des zugemauerten Praefurnium I nachweisen: Die während Phase 6 in der vor dem Praefurnium I liegenden Mulde (Beil. 2E,6B) abgelagerten Sedimente wurden nämlich mit einem Mörtelgussboden abgedeckt (Beil. 2E,7; vgl. auch unten Abb. 134). Es handelt sich dabei wahrscheinlich um den Überrest des im höher liegenden Teil des Profils noch vollständig erhaltenen Mörtelgussbodens (Beil. 2E,8)[222]. Dieser war im hinteren Raumteil durch einen jüngeren Eingriff in Phase 8 fast vollständig zerstört worden.

Der strassenseitige, an Mauer 21 anschliessende Teil von Raum A war – wie eine leider nicht abgebaute Holzkohleschicht zeigt – mit einem am Ende von Phase 7 verbrannten Bretterboden ausgestattet (vgl. Beil. 2H,8; Abb. 71; 128)[223].

In Phase 7 ist auch der zwischen Mauer 7 und Mauer 2, über Mauer 17 liegende Teil der Hangstützmauer 1C mit einem neuen bemalten Verputz versehen worden (Beil. 2E,11)[224]. Die später in Phase 10 beim Ausschroten des Rauchabzugs von Feuerstelle F4 leider teilweise beschädigten Wandmalereien werden wie folgt beschrieben: «Die blaue Sockelzone ist durch einen schmalen braunen Streifen von der weissen Wandhauptfläche getrennt. An der Ecke zur Mauer 2 wird diese durch einen breiteren braunen Streifen begrenzt, dem zur Innenfläche hin ein schmaler schwarzer Streifen folgt»[225].

Für eine Zuweisung der Wandmalereien zu Phase 7 spricht die Überlegung, dass sie wohl erst angebracht worden sind, nachdem der zwischen Mauer 7 und Mauer 2 liegende Raumteil nicht mehr als Praefurnium benutzt und

221 Der Mörtel des unteren, 6 cm dicken Terrazzobodens aus Phase 6 war mit kleinen Kieseln und feinen Ziegelbruchstücken durchsetzt. Vgl. Dokumentation der Grabung 1965–1967.052, Detail 9 und Berger/Martin, Tagebuch, 23.08.1965 und Abb. 102.

222 Für diese Annahme spricht die identische Zusammensetzung der mit grobem Kies durchsetzten Mörtelstraten (Beil. 2E,7.8). Im Schichtbeschrieb von Profil 12 (Beil. 2E) wird Schicht 7 als «dünne mörtelig sandige Schicht» angesprochen. Zu Schicht 8 findet sich folgender Vermerk: «Mörtelboden auf Kalksteinbett – im Mörtel viele Kiesel» (vgl. Dokumentation der Grabung 1965–1967.052, Profil 12). Dem hier erwogenen und auch an dem bis zur Sanierung des Schutzbaus im Jahr 2002 auch am *in situ* konservierten Befund ablesbaren Zusammenhang konnte seinerzeit wegen des grossen Zeitdruckes nicht mehr nachgegangen werden (die Beschreibung von Profil 12 erfolgte am 18.07.1967, knapp eine Woche vor Abbruch der Grabung). – Der leicht divergierende Verlauf der Unterkante von Schicht 7 und Schicht 8 könnte auf spätere Senkungen zurückgehen.

223 Vgl. auch Bauhofer, Tagebuch, S. 15: «Auffällig ist, dass die unterschiedlichen Brandschuttmaterialien Schicht 1.014 (FK E08786) nicht konzentriert an einer Stelle auftreten, sondern strichweise verteilt sind. Die verschiedenen Brandschuttrückstände wiesen die gleiche Streichrichtung auf (NE–SW) … Die Holzkohlekonzentration enthält sehr viel verbrannte und korrodierte Eisenfragmente. Weitere Untersuchungen (Aushub) lasse ich aus, da ich den ganzen Befund nicht zerstören will».

224 Der Befund wurde bereits auf der Grabung in diesem Sinne interpretiert (Dokumentation der Grabung 1965–1967.052, Details 7 und 10).

225 Otten 1994, 68.

mit einem Mörtelgussboden ausgestattet worden ist. Ein weiteres Indiz bildet die Tatsache, dass der bemalte Verputz auf einem rosafarbenen Ziegelschrotmörtel aufgetragen wurde, der – im Gegensatz zu dem im Bereich des *cubiculum* liegenden Abschnitt der Hangstützmauer 1C – keine Pickung aufwies.

Weitere der Phase 7 zuweisbare Wandverputzfragmente fanden sich auch in der in Phase 8 eingebrachten Verfüllung des Hypokausts. Letztere besteht aus Zerstörungsschutt, der am Ende von Phase 7 angefallen und bei Aufräumarbeiten in Phase 8 zur Verfüllung des Hypokausts verwendet worden ist. Die nachstehend beschriebenen Wandverputzfragmente dürften demzufolge ebenfalls aus Phase 7 stammen (vgl. unten Abb. 120,**275–278**):

- «5 Wandverputzfragmente mit rotbraunen, grünen und schwarzen Streifen auf weissem Grund»[226].
- «9 Malereistücke mit weissen Feldern, die von einem breiten, braunroten Streifen, der von einem schmaleren in brauner Farbgebung begleitet wird, begrenzt werden und eine gelb bis hellbraune, girlandenartige Aufmalung zeigen»[227].

Die unterschiedliche Dekoration zeigt, dass diese Wandverputzfragmente offensichtlich von zwei verschieden ausgestalteten Wänden stammen. Da sich auf der Rückseite aller Wandverputzfragmente noch Lehmreste fanden, muss es sich um Reste von verputzten und bemalten Fachwerkwänden handeln. Diese Wandmalereien stammen vermutlich von den Fachwerkwänden des am Ende von Phase 7 zerstörten Obergeschosses oder Erdgeschosses von Raum A (s. u. S. 112 f.).

Form/Typ	RS	BS	WS	HE	Total	MIZ
TS, ostgallisch						
Drag. 43	1				1	1
Teller/Schüssel, Typ unbestimmt		1			1	1
Glanztonkeramik						
Nb. 33	1				1	1
Becher wie Nb. 32 mit Goldglimmerüberzug	1		1		2	2
Glanztonbecher, Typ unbestimmt		4	5		9	5
Übrige Keramik						
Helltonige Gebrauchskeramik						
Teller mit eingezogenem Rand	4		1		5	4
Schüssel mit profiliertem Rand	1				1	1
Flasche, bemalt	2		3		5	1
Krug mit Wulstrand	1				1	1
Kelchfuss		1			1	1
Grautonige Gebrauchskeramik						
Teller mit eingezogenem Rand	1				1	1
Kochtopf, scheibengedreht	4				4	4
«Rätische» Reibschüssel	1				1	1
Grosses Vorratsgefäss?	1				1	1
Total Fragmente/MIZ	**18**	**6**	**10**		**34**	**25**

Abb. 105: Augst BL, Insula 5/9, Raum A (Grabung 1965–1967.052). Ensemble A7: Fundstatistik zur Keramik (FK Z01657).

Für die zeitliche Einordnung der Umbauten in Raum A während Phase 7 können zwei Fundensembles herangezogen werden. Das oben bereits beschriebene Ensemble A6 liefert einen um 220/230 n. Chr. anzusetzenden *terminus post quem* für das Einbringen des Mörtelgussbodens über der verfüllten Bedienungsgrube von Praefurnium I.

Gestützt wird dieser Datierungsansatz durch Ensemble A7. Dieses stammt aus der während Phase 7 im umgebauten Hypokaust abgelagerten und seinerzeit sehr sorgfältig abgebauten Holzkohleschicht. Die Zusammensetzung der Funde und nicht zuletzt auch die doch recht zahlreichen Tierknochen deuten darauf hin, dass der Hypokaust während Phase 7 möglicherweise nicht mehr benutzt wurde bzw. dass darin auch Abfälle entsorgt worden sind. Nicht a priori ausgeschlossen werden kann ferner, dass ein Teil der Funde erst bei der Verfüllung des Hypokausts in Phase 8 in die Holzkohleschicht gelangt sind. Das Fehlen von Passscherben zwischen den Ensembles A7 und A8 spricht jedoch eher dagegen.

Ensemble A7

Allgemeine Charakterisierung: Die Holzkohleschicht im Hypokaust wurde mit FK Z01657 abgebaut (Abb. 105). Einige Funde aus Ensemble A7 (Abb. 106) – wie beispielsweise die Reibschüssel **198** oder auch der Teller **201** – sind durch Brandeinwirkung leicht schwarz verfärbt. Das keramische Fundmaterial ist in sich relativ gut geschlossen und datiert in die Jahre kurz vor 200 n. Chr. bzw. in die ersten Jahrzehnte des 3. Jahrhunderts.

Datierung des Fundmaterials: Die Terra Sigillata – es sind zwei Gefässe **197** und **198** – stammt aus ostgallischer Produktion: Es handelt sich dabei um Fabrikate aus Rheinzabern, die etwa ab 160/170 n. Chr. das Angebot dominieren[228]. Im Material erscheinen Becher ähnlich der Form Nb. 32, die nicht mit einem Glanztonüberzug versehen sind, sondern mit einem Goldglimmerüberzug. Solche Becher, wie beispielsweise **200**, wurden auch in der jüngeren Töpferei an der Venusstrasse-Ost hergestellt und können in die Zeit zwischen 190 und 240 n. Chr. datiert werden[229].

226 Vgl. dazu auch Otten 1994, 71 Kat. 504.
227 Vgl. dazu auch Otten 1994, 71 Kat. 505.
228 Schucany u. a. 1999, 32.
229 Alexander 1975, 82 Taf. 3,10C.D; Fünfschilling 2006, 152 Taf. 141, 2882–2887.

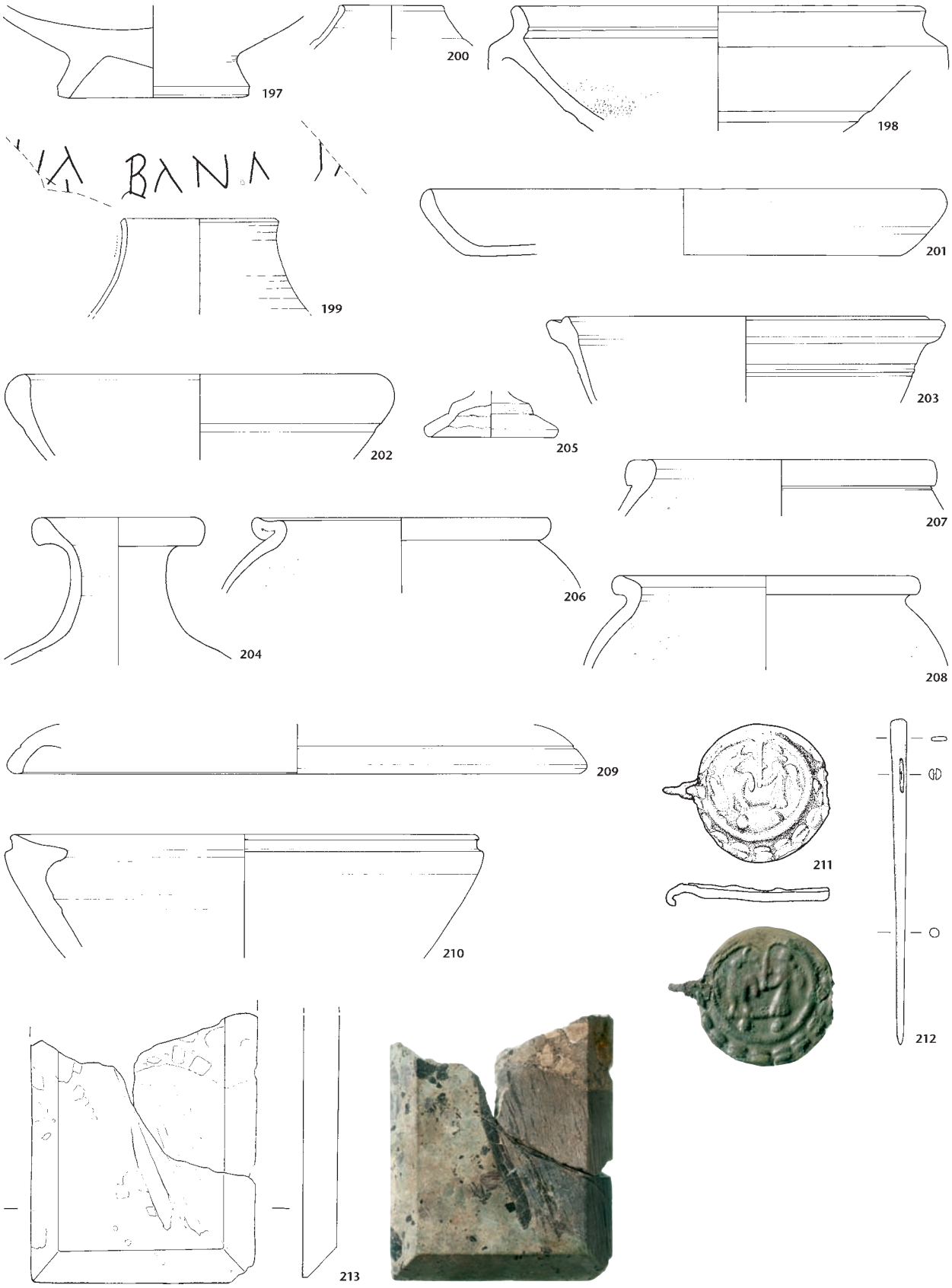


Abb. 106: Augst BL, Insula 5/9, Raum A (Grabung 1965–1967.052). Ensemble A7: Funde aus der Holzkohleschicht im Hypokaust des cubiculum. *M. 1:3 (Graffito M. 2:3, Bronze, Bein und Stein M. 1:2).* ***197, 198*** *Terra Sigillata,* ***199*** *Glanztonkeramik,* ***200–210*** *Gebrauchskeramik,* ***211*** *Bronze,* ***212*** *Bein,* ***213*** *Stein.*

Der Becher mit Graffito **199** der Form Nb. 33 datiert in die ersten Jahrzehnte des 3. Jahrhunderts. Verschiedene Bodenfragmente von Bechern können nicht genauer bestimmt werden. Die Datierung des Ensembles wird durch die bemalte Flasche **204** gestützt[230]. Solche Flaschen wurden ebenfalls in der jüngeren Töpferei an der Venusstrasse-Ost produziert. Die übrige Gebrauchskeramik, so etwa die Teller mit eingebogenem Rand **201** und **202**, die Schüssel mit profiliertem Rand **203**, die grobkeramischen Kochtöpfe **206–208** sowie die «rätische» Reibschüssel **209**, passen zum Repertoire.

Eher selten ist der orangetonige Kelchfuss **205**: Er stammt von einem Räucherkelch und ist aussen mit weisser Farbe und mit einer roten Akzentuierung an der Fusstreppung verziert. Tonbeschaffenheit und Bemalung sprechen dafür, dass es sich ebenfalls um ein Produkt der jüngeren Töpferei an der Venusstrasse-Ost handelt[231].

Bemerkenswert sind die nichtkeramischen *Kleinfunde* aus Ensemble A7. Das aus einem dünnen Bronzeblech getriebene Medaillon **211** zeigt eine Victoria in Chiton mit Kranz und Palmzweig auf Globus und einen Adler auf Globus. Auf der Rückseite ist ein Band aus Eisen angebracht; eine der beiden seitlich angebrachten Ösen ist abgebrochen. Die Befestigungsösen nehmen Bezug auf die Darstellung in ihrer Mitte. Die Ösen sind wohl nachträglich angebracht worden, um das Medaillon als Teil einer Kette verwenden zu können.

Des Weiteren fanden sich im Fundgut eine Nähnadel **212** und ein Reibstein **213** zum Verreiben von Heil- und Schönheitssalben. Persönliche Geräte für die Toilette und Gesundheitspflege sowie Belege für das Textilhandwerk finden sich in Augusta Raurica immer wieder, lassen sich aber nur selten einem bestimmten Hausinventar zuordnen[232].

Katalog der Funde aus Ensemble A7 (Abb. 106)

Terra Sigillata

197 BS, TS (ostgallisch), Teller oder Schüssel unbestimmt. – Inv. 1967.6633, FK Z01657.

198 RS, TS (ostgallisch), Reibschüssel Drag. 43. – Inv. 1967.6634, FK Z01657.

Übrige Keramik

199 RS, Glanztonbecher Nb. 33. Ton schwarz mit braunrotem Überzug. Graffito: [---]++ia Bana +[---]. – Inv. 1967.6636, FK Z01657. – Publ.: Féret/Sylvestre 2008, Kat. 70.

200 RS, Glanztonbecher wie Nb. 32. Ton orange mit glimmerhaltigem Überzug. – Inv. 1967.6638, FK Z01657.

201 2 RS, Teller mit eingezogenem Rand. Ton orangebraun, innen geglättet. Schwache Brandspuren. – Inv. 1967.6647B.D, FK Z01657.

202 RS, Teller mit eingezogenem Rand. Ton grau, aussen geglättet, fein gemagert. – Inv. 1967.6648, FK Z01657.

203 RS, Schüssel mit profiliertem Rand. Ton orange. Über dem Rand leichte Brandspuren. – Inv. 1967.6643, FK Z01657.

204 2 RS, 3 WS, Flasche. Ton rotbraun mit Resten von weisser und roter Bemalung. Auf dem Rand Reste von Schmauchspuren. – Inv. 1967.6653A–E, FK Z01657.

205 BS, Kelchfuss von Räucherkelch? Ton orange mit Resten von weisser und roter Engobe. Leicht angeschwärzt. – Inv. 1967.6654, FK Z01657.

206 RS, Topf mit leicht gekehltem Leistenrand. Ton grau mit hellorangem Kern, leicht gemagert. – Inv. 1967.6642, FK Z01657.

207 RS, Topf mit umgelegtem Leistenrand. Ton braungrau mit grauem Kern, leicht gemagert. – Inv. 1967.6644, FK Z01657.

208 RS, Topf mit Leistenrand. Ton orange, gut gemagert. – Inv. 1967.6646, FK Z01657.

209 RS, «rätische» Reibschüssel. Über dem Rand roter Überzug. – Inv. 1967.6647C, FK Z01657.

210 RS, grosses Vorratsgefäss (?) mit innen verdicktem und aussen eingeschnürtem Rand. Ton hellbraun mit beiger Oberfläche. Ton erinnert an «Amphorenton». – Inv. 1967.6651, FK Z01657.

Bronze

211 Bronzeanhänger mit getriebener «Victoria auf dem Globus». – Inv. 1967.3500, FK Z01657. – Publ.: Kaufmann-Heinimann 1977, Kat. 283; Riha 1990, Kat. 710; Kaufmann-Heinimann 1998, Kat. 283.

Bein

212 Nähnadel mit abgeplattetem Kopf und Schlitzöhr. – Inv. 1967.18989, FK Z01657. – Publ.: Deschler-Erb 1998, Kat. 690.

Stein

213 Zwei Fragmente einer Reibpalette. Serpentinbrekzie. Polierte Oberfläche. Durch Brand verfärbt. – Inv. 1967.18986, FK Z01657. – Publ.: Riha 1986, Kat. 222. Dort fälschlicherweise unter Kat. 223 abgebildet.

Nicht abgebildete Funde

Keramik

– Vgl. Abb. 105.

Architekturelemente

– Boden- oder Wandplatte. Kalkstein poliert. – Inv. 1967.6655, FK Z01657.

Die Tierknochen aus Ensemble A7 (Elisabeth Marti-Grädel)

Ensemble A7 umfasst lediglich einen einzigen Fundkomplex (FK Z01657). Von den 62 Tierknochenresten war etwas weniger als die Hälfte (n = 28; 45%) bestimmbar (vgl. Exkurs 2, Abb. 303). Drei Knochen stammen von Wildvögeln (Drosseln)[233], die restlichen von Haustieren. Unter den Haustierknochen ist das Hausschwein am besten vertreten (n = 11; 39%). Am zweithäufigsten nachgewiesen ist das Hausrind (n = 7; 25%). Weiter belegt sind das Haushuhn (n = 5; 18%) sowie Schaf/Ziege (n = 2; 7%). Ensemble A7 datiert in die Zeit zwischen 180/190 und 230/240 n. Chr. Es wurde

230 Alexander 1975, 29 Taf. 1,5; Schmid 2008, 147; 152.

231 Bei Alexander 1975 sind zwar keine Räucherkelche aufgeführt; die prägnante Ähnlichkeit in Ton und Farbbemalung mit der bemalten Flasche **204** spricht aber für eine solche Zuweisung. Vgl. für Räucherkelche mit Standfuss: Castella/Meylan Krause 1994, 45 Abb. 119.

232 Wie z. B. im Fall der Funde aus dem Quartier Kurzenbettli. Vgl. dazu Fünfschilling 2006, 207 (Toilettgerät); 208–210 (Textiles Handwerk).

233 Diese vorher noch nicht genau bestimmten Knochen waren von Elisabeth Schmid in einen separaten, mit der Fundkomplexnummer und Bestimmungsnotizen versehenen Fundsack abgepackt worden, der im Rahmen der Neubearbeitung von Insula 5/9 im Fundmagazin entdeckt wurde.

deswegen bei der diachronen und bei der räumlichen Auswertung der Tierknochenfunde berücksichtigt und der dritten Zeitstufe (100–220/250 n. Chr.) zugewiesen.

Raum B: Befund

Die Situation in Raum B in Phase 7 lässt sich nur anhand von Indizien rekonstruieren, da die älteren Schichten und Strukturen auch anlässlich der Grabung 2002.063 nicht untersucht worden sind. Wie Abbildung 107 zeigt, lag die Unterkante der Grabung 2002.063 in etwa auf der Höhe des Sandsteinquaders, der die Abdeckung des Feuerkanals von Praefurnium II bildete, das heisst etwa auf 287,80 m ü. M. Ebenfalls erkennbar ist auf Abbildung 107, dass es sich bei den tieferliegenden, nicht abgebauten Sedimenten um ockerfarbenen, mit Mörtel und/oder Wandverputzresten durchsetzten Lehm gehandelt haben muss. Da zudem davon ausgegangen werden kann, dass der Gehhorizont in Raum B in Phase 7 in etwa auf der Höhe des Unterbodens des Hypokausts im *cubiculum* von Raum A lag, muss dieses Schichtpaket gut 0,8 m mächtig gewesen sein.

Diese Indizien sowie die Beobachtungen in Profil 6 und an Mauer 9 zeigen, dass es sich bei den ockerfarbenen Sedimenten zweifellos um die Reste von ausplanierten Fachwerkwänden handelt. Eine Fachwerkwand dürfte auf der spätestens in Phase 6 errichteten Mauer 9 gestanden haben.

Aufgrund der Gesamtsituation und der Analogien zur Situation in Raum A kann davon ausgegangen werden, dass auch Raum B am Ende von Phase 7 zerstört worden ist.

Raum C

Befund

Im Bereich von Raum C liessen sich – abgesehen von der nur punktuell nachweisbaren Erneuerung des in Phase 6 eingebrachten Stampflehmbodens (Beil. 2C,17)[234] – keine baulichen Veränderungen beobachten. Der neu eingebrachte Lehmestrich des Korridors war stark mit Kies durchsetzt, dem offenbar auch Löschkalk zugeschlagen wurde[235]. Letzteres erklärt auch die starke Versinterung an der Keramik aus Ensemble C7.

Ensemble C7

Allgemeine Charakterisierung: Dem Ensemble C7 lassen sich lediglich zwei Fundkomplexe (FK X04710 und FK X04731) zuweisen (Abb. 108). Beide enthielten nur wenige Funde. Die starke Fragmentierung und die Versinterung sind zweifellos durch die Einlagerung in den mit Löschkalk durchsetzten Gehhorizont von Raum C bedingt.

Datierung des Fundmaterials: Das Ensemble (Abb. 109) kann mit zwei Ausnahmen, den Kochtöpfen mit Leistenrand **217** und **218,** in die zweite Hälfte des 1. Jahrhunderts und in die ersten Jahrzehnte des 2. Jahrhunderts datiert werden. Dieser Zeitansatz gilt vor allem für die südgallische Terra Sigillata, vertreten durch den Teller **214** der Form Drag. 18 und die Wandscherben von Schüsseln der Form Drag. 37 (o. Abb.). Auch der Krug **216** und die Schüssel **215** können in diesen Zeitabschnitt eingefügt werden.

Die Kochtöpfe mit Leistenrand **217** und **218** sind jedoch einiges jünger: Sie tauchen um 200 n. Chr. auf und sind eine typische Leitform der späten Fundinventare aus Augusta Raurica[236]. Das kleine Ensemble C7 weist folglich zwei zeitliche Schwerpunkte auf. Die beiden Kochtöpfe **217** und **218** sprechen dafür, dass der Korridorboden in Raum C frühestens um 200/220 n. Chr. erneuert worden ist.



Abb. 107: Augst BL, Insula 5/9, Raum B (Grabung 2002.063). Blick von Westen an die Ostwand von Raum B (MR 4). Der Sandsteinquader bildete den oberen Abschluss von Praefurnium II, von dem aus das cubiculum *in Raum A ab Phase 7 beheizt wurde (vgl. auch Abb. 104,7). Die Unterkante der Grabung 2002.063 entspricht in etwa der Höhe des Gehniveaus während der Phasen 9–11 (vgl. auch Abb. 179,1; 181).*

Katalog der Funde aus Ensemble C7 (Abb. 109)

Terra Sigillata

214 RS, TS (südgallisch), Teller Drag. 18. – Inv. 1965.4112, FK X04710.

Übrige Keramik

215 RS, Schüssel mit Horizontalrand. Ton grauschwarz, sekundär verbrannt. – Inv. 1965.4115, FK X04710.

216 RS, Krug mit Kragenrand. Ton grau, sekundär verbrannt. – Inv. 1965.4117, FK X04710.

217 RS, Kochtopf mit Leistenrand. Ton grau. Mit Kalk fein gemagert. – Inv. 1965.4125, FK X04731.

218 RS, Kochtopf mit Leistenrand. Ton orange, aussen brandgeschwärzt. – Inv. 1965.4126, FK X04731.

234 Vgl. Dokumentation der Grabung 1965–1967.052, Detail 12. In Profil 1b (Beil. 2C,17) liess sich die Zweiphasigkeit aus oben (Phase 6) geschilderten Gründen nicht beobachten (s. o. Anm. 165).

235 Vgl. Berger/Martin, Tagebuch, 06.07.1965.

236 Vgl. Schucany u. a. 1999, 154 Taf. 71; 73 (Fundensembles D.8 Augst 7 und D.9 Augst 8).

Form/Typ	RS	BS	WS	HE	Total	MIZ
TS, südgallisch						
Drag. 18	1				1	1
Drag. 37			3		3	3
Becher/Schälchen, Typ unbestimmt		1			1	1
Übrige Keramik						
Helltonige Gebrauchskeramik						
Krug	1				1	1
Grautonige Gebrauchskeramik						
Topf/Tonne			1		1	1
Schüssel	1				1	1
Kochtopf	2				2	2
Handgemachte Kochkeramik						
Kochtopf	1				1	1
Total Fragmente/MIZ	**6**	**1**	**4**		**11**	**11**

Abb. 108: Augst BL, Insula 5/9, Raum C (Grabung 1965–1967.052). Ensemble C7: Fundstatistik zur Keramik (FK X04710, FK X04731). MIZ = RS, BS, WS, HE.

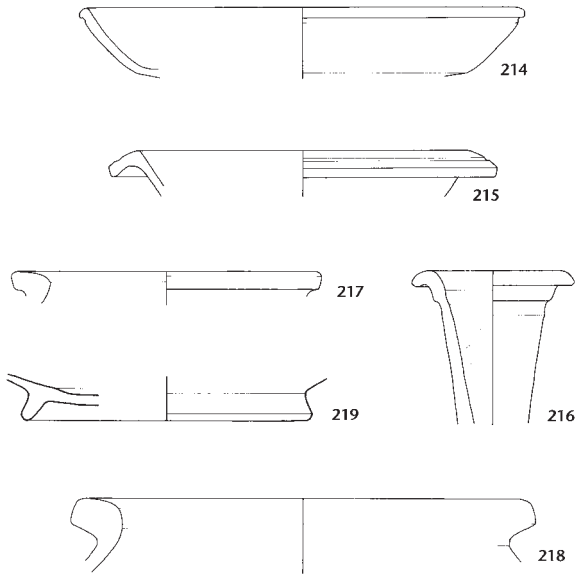


Abb. 109: Augst BL, Insula 5/9, Raum C (Grabung 1965–1967.052). Ensemble C7: Funde aus dem erneuerten Lehmstampfboden in Raum C (vgl. Beil. 2C,17). M. 1:3 (Glas M. 1:2). ***214*** *Terra Sigillata,* ***215–218*** *Gebrauchskeramik,* ***219*** *Glas.*

Glas

219 BS, Form nicht näher bestimmbar. Nahezu farblos. – Inv. 1965.4118, FK X04710. – Publ.: Rütti 1991/2, Kat. 5114.

Nicht abgebildete Funde

Keramik

– Vgl. Abb. 108.

Die Tierknochen aus Ensemble C7 (Elisabeth Marti-Grädel)

Die insgesamt 23 Tierknochen aus Ensemble C7 stammen aus einem einzigen Fundkomplex (FK X04710; vgl. Exkurs 2, Abb. 303). Elf Knochenfragmente waren bestimmbar. Nachgewiesen ist das Hausschwein (n = 5), je zwei Knochenfragmente stammen vom Hausrind, von Schaf/Ziege und vom Haushuhn.

Ensemble C7 weist zwei zeitliche Schwerpunkte auf (50/60–120 bzw. 180–200/220 n. Chr.). Die Tierknochen wurden deswegen nur beim räumlichen Vergleich berücksichtigt (vgl. Exkurs 2, unten S. 319 ff.).

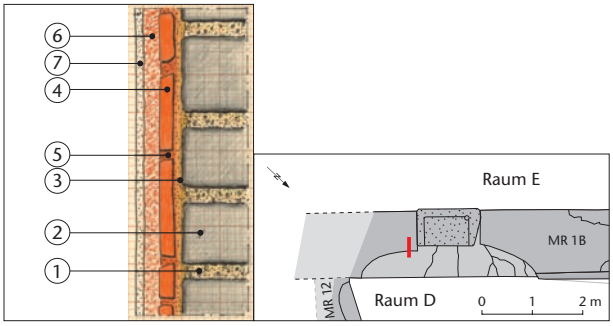


Abb. 110: Augst BL, Insula 5/9, Raum D (Grabung 1965–1967.052). Detailzeichnung mit dem Aufbau des Wandverputzes (Phasen 6 und 7) in den halbrunden Nischen beim Durchgang zwischen den Räumen D und E (vgl. auch Abb. 89; 111; 112; 122). M. 1:10 (Plan M. 1:150). ***1*** *Mauermörtel der Hangstützmauer (MR 1B).* ***2*** *Handquader der Hangstützmauer (MR 1B).* ***3*** *rötlich verfärbter Lehmverputz, der wohl zum Ausgleichen der beim Ausschroten der halbrunden Nischen entstandenen Unebenheiten diente.* ***4*** *nur punktuell beobachtete* tegula*-Bruchstücke, dienten wohl zum Ausgleichen der beim Ausschroten der Nischen entstandenen Unebenheiten.* ***5*** *Reste des älteren, durch Feuereinwirkung beschädigten Verputzes (Phase 6).* ***6*** *Rauputz aus Ziegelschrotmörtel.* ***7*** *feiner weisser Wandverputz mit den Wandmalereien (Abb. 111; 112).*

Raum D: Befund

Wie aus Abbildung 110 hervorgeht, sind die Überreste des nur noch punktuell erhaltenen älteren Verputzes in Phase 7 mit einem Rauputz aus Ziegelschrotmörtel überzogen worden (Abb. 110,6). Auf diesem Unterputz ist dann der noch grossflächig erhaltene weisse Kalkverputz mit den Gladiatorendarstellungen angebracht worden (Abb. 111; 112). Ludwig Berger beschreibt den Befund im *exedra*-artigen Durchlass in seinem Grabungsbericht wie folgt:

«Im Durchgang eine Sandsteinschwelle mit Drehloch und Türschlitz. Die flankierenden Nischen waren verputzt und bemalt mit je einem Gladiator.

Der besser erhaltene, südliche ist vielleicht ein *retiarier* nach der Helmform zu schliessen, dem ein Aufsatz zu fehlen scheint. Ein Graffito unterhalb (des evtl. *retiarier)* nennt seinen Namen: TAVRVS, der Stier, also ein Cognomen, während die Bedeutung eines noch



Abb. 111: Augst BL, Insula 5/9, Raum D (Grabung 1965–1967.052). Foto und Detailzeichnung des bemalten Wandverputzes mit der Darstellung des Retiariers TAVRVS ACCLAMATVS in der östlichen der beiden halbrunden Nischen beim Durchgang durch die Hangstützmauer (MR 1B). M. 1:10 (Plan M. 1:150).

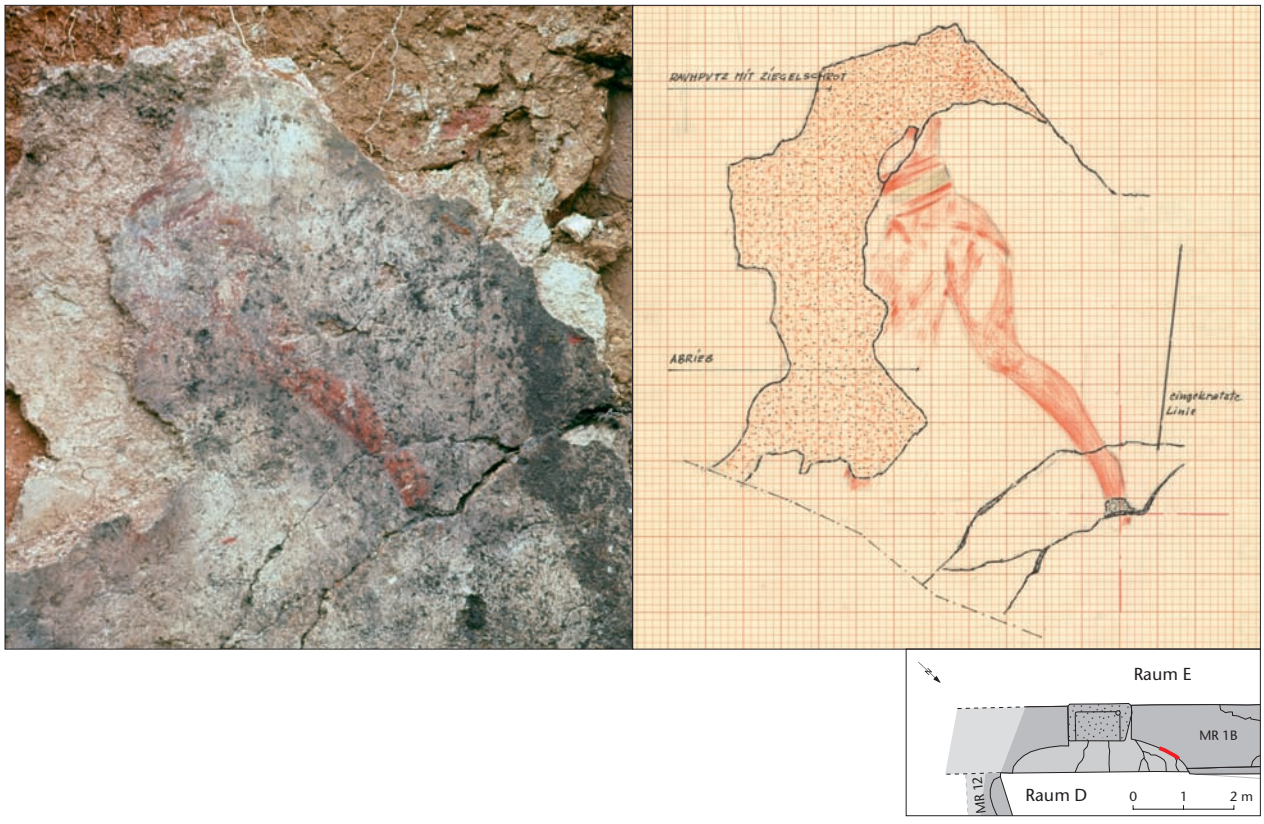


Abb. 112: Augst BL, Insula 5/9, Raum D (Grabung 1965–1967.052). Foto und Detailzeichnung des bemalten Wandverputzes mit der Darstellung eines Gladiators (Faustkämpfers?) in der westlichen der beiden halbrunden Nischen beim Durchgang durch die Hangstützmauer (MR 1B). M. 1:10 (Plan M. 1:150).

nicht ganz entzifferten zweiten Wortes im Dunklen bleibt. TAVRVS = CLAMATVS ‹der als Stier applaudierte› scheint mir am wahrscheinlichsten. Beide Gladiatoren wurden durch W. Hürbin von der Wand gelöst und werden nach ihrer Konservierung eine Nachkontrolle erlauben»[237].

Heidenlochstrasse

Befund

Der Kieskoffer der Heidenlochstrasse (Beil. 2C,12A) wurde seinerzeit zwar auf relativ grosser Fläche freigelegt, aber nur teilweise abgetragen. Dies aus zwei Gründen: Zum einen wurden die Kapazitäten durch die wesentlich wichtigeren Befunde im Bereich der Räume A und D gebunden, zum anderen war schon zu einem relativ frühen Zeitpunkt klar, dass die archäologische Substanz im nördlich der Hangstützmauer 1 liegenden Teil des Areals nicht mehr durch Baumassnahmen gefährdet war.

Ungeklärt ist allerdings, in welchem Masse der Kieskörper der Heidenlochstrasse schon von früheren Eingriffen tangiert worden war. Aufgrund der Gesamtsituation ist davon auszugehen, dass der obere Teil des Kieskoffers beim Bau der Befestigung in Phase 13 resp. bei den neuzeitlichen Terrainveränderungen in Phase 16 gekappt worden ist.

Das Fundmaterial aus Ensemble HL7 stammt aus dem obersten Teil des Kieskörpers am Südrand der Heidenlochstrasse. Die Zuweisung von Ensemble HL7 zu Phase 7 erfolgte weniger aufgrund stratigrafischer Überlegungen als vielmehr aufgrund der Zeitstellung des Fundmaterials.

Ensemble HL7

Allgemeine Charakterisierung: Aus dem Kieskörper der Heidenlochstrasse stammen fünf Fundkomplexe: FK X04608, FK X04687, FK X04697, FK X04700 und FK X06203. Drei Fundkomplexe (FK X04608, FK X04697 und FK X04700) enthielten keine Funde (Abb. 113).

Datierung des Fundmaterials: Das Fundmaterial aus Ensemble HL7 (Abb. 114) wirkt homogen: Terra Sigillata, Glanztonkeramik und Gebrauchskeramik scheinen mehr oder weniger gleichzeitig in den Boden gekommen zu sein.

Die Terra Sigillata, so etwa das Schälchen **220** der Form Nb. 12 und die Reibschüssel **221** der Form Drag. 43/45, datiert in das zweite Viertel des 3. Jahrhunderts. In diesen Zeitraum fügen sich das Wandfragment eines Bechers Nb. 33 (o. Abb.), die grauen und orangen, teilweise mit rotem Überzug versehenen Teller mit eingebogenem Rand **222** und **223**, die Schüsseln mit gerilltem Rand oder auch mit profiliertem, bereits klobigem und eng anliegendem Rand **224–226** sowie die «rätische» Reibschüssel **229** gut ein[238]. Mit der Schüssel mit profiliertem Wandknick **227** ist ein weiterer Schüsseltyp belegt, der oft mit den Schüsseln mit profiliertem, eng anliegendem Rand vergesellschaftet ist und um die Mitte des 3. Jahrhunderts im Fundgut auftaucht[239].

Form/Typ	RS	BS	WS	HE	Total	MIZ
TS, ostgallisch						
Nb. 12	1				1	1
Drag. 37	1				1	1
Drag. 43/45	1		1		2	2
Glanztonkeramik						
Becher mit Riffeldekor			1		1	1
Nb. 33			1		1	1
Übrige Keramik						
Helltonige Gebrauchskeramik						
Teller mit eingebogenem Rand	4				4	4
Schüssel mit gerilltem Horizontalrand	2				2	2
Schüssel mit Wandknick	1				1	1
Schüssel mit profiliertem Rand und Wandknick	4				4	4
Grautonige Gebrauchskeramik						
Teller mit eingebogenem Rand	1				1	1
Schüssel mit profilierter Wandung	1				1	1
Kochtopf	1				1	1
«Rätische» Reibschüssel	2				2	2
Total Fragmente/MIZ	**19**		**3**		**22**	**22**

Abb. 113: Augst BL, Insula 5/9, Heidenlochstrasse (Grabung 1965–1967.052). Ensemble HL7: Fundstatistik zur Keramik (FK X04608, FK X04687, FK X04697, FK X04700, FK X06203).

Katalog der Funde aus Ensemble HL7 (Abb. 114)

Terra Sigillata

220 2 RS, TS (ostgallisch), Schälchen Nb. 12. – Inv. 1966.3094, FK X06203. – Passscherbe: **842** (Ensemble D14). – Publ.: Bruckner 1975, 69,32.

221 RS, TS (ostgallisch), Reibschale Drag. 43/45. – Inv. 1966.3095, FK X06203. – Publ.: Bruckner 1975, 67,10.

237 Vgl. Berger, Bericht 1966.052, 23. – Die beiden auch bei Otten 1994, 69 ff. beschriebenen Gladiatorendarstellungen sind heute verloren, da sie sich nicht mehr von der Unterlage lösen liessen (freundlicher Hinweis von L. Berger und W. Hürbin). – R. Laur-Belart (Tagebuch, 14.12.1966) mutmasste zunächst, dass es sich um «eine rotgemalte Frau in erotischer Stellung» mit «betontem Hinterteil nach rechts» handeln könnte, und meinte: «Das Treppenhaus scheint sich in ein Lupanar verwandeln zu wollen. Hübsch so beim Theater». – Zu weiteren Gladiatorendarstellungen aus Augusta Raurica vgl. Roduit 2006, 16 ff.

238 Zu den Schüsseln mit gerilltem Rand und zu den Schüsseln mit profiliertem Rand vgl. Martin-Kilcher 1980, 30–33 Taf. 26,6; 27,9–13.

239 Zu den Schüsseln mit profiliertem Wandknick vgl. Martin-Kilcher 1980, 32 Taf. 29,5–7; Schatzmann 2003, 194 Taf. 39,524; Schatzmann (in Vorb.), Kat. 180.

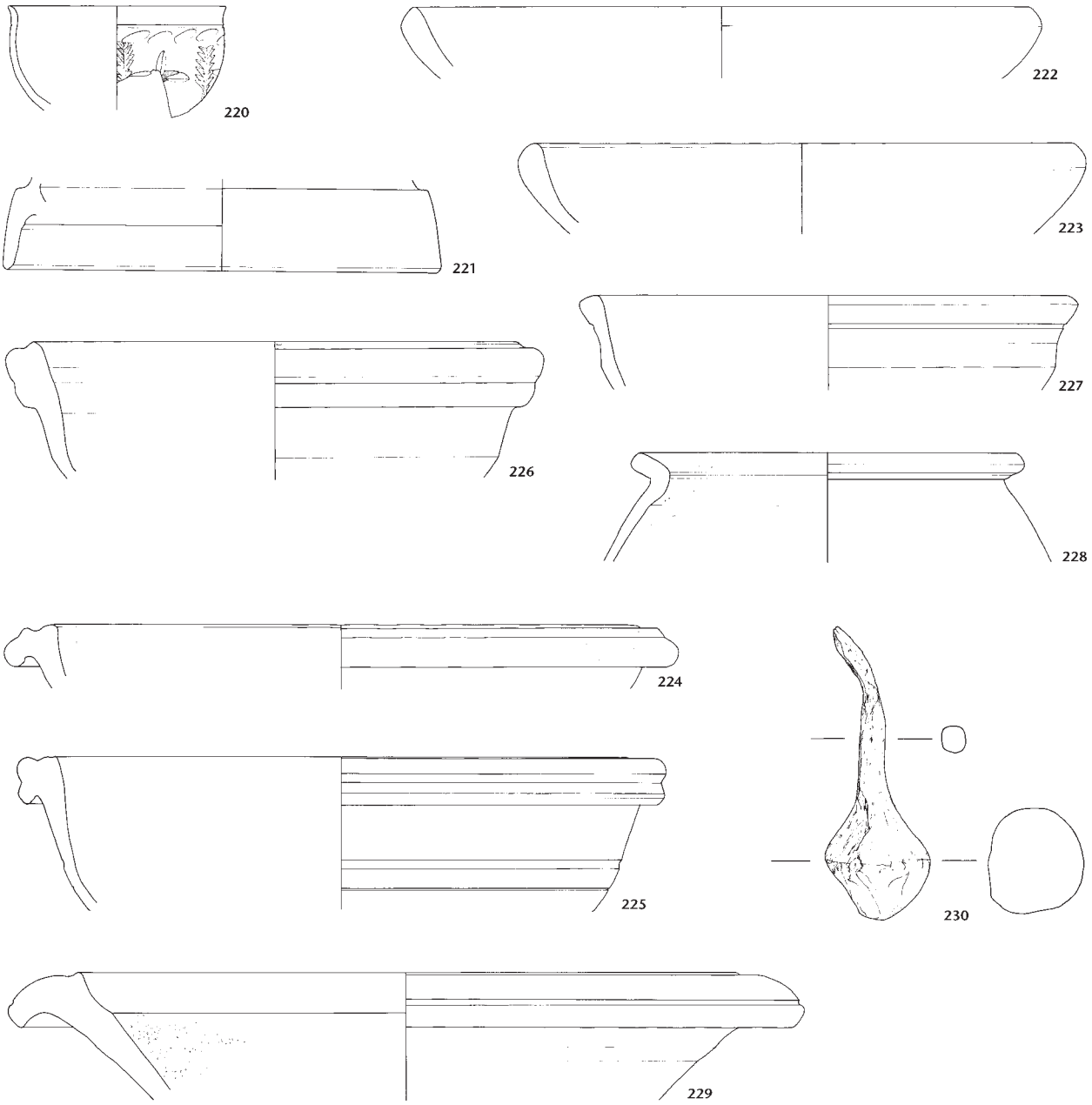


Abb. 114: Augst BL, Insula 5/9, Heidenlochstrasse (Grabung 1965–1967.052). Ensemble HL7: Funde aus dem obersten erhaltenen Teil des Kieskoffers der Heidenlochstrasse (vgl. Beil. 2C,12A). M. 1:3 (Eisen M. 1:2). ***220, 221*** *Terra Sigillata,* ***222–229*** *Gebrauchskeramik,* ***230*** *Eisen.*

Übrige Keramik

222 RS, Teller mit eingebogenem Rand. Ton grau. – Inv. 1966.3093, FK X06203.

223 RS, Teller mit eingebogenem Rand. Ton orange mit rotbrauner Oberfläche. – Inv. 1966.3104, FK X06203.

224 RS, Schüssel mit gerilltem Horizontalrand. Ton orange, leichter Goldglimmer auf der Innenseite. – Inv. 1966.3100, FK X06203. – Publ.: Bruckner 1975, 73,80.

225 RS, Schüssel mit profiliertem Rand und Wandknick. Ton orange, leichter Glimmer auf der Innenseite. – Inv. 1966.3099, FK X06203. – Publ.: Bruckner 1975, 74,90.

226 RS, Schüssel mit profiliertem Rand und Wandknick. Ton orange mit brauner Innenfläche, auf der Aussenseite orange Farbreste. – Inv. 1966.3470, FK X04687.

227 RS, Schüssel mit profiliertem Wandknick. Ton grau, leicht gemagert. – Inv. 1966.3466, FK X04687.

228 RS, Kochtopf mit umgelegtem Rand. Ton grauschwarz, mit Quarz leicht gemagert. Scheibengedreht. – Inv. 1966.3098, FK X06203. – Publ.: Bruckner 1975, 76,109.

229 RS, «rätische» Reibschüssel. Ton orangerot, über dem Rand und der Kehlung rotbrauner Überzug. – Inv. 1966.3471, FK X04687.

Eisen

230 Eisen mit Bleikern. Schiebegewicht einer Schnellwaage? Etwas ungewöhnlich lange Befestigung. Stark korrodierte Oberfläche und stark restauriert. Gew. 63,24 g. – Inv. 1966.3475, FK X04687.

Nicht abgebildete Funde
Keramik
– Vgl. Abb. 113.

Architekturelemente
– Keine weiteren Angaben; ausgeschiedenes Architekturfragment? – Inv. 1966.3474, FK X04687.

Die Tierknochen aus Ensemble HL7 (Elisabeth Marti-Grädel)
Zwei Fundkomplexe (FK X04687 und X06203) enthielten insgesamt 73 Knochenreste, von denen 26 bestimmbar waren (Abb. 115). Das Hausrind ist am häufigsten belegt (n = 16). Nachgewiesen sind auch das Hausschwein (n = 9) und das Haushuhn (n = 1).

Ensemble HL7 stammt aus der Zeit zwischen 220 und 250/260 n. Chr. Es wurde deswegen bei der diachronen und bei der räumlichen Auswertung der Tierknochenfunde berücksichtigt und der dritten Zeitstufe (100–220/250 n. Chr.) zugewiesen (vgl. Exkurs 2, unten S. 319 ff.).

		X04687	X06203	Total	(n%)
Fragmentzahlen	*Bos taurus* (Hausrind)	11	5	16	61,5
	Sus domesticus (Hausschwein)	6	3	9	34,6
	Gallus domesticus (Haushuhn)	1		1	3,8
	TOTAL HAUSTIERE	18	8	26	100,0
	TOTAL WILDTIERE	0	0	0	0,0
	TOTAL HAUS- UND WILDTIERE	18	8	26	100,0
	TOTAL GROSSGRUPPEN	0	0	0	
	Unbestimmbar, ohne Grössenangabe	38	9	47	
	TOTAL UNBESTIMMBAR	38	9	47	
	GESAMTTOTAL	56	17	73	
Gewicht (g)	Bestimmbare	535	330	865	
	Unbestimmbare	1040	370	1410	
	Total	1575	700	2275	

Abb. 115: Augst BL, Insula 5/9, Heidenlochstrasse (Grabung 1965–1967.052). Ensemble HL7: Tierartenliste, Fragmentzahlen und summarische Gewichtsangaben (g).

Die Zerstörung der Überbauung am Ende von Phase 7

Die bereits erwähnten Schäden sowie die deutlichen Änderungen bezüglich der Aufteilung und der Nutzung können keinesfalls auf Umbauten zurückgeführt werden, sondern bezeugen vielmehr, dass die Räume A–C sowie das Treppenhaus (Raum D) am Ende von Phase 7 zerstört worden sein müssen. Die weiter unten (vgl. Exkurs 1, unten S. 275 ff.) vorgestellten Befunde aus dem westlichen, an die Domusgasse angrenzenden Teil der Insula 5/9 sowie aus Insula 5 zeigen zudem, dass sich das Schadensereignis auch nicht auf eine einzige Insula beschränkt hat: Die räumliche Ausdehnung der in etwa gleichzeitigen Schäden sowie die mit Nutzungsänderungen verbundene Zäsur zwischen Phase 7 und Phase 8 deuten vielmehr auf eine grossflächige und massive Zerstörung hin. Es ist demzufolge denkbar, dass sie durch das vermutete Erdbeben verursacht worden sein könnten[240] – auch wenn sich an den erhaltenen bzw. dokumentierten Mauern keine diesbezüglichen Indizien (Versätze oder Vertikalrisse) abzeichnen.

Die eigentlichen Primärschäden sind allerdings durch die Aufräumarbeiten in Phase 8 und die mit Umbauten verbundene Instandstellung und spätere Nutzung ab Phase 9 so stark verwischt worden, dass sie sich nur andeutungsweise und punktuell nachweisen und deswegen nicht mit hinreichender Sicherheit mit dem vermuteten Erdbeben in Verbindung bringen lassen[241].

Exemplarisch zeigen dies die in Raum A bzw. im Hypokaust des *cubiculum* von Raum A dokumentierten Reste der offenbar im Verband umgestürzten Mauer 10. Max Martin beschrieb diesen Befund seinerzeit wie folgt:

«In Schicht 6 [= Beil. 2G,5] liegt eine umgestürzte Mauer mit Ziegelband: Die Steine liegen hochkant, nach oben kein Haupt sichtbar, während auf der Unterseite 1 cm dicker Wandverputz mit glattem Weisskalkabrieb anhaftet. Die Mauer könnte also ein Vorläufer der [Hangstütz-]MR 1[C] sein und vom Hang weg nach vorne umgestürzt (worden?) sein; noch eher dürfte das umgestürzte Mauerstück ehemals zu MR 10/14 [= MR 10] gehört haben, die kassiert wurde, da letztere an der Ecke zu MR 7 ebenfalls mit Leistenziegeln (mehrere übereinander!) gemauert ist.»[242]

Gesichert ist, dass dieses Mauerfragment zum Teil *auf* der später in Phase 8 eingebrachten Verfüllung des offensichtlich ausgeplünderten Hypokausts liegt (vgl. unten). Dies und die Beobachtungen im unmittelbar südlich von Mauer 10 gelegenen Teil von Raum A sprechen folglich eher dafür, dass Mauer 10 in Phase 8 abgebrochen wurde – vielleicht weil sie am Ende von Phase 7 beschädigt worden ist. Für einen gezielten Abbruch spricht auch der Umstand, dass das Trümmerstück keine Mauerschale mehr besass[243].

Trotz dieser Imponderabilien bildet die Verfüllung des während Phase 7 noch betriebenen Hypokausts eines der konkretesten indirekten Indizien für die Zerstörung durch das vermutete Erdbeben. Die rund 8 m³ (!) Mauerschutt und Überreste von bemalten und verputzten Fachwerkwänden (s. o. S. 103) umfassende Verfüllung des Hypokausts (Beil. 2G,3)[244] sowie die späteren, auf der Verfüllung errichteten, relativ primitiven Einbauten können jedenfalls nur schwerlich als Relikt einer lokalen (Brand-)Katastrophe[245] oder von Umbauarbeiten in Raum A angesprochen werden[246].

Auch die oben geschilderten Befunde in Raum B sowie Beobachtungen in Raum A deuten darauf hin, dass am Ende von Phase 7 offensichtlich Mengen an Fachwerkschutt anfielen, die in der Folge ausplaniert wurden und während der Phasen 9–11 den Gehhorizont bildeten. In Raum A überdeckte der Fachwerkschutt eine nur punktuell untersuchte, *in situ* belassene Holzkohleschicht eines am Ende von Phase 7 verbrannten Bretterbodens.

In welchem Masse Raum D am Ende von Phase 7 beschädigt oder zerstört worden ist, lässt sich anhand der summarisch dokumentierten Baubefunde und wegen der nur in groben Zügen rekonstruierbaren Stratigrafie kaum mehr mit Sicherheit feststellen[247].

- Die rund 40 cm mächtige, aus Holzkohle zusammengesetzte Brandschicht wurde offensichtlich nur im Bereich der Türschwelle beobachtet. Da kaum anzunehmen ist, dass diese tiefschwarze Holzkohleschicht im Inneren von Raum D über-

240 Vgl. dazu Vetters 1977, 12 ff. (Wechselwirkung zwischen Erdbeben und baulichen Veränderungen am Beispiel von Hanghaus 1 in Ephesos) sowie die Ausführungen in der Synthese, unten S. 346.

241 Zum Nachweis in anderen Insulae vgl. zuletzt Schatzmann 2006; Schatzmann 2007 sowie im Exkurs 1, unten S. 313 ff. und die zusammenfassenden Bemerkungen in der Synthese, unten S. 346.

242 Vgl. Dokumentation der Grabung 1965–1967.052, Ergänzende Bemerkungen zum Schichtbeschrieb von Profil 10, Schicht 6 (= Beil. 2G,5) vom 12.06.1967 bzw. 13.07.1967. Die Grösse des Trümmerstückes ist nicht mehr erschliessbar.

243 Ein ähnlicher Befund (ausgeplünderte Mauerschale) wurde z. B. auch in der Insula 7 beobachtet (vgl. Schwarz 1994, Abb. 6). Zum Steinraub vgl. ferner auch Müller 1985, 15.

244 8 m³ Mauerschutt entsprechen etwa dem dreifachen Volumen von Festmauerwerk. Demnach bildet der hier liegende Mauerschutt das Äquivalent von rund 24 m³ Festmauerwerk; eine Menge, welche die in MR 7 und MR 10 verbaute Kubatur von insgesamt etwa 12 m³ bei Weitem übersteigt. Berechnungsbasis: Volumen Hypokaust: 3,5 m × 4 m × 0,6 m; MR 7 und MR 10: ca. je 3,5 m × 4 m × 0,4 m. – Zur Zusammensetzung des Mauerschutts vgl. Phase 8, unten S. 115 f.

245 Dagegen spricht in erster Linie das Fehlen von Holzkohle und/oder von brandigem Material sowie von Feuerspuren im Mauerschutt der Hypokaustverfüllung (Beil. 2G,3; 2F,2). Vgl. auch die Beschreibung der Schadensbilder der am Ende von Phase 11 eingetretenen Brandkatastrophe, unten S. 154 ff.

246 Bei einem «normalen» Umbau wäre die später in Phase 9 weiter verwendete MR 7 sicherlich ebenfalls vollständig abgebrochen worden. Dass sie ihren Zweck weiterhin erfüllte, zeigt überdies die Tatsache, dass sie auf beiden Seiten Brandspuren aufweist. Vgl. dazu auch Exkurs 1, unten S. 313 ff., und die Ausführungen in der Synthese, unten S. 346 f.

247 Wie die Befunde in Raum A zeigen, lassen sich Beschädigungen am Ende von Phase 7 bzw. Instandstellungsarbeiten in Phase 8 oft nur aufgrund von Detailbeobachtungen am aufgehenden Mauerwerk, präzisen Befundschilderungen und anhand von gut dokumentierten Profilen nachweisen (siehe Beilage 2).

sehen wurde, ist davon auszugehen, dass es sich dabei um Relikte einer Brandkatastrophe in Raum E handelt, die nur den türnahen Bereich von Raum D erfasst hat. Der der Bodenfeuchtigkeit ausgesetzte Bretterboden, die Treppe, die Holzverkleidungen von Mauer 11 und Mauer 12 sowie die Holzdecke von Raum D sind höchstwahrscheinlich vom Feuer verschont geblieben[248].

- Am aufgehenden Mauerwerk von Raum D lassen sich keine Beschädigungen namhaft machen, die zwingend für eine Zerstörung durch das vermutete Erdbeben sprechen würden. Der einzige konkret fassbare Schaden am aufgehenden Mauerwerk, der Einsturz der über dem Durchlass liegenden Teile der Hangstützmauer 1B, könnte sich auch zu einem späteren Zeitpunkt ereignet haben.
- Die über dem Brandschutt liegenden, auch im Inneren von Raum D angetroffenen Schuttpakete können keinesfalls als Primärschutt angesprochen werden.

Für ein grösseres Schadensereignis am Ende von Phase 7 spricht möglicherweise auch der im Strassengraben der Heidenlochstrasse beobachtete, aber leider nicht näher dokumentierte Ziegelversturz (Beil. 2C,18B)[249]. Im Westen ist die Verfüllung des Strassengrabens stark mit Ziegelschutt (vgl. Abb. 96,18B) durchmischt, im Osten bildeten die wohl von Raum C stammenden Ziegel eine eigentliche Deckschicht (vgl. unten Abb. 232).

Ebenso schwierig wie eine eindeutige Ansprache der am Ende von Phase 7 eingetretenen Schäden als Relikte des vermuteten Erdbebens ist auch deren zeitliche Einordnung. Sowohl in Raum A wie auch in Raum B wurde der bei der Zerstörung angefallene und für die zeitliche Einordnung so wichtige Fachwerkschutt nicht untersucht und *in situ* belassen[250].

Auch das gut stratifizierte Ensemble A7 aus der Holzkohleschicht im Hypokaust liefert lediglich einen in den ersten Jahrzehnten des 3. Jahrhunderts anzusetzenden *terminus post quem* für die Ausplünderung des Hypokausts im *cubiculum* (s. o. S. 103 ff.). Das Fundmaterial aus der in Phase 8 eingebrachten Verfüllung des Hypokausts zeigt allerdings, dass der Hypokaust spätestens um die Mitte des 3. Jahrhunderts ausgeplündert worden sein muss.

Problematisch ist auch die zeitliche Einordnung des Brandschutts in Raum D: Die Holzkohleschicht und der untere Teil des erst später in Phase 8 eingebrachten Mauerschuttpakets sind nämlich zusammen abgebaut worden. Lediglich bei den beiden Münzen **289** und **290** darf davon ausgegangen werden, dass sie in der Brandschicht gefunden wurden. Aus der jüngeren Münze, einem im Jahr 169 n. Chr. geprägten Sesterz für Divus Lucius Verus, lässt sich indes nur ein weit zu fassender *terminus post quem* für die Zerstörung ableiten.

Zusammenfassend ist festzuhalten, dass lediglich die stratigrafische bzw. relativchronologische Koinzidenz der in den Räumen A, B, C und D beobachteten Schäden für eine Zerstörung am Ende von Phase 7 spricht. Gestützt wird die Annahme einer grossflächigen Zerstörung überdies durch die in den westlichen, an die Domusgasse angrenzenden Räumen von Insula 5/9 und Insula 5 beobachteten bzw. erschliessbaren Schäden (vgl. dazu Exkurs 1, unten S. 275 ff.).

248 Der genau beschriebene und dokumentierte Verputz der beiden Nischen wies offensichtlich keine Brandspuren auf. Vgl. Dokumentation der Grabung 1965–1967.052, Detail 15.15a.15b und Berger/Martin, Tagebuch, 19.12.1966.

249 Nach Aussage der Schichtbeschreibung (Dokumentation der Grabung 1965–1967.052, Profil 1b, Schicht 4) handelte es sich höchstwahrscheinlich um die gleiche Art von Dachversturz wie im Kanal bei den Frauenthermen (vgl. Hoek 1991, Abb. 2). Allerdings ist offen, ob die Ziegelfragmente bereits zu diesem Zeitpunkt (Phase 7) oder erst später (Phase 11) in den Strassengraben gelangt sind. Ersteres scheint jedoch wahrscheinlicher, da es sich nur noch um Überreste und nicht um einen flächig nachgewiesenen Dachversturz gehandelt hat.

250 Bei der Erneuerung des Bodens im Schutzbau im Jahr 2001 wurde ein 66 n. Chr. geprägter As des Nero gefunden (Inv. 2001.063.E04434.1). Vgl. dazu Offers, Tagebuch, S. 3. Dieser lag offensichtlich auf der (nicht näher untersuchten) Oberkante des Fachwerkschutts (vgl. Abb. 155B,9), liefert aber keinen verwertbaren Datierungshinweis für Phase 7 bzw. Phase 8.

Phase 8: Entfernung und Entsorgung des Zerstörungsschutts

Überblick

Wie die Abbildungen 116 und 117 zeigen, umfasst Phase 8 die meist nur indirekt nachweisbare Beseitigung der bei der Zerstörung am Ende von Phase 7 entstandenen Schäden. Unter anderem wurden der am Ende von Phase 7 in den Räumen A und B angefallene Fachwerkschutt ausplaniert und der Hypokaust im *cubiculum* von Raum A ausgeplündert und anschliessend verfüllt. Das am Ende von Phase 7 zerstörte Treppenhaus (Raum D) wurde nicht wieder instand gestellt, sondern mit Mauerschutt verfüllt.

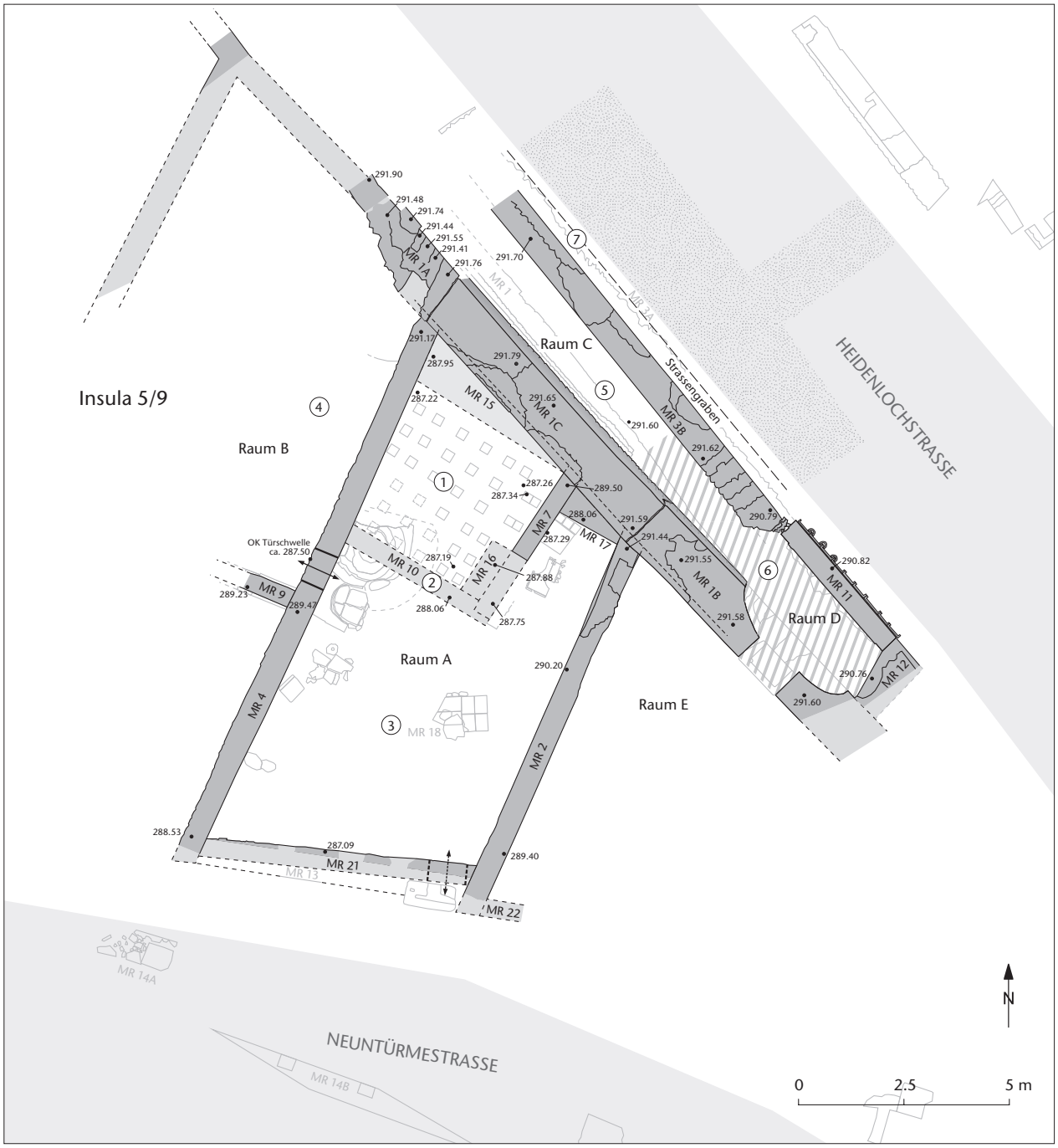


Abb. 116: Augst BL, Insula 5/9 (Grabungen 1965–1967.052 und 2002.063). Übersichtsplan mit den anhand der Befunde erschliessbaren Aktivitäten während Phase 8. M. 1:150. ***1*** *Ausplündern und Verfüllen des Hypokausts im* cubiculum. ***2*** *Abbruch der möglicherweise zum Teil umgekippten MR 10 (vgl. Beil. 2G,5) und Entfernen der Türschwelle (vgl. Abb. 118,A.B).* ***3*** *Entfernen bzw. Ausplanieren des am Ende von Phase 7 angefallenen Schutts im vorderen und hinteren Teil von Raum A (vgl. Abb. 132; 155,9).* ***4*** *Ausplanieren des am Ende von Phase 7 angefallenen Fachwerkschutts in Raum B (vgl. Abb. 179,1).* ***5*** *Entfernen des am Ende von Phase 7 angefallenen Schutts in Raum C.* ***6*** *Verfüllen von Raum D mit Mauerschutt (vgl. Abb. 123,5).* ***7*** *Ausplündern des Ziegelversturzes im Strassengraben der Heidenlochstrasse (vgl. Abb. 96,18B; 189; 233).*

Raum A	Raum B	Raum C (Korridor)	Raum D (Treppenhaus)	Raum E	Heidenlochstrasse
• Entfernen des Schutts • Abbruch von MR 10 und Entfernen der Türschwelle • Ausplünderung des Hypokausts (Entfernen der *pilae*)	• Ausplanieren des am Ende von Phase 7 angefallenen Fachwerkschutts (Abb. 107; 179,1)	• Entfernen des Schutts	• Aufgabe und Verfüllung mit Schutt und Siedlungsabfällen	• Keine Befunde (nicht untersucht)	• Keine zuweisbaren Schichten oder Strukturen
• Nach der Plünderung des Hypokausts eingebrachte Verfüllung aus Mauerschutt und Siedlungsabfällen (Beil. 2F,2; 2F,3; 2G,3; 2G,4; Abb. 118,B) • ausplanierter Fachwerkschutt im vorderen Teil von Raum A (Beil. 2E,9; 2H,9; Abb. 128; 132; 155; 221,2)			• untere, auf dem Brandschutt liegende Füllschichten (Abb. 123,4) • oberer Teil der Füllschichten (Abb. 123,5; 237,6)		
• Ensemble A8 (Abb. 120) Datierung: um 100 n. Chr. und um 200–250 n. Chr.			• Ensemble D8 (Abb. 125) Datierung: um 50 n. Chr. und um 200–250 n. Chr.		

Abb. 117: Augst BL, Insula 5/9 (Grabungen 1965–1967.052 und 2002.063). Synoptische Darstellung der Befunde und Fundensembles der Phase 8.

Raum A

Befund

In Raum A ist Phase 8 im Wesentlichen durch das bereits beschriebene weitgehende Entfernen bzw. Ausplanieren des am Ende von Phase 7 angefallenen Zerstörungsschutts charakterisiert.

Freigelegt wurde unter anderem der zwischen Mauer 7 und Mauer 2 liegende Mörtelgussboden aus Phase 7. Auf diesem bildete sich in der Folge ab Phase 9 ein mit Holzkohle durchsetzter Schmutzhorizont.

Aufgrund der in etwa auf dem Niveau des ehemaligen Gehhorizonts der Phase 7 liegenden Feuerstellen F3 und F5 darf ferner davon ausgegangen werden, dass auch der westlich von Mauer 10 liegende Teil von Raum A bis auf, vielleicht sogar bis leicht *unter* das ehemalige Bodenniveau von Phase 7 freigelegt worden ist.

Gestützt wird diese Vermutung namentlich durch die lehmigen Sedimente in der Verfüllung des ausgeplünderten Hypokausts: «Schuttige Auffüllung mit Kalksteinen, Brocken eines dicken Mörtelbodens [= Reste des Hypokaustbodens], Mörtel etc. dazwischen Lagen von dunkelbraun verschmutztem, schuttigem Lehm (eingefüllte Gebrauchsschichten, mit zahlreicher Keramik)»[251]. Dieser Beschreibung lässt sich entnehmen, dass der Hypokaust nach dem Entfernen der *pilae* und der anderen Installationen nicht nur mit Mauerschutt, sondern auch mit Resten von bemalten und verputzten Fachwerkwänden verfüllt worden ist. Letztere stammen vielleicht aus dem Obergeschoss.

Das Fehlen der *bipedales*, der *suspensura* und der *pilae* zeigt ferner, dass der – möglicherweise beschädigte – Hypokaust vorgängig fast vollständig ausgeplündert worden sein muss[252].

251 Vgl. Dokumentation der Grabung 1965–1967.052, Profil 10, Schicht 6 = hier Beil. 2G,3.4.

252 Berger/Martin, Tagebuch, 05.08.1965: «Die *pilae* wurden schon in römischer Zeit ausgeräumt». Berger, Bericht 1965.052, 8 ging ebenfalls davon aus, dass der Hypokaust «vor dem Brand [= Phase 11] ausgeräumt worden sein muss, da in den bisher abgegrabenen Partien des Brandschuttes keine Spuren eines späteren Eingriffes zu erkennen waren». Aus dem Hypokaust stammende, tönerne Konstruktionselemente wurden u. a. im Backofen BO1 (Abb. 157; vgl. dazu auch Berger 1977, 30), in der Feuerstelle F4 (vgl. Abb. 134) und in der Feuerstelle F5 (Abb. 145; 151) verbaut. Letztere besteht,





Abb. 118: Augst BL, Insula 5/9, Raum A (Grabung 1965–1967.052). Zustand der Bausubstanz im Bereich des cubiculum *(Phasen 8–11).* ***A*** *Blick an das Mauerhaupt von MR 7 im Bereich des Eingangs zum* cubiculum. *Das Foto belegt, dass MR 7 in Phase 8 stehen gelassen wurde und ihren Zweck bis zur endgültigen Zerstörung von Raum A am Ende von Phase 11 weiterhin erfüllte.* ***B*** *Blick auf den in Phase 8 ausgeplünderten und mit Mauer- und Fachwerkschutt verfüllten Hypokaust des* cubiculum *(vgl. auch Beil. 2G,3–5). Links im Bild die auf der Abbruchkrone der am Ende von Phase 7 teilweise umgestürzten MR 10 liegenden Reste des Mörtelgussbodens (Phasen 9–11; vgl. auch Beil. 2F,5; 2G,6). Im Vordergrund das Negativ der in Phase 8 entfernten Türschwelle auf MR 7, dahinter die auf dem «kühlen Block» (MR 16) liegenden Reste des älteren «feinen» Terrazzobodens aus Phase 6 und des jüngeren «groben» aus Phase 7.*

Gesichert ist auch, dass die wohl beschädigte, möglicherweise sogar teilweise umgekippte Mauer 10 in Phase 8 bis auf 288,10 m ü. M. abgebrochen worden ist. Dies lässt sich unter anderem auch daran ablesen, dass der Mörtelgussboden der Phase 9 über die Abbruchkrone von Mauer 10 hinwegzieht[253].

Wie Abbildung 118,A zeigt, ist im Zusammenhang mit dem Abbruch von Mauer 10 offensichtlich auch die Türschwelle des *cubiculum* entfernt worden. Die offensichtlich unbeschädigt gebliebene Mauer 7 (Abb. 118,B) wurde hingegen stehen gelassen und weiterverwendet. Möglicherweise diente sie auch als Lager eines in der Längsachse von Raum A verlegten Deckenbalkens[254].

Ensemble A8

Allgemeine Charakterisierung: Das Ensemble aus der in Phase 8 eingebrachten Hypokaustverfüllung deckt ein weites zeitliches Spektrum ab (Abb. 119): FK Z01672 weist mit allen seinen Funden in die Zeit um und nach 100 n. Chr.; die übrigen Fundkomplexe (FK Z01653, FK Z01673, FK Z01674,

wie sich an der *in situ* konservierten Ummantelung unschwer ablesen lässt, z. T. auch aus fragmentierten *bipedales* der *suspensura* des Hypokausts. Zum Recycling von Ziegelmaterial vgl. auch Müller 1985, 15.

253 Vgl. Berger/Martin, Tagebuch, 16.06.1967: «OK Mörtelboden über MR 14 [= MR 10] = 288,10 [m ü. M.], OK Mörtelboden südlich [= westlich] von MR 14 [= MR 10] = 287,90/80 m ü. M. Auf MR 14 [= MR 10] liegt eine glattgestrichene, 4–5 cm dicke Mörtelschicht = Rest des genannten Mörtelbodens (Profil 10[b; hier nicht abgebildet])». Die irrtümlicherweise erfolgte Doppelnummerierung der MR 10 wurde bereits seinerzeit auf den Profil- und Detailzeichnungen korrigiert. Die hier und fallweise auch in der Dokumentation der Grabung 1965–1967.052 genannte MR 14 ist nicht mit der von uns neu so benannten, bereits anlässlich der Grabung 1954.052 entdeckten westlichen Abschlussmauer von Raum A in Phase 5 (= MR 14A; vgl. Abb. 56) identisch. – Zum Nachweis des nur noch partiell erhaltenen Mörtelgussbodens vgl. Phase 9, unten S. 135.

254 Der *auf* dem Brandschutt liegende, z. T. *rot verfärbte Mauerschutt* (Beil. 2D,5) deutet darauf hin, dass Mauer 2 und Mauer 4 zum Zeitpunkt des Brandausbruchs mindestens so hoch gewesen sein müssen wie vor der (ersten) Zerstörung am Ende von Phase 7. Das heisst, dass die Deckenbalken des Erdgeschosses auf diesen beiden Mauern ruhten resp. in diese eingemauert gewesen sein müssen.

FK X04649, FK X06546, FK X06547, FK E07758[255]) datieren in das zweite Viertel des 3. Jahrhunderts. Teilweise kommen in diesen Fundkomplexen auch Gefässe aus Terra Sigillata oder mit Glanztonüberzug vor, die am Ende des 2. Jahrhunderts geläufig waren.

Einige Gefässe, wie beispielsweise das Glanztonschälchen **241**, der Teller **248** oder ältere, klein fragmentierte Terra-Sigillata-Scherben (o. Abb.) aus FK Z01673 sind sekundär verbrannt. Diese Gefässe müssen, bevor sie in die Hypokaustverfüllung gelangten, dem Feuer ausgesetzt gewesen sein.

Mit zwei Keramikfragmenten aus dem Ensemble A8 liegen Passscherbenverbindungen zum Ensemble A11-OG vor: **263** aus FK Z01653 und **531** aus FK X04649 weisen Gefässverbindungen zu FK X06545 auf. Ausser dass alle drei Fundkomplexe in teilweise identischen Abbauquadraten zu lokalisieren sind, können keine weiteren Gründe angeführt werden, um diesen Umstand zu erklären[256].

Datierung des Fundmaterials: Neben der noch mit Altstücken vertretenen Terra Sigillata aus Südgallien finden sich in diesem Ensemble (Abb. 120) mehrheitlich Sigillaten, die aus mittel- und ostgallischen Produktionen stammen. Darunter sind Typen vertreten wie der Teller **233** der Form Drag. 32 und der Teller **235** der Form Walters 79, die schon ab der Mitte des 2. Jahrhunderts in grösseren Mengen auf den Markt gekommen sind[257]. In diesen Zeitraum gehören auch die Schüsseln **236** und **237** der Form Drag. 37. Die Schüssel **237** ist vielleicht etwas älter, denn sie findet eine gute Parallele in Heiligenberg[258].

In einen späteren Zeitraum – in das beginnende 3. Jahrhundert – ist ein Bodenfragment eines Schälchens der Form Nb. 12 zu setzen (o. Abb.). Dieses Fragment ist aber die einzige Terra-Sigillata-Form, die zwingend in die erste Hälfte des 3. Jahrhunderts zu datieren ist[259].

Ähnliches ist auch bei den Glanztongefässen zu beobachten: Im Ensemble finden sich noch etliche Becher, die variantenreich verziert sind und deren Farbe zwischen rotbraun und orange variiert. Becher **239** und **240** der Formen Nb. 30 und Nb. 32 sowie Becher mit verdicktem Steilrand **238** oder Karniesrand (o. Abb.) finden sich in Augusta Raurica immer wieder in Fundhorizonten aus der Zeit vor und um 200 n. Chr.[260] Andererseits sind die grauen Becher **242** und **243** der Form Nb. 33 sehr häufig; sie sprechen für eine Datierung in die erste Hälfte des 3. Jahrhunderts[261].

Bei der helltonigen und der grautonigen Gebrauchskeramik sind hingegen nur wenige Altstücke vorhanden. Es überwiegen Formen, die zeitlich gut zu den Bechern der Form Nb. 33 passen, so etwa die Teller mit eingebogenem Rand **246–248**, die Schüsseln mit profiliertem Rand und Wandknick **252** und **253**, die scheibengedrehten Kochtöpfe **261–264** und eine «rätische» Reibschüssel **265**. Etwas jünger eingestuft werden die Schüsseln mit Steilrand und profilierter Wandung **251** sowie die Krüge mit Bandrand **256**. Diese Formen treten erst um die Mitte des 3. Jahrhunderts auf[262].

Besonders hervorzuheben sind das sogenannte Malertöpfchen **258** sowie das orangefarbene, sorgfältig gearbeitete Gesichtsgefäss **259**[263]. Zusammenfassend kann festgehalten werden, dass das Keramikensemble durch Formen geprägt wird, die gegen Ende des 2. Jahrhunderts und in den ersten Jahrzehnten des 3. Jahrhunderts geläufig sind.

Auffällig ist, dass in der Verfüllung des Hypokausts kein Glas gefunden wurde. Vertreten sind hingegen Gegenstände, die zum persönlichen Bedarf gehören: der Ohrlöffel **269** und die Haarnadel **272**. Im weitesten Sinne zum Tisch- oder Essbesteck gehört der fragmentierte Bronzelöffel **268**.

Mit **267** liegt ein etwas seltsames Bronzestück vor: Das Stück ist gebogen und dünn gearbeitet. Das Stück ist an den Seitenpartien eingeschnürt und weist an einem Ende einen stilisierten umgebogenen Vogelkopf auf, der an geflügelte Pferdeanhänger erinnert, die auch häufig mit Aufhänghaken in Tierkopfgestalt verziert sind. Die Gesamtform der geflügelten Anhänger mit deren ausgebreiteten Körpern entspricht allerdings nicht unserem Stück **267**[264]. Zudem weist unser Stück je ein kleines Befestigungsloch an

255 Der Fundkomplex E07758 wurde im Jahre 2002.063 vergeben; der FK weist – ausser einem abgearbeiteten, *in situ* belassenen Buntsandsteinblock – keine Funde auf.

256 Die Koordinaten und Höhenkoten der Fundkomplexe X04649 und Z01653 (Ensemble A8) sind: FK X04649: X14/X15/W15; OK = 287,40 m ü. M., UK = 287,22 m ü. M. FK Z01653: W14/V14; OK = 287,80 m ü. M., UK = 287,20 m ü. M. Die Koordinaten für den Fundkomplex X06545 (Ensemble A11-OG) sind: W14/W15; OK = 287,71 m ü. M., UK = 287,50 m ü. M.

257 Zur Datierung der Formen Drag. 32 und Walters 79 vgl. Heiligmann 1990, 164; 166 sowie Oswald/Pryce 1966, 199 Taf. 58,1.

258 Die Schüssel **237** kann aufgrund der Punzenähnlichkeit dem Umkreis des Töpfers Ciriuna aus Heiligenberg zugeordnet werden. Die Produktionszeit dieses Töpfers wird in die Zeit zwischen 140 und 180 n. Chr. angesetzt. Vgl. dazu Forrer 1911, Taf. 20,1 und zur Datierung Zanier 1992, 123.

259 Schucany u. a. 1999, 155 Taf. 74 (Fundensemble D.10 Augst 9).

260 Vgl. Martin-Kilcher 1987/1994, 31–34 Abb. 11,7–16; 12,9–13; Furger/Deschler-Erb 1992, 77 f.; Schucany u. a. 1999, 154.

261 Zuletzt zu den Bechern Nb. 33: Heising 2003.

262 Vgl. für die Schüsseln mit Steilrand und profilierter Wandung: Martin-Kilcher 1987/1994, 33; 40 Abb. 12,15; 16,5; Schucany u. a. 1999, 154 Taf. 71 (Fundensemble D.8 Augst 7) und für die Krüge mit Bandrand: Schucany u. a. 1999, 155 Taf. 74 (Fundensemble D.10 Augst 9).

263 Aus Ensemble A11-OG liegen auch ein sogenanntes Malertöpfchen **573** und ein Gesichtsgefäss **576** vor; beide Gefässe ähneln in ihrer Ausführung den Gefässen aus der Verfüllung des Hypokausts. Die Malertöpfchen weisen keine Reste von Farbpulver auf. Zu Malertöpfchen vgl. Fünfschilling 2006, 158 Taf. 151,3030; Asal 2007, 139 Taf. 17,D116 und Marchese 1999, 264. Im Grab eines römischen Malers aus Nida-Heddernheim fanden sich 29 Malertöpfchen mit Farbpigmentresten. Vgl. dazu Bachmann/Czysz 1977; Wamser 2000, 363 Kat. 103. Diesen Literaturhinweis verdanken wir Sylvia Fünfschilling, Augst. – Zu den Gesichtsgefässen vgl. zuletzt Pfahl 2003; Braithwaite 2007.

264 Vgl. für geflügelte Anhänger Deschler-Erb 1999, 50 f. Taf. 22; 23.

Form/Typ	RS	BS	WS	HE	Total	MIZ
TS, südgallische						
Drag. 35/36	2				2	2
Drag. 18	1				1	1
Drag. 37	2				2	2
Drag. 33		1			1	1
Form unbestimmt		1			1	1
TS, mittelgallisch						
Drag. 33	3				3	1
Drag. 37 oder 38?	1				1	1
TS, ost?-mittelgallisch?						
Walters 79	1				1	1
Drag. 33	1		1		2	2
Drag. 37	4	5	5		14	3
TS, ostgallisch						
Nb. 12		1			1	1
Drag. 18/31	2				2	1
Drag. 32	4				4	3
Drag. 37	1	1	2		4	4
Drag. 43/45			1		1	1
Form unbestimmt		1			1	1
Glanztonkeramik						
Nb. 29	2	2	5		9	2
Nb. 30	1				1	1
Nb. 32	4		9		13	2
Nb. 33	6	10	15		31	18
Becher mit verdicktem Steilrand	3				3	3
Becher mit Karniesrand	4				4	4
Glanztonschüssel mit Wandleiste (?)			1		1	1
Glanztonschüssel oder späte Imitation (?) mit Rundlippe	1				1	1
Form unbestimmt		7	6		13	8

Form/Typ	RS	BS	WS	HE	Total	MIZ
Übrige Keramik						
Helltonige Gebrauchskeramik						
Teller mit eingezogenem Rand	30	2			32	26
Schüssel mit Steilrand und Wandleiste	3		3		6	3
Schüssel einwärts verdickt	2		3	4	5	2
Schüssel mit profiliertem Rand	35	3			38	29
Schüssel mit gerilltem Rand	5				5	4
Krüge	5		3		12	8
«Malertöpfchen»	2				2	1
Gesichtsgefäss	4		2		6	1
Helltonige Keramik, Form unbestimmt		9	1		10	10
Grautonige Gebrauchskeramik						
Tonnenförmiger Becher	1				1	1
Teller mit verdicktem Steilrand	5				5	4
Teller mit eingezogenem Rand	4				4	4
Schüssel einwärts verdickt	3				3	3
Schüssel mit profiliertem Rand	4				4	3
Schüssel mit gerilltem Rand	1				1	1
Schultertopf	1				1	1
Topf	4				4	2
Scheibengedrehte Kochkeramik	11	6			17	12
Kochschüssel	2				2	2
«Rätische» Reibschüssel	3				3	3
Amphore, Dressel 20	1				1	1
Total Fragmente/MIZ	**169**	**49**	**57**	**4**	**279**	**187**

Abb. 119: Augst BL, Insula 5/9, Raum A (Grabung 1965–1967.052). Ensemble A8: Fundstatistik zur Keramik (FK X04649, FK X06546, FK X06547, FK Z01653, FK Z01672–FK Z01674).

beiden Enden auf, die vielleicht auf eine Zweitverwendung hindeuten und somit Zweck und Funktion verunklären[265].

Zwei Objekte stammen aus dem handwerklichen Bereich: das Hämmerchen **271**[266], das wohl bei der Metallverarbeitung zur Anwendung gelangte, und die für die Textilverarbeitung verwendete Spindel **273**.

In einen militärischen Kontext gehört der Riemenendbeschlag **270**[267]. Das Stück weist ein gespleisstes Oberteil aus, welches mit einem Niet den Lederriemen einklemmt[268]. Solche Beschläge sind im unteren Teil häufig reich gegliedert und im Endabschluss so variantenreich gestaltet, dass

265 Ähnliche Exemplare finden sich etwa bei Deschler-Erb 1999, 57 Taf. 31,607; Deimel 1987, 37 f. Taf. 21,13; Den Boesterd 1956, 46 Taf. 15,149.

266 Duvauchelle 2005, 21 f. Taf. 3,13.

267 Ein weiterer Riemenendbeschlag **655** liegt im Material aus dem Ensemble A11-OG vor. Dieser Beschlag mit gegliedertem Endabschluss ist mit dem Riemenbeschlag **270** gut zu vergleichen. Beide weisen ein gespleisstes Oberteil mit Nietloch auf und sind im Endabschluss profiliert. Der Beschlag **270** wurde auf der Grabung im Jahre 1965 leider nicht eingemessen und ist aufgrund der FK-Zuweisung der Hypokaustverfüllung zuzurechnen. Angesichts des Fehlens eines durchgehenden Mörtelgussbodens über der Hypokaustverfüllung kann nicht restlos ausgeschlossen werden, dass der Riemenendbeschlag dem Ensemble A11-GH zuzurechnen ist.

268 Vgl. Oldenstein 1976, 143 Taf. 36,311.312.

sich kaum identische Stücke von anderen Fundorten finden lassen[269].

Die aus weissem Pfeifenton gearbeitete Mater Nutrix **274** stammt aus einer mittelgallischen Werkstatt. Ob sie zum Inventar eines Lariums gehörte, ist denkbar, aber nicht beweisbar[270]. Dennoch sei in diesem Zusammenhang darauf hingewiesen, dass sich in diesem Ensemble auch das Gesichtsgefäss **259** fand.

Katalog der Funde aus Ensemble A8 (Abb. 120)

Terra Sigillata

231 2 RS (südgallisch), Schälchen Drag. 35/36. – Inv. 1967.9965, FK Z01672.

232 2 RS, WS (mittelgallisch), Schälchen Drag. 33. – Inv. 1967.9963B–D, FK Z01672.

233 RS, TS (ostgallisch), Teller Drag. 32. – Inv. 1965.5320, FK X04649.

234 2 RS, TS (ostgallisch?), Teller Drag. 18/31. – Inv. 1967.10180, FK Z01673.

235 RS, TS (mittel-ostgallisch?), Teller Walters 79. – Inv. 1967.10182, FK Z01673. – Vgl.: Oswald/Pryce 1966, Taf. 58,1.

236 RS, TS (späte südgallische Ware aus Banassac? Oder mittelgallisch?), Schüssel Drag. 37. Relief: Eierstab mit Kern und doppelten umlaufenden Stäben mit Beistrich, darunter Ansatz von Doppelkreis erhalten. – Inv. 1965.5321, FK X04649. – Publ.: Bruckner 1975, 68,18. Dort Rheinzaberner Produktion zugeordnet.

237 3 RS, 4 WS, 4 BS, TS (ostgallisch), kleine Schüssel Drag. 37. Relief: Eierstab mit Kern und zwei umlaufenden Stäben, ohne Beistrich, Perlleiste aus Rechteckperlen, Bildzone unterteilt durch Baum, daneben Jagdszene (?) mit Wolf/Hund und Hirsch. Vergleichbarer Hirsch und Baum in Heiligenberg bei Ciriuna. – Inv. 1967.10184, FK Z01673. – Vgl.: Forrer 1911, Taf. 20,1.

Übrige Keramik

238 RS, Glanztonbecher mit verdicktem Steilrand. Ton orange mit orangegrauem, matt glänzendem Überzug. – Inv. 1967.4459, FK X06547.

239 RS, Glanztonbecher Nb. 30. Ton grau mit schwarzem Überzug. – Inv. 1967.10200, FK Z01673.

240 3 RS, 9 WS, Glanztonbecher Nb. 32. Ton beige mit orangebraunem Überzug und Barbotineverzierung. – Inv. 1967.6671, FK Z01653; Inv. 1967.6028A–C, FK X06546. – Publ.: Bruckner 1975, 70,50.

241 RS, Glanztonschälchen. Ton rotbraun mit Ratterblechdekor. Sekundär verbrannt. – Inv. 1967.10188, FK Z01673.

242 RS, WS, Glanztonbecher Nb. 33. Ton grau mit schwarzem, matt glänzendem Überzug. – Inv. 1967.6672.6682, FK Z01653.

243 RS, Glanztonbecher Nb. 33. Ton grau mit braungrauer Oberfläche, matt glänzend. – Inv. 1967.6032, FK X06546.

244 WS, Glanztonschüssel mit Wandleiste? Ton grau mit grauem, stark glänzendem Überzug. – Inv. 1967.6678, FK Z01653.

245 RS, tonnenförmiger Becher. Ton orange mit feiner Riffelung. – Inv. 1967.10192, FK Z01673.

246 RS, Teller mit eingebogenem Rand. Ton orange. – Inv. 1965.5327, FK X04649.

247 RS, Teller mit eingebogenem Rand. Ton grau, innen leicht metallglänzend. Stark verzogen, sekundär verbrannt. – Inv. 1967.6704A, FK Z01653.

248 RS, Teller mit verdicktem Steilrand. Ton grau, aussen graue Glättstreifen. – Inv. 1967.6703, FK Z01653.

249 RS, Schale mit Randlippe. Ton graubraun, innen mit Glimmer. – Inv. 1967.4462, FK X06547.

250 RS, Schüssel mit leicht verdicktem Rand und Wandleiste. Ton orange mit innen feiner Glättung, etwas gemagert. – Inv. 1967.6052, FK X06546. – Publ.: Bruckner 1975, 75,102.

251 RS, Schüssel mit Steilrand und Wandleiste. Ton orangebraun, aussen wenige Goldglimmerreste. Innen mit grauer Oberfläche. – Inv. 1967.6694, FK Z01653.

252 RS, 3 WS, BS, Schüssel mit profiliertem Rand und Wandknick. Ton orange mit innen glimmerhaltigem Überzug, etwas gemagert. – Inv. 1967.6686.6706, FK Z01653.

253 RS, Schüssel mit profiliertem Rand. Ton orange. – Inv. 1967.6692, FK Z01653.

254 RS, Schüssel mit gerilltem Rand. Ton orangebraun mit brauner Oberfläche, wenig gemagert. Leichte Brandspuren. – Inv. 1967.6693, FK Z01653.

255 RS, kleiner feinkeramischer Topf mit Wulstrand. Ton grau, überglättet. – Inv. 1967.4460A, FK X06547.

256 RS, doppelhenkliger Krug mit Bandrand. Ton orange mit Resten von weissem Überzug. – Inv. 1967.10217, FK Z01673.

257 RS, einhenkliger Krug. Ton beige. – Inv. 1967.6714, FK Z01653.

258 2 RS, sogenanntes Malertöpfchen. Ton orange. – Inv. 1967.6040A.B, FK X06546. – Publ.: Bruckner 1975, 73,85.

259 4 RS, 2 WS, Gesichtsgefäss. Ton orange mit gut geglätteter, glänzender oranger Oberfläche. – Inv. 1967.6026A–E, FK X06546.

260 RS, Kochschüssel mit gekehltem Rand. Ton braun mit grauer Oberfläche. – Inv. 1965.5328, FK X04649. – Publ.: Bruckner 1975, 76,106.

261 RS, Kochtopf mit leicht gekehltem Leistenrand. Ton grau. – Inv. 1967.6677, FK Z01653.

262 RS, Kochtopf mit gekehltem Leistenrand. Ton grau. – Inv. 1967.6042, FK X06546.

263 3 RS, Kochtopf mit gegen innen verdicktem Leistenrand. Ton orange mit grauem Kern. Aussen über dem Rand leichte Brandspuren. – Inv. 1967.6684A–C, FK Z01653. – Passscherbe: Inv. 1967.11512, FK X06545 (Ensemble A11-OG).

264 RS, Kochtopf mit verdicktem Leistenrand. Ton grau, aussen mit Besenkammmuster. – Inv. 1967.6060, FK X06546.

265 RS, «rätische» Reibschüssel. Ton orange, über dem Rand roter Überzug. – Inv. 1965.5326, FK X04649. – Publ.: Bruckner 1975, 75,98.

266 RS, Amphore, Dressel 20. Ton beige, feiner Schlicker auf der Oberfläche. – Inv. 1967.6716, FK Z01653. – Publ.: Martin-Kilcher 1987/1994, Kat. 739.

Bronze

267 Umgearbeitetes Stück, evtl. aus ehemaligem geflügeltem Pferdeanhänger? Dünnes, gebogenes Blech mit umgeschlagenem vogelartigem Kopf; unten am Fortsatz und oben unter dem Vogelkopf je ein Nietloch. – Inv. 1965.5940, FK X04649.

268 Cochlear mit abgesenkter Laffe. – Inv. 1967.6749, FK Z01653. – Publ.: Riha/Stern 1982, Kat. 214.

269 Ohrlöffel mit einfach verziertem Hals. – Inv. 1967.18990, FK Z01673. – Publ.: Riha 1986, Kat. 244.

270 Riemenendbeschlag mit profiliertem Ende. – Inv. 1965.5941, FK X04649.

270A Einlegeblech, rautenförmig mit umgeschlagenen Enden. – Inv. 1967.18991, FK Z01672.

Eisen

271 Hammer. Hammerende flach und leicht gestaucht. – Inv. 1967.6750, FK Z01653.

Bein

272 Haarnadel mit rundem/ovalem Kopf. – Inv. 1967.4463, FK X06547. – Publ.: Deschler-Erb 1998, Kat. 2428.

269 Oldenstein 1976, 145. Auch zu unserem Stück finden sich keine guten Parallelen. Erschwerend kommt hinzu, dass der Riemenendbeschlag **270** am unteren Endabschluss etwas korrodiert ist, sodass nicht ausgeschlossen werden kann, dass es sich beim Stück eventuell auch um einen Scharnierbeschlag handeln könnte. Vgl. zu den Scharnierbeschlägen aus Bronze: Fischer 1988, 185–190 Abb. 8; 10,5.6.

270 Vgl. Kaufmann-Heinimann 1998, 159–162; Fünfschilling 2006, 192.

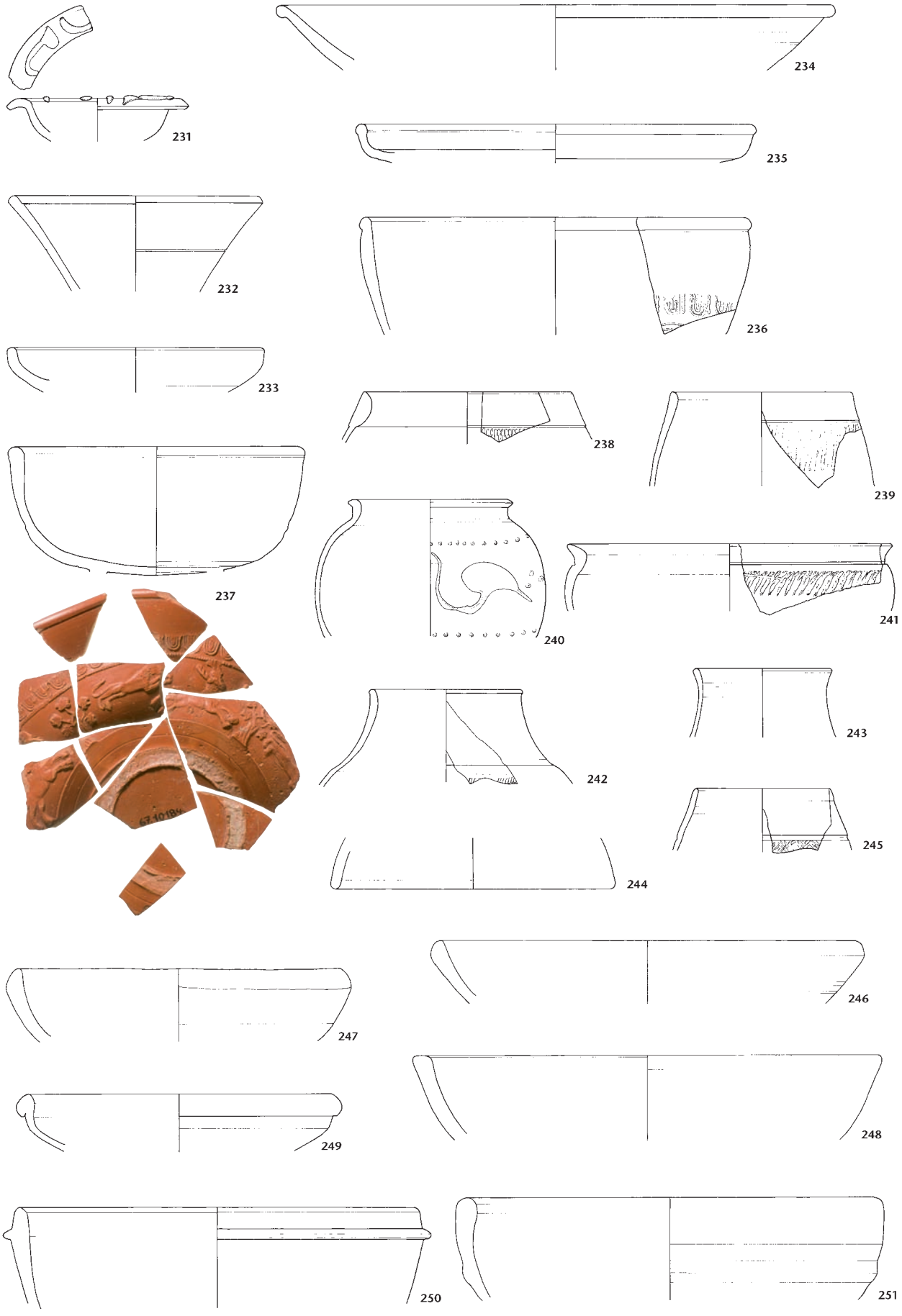


Abb. 120: Augst BL, Insula 5/9, Raum A (Grabung 1965–1967.052). Ensemble A8: Funde aus der Verfüllung des Hypokausts im cubiculum. *M. 1:3.* ***231–237*** *Terra Sigillata,* ***238–244*** *Glanztonkeramik,* ***245–251*** *Gebrauchskeramik.*

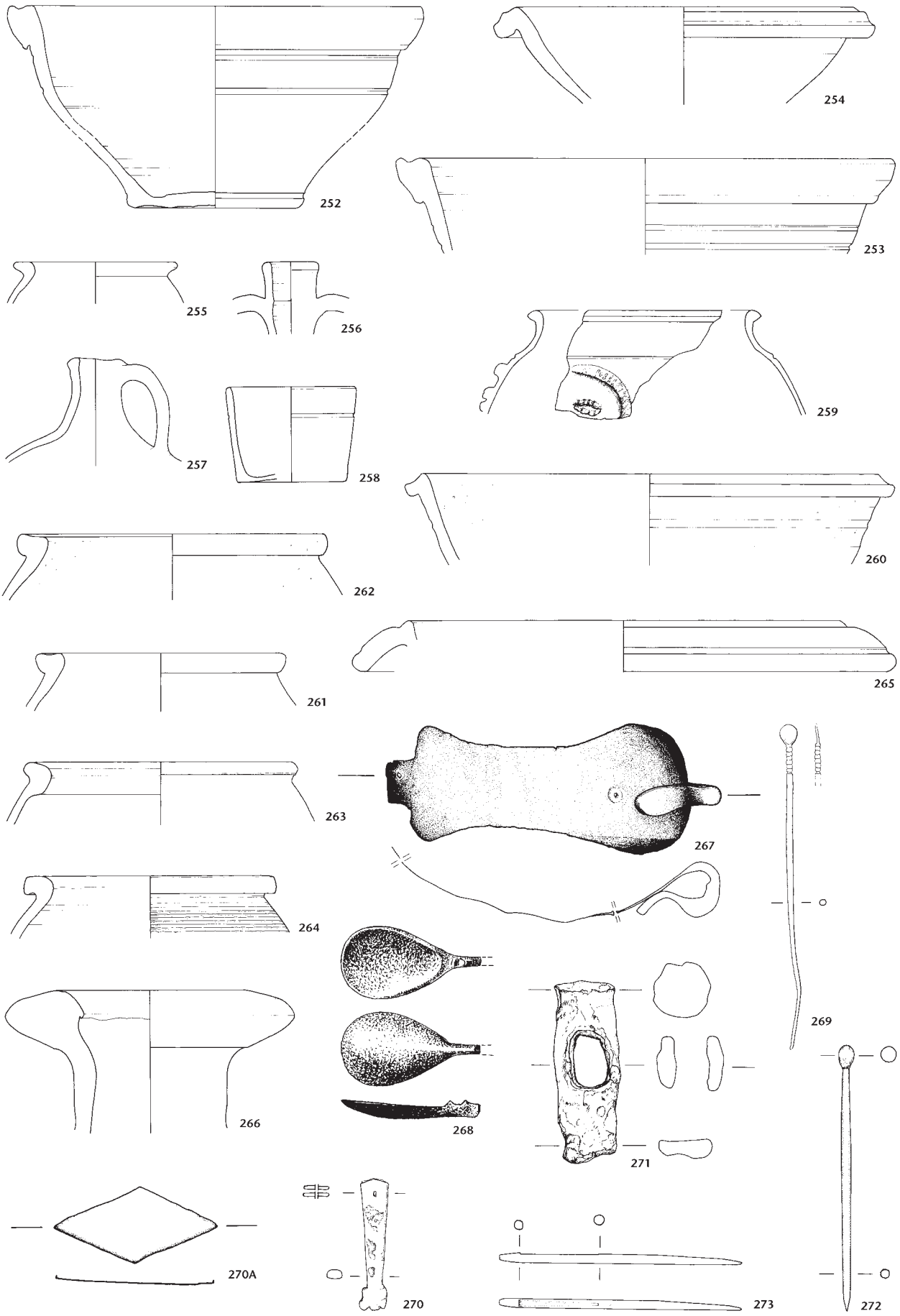


Abb. 120 (Fortsetzung): Augst BL, Insula 5/9, Raum A (Grabung 1965–1967.052). Ensemble A8: Funde aus der Verfüllung des Hypokausts im cubiculum. *M. 1:3 (Bronze, Eisen und Bein M. 1:2).* ***252–266*** *Gebrauchskeramik,* ***267–270A*** *Bronze,* ***271*** *Eisen,* ***272, 273*** *Bein.*



Abb. 120 (Fortsetzung): Augst BL, Insula 5/9, Raum A (Grabung 1965–1967.052). Ensemble A8: Funde aus der Verfüllung des Hypokausts im cubiculum. *M. 1:3 (Wandverputz M. 1:2).* ***274*** *Ton,* ***275–278*** *Wandverputz.*

273 Geschnitzte Spindel mit Pfeilspitzenende. – Inv. 1965.5939, FK X04649. – Publ.: Deschler-Erb 1998, Kat. 346 (dort fälschlicherweise dem Brandschutt der Taberne zugewiesen).

Ton

274 Tonstatuette, Typ Mater-Nutrix. – Inv. 1965.5230, FK X04649. – Publ.: von Gonzenbach 1986, Taf. 80,5; von Gonzenbach 1995, 195.

Wandverputz

275 2 Fragmente Wandverputz mit weisser Grundfarbe und rotem Band. Feiner Kalkmörtel auf mit Häcksel durchsetztem Wandlehm. – Inv. 1967.28362A, FK Z01653. – Publ.: Otten 1994, 71 Kat. 504; 505.

276 4 Fragmente Wandverputz mit weisser Grundfarbe und floralem gelb-rotem Motiv. Feiner Kalkmörtel auf mit Häcksel durchsetztem Wandlehm. Teilweise mit Abdruck von Konstruktionselementen. – Inv. 1967.28362B, FK Z01653. – Publ.: Otten 1994, 71 Kat. 504; 505.

277 1 Fragment Wandverputz mit weisser Grundfarbe und grünem Strich. Feiner Kalkmörtel auf mit Häcksel durchsetztem Wandlehm. – Inv. 1967.28362C, FK Z01653. – Publ.: Otten 1994, 71 Kat. 504; 505.

278 3 Fragmente Wandverputz mit weisser Grundfarbe und rotem Band. Feiner Kalkmörtel mit Ziegelschrotmörtel durchsetzt. – Inv. 1967.28362D, FK Z01653. – Publ.: Otten 1994, 71 Kat. 504; 505.

Nicht abgebildete Funde

Keramik

– Vgl. Abb. 119.

Bein

– Haarnadel mit rundem/ovalem Kopf. – Inv. 1967.28358, FK Z01653. – Publ.: Deschler-Erb 1998, Kat. 2447.
– Quer gesägte proximale Epiphyse. – Inv. 1967.28358A, FK Z01653. – Publ.: Deschler-Erb 1998, Kat. 5391 (zurzeit nicht auffindbar).

Eisen

– Blechfragment. – Inv. 1967.10220, FK Z01673.
– Eisen, zurzeit nicht auffindbar. – Inv. 1967.10218.10219, FK Z01673.

Architekturelemente

– Bodenplatte. – Inv. 1967.6717, FK Z01653.

Die Tierknochen aus Ensemble A8 (Elisabeth Marti-Grädel)

Fünf Fundkomplexe dieses Ensembles enthielten insgesamt 181 Knochenreste, von denen etwas mehr als die Hälfte (n = 99; 56%) bestimmbar waren (Abb. 121). Bezeugt sind nur Knochen von Haustieren. Darunter ist das Hausschwein mit einem Anteil von über 50% am besten belegt. Am zweitstärksten vertreten ist das Hausrind (28%), gefolgt von Schaf/Ziege (11%) und vom Haushuhn (9%). Weitere zwei Geflügelknochen konnten nicht genau bestimmt werden: Es handelt sich dabei um einen Knochen einer Haus- oder Wildgans und um das Fragment einer unbestimmten Vogelart. Der bereits aufgrund der Hühnerknochen vergleichsweise hohe Geflügelanteil ist folglich noch höher anzusetzen. Ensemble A8 datiert in die Zeit um 100 n. Chr. und um 200–250 n. Chr. Es wurde deswegen bei der diachronen und bei der räumlichen Auswertung der Tierknochenfunde berücksichtigt und der dritten Zeitstufe (100–220/250 n. Chr.) zugewiesen (vgl. Exkurs 2, unten S. 319 ff.).

Raum B: Befund

In Raum B wurde der am Ende von Phase 7 angefallene Fachwerkschutt offensichtlich *in situ* belassen und ausplaniert; die maschinell abgetragene Oberkante dieser Planie entsprach in etwa dem Gehhorizont während der Phasen 9–11.

		X04649	X06546	X06547	Z01672	Z01673	Total	n%
Fragmentzahlen	*Bos taurus* (Hausrind)	2	16	3	3	4	28	28,3
	Ovis/Capra (Hausschaf/Hausziege)	1	8		2		11	11,1
	Sus domesticus (Hausschwein)	4	17	3	5	22	51	51,5
	Gallus domesticus (Haushuhn)	1	3	1		4	9	9,1
	TOTAL HAUSTIERE	8	44	7	10	30	99	100,0
	TOTAL WILDTIERE	0	0	0	0	0	0	0,0
	TOTAL HAUS- UND WILDTIERE	8	44	7	10	30	99	100,0
	Anser dom./sp. (Haus-/Wildgans)			1			1	
	Aves indet. (Unbest. Vogel)			1			1	
	TOTAL GROSSGRUPPEN	0	0	2	0	0	2	
	Unbestimmbar, ohne Grössenangabe	7	33	12	6	22	80	
	TOTAL UNBESTIMMBAR	7	33	12	6	22	80	
	GESAMTTOTAL	15	77	21	16	52	181	
Gewicht (g)	Bestimmbare	330	0	125	215	350	1020	
	Unbestimmbare	70	340	175	70	270	925	
	Total	400	340	300	285	620	1945	

Abb. 121: Augst BL, Insula 5/9, Raum A (Grabung 1965–1967.052). Ensemble A8: Tierartenliste, Fragmentzahlen und summarische Gewichtsangaben (g).

Raum D

Befund

In Phase 8 ist das zerstörte Treppenhaus (Raum D) mit Schutt verfüllt worden (Abb. 122)[271]. Die Aufgabe des wohl kaum irreparabel beschädigten Treppenhauses ist namentlich deswegen bemerkenswert, weil sie zeigt, wie einschneidend das am Ende von Phase 7 eingetretene Schadensereignis gewesen sein muss.

Die Stratigrafie in Raum D zeigt, dass die nur im Bereich der Türschwelle beobachtete Brandschicht (Abb. 123,3) von einer etwa 1,5 m mächtigen «lockeren, mörteligen, humosen und mit Ziegeln durchsetzten Schuttauffüllung» überdeckt wird (Abb. 123,4.5). Auf dieser lag wiederum ein rund 1,3 m hohes «sandig-lehmig-erdig-schuttiges» Schichtpaket (Abb. 123,6).

Aufgrund der nachstehend aufgeführten Indizien kann davon ausgegangen werden, dass es sich bei den über der Brandschicht liegenden Sedimenten tatsächlich um eingefüllten Bauschutt resp. um entsorgten Zerstörungsschutt handelt:

- das meist kleinteilige Steinmaterial und der hohe Mörtelanteil[272],
- die im Mauerschutt eingeschlossenen «humosen Bänder»[273],
- die Zusammensetzung des Fundmaterials im unteren Teil der «Schuttauffüllung»[274], namentlich das weitgehende Fehlen der für den Primärschutt typischen Metallfunde[275].

Unter diesem Aspekt betrachtet, ist es naheliegend, dass sich das Treppenhaus – wie andernorts Kellerräume – als Deponie für den am Ende von Phase 7 angefallenen Zerstörungsschutt angeboten hat[276]. In Raum D konnten immerhin über 20 m³ Schutt auf relativ einfache Weise entsorgt werden. Woher der hier entsorgte Zerstörungsschutt stammt, steht nicht mit Sicherheit fest; infrage kommen Raum C sowie die an die Heidenlochstrasse angrenzenden Teile von Insula 9.

Die aufgrund der Befunde naheliegende Koinzidenz zwischen den archäologisch nachweisbaren Instandstellungs-



Abb. 122: Augst BL, Insula 5/9, Raum D (Grabung 1965–1967.052). Blick auf den zum Teil bereits abgebauten, in Phase 8 eingefüllten Mauerschutt im Durchgang durch die Hangstützmauer (MR 1B). In der Bildmitte die östliche der beiden halbrunden Nischen mit Darstellung des Retiariers TAVRVS ACCLAMATVS (vgl. Abb. 111).

271 Die folgenden Überlegungen basieren im Wesentlichen auf der Zusammensetzung der «Verfüllung» von Raum D, die anhand der Angaben auf den FK-Zetteln rekonstruiert werden konnte (vgl. Abb. 123; 237). Im Folgenden wird ausschliesslich mit der Stratigrafie in Profilskizze 8 (Abb. 123) argumentiert. Profilskizze 15 (Abb. 237) weist – abgesehen von der dort nicht nachgewiesenen Brandschicht (Phase 7) – die gleiche Schichtabfolge auf.

272 Sie bilden ein untrügliches Indiz für das Auslesen von noch brauchbaren Mauersteinen.

273 Vgl. etwa die ebenfalls sekundär eingebrachte Verfüllung des Hypokausts von Phase 8 in Raum A (Beil. 2F; 2G).

274 Vgl. dazu auch Laur-Belart, Tagebuch, 20.01.1967. – Der untere Teil der «Schuttauffüllung» (Abb. 123,4) wurde *zusammen* mit der als *Primärschutt* anzusprechenden Brandschicht (Abb. 123,3) abgebaut. Deshalb lässt sich das Fundmaterial aus FK X06529 (vgl. Ensemble D8) mit Ausnahme der Münzen nicht mehr der einen oder anderen Schicht zuweisen. – Wesentlich ist jedoch, dass das Fundmaterial aus diesem FK (X06529), das den *terminus post* für das Einbringen des unteren Teils der Auffüllung in Phase 8 liefert, mit Sicherheit von dem darüberliegenden, zum Teil mit der Grabenverfüllung von Phase 14 kontaminierten Material getrennt werden konnte.

275 Sicher dem Primärschutt zugewiesen werden können lediglich die von der Türe des Durchgangs stammenden Ringscharniere (Inv. 1967.2–5, FK X06529). Die Ringscharniere sind zurzeit leider nicht auffindbar (s. o. Anm. 187).

276 Vgl. dazu auch Exkurs 1, unten S. 283 f. Zur «späten» Nutzung von unter dem antiken Bodenniveau liegenden Räumen als Deponie für Bauschutt und Siedlungsabfälle vgl. auch Bender 1987, Abb. 31 (zur Genese der Verfüllung vgl. jedoch auch Rettner 1988, 209 ff.); Carmelez 1990, 13.15 (Kryptoportikus des Forums von Bavay); van Ossel 1992, 133 (Diskussion des Phänomens).

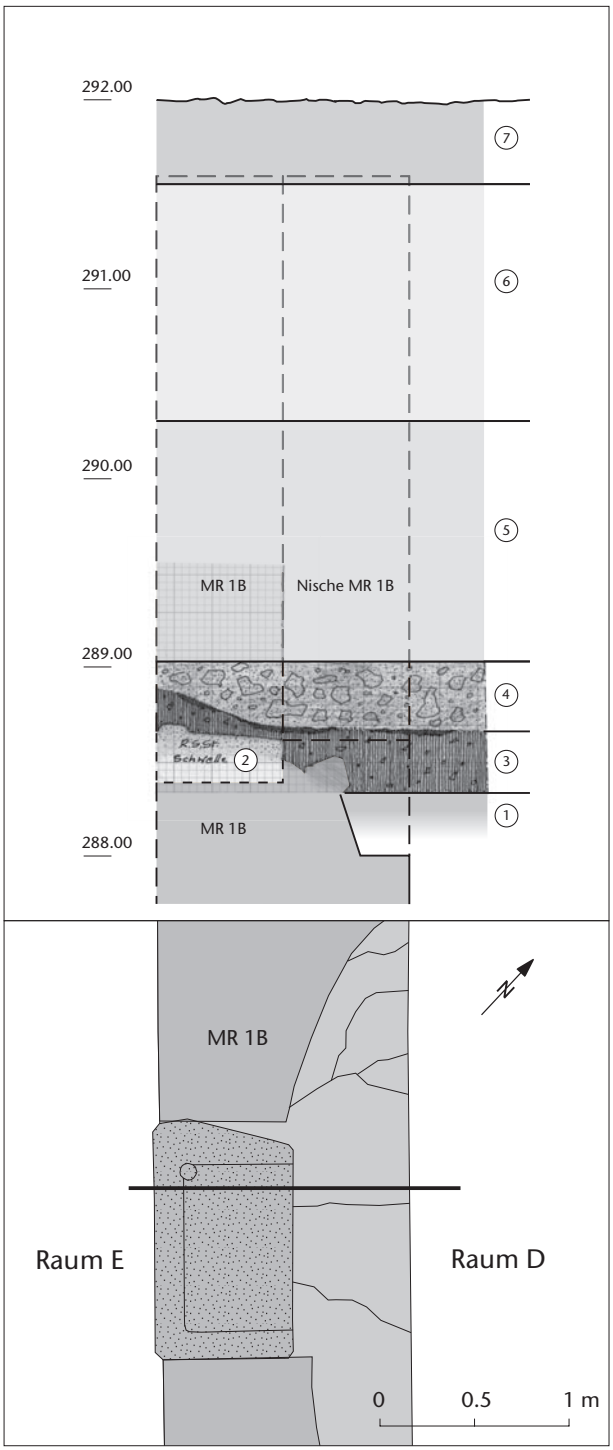


*Abb. 123: Augst BL, Insula 5/9, Raum D (Grabung 1965–1967.052). Profil 8 mit der teilweise anhand der Angaben auf den FK-Zetteln rekonstruierten Stratigrafie. M. 1:40. **1** Im Fundamentbereich der Hangstützmauer (MR 1B) liegende «sandig-lehmige» und «erdig-schuttige» Sedimente (FK X06530 = Ensemble D6). **2** auf der Unterkante des Durchbruchs durch die Hangstützmauer verlegte Türschwelle aus rotem Buntsandstein. **3** tiefschwarzer, mehrheitlich aus Holzkohle zusammengesetzter Brandschutt vom Ende der Phase 7; wohl Reste eines Bretterbodens und einer Türe (FK X06529 = Ensemble D8). **4** unterster, auf dem Brandschutt liegender Teil der Einfüllung von Phase 8: stark mörtelhaltiger Mauerschutt mit vielen Ziegeln und verbrannten Kalkbruchsteinen (FK X06529 = Ensemble D8). **5** oberer Teil der in Phase 8 eingebrachten Verfüllung **4** (FK X06528 = Ensemble D8). **6** «sandig-lehmige» und «erdig-schuttige» Sedimente (FK X06527; ohne Funde): wohl Verfüllung von Graben 3 (Phase 14). **7** humoser Oberflächenschutt und Humuskante (FK X04688, FK X06532; ohne Funde) (Phase 15).*

arbeiten in den Räumen A und B und der Verfüllung des Treppenhauses (Raum D) wird auch durch das Fundmaterial aus Ensemble D8 gestützt. Die jüngsten Funde datieren in die Zeit um die Mitte des 3. Jahrhunderts, was wiederum nahelegt, dass das Treppenhaus am Ende von Phase 8 bereits vollständig verfüllt war.

Ensemble D8

Allgemeine Charakterisierung: Das Material aus dem unteren Teil der Verfüllung des Treppenhauses (Raum D) ist mit einem Fundkomplex X06529 abgebaut worden (Abb. 124). Dessen Zusammensetzung ist recht heterogen (Abb. 125): Es umfasst Funde aus dem Zeitraum zwischen der Mitte des 1. Jahrhunderts und der Mitte des 3. Jahrhunderts. Aufgrund des Befundes ist jedoch davon auszugehen, dass die Funde gleichzeitig in die Verfüllung des Treppenhauses gelangt sind.

Datierung des Fundmaterials: Zwei Keramikfragmente aus Fundensemble D8 können in die Mitte des 1. Jahrhunderts datiert werden; es handelt sich dabei um das Terra-Sigillata-Schälchen **279** der Form Drag. 24 und um die Tonne mit Sichelrand **287**. Die Elemente wie der Becher **280** der Form Déchelette 72, die Glanztonbecher **282** und **283** und die übrige Gebrauchskeramik **284–286** verweisen an das Ende des 2. Jahrhunderts und in das frühe 3. Jahrhundert[277].

Das jüngste datierende Element bildet der Kochtopf **288**. Solche handgemachten Töpfe mit scharfkantig umgelegtem Rand und Kammstrich auf den Schultern werden in Augusta Raurica ab dem zweiten Viertel des 3. Jahrhunderts geläufig[278]. Unser Stück besitzt noch einen relativ langen Rand und flach abfallende Schultern und weist noch keine Dekoration mit Wellenbändern auf. Da Letztere erst etwas später, ab dem dritten Viertel des 3. Jahrhunderts geläufig werden, dürfte der Kochtopf **288** noch vor der Mitte des 3. Jahrhunderts produziert worden sein[279]. Demzufolge ist davon auszugehen, dass die Verfüllung des Treppenhauses (Raum D) frühestens um die Mitte des 3. Jahrhunderts erfolgt sein kann.

Die beiden Münzen, der zwischen 10 v. Chr. und 14 n. Chr. geprägte As **289** und der 169 n. Chr. geprägte Sesterz **290**, liefern lediglich relativ weit zu fassende *termini post quos* für die Verfüllung von Raum D.

Die Eisenfunde können als Ausstattungs- oder Baubestandteile interpretiert werden: Der Haken mit Rückenplatte **291** darf als Aufhängevorrichtung gedeutet werden; der Ösen-

277 Für die Becher der Form Déchelette 72 vgl. Fünfschilling 2006, 143; für die Glanztonbecher vgl. Schucany u. a. 1999, 154 Taf. 71 (Fundensemble D.8 Augst 7: 170/180–200/210 n. Chr.) und für die Schüsseln mit profiliertem Rand ebd.

278 Schucany u. a. 1999, 155 Taf. 74 (Fundensemble D.10 Augst 9: 230–250 n. Chr.).

279 Vgl. Martin-Kilcher 1980, 42 f. Taf. 38; 39; Schatzmann (in Vorb.), Kat. 205; 206.

Form/Typ	RS	BS	WS	HE	Total	MIZ
TS, südgallisch						
Drag. 24	1				1	1
TS, ostgallisch						
Déchelette 72	1	1			2	1
TS-Imitation						
Form unbestimmt		1			1	1
Glanztonkeramik						
Becher mit Karniesrand	1				1	1
Becher mit verdicktem	2		2		4	2
Rand	1				1	1
Nb. 29		1	5		6	4
Form unbestimmt						
Übrige Keramik						
Helltonige Gebrauchskeramik						
Schüssel mit profiliertem Rand	2				2	2
Bemalte WS			1		1	1
Grautonige Gebrauchskeramik						
Teller mit eingebogenem Rand	1				1	1
Tonne mit Sichelrand	1				1	1
Handgemachte Kochkeramik						
Kochtopf mit scharfkantig umgelegtem Rand	1				1	1
Total Fragmente/MIZ	**11**	**3**	**8**		**22**	**17**

Abb. 124: Augst BL, Insula 5/9, Raum D (Grabung 1965–1967.052). Ensemble D8: Fundstatistik zur Keramik (FK X06529). MIZ = RS, BS, WS, HE.

stift **292** diente möglicherweise dem gleichen Zweck[280]. Ein besonderer Kleinfund liegt mit der Vorform **294** aus Marmor vor. Sie diente zum Giessen von Löffelpatrizen und bezeugt, dass in Augusta Raurica Löffel mit trapezförmigem Zwischenstück hergestellt worden sind[281].

Katalog der Funde aus Ensemble D8 (Abb. 125)

Terra Sigillata

279 RS, TS (südgallisch), Schälchen Drag. 24. – Inv. 1967.543, FK X06529.

280 RS, BS, TS (mittel?-ostgallisch), Becher Déchelette 72. – Inv. 1967.544a.b, FK X06529.

Übrige Keramik

281 RS, Glanztonbecher mit Karniesrand. Ton grau mit grauschwarzem Überzug. – Inv. 1967.554, FK X06529.

282 RS, 2 WS, Glanztonbecher mit verdicktem Rand. Ton orange mit orangem Überzug. Ratterblech- und Barbotineverzierung. – Inv. 1967.545.546a.b, FK X06529.

283 RS, Glanztonbecher Nb. 29. Ton orange mit orangebraunem Überzug. – Inv. 1967.550, FK X06529.

284 RS, Teller mit eingebogenem Rand. Ton grau mit grauer Oberfläche. – Inv. 1967.561, FK X06529.

285 RS, Schüssel mit Horizontalrand. Ton orange. – Inv. 1967.559, FK X06529.

286 RS, Schüssel mit profiliertem Rand. Ton orangebraun. – Inv. 1967.560, FK X06529.

287 RS, Tonne mit Sichelrand. Ton grau mit hellgrauem Kern. Mit Ritzmuster. – Inv. 1967.556, FK X06529.

288 RS, Kochtopf mit ausbiegendem Rand. Ton graubraun. Mit Kammstrichdekor. Handgemacht und überdreht. – Inv. 1967.557, FK X06529.

Münzen

289 Für Tiberius? As. 10 v.–14 n. Chr. Vgl. RIC I(2), S. 57 f. A0/0, K5/4, 5,88 g. Ausgebrochen. Brandspuren. – Inv. 1967.611, FK X06529. – Publ.: Peter 1996, Ins. 5.9/7.

290 Für Divus Lucius Verus. Sesterz. Rom, 169 n. Chr. Vgl. RIC III, S. 333, Nr. 1509. A2/2, K3/3, 180°, 23,51 g. – Inv. 1967.610, FK X06529. – Publ.: Peter 1996, Ins. 5.9/40.

Eisen

291 Haken mit Ansatz der Rückenplatte. Haken ösenförmig umgelegt. – Inv. 1967.566, FK X06529.

292 Befestigungselement mit Ösenring. – Inv. 1967.564, FK X06529.

293 Drei achterförmige Kettenglieder mit rundem und rechteckigem Querschnitt. – Inv. 1967.563A.C, FK X06529.

Stein

294 Vorform aus Marmor, zur Herstellung von Löffelpatrizen. – Inv. 1967.1, FK X06529. – Publ.: Riha/Stern 1982, 26 Abb. 12.

Nicht abgebildete Funde

Keramik

– Vgl. Abb. 124.

Bronze

– Runde Tülle. – Inv. 1967.562, FK X06529.

Eisen

– Splint. – Inv. 1967.563B, FK X06529.
– Rechteckiges Band. – Inv. 1967.565, FK X06529.
– Eisenfragmente. Im Inventar als «Ringscharniere» bezeichnet. Sind zurzeit im Depot nicht auffindbar. – Inv. 1967.2–5, FK X06529.

280 Vgl. Fünfschilling 2006, 223 Taf. 177,1614.3496; 178,3509; Schaltenbrand Obrecht 1991, 181 f. Taf. 71.

281 Riha/Stern 1982, 26 Abb. 12. Zu den Löffeln mit trapezförmigem Mittelstück vgl. Riha/Stern 1982, Taf. 17–20. – Abgebildet ist das aussergewöhnliche Objekt ferner bei Martin 1978, Abb. 15. Weitere Literatur findet sich bei Furger/Riederer 1995, 136 Anm. 15. Abgebildet ist die Form auch in einem Katalog des Schweizerischen Landesmuseums Zürich (Hrsg.), Erare humanum est. Pech und Pannen in der Antike. Katalog zur Ausstellung vom 26.10.1994 bis zum 30.04.1995 (Zürich 1994) Abb. auf S. 36.

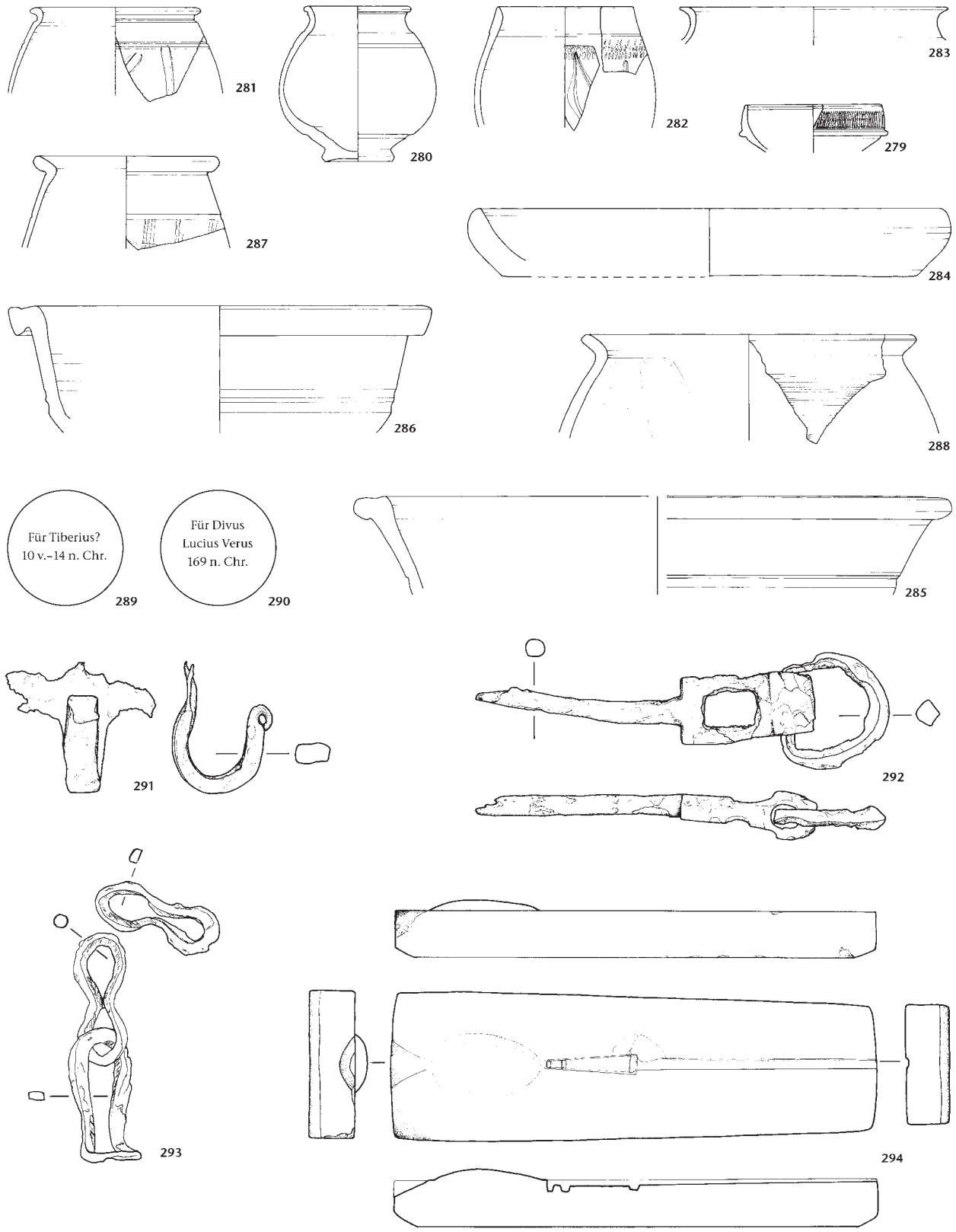


Abb. 125: Augst BL, Insula 5/9, Raum D (Grabung 1965–1967.052). Ensemble D8: Funde aus dem Brandschutt und dem eingefüllten Mauerschutt (vgl. Abb. 123,4.5). M. 1:3 (Eisen und Stein M. 1:2). ***279, 280*** *Terra Sigillata,* ***281–283*** *Glanztonkeramik,* ***284–288*** *Gebrauchskeramik,* ***289, 290*** *Münzen,* ***291–293*** *Eisen,* ***294*** *Stein.*

Phase 9: Instandstellungsarbeiten und Umbauten

Überblick

Phase 9 (Abb. 126; 127) ist im Wesentlichen durch die Instandstellung von Raum A im Sinne einer *squatter occupation* charakterisiert[282]. Die vermutlich zerstörte Mauer 21, die bis anhin den südlichen Abschluss von Raum A bildete, wird durch Mauer 13 ersetzt, die eine Fachwerkwand trug. Der Durchgang zu Raum B wird vermauert und auf dem

282 Zum Begriff vgl. Schwarz 2002, 27 Anm. 92; S. 35 Anm. 134.

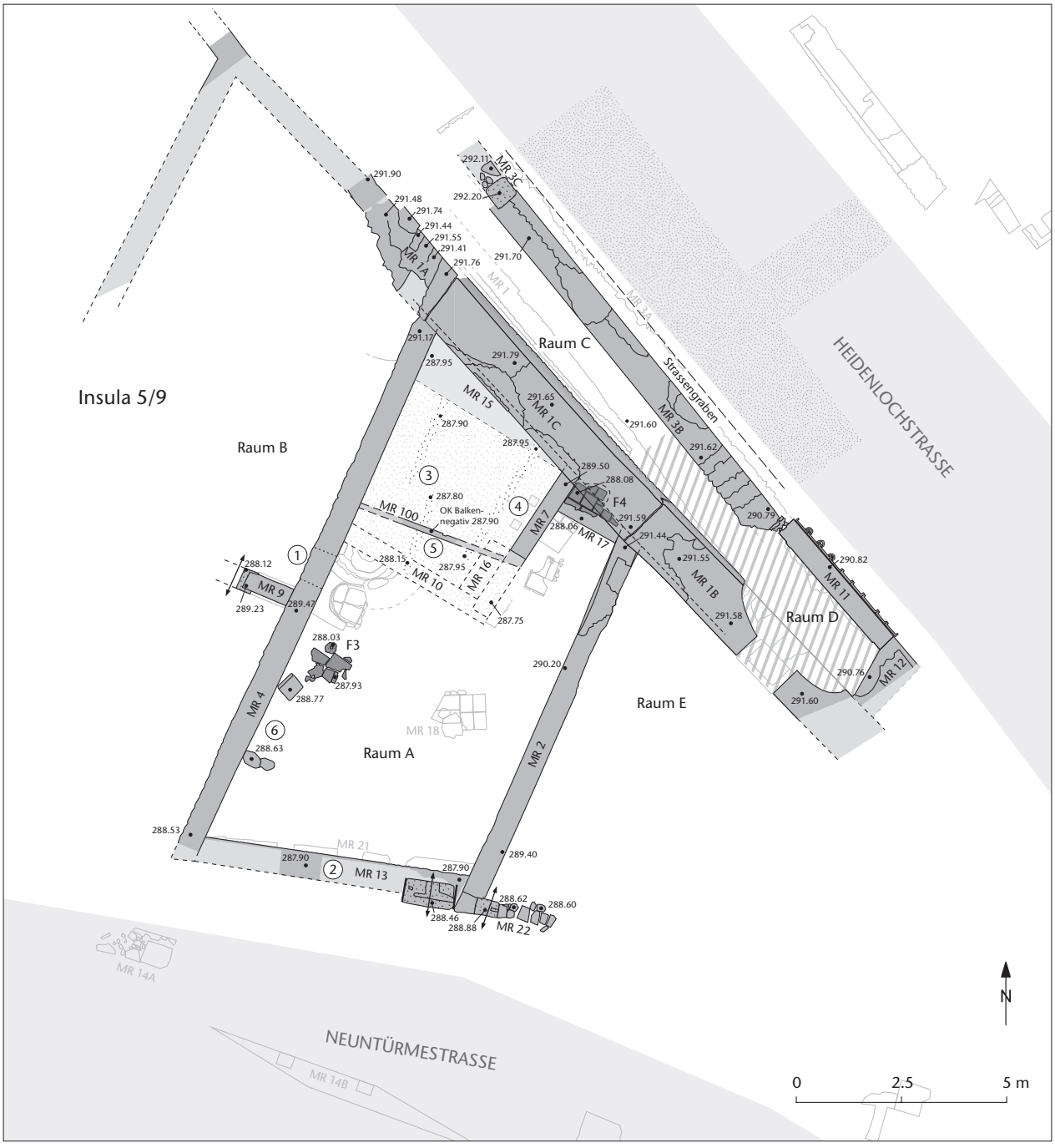


*Abb. 126: Augst BL, Insula 5/9 (Grabungen 1965–1967.052 und 2002.063). Übersichtsplan mit den Befunden der Phase 9. M. 1:150. **1** Zugemauerter Durchgang zwischen den Räumen A und B. **2** MR 13: steht auf der älteren MR 21 (vgl. Abb. 128). **3** kiesig-lehmiger Teil des Gehhorizonts auf der in Phase 8 eingebrachten Hypokaustverfüllung (wohl identisch mit **4**; vgl. Beil. 2G,6). **4** Mörtelgussboden auf der in Phase 8 eingebrachten Hypokaustverfüllung (wohl identisch mit **3**; vgl. Beil. 2F,5). **5** Schwellbalken der Fachwerkwand MR 100 (vgl. Abb. 135,3). **6** Funktional nicht näher bestimmbare Konstruktion aus Spolien.*

Raum A	Raum B	Raum C (Korridor)	Raum D	Raum E	Heidenlochstrasse
• Bau von MR 13 (auf MR 21) = Streifenfundament für Fachwerkwand • Zumauerung des Durchlasses zu Raum B (in MR 4) • Reparatur Obergeschoss (Fachwerk) • Feuerstelle F3 (Abb. 132) • Feuerstelle F4 (Beil. 2E,12.13.14; Abb. 134)	• Gehhorizont auf ausplaniertem Fachwerkschutt (Abb. 37; 179,2; 180,2) • Einbau von Backofen BO2 (?) • Aufstocken MR 9 (Abb. 139)	• Bau MR 3C (aus Spolien)	• Seit Phase 8 aufgegeben und mit Schutt verfüllt	• Die strassenseitige Begrenzung wird von einem mithilfe von Spolien errichteten Streifenfundament (MR 22) gebildet (Abb. 141)	• Einfassung des Strassengrabens mit hochkant gestellten Steinplatten (Abb. 188) • Akkumulation von Abfällen im Strassengraben (Abb. 189)
• Türschwelle und Türgewände auf MR 13 (Abb. 130) • Mörtelgussboden auf dem verfüllten Hypokaust im *cubiculum* (Beil. 2F,4.5) • Lehmig-kiesiger Gehhorizont auf dem verfüllten Hypokaust im *cubiculum* (Beil. 2G,6) • Einbau eines Separee: Trennwand aus Fachwerk (MR 100) im Bereich des ehemaligen *cubiculum* (Beil. 2G,7B; Abb. 126,5; 135,3) • Geh- und Schmutzhorizont auf dem ausplanierten Lehmfachwerkschutt im vorderen Raumteil (Abb. 152,7B) • Funktional nicht näher interpretierbare Spolienkonstruktion (Abb. 126,6)	• Ausbruch einer Nische aus MR 4 (Abb. 183)	• Gehhorizont (Abb. 140)			
• Ensemble A9 (Abb. 137) Datierung: um 50/60 und um 200–250 n. Chr.					

Abb. 127: Augst BL, Insula 5/9 (Grabungen 1965–1967.052 und 2002.063). Synoptische Darstellung der Befunde und Fundensembles der Phase 9.

verfüllten Hypokaust im ehemaligen *cubiculum* wird eine Binnenwand aus Lehmfachwerk (MR 100) errichtet. In Raum B diente der in Phase 8 ausplanierte Fachwerkschutt in der Folge als Gehhorizont.

Raum A

Befund

Die Hangstützmauer (MR 1A–MR 1C) sowie die Mauern 2 und 4 scheinen das am Ende von Phase 7 eingetretene Schadensereignis mehr oder weniger unversehrt überstanden zu haben; jedenfalls finden sich am aufgehenden Mauerwerk keinerlei Indizien, die auf Reparaturen hinweisen würden.

Hingegen wurde der noch in Phase 7 benutzte Durchgang in Mauer 4 aufgegeben und zugemauert[283]. Auffallend ist die vergleichsweise gute Qualität des eingesetzten Mauerstücks. Die Zumauerung des Durchgangs zeigt, dass die Räume A und B ab Phase 9 keine funktionale Einheit mehr bildeten, sondern offensichtlich von verschiedenen Personengruppen bewohnt wurden.

283 Die Aufhebung des Durchgangs kann kaum zu einem früheren Zeitpunkt erfolgt sein, weil der Hypokaust in Raum A während Phase 7 noch von Raum B aus beheizt wurde.



Abb. 128: Augst BL, Insula 5/9, Raum A (Grabung 2002.063). Blick an die in Phase 9 errichtete und vom Brandschutt der Phase 11 überdeckte MR 13. Bei MR 13 handelt es sich um das in bereits abgebaute Planien der Phase 8 eingetiefte, in der Antike nicht sichtbare Streifenfundament einer Fachwerkwand, die ab Phase 9 die strassenseitige Begrenzung von Raum A bildete. Die Unterkante von MR 13 liegt auf der Abbruchkrone (?) der in Phase 6 errichteten und am Ende von Phase 7 zerstörten MR 21. Die teilweise freigelegte schwarze Holzkohleschicht stammt von dem am Ende von Phase 7 verbrannten Bretterboden (vgl. Beil. 2H,8; Abb. 71), der von den in Phase 8 eingebrachten Planien (vorne links) überlagert wird. Diese wurden bei den Konservierungsarbeiten im Jahr 1967 ohne archäologische Dokumentation abgetragen (vgl. auch Beil. 2H,10). Das Gehniveau während der Phasen 9–11 dürfte in etwa auf der Höhe der Krone von MR 13 (OK 288,00 m ü. M.) gelegen haben. Dies korrespondiert recht gut mit der Oberkante der Planien im hinteren Teil von Raum A (vgl. Beil. 2E,9), sowie mit den Höhenkoten der Feuerstellen F3 und F5 und des Schwellbalkens der Fachwerkwand MR 100 im ehemaligen cubiculum *(vgl. Abb. 135,3).*



Bauliche Veränderungen liessen sich auch an Mauer 21 beobachten, die den Raum A seit der Verkürzung in Phase 6 gegen die Neuntürmestrasse hin abschloss: Wie Abbildung 128 zeigt, wurde sie in Phase 9 teilweise abgebrochen und in der Folge durch die massive und etwas grobschlächtig wirkende Mauer 13 ersetzt. Es handelt sich dabei sicher

Abb. 129: Augst BL, Insula 5/9, Raum A (Grabung 2002.063). Blick an den Eckverband der in Phase 5 errichteten MR 2 (links) und der in Phase 9 errichteten MR 13 (rechts). MR 13 bildete während der Phasen 9–11 die strassenseitige Begrenzung von Raum A.





*Abb. 130: Augst BL, Insula 5/9, Raum A (Grabung 2002.063). Detailbeobachtungen beim Eckverband von MR 2 und MR 13. **A** Als Türschwelle verbaute Spolie aus Sandstein. Die Spolie liegt nicht direkt auf der glatt abgestrichenen Krone von MR 13 (vgl. **B**), sondern auf einer dünnen Lehmschicht. Es könnte sich dabei um eine Ausgleichsschicht handeln oder darauf hindeuten, dass die Türschwelle erst später, in Phase 10 oder 11 verlegt wurde. Die ursprünglich mit einer durchgehenden Nut für die Aufnahme einer Bretterwand versehene Oberseite wurde teilweise abgearbeitet, sodass der Sandsteinquader als Anschlag für eine Holztüre verwendet werden konnte. Die Drehpfanne der Türe (vgl. Abb. 126) wurde erst später freigelegt. **B** In der in Phase 9 zum Teil abgeschroteten MR 2 (links) verbauter Kalktuffquader. Die Abarbeitungsspuren zeigen, dass die Spolie offensichtlich als Anschlag einer Holztüre verwendet wurde (vgl. auch **A**).*





*Abb. 131: Augst BL, Insula 5/9, Raum A (Grabung 1965–1967.052). Detailaufsichten auf MR 13 (Phasen 9–11). **A** Reste des verkohlten Schwellbalkens auf der Oberkante von MR 13. Die Lage des Schwellbalkens deutet darauf hin, dass die Fachwerkwand bei der Brandkatastrophe am Ende von Phase 11 nach Süden (d. h. in Richtung Neuntürmestrasse) gekippt ist. **B** Blick auf die glatt abgestrichene Oberkante der als Streifenfundament einer Fachwerkwand interpretierten MR 13.*



Abb. 132: Augst BL, Insula 5/9, Raum A (Grabung 1965–1967.052). Blick auf die Überreste der mit einem Herdgalgenstein ausgestatteten Feuerstelle F3 aus Phase 9. Sie liegt auf dem bei der Zerstörung am Ende von Phase 7 angefallenen, in Phase 8 ausplanierten Fachwerkschutt (vgl. auch Abb. 155). Links die Westwand von Raum A (MR 4). Im Hintergrund der bei der Zerstörung am Ende von Phase 11 angefallene Brandschutt. Die über der Feuerstelle F3 bzw. unter dem Brandschutt liegenden Schmutzhorizonte der Phasen 10 und 11 sind nur andeutungsweise zu erkennen.

um das Streifenfundament für eine Fachwerkwand (vgl. unten). Die solide Bauweise lässt zudem vermuten, dass Mauer 13 gleichzeitig auch als Stützmauer diente[284]. Die Kote der Türschwelle zeigt nämlich, dass das (auf ausplaniertem Schutt liegende?) Gehniveau im Bereich der Neuntürmestrasse ab Phase 9 wesentlich höher lag als in den früheren Phasen.

Wie die Abbildungen 129 und 130 zeigen, wurden beim Einbau der Türschwelle auch Teile von Mauer 2 abgebrochen und ein Türgewände eingesetzt. Es handelt sich dabei um eine Spolie aus Kalktuff, die so zugerichtet wurde, dass deren Kante mit dem Anschlag der Türschwelle übereinstimmt, was wiederum die Existenz einer nach innen auf-

284 Vgl. Rychener, Tagebuch, S. 10.



Abb. 133: Augst BL, Insula 5/9, Raum A (Grabung 1965–1967.052). Blick an die aus der Hangstützmauer (MR 1C) ausgebrochene Feuerstelle F4 der Phase 9 zwischen MR 7 (Bildmitte) und MR 2 (rechts aussen). Die Oberkante des damaligen Gehhorizonts lag in etwa auf der Höhe der Oberkante der bankettartigen Vormauerung (MR 17) aus Phase 6 (vgl. Beil. 2E,9). Zwischen MR 4 (links aussen) und MR 7 sind noch Reste des Brandschutts aus Phase 11 zu erkennen, rechts aussen der ebenfalls mit Schutt verfüllte, archäologisch nicht untersuchte Raum E.

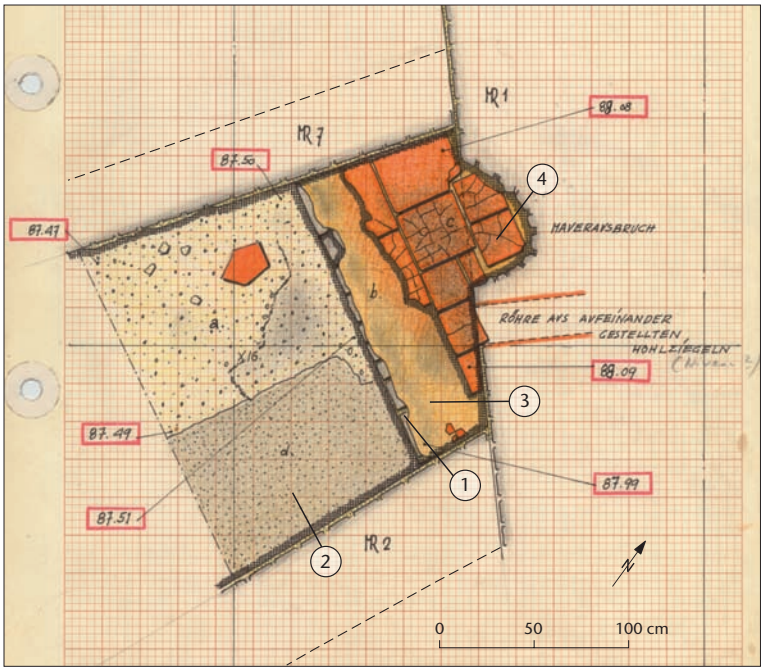


Abb. 134: Augst BL, Insula 5/9, Raum A (Grabung 1965–1967.052). Planum mit der aus der Hangstützmauer (MR 1C) ausgeschroteten Feuerstelle F4 (vgl. auch Abb. 133). M. 1:40. ***1*** *bankettartige Vormauerung (MR 17) aus Phase 6 (vgl. Beil. 2E).* ***2*** *Mörtelgussboden aus Phase 7, wurde während der Phasen 9–11 nicht mehr benutzt (vgl. Beil. 2E,8.9).* ***3*** *Ausgleichsschicht aus Lehm für Feuerstelle F4 (Phasen 9–11 = Beil. 2E,12).* ***4*** *Feuerplatte aus* pilae*-Platten der Feuerstelle F4 (Phasen 9–11 = Beil. 2E,13).*

schwingenden Holztüre nahelegt[285]. Das in der Türschwelle sichtbare quadratische Loch könnte eine Art Stopper in Form eines Holzknebels enthalten haben[286]. Die rund 0,85 m breite Türe gehörte – wie die Reste eines verbrannten Balkens und die glatt abgestrichene Mauerkrone sowie der Lehmschutt aus Phase 11 zeigen – zu einer Fachwerkwand, die auf Mauer 13 stand (Abb. 131)[287].

An der Türschwelle lässt sich schliesslich auch ablesen, dass das Gehniveau ab Phase 9 in etwa auf 288,50 m ü. M. lag und somit gut 0,9 m höher als vor der Zerstörung am Ende von Phase 7, was wiederum belegt, dass bei der Zerstörung am Ende von Phase 7 beträchtliche Mengen an Fachwerkschutt angefallen sind. Ein Indiz für die Existenz eines Gehhorizonts auf dem ausplanierten Fachwerkschutt im vorderen Teil von Raum A bildet die mit einem Galgenstein versehene Feuerstelle F3 (Abb. 132). Ob die weiter südlich gefundenen Spolien in einem konstruktiven Zusammenhang mit der Feuerstelle F3 stehen, konnte nicht geklärt werden[288].

Die Zuweisung der Feuerstelle zu Phase 9 darf als gesichert gelten, obschon die Oberkante des noch *in situ* angetroffenen Galgensteines (288,02 m ü. M.) und die Feuerplatte (287,94 m ü. M.) der später zum Teil abgeräumten Feuerstelle F3 leicht höher liegen als die Feuerplatte der jüngeren Feuerstelle F5 (287,82 m ü. M.)[289].

285 Rychener, Tagebuch, S. 10 f. Vgl. ferner auch Bauhofer, Tagebuch, S. 11 und S. 8: «Die Türzarge … weist etwa 30 cm ab der OK der Buntsandsteinschwelle Hitzeeinwirkung auf. Die Oberfläche des Steines ist grau verbrannt und löst sich ab». – Die Türschwelle wurde bereits 1967 angeschnitten. Vgl. Dokumentation der Grabung 1965–1967.052, Detail 16 und Foto 220. Bemerkenswert ist, dass die in den Jahren 1967 und 2002 festgehaltenen Höhenkoten lediglich 2 cm voneinander abweichen.

286 Vgl. dazu etwa Meier-Arendt 1983, 31 Abb. 19a–c.

287 In diesem Sinne auch Rychener 2003, 80 Abb. 21. – Vgl. dazu auch Bauhofer, Tagebuch, S. 10.

288 In der Dokumentation der Grabung 1965–1967.052 fand sich keine FK-Angabe, weswegen auch die Inv.- bzw. GSTL-Nr. nicht eruiert werden konnte.

289 Vgl. Dokumentation der Grabung 1965–1967.052, Detail 11. «Diese Herdstelle liegt nur wenige cm höher als das Vorfundament der MR 4. Sie entspricht zweifellos +/- einem früheren Gehniveau zu dieser, auch wenn ein Lehmboden nicht mit Sicherheit festzustellen ist. Der herabgefallene Brandschutt ist ebenfalls lehmig und brandig; vgl. Farbfoto 93 [= hier Abb. 132]. Die Trennlinie zw. rotgelbem Lehm und Aschehorizont in der Böschung (unter Schutzhaus) ist auffällig und könnte Brandschutt und Gebrauchsasche trennen». – Bei der Bewertung des am 13.05.1966 bzw. am 12.08.1966, also *vor* der Entdeckung der Feuerstelle F5 abgefassten Kommentars ist zu berücksichtigen, dass die stratigrafischen Schlüsselstellen damals noch nicht ergraben waren. Abgesehen von dem bei Berger 1977, 33 Anm. 22 erwähnten, auf ca. 287,80 m ü. M. in der Nähe des Backofens gefundenen Rest eines Mörtelbodens fanden sich keine klar fassbaren Überreste eines Fussbodens. – Aus heutiger Sicht handelt es sich bei der «Gebrauchsasche» höchstwahrscheinlich um den *mit dem Abraum* der Feuerstelle F5 durchsetzten *Gehhorizont* der Phasen 10 und 11. Dieser überlagerte die aufgelassene Feuerstelle F3 und wurde am Ende von Phase 11 vom Brandschutt überdeckt. Vgl. dazu auch Beil. 2F,6; 2G,8 und 2E,9 sowie die Bemerkungen zum Fundmaterial, unten S. 135 f. – Die geringe Höhendifferenz zwischen dem auf 287,70 m ü. M. liegenden Vorfundament von MR 4 und der auf 287,94 m ü. M. liegenden Feuerstelle F3 lässt sich mit der während der Phasen 5–7 kaum gewachsenen Stratigrafie erklären (vgl. etwa Beil. 2E). Dafür spricht schliesslich auch, dass ein Teil der Waffenfunde lediglich 10 cm über dem Vorfundament von MR 4 gefunden wurde (vgl. die Einmessungen der mit FK X06535 geborgenen Objekte auf Abb. 8).



Abb. 135: Augst BL, Insula 5/9, Raum A (Grabung 1965–1967.052). Aufsicht mit den Befunden der Phasen 9–11 im Bereich des ehemaligen cubiculum. *M. 1:40.* ***1*** *Reste des Mörtelbodens auf der Verfüllung des Hypokausts (= Beil. 2G,6).* ***2*** *während der Phasen 9–11 entstandener Schmutzhorizont (= Beil. 2G,8).* ***3*** *teilweise rekonstruiertes Negativ des Schwellbalkens der Fachwerkwand MR 100 (= Beil. 2G,7B).* ***4*** *Weisskalkschicht «mit Glattstrich» (= Beil. 2G,7A).* ***5*** *an die Fachwerkwand MR 100 anstossender Backofen BO1 (vgl. auch Abb. 151–153).* ***6*** *Standspuren der Milchkochtöpfe* ***364*** *und* ***365****.* ***7*** *beim Abbau entstandene Böschung zwischen dem Schmutzhorizont (****2****) und einem künstlichen Planum im Brandschutt (****8****).* ***8*** *beim Abbau des Brandschutts entstandenes Planum (vgl. auch Abb. 168,A).*

Wohl ebenfalls der Phase 9 zuzuweisen ist die auf der älteren, bankartigen Mauer 17 errichtete Feuerstelle F4, die gewisse Assoziationen zum Typus der auf einem gemauerten Sockel errichteten Feuerstellen weckt (Abb. 133; 134)[290]. Die Feuerstelle F4 besitzt zudem einen aus der Hangstützmauer 1C herausgeschroteten, kaminartigen Rauchabzug und eine Feuerplatte aus *pilae*-Platten. Letztere stammen sicher aus dem Hypokaust im *cubiculum*, was wiederum dafür spricht, dass zwischen der Ausplünderung der Hypokaustinstallationen in Phase 8 und dem Bau der Feuerstelle F4 nicht sehr viel Zeit verstrichen sein kann. Der gute Erhaltungszustand der Feuerstelle F4 zeigt, dass sie bis zur endgültigen Zerstörung von Raum A am Ende der Phase 11 benutzt worden ist. Der zeitgenössische Gehhorizont der Phasen 9–11 entsprach in etwa der Oberkante des auf dem älteren Mörtelgussboden liegenden, in Phase 8 ausplanierten Fachwerkschutts.

290 Vgl. etwa die an den Befund im Vettierhaus in Pompeji angelehnte Rekonstruktion im Römerhaus (Martin 1987, Abb. 11). Eine dreidimensionale Skizze des Originalbefundes findet sich u. a. bei Mau 1908, Abb. 140 und in Kraus/von Matt 1973, Abb. 203 (Abbildung eines Befundes in Herculaneum) sowie in Bastet 1975, Abb. 195 (Haus des Lucretius Fronto) und Weeber 1995, 220. Zu einem entsprechenden Nachweis in Vindonissa vgl. Pauli-Gabi 2004, 31 ff., bes. Anm. 93 (mit weiterführender Literatur) und ebd. Abb. 28.

Baumassnahmen und Instandstellungsarbeiten lassen sich schliesslich auch im Bereich des ehemaligen *cubiculum* beobachten. Hier wurde die in Phase 8 eingebrachte Verfüllung des Hypokausts mit einem dünnen Mörtelgussboden überdeckt, der auch die Abbruchkrone von Mauer 10 überzog (Abb. 135).

Im Westteil des *cubiculum* geht der Mörtelgussboden in einen stark mit Kies durchsetzten Lehmboden über. Die unterschiedliche Zusammensetzung der Sedimente ist wahrscheinlich darauf zurückzuführen, dass sich der sehr dünne Mörtelgussboden während der Benutzungszeit in den Phasen 9–11 oder später allmählich aufgelöst hat[291].

Die anhand einer ca. 6,5 cm dicken, nach Osten zunehmend dünner werdenden «Weisskalkschicht»[292] bzw. anhand des Balkennegativs erschliessbare Fachwerkwand (MR 100) bezeugt schliesslich, dass der Bereich des ehemaligen *cubiculum* offensichtlich vom restlichen Teil von Raum A abgetrennt worden ist. Wie Abbildung 135 zeigt, verlief der Schwellbalken der Fachwerkwand (MR 100) jedoch nicht parallel zur abgebrochenen Mauer 10, sondern nahm offensichtlich Bezug auf die damals noch mindestens 2 m hoch erhaltene Mauer 7 und schloss dort an deren Mauerhaupt an[293]. In diesem Separee liess sich auch der während der Nutzung in den Phasen 9–11 entstandene, mit Holzkohleflocken durchsetzte, leicht sandige «Schmutzhorizont» fassen[294].

Die Mächtigkeit und die Zusammensetzung des am Ende von Phase 11 angefallenen Brandschutts (vgl. unten) lassen überdies den Schluss zu, dass in Phase 9 auch das Obergeschoss wieder instand gestellt worden war. Dieses bestand sicher aus verputztem und bemaltem Lehmfachwerk und besass ein wahrscheinlich mit Ziegeln gedecktes Dach (vgl. dazu auch unten S. 348 f.).

Ensemble A9

Allgemeine Charakterisierung: Die Funde aus FK Z01677 stammen aus dem ausplanierten (Fachwerk-)Schutt im Bereich der Feuerstelle F4. Dieser überlagerte den Mörtelgussboden der Phase 7. Seine Oberkante entspricht mehr oder weniger dem Geh- und Nutzungshorizont in den Phasen 9–11. Aus dieser Schicht stammen wenige Funde (Abb. 136; 137): Einmal mehr fällt auf, dass das Ensemble nur Randscherben, Bodenscherben und verzierte Wandscherben umfasst: Der Fundkomplex wurde bei der Inventarisation offensichtlich ausgelesen (s. o. S. 25 ff.).

Datierung des Fundmaterials: Das Keramikspektrum ist durchmischt: Verschiedene Elemente wie die südgallische Terra Sigillata (**295** und o. Abb.) verweisen noch in die Zeit um 50/60 n. Chr. Zwei kleine Sigillata-Scherben (o. Abb.) stammen vielleicht aus Rheinzaberner Töpfereien und dürften nach der Mitte des 2. Jahrhunderts entstanden sein. Das übrige Fundmaterial mit dem Glanztonbecher **296** der Form Nb. 30 und den Tellern mit eingebogenem Rand **297** verweist in die Zeit um 200 n. Chr. Der Teller **298** mit verdicktem und gekehltem Rand besitzt eine schwarze Ton-

Form/Typ	RS	BS	WS	HE	Total	MIZ
TS, südgallisch						
Drag. 33	1				1	1
Drag. 27			1		1	1
Drag. 29	2				2	2
TS, ostgallisch						
Drag. 37	1		1		2	2
Glanztonkeramik						
Nb. 30	1				1	1
Form unbestimmt			2		2	1
Übrige Keramik						
Helltonige Gebrauchskeramik						
Becher, Typ unbestimmt		2			2	1
Teller mit eingebogenem Rand	5				5	3
Schüssel mit Knickwand			1		1	1
Balsamarium oder Amphoriskos	1				1	1
Grautonige Gebrauchskeramik						
Teller mit verdicktem Steilrand	1				1	1
Total Fragmente/MIZ	**12**	**2**	**5**		**19**	**15**

Abb. 136: Augst BL, Insula 5/9, Raum A (Grabung 1965–1967.052). Ensemble A9: Fundstatistik zur Keramik (FK Z01677). MIZ = RS, BS, WS, HE.

291 Eine Zerstörung durch die Hitze des heruntergestürzten Brandschuttes kann ausgeschlossen werden. Für Diskussionen in diesem Zusammenhang danken wir Philippe Rentzel, Basel.

292 Die Weisskalkschicht wurde bereits seinerzeit als «Überrest einer Wand» angesprochen. Vgl. Dokumentation der Grabung 1965–1967.052, Detail 18 (= Abb. 135) und Berger 1977, Abb. 3. Aus heutiger Sicht ist es naheliegend, dass es sich dabei um Asche oder um Branntkalk handelt, der bei der Zerstörung der Fachwerkwand (MR 100) am Ende von Phase 11 entstanden ist. Vgl. dazu auch den Beitrag von Ph. Rentzel, unten S. 235 ff.

293 Die morsche Krone der am Ende von Phase 7 zum Teil zerstörten MR 7 wurde bei der Freilegung entfernt und erst auf 289,39 m ü. M. dokumentiert und bei der Einrichtung des Schutzbaus abgebrochen.

294 Es handelt sich um die auch im Bereich von Backofen BO1 angetroffene Schicht, die L. Berger als «durch die Brandkatastrophe veränderte und angereicherte Kulturschicht» bezeichnet (Berger 1977, 34). Bei Ulbert 1974, Anm. 49 wird sie irrtümlicherweise noch als «reine Brandschicht» bezeichnet. Vgl. dazu auch Berger/Martin, Tagebuch, 25./26.10.1966. Wie unten S. 161 ff. näher ausgeführt wird, beinhaltet diese Schicht einerseits Fundmaterial, das während der Benützungszeit (= Phasen 9–11) abgelagert wurde, andererseits aber auch Objekte, die sich zum Zeitpunkt des Brandausbruches am Ende von Phase 11 im Erdgeschoss befanden. Besonders deutlich zeigen dies die Abdrücke der beiden vollständig erhaltenen «Milchkochtöpfe» **364** und **365**. Das eine Gefäss **(364)** wurde von Berger 1966, Nr. 14 noch als «Farb- oder Tintentopf» angesprochen.

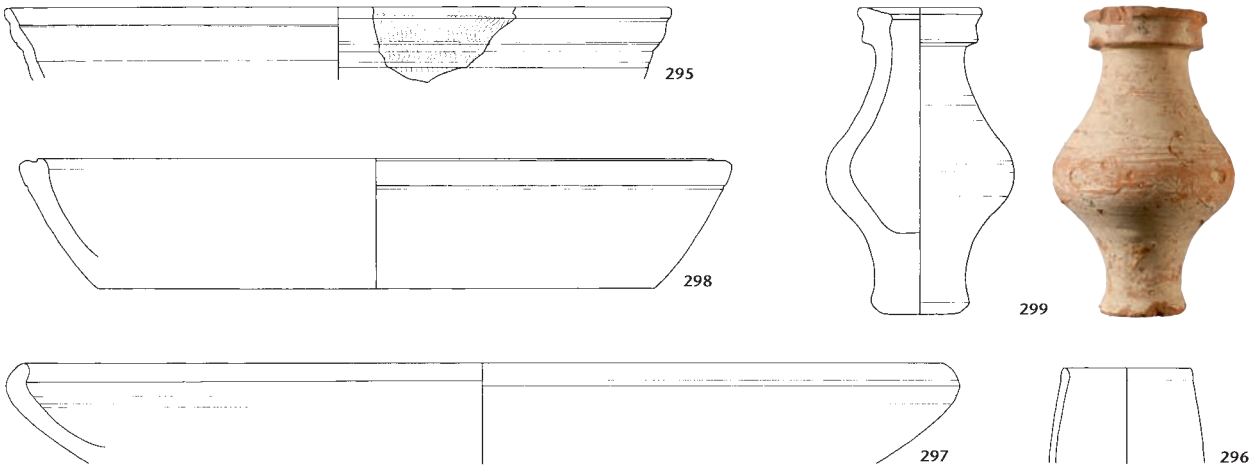


Abb. 137: Augst BL, Insula 5/9, Raum A (Grabung 1965–1967.052). Ensemble A9: Funde aus der Oberkante der in Phase 8 eingebrachten Planie bzw. aus dem Gehhorizont der Phase 9 (Beil. 2E,9). M. 1:3. ***295*** *Terra Sigillata,* ***296*** *Glanztonkeramik,* ***297–299*** *Gebrauchskeramik.*

oberfläche, ist aber im Kern orange. Solche Teller sind in die Zeit um 250 n. Chr. zu datieren. Sie kommen – in grauer Ausführung und mit gröberer Magerung – in Augusta Raurica auch noch später vor[295]. Die Randgestaltung des ganz erhaltenen Balsamariums **299** ist in dieser Ausprägung in Augst gut belegt. Es handelt sich um einen langlebigen Typus, der vom 1. bis ins 3. Jahrhundert vorkommt[296].

Katalog der Funde aus Ensemble A9 (Abb. 137)
Terra Sigillata
295 RS, TS (südgallisch), Schüssel Drag. 29. Relief weggebrochen. – Inv. 1967.14046, FK Z01677.

Übrige Keramik
296 RS, Glanztonbecher Nb. 30. Ton orange mit orangegrauem, stark glänzendem Überzug. – Inv. 1967.14048, FK Z01677.
297 3 RS, Teller mit eingebogenem Rand. Ton orange, innen und aussen rot überzogen. Innen leichter Goldglimmer. – Inv. 1967.14051a–c, FK Z01677.
298 RS, Teller mit verdicktem Steilrand und Rille. Ton orangebraun mit schwarzer Oberfläche. – Inv. 1967.14054, FK Z01677.
299 Ganz erhaltenes Balsamarium oder Amphoriskos. Ton orangebraun, mit weissem Schlickerüberzug. – Inv. 1967.14055, FK Z01677.

Nicht abgebildete Funde
Keramik
– Vgl. Abb. 136.

Die Tierknochen aus Ensemble A9 (Elisabeth Marti-Grädel)
Der einzige Fundkomplex (FK Z01677) lieferte 18 Knochenreste, von denen sechs bestimmt werden konnten. Belegt sind Hausschwein (n = 4), Schaf/Ziege (n = 1) und Haushuhn (n = 1) (vgl. Exkurs 2, Abb. 303).

Ensemble A9 weist zwei zeitliche Schwerpunkte auf (50/60 n. Chr. bzw. 200–250 n. Chr.). Die Tierknochen wurden daher nur beim räumlichen Vergleich berücksichtigt (vgl. Exkurs 2, unten S. 319 ff.).

Raum B: Befund
Wie bereits erwähnt, wurde der am Ende von Phase 7 angefallene Fachwerkschutt in Phase 8 *in situ* belassen und ausplaniert. Seine Oberkante entsprach in etwa dem Gehhorizont während der Phasen 9–11.

Die baulichen Veränderungen in Raum B umfassen die Zumauerung des in Raum A führenden Durchgangs sowie die Aufstockung von Mauer 9 (Abb. 138). Bei Mauer 9 handelt es sich ursprünglich um ein vielleicht bereits in Phase 6 errichtetes Streifenfundament, auf dem eine am Ende von Phase 7 zerstörte Fachwerkwand stand (Abb. 139). Der obere Teil der Mauer wurde wahrscheinlich erst in Phase 9 errichtet. Für diese Annahme sprechen die als Türschwelle verbaute Sandsteinspolie[297] sowie die Tatsache, dass deren Oberkante (288,12 m ü. M.) in etwa auf der Höhe des Gehniveaus im Inneren von Raum A liegt. Dass der Durchgang in Mauer 9 bis zur endgültigen Zerstörung am Ende von Phase 11 benutzt wurde, bezeugt der auf der Schwelle liegende Brandschutt der Phase 11.

Ob der anlässlich der Grabung 1965–1967.052 nur angeschnittene und anlässlich der Grabung 2002.063 unbeobachtet zerstörte Backofen BO2 bereits in Phase 9 oder erst später installiert wurde, ist nicht mehr eruierbar. Ebenfalls ungeklärt ist, in welcher Form das zwischen Mauer 9 und der Neuntürmestrasse liegende Areal in den Phasen 9–11 genutzt wurde.

295 Schucany u. a. 1999, 60; 155 Taf. 75,13 (Fundensemble D.11 Augst 10: 250–280 n. Chr.); Schatzmann (in Vorb.), Kat. 107.
296 Vgl. Fünfschilling 2006, 164; 320 Taf. 152,1822; Hufschmid 1996, 118 Taf. 4,65; 12,185.
297 Die Türschwelle wurde erst anlässlich der Grabung 2002.063 entdeckt. Vgl. Bauhofer, Tagebuch, S. 12. Dass MR 9 ein Türgewände besitzt, wird bereits von Berger/Martin, Tagebuch, 05.10.1966, festgehalten.



Abb. 138: Augst BL, Insula 5/9, Raum B (Grabung 1965–1967.052). Blick an MR 4 mit dem in Phase 9 zugemauerten Durchgang in Raum A. Am rechten Bildrand ist andeutungsweise noch MR 9 zu erkennen.







*Abb. 139: Augst BL, Insula 5/9, Raum B (Grabung 2002.063). Beobachtungen an der südlichen Abschlussmauer (MR 9) von Raum B. **A** Blick aus dem Inneren von Raum B. Die gestrichelte Linie markiert den in der Aufsicht (**B**) gut erkennbaren Absatz zwischen dem älteren Teil von MR 9 aus den Phasen 6 und 7. Wie der ausplanierte Fachwerklehm im Inneren von Raum B nahelegt, handelt es sich dabei wohl um ein Streifenfundament. Der obere Teil von MR 9 wurde wohl in Phase 9 errichtet. Für diese Annahme spricht die offensichtlich als Türschwelle verbaute Sandsteinspolie (Wolfsloch), deren Oberkante in etwa auf der Höhe des Gehniveaus im Inneren von Raum A liegt (vgl. Abb. 155). Gut erkennbar ist auch, dass die Oberkante der Türschwelle vom Brandschutt der Phase 11 (rechts) überlagert wird. Links im Bild die Ostwand von Raum B (MR 4). **B** Blick auf die (Abbruch-)Krone der an MR 4 (rechts) anstossenden MR 9. Der gut erkennbare Absatz markiert die Grenze zwischen dem älteren Teil von MR 4 aus Phase 6 und dem jüngeren Teil aus Phase 9. **C** Blick von Süden an die strassenseitige (südliche) Mauerschale von MR 4. Die gestrichelte Linie markiert den in der Aufsicht (**B**) gut erkennbaren Absatz zwischen dem älteren Teil von MR 9 aus den Phasen 6 und 7. Die Oberkante der Türschwelle (vgl. dazu **A**) wird vom Brandschutt der Phase 11 (rechts) überlagert. Rechts im Bild die Ostwand von Raum B (MR 4).*

Raum C

Im Bereich von Raum C lassen sich *Instandstellungsarbeiten* bei der aus Spolien errichteten Mauer 3C nachweisen (Abb. 140)[298]. Daraus kann mit einiger Sicherheit gefolgert wer-

298 Zur Problematik des Nachweises von Instandstellungsarbeiten am aufgehenden Mauerwerk vgl. u. a. Bastet 1975, Abb. 193; Ganschow 1989, 101; 118; Eschebach 1995, Taf. 56,5.6; 59,1 (verschiedene Techniken).2; 61,1.3 (Recycling von Tuffsäulen).4.5; 62,2 (Flickmauerwerk aus Bauschutt).



Abb. 140: Augst BL, Insula 5/9, Raum C (Grabung 1965–1967.052). Blick auf den jüngsten Gehhorizont im Korridor. Im Vordergrund die mithilfe von Spolien instand gestellte MR 3C, dahinter die Hangstützmauer (MR 1C links; MR 1A rechts). Im Hintergrund das über dem Backofen BO1 errichtete Schutzdach in Raum A.

den, dass in Phase 9 auch der Korridor in Raum C instand gestellt worden ist. Indirekt ablesen lässt sich dies am Umstand, dass seinerzeit unter dem später in Phase 12 angeschütteten Wall B keine Mauerschuttpakete angetroffen wurden.

Raum E

Im Rahmen der Grabung 2002.063 wurde die an die Ostwand (MR 2) von Raum A anschliessende Mauer 22 erneut angeschnitten[299]. Diese verläuft in etwa in der gleichen Flucht wie die südliche Abschlussmauer (MR 13) von Raum A und wurde offensichtlich mithilfe von Spolien errichtet. Wie Abbildung 141 zeigt, wurde vor dem Verlegen des mit einer (von der früheren Verwendung stammenden) Nut versehenen Sandsteinquaders auch Mauer 2 abgeschrotet. Die Russspuren auf der Oberkante des Sandsteinquaders deuten darauf hin, dass es sich dabei um das Streifenfundament einer vermutlich am Ende von Phase 11 abgebrannten Fachwerkwand resp. um eine Türschwelle gehandelt hat. Der Befund zeigt, dass in Phase 9 zumindest der strassenseitige Teil von Raum E offenbar wieder instand gestellt worden ist.

Der Eingang von Raum E liegt rund 0,2 m höher als derjenige von Raum A, was wiederum den Schluss zulässt, dass das Gehniveau im Bereich der Neuntürmestrasse auch noch in der Spätzeit ein Ost-West-Gefälle aufwies[300].



Abb. 141: Augst BL, Insula 5/9, Räume A und E (Grabung 2002.063). Blick auf den Eckverband von MR 13 (oben), MR 2 (Mitte) und MR 22 (unten). Die Abarbeitungen an der linken Seite des Buntsandsteinquaders (Pfeil) und an MR 2 deuten darauf hin, dass MR 22 erst während der Phasen 9–11 errichtet wurde. Möglicherweise ersetzte MR 22 – wie MR 13 in Raum A – einen älteren, am Ende von Phase 7 zerstörten Mauerzug. Rechts im Bild der am Ende von Phase 11 angefallene Brandschutt.

299 Die Oberkante von MR 22 wurde bereits 1967 freigelegt. Vgl. Dokumentation der Grabung 1965–1967.052, Detail 16. Den Hinweis verdanken wir Michael Vock.

300 Vgl. auch Bauhofer, Tagebuch, S. 13.

Phase 10: Einbau der Feuerstelle F5 und eines ersten Backofens (?)

Überblick

Phase 10 (Abb. 142; 143) umfasst kleinere bauliche Veränderungen im Inneren von Raum A, namentlich den Einbau der Feuerstelle F5.

Raum A

Befund

In Phase 10 wurde die Feuerstelle F3 aufgegeben und durch die Feuerstelle F5 abgelöst, die vor dem zugemauerten Durchgang zu Raum B installiert wurde (Abb. 144; 145).

Der linke Teil der Einfassung der Feuerstelle besteht aus zerbrochenen *pilae*- und *suspensura*-Platten (!), der rechte

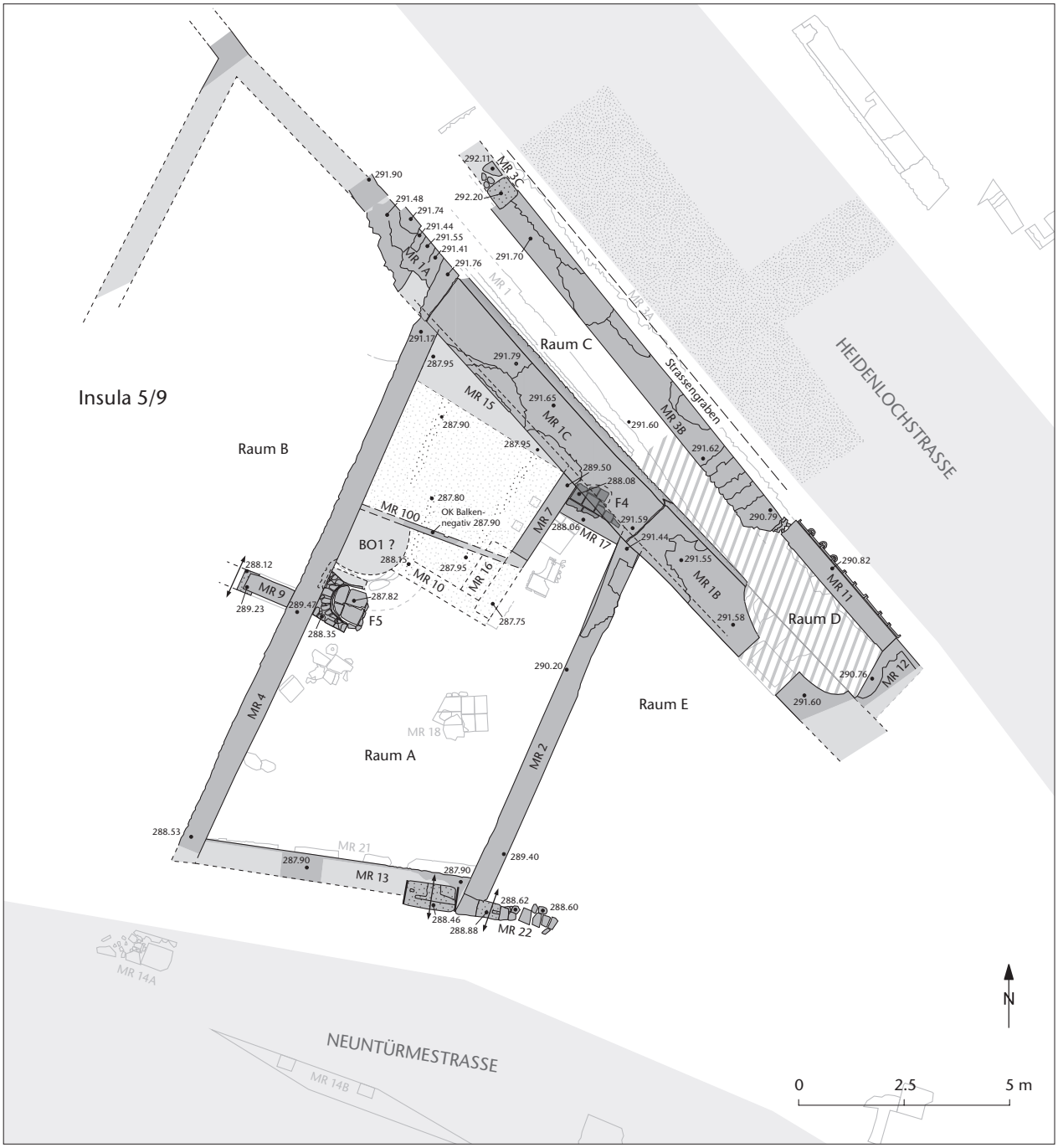


Abb. 142: Augst BL, Insula 5/9 (Grabungen 1965–1967.052 und 2002.063). Übersichtsplan mit den Befunden der Phase 10. M. 1:150.

Raum A	Raum B	Raum C (Korridor)	Raum D	Raum E	Heidenlochstrasse
• Feuerstelle F4 • Feuerstelle F5 • erster Backofen? (Vorgänger von Backofen BO1?)	• Einbau von Backofen BO2 (?)	• Gehhorizont (Abb. 140)	• Seit Phase 8 mit Schutt verfüllt	• Die strassenseitige Begrenzung wird von einem mithilfe von Spolien errichteten Streifenfundament (MR 22) gebildet (Abb. 141)	• Einfassung des Strassengrabens mit hochkant gestellten Steinplatten (Abb. 188)
• Ausschroten des Rauchabzugs für Feuerstelle F5 (Abb. 144; 151,5) • Schmutzhorizont (Beil. 2G,8) im Separee • Geh- und Schmutzhorizont auf dem ausplanierten Lehmfachwerkschutt im vorderen Raumteil (Abb. 152,7B)	• Ausbruch einer Nische aus MR 4 (Abb. 183)				• Akkumulation von Abfällen im Strassengraben (Abb. 189)
• Ensemble A10-F5 (Abb. 148) Datierung: um 250 n. Chr.	• Gehhorizont auf ausplaniertem Fachwerkschutt (Abb. 37; 179,2; 180,2)				

Abb. 143: Augst BL, Insula 5/9 (Grabungen 1965–1967.052 und 2002.063). Synoptische Darstellung der Befunde und Fundensembles der Phase 10.



Abb. 144: Augst BL, Insula 5/9, Raum A (Neu-Konservierung Backofen 2001.907). Übersichtsaufnahme vor der Sanierung des Backofens im Jahr 2001 mit der Feuerstelle F5 (links) und dem (in dieser Form vermutlich erst zu Beginn von Phase 11 errichteten) Backofen BO1 (rechts). Die über der Feuerstelle erkennbaren Abschrotungen an MR 4 waren bei der Auffindung noch mit Lehm verstrichen, was darauf hindeutet, dass es sich wahrscheinlich um einen Rauchabzug gehandelt hat (vgl. Abb. 145; 151,5). Gut zu erkennen ist auch die Baufuge in der Einfassung der Feuerstelle. Dies, die Orientierung und die Form des ausgeschroteten Kamins sowie die rot verfärbten Handquader deuten darauf hin, dass der rechte Teil der Einfassung der Feuerstelle in Phase 10 abgebrochen und neu aufgemauert worden ist, vielleicht im Zusammenhang mit dem Bau des archäologisch nicht sicher nachweisbaren Vorgängers von Backofen BO1.



Abb. 145: Augst BL, Insula 5/9, Raum A (Neu-Konservierung Backofen 2001. 907). Übersichtsaufnahme nach Abschluss der Neukonservierung im Jahr 2001 mit der Feuerstelle F5 (links) und dem Backofen BO1 (rechts). Die abgeschroteten Handquader von MR 4 wurden durch Hitzeeinwirkung rot verfärbt und sind morsch geworden (vgl. auch Abb. 144; 151,5).

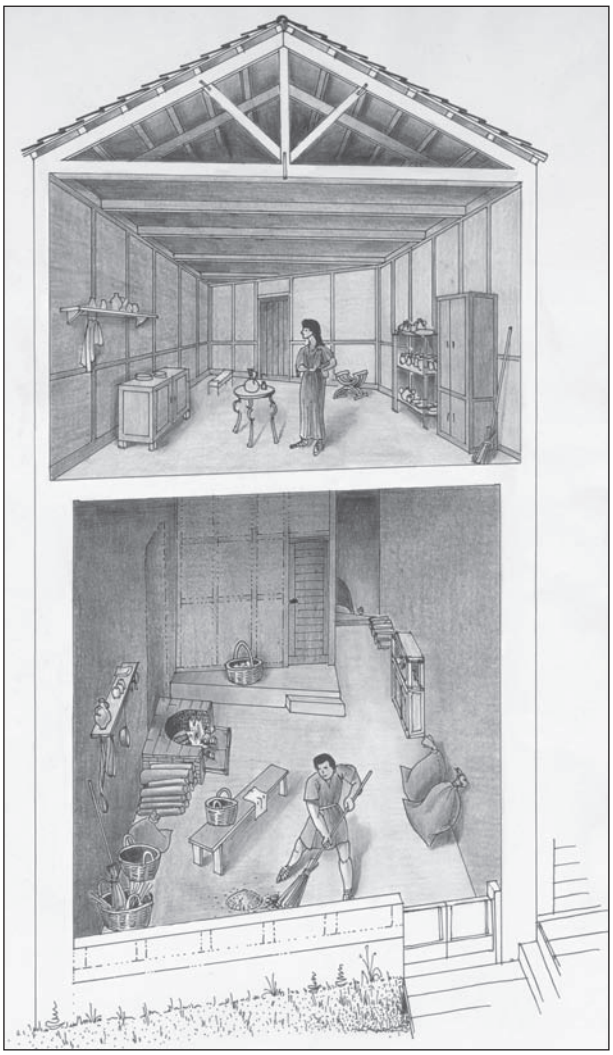


Abb. 146: Augst BL, Insula 5/9, Raum A (Grabungen 1965–1967.052 und 2002.063). Zeichnerische Rekonstruktion des Zustands des Erdgeschosses von Raum A in den Phasen 9 und 10. Im Bereich des verfüllten Hypokausts des cubiculum *wurde die Fachwerkwand MR 100 errichtet. Diese stand auf einem Mörtelgussboden und bildete zusammen mit der offensichtlich im Aufgehenden noch erhaltenen MR 7 eine Art Separee. Die von der am Ende von Phase 7 zerstörten MR 10 abweichende Flucht der Fachwerkwand erklärt sich aus dem Umstand, dass sie offensichtlich an das nördliche Türgewände von MR 7 anschloss. Das südliche Türgewände von MR 7 lag im Bereich des Eckverbandes mit MR 10 und dürfte am Ende von Phase 7 ebenfalls zerstört worden sein. Für diese Annahme spricht auch die wohl in Phase 8 entfernte Türschwelle des* cubiculum *(vgl. Abb. 118,B).*

vornehmlich aus grösseren Kalksteinquadern (Spolien?)[301]. Die deutlich erkennbare Stossfuge könnte dafür sprechen, dass der rechte Teil der Einfassung später repariert worden ist – dies möglicherweise im Zusammenhang mit dem Bau des Backofens BO1 in Phase 11 (s. u. S. 143 ff.). Der raumseitige Abschluss der halbrunden Einfassung wird von einem hochkant gestellten Sandsteinquader gebildet. Die Feuerplatte besteht aus zum Teil zugerichteten *pilae* und einer zersprungenen, aber vollständig erhaltenen *suspensura*-Platte. Feuerstelle F5 besass zudem einen kaminartigen und mit Lehm ausgekleideten Abzug. Er wurde sekundär aus dem eingesetzten Mauerstück im Durchgang zwischen den Räumen A und B herausgeschrotet, was wiederum bezeugt, dass der Durchgang schon in Phase 9 zugemauert worden ist.

Wie Abbildung 146 zeigt, hat sich der Zustand von Raum A zwischen Phase 9 und Phase 10 kaum verändert: Im Bereich des früheren *cubiculum* war bereits in Phase 9 eine Fachwerkwand (MR 100) errichtet worden, die zusammen mit der im Aufgehenden noch erhaltenen Mauer 7 eine Art Separee bildete; im vorderen Raumteil wurde vor dem zugemauerten Durchgang zwischen den Räumen A und B die Feuerstelle F5 installiert. Sie könnte – wie andere Befunde in der näheren Umgebung sowie neuzeitliche Beispiele nahelegen[302] – auch zum Auskühlen des Abraums aus einem (archäologisch nicht sicher nachgewiesenen) Vorgänger von Backofen BO1 gedient haben.

301 Berger 1977, 30. – Es handelt sich dabei um einen bereits in der Kaiserzeit geläufigen Typ (vgl. etwa Pauli-Gabi 2004, Abb. 24).

302 Wie etwa beim sogenannten Taglöhnerhaus von Dettingen. Vgl. Schweizerisches Freilichtmuseum Ballenberg (Hrsg.), Führer durch das Schweizerische Freilichtmuseum Ballenberg (Brienz 1992) 42 (leider ohne Abbildung).

Form/Typ	RS	BS	WS	HE	Total	MIZ
TS, ostgallisch						
Drag. 33	1				1	1
Übrige Keramik						
Helltonige Gebrauchskeramik						
Teller mit eingebogenem Rand	1				1	1
Schüssel mit profilierter Wandung			1		1	1
Kochtopf		1			1	1
Total Fragmente/MIZ	**2**	**1**	**1**		**4**	**4**

Abb. 147: Augst BL, Insula 5/9, Raum A (Grabung 1965–1967.052). Ensemble A10-F5: Fundstatistik zur Keramik (FK Z01663). MIZ = RS, BS, WS, HE.

Ensemble A10-F5

Allgemeine Charakterisierung: Die wenigen Funde aus FK Z01663 (Abb. 147; 148) stammen aus der aschigen Schicht in der Feuerstelle F5. Da nicht gesichert ist, ob die Feuerstelle nach dem Bau von Backofen BO1 weiterhin benutzt wurde, kann nicht ausgeschlossen werden, dass das Ensemble A10-F5 auch Funde umfasst, die erst während Phase 11 in den Boden gekommen sind. Das Ensemble lässt sich in die Zeit um die Mitte des 3. Jahrhunderts datieren und kann zeitlich nicht von den Funden aus der Ofenbank von Backofen BO1 (Ensemble A11-BO1) abgesetzt werden.

Datierung des Fundmaterials: Terra-Sigillata-Gefässe aus Rheinzaberner Produktion kommen um 160/170 n. Chr. auf den Markt und werden bis in die ersten Jahrzehnte des 4. Jahrhunderts in unsere Region verhandelt[303]. Das aus ostgallischer Produktion stammende Schälchen **300** der Form Drag. 33 darf aufgrund der weit ausladenden Gefässwandung in die Jahre nach 200 n. Chr. datiert werden. Dazu passt der Teller mit eingebogenem Rand **301**. Die Schüssel mit profilierter Wandung **302** weist in die Zeit kurz nach der Mitte des 3. Jahrhunderts und findet gute Übereinstimmungen im Keramikmaterial der Ensembles A11-EG **(427–432)** und A11-OG **(548–550)** aus dem Brandschutt des Erdgeschosses und des Obergeschosses in Raum A.

Der eiserne Kienspanhalter **303** mit runder Tülle und mit Angel für die Befestigung an der Wand oder an einem Pfosten zeigt, dass Raum A offensichtlich auch mit Kienspänen beleuchtet wurde[304].

Katalog der Funde aus Ensemble A10-F5 (Abb. 148)

Terra Sigillata

300 RS, TS (ostgallisch), Schälchen Drag. 33. – Inv. 1967.10277, FK Z01663.

Übrige Keramik

301 RS, Teller mit eingebogenem Rand. Ton orange. Auf der Aussenseite leichte Russspuren. – Inv. 1967.10280, FK Z01663.

302 WS, Schüssel mit profilierter Wandung. Ton hellbraun. – Inv. 1967.10278, FK Z01663.

Eisen

303 Kienspanhalter. Stark korrodierte Oberfläche und stark restauriert. – Inv. 1967.10282, FK Z01663.

Nicht abgebildete Funde

Keramik

– Vgl. Abb. 147.

Stein

– Ein kleiner, runder Stein, Spielstein? – Inv. 1967.10281, FK Z01663.

303 Schucany u. a. 1999, 30; 156. Vgl. hierzu auch Asal 2005, 73–79.

304 Kienspanhalter dieses Typs sind in Augusta Raurica recht geläufig. Vgl. dazu etwa Schwarz 1994, 54 Abb. 17; Fünfschilling 2006, 181. Vgl. ferner auch Ensemble A11-OG (Abb. 177,**683**).

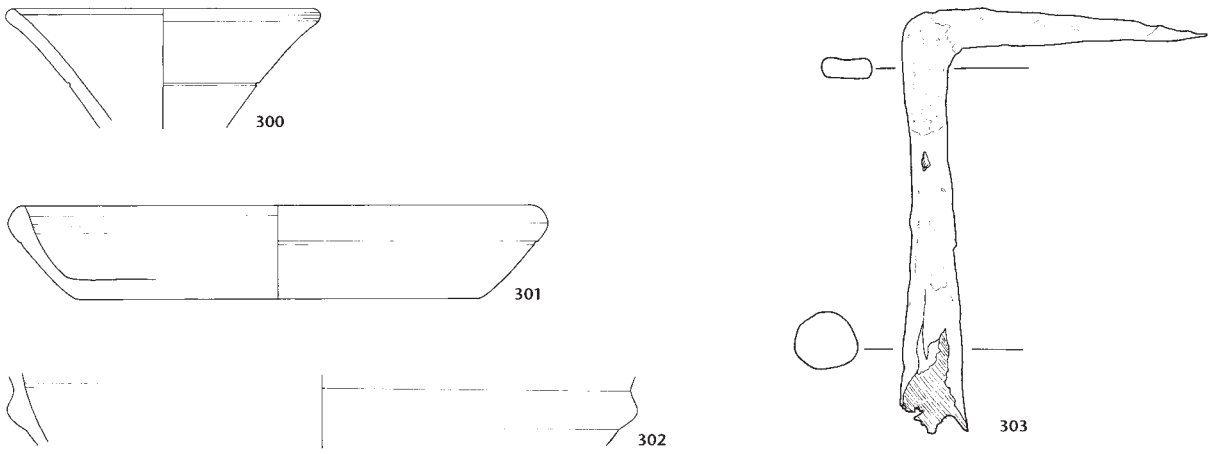


Abb. 148: Augst BL, Insula 5/9, Raum A (Grabung 1965–1967.052). Ensemble A10-F5: Funde aus der Ascheschicht in Feuerstelle F5. M. 1:3 (Eisen M. 1:2). ***300*** *Terra Sigillata,* ***301, 302*** *Gebrauchskeramik,* ***303*** *Eisen.*

Phase 11: Einbau von Backofen BO1 (Raum A) und von Backofen BO2 (Raum B)

Überblick

Phase 11 (Abb. 149; 150) umschreibt die letzten Aktivitäten vor der Zerstörung durch eine Brandkatastrophe. In den Räumen A und B wird je ein Backofen installiert.

Raum A

Befund

Zu Beginn von Phase 11 wurde Backofen BO1 errichtet (Abb. 151). Ludwig Berger stellt zu Recht fest, dass der vollständig erhaltene *in situ* konservierte Backofen «zu den eindrücklichsten Zeugnissen des römischen Alltags in Augusta Raurica gehört» und «im Gebiet nördlich der Alpen einzigartig

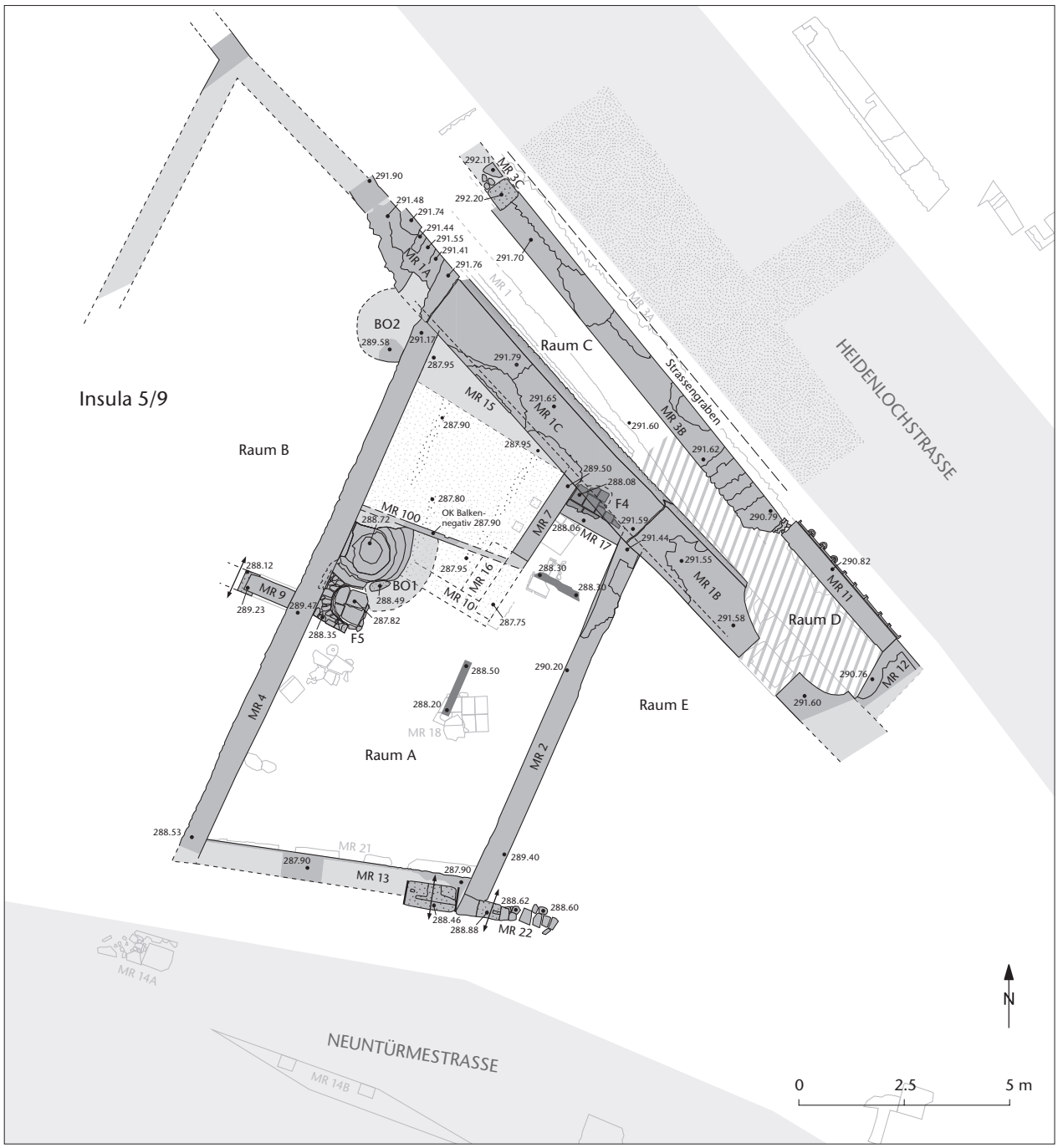


Abb. 149: Augst BL, Insula 5/9 (Grabungen 1965–1967.052 und 2002.063). Übersichtsplan mit den Befunden der Phase 11. M. 1:150.

Raum A	Raum B	Raum C (Korridor)	Raum D	Raum E	Heidenlochstrasse
• Umbau/Reparatur der Feuerstelle F5 • Einbau von Backofen BO1 (Beil. 2G,9–11) • Schmutzhorizont (Beil. 2G,8) im Separee • Geh- und Schmutzhorizont auf ausplaniertem Lehmfachwerkschutt im vorderen Raumteil (Abb. 152,7B)	• Backofen BO2 (Abb. 178) • Ausbruch einer Nische aus MR 4 (Abb. 183)	• Gehhorizont (Abb. 140)	• Seit Phase 8 aufgegeben und mit Schutt verfüllt	• Die strassenseitige Begrenzung wird von einem mithilfe von Spolien errichteten Streifenfundament (MR 22) gebildet (Abb. 141)	• Akkumulation von Abfällen im Strassengraben (Abb. 189)
endgültige Zerstörung durch Brandkatastrophe					
• Brandschutt des Obergeschosses (Beil. 2D,4; 2E,15; 2F,8B; 2G,15) • Brandschutt des Erdgeschosses (Beil. 2F,8A) • Im unteren Teil mit Brandschutt durchsetzter Mauerschutt; im unteren Bereich sicher Primärschutt (Beil. 2D,5; 2G,14; 2G,16; 2G,17) • vermutlich Überreste von verbrannten Einbauten oder Möbeln aus Holz (Beil. 2F,7) • Weisskalkschicht (Beil. 2G,7A; Abb. 135,4) • Teil einer im Verband umgekippten oder abgebrochenen Mauer (stammt wahrscheinlich von MR 10) (Beil. 2G,5) • Brandschutt der Fachwerkwand MR 13 (Abb. 131; 165)	• Brand- und Fachwerkschutt (Abb. 37; 178; 179,3; 180,2; 184)	• Keine zuweisbaren Schichten oder Strukturen		• Mauerschutt (Abb. 247)	• Reste des Dachversturzes im Strassengraben (Abb. 232)
• Ensemble A11-F4 (Abb. 171) Datierung: um 250–260/270 n. Chr. • Ensemble A11-BO1 (Abb. 159) Datierung: um 250–260/270 n. Chr. • Ensemble A11-GH (Abb. 173) Datierung: um 250–260/270 n. Chr. • Ensemble A11-EG (Abb. 175) Datierung: um 250–260/270 n. Chr. • Ensemble A11-OG (Abb. 177) Datierung: um 250–260/270 n. Chr.	• Ensemble B11 (Abb. 186) Datierung: ein einziges (!) Gefäss, das in die Zeit um 200–260/270 n. Chr. datiert wird.				• Ensemble HL11 (Abb. 191) Datierung: um 250–260/270 n. Chr.

Abb. 150: Augst BL, Insula 5/9 (Grabungen 1965–1967.052 und 2002.063). Synoptische Darstellung der Befunde und Fundensembles der Phase 11.

dasteht»[305]. Diese Feststellung hat auch vierzig Jahre nach der Entdeckung ihre Gültigkeit – dies, obschon zwischenzeitlich auch andernorts gut erhaltene Backöfen entdeckt worden sind[306].

Wie bereits erwähnt, ersetzte der Backofen BO1 möglicherweise einen in Phase 10 errichteten Vorgänger[307]. Für dessen Existenz sprechen folgende Indizien:

- die deutlich erkennbare Baufuge zwischen dem linken und dem rechten Teil der Einfassung der Feuerstelle F5 (Abb. 152, 8A.8B). Diese könnte darauf hindeuten, dass beim Abbruch des Vorgängers von Backofen BO1 auch die Feuerstelle F5 beschädigt und anschliessend repariert worden ist.

305 Berger 1977, 28. – Die bei Berger 1977, 28 Anm. 1 zusammengestellte Literatur ist nach wie vor grundlegend.

306 Weitere (z. T. nicht dem gleichen Typ entsprechende) Backöfen: Moosbrugger 1959/60, 15 Abb. 6; Petit 2005a, 131 f.; 185; Rabold u. a. 2000, 42; 88; Steidl 2008, Abb. 78; Petit 2005b, 178 (mit weiterer Literatur); Fehr 2003, 40 f. Vgl. ferner auch die unten in Anm. 904 angeführte Literatur.

307 Zum Nachweis solcher Reparaturen vgl. Sommer 1994, 131 Abb. 77.

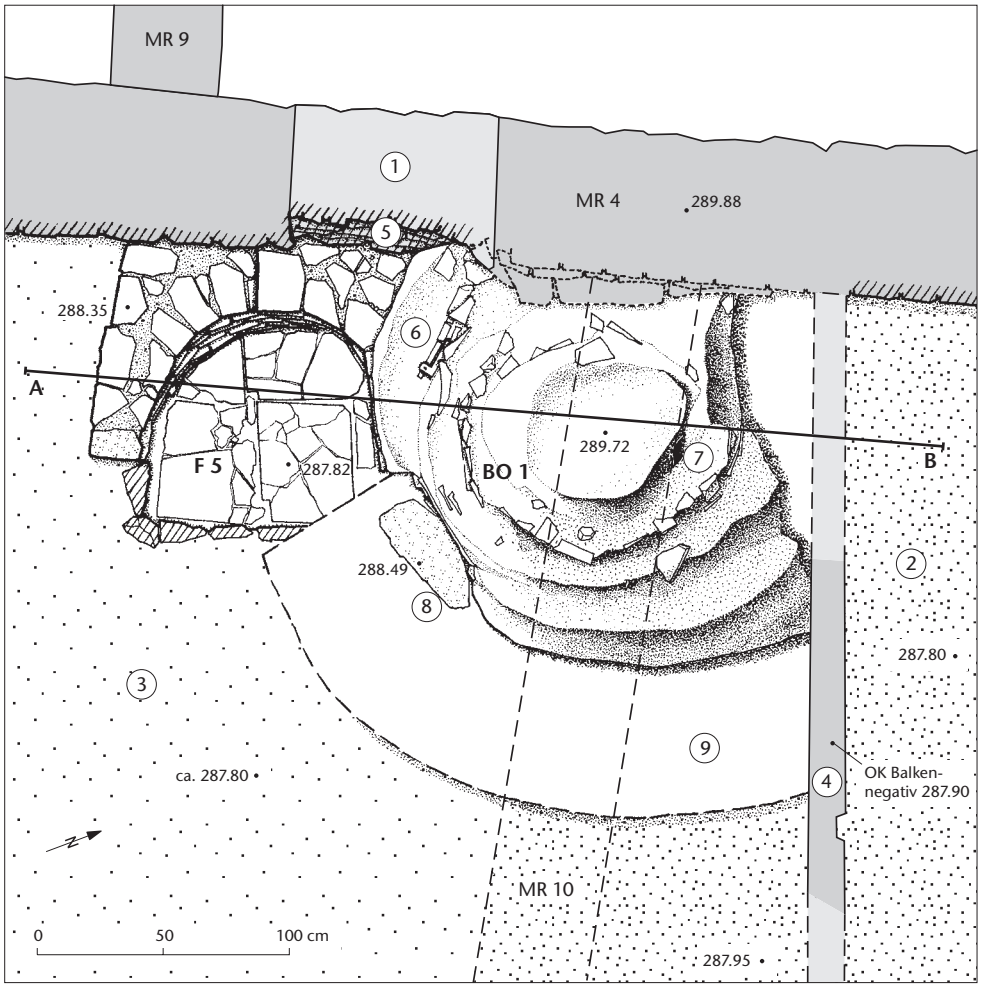


Abb. 151: Augst BL, Insula 5/9, Raum A (Grabung 1965–1967.052). Detailplan der Situation im Bereich der Feuerstelle F5 aus Phase 10 und des Backofens BO1 aus Phase 11 und der Verlauf von Idealprofil A–B (= Abb. 152). M. 1:30. ***1*** *In Phase 9 zugemauerter Durchgang zu Raum B.* ***2*** *Mörtelgussboden (Phasen 9–11) auf dem in Phase 8 verfüllten Hypokaust des* cubiculum. ***3*** *Gehhorizont der Phasen 9–11 auf dem in Phase 8 ausplanierten Fachwerkschutt.* ***4*** *Negativ des Schwellbalkens der Fachwerkwand MR 100 aus Phase 9.* ***5*** *aus MR 4 ausgeschroteter, mit Lehm verkleideter Rauchabzug (vgl. auch Abb. 144; 145).* ***6*** *Zugloch des Backofens BO1 mit Schieber* (tegula); ***7*** *Rauchabzug des Backofens BO1* (imbrex). ***8*** *Sandsteinplatte vor der Öffnung des Backofens BO1.* ***9*** *Ofenbank.*

- Die Feuerplatte von Backofen BO1 lag auf «Schutt»[308]. Wie Abbildung 152,9B zeigt, erreicht dieses «Schuttpaket» im westlich von Mauer 10 liegenden Teil des trocken gemauerten Sockels von Backofen BO1 eine Mächtigkeit von fast 70 cm[309]. Leider konnte bei der Neu-Konservierung im Jahr 2001 nicht abgeklärt werden, ob es sich bei diesem «Schutt» tatsächlich um die Überreste eines älteren, abgebrochenen Backofens handelte oder lediglich um Füllmaterial[310].
- Gut zu erkennen ist ferner, dass das «Schuttpaket» und die Substruktion von Backofen BO1 frühestens am Ende von Phase 9 eingebracht worden sein können: Beide Strukturen liegen nämlich auf dem in Phase 9 über der Hypokaustverfüllung eingebrachten Mörtelgussboden resp. auf dem darauf liegenden Schmutzhorizont[311].
- Auf der Innenseite der Kuppel von Backofen BO1 ist eine deutliche Baufuge zu erkennen. Da es sich nicht um einen Setzungsriss handelt, ist davon auszugehen, dass beim Bau von Backofen BO1 Teile eines älteren Backofens verwendet wurden.

Auf den ersten Blick etwas widersprüchlich ist die Situation in dem unmittelbar an den Sockel von Backofen BO1 anschliessenden Teil von Profil 10. Aus ihm geht hervor,

308 Vgl. Berger/Martin, Tagebuch, 23.05.1967: «Unter den Bodenplatten [i. e. unter der Feuerplatte] 8–10 cm Weisskalk mit grossen Ziegelbrocken, darunter Bauschutt, sandig mörtelig mit Kalksteinfragmenten und Ziegelfragmenten: Probe des Weisskalkes zuhanden von Frau Prof. Schmid entnommen». Ob die im Inventar des RMA nicht registrierte Probe seinerzeit analysiert worden ist, konnte nicht eruiert werden. – Der mit FK X04670 abgebaute «Schutt unter der Feuerplatte» war offenbar steril. Vgl. dazu auch Berger 1977, 32 und Hürbin 1994, 24, der explizit darauf hinweist, dass der Unterbau eines Backofens vorzugsweise mit «hitzespeicherndem Material» verfüllt werden sollte.

309 Der trocken gemauerte Kalksteinsockel des Backofens ist heute durch die vorgemauerte Bank verdeckt, kann aber aufgrund von Fotografien erschlossen werden. Vgl. Dokumentation der Grabung 1965–1967.052, Foto 222; 222a; 228 sowie Berger/Martin, Tagebuch, 23./24.05.1967.

310 Die Konservierungsarbeiten beschränkten sich auf den Backofen BO1 und auf die Feuerstelle F5 (vgl. Offers/Furger 2002).

311 Es kann sich somit keinesfalls um den bei den Aufräumarbeiten in Phase 8 *in situ* belassenen Schutt der Phase 7 handeln.

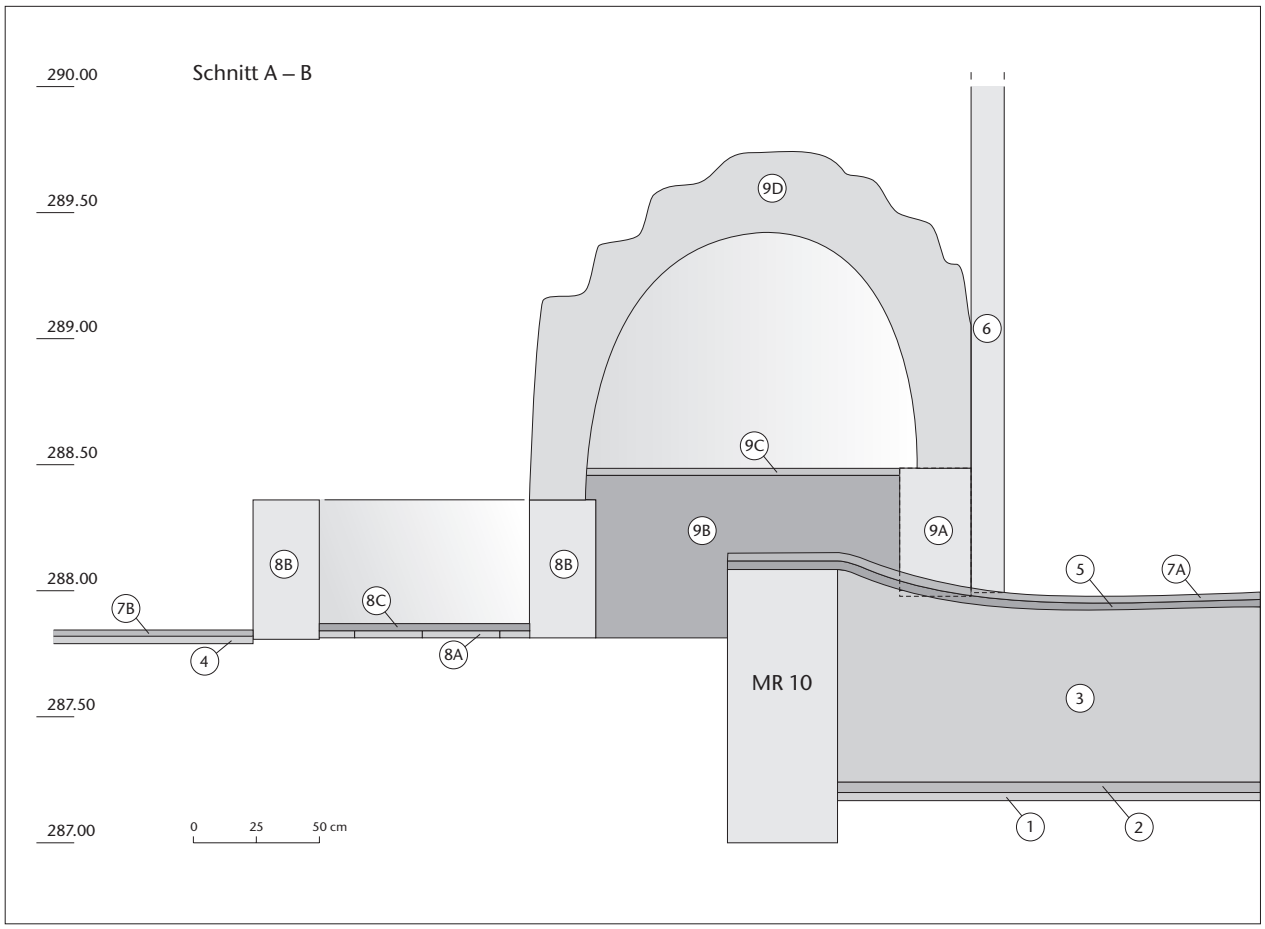


Abb. 152: Augst BL, Insula 5/9, Raum A (Grabung 1965–1967.052). Rekonstruiertes Idealprofil A–B mit der Situation im Bereich der Feuerstelle F5 aus Phase 10 und des Backofens BO1 aus Phase 11. Vgl. auch Abb. 151; 154; 155 sowie Beil. 2G. M. 1:30. ***1*** *Unterboden des Hypokausts im* cubiculum *(Phasen 6 und 7).* ***2*** *Asche- und Holzkohleablagerungen auf dem Unterboden des Hypokausts im* cubiculum *(Phase 7).* ***3*** *Verfüllung des Hypokausts (Phase 8); besteht aus nach der ersten Zerstörung am Ende von Phase 7 angefallenem Mauerschutt.* ***4*** *bei der ersten Zerstörung angefallener, ausplanierter Fachwerkschutt (Phase 8).* ***5*** *Mörtelgussboden bzw. lehmig-kiesiger Gehhorizont auf Hypokaustverfüllung (Phase 8).* ***6*** *Fachwerkwand MR 100 (Phase 9).* ***7A*** *Schmutzhorizont (Phasen 9–11) auf Mörtelgussboden (Phase 9).* ***7B*** *Schmutzhorizont (Phasen 9–11) auf ausplaniertem Fachwerkschutt (Phase 8).* ***8A*** *Feuerplatte der Feuerstelle F5 (Phasen 9 und 10).* ***8B*** *In der Einfassung der Feuerstelle F5 verbaute Sandsteinquader (Phasen 9 und 10).* ***8C*** *Ascheschicht in Feuerstelle F5 (Phase 10).* ***9A*** *Fundament von Backofen BO1 (Kalkbruchsteine; Bindemittel = Lehm).* ***9B*** *aus Kalkbruchsteinen, Ziegelfragmenten, Lehmbrocken und Weisskalk bestehende Substruktion der Feuerplatte (Abbruchschutt eines älteren Backofens?).* ***9C*** *Feuerplatte von Backofen BO1.* ***9D*** *Kuppel von Backofen BO1.*

dass der während der Phasen 9–11 abgelagerte Schmutzhorizont (Beil. 2G,8) *über* die «Weisskalkschicht» (Beil. 2G,7A) und über das Negativ des Schwellbalkens (Beil. 2G,7B) hinwegzieht[312]. Das würde heissen, dass die in Phase 9 errichtete Fachwerkwand (MR 100) bereits abgebrochen war, als der Backofen BO1 gebaut wurde. Schon Ludwig Berger wies aber darauf hin, dass sich auf der – heute durch die rekonstruierte Fachwerkwand verdeckten – geraden Rückwand von Backofen BO1 noch das Negativ eines Holzbalkens abzeichnete (Abb. 152,6; 153,1)[313]. Dieser Sachverhalt wurde seinerzeit auch von Rudolf Laur-Belart auf einer Skizze festgehalten (Abb. 154,7). Der Detailbefund zeigt, dass die Fachwerkwand des Separees zum Zeitpunkt des Baus von Backofen BO1 bereits stand; der Backofen BO1 ist folglich in der Ecke zwischen der Fachwerkwand (MR 100) und Mauer 4 installiert worden.

L. Berger hielt seinerzeit auch fest, dass «die Konstruktion des Ofenunterbaus noch nicht vollständig geklärt ist» und «dass die Rekonstruktion der [Ofen-]Bank augenscheinlich auf dem roten Lehmschutt, der im Umkreis des Ofens, aber auch anderswo in der Taberne reichlich angetroffen worden ist», basierte[314].

312 Vgl. auch Berger/Martin, Tagebuch, 24.05.1967, wo diese Schicht ebenfalls als «ein – evtl. mit dem Backofen [BO1] gleichzeitiges – Gehniveau» angesprochen wird.

313 Berger 1977, 29 f., bes. Anm. 7 mit Verweis auf die Dokumentation der Grabung 1965–1967.052 (= hier Abb. 154).

314 Berger 1977, 32.

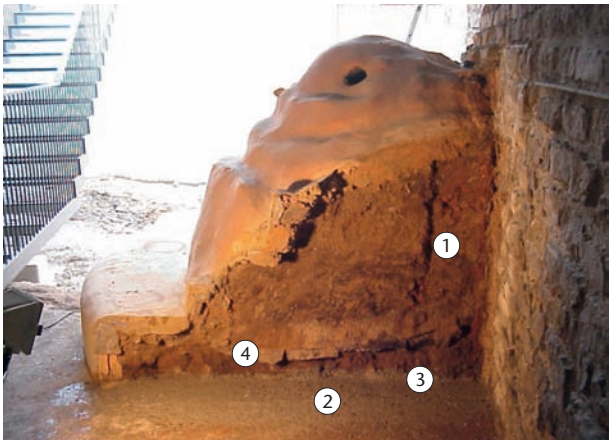


Abb. 153: Augst BL, Insula 5/9, Raum A (Neu-Konservierung Backofen 2001. 907). Blick an die Rückseite von Backofen BO1 nach dem Rückbau der bei der früheren Konservierung im Jahr 1967 ohne vorgängige Dokumentation auf der Flucht der Fachwerkwand MR 100 errichteten Ziegelsteinmauer. Rechts im Bild MR 4. ***1*** *Negativ eines Holzbalkens der in Phase 9 errichteten Fachwerkwand MR 100.* ***2*** *Anhand des Originalbefunds rekonstruierter Mörtelgussboden der Phase 9 über dem in Phase 8 verfüllten Hypokaust des* cubiculum. ***3*** *Reste des Schmutzhorizonts.* ***4*** *Sockel des Backofens BO1.*

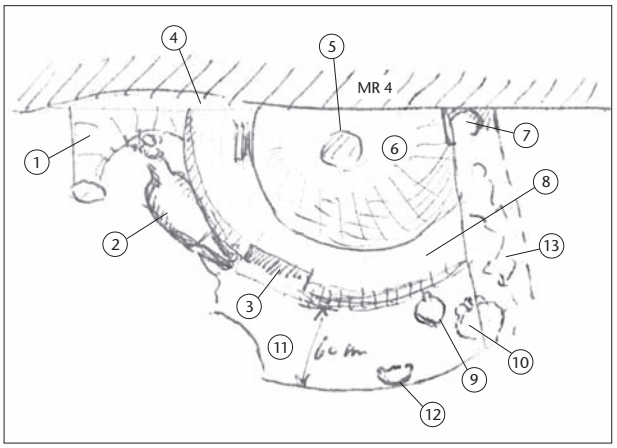


Abb. 154: Augst BL, Insula 5/9, Raum A (Grabung 1965–1967.052). Skizze aus dem Tagebuch von Rudolf Laur-Belart (Eintrag vom 15.06.1967) mit der Situation im Bereich von Backofen BO1. R. Laur-Belart hält expressis verbis *(aber vermutlich irrtümlich) fest, dass der Backofen BO1 von einem «Sockel aus gestampftem Lehm», einer Ofenbank, umgeben war, der die ältere Herdstelle F5 überlagerte. M. ca. 1:40.* ***1*** *ältere Herdstelle [= Feuerstelle F5].* ***2*** *Amphore [= Amphore der Form Pélichet 46 =* ***315****].* ***3*** *Einschuss [Einfeuerung].* ***4*** *Absatz mit Schieber* [tegula]. ***5*** *[Ofen-]Kuppel.* ***6*** *Abdruck eines senkrechten Brettes.* ***7*** *Wandpfosten [= Negativ eines Holzbalkens der in Phase 9 errichteten Fachwerkwand MR 100, deren Schwellbalken in der Fläche nachgewiesen werden konnte].* ***8*** *oberer Absatz [der Ofenkuppel].* ***9*** *kleiner Krug im Sockel [o. Abb.].* ***10*** *grosser Krug [=* ***314****].* ***11*** *Sockel aus gestampftem Lehm [= sogenannte Ofenbank].* ***12*** *Topf [= o. Abb.].* ***13*** *Reste der Wand.*

Andererseits hält R. Laur-Belart aber auf der oben erwähnten Skizze explizit fest, dass Backofen BO1 einen «Sockel aus gestampftem Lehm», d. h. eine Ofenbank, besass. Das konkreteste Indiz für die Ofenbank bildet eine vor dem Einschuss (Ofenöffnung) und auf gleicher Höhe wie die Feuerplatte von Backofen BO1 liegende Sandsteinplatte (Abb. 155,6).

Gegen eine Ansprache dieses «Lehmschutts» als am Ende von Phase 11 angefallener Brandschutt spricht, dass der Lehm beim Backofen BO1 wesentlich kompakter war als der Brandschutt. Zudem wird explizit vermerkt, dass der rote Lehm östlich und südlich des Backofens BO1 keine von Fachwerk stammenden Lehmbrocken enthielt[315]. Backofen BO1 wurde allerdings unmittelbar nach der Entdeckung mit einem Bretterverschlag geschützt und die endgültige Freilegung und Konservierung erfolgte erst geraume Zeit später. Somit könnte die verschiedentlich konstatierte Verdichtung des unmittelbar an Backofen BO1 anschliessenden Lehms beim Bau des Bretterverschlags bzw. bei der Konservierung der bereits freigelegten Teile des Backofens entstanden sein[316].

Entscheidende Hinweise für die Klärung der Frage nach der Existenz einer Ofenbank hätte vermutlich der im Jahr 2002 unbeobachtet zerstörte, sicher typgleiche Backofen BO2 aus Raum B liefern können.

Unklar bleibt auch, ob die Ofenbank – anders als der *in situ* konservierte Befund heute suggeriert – über die Feuerplatte der Herdstelle F5 hinwegzog und einst an Mauer 4 anstiess. Aufgrund der Skizze von R. Laur-Belart (Abb. 154) und einer Detailzeichnung (Abb. 155) muss nämlich davon ausgegangen werden, dass der «gestampfte Lehm» der Ofenbank auch die Feuerstelle F5 überlagerte.

Für eine Ansprache des unmittelbar an den Backofen anschliessenden Lehms als Relikt des am Ende von Phase 11 angefallenen Brandschutts könnten hingegen die z. T. ganz erhaltenen, *in situ* dokumentierten Gefässe sprechen (Abb. 156). Allerdings kann nicht ausgeschlossen werden, dass diese Gefässe als Füllmaterial in der Ofenbank verbaut worden sind – gerade bei der Amphore **315** scheint dies möglich. Durch die Verwendung der Gefässe liess sich zudem die für den Bau benötigte Lehmmenge beträchtlich reduzieren.

Da auch die Nachkonservierung des Backofens BO1 und der Ofenbank im Jahr 2002 keine weiterführenden Erkenntnisse erbrachte, haben wir uns entschieden, das Fundmaterial aus dem Bereich der Ofenbank nicht dem Brandschutt des Erdgeschosses, d. h. dem Ensemble A11-EG zuzuweisen, sondern separat vorzulegen.

315 Berger/Martin, Tagebuch, 16.06.1967.

316 Die endgültige Freilegung und erste Konservierung erfolgte erst im Jahre 1967 – ohne archäologische Begleitung und unter grossem Zeitdruck. Auf die ungenügende Dokumentation der durch die Konservierungsarbeiten verdeckten und erst im Jahre 1977 (!) dokumentierten Befunde im und am Backofen BO1 hat bereits L. Berger hingewiesen (Berger 1977, 29 f., bes. Anm. 6).

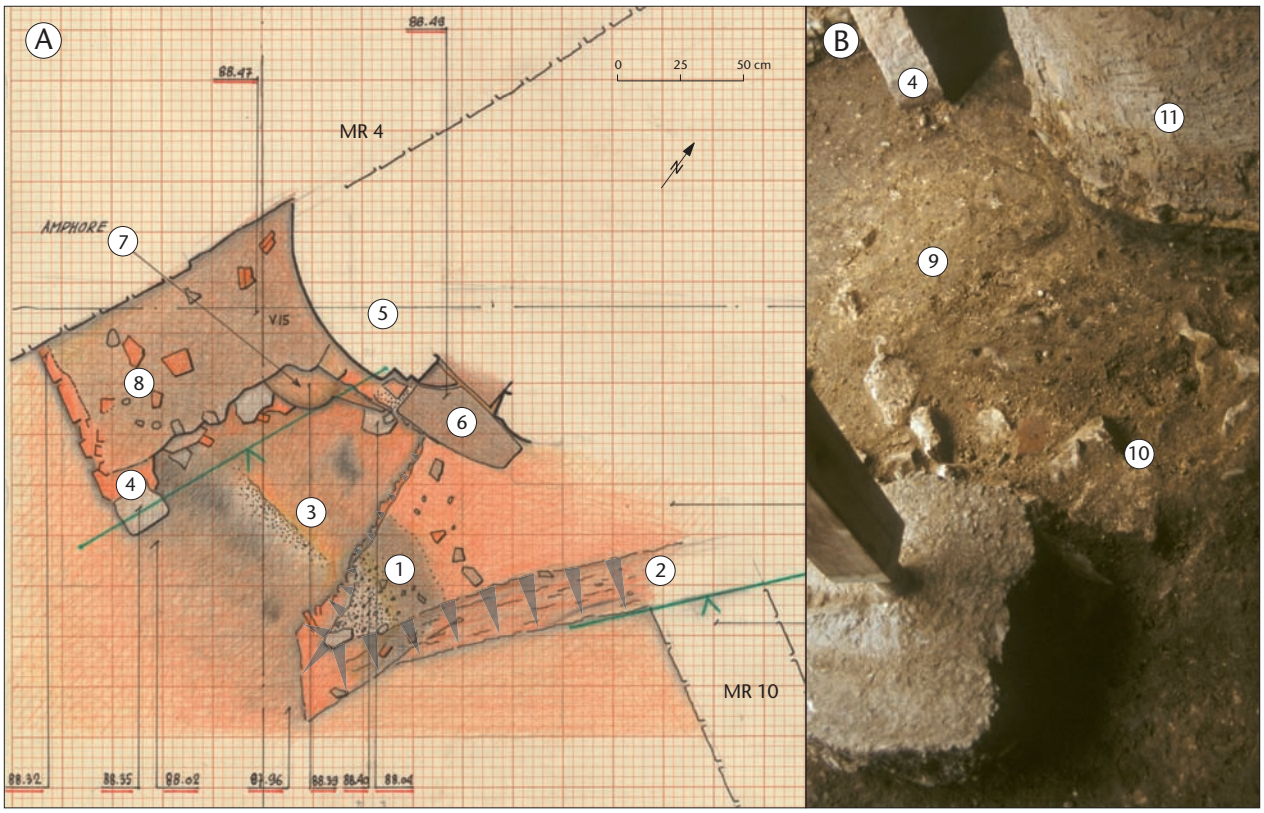


*Abb. 155: Augst BL, Insula 5/9, Raum A (Grabung 1965–1967.052 und Neu-Konservierung Backofen 2001.907). **A** Detailzeichnung der Situation im Bereich der Feuerstelle F5 (Original ohne Schichtbeschreibung). M. 1:30. **B** Zustand im Bereich der Feuerstelle F5 nach Entfernen des 1967 eingebrachten Bodenbelags (ca. 287,60 m ü. M.). **1** Reste eines älteren Mörtelgussbodens = Oberkante des Gehhorizonts während der Phasen 9–11. **2** Beim Abbau des nicht erkannten oder nicht erhaltenen Mörtelgussbodens der Phasen 9–11 entstandene Böschung in den in Phase 8 eingebrachten Planien. **3** künstliches Planum in den in Phase 8 eingebrachten Planien (entspricht **9** auf **B**). **4** Einfassung der Feuerstelle F5 (Phasen 9 und 10). **5** Backofen BO1 (Phase 11). **6** Sandsteinplatte vor der Einfeuerungsöffnung des Backofens BO1; bildet eines der wenigen Indizien für die Existenz der Ofenbank. **7** Verfüllung der Feuerstelle F5: brandiger, mit Kalkbruchsteinen durchsetzter Lehmschutt, darin u. a. eine Amphore der Form Pélichet 46 **(315):** beim Bau der Ofenbank eingebrachte Füllschicht oder am Ende von Phase 11 entstandener Brandschutt des Erdgeschosses? **8** Oberkante der Verfüllung der Feuerstelle F5: Oberkante der Ofenbank im Bereich der Feuerstelle F5 oder künstliches Planum im Brandschutt der Phase 11? **9** künstliches Planum in den in Phase 8 eingebrachten Planien (entspricht **3** auf **A**). **10** Reste der abgebrochenen oder umgestürzten MR 10. **11** Sockel des Backofens BO1.*

Die konstruktiven Details von Backofen BO1 beschreibt Ludwig Berger wie folgt (Abb. 157)[317]:

«Die annähernd kreisrunde Backfläche des Ofens hat einen Durchmesser von etwa 1,35 m und bestand zur Hauptsache aus Ziegelplatten, die bei der Restaurierung gegen besser erhaltene aus dem Museumsdepot ausgewechselt werden mussten. Unmittelbar hinter und vor der Ofenöffnung liegen noch gut erhaltene Sandsteinplatten von unregelmässigem Umriss. Die Kuppel besteht gänzlich aus in Lehm versetzten Ziegeln, wobei offensichtlich wie bei den pompejanischen Backöfen gerne zerbrochene Dachziegel verwendet werden. Allenfalls vorhandene Leisten der Ziegel scheinen mehrheitlich gegen die Aussenseite gerichtet worden zu sein. Die Aussenseite des Ofens ist auf der heute sichtbaren Seite dreifach getreppt und mit einem dicken Lehmputz abgestrichen. Dagegen bilden Ziegel im Inneren des Ofens ein durchgehend falsches Gewölbe ohne Absätze. Spuren eines Lehmabstrichs sind innen nicht erkennbar. Besonders die bodennahen Ziegel der Kuppel sind vom Brand stark mitgenommen und teilweise violett-dunkelrot gefärbt. Die Höhe des überwölbten Raumes beträgt ziemlich genau 1 m. Im Scheitel war die Kuppel leicht beschädigt (Anm.: Dieser obere Teil wurde bei der Konservierung repariert und neu mit Lehm abgestrichen.). Wie die Aussenseite des rückwärtigen, von der modernen Backsteinwand verdeckten Teiles ausgesehen hat, ist nicht dokumentiert. Im Hinblick auf die neu aufzumauernde Wand wurde die Rückseite bei den Restaurierungsarbeiten nicht in dem Masse vom anhaftenden Schutt gereinigt wie die heute sichtbaren Teile. Im Inneren des Ofens zeigt die Kuppel an der Rückseite einen Riss. Östlich des Risses ist die Kuppel nicht schön gewölbt, sondern strebt als schiefe Ebene dem Scheitel zu.

Auf der Südwestseite besitzt der Ofen ein verschliessbares Zugloch, wie es an einigen pompejanischen Backöfen beobachtet worden ist[318]. Es diente zur Herstellung des Luftzugs beim Anfachen des Feuers, aber auch als Abzug für Rauch und Gase [...]. Das Zugloch besteht aus dem Fragment eines *tubulus* – der vierkantigen Wandröhre einer Hypokaustheizung –, das horizontal in die Ofenwand eingelassen ist. Ein Dachziegelfragment, dessen Leiste zu einem zapfenförmigen Handgriff zurechtgeschlagen ist, funktioniert als Schieber, der hinter der vorstehenden Leiste eines Leistenziegels verschoben werden konnte. Ein kleiner Ziegel-Lehmblock, an dem der Ofenbauer einige Fingerabdrücke hinterlassen hat, bot dem Schieber seitlichen Widerstand.

317 Berger 1977, 30 ff.

318 Das ovale Lüftungsloch in der Kuppel des Augster Ofens ist modern.



Abb. 156: Augst BL, Insula 5/9, Raum A (Grabung 1965–1967.052 und Neu-Konservierung Backofen 2001.907). Befunde im Bereich der sogenannten Ofenbank von Backofen BO1 der Phase 11. Aus heutiger Sicht stellt sich die Frage, ob es sich bei den mehrheitlich aus verbranntem Lehm bestehenden Sedimenten um die Reste einer Ofenbank oder um Teile des am Ende von Phase 11 angefallenen Brandschutts handelt (vgl. auch Text). ***A*** *Zustand von Backofen BO1 im Jahr 2001 nach Entfernen der 1967 zum Schutz errichteten, mit Lehm verputzten Backsteinmauer. Links im Bild die Feuerstelle F5, rechts die Überreste der in Phase 8 abgebrochenen, zum* cubiculum *gehörenden MR 10.* ***B*** *Befund im Profil des im Jahr 1967 angelegten Sondierschnitts durch den auf MR 10 liegenden Teil der sogenannten Ofenbank. Links ist andeutungsweise auch die aus Kalksteinen errichtete Substruktion von Backofen BO1 zu erkennen.* ***C*** *Blick in den im Jahr 1967 angelegten Sondierschnitt durch den auf MR 10 (vorne) liegenden Teil der sogenannten Ofenbank. Für eine Interpretation der mehrheitlich aus verbranntem Lehm bestehenden Sedimente als Reste einer Ofenbank spricht in erster Linie die vor der Einfeuerungsöffnung von Backofen BO1 gefundene Sandsteinplatte (links).* ***D*** *Blick auf die nicht* in situ *konservierten, mehrheitlich aus verbranntem Lehm bestehenden Sedimente in der Feuerstelle F5. Die heute nicht mehr auffindbare Amphore der Form Pélichet 46* ***(315)*** *könnte in der sogenannten Ofenbank verbaut gewesen sein oder zusammen mit dem am Ende von Phase 11 angefallenen Brandschutt in die Feuerstelle F5 gestürzt sein.*

Die Weite der Ofenöffnung beträgt 30 cm, so dass auch grössere Brote bequem eingeschossen werden konnten. Die bei der Entdeckung *in situ* befindlichen Pfosten sowie der im Schutt vorgefundene Türsturz bestehen aus Sandstein. Beide Pfosten besitzen auf der ganzen Länge einen Anschlag zur Aufnahme der Verschlussplatte, die während des Backvorganges vor die Öffnung gestellt wurde».

Ensemble A11-BO1

Allgemeine Charakterisierung: Das Fundmaterial aus FK X06539 und FK Z01659 (Abb. 158) stammt aus dem unmittelbar an Backofen BO1 anschliessenden Lehm, der als Relikt einer Ofenbank angesprochen wird. Das Fundmaterial (Abb. 159) wird deshalb separat vorgelegt – obschon auch eine Herkunft aus dem Brandschutt des Erdgeschosses denkbar wäre. Aus dem Fundmaterial lassen sich diesbezüglich keine eindeutigen Hinweise ableiten: Das Vorhandensein der ganz erhaltenen Gefässe **304**, **306**, **314** und **315** sowie von klein fragmentierten Altstücken spricht weder für noch gegen die eine oder andere Möglichkeit. Für eine Herkunft aus der Ofenbank spricht – wenn auch wegen der vergleichsweise geringen Fundzahlen nur bedingt – das Fehlen von Passscherben zwischen Ensemble A11-BO1 und den Ensembles aus dem zeitgenössischen Gehhorizont (A11-GH) bzw. aus dem Brandschutt des Unter- und des Obergeschosses (A11-EG; A11-OG).

Akzeptiert man die Herkunft des Fundmaterials aus der Ofenbank, lässt sich daraus ein zwischen 230 und 260/270 n. Chr. anzusetzender *terminus post quem* für den Bau von Backofen BO1 ableiten.

Datierung des Fundmaterials: Das keramische Fundmaterial kann – abgesehen vom Teller **305** der Form Drag. 18 oder der Schüssel **307** der Form Drag. 37, die noch aus südgallischer Produktion stammen – in die Jahre zwischen 230 und 260/270 n. Chr. gesetzt werden.

Gestützt wird dieser Datierungsansatz durch den Becher **304** der Form Déchelette 72/Nb. 24b, der in das spä-



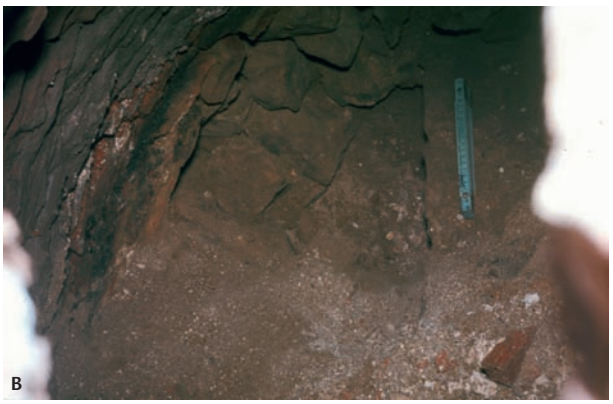






Abb. 157: Augst BL, Insula 5/9, Raum A (Grabung 1965–1967.052). Blick durch die Einfeuerungsöffnung auf die Befunde im Backofen BO1 (Phase 11). ***A*** *Die aus Ziegelbruchstücken und scharrierten Sandsteinplatten konstruierte Feuerplatte.* ***B****. Links die aus Kalkbruchsteinen, Ziegelfragmenten, Lehmbrocken und Weisskalk bestehende Substruktion der Feuerplatte (Abbruchschutt eines älteren Backofens?). Rechts ist die Abbruchkrone von MR 10 zu erkennen.* ***C*** *Blick auf die innwändige Wandung der Kuppel von Backofen BO1. Es handelt sich dabei um ein falsches Gewölbe aus in Lehm versetzten* tegulae *und* imbrices*.* ***D*** *Die gut erkennbare Baufuge könnte – zusammen mit anderen Indizien – dafür sprechen, dass der Backofen BO1 einen älteren (in Phase 10 errichteten?) Vorgänger besass.*

tere 2. und frühere 3. Jahrhundert gehört[319]. Der Teller **306** der Form Drag. 32 lässt sich anhand des Stempels des Töpfers Iucundus vi in die Jahre zwischen 170 und 260 n. Chr. datieren[320].

In denselben Zeithorizont gehören auch die Becher **309** und **310**, wobei **309** – ein Becher der Form Nb. 31 – selten vorkommt. Er datiert in die Zeit zwischen dem späteren 2. Jahrhundert und der Mitte des 3. Jahrhunderts[321]. Die Gebrauchskeramik unterstützt diesen Zeitansatz: so beispielsweise der Krug mit Bandrand **314** – ein Leitfund der Jahre um 250 n. Chr.[322]

Jüngstes Element innerhalb des Ensembles ist die Schüssel **313** mit profilierter Wandung. Solche Schüsseln erscheinen erst um die Mitte des 3. Jahrhunderts und finden sich dann wieder in ähnlicher Form auch in spätrömischen Fundzusammenhängen[323]. Gut vertreten ist diese Schüsselform

319 Fünfschilling 2006, 143.

320 Ein identisches Exemplar stammt aus Ensemble D14 (vgl. Abb. 243,**846**).

321 Castella/Meylan Krause 1994, 41 Abb. 99. Unser Exemplar ist jedoch nicht so fein gearbeitet und weist wohl auch keinen so starken Metallglanz auf wie das angeführte Vergleichsbeispiel. Für die Becher der Form Nb. 33 vgl. Schucany u. a. 1999, 47.

322 Ammann 2002, 45 Taf. 33,237.

323 Martin-Kilcher 1980, 33 Abb. 9 Taf. 29,7. Für Kaiseraugst: vgl. Schatzmann 2000, 187 Abb. 49,173.

Form/Typ	RS	BS	WS	HE	Total	MIZ
TS, südgallisch						
Drag. 18	1				1	1
Form unbestimmt			7		7	7
TS, süd-mittelgallisch?						
Drag. 37			1		1	1
TS, ostgallisch						
Déchelette 72/Nb. 24b	6		12		18	2
Drag. 32	6	1			7	1
Drag. 38?			1		1	1
Drag. 37?	1				1	1
Glanztonkeramik						
Becher mit Karniesrand	2				2	2
Becher Nb. 31	2		11		13	1
Becher Nb. 33	5	3	14		22	4
Übrige Keramik						
Helltonige Gebrauchskeramik						
Teller mit eingebogenem Rand	2				2	2
Schüssel	1				1	1
Schüssel mit profilierter Wandung	1				1	1
Krug	2	4	4	3	13	2
Grautonige Gebrauchskeramik						
Form unbestimmt		2	2		4	4
Kochtopf, Typ unbestimmt			2		2	2
Amphore	1				1	1
Total Fragmente/MIZ	**30**	**10**	**54**	**3**	**97**	**34**

Abb. 158: Augst BL, Insula 5/9, Raum A (Grabung 1965–1967.052). Ensemble A11-BO1: Fundstatistik zur Keramik (FK X06539, FK Z01659). MIZ = RS, BS, WS, HE.

auch in den Ensembles A11-EG **(427–432)**, A11-OG **(548–550)** und D14 **(869, 870)**.

Leider ist die seinerzeit *in situ* dokumentierte Fischsaucenamphore **315** des Typs Pélichet 46 (vgl. Abb. 156,D) heute verschollen[324]. Stefanie Martin-Kilcher datiert die Form Pélichet 46 in die Jahre zwischen 60 und 150 n. Chr. Unser Stück kann also als ein Altfund innerhalb des Ensembles bewertet werden und war demnach in sekundärer Verwendung (?) noch lange in Gebrauch, bevor sie als Verbauungsmaterial genutzt worden ist.

Glas- und Eisenfunde sind in Ensemble A11-BO1 wenig vertreten: Die Glaskanne **316** des Typs AR 175/Isings 127 passt zeitlich gut zur Datierung der keramischen Mitfunde. Das kleine Scharnier mit dreiteiligem Gelenk **317** gehörte vielleicht zu einem Kästchen[325]. Der Nagel **318** diente eventuell auch als Pfriem[326]. Ein weiterer Eisenfund, eine Schere (hier mit **319** schematisch dargestellt), ist zurzeit leider verschollen.

Katalog der Funde aus Ensemble A11-BO1 (Abb. 159)

Terra Sigillata

304 5 RS, 12 WS, TS (ostgallisch), Becher Déchelette 72/Nb. 24b. – Inv. 1967.6754, FK X06539.

305 RS, TS (südgallisch), Teller Drag. 18. – Inv. 1967.9994A, FK Z01659.

306 6 RS, BS, TS (ostgallisch), Teller Drag. 32. Teller ergänzt. Mit zentralem Bodenstempel: IVCVNDV (Iucundus vi, Rheinzabern, 170–260 n. Chr.)[327]. – Inv. 1967.6753, FK X06539.

307 WS, TS (süd-mittelgallisch?), Schüssel Drag. 37. Sekundär verbrannt. Relief: mit grossem Medaillon, daneben Ornament. – Inv. 1967.9987, FK Z01659.

Übrige Keramik

308 RS, Glanztonbecher mit Karniesrand. Ton orange mit schwarzer Oberfläche. – Inv. 1967.6757, FK X06539.

309 2 RS, 11 WS, Glanztonbecher Nb. 31. Ton grau mit schwarzem Überzug. – Inv. 1967.9994l.n–p.r–z, FK Z01659.

310 4 RS, 4 WS, Glanztonbecher Nb. 33. Ton beige mit beigem Überzug. – Inv. 1967.6756a–h, FK X06539.

311 RS, Teller mit eingebogenem Rand. Ton beigebraun. – Inv. 1967.9991, FK Z01659.

312 RS, Schüssel mit gerilltem Rand. Ton orange. – Inv. 1967.9992, FK Z01659.

313 RS, Schüssel mit profilierter Wandung. Ton orange mit sekundären Brandspuren. – Inv. 1967.9993A, FK Z01659.

314 RS, 4 WS, 4 BS, 3 HE, Krug mit Bandrand. Ton hellbeige mit sekundären Brandspuren. – Inv. 1967.6759a–m, FK X06539.

315 Amphore, Pélichet 46. Schematisch nach Martin-Kilcher 1987/1994, Abb. 170,7 dargestellt, da verschollen bzw. zurzeit nicht auffindbar. – Inv. 1967.29585, FK Z01659.

Glas

316 5 WS, 2 BS von Doppelhenkelkanne? AR 175/Isings 127. Beinahe farblos, leicht irisierend. – Inv. 1967.6760, FK X06539. – Publ.: Rütti 1991/2, Kat. 4128.

Eisen

317 Kleines Scharnierband mit dreiteiligem Gelenk und einfach gelochten trapezförmigen Schenkeln. – Inv. 1967.6763, FK X06539.

318 Werkzeug (?) mit kugeligem Kopf. Oberes Schaftstück rhombisch, gegen Spitze immer runder. – Inv. 1967.6764, FK X06539.

319 Schere. Schematisch dargestellt, da verschollen bzw. zurzeit nicht auffindbar. – Inv. 1967.6767A, FK X06539.

Nicht abgebildete Funde

Keramik

– Vgl. Abb. 158.

Eisen

– Kettenringfragment. – Inv. 1967.6762, FK X06539.

– 2 unbestimmbare Fragmente. – Inv. 1967.6765.6766, FK X06539.

Stein

– Kieselstein. – Inv. 1967.6761, FK X06539.

324 Zum Befund vgl. Berger 1977, 32 mit Anm. 19. Zur Form Pélichet 46 vgl. Martin-Kilcher 1987/1994, 400 f. Die Bestimmung erfolgte durch Stefanie Martin-Kilcher, Basel/Bern.

325 Riha 2001, 36; 43.

326 Vgl. Schaltenbrand 1991, 186 Taf. 73; Gaitzsch 1980, Taf. 47,240; Duvauchelle 2005, 134 Taf. 5,37.

327 Die Lesung, Datierung und Produktionszuweisung erfolgten durch Brenda Dickinson, Leeds.

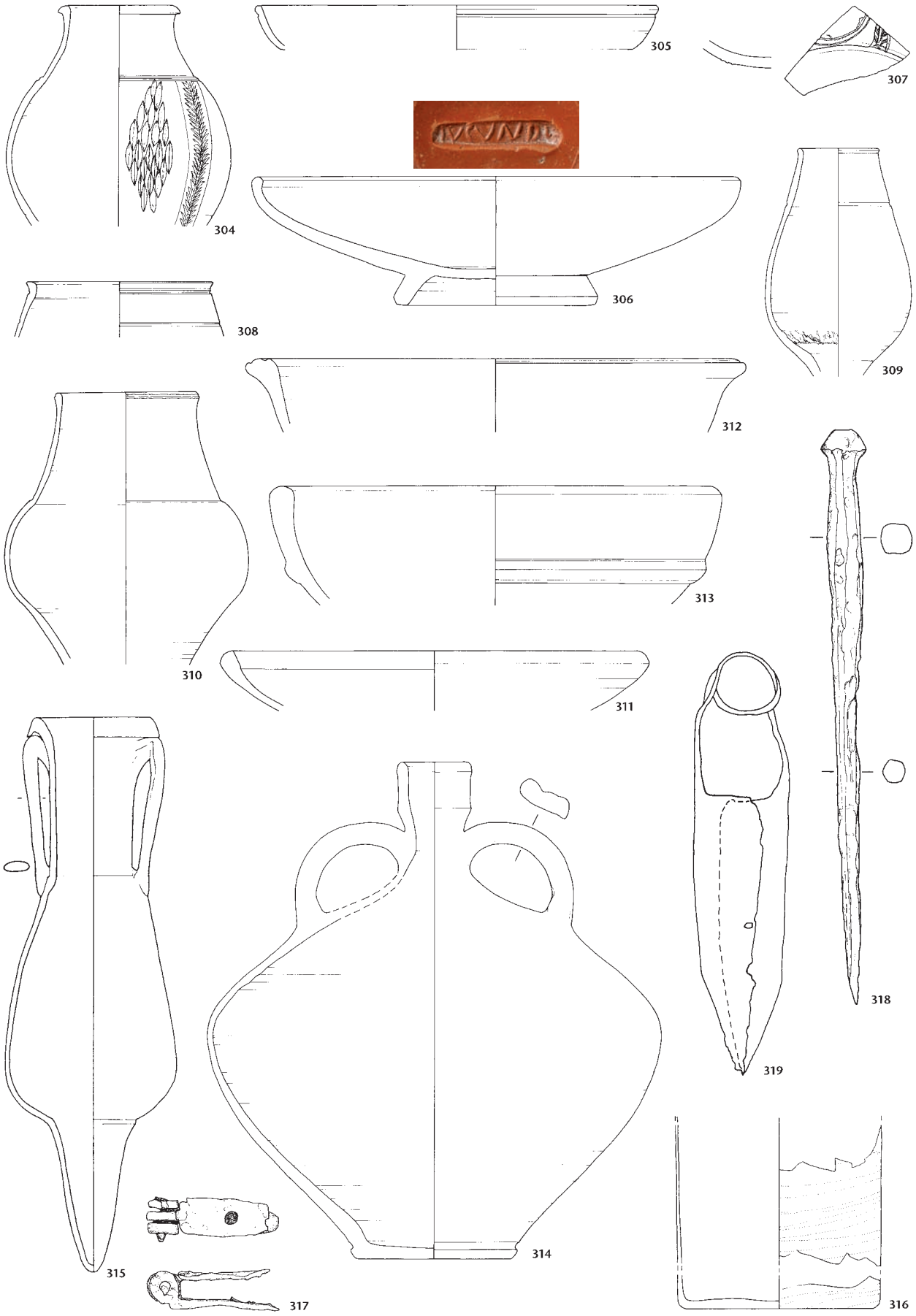


*Abb. 159: Augst BL, Insula 5/9, Raum A (Grabung 1965–1967.052). Ensemble A11-BO1: Keramikfunde aus der sogenannten Ofenbank von Backofen BO1. M. 1:3 (Stempel M. 2:3; Glas, Eisen M. 1:2; Amphore M. 1:10 [schematisch]; **319** M. 1:4 [schematisch]). **304–307** Terra Sigillata, **308–310** Glanztonkeramik, **311–315** Gebrauchskeramik, **316** Glas, **317–319** Eisen.*



Abb. 160: Augst BL, Insula 5/9, Raum B (Grabung 1965–1967.052). Blick auf den bei den Konservierungsarbeiten an MR 4 (rechts) entdeckten Backofen BO2. Er wird,wie Backofen BO1 in Raum A, von Mauerschuttpaketen überlagert, die bei der Brandkatastrophe am Ende von Phase 11 entstanden sind. Der damals in situ *belassene Backofen BO2 wurde im Jahr 2002 infolge eines Missverständnisses beim Anlegen eines Drainagegrabens zerstört.*

Raum B: Befund

Raum B war zum Zeitpunkt der Zerstörung in Phase 11 ebenfalls mit einem Backofen ausgestattet (Abb. 160)[328]. Da dieser bei den Konservierungsarbeiten im Jahr 1967 nur kursorisch dokumentierte und *in situ* belassene Backofen BO2 im Jahr 2002 unbeobachtet zerstört worden ist, liegen nur wenige verwertbare Informationen vor[329]. So hat der Backofen offenbar deutliche Brandspuren an der Hangstützmauer 1A hinterlassen und die endgültige Zerstörung am Ende von Phase 11 unbeschadet überstanden, was indes eine Errichtung in Phase 9 oder Phase 10 nicht ausschliesst[330]. Gesichert ist ferner, dass es sich um den gleichen Backofentyp gehandelt hat wie bei BO1[331].

328 Berger 1977, 36 ff. Abb. 11.

329 Berger 1977, 36 ff. – Laut Laur-Belart, Tagebuch, 05.10.1966, «… schien das Gewölbe eingestürzt gewesen zu sein» (vgl. jedoch Abb. 161). – Vgl. auch Rychener, Tagebuch, S. 8: «Infolge ungünstiger Umstände war mit diesen Arbeiten die eigentlich vorgesehene Grabungszeit schon erreicht. Die weiteren Arbeiten liefen parallel zur wieder aufgenommenen Arbeit bei der Grabung 2002.064. So kam es, dass die AAK das Projekt sozusagen von Ferne begleiten musste. Das führte zum Beispiel dazu, dass der mit einer grossen Maschine durchgeführte Aushub von Feld 2 [Raum B] nicht genügend beaufsichtigt und deswegen ein beträchtlicher Teil des 1966 gefundenen Backofens, der an MR 1 angebaut war, zerstört wurde». Vgl. ferner auch Bauhofer, Tagebuch, S. 9: «Im nördlichsten Drittel [von Raum B] fehlt nun ein Drittel (oder alles?) des von Louis Berger 1966 beschriebenen Backofens [BO2] (peinlich), der in der Ecke MR 4/MR 1[A] zutagegekommen, aber seinerzeit nicht weiter untersucht worden ist».

330 Vgl. Bauhofer, Tagebuch, S. 11.

331 Zu den anderen im Areal der Insulae 5 und 5/9 nachgewiesenen «späten» Backöfen vgl. die Ausführungen in Exkurs 1, unten S. 275 ff., und in der Synthese, unten S. 394 ff.

Die endgültige Zerstörung am Ende von Phase 11

Überblick

Die Räume A, B und E wurden am Ende von Phase 11 durch eine Brandkatastrophe zerstört. Die Bedeutung dieser Befundsituation liegt darin, dass sie einerseits eine einigermassen gut abgesicherte Rekonstruktion der Bausubstanz von Raum A zum Zeitpunkt des Brandausbruchs erlaubt (Abb. 161) und andererseits eine sehr genaue qualitative und quantitative Charakterisierung des zum Zeitpunkt des Brandausbruchs im Erdgeschoss und im Obergeschoss von Raum A aufbewahrten Hausrats ermöglicht[332]. Die Analyse der Funde aus den Ensembles A11-GH, A11-EG und A11-OG liefert schliesslich auch wichtige Informationen zur Datierung der Brandkatastrophe. Diese ereignete sich im dritten Viertel des 3. Jahrhunderts.

Raum A

Befund

Die Relikte der Brandkatastrophe zeichneten sich in Raum A in Form eines von Mauerschutt überlagerten, lehmigen Brandschuttfächers ab (Abb. 162; 163). Der Brandschutt überdeckte mit nach Süden abnehmender Mächtigkeit alle älteren Strukturen in Raum A (Abb. 164; 165; Beil. 2D,4; 2F,8; 2G,14–17).

Die Zusammensetzung des Brandschutts wird in der Dokumentation der Grabungen 1965–1967.052 und 2003.063 wie folgt beschrieben:

- «Mächtiges Schichtpaket von 40–50 cm Stärke: *im Westen* orangerot verbrannter feinsandiger Lehm, im oberen Teil Ziegelfragmente, darüber *grauschwarze aschige bis brandige Schicht*. Diese aschige-brandige Schicht zieht sich auch nach *Osten*.: z. T. liegt dort über ihr etwas rot verbrannter Lehm; unter ihr folgen im Osten grauschwarze bis schwarze Bänder, eindeutig verbranntes Holz (also brandig), durchsetzt mit geschwärzten Ziegelfragmenten, rot verbrannte Lehmbrocken. Kalksteine fehlen völlig gegen Osten, nur im Westen vereinzelt vorhanden.»[333]
- «Im Profil [100] liegt unmittelbar über der Mauer eine massive Brandschicht, die zuunterst stellenweise eine Holzkohle-Schicht aufweist, darüber folgt dann in einer dicken Ablagerung verbrannter Lehm. Im Fenster wurde nun unmittelbar auf der

332 Zur archäologisch-historischen Interpretation der Brandkatastrophe vgl. die Ausführungen in der Synthese, unten S. 394 ff.

333 Dokumentation der Grabung 1965–1967.052, Profil 10, Schichten 2 und 2a.



Abb. 161: Augst BL, Insula 5/9, Raum A nach Abschluss der Neu-Konservierung (2001.907) und der Grabung 2002.063. Der konservierte und rekonstruierte Zustand entspricht in etwa der Situation am Ende von Phase 11. Der möglicherweise an Stelle eines Vorgängers installierte Backofen BO1 lehnt sich an die bereits in Phase 9 errichtete Fachwerkwand MR 100 an. Die Existenz der Ofenbank ist nicht gesichert; die Feuerstelle F5 könnte zu dieser Zeit auch noch in Betrieb gewesen sein.



Abb. 162: Augst BL, Insula 5/9, Raum A (Grabung 1965–1967.052). Blick an das an die Hangstützmauer MR 1C (links) anschliessende und von der «Südböschung» des «Schlundes» (rechts) begrenzte Profil 1a (= Beil. 2D). Im Hintergrund MR 2. ***1*** *Auf dem «vorgemauerten Klotz» (MR 15) liegender Teil des jüngeren «groben» Terrazzobodens (= an die Hangstützmauer MR 1C anschliessender Teil des Bodens im hypokaustierten* cubiculum). ***2*** *Bei der endgültigen Zerstörung von Raum A am Ende von Phase 11 entstandener, hier fast schwarzer Brandschutt.* ***3*** *stark mörtelhaltiger Mauerschutt. Es handelt sich dabei z. T. um den beim Brand entstandenen Primärschutt der MR 2 und MR 4, z. T. aber auch um Schutt, der beim Verfall bzw. beim Abbruch in Phase 12 entstanden ist und/oder beim Aushub des Wall-Graben-Systems der* enceinte réduite *in Phase 13 angefallen und in Raum A entsorgt worden ist.*



Abb. 163: Augst BL, Insula 5/9, Raum A (Grabung 1965–1967.052). Der Backofen BO1 während der Freilegung. ***A*** *Zustand nach teilweiser Entfernung des Brandschutts der Phase 11 und des darüber liegenden Mauerschutts (Phase 11 oder 12). Im Hintergrund MR 4, rechts der ausgespriesste «Schlund».* ***B*** *Detail mit der Einfeuerungsöffnung und der z. T. noch vom Mauerschutt bedeckten, leicht beschädigten Ofenkuppel.* ***C*** *Blick von Süden an den Backofen BO1. Gut zu erkennen sind auf dieser Aufnahme die vor der Einfeuerungsöffnung liegende Sandsteinplatte sowie das von einer* tegula *verschlossene Luftloch. Im Vordergrund die angeschnittene Einfassung der Feuerstelle F5. Rechts im Bild Ludwig Berger.*

Mauer sichtbar, dass es sich um Reste einer Holz-/Lehmwand handelt: auf dem glatten Mörtel liegt ein bandartiger Holzkohle-Rest, dessen Fasern parallel zur Mauer laufen – zweifellos ein Rest eines Schwellbalkens (Bef MR13.003). Daneben liegt dunkelgrauer Lehm, der ‹heiss› bekommen hat, dies aber unter Luftabschluss, sodass er reduzierend gebrannt wurde im Gegensatz zum üblichen, in grossen Massen vorhandenen rot oxydierend verbrannten Lehm darüber. Unmittelbar über dem Holzkohle-Band liegt dann rot verbranntes Material»[334].

- «In diesem Paket liegen rot bis dunkelrot verbrannte dicke Lehmbrocken, die deutliche Holzabdrücke (gespaltenes, nicht gesägtes Holz, am ehesten Tanne?) tragen. Auf der Vorder-(Ober?)-Seite z. T. etwas glattgestrichen und oft grau bis schwarz gefärbt[335]. Diese Lehmlagen sind z. T. 40–50 cm lang zusammenhängend in der Schicht gefunden worden, jedoch ohne Spuren von verbranntem Holz od. ähnl. Die Lehmbrocken sind sehr brüchig.

  Das Lehmpaket stösst unmittelbar an den erhaltenen Backofen [BO1] bzw. an dessen Steinsockel an, ohne dass irgendwo

334 Bauhofer, Tagebuch, S. 10 f.

335 Es handelt sich um die Holzprobe aus FK Z01679 (Inv. 1967.14163). Zu den Wandlehmfragmenten vgl. den Beitrag von Ph. Rentzel, unten S. 235 ff.



Abb. 164: Augst BL, Insula 5/9, Raum A (Grabung 1965–1967.052). Blick auf die Oberkante des Brandschutts der Phase 11 im zentralen und strassenseitigen Teil von Raum A nach dem Abbau des Mauerschutts (vgl. auch Abb. 163,A). Die auf dem verbrannten Fachwerkschutt des Obergeschosses liegenden Ziegel bilden eines der wenigen konkreten Indizien für die Existenz eines Ziegeldachs. Rechts MR 2, hinten die Hangstützmauer (MR 1C), links MR 7.



Abb. 165: Augst BL, Insula 5/9, Raum A (Grabung 2002.063). Am strassenseitigen Ende von Raum A überlagert der hier rot verfärbte Brandschutt den Rest des verkohlten Schwellbalkens der einst auf dem Streifenfundament (MR 13) stehenden Fachwerkwand.



Abb. 166: Augst BL, Insula 5/9, Raum A (Grabung 1965–1967.052). Mikrostratigrafie im Brandschutt des Obergeschosses im Bereich zwischen MR 7 und MR 2 (Phase 11). Bemerkenswert ist, dass der von einer verputzten Fachwerkwand stammende Lehm trotz des offensichtlich hohen Holzanteils kaum verhärtet war.

eine Baugrube für den Backofenunterbau sich abzeichnen würde.»[336]

- In der Nähe von Backofen BO1 bzw. der Herdstelle F5 wurde «gebrannter Lehm mit Holzabdrücken» gefunden[337].
- eine am Fuss von Mauer 2 ansetzende, in Raum A hineinziehende Reihe von *Wandverputzresten* (Abb. 166). Die glatt abgestrichene Schauseite der im Brandschutt liegenden Fragmente war infolge der Feuereinwirkung geschwärzt und darunter röt-

336 Dokumentation der Grabung 1965–1967.052, Nachtrag von M. Martin zu Profil 10, Schicht 2 vom 14.06.1967.

337 Berger/Martin, Tagebuch, 11.10.1966 (mit Verweis auf FK X06514). Im Inventar des RMA sind allerdings unter dieser FK-Nr. keine Proben verzeichnet. Vermutlich bezieht sich die Bemerkung auf den «Hüttenlehm» aus FK X06519 (Inv. 1966.4257–4259, verschollen). Die in Laur-Belart, Tagebuch, 15.07.1967 beschriebenen Abdrücke von «Schindeln» bzw. Holzlatten auf dem verbrannten Lehm beziehen sich auf die Fragmente aus FK Z01658 (Inv. 1967.28364; s. u. S. 240). – Ähnliche Fragmente finden sich bei Massart/Cahen-Delhaye 1994, 45 Abb. 41. Vgl. dazu ferner Hufschmid/Sütterlin 1992, 136 ff., bes. Abb. 11; 12 oder Kaiser/Sommer 1994, Abb. 239.

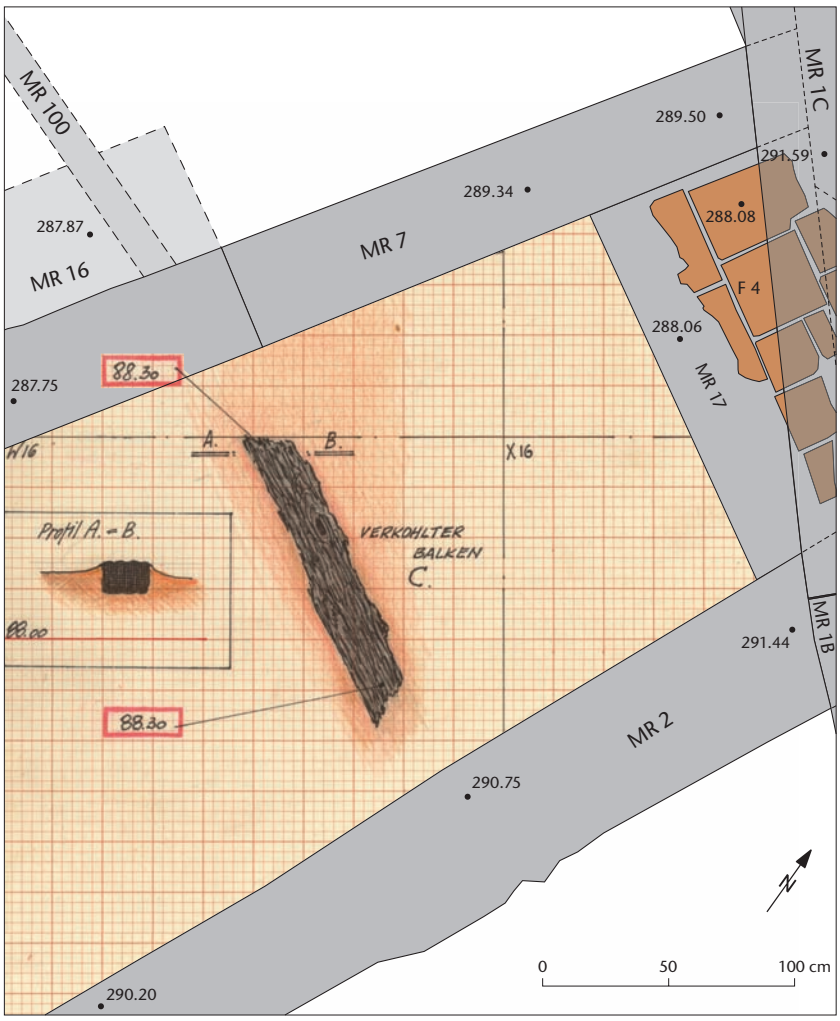


Abb. 167: Augst BL, Insula 5/9, Raum A (Grabung 1965–1967.052). Rest eines wahrscheinlich auf MR 2 und MR 7 (allenfalls auch auf MR 4) liegenden, noch 0,20 × 0,10 cm messenden Holzbalkens. Die Fundhöhe des Holzbalkens (um 288,30 m ü. M.) lieferte eines der Kriterien für die Zuweisung der Funde zum Inventar des Erd- bzw. des Obergeschosses. M. 1:30.

lich verfärbt[338]. Explizit erwähnt werden auch weitere, im Brandschutt eingebettete Wandverputzreste[339].

- Reste eines verbrannten, rund 1 m langen, ca. 10 cm hohen und 20 cm breiten, vierkantigen *Holzbalkens*, der zwischen den Mauern 7 und 2 lag (Abb. 167)[340].
- Reste eines verbrannten, knapp 1,7 m langen, ca. 22 × 22 Zentimeter hohen bzw. breiten, vierkantigen *Holzbalkens* von ehemals beträchtlicher Spannweite, der ungefähr in der Verlängerung von Mauer 7 inmitten des rot und grau verbrannten Lehmes lag (Abb. 168)[341].
- Mauer 2 war in den tieferen Lagen stark verbrannt, Mauer 7 war «beidseitig vom Brande gezeichnet»[342].
- Mauer 4 war auf der Westseite, Mauer 9 auf der Nordseite, d. h. im Bereich von Raum B, «vom Brande stark gerötet»[343].

Das Obergeschoss sowie die strassenseitige Wand von Raum A bestanden aus Fachwerk. Trotz der Fülle der Detailbeobachtungen sind jedoch der Rekonstruktion der konstruktiven Details enge Grenzen gesetzt. Dies ist zum einen darauf zurückzuführen, dass der Jahrhunderte lang andauernde Druck des auf dem Brandschutt liegenden Erdreichs und die Bodenfeuchtigkeit bewirkten, dass der – trotz der grossen Hitzeentwicklung offensichtlich nur punktuell hart gebrannte bzw. verziegelte – Fachwerklehm so stark komprimiert wurde, dass sich die weniger stark gebrannten Wandlehmfragmente aufgelöst haben und die Grenzen zwischen den einzelnen Straten im Brandschutt offenbar weitgehend verwischt worden sind. Des Weiteren ist ein Grossteil der in der Dokumentation erwähnten Wandlehmfragmente offenbar ausgeschieden worden – sei es auf der Grabung oder später bei der Inventarisation – oder ist heute nicht mehr auffindbar:

338 Dokumentation der Grabung 1965–1967.052, Profil 7, Schichten 4 und 4a.

339 Es handelt sich um die Fragmente **741–745**. Laut Berger/Martin, Tagebuch, 29./30.5.1967 müssen auch in FK X06545 zahlreiche Wandverputzreste zum Vorschein gekommen sein, welche allerdings im Inventar des RMA nicht unter dieser FK-Nr. registriert sind.

340 Dokumentation der Grabung 1965–1967.052, Detail 9.

341 Dokumentation der Grabung 1965–1967.052, Foto 72.80.173.175.; Profil 4, Schicht 2; Berger/Martin, Tagebuch, 11.05.1966.

342 Berger/Martin, Tagebuch, 26.08.1965.

343 Berger/Martin, Tagebuch, 03.10.1966.



*Abb. 168: Augst BL, Insula 5/9, Raum A (Grabung 1965–1967.052). Detail zum Aufbau der Stratigrafie im Brandschutt am Ende von Phase 11. Am linken Bildrand der Eckverband von MR 10 und MR 7, rechts die Ostwand von Raum A (MR 2). **A** Blick an ein West-Ost verlaufendes Abbauprofil im zentralen Teil von Raum A. Der Gehhorizont der Phase 11 (vorne) wird vom Brandschutt des Erdgeschosses überlagert. Darüber liegt ein von der Holzdecke stammender verkohlter Balken, der seinerseits vom Fachwerkschutt des Obergeschosses und dem Mauerschutt überlagert wird (vgl. auch Beil. 2D,4.5; 2G,4.5). Die Fundhöhe des Holzbalkens (um 288,50 m ü. M.) lieferte eines der Kriterien für die Zuweisung der Funde zum Inventar des Erd- bzw. des Obergeschosses. **B** Der von der Holzdecke stammende verkohlte Balken nach der Freilegung. Gut erkennbar ist, dass der ca. 0,22 × 0,22 cm messende Holzbalken durch den Druck der darüber liegenden Sedimente verformt worden ist.*

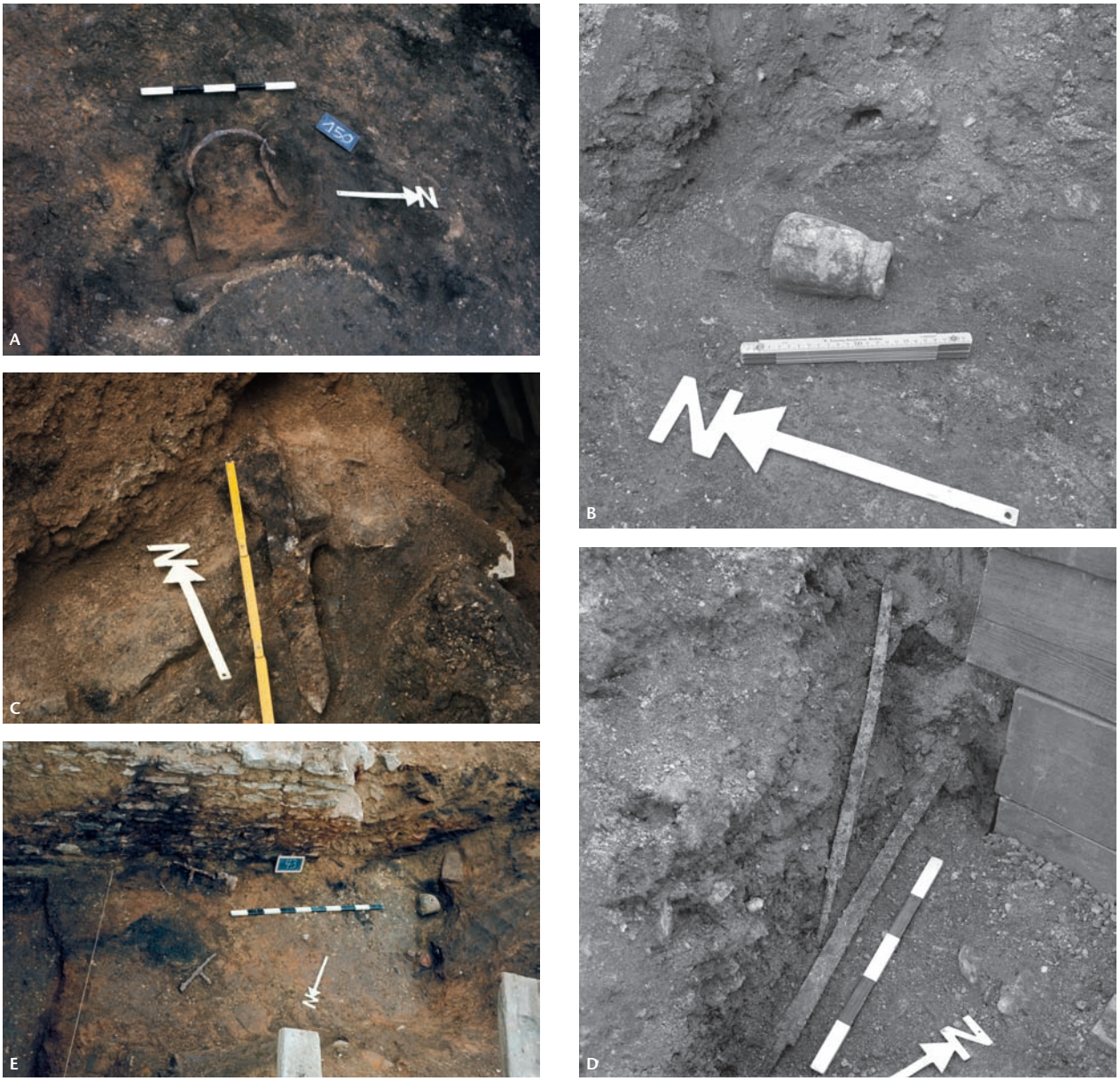


Abb. 169: Legende siehe nächste Seite.



Abb. 169: Augst BL, Insula 5/9, Raum A (Grabung 1965–1967.052). In-situ-*Aufnahmen von Objekten aus dem Brandschutt des Obergeschosses (**A–F** = Ensemble A11-OG), des Erdgeschosses (**G** = Ensemble A11-EG) und aus dem Backofen BO1 (**H**). **A** eiserner Kessel mit Bügel (**680**); **B** Steingefäss aus Marmor (**732**); **C** Kurzschwert (**668**) und Aufhalter einer Saufeder (**679**); **D** Schwerter (**666, 667**); **E** Eingerichte von Schiebeschlössern (**691–693**) und kalottenförmiges Objekt (**657**); **F** Schale **555** und Eiseneimer **680**; **G** Statuetten (**470–473**); **H** Becher der Form Nb. 33 (**418**).*

Aus Raum A liegen nur noch acht Wandlehmfragmente vor, die dem Brandschutt zugewiesen werden konnten, davon stammt ein einziges aus der Grabung 1965–1967.052.

Dies trifft in besonderem Masse auch auf die Dachziegel zu: Diese wurden seinerzeit bereits auf der Grabung ausgeschieden[344]. Es wurde im Bereich von Raum A kein flächendeckender Ziegelversturz beobachtet. Dies heisst aber nicht unbedingt, dass das Dach mit Schindeln oder anderen organischen Materialien gedeckt war[345]. Aufgrund der Schadensbilder und der Verteilung des Fundmaterials innerhalb des Brandschutts kann beim Einsturz des Obergeschosses trotzdem ein flächendeckender Ziegelversturz entstanden sein[346]. Nach Aussage der Bilddokumentation sind im Brandschutt immer wieder *tegula*-Fragmente und zum Teil sogar kleinere Konzentrationen von geschwärzten Dachziegeln zum Vorschein gekommen, auch wenn dies in der schriftlichen Dokumentation nur ausnahmsweise explizit festgehalten wurde[347]. Ebenfalls zu bedenken ist, dass gerade die auf dem Brandschutt liegenden Ziegel in Phase 12 oder Phase 13 entfernt und einer anderen Verwendung zugeführt worden sein könnten.

Wegen des Fehlens eines eigentlichen Ziegelversturzes liegen auch keine gesicherten Hinweise zur Dachrichtung (Firstrichtung) bzw. zur Dachkonstruktion vor[348]. Die auf einer Fotografie (vgl. oben Abb. 133) zufällig festgehaltene Fundlage eines *imbrex* stützt die anhand anderer Indizien gewählte Dachform auf der Rekonstruktionszeichnung (Abb. 326).

344 Dieser Fundgruppe wurde damals «schlicht noch keine Beachtung geschenkt». Freundlicher Hinweis von Ludwig Berger, Basel.

345 Vgl. dazu Kaiser/Sommer 1994, 351.

346 Zu gesicherten Nachweisen von verstürzten Dächern vgl. Müller 1985, 22; 24 Abb. 14e; Adam 1984, Abb. 484; 498 und Hufschmid 1996, Abb. 27.

347 «Im Schlund der Taberne vor MR 1[C] Insula 5[/9] [d. h. im Brandschutt in Raum A] verbrannte Dachziegelfragmente, darunter einer von messbarer Breite: 0,34 m laut der Randleiste». Vgl. Berger/Martin, Tagebuch, 13.07.1965.

348 Vgl. dazu Kaiser/Sommer 1994, 349 mit entsprechenden Beispielen.

Das im Brandschutt von Raum A gefundene «pompejanisch anmutende Inventar» (Abb. 169)[349] liess sich anhand der verschiedenen Informationen aus der Grabungsdokumentation in unterschiedliche Ensembles aufteilen:

- Ensemble A11-F4 umfasst das Fundmaterial aus dem Bereich der Feuerstelle F4 (vgl. Abb. 170; 171).
- Ensemble A11-GH umfasst das Fundmaterial aus dem Benutzungshorizont («Schmutzhorizont») im Erdgeschoss (vgl. Abb. 172; 173). Es handelt sich dabei zum Teil um Objekte, die während der Phasen 9–11 in den Boden kamen, und zum Teil um Gegenstände, die zum Zeitpunkt des Brandausbruchs auf dem Gehhorizont standen.
- Ensemble A11-EG umfasst das Fundmaterial, das sich zum Zeitpunkt des Brandausbruchs im Erdgeschoss befand (vgl. Abb. 174; 175).
- Ensemble A11-OG umfasst das Fundmaterial, das sich zum Zeitpunkt des Brandausbruchs im Obergeschoss befand (vgl. Abb. 176; 177).

Ensemble A11-F4

Allgemeine Charakterisierung: Das Ensemble umfasst lediglich einen einzigen FK Z01664 (Abb. 170); die Funde (Abb. 171) stammen aus dem obersten Teil einer in Phase 8 eingebrachten Planieschicht im Bereich der Feuerstelle F4, die dem Gehhorizont während der Phasen 9–11 entsprach. Die recht zahlreichen Altfunde sind ohne Ausnahme klein fragmentiert.

Die Kochtöpfe **328** und **329** und der Teller **323** tragen sekundäre Brandspuren. Diese Gefässe sind entweder durch mehrere Fragmente bezeugt oder in Form von grösseren Scherben erhalten geblieben. Die Datierung dieser wenigen Stücke entspricht dem Zeithorizont des Ensembles A11-GH im restlichen Teil von Raum A und kann in die Jahre zwischen 250 und 260/270 n. Chr. gesetzt werden.

Datierung des Fundmaterials: Unter den Altstücken finden sich südgallische Terra Sigillata (**320** und o. Abb.), die in die flavische Zeit datieren, und eine Terra-Sigillata-Imitation (o. Abb.), die ins 1. Jahrhundert gehört. In denselben Zeithorizont darf auch die Kragenrandschüssel **325** gesetzt werden. In das 2. Jahrhundert gehört die Schüssel mit profiliertem Rand und Wandknick **324**. In die Mitte des 3. Jahrhunderts und somit in die Benutzungszeit der Feuerstelle F4 gehören die Gefässe **323**, **328** und **329**. Der handgemachte Kochtopf mit nach aussen gebogenem, gerilltem Rand **329**[350] und der Kochtopf **328** bilden die jüngsten Formen innerhalb von Ensemble A11-F4. Der zwischen 41 und 54 n. Chr. geprägte As des Claudius **331** liefert lediglich einen sehr weit zu fassenden *terminus post quem* für die Brandkatastrophe in Phase 11.

Form/Typ	RS	BS	WS	HE	Total	MIZ
TS, südgallisch						
Drag. 27	1				1	1
Drag. 35/36	1				1	1
TS, mittel-ostgallisch?						
Drag. 33	1				1	1
Drag. 37			2		2	2
Drack 20–22						
Drack 21	1				1	1
Übrige Keramik						
Helltonige Gebrauchskeramik						
Teller mit eingezogenem Rand	2				2	2
Schüssel mit profiliertem Rand	2				2	2
Kragenrandschüssel	1				1	1
Krug	2				2	2
Grautonige Gebrauchskeramik						
Kragenrandschüssel	1				1	1
Schüssel mit verdicktem Rand	1				1	1
Kochtopf scheibengedreht	5				5	1
Handgemachte Kochkeramik						
Kochtopf	3	1	1		5	2
Total Fragmente/MIZ	**21**	**1**	**3**		**25**	**18**

Abb. 170: Augst BL, Insula 5/9, Raum A (Grabung 1965–1967.052). Ensemble A11-F4: Fundstatistik zur Keramik (FK Z01664). MIZ = RS, BS, WS, HE.

Katalog der Funde aus Ensemble A11-F4 (Abb. 171)

Terra Sigillata

320 RS, TS (südgallisch), Schälchen Drag. 27. – Inv. 1967.9936, FK Z01664.

321 RS, TS (mittel-ostgallisch?), Schälchen Drag. 33. – Inv. 1967.9937, FK Z01664.

Übrige Keramik

322 RS, Becher mit Steilrand. Ton grau, mit schwarzer, überglätteter Oberfläche. – Inv. 1967.9945, FK Z01664.

323 RS, Teller mit eingebogenem Rand. Ton orange, innen Reste von Goldglimmerüberzug. Innen und aussen brandgeschwärzt. – Inv. 1967.9952, FK Z01664.

324 2 RS, kleine Schüssel mit profiliertem Rand und Wandknick. Ton orange. – Inv. 1967.9946.9947, FK Z01664.

325 RS, Kragenrandschüssel. Ton grau. – Inv. 1967.9951, FK Z01664.

326 RS, Schüssel mit einwärts gezogenem, verdicktem Rand. Ton grau. – Inv. 1967.9949, FK Z01664.

327 RS, Krug mit Trichterrand. Ton orange mit Resten von weissem Überzug. – Inv. 1967.9958, FK Z01664.

328 5 RS, Kochtopf mit Leistenrand. Ton braun, wenig mit Kalk gemagert. Innen und aussen Brandspuren. Scheibengedreht. – Inv. 1967.9954A–E, FK Z01664.

329 2 RS, Kochtopf mit verdicktem, nach aussen gebogenem Rand. Ton grauschwarz, mit Kalk gemagert. Handgemacht. – Inv. 1967.9955A.B, FK Z01664.

330 2 RS, BS, Kochtopf. Ton grau mit orangem Kern. Oberfläche stark abgeplatzt und versintert. Handgemacht. – Inv. 1967.9956A–C, FK Z01664.

349 Berger, Bericht 1966.052, 2.

350 Dieses Exemplar ist nicht mit dem ansonsten so häufigen horizontalen Kammstrich verziert. Die Form und Qualität entspricht dennoch den handgemachten Töpfen mit scharfkantig umgelegtem Rand. Vgl. dazu Martin-Kilcher 1980, 40–44 Abb. 13; 15; Schatzmann (in Vorb.).

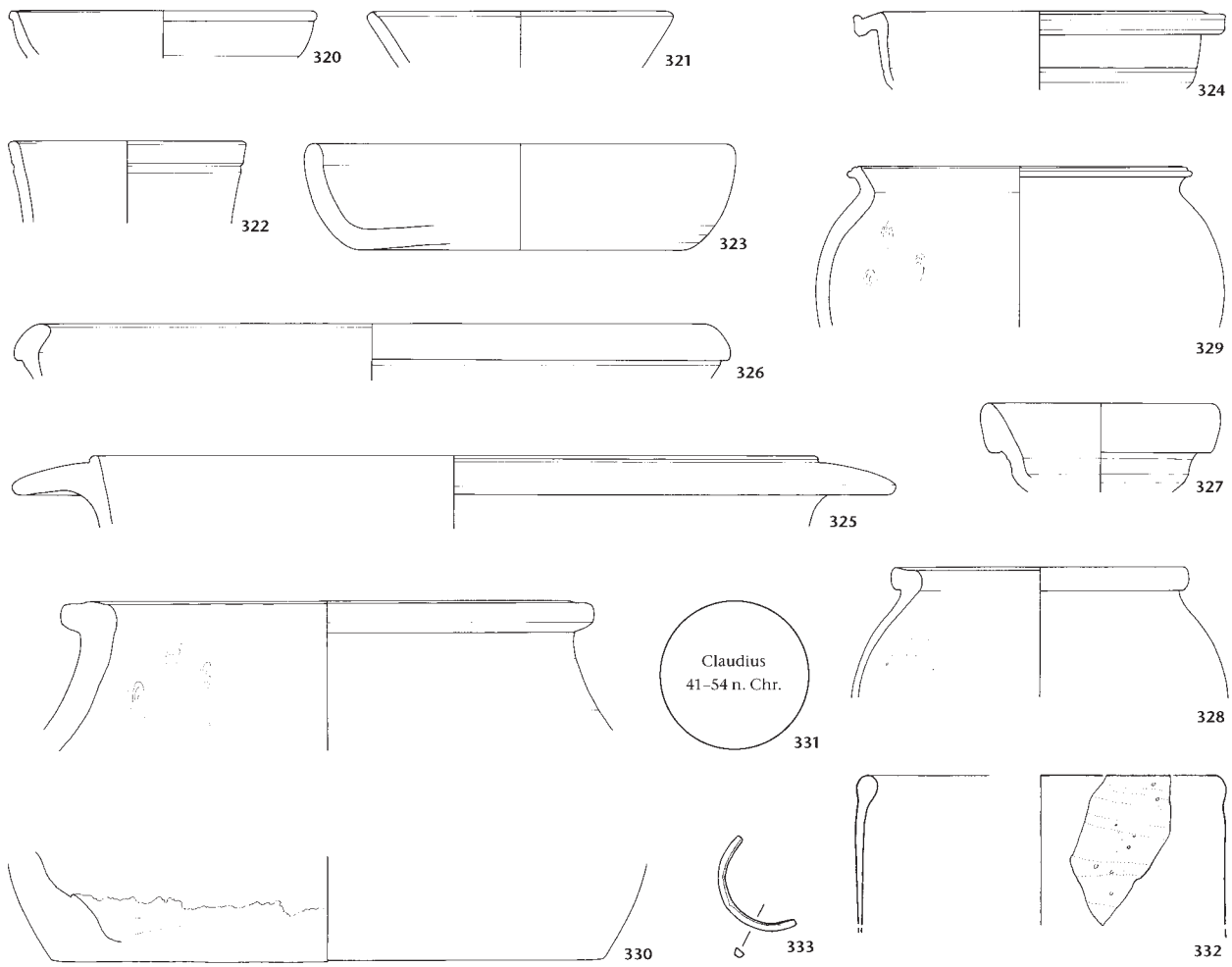


Abb. 171: Augst BL, Insula 5/9, Raum A (Grabung 1965–1967.052). Ensemble A11-F4: Funde aus dem Gehhorizont im Bereich der Feuerstelle F4. M. 1:3 (Glas und Bronze M. 1:2). ***320, 321*** *Terra Sigillata,* ***322–330*** *Gebrauchskeramik,* ***331*** *Münze,* ***332*** *Glas,* ***333*** *Bronze.*

Münze

331 Claudius. As. 41–54 n. Chr. Vgl. RIC I(2), S. 130, Nr. 113. A2/2, K2/2, 180°, 10,45 g. – Inv. 1967.9961, FK Z01664. – Publ.: Peter 1996, Ins. 5.9/11.

Glas

332 RS, Becher mit innen verdicktem, aussen gekehltem Rand. AR 98.1/Isings 85b. Nahezu farblos. – Inv. 1967.9959, FK Z01664. – Publ.: Rütti 1991/2, Kat. 1754.

Bronze

333 Ring. D-förmiger Durchmesser. – Inv. 1967.9960, FK Z01664.

Nicht abgebildete Funde

Keramik

– Vgl. Abb. 170.

Ensemble A11-GH

Allgemeine Charakterisierung: Dem bis zum Brandausbruch am Ende von Phase 11 begangenen Gehhorizont im Erdgeschoss von Raum A lassen sich vier Fundkomplexe zuweisen (FK X06523, FK X06543, FK Z01656 und FK Z01681), wobei Letzterer keine Funde geliefert hat (Abb. 172).

Die Objekte aus Ensemble A11-GH (Abb. 173) verkörpern den Fundniederschlag «aus und gerade über» der «Gebrauchsschicht vor der Katastrophe», einer aschigen und sandigen Lehmschicht, die nach den Angaben im FK-Büchlein teilweise auch rot verfärbt war.

Die meisten keramischen Funde und die allermeisten Kleinfunde aus Glas, Bein und Metall stammen aus FK X06523, der entlang von Mauer 2 abgegraben worden ist. Zu diesem Fundkomplex gehört auch die Münze **369**. Es handelt sich dabei um eine zeitgenössische Fälschung eines im Jahr 219 n. Chr. geprägten Denars des Elagabal. Andere Funde aus den Fundkomplexen X06543 und Z01656 sind in Form von grösseren Keramikfragmenten überliefert und lassen teilweise auch eine Rekonstruktion des gesamten Gefässprofils zu. Dies trifft beispielsweise auf die zwei gut erhaltenen Milchkochtöpfe **364** und **365** zu, die zum Zeitpunkt des Brandausbruchs auf dem Gehhorizont standen.

Datierung des Fundmaterials: Die Terra Sigillata stammt aus ostgallischer Produktion und umfasst Formen aus dem späteren 2. und aus den ersten Jahrzehnten des 3. Jahrhun-

derts. In diesen Zeithorizont gehören die Becher **334** und **335** der Form Déchelette 72, der Teller **337** der Form Drag. 32, die Schüsseln der Form Drag. 38 (o. Abb.), das Schälchen **338** der Form Drag. 40 sowie die Reibschüssel **339** der Form Drag. 43[351]. Etwas jünger sind die beiden Wandscherben eines Schälchens mit Glasschliff (o. Abb.) der Form Nb. 12. Solche Schälchen treten erst im zweiten Viertel des 3. Jahrhunderts auf[352].

Die Glanztonkeramik passt zeitlich gut zu den Terra-Sigillata-Funden. Die Becher **343–345** der Form Nb. 33 gelten ab dem zweiten Viertel des 3. Jahrhunderts in den entsprechenden Schichtzusammenhängen als Leitfunde[353]. Daneben finden sich ältere Bechertypen, wie etwa **340–342**. Es handelt sich dabei um Becher aus dem späteren 2. Jahrhundert[354]. Ebenso typisch für den Zeitabschnitt zwischen dem späteren 2. und der Mitte des 3. Jahrhunderts ist die grosse Anzahl von Tellern mit eingebogenem Rand **347–349** und von Schüsseln mit profiliertem Rand **350–352**. Das Randfragment **353** stammt von einer Schüssel mit profilierter Wandung, die um oder kurz nach der Mitte des 3. Jahrhunderts auftaucht[355]. Dazu passen die Kochtöpfe mit Leistenrand **359–361** sowie der Kochtopf mit scharfkantig umgelegtem Rand **363**. Letzterer ist in die Zeit um die Mitte des 3. Jahrhunderts zu datieren[356].

Hervorzuheben sind das Fragment eines Schlangentopfs **356** und das Randfragment eines Räucherkelches **357**. Die Fundvergesellschaftung könnte auf eine kultische Verwendung dieser beiden Gefässe hindeuten, zumal im Erdgeschoss auch zwei Merkurstatuetten, eine Statuette der Minerva sowie eines Zwerges gefunden wurden **(470–473)**[357].

Wie erwähnt, sind die beiden Milchkochtöpfe **364** und **365** *in situ* dokumentiert worden (vgl. Abb. 135,6). Der Milchkochtopf **364** ist fast ganz erhalten, der andere **365** in Form von grösseren Fragmenten. Letzterer weist überdies eine weitere Besonderheit auf: Der obere Rand ist sekundär abgearbeitet, das heisst, er besitzt die für das Auffangen der Milch notwendige Randhöhe nicht mehr. Vielleicht diente er zur Käseherstellung und nicht mehr ausschliesslich zum Kochen von Milch[358]? Wie schon Alex R. Furger bemerkte, sind solche Milchkochtöpfe sehr selten – auch ausserhalb von Augusta Raurica[359].

Die *Glasgefässe* **371–374** unterstützen die Gesamtdatierung des Ensembles. Besonders gut datieren lässt sich der steilwandige Becher **371** der Form AR 98.1/Isings 85b. In Augusta Raurica finden sich solche Becher zwischen der Mitte des 2. bis ans Ende des 3. Jahrhunderts[360].

Die *Beinobjekte* können zur Datierung in unserem Fall wenig beitragen. Interessant ist hingegen die Funktionsvergesellschaftung: Es handelt sich nämlich um vier Haarnadeln (**375**, **376,** o. Abb.)[361], um drei *tesserae* (**378** und o. Abb.[362]) und um eine Nähnadel **377**. Dazu kommen jeweils je ein Halbfabrikat für Haarnadeln **379** und *tesserae* **380**. Inwieweit diese Vergesellschaftung von Spiel- und Schmuckobjekten aus Bein und die dazugehörigen Halbfabrikate für eine gewerbliche Nutzung des Erdgeschosses von Raum A sprechen, wird noch zu diskutieren sein (s. u. S. 394 ff.).

351 Zur Datierung der Form Déchelette 72 vgl. Fünfschilling 2006, 143. Zum Auftreten der Formen Drag. 32, Drag. 40 und Drag. 38 vgl. Schatzmann 2003, 165; Heiligmann 1990, 166.

352 Vgl. Ammann 2002, 42; Schucany u. a. 1999, 155 Taf. 74 (Fundensemble D.10 Augst 9).

353 Schucany u. a. 1999, 142 Abb. 34 Taf. 74 (Fundensemble D.10 Augst 9).

354 Vgl. Schucany u. a. 1999, 154 Taf. 71; 72 (Fundensemble D.8 Augst 7).

355 Die Schüsseln mit profilierter Wandung sind in den Ensembles A11-EG und A11-OG häufig vertreten, im Gehhorizont jedoch nur in Form des Fragments **353**.

356 Vgl. Schatzmann 2003, 68; Schucany u. a. 1999, 155 Taf. 74 (Fundensemble D.10 Augst 9).

357 In diesem Sinne bereits Berger 1966, 3: «lagen in 10 cm Entfernung von der Ostmauer der Taberne auf engstem Raum beieinander»; Berger 1977, 34. Aus dem Grabungsbericht (Berger, Bericht 1965. 052, 26) geht ferner hervor, dass die Statuetten *im* Brandschutt lagen, also *im Erdgeschoss* aufgestellt gewesen sein müssen. Vgl. ferner auch Kaufmann-Heinimann 1977, Kat. 18; 31; 63; 84 (das Ensemble wird dort irrtümlicherweise noch als Hortfund angesprochen); Berger 1998, Abb. 166; Schmid 1991, 62–68 und Kaufmann-Heinimann 1998, 84–87 mit Abb. 42–44 mit weiterführender Literatur.

358 Verschiedene Autoren vertreten die Ansicht, dass rohe oder gekochte Milch in der Antike keine wichtige Rolle für die Ernährung spielte. Die Verwendung der Milch für die Herstellung von Butter und Käse war sicherlich viel bedeutsamer. Vgl. in diesem Zusammenhang Gerlach 2001, 51; Cool 2006, 93–97.

359 Furger 1985, 175. H. E. M. Cool ist der Ansicht, dass Keramikformen wie Siebe, Käseformen oder Milchkochtöpfe eher singuläre, vielleicht sogar nur von Spezialisten verwendete Formen darstellen (Cool 2006, 97). Für die Form der Töpfe mit gelochtem Einsatz vgl. auch Ettlinger u. a. 1990, 140 f. mit 51.1.1; 51.2.1; Pirling/Siepen 2006, 101; Rivet 2009, 436–438 mit Abb. 7,2a.2b oder für ein seltenes Gefäss mit durchlochtem, versenktem Rand, Schlangenapplikationen und aufgemalter Mithrasdarstellung, das in Mainz gefunden wurde, vgl. von Pfeffer 1960. Weitere Vergleiche, die allerdings in das 4. bzw. 1. Jahrhundert v. Chr. zu datieren sind, zeigen eine lange Formentradition dieser seltenen Keramikgefässe an. Sie finden sich u. a. in einem Schiffswrack «Fourmigue C» (Golfe Juan) aus dem 1. Jahrhundert v. Chr. (Baudoin u. a. 1994), und weitere Gefässe – allerdings zweihenklig –, die auch einen versenkten Rand mit Löchern aufweisen, finden sich bereits im 4. Jahrhundert v. Chr. in Korinth, die als Weinmischgefässe interpretiert werden (vgl. hierzu: McPhee 2000, 477 Abb. 17,E3). Diese beiden Literaturverweise verdanken wir Stefanie Martin-Kilcher, Basel/Bern.

360 Rütti 1991/1, 91–99.

361 Vgl. zur Datierung der Haarnadeltypen aus Augst Deschler-Erb 1998, 164–166 Abb. 242–245; für Avenches Schenk 2008, 132 Abb. 85.

362 Alle *tesserae* aus Ensemble A11-GH sind zurzeit im Depot des RMA nicht auffindbar und konnten daher nicht gezeichnet und in den Katalog aufgenommen werden. Leider sind diese Spielsteine auch bei Deschler-Erb 1998 nicht abgebildet. Vielleicht waren sie schon damals verschollen. Im Katalog wird – stellvertretend für diesen *tessera*-Typ – ein Spielstein schematisch abgebildet.

Form/Typ	RS	BS	WS	HE	Total	MIZ
TS, ostgallisch						
Déchelette 72	3		6		9	3
Nb. 12			2		2	1
Drag. 33	4	1			5	5
Drag. 32	13				13	6
Drag. 40	2				2	2
Drag. 38			1		1	1
Drag. 43	1				1	1
Drag. 37			2		2	2
Becher, Typ unbestimmt				1	1	1
Glanztonkeramik						
Becher mit Karniesrand	5		1		6	5
Becher mit verdicktem Steilrand	4		1		5	5
Nb. 32	1		1		2	2
Nb. 33	12	11	19		42	29
Becher mit Weissbarbotine		1	2		2	1
Form unbestimmt			6		7	7
Übrige Keramik						
Helltonige Gebrauchskeramik						
Teller mit eingebogenem Rand	18	4			22	18
Schüssel mit profiliertem Rand und Wandknick	11				11	11
Schüssel	3				3	3
Horizontalrandschüssel	1				1	1
Krug	3				3	2
Räucherkelch	1				1	1
Milchkochtopf	2				2	2
Grautonige Gebrauchskeramik						
Teller mit verdicktem Steilrand	4				4	4
Schüssel mit nach innen verdicktem Rand	1				1	1
Schlangentopf			1		1	1
Deckel	3				3	3
Kochtopf, scheibengedreht	18				18	11
«Rätische» Reibschüssel	1				1	1
Handgemachte Keramik						
Kochtopf	2				2	2
Total Fragmente/MIZ	**113**	**17**	**42**	**1**	**173**	**132**

Abb. 172: Augst BL, Insula 5/9, Raum A (Grabung 1965–1967.052). Ensemble A11-GH: Fundstatistik zur Keramik (FK X06523, FK X06543, FK Z01656, FK Z01681). MIZ = RS, BS, WS, HE.

Weitere Schmuckelemente sind aus Bronze gefertigt. Es handelt sich dabei um eine Haarnadel mit Pilzkopf **381**, die in Augusta Raurica nur selten belegt ist. Die Fragmente einer vierfach geflochtenen Fuchsschwanzkette **383** werden wegen ihres feinen Durchmessers (0,4 cm) als Relikte einer Schmuckkette angesprochen[363]. Die Fibel mit kammförmigem Bügel **382** wird wegen ihrer Nähe zu den Armbrustscharnierfibeln in das späte 2. und in das frühe 3. Jahrhundert datiert.

Mit dem Riemenschurzanhänger **384** ist im Fundensemble A11-GH auch ein militärisches Objekt vertreten. Solche Schurzanhänger kommen vom 1. bis ins 3. Jahrhundert vor[364]. Die Eisenfunde **385–387** – ein Splint, ein Messer und ein Schlüssel – gehören wohl zum Hausrat.

Eine ausführlichere Würdigung verdient das *Fragment einer Bleistatuette* **388**: Es handelt sich dabei um ein 6,8 cm grosses Fragment eines Bleivotivs, das drei kugelbauchige Gefässe (?) mit Henkeln (?) auf Säulen zeigt. Das Objekt ist in einer zweischaligen, beidseitig ausgearbeiteten Negativform gegossen worden und weist kaum überarbeitete Gussnähte und Oberflächen auf. Das Stück kann daher als Halbfabrikat angesprochen werden. Der deformierte Eingusstrichter befindet sich am unteren Ende der Statuette. Dieser wurde stehen gelassen und war wohl einst unten flach und diente vielleicht als Sockelbasis. Zudem befindet sich im unteren Teil des Reliefs eine längliche Durchbohrung: Es ist anzunehmen, dass diese Durchlochung (zusammen mit anderen?) für die Befestigung an einem Träger aus Holz (?) vorgesehen war[365].

In diesem Zusammenhang ist auf eine Zinnstatuette mit einer Victoria- und einer Delfindarstellung aus dem *vicus Vitudurum* hinzuweisen[366]. Da Victoria und Delfin keine mythologische Zweierkonstellation darstellen, vermutet Annemarie Kaufmann-Heinimann, dass es sich um ein Halbfabrikat handelt und dass die beiden Figuren nach dem Guss einzeln verwendet werden sollten.

Bei Blei- und Zinnfigürchen handelt es sich um einfache und ohne grossen künstlerischen Anspruch angefertigte Devotionalien, die sich wohl grosser Beliebtheit er-

363 Emilie Riha vermutet hingegen auch schon, dass etliche Bronzekettchen ebenfalls als Aufhängungsvorrichtungen z. B. für Lämpchen usw. gedient haben könnten. Vgl. dazu auch Deimel 1987, 60 Taf. 42,13.14.

364 Deschler-Erb 1999, 48 f. Abb. 46 Taf. 21. Bei diesen Schurzanhängern könnte es sich auch um kleine Pferdegeschirranhänger handeln. Vgl. dazu Deschler-Erb 1999, 48 Taf. 25; 26.

365 Bánki 1980, 194. Da die Rückseite der Bleifiguren manchmal ebenfalls sorgfältig ausgearbeitet ist, muss es sich zum Teil um Rundfiguren handeln. Vgl. in diesem Zusammenhang Zsidi 2000, 315 Abb. 4,1.2 (aus Blei gegossene Statuette einer Fortuna mit Brüsten, Nabel und Gesäss).

366 Kaufmann-Heinimann 1996, 113. Leider wurden die Statuetten im Grabungsabraum gefunden. Nach der Rekonstruktion des Fundortes konnte die dazugehörige Schicht in flavisch-hadrianische Zeit datiert werden. Diesen Literaturhinweis verdanken wir Sylvia Fünfschilling, Augst. – Ein Neufund einer Venusstatue aus Vallon-Sur Dompierre/FR datiert an das Ende des 3. oder an den Beginn des 4. Jahrhunderts (vgl. Monnier 2009).

freuten[367]. Dies vielleicht auch deswegen, weil sie noch leichter herzustellen waren als Tonstatuetten. In Pannonien finden sich solche Bleivotive sehr oft in Form von Spiegel- oder Aediculavotiven, am Absatzort – in Heiligtümern – wie auch an den Produktionsorten[368].

Katalog der Funde aus Ensemble A11-GH (Abb. 173)

Terra Sigillata

334 RS, TS (ostgallisch), Becher Déchelette 72. – Inv. 1966.4015, FK X06523.

335 2 RS, 3 WS, TS (ostgallisch), Becher Déchelette 72. – Inv. 1966.4018b–e.g, FK X06523.

336 RS, TS (ostgallisch), Schale Drag. 33. – Inv. 1966.4012, FK X06523.

337 3 RS, TS (ostgallisch), Teller Drag. 32. – Inv. 1967.5013, FK X06543.

338 RS, TS (ostgallisch), Schale Drag. 40. – Inv. 1966.4013, FK X06523.

339 RS, TS (ostgallisch), Reibschale Drag. 43. – Inv. 1967.5010, FK X06543.

Übrige Keramik

340 RS, Glanztonbecher mit Karniesrand. Ton orange mit orangem Überzug und Ratterblechdekor. – Inv. 1966.4028, FK X06523.

341 RS, Glanztonbecher mit verdicktem Steilrand. Ton orangebraun mit braunem Überzug innen und aussen und Barbotinedekor. – Inv. 1966.4040, FK X06523.

342 RS, Glanztonbecher Nb. 32. Ton orange mit Goldglimmerüberzug aussen und innen. – Inv. 1966.4047, FK X06523. – Publ.: Bruckner 1975, 71,53.

343 RS, Glanztonbecher Nb. 33. Ton graubeige, aussen über dem Rand geschwärzt, mit Riffeldekor. – Inv. 1966.4041, FK X06523.

344 RS, Glanztonbecher Nb. 33. Ton braunbeige mit braunem Überzug. – Inv. 1967.5017F, FK X06543.

345 RS, Glanztonbecher Nb. 33. Ton grau mit schwarzem Überzug aussen. – Inv. 1967.5022a, FK X06543.

346 2 WS, Becher mit weisser Barbotineauflage. Ton orange mit metallisch glänzender Oberfläche. Wohl zusammengehörend. – Inv. 1966.4024c.d, FK X06523. – Publ.: Bruckner 1975, 68,27.

347 RS, Teller mit eingezogenem Rand. Ton orange. Innen und aussen Brandspuren. – Inv. 1967.5371, FK Z01656.

348 2 RS, Teller mit eingebogenem Rand. Ton orange. Über dem Rand leicht geschwärzt. – Inv. 1967.5035.5036, FK X06543.

349 RS, Teller mit eingebogenem Rand. Ton orange, innen und aussen orange überzogen. – Inv. 1966.4065, FK X06523.

350 RS, Schüssel mit profiliertem Rand. Ton orange. Aussen leicht sekundär verbrannt. – Inv. 1967.5369, FK Z01656.

351 RS, Schüssel mit profiliertem Rand und Wandknick. Ton orange mit grauem Kern. – Inv. 1966.4061, FK X06523.

352 RS, Schüssel mit profiliertem Rand und Wandknick. Ton ziegelrot. Aussen und innen mit Goldglimmerüberzug. – Inv. 1967.5028, FK X06543.

353 RS, Schüssel mit Steilrand. Ton orange. – Inv. 1967.5370, FK Z01656.

354 RS, Schüssel mit eingezogenem und verdicktem Rand. Ton graubraun. – Inv. 1966.4072, FK X06523. – Publ.: Bruckner 1975, 76,116.

355 2 RS, Krug mit Trichterrand. Ton orange. – Inv. 1966.4074, FK X06523.

356 WS, Schlangentopf. Ton grau mit schwarzer Oberfläche. – Inv. 1966.4042, FK X06523. – Publ.: Bruckner 1975, 72,66; Schmid 1991, Kat. 120 (Gruppe A: 1. Jh. und erste Hälfte 2. Jh.); Kaufmann-Heinimann 1998, Abb. 44,3.

357 RS, Räucherkelch. Ton orange mit weisser Farbe innen und aussen. Aussen unter dem Wellenrand Reste von roter Farbe. – Inv. 1966.4058, FK X06523. – Publ.: Bruckner 1975, 72,70; Kaufmann-Heinimann 1998, Abb. 44,1.

358 2 RS, Deckel. Ton grau mit graubraunem Überzug aussen. – Inv. 1966.4054a.b, FK X06523. – Publ.: Bruckner 1975, 73,76.

359 RS, Kochtopf mit leicht gekehltem, nach innen verdicktem Rand. – Inv. 1966.4052, FK X06523.

360 2 RS, Kochtopf mit verdicktem Leistenrand. – Inv. 1966.4049. 4053, FK X06523.

361 RS, Kochtopf mit Leistenrand. Ton grau. Rand unsauber gedreht; Fehlproduktion. – Inv. 1967.5368, FK Z01656.

362 RS, Kochtopf mit kurzem, verdicktem Wulstrand. Ton hellgrau, mit Kalk gemagert, graue Oberfläche. Über dem Rand leicht geschwärzt. – Inv. 1967.5047, FK X06543.

363 RS, Kochtopf mit scharfkantig umgelegtem Rand. Ton graubraun, stark mit Kalk und Quarz gemagert. Handgemacht, überdreht. – Inv. 1967.5050B, FK X06543.

364 Fast ganz erhaltener Milchkochtopf. Ton orange. – Inv. 1967. 5056, FK X06543. – Publ.: Furger 1985, 171 Abb. 5,1.

365 Fast ganz erhaltener Milchkochtopf. Ton orange. – Inv. 1967. 2539, FK X06543. – Publ.: Berger 1966, Abb. 23; Furger 1985, 171 Abb. 5,2.

366 RS, «rätische» Reibschüssel. Ton orangebraun. Über dem Rand und in der Innenkehlung rotbrauner Überzug. – Inv. 1967. 5045, FK X06543.

Münzen

367 Augustus bis Gaius. Prägeherr unbestimmt. Kleinbronze, östliche Prägestätte?, 27 v.–41 n. Chr.? Vs.: Kopf n. r.; Rs.: stehende Figur n. r. A0/0, K4/4, 2,76 g. Bestimmung unsicher. – Inv. 1966.4097, FK X06523. – Publ.: Peter 1996, Ins. 5.9/9.

368 Antoninus Pius für Diva Faustina I. Dupondius. Rom, 141–161 n. Chr. Vgl. RIC III, S. 166, Nr. 1156a. A3/3, K2/2, 360°, 14,56 g. – Inv. 1966.4094, FK X06523. – Publ.: Peter 1996, Ins. 5.9/35.

369 Elagabal. Denar. Rom, 219 n. Chr. Zeitgenössische Fälschung. Vgl. RIC IV.2, S. 29, Nr. 13. A1/1, K3/3, 360°, 2,85 g. Gussnaht am Rand sichtbar. – Inv. 1966.8132, FK X06523. – Publ.: Peter 1996, Ins. 5.9/47; Peter 2001, 126 f.

Lampe

370 Fragment einer offenen Lampe. Ton orange mit leichtem Goldglimmer aussen und innen. – Inv. 1967.5016, FK X06543.

Glas

371 RS, Becher mit innen verdicktem, aussen gekehltem Rand. AR 98.1/Isings 85b. Wohl beinahe farblos, jetzt von dicker, vielfarbig irisierender Schicht bedeckt. – Inv. 1966.4081, FK X06523. – Publ.: Rütti 1991/2, Kat. 1756.

372 RS, glattwandiger Topf mit Fadenring auf der Schulter. AR 104.2/Trier 37. – Inv. 1966.4076, FK X06523. – Publ.: Rütti 1991/2, Kat. 2009.

373 RS, Krug nicht näher bestimmbar. AR 163.2/Variante Isings 55a. Blaugrün, durchscheinend. – Inv. 1966.4078, FK X06523. – Publ.: Rütti 1991/2, Kat. 3699.

374 2 WS, Becher oder Flasche? AR 60.3/Isings 96b2. Runde und spitze Warzen, nahezu farblos. – Inv. 1966.4080, FK X06523. – Publ.: Rütti 1991/2, Kat. 1360.

Bein

375 Haarnadel mit kleinem Balusterkopf. – Inv. 1966.4084, FK X06523. – Publ.: Deschler-Erb 1998, Kat. 3340; Riha 1990, Kat. 2520.

376 Haarnadel mit Zwiebelkopf. – Inv. 1966.4085, FK X06523. – Publ.: Deschler-Erb 1998, Kat. 2096; Riha 1990, Kat. 1894.

377 Nähnadel mit abgeplattetem Kopf und Schlitzöhr. – Inv. 1966. 4086, FK X06523. – Publ.: Deschler-Erb 1998, Kat. 686.

378 *tessera* mit konzentrischen Kerben ohne Stege. – Inv. 1966. 4090, FK X06523. – Publ.: Deschler-Erb 1998, Kat. 1436; dort nicht abgebildet. Schematisch dargestellt nach Deschler-Erb 1998, Kat. 1428, da verschollen bzw. zurzeit nicht auffindbar.

367 In diesem Sinne vgl. Schaltenbrand Obrecht 2008, 128 Abb. 157; Merten 2006; Zsidi 2000, 322–328; Kaufmann-Heinimann 1996, 114.

368 Zsidi 2000, 322 Abb. 9.

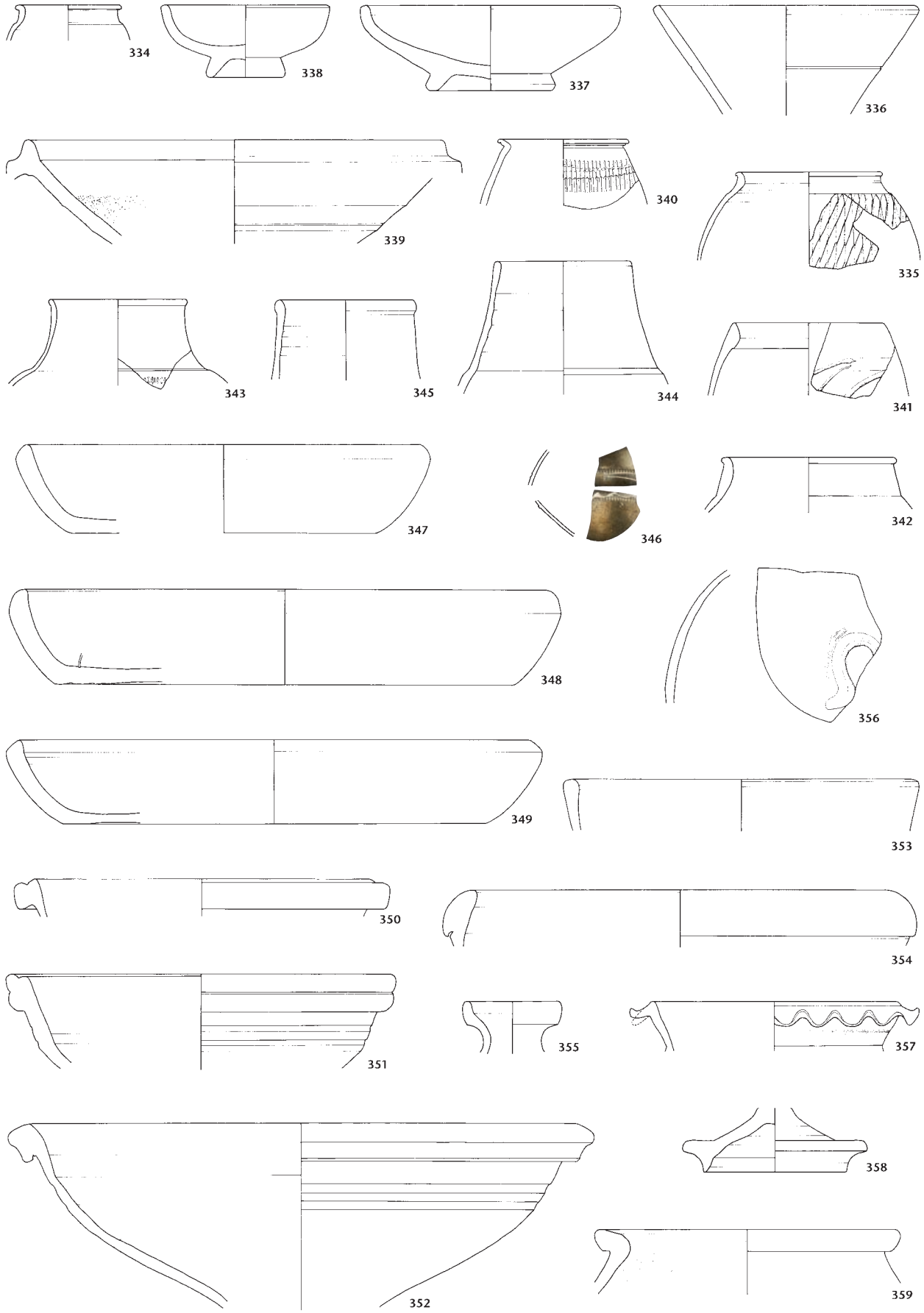


Abb. 173: Augst BL, Insula 5/9, Raum A (Grabung 1965–1967.052). Ensemble A11-GH: Funde aus dem jüngsten Gehhorizont («Gebrauchsschicht vor der Brandkatastrophe») im Erdgeschoss von Raum A. M. 1:3. ***334–339*** *Terra Sigillata,* ***340–346*** *Glanztonkeramik,* ***347–359*** *Gebrauchskeramik.*

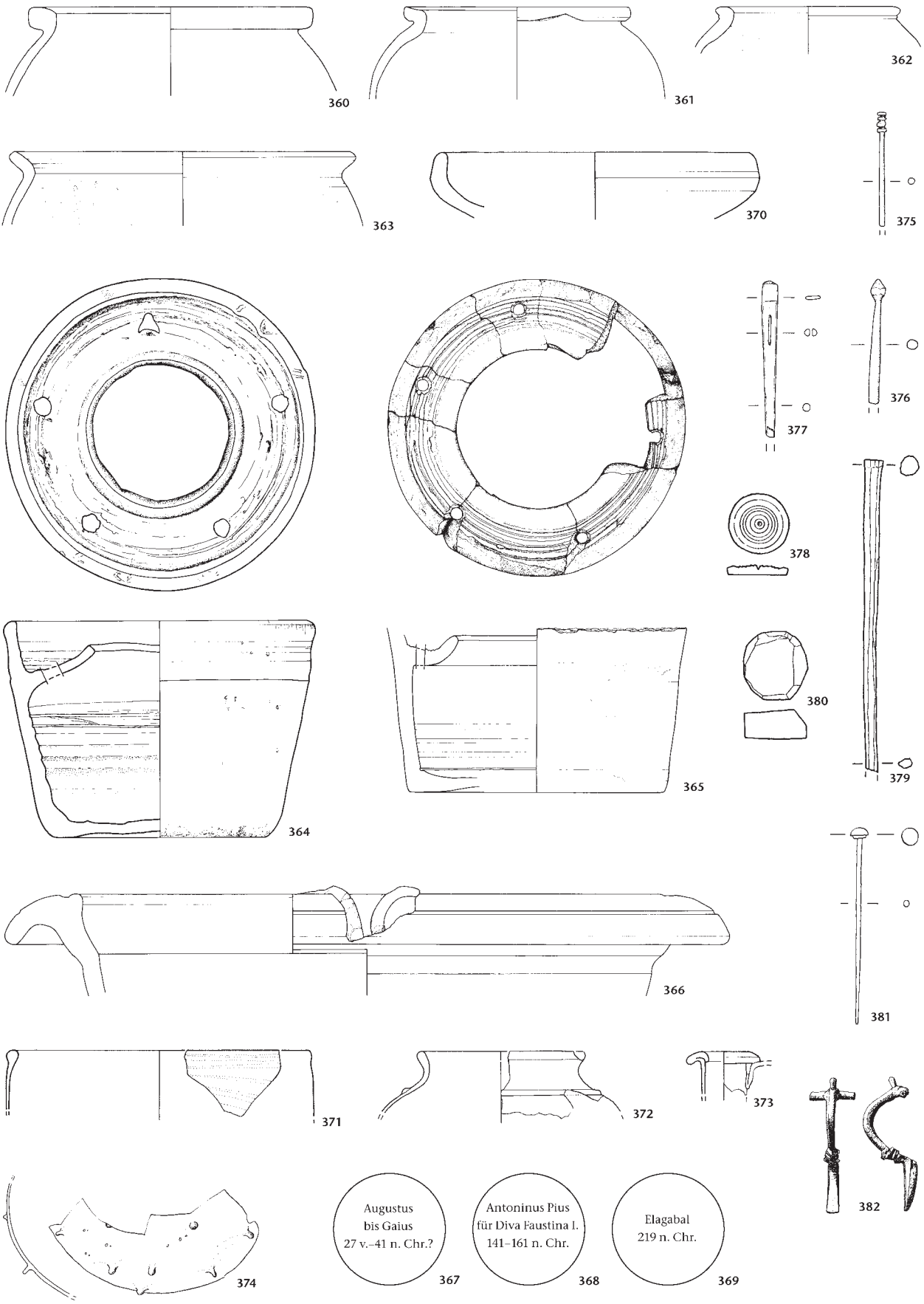


Abb. 173 (Fortsetzung): Augst BL, Insula 5/9, Raum A (Grabung 1965–1967.052). Ensemble A11-GH: Funde aus dem jüngsten Gehhorizont («Gebrauchsschicht vor der Brandkatastrophe») im Erdgeschoss von Raum A. M. 1:3 (Lampe, Glas, Bein, Bronze M. 1:2). ***360–366*** *Gebrauchskeramik,* ***367–369*** *Münzen,* ***370*** *Lampe,* ***371–374*** *Glas,* ***375–380*** *Bein,* ***381, 382*** *Bronze.*



Abb. 173 (Fortsetzung): Augst BL, Insula 5/9, Raum A (Grabung 1965–1967.052). Ensemble A11-GH: Funde aus dem jüngsten Gehhorizont («Gebrauchsschicht vor der Brandkatastrophe») im Erdgeschoss von Raum A. M. 1:2 (Stein M. 1:4). ***383, 384*** *Bronze,* ***385–387*** *Eisen,* ***388*** *Blei,* ***389*** *Stein.*

379 Nadelhalbfabrikat. – Inv. 1966.4087, FK X06523. – Publ.: Deschler-Erb 1998, Kat. 5864.

380 *tessera*-Halbfabrikat. – Inv. 1966.4088, FK X06523. – Publ.: Deschler-Erb 1998, Kat. 5893.

Bronze

381 Haarnadel mit pilzförmigem, abgesetztem Kopf. – Inv. 1966.4096, FK X06523. – Publ.: Riha 1990, Kat. 2265.

382 Fibel mit kammförmigem Bügel. Riha Typ 6.3. – Inv. 1966.8127, FK X06523. – Publ.: Riha 1979, Kat. 1427.

383 7 Fragmente einer Fuchsschwanzkette aus Bronzedraht mit einem Verschlussglied. – Inv. 1966.4100, FK X06523. – Ähnlich Riha 1990, Kat. 751.

384 Schurzanhänger, blechförmig. Aufhängehaken ist nach hinten gebogen. Herzförmiger Körper endet in einem dreiblättrigen Schwanz. – Inv. 1966.4099, FK X06523. – Ähnlich Deschler-Erb 1999, Kat. 426–430.

Eisen

385 Splint. Unvollständig erhalten und Oberfläche stark korrodiert. – Inv. 1967.5055, FK X06543.



Abb. 173 (Fortsetzung): Augst BL, Insula 5/9, Raum A (Grabung 1965–1967.052). Ensemble A11-GH: Funde aus dem jüngsten Gehhorizont («Gebrauchsschicht vor der Brandkatastrophe») im Erdgeschoss von Raum A. M. 1:5. ***390*** *Architekturelement.*

386 Schlüssel. Bart oberständig; Zinken stark fragmentiert. Griffplatte langrechteckig mit Griffloch. – Inv. 1966.8126, FK X06523.
387 Messer. Schneidteil unvollständig erhalten. Stark korrodierte Oberfläche. – Inv. 1967.18985, FK X06543.

Blei
388 Bleirelief, Halbfabrikat. Darstellung mit drei halbkugeligen Henkelgefässen auf Säulen. – Inv. 1966.4481, FK X06523.

Stein
389 Seitenplatte von einer Formplatte für Vierkantflaschen. Marmor. – Inv. 1966.4313, FK X06523.

Architektur
390 Marmorplatte. – Inv. 1967.5054A–G, FK X06543. – Passstücke: Inv. 1967.6665A–E, FK X06542 (Ensemble A11-OG).

Nicht abgebildete Funde
Keramik
– Vgl. Abb. 172.

Glas
– RS, Becher mit innen verdicktem, aussen gekehltem Rand. AR 98.1/Isings 85b. Blaugrün, durchscheinend. – Inv. 1966.4077, FK X06523. – Publ.: Rütti 1991/2, Kat. 1785.
– BS, nicht näher bestimmbar. Blaugrün. – Inv. 1966.4079, FK X06523. – Publ.: Rütti 1991/2, Kat. 4715.

Bein
– Haarnadel mit rundem/ovalem Kopf. – Inv. 1966.4083, FK X06523. – Publ.: Deschler-Erb 1998, Kat. 2173; Riha 1990, Kat. 1893.
– Haarnadel, pfriemenförmig. – Inv. 1966.4082, FK X06523. Zurzeit nicht auffindbar. – Publ.: Deschler-Erb 1998, Kat. 3436; Riha 1990, Kat. 2728.
– *tessera* mit konzentrischen Kerben ohne Stege. – Inv. 1966.4089, FK X06523. Zurzeit nicht auffindbar. – Publ.: Deschler-Erb 1998, Kat. 1447.
– *tessera* mit konzentrischen Kerben ohne Stege. – Inv. 1966.4091, FK X06523. Zurzeit nicht auffindbar. – Publ.: Deschler-Erb 1998, Kat. 1448.

Bronze
– Fragment eines Kettendrahtgliedes. – Inv. 1966.4098, FK X06523. – Ähnlich Riha 1990, Kat. 746.

Eisen
– Eisen, zurzeit nicht auffindbar. – Inv. 1966.4311, FK X06523.
– nach Inventarbuch, da derzeit nicht auffindbar: Schlüssel. – Inv. 1966.4095, FK X06523.
– Nagel. – Inv. 1966.4296, FK X06523.

Wandverputzfragmente
– 2 Fragmente rosa und weiss. – Inv. 1966.4092.4093, FK X06523.

Architekturelemente

– Architektur oder Steinfragment? – Inv. 1966.4314, FK X06523. Zurzeit verschollen.
– Kalksteinsplitter. – Inv. 1966.4315, FK X06523.

Ensemble A11-EG

Allgemeine Charakterisierung: Die Grabungen 1965–1967.052 und 2002.063 lieferten ein umfangreiches Fundensemble aus dem Brandschutt, das dem *Inventar des Erdgeschosses von Raum A* zugewiesen werden konnte.

In der überlieferten Fundmenge manifestiert sich jedoch auch eine abweichende Inventarisierungsart (s. o. S. 25 ff.): In den Jahren 1966 und 1967 wurden zehn Fundkomplexe und 159 Inventarnummern vergeben, im Jahr 2002 fünf Fundkomplexe mit 553 Inventarnummern[369]. Wenn man diese Angaben auf die inventarisierten Fundgattungen überträgt, ergeben sich vor allem bei der Glanztonkeramik beachtliche Unterschiede: So wurden 1966 und 1967 lediglich 21 Bruchstücke von Glanztongefässen inventarisiert, im Jahr 2002 hingegen 305 Fragmente! Auf die Mindestindividuenzahl (MIZ) bezogen, ergeben sich beispielsweise für den Becher der Form Nb. 33 Anteile von 10:76. Dieses Phänomen lässt sich auch bei der orangen Gebrauchskeramik beobachten: Im Jahr 2002 wurden 151 Gefässbruchstücke inventarisiert, in den Jahren 1966 und 1967 lediglich 72 Gefässteile. Bemerkenswert ist der Unterschied in der Bestandesaufnahme der Mindestindividuenzahl bei den Schüsseln mit profilierter Wandung. Hier stehen vier Schüsseln aus den Grabungen 1966 und 1967 den elf Individuen aus dem Jahr 2002 gegenüber (vgl. Abb. 9; 10). Ohne die Funde aus der Grabung 2002.063 würden sich völlig andere Mindestindividuenanteile für das Fundensemble A11-EG ergeben. Die Funde aus der Grabung 2002.063 haben folglich die Verhältniszahlen der Keramikgattungen und -formen massgeblich beeinflusst. Zu berücksichtigen ist dies auch beim Vergleich von Ensemble A11-EG mit den Ensembles aus dem Gehhorizont (A11-GH) und aus dem Obergeschoss (A11-OG), die beide ausschliesslich Funde aus den Jahren 1965–1967 umfassen.

Datierung des Fundmaterials: Die Keramik aus den insgesamt 15 Fundkomplexen (Abb. 174) verkörpert ein zeitlich sehr homogenes Spektrum (Abb. 175). Wenige Altstücke stammen aus dem 1. und frühen 2. Jahrhundert, so etwa die südgallischen Terra-Sigillata-Gefässe **391**, **398** und o. Abb., die orangebraunen Glanztongefässe **408, 409** und o. Abb. und ein Steilrandtopf (o. Abb.) sowie eine Kragenrandschüssel **433**[370].

Das Ensemble aus dem Erdgeschoss umfasst mehrheitlich Keramiktypen, die typisch für das zweite und dritte Viertel des 3. Jahrhunderts sind. Dies zeigt u. a. die Dominanz der ostgallischen Terra-Sigillata-Gefässe. Dabei kommen die Schälchen **392** und **393** der Form Drag. 33 und die Schälchen **396** und **397** der Form Drag. 40 vor. Letztere tauchen schon in der zweiten Hälfte des 2. Jahrhunderts auf, sind aber zum Beispiel im Kastell Niederbieber während der ganzen Belegungszeit sehr häufig[371]. Das Bild wird durch die Schälchen **394** und **395** mit Glasschliffdekor der Form Nb. 12 und die Schüsseln **402** und **403** der Formen Curle 21/Nb. 20 und Drag. 44/Nb. 18 sowie der Reibschüssel **407** der Form Drag. 45/Nb. 22 ergänzt[372].

Die Dominanz der Becher **412–418**[373] der Form Nb. 33 unterstützt eine Datierung des Ensembles in die Jahre zwischen 250 und 260/270 n. Chr. Die Becher besitzen zumeist einen grauschwarzen oder orangebraunen, matt glänzenden Überzug und stammen wahrscheinlich aus lokaler Produktion. Glanztonschälchen wie **421** kommen in Augusta Raurica eher selten vor, finden sich aber auch in Insula 22 oder in Ensemble HL11[374]. Für die Becher oder Töpfchen **419** und **420** mit graubrauner, matter Glanztonoberfläche fehlen hingegen bislang publizierte Parallelen. Ähnliche Töpfchen wie **419** oder **420** – jedoch ohne Glanztonüberzug – sind im selben Ensemble A11-EG mit **440** vertreten[375]. Ein vergleichbares Töpfchen wurde in Insula 31 gefunden; es kann dort in die Jahre zwischen 170 und 210 n. Chr. datiert werden[376].

Die übrigen Gefässtypen passen gut in den oben skizzierten Zeitraum. Dies trifft in erster Linie auf die orangen Teller mit eingebogenem Rand **422–424**, die grauen Teller **425** und **426**, die Bandrandkrüge wie **444**, die Schüsseln mit profiliertem Rand **437** und **438** und die Schüsseln mit profilierter Wandung **427–432** zu. Schüsseln mit profilierter Wandung sind im Inventar des Erdgeschosses in mannigfacher Grösse und Ausprägung vorhanden: Sie besitzen kleinere Durchmesser wie **428** und **429** oder grössere wie etwa **431** und **432**. Die äussere Profilierung – gemeint ist

369 1966 und 1967 wurden folgende FKs vergeben: FK X04634, FK X04638, FK X04670, FK X06508, FK X06520, FK X06548, FK X06550, FK Z01654, FK Z01660, FK Z01662. Im Jahr 2002 wurden folgende Fundkomplexe vergeben: FK E06092, FK E06773, FK E06778, FK E06790, FK E07759. – Der letztgenannte FK hat keine Funde geliefert; FK E06092 ist weitaus der fundreichste und umfasst insgesamt 489 Fundnummern.

370 Die Altstücke fanden sich sowohl in Fundkomplexen der Grabung 2002 (FK E06092) wie auch der Grabung 1966–1967.052 (FK X06520, FK Z01660).

371 Oelmann 1914, 22 f. Vgl. dazu auch Hoek 1991, 116 Abb. 26,12; Furger/Deschler-Erb 1992, 131 Abb. 77; 78 sowie Schucany u. a. 1999, 154 Taf. 73 (Fundensemble D.9 Augst 8).

372 Ammann 2002, 42.

373 Der Becher **418** stand zum Zeitpunkt der Zerstörung von Raum A im Innern des Backofens. Vgl. hierzu Berger 1966, 28 f. Abb. 24.

374 Vgl. Schucany u. a. 1999, 155 Taf. 74 (Fundensemble D.10 Augst 9) sowie hier in Ensemble HL11 (Abb. 191,**767**). Aus dem Ensemble A11-OG liegt ein Schälchen **566** dieser Form vor, das wegen des fehlenden Überzugs jedoch nicht zu den Glanztongefässen gezählt wird.

375 Auch im Ensemble A11-OG sind Töpfchen ohne Glanztonüberzug vorhanden (vgl. Abb. 177,**565**).

376 Schucany u. a. 1999, 154 Taf. 71; 72 (Fundensemble D.8 Augst 7). Auch dieses Töpfchen weist keinen Glanztonüberzug auf. Es ist jedoch mit einem Goldglimmerüberzug versehen und geglättet.

der Kragen an der Wandung – kann flach, flau oder wenig ausgeprägt sein (z. B. bei **431, 432**). Bei anderen Exemplaren, z. B. bei **427–430**, ist der Kragen markanter und mehrfach profiliert. Die Schüsseln können überdies, wie etwa **432**, mit roten Überzugresten versehen sein, wie **427** orangebraun und ohne Überzug oder auch wie **430** grauschwarz ohne Überzug im Material vorkommen. Man darf eine formale Nähe zu den Terra Sigillaten der Formen Drag. 38, Drag. 44/Nb. 18 und Nb. 19 konstatieren[377]. Zum Aufkommen dieser Schüsselform hat schon Stefanie Martin-Kilcher Parallelen aus Augst, Kaiseraugst und Rheinfelden-Görbelhof angeführt und diese Schüsseln in die Zeit um 250 n. Chr. und in die erste Hälfte des 4. Jahrhunderts datiert[378].

Die *Kochkeramik* zeigt neben den Kochtöpfen mit Leistenrand **448–451** und den handgemachten Kochtöpfen mit scharfkantig umgelegtem Rand **456, 457** und o. Abb. einen Kochtopftyp **453–455** auf, der in Augusta Raurica eher selten ist. Es handelt sich um scheibengedrehte Kochtöpfe – auch mit teilweise scharfkantig umgelegtem Rand –, die oft – aber nicht zwingend – verziert mit scharfem, klarem Kammstrich auf der Aussenseite und manchmal auf dem Rand vorkommen[379]. Die äussere Form erinnert stark an die handgemachten, gleichnamigen Kochtöpfe mit scharfkantig umgelegtem Rand und Kammstrich **456** und **457**. Der entscheidende Unterschied liegt jedoch darin, dass diese Kochtöpfe (z. B. **454**) nicht handgeformt, sondern scheibengedreht sind und dass der Ton nicht fett gemagert ist. Zudem wurden diese Töpfe hart gebrannt. Gute Parallelen liegen aus Kaiseraugst-Schmidmatt vor: Ein Gefäss stammt aus dem Vorratsschrank und ein weiteres Gefäss mit Fehlbrand stammt eventuell aus einem dort lokalisierten Töpferofen[380].

Neben der Keramik umfasst das Inventar des Erdgeschosses ein von Russ geschwärztes Bodenfragment **483** eines Lavezgefässes. Der Bodendurchmesser beträgt fast 25 cm; es handelt sich wohl um das Bodenfragment eines Tellers oder eines Eimers[381]. Die Standfläche des Bodens ist um einen regelmässig rund scharrierten, etwas erhobenen zentralen Bereich gut geglättet. Solche Scharrierungen finden sich immer wieder am Boden oder auch an Aussenwänden und dienten einer besseren Griff- oder Standfestigkeit der Gefässe[382]. Die Verwendung von Lavezgeschirr, das äusserst gut die Wärme bindet und beim Kochen keinen Fremdgeschmack abgibt, ist seit dem 1. Jahrhundert bis in die Spätantike und darüber hinaus auch noch in mittelalterlichen und neuzeitlichen Fundinventaren belegt[383]. In Augusta Raurica kommt Lavezgeschirr erst ab dem späteren 3. Jahrhundert regelmässig vor[384].

Die Datierung des Keramikspektrums in die Jahre zwischen 250 und 260/270 n. Chr. wird durch die drei vorliegenden Münzen **460–462** nicht weiter unterstützt. Die jüngste Münze **462**, ein stark abgegriffener, zwischen 154 und 159 n. Chr. geprägter Dupondius des Antoninus Pius liefert einen weit zu fassenden *terminus post quem* für das Brandereignis.

Das *Glasinventar* des Erdgeschosses ist durch Formen geprägt, die in die Zeit zwischen dem späten 2. und dem Ende des 3. Jahrhunderts datieren. Die Becher **463** und **466** mit Schliffdekor Isings 96b1 und der Becher **467** mit Warzenverzierung Isings 96b2 zeugen von einem Hausrat mit relativ qualitätsvollem Glastrinkgeschirr.

Beim *Beinfund* **469** handelt es sich um einen Gerätegriff, d. h. um einen Vollgriff für einen Dorn eines nicht näher bestimmbaren Geräts[385]. Das Objekt **468** ist ein rundstabförmiger Vollgriff mit Hülse bzw. mit Zapfen. Der balusterförmige Körper mit beidseitigen Spulen und den beiden Endzapfen könnte mit entsprechenden Gegenstücken verzapft gewesen sein und zu einem Scharnieraufsatz gehört haben[386].

Das *Lararіumsinventar* **470–473** umfasst eine Minerva-, zwei Merkur- und eine Zwergstatuette sowie drei dazugehörige Sockel[387]. Die Statuetten datieren in die frühere Kaiserzeit: Sie waren also zum Zeitpunkt der Zerstörung gut 200 Jahre alt, was wiederum die Langlebigkeit der in den Lararien aufgestellten Objekte zeigt. Ob sie von Anfang an zur Ausstattung des Erdgeschosses gehörten oder erst zu einem späteren Zeitpunkt hierher gelangt sind, lässt sich nicht eruieren.

Zum Hausinventar gehörte auch der bronzene Löffel mit beutelförmiger Laffe **474**. Derartige Löffel sind typisch für das 3. Jahrhundert, er passt gut zum übrigen Inventar. Ein weiteres Hausratsgerät liegt in Form des Messers **477** vor. Das Messer mit Tüllengriff und halbrunder Schneide diente wohl eher zur Fleischteilung als zur einfachen Küchenarbeit[388].

377 Zu erwähnen ist, dass derartige Schüsseln auch in Terra-Sigillata-Imitation oder mit Glanztonüberzug vorkommen können. Vgl. Ensemble A11-OG (Abb. 177,**517.539**).

378 Martin-Kilcher 1980, 32 f. Abb. 9 Taf. 29,2–7. Neuere Belege aus Augusta Raurica finden sich bei Marti 1996, 157 Abb. 5,39 und Fünfschilling 1998, 72 Abb. 2,28. Zu einem Beleg aus der Villa Laufenburg vgl. Rothkegel 1994, 108 Taf. 47,615. Dass solche Schüsseln wahrscheinlich auch in Augusta Raurica hergestellt wurden, zeigen die – dort mit einem roten Überzug oder mit Goldglimmerüberzug versehenen – Schüsseln aus der jüngeren Töpferei an der Venusstrasse-Ost. Vgl. dazu Alexander 1975, 37 Taf. 10,22.

379 Derselbe Kochtopftyp findet sich auch in Ensemble A11-OG (Abb. 177,**588–590**). Beim Kochtopf **590** handelt es sich um einen Fehlbrand.

380 Furger 1989a, 230; 244 Abb. 81,14; Furger 1991, 277 Abb. 17.

381 Vgl. Hochuli-Gysel u. a. 1986, 144 Taf. 43,6; 46,14–17.

382 Hochuli-Gysel u. a. 1986, 146.

383 Hochuli-Gysel u. a. 1986, 147; 155 f.

384 Fünfschilling 2006, 172.

385 Vgl. Schenk 2008, Abb. 112,411 für eine Parallele aus dem Gräberfeld «en Chaplix» in Avenches.

386 In diesem Sinne auch Fremersdorf 1940, 331; Gostenčnik 2005, 158 Abb. 24 Taf. 33,5; Schenk 2008, Abb. 136,1145.1146.

387 Vgl. Berger 1966, 3–11 Abb. 1–9; Kaufmann-Heinimann 1998, 86 f. Abb. 42–44.

388 Zu Messern mit Tüllen vgl. Schaltenbrand 1986, 172 Taf. 56,1 (evtl. mittelalterlich); Manning 1985, 120 f. Abb. 30; zu Messern mit halbrunder Schneide vgl. Fünfschilling 2006, 180 Taf. 157.

Form/Typ	RS	BS	WS	HE	Total	MIZ
TS, südgallisch						
Drag. 24			1		1	1
Drag. 27	1				1	1
Drag. 35	2				2	2
Drag. 42	1				1	1
Drag. 37			1		1	1
TS, mittel?-ostgallisch?						
Curle 21/Nb. 20	1				1	1
Drag. 18/31	1				1	1
Drag. 37	1		3		4	4
TS, ostgallisch						
Drag. 31	1				1	1
Drag. 33	2	4	1		7	6
Drag. 40	4				4	3
Drag. 38			1		1	1
Drag. 44			1		1	1
Nb. 12	3		3		6	3
Déchelette 72	1	2	3		6	3
Drag. 37	2	3	6		11	7
Drag. 45	1				1	1
Form unbestimmt		1	7		8	6
Glanztonkeramik						
Becher mit verdicktem Rand	4		2		6	3
Becher mit Karniesrand	2				2	2
Nb. 30	1				1	1
Nb. 31	2		17		19	1
Nb. 33	64	20	190		274	86
Sonderformen Becher	7		6		13	7
Sonderformen Schälchen	1				1	1
verzierte WS, Bechertyp unbestimmt			6		6	5
Form unbestimmt		2	2		4	4
Übrige Keramik						
Helltonige Gebrauchskeramik						
Teller mit eingebogenem Rand	16	13			29	24
Teller mit ausbiegendem Rand	2				2	2
Kragenrandschüssel	2				2	2
Schüssel mit gerilltem oder horizontalem Rand	6				6	6
Schüssel mit profiliertem Rand	9				9	8
Schüssel mit profilierter Wandung	18		1		19	15
Schüssel mit einwärts gebogenem Rand	3				3	1
Schälchen mit Wandknick		1			1	1
Topf/Töpfchen	11				11	9
Honigtopf	1				1	1
Flasche	1				1	1
Gesichtsgefäss (vgl. **576**)	2		9		11	1
Deckel	2				2	2
Krug mit Bandrand	2	1	29		32	2
Bemalte Krüge		11		1	12	5
Sonstige Krüge	4	5	7	1	17	14
Helltonige Keramik, Form unbestimmt		15	50	6	71	54
Grautonige Gebrauchskeramik						
Teller mit steilem Rand	5	2			7	2
Kragenrandschüssel	2				2	2
Schüssel mit Kragenrand	1				1	1
Schüssel mit profiliertem Rand	1				1	1
Schüssel mit einwärts verdicktem Rand	1				1	1
Steilrandtopf	2				2	2
Deckel	2				2	2
Grautonige Keramik, Form unbestimmt	1	8	27		36	23
Scheibengedrehte Kochkeramik						
Kochtopf mit scharfkantig umgelegtem Rand	13	4	41		58	25
Kochtopf mit Leistenrand	10				10	8
Kochtopf	1				1	1
Handgemachte Kochkeramik						
Kochtopf mit scharfkantig umgelegtem Rand	2				2	2
Kochtopf mit verdicktem Rand	2		1		3	2
Reibschüssel	2				2	1
«Rätische» Reibschüssel	3		2		5	4
Amphore			2		2	2
Total Fragmente/MIZ	**229**	**92**	**419**	**8**	**748**	**381**

Abb. 174: Augst BL, Insula 5/9, Raum A (Grabungen 1965–1967.052 und 2002.063). Ensemble A11-EG: Fundstatistik zur Keramik (FK E06092, FK E06773, FK E06778, FK E06790, FK E07759, FK X04634, FK X04638, FK X04670, FK X06508, FK X06520, FK X06548, FK X06550, FK Z01654, FK Z01660, FK Z01662). MIZ = RS, BS, WS, HE.

Militaria sind mit dem bronzenen Riemenbeschlag mit durchbrochenen Kreisen **475** und der eisernen Lanzenspitze bzw. Wurfspeerspitze **476** vertreten[389]. Gute Parallelen zum Riemenbeschlag finden sich unter anderem in Regensburg[390].

Katalog der Funde aus Ensemble A11-EG (Abb. 175)
Terra Sigillata

391 WS, TS (südgallisch), Schälchen Drag. 24. – Inv. 2002.063. E06092.10.

392 RS, TS (ostgallisch), Schälchen Drag. 33. – Inv. 2002.063. E06092.4.

389 Zum Problem der Unterscheidung von Lanzen- oder Speerspitzen und deren Verwendung in römischer Zeit als Stosslanze und Wurfspeer vgl. Deschler-Erb 1999, 20 Anm. 62.

390 Vgl. Reuter 2005, 205; 207 Abb. 13,A13.A14; Oldenstein 1976, 193–197 Taf. 62–64, bes. Taf. 63,806.807.



Abb. 175: Augst BL, Insula 5/9, Raum A (Grabungen 1965–1967.052 und 2002.063). Ensemble A11-EG: Funde aus dem Brandschutt des Erdgeschosses von Raum A. M. 1:3. ***391–407*** *Terra Sigillata,* ***408–411*** *Glanztonkeramik.*

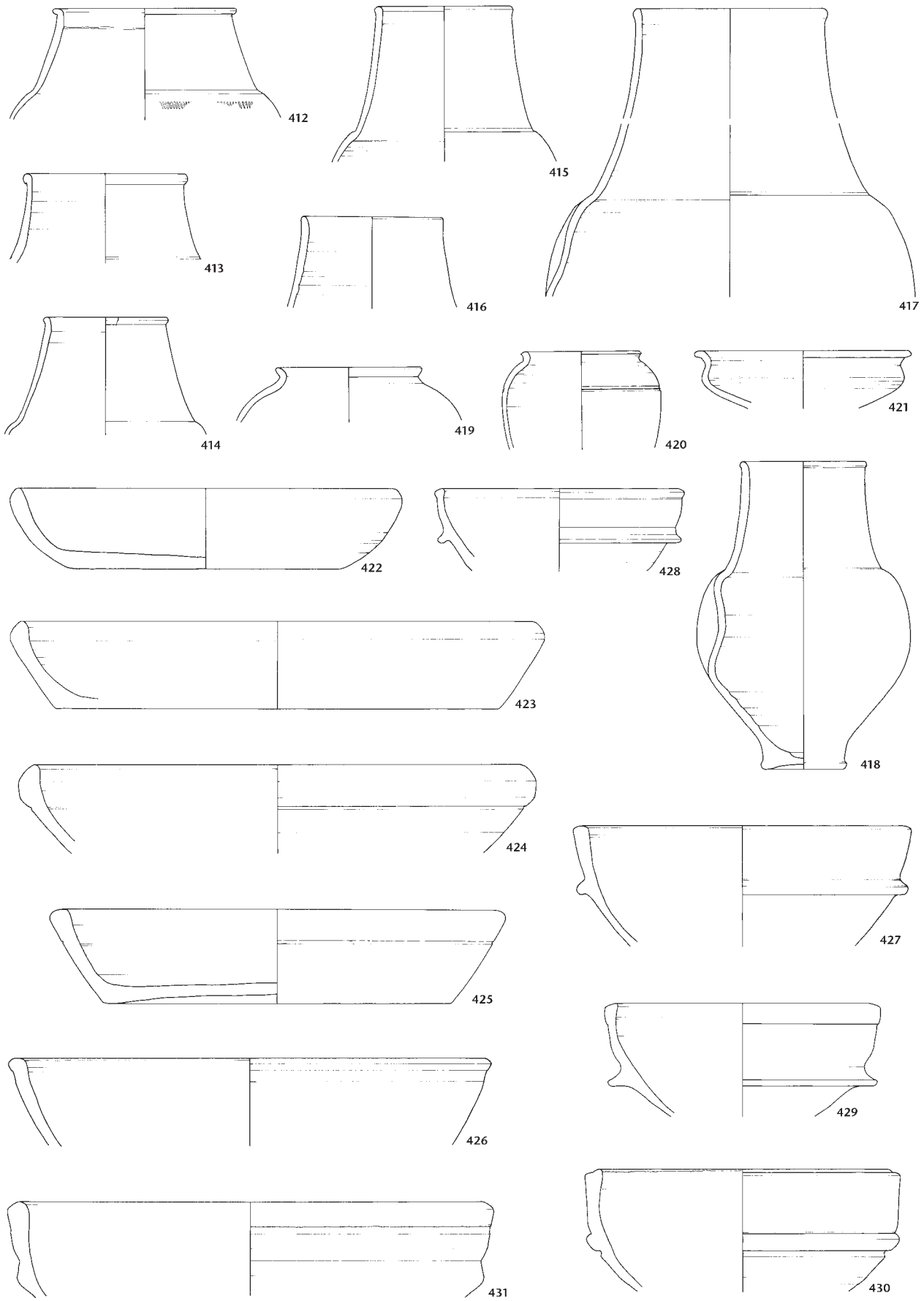


Abb. 175 (Fortsetzung): Augst BL, Insula 5/9, Raum A (Grabungen 1965–1967.052 und 2002.063). Ensemble A11-EG: Funde aus dem Brandschutt des Erdgeschosses von Raum A. M. 1:3. ***412–421*** *Glanztonkeramik,* ***422–431*** *Gebrauchskeramik.*

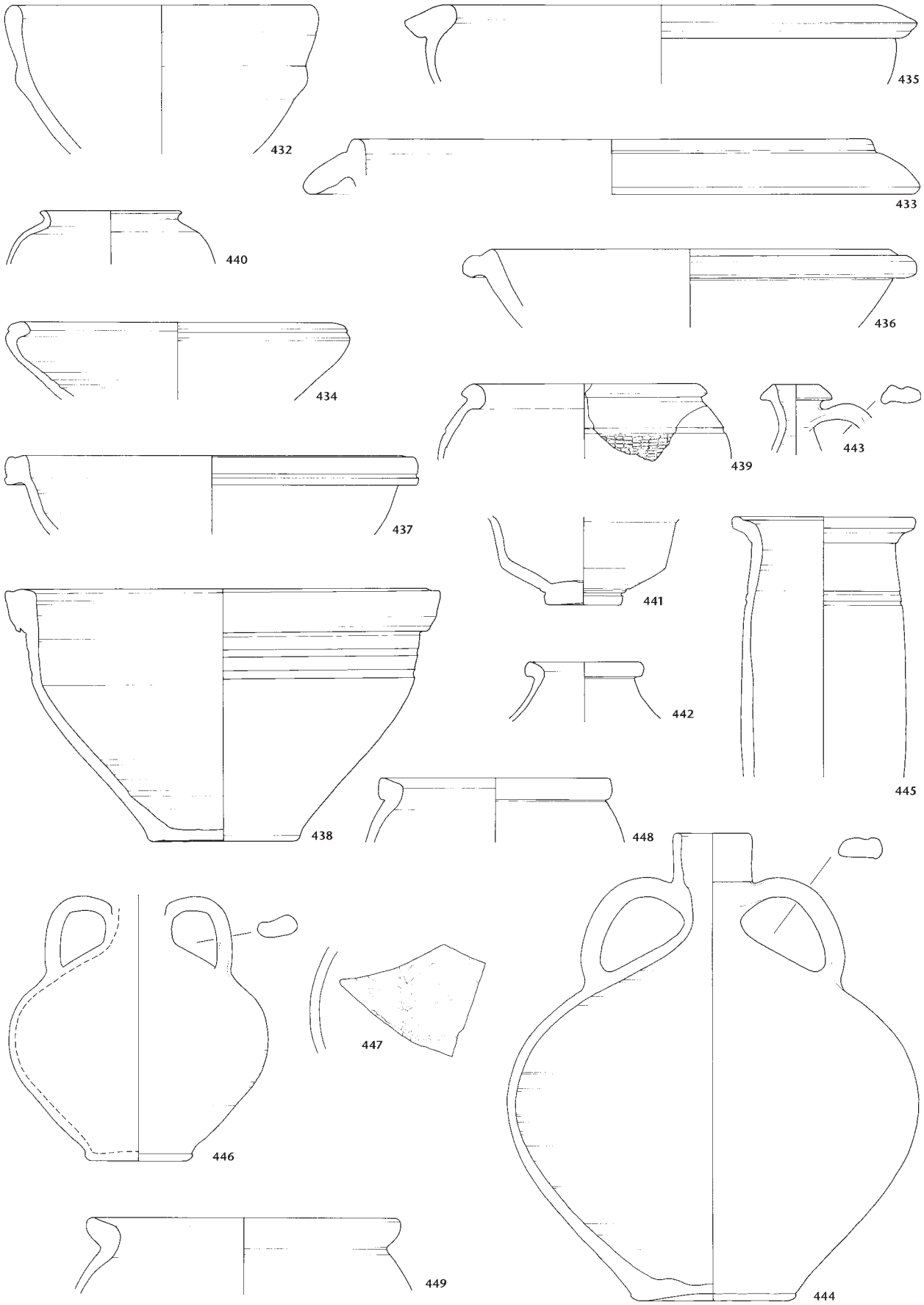


Abb. 175 (Fortsetzung): Augst BL, Insula 5/9, Raum A (Grabungen 1965–1967.052 und 2002.063). Ensemble A11-EG: Funde aus dem Brandschutt des Erdgeschosses von Raum A. M. 1:3. ***432–449*** *Gebrauchskeramik.*

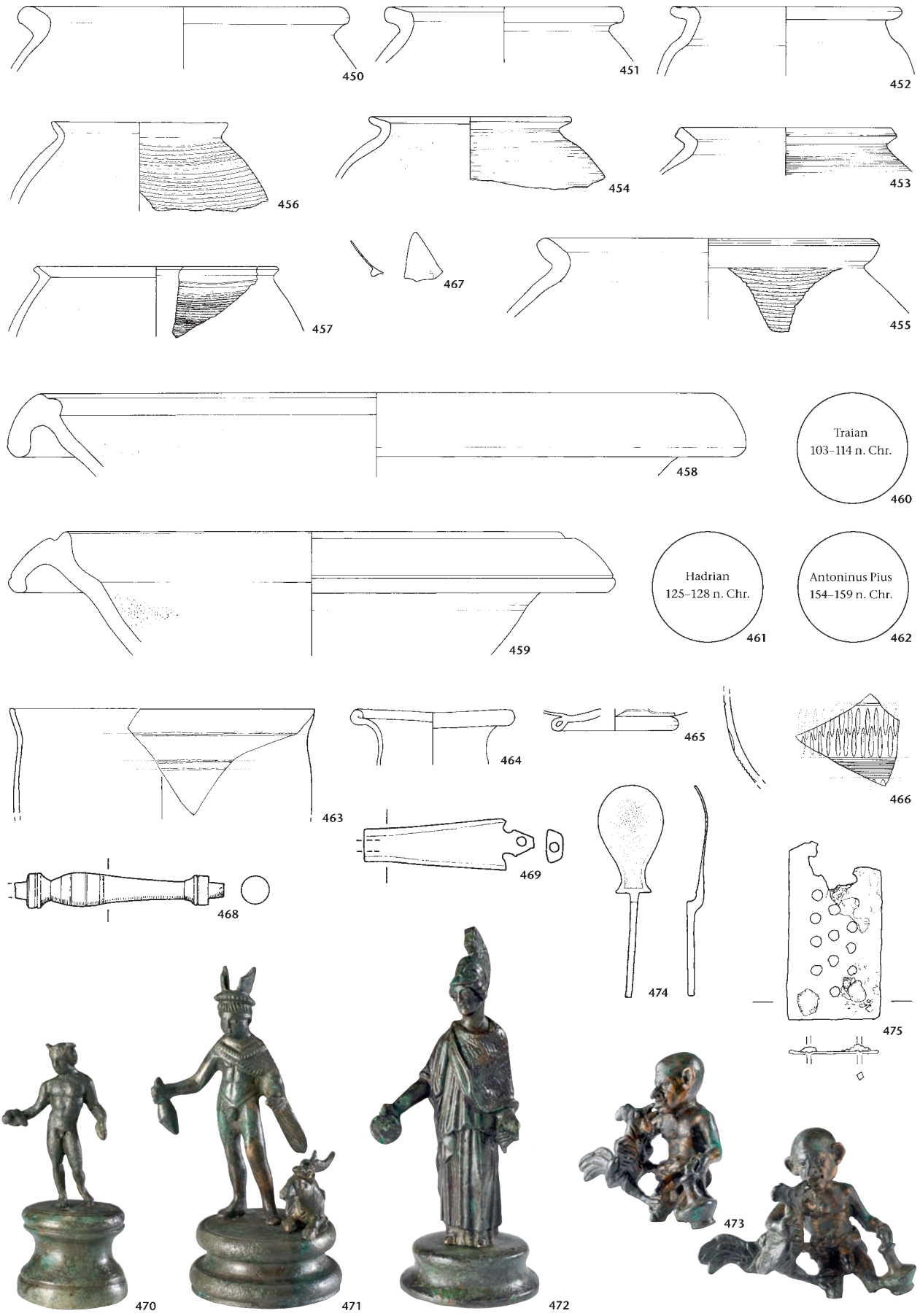


Abb. 175 (Fortsetzung): Augst BL, Insula 5/9, Raum A (Grabungen 1965–1967.052 und 2002.063). Ensemble A11-EG: Funde aus dem Brandschutt des Erdgeschosses von Raum A. M. 1:3 (Glas, Bein, Bronze M. 1:2). ***450–459*** *Gebrauchskeramik,* ***460–462*** *Münzen,* ***463–467*** *Glas,* ***468, 469*** *Bein,* ***470–475*** *Bronze.*

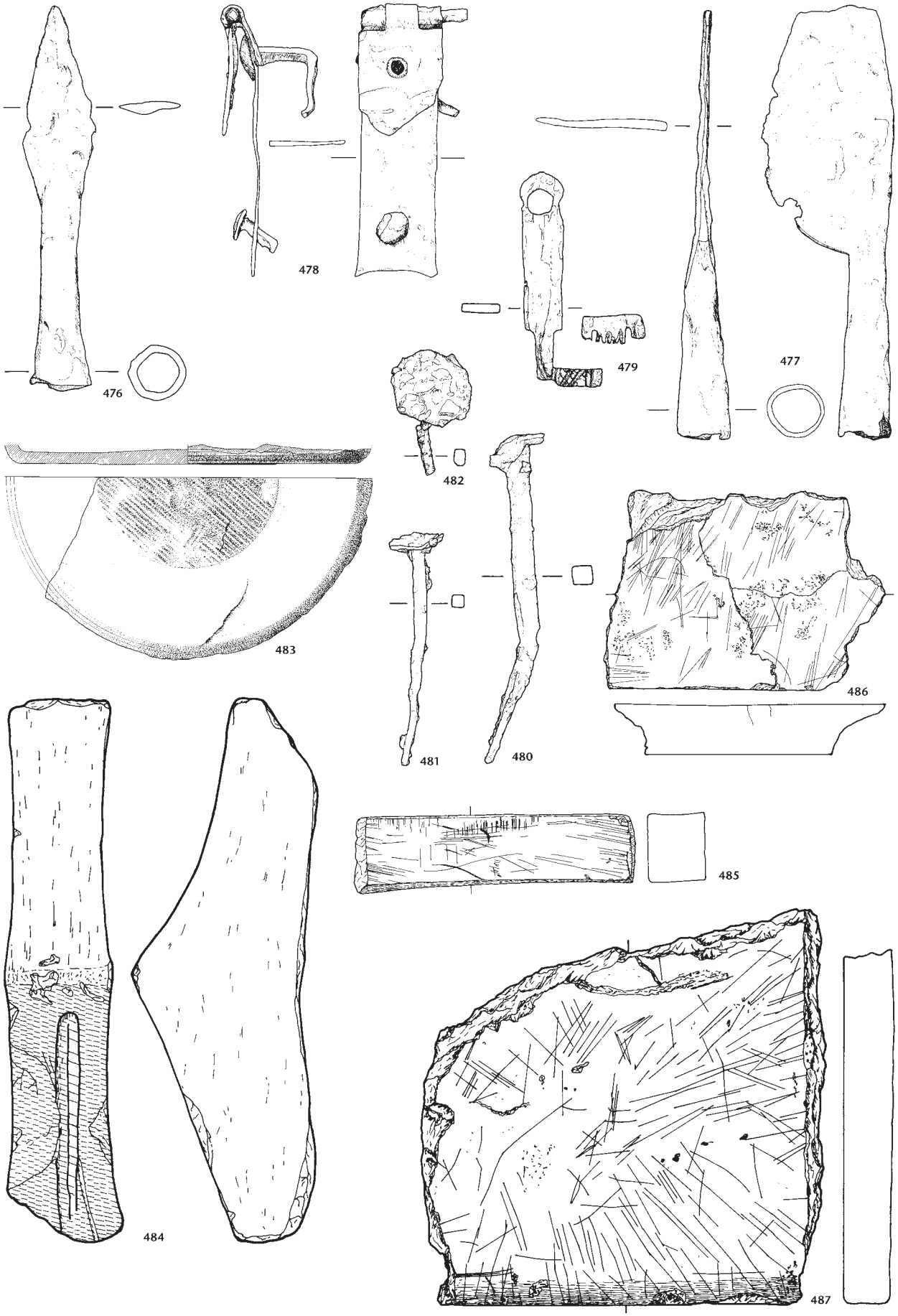


Abb. 175 (Fortsetzung): Augst BL, Insula 5/9, Raum A (Grabungen 1965–1967.052 und 2002.063). Ensemble A11-EG: Funde aus dem Brandschutt des Erdgeschosses von Raum A. M. 1:2 (Architekturelement M. 1:4). ***476–482*** *Eisen,* ***483–485*** *Stein,* ***486, 487*** *Architekturelemente.*

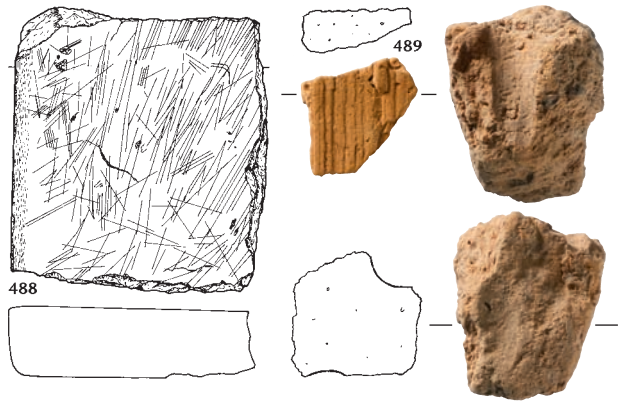


Abb. 175 (Fortsetzung): Augst BL, Insula 5/9, Raum A (Grabungen 1965–1967.052 und 2002.063). Ensemble A11-EG: Funde aus dem Brandschutt des Erdgeschosses von Raum A. M. 1:4 (Wandlehm M. 1:2). ***488*** *Architekturelemente,* ***489, 490*** *Wandverputz.*

393 BS, TS (ostgallisch), Schälchen Drag. 33. – Inv. 1967.6718, FK X06550.

394 RS, TS (ostgallisch), Schälchen Nb. 12. – Inv. 1966.4404, FK X06520. – Publ.: Bruckner 1975, 69,35.

395 RS, 2 WS, TS (ostgallisch), Schälchen Nb. 12. – Inv. 1966.4406a–c, FK X06520. – Publ.: Bruckner 1975, 69,33.

396 RS, TS (ostgallisch), Schälchen Drag. 40/Nb. 10. – Inv. 1967.10137, FK Z01660.

397 RS, TS (ostgallisch), Schälchen Drag. 40/Nb. 10. Mit Rosettenstempel. – Inv. 1966.4396, FK X06520. – Passscherbe: Inv. 1966.4008, FK X06523 (Ensemble A11-GH). – Publ.: Bruckner 1975, 67,2.

398 RS, TS (südgallisch), Schälchen Drag. 42. – Inv. 2002.063.E06092.5.

399 RS, 3 WS, TS (ostgallisch), Becher Déchelette 72/Nb. 24. – Inv. 1966.4405a–d, FK X06520. – Publ.: Bruckner 1975, 69,34.

400 BS, TS (ostgallisch), Becher Déchelette 72/Nb. 24? – Inv. 1967.6720, FK X06550.

401 BS, TS (ostgallisch), Becher Déchelette 72/Nb. 24? Sekundär verbrannt, stark bestossen und innen versintert. – Inv. 2002.063.E06092.259.

402 RS, TS (mittel-ostgallisch), Schüssel Curle 21/Nb. 20. Starke Brandspuren. – Inv. 2002.063.E06773.2.

403 WS, TS (ostgallisch), Schüssel Drag. 44? Stark abgesplittert. – Inv. 2002.063.E06092.18.

404 RS, 2 WS, TS (ostgallisch), Schüssel Drag. 37. Relief: Eierstab mit Kern und zwei umlaufenden Stäben, ohne Beistrich, darunter Perlstab, Feld mit Stütze/Altar (?), eingerahmt von Perlleisten mit Blüten an den Kreuzungspunkten, daneben Herkules nach rechts mit Keule und Löwenfell, der gegen einen Löwen kämpft, Füllmotive kleine runde Zierscheibenmedaillons mit äusserem gekerbtem Rahmen. Ähnlich für Herkules mit Keule und Löwenfell: Ricken/Fischer 1963, M85; für Löwe mit breitem Kopf: Ricken/Fischer 1963, T6. – Inv. 1966.4399a–c, FK X06520. – Publ.: Bruckner 1975, 67,15. Dort dem Töpfer Cibisus zugeordnet.

405 RS, TS (ostgallisch), Schüssel Drag. 37. Relief: Eierstab und Relief weggebrochen. – Inv. 1966.4402, FK X06520.

406 2 WS, TS (ostgallisch), Schüssel Drag. 37. Relief: Eierstab mit Kern und zweifach umlaufenden Stäben, Beistrich links, grosse doppelte Kreisbögen mit eingeschriebener stehender Figur nach rechts, Figur nicht identifizierbar, zwischen den Kreisbögen stehende Figur/Tier (?), daneben fragmentierter und unleserlicher Aussenstempel, darunter Ähre. Stark sekundär verbrannt. – Inv. 2002.063.E06092.22a.b.

407 RS, TS (ostgallisch), Reibschüssel Drag. 45/Nb. 22. Quarzierung stark abgerieben. Durch die Restaurierung stark ergänzt. – Inv. 1966.4397a, FK X06520.

Übrige Keramik

408 RS, Glanztonbecher mit Karniesrand. Ton hellorange mit orangebraunem Überzug. – Inv. 2002.063.E06092.24.

409 2 WS, Glanztonbecher mit Barbotineverzierung. Ton orange mit braunem Überzug. – Inv. 1966.4411a.b, FK X06520. – Publ.: Bruckner 1975, 70,45.

410 RS, Glanztonbecher mit verdicktem Rand. Ton orange mit rotem Überzug und Kerbband. – Inv. 1966.4408, FK X06520. – Publ.: Bruckner 1975, 71,54.

411 2 RS, 17 WS, Glanztonbecher Nb. 31. Ton hellorange mit grauschwarzem, stark glänzendem Überzug. Import. – Inv. 1966.4410a–s, FK X06520.

412 RS, WS, Glanztonbecher Nb. 33. Ton orange mit auf der Aussenseite braunem, matt glänzendem Überzug. Die runde, leicht unterschnittene Lippengestaltung ist speziell für Nb. 33. – Inv. 1966.4419, FK X06520. – Publ.: Bruckner 1975, 68,26.

413 RS, Glanztonbecher Nb. 33. Ton hellbeige mit matt braunem Überzug. – Inv. 2002.063.E06092.35.

414 2 RS, Glanztonbecher Nb. 33. Ton braun mit matt braunem Überzug. – Inv. 2002.063.E06092.58a.b.

415 RS, Glanztonbecher Nb. 33. Ton orange mit matt braunem Überzug aussen. – Inv. 2002.063.E06092.54.

416 RS, Glanztonbecher Nb. 33. Ton grau mit matt grauem Überzug innen und aussen. – Inv. 2002.063.E06092.62.

417 4 RS, 7 WS, Glanztonbecher Nb. 33. Ton orange mit oranger Oberfläche. – Inv. 2002.063.E06092.30a–g.

418 Ganz erhaltener Glanztonbecher Nb. 33. Ton grau mit grauer Oberfläche. Aus dem Backofen (vgl. Abb. 169,H). – Inv. 1966.4946A, FK X04670. – Publ.: Berger 1966, Abb. 24,b; Bruckner 1975, 77,b (s. o. Anm. 44).

419 RS, Glanztonbecher mit hoher Schulter und scharf ausbiegendem Rand. Ton grau mit grauer, matt glänzender Oberfläche. – Inv. 2002.063.E06092.28.

420 2 RS, 2 WS, Glanztonbecher mit hoher Schulter und scharf ausbiegendem Rand. Ton graubraun mit brauner, matt glänzender Oberfläche. – Inv. 1966.4424a–d, FK X06520. – Publ.: Bruckner 1975, 69,30.

421 RS, Schälchen. Ton grau mit matter, grauer Oberfläche. – Inv. 1966.4426, FK X06520. – Publ.: Bruckner 1975, 72,67.

422 RS, 3 BS, Teller mit eingebogenem Rand. Ton orange. – Inv. 1966.4447A–D, FK X06520.

423 RS, Teller mit eingebogenem Rand. Ton orange. – Inv. 2002.063.E06092.305.

424 3 RS, Teller mit eingebogenem Rand. Ton orange. – Inv. 2002.063.E06092.301a–c.

425 Stark rekonstruierter Teller mit gerade abgestrichenem Rand. Ton grau. – Inv. 1966.4448, FK X06520.

426 RS, Teller mit gerade abgestrichenem Rand. Ton grau, sekundär verbrannt. – Inv. 1967.6737, FK X06550.

427 RS, Schüssel mit profilierter Wandung. Ton orange mit brauner Oberfläche. Sekundär verbrannt? – Inv. 2002.063.E06092.288.

428 RS, Schüssel mit profilierter Wandung. Ton hellbraun mit orangem Kern. – Inv. 2002.063.E06092.287.

429 RS, Schüssel mit profilierter Wandung. Ton braun mit orangem Kern. Sekundäre Brandspuren. – Inv. 2002.063.E06092.290.

430 2 RS, WS, Schüssel mit profilierter Wandung. Ton grau mit orangem Kern. Sekundär verbrannt? – Inv. 2002.063.E06092.397a–c.

431 RS, Schüssel mit profilierter Wandung. Ton orange. – Inv. 2002.063.E06092.293.

432 RS, Schüssel mit profilierter Wandung. Ton orange mit aussen Resten von rotem Überzug. – Inv. 1966.4446, FK X06520. – Publ.: Bruckner 1975, 75,104.

433 RS, Schüssel mit Kragenrand. Ton schwarz mit grauem Kern. – Inv. 1966.4437, FK X06520.

434 3 RS, Schüssel mit einwärts gebogenem Rand. Ton braun mit orangem Kern. – Inv. 2002.063.E06092.292a–c.
435 RS, Schüssel mit einwärts verdicktem Rand. Ton braungrau. – Inv. 1966.4436, FK X06520. – Publ.: Bruckner 1975, 76,117.
436 RS, Schüssel mit gerilltem Horizontalrand. Ton orange, abgeriebene Oberfläche. – Inv. 1967.6729, FK X06550.
437 RS, Schüssel mit profiliertem Rand. Ton orange. – Inv. 1966.4442, FK X06520.
438 2 RS, Schüssel mit profiliertem Rand und Wandknick. Ton orangebraun. – Inv. 2002.063.E06092.299a.b.
439 RS, Topf mit einwärts verdicktem Rand. Ton grau, sorgfältig geglättete Oberfläche. Mit Stempeldekor. – Inv. 2002.063.E06092.398.
440 3 RS, Töpfchen mit ausbiegendem Rand. Ton hellbeige mit orangem Kern und sorgfältig geglätteter Oberfläche. – Inv. 1967.6724A–C, FK X06550.
441 BS, Schälchen mit Wandknick. Ton braun. – Inv. 2002.063.E06092.373.
442 RS, Flasche. Ton braunbeige. Sekundär verbrannt. – Inv. 2002.063.E06092.307.
443 RS, Krug mit Wulstrand. Ton orange mit Resten von weissem Überzug. – Inv. 1966.4456, FK X06520.
444 RS, BS, 29 RS, Krug mit Bandrand. Ton orange mit Resten von weissem Überzug. – Inv. 1967.6743a–m.6745A, FK X06550.
445 RS, 3 WS, grosser Krug mit Kragenrand. Ton braunbeige. Leicht angeschwärzt. – Inv. 2002.063.E06092.308.347a–c. – Passscherben: Inv. 1967.1581, FK X06534; Inv. 1967.2610a.b, FK X06536 (Ensemble A11-OG).
446 BS, Krug. Ton orangebraun mit Resten von weissem Überzug. – Inv. 1967.10144, FK Z01660.
447 WS, Krug oder Flasche mit weiss-roter Bemalung. – Inv. 2002.063.E06092.314.
448 RS, Topf mit umgelegtem Leistenrand. Ton graubraun, wenig gemagert. – Inv. 1966.4432, FK X06520.
449 RS, Topf mit leicht gekehltem Leistenrand. Ton graubraun, wenig gemagert. – Inv. 1966.4433, FK X06520.
450 RS, Topf mit Leistenrand. Ton grauschwarz, stark gemagert. Innen und aussen vom Brand geschwärzt. – Inv. 1966.4427, FK X06520.
451 RS, Topf mit umgelegtem Leistenrand. Ton rotgrau, wenig gemagert. Leichte Brandspuren. – Inv. 2002.063.E06092.425.
452 RS, Topf mit abgesetzter Schulter und gerilltem Horizontalrand. Ton graubraun, leicht gemagert. Brandspuren aussen und über dem Rand. – Inv. 2002.063.E06092.414.
453 RS, Topf mit scharfkantig umgelegtem Rand. Ton graubraun, mit Kalk gemagert. Über dem Rand und auf der Aussenseite scharfer Kammstrich. Scheibengedreht. – Inv. 2002.063.E06092.423.
454 RS, Topf mit scharfkantig umgelegtem Rand. Ton orangebraun, leicht gemagert. Mit scharfem Kammstrich. Scheibengedreht. – Inv. 2002.063.E06092.419.
455 RS, Topf mit scharfkantig umgelegtem Rand. Ton grau mit orangem Kern, leicht gemagert. Mit scharfem Kammstrich. Scheibengedreht. – Inv. 2002.063.E06092.422.
456 RS, Topf mit kurzem, steilem, scharfkantig umgelegtem Rand. Ton grau, sekundär verbrannt, leicht gemagert. Mit Kammstrich. Handgemacht. – Inv. 1966.4434, FK X06520.
457 RS, Topf mit kurzem, scharfkantig umgelegtem Rand. Ton braun, leicht gemagert. Mit Kammstrich. Handgemacht. – Inv. 1967.6730, FK X06550.
458 2 RS, Reibschüssel mit Kragenrand. Ton orange. – Inv. 1966.4441a.b, FK X06520. – Publ.: Bruckner 1975, 75,101.
459 RS, «rätische» Reibschüssel. Ton orange, in der Innenkehlung roter Überzug. Brandgeschwärzt. – Inv. 2002.063.E06092.458.

Münzen

460 Traian. Dupondius. Rom, 103–114 n. Chr. Rs.: SPQR OPTI[MO PRINCIPI]; stehende Figur n. l.; S–C. A3/3, K3/3, 180°, 25,96 g. Brandspuren. – Inv. 1967.10145, FK Z01660. – Publ.: Peter 1996, Ins. 5.9/23.
461 Hadrian. Dupondius. Rom, 125–128 n. Chr. Vs.: vgl. RIC II, S. 417, Nr. 597c; Rs.: vgl. RIC II, S. 426, Nr. 656. A2/2, K3/3, 180°, 9,15 g. – Inv. 1966.8130, FK X06520. – Publ.: Peter 1996, Ins. 5.9/28.
462 Antoninus Pius. Dupondius. Rom, 154–159 n. Chr. Vgl. RIC III, S. 142, Nr. 931. A3/3, K3/3, 180°, 10,76 g. – Inv. 1966.8131, FK X06520. – Publ.: Peter 1996, Ins. 5.9/34.

Glas

463 RS, Becher mit Schliffdekor. AR 60.1/Isings 96b1. Vom Feuer leicht verzogen. Ehemals durchsichtig, jetzt milchig matt und irisierend. – Inv. 1966.4457, FK X06520. – Publ.: Rütti 1991/2, Kat. 1309.
464 RS, Flasche oder Kanne nicht näher bestimmbarer Form. Ehemals durchsichtig, jetzt milchig matt und irisierend. Durchmesser wegen Feuereinwirkung nicht eruierbar. – Inv. 1967.6748B, FK X06550. – Publ.: Rütti 1991/2, Kat. 3907.
465 4 BS, Gefäss nicht näher bestimmbar. Ehemals durchsichtig, jetzt milchig matt und irisierend. – Inv. 2002.063.E06778.10a–d.
466 WS, Becher mit Schliffdekor. AR 60.1/Isings 96b1. Nahezu farblos, leicht irisierend. – Inv. 1967.6748A, FK X06550. – Publ.: Rütti 1991/2, Kat. 1330.
467 WS, Becher oder Flasche mit Warzenverzierung. AR 60.3/Isings 96b2. Ehemals durchsichtig, jetzt milchig matt und irisierend. – Inv. 2002.063.E06092.467d.

Bein

468 Rundstabförmiges Möbelelement, balusterförmig mit beidseitigen Zierleisten und Zapfen. – Inv. 1966.4463, FK X06520. – Publ.: Deschler-Erb 1998, Kat. 61.
469 Rechteckiger Vollgriff für Dorn mit profiliertem Griff und Loch. – Inv. 1966.4462, FK X06520. – Publ.: Deschler-Erb 1998, Kat. 89.

Bronze

470 Merkur. – Inv. 1966.3965, FK X06520. – Publ.: Kaufmann-Heinimann 1998, Kat. 18.
471 Merkur. – Inv. 1966.3964, FK X06520. – Publ.: Kaufmann-Heinimann 1998, Kat. 31.
472 Minerva. – Inv. 1966.3963, FK X06520. – Publ.: Kaufmann-Heinimann 1998, Kat. 63.
473 Zwerg. – Inv. 1966.3966, FK X06520. – Publ.: Kaufmann-Heinimann 1998, Kat. 84.
474 Löffel mit beutelförmiger Laffe. Stielende nicht erhalten. – Inv. 1967.18987, FK X06550. – Publ.: Riha/Stern 1982, Kat. 247.
475 Fragment eines langrechteckigen Riemenbeschlags mit Durchbruchsmuster. An der erhaltenen Kurzseite befinden sich noch zwei aus Eisen gearbeitete Befestigungsniete. L. 6,3 cm, B. 3,3 cm, Gew. 9,1 g. – Inv. 1967.6751, FK X06550.

Eisen

476 Lanzenspitze oder Wurfspeerspitze. Weidenblattförmiges Blatt mit Mittelgrat geht fliessend in die konische Tülle über. L. 14,2 cm, B. 2,7 cm, Gew. 70,9 g. – Inv. 1966.4304, FK X06520. Bei der Katalogaufnahme von S. Martin-Kilcher galt diese Spitze noch als verschollen. – Publ.: Martin-Kilcher 1985, 186 Kat. 32.
477 Messer mit geradem Rücken und wohl nach oben gezogener Schneide. L. 15,7 cm, B. 4,9 cm, Gew. 88,3 g. – Inv. 1966.4306, FK X06520.
478 Zweischenkliges Scharnier. Scharnierstift und zwei Befestigungsnägel noch erhalten. L. 9,8 cm, B. 3,3 cm, Gew. 65,9 g. – Inv. 1966.4305, FK X06520.
479 Schiebeschlüssel mit Griffloch. Bart mit vier Zähnen noch gut erhalten. L. 7,8 cm, B. 3 cm, Gew. 28,2 g. – Inv. 1967.6752, FK X06550.
480 Scheibenkopfnagel. Schaft rechteckig, Kopf rund. – Inv. 2002.063.E06092.476.

481 Scheibenkopfnagel. Schaft rechteckig, Kopf rund. – Inv. 2002.063.E06092.478.
482 Scheibenkopfnagel. Fragmentiert. Schaft rechteckig, Kopf rund. – Inv. 2002.063.E06773.4.

Stein
483 BS, Lavezeimer. – Inv. 1966.4449, FK X06520.
484 Schleifstein, Sandstein graugrün. – Inv. 1966.4322, FK X06520.
485 Schleifstein, Sandstein graugrün. – Inv. 1966.4323, FK X06520.

Architekturelemente
486 Bodenplatte mit Sägespur, Kalkstein. – Inv. 1966.4316, FK X06520.
487 Bodenplatte mit Mörtelresten (?), Kalkstein. – Inv. 1966.4318, FK X06520.
488 Bodenplatte, zum Teil poliert, Kalkstein. – Inv. 1966.4319, FK X06520.

Wandlehm
489 Fragment eines verziegelten Lehmbrockens. – Inv. 2002.063.E06778.16.
490 Fragment eines verziegelten Lehmbrockens. – Inv. 2002.063.E06092.489.

Nicht abgebildete Funde
Keramik
– Vgl. Abb. 174.

Bronze
– Fragment aus geschlämmter Probe, unbestimmbar. – Inv. 2002.063.E06773.16.
– Fragment aus geschlämmter Probe, unbestimmbar. – Inv. 2002.063.E06790.1.

Glas
– WS, Form unbestimmbar. Grün. – Inv. 1966.4458, FK X06520.
– WS, Form unbestimmbar. Grün. – Inv. 1966.4459, FK X06520.
– HE, Krug. Form unbestimmbar. Sekundär geschmolzen. Grün. – Inv. 1966.4460, FK X06520. – Publ.: Rütti 1991/2, Kat. 3588.
– 4 WS, Form unbestimmbar. Weiss, stark irisierend. – Inv. 2002.063.E06092.466.467a–c.
– 6 WS, Form unbestimmbar. Weiss, opak. – Inv. 2002.063.E06778.11.
– WS, Form unbestimmbar, aus geschlämmter Probe. – Inv. 2002.063.E06773.17.

Eisen
– Kloben. – Inv. 2002.063.E06092.470.
– Drei Nägel? – Inv. 2002.063.E06092.471–473.
– Blech? – Inv. 2002.063.E06092.474.
– Vier vierkantige Nägel. – Inv. 2002.063.E06092.475.477.479–482.
– Vierkantiger Nagel. – Inv. 2002.063.E06773.5.
– Kleinste unbestimmbare Fragmente aus geschlämmter Probe. – Inv. 2002.063.E06773.18–31.
– Kleinste unbestimmbare Fragmente aus geschlämmter Probe. – Inv. 2002.063.E06790.3–15.
– Vier vierkantige Nägel. – Inv. 2002.063.E06773.12–15.

Architekturelemente
– Bodenplatte, Kalkstein. – Inv. 1966.4317, FK X06520.
– Bodenplatte, zum Teil poliert, 2-teilig. Kalkstein. – Inv. 1966.4320a.b, FK X06520.
– Bodenplatte, zum Teil poliert, 3-teilig, Kalkstein. – Inv. 1966.4321a–c, FK X06520.

Wandverputz
– 2 Fragmente, weiss mit roter Linie. – Inv. 1966.4324.4325, FK X06520.

Ensemble A11-OG

Allgemeine Charakterisierung: Das umfangreiche Fundmaterial aus dem Obergeschoss von Raum A stammt aus 53 verschiedenen Fundkomplexen (Abb. 176). Davon sind zwei – FK X04678 und FK X06524 – fundleer. Insgesamt umfasst das Inventar 1032 Fundnummern. Davon entfallen beispielsweise 615 Inventarnummern auf Keramik, 136 Inventarnummern auf Terra Sigillata und 114 Inventarnummern auf Kleinfunde aus Eisen[391].

Viel aufschlussreicher sind jedoch die Anteile der verschiedenen Funktions- und Formengruppen im Ensemble A11-OG. Wie weiter unten dargelegt wird (vgl. unten Abb. 344; 345), sind namentlich die Becher mit 222, die Teller mit 109, die Schüsseln mit 180 und die Kochtöpfe mit 74 Exemplaren besonders gut vertreten. Von den 222 Bechern gehören 159 Becher der Form Nb. 33 an.

Ähnlich hohe Anteile von Bechern – vor allem Glanztonbecher – stammen aus Kanalverfüllungen bei den Frauenthermen. Diese mit unserem Ensemble gut vergleichbaren Fundinventare werden von den Bearbeitern in das zweite und dritte Viertel des 3. Jahrhunderts datiert[392]. Neben den zahlreichen Keramikgefässen sind im Fundinventar des Obergeschosses von Raum A auch etliche Objekte vertreten, die zur Ausstattung des Hauses gehörten, so etwa Beleuchtungselemente, Schlösser und Beschläge oder Messer. Dazu gesellen sich Fundgegenstände wie Schmuck und Salbgefässe, die zum persönlichen Besitz der Hausbewohner zugerechnet werden können.

Schwerter, Dosenortbänder oder auch Speerspitzen sind als militärische Ausrüstungsgegenstände zu werten. Ergänzt werden diese Fundgruppen durch die Utensilien von Handwerkern. Dazu gehören Malertöpfchen, Meissel und Ahlen. Kultgefässe wie Schlangentopf, Räucherkelche und Gesichtsgefäss komplettieren dieses umfangreiche und vielseitige Inventar. Dass dieses Hausinventar aufgrund einer Brandkatastrophe in den Boden gekommen ist, bezeugen die verschiedentlich feststellbaren Spuren von Hitzeeinwirkung an der Keramik, am Glas, an den Beinobjekten und an den Eisenfunden[393].

Datierung des Fundmaterials: Im Fundensemble A11-OG finden sich einige Altstücke des 1. und 2. Jahrhunderts. Dabei handelt es sich einerseits um südgallische und mittelgallische Sigillata-Gefässe (**491, 492, 499**, **500** und o.

391 Leider sind einige Eisenfragmente im Depot verschollen. Die Vermutung, dass es sich dabei eventuell um nicht vergebene Inventarnummern handelt, liess sich nicht erhärten, kann aber nach wie vor nicht ausgeschlossen werden.
392 Hoek 1991, 117; 119 Tabelle 2; Engeler-Ohnemus 2006, 241; 246 Tabelle 15.
393 Im Katalogteil sind die sekundär verbrannten Funde entsprechend gekennzeichnet. Bemerkenswert ist, dass auch die datierenden Stücke wie beispielsweise die Schälchen Nb. 12 = **495–497** oder die Teller Nb. 6a = **506, 507** sekundär verbrannt sind.

Abb.), andererseits um Terra-Sigillata-Imitationen wie die Schüssel **514** der Form Drack 20, die in das 1. und in die Anfänge des 2. Jahrhunderts datiert. Zu einem späteren Zeithorizont gehören die Becher mit verdicktem Rand **519–521** sowie die Becher der Formen Nb. 29 und Nb. 32 (**522–524,** o. Abb.). Solche Becher tauchen gegen das Ende des 2. Jahrhunderts auf[394]. Ebenfalls als Altstücke aus dem 1. und 2. Jahrhundert anzusprechen sind der Teller **541**, der Schultertopf **564** und die Kragenrandschüssel **547**.

Abgesehen von diesen Funden präsentiert sich das Inventar aus dem Obergeschoss von Raum A recht einheitlich: Es kann in die Jahre um 250–260/270 n. Chr. datiert werden[395].

Verschiedene Gefässformen unterstützen diese Datierung, so etwa die Schälchen **495–497** der Form Nb. 12 und die Teller **506** und **507** der Form Nb. 6a[396]. Gut in diesen Zeithorizont passen auch die Schüsseln **508–510** der Typen Drag. 38 und Nb. 19. Die aus ostgallischen Produktionen stammenden reliefierten Schüsseln **511** und **512** der Form Drag. 37 mit schwerem Standfuss und langer Randpartie stützen diesen Datierungsansatz zusätzlich.

Die Becher **528–534** des Typs Nb. 33 passen ebenfalls gut in das Formenspektrum; eher selten sind hingegen die Glanztongefässe **535–539**, welche teilweise, wie z. B. **539**, eine bekannte Terra-Sigillata-Form (Drag. 44/Nb. 18) imitieren. Für diese Schüsseln **536, 538** und **539** mit Glanztonüberzug finden sich Parallelen aus Avenches[397], aus der Villa von Stuttheien[398] und aus der Villa Laufenburg[399]. In Augusta Raurica fanden sich solche Gefässe in der Verfüllung eines zwischen den Frauenthermen und dem Theater gelegenen Kanals: Sie stammen aus dem späten 2. und der ersten Hälfte des 3. Jahrhunderts[400].

Schliesslich ist es beachtenswert, dass neben den Schüsseln mit Glanzton – so wie **539** –, die entsprechende Terra-Sigillata-Formen wie Drag. 44/Nb. 18 imitieren, auch Schüsseln wie **517** vorliegen, die geglättet und überzogen sind. Diese können als späte Imitationen angesprochen werden. Vergleichbare Stücke aus Avenches und aus Augst datieren in die Jahre zwischen 180 und 250 n. Chr.[401] Weitere späte Imitationen finden sich in Form der Gefässe **515** und **516**, die auch in Avenches[402] und in der Villa von Laufenburg[403] belegt sind. Imitationen von Terra-Sigillata-Gefässen aus Glanzton und mit Überzug oder geglätteter Oberfläche finden sich in Augusta Raurica ab dem späten 2. und 3. Jahrhundert immer wieder. Sie sind hier jedoch seltener und scheinen in der Westschweiz etwas häufiger vertreten zu sein[404]. Eine weitere Form, die Schüsseln der Terra-Sigillata-Form Drag. 44/Nb. 18 und entsprechende Schüsseln in Glanzton und Imitation imitiert, liegt mit den Schüsseln **548–550** mit profilierter Wandung vor. Diese sind – wie wir bereits bei der Vorstellung von Ensemble A11-EG (Abb. 175,**427–432**) festgestellt haben – in unserem Material relativ häufig (s. o. S. 170). Wegen ihrer formalen Nähe zu den oben besprochenen Schüsseln (Glanzton und späte Imitation) sind sie quasi als Nachbildung der Imitation zu bezeichnen und zeigen eine besondere Vorliebe für diesen Schüsseltypus auf.

Weitere kennzeichnende Formen des zweiten und dritten Viertels des 3. Jahrhunderts sind die Teller mit eingebogenem oder geradem Rand **542–546**, die Krüge mit Bandrand (**570** und o. Abb.), die Schüsseln mit gerilltem Rand **555** und **556** und besonders auch die verschiedenen Schüsselformen mit profiliertem Rand **557–563**. Dabei dürfen die Schüsseln **560–562** mit ihrem ausgeprägt schweren und eng anliegenden Rand als jüngste Exemplare angesprochen werden.

Die Kleeblattkanne **569**, eine alte mediterrane Form, ist bei uns seit dem 1. Jahrhundert bekannt; sie taucht aber auch in Fundzusammenhängen des 2. und 3. Jahrhunderts sporadisch noch auf[405].

Weitere spezielle Gefässformen sind mit dem Gesichtsgefäss **576**, mit dem Räucherkelch **574** und mit dem Schlangentopf **575** vertreten: Das orangerote Gesichtsgefäss trägt plastisch gekerbte Augenbrauenbögen, rund gekerbte Augen und einen länglich-oval gekerbten Mund. Ähnliche Gesichtsgefässe finden sich im *vicus* von Nida-Heddernheim: Sie stammen dort teilweise aus einer lokalen Produktion und datieren in das 2. Jahrhundert und in die erste Hälfte des 3. Jahrhunderts[406]. Während die kultische Zweckbestimmung der Gesichtsgefässe nicht erwiesen ist, gilt diese bei den Schlangentöpfen und bei den Räucherkelchen als gesichert[407].

394 Vgl. Furger/Deschler-Erb 1992, 78; Hufschmid 1996, 110; Schucany u. a. 1999, 47; 154 Taf. 71; 72 (Fundensemble D.8 Augst 7).

395 Vgl. zur Datierung: Martin-Kilcher 1985, 194 f.; Fünfschilling 1989, 310. Auguste Bruckner setzte im Jahre 1975 die von ihr ausgestellte Fundreihe aus dem Brandschutt der sogenannten Taberne noch in einen zeitlichen Einklang mit dem Material vom Görbelhof, d. h. «eher ins letzte Viertel des 3. oder um die Wende zum 4. Jahrh.» (vgl. Bruckner 1975, 65; für die Keramik vom Görbelhof: Bögli/Ettlinger 1963, 15 ff.

396 Vgl. Schucany u. a. 1999, 155 Taf. 74–76 (Fundensembles D.10 Augst 9 und D.11 Augst 10); Schatzmann 2003, 68 Taf. 6,78.80; 12,161.

397 Vgl. Castella/Meylan Krause 1994, 54 f. Form 157; 160.

398 Vgl. Roth-Rubi 1986, 29 Taf. 8,156 (dort allerdings mit Riffelung).

399 Vgl. Rothkegel 1994, Taf. 36,532.

400 Engeler-Ohnemus 2006, 246 Taf. 8,197; 13,340.341. Vgl. zur Datierung auch Castella/Meylan Krause 1994, 54 f.

401 Für Avenches vgl. Castella/Meylan Krause 1994, 54 Form 157; für Augst vgl. Fünfschilling 2006, 146 Taf. 124; Schatzmann (in Vorb.), Kat. 147.

402 Castella/Meylan Krause 1994, 53 Form 150.

403 Rothkegel 1994, 89 Taf. 28,412.413.

404 Vgl. Castella/Meylan Krause 1994, 53–55; Schucany u. a. 1999, 103; 128 Taf. 8–10; 48–50 (Fundensembles A.4 Genève 4 und C.7 Avenches 6).

405 Vgl. Berger 1966, 27 f. Abb. 24; Castella/Meylan Krause 1994, 102 Form 353; Fünfschilling 2006, 155.

406 Pfahl 2003, 174; 185 Abb. 5,11.12.

407 Vgl. Pfahl 2003, 184; Schmid 1991, 65 Anm. 180.

Kochgefässe sind im Ensemble A11-OG mannigfach vertreten. Die Kochtöpfe mit Leistenrand **579–582** und **586** dominieren die Anteile gegenüber den scheibengedrehten bzw. handgemachten Kochtöpfen mit scharfkantig umgelegtem Rand **587–590** und **592–594**. Die scheibengedrehten Kochtöpfe mit scharfkantig umgelegtem Rand wurden im Zusammenhang mit Ensemble A11-EG (Abb. 175,**453–455**) ausführlich besprochen (s. o. S. 170). Das handgemachte Pendant **592–594** trägt auf der flau abfallenden Schulter noch den vertikalen Kammstrich und nicht den erst für die zweite Hälfte des 3. Jahrhunderts so typischen wellenförmigen Kammstrich[408]. Für die prähistorisch anmutenden grob gefertigten Kochtöpfe **595** und **596** fehlen vorerst Parallelen[409].

Die «rätischen» Reibschüsseln fügen sich in den vorgeschlagenen Zeitraum problemlos ein. Zwei der sieben Amphoren tragen jeweils einen Stempel: CALISTI auf dem Bauch einer sekundär abgearbeiteten Ölamphore **605** und XIIIIHP auf dem Henkel einer zweiten Ölamphore **606** der Form Dressel 20.

Im Brandschutt des Obergeschosses fanden sich insgesamt 17 Münzen. Darunter waren eine Münze aus dem Zeitabschnitt vor Christi Geburt, eine Münze vom Beginn und eine vom Ende des 1. Jahrhunderts sowie zehn Münzen, die im Verlaufe des 2. Jahrhunderts geprägt worden sind. Vier Münzen wurden im Verlaufe der ersten drei Viertel des 3. Jahrhunderts geprägt.

Während dieser Sachverhalt in anderen Fällen mit der Verlagerung von älteren Verlustmünzen aus tieferen Schichten (etwa beim Ausheben von Fundamentgräben oder von Gruben) oder mit dem Einbringen von älterem Planiematerial erklärt werden kann[410], muss dieser Erklärungsversuch – zumindest für die Mehrheit der *im* Brandschutt des Obergeschosses gefundenen Prägungen – aufgrund der Schichtgenese mit Sicherheit verworfen werden. Aufgrund des Befundes (Beil. 2D,4; 2F,8; 2G,14–17) kann nämlich davon ausgegangen werden, dass diese Nominale zwischen ca. 250 und 270 n. Chr. kursiert haben müssen oder bis in diesen Zeitraum in Phase 11 in irgendeiner Form aufbewahrt worden sind[411].

Die jüngste Münze – eine Imitation eines zwischen 270 und 273 n. Chr. geprägten Antoninians für Divus Claudius II. (**622**) – wurde in der Übergangszone zwischen dem eigentlichen Brandschutt und dem darüber liegenden Mauerschutt gefunden[412]. Es ist deshalb nicht erwiesen, dass diese Münze zusammen mit dem Inventar des Obergeschosses in den Boden gekommen ist. Aufgrund der Fundlage könnte sie auch kurze Zeit nach der Brandkatastrophe, beim Betreiben des Kalkbrennofens in Phase 12 oder beim Aushub des Wall-Graben-Systems der *enceinte réduite* in Phase 13, verloren gegangen sein.

Aus der Tatsache, dass – trotz einer durchaus repräsentativen Fundzahl[413] – nur eine einzige stratifizierte Münze dieses Typs in Insula 5/9 gefunden worden ist[414], darf aber gefolgert werden, dass die Brandkatastrophe am Ende von Phase 11 kaum mehr als fünf Jahre nach dem durch das frühestmögliche Prägedatum gegebenen *terminus post* von 270 n. Chr. eingetreten sein kann (vgl. dazu auch unten Phase 13).

Die Glasfunde aus Ensemble A11-OG mit den Bechern **623, 625** und **626**, dem Schälchen **629**, den Schalen **630** und **631** und Krügen **634–636** weisen alle eine relativ lange Datierungsspanne auf und können ab dem Ende des 1. bis in die Mitte oder in das dritte Viertel des 3. Jahrhunderts datiert werden. Der jüngste Glasfund ist der Becher **624** der Form AR 60/Isings 96; er findet sich in Augusta Raurica ab der Mitte des 3. bis in das 4. Jahrhundert[415]. Als Altfund innerhalb des ansonsten recht geschlossenen Glasinventars anzusprechen ist lediglich die Schale des Typs AR 15 mit gelb opaken Kreisaugensprenkeln **632**. Sie dürfte aus flavischer bis severischer Zeit stammen[416].

Bronzegeschirr ist lediglich durch das kleine Randstück **658** eines Schälchens oder Bechers vertreten. Wie Anne Kapeller festgestellt hat, sind kleine Schälchen oder Becher, die als Saucenschälchen verwendet wurden, auch andernorts im Fundmaterial kaum vertreten und als Einzelfunde auch schlecht datierbar[417].

408 Vgl. Martin-Kilcher 1980, 40–44 Taf. 38; 39; Fünfschilling 2006, 157.

409 Ton und Machart lassen die Vermutung zu, dass die Töpfe aus dem spätlatènezeitlichen Formenschatz inspiriert worden sein könnten.

410 Vgl. dazu die grundlegenden Ausführungen in Peter 1992.

411 So könnte die eine oder andere Prägung durchaus aus dem Stampflehmboden des Obergeschosses stammen. Andererseits zeigt der Schmutzhorizont im Erdgeschoss (Ensemble A11-GH), dass zwischen Phase 9 und 11 kaum mit Verlustmünzen zu rechnen ist.

412 Vgl. hierzu auch Schwarz 1992, 59 Anm. 37 und die diesbezüglichen Bemerkungen unten S. 243 f.

413 Von den insgesamt 54 bei Peter 1996 unter Ins. 5.9 aufgeführten Münzfunden stammen 40 Nominale aus der Insula 5/9. Neun weitere Prägungen wurden in der Insula 9 gefunden (Peter 1996, Ins. 5.9/3.6.12.14.17.18.27.30.49). Bei vier Nominalen ist heute nicht mehr eruierbar, ob sie in der Insula 5/9 oder in der Insula 9 zum Vorschein kamen (Peter 1996, Ins. 5.9/13.36.41.51). Eine Münze wurde in Insula 5 gefunden (Peter 1996, Ins. 5.9/50).

414 Bei zwei weiteren bei Peter 1996, Ins. 5.9/49.51 aufgeführten, «späten» Prägungen handelt es sich um Streufunde: Peter 1996, Ins. 5.9/49 (= Streufund aus dem Areal der Insula 9) und Peter 1996, Ins. 5.9/51 (= Streufund aus dem Areal der Insula 5/9 oder aus dem Areal der Insula 9). Eine weitere «späte» Prägung kann für Insula 5 angefügt werden (= **999**: Peter 1996, Ins. 5.9/50).

415 Rütti 1991/1, 93; 95 f. Tabelle 16.

416 Rütti 1991/2, 37 bzw. Rütti 1991/1, 73 Tabelle 9. Nach Sylvia Fünfschilling könnten solche Schalen mit gelb opaken Kreisaugensprenkeln aber auch noch in das 3. Jahrhundert datieren. Hier müssen weitere Fundzusammenhänge klären, inwiefern solche geformten Millefiorigläser auch noch (oder wieder?) im 3. Jahrhundert vorkommen. Freundlicher Hinweis von Sylvia Fünfschilling, Augst.

417 Vgl. Kapeller 2003, 85 Taf. 4,19.

Ein Teil der Beinobjekte, wie die vollständig kalzinierten Gerätegriffe **639** und **640**, der geschwärzte Beschlag **650** und die schwarz gefärbten Ortbänder **641–645**, sind durch die Brandeinwirkung beschädigt worden. An anderen Beinobjekten aus dem Inventar, wie der Nähnadel **646** oder den Schmucknadeln **647** und **648** und der *tessera* **649**, sind keine auf Feuereinwirkung zurückzuführenden Verfärbungen erkennbar. Die Gerätegriffe **639** und **640** sind ausnehmend fein gearbeitet. Bemerkenswert ist der Klappmessergriff **640**, der ein Bein und einen Fuss einer menschlichen Gestalt zeigt. Möglicherweise handelt es sich um die Darstellung eines Gladiators[418].

Im Fundensemble A11-OG kamen fünf beinerne Ortbänder **641–645**, darunter vier scheibenförmige aus Elfenbein **642–645**, und zwei Ortbänder aus Bronze **653** und **654** sowie zwei scheibenförmige Ortbänder aus Eisen **670** und **671** zum Vorschein. Die Datierung des Fundensembles A11-OG in die Jahre um 250–260/270 n. Chr. zeigt, wie schon von Stefanie Martin-Kilcher postuliert, dass die aus Bronze gefertigten Ortbänder und das beinerne Volutenortband **641** auch noch nach der Mitte des 3. Jahrhunderts mit den eisernen Dosenortbändern verwendet wurden[419].

Überdies fanden sich im Brandschutt weitere Waffen, nämlich drei Schwerter **665–667**, ein Kurzschwert **668**, ein Schwertriemenhalter **669**, sechs Lanzen- oder Geschossspitzen **672–677**[420], eine Standarten- oder Signumspitze **678** und der Aufhalter einer Saufeder **679**[421]. Der von einem Gürtel oder Riemenschurz stammende Riemenendbeschlag **655** kann ebenfalls der Gruppe der Militaria zugewiesen werden[422].

Zu den Waffen im weiteren Sinne gehören auch die zwei Thekenbeschläge **651** und **652**. Der Thekenbeschlag **651** wurde zusammen mit dem Messer und dem Einlageblech gefunden. Wie Ludwig Berger aufzeigen konnte, können Messer, namentlich solche mit Futteralbeschlag, aber nicht pauschal als militärische Ausrüstungsgegenstände angesprochen werden, obschon sie sich sehr oft in militärischen Kontexten finden[423].

Vertreten sind des Weiteren Schmuckelemente, wie die flache Distelfibel **662**, der Röhrenarmring **663** und die Haarnadel mit Rosettenkopf **661** – ein in Augusta Raurica beliebter Nadeltyp, dessen Datierungsschwerpunkt in der zweiten Hälfte des 2. Jahrhunderts und im ganzen 3. Jahrhundert zu finden ist[424]. Die stark fragmentierte Distelfibel **662** des Typs Riha 4.7.1 ist vor allem in der ersten Hälfte des 1. Jahrhunderts sehr beliebt und kann in unserem Fundkontext als Altfund bezeichnet werden[425]. Der unverzierte Röhrenarmring **663** ist hingegen in spätrömischer Zeit weit verbreitet – unter anderem in Grabinventaren von Pannonien bis nach Britannien[426]. Ein weiteres Trachtelement liegt mit der Gürtelschnalle **664** aus Eisen vor[427].

Der eiserne Kerzenhalter mit fragmentiertem Griff und Tülle **682** besitzt einen gerundeten, aufgewölbten Boden. Dies deutet darauf hin, dass die Lampe wohl nicht auf einer flachen Unterlage stand, sondern eher an einer vertikalen Fläche befestigt gewesen sein muss[428]. Zwei ziemlich ähnliche Lampen aus Gräbern aus Bayford (Kent, GB) haben runde Schnauzen, besitzen jedoch keine Tülleneinsätze. Sie stammen aus der Zeit um 150 n. Chr.[429] Runde Lämpchen mit Schnauze und Griff aus Eisen wurden auch in den v*ici* von Chur und Oberwinterthur gefunden[430]. Weitere vergleichbare Tüllenlampen aus Keramik liegen aus der Villa Worb und aus Augusta Raurica vor[431]. Kienspanhalter, wie etwa das Exemplar **683**, sind in Augusta Raurica hingegen recht geläufig[432]. Zur Beleuchtung gehören des

418 Zwei weitere mögliche Deutungen werden von Sabine Deschler-Erb beigebracht: Es könnte sich auch um einen Leierspieler oder um einen Schafhirten handeln; vgl. Deschler-Erb 1998, 129 f. mit weiterführenden Parallelen und Literatur zu den Stücken. Zu einem Klappmessergriff mit Gladiatorendarstellung aus Avenches vgl. nun auch Schenk 2008, 49 Abb. 111,407.

419 Martin-Kilcher 1985, 159; 184–186. In diesem Sinne auch schon Berger 1966, 21, und dies wird für die bronzenen Volutenortbänder vom Typ «Zugmantel» (Miks 2007, 338–342) und für die beinernen Volutenortbänder (Miks 2007, 342–345) auch bestätigt. Vgl. ferner die zeitliche Einordnung der eisernen Dosenortbänder bei Miks 2007, 350–355. – Die zwei eisernen Dosenortbänder **670** und **671** wurden im Jahr 2009 im Zuge einer Ausstellungsvorbereitung für das Museum Augst neu restauriert. Bei dieser Restaurierung konnte der Dekorationsaufbau beider Ortbänder besser freigelegt werden, als dies noch bei Stefanie Martin-Kilcher der Fall war. Das von S. Martin-Kilcher erarbeitete Dekorationsschema wird durch die Freilegung bestätigt: Es handelt sich um ein Kreisschema, in das zwei Symmetrieachsen – begrenzt durch eine umlaufende Dekorzone – eingeschrieben sind.

420 Stefanie Martin-Kilcher führt acht Lanzen- und Geschossspitzen an. Eine (= Abb. 175,**476**) stammt aus FK X06520, der gemäss unseren Recherchen Funde aus dem Brandschutt des Erdgeschosses umfasst, eine weitere Tülle einer Lanzenspitze (Martin-Kilcher 1985, Kat. 37 = hier Abb. 177,**675**) gehört u. E. zu Martin-Kilcher 1985, Kat. 36. Zu den Schwertfunden vgl. auch Berger 1966, 18 f. Abb. 14; Ulbert 1974, 207–215 Abb. 2; 3–5.

421 Vgl. Martin-Kilcher 1985, 181–190; Schatzmann 2005, 221 mit Anm. 10. Für die Saufeder vgl. auch Youinou 2008.

422 Vgl. Oldenstein 1976, Taf. 36,311–313; Hochuli-Gysel u. a. 1991, Taf. 56,17; Bishop/Coulston 1993, 133 Abb. 92,2a/2b.

423 Vgl. Berger 1966, 14–17 Abb. 12; 13; Berger 2002, 70–72. Der Futteralbeschlag **651** (AR 16/GK 27) stammt aus FK X06514 und nicht, wie bei Berger 2002, 55 vermerkt, aus FK X06513. Zur Datierung vgl. Berger 2002, 60 f.

424 Riha 1990, 102 f.

425 Riha 1979, 106 f.

426 Riha 1990, 59 mit weiterführender Literatur.

427 Eine vergleichbare Gürtelschnalle ist auf einem Grabrelief eines Ehepaares mit einem *centurio* und seiner Frau aus Augst abgebildet (Inv. 1962.2079, FK V04938). Vgl. Bossert-Radtke 1992, 97 Taf. 52,65.

428 In diesem Sinne auch Schaltenbrand Obrecht 1991, 173 f.

429 Vgl. Manning 1985, 99 f. Taf. 44,P4.P5.

430 Vgl. Schaltenbrand Obrecht 1991, 173 Taf. 68,16; Schaltenbrand Obrecht 1996, 165 Abb. 151 Taf. 48,235.

431 Vgl. Ramstein 1998, 55 Taf. 21,3–5; Fünfschilling 2006, 181 Taf. 159,3134–3136.

432 Vgl. Ensemble A10-F5 (Abb. 148,**303**) und Fünfschilling 2006, 181 Taf. 159,3138.

Weiteren die Firmalampe **607** mit Stempel LVPATI[433] und der Brenneinsatz **660** aus Bronze. Der Brenneinsatz stammt wohl eher von einer offenen Lampe aus Bronze oder Keramik (?) als von einer Laterne. Brenneinsätze für Laternen sind in Augusta Raurica nicht sehr oft belegt: Sie sind normalerweise aus sehr dünnem Blech gefertigt und etwas höher und besitzen keinen Standfuss[434]. Unser Fragment **660** ist hingegen aus 2 mm dickem Blech getrieben, und der tüllenartige Brenner wurde auf dieser Unterlagsscheibe angelötet. Auf der Unterseite der Scheibe ist ein kleines Löchlein angebracht. In der Kerzentülle fand man bei der Restaurierung noch fein gezwirbelte Dochtreste (Abb. 177,**660**). Die Dochtreste sind verkohlt, ob infolge Gebrauchs oder aufgrund der Feuereinwirkung anlässlich der Brandkatastrophe, kann nicht gesagt werden. Parallelen für solche einfachen Brenneinsätze wie **660** liegen nicht vor. Im Römisch-Germanischen Zentralmuseum Mainz wird jedoch ein aus zwei halben Kugeln gefertigter Leuchter aufbewahrt, der mit einer Kerzentülle in «Form eines Hohlzylinders mit breit umgelegtem Band» ausgestattet ist[435]. Die Verwendung einer Kerzentülle für eine offene Lampe wäre folglich durchaus möglich. Denkbar ist, dass solche Einsätze eventuell die Russbildung reduzierten.

Die Eisen- und die Bronzeobjekte aus dem Brandschutt umfassen ein breites Spektrum: Neben Bestandteilen des Hausrats, wie dem eben besprochenen Kerzenhalter **660** und dem Kienspanhalter **682**, sind Elemente des Hausmobiliars in verschiedener Form vertreten, so etwa die bronzenen Glöckchen (**659** und o. Abb.)[436], die eisernen Beschlagbänder für Möbel oder Kästen **694–699**, die Splintscharniere **700** und **701**[437], die Schlossbestandteile **684–693** oder Werkzeuge wie die Flachmeissel **720** und **721**, der Spitzmeissel **722**, die Keile oder Meissel **723** und **724** sowie die werkzeugähnlichen Objekte **726–728**, wobei **728** evtl. auch als Bratroststab angesprochen werden könnte[438].

Im Fall des Hakenösenscharniers **697** ist an der Rundung eines Schenkels die ehemalige Dicke des Rundholzes noch gut ablesbar. Laut Emilie Riha stammen solche Hakenösenscharniere nicht von Türen- oder Fensterläden, sondern von grossen Holzkisten[439].

Zum Hausinventar gehören ferner drei, eventuell sogar vier Vorhängeschlösser **684–688**, drei Schiebeschlüssel mit Bart (**689, 690** und o. Abb.) sowie drei Eingerichte von Schiebeschlössern **691–693**. Ähnliche Exemplare wie die Vorhängeschlösser **684–688** finden sich nicht nur in Augusta Raurica, sondern auch in der näheren und weiteren Umgebung[440]. Schiebeschlüssel mit Bart, durchlochtem Griffende und einer Querfeilung am Bart, wie etwa **690**, sowie mit relativ langen Zähnen wie beim Schlüssel **689**, der wohl eher zu einem Kasten gehört, finden sich beispielsweise auch in Oberwinterthur oder in der Villa von Seeb[441]. Eingerichte von Schiebeschlössern wie **691–693** sind hingegen eher selten. Im *vicus* von Basel fand sich ein Exemplar in einem Brandhorizont, der in die Jahre nach 250 n. Chr. zu datieren ist[442]. Als Elemente der Hauseinrichtung oder als Baueisen anzusprechen sind die zwei ineinander greifenden Splinte **702** und **703**, die Ösenstifte **705** und **706** und die Bankhaken mit Rückenplatten **707** und **708**. Solche Baueisen wurden in das Holz eingeschlagen und dienten als Verbindungsteile oder als Aufhängevorrichtung[443].

Bei den Flach- und Spitzmeisseln **720–722** ist nicht genau bestimmbar, ob damit Metall, Holz oder Stein bearbeitet wurde[444]. Unsere Exemplare **720** und **721** können als Meissel mit kurzem Schaft bezeichnet werden; der Schaft verbreitert sich kaum und die Gesamtlänge beträgt keine 8 cm. Solche Exemplare wurden auch zum Zertrennen von Metall in kaltem Zustand verwendet und werden deshalb oft als Kaltmeissel oder Schrotmeissel bezeichnet[445]. Der Meissel mit starker Spitze **722** oder die Keilmeissel **723** und **724** konnten sowohl für die Metallverarbeitung wie auch für die Steinbearbeitung benutzt worden sein[446]. Das Eisenobjekt **725** kann als Ahle angesprochen werden und diente wohl zum Durchstechen von Leder oder vielleicht auch von Holz. Weitere Bohrer oder zum Stechen verwendete Werkzeuge sind mit den doppelspitzigen Objekten **726–728** vertreten. Die letztgenannten Objekte sind allerdings an den Oberflächen und Enden so stark fragmentiert, dass ihr Verwendungszweck nicht mehr genauer eruierbar ist.

Der am Boden sekundär abgearbeitete eiserne Kessel mit Bügel **680** sowie zwei weitere Teile eines Kesselbügels **681** sind als Küchengeräte anzusprechen. Beim Kessel **680**, der keinen Boden mehr besitzt, ist es offen, ob er zum Zeitpunkt der Brandkatastrophe noch in Gebrauch stand oder

433 Vgl. Leibundgut 1977, 72–74.

434 Vgl. Feugère/Garbsch 1993, Abb. 2,4 Taf. 10,4–6; Bujukliev 1994. Den Hinweis, dass Laternenbrenneinsätze ein viel dünneres Blech aufweisen, verdanken wir Sylvia Fünfschilling, Augst.

435 Vgl. Menzel 1969, 112–114 Abb. 93,7.8.

436 Die beiden Glöckchen (**659** und o. Abb.) passen von Form und Art her sehr gut zu den Glöckchen aus Ensemble A12. Vgl. unten bei Abb. 226,**797–800** und S. 245 f.

437 Die Nummern **697–701** entsprechen Riha 2001, Kat. 326–328; 344; 345. Die von E. Riha vorgelegten Hakenösenscharniere und Splintscharniere stammen alle aus FK X06514. Ebd. nicht aufgeführt sind zwei weitere Hakenösenscharniere **695** und **696** aus FK X06514. Demzufolge liegen nun etliche Hausmobiliarbestandteile vor, die als Ganzes gesehen ein Ensemble bilden (s. a. u. S. 378).

438 Freundliche Mitteilung von Verena Schaltenbrand Obrecht, Füllinsdorf. Vgl. Schaltenbrand Obrecht 1996, 164 Taf. 49,219–222.

439 Riha 2001, 46 Taf. 26,326–328 = unsere Exemplare **697–699**. Zur Interpretation der Scharniere vgl. auch Riha 2001, Abb. 22; 37 (Hackenösenscharniere aus Grabinventaren).

440 Vgl. Furger u. a 1990, 153–170 Abb. 23; Thomas 2006.

441 Vgl. Fünfschilling 2006, 190 f. Taf. 161; Schaltenbrand Obrecht 1996, 174 Taf. 77,484–493; Fellmann 1990, 198 f. Taf. 28.

442 Vgl. Ammann 2002, 51 Anm. 380 Taf. 37,259.260; Hagendorn 1999, Taf. 57,279.

443 Schaltenbrand Obrecht 1991, 180–182 Taf. 70,27.29; 71,21.

444 Vgl. Duvauchelle 2005, 25; Pietsch 1983, 34.

445 Vgl. Duvauchelle 2005, 25 f. Taf. 4,23.24; Pietsch 1983, 37 Taf. 11,223–233; Dolenz 1998, 185 Taf. 61,W 144.

446 Gaitzsch 1980, 162 Taf. 45,215; Pietsch 1983, 38 Taf. 12,258–265.

Form/Typ	RS	BS	WS	HE	Total	MIZ
TS, südgallisch						
Drag. 24	1				1	1
Drag. 27			1		1	1
Drag. 35	5				5	5
Drag. 42	1				1	1
Drag. 15/17	2				2	2
Drag. 18	6				6	6
Drag. 29		1	1		2	2
Drag. 37	4		6		10	9
TS, mittelgallisch						
Drag. 33	1	3			4	4
Drag. 18/31		1	3		4	1
Walters 79/80	1				1	1
Drag. 37	2		3		5	5
TS, ostgallisch						
Déchelette 72	5	1			6	3
Skyphos				1	1	1
Nb. 12	12	3	16		31	12
Drag. 33	9	1			10	10
Drag. 40	5				5	5
Drag. 32	4	1			5	5
Drag. 31	1				1	1
Nb. 6	8	3	1		12	2
Ludowici Th/Tb	1				1	1
Ludowici Tb	2				2	2
Drag. 38	14	7	2		23	4
Nb. 19	1		1		2	2
Drag. 37	13	8	44		65	32
Drag. 43/45	4				4	4
Form unbestimmt		7	2		9	9
Drack 20–22						
Drack 20	1				1	1
Drack 21	2				2	2
Glanztonkeramik						
Becher mit verdicktem Rand	8				8	8
Becher mit Karniesrand	7				7	7
Nb. 29	5				5	5
Nb. 30	1	1	4		6	1
Nb. 31	1				1	1
Nb. 32	1		3		4	1
Nb. 33	95	24	110		229	159
Sonderformen Schälchen	3		2		5	5
Sonderformen Schüsseln	7		1		8	6
Verzierte WS, Typ unbestimmt			36		36	29
Form unbestimmt		7			7	7
Übrige Keramik						
Späte TS-Imitation						
Schälchen	1				1	1
Imitation Nb. 18	1				1	1
Imitation Nb. 19	2				2	2
Imitation Drag. 37	2				2	2
Schüssel mit Randleiste	2				2	2
Helltonige Gebrauchskeramik						
Teller mit eingebogenem Rand	88	4			92	73
Teller mit ausbiegendem Rand	3				3	3
Kragenrandschüssel	2				2	2
Schüssel mit gerilltem oder horizontalem Rand	15				15	13
Schüssel mit profiliertem Rand	45				45	38
Schüssel mit profilierter Wandung	24				24	21
Schüssel mit einwärts gebogenem Rand	5				5	5
Sonstige Schüsseln	9	8			17	11
Schälchen mit Wandknick	4				4	2
Topf/Töpfchen	9	2			11	6
Honigtopf	3				3	3
Deckel	4				4	4
Krug mit Bandrand	4	2	4	1	11	4
Sonstige Krüge	11	6	23	5	45	19
Schnabelkanne	2				2	2
Flasche	2				2	2
Räucherkelch	2				2	2
Gesichtsgefäss	2	1	5		8	1
Malertöpfchen	1				1	1
Helltonige Keramik, Form unbestimmt		2			2	2
Grautonige Gebrauchskeramik						
Teller mit eingebogenem Rand	7				7	7
Teller mit ausbiegendem Rand	3				3	3
Teller mit steilem Rand	3				3	2
Kragenrandschüssel	12				12	12
Schultertopf	5				5	5
Schüssel mit gerilltem oder horizontalem Rand	1				1	1
Schüssel mit profiliertem Rand	5				5	1
Schüssel mit einwärts verdicktem Rand	7				7	4
Deckel	3	2			5	3
Schlangentopf	1				1	1
Grautonige Keramik, Form unbestimmt		3	2		5	4
Scheibengedrehte Kochkeramik						
Kochtopf mit scharfkantig umgelegtem Rand	14	2	24		40	7
Kochtopf mit Leistenrand	57				57	49
Kochteller	7	2			9	5
Kochtopf		4			4	4
Reibschüssel	3	2			5	4
«Rätische» Reibschüssel	22	3			25	15
Amphoren	9		4	2	15	8
Handgemachte Kochkeramik						
Kochtopf mit scharfkantig umgelegtem Rand	15	3	8		26	5
Kochtopf	4				4	4
Total Fragmente/MIZ	**654**	**114**	**306**	**9**	**1083**	**729**

Abb. 176: Augst BL, Insula 5/9, Raum A (Grabung 1965–1967.052). Ensemble A11-OG: Fundstatistik zur Keramik (FK X04601, FK X04602, FK X04606, FK X04614, FK X04621, FK X04624, FK X04627, FK X04628, FK X04636, FK X04639, FK X04644, FK X04648, FK X04650, FK X04652, FK X04658, FK X04659, FK X04664, FK X04668, FK X04669, FK X04671, FK X04674, FK X04675, FK X04677, FK X04678, FK X04682, FK X04685, FK X04699, FK X04715, FK X04716, FK X04750, FK X06213, FK X06511, FK X06514, FK X06519, FK X06521, FK X06522, FK X06524, FK X06534, FK X06536, FK X06538, FK X06541, FK X06542, FK X06544, FK X06545, FK Z01651, FK Z01652, FK Z01655, FK Z01658, FK Z01661, FK Z01676, FK Z01678, FK Z01679). MIZ = RS, BS, WS, HE.

ob es sich um zusammengesammeltes Altmetall handelt. Genietete Kessel mit Henkeln sind in der sogenannten Alamannenbeute aus Neupotz mehrfach vertreten[447]. Der Kessel mit dem leicht nach innen geschwungenen Oberteil und dem kugelsegmentartigen Unterteil lässt sich anhand der von Ernst Künzl erstellten Kriterien dem Typ NE 8 zuweisen[448]. Unser Kessel besitzt dagegen keine dreieckigen Attaschen für den Henkel, sondern ist mit zwei angenieteten Henkelbogenattaschen ausgestattet. Auch sind die Bügelhenkel vom Kessel **680** rund und besitzen keinen D-förmigen Querschnitt wie andere Exemplare aus Augusta Raurica oder aus Seeb. Beim zweiten Kesselbügel **681** ist der Henkelmittelteil – wie bei den auf der Saalburg und in London gefundenen Exemplaren – vielmehr U-förmig ausgestaltet[449].

Das ägyptisierende Steingefäss **732** ist aus weissem Marmor gefertigt und wurde von Sylvia Fünfschilling zusammen mit sechs weiteren Steinflaschen aus Augusta Raurica publiziert[450]. Derartige Gefässe – namentlich das plumpe Exemplar aus dem Brandschutt des Obergeschosses – können nur schwer eingeordnet werden und sind in Bezug auf die Qualität nicht mit den ägyptischen Vorbildern vergleichbar[451]. Dennoch bezeugt das Steingefäss die ferne Herkunft von Parfums oder von Salben und damit auch einen gewissen Sinn für Luxus und eventuell sogar eine bestimmte Affinität zur ägyptischen Lebensart.

Die gallische Terrakotta einer Knabenbüste **730** weist die charakteristischen Züge eines Kleinkindes auf. Kahlkopf, Pausbacken und leichtes Lächeln oder Grinsen auf dem Gesichtchen sind sehr einheitlich gestaltet und sind ab dem 2. Jahrhundert in der Votivkunst präsent[452].

Katalog der Funde aus Ensemble A11-OG (Abb. 177)

Terra Sigillata

491 WS, TS (südgallisch), Schälchen Drag. 24. – Inv. 1966.3476, FK X04668.

492 RS, TS (südgallisch), Schale Drag. 35/36. – Inv. 1966.3498, FK X04675. – Publ.: Fünfschilling 1989, Abb. 41,5.

493 RS, TS (mittelgallisch), Schälchen Drag. 33. – Inv. 1965.5501, FK X04652.

494 RS, TS (ostgallisch), Schälchen Drag. 33. – Inv. 1967.10294, FK Z01676.

495 RS, 7 WS, TS (ostgallisch), Schälchen Nb. 12. Ton auffällig hellbeige. Stark sekundär verbrannt. – Inv. 1967.2144a–g, FK X06535.

496 7 RS, 2 WS, TS (ostgallisch), Schälchen Nb. 12. Ton auffällig hellbeige. Stark sekundär verbrannt. – Inv. 1967.2142a–k, FK X06535.

497 RS, TS (ostgallisch), Schälchen Nb. 12. Sekundär verbrannt. – Inv. 1965.4018, FK X04606.

498 RS, TS (ostgallisch), Becher Déchelette 72. Sekundär verbrannt und abgeplatzte Oberfläche. – Inv. 1965.7827, FK X04664.

499 RS, TS (südgallisch), Teller Drag. 15/17. – Inv. 1966.944, FK X04677.

500 RS, TS (südgallisch), Teller Drag. 18. – Inv. 1966.940, FK X04677.

501 RS, TS (ostgallisch), Teller Drag. 18/31. – Inv. 1966.4218, FK X06519.

502 RS, TS (ostgallisch), Teller Ludowici Tb/Curle 23. – Inv. 1965.5500, FK X04652. – Publ.: Bruckner 1975, 67,7.

503 RS, TS (ostgallisch), Schale Drag. 40/Nb. 10. – Inv. 1965.5333, FK X04658.

504 Gefäss vollständig, TS (ostgallisch), Teller Drag. 32. – Inv. 1966.3495, FK X04675. – Publ.: Fünfschilling 1989, Abb. 41,2.

505 BS, TS (ostgallisch), Teller Drag. 32. Mit zentralem Bodenstempel: [S]ATVRO (Saturio iii, Rheinzabern, Dat. 170–260 n. Chr.)[453]. – Inv. 1967.10293, FK Z01676.

506 3 RS, WS, TS (ostgallisch), Teller Nb. 6a. Sekundär verbrannt. – Inv. 1967.2141b.c.e.f, FK X06535.

507 5 RS, 3 BS, TS (ostgallisch), Teller Nb. 6a. – Inv. 1966.3496a–i, FK X04675. – Publ.: Fünfschilling 1989, Abb. 41,3.

508 7 RS, 2 BS, TS (ostgallisch), Schüssel Drag. 38. Schüssel stark ergänzt. – Inv. 1966.4220, FK X06519.

509 7 RS, 5 BS, TS (ostgallisch), Schüssel Drag. 38. Schüssel stark ergänzt. – Inv. 1966.4221, FK X06519.

510 WS, TS (ostgallisch), Schüssel Nb. 19. – Inv. 1965.4016, FK X04606.

511 3 RS, 5 WS, TS (ostgallisch), Schüssel Drag. 37. Stark sekundär verbrannt. Relief: Eierstab mit Kern und umlaufenden Stäben, kurzer Beistrich links. Darunter getrennt durch Ornamentstützen (?) grosse, glatte Doppelkreise, darin Apollo nach rechts gewandt auf einem Sessel sitzend und mit erhobener Hand eine Leier spielend, im unteren Abschluss jeweils zwischen Stützen und Doppelkreis Ährenfüllmotive und jeweils oben unter dem Eierstab nach rechts schreitende Vögel. Für Apollo mit Leier: Ricken/Fischer 1963, M 72. – Inv. 1967.2139a–h, FK X06535.

512 BS, 4 WS, TS (ostgallisch), Schüssel Drag. 37. Relief: Grober Eierstab ohne Kern und Beistrich, keine Perlleiste, Wand durch Stützornamente eingeteilt, unter gekerbten Arkaden auf Basen fliegender Adler. – Inv. 1965.4020, FK X04606.

513 RS, TS (ostgallisch), Reibschüssel 45. – Inv. 1967.11499, FK X06545.

Übrige Keramik

514 RS, Schüssel Drack 20. Ton grau mit schwarzem Überzug. – Inv. 1966.998, FK X04671.

515 RS, Schälchen mit Wandknick und Standring. «TS-Imitation». Ton grau mit schwarzer Innenseite. – Inv. 1967.2602, FK X06536.

516 2 RS, Schüssel mit Wandleiste. «TS-Imitation» Nb. 19. Ton orange mit rotem Überzug innen und über dem Rand. – Inv. 1965.4835, FK X04648; Inv. 1966.4378, FK X06514.

517 RS, Schüssel mit profilierter Wandung. «TS-Imitation» Nb. 18. Ton orange mit geglätteter roter Oberfläche. – Inv. 1965.4023, FK X04606.

518 RS, Glanztonbecher mit Karniesrand. Ton orange mit décor oculé. – Inv. 1965.5335, FK X04658.

519 RS, Glanztonbecher mit verdicktem Rand. Ton grauschwarz mit Riffelmuster. – Inv. 1966.3480, FK X04668.

520 RS, Glanztonbecher mit verdicktem Rand. Ton orangebraun mit Ratterblechmuster. – Inv. 1965.5337, FK X04658.

521 RS, Glanztonbecher mit verdicktem Rand. Ton orangebraun mit Ratterblechmuster. Unter dem Rand Graffito: CRACOMOS. – Inv. 1967.2145, FK X06535. – Publ.: Féret/Sylvestre 2008, Kat. 19.

447 Künzl 1993, 231–238 Taf. 196–267.

448 Künzl 1993, 231 Abb. 1,NE 8. Zur Datierung vgl. ebenda S. 233.

449 Vgl. Manning 1985, 103 Taf. 47 mit weiterführender Literatur; Drack 1990, Taf. 63,435; Fünfschilling 2006, 180 Taf. 156,3089. Ein weiterer Kesselhenkel mit einem identischen abgeplatteten U-förmigen Henkelmittelteil ist auch anlässlich der Grabung 2002.063 zum Vorschein gekommen (Inv. 2002.063.E06770.155); dieser FK umfasst Streufunde aus dem maschinellen Aushub im Bereich von Raum B und wurde deswegen nicht berücksichtigt (vgl. Abb. 185).

450 Fünfschilling 1989, 304–310 Abb. 41,Gefäss 5; 45,47.

451 Vgl. Fünfschilling 1989, 288 Abb. 5.

452 von Gonzenbach 1995, 161 f.

453 Lesung, Datierung und Produktionszuweisung Brenda Dickinson, Leeds.

522 RS, Glanztonbecher Nb. 29. Ton orange mit Riffel- und Barbotinedekor. – Inv. 1965.5515, FK X04652. – Publ.: Bruckner 1975, 70,42.

523 RS, WS, Glanztonbecher Nb. 29. Ton braunschwarz mit Ratterblech- und Barbotinedekor. – Inv. 1965.4087, FK X04627.

524 RS, Glanztonbecher Nb. 29. Ton orangeschwarz. – Inv. 1967.14176, FK Z01678.

525 2 RS, 4 WS, BS, Glanztonbecher Nb. 30. Ton braunorange. – Inv. 1966.4224, FK X06519.

526 RS, Glanztonbecher Nb. 31. Ton orange mit schwarzer, irisierender Oberfläche. – Inv. 1965.5520, FK X04652. – Publ.: Bruckner 1975, 68,24.

527 WS, zylindrischer Becher mit Wandknick. Ton mausgrau mit Ratterblechdekor. – Inv. 1966.4148, FK X04671.

528 Glanztonbecher Nb. 33. Ton grauschwarz, matt. – Inv. 1966.4346a, FK X06514. – Publ.: Bruckner 1975, 77,d.

529 Glanztonbecher Nb. 33. Ton grauschwarz, matt. – Inv. 1966.4347, FK X06514. – Publ.: Bruckner 1975, 77,c.

530 RS, 3 WS, BS, Glanztonbecher Nb. 33. Ton grauschwarz mit leicht glänzender Oberfläche. – Inv. 1965.5412, FK X04639.

531 3 RS, WS, Glanztonbecher Nb. 33. Ton grauschwarz mit leicht glänzender Oberfläche. Lesung: FLORASIONONAMALAVTVACVDIIQAT[---]VE /SO. – Inv. 1967.5057.5057A.B, FK X06545. – Passscherbe: Inv. 1965.5328A, FK X04649 (Ensemble A8). – Publ.: Féret/Sylvestre 2008, Kat. 218.

532 RS, Glanztonbecher Nb. 33. Ton grau mit matter Oberfläche. – Inv. 1965.5519, FK X04652. – Publ.: Bruckner 1975, 68,28.

533 2 RS, Glanztonbecher Nb. 33. Ton orangebraun mit matter Oberfläche. – Inv. 1967.2580, FK X06536.

534 RS, 2 WS, Glanztonbecher Nb. 33. Ton braunschwarz mit Schliffmuster. Stark sekundär verbrannt. – Inv. 1967.2143h–g. l, FK X06535.

535 RS, Schälchen. Ton grauschwarz mit matter Glanztonoberfläche. – Inv. 1965.4832, FK X04648.

536 RS, Schüssel mit betonter Schulter. Ton grauschwarz mit matter Glanztonoberfläche. – Inv. 1966.4124, FK X06521.

537 RS, Schüssel. Ton orange mit décor oculé. – Inv. 1965.5512, FK X04652. – Publ.: Bruckner 1975, 71,52.

538 4 RS, Schüssel mit Kragenrand. Ton grauschwarz mit irisierender Glanztonoberfläche. – Inv. 1967.2165a–c, FK X06535; Inv. 1966.4337, FK X06514. – Publ.: Bruckner 1975, 67,11. Dort falsch als Curle 21 angesprochen.

539 3 RS, Schüssel mit profilierter Wandung. Ton grauschwarz mit irisierender Glanztonoberfläche. – Inv. 1965.4021, FK X04606; Inv. 1967.2572, FK X06536; Inv. 1967.5065, FK X06545.

540 RS, Teller mit Randleiste. Ton orange, innen geglättete, geschwärzte Oberfläche. – Inv. 1965.4838, FK X04648.

541 4 RS, Teller mit ausbiegendem Rand. Ton orange, innen geglättet. – Inv. 1967.10312, FK Z01658.

542 RS, kleiner Teller mit eingebogenem Rand. Ton orangebraun. – Inv. 1966.4242, FK X06519.

543 2 RS, Teller mit eingebogenem Rand. Ton dunkelgrau mit innen geglätteter Oberfläche. – Inv. 1965.4888, FK X04644; Inv. 1967.5358, FK Z01655. – Publ.: Bruckner 1975, 73,75.

544 RS, Teller mit eingebogenem Rand. Ton orange mit geglätteter Oberfläche. – Inv. 1965.4848, FK X04648.

545 4 RS, Teller mit eingebogenem Rand. Ton orange mit Goldglimmerüberzug auf der Innenseite. – Inv. 1967.11517b.c.e.f, FK X06545.

546 2 RS, Teller mit verdicktem Steilrand. Ton grauschwarz, innen brandgeschwärzt. – Inv. 1965.4292, FK X04628.

547 RS, Kragenrandschüssel. Ton grau. – Inv. 1966.962, FK X04677.

548 RS, kleine Schüssel mit profilierter Wandung. Ton grauschwarz. Wandleiste leicht gewellt. – Inv. 1967.2603, FK X06536.

549 RS, Schüssel mit profilierter Wandung. Ton grauschwarz. – Inv. 1967.2605, FK X06536.

550 RS, Schüssel mit profilierter Wandung. Ton orangebraun. – Inv. 1965.3675, FK X04602.

551 RS, Schüssel mit profiliertem Steilrand. Ton orange. – Inv. 1966.956, FK X04677.

552 3 RS, Schüssel mit leicht verdicktem Rand. Ton orangebraun mit roter Innenfläche und mit Sand gemagert. – Inv. 1967.2182a–c, FK X06535.

553 RS, Schüssel mit nach innen verdicktem Rand. Ton orangebraun. – Inv. 1967.1578, FK X06534.

554 RS, Schüssel mit nach innen verdicktem Rand. Ton orangegrau. – Inv. 1967.2608, FK X06536.

555 Vollständige Schüssel mit gerilltem Horizontalrand. Ton graubraun. Stark verzogen, Fehlbrand. – Inv. 1966.4241, FK X06519. – Publ.: Bruckner 1975, 77,a.

556 RS, Schüssel mit gerilltem Horizontalrand. Ton orangebraun. – Inv. 1965.4839, FK X04648.

557 RS, Schüssel mit leicht gekehltem Horizontalrand. Ton orangebraun. Mit Kalk gemagert. – Inv. 1967.11514, FK X06545.

558 RS, Schüssel mit profiliertem Rand. Ton orange. Aussen und innen Reste roter Engobe. – Inv. 1967.11511b, FK X06545.

559 RS, Schüssel mit profiliertem Rand. Ton orange, leicht brandgeschwärzt. – Inv. 1965.4840, FK X04648.

560 2 RS, Schüssel mit profiliertem Rand. Ton orange mit Goldglimmerüberzug auf der Innenseite. – Inv. 1965.4836a.b, FK X04648.

561 RS, Schüssel mit profiliertem Rand. Ton braunorange, leicht brandgeschwärzt. – Inv. 1966.4367, FK X06514. – Publ.: Bruckner 1975, 74,88.

562 2 RS, Schüssel mit profiliertem Rand und Wandknick. Ton ziegelorange. – Inv. 1967.2607a.b, FK X06536.

563 RS, Schüssel mit Deckelfalzrand. Ton grau im Kern mit oranger, geglätteter Oberfläche. – Inv. 1965.5530, FK X04652. – Publ.: Bruckner 1975, 73,77.

564 RS, Schultertopf. Ton grau. – Inv. 1966.4228, FK X06519.

565 Ganz erhaltenes Töpfchen mit ausbiegendem Rand und hoher Schulter. In dem Töpfchen fanden sich Reste von gewöhnlicher Spitzklette (s. u. S. 232 f.). – Inv. 1966.4349, FK X06514. – Publ.: Berger 1966, Abb. 24,a; Bruckner 1975, 77,g.

566 3 RS, Töpfchen oder Schälchen mit ausbiegendem Rand und hoher Schulter. Kein Überzug. – Inv. 1966.4351a–c, FK X06514. – Publ.: Bruckner 1975, 72,68.

567 RS, Honigtopf mit Horizontalrand. Ton orange mit weissem Überzug. – Inv. 1967.2599, FK X06536.

568 RS, Flasche. Ton beige mit weissem Überzug. – Inv. 1966.4375, FK X06514.

569 Ganz erhaltene Kanne. Ton orange. Brandspuren am Schnabel. – Inv. 1966.4385, FK X06514. – Publ.: Berger 1966, Abb. 24,c; Bruckner 1975, 77,k.

570 RS, Krug mit Bandrand. Ton beige, sekundäre Brandspuren. – Inv. 1966.4387, FK X06514.

571 RS, Krug mit Trichterrand. Ton orange, sekundär verbrannt. – Inv. 1967.1567, FK X06534.

572 2 RS, Krug mit Wulstrand. Ton grau mit schwarzer Oberfläche. Über dem Henkel kleiner warzenartiger Fortsatz. – Inv. 1966.3537, FK X04675. – Publ.: Fünfschilling 1989, Abb. 44,43.

573 Ganz erhaltenes sogenanntes Malertöpfchen. Ton orange. – Inv. 1966.4350, FK X06514.

574 WS, Räucherkelch. Ton orange mit weisser Farbbemalung. – Inv. 1965.4224, FK X04624.

575 RS, Schlangentopf. Ton grau. – Inv. 1966.4244, FK X06519. – Publ.: Schmid 1991, Kat. 29; Kaufmann-Heinimann 1998, Abb. 44,2.

576 2 RS, 7 WS, Gesichtsgefäss. Ton orange, geglättete Oberfläche. – Inv. 1967.2166a–i, FK X06535. – Passscherben: 2002.063. E06092.285a–j.286 (Ensemble A11-EG).

577 3 RS, Teller mit Randleiste. Ton grau, mit Kalk grob gemagert. – Inv. 1965.4841.4844.4845, FK X04648.

578 RS, Topf mit gerilltem Horizontalrand. Ton grau, mit Kalk gemagert. – Inv. 1966.3525, FK X04675. – Publ.: Fünfschilling 1989, Abb. 42,27.

579 RS, Topf mit leicht gekehltem Leistenrand. Ton beige, mit Quarz gemagert. – Inv. 1967.1569, FK X06534.

580 2 RS, Topf mit Leistenrand. Ton grau, mit Quarz gemagert. – Inv. 1967.2173a.b, FK X06535.

581 RS, Topf mit gekehltem, nach innen verdicktem Leistenrand. Ton schwarzgrau, mit Kalk gemagert. – Inv. 1966.4126, FK X06521. – Publ.: Bruckner 1975, 76,110.

582 RS, Topf mit unterschnittenem Leistenrand. Ton schwarz, mit Kalk gemagert. – Inv. 1965.3672, FK X04602.

583 2 RS, Topf mit Wulstrand. Ton orange. – Inv. 1966.4374a.b, FK X06514.

584 RS, Topf mit Wulstrand. Ton braun, mit Kalk gemagert. – Inv. 1965.5532, FK X04652. – Publ.: Bruckner 1975, 76,112.

585 RS, Topf mit nach innen verdicktem Wulstrand. Ton orange, mit Kalk gemagert. – Inv. 1967.11513, FK X06545.

586 2 RS, Topf mit Leistenrand. Ton grau mit Kammstrichdekor. – Inv. 1966.3518b, FK X04675; Inv. 1967.4467, FK X06544.

587 3 RS, Topf mit ausbiegendem Rand. Ton graubraun, mit Kalk gemagert. Unter dem Rand Fingereindrücke. – Inv. 1966.3517a–c, FK X04675. – Publ.: Fünfschilling 1989, Abb. 43,32.

588 RS, Topf mit scharfkantig ausbiegendem Rand. Ton beige, mit Kalk gemagert. – Inv. 1965.3671, FK X04602.

589 5 RS, 17 WS, 2 BS, Topf mit scharfkantig ausbiegendem Rand. Ton graubraun, wenig gemagert und gleichmässiger, feiner Kammstrich. – Inv. 1966.3515, FK X04675. – Publ.: Fünfschilling 1989, Abb. 43,30.

589A RS, 6 WS, Topf mit scharfkantig ausbiegendem Rand. Ton graubraun, mit Kalk gemagert und starkem Kammstrichdekor auf Rand und Schulter. – Inv. 1967.2172a–f, FK X06535.

590 RS, Topf mit scharfkantig ausbiegendem Rand. Ton ziegelrot, mit Kalk gemagert und starkem Kammstrichdekor. Fehlbrand. Brandgeschwärzt über dem Rand und auf der Schulter. – Inv. 1967.2615, FK X06536.

591 RS, Topf mit Leistenrand. Ton beige. Handgemacht. – Inv. 1967.2618, FK X06536.

592 5 RS, 5 WS, 3 BS, Topf mit scharfkantig ausbiegendem Rand. Ton braun, mit Kalk gemagert und Kammstrichdekor. Handgemacht. – Inv. 1965.5415a–n, FK X04639.

593 9 RS, WS, Topf mit scharfkantig ausbiegendem Rand. Ton braunschwarz, mit Kalk gemagert und mit horizontalem und vertikalem Kammstrichdekor. – Inv. 1966.4379a–k, FK X06514. – Publ.: Bruckner 1975, 76,115.

594 3 RS, Topf mit scharfkantig ausbiegendem Rand. Ton braunschwarz, mit Kalk gemagert und Kammstrichdekor. Handgemacht und mit Graffito vor dem Brand: VVV(?). – Inv. 1967.2168a–c, FK X06535. – Publ.: Féret/Sylvestre 2008, Kat. 1777.

595 RS, Topf mit leicht eingezogenem Steilrand. Ton schwarz mit Besenstrich. Handgemacht. – Inv. 1966.4226, FK X06519.

596 RS, Topf mit Steilrand. Ton graubeige, mit Kalk gemagert. Handgemacht. – Inv. 1966.3484, FK X04668.

597 RS, Reibschüssel. Ton beige. Quarzierung stark abgerieben. – Inv. 1965.4887, FK X04644.

598 4 RS, BS, «rätische» Reibschüssel. Ton braunrot. Teilweise sekundär verbrannt. – Inv. 1965.5418a–c, FK X04639; Inv. 1965.4886.7828, FK X04664. – Publ.: Bruckner 1975, 75,97.

599 WS, 3 BS, Reibschüssel. Ton orange mit grauem Kern. Am Rand sekundär abgearbeitet. – Inv. 1966.966a–d, FK X04677.

600 3 RS, Amphore, unbestimmbare Form (Pélichet 46 oder ähnlich Augst 28?), Herkunft: Iberische Halbinsel. Feuerspuren. – Inv. 1966.906a–c, FK X04669. – Publ.: Martin-Kilcher 1987/1994, Kat. 4309.

601 2 RS, Amphore, unbestimmbare Form (Pélichet 46 oder ähnlich Augst 28?), Herkunft: Iberische Halbinsel. Feuerspuren. – Inv. 1966.4154, FK X04671. – Publ.: Martin-Kilcher 1987/1994, Kat. 4307.

602 RS, Amphore, Typ siehe unbestimmte Form in Gruppe 16. Herkunft: Ostmittelmeer. – Inv. 1966.3535, FK X04675. – Publ.: Martin-Kilcher 1987/1994, Kat. 5514.

603 RS, Amphore, Typ siehe unbestimmte Form in Gruppe 16. Herkunft: Ostmittelmeer. – Inv. 1966.3534, FK X04675. – Publ.: Fünfschilling 1989, Abb. 44,44; Martin-Kilcher 1987/1994, Kat. 5515.

604 RS, Amphore, Dressel 7/10. – Inv. 1965.4106, FK X04621. – Publ.: Martin-Kilcher 1987/1994, Kat. 3937.

605 4 WS, HE, Amphore, Dressel 20. Abarbeitung an Schulter und Sägespuren an beiden Henkeln. Feuerspuren. Stempel an Bauch: CALISTI. Datierung: 210–250 n. Chr. – Inv. 1965.4397a–e, FK X04628. – Publ.: Martin-Kilcher 1987/1994, Kat. 1769 und ST 35.

606 HE, Amphore, Dressel 20. Sägespur an Henkel. Feuerspuren. Stempel an Henkel: XIIIIHP. Datierung 150–250 n. Chr. – Inv. 1965.4096, FK X04627. – Publ.: Martin-Kilcher 1987/1994, Kat. 1557 und ST 140.

Lampen

607 Keramik, Firmalampe, Loeschcke Typ 10. Henkel weggebrochen. Mit Stempel LVPATI. Ton orange, durch Gebrauch oder Schadenfeuer sekundär verbrannt. – Inv. 1967.18988, FK X06535.

Münzen

608 Marc Aurel. Dupondius. Rom, 161–180 n. Chr.? A0/0, K0/0. Fehlt. Bestimmung nach Skizze auf der Fundtüte; unsicher! – Inv. 1966.4467, FK X06514. – Publ.: Peter 1996, Ins. 5.9E1/1.

609 Marc Aurel oder Commodus. Dupondius. Rom, 161–192 n. Chr. A0/0, K4/4, –°, 9,30 g. Vs.: Starker Einhieb. Brandspuren. – Inv. 1966.4465, FK X06514. – Publ.: Peter 1996, Ins. 5.9E1/2.

610 Hadrian. Sesterz. Rom, 125–138 n. Chr. A0/0, K4/5, –°, 20,69 g. – Inv. 1966.4464, FK X06514. – Publ.: Peter 1996, Ins. 5.9/31.

611 Hadrian. As. Rom, 125–138 n. Chr. Rs.: Stehende Figur n. r. A2/2, K3/3, 180°, 9,97 g. Brandspuren. – Inv. 1966.4469, FK X06514. – Publ.: Peter 1996, Ins. 5.9/32.

611A Republik. Quinar. Rom, 89 v. Chr. Vgl. RRC, S. 351, Nr. 343/2a. b. A3/3, K2/2, 285°, 1,48 g. – Inv. 1966.4468, FK X06514. – Publ.: Peter 1996, Ins. 5.9/2[454].

611B Augustus für Tiberius. As. Lyon, 10–14 n. Chr. Vgl. RIC 1(2), S. 58, Nr. 238a oder 245. A1/1, K3/3, 360°, 9,18 g. Ausgebrochen, Brandspuren. – Inv. 1967.2634, FK X06536. – Publ.: Peter 1996, Ins. 5.9/5.

612 Antoninus Pius oder Marc Aurel für (Diva?) Faustina II. Sesterz. Rom, 145–180 n. Chr. A0/0, K4/4, –° 17,27 g. – Inv. 1966.8128, FK X06519. – Publ.: Peter 1996, Ins. 5.9/42.

613 Caracalla. As. Rom, 214 n. Chr. Vgl. RIC IV.1,3, S. 300, Nr. 534. A2/2, K2/2, 180°, 13,57 g. – Inv. 1966.8129, FK X06519. – Publ.: Peter 1996, Ins. 5.9/46.

614 Traian. Sesterz. Rom, 103–117 n. Chr. Rs.: Stehende Figur n. l. A3/4, K3/3, 180°, 19,71 g. – Inv. 1965.4296, FK X04628. – Publ.: Peter 1996, Ins. 5.9/25.

615 Septimius Severus für Iulia Domna. Denar (Guss). (Rom), 196–211? n. Chr. Vgl. RIC IV.1, S. 168, Nr. 559. A0/0, K4/4, 180°, 1,72 g. Fragment. – Inv. 1965.4297, FK X04628. – Publ.: Peter 1996, Ins. 5.9/45.

616 Marc Aurel für Faustina II. Dupondius. Rom, 161–176 n. Chr. Vgl. RIC III, S. 345, Nr. 1648. A2/2, K3/3, 330°, 12,82 g. – Inv. 1967.5087, FK X06545. – Publ.: Peter 1996, Ins. 5.9/39.

617 Elagabal für Iulia Maesa. Denar. Rom, 218–222 n. Chr. Vgl. RIC IV.2, S. 49, Nr. 254. A2/2, K2/2, 180°, 3,16 g. – Inv. 1967.14162, FK Z01679. – Publ.: Peter 1996, Ins. 5.9/48.

618 Traian. Sesterz. Rom, 103–117 n. Chr. Rs.: Stehende Figur. A4/4, K3/3. 180°, 20,57 g. – Inv. 1966.2671, FK X04668. – Publ.: Peter 1996, Ins. 5.9/24.

454 Vgl. Kommentar bei Peter 1996, 88: «Zu diesem Fundkomplex vgl. die Bemerkungen von Martin-Kilcher 1985, 190 Anm. 114, die eine Vertauschung des Fundmaterials beim Inventarisieren annimmt, da keine Münze der im Grabungstagebuch erwähnten ‹spätröm. CuM(?)› entspräche; wahrscheinlich handelt es sich dabei aber um den vorliegenden Quinar, der eine sehr dunkle Färbung aufweist».

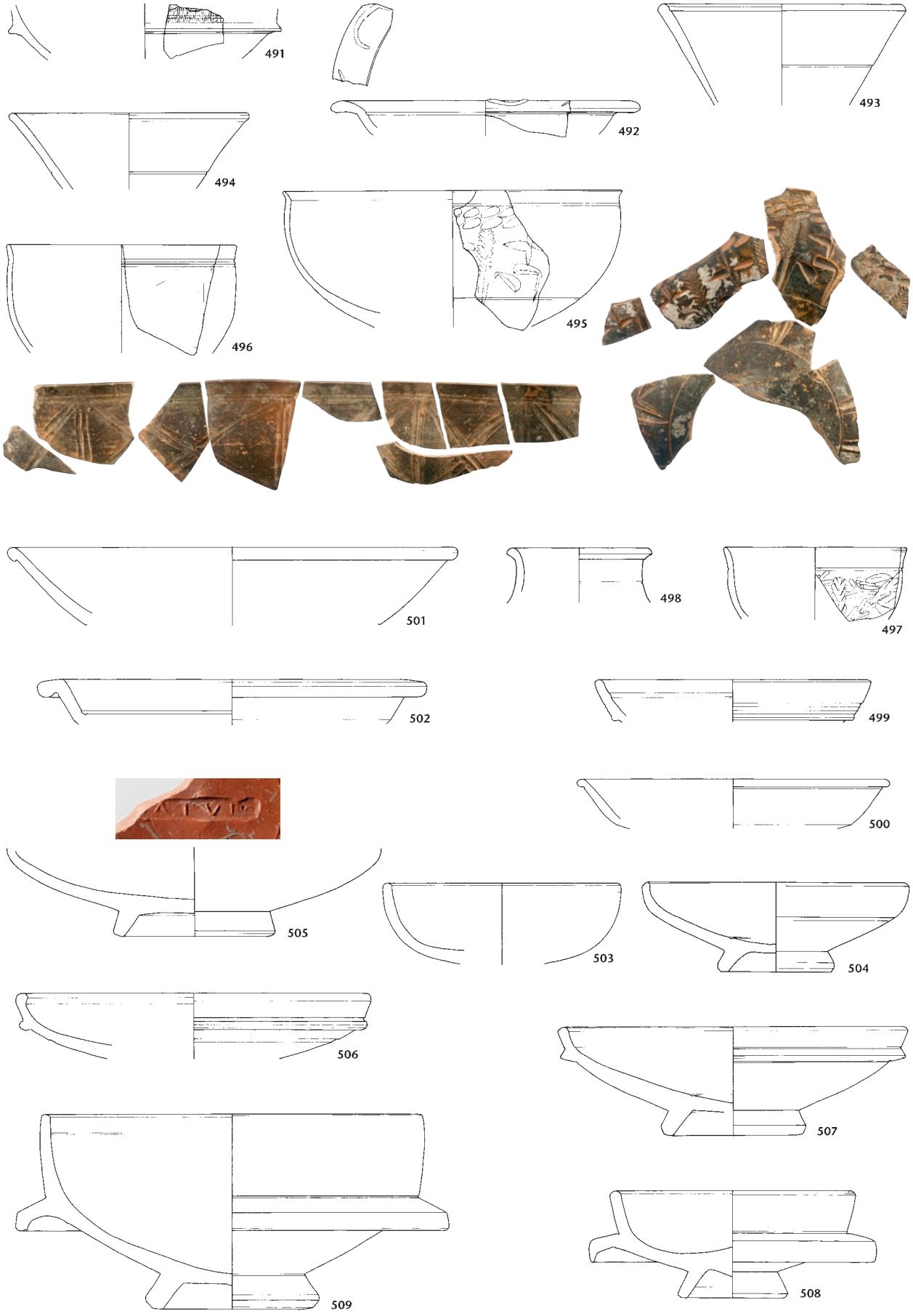


Abb. 177: Augst BL, Insula 5/9, Raum A (Grabungen 1965–1967.052 und 2002.063). Ensemble A11-OG: Funde aus dem Brandschutt des Obergeschosses von Raum A. M. 1:3 (Stempel M. 2:3). ***491–509*** *Terra Sigillata.*

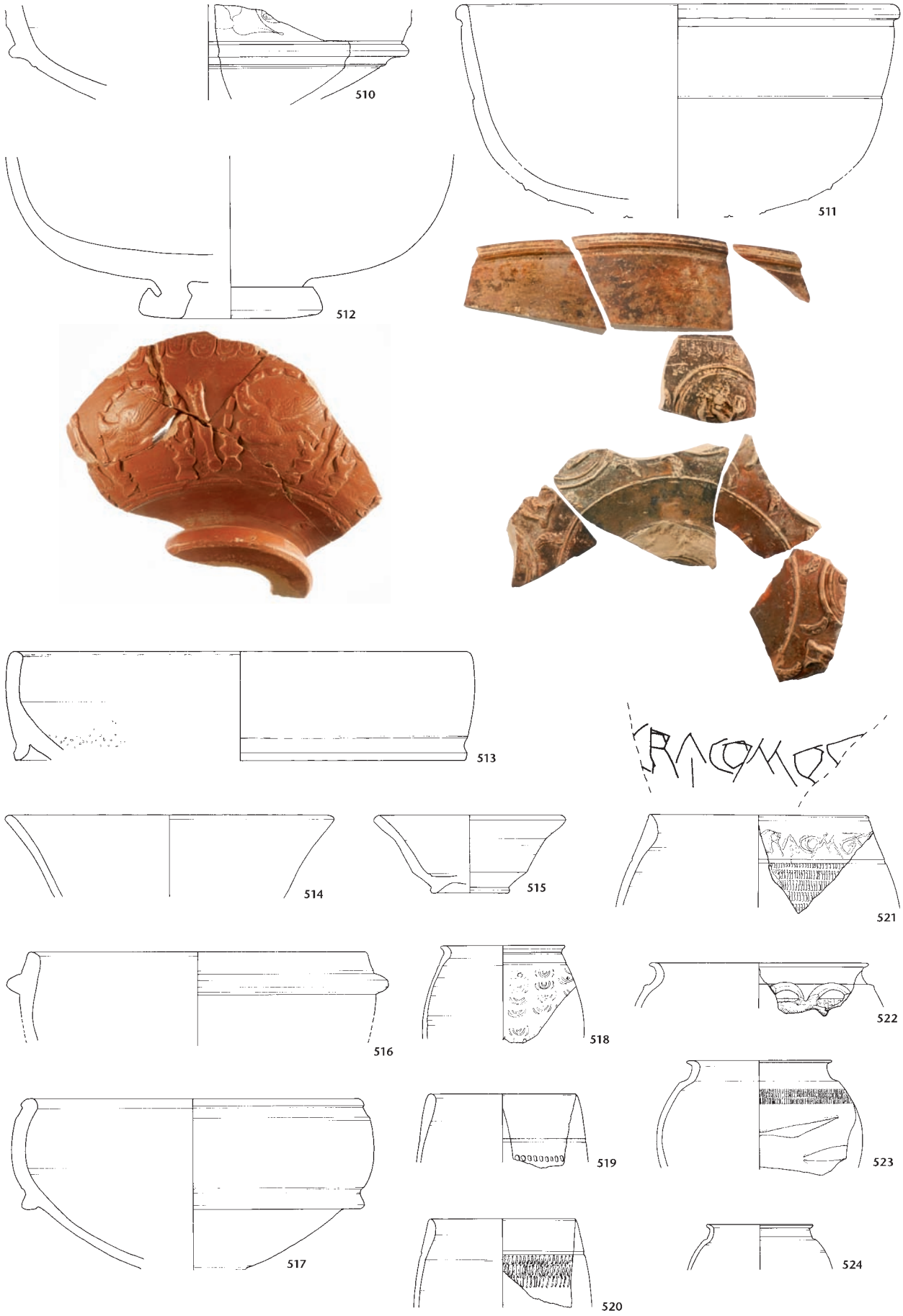


Abb. 177 (Fortsetzung): Augst BL, Insula 5/9, Raum A (Grabungen 1965–1967.052 und 2002.063). Ensemble A11-OG: Funde aus dem Brandschutt des Obergeschosses von Raum A. M. 1:3 (Graffito M. 2:3). ***510–513*** *Terra Sigillata,* ***514–517*** *frühe und späte Terra-Sigillata-Imitation,* ***518–524*** *Glanztonkeramik.*

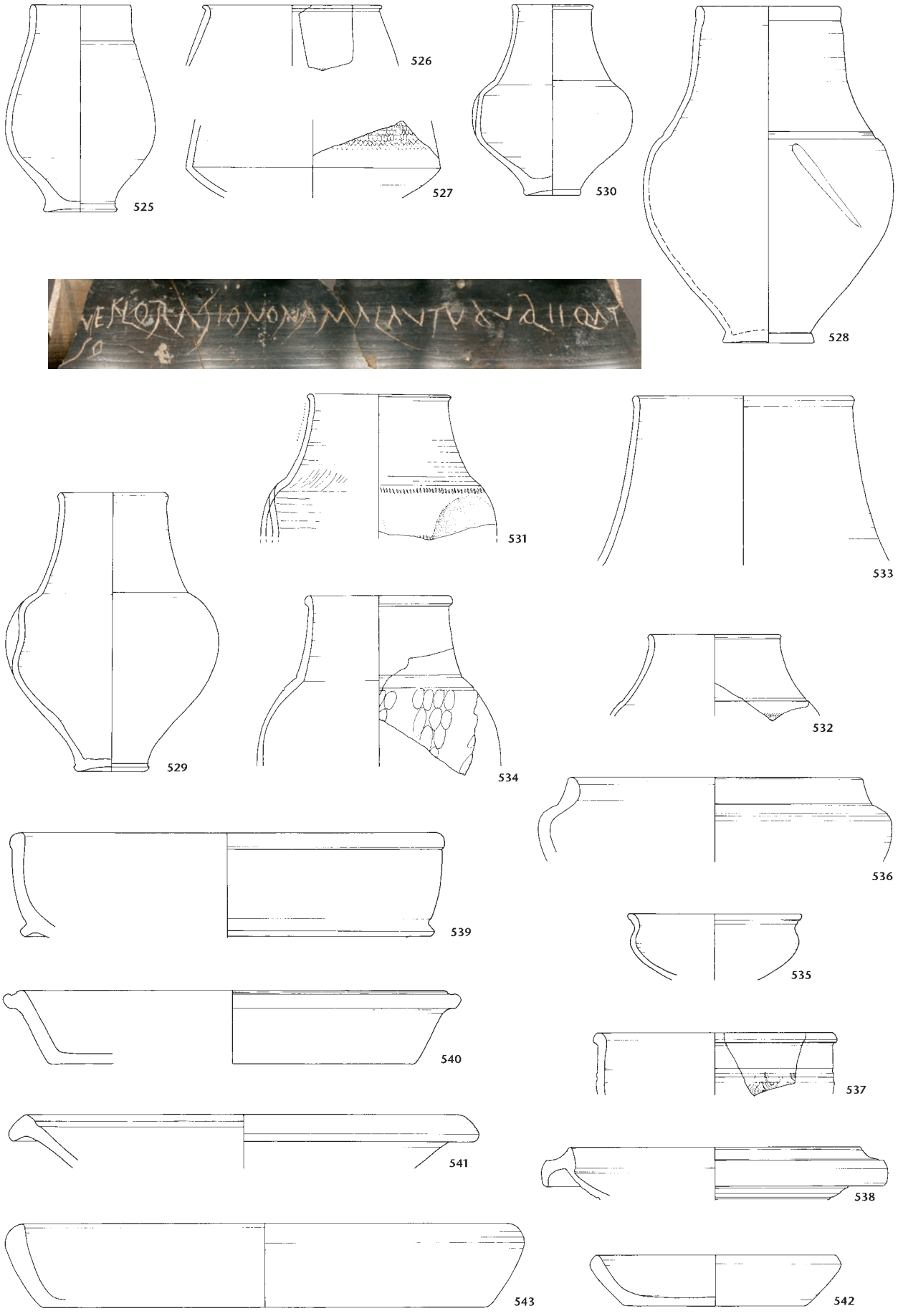


Abb. 177 (Fortsetzung): Augst BL, Insula 5/9, Raum A (Grabungen 1965–1967.052 und 2002.063). Ensemble A11-OG: Funde aus dem Brandschutt des Obergeschosses von Raum A. M. 1:3 (Foto 1:2). ***525–539*** *Glanztonkeramik,* ***540–543*** *Gebrauchskeramik.*

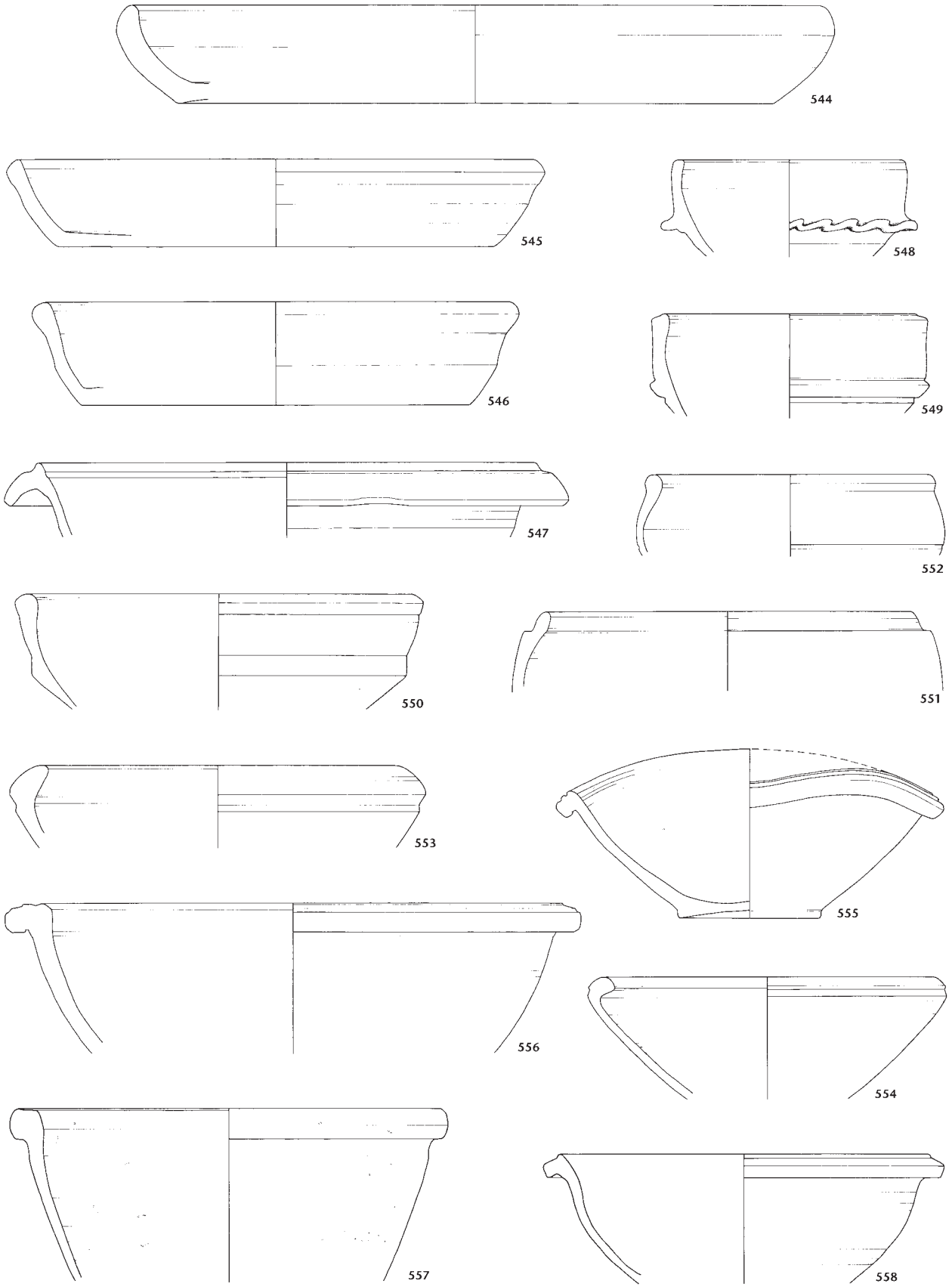


Abb. 177 (Fortsetzung): Augst BL, Insula 5/9, Raum A (Grabungen 1965–1967.052 und 2002.063). Ensemble A11-OG: Funde aus dem Brandschutt des Obergeschosses von Raum A. M. 1:3. ***544–558*** *Gebrauchskeramik.*

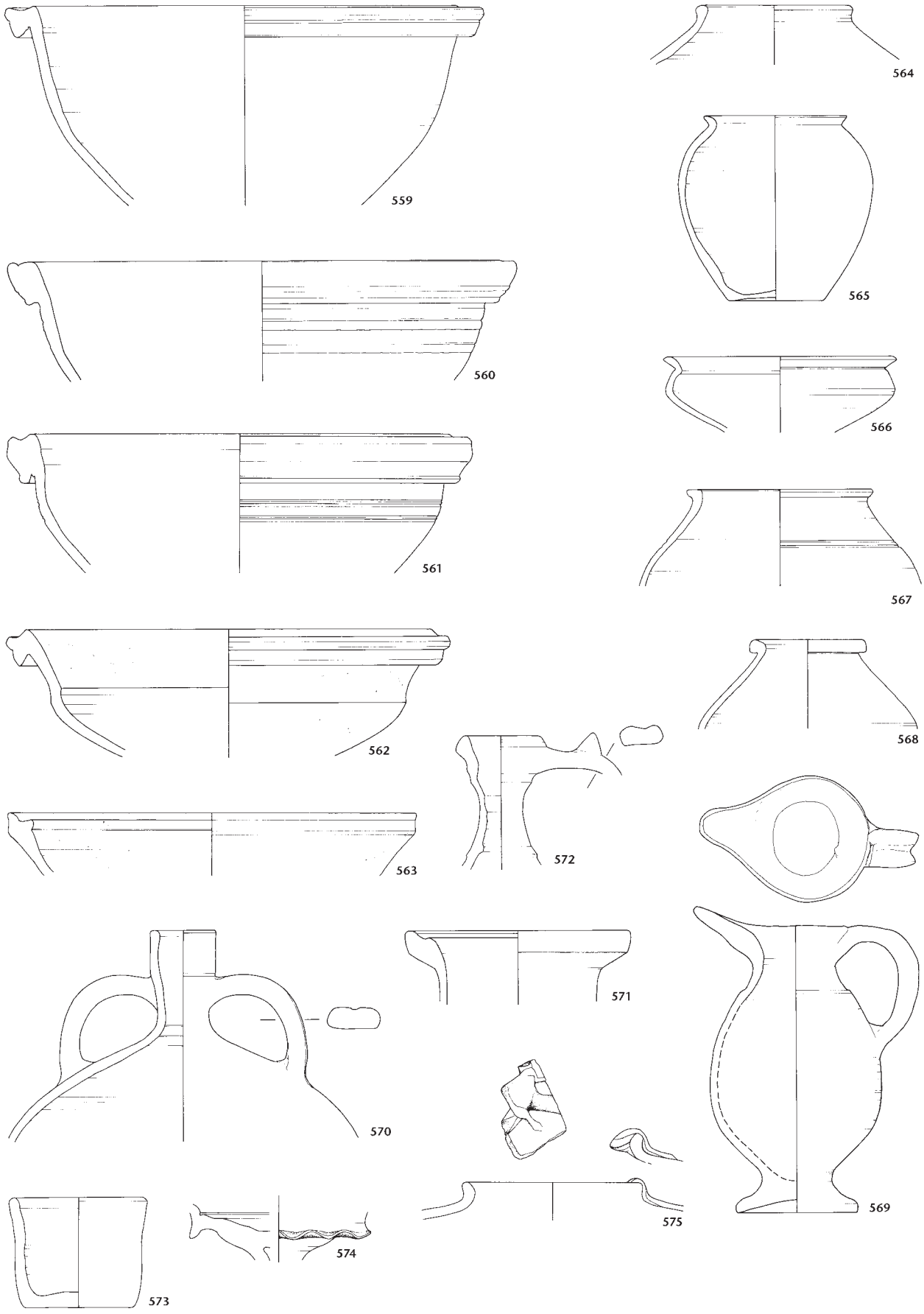


Abb. 177 (Fortsetzung): Augst BL, Insula 5/9, Raum A (Grabungen 1965–1967.052 und 2002.063). Ensemble A11-OG: Funde aus dem Brandschutt des Obergeschosses von Raum A. M. 1:3. ***559–575*** *Gebrauchskeramik.*

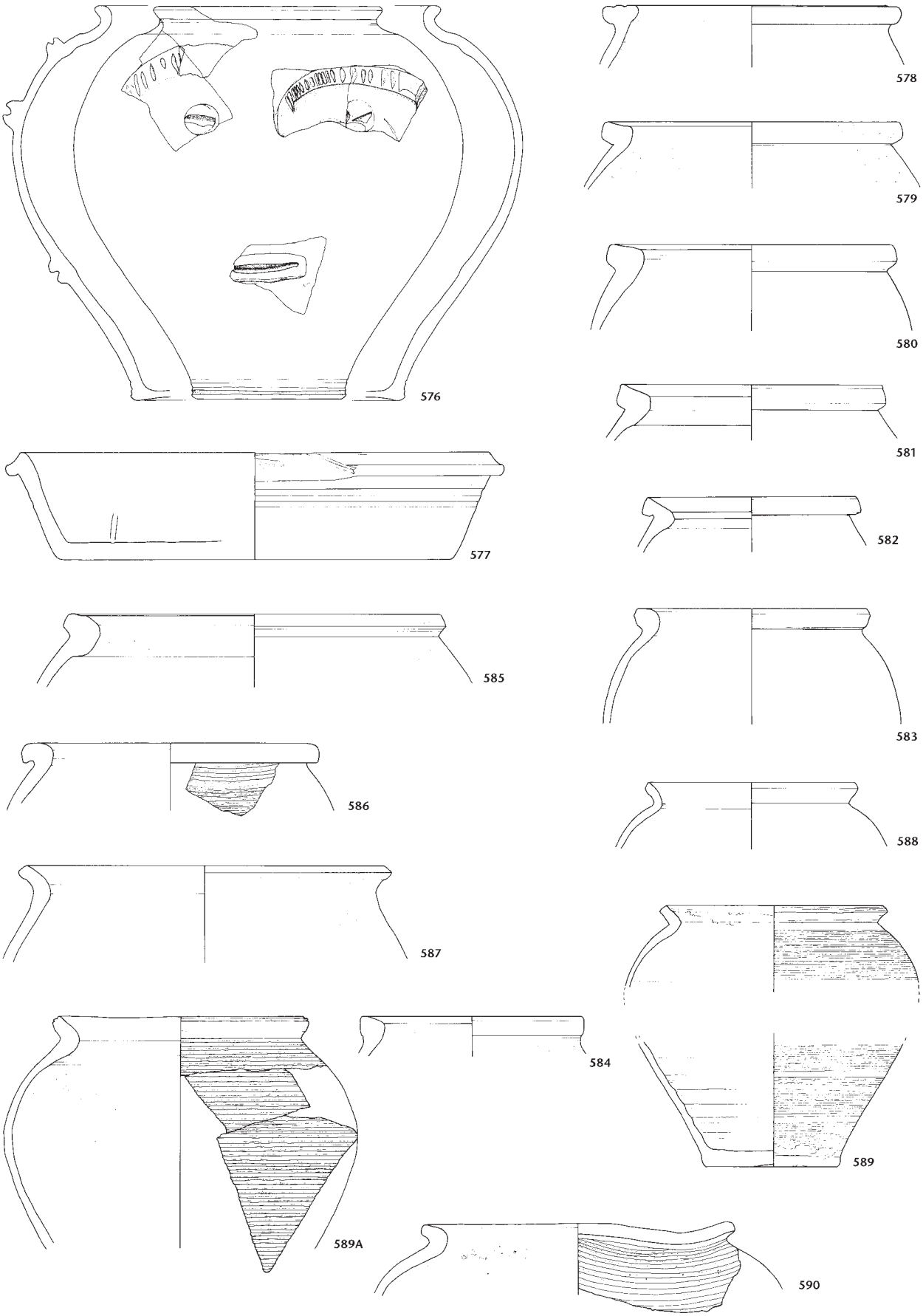


Abb. 177 (Fortsetzung): Augst BL, Insula 5/9, Raum A (Grabungen 1965–1967.052 und 2002.063). Ensemble A11-OG: Funde aus dem Brandschutt des Obergeschosses von Raum A. M. 1:3. ***576–590*** *Gebrauchskeramik.*

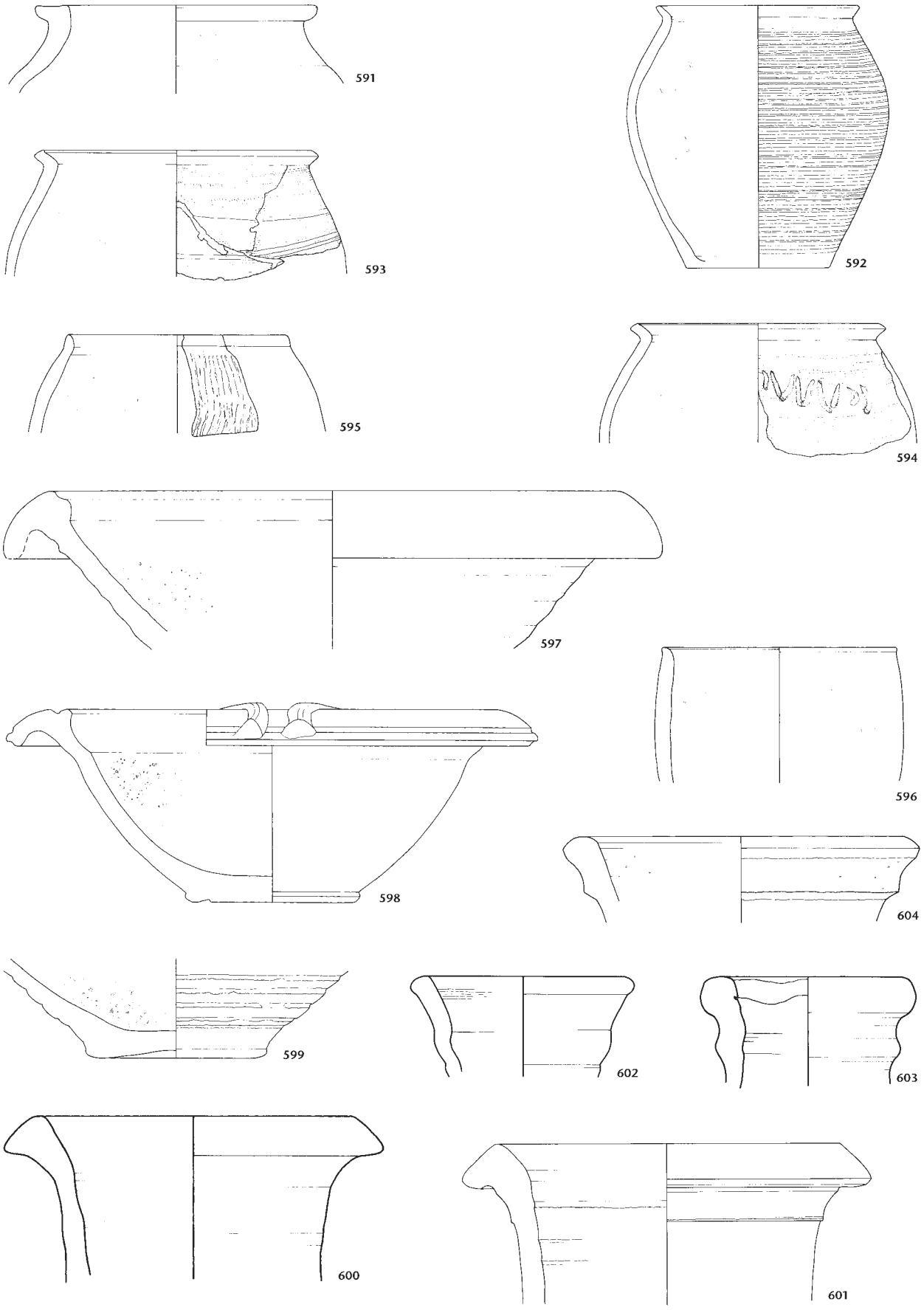


Abb. 177 (Fortsetzung): Augst BL, Insula 5/9, Raum A (Grabungen 1965–1967.052 und 2002.063). Ensemble A11-OG: Funde aus dem Brandschutt des Obergeschosses von Raum A. M. 1:3. ***591–604*** *Gebrauchskeramik.*

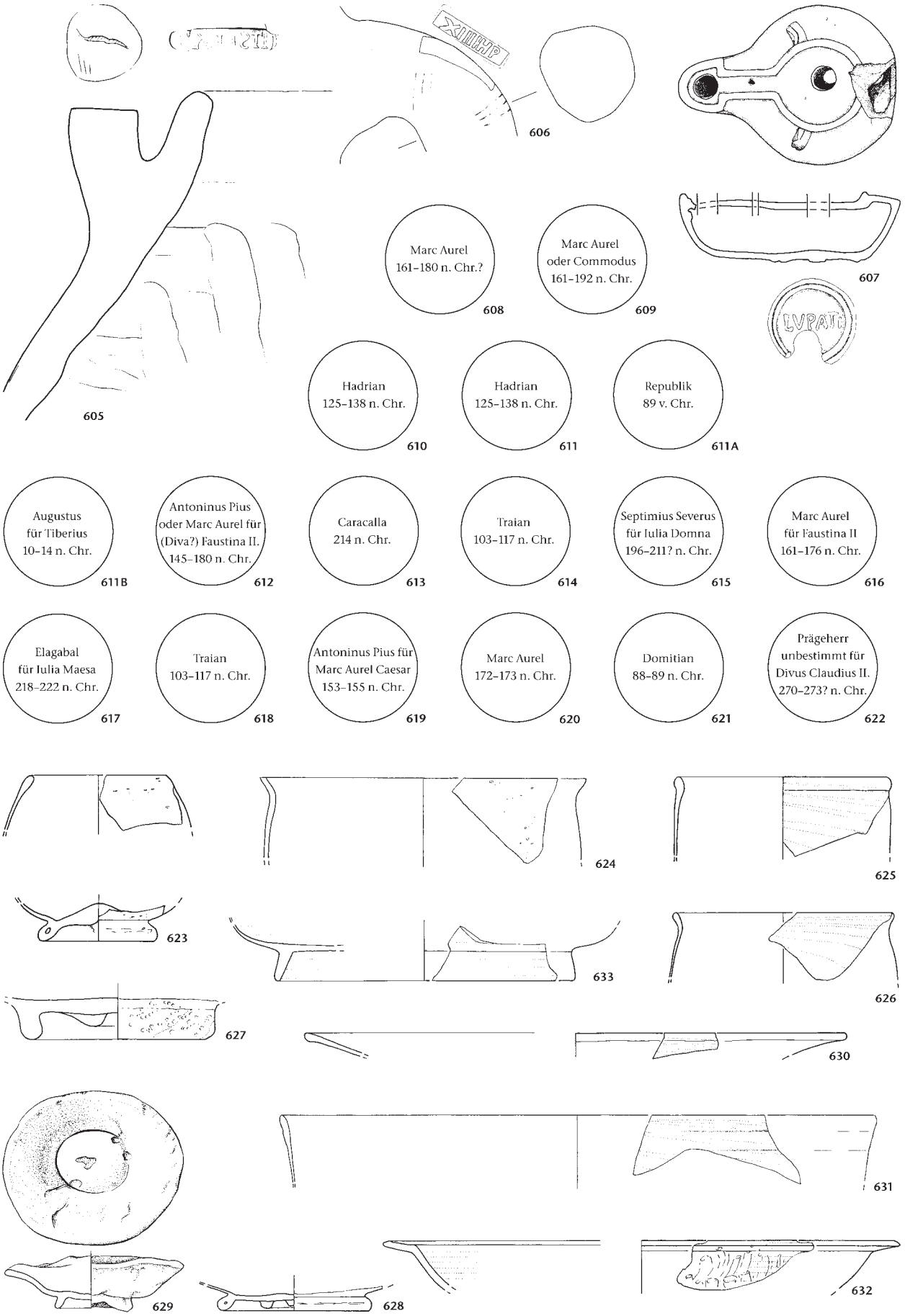


Abb. 177 (Fortsetzung): Augst BL, Insula 5/9, Raum A (Grabungen 1965–1967.052 und 2002.063). Ensemble A11-OG: Funde aus dem Brandschutt des Obergeschosses von Raum A. M. 1:3 (Lampe, Glas M. 1:2). ***605, 606*** *Gebrauchskeramik,* ***607*** *Lampe,* ***608–622*** *Münzen,* ***623–633*** *Glas.*

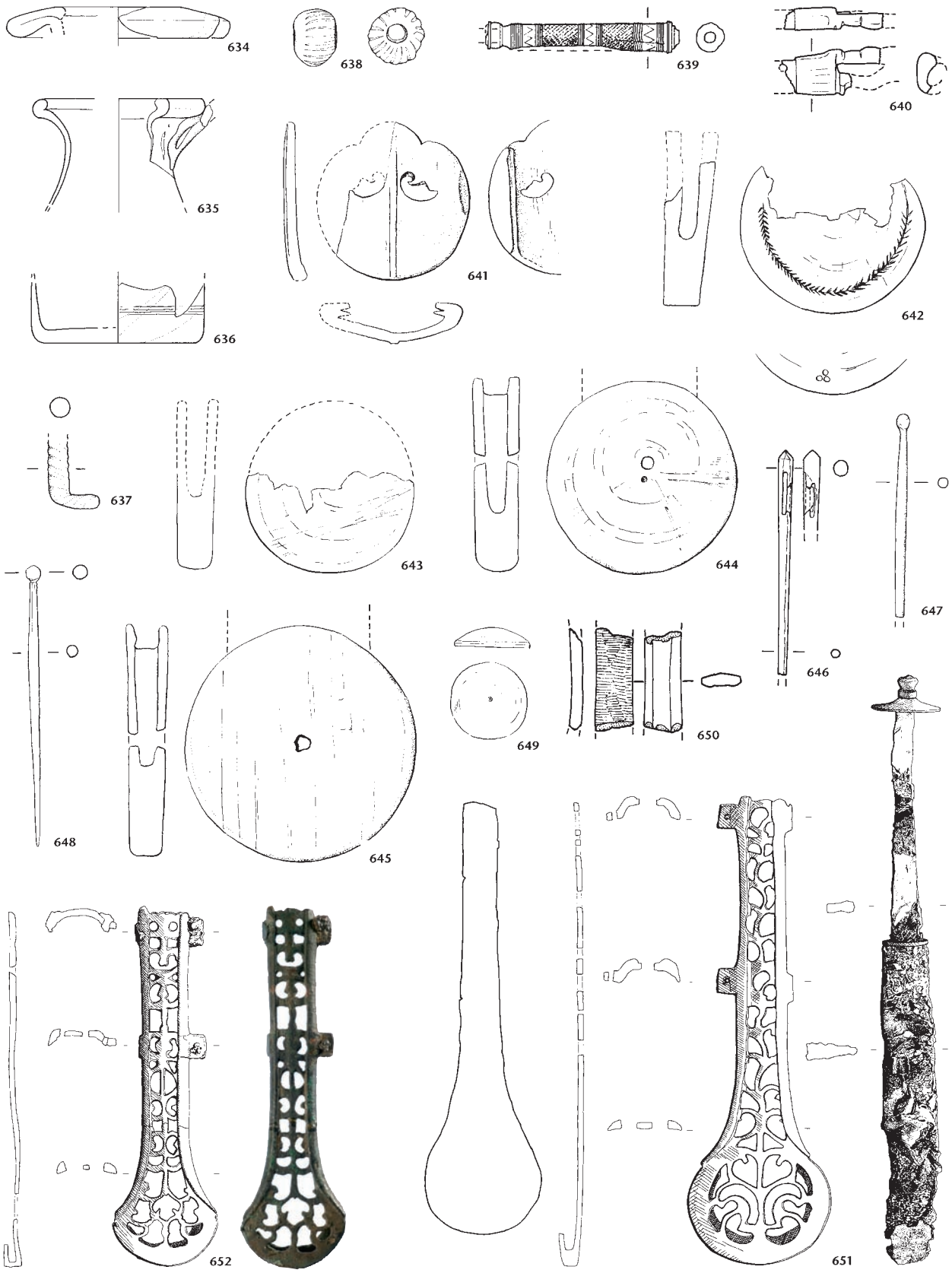


Abb. 177 (Fortsetzung): Augst BL, Insula 5/9, Raum A (Grabungen 1965–1967.052 und 2002.063). Ensemble A11-OG: Funde aus dem Brandschutt des Obergeschosses von Raum A. M. 1:2. ***634–638*** *Glas,* ***639–650*** *Bein,* ***651, 652*** *Bronze.*

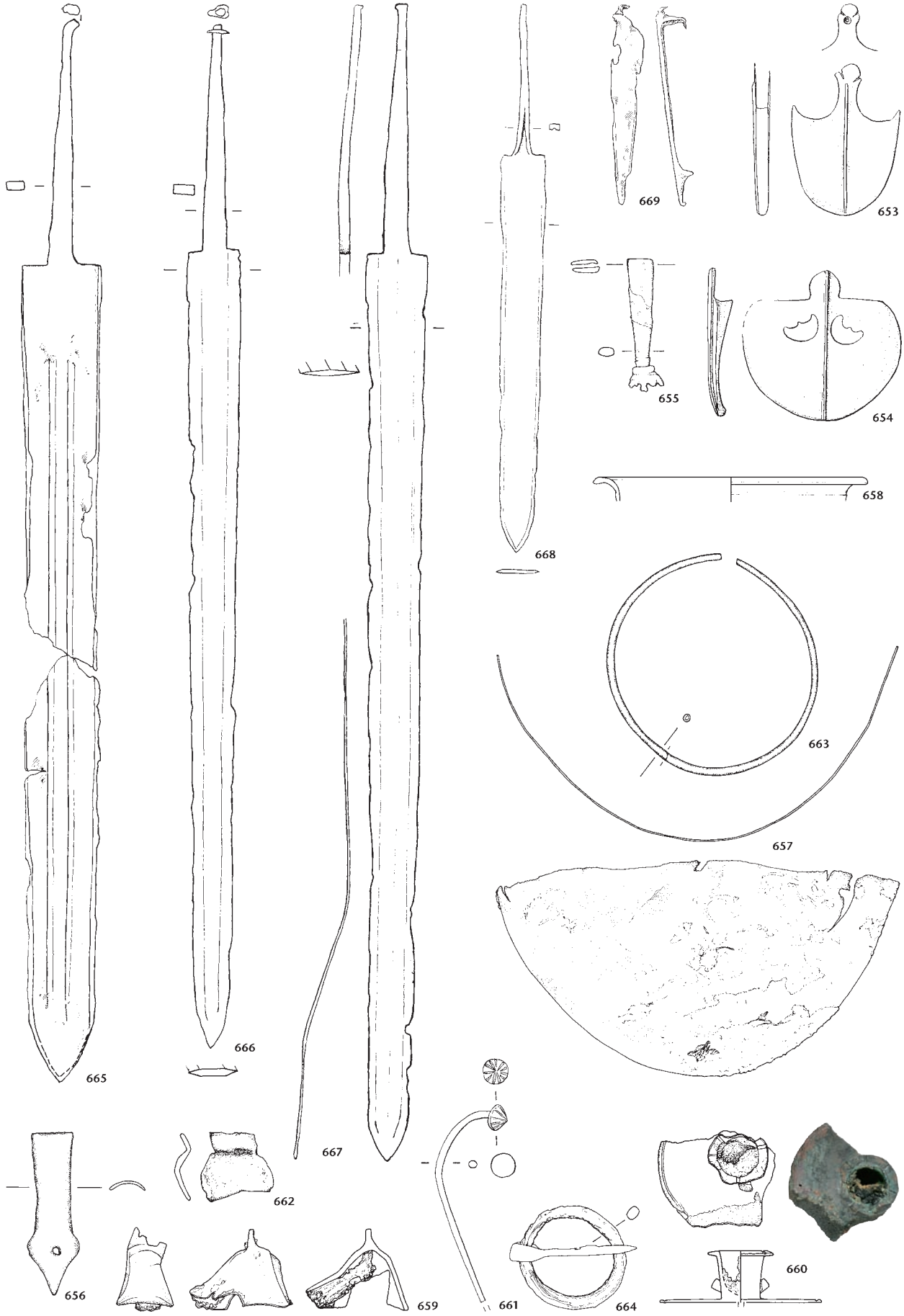


*Abb. 177 (Fortsetzung): Augst BL, Insula 5/9, Raum A (Grabungen 1965–1967.052 und 2002.063). Ensemble A11-OG: Funde aus dem Brandschutt des Obergeschosses von Raum A. M. 1:2 (M. 1:4 [**665–668**]). **653–663** Bronze, **664–669** Eisen.*

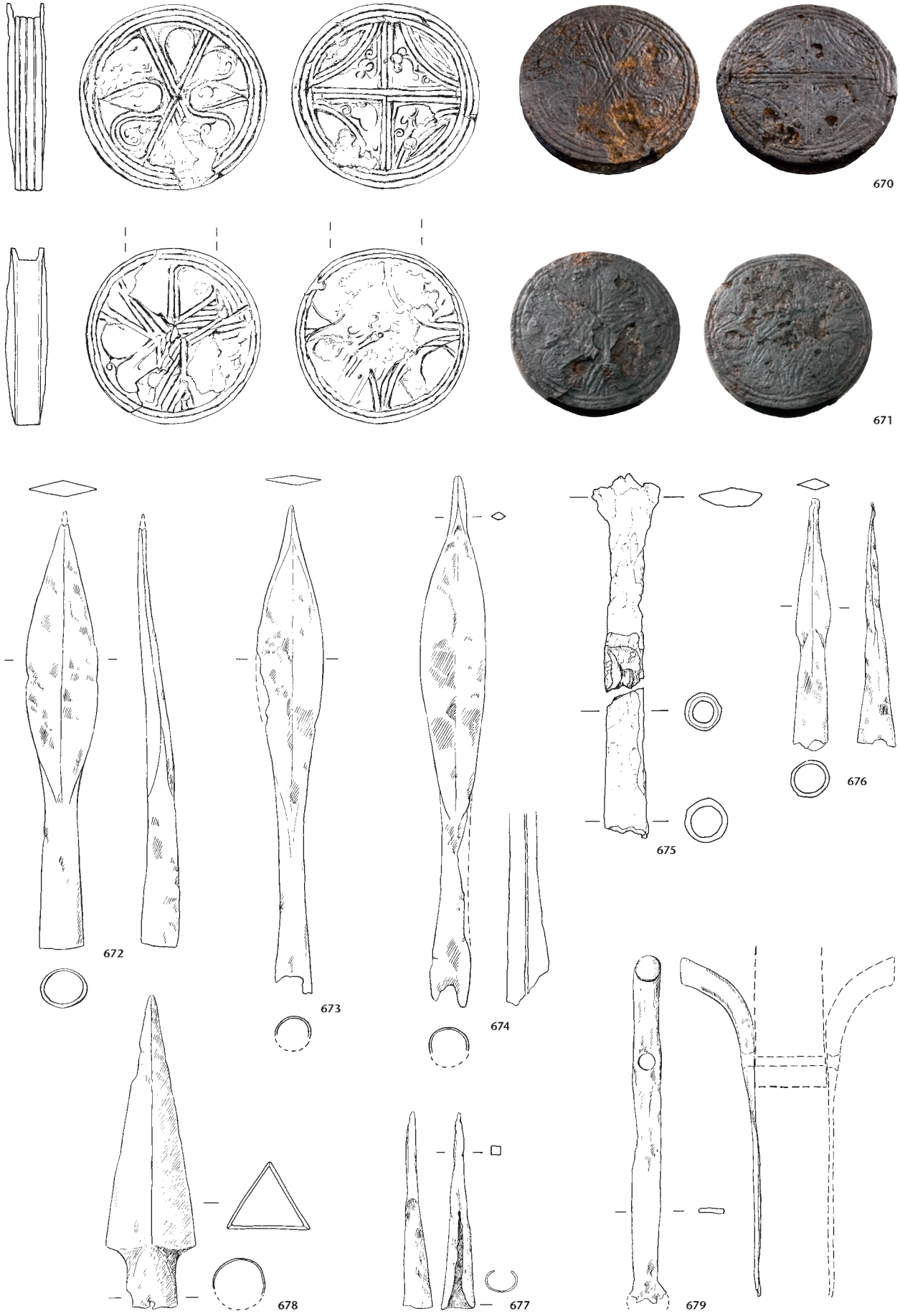


Abb. 177 (Fortsetzung): Augst BL, Insula 5/9, Raum A (Grabungen 1965–1967.052 und 2002.063). Ensemble A11-OG: Funde aus dem Brandschutt des Obergeschosses von Raum A. M. 1:2. ***670–679*** *Eisen.*

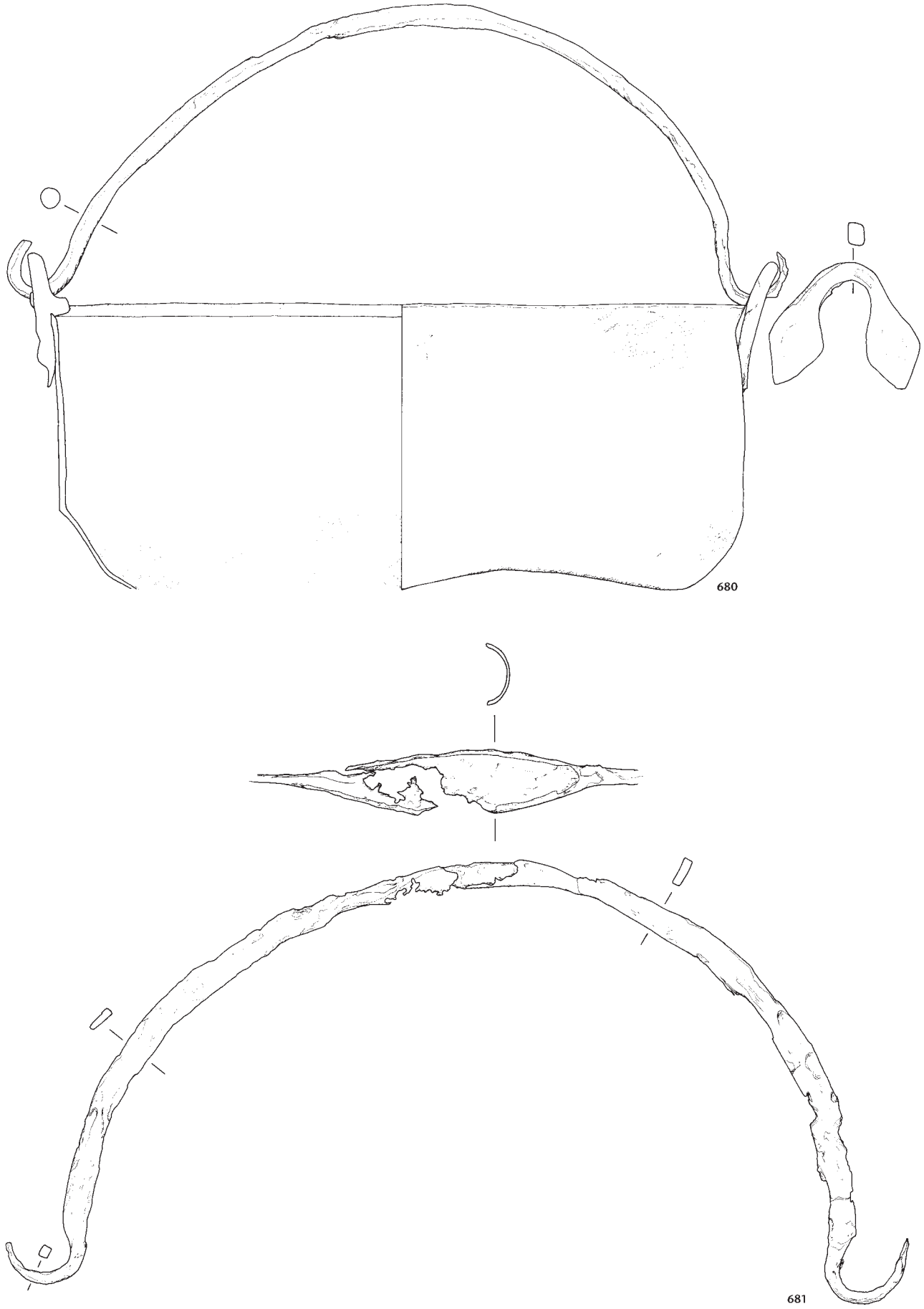


Abb. 177 (Fortsetzung): Augst BL, Insula 5/9, Raum A (Grabungen 1965–1967.052 und 2002.063). Ensemble A11-OG: Funde aus dem Brandschutt des Obergeschosses von Raum A. M. 1:2. ***680, 681*** *Eisen.*

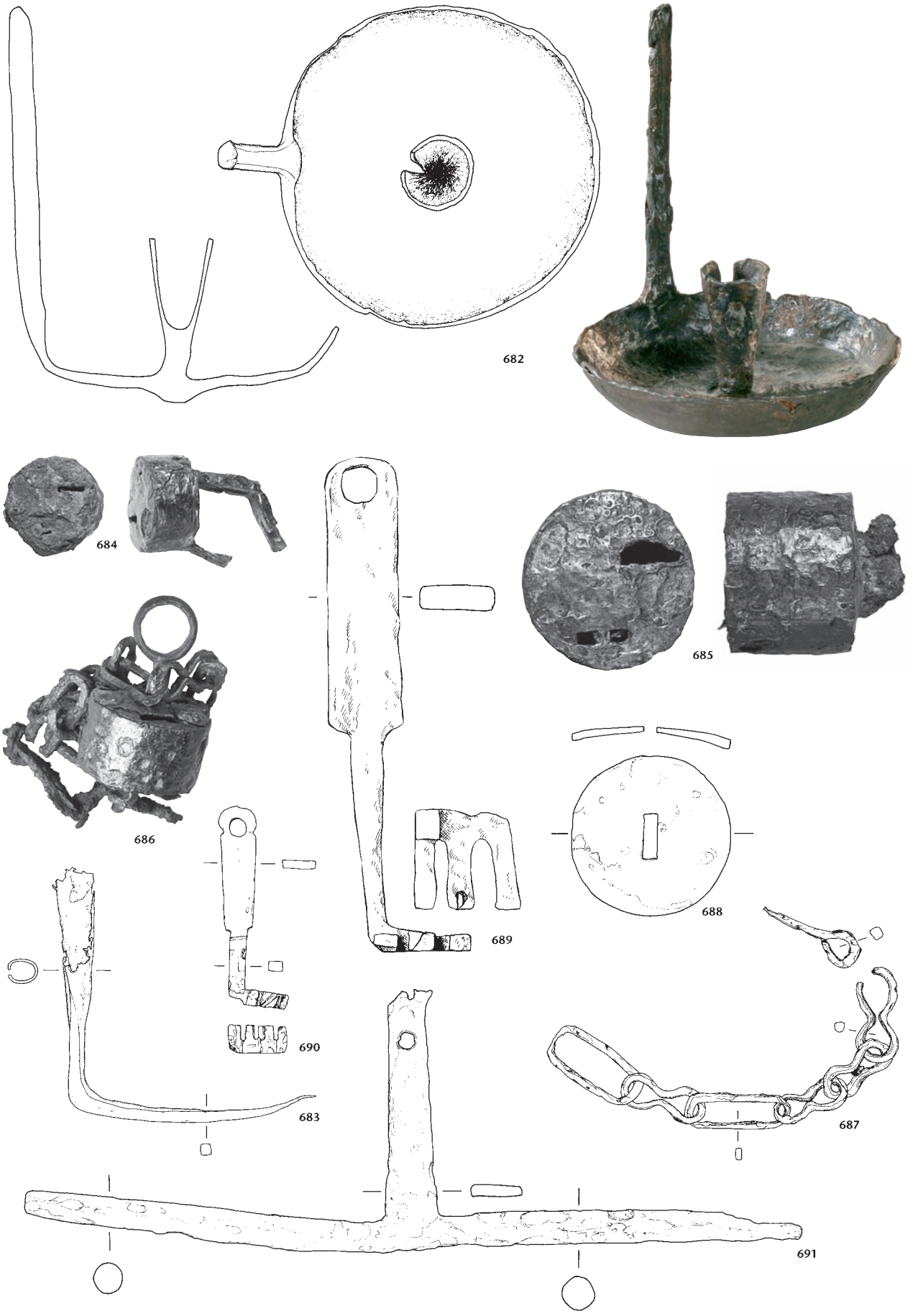


Abb. 177 (Fortsetzung): Augst BL, Insula 5/9, Raum A (Grabungen 1965–1967.052 und 2002.063). Ensemble A11-OG: Funde aus dem Brandschutt des Obergeschosses von Raum A. M. 1:2. ***682–691*** *Eisen.*

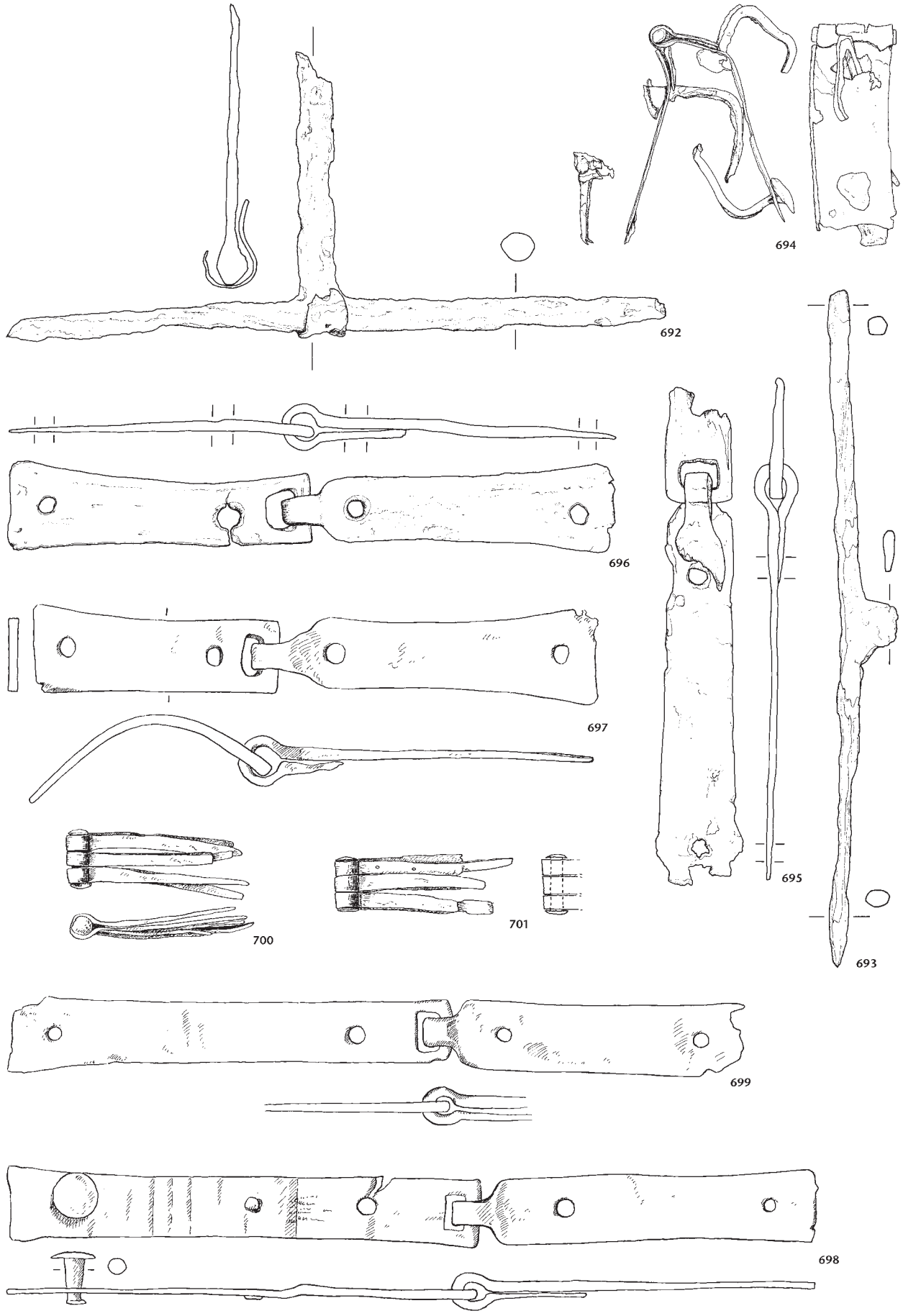


Abb. 177 (Fortsetzung): Augst BL, Insula 5/9, Raum A (Grabungen 1965–1967.052 und 2002.063). Ensemble A11-OG: Funde aus dem Brandschutt des Obergeschosses von Raum A. M. 1:2. ***692–701*** *Eisen.*

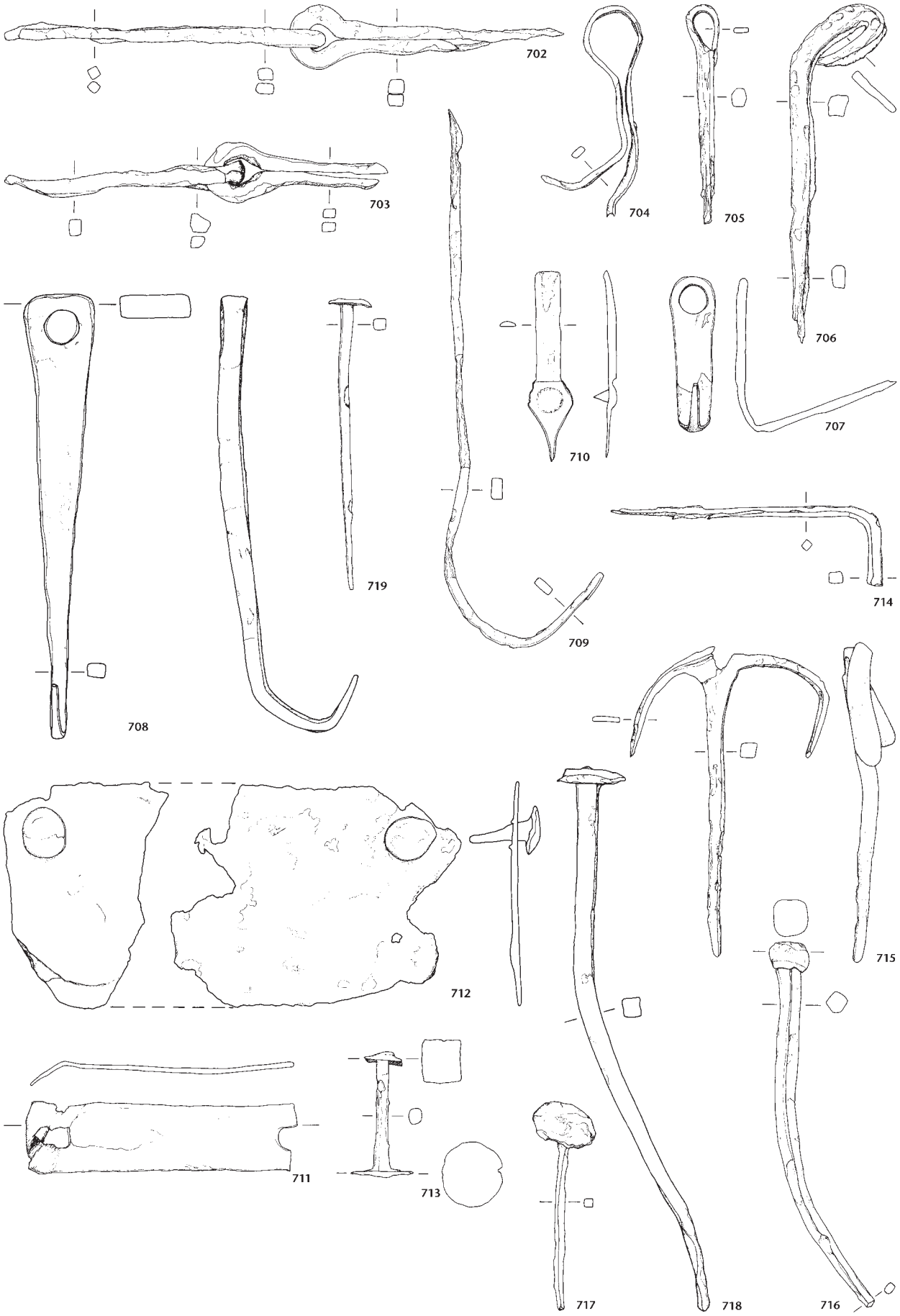


Abb. 177 (Fortsetzung): Augst BL, Insula 5/9, Raum A (Grabungen 1965–1967.052 und 2002.063). Ensemble A11-OG: Funde aus dem Brandschutt des Obergeschosses von Raum A. M. 1:2. ***702–719*** *Eisen.*



Abb. 177 (Fortsetzung): Augst BL, Insula 5/9, Raum A (Grabungen 1965–1967.052 und 2002.063). Ensemble A11-OG: Funde aus dem Brandschutt des Obergeschosses von Raum A. M. 1:2. ***720–729*** *Eisen,* ***730*** *Ton,* ***731*** *Tiegel,* ***732*** *Stein.*

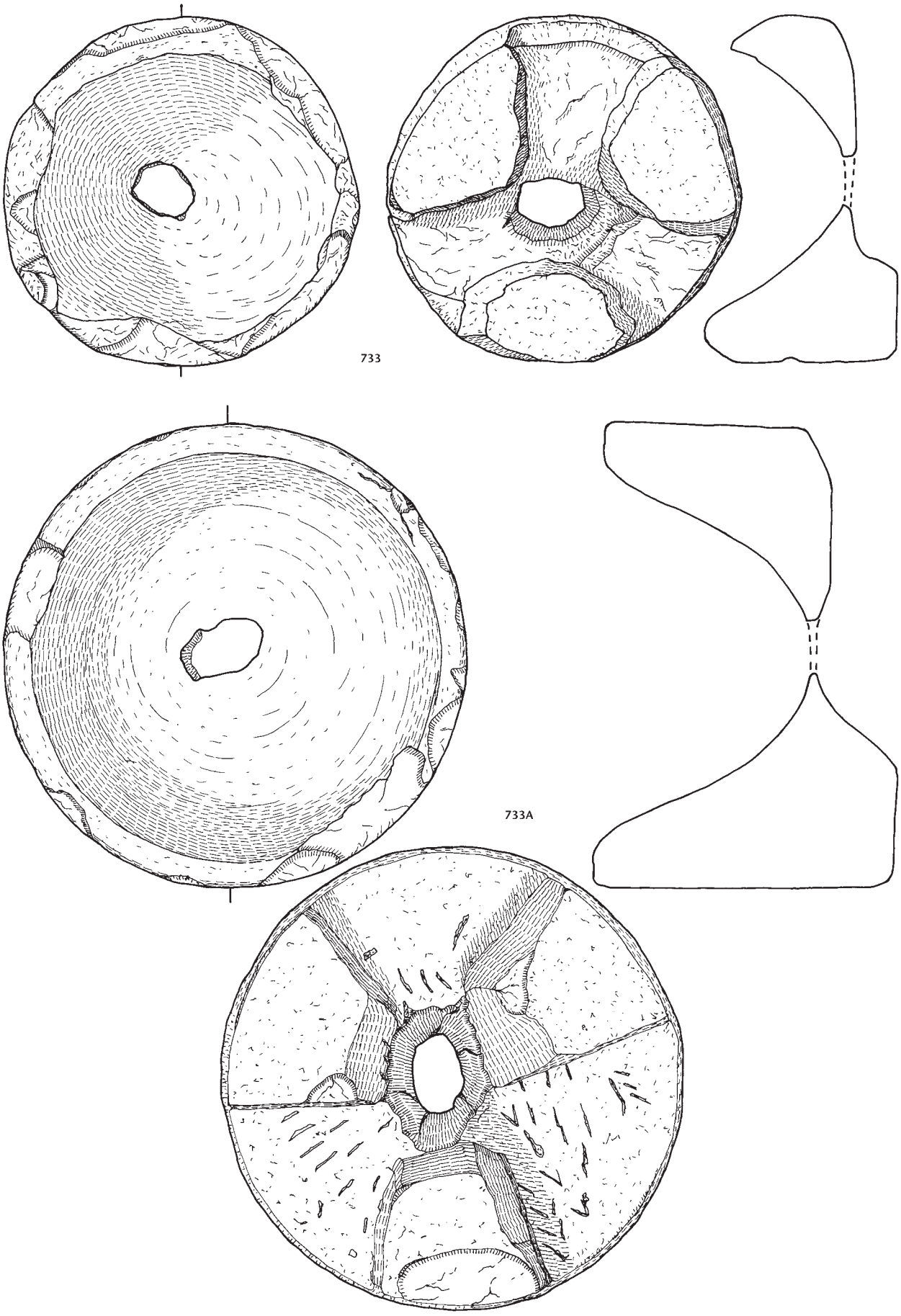


*Abb. 177 (Fortsetzung): Augst BL, Insula 5/9, Raum A (Grabungen 1965–1967.052 und 2002.063). Ensemble A11-OG: Funde aus dem Brandschutt des Obergeschosses von Raum A. M. 1:4. **733, 733A** Stein.*

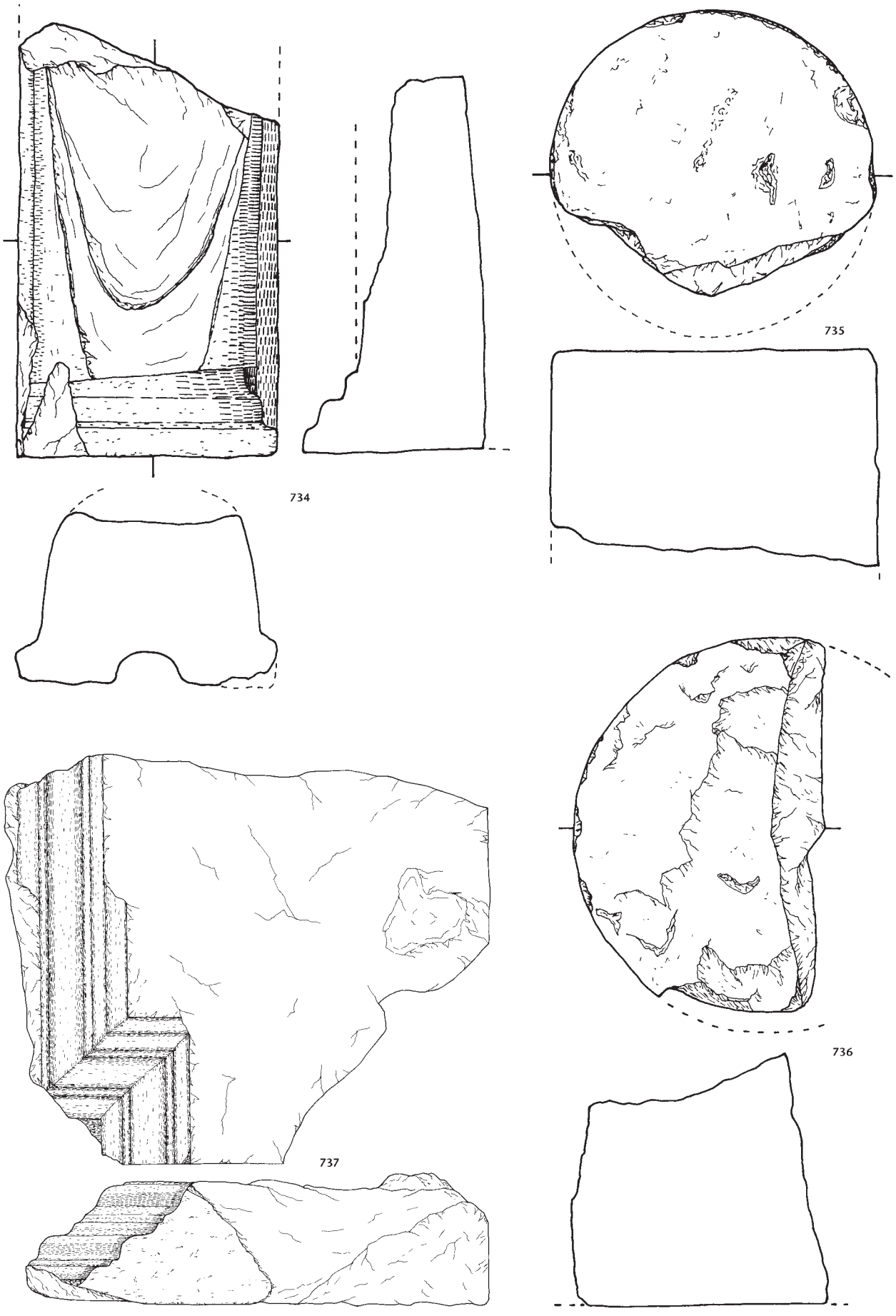


*Abb. 177 (Fortsetzung): Augst BL, Insula 5/9, Raum A (Grabungen 1965–1967.052 und 2002.063). Ensemble A11-OG: Funde aus dem Brandschutt des Obergeschosses von Raum A. M. 1:4 bzw. M. 1:10 (**737**). **734–737** Architekturelemente.*

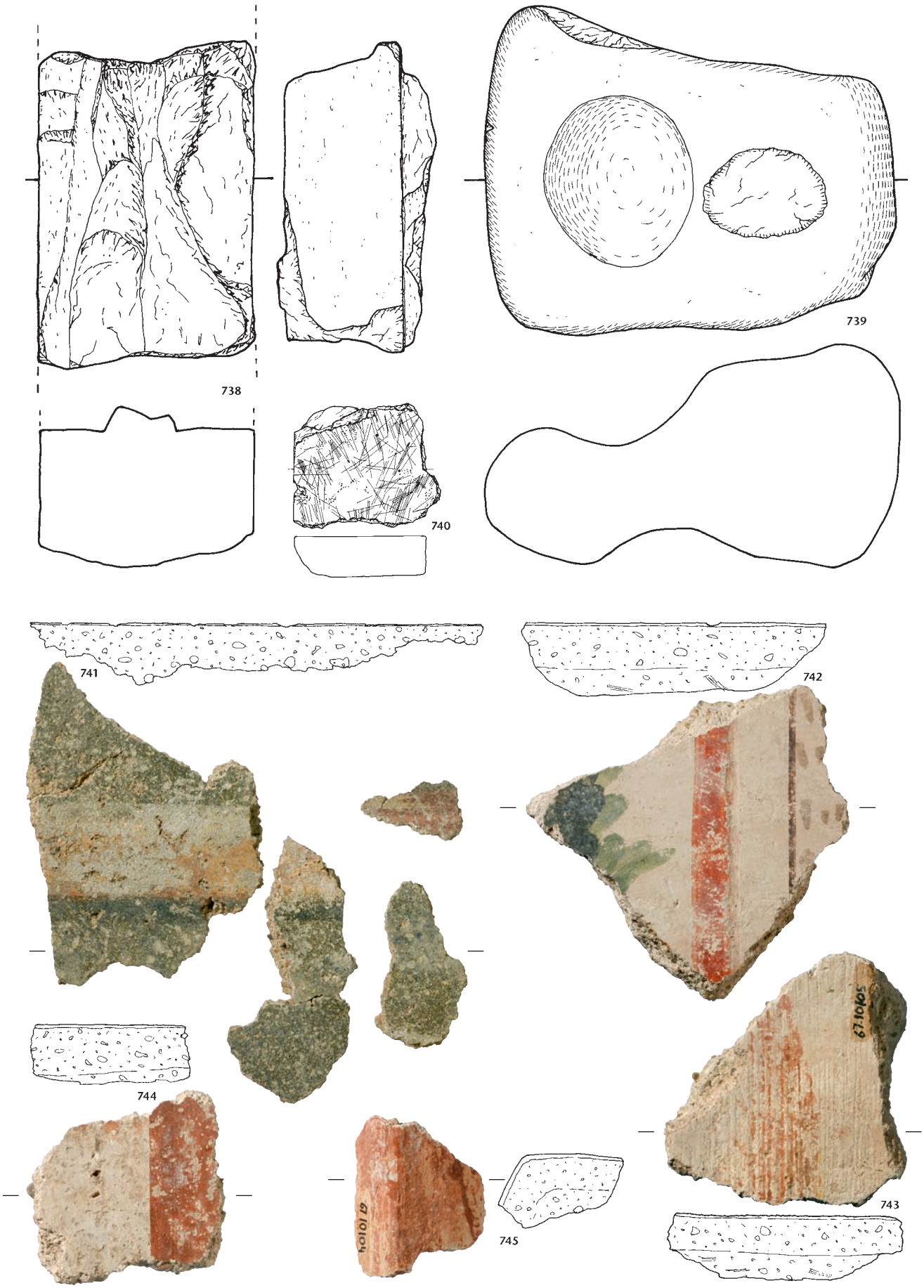


Abb. 177 (Fortsetzung): Augst BL, Insula 5/9, Raum A (Grabungen 1965–1967.052 und 2002.063). Ensemble A11-OG: Funde aus dem Brandschutt des Obergeschosses von Raum A. M. 1:4 (Wandverputz M. 1:2). ***738–740*** *Architekturelemente,* ***741–745*** *Wandverputz.*



Abb. 177 (Fortsetzung): Augst BL, Insula 5/9, Raum A (Grabungen 1965–1967.052 und 2002.063). Ensemble A11-OG: Funde aus dem Brandschutt des Obergeschosses von Raum A. M. 1:2. ***746*** *Wandlehm.*

619 Antoninus Pius für Marc Aurel Caesar. Sesterz. Rom, 153–155 n. Chr. Vgl. RIC III, S. 183 f., Nr. 1314 oder Nr. 1321. A3/3, K3/3, 135°, 24,09 g. – Inv. 1965.4652A, FK X04652. – Publ.: Peter 1996, Ins. 5.9/37.

620 Marc Aurel. Sesterz. Rom, 172–173 n. Chr. Vgl. RIC III, S. 300, Nr. 1090. A3/3, K3/3, 360°, 24,40 g. – Inv. 1965.5539, FK X04652. – Publ.: Peter 1996, Ins. 5.9/38.

621 Domitian. Denar. Rom, 88–89 n. Chr. Vgl. RIC II, S. 170, Nr. 142 Var.; BMC II, S. 332, Nr. 157. A3/3, K2/2, 180°, 3,22 g. Brandspuren. – Inv. 1966.3975, FK X06511. – Publ.: Peter 1996, Ins. 5.9/16.

622 Prägeherr unbestimmt für Divus Claudius II. Antoninian (Imitation). 270–273? n. Chr. Vgl. RIC V.1, S. 234, Nr. 266[K]. A2/2, K2/2, 315°, 1,05 g. – Inv. 1966.3536, FK X04675. – Publ.: Peter 1996, Ins. 5.9/52; Fünfschilling 1989, Abb. 44,47.

Glas

623 RS, BS, ovoider Becher. AR 102. Dunkelbraun. – Inv. 1966.4247, FK X06519. – Publ.: Rütti 1991/2, Kat. 1967.

624 RS, 2 WS, Becher. AR 60/Isings 96. Nahezu farblos und durchsichtig. – Inv. 1966.4259A, FK X06519; Inv. 1966.3541C, FK X04675. – Publ.: Rütti 1991/2, Kat. 1306.

625 RS, Becher. AR 98.1/Isings 85b. Blaugrün und durchscheinend. – Inv. 1966.4248, FK X06519. – Publ.: Rütti 1991/2, Kat. 1777.

626 RS, Becher. AR 103. Farblos und durchscheinend. – Inv. 1967.2199c.g, FK X06535. – Publ.: Rütti 1991/2, Kat. 1978.

627 5 BS, steilwandiger Becher nicht näher bestimmbarer Form. Beinahe farblos, leicht irisierend. – Inv. 1967.3413, FK X06544. – Publ.: Rütti 1991/2, Kat. 1866.

628 BS, steilwandiger Becher nicht näher bestimmbarer Form. Nahezu farblos, leicht irisierend. Durch Hitzeeinwirkung sekundär verformt. – Inv. 1965.5538, FK X04652. – Publ.: Rütti 1991/2, Kat. 1933.

629 Ganz erhaltene Miniaturschale. AR 20.1. Nahezu farblos. Durch Hitzeeinwirkung sekundär verformt. – Inv. 1966.4253, FK X06519. – Publ.: Rütti 1991/2, Kat. 814.

630 RS, Schale mit verdicktem Rand. AR 75. Ehemals durchsichtig, jetzt milchig matt. – Inv. 1965.4097, FK X04627. – Publ.: Rütti 1991/2, Kat. 1574.

631 RS, Schale. AR 88.1. Grünlich und durchsichtig. – Inv. 1966.4251, FK X06519. – Publ.: Rütti 1991/2, Kat. 1664.

632 RS, Schale mit abgesetztem Trichterrand. AR 15/Trier 25. Grasgrün, schwach durchscheinend mit gelbopaken Kreisaugensprenkeln. – Inv. 1966.4259B, FK X06519. – Publ.: Rütti 1991/2, Kat. 772.

633 BS, unbestimmbare Form (Teller, Schale?). Farblos, milchig matt, stark irisierend. – Inv. 1966.4252, FK X06519. – Publ.: Rütti 1991/2, Kat. 920.

634 RS, Flasche oder Krug nicht näher bestimmbarer Form. Grün, durchscheinend. – Inv. 1967.10306, FK Z01676. – Publ.: Rütti 1991/2, Kat. 3847.

635 RS mit Henkelansatz, Krug, nicht näher bestimmbarer Form. Blaugrün, durchscheinend. – Inv. 1966.4249, FK X06519. – Publ.: Rütti 1991/2, Kat. 3720.

636 3 BS, zylindrische Flasche mit Delfinhenkeln. AR 155/Trier 140. Nahezu farblos, milchig und irisierend. Auf der Wandung Schlifflinienband. – Inv. 1967.2199a.b.d, FK X06535. – Publ.: Rütti 1991/2, Kat. 2608.

637 Fragment wohl von einem tordierten Bügel eines Eimers nicht näher bestimmbarer Form. Farblos. – Inv. 1965.5347, FK X04658. – Publ.: Rütti 1991/2, Kat. 1858.

638 Ganz erhaltene Melonenperle. Türkisblau, etwas abgeschliffene Oberfläche. – Inv. 1967.5085, FK X06545.

Bein

639 Rundstabiger Vollgriff für Dorn mit Netzmuster, Kerben und Dreiecksfacetten, aus vollständig kalziniertem Rohmaterial. – Inv. 1966.4470, FK X06514. – Publ.: Deschler-Erb 1998, Kat. 54.

640 Klappmessergriff aus vollständig kalziniertem Rohmaterial, im unteren Teil Reste einer plastischen Figur (Gladiator?). – Inv. 1967.2205, FK X06535. – Publ.: Deschler-Erb 1998, Kat. 82.

641 Rundes Ortband mit Lochpelten aus vollständig schwarz verbranntem Rohmaterial. – Inv. 1967.3409, FK X06544. – Publ.: Martin-Kilcher 1985, Abb. 27,4; Deschler-Erb 1998, Kat. 4027.

642 Scheibenförmiges Dosenortband mit eingekerbtem, konzentrischem Tännchenmuster und aus vollständig schwarz verbranntem Elfenbein. – Inv. 1967.3418, FK X06544. – Publ.: Martin-Kilcher 1985, Abb. 28,4; Deschler-Erb 1998, Kat. 4030.

643 Scheibenförmiges Dosenortband aus vollständig schwarz verbranntem Elfenbein. – Inv. 1967.3415, FK X06544. – Publ.: Martin-Kilcher 1985, Abb. 28,2; Deschler-Erb 1998, Kat. 4029.

644 Scheibenförmiges Dosenortband aus vollständig schwarz verbranntem Elfenbein. – Inv. 1967.3416, FK X06544. – Publ.: Martin-Kilcher 1985, Abb. 28,3; Deschler-Erb 1998, Kat. 4031.

645 Scheibenförmiges Dosenortband aus vollständig schwarz verbranntem Elfenbein. – Inv. 1967.3417, FK X06544. – Publ.: Martin-Kilcher 1985, Abb. 28,5; Deschler-Erb 1998, Kat. 4028.

646 Nähnadel mit missratenem Öhr. – Inv. 1965.5348, FK X04658. – Publ.: Deschler-Erb 1998, Kat. 5872.

647 Haarnadel mit ovalem Kopf. – Inv. 1965.5349, FK X04658. – Publ.: Riha 1990, Kat. 1881; Deschler-Erb 1998, Kat. 2180.

648 Haarnadel mit ovalem Kopf. – Inv. 1967.2630, FK X06536. – Publ.: Riha 1990, Kat. 1559; Deschler-Erb 1998, Kat. 2422.

649 Kalottenförmige *tessera* mit eingekerbtem Punkt. – Inv. 1966.3543, FK X04675. – Publ.: Fünfschilling 1989, Abb. 44,55; Deschler-Erb 1998, Kat. 1915.

650 Langrechteckiger Möbelbeschlag mit seitlichen Zierleisten. Sekundär verbrannt. – Inv. 1967.2204, FK X06535. – Publ.: Deschler-Erb 1998, Kat. 4451.

Bronze

651 Ganz erhaltener Thekenbeschlag mit Eisenmesser mit Griffangel. – Inv. 1966.3493, FK X06514. – Publ.: Berger 2002, Taf. 7,AR 16.

652 Ganz erhaltener Thekenbeschlag. – Inv. 1967.3414, FK X06544. – Publ.: Berger 2002, Taf. 7,AR 20.

653 Peltaförmiges Ortband, zweiteilig gearbeitet. – Inv. 1967.3412, FK X06544. – Publ.: Martin-Kilcher 1985, Abb. 27,2.

654 Peltaförmiges Ortband, zweiteilig gearbeitet. – Inv. 1967.3410, FK X06544. – Publ.: Martin-Kilcher 1985, Abb. 27,3.

655 Riemenzunge mit peltenähnlichem Ende. – Inv. 1967.2207, FK X06535.

656 Beschlag mit lanzettenförmigem Ende und Mittelloch. – Inv. 1967.1586, FK X06534.

657 Kalottenförmig rund gearbeitetes, dünnes Blech. Funktion unbekannt, evtl. umgearbeiteter Schöpfer oder Gefäss? Am Rand ein Nietloch. An der äusseren Kalotte haften Holzkohlefragmente an. – Inv. 1965.5580, FK X04639. – Vgl.: Kapeller 2003, Taf. 7,46; 27,165.

658 RS, kleine Schale. – Inv. 1967.2215, FK X06535.

659 Fragment eines pyramidenförmigen Glöckchens mit Resten eines eisernen Klöppels. – Inv. 1967.2214, FK X06535.

660 Fragment eines Dochthalters aus Bronze. Entweder handelt es sich bei dem Objekt um einen Laterneneinsatz oder eher um einen Einsatz einer offenen Lampe. – Inv. 1967.1587, FK X06534.

661 Haarnadel mit Rosettenkopf. Haarnadel verschollen. – Inv. 1967.2217, FK X06535. – Publ.: Riha 1990, Kat. 1472.

662 Fragment einer flachen Distelfibel. Die Bügelscheibe der Unterlagsplatte und der Fuss sind noch erhalten. – Inv. 1966.4256, FK X06519. – Publ.: Riha 1979, Kat. 568.

663 Drei Fragmente eines runden Armringes. – Inv. 1965.5351, FK X04658. – Publ.: Riha 1990, Kat. 559.

Eisen

664 Gürtelschnalle. Querschnitt wohl ehemals quadratisch. Bei der Aufnahme nur noch Ring erhalten; Dorn abgefallen und verschollen. Zeichnung wurde anhand einer Bestandesaufnahme aus dem Jahre 1995 ergänzt. – Inv. 1967.2235, FK X06535.

665 Schwert. Typ Lauriacum-Hromowka. Gebrochen; L. 77,2 cm, L. Klinge 59,4 cm, B. Klinge 5,6 cm. – Inv. 1966.883, FK X04675. – Publ.: Martin-Kilcher 1985, Abb. 25,1; Fünfschilling 1989, Abb. 44,48; Biborski/Ilkjær 2006/2, 338[455]; Miks 2007, Taf. 103,A23,1. – Vgl. dazu auch den Beitrag von E. Schmid, unten S. 233 f.

666 Schwert. Typ Straubing-Nydam. L. 74,8 cm, L. Klinge 58,5 cm, B. Klinge 4,0 cm. – Inv. 1966.881, FK X04674. – Publ.: Martin-Kilcher 1985, Abb. 25,2; Biborski/Ilkjær 2006/2, 338; Miks 2007, Taf. 58,A23,2.

667 Schwert. Typ Straubing-Nydam. L. 84,5 cm, L. Klinge 66,3 cm, B. Klinge 4,4 cm. – Inv. 1966.882, FK X04674. – Publ.: Martin-Kilcher 1985, Abb. 25,4; Miks 2007, Taf. 58,A24,2[456].

668 Kurzschwert. L. 40,5 cm; L. Klinge 29,5 cm, B. Klinge 3,2 cm. – Inv. 1967.1618, FK X06535. – Publ.: Martin-Kilcher 1985, Abb. 25,6; Miks 2007, Taf. 53,A23,4.

669 Schwertriemenhalter. L. 7,4 cm. – Inv. 1967.2229, FK X06535. – Publ.: Martin-Kilcher 1985, Abb. 27,1.

670 Scheibenförmiges Dosenortband. Messingtauschiert. – Inv. 1967.2219, FK X06535. – Publ.: Martin-Kilcher 1985, Abb. 27,5.

671 Scheibenförmiges Dosenortband. Messingtauschiert. – Inv. 1967.3411, FK X06544. – Publ.: Martin-Kilcher 1985, Abb. 28,1.

672 Lanzenspitze. L. ca. 6,0 cm. – Inv. 1967.1617, FK X06535. – Publ.: Martin-Kilcher 1985, Abb. 29,1.

673 Lanzenspitze. L. 18,0 cm. – Inv. 1967.1619, FK X06535. – Publ.: Martin-Kilcher 1985, Abb. 29,2.

674 Lanzenspitze. L. 19,4 cm. – Inv. 1967.1615, FK X06535. – Publ.: Martin-Kilcher 1985, Abb. 29,3.

675 Lanzenspitze und Tülle. L. Spitze 8,0 cm, L. Tülle 5,2 cm. – Inv. 1967.2218a.b, FK X06535. – Publ.: Martin-Kilcher 1985, Abb. 30,1 und S. 186 Kat. 37.

676 Wurfspeerspitze. L. 9,2 cm. – Inv. 1967.2222, FK X06535. – Publ.: Martin-Kilcher 1985, Abb. 30,2.

677 Pfeilspitze. L. 7,2 cm. – Inv. 1967.2223, FK X06535. – Publ.: Martin-Kilcher 1985, Abb. 30,3.

678 Signumspitze. L. 11,5 cm. – Inv. 1967.1616, FK X06535. – Publ.: Martin-Kilcher 1985, Abb. 30,4.

679 Saufederaufhalter. L. 12,7 cm. – Inv. 1967.2224, FK X06535. – Publ.: Martin-Kilcher 1985, Abb. 30,5.

680 Kessel mit Bügel. Boden ist ausgeschlagen. – Inv. 1966.4326, FK X06519.

681 2 Fragmente eines Kesselbügels. – Inv. 1967.2221A.B, FK X06535.

682 Kerzenhalter mit Griff. Boden ist gewölbt und Aufhängegriff abgebrochen. – Inv. 1966.879, FK X04682.

683 Kienspanhalter mit Tülle. – Inv. 1965.3808, FK X04716.

684 Vorhängeschloss mit breiten Bügelansätzen, Schlüssel nicht erhalten. Verschollen. – Inv. 1966.2022, FK X04699. – Publ.: Furger u. a. 1990, Kat. 1 Abb. 2,1–4.

685 Vorhängeschloss aus Eisen mit Bronzemantel. Schlüssel nicht erhalten; Kette nur im Ansatz erhalten. Verschollen. – Inv. 1966.2021, FK X04699. – Publ.: Furger u. a. 1990, Kat. 9 Abb. 10,1–3.

686 Vorhängeschloss mit Kette und bronzenem Schlüssel erhalten. – Inv. 1966.880, FK X04682. – Publ.: Furger u. a. 1990, Kat. 4 Abb. 5,1–5.

687 Vorhängeschlosskette? Kette mit kleinem Splint erhalten. L. 21,2 cm. – Inv. 1966.3976, FK X06511.

688 Schlossblech von Vorhängeschloss? Rund mit rechteckigem Schlüssellochschlitz. Es sind keine Befestigungslöcher vorhanden. – Inv. 1967.2220, FK X06535.

689 Hebeschiebeschlüssel. Oberständiger Bart mit vier Zinken, der mittlere Zinken ist mit einem Diagonalschnitt herausgearbeitet. Rechteckige Griffplatte mit U-förmigem Loch. – Inv. 1966.3546, FK X04675. – Publ.: Fünfschilling 1989, Abb. 44,54.

690 Hebeschiebeschlüssel. Oberständiger Bart mit vier Zinken, der mittlere Zinken ist mit einem Diagonalschnitt herausgearbeitet. Rechteckige Griffplatte mit rundem Loch. – Inv. 1967.2230, FK X06535.

691 Eingerichte von Schiebeschloss. – Inv. 1965.5420, FK X04639.

692 Eingerichte von Schiebeschloss. – Inv. 1965.5419, FK X04639.

693 Eingerichte von Schiebeschloss. – Inv. 1966.4266, FK X06514.

694 Scharnierband mit dreiteiligem Gelenk und zwei rechteckigen Laschen. Vier Befestigungslöcher und vier dazugehörige Scheibenkopfnägel. – Inv. 1965.5094, FK X04650.

695 Hakenösenscharnier. Fragmentiert, ein Schenkel weist noch zwei Befestigungslöcher auf. – Inv. 1966.4275, FK X06514.

696 Hakenösenscharnier. Die bandförmigen, jeweils zweifach gelochten Schenkel verbreitern sich gegen das Ende hin. – Inv. 1966.4276, FK X06514.

697 Hakenösenscharnier. Die bandförmigen, jeweils zweifach gelochten Schenkel verbreitern sich gegen das Ende hin. – Inv. 1966.4278, FK X06514. – Publ.: Riha 2001, Kat. 327.

698 Hakenösenscharnier. Die ungleich langen Schenkel verbreitern sich nur leicht gegen das Ende hin, der eine Schenkel ist zweifach gelocht, der andere dreifach. In zwei Löchern sitzt noch je ein fragmentierter Scheibenkopfnagel. – Inv. 1966.4277, FK X06514. – Publ.: Riha 2001, Kat. 326.

699 Hakenösenscharnier. Die ungleich langen Schenkel, mit jeweils zwei Löchern, verbreitern sich leicht gegen das Ende hin. – Inv. 1966.4279, FK X06514. – Publ.: Riha 2001, Kat. 328.

455 Dort unter falscher Inv. publiziert.

456 Leider wurde das Schwert mit der Inv. 1966.882 bei Martin-Kilcher 1985, 182 f. auf Abb. 25 mit falschem Abbildungsverweis und falscher Kat. abgebildet. Konsequenterweise dann daraufhin auch bei Miks nicht Taf. 68,A23,3, sondern Taf. 68,A24,2.

700 Splintscharnier. Die dreiteiligen und bandförmigen Splintenden sind abgebrochen. – Inv. 1966.4280, FK X06514. – Publ.: Riha 2001, Kat. 344.
701 Splintscharnier. Die dreiteiligen und bandförmigen Splintenden sind abgebrochen. – Inv. 1966.4281, FK X06514. – Publ.: Riha 2001, Kat. 345.
702 Zwei ineinander greifende Splinte. Alle Enden fragmentiert. – Inv. 1966.4282, FK X06514.
703 Zwei ineinander greifende Splinte. Alle Enden teilweise stark fragmentiert. – Inv. 1966.4283, FK X06514.
704 Einfacher Splint. Enden abgebrochen. – Inv. 1966.4156, FK X04671.
705 Spitzer Stab mit Ösenende. – Inv. 1967.2236, FK X06535.
706 Vierkantiger Stab mit Ösenende. – Inv. 1967.6631, FK Z01652.
707 Vierkantiger, zugespitzter Stab mit rundem, durchlochtem Ende. – Inv. 1966.4290, FK X06519.
708 Bandhaken mit Rückenplatte. Rückenplatte mit Nagelloch. – Inv. 1966.4291, FK X06519.
709 Haken mit vierkantigem Schaft. – Inv. 1966.4157, FK X04671.
710 Endstück eines Scharniers/Beschlagbandes mit ovalem Ende und Befestigungsloch. – Inv. 1966.4292, FK X06519.
711 Fragment eines Scharniers/Beschlagbandes mit zwei Befestigungslöchern. – Inv. 1966.4293, FK X06519.
712 2 Fragmente eines Blechbeschlages. Kanten teilweise erhalten. Zwei Nietlöcher mit zwei Scheibenkopfnieten erhalten. – Inv. 1966.4302.4303, FK X06514.
713 Klemme mit rundem und viereckigem Ende. – Inv. 1967.2233A, FK X06535.
714 Nagel mit rechteckigem Schaft und sich zuspitzendem Ende, stark umgebogen. – Inv. 1966.4295, FK X06519.
715 T-Nagel mit quadratischem Schaft. – Inv. 1967.2232, FK X06535.
716 Nagel mit hohem, viereckigem und abgesetztem Kopf. Vierkantiger Schaft. – Inv. 1966.4300, FK X06514.
717 Hohler Pilzkopfnagel mit vierkantigem Schaft. – Inv. 1966.4299, FK X06514.
718 Scheibenkopfnagel mit vierkantigem Schaft. – Inv. 1966.4297, FK X06514.
719 Scheibenkopfnagel mit vierkantigem Schaft. – Inv. 1966.4298, FK X06514.
720 Flachmeissel mit vierkantigem Querschnitt. – Inv. 1967.3408, FK X06535.
721 Flachmeissel oder kleiner Keil mit vierkantigem Schaft. – Inv. 1967.2227, FK X06535.
722 Spitzmeissel. Querschnitt viereckig, gegen die Spitze vierkantig. – Inv. 1966.3551, FK X04675. – Publ.: Fünfschilling 1989, Abb. 44,51.
723 Meissel oder Keil? Vierkantiger Schaft mit gestauchtem Kopf. Spitze stark korrodiert. – Inv. 1966.3549, FK X04675. – Publ.: Fünfschilling 1989, Abb. 44,52.
724 Meissel oder Keil? Vierkantiger Schaft mit gestauchtem Kopf. Spitze beschädigt. – Inv. 1966.3550, FK X04675. – Publ.: Fünfschilling 1989, Abb. 44,53.
725 Spitzmeissel. Angelgriff ist deutlich abgesetzt. – Inv. 1965.4850, FK X04648.
726 Pfriem. Vierkantiger Schaft, Spitzen etwas beschädigt. – Inv. 1967.2225, FK X06535.
727 Werkzeug? Runder Schaft mit vierkantiger Spitze, gehört evtl. auch zu einer Angel von einem Werkzeug. – Inv. 1966.3548, FK X04675. – Publ.: Fünfschilling 1989, Abb. 44,50.
728 Werkzeug? Vierkantiger Schaft, Spitze abgebrochen. Das leicht eingeschnürte Ende könnte hingegen auch darauf verweisen, dass es sich um ein kurzes Stück eines Bratroststabes handelt. – Inv. 1966.970, FK X04677.
729 Werkzeugartiges Gerät oder Bauteil? Mit starker Spitze und sich verbreiterndem Ende, in dem ein kleines rundes Loch sitzt. – Inv. 1965.7829, FK X04664.

Ton
730 Tonstatuette. Gesichtchen einer Knabenbüste. – Inv. 1966.3486, FK X04668. – Publ.: von Gonzenbach 1986, Taf. 100,3.

Tiegel
731 3 Fragmente eines Bronzetiegels[457]. – Inv. 1967.10305, FK Z01676.

Stein
732 Steingefäss aus Marmor. – Inv. 1966.3539, FK X04675. – Publ.: Fünfschilling 1989, Abb. 41,1.
733 Mörser mit drei Füssen. Sandstein rot. Bestossen und am Boden vollständig durchgebrochen. – Inv. 1966.888, FK X04675.
733A Mörser mit drei Füssen. Sandstein grau. Bestossen und am Boden vollständig durchgebrochen. – Inv. 1966.889, FK X04675.

Architektur
734 Halbsäule mit Schaft und Basis oder evtl. Brunnenstock (?). Sandstein rot. – Inv. 1966.885, FK X04675. Im Depot zurzeit nicht zugänglich.
735 Säulentrommel, glatt. Muschelkalk. Stark bestossen. – Inv. 1966.887, FK X04675.
736 Säulentrommel, glatt. Muschelkalk. Stark bestossen. – Inv. 1966.886, FK X04675.
737 Kapitell oder Pilasterbasis aus Sandstein. – Inv. 1966.893, FK X04675.
738 Quader von Fenstergewand oder Schwelle? – Inv. 1966.890, FK X04675.
739 Grosse Wacke mit Drehpfanne. – Inv. 1966.884, FK X04675.
740 Bodenplatte. Muschelkalk. – Inv. 1965.4227, FK X04624.

Wandverputz
741 5 Fragmente mit grüner Grundfarbe und mit dunkelgrün eingefasstem rotem Band. Mörteluntergrund sehr dünn und schlecht erhalten. – Inv. 1967.28363, FK Z01658. – Publ.: Otten 1994, 72 Kat. 506.
742 1 Fragment mit grünem Pflanzendekor auf weissem Grund. – Inv. 1967.10106, FK Z01661. – Publ.: Otten 1994, 72 Kat. 403.
743 1 Fragment mit rotem Farbauftrag auf weissem Grund. – Inv. 1967.10105, FK Z01661. – Publ.: Otten 1994, 72 Kat. 403.
744 1 Fragment mit weisser Grundfarbe und rotem Band. Feiner, mit grösseren Kieselchen durchsetzter Kalkmörtel auf mit Häcksel versetztem Lehm. – Inv. 1965.3767, FK X04601. – Publ.: Otten 1994, 72 Kat. 325.
745 1 Fragment. Rot marmoriert. Feiner Kalkmörtel auf mit Häcksel versetztem Lehm. Abgekantetes Kantenelement. – Inv. 1967.10104, FK Z01661. – Publ.: Otten 1994, 72 Kat. 402.

Wandlehm
746 Lehmfragment mit Abdruck von hölzernen Konstruktionselementen. – Inv. 1966.4380, FK X06514.

Nicht abgebildete Funde
Keramik
– Vgl. Abb. 176.
– Keramik, zurzeit nicht auffindbar. – Inv. 1966.4381–4183, FK X06514; Inv. 1966.952, FK X04677; Inv. 1966.3478, FK X04668.

Glas
– RS, wohl von Amphoriskos. AR 165/Isings 15. Dunkelgrün. Sekundär verbrannt und verformt. – Inv. 1967.2203, FK X06535. – Publ.: Rütti 1991/2, Kat. 3734.

457 Die Tiegelfragmente sind unsicher in der Zuweisung: Leider lagen im Depot zwei Bronzetiegel mit identischer Nummer in einem Sack. Ein Tiegel muss jedoch nach einer Datenbankrecherche zur Grabung Steinler Insula 31, 1962.054 und FK X01981 zugerechnet werden, ein anderer zu unserer Grabung 1967.052. Einer wurde in diesem Katalog zur Veranschaulichung herangezogen.

– RS, ovoider Becher. AR 103. Saftgrün, durchscheinend. – Inv. 1966.3514A, FK X04675. – Publ.: Fünfschilling 1989, Abb. 44,45.
– BS. Blaugrün bis saftgrün. – Inv. 1966.3487, FK X04668. – Publ.: Rütti 1991/2, Kat. 4657.
– BS. Blaugrün, durchscheinend. – Inv. 1966.4259C, FK X06519. – Publ.: Rütti 1991/2, Kat. 4709.
– BS. Blaugrün, durchscheinend. – Inv. 1967.2202, FK X06535. – Publ.: Rütti 1991/2, Kat. 4934.
– 2 BS einer Vierkantflasche. AR 156/Isings 50. Blaugrün, durchscheinend. Mit vier Kreisen als Bodenmarke. – Inv. 1966.4250, FK X06519. – Publ.: Rütti 1991/2, Kat. 3126.
– BS. Saftgrün, durchscheinend. – Inv. 1967.1584, FK X06534.
– HE von Amphoriskos nicht näher bestimmbarer Form. – Inv. 1967.10103, FK Z01661.
– HE von Vierkantflasche. AR 156/Isings 50. Blaugrün. – Inv. 1967.10317, FK Z01658.
– Halsfragment einer Flasche, eines Kruges? Weiss, opak. Sekundär verbrannt. – Inv. 1967.2200, FK X06535.
– Fragment. Weiss, opak. Sekundär verbrannt. – Inv. 1967.2201, FK X06535.
– Fragment. Blaugrün, opak. Sekundär verbrannt. – Inv. 1967.1583, FK X06534.
– 2 WS. Dunkelgrün, opak. – Inv. 1966.883A.E, FK X04675.

Bein
– Haarnadel. – Inv. 1965.5350, FK X04658. – Publ.: Deschler-Erb 1998, Kat. 3679.
– Nadelstift. – Inv. 1966.3542, FK X04675. – Publ.: Fünfschilling 1989, Abb. 44,56; Deschler-Erb 1998, Kat. 3691.
– Nadel. – Inv. 1967.2631, FK X06536. Verschollen.
– Nadel. – Inv. 1967.2633, FK X06536. Verschollen.
– Nadel. – Inv. 1966.4255, FK X06519. Verschollen.
– Nadel. – Inv. 1967.2629, FK X06536. Verschollen.
– Nadel. – Inv. 1967.10307, FK Z01676. Verschollen.
– Fragmentierter Stift. – Inv. 1967.2632, FK X06536. – Publ.: Deschler-Erb 1998, Kat. 4642.
– Facettierter Stab. – Inv. 1966.9427, FK X04675. – Publ.: Deschler-Erb 1998, Kat. 5790.

Bronze
– Fragment eines Glöckchens. – Inv. 1967.2216, FK X06535.
– Niet. – Inv. 1965.4098, FK X04627.
– Unterlagsscheibe. – Inv. 1966.3544, FK X04675. – Publ.: Fünfschilling 1989, Abb. 44,46.
– Stiftfragment. – Inv. 1967.2209, FK X06535.
– Stiftfragment. – Inv. 1967.2208, FK X06535.
– Blechfragment. – Inv. 1967.2210, FK X06535.
– Blechfragment. – Inv. 1967.2212, FK X06535.
– Blechfragmente. – Inv. 1967.1588.1589, FK X06534.
– Blechfragment. – Inv. 1965.5421, FK X04639.
– Bronze, zurzeit nicht auffindbar. – Inv. 1966.3545, FK X04675; Inv. 1966.4483, FK X04677 (im Inventar als Löffel aufgenommen; jedoch schon bei Riha/Stern 1982 nicht publiziert).

Eisen
– Schlüssel. – Inv. 1966.4155, FK X04671.
– Kloben. – Inv. 1966.3547, FK X04675. – Publ.: Fünfschilling 1989, Abb. 44,49.
– Kleine Krempe. – Inv. 1967.2237, FK X06535.
– Kettenglied. – Inv. 1966.4301, FK X06514.
– Kettenglied. – Inv. 1966.971, FK X04677.
– Kettenglied. – Inv. 1967.10107, FK Z01661.
– Vierkantiger Nagel. – Inv. 1967.10318, FK Z01658.
– Vierkantiger Nagelstift. – Inv. 1966.3552, FK X04675.
– Nagel mit rundem Pilzkopf. – Inv. 1967.14179, FK Z01678.
– Nagel mit Pilzkopf. – Inv. 1967.2228, FK X06535.
– Nagel mit Pilzkopf. – Inv. 1967.2234, FK X06535.
– Zwei Verbindungselemente mit rundem und viereckigem Ende. – Inv. 1967.2233B.C, FK X06535.
– Vierkantiges Eisenobjekt. – Inv. 1965.4295, FK X04628.
– Eisenblech. – Inv. 1967.1585, FK X06534.
– Eisen, zurzeit nicht auffindbar. – Inv. 1966.969, FK X04677; Inv. 1966.2023–2025, FK X04699; Inv. 1966.3977.3978.4264.4265, FK X06511; Inv. 1966.4263.4267–4274.4284–4287.4312, FK X06514; Inv. 1966.4294, FK X06519; Inv. 1967.2226, FK X06535; Inv. 1967.3501–3505, FK X06544.

Stein
– Kieselstein, pyramidenförmig. – 1966.3540, FK X04675. – Publ.: Fünfschilling 1989, Abb. 44,57.

Architektur
– Bodenplatten, Muschelkalk. – Inv. 1965.4228.4229, FK X04624.
– Architekturelemente, zurzeit nicht auffindbar. – Inv. 1966.891.892a.c.894, FK X04675.

Wandverputz
– Wandverputz. – Inv. 1966.3974, FK X06511.

Wandlehm/Holzproben
– 3 Lehmfragmente. – Inv. 1966.4257–4259, FK X06519. Nach Inventarbuch; verschollen.
– Lehmfragment. – Inv. 1967.28364, FK Z01658. Vgl. dazu unten S. 240.
– Holzprobe. – Inv. 1967.14163, FK Z01679.

Raum B

Befund

Der bei der Zerstörung von Raum B am Ende von Phase 11 angefallene Brand- und Mauerschutt wurde anlässlich der Grabung 1965–1967.052 bei der Sanierung und Konservierung von Mauer 4 angeschnitten und teilweise abgetragen. Dabei wurde auch der vollständig erhaltene Backofen BO2 entdeckt (Abb. 178; vgl. auch Abb. 160). Aus Zeitgründen musste dieser jedoch *in situ* belassen werden und konnte auch nicht genauer untersucht werden. Im Jahr 2002 wurde der Backofen BO2 beim maschinellen Aushub eines parallel zu Mauer 4 verlaufenden Drainagegrabens (vgl. oben Abb. 80; Beil. 1) leider unbeobachtet zerstört.

Obschon das beim Anlegen des Drainagegrabens entstandene Profil 6 (Abb. 179; vgl. auch Beil. 1) nur fotografisch dokumentiert worden ist und nur den oberen Teil der Stratigrafie umfasst[458], ist die Befundsituation in Raum B trotzdem noch einigermassen rekonstruierbar. So lassen die in Profil 6 erhalten gebliebenen Überreste von Backofen BO2 (Abb. 180,3.4) den Schluss zu, dass er eine aus *tegulae* (und *imbrices*?) konstruierte Kuppel besass, die auf einem trocken gemauerten Sockel aus Kalksteinhandquadern stand. Es muss sich demnach – wie auch die auf der Aussenseite mit Lehm verstrichene Kuppel nahelegt – um den gleichen Backofentyp gehandelt haben wie in Raum A.

458 Die Unterkante liegt auf 287,22 m ü. M., das heisst im Bereich des in Phase 8 ausplanierten Fachwerklehms (vgl. auch oben Abb. 80; 107). Vgl. dazu auch Dokumentation der Grabung 2002.063, Abtrag 2.001).



Abb. 178: Augst BL, Insula 5/9, Raum B (Grabung 1965–1967.052). Blick von Südwesten in Raum B. Anlass für die kaum dokumentierten Freilegungsarbeiten bildete die Konservierung der MR 4 (rechts; mit dem über dem Backofen BO1 errichteten Schutzhaus). Im Vordergrund MR 9. Der Pfeil markiert den Standort des damals in situ *belassenen Backofens BO2. Beim Mauerschutt handelt es sich wohl z. T. um den bei der Zerstörung am Ende von Phase 11 entstandenen Primärschutt, z. T. aber auch um Schutt, der beim Verfall bzw. beim Abbruch während Phase 12 entstanden ist und/oder beim Aushub des Wall-Graben-Systems der* enceinte réduite *in Phase 13 angefallen und hier entsorgt worden ist.*

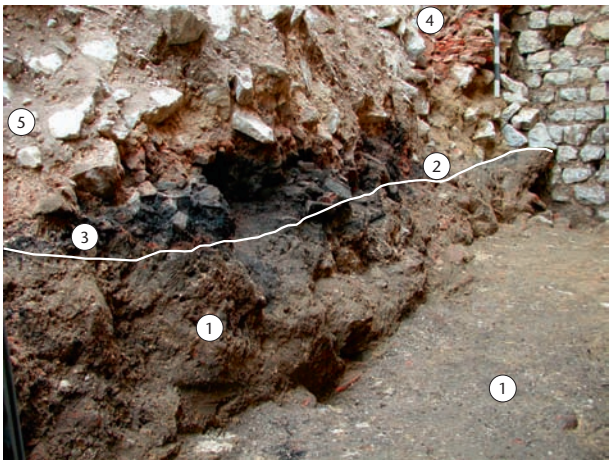


Abb. 179: Augst BL, Insula 5/9, Raum B (Grabung 2002.063). Blick an den unteren, nur kursorisch gereinigten Teil von Profil 6. Im Hintergrund die Hangstützmauer (MR 1B). ***1*** *Ockerfarbener, mit Mörtelbrocken (Wandverputz?) durchsetzter Lehm. Es handelt sich dabei um die beim maschinellen Abtrag zum Teil gekappten Reste von Fachwerkwänden, die am Ende von Phase 7 zerstört und in Phase 8 ausplaniert wurden. Die Oberkante der Planie liegt auf ca. 288,00 m ü. M. und damit in etwa auf dem gleichen Niveau wie in Raum A.* ***2*** *Ungefährer Verlauf des Gehniveaus während der Phasen 9 und 11. Auf dieser Kote (ca. 288,10 m ü. M.) wurde u. a. eine Knochenkonzentration (vgl. Abb. 181) gefunden.* ***3*** *Brandschutt vom Ende der Phase 11. Aus ihm stammen das stark korrodierte Messerfragment* ***748*** *sowie der verkohlte Getreidevorrat (vgl. Abb. 182).* ***4*** *Überreste von Backofen BO2.* ***5*** *Stark mörtelhaltiger und mit lehmigen Sedimenten durchsetzter Mauerschutt.*

Gesichert ist auch, dass der Backofen BO2 in der von der Hangstützmauer (MR 1A) und Mauer 4 gebildeten Ecke installiert wurde – ebenfalls eine Analogie zum Backofen BO1 in Raum A.

An der Unterkante des Sockels von Backofen BO2 lässt sich zudem auch der ungefähre Verlauf der Oberkante des in Phase 8 ausplanierten Fachwerkschutts ablesen (Abb. 180,2; vgl. auch Abb. 179,2). Die dunkle Verfärbung der Lehmplanie könnte überdies dafür sprechen, dass der Backofen BO2 nicht unmittelbar nach der Instandstellung von Raum B, d. h. in Phase 9, installiert wurde, sondern erst zu einem späteren Zeitpunkt, d. h. während Phase 10 oder Phase 11.

Ebenfalls noch eruieren liess sich, dass die auffällige Ansammlung mit insgesamt 48 Hand- und Fussknochen von Ovicapriden offenbar auf dem ca. auf 288,00 m ü. M. liegenden Gehniveau der Phasen 9–11 lag (Abb. 181)[459]. Dem beim maschinellen Aushub weitgehend zerstörten Inventar konnten zudem noch das aus dem unmittelbar darüberliegenden Brandschutt (Abb. 179,3) geborgene Messerfragment **748** (vgl. unten Abb. 186) sowie ein verkohlter Getreidevorrat (Abb. 182) zugewiesen werden. Letzterer lag unter einer Schicht aus verbrannten Ziegeln (Dachversturz?) bzw. auf «verbranntem Hüttenlehm»[460].

Ebenfalls dem Inventar der letzten Benutzungsphase zuweisen lässt sich schliesslich das in Mauer 4 gefundene Terra-Sigillata-Gefäss **747** (Abb. 183,A)[461]. Der Betonflick zeigt, dass das Gefäss bei der Konservierung von Mauer 4 im Jahr 1967 nur um Haaresbreite einer Entdeckung entgangen ist. Leider ist heute nicht mehr genau feststellbar, ob das Gefäss in eine Öffnung, die durch das sicher nachträgliche Herausfallen oder durch das Entfernen eines Handquaders aus der Mauerschale entstanden ist, oder in eine nachträglich ausgebrochene Nische gelegt worden ist. Si-

459 Zur Fundlage vgl. Bauhofer, Tagebuch, S. 11.
460 Vgl. Bauhofer, Tagebuch, S. 12.
461 Rychener 2003, 80 Abb. 22 (MR 4 wird ebd. als MR 1 bezeichnet); 23.



*Abb. 180: Augst BL, Insula 5/9, Raum B (Grabung 2002.063). Ausschnitt aus Profil 6 (zur Lage vgl. Abb. 179,4). **1** Hangstützmauer (MR 1B). **2** Oberster Teil der in Phase 8 eingebrachten Planie. Entspricht in etwa dem Gehniveau während der Phasen 9–11 (vgl. auch Abb. 179,1.2). **3** Reste einer verstürzten Fachwerkwand vom Ende der Phase 11. **4** Überreste von Backofen BO2. **5** Stark mörtelhaltiger und mit lehmigen Sedimenten durchsetzter Mauerschutt.*



Abb. 181: Augst BL, Insula 5/9, Raum B (Grabung 2002.063). Konzentration von Tierknochen auf dem Gehhorizont der Phasen 9–11 in der Ecke der Hangstützmauer (MR 1A) und MR 4 (rechts).



Abb. 182: Augst BL, Insula 5/9, Raum B (Grabung 2002.063). Detail mit den verkohlten Getreideresten aus dem Brandschutt der Phase 11. Zur Fundlage vgl. Abb. 179,3.

cher ist lediglich, dass es sich nicht um ein Balkennegativ handeln kann; in Mauer 4 liessen sich nämlich ansonsten keine Balkennegative feststellen (Abb. 183,B). Gegen eine Interpretation als Nische spricht wiederum der unregelmässige Verlauf der Unterkante.

Der Ausbruch liegt ca. 1,0 m über dem in Phase 8 ausplanierten Fachwerkschutt, was indirekt die oben referierte Annahme stützt, dass sich das Gehniveau während der Phasen 9–11 in etwa auf 288,00 m ü. M. befand (Abb. 179,2; vgl. auch oben bei Abb. 107). Dies sowie der Befund scheinen am ehesten dafür zu sprechen, dass man das beschädigte Gefäss in einem Mauerausbruch deponiert hat, weil man es aus nicht mehr erschliessbaren Gründen aufbewahren wollte[462].

Dass Raum B am Ende von Phase 11 durch einen Brand zerstört worden ist, zeigen einerseits der Brandschutt, andererseits auch die Beobachtungen an Mauer 9 und an Mauer 4: Die darin verbauten Kalksteine weisen nicht nur starke Brandrötungen auf, sondern sind zum Teil auch zersprungen und/oder herausgefallen. Die Hitzeeinwirkung hat zudem dazu geführt, dass sich der mit einem Fugenstrich versehene *pietra-rasa*-Verputz stellenweise von der Mauerschale gelöst hat[463].

Die Hitzeschäden und Schmauchspuren an Mauer 4 zeigen schliesslich auch, dass der Brandschutt wie in Raum A offensichtlich einen von Norden nach Süden abfallenden Schuttfächer bildete.

Der am Ende von Phase 11 angefallene Brandschutt wird von einem stark mörtelhaltigen und mit lehmigen

462 Indizien, die für eine Ansprache als Bauopfer oder Lararium sprechen könnten, liegen keine vor. Vgl. Schmid 2010, 288 Abb. 1; 2.

463 Vgl. dazu auch Bauhofer, Tagebuch, S. 11 f.



*Abb. 183: Augst BL, Insula 5/9, Raum B (Grabung 2002.063). Westseite von Mauer 4. Die Vermessungsschnur liegt auf der Kote 289,00 m ü. M. **A** Detail mit dem in einer nachträglich (Phasen 9–11) aus Mauer 4 ausgebrochenen Nische deponierten Doppelhenkelgefäss **747**. **B** Blick an die Ostwand von Raum B (MR 4). Der Sandsteinquader bildete den oberen Abschluss von Praefurnium II, von dem aus das* cubiculum *in Raum A ab Phase 7 beheizt wurde. Die Unterkante der Grabung 2002.063 entspricht in etwa der Höhe des Gehniveaus während der Phasen 9–11.*





Abb. 184: Augst BL, Insula 5/9, Raum B (Grabung 2002.063). Der am Ende von Phase 11 angefallene Brandschutt (links) überlagert die Türschwelle in MR 9 und wird seinerseits von Mauerschutt überlagert. Die Fallrichtung der Kalksteinquader lässt den Schluss zu, dass es sich um Teile der in das Innere von Raum B verstürzten MR 9 handelt.

Sedimenten durchsetzten Mauerschuttpaket überlagert (Abb. 179,5). Dieses überlagerte auch den Backofen BO2. Es dürfte sich dabei z. T. sicher um Primärschutt der Phase 11 handeln – also nicht nur um Abraum, der später in Phase 12 und/oder in Phase 13 im Bereich von Raum B entsorgt worden ist (vgl. dazu unten S. 246 f.; 249 f.).

Gestützt wird die Ansprache der unteren Teile des Mauerschutts als Primärschutt auch durch einen Detailbefund in dem an Mauer 9 anschliessenden Teil von Profil 6 (Abb. 184): Im Gegensatz zum höher liegenden Schuttfächer, der ein deutliches Nord-Süd-Gefälle aufweist (Abb. 178; vgl. auch unten Abb. 231), fällt der Primärschutt im Bereich von Mauer 9 nämlich von Süden nach Norden: Die oberen Teile von Mauer 9 sind folglich bei der Zerstörung am Ende von Phase 11 nicht talwärts gestürzt, sondern in das Innere von Raum B[464].

Ensemble B11

Allgemeine Charakterisierung: Die dem Ensemble B11 zugewiesenen Funde (Abb. 186) stammen alle aus der Grabung 2002.063. Die entsprechenden Fundkomplexe – FK E06771, FK E06772, FK E06774, FK E06776, FK E06777 und FK E07756 – haben indes nur wenige bestimmbare Funde geliefert (Abb. 185). FK E06772 umfasste die Tierknochenkonzentration, FK E06774 den verbrannten Getreidevorrat[465], FK E06771 und FK E07756 waren fundleer.

Datierung des Fundmaterials*:* Das Doppelhenkelgefäss **747** aus Terra Sigillata kann der Form Ludowici VMe/Nb. 26b zugewiesen werden. Der Becher ist fast vollständig erhalten; es fehlen nur der Stängel(?)fuss und ein Henkelgriff. Auf dem Gefässbauch ist ein mittels der *en-barbotine*-Technik ausgeführter, nach links schreitender Vogel mit gros-

464 Vgl. dazu Bauhofer, Tagebuch, S. 12.

465 Vgl. den Beitrag von E. Marti-Grädel, unten S. 229, und den Beitrag von M. Kühn, unten S. 230 f.

Form/Typ	RS	BS	WS	HE	Total	MIZ
TS, ostgallisch Doppelhenkelgefäss Ludowici VMe/Nb. 26b	1				1	1
Total	**1**				**1**	**1**

Abb. 185: Augst BL, Insula 5/9, Raum B (Grabung 2002.063). Ensemble B11: Fundstatistik zur Keramik (FK E06771, FK E06772, FK E06774, FK E06776, FK E06777, FK E07756). MIZ = RS, WS, BS, HE.

sem Schnabel und auffällig dreieckig geschweiften Schwanzfedern dargestellt. Florale Motive sind als Füllmotive rund um den Vogel wie auch an den Henkelansätzen und auf dem Henkel angebracht. Solche Gefässe sind selten. In den Kastellen Niederbieber und Holzhausen kommen sie nur vereinzelt vor; sie werden dort vom Ende des 2. Jahrhunderts bis in das dritte Viertel des 3. Jahrhunderts datiert[466]. Aufgrund der archäologischen Situation darf im konkreten Fall davon ausgegangen werden, dass das Doppelhenkelgefäss aus der Zeit zwischen 250 und ca. 260/270 n. Chr. stammt.

Demselben Ensemble kann auch das stark korrodierte Messerfragment **748** zugewiesen werden. Es wurde beim Reinigen von Profil 6 im Brandschutt gefunden.

Katalog der Funde aus Ensemble B11 (Abb. 186)

Terra Sigillata

747 Doppelhenkelgefäss, TS (ostgallisch), Ludowici VMe/Nb. 26b. Auf beiden Gefässseiten ist in Barbotinetechnik ein nach links schreitender Vogel mit langem Schnabel und Schwanzfedern ausgeführt; dazwischen und an den Henkeln finden sich florale Motive. – Inv. 2002.063.E06777.1. – Publ.: Rychener 2003, 82 Abb. 22; 23; Schmid 2010, 289 Abb. 2.

Eisen

748 Messer oder Dolch? Klinge mit leicht dreieckigem Querschnitt. Griffangel abgesetzt. – Inv. 2002.063.E06776.1.

Nicht abgebildete Funde

Keramik

– Vgl. Abb. 185.
– 2 WS aus geschlämmter Probe, zurzeit nicht auffindbar. – Inv. 2002.063.E06774.4.5.

Glas

– WS, nicht bestimmbare Form. – Inv. 2002.063.E06774.3.
– BS, steilwandiger Becher, Form nicht näher bestimmbar. Milchig, matt und irisierend. – Inv. 2002.063.E06774.2.

Bronze

– Kleines Fragment, unbestimmbar, sekundär verbrannt. – Inv. 2002.063.E06774.1.

Baukeramik

– Ziegelfragment, verbrannt. – Inv. 2002.063.E06774.6.

466 Vgl. Oelmann 1914, 33 Taf. 1,26b; Pferdehirt 1976, 87 f. Taf. 11,A1279; Fortuné u. a. 2009, 49 unten links (ohne Nummern).



Abb. 186: Augst BL, Insula 5/9, Raum B (Grabung 2002.063). Ensemble B11: Dem Brandschutt zuweisbare Funde. M. 1:3 (Eisen M. 2:3). ***747*** *Terra Sigillata,* ***748*** *Eisen.*



Abb. 187: Augst BL, Insula 5/9, Räume A und E (Grabung 2002.063). Im Gegensatz zu Raum A (rechts) liessen sich im allerdings nur kleinflächig ergrabenen Raum E keine Reste des Brandschutts beobachten. In der Bildmitte MR 2, im Hintergrund Profil 100 (vgl. dazu Abb. 221).



Abb. 188: Augst BL, Insula 5/9, Raum C und Heidenlochstrasse (Grabung 1965–1967.052). Blick in den links von der Hangstützmauer (MR 1C; MR 1B), rechts von der mithilfe von Spolien (MR 3C) reparierten MR 3B begrenzten Korridor (Raum C). Rechts von MR 3B/MR 3C ist der partiell mit hochkant gestellten Steinplatten begrenzte Strassengraben der Heidenlochstrasse der Phasen 9–11 erkennbar.

Raum E: Befund

Die Oberkante der an die Ostwand (MR 2) von Raum A anschliessenden Mauer 22, die die strassenseitige Begrenzung von Raum E bildete, weist deutliche Brandspuren auf (Abb. 187). Diese dürften – wie oben bereits erwähnt – von einer verbrannten Fachwerkwand stammen. Im Gegensatz zur westlich anschliessenden Mauer 13 fanden sich hier jedoch keine Reste eines verkohlten Schwellbalkens und/oder Konzentrationen von verbranntem Wandlehm. Dies ist zweifellos darauf zurückzuführen, dass Mauer 22 bereits anlässlich der Grabung 1965–1967.052 bzw. bei der Konservierung von Mauer 2 freigelegt, aber nicht dokumentiert worden ist. Gestützt wird diese Annahme durch die im Profil deutlich erkennbare Störung.

Heidenlochstrasse

Befund

Aufschlussreich sind hier namentlich die Beobachtungen im Bereich der mit Profil 1b nicht rechtwinklig geschnittenen und deswegen etwas verzerrt wiedergegebenen Verfüllung des südlichen Strassengrabens (Beil. 2C,18B)[467]: Die dunkle, sandig-humose, streckenweise mit Ziegelschutt durchsetzte Verfüllung[468] lässt den Schluss zu, dass der Strassengraben nach der Zerstörung von Raum C am Ende von Phase 7 nicht mehr regelmässig gereinigt worden ist. Solche Indizien für eine – bereits im frühen 3. Jahrhundert einsetzende – *transformation en bidonville* konnten in Augusta Raurica auch andernorts beobachtet werden[469].

Andererseits zeigen die hochkant in die Verfüllung des Strassengrabens gestellten Steinplatten (Abb. 188; 189), dass auch noch während der Phasen 9–11 Unterhaltsarbeiten an der nicht-privaten Infrastruktur vorgenommen wurden. Im konkreten Fall stehen diese wohl im Zusammenhang mit der Instandstellung von Raum C in Phase 9 resp. mit dessen Nutzung bis zur endgültigen Zerstörung am Ende von Phase 11: Mit der parallel zu Mauer 3B verlaufenden Steinreihe sollte offensichtlich verhindert werden, dass von der Strassenseite aus Abwasser in Raum C gelangen konnte. Dass der teilweise mit älteren Sedimenten und Ziegelbruch verfüllte Strassengraben (vgl. Ensemble HL6; Abb. 98) seine Funktion dank dieser Unterhaltsarbeiten bis zur endgültigen Zerstörung am Ende von Phase 11 erfüllte, zeigen auch die jüngsten Funde aus dem obersten Teil der Kanal-

467 Die Verzerrung ist dadurch bedingt, dass das Profil 1b (Beil. 2C) nicht rechtwinklig an MR 3B anstiess.

468 Vgl. Dokumentation der Grabung 1965–1967.052, Profil 1b, Schicht 4 (= Beil. 2C,18B). Die Ziegelbruchstücke stammen höchstwahrscheinlich vom zerstörten Ziegeldach des Korridors (Raum C), sind also erst am Ende von Phase 7 in die mehrheitlich während Phase 6 und Phase 7 abgelagerte Verfüllung des Strassengrabens gelangt. Ein nahezu identischer Befund wurde u. a. auch in einem Kanal bei den Frauenthermen (Insula 17) beobachtet (Hoek 1991, Abb. 2).

469 Vgl. dazu Schwarz 2002, 89 Anm. 323; S. 181 Anm. 657; S. 443 (mit Verweis auf ältere Literatur).



Abb. 189: Augst BL, Insula 5/9, Heidenlochstrasse (Grabung 1965–1967. 052). Blick auf die Verfüllung des partiell von hochkant gestellten Steinplatten begrenzten Strassengrabens der Phasen 9–11. Die unterhalb des Nordpfeils erkennbare Bodenscherbe stammt von einem Glanztonbecher der Form Nb. 33 (762).

verfüllung. Dieses Ensemble liefert überdies auch einen stratigrafisch gut abgesicherten *terminus post quem* für den Bau der spätrömischen *enceinte réduite* (vgl. unten Phase 13).

Ensemble HL11

Allgemeine Charakterisierung: Dem oberen Teil der Verfüllung des westlichen Strassengrabens der Heidenlochstrasse können sechs Fundkomplexe zugewiesen werden (FK X04689, FK X04714, FK X04717, FK X06202, FK X06204 und FK X06214; Abb. 190)[470]. Abgesehen von einigen wenigen Altfunden – namentlich bei der Terra Sigillata und bei der Gebrauchskeramik – ist die Zusammensetzung des recht umfangreichen keramischen Fundguts (Abb. 191) sehr homogen. Darunter dominieren Glanzton- und Gebrauchskeramik. Auffällig sind die vielen Becher der Form Nb. 33, die grosse Zahl der Teller, der grau- und orangefarbenen Schüsseln verschiedener Formausprägungen sowie der Kochtöpfe.

Datierung des Fundmaterials: Der Datierungsschwerpunkt des Fundensembles liegt im zweiten und hauptsächlich im dritten Viertel des 3. Jahrhunderts. Die Zusammensetzung der Funde korrespondiert gut mit anderen Ensembles aus Augusta Raurica, so u. a. mit denjenigen aus den Zerstörungshorizonten in Insulae 22 und 42[471].

Hier wie dort überwiegt die ostgallische Terra Sigillata. In Ensemble HL11 finden sich aber auch noch südgallische Produkte der Formen Drag. 18/31 (**749**), Drag. 27, Drag. 33 sowie Drag. 37 (o. Abb.). Mit einem Verhältnis von 8:31 sind diese im Vergleich zu den ostgallischen Produkten aber selten.

Aus den Töpferstempeln **753** und **754** des Severianus und des Statutus (?) – beide produzierten in Rheinzabern – lässt sich eine Datierung in die Zeit zwischen 200 und 260 n. Chr. ableiten.

Bei der Glanztonkeramik dominieren die Becher **760–764** der Form Nb. 33 mit einem Verhältnis von 125:15. Diese Becher sind – abgesehen von wenigen Ausnahmen, die einen orangen Überzug tragen – aus grauem Ton gefertigt und tragen einen matt glänzenden, schwarzen Überzug. Die Becher aus Ensemble HL11 sind gut mit den Bechern aus der Kanalfüllung an der Nordwestfront der Frauenthermen zu vergleichen[472].

Weitere Übereinstimmungen finden sich beispielsweise bei den Tellern mit verdicktem Steilrand **772**, den Tellern mit eingebogenem Rand **770** und **771**, bei der Schüssel mit Bandrand **773**[473], bei den grau- und orangetonigen Schüsseln mit profiliertem Rand **776–778** oder bei den Schüsseln mit profilierter Wandung **779** und **780**, die auch erst um die Mitte des 3. Jahrhunderts geläufig werden (s. o. S. 117 mit Anm. 262). Zu der wegen ihrer eigenartigen Randgestaltung auffälligen Schüssel **778** liegt eine sehr gute Parallele aus dem bereits erwähnten Ensemble aus Insula 42 vor, das in die Jahre zwischen 250 und 280 n. Chr. datiert werden kann[474]. Der Kochtopf mit gerilltem Horizontalrand und abgesetzter Schulter **783**, die Kochtöpfe mit Leistenrand **784–786** oder auch mit scharfkantig umgelegtem Rand und wellenförmigem Kammstrich **788** sprechen ebenfalls für eine Datierung des Ensembles HL11 in die Jahre nach 250 n. Chr. bzw. in das dritte Viertel des 3. Jahrhunderts.

470 Ein Teil dieser Fundkomplexe wurde schon während der Grabung dem oberen Teil der Strassengrabenverfüllung zugewiesen (vgl. Berger/Martin, Tagebuch).

471 Vgl. Schucany u. a. 1999, 155 Taf. 74; 75 (Fundensembles D.10 Augst 9 und D.11 Augst 10).

472 Florian Hoek datiert dieses Ensemble in «die 1. Hälfte des 3. Jahrhunderts, mit deutlichen Tendenzen zur Mitte des 3. Jahrhunderts». Des Weiteren bemerkt er: «Verschiedene Keramikscherben gehören wohl ins 2. oder sogar 3. Viertel, weil einige Vergleichsstücke in anderen Fundkomplexen aus Augst und Kaiseraugst erst ab dem Zeitraum von etwa 230–250 bezeugt sind» (Hoek 1991, 117–119 Abb. 27,27–28,58 [Zitate S. 119]).

473 Vgl. Schatzmann (in Vorb.), Kat. 57; 388.

474 Vgl. Schucany u. a. 1999, 155 Taf. 75,11 (Fundensemble D.11 Augst 10).

Form/Typ	RS	BS	WS	HE	Total	MIZ
TS, südgallisch						
Drag. 18/31	1				1	1
Drag. 27			1		1	1
Drag. 33	1				1	1
Drag. 37	1		4		5	4
Form unbestimmbar			1		1	1
TS, ostgallisch						
Nb. 12			1		1	1
Drag. 32	4				4	4
Walters 79	1				1	1
Ludowici Tg	1				1	1
Curle 21	2				2	2
Drag. 37	10	4	5		19	12
Drag. 43/45	1	2			3	3
Form unbestimmbar		6	1		7	7
Glanztonkeramik						
Becher mit Karniesrand	2				2	2
Becher mit Ratterblechdekor		1	7		8	8
Nb. 32	1				1	1
Nb. 33	31	15	98		144	125
Becher mit Schliffdekor			1		1	1
Becher Nb. 39?	1				1	1
Schälchen	3				3	1
Schüssel	1				1	1
Übrige Keramik						
Helltonige Gebrauchskeramik						
Teller mit eingebogenem Rand	41	2			43	40
Horizontalrandschüssel	2				2	2
Schüssel mit profilierter Wandung	11				11	10
Schüssel mit profiliertem Rand und Wandknick	71				71	63
Schüsseln	17	8			25	19
Krüge	2			2	4	3
Grautonige Gebrauchskeramik						
Becher, tonnenförmig	2				2	2
Teller mit eingebogenem Rand	24	1			25	22
Schüssel mit profiliertem Rand und Wandknick	1				1	1
Steilrandtopf	1				1	1
Kochtöpfe	42		1		43	42
Milchkochtopf?			2		2	1
Reibschalen	9		2		11	10
Handgemachte Kochkeramik						
Kochtopf mit scharfkantig umgelegtem Rand	4		1		5	4
Handgemachte, überdrehte Teller	4				4	4
Total Fragmente/MIZ	**292**	**39**	**125**	**2**	**458**	**403**

Abb. 190: Augst BL, Insula 5/9, Heidenlochstrasse (Grabung 1965–1967. 052). Ensemble HL11: Fundstatistik zur Keramik (FK X04689, FK X04714, FK X04717, FK X06202, FK X06204, FK X06214). MIZ = RS, BS, WS, HE.

Daneben kommen Sonderformen aus Glanzton wie etwa **766** und **767** vor: Für das Schälchen **767** lässt sich auch im oben erwähnten Ensemble aus Insula 22 eine Parallele beibringen[475]. Für den Becher **766** der Form Nb. 39 (?) kann dagegen kein gutes Vergleichsstück angeführt werden.

Katalog der Funde aus Ensemble HL11 (Abb. 191)

Terra Sigillata

749 RS, TS (südgallisch), Teller Drag. 18/31. – Inv. 1966.5035, FK X06202.

750 RS, TS (ostgallisch), Teller Drag. 32. – Inv. 1965.3309, FK X04714.

751 RS, TS (ostgallisch), Teller Walters 79?/Nb. 5? – Inv. 1966.5037, FK X06202.

752 RS, TS (ostgallisch), Teller Ludowici Tg. – Inv. 1966.5039, FK X06202.

753 BS, TS (ostgallisch), Teller, Typ unbestimmt. Mit zentralem Bodenstempel: SEVERIAN[VS] (Severianus ii, Rheinzabern, 180–260 n. Chr.[476]). – Inv. 1965.3180, FK X04717. – Publ.: Bruckner 1975, 67,4.

754 BS, TS (ostgallisch). Teller, Typ unbestimmt. Mit zentralem Bodenstempel:]TVTVSFE[CI] (Statutus?, Rheinzabern, 200–260 n. Chr.[477]). – Inv. 1966.5197, FK X04689.

755 RS, TS (ostgallisch), Schüssel Curle 21/Nb. 20. – Inv. 1966.5232, FK X06204.

756 2 RS, 3 WS, 3 BS, TS (ostgallisch), Schüssel Drag. 37. Relief: Grober Eierstab mit kleinem Kern und zwei umlaufenden Stäben, Beistrich rechts mit Knötchen, darunter gekerbte Stützornamente als Bildtrenner, im Feld nach links schreitende Person mit Waffe (?) in der Hand, daneben jeweils gerippte Blätter mit gewellten Stielenden, die zu einer Rosette unterhalb der Figur weisen. – Inv. 1966.3181a–d, FK X06214; Inv. 1965.3176.3177.3179, FK X04717. – Publ.: Bruckner 1975, 68,22. Dort helvetische Ware oder aus Westerndorf?

757 RS, TS (ostgallisch), Reibschale Drag. 43/45. – Inv. 1966.5233, FK X06204.

Übrige Keramik

758 RS, Glanztonbecher mit Karniesrand. Ton orange mit orangem Überzug. Ratterblechverzierung. – Inv. 1966.3183, FK X06214.

759 RS, Glanztonbecher Nb. 32. Ton hell mit orangem Überzug und Riffeldekor. – Inv. 1965.3190, FK X04717. – Publ.: Bruckner 1975, 70,40.

760 2 RS, Glanztonbecher Nb. 33. Ton grau mit dunkelbrauner Oberfläche. – Inv. 1966.3603, FK X06202.

761 RS, Glanztonbecher Nb. 33. Ton grau mit dunkelgrauer Oberfläche. – Inv. 1965.3316a, FK X04714.

762 RS, 10 WS, BS, Glanztonbecher Nb. 33. Ton grau mit grauschwarzer Oberfläche. – Inv. 1965.3313a.c–f.h.i, FK X04714.

763 2 RS, Glanztonbecher Nb. 33. Ton grau mit schwarzer Oberfläche. Mit Graffito. Lesung: A? – Inv. 1966.5050a, FK X06202.

764 RS, 2 WS, Glanztonbecher Nb. 33. Ton orange mit dunkler, glänzender Oberfläche. Mit Graffito. Lesung: MAR. – Inv. 1966.5251, FK X06204. – Publ.: Féret/Sylvestre 2008, Kat. 136.

765 WS, Glanztonbecher mit Glasschliff. Ton grau mit grauem Überzug. – Inv. 1965.3185, FK X04717. – Publ.: Bruckner 1975, 69,37. Vgl.: Hoek 1991, Abb. 27,51.

766 3 RS, Glanztonbecher ähnlich wie Nb. 39. Ton grau mit schwarzem Überzug auf der Aussenfläche. – Inv. 1965.3192, FK X04717; Inv. 1966.5253, FK X06204. – Publ.: Bruckner 1975, 71,62.

475 Vgl. Schucany u. a. 1999, 155 Taf. 74,12.

476 Die Lesung, Datierung und Produktionszuweisung erfolgten durch Brenda Dickinson, Leeds.

477 Die Lesung, Datierung und Produktionszuweisung erfolgten durch Brenda Dickinson, Leeds.

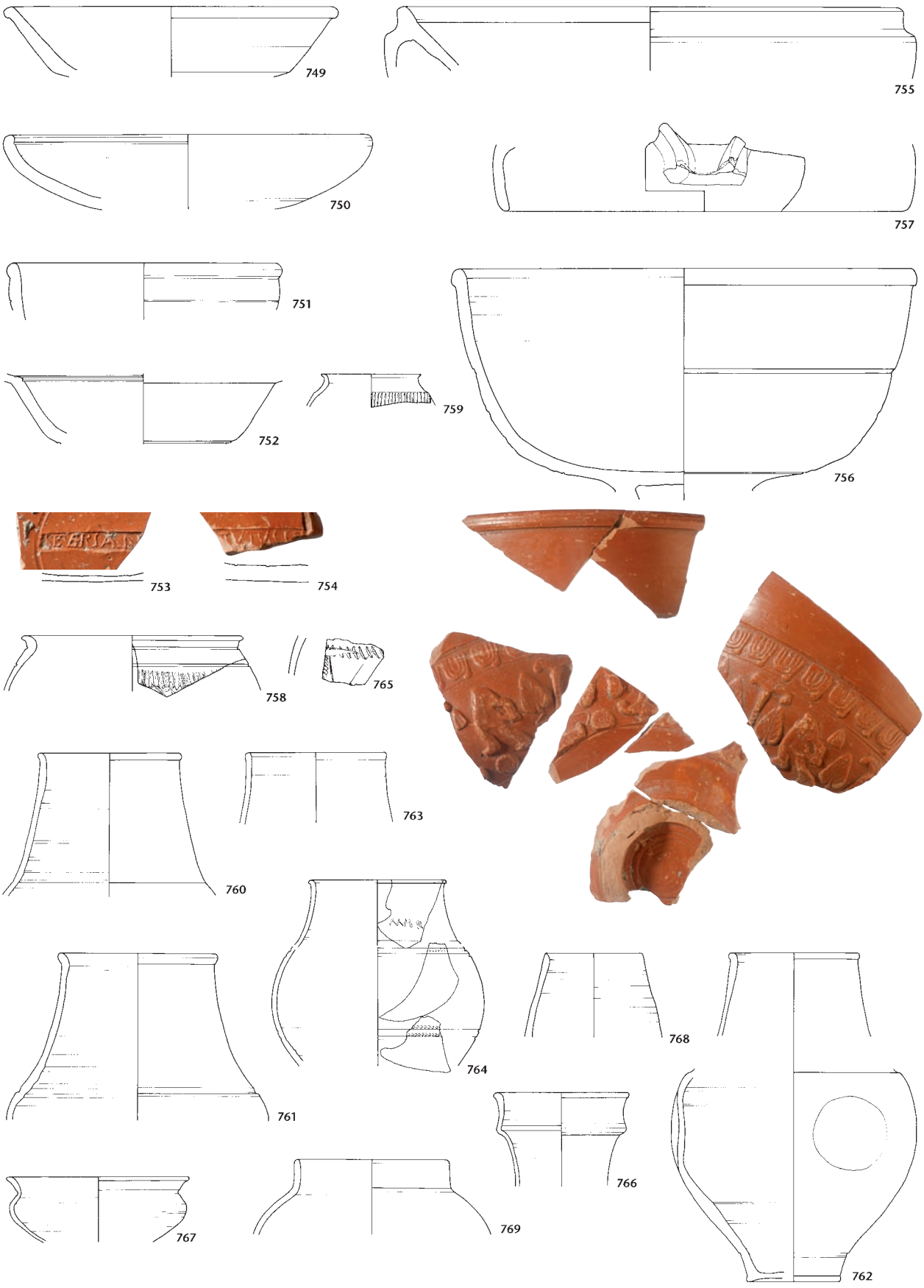


Abb. 191: Augst BL, Insula 5/9, Heidenlochstrasse (Grabung 1965–1967.052). Ensemble HL11: Funde aus dem oberen Teil der Verfüllung des südlichen Strassengrabens der Heidenlochstrasse. M. 1:3 (Stempel M. 2:3). ***749–757*** *Terra Sigillata,* ***758–767*** *Glanztonkeramik,* ***768, 769*** *Gebrauchskeramik.*

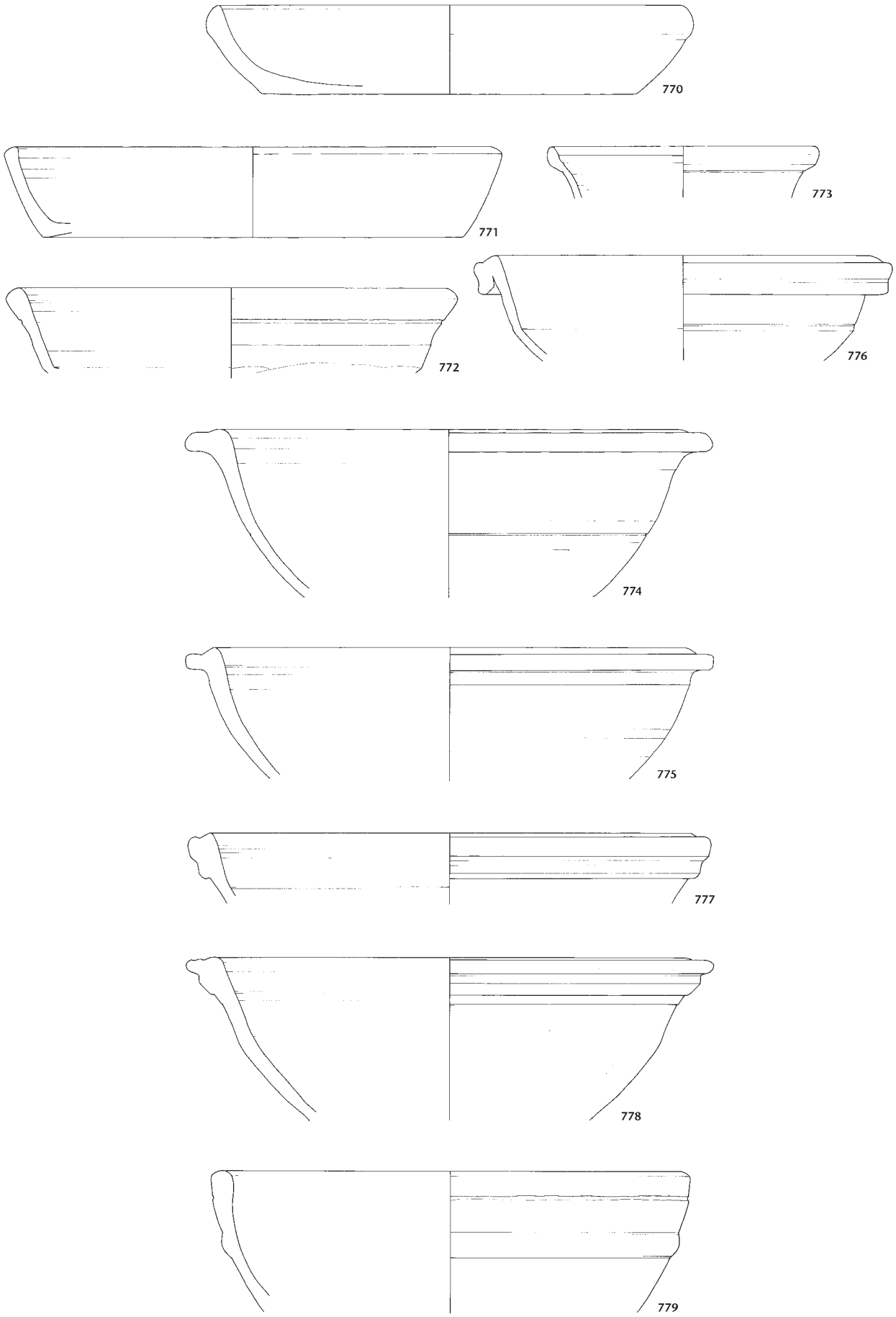


Abb. 191 (Fortsetzung): Augst BL, Insula 5/9, Heidenlochstrasse (Grabung 1965–1967.052). Ensemble HL11: Funde aus dem oberen Teil der Verfüllung des südlichen Strassengrabens der Heidenlochstrasse. M. 1:3. ***770–779*** *Gebrauchskeramik.*

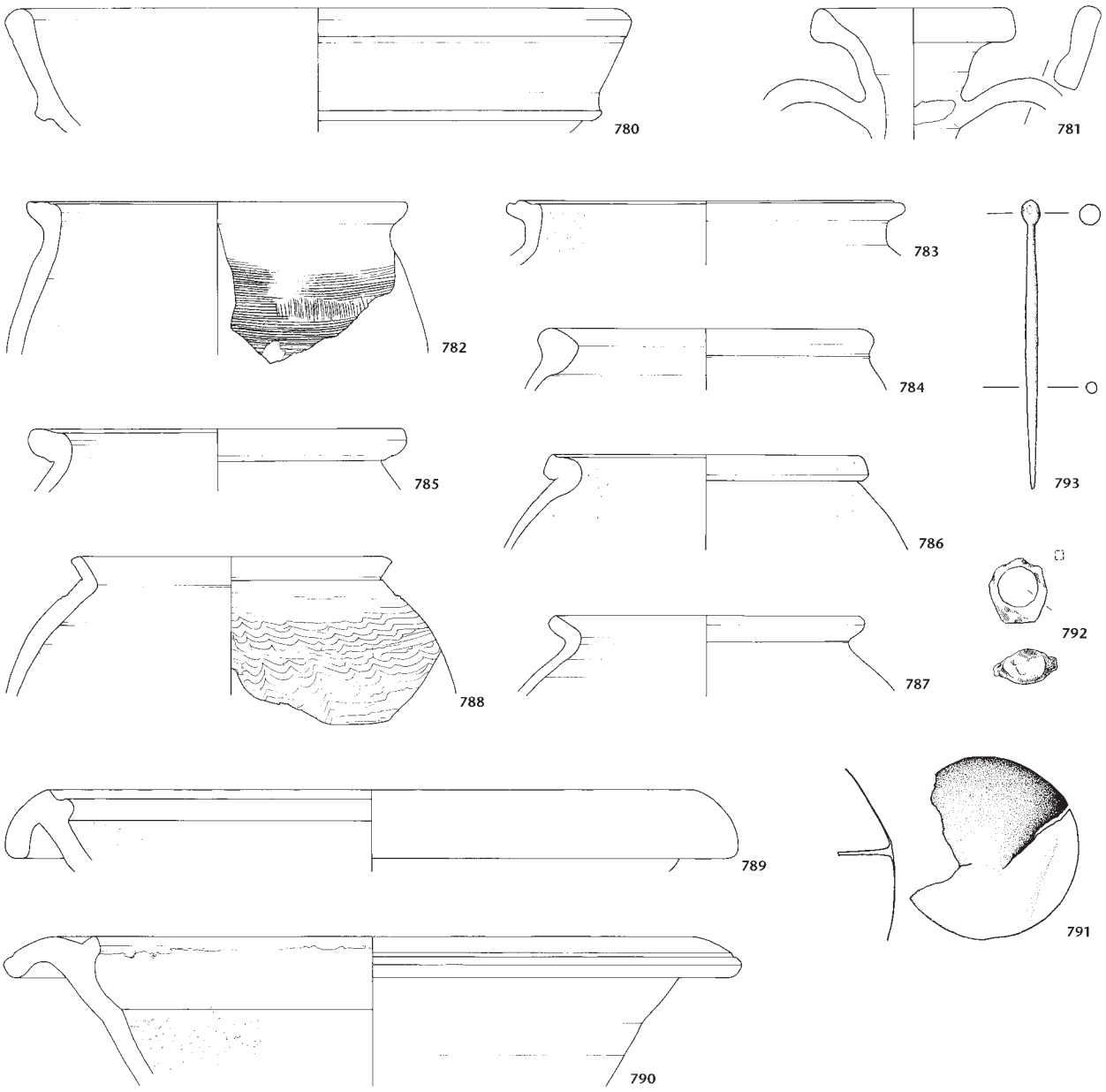


Abb. 191 (Fortsetzung): Augst BL, Insula 5/9, Heidenlochstrasse (Grabung 1965–1967.052). Ensemble HL11: Funde aus dem oberen Teil der Verfüllung des südlichen Strassengrabens der Heidenlochstrasse. M. 1:3 (Bronze, Eisen, Bein M. 1:2). ***780–790*** *Gebrauchskeramik,* ***791*** *Bronze,* ***792*** *Eisen,* ***793*** *Bein.*

767 RS, Glanztonschälchen. Ton hellgrau mit schwarzem Überzug. – Inv. 1966.3205, FK X06214.

768 2 RS, eiförmiger Becher. Ton grau, ohne Überzug. – Inv. 1966.5041.5051, FK X06202. – Vgl.: Schatzmann 2000, Abb. 45,93.

769 RS, Steilrandtopf. Ton grau mit schwarzem, matt glänzendem Überzug. – Inv. 1965.3191, FK X04717.

770 2 RS, Teller mit eingebogenem Rand. Ton orange, ohne Überzug. – Inv. 1966.3232a.b, FK X06214.

771 RS, Teller mit leicht eingebogenem, verdicktem Steilrand. Ton hellgrau und beige. – Inv. 1966.3186, FK X06214.

772 RS, Teller mit verdicktem Steilrand. Ton grau, etwas mit Kalk gemagert. – Inv. 1965.3346, FK X04714.

773 RS, Schüssel mit Bandrand. Ton orange, geglättet. – Inv. 1966.3208, FK X06214.

774 RS, Schüssel mit gerilltem Horizontalrand. Ton orange. – Inv. 1965.3214, FK X04717. – Publ.: Bruckner 1975, 74,94.

775 4 RS, Schüssel mit gerilltem Horizontalrand. Ton orange, aussen Reste von braunem Überzug, etwas mit Kalk gemagert. – Inv. 1965.3215b, FK X04717; Inv. 1966.3222, FK X06214.

776 4 RS, Schüssel mit profiliertem Rand und Wandknick. Ton hellorangebraun mit Resten von Goldglimmer auf der Innenseite. – Inv. 1966.3213a–d, FK X06214.

777 RS, Schüssel mit profiliertem Rand und Wandknick. Ton grau. – Inv. 1965.3200, FK X04717.

778 RS, Schüssel mit profiliertem und gekehltem Rand. Ton orange, über dem Rand und auf der Innenseite roter Überzug. – Inv. 1966.5063, FK X06202. – Vgl.: Schucany u. a. 1999, 155 Taf. 75,11 (Fundensemble D.11 Augst 10).

779 2 RS, Schüssel mit profilierter Wandung. Ton orange mit Resten von Überzug innen und aussen über dem Rand. – Inv. 1965.3327, FK X04714.

780 RS, Schüssel mit profilierter Wandung. Ton orange, aussen Reste von rotem Überzug. – Inv. 1966.5075, FK X06202.
781 RS, dreihenkliger Krug mit verdicktem Trichterrand. Ton hellbraun mit Resten von weisser Engobe innen und aussen. – Inv. 1966.3233, FK X06214.
782 RS, Kochtopf mit schwach gerilltem Horizontalrand. Ton graubraun, mit Kalk gemagert. Handgemacht und auf der Aussenseite Kammstrich. – Inv. 1966.5265, FK X06204.
783 RS, Kochtopf mit gerilltem Horizontalrand und abgesetzter Schulter. Ton grauschwarz. Scheibengedreht. – Inv. 1966.3211, FK X06214.
784 RS, Kochtopf mit verdicktem Wulstrand. Ton hellbeigegrau. Scheibengedreht. – Inv. 1965.3318, FK X04714.
785 RS, Kochtopf mit fein gerilltem Rand. Ton grau, mit Kalk gemagert. Scheibengedreht. – Inv. 1966.3210, FK X06214.
786 RS, Kochtopf mit leicht gekehltem Leistenrand. Ton grau, mit Kalk und Quarz gemagert. Scheibengedreht. – Inv. 1966.5255, FK X06204.
787 RS, Kochtopf mit ausbiegendem Rand. Ton grau mit orangem Kern, mit Kalk gemagert. – Inv. 1966.5260, FK X06204.
788 RS, Kochtopf mit scharfkantig umgelegtem Rand. Ton schwarzgrau mit orangem Kern. Handgemacht, überdreht und mit wellenförmigem Kammstrich. – Inv. 1966.5261, FK X06204.
789 RS, Reibschüssel. Ton orange. Stark abgeplatzte Oberfläche. – Inv. 1966.5088, FK X06202.
790 RS, «rätische» Reibschüssel. Ton orange, mit grauem Überzug über dem Rand und rotem Überzug in der Kehlung. – Inv. 1966.5082, FK X06202.

Bronze
791 Nietknopf. Kopf ist leicht gewölbt und sitzt auf Dorn mit rechteckigem Querschnitt. – Inv. 1966.3620, FK X06202.

Eisen
792 Fingerring mit Gemme. – Inv. 1966.8125, FK X06204. – Publ.: Riha 1990, Kat. 152. Dort fälschlicherweise unter der Inv. 1966.8126 publiziert.

Bein
793 Nadel mit rundem/ovalem Kopf. – Inv. 1965.3340, FK X04714. – Publ.: Deschler-Erb 1998, Kat. 2188.

Nicht abgebildete Funde
Keramik
– Vgl. Abb. 190.

Glas
– BS, Form unbestimmbar. Nahezu farblos, durchscheinend. – Inv. 1966.5229, FK X04689. – Publ.: Rütti 1991/2, Kat. 1875.

Bein
– Facettierter Stab. – Inv. 1966.9425, FK X04689. – Publ.: Deschler-Erb 1998, Kat. 5791.

Eisen
– Nagel. – Inv. 1965.3350, FK X04714.
– Ring. – Inv. 1965.3351, FK X04714.

Die Tierknochen aus Ensemble HL11 (Elisabeth Marti-Grädel)
Die sechs Fundkomplexe enthielten insgesamt 156 Tierknochen, von denen etwas mehr als die Hälfte (n = 80; 51%) bestimmt werden konnte. Es liegen nur Knochen von Haustieren vor (Abb. 192). Das Hausrind ist am besten belegt (65%), gefolgt von Hausschwein (24%) und Schaf/Ziege (11%). Ein nicht genau bestimmbarer Knochen stammt von einer Haus- oder Wildgans.

Ensemble HL11 datiert in die Zeit zwischen 250 und 260/270 n. Chr. Es wurde daher bei der diachronen und bei der räumlichen Auswertung der Tierknochenfunde berücksichtigt und der vierten Zeitstufe (250–270 n. Chr.) zugewiesen (vgl. Exkurs 2, unten S. 319 ff.).

		Total	(%)	X04689	X04714	X04717	X06202	X06204	X06214
Fragmentzahlen	*Bos taurus* (Hausrind)	52	65,0	3	7	3	12	18	9
	Ovis/Capra (Hausschaf/Hausziege)	9	11,3		1		2	3	3
	Sus domesticus (Hausschwein)	19	23,8	1	1	3	3	6	5
	TOTAL HAUSTIERE	80	100,0	4	9	6	17	27	17
	TOTAL WILDTIERE	0	0,0	0	0	0	0	0	0
	TOTAL HAUS- UND WILDTIERE	80	100,0	4	9	6	17	27	17
	Anser dom./spec. (Haus-/Wildgans)	1							1
	TOTAL GROSSGRUPPEN	1		0	0	0	0	0	1
	Unbestimmbar, ohne Grössenangabe	75		6	12	14	15	22	6
	TOTAL UNBESTIMMBAR	75		6	12	14	15	22	6
	GESAMTTOTAL	156		10	21	20	32	49	24
Gewicht (g)	Bestimmbare	2880		120	255	140	610	925	830
	Unbestimmbare	1695		375	215	275	305	365	160
	Total	4575		495	470	415	915	1290	990

Abb. 192: Augst BL, Insula 5/9, Heidenlochstrasse (Grabung 1965–1967.052). Ensemble HL11: Tierartenliste, Fragmentzahlen und summarische Gewichtsangaben (g).

Naturwissenschaftliche Untersuchungen zu den Funden aus dem Brandschutt der Phase 11

Die Tierknochen aus dem jüngsten Gehhorizont und aus dem Brandschutt in den Räumen A und B

Elisabeth Marti-Grädel

Bei der Bewertung der Tierknochenreste aus dem jüngsten Gehhorizont in Raum A sowie aus dem Brandschutt in den Räumen A und B kann davon ausgegangen werden, dass diese wohl an Ort und Stelle in den Boden gekommen sind. Die Zusammensetzung der Knochenfunde aus diesen Ensembles dürfte folglich ein repräsentativeres Bild der Ernährungsgewohnheiten der Bewohner sein und konkretere Rückschlüsse bezüglich der Funktion der Räume A und B am Ende von Phase 11 liefern als die Knochenreste aus den anderen Räumen und Phasen, bei denen Verlagerungen und Einmischungen von Abfällen nicht ausgeschlossen werden können.

In welchem Masse die Brandkatastrophe auch Spuren an den Knochen hinterlassen hat, kann nicht mehr beurteilt werden: Die Knochen stammen hauptsächlich aus Fundkomplexen der Grabung 1965–1967.052, bei denen die Codierungen zum Erhaltungszustand nicht mehr sicher aufgeschlüsselt werden können (s. o. S. 30). Lediglich aus dem Erdgeschoss von Raum A liegen zwei Fundkomplexe der Grabung 2002.063 und somit auch Angaben zum Erhaltungszustand vor (vgl. unten): Von den 50 Knochen weisen acht (16%) Verkohlungs- und Kalzinierungsspuren auf, die bei der Brandkatastrophe entstanden sein könnten. An den Knochenresten aus dem Brandschutt von Raum B der Grabung 2002.063 fanden sich hingegen keine Brandspuren. Diese Feststellungen decken sich in etwa mit den Beobachtungen am archäologischen Fundgut, das weit weniger Brandspuren aufweist, als aufgrund der Befunde zu erwarten wäre.

Die nachstehend vorgestellten Ensembles aus dem jüngsten Gehhorizont in Raum A sowie aus dem Brandschutt in den Räumen A und B datieren in die Zeit zwischen 250 und 260/270 n. Chr. und wurden für die diachrone und für die räumliche Auswertung der Tierknochenfunde der vierten Zeitstufe (250–270 n. Chr.) zugewiesen (vgl. Exkurs 2, unten S. 319 ff.).

Die Tierknochen aus dem jüngsten Gehhorizont in Raum A (Ensembles A11-GH und A11-F4)

Basis: FK X06523, FK X06543

Von den vier Fundkomplexen dieser beiden Ensembles enthielten nur zwei – FK X06523 und FK X06543 – Knochenreste (vgl. oben Abb. 12). Sie stammen aus der Grabung 1965–1967.052. Die Bestimmungsdaten basieren somit auf den von Elisabeth Schmid im Feld erfassten Notizen und beinhalten nur Fragmentzahlen, aber keine detaillierten Angaben zum Knochengewicht. Auch bezüglich des Erhaltungs- und Bruchkantenzustands der Knochen sind keine Angaben vorhanden.

Den Tierknochen aus dem jüngsten Gehhorizont in Raum A können die ebenfalls nicht sehr zahlreichen Funde

		A11-GH				A11-F4		Total A11-GH/F4	
		X06523	X06543	Total	(%)	Z01664	(%)	n	%
Fragmentzahlen	*Bos taurus* (Hausrind)	11	4	15	18,3	3	27,3	18	19,4
	Capra hircus (Hausziege)	2		2	2,4			2	2,2
	Ovis/Capra (Hausschaf/Hausziege)	5		5	6,1			5	5,4
	Sus domesticus (Hausschwein)	34	2	36	43,9	6	54,5	42	45,2
	Equus spec. (Pferd/Maultier/Maulesel)		2	2	2,4			2	2,2
	Gallus domesticus (Haushuhn)	19	1	20	24,4	2	18,2	22	23,7
	TOTAL HAUSTIERE	71	9	80	97,6	11	100,0	91	97,8
	Perdix perdix (Rebhuhn)		1	1	1,2			1	1,1
	Ostrea edulis (Auster)	1		1	1,2			1	1,1
	TOTAL WILDTIERE	1	1	2	2,4	0	0,0	2	2,2
	TOTAL HAUS- UND WILDTIERE	72	10	82	100,0	11	100,0	93	100,0
	Aves indet. (Unbest. Vogel)	1		1				1	
	TOTAL GROSSGRUPPEN	1	0	1				1	
	Unbestimmbar, ohne Grössenangabe	23	12	35		4		39	
	TOTAL UNBESTIMMBAR	23	12	35		4		39	
	GESAMTTOTAL	96	22	118		15		133	
Gewicht (g)	Bestimmbare	1210	335	1545		–		1545	
	Unbestimmbare	295	140	435		–		435	
	Total	1505	475	1980		–		1980	

Abb. 193: Augst BL, Insula 5/9, Raum A (Grabung 1965–1967.052). Ensembles A11-GH und A11-F4: Tierartenliste, Fragmentzahlen und summarische Gewichtsangaben (g).

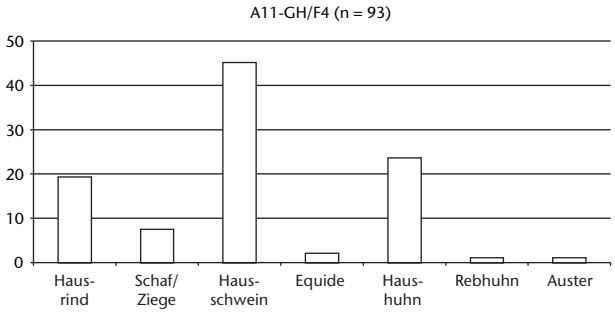


Abb. 194: Augst BL, Insula 5/9, Raum A (Grabung 1965–1967.052). Ensembles A11-GH und A11-F4: Anteile der nachgewiesenen Arten nach Fragmentzahlen (Haus- und Wildtierknochen = 100%).

		Haus-rind	Schaf/ Ziege	Haus-schwein
A11-GH/F4	Total	18	7	42
	Jungtiere	0	1	5
	Jungtieranteil (%)	*0,0*	*14,3*	*11,9*
A11-EG (Erdgeschoss)	Total	41	18	11
	Jungtiere	4	7	3
	Jungtieranteil (%)	*9,8*	*38,9*	*27,3*
A11-GH/F4 und A11-EG (Erdgeschoss)	Total	59	25	53
	Jungtiere	4	8	8
	Jungtieranteil (%)	*6,8*	*32,0*	*15,1*
A11-OG (Obergeschoss)	Total	78	37	76
	Jungtiere	8	10	29
	Jungtieranteil (%)	*10,3*	*27,0*	*38,2*

Abb. 195: Augst BL, Insula 5/9, Raum A (Grabungen 1965–1967.052 und 2002.063). Ensembles A11-GH/F4, A11-EG und A11-OG: Fragmentzahlen und Anteile der Jungtiere bei den wichtigsten Haustierarten (Hausrind, Schaf/ Ziege und Hausschwein).

(n = 11) aus dem Bereich der Feuerstelle F4 (FK Z01664) zugewiesen werden. Alle Fundkomplexe zusammen lieferten insgesamt 133 Knochenreste, von denen 93 (70%) bestimmt werden konnten (Abb. 193). Der weitaus grösste Teil der Knochenreste stammt aus FK X06523. Mit Ausnahme eines Fragments vom Rebhuhn sowie einer Austernschale, sind nur Knochenreste von Haustieren belegt. Unter diesen ist das Hausschwein (n = 42 oder 45% der Haus- und Wildtierknochen) am häufigsten nachgewiesen (Abb. 194). Ungewöhnlich gut vertreten ist zudem das Haushuhn (n = 22;

	Hausrind	Schaf/ Ziege	Haus-schwein	Haus-huhn	Equide	Rebhuhn	Auster	Vogel unbest.	Unbe-stimmbare
Os cornu	1	2							
Cranium			1						
Mandibula			6						
Dentes inf.					1				
Hyoid									
Schädel	1	2	7	0	1	0	0	0	0
Wirbel									7
Costa									24
Coracoid				2					
Clavicula				1					
Rumpf	0	0	0	3	0	0	0	0	28
Scapula									
Humerus			1	2					
Femur		1		1		1			
Stylopodium	0	1	1	3	0	1	0	0	0
Radius			1	8					
Ulna			1						
Tibia (Vögel:Tibiotarsus)			1	2					
Fibula			1						
Zygopodium	0	0	4	10	0	0	0	0	0
Carpalia/Tarsalia	1		1						
Metapodien	9	3	16	4	1			1	
Phalangen	7	1	13						
Autopodium	17	4	30	4	1	0	0	1	0
Röhrenknochen unbest.									3
Plattenknochen unbest.									4
Unbest.				2			1		1
Total	18	7	42	22	2	1	1	1	39

Abb. 196: Augst BL, Insula 5/9, Raum A (Grabung 1965–1967.052). Ensemble A11-GH/F4: Skelettteilliste, Fragmentzahlen.

24%). Das Hausrind steht nach Menge der Fragmentzahlen erst an dritter Stelle (n = 18; 19%). Weiter belegt sind Knochenreste von Schaf/Ziege (n = 7; 8%), von denen zwei als Ziegenreste identifiziert werden konnten, sowie solche von Equiden (n = 2; 2%). Für Letztere liegt bei beiden Knochen keine genauere Bestimmung vor. Infrage kommen Hauspferd oder Maultier, mit weniger grossen Wahrscheinlichkeit auch Esel oder Maulesel.

Die geringe Zahl der Knochenfunde bietet eine statistisch wenig verlässliche Grundlage. Dennoch darf festgehalten werden, dass die hohen Anteile von Hausschwein und Haushuhn sowie der Nachweis des Rebhuhns und der Auster für einen gehobenen Ernährungsstatus am Ende von Phase 11 sprechen.

Für eine zuverlässige Bewertung der Nahrungsqualität aufgrund der Alterszusammensetzung ist die Datengrundlage im Gehhorizont hingegen zu klein. Der Anteil an Jungtieren unter den Resten aus dem jüngsten Gehhorizont scheint gegenüber den übrigen Funden aus dem Erdgeschoss und aus dem Obergeschoss jedoch geringer zu sein (Abb. 195). So fanden sich im Gehhorizont unter den Knochen vom Hausrind keine Reste von einem Jungtier, von Schaf/Ziege lediglich einer (14%), vom Hausschwein fünf (12%).

Wegen der geringen Fundzahlen ist auch die Bewertung der Skelettteilzusammensetzung problematisch. Bei den Skelettteilspektren von Hausrind, Schaf/Ziege und Hausschwein fallen aber die zahlreichen Hand- und Fussknochen (Autopodium) auf (Abb. 196). Neben den Teilen des Autopodiums liegen beim Hausrind nur noch ein Hornzapfen vor, bei Schaf/Ziege ebenfalls zwei Hornzapfen sowie ein Oberschenkelknochen (Femur). Die Kombination von Hand- und Fussknochen mit Schädelteilen und Hornzapfen wird gewöhnlich als Indikator für das Vorhandensein von Gerbereiabfällen gewertet, da die Häute zusammen mit den noch im Fell haftenden Skelettteilen zum Gerber gelangten. Angesichts der geringen Fundmenge und der Befundsituation scheint uns diese Interpretation aber unwahrscheinlich. Die zahlreichen Fragmente vom Autopodium des Hausrinds sind indes nicht aussergewöhnlich, sondern für viele Tierknochenkomplexe aus Augusta Raurica typisch (vgl. Exkurs 2, unten S. 319 ff.). Bei diesen fleischarmen Skelettelementen könnte es sich entweder um Schlachtabfälle handeln oder sie sind für die Zubereitung von Fleischbrühen und Suppen verwendet worden. Dies mag auch bei den von Schaf/Ziege stammenden Autopodien der Fall gewesen sein. Die Hand- und Fussteile des Hausschweins stellten dagegen eine Delikatesse dar («Schweinsfüsschen»).

Die Tierknochen aus dem Brandschutt des Erdgeschosses in Raum A (Ensemble A11-EG)

Basis: FK E06092, FK E06778, FK X04634, FK X06520

Von den insgesamt 14 diesem Ensemble zuweisbaren Fundkomplexen enthielten nur vier Knochenfunde (vgl. oben Abb. 12). Zwei dieser Fundkomplexe (Abb. 197; FK E06092, FK E06778) stammen aus der Grabung 2002.063. Nur für diese Knochenreste sind Angaben zur Erhaltung vorhanden. Von den 50 Knochenresten aus diesen beiden Fundkomplexen weisen nur drei (6%) eine aufsplitternde Oberfläche auf, sodass insgesamt von einer guten Erhaltung ausgegan-

	Fragmentzahlen						Gewicht (g)					
	E06092	E06778	X04634	X06520	Total	(%)	E06092	E06778	Total	%	X04634	X06520
Bos taurus (Hausrind)	12		3	26	41	50,0	257,3		257,3	66,9	–	–
Capra hircus (Hausziege)				2	2	2,4				0,0	–	–
Ovis/Capra (Hausschaf/Hausziege)	12			4	16	19,5	51,6		51,6	13,4	–	–
Sus domesticus (Hausschwein)	10		1		11	13,4	69,7		69,7	18,1	–	–
Gallus domesticus (Haushuhn)	2	1		9	12	14,6	4,5	1,7	6,2	1,6	–	–
TOTAL HAUSTIERE	36	1	4	41	82	100,0	383,1	1,7	384,8	100,0	–	–
TOTAL WILDTIERE	0	0	0	0	0	0,0	0	0	0	0,0	–	–
TOTAL HAUS- UND WILDTIERE	36	1	4	41	82	100,0	383,1	1,7	384,8	100,0	–	–
Galliformes indet. (unbest. Hühnervogel)	1				1		0,1		0,1		–	–
TOTAL GROSSGRUPPEN	1	0	0	0	1		0,1		0,1		–	–
Unbestimmbar, ohne Grössenangabe	2		1	31	34		0,2		0,2		–	–
Unbestimmbar, klein	5				5		4,7		4,7		–	
Unbestimmbar, mittel	1				1		1,5		1,5		–	–
Unbestimmbar, gross	4				4		31,2		31,2		–	–
TOTAL UNBESTIMMBAR	12	0	1	31	44		37,6	0	37,6		15	285
GESAMTTOTAL	49	1	5	72	127		420,8	1,7	422,5		1580	880

Abb. 197: Augst BL, Insula 5/9, Raum A (Grabungen 1965–1967.052 und 2002.063). Ensemble A11-EG: Tierartenliste, Fragmentzahlen und Gewicht (g). Detaillierte Gewichtsangaben sind nur für FK E06092 und FK E06778 vorhanden.

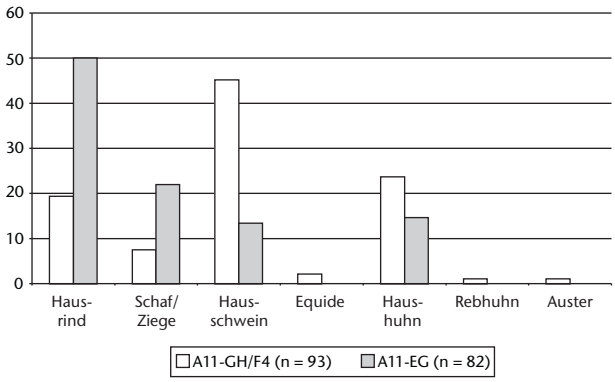


Abb. 198: Augst BL, Insula 5/9, Raum A (Grabungen 1965–1967.052 und 2002.063). Ensembles A11-GH/F4 und A11-EG: Anteile der nachgewiesenen Arten nach Fragmentzahlen im Gehhorizont (A11-GH/F4) im Vergleich zum Erdgeschoss (A11-EG) (Haus- und Wildtierknochen = 100%).

gen werden kann. Versinterungsspuren an einigen Knochen (n = 7; 14%) deuten auf ein feuchtes Einlagerungsmilieu bzw. Stauwasser hin. Alle Knochenfragmente haben scharfe (nicht verrundete) Bruchkanten, sodass eine starke mechanische Belastung der Reste durch Begehung oder Verlagerungen ausgeschlossen werden kann. Der überwiegende Teil der Knochenreste zeigt ausschliesslich oder mehrheitlich alte Bruchkanten (74%) oder ist vollständig erhalten (12%). Das Vorhandensein von Schnitt- und Hackspuren an einzelnen Fragmenten (n = 8; 16%) weist darauf hin, dass es sich um Schlacht- oder Speiseabfälle handelt. Acht Fragmente (16%) weisen Brandspuren auf. Dabei handelt es sich um ganz oder partiell kalzinierte sowie teilweise verkohlte Knochen, was auf eine starke Hitzeeinwirkung hinweist. Ob die Brandspuren an den Knochen im Zusammenhang mit der Brandkatastrophe stehen, ist aber nicht sicher.

Ensemble A11-EG umfasst 127 Knochenfragmente. Davon konnten 82 (65%) bestimmt werden (Abb. 197). Alle bestimmbaren Knochen stammen von Haustieren. Am besten vertreten ist das Hausrind (n = 41; 50%), gefolgt von Schaf/Ziege (n = 18; 22%). Die restlichen Haustierknochen entfallen praktisch gleichermassen auf das Haushuhn (n = 12; 15%) und das Hausschwein (n = 11; 13%). Wie bei den Funden aus dem Gehhorizont, der die allerletzte Phase der Benutzung des Erdgeschosses repräsentiert, ist der Anteil des Haushuhns auffallend hoch (Abb. 198). Dagegen unterscheidet sich die Zusammensetzung der Haussäugerarten von den Funden aus dem Gehhorizont durch den weniger hohen Hausschweinanteil. Die Erfassung des Knochengewichts in den beiden Fundkomplexen der Grabung 2002.063 (FK E06092 und FK E06778) erlaubt auch eine Quantifizierung anhand der Gewichtsanteile, die die Bedeutung der nachgewiesenen Arten bezüglich der nutzbaren Fleischmenge veranschaulicht (Abb. 197). Demnach hatte das Hausrind mit einem Gewichtsanteil von 67% mit Abstand die grösste Bedeutung – dies im Vergleich zum ganzen Ensem-

	Hausrind	Ziege	Schaf/Ziege	Hausschwein	Haushuhn	Vogel unbest.	Unbestimmbare
Os cornu		2	2				
Cranium	6						1
Mandibula	4		1				
Zähne			1	1			
Hyoid	1						
Schädel	11	2	4	1	0	0	1
Wirbel	3		1	1			4
Costa	3		3	4			16
Coracoid					1		
Rumpf	6	0	4	5	1	0	20
Scapula	1		2	2			
Humerus				1	2		1
Femur	1				2		
Stylopodium	2	0	2	3	4	0	1
Radius	1		1			1	
Ulna	2				1		
Tibia (Vögel: Tibiotarsus)	4		1		4		
Zygopodium	7	0	2	0	5	1	0
Metapodien	6		4	1	2		
Phalangen	9		2	1			
Autopodium	15	0	6	2	2	0	0
Röhrenknochen unbest.							16
Unbest.							6
Total	41	2	18	11	12	1	44

Abb. 199: Augst BL, Insula 5/9, Raum A (Grabungen 1965–1967.052 und 2002.063). Ensemble A11-EG: Skelettteilliste, Fragmentzahlen.

ble geringeren Fragmentanteil von 32%. Das Hausschwein und Schaf/Ziege – Letztere sind in den beiden Fundkomplexen nach Fragmentzahlen gleich stark vertreten wie das Hausrind – erreichen 18% bzw. 13%. Nur von geringer Bedeutung bezüglich der Fleischmenge ist gemäss der Gewichtsanteile das Haushuhn (1,6%; Fragmentanteil: 8%).

Bezüglich der Artenzusammensetzung ist, wie schon bei den Knochenfunden aus dem Gehhorizont, auf die geringe Datengrundlage hinzuweisen. Dementsprechend ist auch die Grundlage für eine gute Bewertung der Alterszusammensetzung sehr gering. Die vorliegenden Zahlen für Ensemble A11-EG weisen aber auf relativ mehr Jungtiere als im Gehhorizont hin (Abb. 195). In den Skelettteilspektren von Hausrind und Schaf/Ziege sind wie bei den Funden aus dem Gehhorizont wiederum Hand- und Fussknochen unter den Extremitätenresten am häufigsten vertreten (Abb. 199).

Die Tierknochen aus dem Brandschutt des Obergeschosses in Raum A (Ensemble A11-OG)

Basis: FK X04606, FK X04621, FK X04624, FK X04627, FK X04644, FK X04648, FK X04650, FK X04652, FK X04658, FK X04671, FK X04675, FK X04677, FK X04685, FK X04715, FK X04716, FK X04750, FK X06213, FK X06521, FK X06536, FK X06544, FK X06545, FK Z01678

Der Brandschutt des Obergeschosses in Raum A lieferte deutlich mehr Funde als die Ensembles im Erdgeschoss: Von den insgesamt 53 Fundkomplexen aus Ensemble A11-OG enthielten 22 Fundkomplexe Knochenreste (vgl. oben Abb. 12). Die Fundkomplexe stammen alle aus der Grabung 1965–1967.052; die osteologischen Bestimmungsdaten enthalten folglich nur Angaben zu den Fragmentzahlen. Detaillierte Angaben zum Knochengewicht sowie zum Erhaltungszustand fehlen.

Insgesamt liegen 369 Knochenfragmente vor, von denen gut die Hälfte (n = 208; 56,4%) bestimmt werden konnte (Abb. 200). Wie in den anderen untersuchten Ensembles sind praktisch nur Reste von Haustieren vertreten. Wildtiere sind nur durch einen einzigen Knochen vom Feldhasen vertreten. Der Fragmentanteil an Wildtierknochen beläuft sich somit auf knapp 0,5% (Abb. 201).

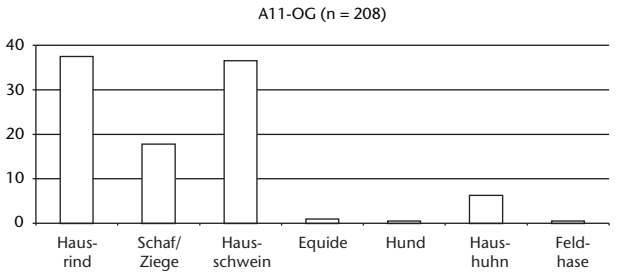


Abb. 201: Augst BL, Insula 5/9, Raum A (Grabung 1965–1967.052). Ensemble A11-OG: Anteile der nachgewiesenen Arten nach Fragmentzahlen (Haus- und Wildtierknochen = 100%).

		Total	%	X04606	X04621	X04624	X04627	X04644	X04648	X04650	X04652	X04658	X04671	X04675
Fragment-zahlen	*Bos taurus* (Hausrind)	78	37,5	8	2	1	1	2	2		5	2	4	6
	Ovis aries (Hausschaf)	3	1,4											
	Capra hircus (Hausziege)	3	1,4								1			
	Ovis/Capra (Hausschaf/Hausziege)	31	14,9	1			2	1	3	1	2			1
	Sus domesticus (Hausschwein)	76	36,5	3	2	2	1				14	3		6
	Equus spec. (Pferd/Maultier/Maulesel)	2	1,0											
	Canis familiaris (Hund)	1	0,5											
	Gallus domesticus (Haushuhn)	13	6,3	1					1		3			
	TOTAL HAUSTIERE	207	99,5	13	4	3	4	3	6	1	25	5	4	13
	Lepus europaeus (Feldhase)	1	0,5	1										
	TOTAL WILDTIERE	1	0,5	1	0	0	0	0	0	0	0	0	0	0
	TOTAL HAUS- UND WILDTIERE	208	100,0	14	4	3	4	3	6	1	25	5	4	13
	Kleine Wiederkäuer	2									2			
	Anser dom./sp. (Haus-/Wildgans)	1												
	TOTAL GROSSGRUPPEN	3		0	0	0	0	0	0	0	2	0	0	0
	Unbestimmbar, ohne Grössenangabe	158		16		8	5	1	8	6	20	8	3	9
	TOTAL UNBESTIMMBAR	158		16	0	8	5	1	8	6	20	8	3	9
	GESAMTTOTAL	369		30	4	11	9	4	14	7	47	13	7	22
Gewicht (g)	Bestimmbare	5530	69,3	450	240	40	85	70	80	15	460	80	110	395
	Unbestimmbare	2455	30,7	255		90	90	5	150	120	165	75	80	85
	Total	7985	100	705	240	130	175	75	230	135	625	155	190	480

Abb. 200: Augst BL, Insula 5/9, Raum A (Grabung 1965–1967.052). Ensemble A11-OG: Tierartenliste, Fragmentzahlen und summarische Gewichtsangaben (g).

	Haus-rind	Schaf/ Ziege	Haus-schwein	Equide	Hund	Haus-huhn	Feld-hase	Kl. Wie-derkäuer	Haus- oder Wildgans	Unbe-stimmbare
Os cornu	1	4								
Cranium	1		5							
Mandibula	4	3	5		1					
Zähne	3	0	6	1	0	0	0	0	0	0
Hyoid	1									
Total Schädel	10	7	16	1	1	0	0	0	0	0
Wirbel	1	1								30
Rippen										71
Sternum			1							
Coracoid						1				
Total Rumpf	1	1	1	0	0	1	0	0	0	101
Scapula	2		2							
Humerus	1	4	2			1				
Pelvis	2		3				1			
Femur	1		2			1				
Total Stylopodium	6	4	9	0	0	2	1	0	0	0
Radius	2		4			1				
Ulna		2	5			4			1	
Tibia (Vögel:Tibiotarsus)		3	5	1		1				
Fibula			3							
Total Zygopodium	2	5	17	1	0	6	0	0	1	0
Carpalia/Tarsalia	1	4	5							
Metapodien	17	12	22			4				
Phalangen	40	3	5					2		
Total Autopodium	58	19	32	0	0	4	0	2	0	0
Röhrenknochen indet.										42
Plattenknochen indet.										11
indet.	1	1	1							4
Gesamttotal	78	37	76	2	1	13	1	2	1	158

Abb. 202: Augst BL, Insula 5/9, Raum A (Grabung 1965–1967.052). Ensemble A11-OG: Skelettteilliste, Fragmentzahlen.

X04677	X04685	X04715	X04716	X04750	X06213	X06521	X06536	X06544	X06545	Z01678		
11		2	3	2	1		10	4	12		*Bos taurus* (Hausrind)	Fragment-zahlen
										3	*Ovis aries* (Hausschaf)	
1								1			*Capra hircus* (Hausziege)	
7	3	1			1		2	4	2		*Ovis/Capra* (Hausschaf/Hausziege)	
6	2	3	1	1	3	5	4	6	7	7	*Sus domesticus* (Hausschwein)	
		1		1							*Equus spec.* (Pferd/Maultier/Maulesel)	
							1				*Canis familiaris* (Hund)	
1				1	1	1	1		3		*Gallus domesticus* (Haushuhn)	
26	5	7	4	5	6	6	18	15	24	10	TOTAL HAUSTIERE	
											Lepus europaeus (Feldhase)	
0	0	0	0	0	0	0	0	0	0	0	TOTAL WILDTIERE	
26	5	7	4	5	6	6	18	15	24	10	TOTAL HAUS- UND WILDTIERE	
											Kleine Wiederkäuer	
									1		Anser dom./sp. (Haus-/Wildgans)	
0	0	0	0	0	0	0	0	0	1	0	TOTAL GROSSGRUPPEN	
13	9	2	1	5	8	7		9	18	2	Unbestimmbar, ohne Grössenangabe	
13	9	2	1	5	8	7	0	9	18	2	TOTAL UNBESTIMMBAR	
39	14	9	5	10	14	13	18	24	43	12	GESAMTTOTAL	
1245	105	180	115	120	85	25	750	280	425	175	Bestimmbare	Gewicht (g)
305	440	90	0	85	85	100		50	165	20	Unbestimmbare	
1550	545	270	115	205	170	125	750	330	590	195	Total	

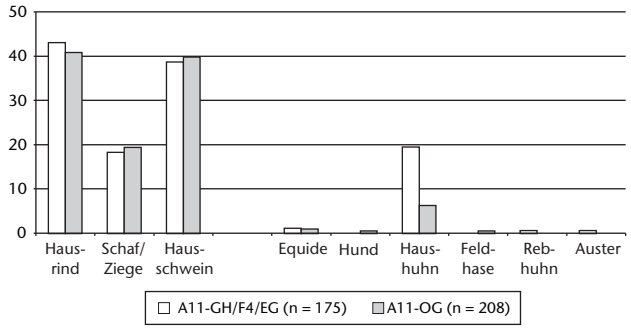


Abb. 203: Augst BL, Insula 5/9, Raum A (Grabungen 1965–1967.052 und 2002.063). Phase 11: Vergleich der Artenanteile auf der Grundlage der Fragmentzahlen zwischen Erdgeschoss (Ensembles A11-GH/F4 und A11-EG) und Obergeschoss (Ensemble A11-OG). Anteile von Hausrind, Schaf/Ziege und Hausschwein = 100%; Anteile der übrigen Arten innerhalb der Haus- und Wildtierknochen.

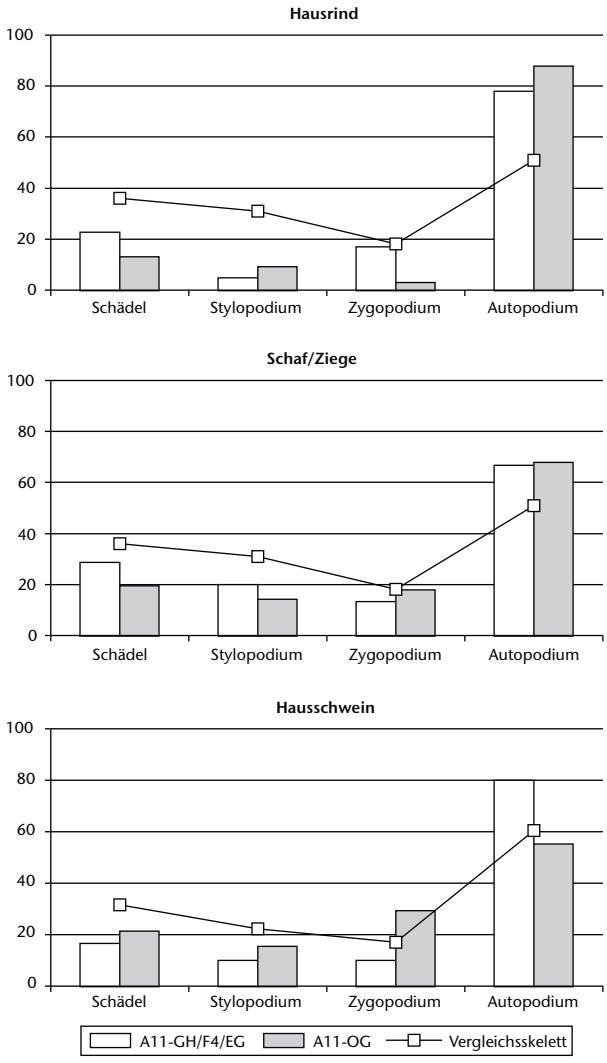


Abb. 204: Augst BL, Insula 5/9, Raum A (Grabungen 1965–1967.052 und 2002.063). Vergleich der Skelettverteilungen der wichtigsten Haustierarten (Hausrind, Schaf/Ziege und Hausschwein) auf der Grundlage der Fragmentzahlen zwischen Erdgeschoss (Ensembles A11-GH/F4 und A11-EG) und Obergeschoss (Ensemble A11-OG) und zu einem Vergleichsskelett.

Unter den Haustieren sind das Hausrind und das Hausschwein praktisch gleich stark vertreten (37–38%), gefolgt von Schaf/Ziege mit einem Anteil von rund 18%. Ebenfalls recht zahlreich sind Knochen des Haushuhns (6%). Weitere bestimmbare Knochenfragmente stammen von nicht näher bestimmbaren Equiden (n = 2; 1%) sowie vom Hund (n = 1; 0,5%). Wie im Erdgeschoss sind die Anteile der Jungtierreste bei Hausrind, Schaf/Ziege und Hausschwein hoch (Abb. 195). Die Skelettteilzusammensetzung der wichtigsten Haussäugerarten zeigt – wie in den anderen Ensembles aus Raum A – eine Häufung von Knochen der unteren Arm- und Beinregion (Abb. 202).

Vergleich und Bewertung der Tierknochen aus dem Erdgeschoss und aus dem Obergeschoss von Raum A

Eine Gegenüberstellung der Zusammensetzung der Knochenreste aus dem Erdgeschoss (Ensembles A11-GH, A11-F4, A11-EG) zu denen aus dem Obergeschoss (Ensemble A11-OG) zeigt bei den Anteilen der wichtigsten Haussäugetieren insgesamt nur wenige Unterschiede (Abb. 203). Hausrind (41–43%) und Hausschwein (39–40%) sind nach den Fragmentzahlen in beiden Geschossen etwa gleich stark vertreten. Schafe/Ziegen erreichen Anteile von 18–19%. Hingegen ist der Anteil des Haushuhns im Erdgeschoss deutlich höher (19%!) als im Obergeschoss (6%).

Im Vergleich zu anderen Tierknochenkomplexen des ausgehenden 2. und 3. Jahrhunderts aus Augusta Raurica kann der Anteil des Hausschweins in beiden Geschossen als durchschnittlich bezeichnet werden. Hingegen liegt der Anteil des Hausrinds deutlich unter dem Durchschnitt, während die Anteile von Schaf/Ziege und des Haushuhns sehr hoch sind (vgl. Exkurs 2; Abb. 310; 311).

Der Jungtieranteil ist sowohl beim Rind (7–10%) als auch bei Schaf/Ziege (27–32%) in beiden Geschossen als überdurchschnittlich hoch einzustufen. Beim Hausschwein ist der Anteil der Jungtiere im Erdgeschoss mit 15% sehr gering, im Obergeschoss dagegen überdurchschnittlich hoch (38%).

Die Skelettteilzusammensetzung bei Hausrind und Schaf/Ziege liefert für beide Geschosse jeweils ähnliche Resultate (Abb. 204). Am häufigsten sind Hand- und Fussknochen belegt. Gegenüber den Anteilen in einem Vergleichsskelett (vgl. Exkurs 2, unten S. 331) ist diese Körperregion (Autopodium) als einzige überrepräsentiert. Auch unter den Hausschweinknochen beider Geschosse sind Hand- und Fussknochen am häufigsten. Im Obergeschoss sind gegenüber dem Erdgeschoss aber auch Knochen aus dem Unterarm-/Unterschenkelbereich (Zygopodium) recht zahlreich belegt. Verglichen mit den Anteilen der Skelettregionen in einem Vergleichsskelett ist der Unterarm-/Unterschenkelbereich im Obergeschoss überrepräsentiert, während im Erdgeschoss

Hand- und Fussteile übervertreten sind. Dies kann dahingehend gedeutet werden, dass im Erdgeschoss vor allem Schweinsfüsschen konsumiert wurden, im Obergeschoss dagegen auch Haxen (Eisbein, Stelzen).

Der sehr hohe Anteil an Geflügel und die hohen Jungtieranteile bei den wichtigsten Haussäugerarten weisen auf eine überdurchschnittlich gute Nahrungsqualität am Ende von Phase 11 hin. Ob diese auf die Wohlhabenheit der Bewohner in Raum A zurückzuführen ist oder – wie von der älteren Forschung vermutet – auf den Betrieb einer *taberna* (*caupona*), kann anhand der vorliegenden Tierknochen nicht entschieden werden. Die Skelettteilzusammensetzungen weisen jedenfalls gegenüber denjenigen aus anderen Fundkomplexen aus Augusta Raurica keine Besonderheiten auf und können somit auch nicht als Beleg für die Existenz einer Spezialitätenküche herangezogen werden (vgl. Exkurs 2, unten S. 319 ff.).

Die Tierknochen aus dem Brandschutt in Raum B

Von den insgesamt sechs Fundkomplexen, die dem jüngsten Benutzungshorizont in Raum B zugewiesen werden konnten, enthielt lediglich ein einziger Fundkomplex (FK E06772) Tierknochen (vgl. oben Abb. 12). Es handelte sich dabei ausnahmslos um Reste von Ovicapriden (Abb. 205). Diese umfassen 48 Hand- und Fussknochen von mindestens zwei Individuen verschiedenen Alters (adult und juvenil/subadult). Die nach Art bestimmbaren Metapodien stammen alle von der Hausziege (*Capra hircus*), weshalb auch die anderen, eigentlich nicht sicher nach Schaf oder Ziege unterscheidbaren Hand- und Fussknochen der Ziege zugewiesen wurden[478].

Alle Knochen aus diesem Ensemble sind ganz erhalten und weisen keine Bruchkanten bzw. nur wenige neu entstandene Absplitterungen auf. An zwei Carpalknochen und an einem Mittelfussknochen wurden Schnittspuren beobachtet. Die Knochen stammen also offensichtlich von geschlachteten und nicht von an Ort verendeten Tieren. Letzteres wäre angesichts der Tatsache, dass nur ein sehr kleiner Bereich von Raum B ausgegraben wurde, nicht auszuschliessen gewesen. Dank der vollständigen Erhaltung konnten etliche Knochen vermessen werden (vgl. Anhang, Tabelle 17). Die Grösse der Ziegen lag, nach der Länge der Metapodien zu schliessen, bei 65–71 cm[479].

Eine Deutung dieser vom Arten- und Skelettspektrum speziellen Knochenansammlung in Raum B ist schwierig. Es könnte sich dabei um Schlacht- oder Speiseabfall handeln oder vielleicht auch um den Teil des Rohmateriallagers einer Beinschnitzerei. Metapodien von Wiederkäuern waren jedenfalls für dieses Gewerbe ein besonders geeignetes und begehrtes Rohmaterial.

Capra hircus		n	g
Hausziege	Ossa carpi	7	9,5
	Metacarpus	2	47,0
	Phalanges ant.	10	28,4
	Metatarsus	2	56,0
	Phalanges post.	5	14,7
	Phalanges ant./post.	3	6,8
	Ossa sesamoidea	19	6,2
	GESAMTTOTAL	48	**168,6**

Abb. 205: Augst BL, Insula 5/9, Raum B (Grabung 2002.063). Ensemble B11 (FK E06772): Tier- und Skelettteilliste, Fragmentzahlen und Gewicht (g).

Die Getreidereste aus dem Brandschutt in den Räumen A und B

Marlu Kühn und Marlies Klee

Bei der Untersuchung der Pflanzenreste wurde nach der üblichen Methode des IPNA vorgegangen[480]: Die Erdproben wurden in Wasser eingeweicht; organische und anorganische Reste wurden mittels Halbflotation in drei Fraktionen aufgeteilt (4 mm, 1 mm und 0,35 mm). Aus besonders reichhaltigen bzw. grossen Fraktionen wurde aus Zeitgründen nur je eine Stichprobe untersucht, die daraus ausgelesenen Reste wurden auf das Gesamtvolumen hochgerechnet. Die Restvolumina der 1-mm-Fraktion wurden auf Besonderheiten durchgesehen.

Das Auslesen der getrockneten Pflanzenreste erfolgte mithilfe einer Stereolupe (Vergrösserung 6,3–40-fach). Die Bestimmung der Pflanzenteile erfolgte mithilfe der Vergleichssammlung des IPNA[481].

Die Materialklassen sowie die bestimmten Pflanzenteile sind in tabellarischer Form zusammengestellt. Alle Reste sind verkohlt erhalten; eine Diaspore liegt in mineralisierter Erhaltung vor. Da Nahrungspflanzen den weitaus grössten Teil aller bestimmten Samen/Früchte ausmachen, wurden die Pflanzentaxa nach ihrer Bedeutung für die menschliche Ernährung gruppiert: Getreide, Hülsenfrüchte, Ölpflanzen und Obst/Nüsse. Währenddem die ersten drei Kategorien ausschliesslich Kulturpflanzen beinhalten, umfasst die letztgenannte sowohl domestizierte Arten wie die Walnuss als auch Wildpflanzen wie die Hasel. Die Rubrik «Wildpflanzen» besteht – in diesem Fall – einzig aus Getreideunkräutern. Die Gewöhnliche Spitzklette und der Stumpfblättrige Ampfer wurden – zusammen mit den nicht näher bestimmbaren Taxa (Gattung/Familie) – in der Gruppe «Sonstige» zusammengefasst. Nicht bestimmbare Pflanzenteile bzw. Objekte sind als «Unbestimmte Reste» zusammengefasst.

478 Die Bestimmung und Datenerfassung erfolgte durch Guido Breuer.
479 Umrechnungsfaktoren nach Schramm 1967.
480 Vgl. Jacomet/Kreuz 1999, 113–153; Jacomet/Schibler 2002.
481 Die Nomenklatur der Pflanzentaxa entspricht derjenigen von Aeschimann/Heitz 2005.

Ensemble	A11	B11	
Fundkomplex	E06790	E06773	E06774
wassergesättigtes Volumen (ml)	1900	3500	2000
Stichprobe 1-mm-Fraktion	ja		ja
Stichprobe 0,35-mm-Fraktion	ja	ja	ja
Steine	XX	XXX	XX
Ziegelreste	XX	X	X
Mörtelreste	X	XX	XX
Lehm (teils mit Pflanzenabdrücken; v. a. Halmabdrücke cf. Getreide)	XXXX	X	XXX
Eisen	XXX	XXX	X
Bronze	X	X	X
Keramik	X	XXX	XXX
Schlacke	X	X	
Glas	XX		X
Mollusken	X		
Holzkohle	XXXX	XXXX	XXXX
Samen & Früchte (verkohlt)	XXXX	XX	XXXX
Samen & Früchte (mineralisiert)	X		

Abb. 206: Augst BL, Insula 5/9, Räume A und B (Grabung 2002.063). Ensemble A11 (FK E06790) und Ensemble B11 (FK E06773, FK E06774): Materialklassen Schlämmproben. X vereinzelt, XX wenig, XXX viel, XXXX dominierend.

Die Probe aus **Ensemble A11** (FK E06790) enthielt neben zahlreichen Holzkohlen auch eine sehr grosse Zahl verkohlter Samen/Früchte (Abb. 206); mit 12 765 Pflanzenresten pro Liter Sediment ist der Gehalt an Samen/Früchten in dieser Probe ausgesprochen hoch (Abb. 207). Ein einzelner mineralisierter Pflanzenrest wurde ausgelesen; er konnte nicht näher bestimmt werden.

Bei mehr als 99% aller Pflanzenreste (Abb. 208) handelt es sich um Getreidekörner; unter diesen überwiegen die Körner von Nacktweizen *(Triticum nudum)* mit einem Anteil von 92% alle anderen Taxa (Abb. 209)[482]. Neben Nacktweizen liegen ausserdem einzelne Korn-Funde von Roggen *(Secale cereale)* vor.

Unbestimmbare, jedoch ganz erhaltene Körner von Getreide *(Cerealia)* machen weniger als 10% aller Getreidekörner aus. Dieses Verhältnis spricht für eine exzellente Erhaltung der Reste in dieser Probe. Weiterhin liegen Nachweise von Walnuss *(Juglans regia),* verschiedenen grosssamigen/-früchtigen Wintergetreideunkräutern (u. a. Kornrade*, Agrostemma githago;* Windenknöterich, *Fallopia convolvulus;* Taumellolch, *Lolium temulentum;* verschiedene Wicken-Arten) und unbestimmten Wicken *(Vicia)* vor.

Die beiden Proben aus **Ensemble B11** (FK E06773, FK E06774) enthalten reichlich Holzkohlen sowie verkohlte Samen und Früchte (vgl. Abb. 206). Die Konzentration an Samen/Früchten pro Liter Sediment ist in FK E06774 mit 2617 Stück pro Liter deutlich höher als in der Probe aus FK E06773, wo sich 57 Stück pro Liter fanden (vgl. Abb. 207).

Der grösste Teil aller Pflanzenfunde wird mit 88% (FK E06773) bzw. fast 100% (FK E06774) von Getreidekörnern gestellt (vgl. Abb. 208); die meisten Körner stammen von Nacktweizen, ausserdem wurden einzelne Körner von Rispenhirse *(Panicum miliaceum)* und Roggen gefunden (vgl. Abb. 209; Anm. 482).

Der hohe Anteil unbestimmter, z. T . fragmentierter Getreidekörner zeigt die im Vergleich zur Probe aus FK E06790 deutlich schlechtere Erhaltung der Pflanzenteile auf.

Aus der Probe FK E06773 liegen ausserdem einzelne Nachweise von Walnuss und Haselnuss *(Corylus avellana)* vor. In FK E06774 wurden einzelne Diasporen typischer Wintergetreideunkräuter (z. B. Taumellolch und verschiedene Wicken-Arten) und Schalenfragmente von Walnuss gefunden.

Zusammenfassend kann festgehalten werden, dass die Artenspektren in den beiden Ensembles bzw. in den drei Fund-

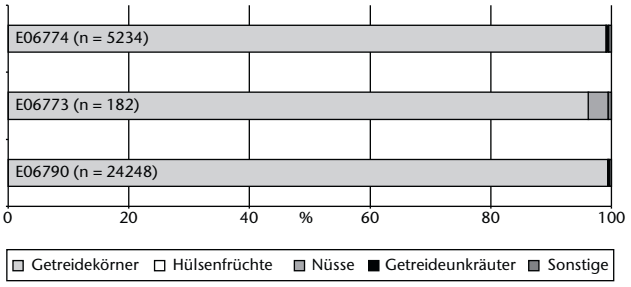


Abb. 208: Augst BL, Insula 5/9, Räume A und B (Grabung 2002.063). Ensemble A11 (FK E06790) und Ensemble B11 (FK E06773, FK E06774): Prozentuale Anteile der Pflanzengruppen.

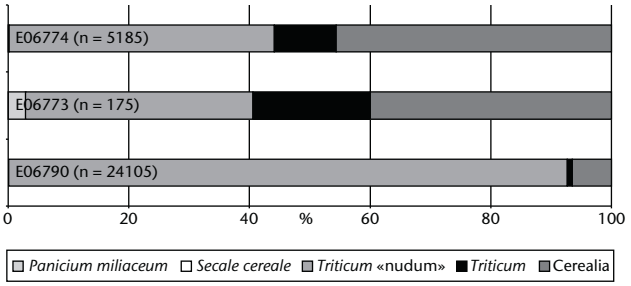


Abb. 209: Augst BL, Insula 5/9, Räume A und B (Grabung 2002.063). Ensemble A11 (FK E06790) und Ensemble B11 (FK E06773, FK E06774): Prozentuale Anteile der Getreidefunde.

482 Die Gruppe der Nacktweizen (*Triticum* nudum) umfasst folgende freidreschende Arten: Saat-Weizen (*Triticum aestivum*), Hartweizen (*Triticum durum*) und Englischen Weizen (*Triticum turgidum).* Die Unterscheidung der drei Arten ist anhand der Körner nicht möglich. Es ist jedoch anzunehmen, dass es sich bei den vorliegenden Funden um Saat-Weizen handelt.

Ensemble Fundkomplex	A11 E06790	B11 E06773	**B11** **E06774**	
Botanischer Name **NAHRUNGSPFLANZEN** **Getreidekörner**				**Deutscher Name** **NAHRUNGSPFLANZEN** **Getreidekörner**
Panicum miliaceum		5		Echte Rispenhirse
Secale cereale	10		7	Roggen
Triticum «nudum»	22339	66	2281	Nacktweizen
Triticum	185	34	533	Weizen
Cerealia	1571		2364	Getreide
Cerealia Bruchstücke		70		Getreide
Summe	**24105**	**175**	**5185**	
Nüsse				**Nüsse**
Juglans regia	7	1	3	Walnuss
Corylus avellana		5		Hasel
Summe	**7**	**6**	**3**	
WILDPFLANZEN **Getreideunkräuter**				**WILDPFLANZEN** **Getreideunkräuter**
Agrostemma githago	3			Kornrade
Fallopia convolvulus	1			Windenknöterich
Lathyrus nissolia	2			Grasplatterbse
Lolium temulentum	2		7	Taumellolch
Vicia angustifolia	2		2	Schmalblättrige Wicke
Vicia hirsuta	15		2	Rauhhaarige Wicke
Vicia tetrasperma	36		10	Viersamige Wicke
Vicia villosa	1			Zottige Wicke
Summe	**62**		21	
Sonstige				**Sonstige**
Carex tricarpellat		1		Segge, drei Fruchtblätter
Poaceae			2	Süssgräser, Echte Gräser
Vicia (kleinfrüchtig)	71		23	Wicke (kleinfrüchtig)
Vicia/Lathyrus	3			Wicke/Platterbse
Summe	**74**	**1**	**25**	
Unbestimmte Reste				**Unbestimmte Reste**
«Amorphe Objekte»		7		«Amorphe Objekte»
Samen/Früchte	5	9	3	Samen/Früchte
Samen/Früchte mineralisiert	1			Samen/Früchte mineralisiert
Summe (ohne Indeterminata)	**24248**	**182**	**5234**	
Summe (inklusive Indeterminata)	**24254**	**198**	**5237**	
Volumen (ml)	1900	3500	2000	
Konzentrationen (Reste/Liter; inkl. Indet.)	12765	57	2619	
Verhältnis aller Getreidekörner/Cerealia	<1/10 aller Getreidekörner = Cerealia Ganze	1/2 aller Getreidekörner = Cerealia Bruchstücke	1/2 aller Getreidekörner = Cerealia Ganze	
Erhaltung der Nacktweizenkörner	gut	schlecht	mässig	

Abb. 207: Augst BL, Insula 5/9, Räume A und B (Grabung 2002.063). Ensemble A11 (FK E06790) und Ensemble B11 (FK E06773, FK E06774): Verkohlte Pflanzenreste.

komplexen untereinander sehr ähnlich sind. Beim Hauptgetreide Nacktweizen – es dürfte sich um Saat-Weizen handeln – handelt es sich um ein typisches Wintergetreide. Dies bestätigen auch die Unkrautfunde: Es handelt sich nämlich durchwegs um Wintergetreideunkräuter[483]. Die fehlenden Druschreste sowie die geringe Zahl an Unkrautsamen und -früchten zeigen, dass es sich um gut gereinigte Getreide-

483 Jacomet u. a. 1988, 281–283.

vorräte handelt. Diese waren wohl für die Verarbeitung und den Konsum vor Ort bestimmt, sei es in Form von Brot/Gebäck oder von Breispeisen *(puls).* Bei den einzelnen beigemischten Körnern von Roggen wird es sich um Unkraut handeln[484].

Generell sind während der Römerzeit Gerste, Dinkel und Rispenhirse die wichtigsten Getreidearten. Der Nacktweizen ist ab augusteischer Zeit im Umland von Augusta Raurica regelmässig belegt; Vorratsfunde fanden sich bislang nur im *caput coloniae*; sie stammen allesamt aus dem (späteren) 3. Jahrhundert[485]. Auch Walnussschalen können seit dem Beginn der römischen Epoche regelmässig nachgewiesen werden.

Das Fehlen von Geflechthölzern in FK E06790 könnte darauf hindeuten, dass das Getreide in Raum A in Keramikgefässen aufbewahrt worden ist. In diesem Zusammenhang sei darauf hingewiesen, dass sich in unmittelbarer Nähe des verkohlten Getreidevorrats zahlreiche Keramikgefässe fanden.

Im Fall von Raum B, wo nur sehr wenige Keramik gefunden wurde und auch der Anteil typischer Geflechthölzer gering ist, ist denkbar, dass das Getreide in einem Sack oder einer Holzkiste aufbewahrt worden ist[486].

Die Samen und Früchte aus dem Töpfchen 565

Marlu Kühn

Das Töpfchen **565** (Abb. 210) wurde anlässlich der Grabung 1965–1967.052 mitsamt seinem Inhalt geborgen, im Museum Augusta Raurica inventarisiert und anschliessend ins Depot verbracht. Dass damit auch die (einzige!) Sedimentprobe aus der Grabung 1965–1967.052 vorlag, wurde erst bei der Aufarbeitung des Fundmaterials entdeckt.

Leider enthielt der Inhalt des Töpfchens **565** (FK X06514) aber nur wenige Pflanzenteile (Abb. 211). Auffällig ist der Nachweis von Stoffstückchen[487] sowie von Nagerkot. Bei den Samen und Früchten (Abb. 212) handelt es sich um Einzelfunde von Rispenhirse, Ackerbohne *(Vicia faba),* Walnuss und Haselnuss. Des Weiteren wurden drei Früchte der Gewöhnlichen Spitzklette *(Xanthium strumarium)* bestimmt und mehrere «amorphe Objekte» ausgelesen[488].

Rispenhirse stellte zur Römerzeit eines der Hauptgetreide dar und wurde vorzugsweise zu Breigerichten *(puls)* verarbeitet. Bei der Ackerbohne handelt es sich um eine regelmässig genutzte Hülsenfrucht, die ebenfalls als Brei verzehrt wurde[489].

Bei der Gewöhnlichen Spitzklette (Abb. 213) handelt es sich um eine Färberpflanze. Erste Nachweise in der weiteren Umgebung von Augusta Raurica liegen seit der Eisenzeit vor[490]. Die Spitzklette wächst an Ruderalstandorten, wurde aber möglicherweise auch in Gärten kultiviert.

Mit Ausnahme der Wurzeln konnte die ganze Pflanze zum Herstellen von Gelbtönen verwendet werden. In der römischen Epoche wurde die Gewöhnliche Spitzklette mit Vorliebe zum gelb («blond») Färben der Haare genutzt[491].



Abb. 210: Augst BL, Insula 5/9, Raum A (Grabung 1965–1967.052). Ensemble A11-OG: das mitsamt seinem Inhalt geborgene Töpfchen ***565****.*

wassergesättigtes Volumen (ml)	300
Stichprobe 0-35-mm-Fraktion	ja
Steine	X
Ziegelreste	
Mörtelreste	X
Lehm (teils mit Pflanzenabdrücken; v. a. Halmabdrücke cf. Getreide)	X
Knochen	X
Holzkohle	X
Samen & Früchte (verkohlt)	X

Abb. 211: Augst BL, Insula 5/9, Raum A (Grabung 1965–1967.052). Ensemble A11-OG: Materialklassen im Töpfchen ***565*** *(FK X06514). X vereinzelt.*

Der Fund von Stoffresten im Töpfchen **565** deutet darauf hin, dass die Früchte der Spitzklette und/oder die potenziellen Früchte/Gebäcke in einem Tüchlein oder Stoffsäckchen aufbewahrt worden sind. Der Nagerkot lässt aber auch die Möglichkeit offen, dass es sich dabei um den verkohlten Futtervorrat eines kleinen Nagers handelt[492].

484 Vgl. Jacomet 2000, 227; Jacomet u. a. 1988, 283.
485 Vgl. Jacomet/Brombacher 2009, 46; Flutsch u. a. 2002, 158; Jacomet 2000.
486 Vgl. dazu den Beitrag von A. Schlumbaum, unten S. 234 f.
487 Das Stoffstückchen ist zurzeit nicht auffindbar und konnte deswegen nicht näher untersucht werden.
488 Amorphe Objekte besitzen keine erkennbare Struktur und weisen daher auch keine makroskopisch sichtbaren Bestimmungsmerkmale auf. Meist handelt es sich dabei um verkohltes Fruchtfleisch oder um Reste von Brot, Gebäck oder Brei.
489 Vgl. Flutsch u. a. 2002, 234; André 1998, 31.
490 Jacomet/Brombacher 2009, 72.
491 Cardon/du Chatenet 1990, 74 f.; Hegi 1964–1979, 270.
492 Die Früchte der Gemeinen Spitzklette sind sehr ölhaltig und daher – neben der Rispenhirse und der Ackerbohne – eine durchaus attraktive Nahrungsquelle für Nager. Vgl. Hegi 1964–1979, 265–277.

Botanischer Name		Deutscher Name
NAHRUNGSPFLANZEN		
Getreidekörner		**Getreidekörner**
Panicum miliaceum	2	Echte Rispenhirse
Hülsenfrüchte		Hülsenfrüchte
Vicia faba Nabelfragment	1	Ackerbohne
Nüsse		**«Nüsse»**
Juglans regia	3	Walnuss
Corylus avellana	1	Hasel
WILDPFLANZEN		
Getreideunkräuter		**Getreideunkräuter**
Galium spurium	1	Falsches Kletttenlabkraut
Sonstige		**Sonstige**
Fabaceae «Nabelstrang»	1	Schmetterlingsblütler
Rumex obtusifolius-Typ	1	Stumpfblättriger Ampfer
Vicia (grossfrüchtig) Nabelfragment	2	Wicke (grossfrüchtig)
Vicia (kleinfrüchtig)	1	Wicke (kleinfrüchtig)
Xanthium strumarium	3	Gewöhnliche Spitzklette
Unbestimmte Reste		**Unbestimmte Reste**
«Amorphe Objekte»	14	«Amorphe Objekte»
Pflanzenrest	9	Pflanzenrest
Samen/Früchte	2	Samen/Früchte
«Gewebe» z.T. kleinste Fragmente	112	
Nagerkot	8	
Summe (ohne Indeterminata)	**15**	
Summe (inklusive Indeterminata)	**40**	
Volumen (ml)	300	
Konzentrationen (Reste/Liter; inkl. Indet.)	133	

Abb. 212: Augst BL, Insula 5/9, Raum A (Grabung 1965–1967.052). Ensemble A11-OG: verkohlte Pflanzenreste im Töpfchen ***565*** *(FK X06514).*



Abb. 213: Gewöhnliche Spitzklette (Xanthium strumarium). *Im Töpfchen* ***565*** *(FK X06514) wurden drei Früchte dieser Pflanze gefunden (vgl. auch Abb. 212).*

Die organischen Reste am Schwert 665 aus Ensemble A11-OG

Elisabeth Schmid (†)

Zum Schwert **665** (Abb. 177, vgl. auch unten Abb. 350) wurde am 20. Sept. 1967 von Frau Prof. Dr. E. Schmid, Basel, ein Gutachten erstellt (Gutachten zum Schwert, Inv. 1966.883 von Augst, Insula V):

«Herr PD Dr. L. Berger übergab mir das Stück mit der Bitte, die Oberfläche des Schwertes auf Spuren der Schwertscheide hin zu untersuchen. Das Schwert ist in 4 Einzelstücke zerbrochen, die ich, von der Spitze her gezählt, mit 1, 2, 3 und 4 bezeichne.

1. Stück (Spitze): Auf der einen Seite, die ich als Oberseite bezeichne, hebt sich um den Niet ein Ring und weiter aufwärts ein Streifen deutlich ab. Diese Stellen wie auch eine kleine Fläche gegen die Spitze zu sind vermutlich Überreste von Leder. Die Narbenschicht ist nicht mehr erhalten, doch macht das Material den Eindruck von mit Rost durchsetzter Faserschicht der Tierhaut. Das Fehlen der Narben macht eine Artbestimmung unmöglich, doch lässt die Dicke der Faserschicht auf ein dickes Leder wie Kalb- oder Rindleder schliessen.

2. Stück: Auch hier können einige Krustenbildungen auf der Oberseite von *Lederresten* stammen. Auf der Unterseite zeichnen sich im oberen Drittel verkohlte und angekrustete Holzfasern ab, die schräg in einem Winkel von 123° zur Längsachse des Schwertes verlaufen.

3. Stück: Wieder zeichnet sich auf der Oberseite ein Stück verkrustetes Leder ab, das hier in einem Längsstreifen, wie von einem aufliegenden Gegenstand geschützt, erhalten geblieben ist. Die ganze Unterseite ist mit an einigen Stellen bis zu 3 mm dicker Holzkohle bedeckt, deren Fasern in gleicher Richtung wie bei Stück 2 verlaufen. Die Schwundrisse, die wohl beim Verkohlen des Holzes entstanden sind, hat der Rost ausgefüllt und verkrustet. Die Längsfasern und der an einer kleinen Stelle deutlich erkennbare Querschnitt gestatten die Bestimmung als Ahorn-Holz.

4. Stück (mit Griffangel): Oberseite: es zeichnen sich keine organische Reste ab. Unterseite: in der direkten Verlängerung vom 3. Stück treten noch ein Stück weit Holzspuren auf.

Zusammenfassung: Auf der einen Seite des Schwertes lassen sich im Bereich der Spitze und in der ganzen unteren Hälfte mit Rost verkrustete Lederreste erkennen, während auf der anderen Seite, mehr im Mittelteil, eine deutliche Lage von verkohltem Ahorn-Holz mit dem Rost des Schwertes verkrustet ist. Die lederne Schwertscheide war demnach auf der einen Seite mit einer *Platte aus Ahorn-Holz* versteift».

Die bei der Konservierung von Schwert **665** angefallenen Rückstände wurden aufbewahrt – möglicherweise auf Anraten von Elisabeth Schmid. Die Analyse der Probe (FK X04675; Gesamtvolumen: 300 ml) durch Marlu Kühn zeigte, dass diese nur einzelne Pflanzenreste enthielt: drei amorphe Objekte sowie einen unbestimmten Pflanzenrest. Interessant sind die wohl von der Schwertscheide stammenden Reste von metallkonserviertem Leder. Das Fehlen eines Ortbandes und anderer Teile der Schwertscheide zeigt jedoch, dass das Schwert **665** zum Zeitpunkt des Brandausbruchs nicht einsatzfähig gewesen sein kann.

Grabung	2002.063		1965–1967.052	Summe
FK bzw. Inv.	E06790	E06792	1967.14163	
Ahorn *(Acer* sp.)	2			2
Birke *(Betula* sp.)			1	1
Eiche *(Quercus* sp.)	12	1		13
Erle *(Alnus* sp.)	2			2
Esche *(Fraxinus excelsior)*				0
Fichte *(Picea abies)*				0
Kernobst *(Maloideae)*	1			1
Pappel *(Populus* sp.)	1			1
Rotbuche *(Fagus sylvatica)*	11			11
Weisstanne *(Abies alba)*	24	10		34
Weide/Pappel *(Salix* sp./*Populus* sp.)				0
Nadelholz	3	20		23
Summe n	**56**	**31**	**1**	**88**
Anzahl Taxa	7	2	1	8

Abb. 214: Augst BL, Insula 5/9, Raum A (Grabungen 1965–1967.052 und 2002.063). Bestimmungsergebnisse der Holzkohlereste aus dem am Ende von Phase 11 angefallenen Brandschutt (4-mm-Schlämmfraktion).

Die Holzkohlereste aus dem Brandschutt in den Räumen A und B

Angela Schlumbaum

Aus der Grabung 1965–1967.052 liegt nur ein einziges verkohltes Holzfragment vor (Inv. 1967.14163, FK Z01679): Es handelt sich dabei um Birkenholz (*Betula* sp.; Abb. 214), das aus dem Brandschutt des Obergeschosses von Raum A geborgen wurde. Aus den *in situ* dokumentierten Bauhölzern, den verkohlten Resten der Deckenbalken von Raum A, wurden leider keine Proben entnommen. Ebenfalls nicht beprobt wurde das Brandschuttpaket in Raum D.

Die übrigen Holzkohlen stammen aus dem Brandschutt des Erdgeschosses der Räume A und B, der anlässlich der Grabung 2002.063 untersucht wurde.

Raum A: Mit den Holzkohlen aus der einen Schlämmprobe (FK E06790) wurden sieben Taxa (n = 56) erfasst (Abb. 214). In der Reihenfolge ihrer Häufigkeit handelt es sich um: Weisstanne *(Abies alba*; 42%), Eiche *(Quercus* sp.; 21%), Rotbuche *(Fagus sylvatica*; 20%).Weitere Taxa mit Anteilen zwischen 2% und 4% stammen vom Ahorn *(Acer* sp.), von der Erle *(Alnus* sp.), von Kernobst *(Maloideae*) sowie von der Pappel *(Populus* sp.).

Die andere Schlämmprobe (FK E06092) enthielt u. a. ein Astfragment aus Eichenholz mit mindestens acht Jahrringen sowie Weisstannenholz mit jeweils einem Jahrring.

Raum B: Die zwei Schlämmproben (FK E06773, FK E06774) enthielten insgesamt 80 Holzkohlefragmente, unter denen sich sieben Taxa fanden. In beiden Fundkomplexen dominiert ebenfalls die Weisstanne *(Abies alba);* Eiche und Esche *(Fraxinus excelsior)* sind mit deutlich geringeren Anteilen vertreten (Abb. 215). In FK E06773 sind zudem Rotbuche, Birke, Weide/Pappel *(Salix/Populus)* und Fichte *(Picea abies)* vereinzelt vertreten. Bei den Holzkohlen der Weisstanne handelt es sich – wie in Raum A – oftmals um Fragmente mit jeweils einem Jahrring.

Ein derartig heterogenes Holzspektrum mit zehn Taxa, wie es aus dem Brandschutt in den Räumen A und B vorliegt, spricht am ehesten für aufgesammeltes Brennholz. Dabei handelt es sich wahrscheinlich um Brennholz für unspezialisierte, d. h. nicht gewerbliche Feuerstellen[493]. Allerdings sind gute Brennhölzer wie Rotbuche[494], Esche oder Eiche selten, was wiederum eher gegen eine vorbehaltlose Ansprache als Brennholz spricht. Eiche und Rotbuche könnten möglicherweise von Bauhölzern stammen; das Holz der Rotbuche könnte z. B. in Form von Ruten in Fachwerkwänden verbaut gewesen sein. Dies erscheint auch deswegen plausibel, weil typische Geflechthölzer, wie etwa Hasel oder die Weide, nicht bzw. kaum nachgewiesen sind.

493 Vgl. Albrecht 1989.

494 Nachweise von Rotbuche sind relativ selten, obwohl sie der prägende Baum in der Region ist und zum Beispiel in den Grabungen im Areal E. Frey AG (unpubl.), Sägerei Ruder (Pfäffli u. a. 2004, 144–146), Nordwest Gräberfeld (Haeffelé 1996, 260), Insula 27 (unpubl.) und Insula 23 (Albrecht 1989) immer sehr häufig ist und auch schon als «Grundrauschen» in Augusta Raurica diskutiert wurde. Eine Beschreibung der Waldstandorte in der Umgebung von Augusta Raurica findet sich bei Albrecht 1989.

Grabung	2002.063		Summe
FK	E06773	E06774	
Ahorn *(Acer* sp.)			0
Birke *(Betula* sp.)	1		1
Eiche *(Quercus* sp.)	9	4	13
Erle *(Alnus* sp.)			0
Esche *(Fraxinus excelsior)*	2	1	3
Fichte *(Picea abies)*	1		1
Kernobst *(Maloideae)*			0
Pappel *(Populus* sp.)			0
Rotbuche *(Fagus sylvatica)*	4		4
Weisstanne *(Abies alba)*	32	25	57
Weide/Pappel *(Salix* sp./*Populus* sp.)	1		1
Nadelholz			0
Summe n	**50**	**30**	**80**
Anzahl Taxa	7	3	7

Abb. 215: Augst BL, Insula 5/9, Raum B (Grabung 2002.063). Bestimmungsergebnisse der Holzkohlereste aus dem am Ende von Phase 11 angefallenen Brandschutt (4-mm-Schlämmfraktion).

Das Holz der häufig nachgewiesenen Weisstanne lässt sich gut spalten und somit auch einfach zu Brettern verarbeiten: Die verkohlten Weisstannenhölzer könnten folglich von Bodenbrettern und/oder von Fachwerkkonstruktionen stammen – oder aber von Fensterläden, Regalen, Kisten oder Truhen. Für die letztgenannten Verwendungen sprechen jedenfalls nicht nur einzelne Objekte und Fundgruppen, sondern auch die verschiedentlich beobachteten Fundkonzentrationen bzw. Fundvergesellschaftungen. Nicht ausgeschlossen werden kann, dass die Weisstannenhölzer von Fässern stammen; Fässer aus Nadelholz wie Fichte[495] und Weisstanne sind beispielsweise in *Vitudurum* und *Tasgetium* nachgewiesen[496]. Im konkreten Fall ist dies auch deswegen denkbar, weil sich sowohl im Erdgeschoss wie auch im Obergeschoss sehr viele Becher, jedoch kaum zum Aufbewahren von Flüssigkeiten bestimmte Gefässe fanden. Allerdings hätten sich die Standorte von Fässern – zumindest im Fall des Erdgeschosses – im archäologischen Befund wohl so deutlich abgezeichnet, dass sie erkannt worden wären[497].

Bei den verkohlten Hölzern der Birke, des Ahorn und von Steinobst könnte es sich – obschon eine Verwendung als Bauholz oder Feuerholz jeweils nicht ausgeschlossen werden kann[498] – um Relikte des Mobiliars handeln. In Valkenburg/NL wurde z. B. ein Stuhlbein aus Birkenholz gefunden[499]. Ahornholz konnte gedrechselt werden und wurde vorzugsweise für die Herstellung von Schüsseln und Becher verwendet, das Holz von Steinobstbäumen eignete sich auch für die Herstellung von Möbeln.

Geoarchäologische Charakterisierung der Wandlehmfragmente aus den Räumen A, B und E

Philippe Rentzel

Bei zehn der zwölf vorliegenden Fragmente aus gebranntem Lehm kann – obschon sie z. T. aus dem Grabungsabraum resp. dem Oberflächenschutt stammen – davon ausgegangen werden, dass sie aus dem am Ende von Phase 11 angefallenen Brandschutt der Räume A, B und E stammen (vgl. Abb. 216,A.C–L). Bei den stratifizierten Überresten steht aufgrund der Befundsituation fest, dass es sich um die Überreste von Fachwerkwänden handeln muss, die im Erdgeschoss standen bzw. die (Aussen-)Wände des Obergeschosses bildeten. Weitere, mit Sicherheit aus dem Brandschutt des Obergeschosses stammende Fragmente aus der Grabung 1965–1967.052 waren nicht auffindbar (s. u. S. 240).

Zwei weitere stratifizierte Fragmente wurden zu Vergleichszwecken herangezogen: Das eine Fragment (Abb. 216,B) stammt aus dem Brandschutt eines am Ende von Phase 3 abgebrannten Gebäudes, das andere Fragment (Abb. 126,M) aus der am Ende von Phase 6 mit Schutt und Abfällen verfüllten Einfeuerungsgrube von Praefurnium I.

Im Vordergrund der naturwissenschaftlichen Untersuchungen standen die geologische Ansprache des (Bau-) Materials und damit verbunden auch die Herkunftsbestimmung des Lehms.

Die gereinigten Lehmfragmente wurden an der Geoarchäologischen Abteilung des IPNA der Universität Basel optisch mithilfe eines Binokulars (80-fache Vergrösserung) zerstörungsfrei untersucht. Dabei wurden folgende Merkmale aufgenommen:

- Farbe der Lehmfragmente in trockenem Zustand, Farbvariationen.
- Härte und Kompaktheit der Lehmfragmente.
- Korngrössen-Zusammensetzung der Lehmfragmente (optisch und mittels Fingerprobe).
  Dabei erfolgte auch eine Einteilung in folgende Korngrössenklassen[500]:
  - Ton, entspricht der Fraktion < 2 Mikron.
  - Silt, Fraktion 2–63 Mikron («Mehlkorn»).

495 Fichtenholz ist im römischen Kontext häufiger als aufgrund ihrer Spezialstandorte – hochgelegene Blockschuttfächer – und bei ebenfalls vorhandener technologisch gleichwertiger Tanne anzunehmen wäre. Deshalb wurde über natürliche Standorte in tieferen Lagen auf guten Böden spekuliert (Schlumbaum 2007). In Augusta Raurica ist die Fichte meines Wissens bislang nur im Areal E. Frey AG belegt.

496 Vgl. Fellmann 1991, 38 f.; Hedinger/Leuzinger 2002, 102–105.

497 Vgl. in diesem Zusammenhang den entsprechenden Befund im Gewerbekomplex Schmidmatt (Berger 1998, Abb. 196).

498 Vgl. Albrecht 1989.

499 Vgl. van Rijn 1993, 195.

500 Die Korngrösseneinteilung folgt den Empfehlungen der Zusammenstellung in Bodenkundliche Kartieranleitung (Hannover 2005[5]) 438.

    - Sand, Fraktion 63 Mikron–2 mm.
        Feinsand, 63–200 Mikron.
        Grobsand, 200 Mikron–2000 Mikron (2 mm).
    - Feinkies: 2–5 mm.
    - Lehm: Gemisch aus Ton, Silt und Sand.
- Kalkgehalt, qualitative Abschätzung (Reaktion nach Zugabe von 15% Salzsäure).
- Porosität und Porenform als Hinweis auf vergangene organische Bestandteile.
- Organische Bestandteile, Magerung (wie z. B. Stroh oder Häcksel).
- Diverses, wie z. B.:
    - Negative von internen Rutengeflechten.
    - Abdrücke von profilierten Hölzern.
    - Kalkbestandteile, die sich im Brand zu weissem, kreidigem Branntkalk umgewandelt haben.
- Herkunft des Materials, Zuweisung zu einem geologischen Substrat.

Nach Abschluss der Einzelanalysen wurden nochmals alle Wandlehmfragmente miteinander verglichen und auf Gemeinsamkeiten hin geprüft. Dies erlaubte eine Gruppenbildung mit Einteilung in fünf unterschiedliche Typen (Typ I–V; vgl. Abb. 216). Die wichtigsten Ergebnisse der geoarchäologischen Analysen werden nachfolgend in knapper Form vorgelegt und kommentiert.

Auf den ersten Blick zeichnet sich unter den Lehmfragmenten aus den zwölf untersuchten Fundkomplexen eine relative Einheitlichkeit ab. Einzig das Fragment M hebt sich mit seiner porösen, blasigen Struktur bereits makroskopisch deutlich von den übrigen Lehmfragmenten ab: Hier handelt es sich um ein Fragment einer Schlacke mit anhaftendem Lehm oder allenfalls um ein Bruchstück eines Düsenziegels. Dies ist nicht a priori erstaunlich: Fragment M stammt aus der am Ende von Phase 6 mit Schutt und Abfällen verfüllten Einfeuerungsgrube von Praefurnium I, also aus einer Phase, in der auch andere Indizien für handwerkliche Tätigkeiten vorliegen (vgl. oben S. 79 f.).

Die übrigen elf Lehmfragmente sind mit grosser Wahrscheinlichkeit als Reste von Wandlehm zu deuten, obschon anhaftende Verputzschichten oder die typischen Negative von Haftrillen für den Grundputz nicht auszumachen waren[501]. Dies dürfte eine Folge der relativ starken Fragmentierung sowie der meist nur mässigen Oberflächenerhaltung der Bruchstücke sein. Dass es sich dennoch um Wand- oder Fachwerklehm handelt, wird besonders augenfällig am Beispiel der Fragmente mit Negativen von internen Rutengeflechten oder Holzmaserungen (Abb. 216,F.H.I) bzw. mit dem Abdruck eines profilierten Holzes (Abb. 216,A). Letzteres dürfte zu einer in eine Lehmwand eingelassenen Rahmenkonstruktion[502] gehören (Abb. 217,A). Der Abdruck dieses aufwendig bearbeiteten, vermutlich gehobelten Holzes erinnert an einen ähnlichen Befund eines sich im Mörtelboden abzeichnenden hölzernen Türrahmens, wie er in einem spätrömischen Gebäude mit dem Ziegelmosaikboden unmittelbar neben dem szenischen Theater zum Vorschein gekommen ist (Abb. 217,B; 218)[503]. In beiden Fällen lässt sich der Holzquerschnitt dank des angrenzenden mineralischen Materials (Mörtel bzw. verziegelter Lehm) somit gut rekonstruieren.

Aufgrund der von Silt dominierten Körnung («Mehlkornfraktion») ist bei allen Lehmfragmenten davon auszugehen, dass sie einen hohen Anteil an Löss oder Lösslehm aufweisen. Wie bereits an anderer Stelle erwähnt[504], findet sich dieser Löss auf den Anhöhen des Birchhügels und in der Hangzone oberhalb der Flur «Im Liner», d. h. im Süden und im Osten des Stadtgebietes von Augusta Raurica. Die grossflächigen Lössablagerungen bedecken hier ältere Schotterterrassen, die sich als treppenförmige Reste am Rand des Rheintals erhalten haben[505]. Frischer Löss – ein im Pleistozän unter kaltzeitlichen Bedingungen abgelagertes Windstaubsediment – besteht aus einem gelben, kalkhaltigen Silt, der sich unter dem Einfluss von Verwitterung und Bodenbildung zu einem braunen, kalkfreien Lösslehm mit spürbarem Tongehalt umwandelt[506].

Ferner treten am Hangfuss unterhalb dieser primären Löss- und Lösslehmvorkommen fächerförmige Ablagerungen von leicht sandig-kiesigen Schwemmlössen auf, die sich als nach Norden ausdünnende Lehmdecken bis in die antiken Wohngebiete der Oberstadt von Augusta Raurica verfolgen lassen. In der Flur «Im Sager», beidseits der römischen Strasse nach Vindonissa, erreichen diese Schwemmlösse eine Mächtigkeit von knapp 2 m und dienten dort nachweislich auch als Rohstoff für die nahen Ziegelbrennöfen[507].

Obschon unter den vorliegenden Wandlehmfragmenten makroskopisch eine gewisse Einheitlichkeit vorzuliegen scheint, zeigen die untersuchten Objekte unter dem Binokular eine erstaunliche Bandbreite in Bezug auf ihre Zusammensetzung: Die elf Wandlehmfragmente lassen sich mindestens fünf unterschiedlichen Typen zuweisen, wobei die Kriterien nicht primär auf der Farbe, sondern hauptsächlich auf den unterschiedlichen Korngemischen, den

501 Zu einem Befund von gut erhaltenem Wandlehm mit anhaftenden Putz- und Malschichten vgl. z. B. Rentzel 2004, 145. – Zu bemaltem Verputz mit Wandlehmresten aus dem Bereich von Raum A vgl. u. a. auch Abb. 120,**275–277**.

502 Für Begutachtung und weiterführende Hinweise danke ich Thomas Hufschmid, Augst.

503 Zum Befund Hufschmid/Horisberger-Matter 2006, 168 ff.

504 Vgl. Rentzel/Schwarz 2004, 49.

505 Vgl. dazu auch Kock u. a. 2009.

506 Zu den Eigenschaften von Lössen in Sierentz oder an der Gehrhalde in Riehen vgl. Jagher u. a. 2003, Abb. 20; Rentzel u. a. 2009.

507 Zum Schichtaufbau und zu den archäologischen Befunden von Tonentnahmegruben für die Ziegelherstellung vgl. z. B. Lassau 1995, Abb. 4; 5 oder Müller 2000. – Zum Nachweis von Ziegelbruch aus dem Gebiet «Im Sager/Im Liner», der für die Herstellung des wasserdichten Mörtels der römischen Wasserleitung nach Augusta Raurica diente, vgl. auch Ewald u. a. 1997, Abb. 43; 44.

Objektbezeichnung Mikroskopie	Typ	Beschreibung, Mikroskopie	Herkunft	Befund/Stratifizierung	Kat./Inv.
A	I	Beiges, lokal rötliches Lehmfragment mit länglichen Ruten-Negativen (Abdruck hölzerner Konstruktionselemente), schwarze Zonen. Material: Feinsandiger, siltiger Lehm mit wenig Feinkies. Feinkies infolge Brand zu Branntkalk umgewandelt (Temp. > 700°C). Matrix stark kalkhaltig. Negative einer organischen Magerung. Herkunft: Sandiger Schwemmlöss.	Raum A	Brandschutt des Obergeschosses (Ensemble A11-OG). Vgl. Abb. 162–168.	Abb. 177,**746** Inv. 1966.4380, FK X06514
B	**I**	Rötlich-braunes, stellenweise rötliches Lehmfragment. Material: Feinsandig-siltiger Lehm mit wenig Grobsand, stark kalkhaltig. Organische Magerung (Häcksel), mittlere Porosität. Herkunft: Lössderivat, Schwemmlöss, sandig.	Raum A	Brandschutt eines am Ende von Phase 3 abgebrannten Gebäudes (Ensemble A3-2). Vgl. Abb. 41.	Inv. 2002.063. E07251.124
C	**II**	Rötlich-braune Lehmfragmente. Material: Schwach lehmiger Silt mit sehr wenig Grobsand, zu Branntkalk umgewandelt. Kalkfreie Matrix. Sehr viel organische Magerung (Häcksel), mittlere Porosität. Herkunft: Lösslehm mit Sand.	Raum A	Oberflächenschutt/Humuskante (Streufund). Vgl. Abb. 165 und Abb. 221.	Inv. 2002.063. E06100.33a–e
D	**II**	Graues, sehr hart gebranntes Lehmfragment mit verschliffenen parallelen Rillen (Holznegative?). Material: Schwach lehmiger Silt, geringer Kalkgehalt. Organische Magerung (Stroh, Häcksel). Sekundäre weisse Kalkausfällungen um ehemalige Wurzelbahnen. Herkunft: Lösslehm.	Raum A	Oberflächenschutt/Humuskante (maschinell abgetragen). Vgl. Abb. 165.	Inv. 2002.063. E06083.51
E	**II**	Durchgehend dunkelgraues – schwarzgraues Lehmfragment mit sehr vielen Negativen oberflächlich anhaftender organischer Reste. Evtl. Kontaktbereich zu einer Flechtwerkwand/Schilfwand. Material: Schwach lehmiger Silt mit wenig Feinsand, selten bis Feinkies. Kalkfreie Matrix. Sehr viel organische Magerung (Stroh/Häcksel), mittlere Porosität. Herkunft: Lösslehm, wenig Sand.	Raum A	Brandschutt des Erdgeschosses auf MR 13. Vgl. Abb. 162–168, bes. 165.	Inv. 2002.063. E06793.182
F	**III**	Durchgehend hellrotes, hart gebranntes Lehmfragment mit Negativen einer Holzmaserung. Material: Schwach lehmiger, kalkhaltiger Silt mit wenig Grobsand und wenig feinem Kalkkies, infolge Brand zu Branntkalk umgewandelt. Stark gemagert mit Stroh/Häcksel, mittlere Porosität. Herkunft: Löss und Kalksand (Ergolz? Violenbach?).	Raum A	Brandschutt des Erdgeschosses auf MR 13. Vgl. Abb. 162–168, bes. 165.	Inv. 2002.063. E06793.181
G	**III**	Durchgehend hellrotes, hart gebranntes Lehmfragment. Material: Lehmiger Silt, stark kalkhaltig. Sehr viel organische Magerung (Stroh/Häcksel). Herkunft: Löss (und Lösslehm?).	Raum B	Oberflächenschutt/Humuskante (maschinell abgetragen). Vgl. Abb. 178; 179.	Inv. 2002.063. E06770.179
H	**IV**	Durchgehend beiges (-hellrotes), hart gebranntes Lehmfragment mit Negativen der Holzarmierung. Material: Schwach lehmiger Silt, kaum sandig, stark kalkhaltig, kompakte Matrix. Deutlich vorhandene organische Magerung (Häcksel), mittlere Porosität. Herkunft: Löss und Lösslehm.	Raum A	Brandschutt des Erdgeschosses (Ensemble A11-EG). Vgl. Abb. 162–168, bes. 165.	Abb. 175,**489** Inv. 2002.063. E06778.16
I	**IV**	Durchgehend hellrotes, hart gebranntes Lehmfragment mit Negativen der Holzarmierung (Holzmaserung). Abdruck eines profilierten Holzes (Rahmen?). Material: schwach lehmiger Silt, sehr wenig Sand, kalkhaltig. Etwas weisser Kalksand. Mit organischer Magerung (Häcksel, Stroh). Herkunft: Lössderivat, Lösslehm, mit Kalksand.	Raum A	Brandschutt des Erdgeschosses auf MR 13. Vgl. Abb. 162–168, bes. 165.	Inv. 2002.063. E06779.211

Abb. 216: Augst BL, Insula 5/9, Räume A und B (Grabungen 1965–1967.052 und 2002.063). Synoptische Darstellung der Ergebnisse der optischen Analyse von Wandlehmfragmenten aus dem Brandschutt der Phase 11.

Objektbezeichnung Mikroskopie	Typ	Beschreibung, Mikroskopie	Herkunft	Befund/Stratifizierung	Kat./Inv.
K	**V**	Rötlich-braunes, hart gebranntes, kompaktes Lehmfragment mit parallelen Rillen (Holznegativ?). Material: Schwach lehmiger Grobsilt, kalkhaltig. Wenig organische Magerung, geringe Porosität. Herkunft: Löss (und Lösslehm?).	Raum E	Brandschutt auf MR 22. Vgl. Abb. 187.	Inv. 2002.063. E06780.9
L	**V (?)**	Durchgehend rot gebranntes, kompaktes Lehmfragment. Material: Schwach lehmiger Silt, feinsandig, schwach kalkhaltig. Vereinzelte Negative einer organischen Magerung. Herkunft: Löss und Lösslehm.	Raum A	Brandschutt des Erdgeschosses (Ensemble A11-EG). Vgl. Abb. 162–168.	Abb. 175,**490** Inv. 2002.063. E6092.489
M		Rotgebrannter, siltig-sandiger Lehm mit verschlackter Zone; poröse, blasige Struktur. Kalkfrei. Bemerkung: Es handelt sich nicht um Wandlehm, da der verschlackte Bereich über 1 cm dick ist. Wohl eher Schlacke, Düsenziegelfragment oder Reste einer handwerklich genutzten Feuerstelle. Herkunft: Lösslehm.	Raum A	In Verfüllung der Feuergrube von Praefurnium I (Ensemble A6). Vgl. Abb. 68.	Abb. 76,**139** Inv. 2002.063. E07253.5

Abb. 216 (Fortsetzung): Augst BL, Insula 5/9, Räume A und B (Grabungen 1965–1967.052 und 2002.063). Synoptische Darstellung der Ergebnisse der optischen Analyse von Wandlehmfragmenten aus dem Brandschutt der Phase 11.

verwendeten geologischen Substraten und dem variierenden Anteil an organischen Magerungsbestandteilen beruhen. Die einzelnen Typen sind wie folgt zu charakterisieren (vgl. Abb. 216)[508]:

Typ I: feinsandig-siltiger Lehm mit hohem Kalkanteil. Es dürfte sich um einen Schwemmlöss aus der Hangfusszone des Birchhügels oder aus dem Gebiet «Im Sager/Im Liner» handeln. Bei Fragment A wurden die kalkhaltigen Feinkiesbestandteile durch die Brandkatastrophe am Ende von Phase 11 zu Branntkalk umgewandelt, was auf Brandtemperaturen von über 700°C hindeutet.

Typ II: ist mit drei miteinander verwandten Fragmenten aus kalkfreiem Lehm vertreten. Dieser Lösslehm wurde mit viel organischem Material versetzt, das als Armierung diente und Schwundrisse verhindert hat. Bei den fünf Bruchstücken von Fragment C ist ferner eine starke Verziegelung und eine Umwandlung der wenigen Kalkkiesbestandteile zu Branntkalk festzustellen. Interessant ist auch die Oberflächenstruktur von Fragment E, das im Bereich einer auf MR 13 stehenden Fachwerkwand gefunden wurde. Sehr viele, zum Teil parallel verlaufende Abdrücke von Stroh oder feinem Schilf lassen auf eine spezielle Anwendung – z. B. im Kontaktbereich zu einem Konstruktionsteil aus Schilf oder Stroh in der Randzone einer Zimmerdecke (?) – schliessen.

Typ III: Dieser kalkhaltige, lehmige Silt setzt sich aus einem Gemisch von unverwittertem Löss und Lösslehm zusammen. Ferner kommt auch etwas Feinkies vor, der sich unter hohen Temperaturen zu gebranntem Kalk umgewandelt hat. Da geringe Unterschiede im Kiesgehalt der Lehmfragmente bestehen, könnte es sich auch um zwei unterschiedliche Typen handeln. Als weitere gemeinsame Merkmale sind der hohe Anteil an organischer Magerung, die Härte sowie die Farbe zu nennen.

Typ IV: Es handelt sich um einen lehmigen Silt, der nur ganz schwach kalkhaltig ist. Das Gemisch besteht somit zur Hauptsache aus Lösslehm, wenig Löss und Spuren von Kalksand. Deutlich zu erkennen sind auch die Spuren einer Magerung mit organischen Bestandteilen.

Typ V: Für diesen Wandlehm wurde ein lehmiger Silt verwendet, der nur schwach kalkhaltig ist und ein kompaktes, porenarmes Gefüge besitzt. Es handelt sich um ein Gemisch aus Lösslehm und Löss, ohne Grobkomponenten und einem sehr geringen Anteil an organischer Magerung. Aufgrund der optischen Eigenschaften ist nicht ganz klar, ob Fragment K und Fragment L zum selben Typ gehören. Der archäologische Befund spricht eher gegen diese Annahme.

Zusammenfassend kann festgehalten werden, dass die elf untersuchten Lehmfragmente mit grosser Wahrscheinlichkeit von Fachwerkbauten stammen. Weiterführende Aussagen zu konstruktiven Details, z. B. zur Verwendung von profilierten Bauhölzern oder von anderen organischen Materialien, waren jedoch nur bedingt möglich.

Die optischen Analysen zeigen, dass mindestens fünf unterschiedliche Typen vorliegen, was für eine grosse Diversität in Bezug auf die Zusammensetzung der Lehmfragmente spricht. Dieses Ergebnis erstaunt jedoch nicht unbedingt – die Fundlage der eindeutig zuweisbaren Wandlehmreste zeigt nämlich, dass es sich mit Sicherheit um die Überreste verschiedener Fachwerkwände handelt:

508 Wir sind uns bewusst, dass es aus statistischer Sicht nicht unproblematisch ist, anhand von nur elf Wandlehmfragmenten fünf Typen zu definieren. Aufgrund der deutlichen Unterschiede zwischen den einzelnen Wandlehmfragmenten und den archäologischen Fragestellungen drängte sich eine entsprechende Gruppenbildung jedoch auf. Wie sich diese Einteilung bewährt, werden künftige Untersuchungen zeigen.

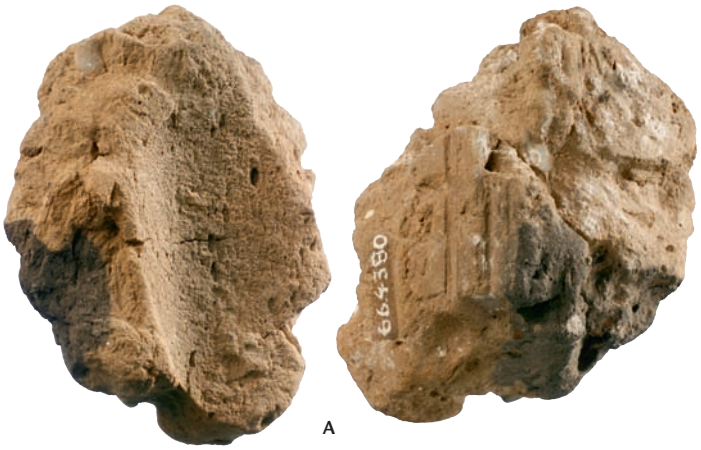




*Abb. 217: Augst BL, Insula 5/9, Raum A (Grabung 1965–1967.052) und Theatersanierung (Grabung 2005.055). **A** Vorder- und Rückseite des verziegelten Wandlehmfragments **746** mit dem Negativ eines profilierten Holzes aus dem Brandschutt des Obergeschosses von Raum A (Ensemble A11-OG). M. 1:2. **B** Verziegelte Wandlehmfragmente mit Holznegativabdrücken aus dem Zerstörungsschutt einer Lehmfachwerkwand im Gebäude mit dem Ziegelmosaikboden (Grabung 2005.055). Höhe des Fragments rechts: 10 cm.*

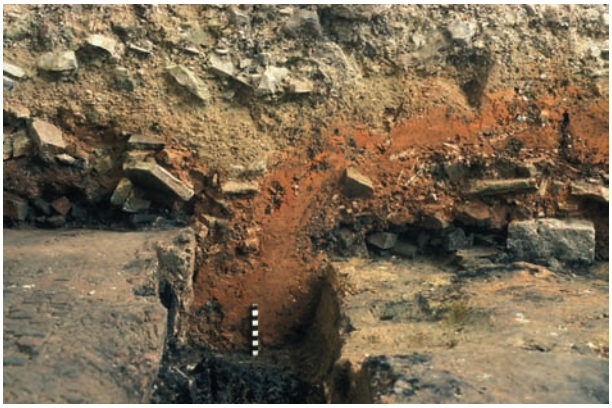


Abb. 218: Augst BL, Theatersanierung (Grabung 2005.055). Überreste einer verstürzten Lehmfachwerkwand im Gebäude mit dem Ziegelmosaikboden. Die durch Brandeinwirkung ziegelrot verfärbten Reste des verputzten Lehmfachwerks werden wie in Raum A der Insula 5/9 von unverbrannten ockerfarbenen Wandlehmresten und Mauerschuttresten überlagert.

- Fragment L (Typ V?) stammt sicher aus dem Erdgeschoss von Raum A, wo sich auch Reste einer Binnenwand aus Fachwerk (MR 100) fanden (Abb. 135; 149).
- Fragment H (Typ IV) und Fragment E (Typ II) wurden im Bereich des Streifenfundaments (MR 13) gefunden, auf dem auch Reste des Schwellbalkens der strassenseitigen Fachwerkwand des Erdgeschosses gefunden wurden (vgl. Abb. 131). Die unterschiedliche Zusammensetzung der aus dem gleichen Kontext stammenden Fragmente könnte auf eine unterschiedliche Ausgestaltung dieser sicher mit einer Türe versehenen Fachwerkwand (vgl. Abb. 130) oder auf Reparaturen bzw. Renovationen hindeuten.
- Fragment A (Typ I) stammt sicher von einer der Fachwerkwände des Obergeschosses von Raum A (vgl. Abb. 162,2).

Bei den Wandlehmfragmenten aus dem Oberflächenschutt bzw. aus dem Humus (Abb. 216,C.D.G) könnte es sich auch um Brandschutt aus anderen Gebäuden handeln, der in Phase 13, Phase 14 oder Phase 15 sekundär in den Bereich von Raum A verlagert worden ist.

In Bezug auf die maximal erreichten Brandtemperaturen bestehen ebenfalls Unterschiede, was für Brandschutt aber offenbar typisch ist[509]. Solche Unterschiede wurden im Fall von Raum A bereits während der Freilegung des Brandschutts beobachtet. Wandlehm, der dem Schadenfeuer stark und lang anhaltend exponiert war, zeigt Branntkalkbildung am Feinkies, was auf Temperaturen von über 700°C hindeutet. In diesem Zusammenhang ist auch auf die neben der Fachwerkwand (MR 100) beobachtete, *in situ* liegende «Weisskalkschicht» hinzuweisen: Dabei handelt es sich um Branntkalk oder um Asche, der bzw. die bei der Brandkatastrophe am Ende von Phase 11 entstanden ist.

In Bezug auf die archäologische Fragestellung – der Frage nach der geologischen Provenienz des Rohstoffes – ist festzuhalten, dass sich mithilfe der optischen Analysen die lokale Herkunft des Lehms nachweisen liess. Die antiken Lehmentnahmegruben können am Hangfuss des Birchhügels sowie in der von Schwemmlöss bedeckten Ebene südlich der Oberstadt bis in der Flur «Im Sager/Im Liner» lokalisiert werden. Dass diese für den Lehmbau bestens geeigneten Rohstoffe offenbar über mehrere Jahrhunderte hinweg ausgiebig genutzt wurden[510], zeigt die Tatsache, dass das aus Phase 3 (um 70/80 n. Chr.) stammende Fragment B

509 Bei einem experimentell abgebrannten Rundhaus mit Lehmwänden in Butser Hill/GB wies nur ein Teil des Brandschutts eine starke Verziegelung auf. Goldberg/Macphail 2006, 247–250.

510 In Augusta Raurica ist Löss/Schwemmlöss für die Wandlehmherstellung seit der Holzbauphase nachgewiesen (vgl. Rentzel 2004, 145). Auf dem Basler Münsterhügel taucht Löss als Baumaterial erstmals in frührömischen Befunden auf (zweite Hälfte 1. Jahrhundert n. Chr., ohne geoarchäologische Charakterisierung: Ammann 2002, 20–23 Abb. 15).

in etwa die gleiche Zusammensetzung aufweist wie Fragment A, das aus dem Brandschutt des am Ende von Phase 11 (um 270 n. Chr.) abgebrannten Obergeschosses stammt.

Postscriptum

Die von Laur-Belart, Tagebuch, 15.07.1967 beschriebenen, aus dem Brandschutt stammenden Wandlehmfragmente mit Abdrücken von «Schindeln» bzw. Holzlatten (vgl. den Text bei Anm. 337 und Beil. 2G,14) aus FK Z01658 (Inv. 1967.28364a) waren zum Zeitpunkt der Bearbeitung nicht auffindbar. Dies, weil sie seinerzeit im Depot des RMA nicht korrekt eingelagert worden waren. Sie wurden erst nach Abschluss des Manuskripts von Rudolf Känel zufällig gefunden und konnten deswegen nicht mehr berücksichtigt werden.

Dies ist deswegen sehr bedauerlich, weil diese 30 Wandlehmfragmente ausserordentlich gut erhalten sind und eine genauere Untersuchung wahrscheinlich zusätzliche Hinweise zur Konstruktionsweise des Gefaches des Obergeschosses liefern würde.

Eine kursorische Untersuchung der wieder aufgefundenen Fragmente ergab, dass eine gründliche geoarchäologische Analyse keine neuen oder anderen Ergebnisse bezüglich der Herkunft des verwendeten Lehms ergeben würde.

Phase 12: Installation eines Kalkbrennofens

Überblick

Die Beobachtungen anlässlich der Grabung 1965–1967.052 liessen den Schluss zu, dass die Zerstörung von Raum A am Ende von Phase 11 und die Überdeckung des Brandschutts mit dem Aushub des Wall-Graben-Systems der spätrömischen *enceinte réduite* (Phase 13) unmittelbar aufeinander erfolgten (vgl. Beil. 2D,4.5; unten Abb. 230).

Der im Jahr 2002 entdeckte Kalkbrennofen (Abb. 219; 220) ändert an diesem Sachverhalt nichts, zeigt aber, dass im südlichen Teil von Raum A mit einer «Zwischennutzung» zu rechnen ist. Bei den deutlich ausgeprägten Mauerschuttpaketen im nördlichen Raumteil (Abb. 219,2; Beil. 2D,5) muss es sich folglich nicht unbedingt nur um sekundären Brandschutt der Phase 11 und/oder um Aushub des

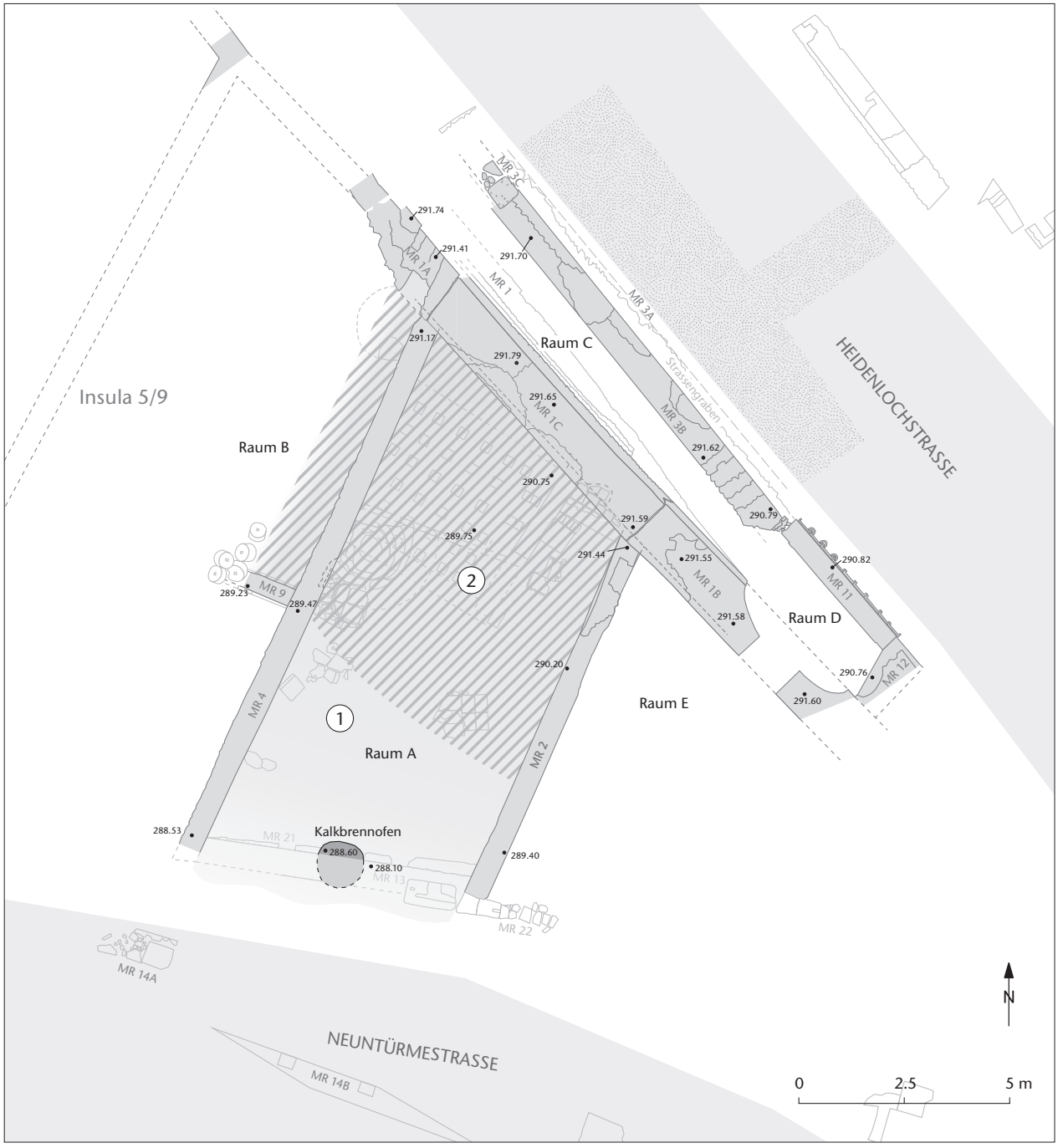


*Abb. 219: Augst BL, Insula 5/9 (Grabungen 1965–1967.052 und 2002.063). Übersichtsplan mit der Lage des Kalkbrennofens der Phase 12. M. 1:150. **1** Ungefähre Ausdehnung des am Ende von Phase 11 angefallenen Brand- und Fachwerkschutts. **2** Ungefähre Ausdehnung des stark mörtelhaltigen und im unteren Teil mit Brandschutt durchsetzten Mauerschutts.*

Raum A	Raum B	Raum C	Raum D	Raum E	Heidenlochstrasse
• Mauerschutt auf Brandschutt des Obergeschosses • Kalkbrennofen auf MR 13 (Abb. 221,4) • wahrscheinlich z. T. beim Verfall bzw. beim Abbruch entstandener Mauerschutt (Beil. 2D,5; 2G,17) • Geh- und Nutzungshorizont im Bereich des Kalkbrennofens (Abb. 221,5)	• Mit lehmigen Sedimenten durchsetzter Mauerschutt (Abb. 178; 179,5)	• Keine zuweisbaren Schichten oder Strukturen	• Seit Phase 8 aufgegeben und mit Schutt verfüllt	• Keine zuweisbaren Schichten oder Strukturen	• Keine zuweisbaren Schichten oder Strukturen
• Ensemble A12 (Abb. 226) Datierung: uneinheitlich: um 80–250 n. Chr.					

Abb. 220: Augst BL, Insula 5/9 (Grabungen 1965–1967.052 und 2002.063). Synoptische Darstellung der Befunde und Fundensembles der Phase 12.

Wall-Graben-Systems in Phase 13 handeln. Der Steinschutt könnte auch bei der Beschaffung von Rohmaterial für die Herstellung von Branntkalk, d. h. beim Abbruch der noch sichtbaren Mauern (MR 2; MR 4; MR 7), entstanden sein.

Der Umstand, dass der am Ende von Phase 11 angefallene Lehmversturz in den Räumen A und B ungestört war und dass auch die wertvolleren Teile des Hausinventars *in situ* verblieben sind, zeigt aber deutlich, dass der Brandschutt in Phase 12 nicht mehr systematisch nach brauchbaren Gegenständen durchsucht worden sein kann. Dies bezeugt beispielsweise das Schwert **665**, das im obersten Teil des Brandschutts lag und möglicherweise sogar noch knapp sichtbar war. Letzteres könnte auch auf die Kuppel von Backofen BO1 zutreffen.

Raum A

Befund

Wie aus Profil 1a hervorgeht, wird der am Ende von Phase 11 angefallene Lehmversturz des Obergeschosses von Raum A (Beil. 2D,4) von einem im Bereich der Hangstützmauer 1C relativ mächtigen, gegen die Neuntürmestrasse hin jedoch zunehmend dünner werdenden Mauerschuttpaket (Beil. 2D,5) überlagert. Dieses besteht mehrheitlich aus geröteten Kalksteinquadern, enthielt aber auch etliche Architekturelemente, wie z. B. eine Halbsäule aus Sandstein (Abb. 177,**734**), Säulentrommeln aus Muschelkalk (Abb. 177,**735**. **736**) und das Eckfragment eines Gesimses (Abb. 177,**737**). Es könnte sich dabei zum Teil um Spolien handeln, die in den Phasen 9–11 im Obergeschoss von Raum A verbaut waren. Aufgrund der Beobachtungen anlässlich der Grabung 1965–1967.052 muss jedenfalls davon ausgegangen werden, dass es sich bei diesem Mauerschuttpaket teilweise um Primärschutt handelt, also um Mauerschutt, der beim Einsturz bzw. Verfall der durch die Feuereinwirkung morsch gewordenen Mauern (MR 2, MR 4 und MR 7) anfiel. Für die Annahme sprechen nicht zuletzt auch die Beobachtungen im Bereich des vollständig erhaltenen und offensichtlich vom Mauerschutt überlagerten Backofens BO1 (Abb. 163).

Das Fehlen eines Paleosols auf der Oberkante des Lehmversturzes (vgl. Beil. 2D) zeigt andererseits, dass zwischen der Brandkatastrophe am Ende von Phase 11 und der Ablagerung des Mauerschutts kein sehr langer Zeitraum verstrichen sein kann. Auf dem nährstoffreichen Fachwerkschutt (vgl. Beil. 2D,4) hätte sich nämlich sehr rasch eine Pioniervegetation angesiedelt, was wiederum zu einer erkennbaren Humifizierung der Oberkante des Lehmversturzes geführt hätte[511].

Für die Annahme einer schon kurz nach der Brandkatastrophe erfolgten Ablagerung des Mauerschuttpakets sprechen auch die dem Ensemble A11-OG zugewiesenen Funde aus FK X04675, die in der Übergangszone zwischen dem Lehmversturz und dem Mauerschutt gefunden wurden, so u. a. das Schwert **665** (vgl. Abb. 169,D), der Hebeschiebeschlüssel **689**, der Spitzmeissel **722** oder das Marmorgefäss **732** (vgl. Abb. 169,B).

Wichtig für die Bestimmung des Zeitpunktes der Ablagerung des Mauerschuttpakets ist die bereits erwähnte, auf

511 Für Diskussionen in diesem Zusammenhang danken wir Philippe Rentzel, Basel.



Abb. 221: Augst BL, Insula 5/9, Raum A (Grabung 2002.063). Blick nach Süden an das über MR 13 aus Phase 9 liegende Profil 100 mit den Überresten des in den Brandschutt aus Phase 11 eingetieften Kalkbrennofens der Phase 12. Links die Westwand von Raum A (MR 2). ***1*** *Reste des am Ende von Phase 7 verbrannten Bretterbodens in Raum A.* ***2*** *Reste der in Phase 8 eingebrachten Füllschichten in Raum A.* ***3*** *Brandschutt (Reste von Lehmfachwerkwänden) des Erdgeschosses von Raum A vom Ende der Phase 11.* ***4*** *Verfüllung des Kalkbrennofens: weisse, pulvrige bis seifige Masse aus verbrannten Kalksteinen mit eingebetteten Bruchstücken von zerschlagenen, verbrannten Kalksteinen sowie stark verbrannter, pulvriger Lehm.* ***5*** *Humose, stark mit Holzkohle durchsetzte Sedimente (mit Abraum des Kalkbrennofens verschmutzter Geh- und Nutzungshorizont der Phase 12?).* ***6*** *Stark mit Kies durchsetztes lehmiges Sediment. Wahrscheinlich Ausläufer des Aushubs der Gräben 2 und 3 aus Phase 13.* ***7*** *Stark mit Kalkbruchsteinen und -splittern durchsetzter Oberflächenschutt. Dürfte beim nachantiken Verfall der Mauern (vgl. z. B. MR 4) entstanden sein und sich am Fuss des über Raum A liegenden Schuttkegels angesammelt haben.*



Abb. 222: Augst BL, Insula 5/9, Raum A (Grabung 2002.063). Ausschnitt aus Profil 100 mit den Überresten des Kalkbrennofens (Phase 12). ***1*** *Reste des am Ende von Phase 7 verbrannten Bretterbodens in Raum A.* ***2*** *Reste der in Phase 8 eingebrachten Füllschichten in Raum A.* ***3*** *In die in Phase 8 eingebrachten Füllschichten eingetieftes Streifenfundament (MR 13) der Phasen 9–11. MR 13 wurde hier in Phase 12 beim Anlegen des Kalkbrennofens teilweise zerstört.* ***4*** *Am Ende von Phase 11 angefallener Brandschutt (Reste von Lehmfachwerkwänden).* ***5*** *Verfüllung des Kalkbrennofens: weisse, pulvrige bis seifige Masse aus verbrannten Kalksteinen mit eingebetteten Bruchstücken von zerschlagenen, verbrannten Kalksteinen sowie stark verbrannter, pulvriger Lehm.*

der Oberkante des am Ende von Phase 11 angefallenen Lehmversturzes bzw. unter dem Mauerschutt gefundene Imitation eines zwischen 270 und 273 n. Chr. geprägten Antoninians für *Divus Claudius II.* (**622**) (s. o. S. 160; 181; s. u. S. 249). Diese Münze liefert nämlich einen relativ präzisen *terminus post quem* für die Ablagerung des Mauerschutts. Dieser könn-



Abb. 223: Augst BL, Insula 5/9, Raum A (Grabung 2002.063). Im Bereich des Kalkbrennofens gefundene Bruchstücke von sogenanntem Solothurner Marmor (FK E06092; ausgeschieden). Der meist als Bodenplatten oder als Schriftträger von Inschriften verwendete Kalkstein eignet sich besonders gut zum Brennen von Kalk.



Abb. 224: Augst BL, Insula 5/9, Raum A (Grabung 2002.063). In-situ-*Aufnahme eines Eisenmessers in dem beim Bau des Kalkbrennofens zum Teil verlagerten Brandschutt aus Phase 11 (Inv. 2002.063.E06091.4; vgl. Anm. 514).*

te im Zusammenhang mit der Herstellung von Branntkalk im südlichen Teil von Raum A angefallen sein.

Nachweisen liess sich diese anhand von Überresten eines Kalkbrennofens, der anlässlich der Grabung 2002.063 beim Anlegen von Profil 100 (Abb. 221; vgl. Beil. 1) entdeckt worden ist (vgl. Abb. 219; 221,4)[512]. Für die Interpretation der nicht flächig untersuchten Branntkalkkonzentration als Kalkbrennofen sprechen namentlich folgende Indizien (Abb. 222)[513]:

- der Umstand, dass die Branntkalkkonzentration eine auf der Sohle einer muldenförmigen Vertiefung liegende, wohl beim Brennen der letzten Charge entstandene Holzkohleschicht überlagert (vgl. Abb. 222,5).
- die Zusammensetzung der Sedimente im fraglichen Bereich von Profil 100: Es handelt sich dabei um stark verbrannten, pulvrigen Lehm sowie um eine weisse, pulvrige bis seifige Masse aus verbranntem Kalkstein mit eingebetteten Bruchstücken von zerschlagenen, verbrannten Kalksteinen (Abb. 223).

Wie Profil 100 zeigt, durchschlägt der Kalkbrennofen nicht nur die Krone der in Phase 9 errichteten Mauer 13, sondern auch den Ausläufer des am Ende von Phase 11 angefallenen Brandschutts.

Für eine spätrömische Datierung des Kalkbrennofens spricht auch der Umstand, dass der Befund nach Aussage von Profil 100 von stark mit Kies durchsetzten Schuttschichten überlagert wird (vgl. Abb. 221,6). Es dürfte sich dabei – wie auch der Befund in Profil 1a (vgl. Beil. 2D,6.7) nahelegt –, um den Ausläufer des im Bereich von Raum A entsorgten Aushubs der Gräben der spätrömischen *enceinte réduite* handeln (vgl. unten Abb. 228). Für eine spätrömische Zeitstellung des Kalkbrennofens spricht auch das aus der unmittelbaren Umgebung des Kalkbrennofens geborgene Fundmaterial aus Ensemble A12. Es dürfte sich dabei

512 Das Südprofil (Profil 100) wurde bereits im Rahmen der Grabung 1965–1967.052 zeichnerisch dokumentiert, jedoch nicht mit einem Schichtbeschrieb versehen (vgl. Dokumentation der Grabung 1965–1967.052, Profil 9). Nach der Grabung (1967) wurde das Profil durch eine aus Spolien errichtete Stützmauer verdeckt, die den früheren Zugang zum Schutzbau gegen die moderne Giebenacherstrasse hin begrenzte (vgl. oben Abb. 6). Im Rahmen der Grabung 2002.063 wurde das Südprofil so weit zurückversetzt, dass es auf der ganzen Linie in der Flucht der MR 13 verläuft. In der Dokumentation der Grabung 2002.063 wird Profil 9 (= hier Abb. 221) als Profil 1 bzw. als Profil 2 bezeichnet. Vgl. dazu auch Bauhofer, Tagebuch, S. 7.

513 Rychener, Tagebuch, S. 9. – Ein ähnlicher Befund liegt aus Oberwinterthur vor (vgl. Rychener 1984, 32 f.). Vgl. in diesem Zusammenhang ferner Kraus u. a. 1989; Althaus 1994; Filgis 1991.

Form/Typ	RS	BS	WS	HE	Total	MIZ
TS, südgallisch						
Drag. 35/36	1				1	1
Drag. 33	1				1	1
Drag. 37	1				1	1
Form unbestimmt			1		1	1
Glanztonkeramik						
Nb. 33			2		2	2
Form unbestimmt			1		1	1
Übrige Keramik						
Helltonige Gebrauchskeramik						
Krug mit Wulstrand	1				1	1
Bemalte Wandscherbe			1		1	1
Form unbestimmt			4		4	4
Kochtopf			2		2	2
Reibschüssel	3				3	1
Total Fragmente/MIZ	**7**		**11**		**18**	**16**

Abb. 225: Augst BL, Insula 5/9, Raum A (Grabung 2002.063). Ensemble A12: Fundstatistik zur Keramik (FK E06093–FK E06096). MIZ = RS, BS, WS, HE.

um Objekte handeln, die am Ende von Phase 11 in den Boden gekommen sind und beim Anlegen des Kalkbrennofens teilweise verlagert wurden (Abb. 224)[514].

Aufgrund der stratigrafischen Situation und der Zeitstellung liegt es nahe, die Herstellung von Branntkalk mit dem Bau der spätrömischen *enceinte réduite* auf dem Kastelenplateau in Verbindung zu bringen (s. u. S. 248 ff.). Der Befund lässt sogar den Schluss zu, dass der Bau der Wehrmauer vor der Anlage des Wall-Graben-Systems erfolgte (vgl. Phase 13).

Abschliessend sei darauf hingewiesen, dass die Entdeckung des spätrömischen Kalkbrennofens auch insofern bemerkenswert ist, als aus Augusta Raurica bislang kaum römische Kalkbrennöfen bekannt geworden sind – weder kaiserzeitlicher noch spätantiker Zeitstellung.

Ensemble A12

Allgemeine Charakterisierung: Das Fundmaterial aus dem Ensemble A12 umfasst die Fundkomplexe FK E06093–FK E06096 (Abb. 225). Diese stammen aus dem umgebenden, auf Mauer 13 liegenden Teil des Brandschutts von Raum A (vgl. Abb. 221,3) bzw. aus dem humosen, stark mit Holzkohle durchsetzten Geh- und Nutzungshorizont in der unmittelbaren Umgebung des Kalkbrennofens (Abb. 221,5). FK E06096 war fundleer, die restlichen Fundkomplexe enthielten jeweils nicht viele Funde.

Datierung des Fundmaterials: Das kleine Ensemble (Abb. 226) lässt sich kaum datieren, weil der Brandschutt im Bereich von Mauer 13 beim Anlegen des Kalkbrennofens gestört worden ist. Unter der Terra Sigillata finden sich ausschliesslich südgallische Elemente, die anhand der Schälchen **794** und **795** der Formen Drag. 35/36 und Drag. 33 in die flavische Zeit datiert werden können. Zwei Wandscherben aus Glanzton (o. Abb.) stammen von Bechern der Form Nb. 33, d. h. aus dem 3. Jahrhundert.

In diesem Fundensemble finden sich auch vier pyramidenförmige Glöckchen (**797–800**): Alle Glöckchen sind mit einem eisernen Klöppel versehen und weisen eine Brandpatina auf. Zu einem Glöckchen **798** gehört eine Tülle aus Eisen. Im gesamten Ensemble kommen neun solche Tüllen (**801–803** und o. Abb.) vor. Bei der Röntgenaufnahme dieser Tüllen wurde ersichtlich, dass zwei Tüllen ineinander geschoben sind[515]. Vielleicht gehören diese Tüllen zu einer Aufhängevorrichtung, welche die Glöckchen mit einer Lampe oder als Klangkörper zu einem Glockenspiel zusammenhielten[516]. Diesem können höchstwahrscheinlich zwei weitere Glöckchen aus Ensemble A11-OG (Abb. 177,**659** und o. Abb.) zugeordnet werden, die eine identische Form besitzen und auch die gleiche Blechdicke aufweisen[517]. Dies stützt die oben referierte Annahme, nach der es sich bei Ensemble A12 um verlagerte Funde aus dem am Ende von Phase 11 angefallenen Brandschutt handelt.

Katalog der Funde aus Ensemble A12 (Abb. 226)

Terra Sigillata

794 RS, TS (südgallisch), Schale Drag. 35/36. – Inv. 2002.063.E06095.1.

795 RS, TS (südgallisch), Schale Drag. 33. – Inv. 2002.063.E06095.2.

Übrige Keramik

796 RS, Krug mit Wulstrand. Ton hellbeige. – Inv. 2002.063.E06095.4.

Bronze

797 Pyramidenförmiges Glöckchen mit eisernem Klöppel. Mit Brandpatina. H. 3,2 cm, Gew. mit Klöppel 15,9 g. – Inv. 2002.063.E06094.1.

514 Das Eisenmesser Inv. 2002.063.E06091.4 wurde in einem Sammel-Fundkomplex geborgen, der auch verlagerte und neuzeitliche Funde aus der Hinterfüllung der 1967 errichteten Stützmauer umfasst. Es wurde deswegen in Ensemble A12 nicht berücksichtigt. Vgl. dazu auch Bauhofer, Tagebuch, S. 3: «In diesem Teil … muss nach der Tabernenrestaurierung [1967] sehr viel humoses Material aufgeschüttet worden sein, da mehrheitlich moderner Bauschutt (Beton), Backsteine, Gummi und nur wenige römische Funde zum Vorschein kommen».

515 Es handelt sich um die Inv. 2002.063.E06094.38.

516 Eine gute Parallele mit eisernen Tüllen als Aufhängekonstruktion ist uns nicht bekannt. Glockenspiele konnten im Haus (z. B. im Atrium) oder im Garten aufgehängt werden. Oder sie waren im Eingangsbereich eines Hauses/Ladens angebracht, sodass ein eintretender Gast (Geschäftspartner, Klient usw.) sich anmelden konnte. Vgl. hierzu Furger/Schneider 1993, 166–169 Abb. 10; Mühlenbrock/Richter 2005, 327 Kat. 8.65.

517 Die beiden Glöckchen (**659** und o. Abb.) stammen aus FK X06535, der im Jahr 1967 bei der Begradigung der Südböschung für die Errichtung einer aus konservatorischen Gründen benötigten Stützmauer geborgen wurde.

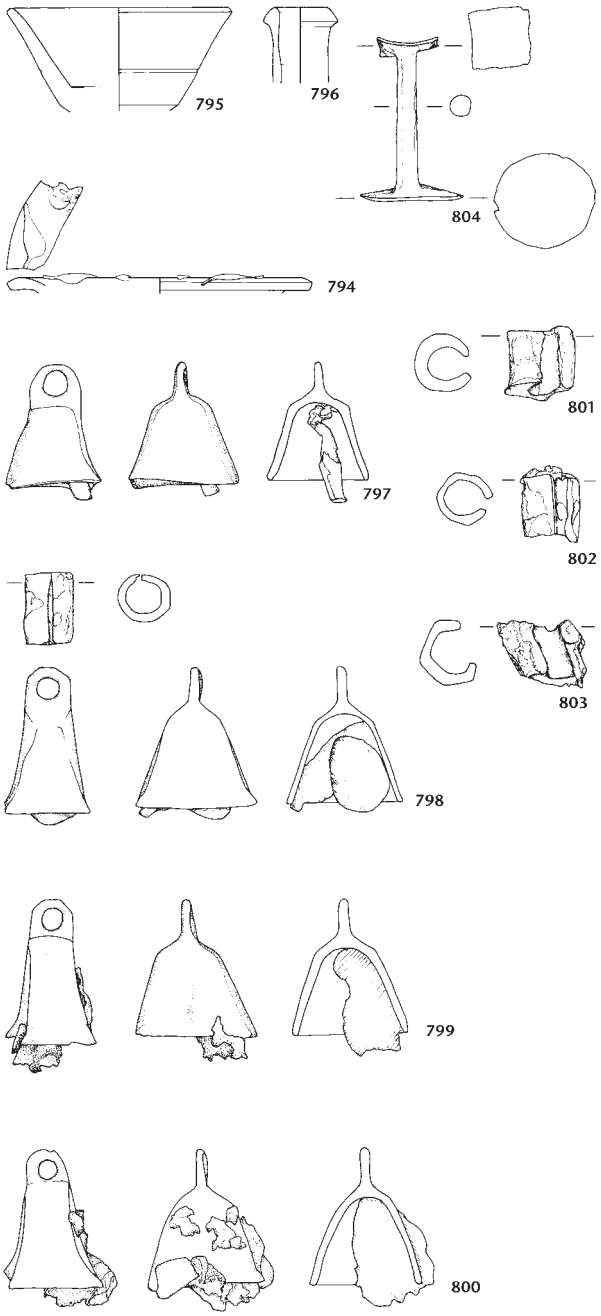


*Abb. 226: Augst BL, Insula 5/9, Raum A (Grabung 2002.063). Ensemble A12: Funde aus dem auf der Mauer 13 liegenden Teil des Brandschutts von Raum A bzw. aus den humosen, stark mit Holzkohle durchsetzten Geh- und Nutzungshorizonten beim Kalkbrennofen. M. 1:3 (Bronze und Eisen M. 1:2). **794, 795** Terra Sigillata, **796** Gebrauchskeramik, **797–800** Bronze, **801–804** Eisen.*

798 Pyramidenförmiges Glöckchen mit eingerostetem Klöppel und Steinchen im Gehäuse. Mit Brandpatina. H. 3,7 cm, Gew. mit Klöppel und ankorrodiertem Stein 23,3 g. – Inv. 2002.063. E06094.2. Dazu eine Tülle aus Eisen. L. 1,9 cm, Dm. 1,4 cm, Gew. 11,7 g. – Inv. 2002.063.E06094.2a.

799 Pyramidenförmiges Glöckchen mit ankorrodiertem Klöppel aus Eisen. An der Aussenseite Bronzeblechfragment ankorrodiert. Gesamtes Glöckchen mit Brandpatina. H. 3,6 cm, Gew. mit Klöppel 25,2 g. – Inv. 2002.063.E06094.3.

800 Pyramidenförmiges Glöckchen mit ankorrodiertem Klöppel aus Eisen. H. 3,6 cm, Gew. mit Klöppel 22,5 g. – Inv. 2002.063. E06094.4.

Eisen

801 Runde Tülle. L. 1,6 cm, Dm. 1,7 cm, Gew. 12 g. – Inv. 2002.063. E06094.30.

802 Runde Tülle. L. 1,6 cm, Dm. 1,5 cm, Gew. 9,8 g. – Inv. 2002.063. E06094.31.

803 Runde Tülle. In der Form stark verzogen und mit Brandpatina besetzt. An der Aussenseite haften Bronzereste an. L. 1,5 cm, Dm. 1,7 cm, Gew. 4,6 g. – Inv. 2002.063.E06094.35.

804 Verbindungselement. Stift mit einer runden und einer viereckigen Scheibe an den Enden. – Inv. 2002.063.E06094.5.

Nicht abgebildete Funde

Keramik

– Vgl. Abb. 225.

Bronze

– Bronzeblech. Evtl. von einem Schälchen? – Inv. 2002.063. E06094.15.

Eisen

– Vier runde Tüllen. – Inv. 2002.063.E06094.32–34.38.
– Sechs Verbindungselemente. Stifte mit runden und viereckigen Scheiben an den Enden. – Inv. 2002.063.E06094.6–11.
– Vierkantnagel. – Inv. 2002.063.E06094.29.
– Kleiner Pilzkopfnagel. – Inv. 2002.063.E06094.26.
– Eisenfragmente nicht näher bestimmbarer Form. – Inv. 2002. 063.E06094.22–25.27.28.36.37.
– Eisennagel. – Inv. 2002.063.E06095.7.
– Eisennägelchen. – Inv. 2002.063.E06095.8.
– Eisennägelchen. – Inv. 2002.063.E06095.9.
– Rechteckiges, längliches Fragment, stark korrodiert und nicht näher bestimmbar. – Inv. 2002.063.E06095.10.

Die Tierknochen aus Ensemble A12 (Elisabeth Marti-Grädel)

Die drei Fundkomplexe aus der Grabung 2002.063 lieferten lediglich zehn Knochenreste (Abb. 227). Die sieben bestimmbaren Reste stammen von Schaf/Ziege (n = 4), Hausschwein (n = 2) und Hausrind (n = 1). Fast alle Knochen sind gut erhalten (n = 9). Die Bruchkanten aller Fragmente sind nicht verrundet, weshalb von einer geringen mechanischen Belastung ausgegangen werden kann. Die Fragmente weisen zudem mehrheitlich alte Bruchkanten auf. Fünf Knochen zeigen Spuren von Brandeinwirkung: drei sind partiell oder ganz kalziniert, zwei verkohlt.

Ensemble A12 enthält Funde aus der Zeit zwischen 80 und 250 n. Chr. Die Tierknochen wurden deswegen nur beim räumlichen Vergleich berücksichtigt (vgl. Exkurs 2, unten S. 319 ff.).

Raum B: Befund

Wegen der eher kursorischen Beobachtungen in Profil 6 (vgl. oben Abb. 179) lässt sich Phase 12 in Raum B nicht fassen. Gesichert ist lediglich, dass der am Ende von Phase 11 angefallene Lehmversturz zwischen der Hangstützmauer 1A und Mauer 9 ebenfalls von einem mächtigen Mauerschuttpaket überlagert wird (vgl. Abb. 219). Aufgrund der Beobachtungen in Raum A darf aber davon ausgegangen

	Fragmentzahlen				Knochengewicht (g)			
	E06093	E06094	E06095	Total	E06093	E06094	E06095	Total
Bos taurus (Hausrind)			1	1			15,2	15,2
Ovis/Capra (Hausschaf/Hausziege)	1	2	1	4	2,1	4,1	1	7,2
Sus domesticus (Hausschwein)	1		1	2	0,7		1,5	2,2
TOTAL HAUSTIERE	2	2	3	7	2,8	4,1	17,7	24,6
TOTAL WILDTIERE	0	0	0	0				0
TOTAL HAUS- UND WILDTIERE	2	2	3	7	2,8	4,1	17,7	24,6
TOTAL GROSSGRUPPEN	0	0	0	0	0	0	0	0
Unbestimmbar, ohne Grössenangabe		1		1		0,5		0,5
Unbestimmbar, klein	1			1	0,2			0,2
Unbestimmbar, mittel		1		1		1,2		1,2
TOTAL UNBESTIMMBAR	1	2	0	3	0,2	1,7	0	1,9
GESAMTTOTAL	3	4	3	10	3,0	5,8	17,7	26,5

Abb. 227: Augst BL, Insula 5/9, Raum A (Grabung 2002.063). Ensemble A12: Tierartenliste, Fragmentzahlen und Knochengewicht (g).

werden, dass es sich teilweise ebenfalls um Primärschutt handelt. Für die Annahme sprechen nicht zuletzt auch die Beobachtungen im Bereich des vollständig erhaltenen und offensichtlich vom Mauerschutt überlagerten Backofens BO2.

Phase 13: Bau und Belegungszeit der *enceinte réduite* auf dem Kastelenplateau

Überblick

Wie Abbildung 228 zeigt, liegen die Räume A–E am Südrand des tiefgestaffelten Wall-Graben-Systems der spätrömischen *enceinte réduite*. Der Aushub der Gräben 1 und 2 hat einerseits zu einer partiellen Zerstörung der Mauern in den Räumen C (MR 3B) und D (MR 11) geführt und andererseits dazu beigetragen, dass der am Ende von Phase 11 angefallene Brandschutt in den Räumen A und B vor späteren Eingriffen verschont worden ist, indem er vom Aushub überdeckt wurde (Abb. 229). Teile von Raum C sowie der Heidenlochstrasse blieben von späteren Eingriffen verschont, weil sie unter den Wall B zu liegen kamen.



Abb. 228: Augst BL, Insula 5/9 (Grabungen 1965–1967.052 und 2002.063). Übersichtsplan mit den wichtigsten Befunden der Phase 13. M. 1:150. ***1*** *Ungefähre Ausdehnung des beim Aushub des Wall-Graben-Systems der* enceinte réduite *angefallenen und in den Räumen A und B entsorgten Abraums.* ***2*** *Säulentrommelkonzentration in Raum B.*

Raum A	Raum B	Raum C	Raum D	Raum E	Heidenlochstrasse
• Überdeckung des Brandschutts mit dem Ausläufer von Wall B bzw. mit Aushub der Gräben 2 und 3	• Überdeckung des Brandschutts mit dem Ausläufer von Wall B bzw. mit Aushub von Graben 2	• Überdeckung mit Wall B • MR 3B wird beim Aushub von Graben 3 durchschlagen	• MR 11 und der obere Teil der Verfüllung des Treppenhauses werden von Graben 3 durchschlagen (Abb. 237; 241)	• Keine Befunde (nicht untersucht)	• Überdeckung mit Wall B (= Aushub von Graben 2 und Graben 3)
• Beim Aushub von Graben 2 und Graben 3 resp. beim Anschütten von Wall B angefallener, stark mit Kies durchsetzter Abraum (Beil. 2D,6; Abb. 221,6)	• Mit lehmigen Sedimenten durchsetzter Mauerschutt (Abb. 37; 178; 179,5) • Konzentration von Säulentrommeln (Abb. 231)	• Aus Kies des Strassenkoffers der Heidenlochstrasse und aus Mauerschutt zusammengesetzte Überreste von Wall B (Beil. 2B,19; 2C,19; Abb. 237,9)			• Überreste von Wall B im Bereich des Strassengrabens (Abb. 232)
		• Ensemble C13 (Abb. 234) Datierung: um 220/250–270 n. Chr.			

Abb. 229: Augst BL, Insula 5/9 (Grabungen 1965–1967.052 und 2002.063). Synoptische Darstellung der Befunde und Fundensembles der Phase 13.

Raum A: Befund

Der Befund in der Fläche sowie die Stratigrafie zeigen, dass der am Ende von Phase 11 angefallene Brandschutt (Abb. 230,4) von Mauerschutt (Abb. 230,5) überlagert wird. Letzterer könnte zum Teil bereits in Phase 11 oder Phase 12 bzw. in Phase 13 angefallen sein. Der Mauerschutt kann zudem nach Aussage des zwischen 270 und 273 n. Chr. geprägten Antoninians für Divus Claudius II. (**622** = Abb. 230,A) frühestens um 270 n. Chr. entstanden sein.

Überlagert wird der Mauerschutt von einem gut 1 m mächtigen, heterogenen Schichtpaket (Beil. 2D,6.7)[518]. Es handelt sich dabei – wie aufgrund von anderen Aufschlüssen im Bereich der Insula 9 feststeht – mit Sicherheit um den Aushub des Grabensystems der *enceinte réduite* auf dem Kastelenplateau. Dass sich in den obersten Teilen von Profil 1a (Abb. 230; vgl. auch Beil. 2D) eine durch spätere Anschüttungen entstandene Schichtabfolge bzw. die inverse Stratigrafie des nördlich der Hangstützmauer 1C liegenden Areals (vgl. Beil. 2B; 2C) widerspiegelt, zeigen verschiedene Detailbeobachtungen:

- Bei den lehmigen Sedimenten mit den Kieseinschlüssen (Abb. 230,6) bzw. bei der Kiesschicht (Abb. 233,7) kann davon ausgegangen werden, dass es sich um Strassenkies aus der Heidenlochstrasse (= Beil. 2C,12A) handelt, die beim Aushub der Gräben 2 und 3 durchschlagen wurde. Die darin (Abb. 230,6) gefundenen Wandmalereifragmente[519] stammen wahrscheinlich zum Teil aus dem Planiematerial, das in Phase 7 am Westrand des eigentlichen Strassenkörpers angeschüttet worden ist (vgl. Beil. 2C,15).
- Die lehmigen Sedimente stammen sehr wahrscheinlich aus der Hinterfüllung der Hangstützmauer 1C, die beim Aushub der Gräben 2 und 3 durchschlagen worden ist (vgl. auch Abb. 228).
- Das Fehlen von Schneckenhäusern könnte dafür sprechen, dass der Mauerschutt (Abb. 230,5) sehr rasch vom Abraum (Abb. 230,6.7) überdeckt worden ist[520].

Das Fundmaterial aus dem Brandschutt sowie jenes aus dem oberen Teil der Verfüllung des Strassengrabens liefern somit nicht nur einen ungefähren *terminus ad* für die Brandkatastrophe am Ende von Phase 11, sondern auch einen hinreichend gut abgesicherten *terminus post quem* für den Bau der *enceinte réduite*[521]. Somit basiert die Datierung des Wall-Graben-Systems nicht mehr nur auf dem zwischen 270 und 273 n. Chr. geprägten Antoninian für Divus Claudius II. (**622**) und auf dem um 268 n. Chr. vergrabenen Bachofen'schen Münzschatz[522].

Raum B: Befund

Der im Rahmen der Grabungen 1965–1967.052 und 2002.063 untersuchte Teil von Raum B liegt am Südende von Wall B (vgl. Abb. 228). Die südliche Kante von Graben 2 wurde bei beiden Grabungen nicht beobachtet; sie dürfte jedoch knapp westlich der Grabungsgrenzen liegen[523].

518 In diesem Sinne auch Berger 1977, 34.
519 Otten 1994, Kat. 324; 326 = o. Abb. in diesem Band.
520 Vgl. Schwarz 2002, 77 ff., bes. Abb. 41.
521 Vgl. Schwarz 2002, Abb. 4A; 4B.
522 Dieser wurde in dem vom Wall A überdeckten Teil der Insula 9 gefunden. Vgl. Schwarz 1990, 45 ff., bes. Abb. 23 ff. sowie Weder 1990.
523 Vgl. Schwarz 1990, Abb. 25; Schwarz 2004, Beil. 1A.

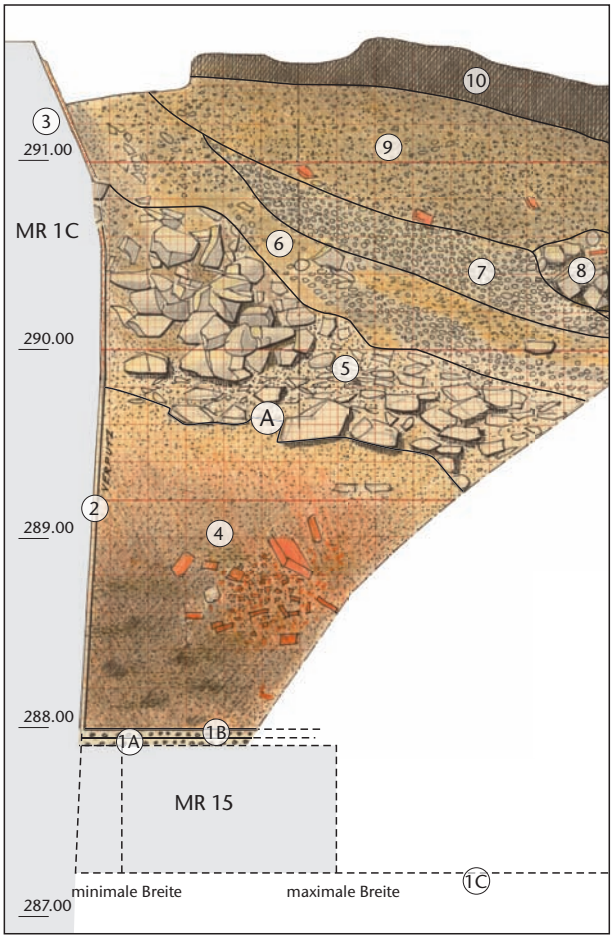


*Abb. 230: Augst BL, Insula 5/9, Raum A (Grabung 1965–1967.052). Ausschnitt aus Profil 1a (= Beil. 2D). M. 1:40. A bezeichnet die anhand der Angaben zu FK X04675 rekonstruierte Fundlage und Fundhöhe der jüngsten Münze aus dem Bereich der Grabung 1965–1967.052. Die Imitation eines zwischen 270 und 273 n. Chr. geprägten Antoninians für Divus Claudius II. (**622**) wurde in der Übergangszone zwischen dem eigentlichen Brandschutt (**4**) und dem darüber liegenden Mauerschutt (**5**) gefunden. **1A** Älterer «feiner» Terrazzoboden des hypokaustierten* cubiculum *aus Phase 6. **1B** Jüngerer «grober» Terrazzoboden des hypokaustierten* cubiculum *aus Phase 7. **1C** Unterboden des Hypokausts im* cubiculum. ***2** Wandverputz an Hangstützmauer MR 1C der Phasen 5 und 6. **3** Nachträglich in die Hangstützmauer MR 1C eingeschroteter Lichtschacht der Phase 5. **4** Mehrheitlich aus verbranntem Lehm zusammengesetzter Brandschutt des Obergeschosses aus Phase 11. **5** Stark mörtelhaltiger und im unteren Teil mit Brandschutt durchsetzter Mauerschutt; im unteren Bereich sicher Primärschutt der Phase 11, im oberen Teil wahrscheinlich auch beim Verfall bzw. beim Abbruch in Phase 12 entstanden resp. beim Aushub des Wall-Graben-Systems der* enceinte réduite *der Phase 13 angefallen. **6** Beim Aushub der Gräben 2 und 3 resp. beim Anschütten von Wall B in Phase 13 angefallener, stark mit Kies durchsetzter Abraum (stammt vermutlich aus dem Bereich der Heidenlochstrasse). **7** Beim Schleifen des Wall-Graben-Systems der* enceinte réduite *in Phase 14 angefallener Abraum mit hohem Kiesanteil. **8** Rest einer verstürzten Mauer, evtl. MR 1C (Phase 14 oder Phase 15). **9** Oberflächenschutt (Phase 15); zum Teil vermutlich im Zuge von Geländemeliorationen am Ende des 19. Jahrhunderts eingebracht. **10** Humuskante vor Grabungsbeginn.*



Abb. 231: Augst BL, Insula 5/9, Raum B (Grabung 1965–1967.052). Blick auf drei der insgesamt fünf bei MR 9 (oben) gefundenen Säulentrommeln (im Katalog nicht aufgeführt, da zurzeit nicht auffindbar). Links im Bild MR 4. Der Gesamtbefund in Raum B sowie die kiesig-lehmigen Sedimente lassen vermuten, dass die Säulentrommeln zusammen mit dem Aushub von Graben 2 in Raum B gelangten.

Wie Abbildung 231 zeigt, wird der Brand- und Mauerschutt in Raum B offenbar ebenfalls teilweise von lehmigen, mit Kieseinschlüssen durchsetzten Sedimenten überlagert. Es dürfte sich dabei – wie der Befund in Raum A nahelegt (vgl. Abb. 230,6) – um den Aushub von Graben 2 handeln. Die insgesamt fünf (!) Säulentrommeln, die am Fuss von Mauer 9 gefunden wurden, dürften zusammen mit dem Abraum in Raum B gelangt sein[524]. Der Umstand, dass in Mauer 3C nachweislich Spolien verbaut waren und dass diese von Graben 2 durchschlagen wird, könnte dafür sprechen, dass die Säulentrommeln bei der Instandstellung von Raum C (Phasen 9–11) in Mauer 3C verbaut worden waren und dann beim Aushub von Graben 2 verlagert wurden. Der Befund liefert übrigens ein weiteres Indiz dafür, dass die Wehrmauer zum Zeitpunkt, als das Wall-Graben-System angelegt wurde, wahrscheinlich bereits fertiggestellt war (vgl. oben S. 242): Die Säulentrommeln wären ansonsten sicher in der Fundamentstickung der Wehrmauer verbaut worden[525].

Raum C

Befund

Der Umstand, dass Raum C *zwischen* den Gräben 2 und 3, also *unter* dem Wall B liegt (vgl. Abb. 228), ermöglicht heu-

524 Es handelt sich möglicherweise um GSTL-Nr. 289 (= Inv. 1966.892a) und GSTL-Nr. 167 (= Inv. 1966.892c), die – wie die übrigen noch dieser Grabung zuweisbaren Architekturelemente – möglicherweise unter dem Sammel-FK X04675 registriert wurden. – Vgl. in diesem Zusammenhang auch Bauhofer, Tagebuch, S. 9: «Beim Begehen des Aushubs [des maschinell ausgehobenen Grabens in Raum B] fallen mir immer wieder Architekturelemente in die Hände».

525 Vgl. Schwarz 2002, Abb. 56; 57.



Abb. 232: Augst BL, Insula 5/9, Heidenlochstrasse (Grabung 1965–1967. 052). Ausschnitt aus dem oberen, an die nördliche Abschlussmauer (MR 3B) des Korridors (Raum C) anschliessenden Teil von Profil 1b (= Beil. 2C). Die Überreste von Wall B überlagern die Krone von MR 3B und Teile des am Ende von Phase 11 angefallenen Dachversturzes des Korridors (Raum C). Dieser liegt auf der dunklen, schlammigen Verfüllung des Strassengrabens der Heidenlochstrasse der Phasen 6 und 7.

te auch eine einigermassen gesicherte Interpretation des obersten Teils der Stratigrafie im Korridor bzw. im Areal der Heidenlochstrasse.

Die Zusammensetzung der mehrheitlich lehmigen, zum Teil mit Mauerschutt durchsetzten Sedimente (Beil. 2B,19; 2C,19) sowie das heterogene Fundgut zeigen nämlich deutlich, dass es sich um Sedimente handeln muss, die beim Aushub der Gräben 1 und 2 angefallen und dann für das Anschütten des zwischen der Heidenlochstrasse und der Hangstützmauer 1C liegenden Abschnitts von Wall B verwendet worden sind. Erhalten waren die Reste von Wall B namentlich im Bereich des südlichen Strassengrabens der Heidenlochstrasse bzw. auf Mauer 3B (Abb. 232). Gestützt wird die Ansprache dieser Sedimente als Überreste von Wall B auch durch den Befund in Profil 1a (Beil. 2B,19): Die zur Insula 9 gehörende Mauer 6 wird nämlich ebenfalls von Sedimenten überdeckt, die als Überreste von Wall B angesprochen werden können[526].

Das aus dem erhalten gebliebenen Teil von Wall B stammende Ensemble C13 umfasst demnach Funde aus älteren Kulturschichten, die beim Aushub der Befestigungsgräben verlagert worden sind. Aufgrund der Gesamtsituation bzw. des Arbeitsablaufs kann aber davon ausgegangen werden, dass die Funde aus dem Ensemble grösstenteils während der Phasen 9–11 bzw. kurz vor dem Anlegen von Wall B in den Boden gekommen sind.

Ensemble C13

Allgemeine Charakterisierung: Ensemble C13 umfasst sechs Fundkomplexe (FK X04645, FK X04680, FK X04692, FK X04698, FK X04747 und FK X06201; Abb. 233) aus dem untersten, *in situ* verbliebenen Teil von Wall B. Die meisten Funde stammen aus FK X04680. Die Gefässe weisen teilweise starke Brandspuren auf und der Überzug ist stark abgegriffen[527].

Datierung des Fundmaterials: Die Keramik aus Ensemble C13 (Abb. 234) zeigt – abgesehen von einigen Altstücken – in der Datierung ein gut übereinstimmendes Bild. Altstücke finden sich unter der Terra Sigillata und den Terra-Sigillata-Imitationen. Es handelt sich dabei um Gefässe, die noch in die zweite Hälfte des 1. Jahrhunderts datieren **(805, 809).**

Ansonsten umfasst das Ensemble Keramik, die in dieser Kombination als typisch für das zweite und dritte Viertel des 3. Jahrhunderts gelten darf[528]. Die Sigillata stammt vorwiegend aus ostgallischen Produktionen: Der Teller **806** der Form Ludowici Tg und die Schüssel **807** der Form Drag. 38 kommen in hadrianischer Zeit auf und sind bis in die Mitte des 3. Jahrhunderts geläufig[529]. Ostgallische, reliefierte Sigillata wie **808** ist gut vertreten. Charakteristisch für diesen Zeithorizont ist auch die Dominanz von Bechern der Form Nb. 33 **(811–814).** Die sogenannten bunten und für die Zeit kurz vor und nach 200 n. Chr. typischen Glanztonbecher fehlen hingegen.

Das Formenrepertoire der übrigen Gefässkeramik passt gut in den Zeitrahmen: so etwa die Teller mit eingebogenem oder auch verdicktem Rand **(815–817),** die Schüssel mit gerilltem Rand **818**, die Schüssel mit eng anliegendem, profiliertem Rand **823**, die Schüssel mit profilierter Wandung **824** und der Krug mit Bandrand **826**.

Die Kochkeramik mit dem handgemachten Kochtopf mit scharfkantig umgelegtem Rand **832** und die übrigen Kochtöpfe **828–830** stammen aus der Mitte des 3. Jahrhunderts. Etwas älter ist vielleicht der graue Kochtopf **831** mit mehrfach nach innen gekehltem Rand[530].

Ein besonderes Gefäss ist **825** – eine Schüssel mit gelochter Wand. Die Durchlochungen sind von aussen nach innen bogenförmig in den ungebrannten Ton eingestochen worden. Es handelt sich wohl um eine Art Siebgefäss, das in dieser Form jedoch als Unikat anzusprechen ist[531].

526 Vgl. dazu Schwarz 1994, 51 ff., bes. Abb. 15; 16 sowie Schwarz 2002, Abb. 4B,16.21 (Grabung 1971.055 bzw. Grabung 1989.055). Bei den in den entsprechenden Grabungsdokumentationen erwähnten «meist aus lehmigem Material bestehenden, mit Mörtelbrocken, Ziegelfragmenten und vereinzelten Kalkbruchsteinen durchsetzten Planieschichten» in der Befundzone C (vgl. ebd. Abb. 14) handelt es sich ebenfalls um die Überreste von Wall B.

527 So beispielsweise bei Inv. 1966.3840, Inv. 1966.3849 und Inv. 1966. 3857 aus FK X04680.

528 Vgl. Hoek 1991, 119 ff. Abb. 26–30; Schucany u. a. 1999, Taf. 74; 75 (Fundensembles D.10 Augst 9 und D.11 Augst 10) sowie Engeler-Ohnemus 2006, 216; 240 f. Taf. 13; 14.

529 Heiligmann 1990, 165 Tabelle 15.

530 Vgl. Martin-Kilcher 1980, 36 Taf. 34,13.14.

531 Vgl. zu den Siebgefässen Martin-Kilcher 1980, Taf. 51,4; Fünfschilling 2006, Taf. 141,2902.

Form/Typ	RS	BS	WS	HE	Total	MIZ
TS, südgallisch						
Drag. 27	1				1	1
Drag. 18	2				2	2
Drag. 29			1		1	1
Drag. 37	1	1	4		6	6
TS, mittelgallisch?/ostgallisch?						
Drag. 37			1		1	1
TS, ostgallisch						
Teller Ludowici Tg	1				1	1
Drag. 38	2				2	2
Drag. 37	2		4		6	6
TS-Imitation						
Teller Drack 2Aa	1				1	1
Imitation Drag. 37 (siehe **923**)	1		1		2	1
Glanztonkeramik						
Nb. 32	1				1	1
Nb. 33	17	7	33		57	40
Form unbestimmt		1			1	1
Übrige Keramik						
Helltonige Gebrauchskeramik						
Teller mit eingebogenem Rand	18				18	18
Schüssel mit Horizontalrand	7				7	7
Schüssel mit profiliertem Rand	38				38	36
Schüssel mit profilierter Wandung	3				3	3
Schüssel mit einwärts gebogenem Rand	1				1	1
Schüsselsieb	1				1	1
Flasche	1				1	1
Krug mit Bandrand	1				1	1
Sonstige Krüge				1	1	1
Helltonige Keramik, Form unbestimmt		1			1	1
Grautonige Gebrauchskeramik						
Teller mit eingebogenem Rand	2				2	2
Kragenrandschüssel	1				1	1
Schüssel mit gerilltem Horizontalrand	1				1	1
Schüssel mit einwärts verdicktem Rand	1				1	1
Scheibengedrehte Kochkeramik						
Kochtopf mit Leistenrand	20				20	19
Kochtopf	2				2	2
Reibschüssel	9				9	7
Handgemachte Kochkeramik						
Kochtopf mit scharfkantig umgelegtem Rand	1				1	1
Total Fragmente/MIZ	**136**	**10**	**44**	**1**	**191**	**168**

Abb. 233: Augst BL, Insula 5/9, Raum C (Grabung 1965–1967.052). Ensemble C13: Fundstatistik zur Keramik (FK X04645, FK X04680, FK X04692, FK X04698, FK X04747, FK X06201). MIZ = RS, BS, WS, HE.

Aus den beiden Münzen **834** und **835**, einem Sesterz des Traian und einer Imitation eines Dupondius des Claudius für Antonia, lassen sich keine genaueren Datierungshinweise für dieses Ensemble ableiten.

Katalog der Funde aus Ensemble C13 (Abb. 234)

Terra Sigillata

805 RS, TS (südgallisch), Teller Drag. 18. – Inv. 1966.3489, FK X04692.

806 RS, TS (ostgallisch), Teller Ludowici Tg. – Inv. 1966.3835, FK X04680.

807 RS, TS (ostgallisch), Schüssel Drag. 38. – Inv. 1966.3838, FK X04680.

808 RS, TS (ostgallisch), Schüssel Drag. 37. Relief: Eierstab schwach ausgeprägt und weggebrochen. – Inv. 1966.3846, FK X04680.

Übrige Keramik

809 RS, TS-Imitation, Teller Drack 2Aa. Ton orange mit orangem, abgeriebenem Überzug. – Inv. 1966.3650, FK X06201.

810 RS, Glanztonbecher Nb. 32. Ton orange mit brauner, matter Oberfläche. – Inv. 1966.3651, FK X06201.

811 RS, Glanztonbecher Nb. 33. Ton orange mit brauner, glänzender Oberfläche. – Inv. 1966.3850, FK X04680.

812 2 RS, Glanztonbecher Nb. 33. Ton grau mit grauer, leicht glänzender Oberfläche. Aussen mit Graffito auf Hals. Lesung: II. – Inv. 1966.3345b, FK X04698; Inv. 1966.3851, FK X04680.

813 2 RS, Glanztonbecher Nb. 33. Ton grau mit schwarzer, abgeriebener Oberfläche. – Inv. 1966.3854b.c, FK X04680.

814 3 RS, Glanztonbecher Nb. 33. Ton grau mit schwarzer Oberfläche. – Inv. 1966.3344a–c, FK X04698.

815 RS, Teller mit eingebogenem Rand. Ton orange mit innen rotem Überzug. – Inv. 1966.3930, FK X04680.

816 RS, Teller mit eingebogenem Rand. Ton grau. – Inv. 1966.3362, FK X04698.

817 RS, Teller mit leicht eingebogenem, verdicktem Rand. Ton orange, aussen grau und mit Feinkalk gemagert. – Inv. 1966.3939, FK X04680.

818 RS, Schüssel mit gerillter Randleiste. Ton orange mit Glimmerüberzug innen. – Inv. 1966.3491, FK X04692.

819 RS, Schüssel mit gerillter Randleiste. Ton grau. – Inv. 1966.3892, FK X04680.

820 RS, Schüssel mit horizontaler Randleiste. Ton orange. – Inv. 1966.3355, FK X04698.

821 RS, Schüssel mit profiliertem Rand. Ton orange. – Inv. 1966.3368, FK X04698.

822 2 RS, Schüssel mit profiliertem Rand. Ton orange, innen brandgeschwärzt. – Inv. 1966.3868.3872, FK X04680.

823 RS, Schüssel mit profiliertem Rand. Ton braunorange, verwittert und abgeschliffen. – Inv. 1966.3887, FK X04680.

824 RS, Schüssel mit profilierter Wandung. Ton orange. – Inv. 1966.3902, FK X04680.

825 RS, Schüsselsieb (?) mit Leistenrand. Ton orange, aussen leicht brandgeschwärzt. Von aussen sind bogenförmig angeordnete Löcher eingestochen. – Inv. 1966.3895, FK X04680.

826 8 RS, Krug mit Bandrand. Ton orange mit Resten von weissem Überzug aussen. – Inv. 1966.3940, FK X04680.

827 RS, Kochschüssel mit unterschnittenem Leistenrand. Ton orangebraun, aussen brandgeschwärzt. – Inv. 1966.3926, FK X04680

828 2 RS, Kochtopf mit kleinem ausbiegendem Rand. Ton schwarz. – Inv. 1966.3357a.b, FK X04698.

829 RS, Kochtopf mit leicht gekehltem und unterschnittenem Leistenrand. – Inv. 1966.3917, FK X04680.

830 RS, Kochtopf mit Leistenrand. Ton graubraun, über dem Rand und innen brandgeschwärzt. – Inv. 1966.3918, FK X04680.

831 RS, Kochtopf mit mehrfach gekehltem Rand. Ton mausgrau mit Kalkmagerung. – Inv. 1966.3908, FK X04680.

832 RS, Kochtopf mit scharfkantig umgelegtem Rand. Innen, über dem Rand sowie aussen auf der Oberfläche mit Kammstrichdekor. Handgemacht und überdreht. – Inv. 1966.3929, FK X04680.

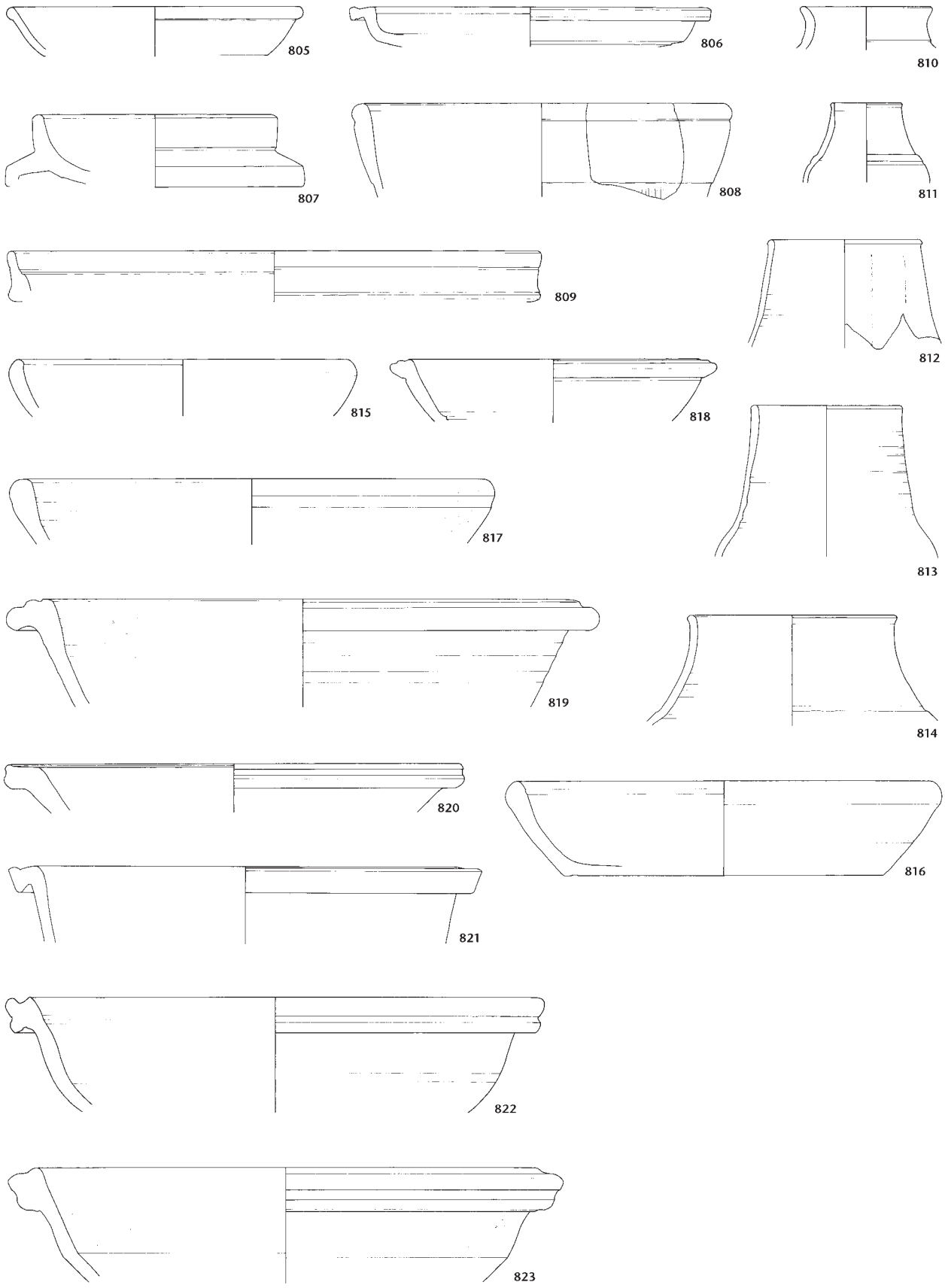


Abb. 234: Augst BL, Insula 5/9, Raum C (Grabung 1965–1967.052). Ensemble C13: Keramikfunde aus dem in situ *verbliebenen Teil von Wall B. M. 1:3.* ***805–808*** *Terra Sigillata,* ***809*** *Terra-Sigillata-Imitation,* ***810–814*** *Glanztonkeramik,* ***815–823*** *Gebrauchskeramik.*

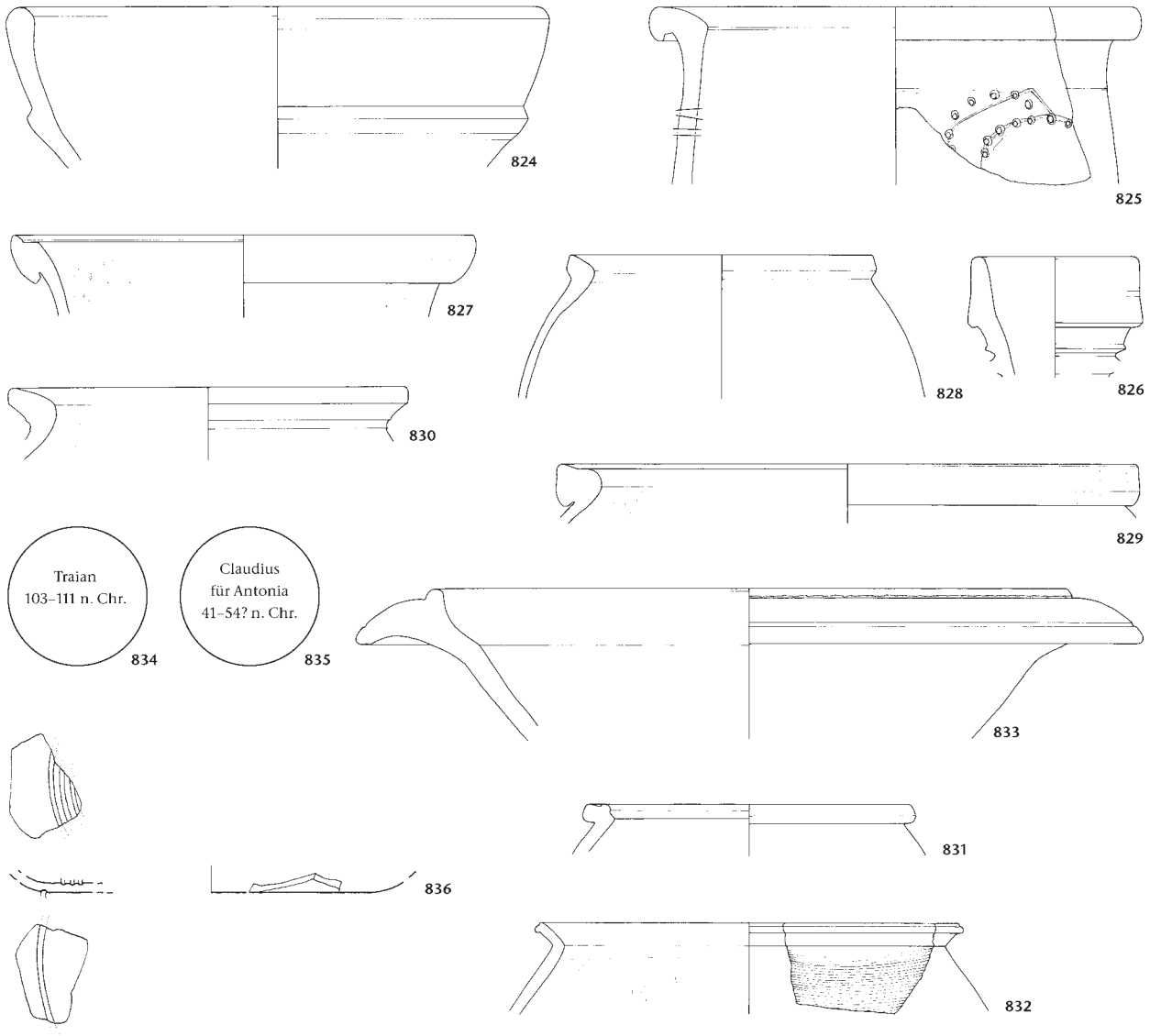


Abb. 234 (Fortsetzung): Augst BL, Insula 5/9, Raum C (Grabung 1965–1967.052). Ensemble C13: Keramikfunde aus dem in situ *verbliebenen Teil von Wall B. M. 1:3 (Glas M. 1:2).* ***824–833*** *Gebrauchskeramik,* ***834, 835*** *Münzen,* ***836*** *Glas.*

833 2 RS, «rätische» Reibschüssel. Ton orangebraun mit rotem Überzug über dem Rand und auf der Innenkehlung. Über dem Rand leicht brandgeschwärzt. – Inv. 1966.3899a.b, FK X04680.

Münzen

834 Traian. Sesterz. Rom, 103–111 n. Chr. Vgl. RIC II, S. 279, Nr. 483. A3/3, K3/3, 180°, 25,96 g. – Inv. 1966.3778, FK X04680. – Publ.: Peter 1996, Ins. 5.9/22.

835 Claudius für Antonia. Dupondius (Imitation). 41–54? n. Chr. Vs.: vgl. RIC 1(2), S. 127, Nr. 92; S. 129, Nr. 104; Rs.: vgl. RIC 1(2), S. 127, Nr. 94; S. 129, Nr. 110. A0/0, K4/4, 75°, 3,22 g. Hybrid, leicht verbogen. – Inv. 1966.3779, FK X04680. – Publ.: Peter 1996, Ins. 5.9/10.

Glas

836 BS, Schale, Form unbestimmbar. Sie setzt sich aus mehrfach kleinen aneinander geschmolzenen Plättchen aus blaugrünem, opakem Glas zusammen. Im Schaleninnern drei Schliffrillen; aussen eine Schliffrille. – Inv. 1966.3943, FK X04680. – Publ.: Rütti 1991/2, Kat. 888.

Nicht abgebildete Funde

Keramik

– Vgl. Abb. 233.
– Keramik, zurzeit nicht auffindbar. – Inv. 1966.3854a.3855.3856. 3941.3942.3944, FK X04680.

Bein

– Knochenfragment, «unbearbeitet», aber mit Hack- oder Schnittspuren. – Inv. 1966.9434, FK X04680.

Die Tierknochen aus Ensemble C13 (Elisabeth Marti-Grädel)

Vier Fundkomplexe von Ensemble C13 lieferten 98 Knochenfragmente, wovon 59 bestimmbar waren (Abb. 235). Bemerkenswert ist der sehr hohe Wildtieranteil (18,6%!). Die Wildtierreste stammen vor allem vom Wildschwein (n = 10); daneben ist auch der Rotfuchs bezeugt. Unter den Haustieren dominiert das Hausrind.

		X04645	X04680	X04747	X06201	Total	%
Fragmentzahlen	*Bos taurus* (Hausrind)	3	22	3	8	36	61,0
	Capra hircus (Hausziege)		1			1	1,7
	Ovis/Capra (Hausschaf/Hausziege)	2	1			3	5,1
	Sus domesticus (Hausschwein)	1		1	5	7	11,9
	Equus spec. (Pferd/Maultier/Maulesel)		1			1	1,7
	TOTAL HAUSTIERE	6	25	4	13	48	81,4
	Sus scrofa (Wildschwein)		10			10	16,9
	Vulpes vulpes (Rotfuchs)		1			1	1,7
	TOTAL WILDTIERE	0	11	0	0	11	18,6
	TOTAL HAUS- UND WILDTIERE	6	36	4	13	59	100,0
	Wiederkäuer unbest.		1		2	3	
	TOTAL GROSSGRUPPEN	0	1	0	2	3	
	Unbestimmbar, ohne Grössenangabe	2	23	3	8	36	
	TOTAL UNBESTIMMBAR	2	23	3	8	36	
	GESAMTTOTAL	8	60	7	23	98	
Gewicht (g)	Bestimmbare	150	1255	370	425	2200	
	Unbestimmbare	45	380	90	85	600	
	Total	195	1635	460	510	2800	

Abb. 235: Augst BL, Insula 5/9, Raum C (Grabung 1965–1967.052). Ensemble C13: Tierartenliste, Fragmentzahlen und summarische Gewichtsangaben (g).





*Abb. 236: Augst BL, Insula 5/9, Räume C und D (Grabung 1965–1967.052). **A** Blick an die beim Aushub von Graben 3 aus Phase 13 durchschlagene MR 11. Die Abschrotung entspricht in etwa dem Verlauf der östlichen Grabenkante. **B** Blick an die beim Aushub von Graben 3 aus Phase 13 durchschlagene MR 3A (unten) und MR 3B (oben). Die Abschrotung entspricht in etwa dem Verlauf der westlichen Grabenkante.*

Das Fundmaterial in Ensemble C13 ist sekundär verlagert worden (vgl. oben). Wegen der guten Datierung in den Zeitraum zwischen 250 und 270 n. Chr. wurden die Tierknochen bei der diachronen und bei der räumlichen Auswertung der Tierknochenfunde dennoch berücksichtigt und der vierten Zeitstufe (250–270 n. Chr.) zugewiesen (vgl. Exkurs 2, unten S. 319 ff.).

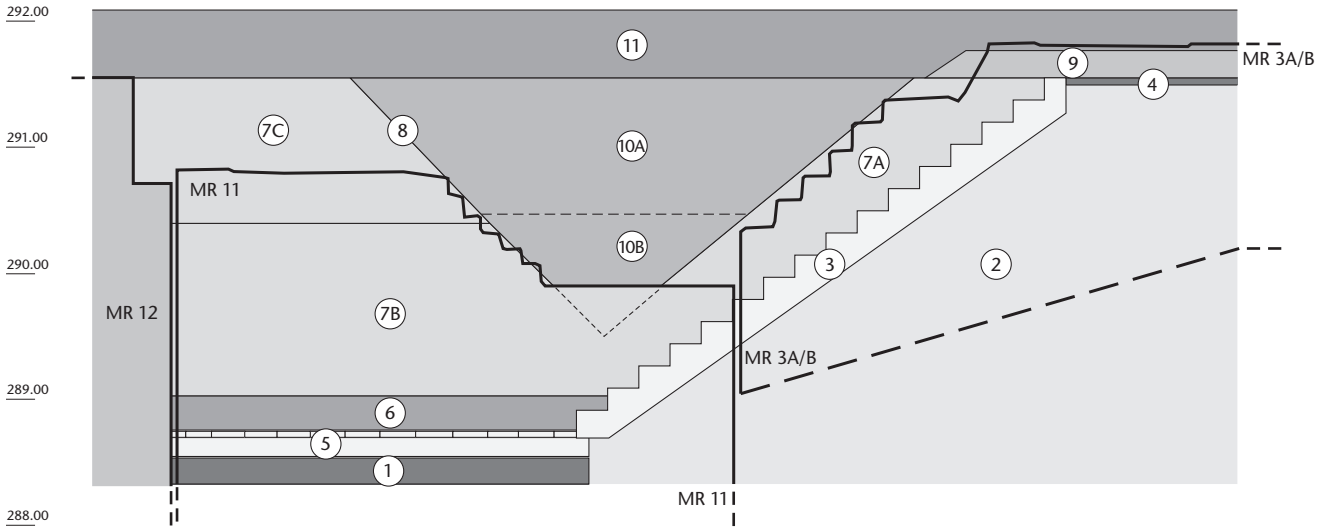


Abb. 237: Augst BL, Insula 5/9, Räume C und D (Grabung 1965–1967.052). Profilskizze 15 gibt die anhand von verschiedenen Informationen rekonstruierte Schichtabfolge im Bereich des Treppenhauses (Raum D) und im Korridor (Raum C) wieder. Basis: Abb. 123; 236 und Beil. 2C sowie Angaben auf den entsprechenden FK-Zetteln. M. 1:60. ***1*** *Nur punktuell untersuchte «sandig-lehmig-erdig-schuttige» Sedimente im Fundamentbereich der Hangstützmauer (MR 1B) sowie der MR 11 und MR 12 aus Phase 6. Abgebaut mit FK X06530 = Ensemble D6.* ***2*** *Hinterfüllung der Hangstützmauer MR 1C der Phase 5 im Bereich des Korridors (Raum C). Abgebaut mit FK X04713, FK X04718, FK X04734, FK X06242, FK X06244, FK X06503, FK X06515 = Ensemble C5.* ***3*** *Der Ostteil der Hinterfüllung wurde im Zusammenhang mit dem Bau des Treppenhauses (Raum D) in Phase 6 vermutlich rampenartig abgeböscht. Die Holztreppe, die aus dem Korridor (Raum C) in Raum D hinunterführte, ist im Befund nicht nachgewiesen.* ***4*** *Planie und jüngster Gehhorizont im Korridor (Raum C). Abgebaut mit FK X04710 und FK X04731 = Ensemble C7.* ***5*** *Brandschuttreste eines auf Balken verlegten und am Ende von Phase 7 verbrannten Bretterbodens.* ***6*** *In Phase 8 eingefüllter Schutt (verbrannte Kalkbruchsteine, Dachziegel, Mörtelreste). Abgebaut mit FK X06529 = Ensemble D8.* ***7A*** *Eingefüllter, lockerer Schutt: verbrannte Kalkbruchsteine, Dachziegel, Mörtelreste. Wurde mit FK X06528, der auch Funde aus der Verfüllung von Graben 3 umfasst, abgebaut (vgl. Ensemble D14).* ***7B*** *Entspricht dem oberen Teil von* ***6****, wurde jedoch zusammen mit* ***7A****, d. h. mit FK X06528 abgebaut.* ***7C*** *«Sandig-lehmig-erdig-schuttiges» Schichtpaket. Wurde mit FK X06227, der auch Funde aus der Verfüllung von Graben 3 umfasst, abgebaut (vgl. Ensemble D14).* ***8*** *Anhand der Abschrotungen an MR 3A/MR 3B und MR 11 rekonstruierter Umriss von Graben 3 der Phase 13.* ***9*** in situ *verbliebene Reste von Wall B. Abgebaut mit FK X04645, FK X04680, FK X04692, FK X04698, FK X04747 und FK X06201 = Ensemble C13.* ***10A*** *«Mörtelig-schuttige Auffüllung, im Süden humose schuttige Störung» = oberer Teil der Verfüllung von Graben 3 der Phase 14. Abgebaut mit FK X04691, FK X06217, FK X96220, FK X06227, FK X06228, FK X06528 = Ensemble D14.* ***10B*** *«Störung beim Abbruch der MR 3 [= MR 3A/MR 3B] und der Nische in MR 1 [= Hangstützmauer MR 1B]» = unterer, mit FK X06528 abgebauter Teil der Verfüllung von Graben 3 = Ensemble D14.* ***11*** *Humoser Oberflächenschutt der Phase 15. Abgebaut mit FK X04666 und FK V05058 = Ensemble C15.*

Raum D: Befund

Die seinerzeit beobachtete «Störung» im Bereich von Raum D kann heute anhand der treppenartigen Abschrotungen an den Mauern 11 (Abb. 236,A) und 3A/3B (Abb. 236,B)[532] zweifelsfrei als Fortsetzung des in den nordöstlich anschliessenden Insulae 9 und 10 über eine längere Strecke nachgewiesenen Grabens 3 der spätrömischen *enceinte réduite* angesprochen werden (vgl. Abb. 237,7A.B; vgl. auch unten Abb. 241)[533].

Aus dem Fehlen von Ausbruchspuren an der Hangstützmauer 1B darf ferner geschlossen werden, dass der Graben 3 offenbar hier endete, sich also nicht weiter nach Westen fortgesetzt hat (vgl. oben Abb. 228).

Nur approximativ erschliessbar sind hingegen die genauen Dimensionen[534] des hier vermutlich flachsohligen Grabens[535]. Die auf Abbildung 237 rekonstruierte Breite und die Neigung der Grabenwände lassen sich aber an den treppenförmigen Ausbrüchen an den Mauern 11 und 3A/3B sowie an Aufschlüssen in den Insulae 9 und 10 verifizieren. Da Mauer 11 unterhalb von 289,90 m ü. M. noch erhalten war, darf auch die angegebene Tiefe von Graben 3 im Bereich von Raum D als einigermassen gesichert gelten.

532 Vgl. auch Berger/Martin, Tagebuch, 05.09.1966: «Auch MR 3[A/B] ist im Bereich der oben erwähnten Störung ausgebrochen».

533 Vgl. Schwarz 2004, Beil. 1A.

534 Der in etwa auf der Flucht der hangseitigen Mauerschale von MR 11 verlaufende Nordostrand der Grabungsfläche musste so stark angeböscht werden, dass der Umriss des in die schuttige Auffüllung von Raum D eingetieften Grabens 3 höchstwahrscheinlich nicht zu erkennen war.

535 Vgl. dazu Grabung 1989.055 (Schwarz 1990, Abb. 20; 21), wo der Graben 3 allerdings eine spitze Sohle besitzt. Angesichts der Tatsache, dass z. B. auch bei Graben 1 lokale Abweichungen der Sohlenform beobachtet worden sind (vgl. Schwarz 1990, Abb. 8), darf die leicht abweichende Grabenform allerdings nicht überbewertet werden. Im konkreten Fall ist zudem zu berücksichtigen, dass der Graben in ältere, relativ lockere Füllschichten (Phase 8) eingetieft worden ist und dass die Form der Sohle nur für den knapp 40 cm breiten Bereich der MR 11 erschlossen werden kann.

Die etwa auf 291,60 m ü. M. ansetzenden Ausbruchspuren an den Mauern 11 und 3A/3B bezeugen zudem, dass Raum D schon vor dem Aushub von Graben 3 in Phase 13 bis auf die Höhe des Korridorbodens in Raum C verfüllt gewesen sein muss (vgl. Abb. 237,7C)[536].

Das aus der Verfüllung von Raum D geborgene Ensemble D8 liefert somit einen frühestens um die Mitte des 3. Jahrhunderts anzusetzenden *terminus post quem* für die Anlage des Wall-Graben-Systems bzw. für den Aushub von Graben 3.

Heidenlochstrasse

Ob die Heidenlochstrasse nach dem Anlegen des Wall-Graben-Systems weiterhin benutzt werden konnte, also allenfalls als Zufahrtsstrasse zur spätrömischen Befestigung gedient haben könnte, muss offen bleiben. Auf dem Strassenkörper konnten jedenfalls keine Überreste von Wall B beobachtet werden (Beil. 2B,12A)[537].

Dies könnte indirekt dafür sprechen, dass an dieser Stelle Holzbrücken über die Gräben führten und dass die in der Flucht der Heidenlochstrasse verlaufende Zufahrtsstrasse quasi durch einen von der östlichen bzw. westlichen Fortsetzung von Wall B gebildeten Hohlweg führte[538]. Die Existenz einer Toranlage und damit auch einer auf der Flucht der Heidenlochstrasse verlaufenden Zufahrtsstrasse scheint aufgrund der Konstruktionsweise des im Bereich der Südwestecke von Insula 6 nachgewiesenen Abschnitts der Wehrmauer allerdings eher fraglich[539].

536 Wie bereits erwähnt, dürfte das Treppenhaus nach Aussage des Fundmaterials aus Ensemble D8 schon am Ende von Phase 8 vollständig verfüllt gewesen sein (s. o. S. 124 f.). Jedenfalls ist kaum anzunehmen, dass das Treppenhaus erst bei der Anlage des Wall-Graben-Systems bis auf die Höhe der Mauerkronen aufgefüllt worden ist, um den Graben 3 in die eben eingebrachte Verfüllung eintiefen zu können.

537 Da die Heidenlochstrasse im Bereich der Hangkante liegt (vgl. Abb. 3; Beil. 1), kann allerdings nicht völlig ausgeschlossen werden, dass die auf der Strasse liegenden Überreste von Wall B bei der Schleifung der Befestigung (Phase 14) oder gar bei den neuzeitlichen Meliorationsarbeiten (Phase 15) zerstört worden sind.

538 Die Existenz eines solchen Hohlweges würde auch erklären, weshalb in diesem Bereich beim Anlegen der Gräben 2 und 3 so viel überschüssiger Aushub angefallen ist, dass der Brandschutt in Raum A von einer mindestens 1 m hohen Abraumschicht überdeckt worden ist.

539 Vgl. Schwarz 2002, Abb. 4B,19 Beil. 1A.

Phase 14: Schleifung der *enceinte réduite* auf dem Kastelenplateau

Überblick

Befunde aus der Belegungszeit der *enceinte réduite* liegen im fraglichen Areal nicht vor (Abb. 238). Dies ist nicht weiter erstaunlich, da in diesem Zeitraum (ca. 276–320 n. Chr.) ohnehin nicht zwingend mit grösseren befestigungszeitlichen Aktivitäten zu rechnen ist[540].

Zweifelsfrei nachweisen lässt sich hingegen die u. a. auch im Areal der benachbarten Insula 9 nachweisbare Schleifung der *enceinte réduite:* Der im Bereich von Raum C liegende Wall B wurde nämlich bis auf die bereits erwähnten dürftigen Überreste abgetragen, während der im Bereich von Raum D liegende Graben 3 verfüllt wurde. In Raum A, wahrscheinlich auch in Raum B, scheint der bereits in Phase 13 abgelagerte Abraum von Sedimenten überdeckt worden zu sein, die beim Schleifen von Wall B anfielen.

Raum A

Befund

In Raum A überlagerten Teile des abgetragenen Walles B die älteren, beim Aushub der Gräben 2 und 3 in Phase 13 angefallenen Sedimente. Da dieser Sachverhalt erst später erkannt wurde, basiert die Ansprache dieser Sedimente als Relikt der andernorts zweifelsfrei nachgewiesenen gezielten Schleifung des Wall-Graben-Systems in erster Linie auf der Schichtabfolge in Profil 1b (Beil. 2D,8.9). Da die fraglichen Schichten im Bereich der stark abfallenden Hangkante liegen, liess sich lediglich ein einziger Fundkomplex mit hinreichender Sicherheit der Phase 14 zuweisen.

Ensemble A14

Allgemeine Charakterisierung: Ensemble A14 (Abb. 239) umfasst einen einzigen Fundkomplex (FK X04739) mit insgesamt sechs Funden. Das Ensemble ist somit zu klein, um einen gesicherten Anhaltspunkt für die Datierung der Schleifung der *enceinte réduite* zu liefern.

Datierung des Fundmaterials: Die wenigen Funde (Abb. 240) sind mit einem Altstück, einem Teller **837** der Form Drack 2, vermischt[541]. Jüngstes Element ist der stark sekundär verbrannte Kochtopf **840** mit kleinem, kurzem, scharfkantig umgelegtem Rand und hochgezogener Schulter. Solche handgemachten Kochtöpfe – im konkreten Fall handelt es sich um ein bemerkenswert gedrungenes und bauchiges Exemplar – kommen in Augusta Raurica ab 220/230 bis um 300 n. Chr. vor[542]. Dieser kurze Rand und die bauchige

540 Vgl. Schwarz 2002, Abb. 4A; 4B Beil. 1A.

541 Vgl. Furger/Deschler-Erb 1992, Kat. 6/39.

542 Grundlegend zu diesen Kochtopftypen: Martin-Kilcher 1980, 40–44 mit weiteren Belegen und Schatzmann (in Vorb.).

Raum A	Raum B	Raum C	Raum D	Raum E	Heidenlochstrasse
• Überdeckung des Brandschutts (Phase 11) bzw. des Mauerschutts (Phasen 11 und 12) und des Grabenaushubs (Phase 13) mit Abraum	• Überdeckung des Brandschutts (Phase 11) bzw. des Mauerschutts (Phasen 11 und 12) und des Grabenaushubs (Phase 13) mit Abraum (?)	• Schleifung von Wall B	• Schleifung von Wall B	• Keine Befunde (nicht untersucht)	• Schleifung von Wall B
• Beim Schleifen des Wall-Graben-Systems der *enceinte réduite* angefallener Abraum mit hohem Kiesanteil (Beil. 2D,7; Abb. 221,6) • Rest einer verstürzten Mauer stammt evtl. von MR 1C (Beil. 2D,8)			• Verfüllung von Graben 3		
• Ensemble A14 (Abb. 240) Datierung: um 50–gegen 300 n. Chr.			• Ensemble D14 (Abb. 243) Datierung: um 50–gegen 300 n. Chr.		

Abb. 238: Augst BL, Insula 5/9 (Grabungen 1965–1967.052 und 2002.063). Synoptische Darstellung der Befunde und Fundensembles der Phase 14.

Form/Typ	RS	BS	WS	HE	Total	MIZ
TS-Imitation Drack 2	1				1	1
Glanztonkeramik Nb. 33	1	1	1		3	3
Übrige Keramik *Helltonige Gebrauchskeramik* Schüssel/Topf (?)	1				1	1
Handgemachte Kochkeramik Kochtopf mit scharfkantig umgelegtem Rand	1				1	1
Total Fragmente/MIZ	**4**	**1**	**1**		**6**	**6**

Abb. 239: Augst BL, Insula 5/9, Raum A (Grabung 1965–1967.052). Ensemble A14: Fundstatistik zur Keramik (FK X04739). MIZ = RS, BS, WS, HE.

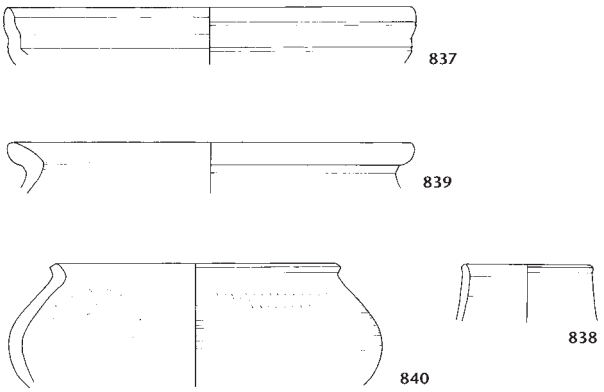


*Abb. 240: Augst BL, Insula 5/9, Raum A (Grabung 1965–1967.052). Ensemble A14: Funde aus dem beim teilweisen Einebnen von Wall B entstandenen und im Bereich von Raum A entsorgten Abraums (vgl. Beil. 2D,7). M. 1:3. **837** Terra Sigillata, **838** Glanztonkeramik, **839, 840** Gebrauchskeramik.*

Form sprechen für eine Datierung ins letzte Viertel des 3. Jahrhunderts.

Katalog der Funde aus Ensemble A14 (Abb. 240)
Keramik

837 RS, TS-Imitation, Teller Drack 2. Ton hellorange mit rotem, abgeschliffenem Überzug. – Inv. 1965.3636, FK X04739.

838 RS, Glanztonbecher Nb. 33. Ton grau mit schwarzer Oberfläche. – Inv. 1965.3637, FK X04739.

839 RS, Schüssel/Topf (?) mit umgelegtem Rand. Ton orange. – Inv. 1965.3641, FK X04739.

840 RS, Kochtopf mit kurzem, scharfkantig umgelegtem Rand. Ton grau mit weisser Oberfläche. Aussen Kammstrichdekor. Handgemacht. Stark sekundär verbrannt. – Inv. 1965.3640, FK X04739.

Nicht abgebildete Funde
Keramik

– Vgl. Abb. 239.



Abb. 241: Augst BL, Insula 9 (Grabung 1971.055). Blick auf die etwa 10–15 m nördlich von Raum D liegenden, ebenfalls von Graben 3 durchschlagenen Mauern im Inneren der Insula 9. Der hier angetroffene Befund bildete einen wichtigen Anhaltspunkt für das Verständnis und die Rekonstruktion der Befunde der Phasen 13 und 14 in den Räumen C und D. Die Aufnahme zeigt überdies sehr deutlich, dass die in Phase 14 eingebrachte Grabenverfüllung in der Fläche kaum als solche identifizierbar ist.

Wandverputz

– Fragment Wandverputz. Rot. – Inv. 1965.3634, FK X04739. – Publ.: Otten 1994, 67 Kat. 324.
– 2 Fragmente Wandverputz. Rot und gelb; mit weisser Linie abgetrennt. – Inv. 1965.3633.3635, FK X04739. – Publ.: Otten 1994, 67 Kat. 324.

Die Tierknochen aus Ensemble A14 (Elisabeth Marti-Grädel)
Aus dem Ensemble A14 liegen lediglich sieben Knochenfragmente vor (vgl. Exkurs 2, Abb. 303). Die fünf bestimmbaren Fragmente stammen von Hausschwein (n = 3) und Hausrind (n = 2).

Ensemble A14 enthält Funde aus der Zeit zwischen dem 1. und dem späten 3. Jahrhundert. Die Tierknochen wurden deswegen nur beim räumlichen Vergleich berücksichtigt (vgl. Exkurs 2, unten S. 319 ff.).

Raum D

Befund
Im Bereich von Raum D lässt sich die Schleifung des Wall-Graben-Systems in Form der Verfüllung von Graben 3 besser nachweisen (Abb. 241). Letztere setzte sich aus den weiträumig verlagerten schuttig-lehmig-humosen Sedimenten des fast vollständig eingeebneten Walles B zusammen.

Belegen lässt sich diese weiträumige Verlagerung unter anderem anhand *dreier Passscherben des gläsernen Vierkantkrugs* **891** der Form Isings 50: Zwei Fragmente dieses Vierkantkrugs wurden westlich von Mauer 4 *über* dem in Raum B liegenden Mauerschutt (Phase 12 oder Phase 13) gefunden, eine Passscherbe im untersten Teil der Verfüllung von Graben 3.

Das aus der Verfüllung von Graben 3 stammende Fundmaterial stellt einen typischen Mischkomplex mit Fundgut aus dem 1. bis zum späteren 3. Jahrhundert dar, was

angesichts der mehrheitlich *tertiär verlagerten Sedimente* nicht anders zu erwarten ist. Dies trifft namentlich auf den oberen Teil der Verfüllung von Graben 3 zu (FK X06217).

Die Analyse dieser – wie Passscherben des Gefässes **220 (= 842)** in Ensemble HL7 und D14 zeigen – tertiär verlagerten Funde erschien deswegen sinnvoll, weil auch während der Belegungszeit der *enceinte réduite* (Phase 13) Abfälle im Bereich des Wall-Graben-Systems entsorgt worden sein könnten.

Ensemble D14

Allgemeine Charakterisierung: Ensemble D14 umfasst sechs Fundkomplexe (FK X04691, FK X06217, FK X96220, FK X06227, FK X06228 und FK X06528) (Abb. 242). Die Funde (Abb. 243) stammen aus der Verfüllung von Graben 3 und sind sehr heterogen zusammengesetzt. Neben den mehrheitlich ins 3. Jahrhundert zu datierenden Gefässen liegen auch einige Altfunde aus dem 1. Jahrhundert vor. Ein Element – die Reibschüssel **886** – verweist das Ensemble an das Ende des 3. Jahrhunderts oder vielleicht bereits an den Anfang des 4. Jahrhunderts. Aufgrund der Schichtgenese wäre es aber nicht verwunderlich, wenn auch neuzeitliche Scherben im Material vorhanden wären. Leider sind diese – falls in den Jahren 1965–1967 zum Vorschein gekommen – nicht aufgehoben und vielleicht bereits auf der Grabung entsorgt worden.

Datierung des Fundmaterials: Die Terra-Sigillata-Gefässe streuen vom 1. bis in das dritte Viertel des 3. Jahrhunderts. So kann die Schale **841** der Form Hofheim 5 noch ins zweite Viertel des 1. Jahrhunderts datiert werden[543]. Dagegen gehören die Formen Nb. 12 **(842)** und Drag. 33 **(843, 844)** mit geradliniger oder leicht nach innen gebogener Wandung in das zweite und dritte Viertel des 3. Jahrhunderts[544]. Die Teller **845** und **846** der Form Drag. 32 finden sich in grösserer Anzahl ab der zweiten Hälfte des 2. Jahrhunderts. Ein aus der Rheinzaberner Produktion stammender Teller **846** trägt einen Stempel des Töpfers Iucundus vi und wird in die Jahre zwischen 170 und 260 n. Chr. datiert. Ein identisches Exemplar – ebenfalls mit einem Stempel des Töpfers Iucundus vi – findet sich in Ensemble A11-BO1 (vgl. **306**). Bei der Glanztonkeramik **849–858** reicht die Datierungsspanne von der zweiten Hälfte des 2. Jahrhunderts bis in die Jahre nach 250 n. Chr. Die jüngsten Formen bilden wiederum Becher **854–856** der Form Nb. 33, des ab dem ersten Viertel des 3. Jahrhunderts in Augusta Raurica häufigsten Bechertyps[545].

Aus der Zeit kurz vor bzw. kurz nach 250 n. Chr. stammt auch die Mehrheit der übrigen Gebrauchskeramik: so etwa die Schüsseln mit gerilltem oder profiliertem Rand **862–868**, die Schüsseln mit profilierter Wandung **869** und **870**, die Schüsseln mit weit ausgebogenem Rand und Wandknick **871** und **872**, der Krug mit Bandrand **874** und die Kochtöpfe mit Leistenrand **880–884**[546].

Als jüngstes Element innerhalb von Ensemble D14 kann die ungewöhnliche Reibschale **886** mit horizontalem Kragenrand und flacher Wandneigung angesprochen werden. Vergleichbare Reibschalen finden sich in den Inventaren eines Kellers in Kaiseraugst-Im Liner[547] und des spätrömischen Getreidespeichers in Rheinfelden-Augarten-West[548]. Sie können dort mit guten Gründen in das frühere 4. Jahrhundert datiert werden. Dieses Stück zeigt, dass während der Belegungszeit der *enceinte réduite*, vielleicht sogar während der Schleifung selbst, im *extra muros* gelegenen Bereich mit einem schwachen Fundniederschlag zu rechnen ist. Die Reibschale **886** zeigt zudem auch, dass Graben 3 allerfrühestens um 300 n. Chr. verfüllt worden sein kann[549].

Zu erwähnen sind ferner der innen und aussen rot bemalte Räucherkelch **875**[550], das möglicherweise von einem Milchkochtopf stammende Fragment **876** und der grautonige Griff **877** einer Griffschale[551].

Die beiden Münzen **889** und **890**, ein Denar des Titus und ein As des Nerva, stammen aus dem ausgehenden 1. Jahrhundert und liefern keine verwertbaren Anhaltspunkte für die Datierung der Keramikfunde.

Die Kleinfunde **892** und **893** sind einem militärischen Zusammenhang zuzurechnen. Bei **893** handelt es sich um den Teil eines Pferdegeschirrs[552] und bei **894** um einen Geschossbolzen oder eine Wurfspeerspitze[553]. Die beiden Militaria stützen die Annahme, dass Armeeangehörige am Bau und/oder an der Schleifung der *enceinte réduite* beteiligt waren[554].

543 Rütti 2004, 194 Abb. 137,576.

544 Zur Datierung der Form Drag. 33 vgl. Heiligmann 1990, 165. Zur Datierung der Form Nb. 12 vgl. Schucany u. a. 1999, 155 Taf. 74 (Fundensemble D.10 Augst 9: 230–250 n. Chr.).

545 Schucany u. a. 1999, 155 Taf. 74 (Fundensemble D.10 Augst 9: 230–250 n. Chr.).

546 Zwei für alle aufgeführten Typen repräsentative Vergleichskomplexe finden sich bei Schucany u. a. 1999, Taf. 73; 74 (Fundensembles D.9 Augst 8 und D.10 Augst 9). Zu den weniger häufigen Schüsseln mit weit ausgebogenem Rand und Wandknick vgl. Martin-Kilcher 1980, 30–32 Taf. 28,9.10; Castella/Meylan Krause 1994, 49 Form 137/2; Schatzmann (in Vorb.), Kat. 859.

547 Vgl. Bender 1987, 39 Taf. 6,80 (zur Datierung des Fundkomplexes X02651 vgl. Bender 1987, 45).

548 Vgl. Asal 2005, 88 mit weiteren Belegen und Taf. 8,B122.

549 Das besser stratifizierte Fundmaterial aus der in der Insula 9 liegenden Fortsetzung von Graben 3 und die Funde aus den Gräben 1 und 2 zeigen – mehr oder weniger übereinstimmend – ein genaueres Bild (vgl. Martin-Kilcher 1985, 191 ff., bes. Abb. 31; 32). Im Fall von Graben 3 ist angesichts der grossen Entfernung zur Wehrmauer allerdings kaum mit einem befestigungszeitlichen Fundniederschlag zu rechnen. Vgl. dazu allgemein auch Schwarz 2002, Abb. 4A; 4B Beil. 1A,3.9.10.14–16.21.

550 Zu einem vergleichbaren, jedoch nicht bemalten Räucherkelch vgl. Martin-Kilcher 1980, Taf. 5,1.

551 Vgl. ähnliches Gefäss mit Griff: Schmid 2008, Taf. 10,141.

552 Ein ähnliches Exemplar wurde von Deschler-Erb 1999, 58–61 Taf. 34,654 vorgelegt.

553 Zur Problematik der Unterscheidung zwischen Geschossbolzen und Wurfspeerspitzen vgl. Deschler-Erb 1999, 17.

554 Erwiesen ist die Beteiligung von Militärangehörigen beim Bau des Nordabschnitts der Wehrmauer. Vgl. dazu Schwarz 2004, 216 ff.

Form/Typ	RS	BS	WS	HE	Total	MIZ
TS, südgallisch						
Hofheim 5	1				1	1
Drag. 35/36	1				1	1
Drag. 33	2	2			4	4
Drag. 18	1				1	1
Drag. 37	3		4		7	6
TS, mittelgallisch?-ostgallisch?	2				2	2
Drag. 33	3		4		7	6
Drag. 37						
TS, ostgallisch	1				1	1
Nb. 12 (vgl. **220**)	1				1	1
Drag. 40	6	2	1		9	4
Drag. 33	9	2	1		12	4
Drag. 32	1	3			4	4
Drag. 31	5	1	6		12	7
Drag. 37						
Glanztonkeramik						
Becher mit Karniesrand	4				4	4
Becher mit verdicktem Rand	2				2	2
	3				3	3
Nb. 30	1		3		4	1
Nb. 31	10	11	50		71	59
Nb. 33		4	4		8	7
Form unbestimmt						
Übrige Keramik						
Helltonige Gebrauchskeramik						
Teller mit eingebogenem Rand	14				14	14
Schüssel mit gerilltem Horizontalrand	5				5	5
Schüssel mit profiliertem Rand	24				24	22
Schüssel mit ausbiegendem Wulstrand	4				4	4
Schüssel mit profilierter Wandung	7				7	5
Flasche?	1				1	1
Honigtopf	1				1	1
Krug	1				1	1
Bemalte Krugscherben			4		4	4
Helltonige Keramik, Form unbestimmt		2	2		4	4
Grautonige Gebrauchskeramik						
Teller mit eingebogenem Rand	2				2	2
Schüssel mit gerilltem Horizontalrand	1				1	1
Schüssel mit profiliertem Rand	4				4	4
Schüssel mit einwärts gebogenem Rand	2				2	2
Kragenrandschüssel	2				2	2
Pateragriff				1	1	1
Räucherkelch	1		1		2	1
Milchkochtopf		1			1	1
Scheibengedrehte Kochkeramik						
Kochteller	2				2	1
Kochtöpfe	4				4	3
Kochtopf mit Leistenrand	7				7	7
Kochdeckel	1				1	1
Kochgefäss, Form unbestimmt		2		1	2	2
Reibschüssel	3				3	3
«Rätische» Reibschüssel	6				6	6
Amphore (Martin-Kilcher 1987/1994, Kat. 879; 1514)	1				2	2
Handgemachte Kochkeramik	2				2	2
Kochtopf						
Total Fragmente/MIZ	**151**	**30**	**80**	**2**	**263**	**220**

Abb. 242: Augst BL, Insula 5/9, Raum D (Grabung 1965–1967.052). Ensemble D14: Fundstatistik zur Keramik (FK X04691, FK X06217, FK X06220, FK X06227, FK X06228, FK X06528). MIZ = RS, BS, WS, HE.

Katalog der Funde aus Ensemble D14 (Abb. 243)

Terra Sigillata

841 RS, TS (südgallisch), Schale Hofheim 5. – Inv. 1966.4101, FK X06220.

842 RS, TS (ostgallisch), Schale Nb. 12. – Inv. 1966.3288a, FK X04691. – Passscherbe: **220** (Ensemble HL7). – Publ.: Bruckner 1975, 69,32.

843 3 RS, BS, TS (ostgallisch), Schale Drag. 33. – Inv. 1966.3239, FK X06228.

844 RS, WS, BS, TS (ostgallisch), Schälchen Drag. 33. – Inv. 1967.569a–c, FK X06528.

845 RS, TS (ostgallisch), Teller Drag. 32. – Inv. 1966.3281, FK X04691.

846 5 RS, 2 WS, BS, TS (ostgallisch), Teller Drag. 32. Mit zentralem Bodenstempel: IVCVNDV (Iucundus vi, Rheinzabern, 170–260 n. Chr.[555]). – Inv. 1967.567a–g, FK X06528. – Publ.: Bruckner 1975, 67,1.

847 RS, TS (südgallisch), kleine Schüssel Drag. 37. Oberfläche stark glänzend, Relief schlecht ausgeprägt. Relief: Eierstab mit kleinem Kern und zwei umlaufenden Stäben, linker Beistrich, im Feld ein nach rechts springender Hirsch (?) zwischen Grasbüscheln als Füllornamente, daneben Reste einer Trennstütze. – Inv. 1966.3247, FK X06228.

848 5 RS, 2 WS, TS (ostgallisch), Schale Drag. 37. Relief: Eierstab mit Beistrich; Relief weggebrochen. – Inv. 1967.571a–f.572, FK X06528.

Übrige Keramik

849 RS, Glanztonbecher mit Karniesrand. Ton orange mit schwarzer Oberfläche, im Ansatz ist noch eine Delle erkennbar. – Inv. 1966.3260, FK X06228.

850 RS, Glanztonbecher mit Karniesrand. Ton hellorange mit oranger Oberfläche. Auf der Schulter Ratterblechverzierung. – Inv. 1966.3113, FK X06217.

851 RS, Glanztonbecher Nb. 30. Ton orange mit schwarzer Oberfläche. – Inv. 1966.4109, FK X06220.

852 RS, Glanztonbecher Nb. 30. Ton orange mit orangebraunem Überzug. – Inv. 1967.579, FK X06528.

555 Die Lesung, Datierung und Produktionszuweisung erfolgten durch Brenda Dickinson, Leeds.

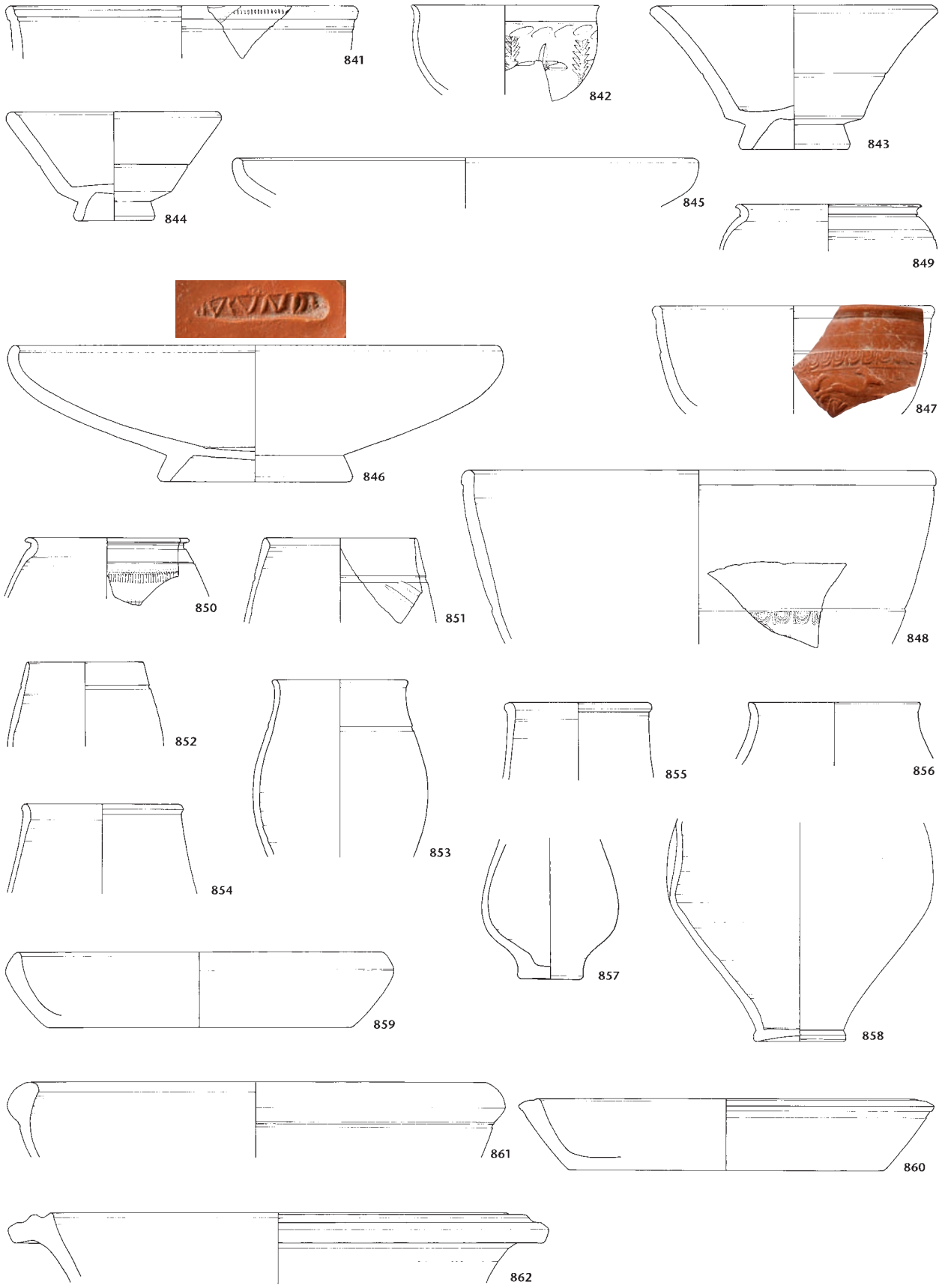


Abb. 243 (Fortsetzung): Augst BL, Insula 5/9, Raum D (Grabung 1965–1967.052). Ensemble D14: Funde aus der Verfüllung von Graben 3. M. 1:3 (Stempel M. 2:3). ***841–848*** *Terra Sigillata,* ***849–858*** *Glanztonkeramik,* ***859–862*** *Gebrauchskeramik.*

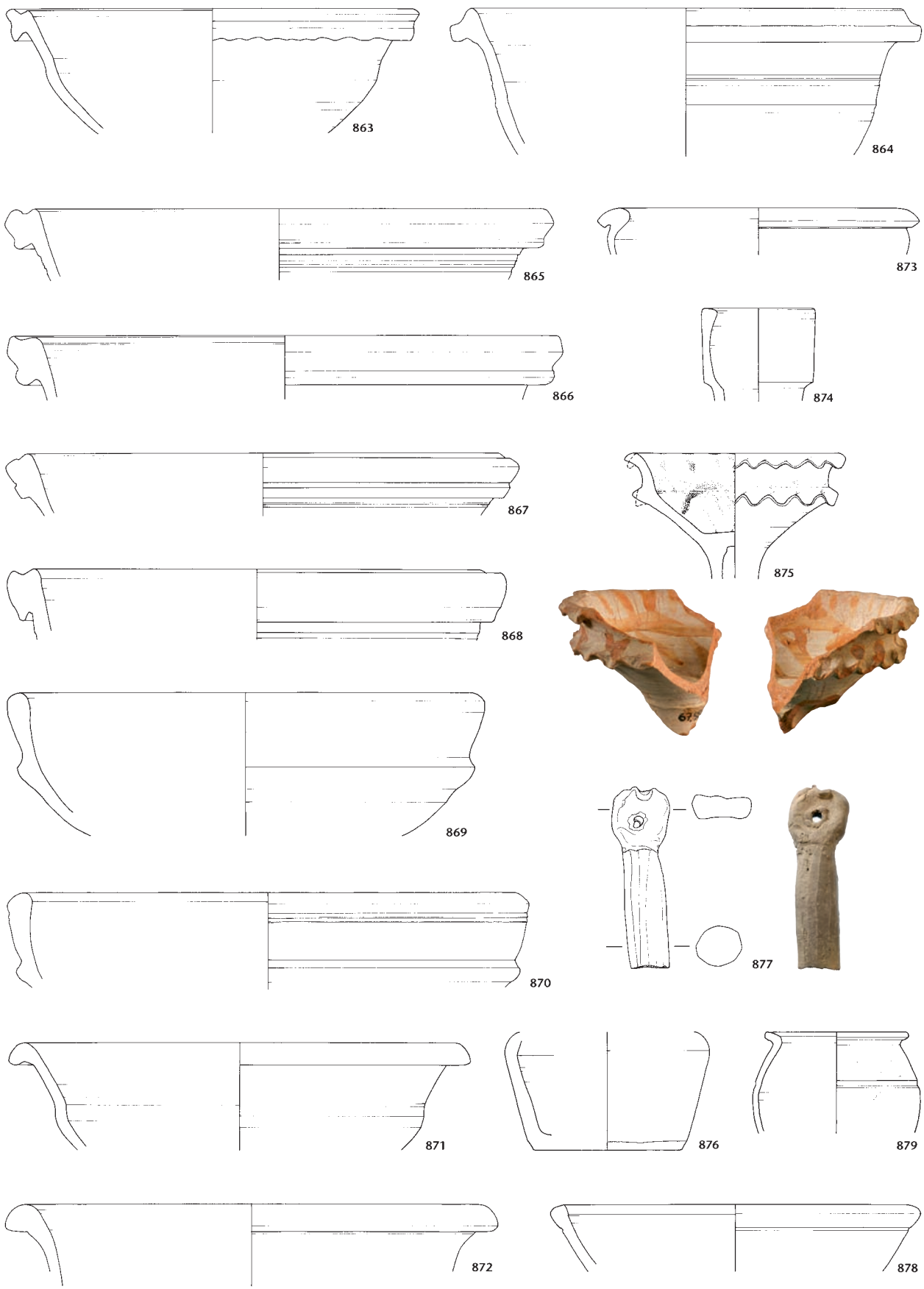


Abb. 243 (Fortsetzung): Augst BL, Insula 5/9, Raum D (Grabung 1965–1967.052). Ensemble D14: Funde aus der Verfüllung von Graben 3. M. 1:3. ***863–879*** *Gebrauchskeramik.*

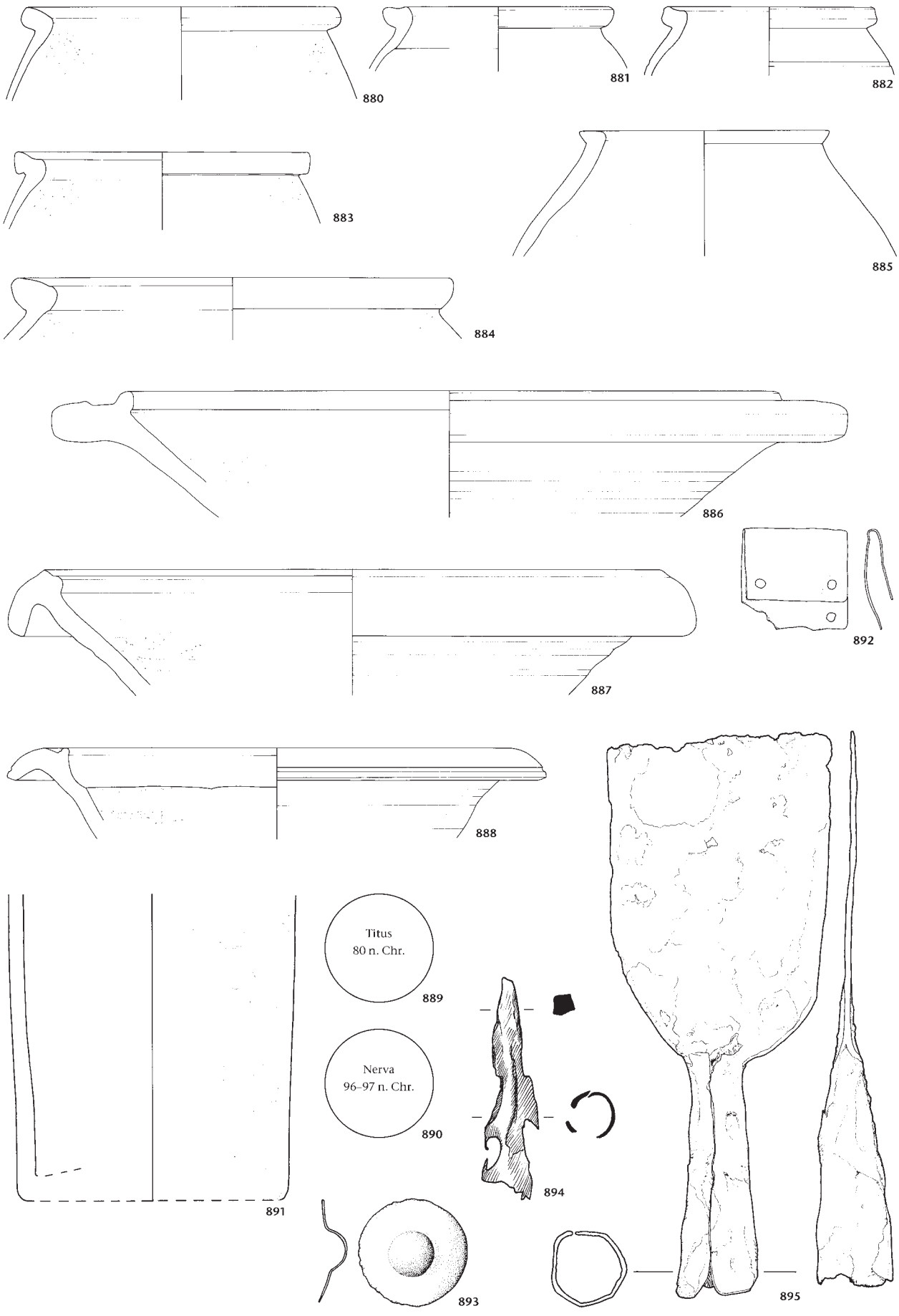


Abb. 243 (Fortsetzung): Augst BL, Insula 5/9, Raum D (Grabung 1965–1967.052). Ensemble D14: Funde aus der Verfüllung von Graben 3. M. 1:3 (Glas, Bronze und Eisen M. 1:2). ***880–888*** *Gebrauchskeramik,* ***889, 890*** *Münzen,* ***891*** *Glas,* ***892, 893*** *Bronze,* ***894, 895*** *Eisen.*

853 RS, 3 WS, Glanztonbecher Nb 31. Ton orange mit orangem Überzug. – Inv. 1967.582a–d, FK X06528.
854 RS, Glanztonbecher Nb. 33. Ton grau mit aussen schwarzer Oberfläche. – Inv. 1966.3299e, FK X04691.
855 RS, Glanztonbecher Nb. 33. Ton grau mit innen und aussen schwarzer Oberfläche. – Inv. 1966.3299a.b, FK X04691.
856 RS, Glanztonbecher Nb. 33. Ton grau mit grauem Überzug aussen, innen braun. – Inv. 1967.575, FK X06528.
857 2 BS, Glanztonbecher. Ton orange mit orangem Überzug. – Inv. 1967.585a.b, FK X06528.
858 BS, 5 WS, Glanztonbecher Nb. 33. Ton grau mit aussen schwarzer Oberfläche. – Inv. 1966.3293a–f, FK X04691.
859 RS, Teller mit eingebogenem Rand. Ton grau mit grauer Oberfläche. – Inv. 1966.3272, FK X06228.
860 RS, Teller mit gerade abgestrichenem Rand. Ton orange mit orangen Farbresten innen. – Inv. 1966.3122, FK X06217.
861 RS, Schüssel mit eingebogenem Rand. Ton orange, innen mit Goldglimmerüberzug. – Inv. 1966.3271, FK X06228.
862 RS, Schüssel mit gerilltem Rand. Ton orange. – Inv. 1966.3337, FK X04691. – Publ.: Bruckner 1975, 74,93.
863 RS, Schüssel mit profiliertem Rand und Wandknick. Ton orange. – Inv. 1967.593, FK X06528.
864 RS, Schüssel mit profiliertem Rand. Ton hellorange, aussen Reste von weissem Überzug. – Inv. 1967.590, FK X06528.
865 RS, Schüssel mit profiliertem Rand. Ton orange mit Goldglimmer innen. – Inv. 1966.3316, FK X04691.
866 2 RS, Schüssel mit profiliertem Rand. Ton orange mit brauner Farbe innen. – Inv. 1966.3313, FK X04691; Inv. 1966.3120, FK X06217.
867 RS, Schüssel mit profiliertem Rand. Ton grau mit grauer Oberfläche. – Inv. 1966.3317b, FK X04691.
868 RS, Schüssel mit profiliertem Rand. Ton orange. – Inv. 1967.591, FK X06528.
869 RS, Schüssel mit profilierter Wandung. Ton orange. – Inv. 1967. 596, FK X06528.
870 RS, Schüssel mit profilierter Wandung. Ton orange mit weissen Farbresten auf der Oberfläche. – Inv. 1966.3326, FK X04691. – Publ.: Bruckner 1975, 75,103.
871 RS, Schüssel mit ausbiegendem Rand und Wandknick. Ton orange. – Inv. 1967.592, FK X06528.
872 RS, Schüssel mit ausbiegendem Rand. Ton grau mit grauer Oberfläche. – Inv. 1966.3322, FK X04691.
873 RS, Schüssel mit einwärts verdicktem Rand. Ton grau mit grauer Oberfläche. – Inv. 1966.3000, FK X06227.
874 RS, Krug mit Bandrand. Ton orange mit weissem Überzug. – Inv. 1967.607, FK X06528.
875 RS, WS, Räucherkelch. Innen und aussen weisse und rote Bemalung. – Inv. 1967.587a.b, FK X06528.
876 BS, Milchkochtopf? Ton orange. – Inv. 1967.595, FK X06528. – Vgl.: Furger 1985, Abb. 5,4.
877 Griff einer Griffschale. Griff kantig abgestrichen und Griffende mit Loch. Ton grau, gemagert mit grauer Oberfläche. – Inv. 1966.4118, FK X06220.
878 2 RS, Kochteller mit gerade abgestrichenem Rand. Ton grau mit grauer Oberfläche und mit Quarz gemagert. – Inv. 1967. 605a.b, FK X06528.
879 RS, kleiner Kochtopf mit umgelegtem Rand. Ton grau, mit Quarz gemagert. – Inv. 1967.588, FK X06528.
880 RS, Kochtopf mit Leistenrand. Ton grau, mit Quarz gemagert. – Inv. 1967.600a.b, FK X06528.
881 RS, Kochtopf mit leicht gekehltem Leistenrand. Ton orangebraun, mit Kalk gemagert, aussen und innen Brandspuren. – Inv. 1967.603, FK X06528.
882 RS, Kochtopf mit Leistenrand. Ton grau. – Inv. 1966.3306, FK X04691.
883 RS, Kochtopf mit gekehltem Leistenrand. Ton orangebraun. – Inv. 1966.3127, FK X06217.
884 RS, Kochtopf mit verdicktem Leistenrand. Ton grau, mit Quarz gemagert. – Inv. 1966.3270, FK X06228.
885 RS, Kochtopf mit gerade abgestrichenem Rand. Ton braun mit rotbrauner bis schwarzer Oberfläche, fein mit Muschelkalk gemagert. Handgemacht, überdreht. – Inv. 1966.3006, FK X06227.
886 RS, Reibschüssel mit horizontalem Kragenrand. Ton ziegelrot, Quarzierung sehr fein und abgerieben. – Inv. 1966.3335, FK X04691. – Publ.: Bruckner 1975, 75,100.
887 RS, Reibschüssel mit kleiner Innenleiste. Ton orange. – Inv. 1967.599, FK X06528.
888 RS, «rätische» Reibschüssel. Ton orange, über der Innenkehlung und dem Horizontalrand roter Überzug. – Inv. 1966.3334, FK X04691. – Publ.: Bruckner 1975, 75,99.

Münzen
889 Titus. Denar. Rom, 80 n. Chr. Vgl. RIC II, S. 119, Nr. 25a. A2/2, K3/3, 180°, 3,33 g. – Inv. 1966.3834, FK X04691. – Publ.: Peter 1996, Ins. 5.9/15.
890 Nerva. As. Rom, 96–97 n. Chr. Vgl. RIC II, S. 227, Nr. 60 (Typ). A2/2, K4/4, 165°, 10,19 g. – Inv. 1966.4475, FK X06220. – Publ.: Peter 1996, Ins. 5.9/19.

Glas
891 WS, Krug. AR 156/Isings 50. – Inv. 1966.3275, FK X06228. – Passscherben: Inv. 1966.3414, FK X06234; Inv. 1966.8731, FK X06525 (die Passscherben liegen im nicht untersuchten Teil, westlich von MR 4). – Publ.: Rütti 1991/2, Kat. 2777.

Bronze
892 2 Fragmente eines Bronzebeschlags/Gürtelbeschlags (?) mit vier Befestigungslöchern. Alle Kanten und auch die Oberfläche sind sehr gut erhalten. – Inv. 1966.3277.3278, FK X06228.
893 Pferdegeschirranhänger? Rund mit plastischer Erhöhung. Keine Befestigungslöcher vorhanden. – Inv. 1966.3341, FK X04691.

Eisen
894 Geschossbolzen. – Inv. 1966.3279, FK X06228. – Publ.: Deschler-Erb 1999, Kat. 22.
895 Spachtel oder Schaber mit runder Grifftülle. – Inv. 1967.609, FK X06528. – Vgl.: Duvauchelle 2005, Taf. 24,128.

Nicht abgebildete Funde
Keramik
– Vgl. Abb. 242.
– Keramik, zurzeit nicht auffindbar. – Inv. 1966.3129, FK X06217; Inv. 1966.3268, FK X06228.

Glas
– BS, Becher nicht näher bestimmbarer Form. – Inv. 1966.3276, FK X06228. – Publ.: Rütti 1991/2, Kat. 4949.

Bronze
– Gebogenes Bronzefragment. Evtl. von Gefäss? – Inv. 1966.3342, FK X04691.

Eisen
– Scheibenkopfnagel. – Inv. 1967.608, FK X06528.
– Eisenschlacke. – Inv. 1966.3007, FK X06227.

Bein
– Manufakturüberreste, facettierter Stab. – Inv. 1966.9452, FK X04691. – Publ.: Deschler-Erb 1998, Kat. 5788.
– Manufakturüberreste, facettierter Stab. – Inv. 1966.9450, FK X04691. – Publ.: Deschler-Erb 1998, Kat. 5791.

Die Tierknochen aus Ensemble D14 (Elisabeth Marti-Grädel)
Vier Fundkomplexe von Ensemble D14 enthielten 111 Knochenreste, von denen 48 bestimmbar waren (Abb. 244). Es handelt sich dabei ausschliesslich um Reste von Haustieren. Das Hausrind ist am häufigsten nachgewiesen (n = 26), gefolgt von Hausschwein (n = 13), Schaf/Ziege (n = 6), Huhn (n = 2) und Hund (n = 1).

		X04691	X06217	X06227	X06228	Total	%
Fragmentzahlen	*Bos taurus* (Hausrind)	12	5	4	5	26	54,2
	Ovis/Capra (Hausschaf/Hausziege)	3		2	1	6	12,5
	Sus domesticus (Hausschwein)	3	4	4	2	13	27,1
	Canis familiaris (Hund)		1			1	2,1
	Gallus domesticus (Haushuhn)			1	1	2	4,2
	TOTAL HAUSTIERE	18	10	11	9	48	100,0
	TOTAL WILDTIERE	0	0	0	0	0	0,0
	TOTAL HAUS- UND WILDTIERE	18	10	11	9	48	100,0
	TOTAL GROSSGRUPPEN	0	0	0	0	0	
	Unbestimmbar, ohne Grössenangabe	24	9	17	13	63	
	TOTAL UNBESTIMMBAR	24	9	17	13	63	
	GESAMTTOTAL	42	19	28	22	111	
Gewicht (g)	Bestimmbare	650	280	655	250	1835	
	Unbestimmbare	555	195	375	220	1345	
	Total	1205	475	1030	470	3180	

Abb. 244: Augst BL, Insula 5/9, Raum D (Grabung 1965–1967.052). Ensemble D14: Tierartenliste, Fragmentzahlen und summarische Gewichtsangaben (g).

Ensemble D14 enthält Funde aus der Zeit zwischen 50 und 300 n. Chr. Die Tierknochen wurden deswegen nur beim räumlichen Vergleich berücksichtigt (vgl. Exkurs 2, unten S. 319 ff.).

Phase 15: Oberflächenschutt und Humuskante

Der Befund im Überblick

Der im Inneren der *enceinte réduite* als Steinsplitterschicht und über den Grabenverfüllungen als dünne, humose Straten nachweisbare, nachbefestigungszeitliche Reduktionshorizont[556] konnte im Bereich der Grabungen 1965–1967.052 und 2002.063 nirgends mit Sicherheit nachgewiesen werden (Abb. 245).

Im südlich der Hangstützmauer 1C gelegenen Teil der Grabungsfläche (Räume A, B, E) dürfte dies vor allem auf die Hanglage zurückzuführen sein (vgl. Beil. 2D). Allerdings ist zu berücksichtigen, dass die spätestens am Ende von Phase 11 weitgehend zerstörten kaiserzeitlichen Mauern schon beim Bau der Befestigung (Phase 12 und Phase 13) bzw. spätestens bei deren Schleifung (Phase 14) in den Boden gekommen sind. Dies dürfte die Bildung des andernorts fassbaren, durch den allmählichen Verfall der Mauern entstandenen Reduktionshorizonts von vornherein verhindert haben.

Im Bereich des Korridors (Raum C) und der Heidenlochstrasse (vgl. Beil. 2B,19; 2C,19) dürfte der allenfalls vorhandene Reduktionshorizont beim Einebnen der Wälle A und B im Winter 1883/1884 zerstört worden sein[557].

Beim «Oberflächenschutt» in den Räumen A, B und E handelt es sich grösstenteils um Sedimente, die sehr wahrscheinlich beim Einebnen der bis in die Neuzeit noch gut sichtbaren Wälle A und B (Abb. 246) anfielen und dann im Bereich der Hangkante entsorgt worden sind. Gestützt wird diese Annahme durch die Passscherbenverbindungen zwischen Ensemble C13 und Ensemble C15 (Abb. 252,**923**) sowie durch den Befund im Bereich von Raum E (Abb. 247): Der in den Profilen 1b und 1a (Beil. 2,C.D) nicht vollständig dokumentierte «Oberflächenschutt» muss vor Beginn der Grabung 1965–1967.052 eine Mächtigkeit von mindestens 2 m aufgewiesen haben[558].

Nachweisen lassen sich die Meliorationsarbeiten aber auch durch Passscherbenverbindungen zwischen den *in situ* verbliebenen Teilen von Wall B (Ensemble C13) und dem Oberflächenschutt (Ensemble C15).

Die Funde aus dem «Oberflächenschutt» in den Räumen A (Ensemble A15) und C (Ensemble C15) sind deswegen als Mischkomplexe anzusprechen. Die Analyse der zum Teil tertiär verlagerten Funde erfolgte in erster Linie im Hinblick auf das Vorkommen von Funden aus dem späten 3. und 4. Jahrhundert. Dies erschien insofern sinnvoll, als nach wie vor ungeklärt ist, in welcher Form bzw. wie lange das *extra muros* liegende Areal während der Belegungszeit der *enceinte réduite* (Phase 13) genutzt worden ist.

556 Vgl. dazu Schwarz 2004, 185 ff.

557 Diese Feststellung konnte anlässlich der Grabung 1993.065 verifiziert werden: Die nordöstlich von Raum A liegenden Strukturen der Insula 5/9 werden nämlich von einer mindestens 1 m hohen neuzeitlichen Auffüllung überlagert. Vgl. Schwarz 1994, Abb. 14,A.

558 Abb. 247 zeigt, dass anlässlich der Grabung 1965–1967.052 auch Raum E teilweise freigelegt worden sein muss (vgl. auch Abb. 4,D; Beil. 1). Offenbar wurde in Raum E aber lediglich der Oberflächenschutt entfernt. Da sich in der Dokumentation der Grabung 1965–1967.052 ansonsten keine Hinweise finden, ist davon auszugehen, dass die älteren Schichten nicht untersucht und *in situ* belassen wurden.

Raum A	Raum B	Raum C	Raum D	Raum E	Heidenlochstrasse
• Oberflächenschutt & Humuskante (Beil. 2C,20; 2D,9; Abb. 70,2; 221,7) • Mauerschutt; wurde offensichtlich bei den Konservierungsarbeiten im Anschluss an die Grabung 1965–1967.052 eingebracht (Beil. 2H,10) • Armierter Betonboden (1967) (Beil. 2H,11)	• Oberflächenschutt & Humuskante	• Oberflächenschutt & Humuskante (Beil. 2B,20; Abb. 96,20) • Kieskoffer eines modernen Weges (Beil. 2B,21)	• Oberflächenschutt & Humuskante (Abb. 123,7; 293,11)	• Oberflächenschutt & Humuskante (Abb. 247)	• Oberflächenschutt & Humuskante
• Ensemble A15 (Abb. 249) Datierung: um 80–270 n. Chr.		• Ensemble C15 (Abb. 252) Datierung: um 230–260/270 n. Chr.			

Abb. 245: Augst BL, Insula 5/9 (Grabungen 1965–1967.052 und 2002.063). Synoptische Darstellung der Befunde und Fundensembles der Phase 15.



Abb. 246: Augst BL und Kaiseraugst AG um 1675 nach E. Büchel in D. Bruckners Merkwürdigkeiten der Landschaft Basel. Die drei Streifen bei E kennzeichnen die damals noch sichtbaren Überreste des Wall-Graben-Systems der spätrömischen enceinte réduite *auf dem Kastelenplateau. Die Lage der Insula 5/9 ist mit einem Pfeil gekennzeichnet.*



Abb. 247: Augst BL, Insula 5/9, Räume A und E (Grabung 1965–1967.052). Blick auf die Räume A (Bildmitte) und E (hinten) am 03.09.1965. Die Oberkante von MR 2 entspricht in etwa der Terrainoberkante während der Spätantike (Phasen 13 und 14) und der frühen Neuzeit. Die rund 2 m mächtige Überdeckung geht vermutlich auf Meliorationsarbeiten im Winter 1883/84 zurück: Damals wurden die bis anhin noch sichtbaren Reste der Wälle der enceinte réduite *abgetragen; der Abraum ist vermutlich im Bereich der Hangkante entsorgt worden. Die Aufnahme zeigt schliesslich noch, dass seinerzeit auch die Oberkante des Zerstörungshorizonts vom Ende der Phase 11 in Raum E freigelegt worden sein muss.*

Raum A

Ensemble A15

Allgemeine Charakterisierung: Die keramischen Funde aus dem Oberflächenschutt (FK X04663, FK X04666; Abb. 248) sind in ihrer Datierung uneinheitlich und teilweise recht abgeschliffen und bestossen. Wie bereits bei Ensemble D14 vermutet, müsste angesichts der Schichtgenese davon ausgegangen werden, dass Ensemble A15 auch neuzeitliches Fundmaterial enthielt. Dieses wurde aber vermutlich auf der Grabung oder bei der Inventarisation ausgeschieden.

Datierung des Fundmaterials: Namentlich die Terra Sigillata ist in ihrer Datierungsspanne sehr uneinheitlich. Die ältesten Funde stammen aus flavischer Zeit – beispielsweise der Teller **896** der Form Drag. 42 – und streuen bis in die Mitte des 3. Jahrhunderts (Abb. 249). Zu den jüngsten Gefässen aus Terra Sigillata gehören das Schälchen der Form Nb. 12 (o. Abb.) und die Reibschale **899** der Form Drag. 43.

Unter der Glanztonkeramik befinden sich neben den Bechern der Form Nb. 33 (**901** und o. Abb.) auch zwei eher seltene Gefässformen: die beiden Schälchen **902** und **903** und die Kragenrandschüssel **904**. Beide Typen sind aus grauschwarzem Ton gefertigt und besitzen einen dumpfen, matt glänzenden Überzug. Das Schälchen **902** und die Kragenrandschüssel **904** sind in ähnlicher Form auch in den Ensembles A11-EG (Abb. 169,**421**) und A11-OG (Abb. 177,**535. 538**) vertreten. Dort wurden diese Sonderformen in die Mitte des 3. Jahrhunderts datiert (s. o. S. 169; 180).

Die übrige Gebrauchskeramik stammt aus dem späten 1. bis zum 3. Jahrhundert: Vorratstöpfe wie **910** und Kochtöpfe wie **911, 913** und **914** sind ab dem späten 1. bis in die Mitte des 2. Jahrhunderts gebräuchlich[559].

Bei den Schüsseln sind Exemplare mit profiliertem Rand **907–909**, die in Augusta Raurica ab der ersten Hälfte des 3. Jahrhunderts typisch sind, dominant. Zur Schüssel mit profiliertem Rand **908** findet sich eine gute Parallele in der «oberen Abfallschicht» bei den Frauenthermen in Augusta Raurica. Sie ist dort mit einer Münze des Gallienus vergesellschaftet und kann in die 2. Hälfte des 3. Jahrhunderts datiert werden[560].

Die beiden Münzen **916** und **917** aus der ersten Hälfte des 2. Jahrhunderts liefern keine präzisen Hinweise für die Datierung des keramischen Fundmaterials.

Unter den Kleinfunden ist – abgesehen von einem bronzenen Doppelknopf **919**[561] – das mit gekerbten Pelten verzierte, rechteckige Vorderteil eines Ortbandes **918** herauszuheben. Solche beinernen Schwertteile werden von Sabine Deschler-Erb in die zweite Hälfte des 2. und in die Mitte des

559 Fünfschilling 2006, 298; 304 Taf. 141,2904.2905; 144,2935.
560 Engeler-Ohnemus 2006, 244 Taf. 20,523.
561 Vgl. Schwarz 1992, 66 Abb. 36,7; Schwarz 2002, 221; 235 Abb. 118,28; 120,28.

Form/Typ	RS	BS	WS	HE	Total	MIZ
TS, südgallisch						
Drag. 27	1				1	1
Drag. 42	1				1	1
Drag. 37			2		2	2
Form unbestimmt		1			1	1
TS, mittelgallisch-ostgallisch?						
Drag. 37			2		2	2
TS, ostgallisch						
Nb. 12			1		1	1
Ludowici Tb	2				2	2
Drag. 31	1				1	1
Drag. 44			1		1	1
Drag. 43	2				2	2
Drag. 37	2	1	5		8	8
Glanztonkeramik						
Becher mit Karniesrand	1				1	1
Nb. 33	2				2	2
Schälchen	2				2	2
Kragenrandschüssel	1				1	1
Übrige Keramik						
Helltonige Gebrauchskeramik						
Teller mit eingebogenem Rand	7				7	6
Schüssel mit gerilltem Rand	4				4	4
Schüssel mit profiliertem Rand	10				10	10
Schüssel mit profilierter Wandung	2				2	2
Horizontalrandschüssel	1				1	1
Deckel	1				1	1
Krug	2				2	2
Grautonige Gebrauchskeramik						
Teller mit eingebogenem Rand	1				1	1
Schüssel mit Kragenrand	1				1	1
Schüssel mit profiliertem Rand	1				1	1
Topf	1				1	1
Vorratstopf	2				2	2
Kochtopf mit Leistenrand	4				4	4
Kochtopf mit gerilltem Rand	2				2	2
Reibschüssel	1				1	1
«Rätische» Reibschüssel	5				5	5
Amphore (Martin-Kilcher 1987/1994, Kat. 535; 4422)	1			1	2	2
Handgemachte Kochkeramik	3				3	3
Kochtopf						
Total Fragmente/MIZ	**64**	**2**	**11**	**1**	**78**	**77**

Abb. 248: Augst BL, Insula 5/9, Raum A (Grabung 1965–1967.052). Ensemble A15: Fundstatistik zur Keramik (FK X04663, FK X04666). MIZ = RS, BS, WS, HE.

3. Jahrhunderts datiert[562]. In diesem Befundzusammenhang kann das Exemplar nicht genauer datiert werden: Es könnte bereits vor dem Bau der *enceinte réduite* (Phase 11) oder während des Baus (Phase 12) resp. der Belegungszeit (Phase 13) oder bei der Schleifung des Wall-Graben-Systems (Phase 14) verloren gegangen sein.

Katalog der Funde aus Ensemble A15 (Abb. 249)

Terra Sigillata

896 RS, TS (südgallisch), Teller Drag. 42. – Inv. 1966.974, FK X04666.

897 RS, TS (ostgallisch), Teller Ludowici Tb. – Inv. 1966.5857, FK X04666.

898 RS, TS (ostgallisch), Schüssel Drag. 37. Relief: Eierstab mit Kern und zweifacher Umrandung, linker Beistrich mit dreilappigem Blümchen. Reliefteil nicht weiter lesbar, da weggebrochen. – Inv. 1966.5864, FK X04666.

899 RS, TS (ostgallisch), Reibschüssel Drag. 43. – Inv. 1966.973, FK X04666.

Übrige Keramik

900 RS, Glanztonbecher mit Karniesrand. Ton hellorange mit rotem Überzug. Abgeschliffene Oberflächen. – Inv. 1966.5866, FK X04666.

901 RS, Glanztonbecher Nb. 33. Ton grau mit grauer, matter Oberfläche. – Inv. 1965.5251, FK X04663.

902 RS, Glanztonschälchen. Ton grau mit grauer Oberfläche. – Inv. 1966.981, FK X04666.

903 RS, Glanztonschälchen. Ton grau mit schwarzbraunem Überzug oder evtl. nur geglätteter (?) Aussenseite; Innenseite schwarz. – Inv. 1966.5868, FK X04666.

904 RS, Glanztonschüssel mit Kragenrand. Ton grau mit dunkelgrauer, glänzender Oberfläche. – Inv. 1966.980, FK X04666.

905 RS, Teller mit eingebogenem Rand. Ton grau, Oberfläche abgerieben. – Inv. 1965.5260, FK X04663.

906 2 RS, Teller mit verdicktem Rand. Ton orange mit gefleckter Oberfläche. – Inv. 1966.5885a.b, FK X04666.

907 RS, Schüssel mit profiliertem Rand. Ton orange, abgerieben. – Inv. 1966.5876, FK X04666.

908 RS, Schüssel mit profiliertem Rand. Ton orange mit Goldglimmer innen. – Inv. 1966.986, FK X04666.

909 RS, Schüssel mit profiliertem Rand. Ton grau mit grauer Oberfläche. – Inv. 1965.5255, FK X04663.

910 RS, Vorratstopf mit Leiste und eingezogenem Hals. Ton grau. – Inv. 1965.5252, FK X04663.

911 RS, Kochtopf mit gerilltem, profiliertem Rand. Ton grau, mit Quarz und Kalk gemagert. – Inv. 1966.989, FK X04666.

912 RS, Kochtopf mit Leistenrand. Ton grau, mit Kalk gemagert. – Inv. 1966.984, FK X04666.

913 RS, Kochtopf mit gerilltem Wulstrand. Ton grau, mit Quarz und Kalk gemagert. – Inv. 1966.5886, FK X04666.

914 RS, Kochtopf mit gerilltem Rand. Ton orangeschwarz, brandgeschwärzt. Aussen mit Rillen. Handgemacht und überdreht. – Inv. 1965.5261, FK X04663.

915 RS, «rätische» Reibschüssel. Ton hellorange, über dem Rand und in der Innenkehlung wenige Reste von Überzug. – Inv. 1966.5881, FK X04666.

562 Deschler-Erb 1998, 176. Ein jüngerer Datierungsansatz wird von Christian Miks gegeben. Er datiert die «Kastenortbänder» an die Wende vom 2. zum 3. Jahrhundert. Sie sind aber bis an die Wende zum 4. Jahrhundert – wenn nicht sogar darüber hinaus – belegbar (vgl. Miks 2007, 367–373).

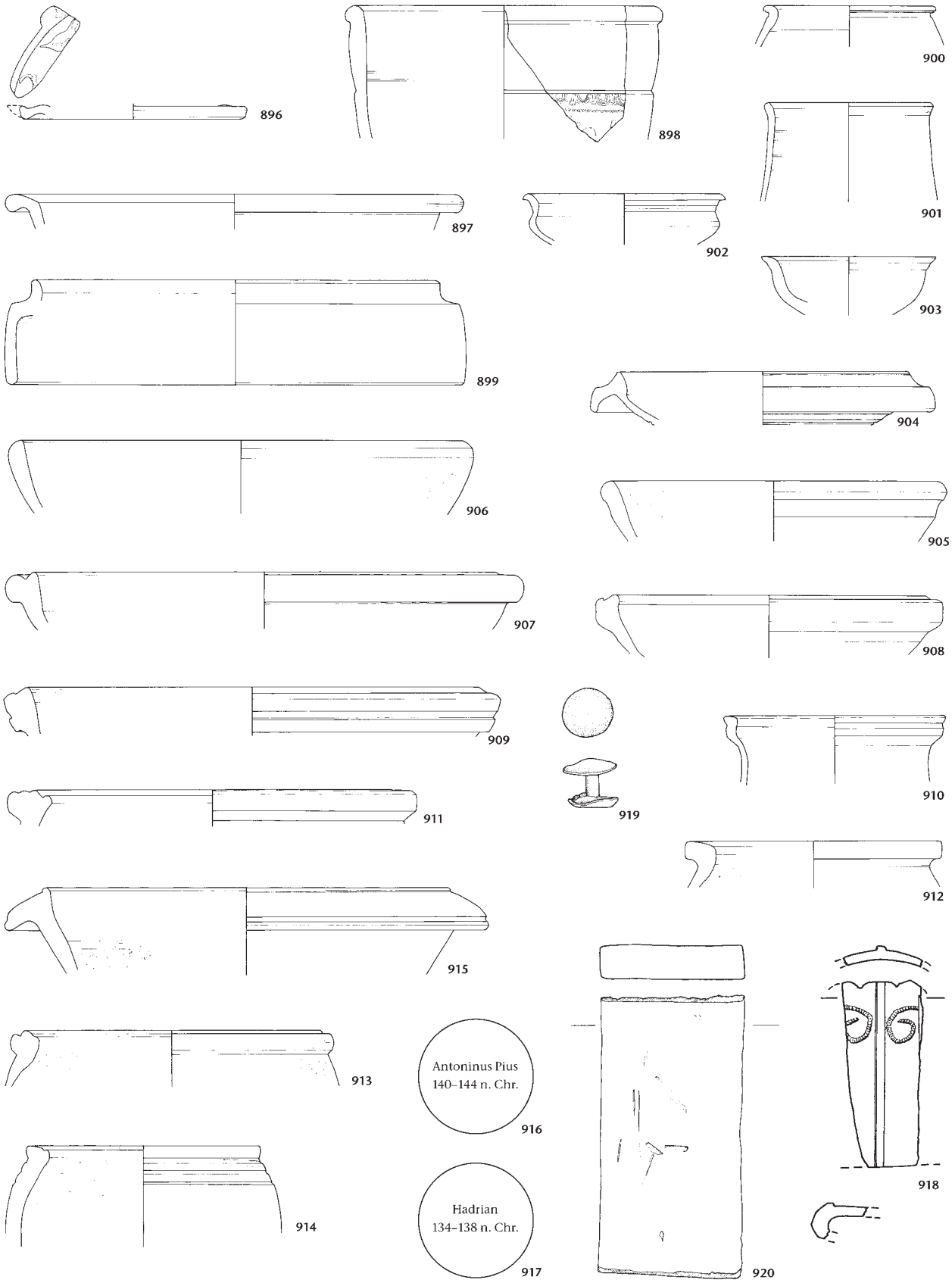


Abb. 249: Augst BL, Insula 5/9, Raum A (Grabung 1965–1967.052). Ensemble A15: Funde aus dem Oberflächenschutt im Bereich von Raum A. M. 1:3 (Bein, Bronze und Eisen M. 1:2). ***896–899*** *Terra Sigillata,* ***900–904*** *Glanztonkeramik,* ***905–915*** *Gebrauchskeramik,* ***916, 917*** *Münzen,* ***918*** *Bein,* ***919*** *Bronze,* ***920*** *Eisen.*

Münzen

916 Antoninus Pius. Sesterz. Rom, 140–144 n. Chr. Vgl. RIC III, S. 110, Nr. 624a. A3/3, K 2/2, 360°, 17,61 g. – Inv. 1966.4477, FK X04666. – Publ.: Peter 1996, Ins. 5.9/33.

917 Hadrian. As. Rom, 134–138 n. Chr. Vgl. RIC II, S. 444, Nr. 834 f. A2/2, K3/3, 180°, 9,77 g. – Inv. 1965.5264, FK X04663. – Publ.: Peter 1996, Ins. 5.9/29.

Bein

918 Rechteckiges Ortband mit gekerbten Pelten. – Inv. 1966.5889, FK X04666. – Publ.: Deschler-Erb 1998, Kat. 4015.

Bronze

919 Doppelknopf mit pilzförmigem Kopf und Gegenknopf. – Inv. 1966.5890, FK X04666.

Eisen

920 Schmiedehalbfabrikat. Rechteck. L. 9,5 cm, B. 5 cm, Gew. 444 g. – Inv. 1965.5263, FK X04663.

Nicht abgebildete Funde

Keramik

– Vgl. Abb. 248.

Eisen

– Eisenfragment. Nicht näher bestimmbar. – Inv. 1966.996, FK X04666.

Die Tierknochen aus Ensemble A15 (Elisabeth Marti-Grädel)

Ensemble A15 lieferte nur 23 Knochenfunde (Abb. 250). Die 13 bestimmbaren Fragmente stammen von Hausrind (n = 9) und Hausschwein (n = 4).

Ensemble A15 enthält Funde aus der Zeit zwischen 80 und 270 n. Chr. Die Tierknochen wurden deswegen nur beim räumlichen Vergleich berücksichtigt (vgl. Exkurs 2, unten S. 319 ff.).

		X04663	X04666	Total
Fragmentzahlen	*Bos taurus* (Hausrind)	5	4	9
	Sus domesticus (Hausschwein)	3	1	4
	TOTAL HAUSTIERE	8	5	13
	TOTAL WILDTIERE	0	0	0
	TOTAL HAUS- UND WILDTIERE	8	5	13
	TOTAL GROSSGRUPPEN	0	0	0
	Unbestimmbar, ohne Grössenangabe	6	4	10
	TOTAL UNBESTIMMBAR	6	4	10
	GESAMTTOTAL	14	9	23
Gewicht (g)	Bestimmbare	175	155	330
	Unbestimmbare	80	65	145
	Total	255	220	475

Abb. 250: Augst BL, Insula 5/9, Raum A (Grabung 1965–1967.052). Ensemble A15: Tierartenliste, Fragmentzahlen und summarische Gewichtsangaben (g).

Raum B: Ensemble B15

Allgemeine Charakterisierung: In Raum B konnte lediglich ein Fundkomplex (FK Z01682) dem Oberflächenschutt zugewiesen werden. Fundensemble B15 umfasst eine Münze **921** des Traian und verschiedene stark fragmentierte Eisenobjekte. Zwei Eisenfragmente (o. Abb.) – vielleicht Löffel oder Schöpfer – müssen höchstwahrscheinlich in die Neuzeit datiert werden.

Datierung des Fundmaterials: Der Dupondius des Traian **921** liefert lediglich einen sehr weit zu fassenden und in diesem Zusammenhang nicht verwertbaren *terminus post quem* für die Ablagerung des Oberflächenschutts.

Katalog der Funde aus Ensemble B15

Münzen

921 Traian. Dupondius. Rom, 98–102 n. Chr. A3/0, K3/4, –°, 10,69 g. – Inv. 1967.16454, FK Z01682. – Publ.: Peter 1996, Ins. 5.9/20.

Nicht abgebildete Funde

Bronze

– Fibelfragment, verschollen seit 1990. – Inv. 1967.16174, FK Z01682.

Eisen

– Eisenfragment, stark fragmentiert und schlecht konserviert. Erinnert an ein Schöpferchen oder gar an einen modernen Löffel. Wahrscheinlich moderne Zeitstellung. – Inv. 1967.18983, FK Z01682.

– Eisenfragment, stark fragmentiert und schlecht konserviert. Erinnert evtl. an ein Schöpferchen oder an einen Löffel. Wahrscheinlich moderne Zeitstellung. – Inv. 1967.18983A, FK Z01682.

Raum C

Ensemble C15

Allgemeine Charakterisierung: Die beiden Fundkomplexe X04695 und V05058 (Abb. 251) stammen aus dem Oberflächenschutt und enthielten nur sehr wenige Funde.

Datierung des keramischen Fundmaterials: Die Keramik wirkt – was angesichts der Schichtgenese erstaunt – relativ homogen und kann in das zweite und dritte Viertel des 3. Jahrhunderts datiert werden (Abb. 252).

Der Teller **922** der Form Drag. 32, der Becher **924** der Form Nb. 33, die Teller mit verdicktem oder eingezogenem Rand **925** und **926** und auch die Schüssel mit profiliertem Rand **927** verweisen das Ensemble in die Zeit um die Mitte des 3. Jahrhunderts. Analog verhält es sich bei den Kochtöpfen: Der Kochtopf mit scharfkantig umgelegtem Rand **930** gehört in die Mitte des 3. Jahrhunderts. Selten ist die Imitation einer Schüssel **923** der Form Drag. 37: Eine gute Parallele stammt aus dem Quartier «Kurzenbettli»[563].

563 Fünfschilling 2006, 146 Taf. 124,2586. Vgl. hierzu auch Schmid/Vogel Müller (im Druck).

Form/Typ	RS	BS	WS	HE	Total	MIZ
TS, ostgallisch						
Drag. 32	1				1	1
Form unbestimmt		1			1	1
Glanztonkeramik						
Nb. 33	1	1	3		5	4
Späte TS-Imitation						
Imitation Drag. 37	2		1		3	1
Übrige Keramik						
Helltonige Gebrauchskeramik						
Teller mit eingebogenem Rand	1				1	1
Teller mit verdicktem Rand	1				1	1
Schüssel mit profiliertem Rand	2				2	2
Grautonige Gebrauchskeramik						
Schüssel mit Kragenrand	1				1	1
Scheibengedrehte Kochkeramik	3				3	3
Handgemachte Kochkeramik						
Kochtopf mit scharfkantig umgelegtem Rand	1				1	1
Total Fragmente/MIZ	**13**	**2**	**4**		**19**	**16**

Abb. 251: Augst BL, Insula 5/9, Raum C (Grabung 1965–1967.052). Ensemble C15: Fundstatistik zur Keramik (FK X04695, FK V05058). MIZ = RS, BS, WS, HE.

Katalog der Funde aus Ensemble C15 (Abb. 252)

Terra Sigillata

922 RS, TS (ostgallisch), Teller Drag. 32. – Inv. 1966.3629, FK X04695.

Übrige Keramik

923 2 RS, WS, Imitation Drag. 37 mit Rundlippe und Kerbbanddekor. Ton orange mit orangem Überzug. – Inv. 1966.3635, FK X04695. – Passscherbe: Inv. 1966.3350a.b, FK X04698 (Ensemble C13).

924 RS, Glanztonbecher Nb. 33. Ton schwarz, matt. – Inv. 1966.3631, FK X04695.

925 RS, Teller mit eingebogenem Rand. Ton orange mit Glimmer innen. – Inv. 1966.3643, FK X04695.

926 RS, Teller mit verdicktem Steilrand. Ton orange, leicht mit Kalk gemagert. – Inv. 1966.3642, FK X04695. – Publ.: Bruckner 1975, 67,12.

927 RS, Schüssel mit profiliertem Rand. Ton braungrau. – Inv. 1966.3639, FK X04695.

928 RS, Kochtopf mit gekehltem Leistenrand. Ton grauschwarz. – Inv. 1966.3638, FK X04695.

929 RS, Kochtopf mit gekehltem Leistenrand. Ton orange, innen und aussen geschwärzt. – Inv. 1966.3636, FK X04695.

930 RS, Kochtopf mit scharfkantig umgelegtem Rand. Ton grau, Aussenflächen schwarzgrau. Mit Kammstrich aussen und Graffito: SVCV[S]. – Inv. 1966.3645, FK X04695.

Münzen

931 Septimius Severus. Denar. Rom, 196–197 n. Chr. Vgl. RIC IV.1, S. 101, Nr. 86. A1/0, K3/3, 180°, 2,79 g. Verbrannt. – Inv. 1966.8133, FK V05058. – Publ.: Peter 1996, Ins. 5.9/44.

932 Traian. Dupondius. Rom, 103–117 n. Chr. Rs.: Stehende Figur n. l. mit Cornucopiae. A3/3, K3/3, 180°, 11,72 g. – Inv. 1966.8134, FK X04695. – Publ.: Peter 1996, Ins. 5.9/26.

Bronze

933 Haarnadel mit Leisten und querprofiliertem Kopf. – Inv. 1966.5196, FK X04695. – Publ.: Riha 1990, Kat. 2558.

Nicht abgebildete Funde

Keramik

– Vgl. Abb. 251.

Stein

– Stein, unbearbeiteter Kalkstein. – Inv. 1966.3646, FK X04695.

Die Tierknochen aus Ensemble C15 (Elisabeth Marti-Grädel)

Aus einem Fundkomplex (FK X04695) liegen lediglich neun Knochenreste vor (vgl. Exkurs 2, Abb. 303). Von den sieben bestimmbaren Fragmenten stammen vier vom Hausrind, die restlichen von Schaf/Ziege, vom Hausschwein und von einem Equiden.

Ensemble C15 datiert in die Zeit zwischen 230 und 260/270 n. Chr. Die Tierknochen wurden beim räumlichen Vergleich nicht berücksichtigt (vgl. Exkurs 2, unten S. 319 ff.).

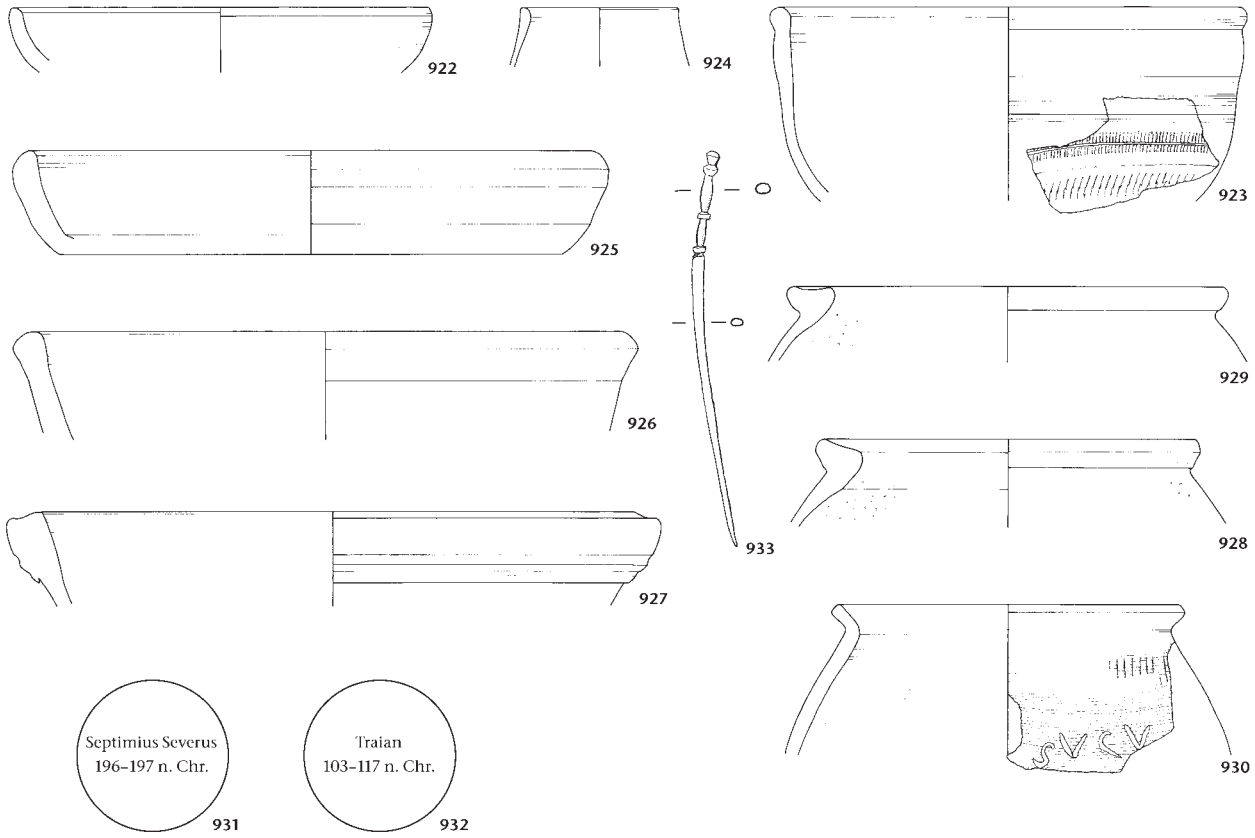


Abb. 252: Augst BL, Insula 5/9, Raum C (Grabung 1965–1967.052). Ensemble C15: Funde aus dem Oberflächenschutt im Bereich von Raum C. M. 1:3 (Bronze M. 1:2). ***922, 923*** *Terra Sigillata,* ***924*** *Glanztonkeramik,* ***925–930*** *Gebrauchskeramik,* ***931, 932*** *Münzen,* ***933*** *Bronze.*

Exkurs 1: Weitere Backöfen und Zerstörungshorizonte in den Insulae 5/9 und 5 sowie in Region 2E

Einleitende Bemerkungen

Bei der Analyse verschiedener umliegender Altgrabungen zeigte sich, dass nicht nur im Westteil von Insula 5/9[564], sondern auch in Insula 5 Reste von Backöfen sowie eine Reihe von aufschlussreichen Befunden zur Spätzeit angetroffen worden sind. Diese für die Interpretation der archäologischen Situation in den Räumen A und B wichtigen Befunde sollen im Folgenden kurz vorgestellt werden.

Wir beschränken uns dabei auf den an der Hangkante resp. an der römischen Neuntürmestrasse (heute Giebenacherstrasse) liegenden Teil von Insula 5 (Abb. 253; 254)[565].

Die im Zusammenhang mit dem Bau des Römerhauses bzw. des Römermuseums durchgeführten Grabungen 1952–1957. 051 umfassten Teile der Insulae 5/9 und 9 sowie der zwischen den erwähnten Insulae liegenden sogenannten Do-

564 Berger 1977, 36 ff., bes. Abb. 11.

565 Die oberhalb der verschiedentlich angeschnittenen Hangstützmauer liegenden Baustrukturen im Areal von Insula 5 werden nicht berücksichtigt. Ebenfalls nicht berücksichtigt werden die Befunde im an die Neuntürmestrasse angrenzenden Areal der Insula 5/9, die im Jahr 2003 bei der Erneuerung der Wasserleitung angeschnitten worden sind (vgl. dazu Rychener 2004, 83 ff. Abb. 13). Zu den jüngeren Grabungen in dem an die Neuntürmestrasse angrenzenden Teil der Insula 5 vgl. zuletzt Rychener 2004, 81 ff. Abb. 8.

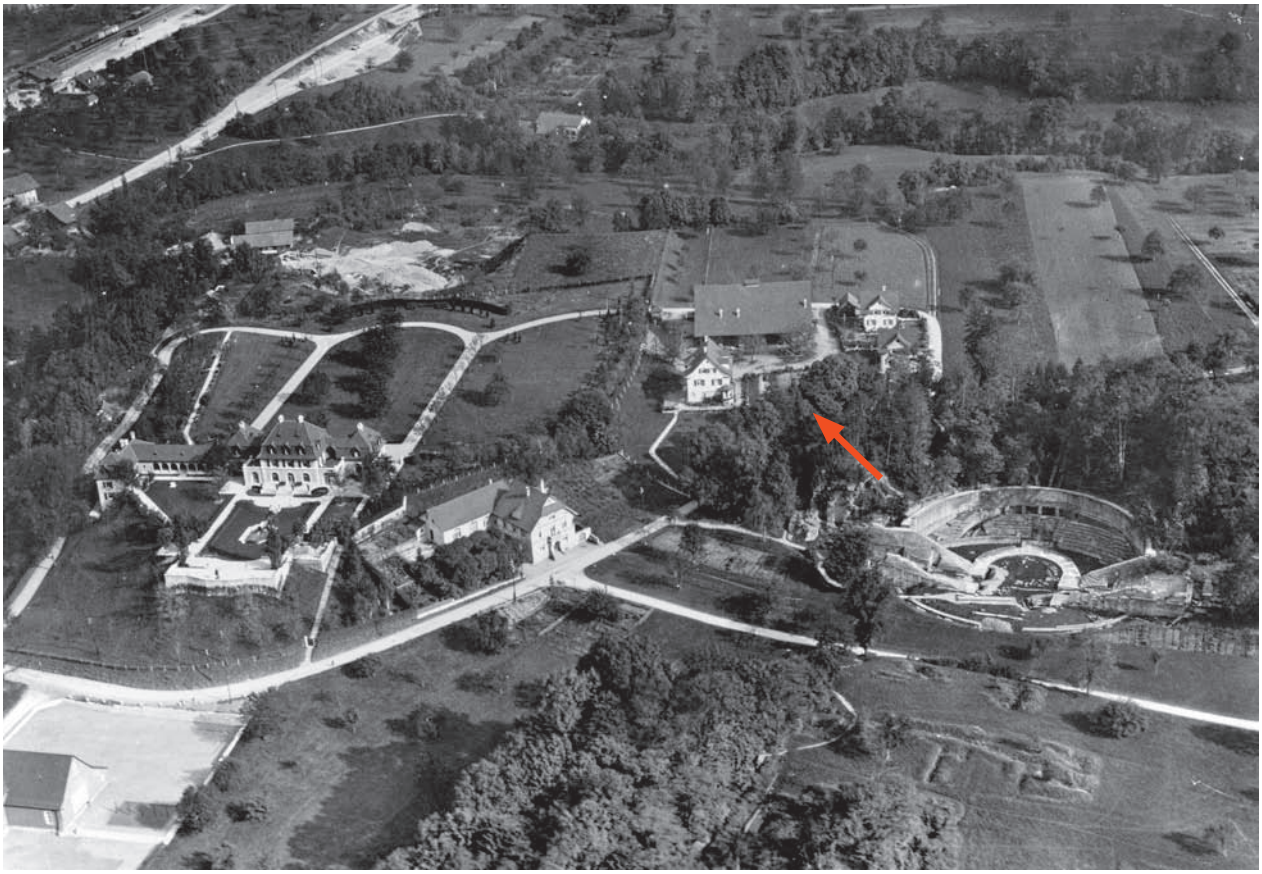


Abb. 253: Augst BL. Blick an den West- und Südwest-Abhang des Kastelenplateaus mit der Clavel-Villa, dem Restaurant Amphitheater im Areal der Insula 5 und dem jüngeren szenischen Theater. Das Areal der Insula 5/9 liegt in der damals noch bewaldeten Zone zwischen dem Theater und der sogenannten Gesslerscheune. Die sogenannte Taberne (Raum A) ist mit einem Pfeil markiert. Die Aufnahme erfolgte nach 1924 (Bau der Villa Clavel) und vor 1952 (Abbruch des Restaurants Amphitheater).

musgasse (Abb. 255)[566]. Letztere bildet die zum Theater hinunter führende Fortsetzung der auf dem Kastelenplateau liegenden Halsgrabenstrasse (vgl. auch Beil. 1).

Dem einzigen ausführlicheren Grabungsbericht ist zu entnehmen, dass «der Neubau eines Museums bzw. des Römerhauses die Grabungen [im übrigen Stadtgebiet] stark zurücktreten liess»[567]. Nach Aussage der relativ dürftigen Dokumentation – sie besteht im Wesentlichen aus einem unkommentierten Gesamtplan und etwa 50 Fotografien[568] – waren aber die freigewordenen Kräfte offenbar durch die Bau- und Einrichtungsarbeiten etc. so stark beansprucht, dass der Grossteil des etwa 2000 m² messenden Bauperimeters nur sehr oberflächlich untersucht wurde. Zwar war ein Teil der archäologischen Substanz im fraglichen Areal bereits beim Bau des Restaurants Amphitheater im Jahr 1908 zerstört worden[569]. Dieses befand sich in etwa an der Stelle, wo heute das Römerhaus steht. Leider wurden im westlich des Restaurants gelegenen Ostteil des «Vrenelisgartens» – dort steht heute das Lapidarium – sowie im unmittelbar östlich des abgebrochenen Restaurants liegenden «Joggeligarten» lediglich einige kaum dokumentierte Sondierschnitte angelegt (Grabung 1952.051)[570]. Die Dokumentation der in den Jahren 1955, 1956 und 1957 angeschnittenen Befunde umfasst lediglich einige Fotografien sowie einige kurze Tagebuchnotizen[571].

Weitergehende Aussagen zu den Befunden und Funden[572] sind folglich nur in denjenigen Zonen möglich, die in den Jahren 1953 und 1954, das heisst vor dem Bau des Römermuseums, flächig untersucht und vergleichsweise gut dokumentiert worden sind. Es handelt sich dabei um

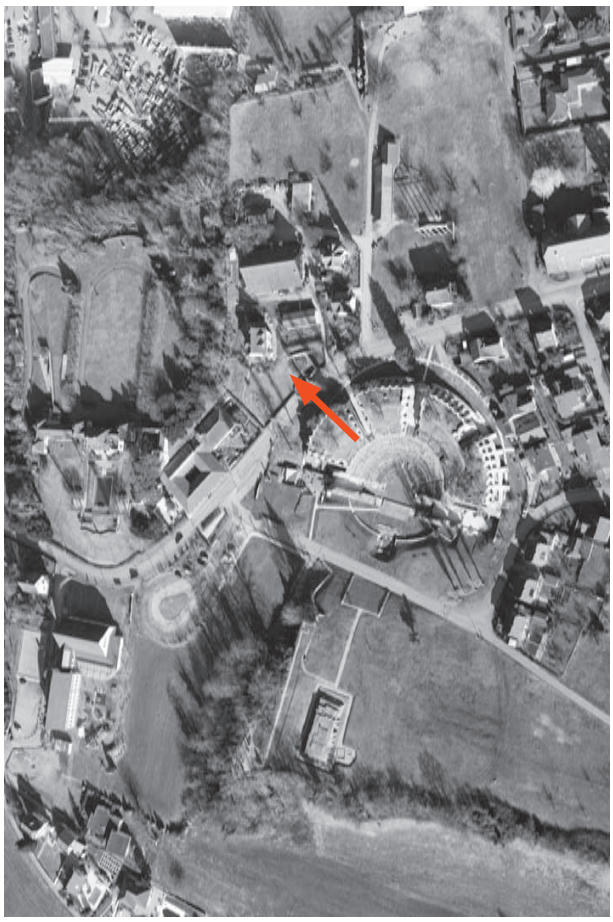


Abb. 254: Augst BL. Luftbildaufnahme mit dem West- und Südwest-Abhang des Kastelenplateaus mit der Clavel-Villa, dem Römerhaus und Römermuseum im Areal der Insula 5 sowie dem jüngeren szenischen Theater (Aufnahme 1996). Die sogenannte Taberne (Raum A) ist mit einem Pfeil markiert.

566 Vgl. dazu zuletzt Rychener 2004, 83. – Teile der Domusgasse (vgl. Abb. 256) wurden bereits von Karl Stehlin untersucht (vgl. Dokumentation der Grabung 1924.055 im Archiv der Abteilung Ausgrabungen Augst/Kaiseraugst).

567 Laur-Belart 1954/1955, 95. Ferner Laur-Belart 1952, S. XIV; Laur-Belart 1953, S. XXIV; Laur-Belart 1954, S. XVII. Aus diesen jeweils von September bis September datierten Berichten geht jedoch in der Regel nicht hervor, welche Strukturen in welchem Kalenderjahr zum Vorschein gekommen sind.

568 Plan 1957.051.100 und Dokumentation der Grabungen 1952–1957. 051 im Archiv Ausgrabungen Augst/Kaiseraugst. Von den rund 50 nummerierten Fotografien dokumentieren etwa 20 den Bau des Römerhauses und des Römermuseums.

569 Die anlässlich der Grabung 1908–1909.055 angetroffenen Befunde – u. a. ein offenbar gut erhaltener Hypokaust – wurden seinerzeit von Theophil Burckhardt-Biedermann dokumentiert (Burckhardt-Biedermann, Akten H 5a, 158 f.) (vgl. dazu auch den Nachtrag in Stehlin, Akten H7, 7a, 10; 27). Zu den ebd. gefundenen Münzen und einem bronzenen Armband vgl. unten S. 296 f. und Abb. 279.

570 Laur-Belart, Tagebuch, 12.06.1952. Bei dem in diesem Sondierschnitt gefundenen, in Laur-Belart 1952, S. XIV, erwähnten «halbrunden Kochherd mit viel verbranntem Rutenlehm drum herum» handelt es sich möglicherweise um einen weiteren Backofen. – Zu einem ebd. gefundenen Oberkörperfragment einer Merkurstatue vgl. Bossert-Radtke 1992, 29 Kat. 10 Taf. 9 und Kaufmann-Heinimann 1998, 82 (die ebd. gemachten Angaben zu den Fundorten sind in diesem Sinne zu präzisieren). – Zu den Befunden im Bereich des heutigen Lapidariums vgl. Sütterlin 2007, 84 f.

571 Laur-Belart, Tagebuch, 13.06.1955, 05.07.1955, 01.08.1955, 22.02.1956, 11.01.1957, 23.04.1957 und 24.04.1957. Der im Rahmen der Grabung 1957.051 angeschnittene Hypokaust im Bereich des heutigen Lapidariums (Abb. 275,B, linker Bildrand) wurde so kursorisch untersucht, dass trotz einer am 24.04.1957 angefertigten Skizze keinerlei Aussagen möglich sind. Vgl. Laur-Belart, Feldbuch, 24.04.1957 (Skizze); Laur-Belart 1957, S. XVI f. Vgl. in diesem Zusammenhang auch Schwarz 1995a, 62; Sütterlin 1996, 52.

572 Die Lokalisierung der unten vorgestellten Funde (vgl. Abb. 270; 272; 274; 284) resultierte aus einem aufwendigen Vergleich der Angaben im Inventarbuch des RMA und der Grabungsdokumentation. So konnte z. B. anhand des Vermerks «Grabung Museum. Brandige Auffüllung 10.8.1954» im Inventarbuch eruiert werden, dass es sich um den Brandschutt aus der Kellerverfüllung in Raum H (Abb. 256) handeln musste, der zwischen dem 28.07. und dem 17.08.1954 ausgeräumt worden ist. Trotz dieser Bemühungen konnte aber z. B. keines der auf den Fotografien und Plänen festgehaltenen Architekturelemente im Inventar des Grosssteinlagers eruiert werden. Sie müssen folglich als verschollen bzw. als nicht mehr auffindbar gelten.



Abb. 255: Augst BL, Ausschnitt aus dem archäologischen Gesamtplan mit Bezeichnung der in Exkurs 1 besprochenen Räume in den Insulae 5/9 und 5 und der Region 2E. M. 1:1400.

die Räume F, G und H in Insula 5/9 und um die Räume 1, 2 und 3 sowie den bereits von Karl Stehlin untersuchten Raum 21 in Insula 5 (Abb. 255).

Für die relativchronologische Gliederung der Befunde stützen wir uns auf die oben erarbeiteten Phasen im Ostteil von Insula 5/9 ab. Es sind dies:

- Ende Phase 7: Zerstörung der kaiserzeitlichen Überbauung (s. o. S. 112 ff.)
- Phase 8: Beseitigung des in Phase 7 angefallenen Schutts (s. o. S. 114 ff.)
- Phasen 9–11: improvisierte Instandstellungsmassnahmen und *squatter occupation* (s. o. S. 128 ff., bes. Anm. 282)
- Ende Phase 11: endgültige Zerstörung (s. o. S. 154 ff.)
- Phase 12 und Phase 13: Bau der *enceinte réduite* auf dem Kastelenplateau (s. o. S. 241 ff.; 248 ff.)

Insula 5/9, Grabung 1954.051 (Neubau Museum)

Räume F und G: Befund

Die Beurteilung und relativchronologische Einordnung der Befunde in den Räumen F und G (Abb. 256,F.G) wird durch den Umstand erschwert, dass die vergleichsweise ausführliche Dokumentation erst zu dem Zeitpunkt vorgenom-

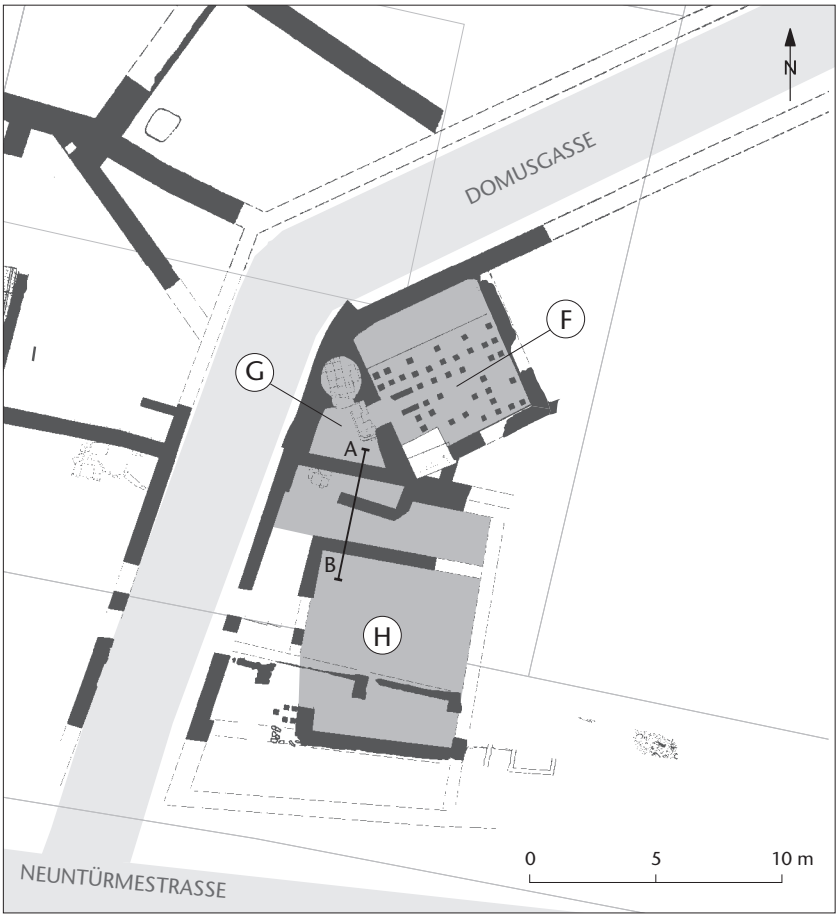


Abb. 256: Augst BL, Insula 5/9 (Grabung 1952–1957.051: Neubau Museum). Übersichtsplan mit der Lage der Räume F, G und H sowie dem Verlauf von Profil A–B. M. 1:300.

men wurde, als die relativ gut erhaltenen Befunde bereits vollständig freigelegt waren (Abb. 257)[573].

Wie Abbildung 256 zeigt, wird der Ostrand der Insula 5/9 von einer leicht geschwungenen, an die Domusgasse angrenzenden (Hang-)Stützmauer gebildet[574]. An deren Ostseite wurden zwei Räume freigelegt, bei denen es sich offensichtlich um einen Hypokaust (Raum F) und – wie der nur noch fragmentarisch erhaltene Feuerungskanal zeigt – um ein Praefurnium (Raum G) handelt.

Am schiefwinkligen Grundriss und an den deutlich erkennbaren Baufugen lässt sich ablesen, dass der Hypokaust erst nachträglich eingebaut worden ist. Es handelt sich dabei wohl um eine der letzten kaiserzeitlichen Baumassnahmen. Dies dürfte auch auf die Umbauten an der West-Ost verlaufenden Mauer zutreffen, die den Hypokaust vom Kellerraum H (Abb. 256,H) abtrennte[575].

Der Zugang zum etwa 6 × 6 Meter grossen hypokaustierten Raum F erfolgte von Süden, wo die Sandsteinschwelle der einflügligen Türe noch *in situ* vorgefunden worden ist. Wie aus Abbildung 258 hervorgeht, war der Westteil von Raum F offenbar nicht hypokaustiert. Diese konstruktive Eigenheit findet sich auch in Raum A (vgl. oben Abb. 72; 103) sowie in anderen nur teilweise hypokaustierten Räumen im westlichen Teil der Insula 5 (vgl. unten Abb. 291). Aufgrund der jeweils identischen topografischen Situation ist davon auszugehen, dass es sich bei der an die Domusgasse angrenzenden Westmauer von Raum F ebenfalls um eine (Hang-)Stützmauer gehandelt hat. Diese begrenzte offensichtlich die hohlwegartige, das heisst in die natürliche, von Norden nach Süden abfallende Hangkante eingetiefte Domusgasse[576]. Der Fussboden im hypokaustierten Raum

573 Laur-Belart, Tagebuch, 16.06.1954: «Das Zimmer mit dem Hypokaust ist fertig herausgeputzt». Wegen der fehlenden Angaben im Inventarbuch war nicht eruierbar, welche der mit der allgemeinen Bezeichnung «Grabung Museum» im Jahre 1954 registrierten Funde allenfalls aus den Räumen stammen könnten. – Vgl. in diesem Zusammenhang auch Rychener 2004, 83 f. Abb. 13 sowie Rychener/Sütterlin 2010, 126 ff. mit Abb. 59; 61.

574 Die Grabung 2003.051 zeigte, dass die Westseite dieser Mauer mit Terrazzomörtel verputzt war (vgl. Rychener 2004, 83 f., bes. Abb. 12 [dort als MR 3 bezeichnet]).

575 R. Laur-Belart geht ohne nähere Begründung ebenfalls davon aus, dass Keller und Hypokaust in der letzten Ausbauphase zum gleichen baulichen Kontext gehörten. Vgl. Laur-Belart 1954, S. XVII.

576 Analoge Beobachtungen wurden auch im nördlichsten Abschnitt der Heidenlochstrasse gemacht. Vgl. dazu Schwarz 2004, 84.



Abb. 257: Augst BL, Insula 5/9, Raum F (Grabung 1954.051: Neubau Museum). Blick auf die Überreste des Hypokausts in Raum F. In Raum G (vorne) sind die Substruktion und die Feuerplatte eines während der Phasen 9–11 eingebauten Backofens zu erkennen.



Abb. 258: Augst BL, Insula 5/9, Raum F (Grabung 1954.051: Neubau Museum). Blick von Osten in den Hypokaust von Raum F. Im hinteren, an die Domusgasse angrenzenden Teil des Raums liegt der Terrazzoboden auf einem Mauerklotz wie in Raum A.

F dürfte demzufolge deutlich unter der Oberkante der Domusgasse gelegen haben, sodass von einer Art Halbkeller gesprochen werden kann.

Beheizt wurde der Hypokaust von dem dreieckigen, ebenfalls an die Hangstützmauer angelehnten Raum G aus (Abb. 259). Die Hangstützmauer wurde in der letzten Ausbauphase offenbar mit einer 0,5 m hohen verputzten (!) Blendmauer versehen (vgl. Abb. 260,1)[577]. Diese Vorblendung steht im Verband mit dem auf einer älteren Mauer ruhenden Mauerzug, der den Heizraum nach Süden abschloss[578]. Allenfalls könnte die Blendmauer in Zusammenhang mit dem nachträglichen Einbau eines *sudatorium* in Raum G stehen[579].

In welchem Masse der hypokaustierte Raum F durch das vermutete Erdbeben am Ende von Phase 7 zerstört worden ist, bleibt ungeklärt. In Analogie zum besser dokumentierten Befund in Raum A ist zu vermuten, dass die Hypokaustinstallationen in Phase 8 zum Teil entfernt worden sind und dass der Hypokaust anschliessend mit Schutt verfüllt wurde (vgl. Beil. 2F; 2G). Das Gehniveau von Raum F lag während der hier allerdings nicht konkret nachweisbaren Phasen 9–11 vermutlich etwa auf der Höhe der Oberkante der noch *in situ* erhaltenen Hypokaustpfeiler[580].

Sicher während der Phasen 9–11 abgebrochen wurde das Gewölbe des Praefurniums: Die dort entfernten Gewölbesteine wurden nämlich vermutlich im Bereich des Backofens verbaut (vgl. unten). Die vor dem Praefurnium verlegten *tegulae* und *pilae* (Abb. 260,3) wiederum stammen



Abb. 259: Augst BL, Insula 5/9, Räume F und G (Grabung 1954.051: Neubau Museum). Blick aus Raum F auf die Substruktion und die Feuerplatte des während der Phasen 9–11 eingebauten Backofens in Raum G. Der durch die Mauer zwischen den Räumen F und G führende Einfeuerungskanal des Hypokausts muss zu diesem Zeitpunkt bereits zerstört gewesen sein.

577 Aus einer damals angefertigten Skizze (Laur-Belart, Feldbuch, 21.06. 1954) geht zweifelsfrei hervor, dass die vorgeblendete Mauer verputzt war und dass dieser Verputz älter als die Substruktion des Backofens sein muss.

578 Aus dem Gesamtplan (Plan 1957.051.100 im Archiv Ausgrabungen Augst/Kaiseraugst) und den Aufzeichnungen von R. Laur-Belart (= Abb. 260) geht nicht klar hervor, ob die jüngere Mauer auf einem älteren, abgebrochenen Mauerzug errichtet worden ist, oder ob es sich hier ebenfalls um eine Vorblendung handelt.

579 Vgl. in diesem Zusammenhang etwa Sütterlin 1998, Abb. 2,7.

580 Schlussfolgerung anhand der Fotodokumentation der Grabung 1952–1957.051 (Foto Nr. 29-31).

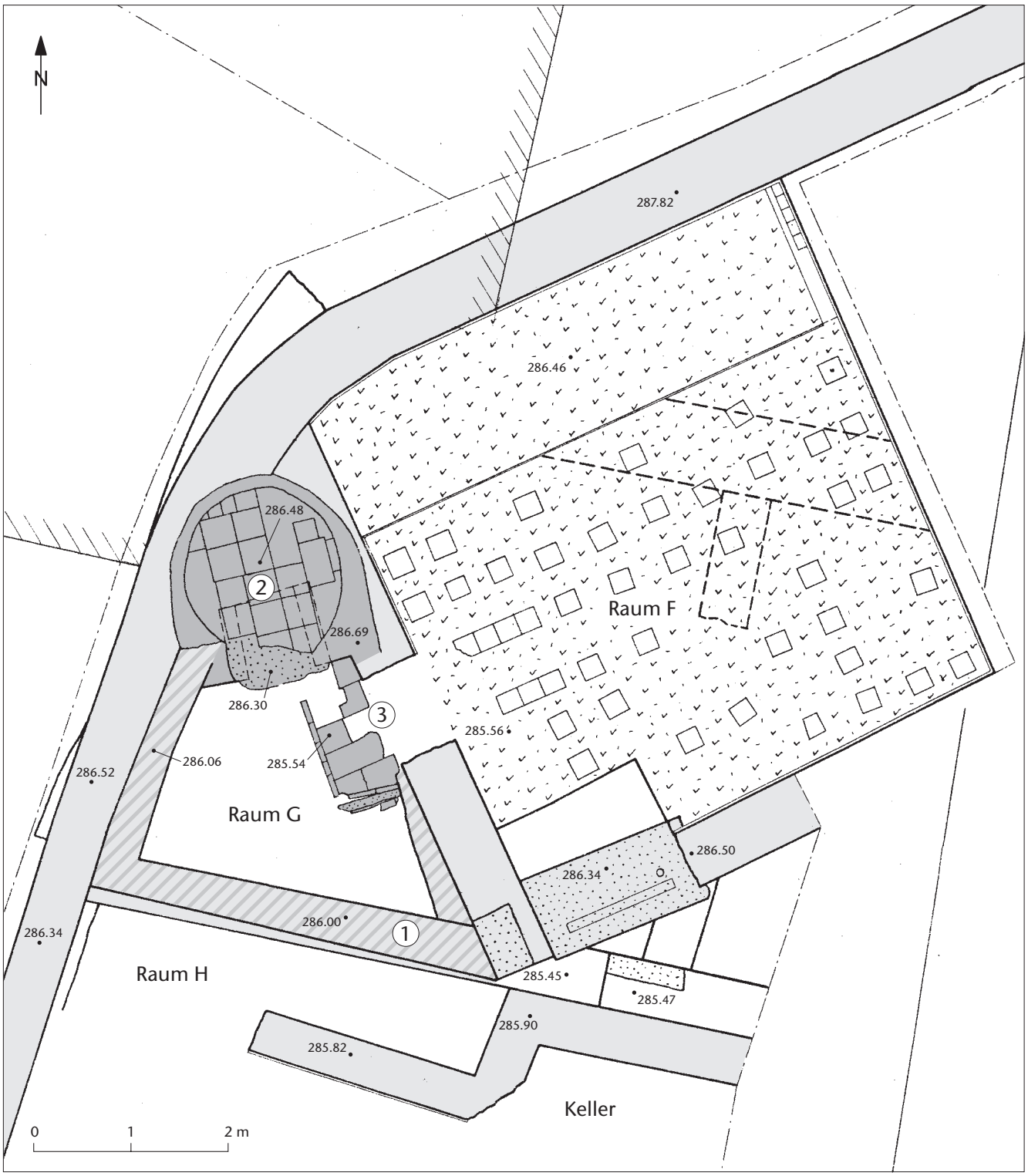


Abb. 260: Augst BL, Insula 5/9, Räume F und G (Grabung 1954.051: Neubau Museum). Detailplan mit den wichtigsten Befunden. Helles Raster: kaiserzeitliche Befunde, Schraffur: kaiserzeitliche Umbaumassnahmen. M. 1:60. ***1*** *Verputzte Vorblendung.* ***2*** *Substruktion und Feuerplatte des während der Phasen 9–11 eingebauten Backofens (vgl. auch Abb. 261; 262).* ***3*** *Mit Spolien aus Sandstein eingefasste Feuerstelle der Phasen 9–11: Die Feuerplatte besteht aus* pilae*-Platten, die wahrscheinlich aus dem ausgeplünderten Hypokaust in Raum F stammen.*

vermutlich aus dem ausgeplünderten Hypokaust und gehören sicher zu einer Feuerstelle, vielleicht sogar zu einem Räucherofen oder einer Darre[581].

581 In der Dokumentation findet sich kein diesbezüglicher Hinweis. Aufgrund der Tatsache, dass der Unterboden des Hypokausts aus einem sorgfältig gegossenen Terrazzoboden besteht, halten wir es

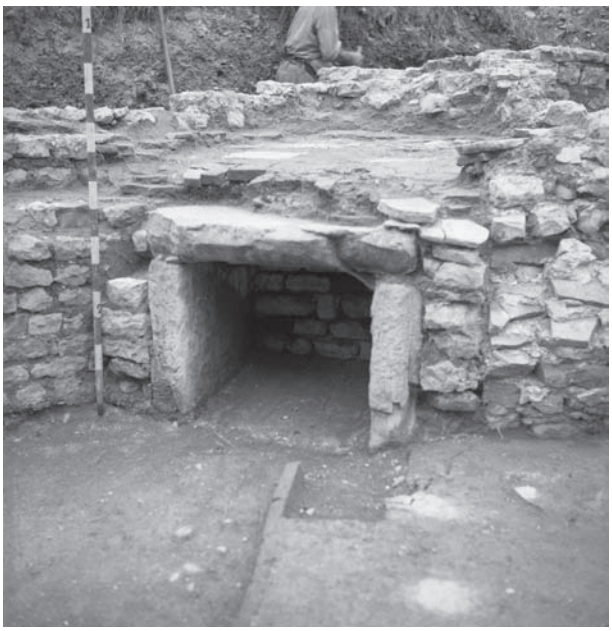


Abb. 261: Augst BL, Insula 5/9, Raum G (Grabung 1954.051: Neubau Museum). Blick an das «Holzloch» in der Substruktion des Backofens der Phasen 9–11. Gut zu erkennen ist, dass die aus zwei hochkant gestellten und einer darauf gelegten Sandsteinplatten konstruierte Substruktion erst später eingebaut worden ist (vgl. auch Abb. 260). Im Vordergrund die mit Sandsteinspolien eingefasste Feuerstelle.



*Abb. 262: Augst BL, Insula 5/9, Raum G (Grabung 1954.051: Neubau Museum). Skizze mit «Ansicht des Holzlochs von S[üden]» aus dem Feldtagebuch von Rudolf Laur-Belart (21.07.1954) mit Erläuterungen zum Backofen (vgl. auch Abb. 260; 261). **1** alter Verputz [an der kaiserzeitlichen Vormauerung]. **2** schiefe Mauer [an die Domusgasse anstossende kaiserzeitliche Hangstützmauer]. **3** Mauer des hypokaustierten Zimmers [= Raum F]. **4** Rote Sandsteinplatten. **5** Bodenplatte des Backofens [Sandsteinplatte]. **6** Feuerplatte: auf Lehmbett verlegte* pilae*-Platten. **7** trocken gemauerte Verzwickung aus Kalksteinquadern.*

Wesentlich konkreter fassbar sind die mit einer improvisierten Instandstellung bzw. Nutzungsänderung verbundenen Baumassnahmen in der Nordecke des Praefuriums (Raum G): Dort fand sich nämlich die relativ gut erhaltene Substruktion des bereits erwähnten Backofens (Abb. 260,2)[582]. Auf Abbildung 260 ist deutlich zu erkennen, dass die äussere Schale der insulazeitlichen Mauern beim Bau der Ofenkuppel abgeschrotet worden ist. Die Substruktion des Ofens bestand aus drei massiven Sandsteinplatten, die gleichzeitig auch das «Holzloch» abdeckten (Abb. 261; 262)[583].

Das gut erkennbare Klammerloch auf der rechten Platte (vgl. Abb. 259) weist zumindest eine der Sandsteinplatten als *Spolie* aus. Die beiden Spickel zwischen den älteren Mauern und den beiden Sandsteinplatten wurden mit sekundär verwendeten Handquadern aus Kalk- und Sandstein (?) verzwickt[584]. Aufgrund ihrer Grösse ist zu vermuten, dass diese zum Teil aus dem abgebrochenen Gewölbe des Feuerkanals stammen.

Ebenfalls als «Spolien» anzusprechen sind höchstwahrscheinlich die in der Feuerplatte des Backofens verbauten Ziegel. Die Masse zeigen, dass es sich dabei wahrscheinlich um *suspensura*-Platten bzw. um *pilae* handelt, die aus dem ausgeplünderten Hypokaust in Raum F stammen[585].

Die Befunde in den Räumen F und G zeigen, dass die improvisierte Instandstellung der älteren Überbauung in den Phasen 9–11 mit einem *Funktionswechsel* einzelner Räume verbunden war.

Wie lange der in Raum G installierte Backofen betrieben worden ist, lässt sich mangels zuweisbarer Funde nicht näher bestimmen. Aufgrund der Situation im östlich anschliessenden Teil der Insula 5/9 darf jedoch davon ausgegangen werden, dass er spätestens beim Bau der *enceinte réduite* auf dem Kastelenplateau aufgegeben worden ist. Der Ausläufer des in Phase 13 ausgehobenen Halsgrabens (Graben 1) scheint sich nämlich bis in den Bereich von Raum F erstreckt zu haben (vgl. Beil. 1): Auf der Übersichtsaufnah-

für wenig wahrscheinlich, dass man sich beim Praefurnium mit einer eher primitiv wirkenden Lösung begnügt hätte. Zum Phänomen der späten Darren und Räucheröfen vgl. van Ossel 1992, 137 ff. (mit ausführlicher Diskussion und weiterführender Literatur).

582 Vgl. dazu auch Laur-Belart 1954/1955, 95 Taf. 11, Abb. 2; Berger 1977, 36 Abb. 10.

583 Parallelen zu diesem konstruktiven Detail finden sich bei Berger 1977, 36 Anm. 32.

584 Schlussfolgerung der Verfasser. In Laur-Belart, Feldbuch, 21.06. 1954 (Skizze = hier Abb. 262) werden die Handquader nicht näher beschrieben.

585 In Laur-Belart, Feldbuch, 21.06.1954 (Skizze = hier Abb. 262) werden die Masse zweier Tonplatten mit 29 × 30 bzw. 32 × 32 Zentimetern angegeben.

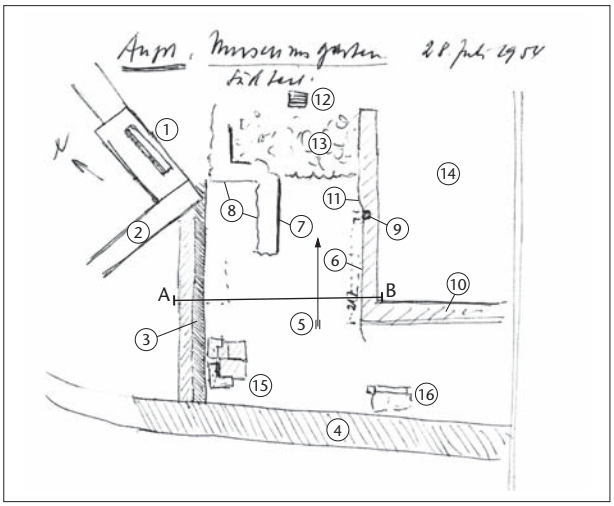


*Abb. 263: Augst BL, Insula 5/9, Raum H (Grabung 1954.051: Neubau Museum). Skizze mit der Situation im «Südteil des Museumsgartens» aus dem Feldtagebuch von Rudolf Laur-Belart (28.07.1954) (zur Lage vgl. Abb. 256). M. ca. 1:100. **A** [Ausgangspunkt von Profil A–B; vgl. Abb. 266]. **B** [Endpunkt von Profil A–B; vgl. Abb. 266]. **1** Türschwelle hypokaustierter Raum [Raum F; kaiserzeitlich, vgl. Abb. 260]. **2** spätere Mauer [von Raum F; kaiserzeitlich]. **3** ältere Mauer mit doppeltem Ziegelband [kaiserzeitlich, trennt die Räume G und H]. **4** westliche Abschlussmauer ohne Ziegelband, gut gemauert mit tiefem Vorfundament [= an die Domusgasse angrenzende kaiserzeitliche Hangstützmauer]. **5** Treppenhaus [= kaiserzeitlicher Kellerhals]. **6** roter Putz [kaiserzeitlich]. **7** verputzt grau auf rot [kaiserzeitlich]. **8** ohne Haupt [d. h. gegen den Dreck gemauert]. **9** Mauerschlitz [für Aufnahme des Holzbalkens = Türzarge], 17 x 27 cm tief, vielleicht älteres Türgewände, geht bis –2,60 [m]. **10** schlechte Mauer [kaiserzeitlich]. **11** gerötet [Brandspuren, wohl Ende Phase 7]. **12** Kannelierte Säulentrommel in [auf!] Brandschicht [Phasen 9–11]. **13** Umgestürzte Mauer mit angebrannten Quaderköpfen, auf dicker roter Brandschicht mit viel rotem Lehm [= verbranntes Fachwerk, Ende Phase 7]. **14** voll Bauschutt mit Ziegel, Brand[schutt] [Ende Phase 7]. **15** Herdstelle [aus Spolien; Phasen 9–11; vgl. Abb. 268]. **16** Herdstelle [Phasen 9–11].*



Abb. 264: Augst BL, Insula 5/9, Raum H (Grabung 1954.051: Neubau Museum). Blick auf den teilweise bereits abgebauten Brand- und Mauerschutt vom Ende der Phase 7 im teilweise freigelegten Keller (Raum H). Die Verputzreste zeigen, dass es sich nicht nur um einen einfachen Lagerkeller gehandelt haben kann.

me ist jedenfalls andeutungsweise zu erkennen, dass die Ostmauer von Raum F durch einen jüngeren in der Flucht von Graben 1 liegenden und mit Mauerschutt verfüllten Eingriff gestört ist (Abb. 257)[586].

Raum H

Befund

Wichtigste Grundlage für die Interpretation der in Raum H angetroffenen Befunde (vgl. oben Abb. 256,H) bildet eine von Rudolf Laur-Belart angefertigte Skizze (Abb. 263), deren Aussagen durch einige Fotografien von Detailbefunden ergänzt werden können[587]. Aufgrund der Angaben im Inventarbuch des RMA und eines Quervergleichs mit der Grabungsdokumentation liessen sich überdies drei stratigrafisch leider nicht sehr gut abgesicherte Ensembles definieren[588].

Raum H besteht aus einem rund 7 × 7 Meter grossen Kellerraum, der über einen abgewinkelten Kellerhals und eine Art Vorkeller betreten werden konnte[589]. Die Negative im Verputz des Kellerhalses lassen darauf schliessen, dass die Kellertreppe aus Holz bestand[590]. Die Mauern des eigentlichen Kellerraumes müssen den Aufzeichnungen zufolge rot verputzt und mit dunkelroten Streifen bemalt gewesen sein (Abb. 264; 266,4).

Leider wird der Aufbau der Stratigrafie im nicht vollständig untersuchten Keller nur kursorisch beschrieben (Abb. 265;

586 Da der Befund lediglich auf diesem Foto erkennbar ist und nirgends genauer beschrieben worden ist, könnte es sich auch um eine jüngere Störung, z. B. um ein Baumloch, handeln. – Die Fortführung des Grabens bis in den Bereich der deutlich abfallenden Südflanke des Plateaus dürfte weniger aus verteidigungstechnischen, sondern aus praktischen Gründen erfolgt sein: Auf diese Weise konnte das anfallende Schmutz- und Regenwasser ohne grossen Aufwand aus dem Halsgraben abgeleitet werden.

587 Vgl. ferner Laur-Belart, Tagebuch, 14.–15.07.1954, 28.07.1954 und 12.08.1954.

588 Die Zuweisung der Funde bzw. die Definition der Fundensembles erfolgte anhand der Fundortangaben im Inventarbuch («brandige Auffüllung», «Bauschuttauffüllung des römischen Kellers» und «Aushub Museum»), der Funddaten und der angegebenen Höhenkoten.

589 Vgl. die Zusammenstellung von weiteren Kellerbefunden und die Überlegungen zur Nutzung bei Hoek 1992, 16 ff. und zusammenfassend Hoek-Bruder 1998, 72 ff., bes. Anm. 30 ff.

590 Vgl. Dokumentation der Grabung 1954.051, Foto 46. Vgl. dazu etwa Schwarz 1991a, 41 Anm. 20.



Abb. 265: Augst BL, Insula 5/9, Raum H (Grabung 1954.051: Neubau Museum). Blick auf den teilweise von Brand- und Mauerschutt befreiten Kellerhals. Links der teilweise freigelegte Keller. Im Hintergrund die Hangstützmauer, die den Raum H gegen die talwärts führende Domusgasse begrenzte.

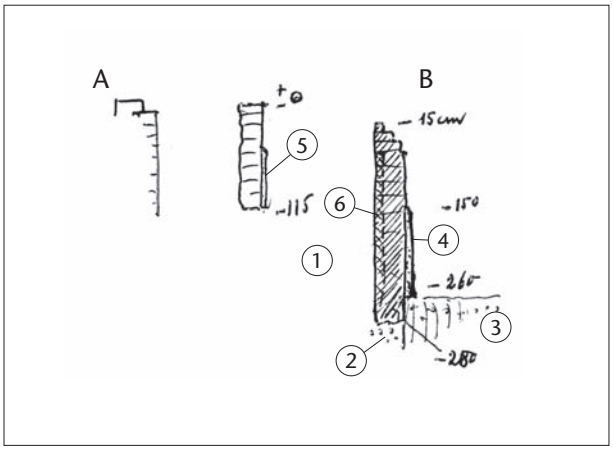


*Abb. 266: Augst BL, Insula 5/9, Raum H (Grabung 1954.051: Neubau Museum). Skizze mit der Situation im «Keller und Treppenhaus» [Profil A–B] aus dem Feldtagebuch von Rudolf Laur-Belart (17.08.1954). Zur Lage vgl. Abb. 263. M. ca. 1:100. **A** [Ausgangspunkt von Profil A–B]. **B** [Endpunkt von Profil A–B]. **1** Das Treppenhaus [Kellerhals] ist mit rotem Brandschutt, Lehm, Ziegeln etc. gefüllt [Ende Phase 7]. **2** Kies [anstehender Niederterrassenschotter, Phase 1]. **3** brandiger Bauschutt [Ende Phase 7], wegen zu grosser Tiefe nicht weitergegraben. **4** roter Verputz mit einigen dunkelroten Streifen, ohne Kante [kaiserzeitlich]. **5** Verputz mit Abdruck der Treppentritte, ca. 25 cm breit, ca. 20 cm hoch [kaiserzeitlich]. **6** Mauerschlitz [für Aufnahme des Holzbalkens = Türzarge, kaiserzeitlich].*

266)[591]. Wie aus Abbildung 263 hervorgeht, müssen aber Kellerhals, Vorkeller und der eigentliche Kellerraum offenbar mit einer mächtigen, aus rot verfärbtem Lehm bestehenden Brandschuttschicht verfüllt gewesen sein. Der sicher von verbrannten Fachwerkwänden stammende Lehm wird seinerseits von einer offensichtlich im Verband verstürzten Mauer überlagert (Abb. 263,13). Die Brandverfärbungen an der Mauerschale lassen überdies den Schluss zu, dass das aus Fachwerk bestehende Obergeschoss in Brand geraten und eingestürzt ist, bevor die Mauer im Verband umkippte[592].

Diese Indizien sprechen dafür, dass der Raum H dem vermuteten Erdbeben zum Opfer gefallen sein könnte. Die vergleichsweise zahlreichen Metallfunde – so u. a. das «in grosser Tiefe gefundene bronzene Klappgestell mit Pantherfüssen, Bacchusbüsten und dem als Pantherkopf ausgebildeten Griff» (Abb. 272,**965**)[593] – deuten ferner darauf hin, dass der untere Teil des Zerstörungsschutts seinerzeit wahrscheinlich noch *in situ* angetroffen wurde.

Der bei der Zerstörung des Erd- und Obergeschosses angefallene Primärschutt, das heisst der Fachwerkschutt und die im Verband verstürzte Mauer, dürfte jedoch kaum ausgereicht haben, um das mindestens 120 m³ umfassende Kellervolumen vollständig zu verfüllen[594]. Es ist deswegen davon auszugehen, dass es sich beim oberen Teil der Kellerverfüllung (Abb. 263,13.14; 264; 265) nicht um Primärschutt handelte, sondern um Mauerschutt, der beim Freilegen der benachbarten Räume anfiel und in Phase 8 an dieser Stelle entsorgt worden ist. Diese Entsorgungspraxis liess sich ja auch im Fall des Treppenhauses (Raum D) nachweisen (vgl. oben Abb. 123). Für diese Annahme sprechen auch die Funde aus Ensemble H8–11.

Deutlichstes Indiz für die improvisierte Instandstellung und Umnutzung im Anschluss an die Zerstörung am Ende von

591 Neben den Bezeichnungen in Laur-Belart, Feldbuch, 28.07.1954 (Skizze; hier Abb. 263) werden sie auch als «Bauschutt» (Laur-Belart, Tagebuch, 15.07.1954), als «Brand- und Bauschutt» (Laur-Belart, Tagebuch, 15.07.1954), als «brandige Auffüllung» (FK V05368) oder als «Brandschuttauffüllung» (FK V05371) bezeichnet.

592 Für einen zeitlichen Abstand zwischen den beiden Erdstössen spricht in erster Linie der Brandschutt. Wäre die Mauer unmittelbar nach dem Einsturz auf den Schutt des oberen Stockwerkes gestürzt, hätte sich der Brand vermutlich kaum in dieser Intensität entwickeln können.

593 Laut Laur-Belart 1954, S. XVII, wurden rund 40 Bruchstücke gefunden. Vgl. ferner Laur-Belart, Tagebuch, 14.07.1954, das Klappgestell «sei sehr tief» und «im Bauschutt» ohne Ordnung durcheinander gelegen. Es erfolgte keine *in-situ*-Dokumentation.

594 Die Berechnung erfolgte aufgrund der aus den Abbildungen 263 und 266 erschliessbaren Masse (6 m × 6 m × 2,5 m). 120 m³ Mauerschutt würden – auf den 6 m × 6 m grossen Kellergrundriss und dessen ca. 0,4 m dicke Mauern bezogen – bedeuten, dass das über dem Keller hochgezogene Mauerwerk und das in Leichtbautechnik errichtete Obergeschoss rund 8,5 m hoch gewesen sein müsste, was eher unwahrscheinlich ist. Zudem ist zu berücksichtigen, dass das Volumen des Brandschutts wegen des verbrannten Holzes eher geringer war.



Abb. 267: Augst BL, Insula 5/9, Raum H (Grabung 1954.051: Neubau Museum). Blick auf den Brandschutt im Kellerhals vom Ende der Phase 7. Er wurde in Phase 8 von eingebrachtem Mauerschutt überlagert. Im Hintergrund ist die auf *dem Mauerschutt liegende kannelierte Säulentrommel zu erkennen. Die möglicherweise vom Schönbühltempel stammende Spolie wurde vermutlich während der Phasen 9–11 verbaut.*



Abb. 268: Augst BL, Insula 5/9, Raum H (Grabung 1954.051: Neubau Museum). Blick auf die im ehemaligen Korridor installierte Herdstelle der Phasen 9–11. Die für die Einfassung verwendeten Spolien stammen offensichtlich von einem Fenstergewände. Zur Lage vgl. Abb. 263,15.

Phase 7 resp. die Freilegungsarbeiten in Phase 8 bilden die zwei Feuerstellen im Bereich des früheren Korridors bzw. des Zugangs zur Kellertreppe (Abb. 263,15.16). Sie zeigen, dass – wie im Fall des Praefurniums in Raum G – bei der Instandstellung offenbar keine Rücksicht auf die frühere Funktion der einzelnen Räume genommen wurde. So ist die auf der im Verband umgekippten Mauer liegende kannelierte Säulentrommel (Abb. 263,12; 267) wohl als Relikt einer Spolienkonstruktion anzusprechen[595]. Entgegen der Feststellung von R. Laur-Belart ist nämlich davon auszugehen, dass die Säulentrommel nicht «im Brandschutt», sondern *auf* der im Verband umgestürzten Mauer lag. Für eine Ansprache als Relikt von improvisierten Instandstellungen spricht auch der Säulentyp: Kannelierte Säulen finden sich in der Regel an Monumentalbauten[596] – und nicht in Privatbauten, deren Obergeschoss offensichtlich aus Lehmfachwerk bestand.

Die von zwei Bruchstücken eines Fenstergewändes eingefasste Feuerplatte (Abb. 263,15; 268)[597] der einen Feuerstelle besteht zum Teil aus Tonplatten, die möglicherweise aus dem ausgeplünderten Hypokaust in Raum F stammen. Die zweite Feuerstelle (Abb. 263,16) wurde leider nicht genauer beschrieben.

Wie lange die beiden Feuerstellen in Raum H genutzt wurden, lässt sich mangels zuweisbarer Funde nicht genauer bestimmen. Aufgrund der Feststellungen zu Raum F möchten wir aber davon ausgehen, dass Raum H spätestens nach dem Bau der Befestigung (Phasen 12–13) aufgelassen worden ist.

Ensemble H7-1

Allgemeine Charakterisierung: Ensemble H7-1 (= FK V05371; Abb. 269) umfasst die Objekte, die aus dem Brandschutt im untersten Teil des Kellers stammen und bei der Zerstörung von Raum H am Ende von Phase 7 in den Boden gekommen sind[598]. Die jüngsten Fundobjekte aus dem Brandschutt (Abb. 270) datieren in die erste Hälfte des 3. Jahrhunderts.

Datierung des Fundmaterials: Abgesehen von einigen Altstücken wie der Schüssel **935** der Form Drag. 29, die noch ins 1. Jahrhundert gehört, datieren weitere Funde, so etwa die Schüssel **936** der Form Drag. 37, das Schälchen **934** der Form Drag. 42 und die Glanztonkeramik (sog. bun-

595 Die entsprechende Inv. und GSTL-Nr. liess sich nicht eruieren. Zu derartigen Spolienkonstruktionen vgl. auch Schwarz 2000, Abb. 23; 24.

596 Vgl. z. B. Stehlin 1994, Abb. 72; Hänggi 1986, Abb. 21; 23; Trunk 1991, Abb. 58; 60; 106.

597 Die entsprechenden Inv. und GSTL-Nr. liessen sich nicht eruieren. – Vgl. in diesem Zusammenhang auch die bei Kaiser/Sommer 1994, Abb. 252 publizierten Fenstergewände.

598 FK V05371 umfasst laut den Angaben im Inventarbuch des RMA die zwischen –1,50 und –2,20 m (gemessen ab Abbruchkrone der Kellermauer) abgebauten Sedimente.

Form/Typ	RS	BS	WS	HE	Total	MIZ
TS, südgallisch						
Drag. 29			2		2	2
Drag. 37	1		3		4	3
TS, mittel-ostgallisch						
Drag. 42	1				1	1
Drag. 37	1				1	1
TS, ostgallisch						
Drag. 37	1				1	1
Glanztonkeramik						
Nb. 33			1		1	1
Becher, Typ unbestimmt		1	2		3	3
Übrige Keramik						
Helltonige Gebrauchskeramik						
Teller mit eingebogenem Rand	2				2	2
Schüssel mit profiliertem Rand	2				2	2
Krug	1			1	2	1
Schüssel, Typ unbestimmt		1			1	1
Grautonige Gebrauchskeramik						
Teller mit verdicktem Rand	2				2	2
Total Fragmente/MIZ	**11**	**2**	**8**	**1**	**22**	**19**

Abb. 269: Augst BL, Insula 5/9, Raum H (Grabung 1954.051: Neubau Museum). Ensemble H7-1: Fundstatistik zur Keramik (FK V07371). MIZ = RS, BS, WS, HE.

te Becher; o. Abb.) noch in die Zeit vor 200 n. Chr.[599] Zu den jüngsten Elementen innerhalb des Ensembles zählen der Teller **937** mit eingebogenem Rand sowie die Schüssel **939** mit profiliertem, eng anliegendem Rand. Diese Keramiktypen finden sich in Augusta Raurica etwa ab dem ersten Viertel des 3. Jahrhunderts[600]. Graue, scheibengedrehte Teller mit leicht verdicktem Rand wie **938** kommen etwas später, gegen die Mitte des 3. Jahrhunderts auf.

Von einem Kästchen stammt wohl der bronzene Beschlagaufsatz **942,** von einer Türe der massivere, eiserne Kloben **943**.

Katalog der Funde aus Raum H, Ensemble H7-1

Terra Sigillata

934 RS, TS (mittelgallisch), Schälchen Drag. 42. Bodenstempel illiterat oder unlesbar; Oberflächen stark bestossen. – Inv. 1954.272, FK V05371.

935 WS, TS (südgallisch), Schüssel Drag. 29. Relief: Unter Wandumbruch mit Blättern, Blattschuppenmuster aus Pfeilblättern, Ranken mit gefiedertem Blatt, zentralem Herzblatt und vierfach geperlter Rankenverbindung . – Inv. 1954.274, FK V05371.

936 RS, TS (ostgallisch), Schüssel Drag. 37. Relief: Eierstab mit linkem Beistrich, Relief abgebrochen. – Inv. 1954.273, FK V05371.

Übrige Keramik

937 RS, Teller mit eingebogenem Rand. Ton orange. – Inv. 1954.282, FK V05371.

938 RS, Teller mit verdicktem Rand. Ton grau. – Inv. 1954.293, FK V05371.

939 RS, Schüssel mit profiliertem Rand. Ton orange. – Inv. 1954.285, FK V05371.

940 RS, HE, Krug mit Wulstrand. Ton beige. – Inv. 1954.288.289, FK V05371.

Lampen

941 Fragmentierte offene Lampe. Henkel weggebrochen. Ton grau. – Inv. 1954.291, FK V05371.

Bronze

942 Beschlagaufsatz mit aufgewölbtem Mittelteil mit zentralem Nietloch. Um dieses fein erhoben zwei Kreise. Am Rand quer gekerbte Rillen. – Inv. 1954.295, FK V05371.

Eisen

943 Massiver Kloben. Schenkel rechteckig; Schaft rund. – Inv. 1954.296, FK V05371.

Nicht abgebildete Funde

Keramik

– Vgl. Abb. 269.

Eisen

– Eisenfragment. – Inv. 1954.297, FK V05371.

Ensemble H7-2

Allgemeine Charakterisierung: Ensemble H7-2 (= FK V05368, FK V05375, FK V05947; Abb. 271) umfasst die Objekte, die im untersten Teil der Kellertreppe und des Kellervorraums gefunden wurden und wahrscheinlich bei der Zerstörung von Raum H am Ende von Phase 7 – d. h. gleichzeitig wie Ensemble H7-1 – in den Boden gekommen sind[601].

Trotz der Selektion, die seinerzeit während und nach der Grabung stattgefunden haben muss, darf davon ausgegangen werden, dass die Keramik-, Eisen-, Bronze-, Bein- und Glasfunde aus Ensemble H7-2 (Abb. 272) ein repräsentatives Bild des Hausrats widerspiegeln, der sich zum Zeitpunkt der Zerstörung in diesem Gebäude befand – sei es im Obergeschoss oder im Keller.

Datierung des Fundmaterials: Einige Altfunde wie das Schälchen **944** der Form Drag. 35, die Schüssel (o. Abb.) der Form Drag. 29 und die Fibel **961** datieren in das 1. Jahr-

599 Für die Schälchen der Form Drag. 42 aus der mittelgallischen Werkstatt Lezoux vgl. Fünfschilling 2006, 141; für die Schüsseln der Form Drag. 37 aus ostgallischen Werkstätten vgl. Schucany u. a. 1999, 30; für die sogenannten bunten Becher, die ein breites Formenspektrum aufweisen (Karniesrand, verdickter Rand, Nb. 29, Nb. 31–32) und bei der Becherfarbe meist durch rote, hellbraune bis orangene Überzüge mit starkem Glanz auffallen, vgl. Schucany u. a. 1999, 47 Abb. 10,C.6,6.C.5,3.A.4,15.C.12,32.

600 Vgl. Schucany u. a. 1999, 154 Taf. 73 (Fundensemble D.9 Augst 8). Für die grauen Teller mit verdicktem Rand vgl. Furger/Deschler-Erb 1992, Taf. 77,19/105, dort allerdings handgemacht.

601 FK V05368 lag laut den Angaben im Inventarbuch des RMA 2,50 m unter der Abbruchkrone der Kellermauer. Zu FK V05374, FK V05375 und FK V05947 vgl. oben Anm. 588.

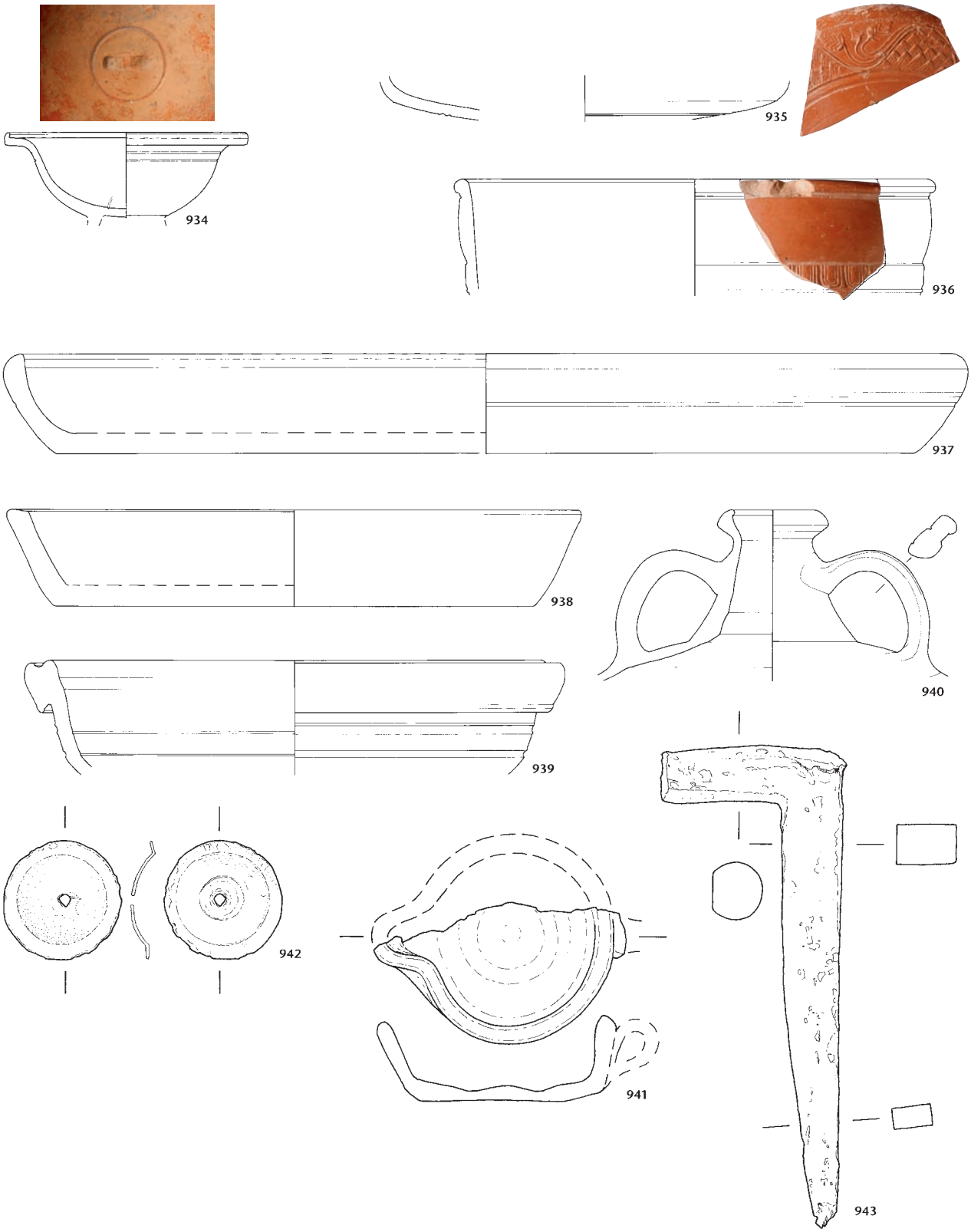


Abb. 270: Augst BL, Insula 5/9, Raum H (Grabung 1954.051: Neubau Museum). Ensemble H7-1: Funde aus dem Zerstörungsschutt vom Ende der Phase 7 im untersten Teil des Kellerraums. M. 1:3 (Stempel M. 2:3; Lampe, Bronze und Eisen M. 1:2). ***934–936*** *Terra Sigillata,* ***937–940*** *Gebrauchskeramik,* ***941*** *Lampe,* ***942*** *Bronze,* ***943*** *Eisen.*

hundert[602]. Ein weiterer Teil der Funde verweist in die ersten Jahrzehnte des 3. Jahrhunderts. So beispielsweise die

602 Vgl. Riha 1979, 65; Riha 1994, 63 f.

Schale **945** der Form Drag. 38, der Teller **947** der Form Drag. 31 und die Reibschüssel **951** der Form Drag. 43.

Einige Gefässe aus Terra Sigillata und Glanzton wurden indessen sicher in den Jahren vor 200 n. Chr. produziert. Dafür sprechen der Stempel des Töpfers Criciro vi auf dem Teller **948** der Form Drag. 31, der zwischen 155 und 185 n. Chr. datiert, und der Stempel des Töpfers Reginus vi auf der Schüssel **950** der Form Drag. 37, der in die Jahre 160–180 n. Chr. verweist. Ebenfalls in diesen Zeitraum gehören die Glanztonbecher **952** und **953**[603]. Becher wie **954** der Form Nb. 33 finden sich in Augusta Raurica hingegen erst ab den Jahren 220/230 n. Chr. regelmässig im keramischen Fundmaterial[604].

Die keramischen Funde aus Ensemble H7-2 stammen demnach mehrheitlich aus der Zeit kurz vor 200 n. Chr. bzw. aus der ersten Hälfte des 3. Jahrhunderts. Das Ensemble H7-2 ist somit etwas älter als die Ensembles aus dem um 260/70 n. Chr. entstandenen Brandschutt der Phase 11 in Raum A. Dies wiederum spricht dafür, dass der Brandschutt im unteren Teil von Keller H bereits am Ende von Phase 7, d. h. in der Zeit um 250 n. Chr., entstanden sein muss (s. o. S. 112 ff.).

Unter den Kleinfunden hervorzuheben sind das vollständig erhaltene Glasfläschchen **958** und das wohl von einem grösseren Möbel stammende Beinscharnier **960**. Das Flickstück **963** stammt wahrscheinlich von einem Metallgefäss[605]. Metallene Lampen wie das stark verbogene Lämpchen **962** mit doppelter Volutenschnauze gehören eher zu den seltenen Funden[606]. Das hier vorliegende Exemplar stammt vielleicht von einem Gehänge[607].

Das bronzene Klappdreibein mit Pantherpranken und mit Bacchusbüsten **965** konnte von Annemarie Kaufmann-Heinimann anhand stilistischer Kriterien in das frühe 3. Jahrhundert datiert werden[608]. Da dieses Luxusmobiliar zum Zeitpunkt des Brandausbruchs offenbar bereits unvollständig und demzufolge beschädigt war, ist eine Verwendung im Zusammenhang mit der Nutzung des vergleichsweise repräsentativ ausgestatteten Kellers, der offensichtlich verputzte und bemalte Wände hatte, eher unwahrscheinlich.

Form/Typ	RS	BS	WS	HE	Total	MIZ
TS, südgallisch						
Drag. 35	2				2	1
Drag. 37			1		1	1
TS, ostgallisch						
Drag. 32	1				1	1
Drag. 31	3	2			5	3
Curle 15	2		1		3	1
Drag. 38		2			2	1
Drag. 43	1				1	1
Drag. 37			1		1	1
Glanztonkeramik						
Becher mit Karniesrand	2				2	2
Becher mit verdicktem Rand	3				3	2
Nb. 33	3		5		8	3
Becher mit Weissbarbotine (siehe **975**)			1		1	1
Übrige Keramik						
Helltonige Gebrauchskeramik						
Krug/Flasche	1				1	1
Schüssel mit profiliertem Rand	1				1	1
Grautonige Gebrauchskeramik						
Tonne			1		1	1
Reibschüssel	1				1	1
«Rätische» Reibschüssel	3				3	1
Total Fragmente/MIZ	**22**	**4**	**9**		**35**	**23**

Abb. 271: Augst BL, Insula 5/9, Raum H (Grabung 1954.051: Neubau Museum). Ensemble H7-2: Fundstatistik zur Keramik (FK V05368, FK V05375, FK V05947). MIZ = RS, BS, WS, HE.

Katalog der Funde aus Raum H, Ensemble H7-2

Terra Sigillata

944 2 RS, TS (südgallisch), Schälchen Drag. 35. – Inv. 1954.85.86, FK V05368.

945 2 WS, TS (ostgallisch), Schale Drag. 38. – Inv. 1954.74.78, FK V05368.

946 2 RS, WS, TS (ostgallisch), Teller Curle 15. – Inv. 1954.76.77.91, FK V05368.

947 3 RS, TS (ostgallisch), Teller Drag. 31. – Inv. 1954.79, FK V05368.

948 BS, RS (ostgallisch), Teller Drag. 31. Mit zentralem Bodenstempel: CRICIR[O]FIICI (Criciro vi, Ittenweiler, 155–185 n. Chr.[609]). – Inv. 1954.80, FK V05368.

949 RS, TS (ostgallisch), Teller Drag. 32. – Inv. 1954.83, FK V05368.

950 WS, TS (ostgallisch), Schüssel Drag. 37. Relief: Eierstab stark fragmentiert, darunter unter Arkaden auf Stützen Figur nach rechts schreitend, daneben Dekorstempel: R.EGINF (Reginus vi, Rheinzabern?, 160–180 n. Chr.[610]). Vgl. für Stütze: Ricken/Fischer 1963, O223; für Figur/Ringer?: Ricken/Fischer 1963, M196a. – Inv. 1954.82, FK V05368.

951 RS, TS (ostgallisch), Reibschüssel Drag. 43/Nb. 21b mit Barbotinedekor. – Inv. 1954.84, FK V05368.

Übrige Keramik

952 RS, Glanztonbecher mit Karniesrand. Ton orange mit Barbotinedekor. – Inv. 1954.95, FK V05368.

953 2 RS, Glanztonbecher mit verdicktem Rand. Ton orange mit Ratterblechdekor. – Inv. 1954.93.101, FK V05368.

603 Schucany u. a 1999, 154 Taf. 71 (Fundensemble D.8 Augst 7).

604 Vgl. Hoek 1991, 117 Abb. 27; Schucany u. a. 1999, 142; 154 Taf. 73; 75; 77 (Fundensembles D.9 Augst 8, D.11 Augst 10 und D.12 Augst 11); Schatzmann 2003, 68; 194; Engeler-Ohnemus 2006, 242.

605 Zu einem geflickten Bronzekessel vgl. Flügel 2000, 125 Abb. 96.

606 Hintermann 2000, 91.

607 Ciarallo 1999, 269 Abb. 350.

608 Vgl. Kaufmann-Heinimann 1977, 120 f. Abb. 189; Kaufmann-Heinimann 1998, 81 Kat. 189; Riha 2001, 15 Kat. 7; Klatt 1995, D17 = Typ DC1.

609 Die Lesung, Datierung und Produktionszuweisung erfolgten durch Brenda Dickinson, Leeds.

610 Die Lesung, Datierung und Produktionszuweisung erfolgten durch Brenda Dickinson, Leeds.

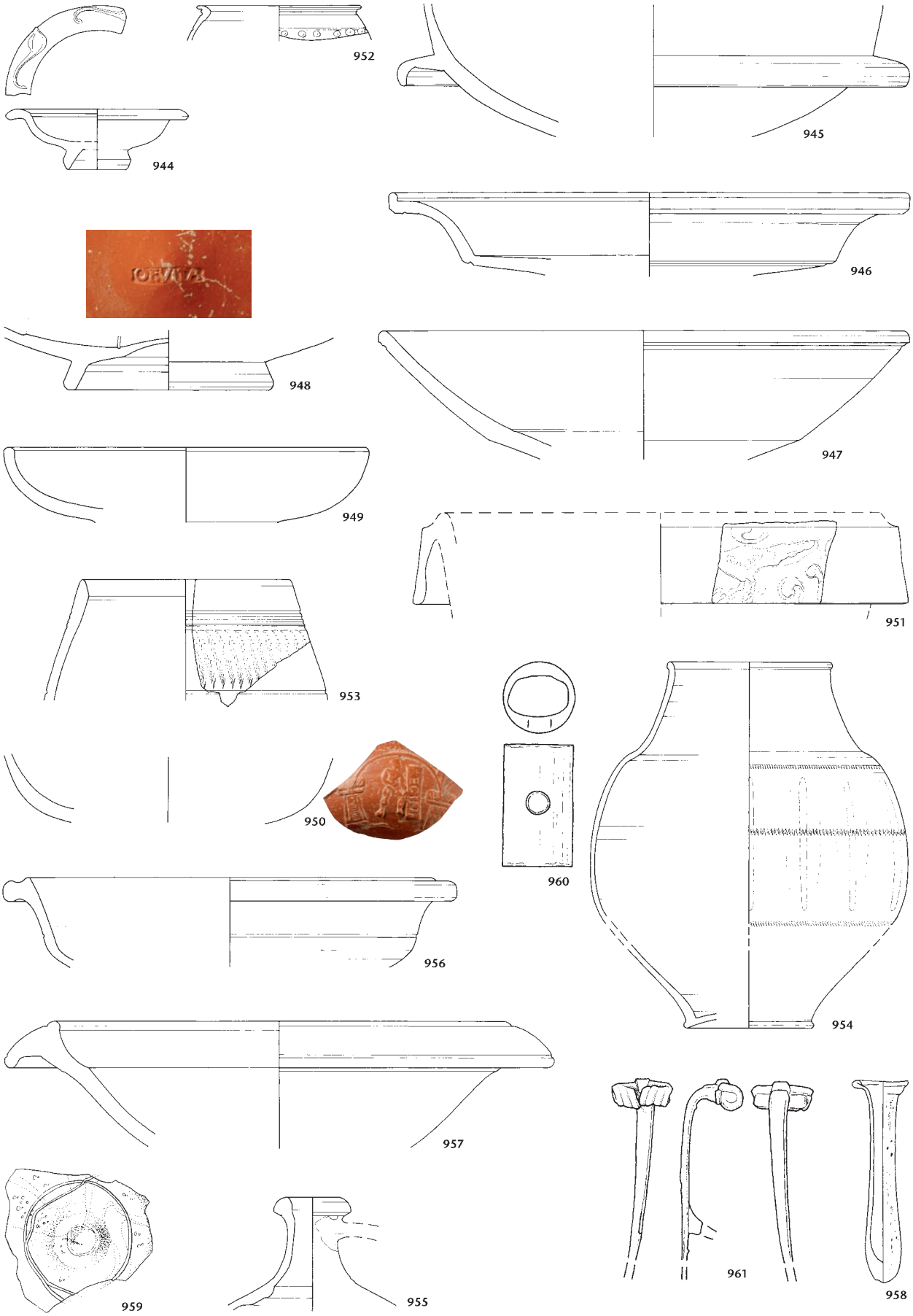


Abb. 272: Augst BL, Insula 5/9, Raum H (Grabung 1954.051: Neubau Museum). Ensemble H7-2: Funde aus dem Zerstörungsschutt vom Ende der Phase 7 im untersten Bereich der Kellertreppe und im Kellervorraum. M. 1:3 (Stempel M. 2:3; Glas, Bein, Bronze M. 1:2). ***944–952*** *Terra Sigillata,* ***953–955*** *Glanztonkeramik,* ***956–957*** *Gebrauchskeramik,* ***958, 959*** *Glas,* ***960*** *Bein,* ***961*** *Bronze.*

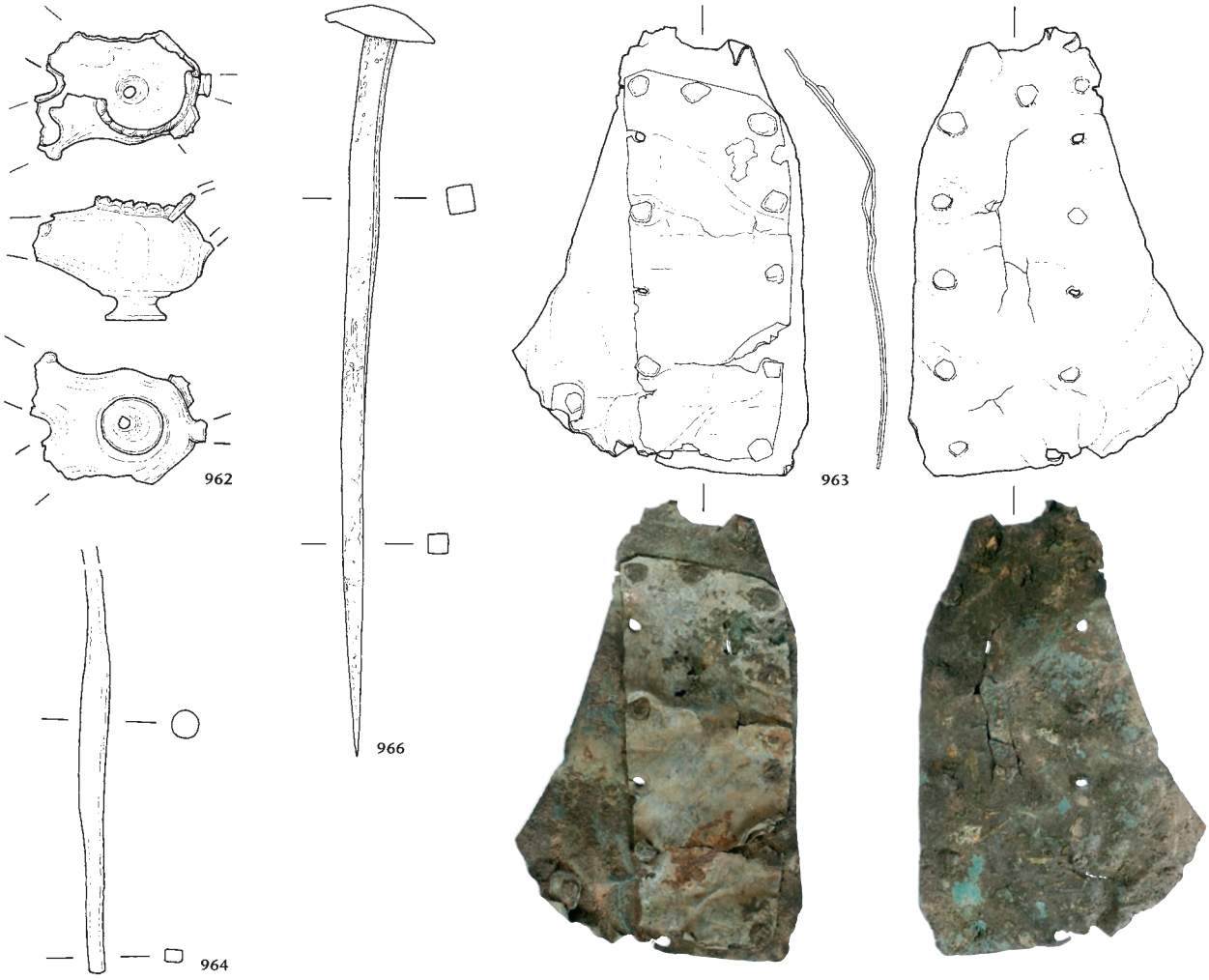


*Abb. 272 (Fortsetzung): Augst BL, Insula 5/9, Raum H (Grabung 1954.051: Neubau Museum). Ensemble H7-2: Funde aus dem Zerstörungsschutt vom Ende der Phase 7 im untersten Bereich der Kellertreppe und im Kellervorraum. M. 1:2. **962–964** Bronze, **966** Eisen.*

954 3 RS, 3 WS, BS, Glanztonbecher Nb. 33. Ton grau mit schwarzer, stark glänzender und irisierender Oberfläche. – Inv. 1954.379, FK V05947.
955 RS, Krug mit Wulstrand. Ton orange. – Inv. 1954.100, FK V05368.
956 RS, Schüssel mit profiliertem Rand und Wandknick. Ton orangegrau. – Inv. 1954.115, FK V05368.
957 3 RS, «rätische» Reibschüssel. Ton orange mit orangem Glanztonüberzug in Kehlung und über dem Rand. Quarzierung stark abgerieben. – Inv. 1954.103–105, FK V05368.

Glas
958 Vollständig erhaltenes Fläschchen. AR 138/Isings 27. Blaugrün, leicht irisierend. – Inv. 1954.119, FK V05368. – Publ.: Rütti 1991/2, Kat. 2384.
959 BS, unbestimmbares Fragment mit Fadenstandring. Blaugrün, leicht durchscheinend. – Inv. 1954.118, FK V05368. – Publ.: Rütti 1991/2, Kat. 4766.

Bein
960 Kurzes Beinscharnier mit einem Loch. – Inv. 1954.116, FK V05368. – Publ.: Deschler-Erb 1998, Kat. 4144.

Bronze
961 Fibel, Riha Typ 2.2.2. Bügel mit abgebrochenem Fussteil. Nadel fehlt. – Inv. 1954.121, FK V05368. – Publ.: Riha 1979, Kat. 165.
962 Lämpchen. Griff abgebrochen. Teile der doppelten Schnauze, der Seite und des Bodens eingebrochen. – Inv. 1954.122, FK V05368.
963 Blechfragment mit Flickpartie (evtl. von Kessel?). Äusseres gerissenes Blech wurde mit einem Blech per Niet hinterlegt. – Inv. 1954.120, FK V05368.
964 Stift mit leicht verdicktem Mittelteil. – Inv. 1954.126, FK V05368.
965 Unvollständiges dreibeiniges Klappgestell mit Pantherpranken als Beinabschluss und mit krönendem Bacchus, der aus einem Blattkelchsockel herauswächst. Auf der Rückseite jeder Büste ist ein Haken angebracht, der zur Befestigung eines Beckens diente. – Inv. 1954.438, FK V05375. – Publ.: Riha 2001, Kat. 7 (mit weiterführenden Verweisen).

Eisen
966 Vierkantiger Scheibenkopfnagel. – Inv. 1954.125, FK V05368.

Nicht abgebildete Funde
Keramik
– Vgl. Abb. 271.

Eisen
– Vierkantiger Scheibenkopfnagel. – Inv. 1954.127, FK V05368.

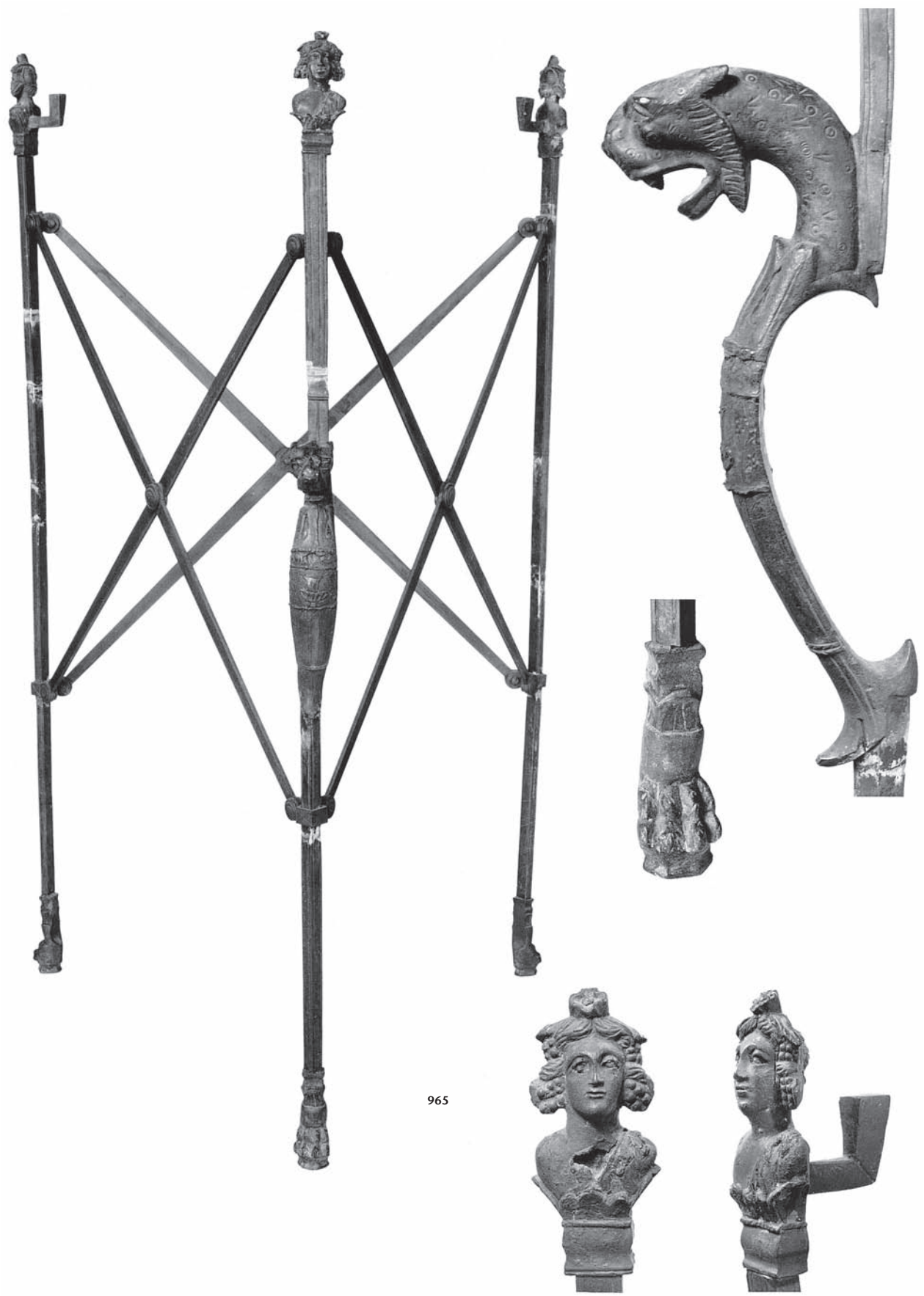


Abb. 272 (Fortsetzung): Augst BL, Insula 5/9, Raum H (Grabung 1954.051: Neubau Museum). Ensemble H7-2: Funde aus dem Zerstörungsschutt vom Ende der Phase 7 im untersten Bereich der Kellertreppe und im Kellervorraum. M. 1:5 (Details M. 1:2). ***965*** *Bronze.*

Ensemble H8–11

Allgemeine Charakterisierung: Ensemble H8–11 (FK V05369, FK V05373; Abb. 273) umfasst die Funde aus dem oberen Teil des Kellervorraums und des Treppenhalses. Es handelt sich dabei um Funde aus dem Brandschutt der Phase 7 und dem in Phase 8 entsorgten Zerstörungsschutt, die zudem möglicherweise mit dem Siedlungsniederschlag der Phase 11 vermischt sind[611].

Datierung des Fundmaterials: Die meisten Keramikformen im Ensemble H8–11 (Abb. 274) stammen aus der Zeit gegen 200 n. Chr. und aus der ersten Hälfte des 3. Jahrhunderts. Beim schwarz überglätteten Schälchen **971** könnte es sich sogar noch um ein Gefäss der Form Drack 14/15 handeln und wäre demnach in das frühe 2. Jahrhundert zu datieren[612]. Die Schüssel mit gerilltem Rand und Wandknick **977** kann mit dieser Ausprägung des Randes bereits in der zweiten Hälfte des 2. Jahrhunderts vorkommen[613]. Die Schälchen **967** der Form Nb. 12 und **968** der Form Drag. 38 sowie die Becher **972** und **973** der Form Nb. 33 und die Schüssel **978** mit eng anliegendem profiliertem Rand[614] verweisen bereits in das zweite Viertel des 3. Jahrhunderts.

In Augusta Raurica selten sind die in der zweiten Hälfte des 3. und ersten Hälfte des 4. Jahrhunderts in Trier produzierten schwarzen Becher **975** und **976** mit Weissbarbotinedekor[615]. Die hier vorliegenden Fragmente wurden im oberen Teil der Kellerverfüllung gefunden und lassen sich wahrscheinlich dem Typ 1 nach Susanne Künzl zuweisen[616]. Beide Becher weisen keine Dellen oder Falten auf; sie sind entweder nur mit Trauben- oder mit Trauben- und Rankenmotiven verziert. Der Becher **976** weist in der oberen Zone über einem gestrichelten Zonentrenner einen Buchstabenrest auf, der nicht weiter lesbar ist. Die Anfangsdatierung der Becher mit Weissbarbotine ist nicht ganz unproblematisch: Wir folgen hier der Datierung von S. Künzl, die entsprechende Stücke in die Jahre zwischen 255 und 280 n. Chr. einordnet[617]. Demgemäss sind die Becher **975** und **976** als jüngste Elemente innerhalb des Fundspektrums des Ensembles H8–11 zu werten und datieren das Fundensemble in das dritte Viertel des 3. Jahrhunderts.

Ein von einem Pferdeschweif stammendes Grossbronzefragment **985**, das im «Bauschutt», das heisst im oberen Teil der Kellerverfüllung gefunden wurde, kann wohl in denselben Zeitabschnitt eingeordnet werden. Das Fragment war offensichtlich dem Feuer ausgesetzt, um den Bleiverguss auszuschmelzen[618]. Diese Vermutung wird unterstützt durch die Zuweisung: Nach Aussage von Bettina Janietz stammt es von einer der zerschlagenen Pferdestatuen, die zu grossen Teilen im sogenannten Schrottfund in Insula 28 gefunden worden sind[619]. Andere Kleinfunde sind bemerkenswert gut erhalten. Es handelt sich dabei um ein bronzenes Ösennagelscharnier **983**, einen eisernen Henkel mit dazugehörigem Splint **986**, ein Beschlagband **987** und einen Haken **988**. Ausser dem Haken, der mit der Angel in einen Träger eingeschlagen werden kann[620], gehören die anderen Funde eher zu Türen, Kästen oder wie das Scharnier aus Bronze zu einer kleineren Kiste.

Katalog der Funde aus Raum H, Ensemble H8–11

Terra Sigillata

967 2 RS, TS (ostgallisch), Schälchen Nb. 12. – Inv. 1954.147.148, FK V05369.

968 RS, TS (ostgallisch), Schale Drag. 38. – Inv. 1954.129, FK V05369.

969 RS, TS (ostgallisch), Schüssel Drag. 37. Relief: Unter einfachem Eierstab Perlstab, Reste von Medaillon oder Efeuranke. – Inv. 1954.128, FK V05369.

970 RS, TS (ostgallisch), Schüssel Drag. 37. Relief: Unter einfachem Eierstab und Perlstab Reste von Medaillon oder Efeuranke. – Inv. 1954.384, FK V05373.

Übrige Keramik

971 RS, Imitation, Schälchen ähnlich Drack 14/15. Ton hellgrau mit schwarzer Oberfläche. – Inv. 1954.141, FK V05369.

972 RS, Glanztonbecher Nb. 33. Ton hellbraun, schwarz verfärbt. – Inv. 1954.139, FK V05369.

973 BS, Glanztonbecher Nb. 33? Ton grauschwarz, matt und mit Ratterblechdekor. – Inv. 1954.149, FK V05369.

974 RS, Glanztongefäss mit eingezogenem Rand. Ton grau. – Inv. 1954.142, FK V05369. – Vgl. Castella/Meylan Krause 1994, 55 Form 160/1.

611 Zur oft sehr problematischen Interpretation solcher Verfüllvorgänge vgl. auch Rettner 1988, 209 f. Siehe dazu auch Passscherbenverbindung zu Ensemble H7-2 bei **975**.

612 Vgl. Fünfschilling 2006, 146.

613 Vgl. Schucany u. a. 1999, 154 Taf. 70 (Fundensemble D.7 Augst 6).

614 Vgl. Schucany u. a. 1999, 154 f. Taf. 73; 74 (Fundensembles D.9 Augst 8 und D.10 Augst 9); Hoek 1991, 116; 117; 119 Abb. 26–30.

615 Vgl. Rütti 1991/1, 134 f. Abb. 82. Weitere Belege aus Seeb/ZH: Drack 1990, 148 Taf. 17,107.108.

616 Künzl 1997, 19–22 Typentaf. 1.2. Die Typenzuweisung durch S. Künzl erfolgt hauptsächlich über die Gefässproportionen; da unsere Stücke nur mit Wandfragmenten vorliegen, ist eine sichere Zuweisung schwierig.

617 Künzl 1997, 54–59. Datierung für Dekorationsgruppe I: 255–vor 260 n. Chr.; Datierung für Gruppe II: vor 260–270 n. Chr.; Datierung für Gruppe III: 270–280 n. Chr. Siehe auch zur Problematik der Vorläufer und Nachläufer bei Künzl 1997, 118–122. Ein vergleichbarer Becher aus dem römischen Friedhof an der Jakobstrasse in Köln, der mit einem kaum abgegriffenen Denar des Elagabal von 218/222 n. Chr. vergesellschaftet war, zeigt demgegenüber, dass diese Becher vielleicht bereits etwas früher produziert worden sein könnten (vgl. Friedhoff 1991, 101 Taf. 62,2).

618 Von öffentlichen Monumenten stammende Grossbronzefragmente finden sich in Augusta Raurica immer wieder – sei es in Altmetalldepots, Werkhorizonten oder Zerstörungshorizonten. Diese datieren in aller Regel eindeutig in die Zeit nach der Mitte des 3. Jahrhunderts und werden als Indiz für einen (temporären) Zusammenbruch der öffentlichen Ruhe und Ordnung im Anschluss an ein einschneidendes Ereignis gedeutet. Dies, weil die Demontage und Ausplünderung von öffentlichen Monumenten in einem funktionierenden Gemeinwesen ansonsten kaum vorstellbar ist. Vgl. Janietz Schwarz/Rouiller 1996, 108; Janietz 2000, 184 f. mit weiterführender Literatur und Schwarz 2000, 48 f., bes. Abb. 28; Schatzmann (in Vorb.), Kat. 477.

619 Vgl. Janietz Schwarz/Rouiller 1996. Die Bestimmung und Zuweisung erfolgte durch Bettina Janietz.

620 Schaltenbrand Obrecht 1996, 191 Kat. 974.

Form/Typ	RS	BS	WS	HE	Total	MIZ
TS, südgallisch						
Drag. 29		1	1		2	2
Form unbestimmt		1			1	1
TS, mittelgallisch						
Drag. 37			1		1	1
TS, ostgallisch						
Nb. 12	2				2	1
Drag. 38	1		1		2	2
Drag. 37	2		6		8	8
TS-Imitation						
Schälchen, ähnlich Drack 14/15	1				1	1
Drack 5	1				1	1
Drack 20–22						
Drack 20	1				1	1
Glanztonkeramik						
Nb. 33	2	2	2		6	3
Glanztongefäss	1				1	1
Becher mit Weissbarbotine			2		2	2
Übrige Keramik						
Helltonige Gebrauchskeramik						
Schüssel mit profiliertem Rand	4				4	3
Krug/Flasche	1	1			2	2
Räucherkelch?		1			1	1
Grautonige Gebrauchskeramik						
Kochtopf	2				2	2
«Rätische» Reibschüssel	2				2	1
Total Fragmente/MIZ	**20**	**6**	**13**		**39**	**33**

Abb. 273: Augst BL, Insula 5/9, Raum H (Grabung 1954.051: Neubau Museum). Ensemble H8–11: Fundstatistik zur Keramik (FK V05369, FK V05373). MIZ = RS, BS, WS, HE.

975 2 WS, Glanztonbecher mit Weissbarbotine. Ton schwarz, glänzend, mit grossen, senkrecht angebrachten Trauben. – Inv. 1954.146, FK V05369. – Passscherbe: Inv. 1954.117, FK V05368 (Ensemble H7-2).

976 WS, Glanztonbecher mit Weissbarbotine. Ton schwarz, glänzend, mit grossen Trauben an Rankenschnörkel; obere Zone mit unlesbarem Buchstabenrest. – Inv. 1954.145, FK V05369.

977 2 RS, Schüssel mit profiliertem Rand und Wandknick. Ton orangebraun. – Inv. 1954.132.133, FK V05369.

978 RS, Schüssel mit profiliertem Rand. Ton orange mit Goldglimmerresten innen. – Inv. 1954.134, FK V05369.

979 RS, Flasche oder Vorratsgefäss. Ton orange. – Inv. 1954.135, FK V05369.

980 BS, Räucherkelch. Fuss stark verzogen. Ton orange. – Inv. 1954.136, FK V05369.

981 RS, Kochtopf mit gekehltem Leistenrand. Ton orangeschwarz. – Inv. 1954.143, FK V05369.

982 2 RS, «rätische» Reibschüssel. Ton hellorange mit orangem Überzug über dem Rand. Quarzierung nur wenig abgerieben. – Inv. 1954.131, FK V05369.

Bronze

983 Vollständiges Ösennagelscharnier. Die Nagelspitzen sind zurückgebogen. – Inv. 1954.153, FK V05369. – Publ.: Riha 2001, Kat. 347.

984 Rechteckiges, dünnes Blechfragment. – Inv. 1954.386, FK V05373.

985 Fragment einer Grossbronze, Fragment des Schweifs einer Pferdestatue. Durch Feuereinwirkung beschädigt. – Inv. 1954.155, FK V05369.

Eisen

986 Henkel mit zweifach abgewinkeltem Bügel. Die Bügelenden sind halbkugelig abgeschlossen. Ein Splint vollständig erhalten. – Inv. 1954.152a, FK V05369.

987 Beschlagband mit vollständig erhaltenem Scheibenkopfnagel. Drei Ösen. – Inv. 1954.150, FK V05369.

988 U-förmiger Haken. Beide Enden zugespitzt. – Inv. 1954.151, FK V05369.

Nicht abgebildete Funde

Keramik

– Vgl. Abb. 273.

Bronze

– Bronzering? Verschollen. – Inv. 1954.154, FK V05369.

Eisen

– Fragmentierte Klammer? – Inv. 1954.152, FK V05369.

Naturalia

– Blaue Farbkugel. – Inv. 1954.155A, FK V05369.

Insula 5, Grabung 1954.051 (Neubau Museum)

Raum 1: Befund

Die Befundanalyse und -interpretation der im Zusammenhang mit dem Bau des Römerhauses bzw. des Römermuseums (Abb. 275) durchgeführten Grabung basiert lediglich auf einigen wenigen Fotografien und einer am 08.05.1953 von Rudolf Laur-Belart aufgenommenen Profilskizze (= Abb. 278).

Wie aus Abbildung 276 hervorgeht, liegt die nicht näher beschreibbare kaiserzeitliche Überbauung in Insula 5 ebenfalls am Fusse von mächtigen Hangstützmauern. In einem nischenartigen Rücksprung dieser Mauern dokumentierte R. Laur-Belart einen mit Rinnen versehenen, sorgfältig gefügten Plattenboden aus Sandsteinen, den er zuerst als «Wasseranlage mit Rinnen (Brunnen?)»[621] und später – offensichtlich beeinflusst von anderen Befunden – als Schlachtplatte ansprach (Abb. 277)[622]. Angesichts der mit diesen «Schlachtplatten» zusammenhängenden Probleme und der doch recht dürftigen Dokumentation sind keine weitergehenden Interpretationen möglich[623].

621 Laur-Belart, Tagebuch, 23./24.04.1953. Die entsprechende Inv. bzw. GSTL-Nr. liess sich nicht eruieren.

622 Laur-Belart 1954/1955, 95 (mit Verweis auf ältere Literatur).

623 Vgl. dazu Schwarz 1995a, 39 f., bes. Abb. 7–11. Eine Kartierung der fleischverarbeitenden Gewerbebetriebe findet sich bei Furger 1989b, 16 f.

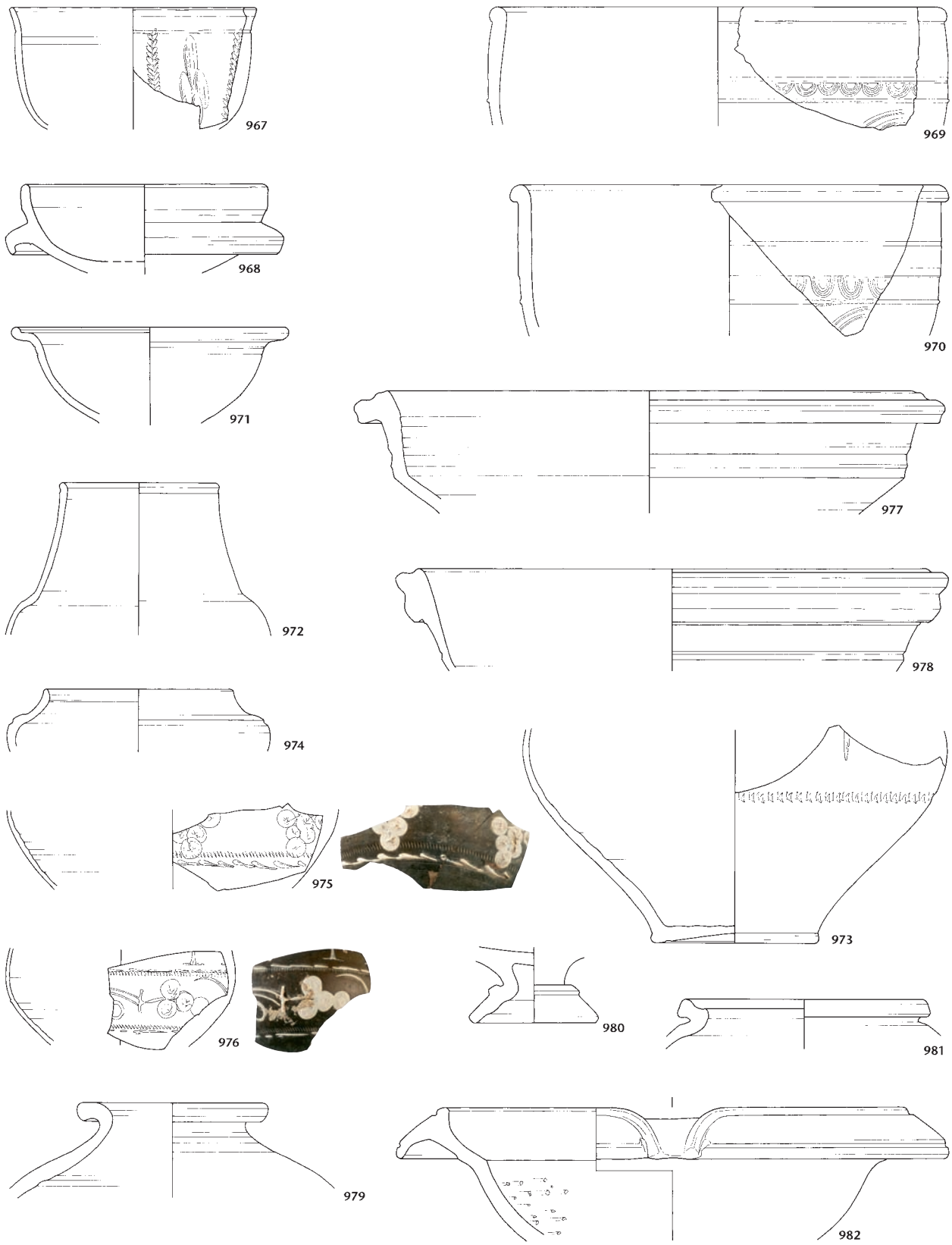


Abb. 274: Augst BL, Insula 5/9, Raum H (Grabung 1954.051: Neubau Museum). Ensemble H8–11: Funde aus dem oberen Teil des Kellervorraums und des Treppenhalses. Sie stammen z. T. aus dem Brandschutt vom Ende der Phase 7, z. T. aus dem eingefüllten Zerstörungsschutt der Phase 8 und z. T. aus Sedimenten, die während der Phasen 9–11 in die Kellerverfüllung gelangt sind. M. 1:3. ***968–970*** *Terra Sigillata,* ***971*** *Terra-Sigillata-Imitation,* ***972–976*** *Glanztonkeramik,* ***977–982*** *Gebrauchskeramik.*

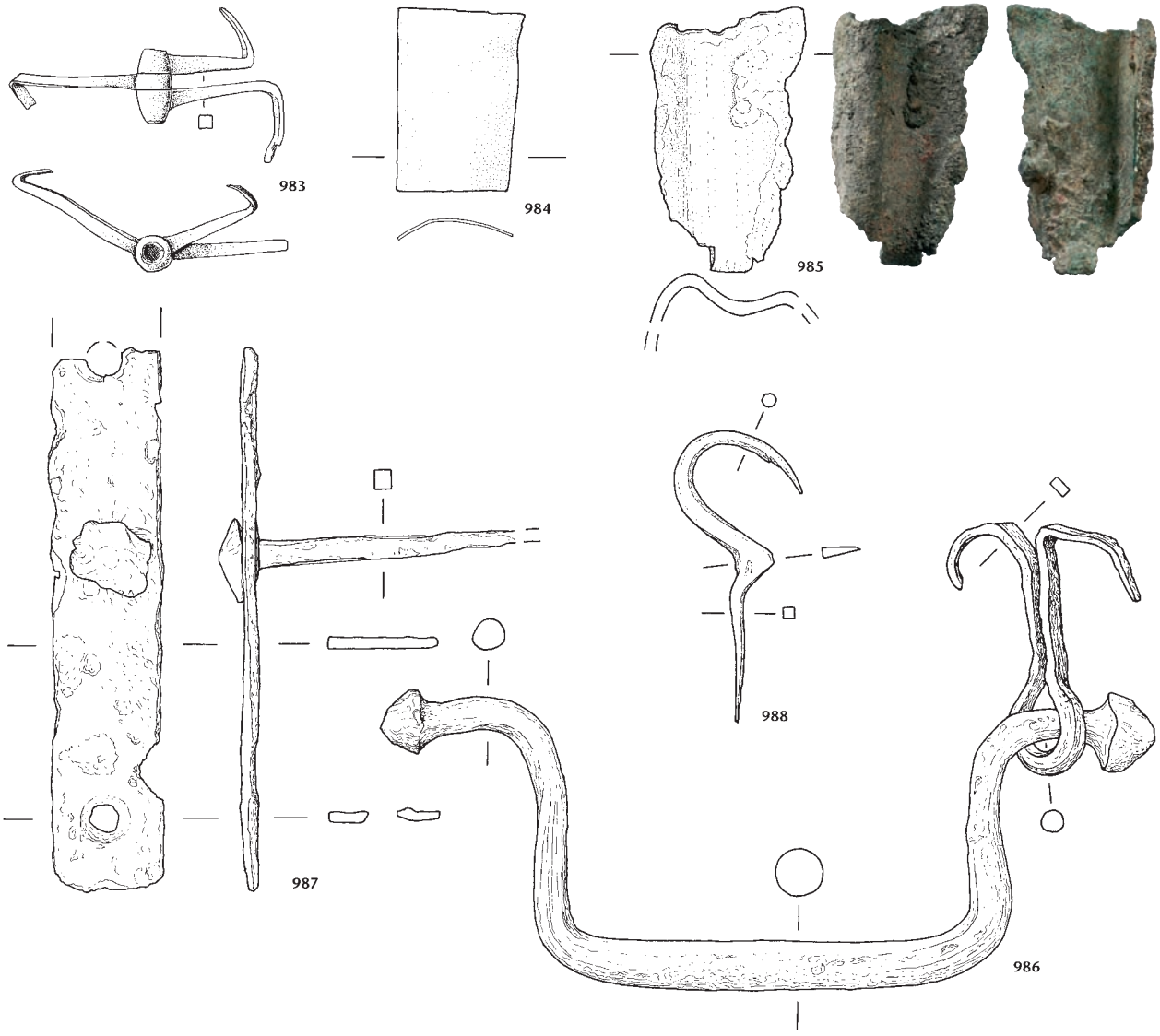


Abb. 274 (Fortsetzung): Augst BL, Insula 5/9, Raum H (Grabung 1954.051: Neubau Museum). Ensemble H8–11: Funde aus dem oberen Teil des Kellervorraums und des Treppenhalses. Sie stammen z. T. aus dem Brandschutt vom Ende der Phase 7, z. T. aus dem eingefüllten Zerstörungsschutt der Phase 8 und z. T. aus Sedimenten, die während der Phasen 9–11 in die Kellerverfüllung gelangt sind. M. 1:2. ***983–985*** *Bronze,* ***986–988*** *Eisen.*

Aufschlussreich ist hingegen die oben erwähnte Profilskizze. Diese lieferte einige interessante Informationen zur Genese des Zerstörungsschutts der kaiserzeitlichen Überbauung.

Daraus geht hervor, dass eine kaiserzeitliche (Hangstütz-?)Mauer und ein daran anschliessender kiesiger Gehhorizont (Abb. 278,1) von einer rund 20 cm mächtigen tiefschwarzen Brandschuttschicht überlagert werden (Abb. 278,3). Auf dieser ruht ein bis zu 80 cm dicker, offensichtlich verbrannter «Lehmbelag» (Abb. 278,4). Dieser kann in Analogie zu ähnlichen Befunden (vgl. oben Abb. 162; 168) als Überrest von verstürzten Fachwerk- oder Lehmstampfwänden angesprochen werden. Aus einer weiteren Skizze im Feldbuch geht ferner hervor, dass im Fachwerkschutt zudem bis zu 11 cm dicke Lehmplacken erkennbar waren, an denen noch Reste eines bemalten Verputzes anhafteten (Abb. 278,5)[624]. Die Ziegelkonzentration im Lehmschutt (Abb. 278,6) dürfte wohl von einer Feuerstelle stammen; die geringe Menge und die kleinräumige Ausdehnung sprechen gegen Relikte eines verstürzten Ziegeldachs, wie dies z. B. in Raum 21 angetroffen wurde (vgl. unten Abb. 292,6).

624 Bei Laur-Belart, Feldbuch, 08.05.1953 (mit Skizze eines Fragments, das in etwa einem bei Schwarz 1992, Abb. 9 publizierten Bruchstück entsprochen haben muss) findet sich jedenfalls kein Vermerk, dass es sich um (mit Sicherheit als solchen erkannten) Hütten- bzw. Rutenlehm handelt. – Zu den Lehmstampfwänden vgl. Schwarz 2004, 39, bes. Anm. 117 mit weiterführender Literatur.



Abb. 275: Augst BL. Blick an den Westabhang des Kastelenplateaus (Insula 5). ***A*** *Zustand vor dem Abbruch im Jahr 1952 des 1908 errichteten Restaurants Amphitheater. Links der «Vrenelisgarten», rechts der «Joggeligarten». Im Hintergrund die Villa Clavel.* ***B*** *Zustand im Jahr 2009 mit dem Lapidarium (eingerichtet 1998 bzw. 2006), dem Römerhaus (errichtet 1954/55) und dem Römermuseum (errichtet 1955–57).*

Bei der unter dem Fachwerkschutt (Abb. 278,4.5) resp. auf dem Kiesboden des Erdgeschosses angetroffenen Brandschuttschicht handelt es sich wahrscheinlich um Reste des Bretterbodens des Erdgeschosses oder des darüber liegenden Raums.

Auf dem Fachwerkschutt liegt ein Paket aus «kompaktem Mauerschutt» (Abb. 268,7). Beschreibung und Lage der skizzierten Handquader deuten darauf hin, dass es sich dabei um die Überreste einer im Verband umgekippten und beim Aufprall zerborstenen Mauer handelt[625], die ursprünglich wohl über 2 m hoch gewesen sein dürfte.

Angesichts der offensichtlichen Analogien zur Situation in Raum A darf davon ausgegangen werden, dass es sich um die Überreste eines Hanghauses handelt, dessen Obergeschoss ebenfalls aus Lehmfachwerk bestand.

In diesem Zusammenhang sei noch auf eine interessante Beobachtung hingewiesen, die im Jahr 2003 im südlich anschliessenden Bereich von Raum 1 gemacht wurde. Dort wurden nämlich ebenfalls Reste eines ausgedehnten Zerstörungshorizonts angeschnitten, dessen Unterkante jedoch nur teilweise erreicht werden konnte. «Stellenweise lagen hier dicht an dicht Dachziegelstücke, darunter kamen Konzentrationen von verbranntem Lehm, Mörtelstücken, Wandverputz und Holzkohle zutage»[626].

Wegen der lückenhaften Dokumentation der Grabung 1954.051 bzw. der geringen horizontalen und vertikalen Ausdehnung der Grabung 2003.051 lässt sich im Fall von Raum 1 nicht mit Sicherheit feststellen, wann resp. in welchem Zusammenhang dieser zerstört worden ist. Einige Indizien sprechen dafür, dass Raum 1 bereits am Ende von Phase 7, d. h. möglicherweise im Zusammenhang mit dem vermuteten Erdbeben zerstört wurde:

- Die ersten Erdstösse könnten das Aufgehende des Obergeschosses zum Einsturz gebracht und den auf Balken ruhenden Bretterboden in Brand gesetzt haben, worauf dieser mitsamt dem

625 Vgl. in diesem Zusammenhang Schwarz 1994, 44 f., bes. Abb. 6 und Schwarz 2002, 34, bes. Anm. 123 mit weiteren Beispielen.

626 Rychener 2004, 81 ff. Die Befundschilderung bezieht sich auf den zwischen MR 1 und MR 102 liegenden Abschnitt des Leitungsgrabens (vgl. ebd. Abb. 8).

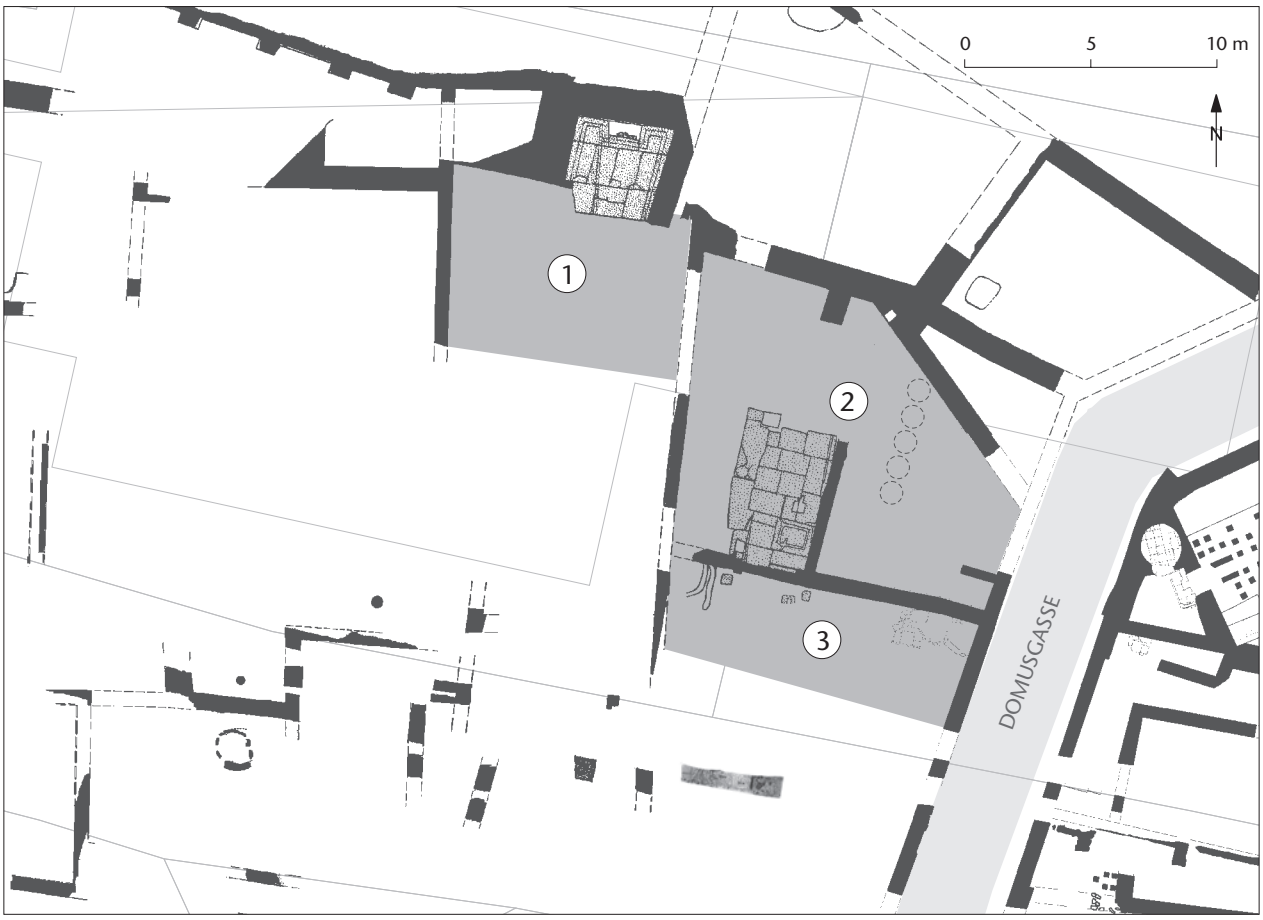


Abb. 276: Augst BL, Insula 5 (Grabung 1952–1957.051: Neubau Museum). Übersichtsplan mit der Lage der Räume 1–3. M. 1:300.

Fachwerk auf den Kiesboden des Erdgeschosses stürzte. Weitere Erdstösse könnten dann zum Einsturz der durch den Brand geschwächten bzw. wegen der ausgebrannten Holzteile destabilisierten Mauern geführt haben, deren Schutt den Fachwerkschutt des Obergeschosses überdeckte.
Denkbar ist aber auch, dass die Brandkatastrophe und der Einsturz der Mauer mit einem grösseren zeitlichen Abstand erfolgten.

- Für eine Zerstörung am Ende von Phase 7 spricht der Umstand, dass – anders als in den benachbarten Räumen 2 und 3 (vgl. unten Abb. 280) bzw. in Raum A (vgl. oben Abb. 126) – in Raum 1 keine Indizien vorliegen, die für eine Instandstellung nach der Brandkatastrophe sprechen würden.
- Der Befund zeigt zudem, dass es sich nicht um Zerstörungsschutt handeln kann, der nach wieder verwertbaren Gegenständen durchforstet und/oder bei Freilegungsarbeiten in Phase 8 hier entsorgt worden ist. Die Armut an (Metall-)Funden im Bereich der Grabung 1953.051 sowie die Zeitstellung der Mitfunde (ca. 50 und 250 n. Chr.)[627] weisen eher darauf hin, dass der Raum zum Zeitpunkt der Zerstörung bereits aufgelassen war[628].

In diesem Zusammenhang sei noch auf die wenigen Funde hingewiesen, die beim Bau des Restaurants Amphitheater geborgen wurden[629]. Es handelt sich dabei um ein «spätes» Armband aus dünnem Bronzeblech mit Hakenverschluss und rautenförmig verbreiterten Enden (Abb. 279)[630] sowie um sechs Münzen[631], nämlich:

- einen zwischen 96 und 98 n. Chr. geprägten As des Nerva
- einen nicht näher bestimmbaren As oder Dupondius des 2. oder frühen 3. Jahrhunderts
- eine zwischen 267 und 268 n. Chr. geprägte Bronzemünze des Gallienus

627 Im Inventarbuch des RMA sind lediglich 30 Funde verzeichnet (Inv. 1953.1–24, FK V05989 und Inv. 1953.25–30, FK V05990 mit Vermerk «Römerhaus» bzw. «Museum»), darunter ein bei Rütti 1991/2, Kat. 1631 publizierter Becher mit innen verdicktem, aussen gekehltem Rand.

628 Vgl. Schatzmann (in Vorb.).

629 Grabung 1908–1909.055. Laut Stehlin, Akten H7, 7a, 10 wurden die Funde vom «Wirth Gessler» beim Bau des Restaurants Amphitheater resp. beim «Ausmachen eines Baumes» geborgen und verblieben in seinem Besitz.

630 Vgl. dazu Riha 1990, 57 Taf. 18. Es handelt sich um einen Armbandtyp, der offensichtlich aus dem raetischen, norischen oder pannonischen Raum stammt (!) und dort in das 4. Jahrhundert datiert wird. Die wenigen Vergleichsstücke aus Augusta Raurica (vgl. etwa Riha 1990, Taf. 18,537) lassen sich nicht datieren.

631 Die Bestimmung der Fundmünzen erfolgte durch Markus Peter anhand der Angaben in Stehlin, Akten H7, 7a, 10; 27.



Abb. 277: Augst BL, Insula 5, Raum 1 (Grabung 1953.051: Neubau Museum). Blick auf den sorgfältig gefügten Plattenboden aus Sandsteinen in Raum 1. Wozu der von Rudolf Laur-Belart als «Wasseranlage mit Rinnen (Brunnen?)» bzw. als «Schlachtplatte» interpretierte Plattenboden gedient hat, liess sich nicht mehr eruieren.

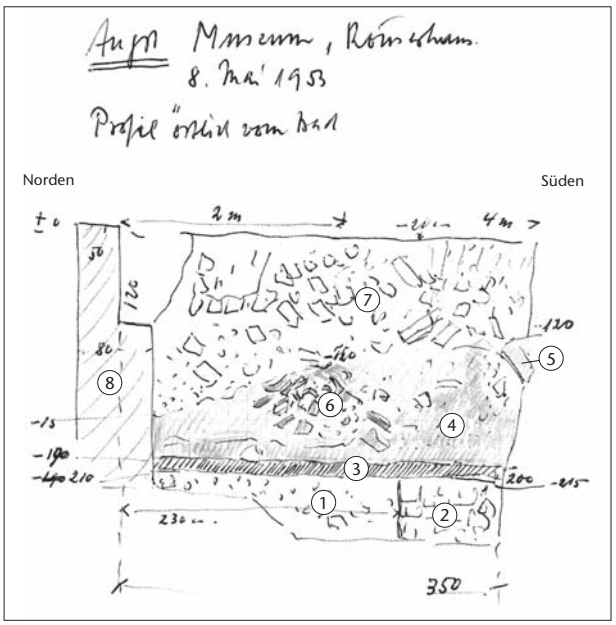


*Abb. 278: Augst BL, Insula 5, Raum 1 (Grabung 1953.051: Neubau Museum). Skizze mit der Situation im Nord-Süd-Profil «östlich vom Bad» (vgl. Text) aus dem Feldtagebuch von Rudolf Laur-Belart (08.05.1953) (zur Lage vgl. Abb. 276). M. 1:40. **1** kiesig [vermutlich anstehender Niederterrassenschotter]. **2** ältere Mauer, mindestens 1 m dick [kaiserzeitlich, abgebrochen]. **3** Brandschicht [Ende Phase 7]. **4** verbrannter Lehmbelag [Reste von am Ende von Phase 7 verbrannten Fachwerk- oder Lehmstampfwänden]. **5** Lehm mit Kalkbelag [Teil einer am Ende von Phase 7 verbrannten verputzten Fachwerk- oder Lehmstampfwand]. **6** Ziegelschutt [von Dachversturz oder Feuerstelle; Ende Phase 7]. **7** Kompakter Mauerschutt [Ende Phase 7]. **8** Moderne Hangstützmauer (Beton).*

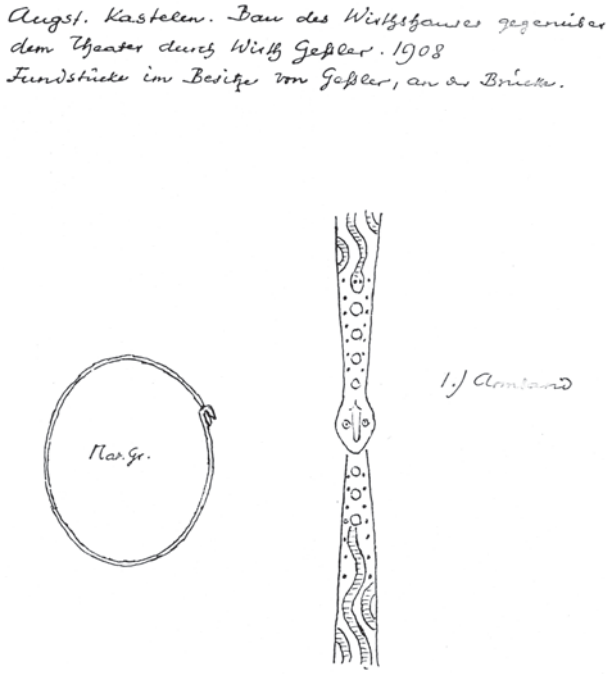


Abb. 279: Augst BL, Insula 5, Raum 1 (Grabung 1908.055: Bau Restaurant Amphitheater). «Spätes» Armband aus dünnem Bronzeblech mit Hakenverschluss und rautenförmig verbreiterten Enden. 1908 zusammen mit sechs Münzen (vgl. Text) in den Besitz von «Rössliwirt Gessler» (= Bauherr des Restaurants Amphitheater) übergegangen und heute verschollen. M. ca. 1:2.

- einen nicht näher bestimmbaren, jedoch frühestens während der Regierungszeit des Aurelian (270–275 n. Chr.) geprägten Antoninian
- eine nicht näher bestimmbare Prägung des Tetricus
- eine nicht näher bestimmbare Prägung aus constantinischer Zeit.

Die Streufunde erlauben keine präzisere zeitliche Einordnung der oben diskutierten Befunde. Die drei Prägungen aus der zweiten Hälfte des 3. Jahrhunderts bezeugen jedoch, dass auch das östlich von Raum 1 liegende Areal noch in irgendeiner Form genutzt worden ist. Die constantinische Prägung könnte bei späteren Begehungen während der Belegungszeit der *enceinte réduite* oder nach deren Schleifung (Phase 14) verloren worden sein.

Raum 2

Befund

Raum 2 (Abb. 276,2) wurde lediglich mit zum Teil flächig erweiterten Suchschnitten untersucht, was eine detaillierte Analyse der kaiserzeitlichen Befunde verunmöglicht. Aufgrund der Mauerreste ist zu vermuten, dass der unmittelbar an eine mit Stützpfeilern versehene, massive Hangstützmauer (Abb. 280) angrenzende Bereich ursprünglich überbaut



Abb. 280: Augst BL, Insula 5, Raum 2 (Grabung 1954.051: Neubau Museum). Blick aus dem Bereich von Raum 2 an die mächtige, mit einem Strebepfeiler und einem mit tegulae *ausgekleideten Entwässerungskanal versehene kaiserzeitliche Hangstützmauer am Südwestabhang des Kastelenplateaus. Zur Lage vgl. Abb. 255; 276.*



Abb. 282: Augst BL, Insula 5, Raum 2 (Grabung 1954.051: Neubau Museum). Blick auf die im Plattenboden verbaute «Schlachtplatte».

war. Die jüngeren Befunde könnten darauf hinweisen, dass die kaiserzeitliche Überbauung am Ende von Phase 7 zerstört und dass Raum 2 in Phase 8 freigelegt und anschliessend in einen (vielleicht teilweise überdachten Hinter-)Hof umgewandelt worden ist (Abb. 280). Dieser konnte vom südlich gelegenen Raum 3 her betreten werden.

Direkte Hinweise, die die Annahme einer Zerstörung der kaiserzeitlichen Überbauung durch das vermutete Erdbeben stützen würden, fehlen, weil der am Ende von Phase 7 angefallene Zerstörungsschutt restlos entfernt wurde.

Deutlichstes Indiz für die improvisierte Instandstellung resp. Umnutzung bildet ein 6 × 3 Meter grosser Plattenboden (Abb. 281). Dieser bestand aus verschiedenartigen, nicht sehr sorgfältig verlegten Sandsteinplatten, bei denen es sich offensichtlich um Spolien handelt[632]. Für Letzteres spricht einerseits die zusammenhangslos verlegte «Schlachtplatte» (Abb. 282)[633], andererseits der Umstand, dass der Plattenboden *über* eine zum Teil abgeschrotete Mauer hinwegzieht und dort einen 0,5 m hohen Absatz bildet. Ungeklärt ist der konstruktive Zusammenhang zwischen dem Plattenboden und einer sekundär herausgearbeiteten, viereckigen Eintiefung[634] sowie den zwei auf der sekundär verbauten «Schlachtplatte» liegenden Quadern (Abb. 281,1). Die auf dem Plattenboden gefundene Münze des Claudius II. **(999)**[635] und die damit vergesellschaftete Keramik bezeugen indirekt die oben postulierte Datierung des Plattenbodens in die Spätzeit.

Laut den Tagebucheinträgen von R. Laur-Belart kamen in einem Nord-Süd verlaufenden Sondierschnitt im Ostteil von Raum 2 (Abb. 281,2) mindestens *sechs Backöfen* zum Vorschein, von denen aber kein einziger *in situ* dokumentiert worden ist[636]. Die Backöfen müssen jedoch so gut erhalten gewesen sein, dass zeitweilig sogar eine Integration dieser «Bäckerei» in das Römerhaus erwogen wurde[637]. Obschon die Zuweisung dieser – wahrscheinlich in einer Reihe angeordneten – Backöfen stratigrafisch nicht abgesichert ist, möchten wir aufgrund des archäologischen Kontexts

632 Leider wurden die unter dem Plattenboden liegenden Sedimente, bei denen es sich vermutlich um ausplanierten Zerstörungsschutt handelte, nicht abgebaut.

633 Die entsprechende Inv. bzw. GSTL-Nr. liess sich nicht eruieren. Die gut erkennbare Abflussrinne müsste sich fortsetzen oder in ein in den benachbarten Quader eingetieftes Auffangbecken münden. Vgl. Schwarz 1995a, 39 f., bes. Abb. 7 ff.

634 Sie wurde von R. Laur-Belart als Wasserabfluss gedeutet. Vgl. Laur-Belart 1954, S. XVII.

635 Die Münze wurde laut Aufschrift auf der Fundtüte zu FK V05376 am 10.09.1954 «auf dem Steinboden» gefunden. Für die diesbezüglichen Recherchen danken wir Markus Peter. – Von den bei Peter 1996 aufgeführten Münzen Ins. 5.9/1–52 und Ins. 5.9E1/1.2 liess sich nur diese Prägung der Insula 5 zuweisen.

636 Vgl. Laur-Belart, Tagebuch, 26.06.1952: «Ein fünfter geborgener Ofen wird vom Restaurant Amphitheater in den Schuppen disloziert». Der Ofen ist heute nicht mehr auffindbar. In Laur-Belart, Tagebuch, 14.07.1952 wird erwähnt, dass bei einem im Joggeligarten entdeckten Hypokaust offenbar ein sechster «runder Backofen» entdeckt wurde.

637 Vgl. Laur-Belart, Tagebuch, 18.07.1952.

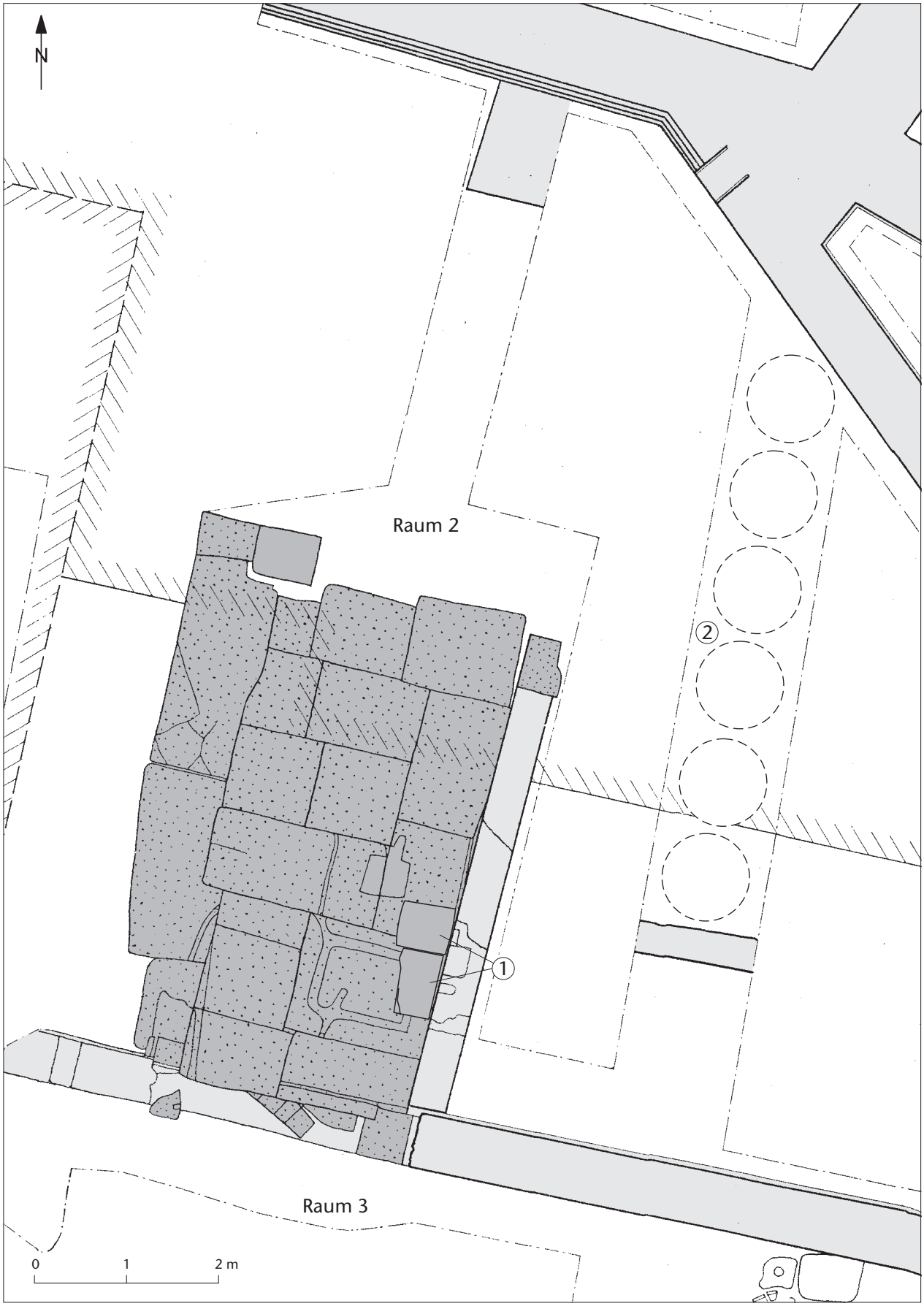


*Abb. 281: Augst BL, Insula 5, Raum 2 (Grabung 1954.051: Neubau Museum). Ausschnitt aus dem Gesamtplan mit dem etwa 6 x 3 Meter grossen, über abgebrochenen kaiserzeitlichen Mauern liegenden Plattenboden aus Sandsteinspolien der Phasen 9–11. Zur Lage vgl. Abb. 255,2. M. 1:60. **1** Auf dem Plattenboden liegende Sandsteinquader (Spolien) (ergänzt nach Fotoaufnahmen). **2** Sondierschnitt, in dem laut den Aufzeichnungen von Rudolf Laur-Belart mindestens sechs leider nicht dokumentierte Backöfen zum Vorschein kamen.*

davon ausgehen, dass sie gleichzeitig betrieben worden sind. Die in Insula 5/9 nachgewiesenen Backöfen (vgl. oben Abb. 149; 260,2) standen ja ebenfalls in Räumen, die nach einer Zerstörung am Ende von Phase 7 wieder instand gestellt und bis zur endgültigen Zerstörung bzw. Auflassung am Ende von Phase 11 genutzt wurden.

Ensemble R2/9–11

Allgemeine Charakterisierung: Die Funde aus dem Ensemble R2/9–11 (Abb. 283) lagen auf dem Plattenboden von Raum 2. Die Keramik (Abb. 284) ist heterogen zusammengesetzt und datiert grob in die Zeit zwischen 50 und 270/280 n. Chr. Der Befund und die Vergesellschaftung mit einem zwischen 269 und 270 n. Chr. geprägten Antoninian **999** des Claudius II. sprechen dafür, dass das Ensemble während des dritten Viertels des 3. Jahrhunderts abgelagert worden ist.

Datierung des Fundmaterials: Neben einigen Altfunden aus Terra Sigillata, wie beispielsweise dem Teller **992** der Form Drag. 18 und einer Schüssel der Form Drag. 29 (o. Abb.), datiert die Terra Sigillata in die Zeit nach 220/230 n. Chr., so zum Beispiel das Schälchen **990** der Form Nb. 12 und die Reibschale **994** der Form Drag. 43. Der Schüsseltyp **993** der Form Nb. 19 kommt auch im 3. Jahrhundert auf und läuft bis ins 4. Jahrhundert weiter. Unser Stück weist eine leicht kugelige und gleichmässig geschwungene Gefässwand auf. Die Wandleiste setzt sich prägnant ab und ist durch Rillen auf der Wandung akzentuiert. Solche Merkmale lassen die Schüssel ins 3. Jahrhundert – mit Tendenz in das zweite und dritte Viertel des 3. Jahrhunderts – einordnen und setzen diese formal von den jüngeren, mit strafferer Wandung versehenen Schüsseln der Form Nb. 19 ab[638]. Auch der Becher **995** der Form Nb. 33[639] und die Amphore **998** der Form Dressel 20 mit Amphorenstempel APFS datieren in das 3. Jahrhundert.

Als besonderer Kleinfund kann ein stark beschädigter Ortbandrahmen mit Hohlraum eines Thekenbeschlags **1000** angeführt werden. Dabei handelt es sich um einen Beschlag eines langschmalen, einschneidigen Messers, das vor allem zum Essen oder Tranchieren verwendet wurde[640]. Die Riemenschleife eines Pferdegeschirrs **1001** mit rechteckiger Körperform[641] datiert in das 1. und 2. Jahrhundert. Bemerkenswert gut erhalten ist ein Sägeblatt **1003** mit geradem Rücken und Schneide mit einfacher Zähnung[642].

Form/Typ	RS	BS	WS	HE	Total	MIZ
TS, südgallisch						
Drag. 18	1				1	1
Drag. 29	1				1	1
Drag. 37			2		2	2
TS, ostgallisch						
Drag. 40	1				1	1
Drag. 32	1				1	1
Nb. 12		1			1	1
Nb. 19	1				1	1
Drag. 43	4				4	2
Drag. 37			2		2	2
Glanztonkeramik						
Nb. 33	2				2	1
Übrige Keramik						
Helltonige Gebrauchskeramik						
Teller mit eingebogenem Rand	1				1	1
Reibschüssel	2				2	2
Amphore	1				1	1
Total Fragmente/MIZ	**15**	**1**	**4**		**20**	**17**

Abb. 283: Augst BL, Insula 5, Raum 2 (Grabung 1954.051: Neubau Museum). Ensemble R2/9–11: Fundstatistik zur Keramik (FK V05370, FK V05372, FK V05376). MIZ = RS, WS, BS, HE.

Katalog der Funde aus Raum 2, Ensemble R2/9–11

Terra Sigillata

989 RS, TS (ostgallisch), Schälchen Drag. 40. – Inv. 1954.298, FK V05372.

990 BS, TS (ostgallisch), Schälchen Nb. 12. – Inv. 1954.301, FK V05372.

991 RS, TS (ostgallisch), Teller Drag. 32. – Inv. 1954.300, FK V05372.

992 RS, TS (südgallisch), Teller Drag. 18. – Inv. 1954.181, FK V05370.

993 RS, TS (ostgallisch), Schüssel Nb. 19 mit Barbotinedekor. – Inv. 1954.299, FK V05372.

994 3 RS, TS (ostgallisch), Reibschüssel Drag. 43/Nb. 21b mit Barbotinedekor. – Inv. 1954.180.183, FK V05370.

Übrige Keramik

995 2 RS, Glanztonbecher Nb. 33. Ton grauschwarz. – Inv. 1954.189.190, FK V05370.

996 RS, Teller mit eingebogenem Rand. Ton orange. – Inv. 1954.304, FK V05372.

997 RS, «rätische» Reibschüssel. Ton orange mit orangem Überzug über dem Rand. – Inv. 1954.187, FK V05370.

998 RS, Amphore, Dressel 20 mit Stempel an Henkel: APFS. – Inv. 1954.312, FK V05372. – Publ.: Martin-Kilcher 1987/1994, Kat. 866 mit ST 85.

Münzen

999 Claudius II. Gothicus. Antoninian. Rom, 269–270 n. Chr. Vgl. RIC V,1, S. 213, Nr. 16. A2/2, K3/3, 180°, 2,48 g. Unregelmässiger Schrötling. – Inv. 1954.471, FK V05376. – Publ.: Peter 1996, Ins. 5.9/50.

Bronze

1000 Stark fragmentiertes Teilstück eines Ortbandrahmens. Kein Ansatz der Ornamentik erhalten. – Inv. 1954.198, FK V05370.

638 Schatzmann 2000, 180 Anm. 79–82.

639 Schucany u. a. 1999, 142; 155 Taf. 74,11 (Fundensemble D.10 Augst 9).

640 Berger 2002, 13. Das Ortband **1000** ist bei Berger 2002 nicht aufgeführt. Die starke Fragmentierung erschwert eine genauere Klassifizierung des Stückes.

641 Vgl. Simpson 2000, 70 Taf. 27,16.

642 Vgl. Pietsch 1983, 49; Simpson 2000, 43, 1 mit weiterführender Literatur.

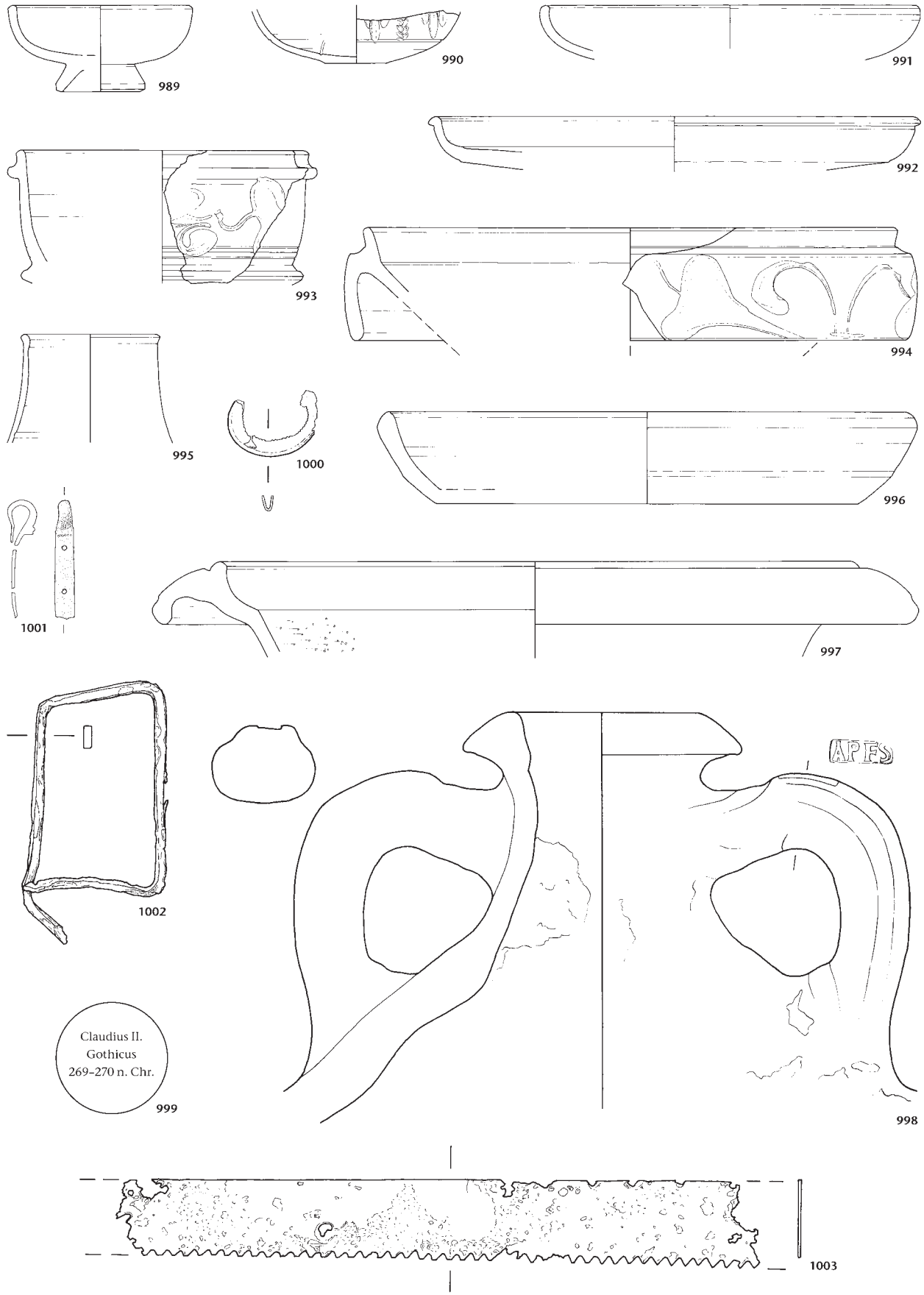


Abb. 284: Augst BL, Insula 5, Raum 2 (Grabung 1954.051: Neubau Museum). Ensemble R2/9–11: Funde aus den während der Phasen 9–11 auf dem Plattenboden in Raum 2 abgelagerten Sedimenten. M. 1:3 (Bronze und Eisen M. 1:2). ***989–994*** *Terra Sigillata,* ***995*** *Glanztonkeramik,* ***996–998*** *Gebrauchskeramik,* ***999*** *Münze,* ***1000, 1001*** *Bronze,* ***1002, 1003*** *Eisen.*



Abb. 285: Augst BL, Insula 5, Raum 3 (Grabung 1954.051: Neubau Museum). Blick auf die während der Phasen 9–11 installierte «halbrunde Anlage» in der Nordwestecke von Raum 3. Die an eine kaiserzeitliche Mauer angebaute Konstruktion (Feuerstelle? Unterkonstruktion eines Backofens?) lag offenbar auf dem in Phase 8 ausplanierten «Schutt». Zur Lage vgl. Abb. 276,3.



Abb. 286: Augst BL, Insula 5, Raum 3 (Grabung 1954.051: Neubau Museum). Blick auf die «späten Einbauten» der Phasen 9–11 in der nordöstlichen Ecke von Raum 3: aus tegula*-Fragmenten konstruierte halbrunde Feuerstelle mit Galgenstein. Bei der rechts anschliessenden Steinsetzung mit dem «Latrinenstein» handelt es sich möglicherweise um die Relikte eines Räucherofens oder einer Darre. Zur Lage vgl. Abb. 276,3.*



Abb. 287: Augst BL, Insula 5, Raum 3 (Grabung 1954.051: Neubau Museum). Blick auf die «späten Einbauten» der Phasen 9–11 in der nordöstlichen Ecke von Raum 3. Die Stratigrafie im Sondierschnitt zeigt, dass der helle kaiserzeitliche Mörtelgussboden von einer dunklen Lehmschicht überlagert wird. Es handelt sich wahrscheinlich um verbrannten Fachwerklehm, der bei der Zerstörung der Überbauung am Ende von Phase 7 anfiel und in Phase 8 ausplaniert worden ist. Zur Lage vgl. Abb. 276,3.

1001 Riemenschleife von Pferdegeschirr mit rechteckiger Körperform und querprofilierter Schlaufe; Riemenzunge mit zwei Nietlöchern. – Inv. 1954.318, FK V05372. – Publ.: Deschler-Erb 1999, Kat. 679.

Eisen

1002 Klammer, Querschnitt bandförmig. – Inv. 1954.194, FK V05370.

1003 Sägeblatt. – Inv. 1954.197, FK V05370.

Nicht abgebildete Funde

Keramik

– Vgl. Abb. 283.

Eisen

– Vierkantiger Scheibenkopfnagel. – Inv. 1954.317, FK V05372.
– Laut Laur-Belart, Tagebuch, 11.11.1954 zudem «merkwürdiger Eisenkonus (Totschläger oder Hautablöser)».

Raum 3

Befund

Wie im Fall von Raum 2 basiert die Befundinterpretation von Raum 3 (Abb. 276,3) auf einer sehr knappen Dokumentation. Diese umfasst zwei Fotografien sowie einige nicht weiter kommentierte Nachträge auf dem archäologischen Gesamtplan.

Wie der Mauerplan nahelegt, gehörte Raum 3 zur kaiserzeitlichen Überbauung der Insula 5, die sich zwischen der Neuntürmestrasse und der oben beschriebenen Hangstützmauer erstreckte. Wozu der langrechteckige Raum genutzt wurde, liess sich nicht eruieren.

Die Annahme einer Zerstörung von Raum 3 am Ende von Phase 7 basiert auf entsprechenden Beobachtungen in Raum

2 sowie auf verschiedenen «späten» Einbauten. Dazu gehört u. a. eine leider nicht näher beschriebene «halbrunde Anlage» in der Nordwestecke von Raum 3 (Abb. 285). Diese war an eine kaiserzeitliche Mauer angebaut worden und ruhte offenbar auf «Schutt». Es könnte sich dabei um die Relikte einer halbrunden Feuerstelle oder möglicherweise um den Unterbau eines weiteren Backofens handeln[643].

Weitere «späte Einbauten» fanden sich in der an die Domusgasse angrenzenden Ecke von Raum 3 (Abb. 286). Es handelt sich um eine aus *tegula*-Fragmenten konstruierte halbrunde Feuerstelle, die offenbar auch mit einem Galgenstein ausgestattet gewesen war[644].

Die in dieser Hinsicht eindeutige Stratigrafie im Bereich der Feuerstelle (Abb. 287) zeigt ferner, dass der kaiserzeitliche Mörtelgussboden bei der Instandstellung des Raumes nicht mehr freigelegt worden ist: Offensichtlich hat man sich mit einem einfachen Lehmestrichboden begnügt[645]. Wahrscheinlich handelt es sich dabei um den in Phase 8 ausplanierten, mit Brandschutt durchsetzten Lehmversturz des Obergeschosses[646].

Zu welchem Zweck die an die Feuerstelle anschliessende Steinsetzung gedient hat, lässt sich nicht mehr bestimmen. Der dort verbaute «Latrinenstein»[647] bestätigt aber die «späte Zeitstellung» der wohl mehrheitlich aus Spolien bestehenden Konstruktion. Wahrscheinlich handelte es sich – wie schon R. Laur-Belart vermutete – um die Relikte einer «Fleischräucherei» oder einer Darre[648].

Die auf einer äusserst dürftigen Dokumentation basierenden Aussagen werden durch verschiedene Beobachtungen gestützt, die im Jahr 2003 im südlich anschliessenden Bereich von Raum 3 gemacht wurden. Jürg Rychener beschreibt die dort angetroffenen Befunde wie folgt[649]:

«Unmittelbar westlich von MR 2 [i. e. die an die Domusgasse angrenzende Ostmauer von Raum 3; vgl. hier Abb. 276] wurde eine Schicht mit Kalksteinquadern in einer mörteligen Matrix gefunden, vermutlich der Rest eines Mauerversturzes [Abb. 288,C]. Erkennbar waren auch grosse Stücke von verkippten, ursprünglich verputzten Holz-Lehmwandteilen [Abb. 288,D; 288,E].

An drei Stellen konnten flächig Teile von eventuell *in situ* verkohlten Holzkonstruktionen dokumentiert werden. Es handelt sich dabei um Reste von Inneneinrichtungen [Abb. 288,F]. Unmittelbar östlich der Flucht von MR 102 [i. e. Westmauer von Raum 3; vgl. hier Abb. 276] traten zwei grosse flache Bretter zu Tage, entweder die Reste eines Bretterbodens oder eines umgestürzten Türblatts – vielleicht ein Hinweis darauf, wieso MR 102 im aktuellen [Leitungs-]Graben nicht gefasst werden konnte.

Fast unmittelbar östlich davon [i. e. in Raum 3] kamen verkohlte Teile einer anderen, komplizierteren, genagelten Holzkonstruktion zum Vorschein, zu der ein Eisenscharnier mit lang-dreieckigen Bändern gehörte. Schon beim Freilegen war erkennbar, dass hier unterschiedliche, meist schmal-längliche Hölzer teils neben, teils übereinander lagen [Abb. 288,E.F]. Die Bestimmung der Holzarten zeigte die Verwendung von Weisstanne, Esche, Ahorn und Buche; besonders überraschend war der erstmalige Nachweis von *geschreinertem Walnussholz* in Augusta Raurica. Das Ganze könnte ein *in situ* verbranntes Möbel sein (Truhe, Kasten?).

Reste einer weiteren Konstruktion fanden sich etwa 1 m weiter östlich [d. h. im Inneren von Raum 3]; gegen Westen war dieser Befund durch ein einzelnes Nord-Süd verlaufendes Brett oder einen Balken abgegrenzt – vielleicht die Spur einer Holz-/Lehmwand. Infolge der kleinen [Grabungs-]Fläche kennen wir alle drei Strukturen nur in Ausschnitten, was eine schlüssige Interpretation so gut wie unmöglich macht.

Die aufgezählten Elemente der Zerstörungsschicht lagen, soweit das überprüft werden konnte, auf einem Mörtelboden [Abb. 288,G]. Eine kleine Sondierung ergab, dass darunter ein weiterer Mörtelboden lag, der wiederum über einem gelben Lehmestrich [Abb. 288,H] ausgebracht war. Es ist jedoch damit zu rechnen, dass der Raum [Raum 3] eine Innenunterteilung aufgewiesen hat. Die angetroffene Abfolge von Böden muss also nicht überall gleich gewesen sein ...

Die sehr interessanten Befunde können nur verstanden werden, wenn eine flächige Freilegung vorgenommen würde. Da sie jedoch nördlich und südlich unseres Grabens bei früheren Leitungsbauten beseitigt worden sind [vgl. Abb. 288,A], müssen sie wohl als verloren angesehen werden. Das wenige Fundmaterial hilft bei der Datierung kaum, denn beträchtliche Teile des Zerstörungsschutts [Abb. 288,C] sind beim Baggern entfernt worden. Erstaunlich ist immerhin, dass zwischen den Böden und der Zerstörungsschicht so gut wie keine Fundobjekte lagen».

Angesichts der vielen Imponderabilien ist eine Interpretation der im Südteil von Raum 3 angetroffenen Befunde nicht möglich. Anhand der Beobachtungen im nördlichen Teil von Raum 3 sowie in Raum 2 und in Insula 5/9 darf jedoch davon ausgegangen werden, dass es sich beim Brandschutt um die Relikte der Zerstörung am Ende der Phase 7 handelt. Der dabei angefallene Schutt wurde dann offenbar in Phase 8 ausplaniert und diente – wie der darüber liegende Schmutzhorizont nahelegt – während der Phasen 9–11 als Gehhorizont.

643 Aufgrund der Fotografie (Abb. 285) kann nicht ausgeschlossen werden, dass es sich um einen «künstlichen Befund» handelt, der durch das Entfernen der Feuerplatte und der darunter liegenden Sedimente entstanden ist.

644 Die entsprechende Inv. bzw. GSTL-Nr. liess sich nicht eruieren.

645 Ein ähnlicher Befund wurde anlässlich der Grabung 1993.065 in der Insula 9 beobachtet (vgl. Schwarz 1994, 51 ff., bes. Abb. 15; 16).

646 Schlussfolgerung aufgrund von Abb. 287. Im Fotobericht werden Sedimente und Schichtaufbau nicht beschrieben.

647 Die entsprechende Inv. bzw. GSTL-Nr. liess sich nicht eruieren. – Eine Zusammenstellung von *in situ* gefundenen Latrinensteinen findet sich bei Hänggi 1989, Abb. 29; 30. Die oft unkritisch übernommene Bezeichnung bzw. Interpretation (vgl. z. B. Schwarz 1992, Abb. 25) ist jedoch nicht zwingend. Wie der andernorts besser erhaltene Kontext von analogen Exemplaren zeigt, dienten solche Lochsteine auch als Kanalschächte, d. h. zum Sammeln von Meteorwasser. Vgl. dazu etwa Adam 1984, Abb. 537; 614; 669; Eschebach 1995, Taf. 45,1.3 (Pompeji); Perrier 1993, Abb. 68 (Limoges); Rebourg 1993, 38 f.; 100 Abb. 14 (Autun); Hellenkemper 1986, Abb. 21; 22. Unabhängig von der in diesem Zusammenhang nicht relevanten Frage nach der Funktion kann davon ausgegangen werden, dass der Stein aus einer Portikus verschleppt worden sein muss.

648 Laur-Belart 1953, S. XXIV; Laur-Belart 1954/1955, 95. Zum Problem der Räucherkammern und Darren vgl. van Ossel 1992, 137 ff. (mit ausführlicher Diskussion und weiterführender Literatur) sowie Furger 1989b, 16 f. (zu den Räuchereien in Augusta Raurica).

649 Rychener 2004, 81 ff. Die Befundschilderung bezieht sich auf den zwischen MR 102 und MR 2 liegenden Abschnitt des Leitungsgrabens (vgl. ebd. Abb. 8).



Interpretation: Teerbelag Trottoir Giebenacherstrasse und darunter liegende Füllschichten (u. a. Verfüllung älterer Leitungsgräben und Sondierschnitte der Grabung 1952–1957.051).
Kote: Oberkante um 286,31 m ü. M.
Beschreibung: Wandkies, z. T. vermischt mit römischem Mauer- und Brandschutt (maschinell ausgehoben).
FK: E07305, E07317, E07376 (wenige Funde, nicht datierbar).
Abtrag: 1.004, 2.013.



Interpretation: *in situ* verbliebener Teil des Schmutzhorizonts der *squatter occupation* (Phasen 9–11) im an die Domusgasse angrenzenden Bereich von Raum 3 (vgl. dazu auch Abb. 286); die darüber liegenden Sedimente (Phasen 12–15) sind bei jüngeren Eingriffen gekappt bzw. beim maschinellen Abtrag entfernt worden.
Kote: Oberkante um 285,22 m ü. M.
Beschreibung: feinteiliges, mit Holzkohle durchsetztes, humoses Sediment; Ziegelfragmente, feiner Steinschutt.
FK: E07307, E07377 (wenige Funde, nicht datierbar).
Abtrag: 2.002, 2.014.



Interpretation: Am Ende von Phase 7 entstandener und in Phase 8 ausplanierter Zerstörungsschutt; wurde z. T. möglicherweise auch eingebracht.
Kote: Oberkante um 285,05 m ü. M.
Beschreibung: fragmentierte Architekturelemente, Kalk- und Sandsteinbrocken, Tuffsteine, Holzkohle-Konzentrationen, Kalk- und Ziegelschrotmörtel-Brocken, verbrannte Ziegelfragmente *(tegulae, imbrices)*, verbrannter Fachwerklehm.
FK: E07318, E07322, E07328, E07329, E07331, E07332, E07336, E07338, E07383, E07417, E08379 (wenige Funde, nicht datierbar).
Abtrag: 2.005, 2.007, 2.008, 2.010–2.012, 2.015, 2.016, 2.028.



Interpretation: Reste einer verputzten und am Ende von Phase 7 verbrannten und verstürzten Lehmfachwerkwand (vgl. dazu auch Abb. 287).
Kote: Oberkante um 284,87 m ü. M.
Beschreibung: Im oberen Bereich des Schichtpakets: rot verfärbte, verbrannte Lehm- und Mörtelbrocken; weisse Kalkablagerungen, Holzkohle, fest zusammengebacken, z. T. mit Abdrücken von Holz und Stroh, Verputzreste.
FK: E07379, E07380, E07384, E07392, E07407, E07409, E07410, E07415, E07639, E07644 (wenige Funde, nicht datierbar).
Abtrag: 2.016–2.023, 2.028, 2.030.

Abb. 288: Augst BL, Insula 5, Raum 3 (Grabung 2003.051: Wasserleitung Giebenacherstrasse). Aufbau der Stratigrafie des an die Neuntürmestrasse bzw. an die Domusgasse angrenzenden Südostteils von Raum 3 (zur Lage vgl. Abb. 276). Die Fotos zeigen jeweils die Oberkante (oder einen repräsentativen Ausschnitt) der beim Abtrag gefassten Schichten, die sich den einzelnen Phasen zuweisen lassen.



Interpretation: Auf den verkohlten Brettern (siehe unten) liegende Teile der verputzten und am Ende von Phase 7 verbrannten Lehmfachwerkwand (vgl. dazu auch Abb. 287).
Kote: Oberkante um 284,69 m ü. M.
Beschreibung: Rot, z. T. auch grau bis schwärzlich verfärbte, verbrannte Lehmbrocken; z. T. mit Abrücken von Holz, sehr stark kompaktiert, Eisenfragmente (u. a. Eckbeschlag).
FK: E07416, E07418, E07421, E07425, E07426 (wenige Funde, nicht datierbar).
Abtrag: 2.024, 2.027, 2.029, 2.032.



Interpretation: Relikte einer am Ende von Phase 7 verbrannten Türe links und Reste des Mobiliars (Truhe, Kasten) rechts auf dem Mörtelgussboden (siehe unten).Vgl. dazu auch Rychener 2004, 81 f. bes. Abb. 9; 10.
Kote: Oberkante um 284,45 m ü. M.
Beschreibung: Verkohlter Balken (Weisstanne), 3–4 cm dicke, verkohlte Bretter (Walnuss, Ahorn, Esche, Buche, Weisstanne), Eisenfragmente (u. a. Scharnier mit Ziernägeln).
FK: E07420, E07422, E07423, E07427, E07642 (wenige Funde, nicht datierbar).
Abtrag: 2.025–2.028, 2.031–2.033.



Interpretation: Durch Feuereinwirkung beschädigter jüngster Mörtelgussboden (Terrazzo?). Vgl. dazu auch Abb. 287.
Kote: Oberkante um 284,41 m ü. M.
Beschreibung: Gelblicher, auf der Oberfläche gräulich verfärbter Mörtelguss, mit kleinen Ziegel- und Keramikfragmenten sowie feinem Kies.
FK: E07642 (wenige Funde, nicht datierbar).
Abtrag: 2.030, 2.033, 2.035.



Interpretation: Älterer kaiserzeitlicher Mörtelboden.
Kote: Oberkante um 284,34 m ü. M.
Beschreibung: ca. 2 cm dicker Mörtelgussboden (?), weissliche Kalkmörtel-Flecken, feiner Kies (nicht abgebaut).
FK: E07640, E07643 (wenige Funde, nicht datierbar).
Abtrag: 2.034, 2.037.

Interpretation: Unter dem älteren kaiserzeitlichen Mörtelboden liegender Lehm(estrichboden?).
Kote: Oberkante um 284,32 m ü. M.
Beschreibung: gelblich gräulicher Lehm, recht feinsandig, vereinzelte kleine Kiesel (nicht abgebaut).
FK: E07641 (wenige Funde, nicht datierbar).
Abtrag: 2.036.

Abb. 288 (Fortsetzung): Augst BL, Insula 5, Raum 3 (Grabung 2003.051: Wasserleitung Giebenacherstrasse). Aufbau der Stratigrafie des an die Neuntürmestrasse bzw. an die Domusgasse angrenzenden Südostteils von Raum 3 (zur Lage vgl. Abb. 276). Die Fotos zeigen jeweils die Oberkante (oder einen repräsentativen Ausschnitt) der beim Abtrag gefassten Schichten, die sich den einzelnen Phasen zuweisen lassen.

Form/Typ	RS	BS	WS	HE	Total	MIZ
TS, südgallisch						
Drag. 27	1				1	1
Drag. 18	1	2			3	3
Glanztonkeramik						
Nb. 33			4		4	2
Übrige Keramik						
Helltonige Gebrauchskeramik						
Teller mit eingebogenem Rand	3				3	3
Schüssel mit profiliertem Rand	2				2	2
Räucherkelch	1				1	1
Henkel eines Vorratstopfs				1	1	1
Grautonige Gebrauchskeramik						
Schultertopf	1				1	1
Kochtopf	1				1	1
Reibschüssel	1				1	1
Handgemachte Kochkeramik						
Kochtopf mit scharfkantig umgelegtem Rand	1				1	1
Total Fragmente/MIZ	**13**	**2**	**4**	**1**	**19**	**17**

Abb. 289: Augst BL, Insula 5, Raum 3 (Grabung 1954.051: Neubau Museum). Ensemble R3/9–11: Fundstatistik zur Keramik (FK V05374). MIZ = RS, BS, WS, HE.

Ensemble R3/9–11

Allgemeine Charakterisierung: Das kleine Ensemble R3/9–11 (Abb. 289) stammt aus dem Bereich der halbrunden Feuerstelle. Einzelne Keramikgefässe, wie die Teller **1006** und **1007**, der Räucherkelch **1009** und auch die «rätische» Reibschüssel **1012**, sind recht grossteilig erhalten. Sie weisen zudem – wie beispielsweise der Teller **1005** der Form Drag. 18, der als Altstück innerhalb des Ensembles zu werten ist – eine noch gut erhaltene Oberfläche auf.

Datierung des Fundmaterials: Das Keramikensemble (Abb. 290) ist heterogen zusammengesetzt; die jüngsten Funde stammen aus der Mitte des 3. Jahrhunderts. Die Terra-Sigillata-Gefässe wie **1004** und **1005** lassen sich gegen das Ende des 1. Jahrhunderts einordnen und sind als Altfunde zu werten. Weitere Elemente, wie etwa die Reibschüssel **1012** oder der Kochtopf mit gekehltem Leistenrand **1010**, stammen aus der ersten Hälfte des 3. Jahrhunderts. Der handgemachte Kochtopf mit scharfkantig umgelegtem Rand **1011** kommt als typologisch jüngstes Element erst um die Mitte des 3. Jahrhunderts auf und ergibt einen Anhaltspunkt für die Benutzungszeit der Feuerstelle[650].

Katalog der Funde aus Raum 3, Ensemble R3/9–11

Terra Sigillata

1004 RS, TS (südgallisch), Schälchen Drag. 27. – Inv. 1954.393, FK V05374.

1005 RS, TS (südgallisch), Teller Drag. 18. Mit zentralem Bodenstempel OF.VITA (Vitalis ii, La Graufesenque, 75–95 n. Chr.[651]). – Inv. 1954.392, FK V05374.

Übrige Keramik

1006 RS, Teller mit eingebogenem Rand. Ton orange mit leichtem Goldglimmer und aussen Brandspuren. – Inv. 1954.400, FK V05374.

1007 RS, Teller mit eingebogenem Rand. Ton grau. – Inv. 1954.402, FK V05374.

1008 2 RS, Schüssel mit profiliertem Rand. Ton orange mit leichtem Goldglimmer. – Inv. 1954.403a.b, FK V05374.

1009 RS, Räucherkelch. Ton orange mit weisser Bemalung aussen und innen. – Inv. 1954.407, FK V05374.

1010 RS, Kochtopf mit gekehltem Leistenrand. Ton graubraun. – Inv. 1954.406, FK V05374.

1011 RS, Kochtopf mit scharfkantig umgelegtem Rand. Ton graubraun mit Kammstrichdekor. Handgemacht. – Inv. 1954.405, FK V05374.

1012 RS, «rätische» Reibschüssel. Ton orange, glänzend über dem Rand. Quarzierung stark abgerieben. – Inv. 1954.404, FK V05374.

Eisen

1013 Eisenschlüssel mit Ösengriff. – Inv. 1954.409, FK V05374.

Nicht abgebildete Funde

Keramik

– Vgl. Abb. 289.

Insula 5, Grabung 1918.054 (Reservoir Clavel)

Raum 21: Befund und Funde

Der sogenannte Hypokaust in der Senkgrube wurde beim Bau der Abwasserleitung der Villa Clavel angeschnitten und im Oktober 1918 vollständig untersucht[652]. Die Analyse des andernorts kurz vorgestellten Befunds[653] stützt sich zur Hauptsache auf einen von Isidor Pellegrini aufgenommenen Mauerplan (Abb. 291) und auf das von Karl Stehlin dokumentierte Profil a–b (Abb. 292)[654].

650 Die Datierung basiert auf folgenden Referenzensembles: Schucany u. a. 1999, 142; 155 Taf. 74 (Fundensemble D.10 Augst 9); Schatzmann (in Vorb.), Kat. 206–208.

651 Die Lesung, Datierung und Produktionszuweisung erfolgten durch Brenda Dickinson, Leeds.

652 Stehlin 1994, Abb. 42 (Raum 21); Stehlin, Akten H7, 4b, 21; 39 ff.

653 Kaufmann-Heinimann 1998, 81 ff., bes. Anm. 303 Abb. 39.

654 Im Jahresber. SGU 11, 1918, 58 wird lediglich darauf hingewiesen, dass die Orientierung der am Abhang des Kastelenplateaus angetroffenen Räume vom Insularaster abweicht. Der bei Stehlin 1994, Abb. 42 eingezeichnete Raum 21 wird nicht weiter kommentiert.

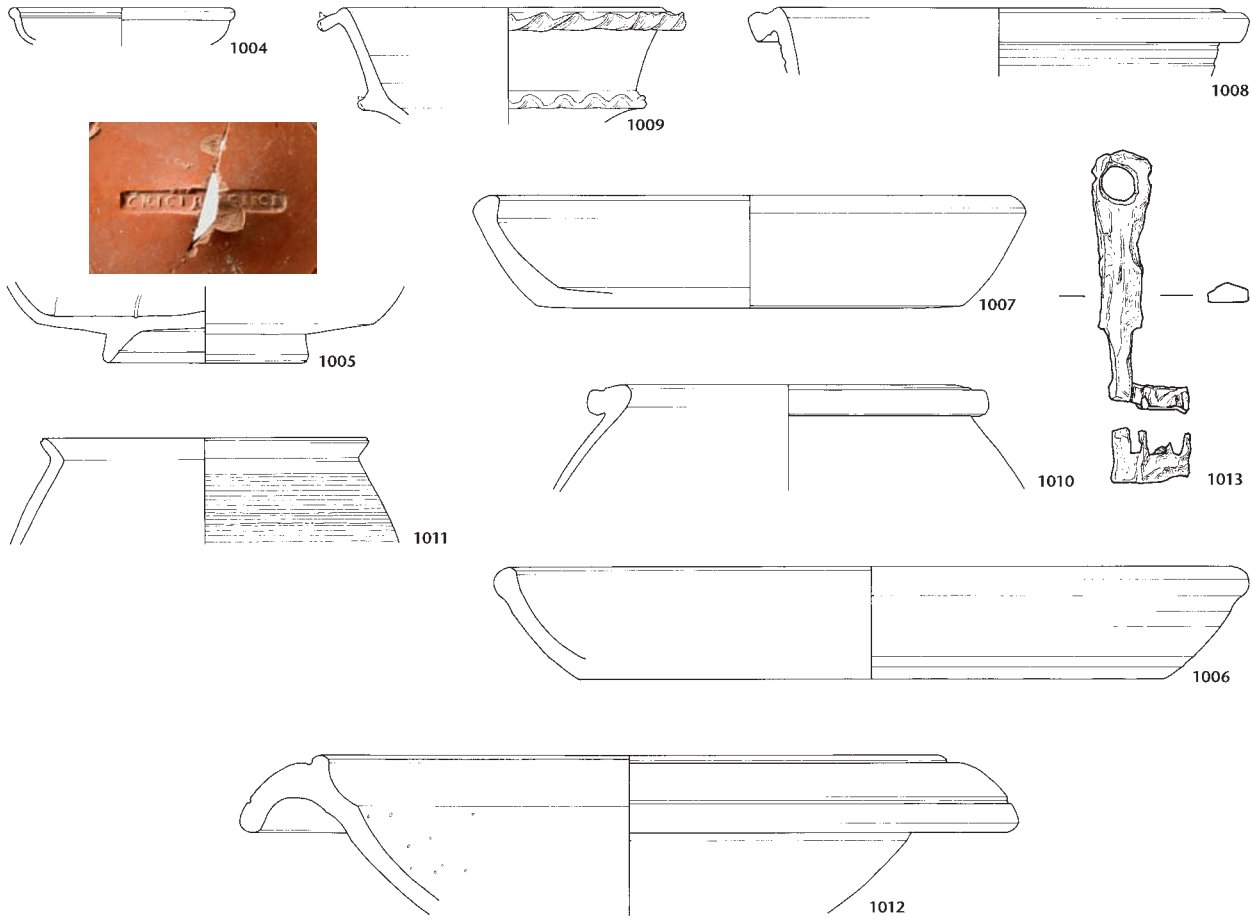


Abb. 290: Augst BL, Insula 5, Raum 3 (Grabung 1954.051: Neubau Museum). Ensemble R3/9–11: Funde aus dem Bereich der halbrunden Feuerstelle bzw. den Relikten eines Räucherofens oder einer Darre (?). M. 1:3 (Stempel M. 2:3, Bronze und Eisen M. 1:2). ***1004, 1005*** *Terra Sigillata,* ***1006–1012*** *Gebrauchskeramik,* ***1013*** *Eisen.*

Der bauliche Kontext des hypokaustierten Raums 21 ist nicht erschliessbar, da das umliegende Areal von späteren Bauarbeiten nicht mehr tangiert worden ist. Aufgrund der topografischen Situation darf aber davon ausgegangen werden, dass es sich um einen im hinteren Teil eines in den südwestlichen Abhang des Kastelenplateaus eingetieften, halbkellerartigen Raum gehandelt hat, der zu einem Hanghaus gehörte[655].

Der Mauerplan lässt zudem vermuten, dass der Hypokaust wahrscheinlich bereits in der späten Kaiserzeit durch eine Kanalheizung ersetzt worden ist[656]. Der ältere Hypokaust war noch intakt, was dem Umstand zu verdanken sein dürfte, dass die Hypokaustinstallationen nicht entfernt wurden und dass der Hohlraum beim Umbau zum Teil verfüllt wurde. Sogar die Holzkohleschicht aus den älteren kaiserzeitlichen Benutzungsphasen blieb *in situ* erhalten (Abb. 292,1).

Wie Profil a–b zeigt, zeichnete sich der Zerstörungshorizont in Raum 21 ausserordentlich gut ab. Über einer fast 20 cm mächtigen Brandschicht (Abb. 292,5) – es handelt sich dabei offensichtlich um die Überreste der Holzdecke bzw. des Dachstuhls – sind die fächerförmig verstürzten *tegulae* des Ziegeldaches (Abb. 292,6) zu erkennen. Diese werden ihrerseits von einem Mauerschuttpaket (Abb. 292,7) überlagert.

In der erwähnten Brandschicht fand sich eine recht grosse Zahl von Metallfunden, die bereits von Annemarie Kaufmann-Heinimann ausführlich vorgestellt worden sind[657]. Neben sechs zu einem Lararium gehörenden Bronzestatuetten und zwei Statuettenbasen (Abb. 293,A) umfasst das Ensemble D1/GF68 auch verschiedene Alltagsgeräte aus Bronze und Eisen (Abb. 293,B) sowie eine Münze, die sich aber leider innerhalb des mittleren Drittels des 3. Jahrhunderts

655 Vgl. in diesem Zusammenhang Schwarz 2004, 103 f. Abb. 65.

656 Ähnliche Umbauten aus der späteren Kaiserzeit liessen sich auch im «Hypokaustzimmer am Schneckenberg» nachweisen. Vgl. dazu Sütterlin 1996, 38 ff., bes. Abb. 4; 10.

657 Es handelt sich um die von A. Kaufmann-Heinimann (1977) publizierten Statuetten Kat. 35; 38; 40; 49; 52; 86.

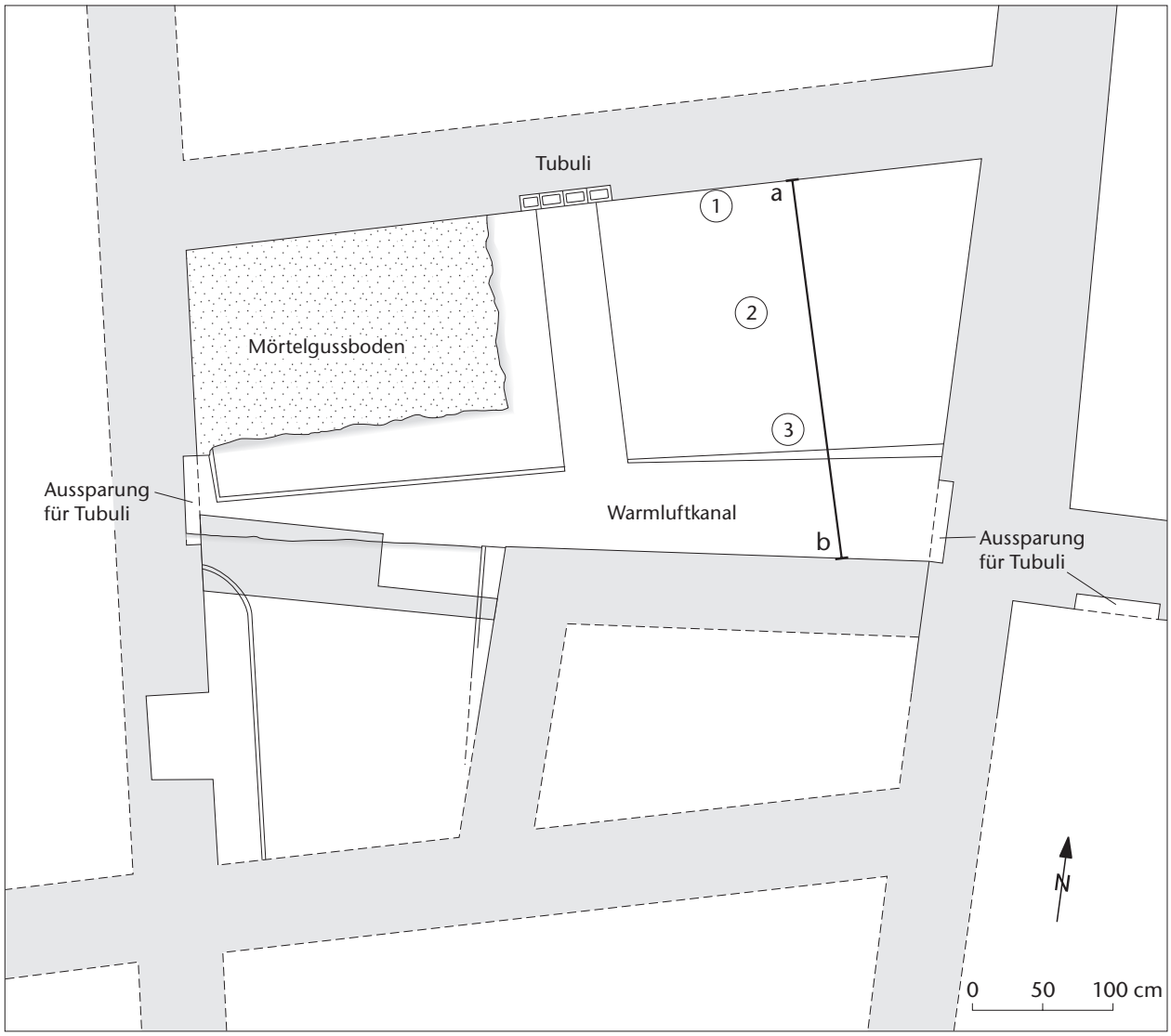


Abb. 291: Augst BL, Insula 5, Raum 21 (Grabung 1918.054: Reservoir Clavel). Grundrissplan des mit einem nachträglich umgebauten Hypokaust (Einbau einer Kanalheizung?) ausgestatteten Raums 21 mit Verlauf der Profilskizze a–b (Abb. 292) und Kartierung der Bestandteile des «Haushaltinventars D1 (= GF68)» (Abb. 293) nach Kaufmann-Heinimann 1998. M 1:50. ***1*** *Zur Merkurstatuette gehörender Fels, Amorstatuette, Mohnkapsel,* stilus*, Reifen, Beschlag, Axt und Schuhnägel;* ***2*** *Lar;* ***3*** *Herkulesbüste, zwei Sockel, Scheibe.*

nicht genauer einordnen lässt[658]. A. Kaufmann-Heinimann interpretiert dieses Ensemble «als *in situ* verstürztes Haushaltinventar mit Lararіumsstatuetten und Gerätschaften»[659].

Dabei stellt sich allerdings die Frage, ob es sich wirklich um das Inventar eines kaiserzeitlichen Haushalts handelt, das im Zusammenhang mit den andernorts nachgewiesenen Zerstörungen (Phase 7), das heisst um die Mitte des 3. Jahrhunderts und «en bloc» in den Boden gekommen ist.

Verschiedene Indizien deuten nämlich darauf hin, dass die Metallfunde erst am Ende von Phase 11, das heisst in der Zeit um 270 n. Chr. in den Boden gekommen sind.

658 Freundlicher Hinweis von Markus Peter. Karl Stehlin (Akten H7, 4b, 42) beschreibt die Münze wie folgt: «Bronzemünze. Durchm[esser] 15 mm. Av[ers] Gekrönter Kopf v[on] v[orne]. Umschr[ift] bis auf kleine Reste ausserhalb des Umfangs. Rev[ers] Stehende (?) Figur, in der R[echten] ein Feldzeichen (?), in der L[inken] ein Palmzweig. Umschrift wie auf Avers unvollständig».

659 Kaufmann-Heinimann 1998, 81 ff., bes. Abb. 39 (= D1 = GF68). – Das keramische Fundgut wurde möglicherweise nicht geborgen oder später ausgeschieden. Zur sehr verworrenen Fundgeschichte der zum Teil während der Freilegungsarbeiten entwendeten und später mit falscher Fundortangabe wieder beigebrachten Statuetten vgl. Stehlin, Akten H7, 7a, 99; 105 ff.; Jahresber. SGU 17, 1925, 74; Kaufmann-Heinimann 1998, 81 ff. In den Akten von Karl Stehlin (H7, 4b, 39 ff.) finden sich keine diesbezüglichen Hinweise.

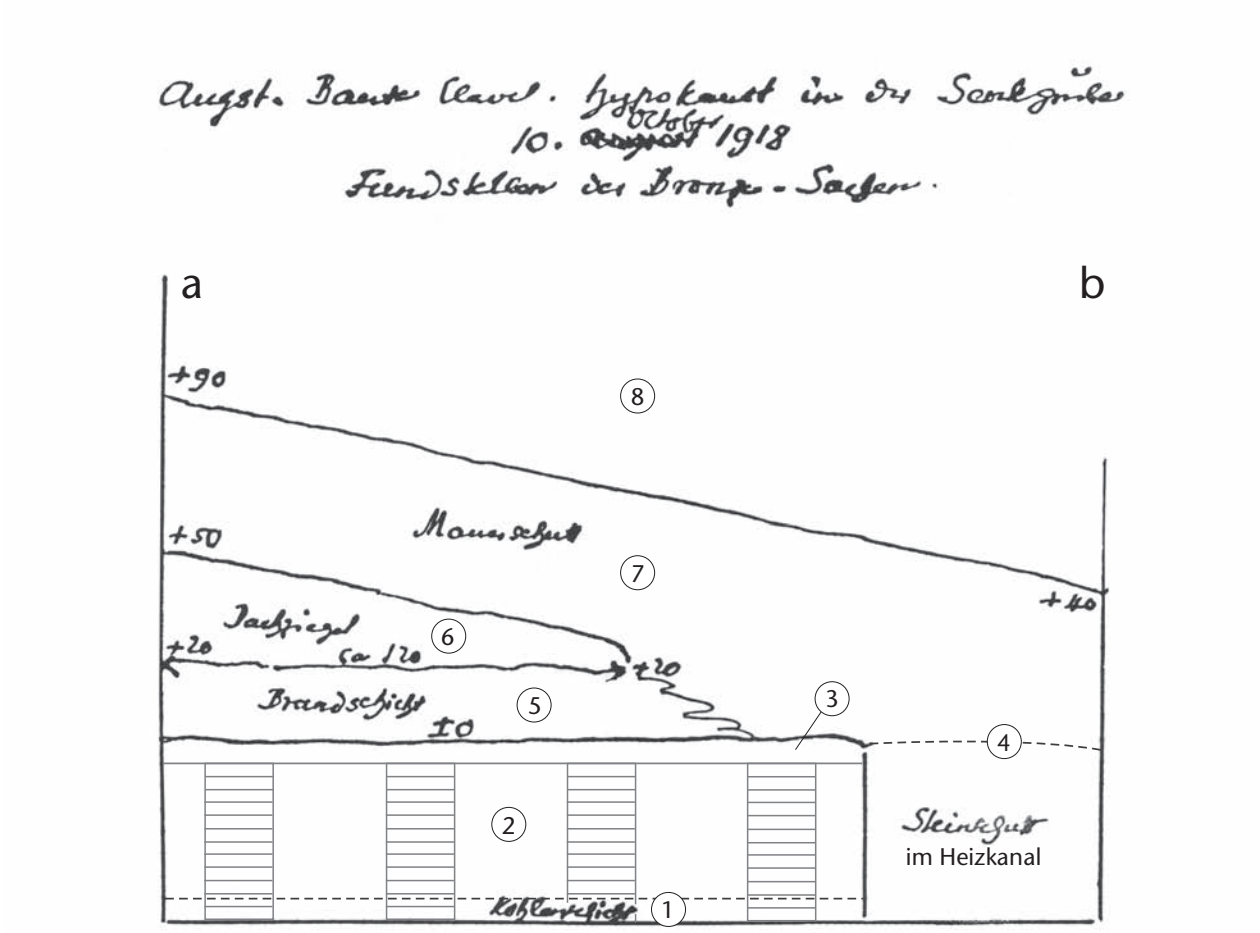


Abb. 292: Augst BL, Insula 5, Raum 21 (Grabung 1918.054: Reservoir Clavel). Von Karl Stehlin aufgenommene Profilskizze a–b. M. 1:120. ***1*** *Holzkohleschicht auf dem Unterboden des Hypokausts;* ***2*** *Hypokaustpfeiler* (pilae); ***3*** *Auf* suspensura*-Platten liegender Mörtelgussboden;* ***4*** *Mit «Steinschutt» verfüllter Heizkanal (der «Steinschutt» wurde möglicherweise in Phase 8 eingebracht);* ***5*** *Brandschutt (Ende Phase 11);* ***6*** *Dachversturz (Ende Phase 11);* ***7*** *Mauerschutt (Ende Phase 11 oder Phase 12 bzw. Phase 13);* ***8*** *Oberflächenschutt und Humuskante (Phase 15).*

- Für eine Zerstörung des kaiserzeitlichen Raumes resp. eine anschliessende Instandstellung spricht der Umstand, dass der offensichtlich nicht mehr abgedeckte (!) Heizkanal mit «Steinschutt» (Abb. 292,5) verfüllt war. Den Aufzeichnungen von Karl Stehlin ist überdies zu entnehmen, dass dieser «Steinschutt» nicht mit dem bei der endgültigen Zerstörung des Raums angefallenen «Mauerschutt» (Abb. 292,6) identisch war.
- Die geringe Mächtigkeit der Brandschicht (Abb. 292,2) sowie der direkt darauf liegende Dachversturz (Abb. 292,3) sprechen gegen die Existenz eines Obergeschosses. Es dürfte sich dabei eher um die Überreste der Holzdecke bzw. des Dachstuhls eines instand gestellten kaiserzeitlichen Raums handeln. Es ist demzufolge davon auszugehen, dass sich die diesem Ensemble zugewiesenen Objekte zum Zeitpunkt des Brandausbruchs im Erdgeschoss befanden.
- Unter den Metallfunden befinden sich einige Gegenstände, die in einem mittelständischen Wohnraum resp. in einem Lararium eher deplatziert wirken. So u. a. die Eisenaxt, die zahlreichen Schuhnägel oder die beschädigten Sockel.
  Zudem lagen die figürlichen Bronzen nicht – wie bei einem «en bloc» verstürzten Lararium zu erwarten wäre (vgl. etwa Abb. 169,G) – beieinander, sondern an drei – allerdings relativ nahe beieinander liegenden – Stellen und waren jeweils mit anderen Metallobjekten vergesellschaftet (vgl. Abb. 291,1–3).
- Für eine Annahme als Relikt einer *squatter occupation* könnten die erwähnten Schuhnägel sprechen: K. Stehlin erwähnt nämlich ausdrücklich, dass diese «in grösserer Anzahl beieinander gefunden [wurden]»[660]. Möglicherweise handelt es sich dabei um die Reste von *in situ* verbrannten *caligae* oder – was im konkreten Fall wahrscheinlicher scheint – um Schuhnägel, die während der Phasen 9–11 verloren wurden[661].

Aus diesen Gründen möchten wir nicht ausschliessen, dass es sich bei diesem «Ensemble» um zusammengesammelte Objekte resp. um die Reste eines Altmetallhorts bzw. eines Recyclingdepots handelt, die beim fluchtartigen (?) Verlassen von Raum 21 oder bei einer Brandschatzung am Ende von Phase 11 teilweise liegen blieben. Dies schliesst nicht aus, dass die «erlesenen Kunstwerke»[662] ursprünglich aus einem Lararium stammen, das bereits um die Mitte des 3. Jahrhunderts zerstört wurde.

660 Stehlin, Akten H7, 4b, 42: «in grösserer Anzahl beieinander gefunden. Alle auf die gleiche Art umgebogen». Ein Nagel ist bei Kaufmann-Heinimann 1998, Abb. 40,4 abgebildet.

661 Vgl. in diesem Zusammenhang Schwarz 2004, 388 (Konkordanzliste 2, s. v. Schuhnägel) und Schwarz 2002, 135 Anm. 500 mit weiteren Verweisen.

662 Kaufmann-Heinimann 1998, 147.



Abb. 293: Augst BL, Insula 5, Raum 21 (Grabung 1918.054: Reservoir Clavel). ***A*** *Figürliche Bronzen aus dem «Haushaltinventar D1 (= GF68)» nach Kaufmann-Heinimann 1998.* ***B*** *Gerätschaften aus dem «Haushaltinventar D1 (= GF68)» nach Kaufmann-Heinimann 1998. M. 1:3.* ***1*** *Reifen (Bronze);* ***2*** *Scheibe (Bronze);* ***3*** stilus *(Eisen);* ***4*** *Schuhnägel (Eisen);* ***5*** *Schlossbeschlag (Bronze);* ***6*** *Axt (Eisen);* ***7*** *Nagel mit Scheibenkopf (Eisen).*

Bezüglich der Genese des über dem Brandschutt liegenden Mauerschutts (Abb. 292,4) sind keine konkreten Aussagen möglich. Allerdings handelt es sich offensichtlich nicht um die Relikte einer im Verband verstürzten Mauer. Der Befund – die Brandschicht und der Dachversturz laufen im talseitigen Bereich von Raum 21 aus (Abb. 292,5.6) – spricht dafür, dass der Schutt beim allmählichen Verfall der hangseitigen Hausmauer angefallen ist. Nicht ausgeschlossen ist auch ein Zusammenhang mit einem gezielten Abbruch zur Gewinnung von Steinmaterial für den Bau der *enceinte réduite* auf dem Kastelenplateau in Phase 12 oder 13.

Zusammenfassend ist festzuhalten, dass der Befund in Raum 21 in etwa die gleiche Abfolge der Ereignisse widerspiegelt wie der Befund in Raum A (Insula 5/9): Zerstörung (durch Erdbeben?), anschliessend Instandstellung und *squatter occupation* sowie endgültige Zerstörung am Ende von Phase 11.

Insula 5, Grabung 2001.061 (Wasserleitung Giebenacherstrasse)

Befund

Bei der Erneuerung der in den Jahren 1918 und 1921 verlegten Wasserleitung wurden im Areal von Insula 5 verschiedene, bei den früheren Untersuchungen nicht oder nur unvollständig dokumentierte Mauern sowie andere interessante Detailbefunde angeschnitten. Es handelt sich dabei einerseits um Mauerzüge, die Hans Sütterlin der Überbauung im Umfeld des bereits besprochenen Raums 21 zuweisen konnte, andererseits um Überreste von Streifenhäusern, die an der stark nach Westen abfallenden Flanke des Kastelensporns standen und deren Portiken an die antike Neuntürmestrasse (heute Giebenacherstrasse) angrenzten (Abb. 294,A)[663]. Auch hier orientierte sich die Überbauung an den topografischen Gegebenheiten; es liess sich eine Staffelung gegen Süden bzw. Südwesten resp. von Süden nach Norden feststellen. Ein weiteres Charakteristikum in diesem Teil der Insula 5 sind Höfe mit einem Bodenbelag aus grossen Sandsteinplatten. Ob diese Plattenböden der kaiserzeitlichen Überbauung oder der spätrömischen *squatter occupation* zuzurechnen sind, liess sich nicht feststellen.

In einem teilweise bereits 1954 bei Kanalisationsarbeiten unbeobachtet zerstörten Raum wurden zudem eine mit einem Herdgalgenstein ausgestattete Herdstelle und ein Backofen angeschnitten (Abb. 294,B). Herdstelle und Backofen waren über Eck angeordnet und noch 0,4–0,6 m hoch erhalten.

H. Sütterlin beschreibt diesen Backofen wie folgt: «Der Backofen wies einen Innendurchmesser von 0,70–0,80 m auf, und sein Boden bestand aus hochkant gestellten Ziegelfragmenten [Abb. 295,C.D], die untereinander mit Ziegelschrotmörtel verbunden waren. Ungewöhnlich präsentierte sich der Aufbau des Backofens. Der untere, noch bis zu 0,5 m hoch erhaltene, nicht freistehende Teil bestand aus einem extrem sandhaltigen, leicht lehmigem Gemisch, das an der Ofeninnenseite durch die Hitze hart gebrannt war. Gegen das Äussere des Ofens fand sich ein immer weniger durch die Hitzeeinwirkung verfärbter, grauer und feinkörniger Sand [Abb. 295,F], der im Osten durch eine Ziegelmauer begrenzt wurde [Abb. 295,E]. Verwendung beim Bau des Ofens fand der Sand wohl aufgrund seiner Wärme speichernden Eigenschaften. Der obere Teil der Kuppel muss nach Ausweis der in der Füllung vorgefundenen Fragmente aber aus Ziegeln gefertigt worden sein»[664].

Wichtig ist dieser gut dokumentierte Backofenbefund deswegen, weil es sich – zusammen mit dem nachstehend besprochenen Backofen aus der Region 2E – um den bislang Einzigen handelt, der mit dem *in situ* konservierten Backofen BO1 in Raum A verglichen werden kann.

Der Innendurchmesser des Backofens ist mit 0,7–0,8 m deutlich kleiner als derjenige der beiden anderen (1,3 m resp. 1,5 m). Unterschiede lassen sich auch beim Aufbau der Kuppel und an der Feuerplatte beobachten: Beim Backofen in Insula 5 wurde nur der obere Teil der Kuppel aus Ziegeln errichtet, im Gegensatz zur ganz aus Ziegeln hergestellten Kuppel von Backofen BO1. Die Feuerplatte wieder-

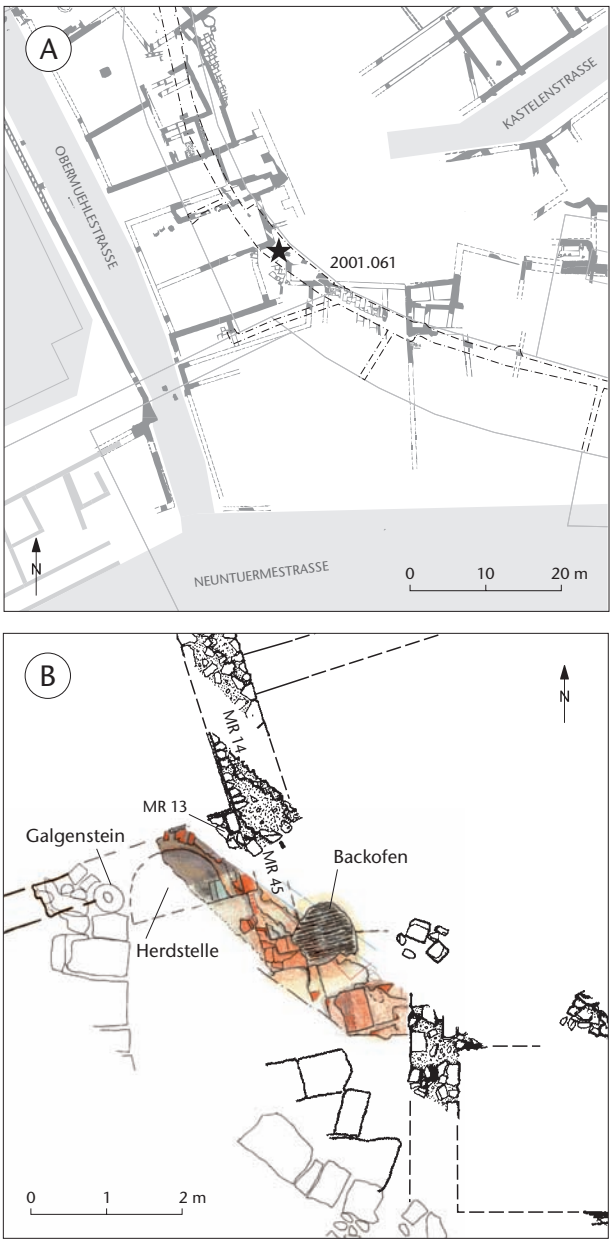


*Abb. 294: Augst BL, Insula 5 (Grabung 2001.061: Wasserleitung Giebenacherstrasse). **A** Ausschnitt aus dem archäologischen Gesamtplan mit dem nur lückenhaft erforschten Fundort des Backofens und der Herdstelle. M. 1:1000. **B** Detailplan mit der Befundsituation. MR 13 und MR 45 (Phasen 9–11?) überlagern wahrscheinlich die kaiserzeitliche MR 14. Der Backofen (Phasen 9–11?) durchschlägt die MR 45. M. 1:100.*

663 Vgl. Sütterlin 2002a.
664 Vgl. Sütterlin 2002a, 70.



Abb. 295: Augst BL, Insula 5 (Grabung 2001.061: Wasserleitung Giebenacherstrasse). ***A*** *Blick in den Leitungsgraben mit den Überresten des Backofens (links) und der über Eck gestellten Herdstelle. Der Befund lässt den Schluss zu, dass der zweiphasige (?) Backofen und die Herdstelle eine funktionale Einheit gebildet haben (vgl. auch die Situation bei Backofen BO1 in Insula 5/9, Raum A, Abb. 151; 156,A).* ***B*** *Blick auf die Herdstelle.* ***C*** *Blick auf den vorderen Teil des Backofens mit der Feuerplatte aus* opus spicatum. *Die horizontal verlegten* pilae-*Platten (unten) könnten zur Substruktion des Backofens oder zu einer älteren Feuerplatte gehören.* ***D*** *Aufsicht auf die mit Ziegelschrotmörtel verfugten, hochkant gestellten Ziegelplatten* (opus spicatum) *der Feuerplatte.* ***E*** *Der aus hochkant gestellten und mit Lehm verbundenen Tonplatten konstruierte linke Teil der Substruktion des Backofens.* ***F*** *Der rechte, aus flach verlegten und ebenfalls mit Lehm verbundenen Tonplatten konstruierte Teil der Substruktion steht in einem in den hier anstehenden, im Bereich des Backofens durch die Hitzeeinwirkung verfärbten grauen und feinkörnigen Sand eingetieften Fundamentgräbchen. Dieses wurde offensichtlich ausgehoben, bevor die Substruktion aufgemauert wurde. Die Reste der wohl vom älteren Backofen stammenden Feuerplatte liegen auf einer lehmig-sandigen Füllschicht (mit hitzespeichernden Eigenschaften?), die nach dem Bau der Substruktion eingebracht wurde.*

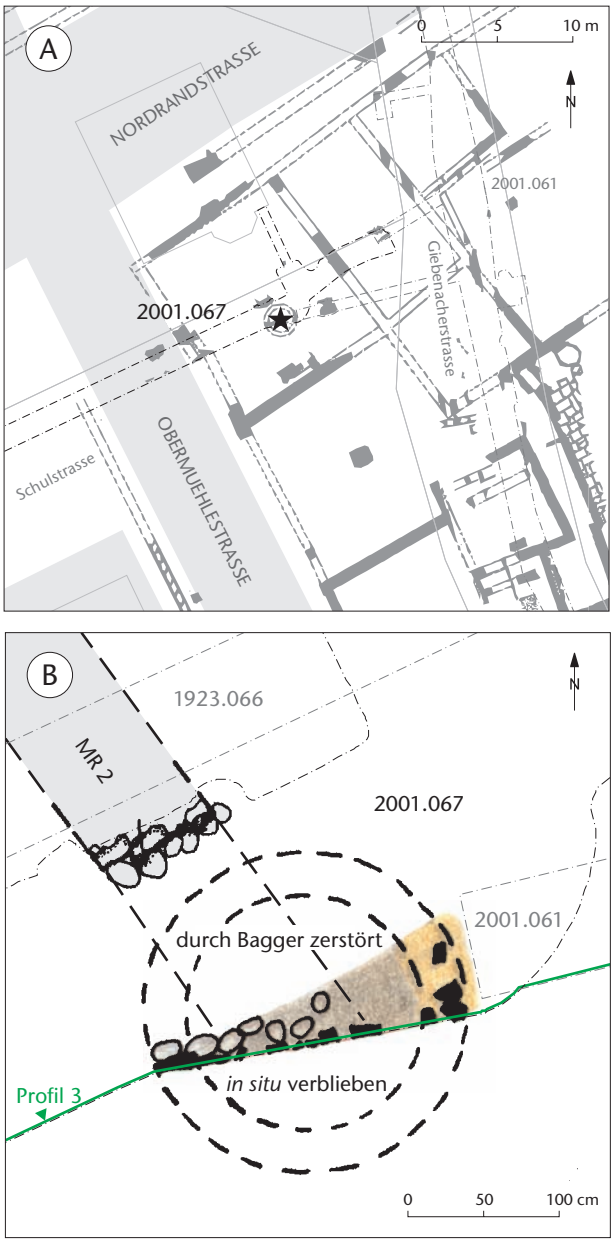


*Abb. 296: Augst BL, Region 2E (Grabung 2001.067: Kabelgraben Schulstrasse). **A** Ausschnitt aus dem archäologischen Gesamtplan mit dem nur lückenhaft erforschten Fundort des Backofens. M. 1:500. **B** Detailplan mit der Befundsituation des bei älteren Leitungsarbeiten (1923.066) weitgehend zerstörten Backofens und der Lage von Profil 3 (vgl. Abb. 297). M. 1:50.*

um bestand lediglich aus horizontal verlegten *pilae*-Platten statt aus *opus spicatum*[665]. Eine Gemeinsamkeit mit Backofen BO1 bildet die über Eck gestellte Herdstelle, was wiederum für den bereits oben diskutierten funktionalen Zusammenhang spricht (s. o. S. 143 ff.).

Obschon die nur ausschnittweise dokumentierten Befunde keine gesicherten Rückschlüsse zulassen, darf aufgrund der stratigrafischen Situation davon ausgegangen werden, dass der hier angetroffene Backofen ebenfalls im Zusammenhang mit einer Nutzung während der Phasen 9–11 steht.

Region 2E, Grabung 2001.067 (Kabelgraben Schulstrasse)

Befund

Bei Leitungsarbeiten in der Region 2E wurde im Jahr 2001 ein weiterer Backofen angeschnitten (Abb. 296,A.B), den H. Sütterlin wie folgt beschreibt (Abb. 297; 298): «Der Innendurchmesser [des Backofens] betrug 1,5 m, sein Gewölbe aus mit Lehm verbundenen Ziegelbruchstücken [Abb. 297,6a.6e] war eingedrückt. Unter dem Ofen, dessen Brandplatte in antiker Zeit vermutlich einmal erneuert worden war [Abb. 297,6b.6c], fanden sich die Reste einer älteren Ofenkonstruktion [Abb. 297,4a.4b]. In der nur teilweise untersuchten, aus Ziegeln und Lehm der eingedrückten Kuppel bestehenden Ofenverfüllung fand sich als einziger Fund in einer dünnen holzkohlehaltigen Schicht ein bis auf wenige fehlende Scherben vollständig zusammensetzbarer Einhenkelkrug (Abb. 299), der unter der eingedrückten Ofenwandung auf der Backplatte lag»[666].

Bemerkenswert ist der leider sehr schlecht erhaltene und aus Zeitgründen nicht vollständig untersuchte Backofenbefund aus zwei Gründen: Zum einen weist er unverkennbare Analogien zum Backofen BO1 in Raum A auf, zum anderen zeigt der fragmentierte, aber vollständig erhaltene Einhenkelkrug mit Wulstrand, dass derartige Backöfen offensichtlich auch zum Warmhalten von Speisen und Getränken benutzt wurden – eine Annahme, die ja auch der in Backofen BO1 gefundene Faltenbecher impliziert.

Zusammenfassende Würdigung

Die Analyse der Altgrabungen sowie zweier jüngerer Grabungen im Bereich der West- bzw. Südwestflanke des Kastelenplateaus lieferte verschiedene Hinweise, die die Interpretation der in den Räumen A–E beobachteten Befunde stützen, und überdies auch verschiedene Indizien, die für die Rekonstruktion der späten Nutzung in den Insulae 5 und 5/9 herangezogen werden können.

Wie Abbildung 300 zeigt, wurden in zwei Fällen Brandschuttpakete beobachtet, die zweifelsfrei von Lehmfachwerkwänden der Obergeschosse stammen und ihrerseits von im Verband umgestürzten Mauern überlagert werden (vgl. oben 263; 278).

Die Schadensbilder lassen den Schluss zu, dass die kaiserzeitliche Überbauung in den Insulae 5 und 5/9 am Ende

665 Vgl. Sütterlin 2002a, 70 Abb. 39.
666 Vgl. Sütterlin 2002b, 78 f. Abb. 54.

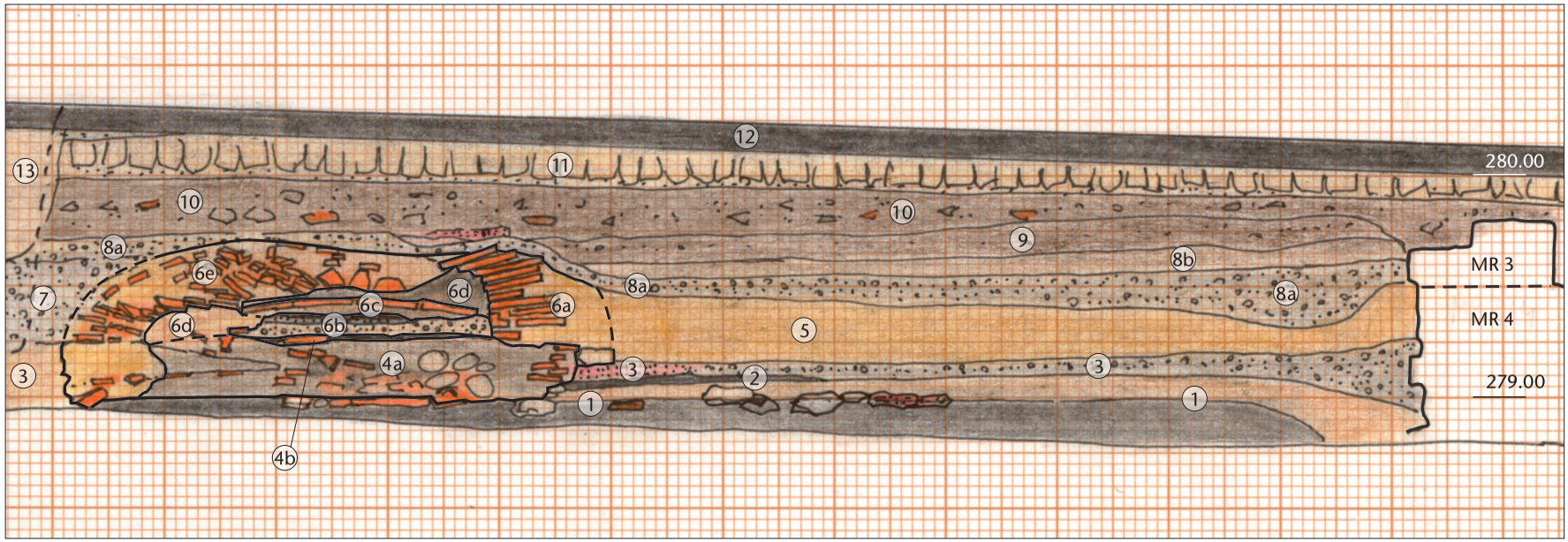


Abb. 297: Augst BL, Region 2E (Grabung 2001.067: Kabelgraben Schulstrasse). Profil 3 (zur Lage vgl. Abb. 296). M. 1:30.

***1** Ältere Planien und Gehhorizonte mit Resten einer kaiserzeitlichen Feuerstelle. Sie gehören wahrscheinlich zur älteren, in der Kaiserzeit abgebrochenen MR 2 (vgl. Abb. 296,B).*

***2** Als kaiserzeitliche Brandschicht angesprochen, wahrscheinlich aber Nutzungshorizont und Abraum des älteren Backofens.*

***3** Kaiserzeitliche Planie; Kalk- und Sandsteinsplitter legen einen Zusammenhang mit dem Bau von MR 4 nahe. Die Oberkante entsprach wahrscheinlich einem jüngeren Gehhorizont zur Zeit des älteren Backofens resp. demjenigen des jüngeren Backofens (vgl. **6**).*

***4a** Substruktion des älteren, kaiserzeitlichen Backofens.*

***4b** Reste der teilweise entfernten Feuerplatte des älteren Backofens.*

***5** Als siltig-lehmige und kurz vor oder beim Bau des jüngeren Backofens eingebrachte Füllschicht angesprochen. Denkbar ist aber auch, dass es sich um den in Phase 8 ausplanierten Lehm einer am Ende von Phase 7 zerstörten Fachwerkwand oder – wie die Breite von MR 4 nahelegt – einer Stampflehmwand handelt.*

***6a** Noch im Verband stehende Teile der aus* tegulae *und Lehm konstruierten Ofenkuppel des jüngeren Backofens aus Phase 7. Der Befund und der im Ofeninneren gefundene Krug (vgl. Abb. 299) könnten darauf hindeuten, dass die Ofenkuppel durch eine umstürzende Fachwerk- oder Stampflehmwand verschoben bzw. zerdrückt wurde.*

***6b** Mit Mörtel und Holzkohle durchsetzte Kiesschicht. Möglicherweise Substruktion einer älteren, zum jüngeren Backofen gehörenden Feuerplatte, die mit **6c** ersetzt worden ist.*

***6c** Aus Tonplatten konstruierte Feuerplatte des jüngeren Backofens aus Phase 7 mit darauf liegender, dünner Holzkohleschicht sowie zerdrücktem Einhenkelkrug.*

***6d** In das Innere verstürzte Teile der Kuppel des jüngeren Backofens. Die Hohlräume sind z. T. mit eingeschwemmten, feinteiligen Sedimenten verfüllt.*

***6e** nicht mehr im Verband befindliche zerstörte Teile der aus* tegulae *und Lehm konstruierten Ofenkuppel des jüngeren Backofens.*

***7** Nach der Zerstörung des Backofens am Ende von Phase 7 und wohl im Zusammenhang mit der hier nicht sichtbaren MR 50 und der auf MR 4 errichteten MR 3 eingebrachte kiesige Planieschicht der Phasen 9–11.*

***8a** kiesige Füllschicht; gehört sicher zu MR 3; möglicherweise während der Phasen 9–11 (?) eingebracht.*

***8b** siltig-lehmiger Schmutzhorizont; ist möglicherweise während der Phasen 9–11 (?) entstanden.*

***9** Als ältere Humusschicht angesprochen; wohl Reduktionshorizont nach Auflassung ab Phase 13.*

***10** Humoser Oberflächenschutt der Phase 15.*

***11** Aus hochkant gestellten Kalkbruchsteinen und Mergel konstruierter Strassenkoffer der neuzeitlichen Schulstrasse.*

***12** Teerbelag der heutigen Schulstrasse.*

***13** Verfüllung eines modernen Leitungsgrabens.*



Abb. 298: Augst BL, Region 2E (Grabung 2001.067: Kabelgraben Schulstrasse). Übersicht und Detailansichten der Backofenbefunde in Profil 3 (zur Lage vgl. Abb. 296,A.B). ***A*** *Blick an Profil 3 mit den Überresten des bei Leitungsbauten angeschnittenen älteren und jüngeren Backofens.* ***B*** *Die noch* in situ *erhaltenen Teile der einen Ofenwange des jüngeren Backofens der Phase 7 bestehen aus verbundenen* tegulae *(vgl. auch Abb. 297,6a).* ***C*** *Blick in den Feuerraum des jüngeren Backofens nach Entfernen der verstürzten Teile der Ofenkuppel und der eingeschwemmten Sedimente (= Abb. 297,6d). Der Nordpfeil liegt auf der Feuerplatte des älteren Backofens (vgl. auch Abb. 297,4a.4b).* ***D*** *Die ursprünglich als kurz vor oder beim Bau des jüngeren Backofens eingebrachte Füllschicht angesprochene Lehmplanie (rechts) könnte auch von einer am Ende von Phase 7 zerstörten und in Phase 8 ausplanierten Fach- oder Lehmstampfwand stammen (vgl. Abb. 297,5). Die über den Ofenresten liegende Kiesschicht und der darüber liegende Schmutzhorizont (vgl. auch Abb. 297,8a.8b) sind wahrscheinlich während der Phasen 9–11 (?) entstanden.*



Abb. 299: Augst BL, Region 2E (Grabung 2001.067: Kabelgraben Schulstrasse). Der auf der Feuerplatte des jüngeren Backofens (vgl. Abb. 298,C) gefundene Einhenkelkrug liess sich bis auf einige wenige Fehlstellen vollständig rekonstruieren (Inv. 2001.067.E06055.1).

von Phase 7 einer Brandkatastrophe zum Opfer gefallen ist, die möglicherweise durch die vermutete Erdbebenkatastrophe verursacht worden ist. Die ersten Erdstösse hätten somit zum Einsturz der aus Lehmfachwerk bestehenden Obergeschosse geführt und/oder diese in Brand gesetzt[667]. Durch weitere Erdstösse kippten darauf die Hausmauern im Verband um. Der durchwegs stark verbrannte Schutt des Lehmfachwerks sowie die rot verfärbten Mauerschalen sprechen jedenfalls gegen die Annahme, dass die Mauern allmählich zerfallen oder absichtlich zum Einsturz gebracht worden sind. Aufgrund der stratifizierten Fundensembles kann somit davon ausgegangen werden, dass die kaiserzeitliche Überbauung in Insula 5 und im Westteil von Insula 5/9 um die Mitte des 3. Jahrhunderts einem grösseren Schadensereignis zum Opfer gefallen ist.

Für die Interpretation der Befunde in den Räumen A und D sind diese Beobachtungen insofern von Belang, als sich die Primärschäden, d. h. die Zerstörung durch das vermutete Erdbeben am Ende von Phase 7, dort nur indirekt (Verfüllung des Treppenhauses bzw. des Hypokausts im *cubiculum*) nachweisen lassen.

667 Vgl. in diesem Zusammenhang auch Meyer 2006, 28 f.; 52 ff.; 63 ff.

		Insula 5/9			Insula 5					Region 2E
Phase	**Ereignis**	**Raum F**	**Raum G**	**Raum H**	**Raum 1 & Umgebung**	**Raum 2**	**Raum 3**	**Raum 21**	**Grabung 2001.061**	**Grabung 2001.067**
Phasen 1–7	**kaiserzeitliche Überbauung**	• Hypokaust	• Praefurnium • *sudatorium/laconicum*	• OG/Binnenwände aus Lehmfachwerk • Steinkeller	• OG/Binnenwände aus Lehmfachwerk	• überbaut	• Teil eines Streifenhauses	• Hypokaust mit Kanalheizung	–	–
Ende Phase 7	**Erdbeben (?)**	–	–	• Verbrannter Lehmfachwerkschutt • Im Verband umgekippte Mauer	• Verbrannter Lehmfachwerkschutt • Im Verband umgekippte Mauer	–	–	–	–	–
Ensemble/Datierung		–	–	**H7-1**: erste Hälfte 3. Jahrhundert **H7-2**: erste Hälfte 3. Jahrhundert	–	–	–	–	–	–

Abb. 300: Synoptische Darstellung der Befunde der Phasen 1 bis 7 im westlichen Teil der Insula 5/9 und in Insula 5.

Wie Abbildung 301 zeigt, lassen sich die Aufräum- und Freilegungsarbeiten im Anschluss an die Zerstörung der kaiserzeitlichen Überbauung in den Insulae 5 und 5/9 sowie in Region 2E mehrheitlich nur indirekt, in Form von improvisierten Instandstellungsmassnahmen bzw. einer *squatter occupation* während der Phasen 9–11 nachweisen.

Im nur teilweise mit Brandschutt verfüllten Kellerraum H (Insula 5/9) wurde nach der Zerstörung am Ende von Phase 7 Mauerschutt entsorgt. Die Funde im oberen Teil der Kellerverfüllung – namentlich ein kleines Grossbronzefragment (Abb. 274,**985**) sowie zwei Spruchbecher (Abb. 274,**975.976**) – deuten darauf hin, dass hier vermutlich auch noch während der *squatter occupation* (Phasen 9–11) Abfälle entsorgt worden sind.

Die den Phasen 9–11 zuweisbaren Strukturen zeigen, dass einzelne Räume in den Insulae 5/9 und 5 in Phase 8 freigelegt und in der Folge genutzt worden sind. Eine genauere Datierung dieser *squatter occupation* ist nur punktuell möglich. Einige wenige späte Prägungen aus dem Bereich von Raum 1 sowie der auf dem aus Spolien zusammenge-

		Insula 5/9			Insula 5					Region 2E
Phase	**Ereignis**	**Raum F**	**Raum G**	**Raum H**	**Raum 1 & Umgebung**	**Raum 2**	**Raum 3**	**Raum 21**	**Grabung 2001.061**	**Grabung 2001.067**
Phase 8	**Aufräumarbeiten/ Entfernen Schutt**	–	• indirekt nachweisbar	• Verfüllung oberer Teil Keller	–	• indirekt nachweisbar	• indirekt nachweisbar	• indirekt nachweisbar	–	–
Ensemble/Datierung		–	–	**H8–11**: drittes Viertel 3. Jahrhundert	–	–	–	–	–	–

Abb. 301: Synoptische Darstellung der Befunde der Phase 8 im westlichen Teil der Insula 5/9 und in Insula 5.

fügten Plattenboden in Raum 2 gefundene Antoninian des Claudius II. bezeugen jedoch, dass die instand gestellten Räume zumindest bis zum Ende des dritten Viertels des 3. Jahrhunderts genutzt worden sind.

Auffällig ist die Konzentration von Backöfen: In Insula 5/9 kamen insgesamt drei Backöfen zum Vorschein (vgl. Abb. 149; 260), in Insula 5 mindestens sechs, eventuell sogar sieben Backöfen (vgl. Abb. 281; 285). Alleine in Raum 2 wurden sechs Backöfen gefunden, was für die Existenz einer Grossbäckerei sprechen könnte. Zwei weitere Backöfen wurden bei jüngeren Grabungen in Insula 5 bzw. in der Region 2E gefunden (vgl. Abb. 294; 296,B).

Die Konzentration von Backöfen in einem vergleichsweise kleinen Areal ist bemerkenswert: Im *caput coloniae* sind nämlich bis anhin kaum Backöfen zum Vorschein gekommen[668]. Bemerkenswert sind ferner auch die leider schlecht dokumentierten Relikte von Darren und/oder Räucheröfen (vgl. Abb. 286; evtl. auch Abb. 260,3). Aufgrund der Befunde und Funde kann davon ausgegangen werden, dass diese Konzentration an Backöfen sicher ein *zeitspezifisches* Phänomen darstellt. Ob es sich auch um ein *ortsspezifisches* Phänomen handelt, ist ungewiss – auch wenn von einem eigentlichen «Backofengürtel» im Bereich der vermutlich nach wie vor wichtigen Neuntürmestrasse gesprochen werden kann.

Während die Konzentration von sechs Backöfen in Raum 2 auf eine Grossbäckerei hindeutet, scheinen die übrigen Backöfen in den Insulae 5 und 5/9 eher in Räumen installiert worden zu sein, die auch für Wohnzwecke bzw. sicher

668 Zu einem weiteren Backofen aus Insula 23 vgl. Berger 1977, 32 Abb. 8.

		Insula 5/9			Insula 5					Region 2E
Phase	**Ereignis**	**Raum F**	**Raum G**	**Raum H**	**Raum 1 & Umgebung**	**Raum 2**	**Raum 3**	**Raum 21**	**Grabung 2001.061**	**Grabung 2001.067**
Phasen 9–11	**Befunde** ***squatter occupation***	–	• Backofen • Darre/Räucherofen (?)	• Feuerstellen	• Fundniederschlag infolge Begehung (?): • Münzen aus der zweiten Hälfte des 3. Jahrhunderts • Zerstörungshorizont	• Plattenboden • 5 Backöfen	• Lehmestrich aus ausplaniertem Fachwerkschutt auf Mörtelgussboden • «halbrunde Ablage» (Feuerstelle oder Backofen) • Feuerstelle mit Galgen • Darre/Räucherofen (?) • Verkippte Lehmfachwerkwände • Reste der Inneneinrichtung (Truhe, Kasten?)	• Verfüllung Kanalheizung	–	–
Ensemble/Datierung		–	–	–	–	**R2**: drittes Viertel 3. Jahrhundert	**R3**: um die Mitte des 3. Jahrhunderts	–	–	–
Ende Phase 11	**Zerstörung/ Auflassung** ***squatter occupation***	–	–	–	–	–	–	• Brandschutt • Dachversturz	–	–
Ensemble/Datierung		–	–	–	–	–	–	**D1 = GF68:** nicht datierbar	–	–

Abb. 302: Synoptische Darstellung der Befunde der Phasen 9–11 im westlichen Teil der Insula 5/9 und in Insula 5.

nicht ausschliesslich zu gewerblichen Zwecken genutzt worden sind. Wie noch zu zeigen ist, lässt sich diese Frage – trotz vergleichsweise hervorragender Quellenlage – auch im Fall von Raum A nicht beantworten (s. u. S. 394 ff.). Wichtig ist in diesem Zusammenhang der neu gefundene Backofen in Region 2E. Der darin gefundene Krug zeigt, dass es sich bei dem im Backofen BO1 gefundenen Faltenbecher nicht um einen zufällig entstandenen Befund handelt: Die Backöfen dienten offensichtlich auch zum Erwärmen bzw. Warmhalten von Getränken.

Weitere, nach Ausweis der verbauten Spolien ebenfalls in die Spätzeit zu datierende Befunde wurden schliesslich auch in Raum H (Insula 5/9) und in Raum 3 (Insula 5) angetroffen: Die beiden Feuerstellen in Raum H, der primitive Lehmestrichboden über dem kaiserzeitlichen Mörtelboden in Raum 3 und der Einbau des Backofens im Heizraum des Hypokausts von Raum G zeigen, dass bei der Instandstellung keine Rücksicht auf die frühere Funktion der einzelnen Räume genommen wurde. Die Zerstörung am Ende von Phase 7 stellt folglich eine deutliche Zäsur dar, die sich in den Phasen 9–11 in einer spürbaren Anspruchslosigkeit manifestiert. Diese *transformation en bidonville* darf jedoch nicht zwingend mit einem gesunkenen Lebensstandard gleichgesetzt werden.

Die Funde zeigen überdies, dass die Konzentration von Militaria in Raum A (Insula 5/9) nicht als repräsentativ für das fragliche Areal gelten kann: In den übrigen Räumen in den Insulae 5/9 und 5 sind jedenfalls keine eindeutig als Militaria anzusprechenden Kleinfunde zum Vorschein gekommen. Demzufolge ist davon auszugehen, dass die improvisiert instand gestellten Räume vornehmlich von Zivilisten bewohnt wurden (s. u. S. 394 ff.).

Wie lange die *squatter occupation* in den oben beschriebenen Räumen andauerte, lässt sich nicht mit Sicherheit bestimmen. Der Befund und die Funde in Raum 21 könnten dafür sprechen, dass auch Insula 5 kurz vor dem Bau der *enceinte réduite* anlässlich einer (durch kriegerische Ereignisse?) verursachten Brandkatastrophe zerstört worden ist.

Das Fehlen von Fundmaterial aus dem letzten Drittel des 3. Jahrhunderts bzw. aus der ersten Hälfte des 4. Jahrhunderts zeigt schliesslich, dass die fraglichen Areale in den Insulae 5 und 5/9 resp. in Region 2E nach dem Bau der *enceinte réduite* (um 276 n. Chr.) nicht mehr besiedelt wurden.

Anders als Raum A wurden Insula 5 und der Westteil von Insula 5/9 beim Bau der *enceinte réduite* in Phase 12 und 13 kaum tangiert: Lediglich bei der auf einer Übersichtsaufnahme dokumentierten «Störung» in der Ostmauer von Raum F könnte es sich um den Ausläufer des Halsgrabens (Graben 1) handeln.

Exkurs 2: Diachrone und räumliche Auswertung der Tierknochenfunde aus Insula 5/9

Elisabeth Marti-Grädel

Voraussetzungen

Als Folge der Aufarbeitung der Befunde und Funde aus Insula 5/9 und der daraus gewonnenen Erkenntnisse zur baulichen Entwicklung ist heute neben einer chronologisch differenzierten Beurteilung der Knochenfunde, wie sie bereits von Jörg Schibler und Alex R. Furger vorgenommen wurde[669], auch eine räumliche Trennung des Fundmaterials möglich[670]. Im Kapitel Quellenkritik (oben S. 28 ff.) wurden bereits die Fundmengen in den einzelnen Bereichen vorgestellt und Unterschiede in der Materialbeschaffenheit diskutiert. Dort finden sich auch eine Zusammenstellung der unserer Auswertung zugrunde liegenden Fundkomplexe und deren Zuweisung zu den verschiedenen Fundensembles (Abb. 12).

Auf Abbildung 303 sind die Bestimmungsergebnisse der Tierknochen in den von Sandra Ammann und Peter-A. Schwarz definierten (Fund-)Ensembles, nach (Bau- und Belegungs-)Phasen gruppiert, zusammengestellt. Daraus können die datierten Ensembles zu vier Zeitstufen zusammengefasst werden (Abb. 304)[671].

- Die ersten beiden Zeitstufen entsprechen den Phasen 2 bzw. 3 und umfassen die erste bzw. die zweite Hälfte des 1. Jahrhunderts n. Chr. (10–60 n. Chr. und 50–80 n. Chr.).
- Die dritte Zeitstufe umfasst die Phasen 5–9 bzw. den Zeitraum von 100 n. Chr. bis 220/250 n. Chr.
- Die vierte Zeitstufe deckt die letzte Benutzungsphase (ca. 250–260/270 n. Chr.) ab. Es handelt sich dabei hauptsächlich um Abfälle aus Ensembles von Phase 11. Zusätzlich konnten hier zwei jüngere Ensembles einbezogen werden, da der Abfall gemäss der archäologischen Funde ebenfalls aus der Zeit vor der Zerstörung am Ende von Phase 11 stammen muss.

In den einzelnen Raumeinheiten sind leider nicht immer alle Zeitstufen repräsentiert. Auch unterschreitet die Menge der bestimmbaren Knochenfunde zuweilen die statistisch erforderliche Datenmenge. So kann für die erste Zeitstufe nur das Ensemble aus der Heidenlochstrasse (HL2) berücksichtigt werden, da Ensemble A2 kaum Knochenfunde enthielt. Für die zweite Zeitstufe liegt nur aus Raum A ein kleines Ensemble vor (A3). Erst für die dritte und vierte Zeitstufe liegen Knochenreste aus mehreren Befundeinheiten (Räumen) vor. Auch hier ist die Datengrundlage teilweise gering und unterschreitet eine für zuverlässige Aussagen erforderliche Menge. Wir sind jedoch der Meinung, dass eine räumlich-chronologische Betrachtung der Zusammensetzung dennoch Hinweise zur Nutzung und zu den Ernährungsgewohnheiten in Insula 5/9 zu geben vermag.

Die oben umschriebenen Zeitstufen sind nicht ganz deckungsgleich mit den von J. Schibler und A. R. Furger für den Vergleich der Knochenfunde aus dem Siedlungsperimeter von Augusta Raurica unterschiedenen Datierungsphasen. Relativ kongruent sind die ersten beiden Datierungsphasen, wobei die erste bis 10 v. Chr. zurückreicht, während die zweite den Zeitraum zwischen 50 und 100 n. Chr. umfasst. Hingegen sind die beiden folgenden Datierungsphasen 90–200 n. Chr. und 180–280 n. Chr. im Vergleich zu den von uns definierten Zeitstufen zeitlich etwas versetzt. Trotzdem ist es möglich, die Entwicklungstendenzen, die das Fundmaterial aus Insula 5/9 unter den damaligen und den heutigen Auswertungsgrundlagen zeigt, zu vergleichen. Wie sich herausstellte, sind die von J. Schibler und A. R. Furger beschriebenen Veränderungen, wie sie sich im Vergleich zum Gesamtmaterial von Augusta Raurica präsentieren, in den grundlegenden Zügen nach wie vor gültig (vgl. unten).

Wie oben (S. 28 ff.) erläutert, müssen als Quantifizierungsgrundlage in erster Linie die Fragmentzahlen herangezogen werden, da das Gewicht der Knochenreste aus der Grabung 1965–1967.052, die die Hauptmasse der Funde aus Insula 5/9 darstellt, nicht detailliert, sondern nur für die Summe der bestimmbaren und der unbestimmbaren Knochen dokumentiert wurde. Ebenfalls bereits erwähnt wurde oben (S. 31 ff.), dass die verschiedenen Bestimmungsmethoden sowie unterschiedliche Grabungstechniken, die bei den Grabungen 1965–1967.052 und 2002.063 zur An-

669 Schibler/Furger 1988, 33 ff.

670 Die in Exkurs 1, oben S. 275 ff., vorgestellten Grabungen im Westteil von Insula 5/9 konnten nicht berücksichtigt werden, weil die Tierknochen seinerzeit ausgeschieden wurden.

671 Eine klare Zuweisung zu einer Zeitstufe war nicht für alle Ensembles möglich. Dies betrifft namentlich einzelne Ensembles der Phasen 5–9 sowie die meisten Ensembles, die nach Phase 11 in den Boden gekommen sind.

Phasen-->	2		3		5		6			7		
Ensemble/Datierung	A2: 40–60 n. Chr.	HL2: um 10/20–50/60 n. Chr.	A3-1: 40/50–70/80 n. Chr.	A3-2: 50/60–70/80 n. Chr.	A5: 100–200 n. Chr.	C5: 50–150 n. Chr.	A6-1: um 50 n. Chr. und 100–220/230 n. Chr.	C6: 200–250/260 n. Chr.	HL6: um 180–220/230 n. Chr.	A7: 180/190–230/240 n. Chr.	C7: 50/60–120 n. Chr. und 180–200/220 n. Chr.	HL7: um 220–250/260 n. Chr.
Bos taurus (Hausrind)	2	155	6	34		25	3	19	7	7	2	16
Ovis aries (Hausschaf)				2				1				
Capra hircus (Hausziege)						1						
Ovis/Capra (Hausschaf/Hausziege)		40	7	42	3	11		9	3	2	2	
Sus domesticus (Hausschwein)	2	123	11	63	5	22	4	29	10	11	5	9
Equus spec. (Pferd/Maultier/Maulesel)		1				1						
Canis familiaris (Hund)		1					1					
Gallus domesticus (Haushuhn)		4		13		1		1	1	5	2	1
TOTAL HAUSTIERE	4	324	24	154	8	61	8	59	21	25	11	26
Cervus elaphus (Rothirsch)		1										
Sus scrofa (Wildschwein)												
Vulpes vulpes (Rotfuchs)												
Lepus europaeus (Feldhase)												
Perdix perdix (Rebhuhn)												
Turdus pilaris (Wacholderdrossel)										1		
*Turdus philomelos (*Singdrossel)										2		
Ostrea edulis (Auster)								2				
Pisces (Fisch unbest.)												
TOTAL WILDTIERE	0	1	0	0	0	0	0	2	0	3	0	0
TOTAL HAUS- UND WILDTIERE	4	325	24	154	8	61	8	61	21	28	11	26
Kleiner Wiederkäuer												
Wiederkäuer unbest.												
Galliformes indet. (unbest. Hühnervogel)												
Anser dom./spec. (Haus-/Wildgans)		1		1								
Columba dom./livia (Haus-/Felsentaube)				1								
Aves indet. (Unbest. Vogel)												
TOTAL GROSSGRUPPEN	0	1	0	2	0	0	0	0	0	0	0	0
Unbestimmbar, ohne Grössenangabe	9	323	28	16	12	74	1	55	17	34	12	47
Unbestimmbar,. klein				17								
Unbestimmbar, mittel				5								
Unbestimmbar, gross				7								
Unbestimmbar, sehr gross				4								
TOTAL UNBESTIMMBAR	9	323	28	49	12	74	1	55	17	34	12	47
GESAMTTOTAL	**13**	**649**	**52**	**205**	**20**	**135**	**9**	**116**	**38**	**62**	**23**	**73**
Gewicht (g) Bestimbare	75	21220	420	1871,4	60	2605	245,7	2075	540	440	275	865
Gewicht g) Unbestimmbare	60	10755	570	85,6	70	1660	0,3	1115	355	75	250	1410
Gewicht (g) Total	135	31975	990	1957	130	4265	246	3190	895	515	525	2275

Abb. 303: Augst BL, Insula 5/9 (Grabungen 1965–1967.052 und 2002.063). Überblickstabelle mit den Bestimmungsergebnissen der Tierknochen in den einzelnen Phasen, differenziert nach Phasen.

8	9	11					12	13	14		15			
A8: um 100 n. Chr. und 200–250 n. Chr.	A9: um 50/60 n. Chr. und um 200–250 n. Chr.	A11-GH/F4: 250–260/270 n. Chr.	A11-EG: 250–260/270 n. Chr.	A11-OG: 250–260/270 n. Chr.	B11: 250–260/270 n. Chr.	HL11: 250–260/270 n. Chr.	A12: 80–250 n. Chr.	C13: 250–270 n. Chr.	A14: 50–gegen 300 n. Chr.	D14: 50–um 300 n. Chr.	A15: 80–270 n. Chr.	C15: 230–260/270 n. Chr. (teilw. Rezentmaterial)	FK ohne Ensemblezuweisung	Gesamtmaterial Insula 5/9
28		18	41	78		52	1	36	2	26	9	4	719	1290
				3									5	11
		2	2	3	48			1					22	79
11	1	5	16	31		9	4	3		6		1	187	393
51	4	42	11	76		19	2	7	3	13	4	1	477	1004
		2		2				1				1	2	10
				1						1			2	6
9	1	22	12	13						2			36	123
99	6	91	82	207	48	80	7	48	5	48	13	7	1450	2916
													4	5
								10						10
								1						1
				1									6	7
		1												1
														1
														2
		1												3
													1	1
0	0	2	0	1	0	0	0	11	0	0	0	0	11	31
99	6	93	82	208	48	80	7	59	5	48	13	7	1461	2947
				2									1	3
								3						3
			1											1
1				1		1							2	7
													2	3
1		1											1	3
2	0	1	1	3	0	1	0	3	0	0	0	0	6	20
80	12	39	34	158		75	1	36	2	63	10	2	1010	2150
			5				1						18	41
			1				1						8	15
			4										7	18
													8	12
80	12	39	44	158	0	75	3	36	2	63	10	2	1051	2236
181	**18**	**133**	**127**	**369**	**48**	**156**	**10**	**98**	**7**	**111**	**23**	**9**	**2518**	**5203**
1020	95	1545	1044,9	5530	168,6	2880	24,6	2200	115	1835	330	470	50323,9	98274,1
925	105	435	337,6	2455	–	1695	1,9	600	40	1345	145	80	24387,6	48958
1945	200	1980	1382,5	7985	168,6	4575	26,5	2800	155	3180	475	550	74711,5	147232,1

Abb. 303 (Fortsetzung).

Bereich	Ensemble	Datierung	*Bos taurus* (Hausrind)	*Ovis/Capra* (Hausschaf/Hausziege)	*Sus domesticus* (Hausschwein)	*Equus spec.* (Pferd/Maultier/Maulesel)	*Canis familiaris* (Hund)	*Gallus domesticus* (Haushuhn)	**Total Haustiere**
Raum A	A2	10–60 n. Chr.	2		2				4
	A3-1; A3-2	50–80 n. Chr.	40	51	74			13	178
	A5; A7; A8	100–220/250 n. Chr.	35	16	67			14	132
	A11-GH/F4; A11-EG; A11-OG	250–270 n. Chr.	137	62	129	4	1	47	380
		Total	**214**	**129**	**272**	**4**	**1**	**74**	**694**
	A6; A9; A12; A14; A15	1.–3. Jh. n. Chr.	15	5	17		1	1	39
	A2–A15	**Gesamtmaterial**	**229**	**134**	**289**	**4**	**2**	**75**	**733**
Raum B	–	10–60 n. Chr.	–	–	–	–	–	–	–
	–	50–80 n. Chr.	–	–	–	–	–	–	–
	–	100–220/250 n. Chr.	–	–	–	–	–	–	–
	B11	250–270 n. Chr.	–	48	–	–	–	–	48
	B11	**Total**	**0**	**48**	**0**	**0**	**0**	**0**	**48**
Raum C	–	10–60 n. Chr.	–	–	–	–	–	–	–
	–	50–80 n. Chr.	–	–	–	–	–	–	–
	C6	100–220/250 n. Chr.	19	10	29			1	59
	C13	250–270 n. Chr.	36	4	7	1			48
		Total	**55**	**14**	**36**	**1**	**0**	**1**	**107**
	C5; C7; C15	1.–3. Jh. n. Chr.	31	15	28	2		3	79
		Gesamtmaterial	**86**	**29**	**64**	**3**	**0**	**4**	**186**
Heidenloch-strasse	HL2	10–60 n. Chr.	155	40	123	1	1	4	324
	–	50–80 n. Chr.	–	–	–	–	–	–	–
	HL6; HL7	100–220/250 n. Chr.	23	3	19			2	47
	HL11	250–270 n. Chr.	52	9	19				80
		Total	**230**	**52**	**161**	**1**	**1**	**6**	**451**
Raum D	D14	50–gegen 300 n. Chr.	26	6	13		1	2	48
FK ohne Ensemblezuweisung			719	214	477	2	2	36	1450
Total Insula 5/9			**1290**	**483**	**1004**	**10**	**6**	**123**	**2916**
Total Ensembles, phasendatiert		10–60 n. Chr.	157	40	125	1	1	4	328
		50–80 n. Chr.	40	51	74			13	178
		100–220/250 n. Chr.	77	29	115			17	238
		250–270 n. Chr.	225	123	155	5	1	47	556
		Total	**499**	**243**	**469**	**6**	**2**	**81**	**1300**

Abb. 304: Augst BL, Insula 5/9 (Grabungen 1965–1967.052 und 2002.063). Überblickstabelle mit den Bestimmungsergebnissen der Tierknochen in den einzelnen Phasen, differenziert nach Befundeinheiten (Räumen), Ensembles und Zeitstufen.

wendung kamen, Unterschiede bei der Bestimmbarkeit, beim Durchschnittsgewicht der Knochen und möglicherweise auch bei der Artenrepräsentanz bewirken. Dies muss auch bei der räumlich-zeitlichen Betrachtung der Knochenfunde beachtet werden. Allerdings fliesst bei dieser Auswertung nur ein geringer Teil des Fundmaterials aus der Grabung 2002.063 ein. Hiervon betroffen sind zwei Ensembles aus Raum A, nämlich Ensemble A3[672], das das gesamte Material der zweiten Datierungsphase (50–80 n. Chr.) repräsentiert, und das aus dem Erdgeschoss von Raum A stammen-

672 Ensemble A3 umfasst die Ensembles A3-1 und A3-2. Letzteres umfasst einen einzigen Fundkomplex der Grabung 2002.063 (FK E07251), der mit 205 Fragmenten den grösseren Teil der Knochenfunde von Ensemble A3 geliefert hat (vgl. oben S. 56).

Cervus elaphus (Rothirsch)	*Sus scrofa* (Wildschwein)	*Vulpes vulpes* (Rotfuchs)	*Lepus europaeus* (Feldhase)	*Perdix perdix* (Rebhuhn)	*Turdus pilaris* (Wacholderdrossel)	*Turdus philomelos* (Singdrossel)	*Ostrea edulis* (Auster)	*Pisces* (Fisch unbestimmt)	**Total Wildtiere**	**Total Haus- und Wildtiere**	Kleiner Wiederkäuer	Wiederkäuer unbest.	*Galliformes indet.* (unbest. Hühnervogel)	*Anser dom./spec.* (Haus-/Wildgans)	*Columba dom./livia* (Haus-/Felsentaube)	*Aves indet.* (Unbest. Vogel)	**Total Grossgruppen**	**Total unbestimmbar**	**Gesamttotal**	Gewicht (g) bestimmbar	Gewicht (g) unbestimmbar	Gewicht (g) Total
										4								9	13	75	60	135
										178				1	1		2	77	257	2291,4	655,6	2947
					1	2			3	135				1		1	2	126	263	1520	1070	2590
			1	1			1		3	383	2		1	1		1	5	241	629	8119,9	3227,6	11347,5
0	**0**	**0**	**1**	**1**	**1**	**2**	**1**	**0**	**6**	**700**	**2**	**0**	**1**	**3**	**1**	**2**	**9**	**453**	**1162**	**12006,3**	**5013,2**	**17019,5**
										39								28	67	810,3	292,2	1102,5
0	**0**	**0**	**1**	**1**	**1**	**2**	**1**	**0**	**6**	**739**	**2**	**0**	**1**	**3**	**1**	**2**	**9**	**481**	**1229**	**12816,6**	**5305,4**	**18122**
–	–	–	–	–	–	–	–	–	–	–	–	–	–	–	–	–	–	–	–	–	–	–
–	–	–	–	–	–	–	–	–	–	–	–	–	–	–	–	–	–	–	–	–	–	–
–	–	–	–	–	–	–	–	–	–	–	–	–	–	–	–	–	–	–	–	–	–	–
–	–	–	–	–	–	–	–	–	–	48	–	–	–	–	–	–	–	–	48	168,6	–	168,6
0	**0**	**0**	**0**	**0**	**0**	**0**	**0**	**0**	**0**	**48**	**0**	**0**	**0**	**0**	**0**	**0**	**0**	**0**	**48**	**168,6**	**–**	**168,6**
–	–	–	–	–	–	–	–	–	–	–	–	–	–	–	–	–	–	–	–	–	–	–
–	–	–	–	–	–	–	–	–	–	–	–	–	–	–	–	–	–	–	–	–	–	–
							2		2	61								55	116	2075	1115	3190
	10	1							11	59		3					3	36	98	2200	600	2800
0	**10**	**1**	**0**	**0**	**0**	**0**	**2**	**0**	**13**	**120**	**0**	**3**	**0**	**0**	**0**	**0**	**3**	**91**	**214**	**4275**	**1715**	**5990**
										79								**88**	**167**	**3350**	**1990**	**5340**
0	**10**	**1**	**0**	**0**	**0**	**0**	**2**	**0**	**13**	**199**	**0**	**3**	**0**	**0**	**0**	**0**	**3**	**179**	**381**	**7625**	**3705**	**11330**
1									1	325				1			1	323	649	21220	10755	31975
–	–	–	–	–	–	–	–	–	–	–	–	–	–	–	–	–	–	–	–	–	–	–
										47								64	111	1405	1765	3170
										80							1	75	156	2880	1695	4575
1	**0**	**0**	**0**	**0**	**0**	**0**	**0**	**0**	**1**	**452**	**0**	**0**	**0**	**1**	**0**	**0**	**2**	**462**	**916**	**25505**	**14215**	**39720**
										48								63	111	1835	1345	3180
4			6					1	11	1461	1			2	2	1	6	1051	2518	50323,9	24387,6	74711,5
5	**10**	**1**	**7**	**1**	**1**	**2**	**3**	**1**	**31**	**2947**	**3**	**3**	**1**	**7**	**3**	**3**	**20**	**2236**	**5203**	**98274,1**	**48958**	**147232,1**
1									1	329				1			1	332	662	21295	10815	32110
										178				1	1		2	77	257	2291,4	655,6	2947
					1	2	2		5	243				1		1	2	245	490	5000	3950	8950
	10	1	1	1			1		14	570	2	3	1	1		1	9	352	931	13368,5	5522,6	18891,1
1	**10**	**1**	**1**	**1**	**1**	**2**	**3**	**0**	**20**	**1320**	**2**	**3**	**1**	**4**	**1**	**2**	**14**	**1006**	**2340**	**41954,9**	**20943,2**	**62898,1**

Abb. 304 (Fortsetzung).

de Ensemble A11-EG[673], das in die jüngste Nutzungsphase gehört. Ebenfalls aus der Grabung 2002.063 stammen die Reste im einzigen Fundensemble aus Raum B (Ensemble B11), das der Phase 11 zugewiesen werden kann. In diesen Ensembles sind tatsächlich die Anteile unbestimmbarer Fragmente und das Durchschnittsgewicht vergleichsweise geringer (Abb. 12), was möglicherweise für eine sorgfältigere Grabungsweise spricht und die bessere Repräsentanz kleinerer Arten erklären mag. Diesem Sachverhalt muss bei der Interpretation der Knochenzusammensetzung Rechnung getragen werden.

673 Von den 127 Knochenresten dieses Ensembles stammen 50 (= 40%) aus der Grabung 2002.063 (vgl. oben S. 224).

Artenzusammensetzung

Wildtiere

Heute umfasst die Menge an Wildtierknochen aus Insula 5/9 31 Fragmente, von denen 20 einer bestimmten Zeitstufe zuweisbar sind (Abb. 304). In der Auswertungsgrundlage von 1988 lagen 24 Wildtierknochen vor, von denen nur zwei aus datierten Fundkomplexen stammten[674]. Der Anteil der Wildtiere unter den Haus- und Wildtierknochen aus Insula 5/9 ist auch bei der heutigen Datengrundlage sehr gering und beträgt lediglich 1,1%.

Getrennt nach Zeitstufen ist aufgrund der neuen Datengrundlage eine Zunahme des Wildtieranteils zu erkennen, wobei der Maximalwert in der letzten (jüngsten) Zeitstufe mit 2,5% immer noch sehr tief ist. Der Vergleich mit dem Gesamtmaterial aus Augusta Raurica zeigt aber, dass der Wildtieranteil in Insula 5/9 in den beiden letzten Phasen ab ca. 100 n. Chr. sogar leicht über dem Durchschnitt liegt (Abb. 305).

Beim Vergleich der verschiedenen Befundeinheiten (Räume) wird ersichtlich, dass nur Raum C einen auffallend hohen Wildtieranteil geliefert hat (Abb. 306). Er beträgt hier 11%, wobei es sich aber bei näherer Betrachtung nur um 13 Knochenreste – hauptsächlich vom Wildschwein – handelt, die angesichts der eher geringen Fundmenge (n = 120) prozentual stark hervortreten. Wildtierknochen fanden sich ansonsten nur in Raum A (0,9%) und im Bereich der Heidenlochstrasse (0,2%). Bei Letzterem handelt es sich um einen Knochenrest vom Hirsch aus der ersten Zeitstufe. Aus den Räumen A und C stammen die Wildtierknochen aus den beiden letzten Phasen. Die höchste Artenvielfalt liefert Raum A, in dem drei Nachweise von Drosseln (Phase 3) und je einer von Feldhase, Rebhuhn und Auster aus der Benutzungsphase vorliegen (Abb. 304). Aus Raum C liegen neben der Häufung an Wildschweinknochen im jüngsten Ensemble auch ein Knochen vom Fuchs und im älteren Ensemble in Phase 3 zwei Austern vor.

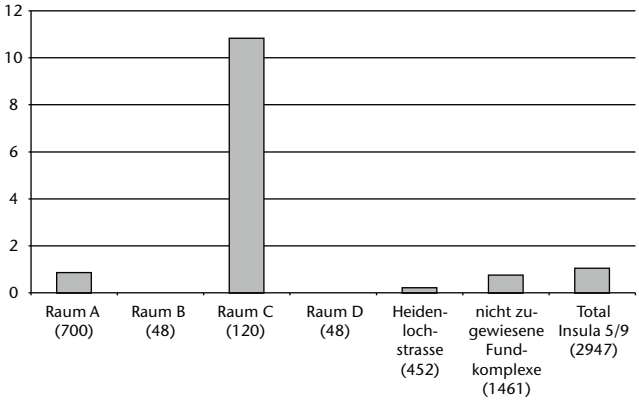


Abb. 306: Augst BL, Insula 5/9 (Grabungen 1965–1967.052 und 2002.063). Anteil (n%) der Wildtierknochen in den einzelnen Befundeinheiten (Räumen), in den Fundkomplexen ohne Ensemblezuweisung und im Gesamtmaterial von Insula 5/9. 100% = Total der Haus- und Wildtierknochen (in Klammern: Fundzahl Haus- und Wildtierknochen).

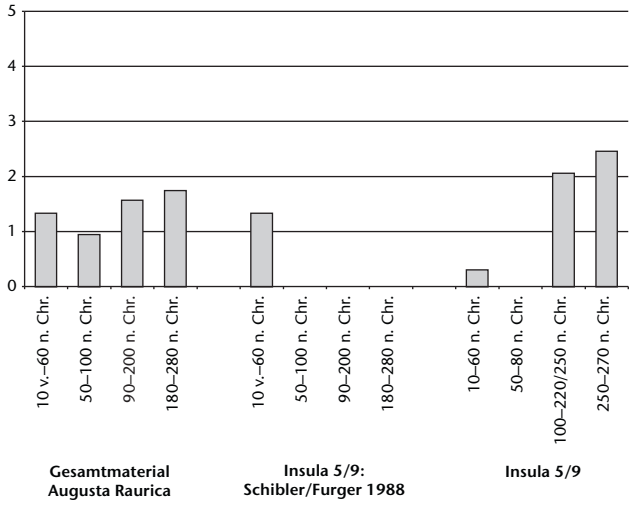


Abb. 305: Augst BL, Insula 5/9 (Grabungen 1965–1967.052 und 2002.063). Anteil (n%) der Wildtierknochen in den einzelnen Zeitstufen im Vergleich zum Gesamtmaterial von Augusta Raurica und den Auswertungsergebnissen nach der früheren Auswertungsgrundlage (Schibler/Furger 1988).

Haustiere

Unter den Haustieren sind hauptsächlich Hausrind, Schaf/Ziege[675], das Hausschwein sowie das Haushuhn bezeugt. Daneben kommen vereinzelt Reste von Equiden und vom Hund vor (Abb. 303; 304). Diese erreichen im Gesamtmaterial Anteile von nur 1%, in den einzelnen Zeitstufen noch weniger, sodass sie im Folgenden vernachlässigt werden.

Betrachten wir die Anteile der wichtigsten Haustierarten in den einzelnen Zeitstufen insgesamt im Vergleich zur Auswertung der Knochenfunde aus Insula 5/9 durch J. Schib-

674 Schibler/Furger 1988, 35 Tabelle 6; S. 211 Tabelle 64. Bei den beiden Wildtierknochen aus datierten Fundkomplexen handelt es sich um je ein Fragment von Rothirsch und Feldhase aus der ersten Datierungsphase (10 v. bis 60 n. Chr.). Da bei unserer Auswertungsgrundlage aus der ersten Phase nur ein Rothirschknochen stammt, wurde der Fundkomplex mit dem Hasenknochen bei der neuen Fund- und Befundauswertung von Insula 5/9 nicht berücksichtigt. Die im Vergleich zu früher grössere Zahl der Wildtierknochen ist einerseits auf den Zuwachs durch die Funde der Grabung 2002.063 (ein Hasenknochen), auf die Bestimmung von drei vorher unbestimmten Drosselknochen aus Grabung 1965–1967.052 (FK Z01657) sowie auf die Berücksichtigung von drei Austernschalen zurückzuführen.

675 Die Knochen der Schafe und Ziegen werden zusammengefasst, da viele Fragmente keine sichere Artzuweisung erlauben.

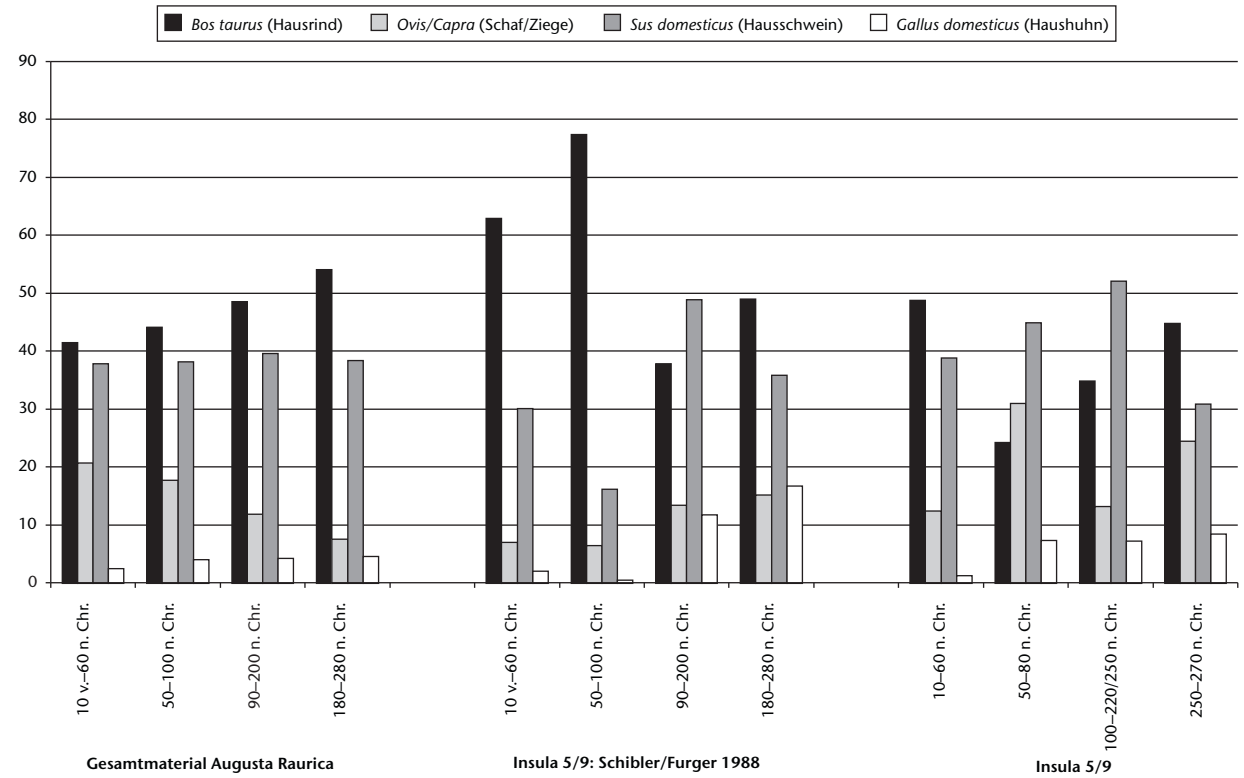


Abb. 307: Augst BL, Insula 5/9 (Grabungen 1965–1967.052 und 2002.063). Anteile (n%) der wichtigsten Haustierarten in den einzelnen Zeitstufen im Vergleich zum Gesamtmaterial von Augusta Raurica und den Auswertungsergebnissen nach der früheren Materialgrundlage (Schibler/Furger 1988). Anteile von Hausrind, Schaf/Ziege und Hausschwein zusammen = 100%; Anteil des Haushuhns innerhalb aller Haustierknochen.

ler und A. R. Furger, so lassen sich einige Unterschiede feststellen. Diese sind primär darauf zurückzuführen, dass ein Teil der damals berücksichtigten Fundkomplexe nicht aus dem Areal der Insula 5/9 stammt und/oder nicht stratifiziert ist und deswegen in der vorliegenden neuen Auswertung nicht berücksichtigt wurde. Auch konnte die Datengrundlage durch Knochenreste aus der Grabung 2002.063 ergänzt werden.

Trotz der Veränderungen in den Werten sind die bereits von J. Schibler und A. R. Furger beschriebenen chronologischen Entwicklungen bei den Anteilen der einzelnen Arten in Insula 5/9 im Wesentlichen nach wie vor gültig (Abb. 307).

Übereinstimmend sind gemäss beiden Auswertungsgrundlagen die gegenüber dem Gesamtmaterial aus Augusta Raurica überdurchschnittlich hohen Rinderanteile in der ersten Datierungsphase bis in die Mitte des 1. Jahrhunderts, wobei inzwischen die Überrepräsentanz weniger stark ausgeprägt ist. Auch die Zunahme des Rinderanteils von der dritten zur vierten Zeitstufe und die gegenüber dem Gesamtmaterial aus Augusta Raurica nunmehr etwas geringeren Werte sind anhand beider Auswertungsgrundlagen erkennbar. Lediglich die zweite Zeitstufe (zweite Hälfte des 1. Jahrhunderts) liefert heute ein neues Bild, in dem die Rinderknochen deutlich schwächer vertreten sind als nach der alten Grundlage. Die Knochen dieser Zeitstufe sind bei unserer Auswertung ausschliesslich durch Funde aus Raum A, die zu einem grossen Teil anlässlich der Grabung 2002.063 geborgen wurden, repräsentiert (Ensemble A3-2). Die bei der früheren Auswertung für diesen Zeitabschnitt berücksichtigten Tierknochen dürften dagegen aus Fundkomplexen stammen, die hier nicht mehr berücksichtigt wurden (vgl. oben S. 28 ff.).

Auch bei den Anteilen von Schaf/Ziege zeigen beide Grundlagen wiederum vor allem für die zweite Hälfte des 1. Jahrhunderts die stärkste Abweichung auf. Während für den Zeitraum bis 60 n. Chr. nach beiden Auswertungsgrundlagen verglichen mit dem Gesamtmaterial aus Augusta Raurica ein unterdurchschnittlicher Anteil an Ovicapridenknochen festzustellen ist, der allerdings nach unserer Grundlage höher ausfällt als nach der älteren, ist er in der darauf folgenden Zeitstufe nach unserer Auswertungsgrundlage (Raum A) massiv höher, nach der älteren Datengrundlage dagegen ähnlich wie in der ersten Zeitstufe. Für die späteren Zeitstufen sind wieder ähnliche Ergebnisse zu verzeichnen, indem der Anteil der Ovicapriden von der dritten zur vierten Zeitstufe zunimmt. Nach unserer Auswertungsgrundlage ist die Zunahme dabei deutlich stärker, was durch die Funde aus Raum B, die anlässlich der Grabung 2002.063 geborgen wurden und die nur Ziegenreste umfassen (vgl. oben S. 229), bewirkt wird. Ohne diese Funde aus Raum B beläuft sich der Anteil der Ovicapriden in dieser letzten

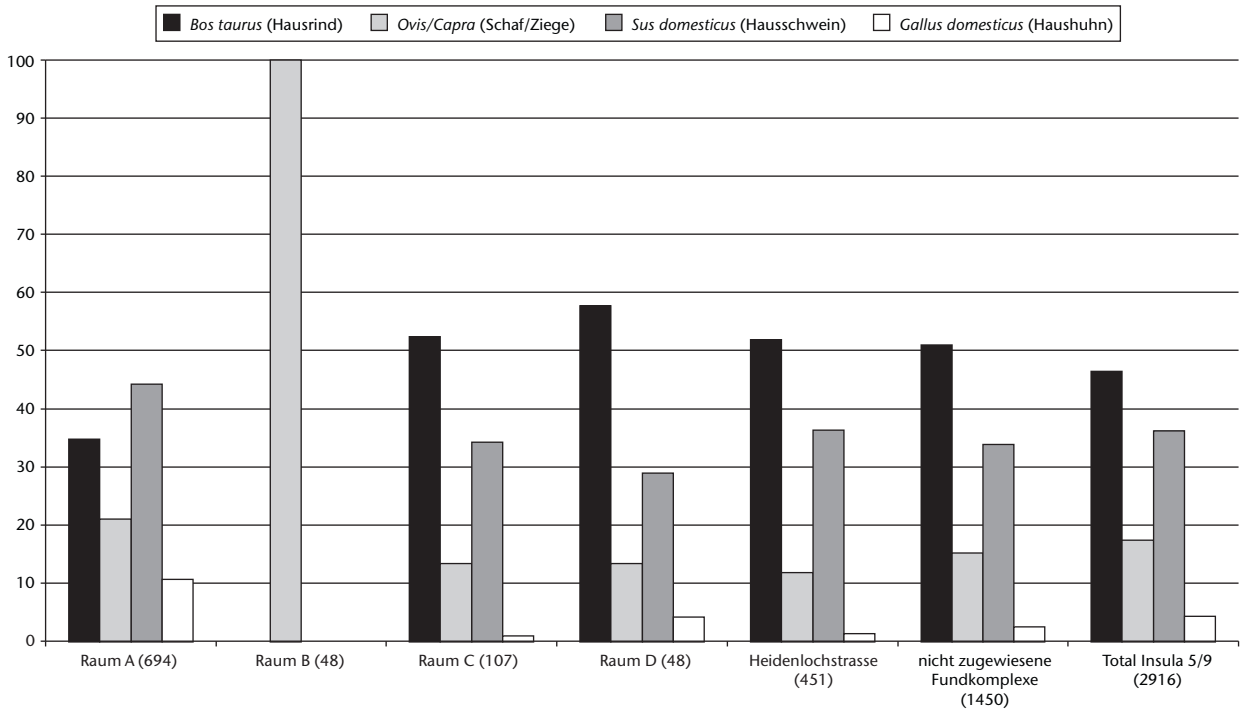


Abb. 308: Augst BL, Insula 5/9 (Grabungen 1965–1967.052 und 2002.063). Anteile (n%) der wichtigsten Haustierarten in den einzelnen Befundeinheiten (Räumen), in den Fundkomplexen ohne Ensemblezuweisung und im Gesamtmaterial von Insula 5/9. Anteile von Hausrind, Schaf/Ziege und Hausschwein zusammen = 100%; Anteil des Haushuhns innerhalb aller Haustierknochen (in Klammern: Fundzahl Haustierknochen).

Zeitstufe auf 16%, was dem Ergebnis gemäss der älteren Auswertungsgrundlage nahe kommt. Gemäss beiden Auswertungen wird aber deutlich, dass Schafe/Ziegen unter den Knochenresten von Insula 5/9 – gemessen am Gesamtmaterial aus Augusta Raurica – in der ersten Hälfte des 1. Jahrhunderts unterrepräsentiert, ab 100 n. Chr. dagegen in zunehmendem Masse übervertreten sind.

Beim Hausschwein liefert die heutige Auswertungsgrundlage gegenüber der älteren für die erste Zeitstufe einen etwas höheren Anteil, der etwa demjenigen des Gesamtmaterials von Augusta Raurica entspricht. In der zweiten Zeitstufe unterscheiden sich die Ergebnisse erwartungsgemäss wiederum sehr deutlich. Während nach der älteren Auswertungsgrundlage der Anteil der Hausschweinknochen zugunsten des Rindes (s. oben) stark abnimmt, ist nach unserer Grundlage das Hausschwein nunmehr überrepräsentiert. Für die beiden späteren Zeitstufen zeigen beide Grundlagen wieder dieselbe Entwicklung. So nimmt ab ca. 100 n. Chr. die Bedeutung des Hausschweins nochmals zu und ist gegenüber dem Gesamtmaterial aus Augusta Raurica klar übervertreten, geht dann aber in der letzten Zeitstufe wieder auf einen leicht unterdurchschnittlichen Wert zurück.

Der Anteil des Haushuhns zeigt gemäss beider Grundlagen im Wesentlichen eine ähnliche Entwicklung. Nur leicht unterrepräsentiert gemessen am Gesamtmaterial aus Augusta Raurica in der ersten Hälfte des 1. Jahrhunderts, ist das Huhn in den späteren Zeitabschnitten mit Anteilen über 7% klar übervertreten; dies gemäss unserer Auswertungsgrundlage bereits ab der zweiten Zeitstufe.

Wie bei den Anteilen der Wildtiere zeigen sich auch bei denen der Haustierarten Unterschiede zwischen den verschiedenen Räumen (Abb. 308). Verglichen werden die Anteile der wichtigsten Haussäugerarten untereinander (Hausrind, Schaf/Ziege und Hausschwein) und der Anteil des Huhns innerhalb aller Haustierknochen. Während in den Räumen C und D und im Bereich der Heidenlochstrasse das Hausrind unter den Knochenresten am besten repräsentiert ist und unter den wichtigen Haussäugetieren einen Anteil von über 50% erreicht, ist in Raum A das Hausschwein am besten vertreten mit 44%, gegenüber dem Hausrind (35%). Auch der Anteil von Schaf/Ziege ist hier abgesehen von Raum B, in dem ausschliesslich Ziegenknochen vorlagen, mit 21% gegenüber den anderen Bereichen (11–13%) erhöht. Eine weitere Besonderheit von Raum A ist auch die grosse Menge an Hühnerknochen. So erreicht das Haushuhn hier einen Anteil von 11%, in den anderen Bereichen dagegen maximal 4% (Raum D bei schlechter Datenbasis).

Auch wenn die Datengrundlage eine für zuverlässige Aussagen statistisch erforderliche Menge teilweise unterschreitet, zeigt die Differenzierung nach Zeitstufen und Räumen interessante Veränderungen der Artenzusammensetzung auf (Abb. 309).

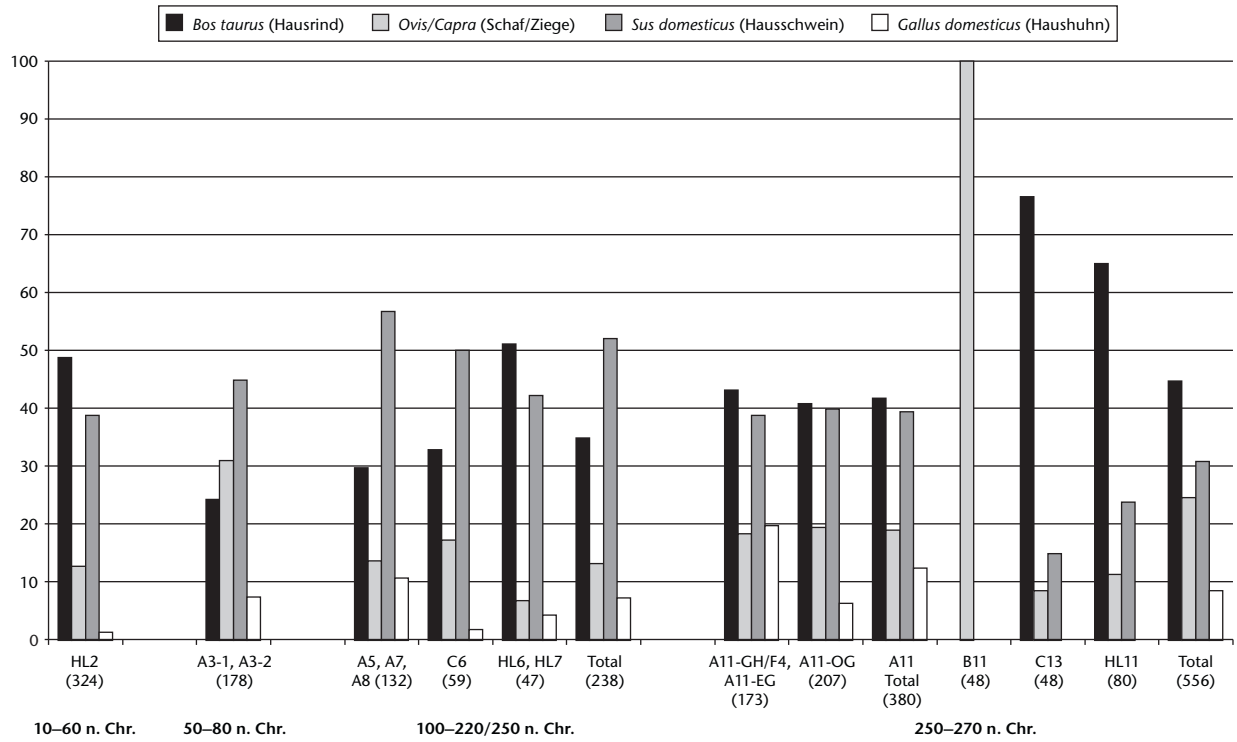


Abb. 309: Augst BL, Insula 5/9 (Grabungen 1965–1967.052 und 2002.063). Anteile (n%) der wichtigsten Haustierarten in den einzelnen Zeitstufen und Ensembles. Anteile von Hausrind, Schaf/Ziege und Hausschwein zusammen = 100%; Anteil des Haushuhns innerhalb aller Haustierknochen (in Klammern: Fundzahl Haustierknochen).

Für die beiden ersten Zeitstufen, die die erste und die zweite Hälfte des 1. Jahrhunderts umreissen, liegen jeweils nur aus einer Befundeinheit Funde vor. So können für die erste Hälfte des 1. Jahrhunderts nur die Funde aus dem Bereich der Heidenlochstrasse berücksichtigt werden, während das zeitgleiche Ensemble aus Raum A zu klein ist. Auch die zweite Hälfte des 1. Jahrhunderts ist in Insula 5/9 nur durch ein Fundensemble, nämlich jenes aus Raum A repräsentiert. Bereits weiter oben wurde der deutliche Unterschied in der Artenzusammensetzung zwischen der ersten und der zweiten Zeitstufe gezeigt, der möglicherweise primär auf der unterschiedlichen Herkunft des Fundmaterials beruht. So ist unter den Knochenresten aus der ersten Zeitstufe aus dem Bereich der Heidenlochstrasse das Hausrind stark vertreten (49%) und im Vergleich zu den anderen Insulae und zum Gesamtmaterial aus dem übrigen Stadtgebiet überrepräsentiert (Abb. 310). Von den übrigen Haustieren sind vor allem die Ovicapriden untervertreten. Im Ensemble von Raum A aus der zweiten Hälfte des 1. Jahrhunderts (Ensemble A3) erreicht dagegen das Hausschwein mit 45% den höchsten Anteil, gefolgt von Schaf/Ziege (31%). Das Hausrind ist deutlich schlechter vertreten (24%). Gegenüber dem Gesamtmaterial aus dem Stadtgebiet dieses Zeitabschnitts sind in Insula 5/9 das Hausschwein, besonders aber Schaf/Ziege klar überrepräsentiert. Letztere sind verglichen mit anderen Stadtkomplexen in Insula 5/9 sogar am häufigsten vertreten. Ähnlich hohe Schweineanteile um 45% sind in den Insulae 23, 30 und im Quartier Kurzenbettli festzustellen. Zu berücksichtigen ist, dass es sich bei Ensemble A3 vorwiegend um Fundmaterial aus der Grabung 2002.063 handelt und dass hier kleinere Arten wegen der fortgeschrittenen Grabungstechnik womöglich eher geborgen wurden als bei der Grabung 1965–1967.052. Vermutlich ist dieser Faktor jedoch nicht entscheidend, denn in Raum A ist das Hausschwein auch in der folgenden Zeitstufe (100–220/250 n. Chr.) am besten repräsentiert und mit 57% sogar noch stärker vertreten als im 1. Jahrhundert.

In diesem Zeitabschnitt liegen auch Knochenreste aus Raum C und aus dem Bereich der Heidenlochstrasse vor – leider in einer Anzahl, die statistischen Anforderungen nicht genügt. Dennoch ist bemerkenswert, dass auch in diesen Bereichen die Artenzusammensetzung ähnlich wie in Raum A ist. Während in Raum C das Hausschwein wie in Raum A am häufigsten nachgewiesen ist (Anteil: 50%), liegen aus dem Bereich der Heidenlochstrasse zwar mehr Rinderknochen vor. Von den beiden Ensembles HL6 und HL7, die in diese Zeitstufe einbezogen wurden, liefert das zeitlich in das 2. Jahrhundert zurückgreifende ebenfalls vorwiegend Hausschweinknochen, weshalb das jüngere die Entwicklung im fortgeschrittenen 3. Jahrhundert vorwegnimmt. Dies ist übrigens auch bei der Keramik aus diesen beiden Ensembles festzustellen (Abb. 98; 114). Im Vergleich mit dem Gesamtmaterial aus Augusta Raurica aus der Zeit zwischen 90 und 200 n. Chr. – unsere Zeitstufen und die Datierungs-

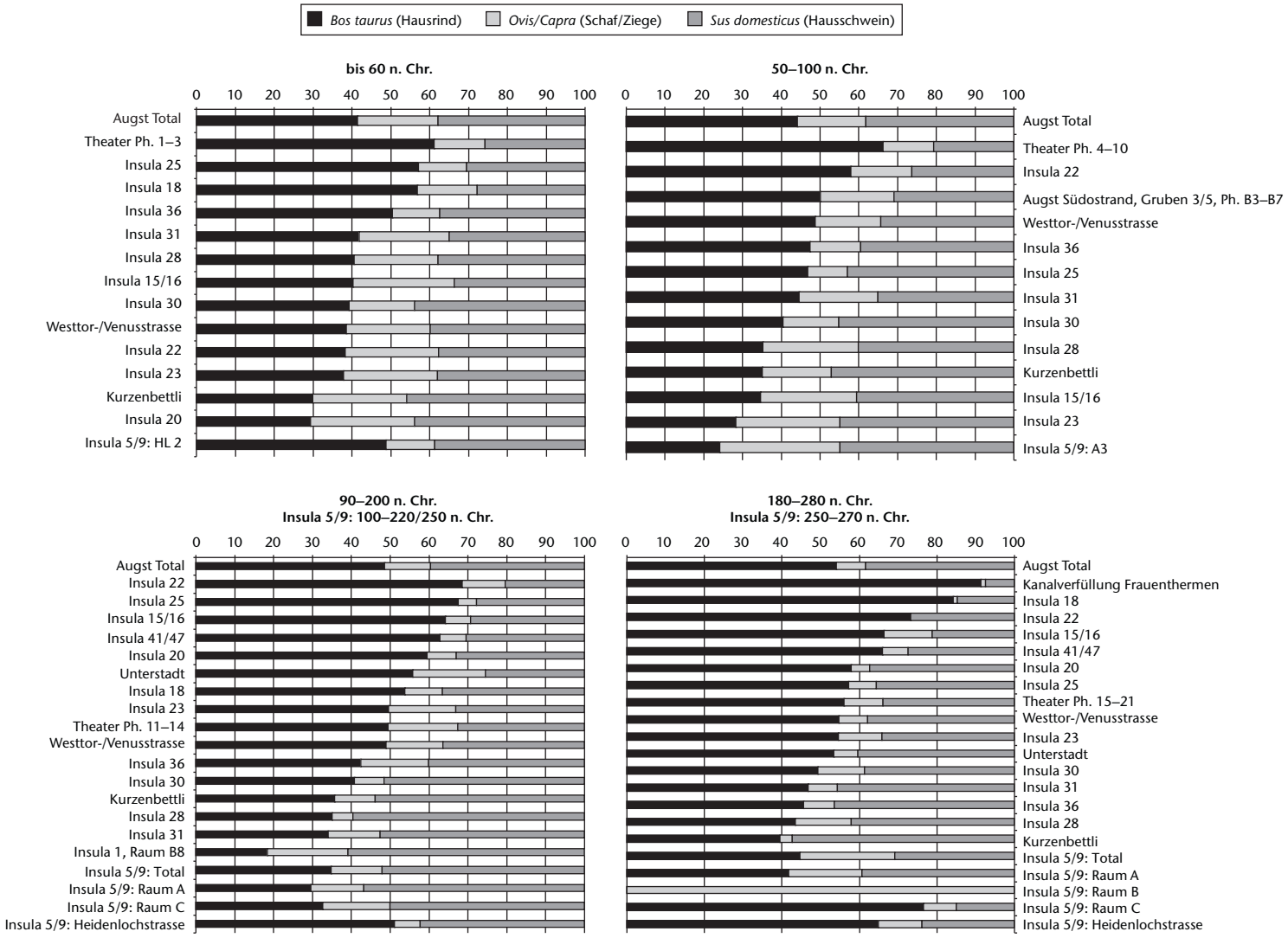


Abb. 310: Augst BL, Insula 5/9 (Grabungen 1965–1967.052 und 2002.063). Augusta Raurica (Augst BL und Kaiseraugst AG). Anteile (n%) von Hausrind, Schaf/Ziege und Hausschwein (100%) in den verschiedenen Regionen und Insulae, differenziert nach Zeitstufen. Alle Bereiche und Augusta Raurica Total nach Schibler/Furger 1988, ausser Theater (Furger/Deschler-Erb 1992), Augst Südostrand Gruben 3/5 (Breuer 1992), Insula 1, Raum B8 (Breuer/Lehmann 1999), Kanalverfüllung Frauenthermen (Deschler-Erb 1991), Insula 36 (Breuer 2007) und Insula 5/9 (vorliegende Arbeit).

phasen von A. R. Furger und J. Schibler sind, wie bereits erwähnt, nicht ganz deckungsgleich – ist in den Räumen A und C bzw. innerhalb der Tierknochen insgesamt dieser Zeitstufe das Hausschwein deutlich überrepräsentiert (50–57% gegenüber durchschnittlich 40% im übrigen Stadtgebiet). Ähnliche Zusammensetzungen mit Anteilen von Hausschwein von über 50% sind im Zeitabschnitt von 90–200 n. Chr. in den Insulae 28, 30, 31, im Quartier Kurzenbettli und in Insula 1/Raum B8 festzustellen.

Auch für die jüngste Zeitstufe (250–270 n. Chr.) liegen in Insula 5/9 Ensembles aus verschiedenen Räumen zum Vergleich vor. Festzustellen ist ein genereller Rückgang des Anteils des Hausschweins, besonders deutlich in Raum C und im Bereich der Heidenlochstrasse, wo Rinderknochen nunmehr stark dominieren. Hinzuweisen ist hier allerdings wiederum auf die schwache statistische Basis in diesen beiden Befundzonen. In Raum A erscheint der Rückgang des Hausschweinanteils weniger krass als in Raum C und im Bereich der Heidenlochstrasse. Verglichen mit dem Gesamtmaterial aus Augusta Raurica aus der Zeit zwischen 180 und 280 n. Chr. ist der Anteil des Hausschweins hier noch als durchschnittlich zu bezeichnen. Das Hausrind ist aber im Fundmaterial des Erd- und des Obergeschosses von Raum A jeweils etwas besser vertreten als das Hausschwein. Eine Zunahme gegenüber der letzten Phase ist auch bei den Ovicapriden zu verzeichnen, die nunmehr klar übervertreten sind. Der Rückgang des Hausschweinanteils zwischen dem 2. und dem 3. Jahrhundert ist in allen Tierknochenkomplexen des Stadtgebiets von Augusta Raurica zu beobachten.

Für das Haushuhn sind in Raum A in allen Phasen höhere Anteile zu verzeichnen als in den anderen Befundzonen

	bis 60. n. Chr.	50–100 n. Chr.	90–200 n. Chr.	180–280 n. Chr.
Augst Total	*2,4*	*3,9*	*4,2*	*4,6*
Insula 41/47	(0,0)	(0,0)	2,6	4,4
Theater Ph. 1–3	0,5	0,4	1,1	2,5
Insula 25	0,6	4,9	3,5	4,9
Insula 15/16	0,8	2,3	0,0	2,8
Insula 23	1,2	2,8	2,4	2,4
Insula 36	1,2	1,3	1,0	4,1
Insula 22	1,3	1,7	1,6	2,3
Insula 30	1,4	2,4	3,2	3,1
Insula 18	2,2	(9,4)	5,9	3,0
Westtor-/Venusstrasse	2,6	1,5	2,5	2,7
Insula 28	**2,6**	**5,7**	**10,7**	**6,6**
Kurzenbettli	**3,3**	**5,7**	**6,7**	**17,6**
Insula 31	**3,5**	**5,5**	**7,6**	4,2
Insula 20	**4,5**	(13,9)	**3,8**	**5,8**
Unterstadt	–	(2,2)	1,9	4,6
Insula 1, Raum B8	–	–	**9,6**	–
Kanalverfüllung Frauenthermen	–	–	–	0,2
Insula 5/9	**1,2**	**7,3**	**7,1**	**8,5**
Raum A	(0,0)	7,3	10,6	12,4
Raum B	–	–	–	(0,0)
Raum C	–	–	(1,7)	–
Heidenlochstrasse	1,2	–	(4,3)	–

Abb. 311: Augst BL, Insula 5/9 (Grabungen 1965–1967.052 und 2002.063). Anteil (n%) des Haushuhns innerhalb der Haustierknochen in verschiedenen Regionen und Insulae des römischen Stadtgebiets, differenziert nach Zeitstufen (in Klammern: Datengrundlage n < 100).

(Abb. 309). Sein Anteil nimmt hier im Laufe der Zeit von 7% (zweite Hälfte des 1. Jahrhunderts) auf 12% in der jüngsten Zeitstufe zu. Besonders hoch ist der Hühneranteil am Ende von Phase 11 im Erdgeschoss (knapp 20%). In Raum C und im Bereich der Heidenlochstrasse liegt der Anteil der Hühnerknochen über alle Phasen betrachtet bei maximal 4% (Heidenlochstrasse 100–220/250 n. Chr. bei schwacher Datengrundlage). In beiden Befundzonen sind die Hühner in der spätesten Phase nicht mehr belegt. Ein in den meisten oder allen Zeitabschnitten überdurchschnittlich hoher Anteil des Haushuhns ist neben Raum A in Insula 5/9 auch in den Insulae 28, 31 und im Quartier Kurzenbettli zu beobachten, im Zeitraum zwischen 90 und 200 n. Chr. zudem in Raum B8 von Insula 1 (Abb. 311).

Mit den beschriebenen Unterschieden in der Artenzusammensetzung kann versucht werden, die Nahrungsqualität oder Ernährungspräferenzen in verschiedenen Bereichen und Zeitstufen abzuschätzen. Was die Wertschätzung der Fleischsorten anbelangt, ist aus schriftlichen Quellen bekannt, dass Fleisch von Schwein und Geflügel dem Rindfleisch vorgezogen wurde und daher auch teurer war[676]. Hohe Anteile von Schwein und Geflügel werden daher als Indikatoren für eine bessere Nahrungsqualität betrachtet.

Unter diesen Voraussetzungen weist die Artenzusammensetzung bei den Tierknochen aus Raum A somit in allen Zeitstufen, für die genügend Daten vorliegen, auf die beste Nahrungsqualität hin. Für den Zeitraum zwischen 100 und 220/250 n. Chr. lässt der überdurchschnittlich hohe Anteil des Hausschweins auch in Raum C und im Bereich der Heidenlochstrasse auf eine ähnlich gute Nahrungszusammensetzung schliessen, während die Artenzusammensetzungen im späteren Zeitabschnitt dort einen gegensätzlichen Eindruck vermitteln.

Schwierig bei der Interpretation der Artanteile ist natürlich, dass wir die Repräsentanz der einzelnen Arten nur in prozentualen Anteilen, die sich gegenseitig beeinflussen, ausdrücken konnten. Bleibt eine Art womöglich in ihrer Bedeutung eigentlich gleich, eine andere aber nicht, kommt dies anhand der Prozentwerte nicht zum Ausdruck. Für die Beurteilung der Nahrungsqualität ist daher auch eine Betrachtung der Alters- und der Skelettteilzusammensetzung sinnvoll.

Schlachtalter

Zum Schlachtalter liegen nur grobe Angaben vor (s. o. S. 30). Die vorhandenen Bestimmungsdaten erlauben aber die Berechnung des (Mindest-)Anteils an Jungtierresten gegenüber den Resten ausgewachsener Tiere (mit entsprechender Altersangabe) und solchen ohne Altersangaben.

Die Schlachtalterauswertung wurde nur für die wichtigsten Haustierarten vorgenommen (Abb. 312). Der Jungtieranteil beträgt im Gesamtmaterial aus Insula 5/9 beim Hausrind knapp 5%, bei Schaf/Ziege 24% und beim Hausschwein rund 33%. Diese Werte liegen im Vergleich zu anderen Tierknochenkomplexen aus Augusta Raurica alle im oberen Bereich[677]. Beim Vergleich zwischen den Befundzonen bzw. den Phasen sind jeweils die Datenmengen zu berücksichtigen. Genügende Fundmengen pro Art liegen nur für Raum A und für den Bereich der Heidenlochstrasse vor (ausgenommen Schaf/Ziege), in Raum C sind sie für Rind und Hausschwein knapp akzeptabel.

676 Edikt des Diokletian 4.2. – Auch waren die römischen Fleischer auf Arten spezialisiert, wobei die Schweinemetzger gemäss Grabsteininschriften aus Italien als anerkannteste und wohl auch wohlhabendste Berufsgruppe unter den Fleischern hervortreten; vgl. Zimmer 1982, 64 Abb. 1–17.

677 Schibler/Furger 1988, 71.

Bereich	Ensemble	Datierung	Hausrind			Schaf/Ziege			Hausschwein		
			FZ Total	FZ Jung-tiere	% Jung-tiere	FZ Total	FZ Jung-tiere	% Jung-tiere	FZ Total	FZ Jung-tiere	% Jung-tiere
Raum A	A2	10–60 n. Chr.	2	0	0,0	–	–	–	2	2	100,0
	A3-1; A3-2	50–80 n. Chr.	40	12	30,0	51	16	31,4	74	33	44,6
	A5; A7; A8	100–220/250 n. Chr.	35	0	0,0	16	4	25,0	67	31	46,3
	A11-GH/F4; A11-EG; A11-OG	250–270 n. Chr.	137	12	8,8	62	18	29,0	129	37	28,7
		Total	**214**	**24**	**11,2**	**129**	**38**	**29,5**	**272**	**103**	**37,9**
	A6; A9; A12; A14; A15	1.–3. Jh. n. Chr.	15	0	0,0	5	2	20,0	17	6	35,3
	A2–A15	**Gesamtmaterial**	**229**	**24**	**10,5**	**134**	**40**	**29,9**	**289**	**109**	**37,7**
Raum B	–	10–60 n. Chr.	–	–	–	–	–	–	–	–	–
	–	50–80 n. Chr.	–	–	–	–	–	–	–	–	–
	–	100–220/250 n. Chr.	–	–	–	–	–	–	–	–	–
	B11	250–270 n. Chr.	–	–	–	48	11	22,9	–	–	–
	B11	**Total**	**–**	**–**	**–**	**48**	**11**	**22,9**	**–**	**–**	**–**
Raum C	–	10–60 n. Chr.	–	–	–	–	–	–	–	–	–
	–	50–80 n. Chr.	–	–	–	–	–	–	–	–	–
	C6	100–220/250 n. Chr.	19	2	10,5	10	1	10,0	29	9	31,0
	C13	250–270 n. Chr.	36	1	2,8	4	0	0,0	7	2	28,6
		Total	**55**	**3**	**5,5**	**14**	**1**	**7,1**	**36**	**11**	**30,6**
	C5; C7; C15	1.–3. Jh. n. Chr.	31	1	3,2	15	1	6,7	28	9	32,1
		Gesamtmaterial	**86**	**4**	**4,7**	**29**	**2**	**6,9**	**64**	**20**	**31,3**
Heiden-loch-strasse	HL2	10–60 n. Chr.	155	4	2,6	40	9	22,5	123	23	18,7
	–	50–80 n. Chr.	–	–	–	–	–	–	–	–	–
	HL6; HL7	100–220/250 n. Chr.	23	0	13,0	3	0	0,0	19	7	36,8
	HL11	250–270 n. Chr.	52	1	1,9	9	3	33,3	19	4	21,1
		Total	**230**	**5**	**2,2**	**52**	**12**	**23,1**	**161**	**34**	**21,1**
Raum D	D14	50–gegen 300 n. Chr.	**26**	**2**	**7,7**	**6**	**1**	**16,7**	**13**	**5**	**38,5**
FK ohne Ensemblezuweisung			**719**	**28**	**3,9**	**214**	**48**	**22,4**	**477**	**161**	**33,8**
Total Insula 5/9			**1290**	**63**	**4,9**	**483**	**114**	**23,6**	**1004**	**329**	**32,8**
Total Ensembles, phasendatiert		10–60 n. Chr.	157	4	2,5	40	9	22,5	125	25	20,0
		50–80 n. Chr.	40	12	30,0	51	16	31,4	74	33	44,6
		100–220/250 n. Chr.	77	2	2,6	29	5	17,2	115	47	40,9
		250–270 n. Chr.	225	14	6,2	123	32	26,0	155	43	27,7

Abb. 312: Augst BL, Insula 5/9 (Grabungen 1965–1967.052 und 2002.063). Übersicht über die Fundzahlen (FZ) und Anteile (n%) an Jungtierknochen bei Hausrind, Schaf/Ziege und Hausschwein, differenziert nach Befundeinheiten (Räumen), Ensembles und Zeitstufen.

Im Vergleich mit den anderen Befundzonen tritt Raum A bei allen Arten durch einen überdurchschnittlich hohen Jungtieranteil hervor (Abb. 313). Da wir davon ausgehen, dass ein hoher Jungtieranteil eine bessere Fleischqualität signalisiert, wird die hohe Nahrungsqualität, die hier anhand der Haustieranteile vermutet werden kann, auch durch die Alterszusammensetzung bestätigt.

Eine weitere Differenzierung in Bereiche und Datierungsphasen ist infolge der meist geringen Datenmengen sehr problematisch. Die Jungtieranteile scheinen in Raum A vor allem in der zweiten Hälfte des 1. Jahrhunderts, beim Hausschwein auch im nächstfolgenden Zeitabschnitt (100–220/250 n. Chr.) sehr hoch zu sein (Abb. 312). In der letzten Benutzungsphase nimmt nicht nur der Anteil der Hausschweinknochen generell, sondern auch derjenige der jungen Schweine ab, wobei hier aber auf die grossen Unterschiede zwischen Erdgeschoss (Jungtieranteil 15%) und Obergeschoss (38%) hinzuweisen ist (vgl. oben S. 329). Bei Hausrind und Schaf/Ziege bleibt der Jungtieranteil deutlich überdurchschnittlich.

Der mutmassliche Rückgang in der Nahrungsqualität in Raum C und im Bereich der Heidenlochstrasse zwischen den beiden letzten (jüngsten) Zeitabschnitten, wie anhand der unterschiedlichen Artenzusammensetzung suggeriert, kann anhand der Alterszusammensetzung wegen der zu geringen Datengrundlage nicht untermauert werden. Die abnehmenden Jungtieranteile, namentlich beim Hausrind, weniger deutlich auch beim Hausschwein, weisen aber in dieselbe Richtung.

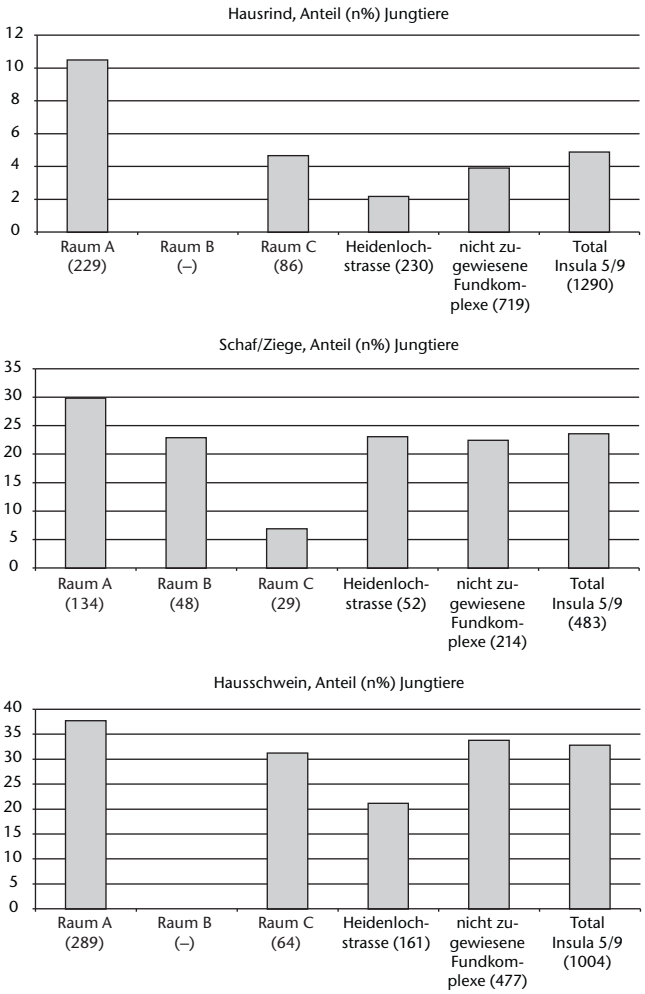


Abb. 313: Augst BL, Insula 5/9 (Grabungen 1965–1967.052 und 2002.063). Anteile (n%) an Jungtierknochen (n%) bei Hausrind, Schaf/Ziege und Hausschwein in den einzelnen Befundeinheiten (Räumen), in den Fundkomplexen ohne Ensemblezuweisung und im Gesamtmaterial von Insula 5/9 (in Klammern: Fundzahl).

Skelettteilzusammensetzung

Eine Bewertung der Skelettteilzusammensetzung wurde wie die der Alterszusammensetzung nur für die wichtigsten Haussäugerarten vorgenommen. Da Wirbel und Rippen aus der Grabung 1965–1967.052 nicht bestimmt wurden (vgl. oben S. 30), muss eine Beurteilung der Skelettteilzusammensetzung ohne die Rumpfteile erfolgen. Dies schmälert die ohnehin schwache Datengrundlage zusätzlich (Abb. 314–316). Als Grundlage können nur die Fragmentzahlen herangezogen werden. Für einen Vergleich mit einem Referenzskelett, wodurch Über- und Untervertretungen einzelner Skelettteile bzw. Skelettpartien aufgezeigt werden sollen, muss somit die Fragmentierung der Knochen im archäologischen Material berücksichtigt werden. Die Verteilung im Referenzskelett wurde daher bei den verschiedenen Skelettteilen durch Fragmentierungsfaktoren, welche auf empirischer Erfahrung mit Knochenfunden beruhen, modifiziert. Gewählt wurden Faktoren, die bereits von Jürg Schibler und Barbara Stopp verwendet wurden[678]. Die Berechnung der Anteile der Schädelelemente erfolgte auf der Grundlage aller Knochen (ohne Rumpfteile), diejenigen der Arm- und Beinpartien auf der Grundlage der Extremitätenknochen.

Die Skelettteilzusammensetzung zeigt beim Hausrind für alle Bereiche eine Übervertretung der Hand- und Fussteile *(Autopodium)* an. Diese ist bei den Resten aus den Räumen A und C deutlich stärker ausgeprägt als bei denen aus dem Gebiet der Heidenlochstrasse (Abb. 317). Dort sind dafür Schädelteile besonders häufig. Auch in den Fundkomplexen, die keinen Ensembles zugewiesen wurden, sowie im Gesamtmaterial aus Insula 5/9 sind Hand- und Fussteile übervertreten.

Eine Differenzierung der Bereiche in die Datierungsphasen ist wie schon bei der Auswertung der Alterszusammensetzung wegen der geringen Datenmengen problematisch. Für die Tierknochen aus dem Bereich der Heidenlochstrasse, die hauptsächlich aus Phase 1 (erste Hälfte 1. Jahrhundert) stammen, zeigt sich aber interessanterweise ein deutlicher Unterschied zu den jüngeren Ensembles aus diesem Gebiet. Während in der ersten Phase mit Ausnahme der Hand- und Fussteile alle Skelettregionen und insbesondere der Schädelbereich übervertreten sind, sind in den jüngeren Phasen, ähnlich wie in den anderen Bereichen dieser Zeitabschnitte, ebenfalls die Hand- und Fussteile sehr stark überrepräsentiert (Abb. 318).

In Raum A ist ebenfalls ein Wandel in der Skelettteilzusammensetzung erkennbar. Während im Ensemble der Phase 2 (zweite Hälfte 1. Jahrhundert) die Anteile aller Extremitätenregionen praktisch denen im Vergleichsskelett entsprechen (Abweichung weniger als 5%) und nur die Schädelelemente unterrepräsentiert sind, sind in allen jüngeren Ensembles die Autopodiumelemente sehr stark vertreten. Allerdings könnte im Fall des ältesten Ensembles das Bild durch die geringe Datenmenge verzerrt sein.

Da in den Phasen 3 und 4 die Skelettteilzusammensetzung in allen Bereichen sehr ähnlich ist, kann die Gesamtmenge der Rinderknochen dieser Phasen jeweils zusammengefasst und der Zusammensetzung in Phase 1 aus dem Bereich der Heidenlochstrasse gegenübergestellt werden. Dabei soll ein genaueres Augenmerk auf bestimmte Skelettelemente fallen, bei denen Häufungen auf gewerbliche Tätigkeiten hinweisen können. So könnten die hohen Anteile an Hand- und Fussteilen zusammen mit Hornzapfen auf Gerbereiabfälle hinweisen, da die Häute gewöhnlich mit noch anhaftenden Schädelteilen und Hörnern sowie den

678 Schibler/Stopp 1987, Tabelle 5.

Bereich	Ensemble	Datierung	Total	Total ohne Rumpfteile*	Hornzapfen	Cranium	Zähne	Mandibula	Hyoid	Total Schädel	% an Total ohne Rumpfteile
Raum A	A2	10–60 n. Chr.	**2**	**2**						**0**	**0,0**
	A3	50–80 n. Chr.	**40**	**27**	2	2		1	1	**6**	**22,2**
	A5; A7; A8	100–220/250 n. Chr.	**35**	**34**	4			2	1	**7**	**20,6**
	A11-GH/F4; A11-EG; A11-OG	250–270 n. Chr.	**137**	**130**	2	7	3	8	2	**22**	**16,9**
		Total	**214**	**193**	8	9	3	11	4	**35**	**18,1**
	A6; A9; A12; A14; A15	1.–3. Jh. n. Chr.	**15**	**14**				1		**1**	**7,1**
	A2–A15	**Gesamtmaterial**	**229**	**207**	8	9	3	12	4	**36**	**17,4**
Raum C	–	10–60 n. Chr.	**–**	**–**	–	–	–	–	–	**–**	**–**
	–	50–80 n. Chr.	**–**	**–**	–	–	–	–	–	**–**	**–**
	C6	100–220/250 n. Chr.	**19**	**19**	2		1	1		**4**	**21,1**
	C13	250–270 n. Chr.	**36**	**36**	1	1		4		**6**	**16,7**
		Total	**55**	**55**	3	1	1	5	0	**10**	**18,2**
	C5; C7; C15	1.–3. Jh. n. Chr.	**31**	**31**	2		3	4		**9**	**29,0**
		Gesamtmaterial	**86**	**86**	5	1	4	9	0	**19**	**22,1**
Heidenlochstrasse	HL2	10–60 n. Chr.	**155**	**155**	3	1	44	30	1	**79**	**51,0**
	–	50–80 n. Chr.	**–**	**–**	–	–	–	–	–	**–**	**–**
	HL6; HL7	100–220/250 n. Chr.	**23**	**23**	4		3	2		**9**	**39,1**
	HL11	250–270 n. Chr.	**52**	**52**			8	7	1	**16**	**30,8**
		Total	**230**	**230**	7	1	55	39	2	**104**	**45,2**
Raum D	D14	50–gegen 300 n. Chr.	**26**	**26**	2			1		**3**	**11,5**
FK ohne Ensemblezuweisung			**719**	**678**	22	26	88	132	2	**270**	**39,8**
Total Insula 5/9			**1290**	**1227**	44	37	150	193	8	**432**	**35,2**
Total Ensembles, phasendatiert		10–60 n. Chr.	**157**	**157**	3	1	44	30	1	**79**	**50,3**
		50–80 n. Chr.	**40**	**27**	2	2		1	1	**6**	**22,2**
		100–220/250 n. Chr.	**77**	**76**	10		4	5	1	**20**	**26,3**
		250–270 n. Chr.	**225**	**218**	3	8	11	19	3	**44**	**20,2**

*Abb. 314: Augst BL, Insula 5/9 (Grabungen 1965–1967.052 und 2002.063). Skelettteiltabelle Hausrind, differenziert nach Befundeinheiten (Räumen), Ensembles und Zeitstufen. Skelettteiltabellen der Ensembles im Einzelnen siehe Anhang Tabelle 11. * = Rumpfteile: Wirbel und Rippen.*

Fussknochen in die Gerbereien gelangten[679]. Für Räuchereiabfälle sind dagegen hohe Anteile an Schulterblättern (Schüfeli), Unterkiefer oder Rippen – deren Menge in unserem Material aber nicht spezifisch überprüfbar ist – bezeichnend.

Die Anteile dieser Elemente lassen folgende Schlüsse zu (Abb. 319): Im Ensemble der Phase 1 aus der Heidenlochstrasse ist von den Schädelteilen besonders der Unterkiefer deutlich überrepräsentiert. Übervertreten ist auch das Schulterblatt. Dies weist darauf hin, dass hier Reste von Räucherware vorliegen könnten. In den späteren Phasen ist dies nicht der Fall. In der letzten Phase sind Unterkiefer nur leicht überrepräsentiert (max. +5%), Schulterblätter dagegen unterrepräsentiert. Hornzapfen, die zusammen mit Schädel- und Autopodiumteilen für Gerbereiabfälle sprechen, sind nur im Zeitabschnitt zwischen 100 und 220/250 n. Chr. überrepräsentiert, weshalb allenfalls eine Durchmischung mit Gerbereiabfall nicht ausgeschlossen werden kann. Angesichts der eher schlechten Datengrundlage – es handelt sich um nur zehn Hornzapfenfragmente – ist bei dieser Interpretation allerdings Vorsicht geboten.

Bei den zahlreichen Hand- und Fussteilen handelt es sich sowohl um Fingerknochen (Phalangen) als auch um Mittelhand- und Mittelfussknochen. Letztere spielen in der Beinschnitzerei eine besondere Rolle. Für Insula 5/9 liegen jedoch nur sehr wenige Werkstücke aus Bein vor, weshalb eine Beinschnitzerwerkstatt ausgeschlossen werden kann[680]. Auch weitere Gewerbe, wie z. B. die Leimsiederei, die die vielen Fussteile erklären könnten, schliessen wir aus, da die hierfür typische starke Zerteilung der Knochen seinerzeit von Elisabeth Schmid sicher erkannt und kommentiert worden wäre. Die Häufigkeit von Hand- und Fussteilen bei den Rinderknochen von Insula 5/9 kann somit nicht auf eine gewerbliche Tätigkeit zurückgeführt werden. Sie überrascht, da diese Elemente gegenüber den oberen Extremitätenkno-

679 Schibler 1989, 27.

680 Werkstücke aus Bein liegen in den Ensembles A11-GH (n = 2), A11-OG (n = 1), D14 (n = 2) und im Fundkomplex X04675, der keinem Ensemble zugewiesen wurde, vor.

Scapula	Pelvis	Humerus	Femur/Patella	**Total Stylopodium**	**% an Extremitätenknochen**	Radius/Ulna	Tibia	**Total Zygopodium**	**% an Extremitätenknochen**	Carpalia	Tarsalia	Metapodien	Phalangen	**Total Autopodium**	**% an Extremitätenknochen**	Rumpfteile (Wirbel, Rippen)	indet.
			1	**1**	**50,0**			**0**	**0,0**			1		**1**	**50,0**		
	6		1	**7**	**33,3**		4	**4**	**19,0**		1	2	7	**10**	**47,6**	13	
				0	**0,0**	1		**1**	**3,7**			11	15	**26**	**96,3**	1	
3	2	1	2	**8**	**7,5**	5	4	**9**	**8,4**		2	32	56	**90**	**84,1**	7	1
3	8	1	4	**16**	**10,2**	6	8	**14**	**8,9**	0	3	46	78	**127**	**80,9**	21	1
		1		**1**	**8,3**			**0**	**0,0**	1		5	5	**11**	**91,7**	1	1
3	8	2	4	**17**	**10,1**	6	8	**14**	**8,3**	1	3	51	83	**138**	**81,7**	22	2
–	–	–	–	–	–	–	–	–	–	–	–	–	–	–	–	–	–
–	–	–	–	–	–	–	–	–	–	–	–	–	–	–	–	–	–
4	1			**5**	**33,3**	1		**1**	**6,7**		3	3	3	**9**	**60,0**		
		4	1	**5**	**17,2**	1		**1**	**3,4**		2	8	13	**23**	**79,3**		1
4	1	4	1	**10**	**22,7**	2	0	**2**	**4,5**	0	5	11	16	**32**	**72,7**	0	1
2	1			**3**	**13,6**	1		**1**	**4,5**		1	7	10	**18**	**81,8**		
6	2	4	1	**13**	**19,7**	3	0	**3**	**4,5**	0	6	18	26	**50**	**75,8**	0	1
14	5	5	4	**28**	**37,8**	15	5	**20**	**27,0**		2	16	8	**26**	**35,1**		2
–	–	–	–	–	–	–	–	–	–	–	–	–	–	–	–	–	–
					0,0				**0,0**		2	6	6	**14**	**100,0**		
4	1			**5**	**13,9**	2		**2**	**5,6**			11	18	**29**	**80,6**		
18	6	5	4	**33**	**26,6**	17	5	**22**	**17,7**	0	4	33	32	**69**	**55,6**	0	2
1				**1**	**4,3**				**0,0**			14	8	**22**	**95,7**		
25	16	9	8	**58**	**15,1**	20	12	**32**	**8,3**		22	145	128	**295**	**76,6**	41	23
53	32	20	17	**122**	**15,9**	46	25	**71**	**9,3**	1	35	261	277	**574**	**74,8**	63	28
14	5	5	5	**29**	**38,2**	15	5	**20**	**26,3**		2	17	8	**27**	**35,5**		2
	6		1	**7**	**33,3**		4	**4**	**19,0**		1	2	7	**10**	**47,6**	13	
4	1			**5**	**8,9**	2		**2**	**3,6**		5	20	24	**49**	**87,5**	1	
7	3	5	3	**18**	**10,5**	8	4	**12**	**7,0**		4	51	87	**142**	**82,6**	7	2

Abb. 314 (Fortsetzung).

chen sehr fleischarm sind und kulinarisch weniger interessant erscheinen. Möglich ist, dass Hand- und Fussteile sogar Schlachtabfälle darstellen und solche im Material des 2. und 3. Jahrhunderts somit überwiegend vorliegen. Vergleichen wir die Skelettteilzusammensetzung der Rinderreste von Insula 5/9 mit der anderer Insulae in Augusta Raurica, stellen wir aber fest, dass das Überwiegen von «minderwertigen» Hand- und Fussteilen typisch zu sein scheint. Dies gilt auch für diejenigen Insulae, in denen sicher Leute sozial privilegierter Bevölkerungsschichten wohnten (z. B. Insula 30)[681]. Auch wenn Hand- und Fussteile sehr fleischarm sind und sie vielleicht primär Schlachtabfälle darstellen, bilden sie eine gute und preiswerte Grundlage für die Zubereitung von Brühen und Suppen. Die generelle Häufigkeit von Hand- und Fussteilen im gesamten Siedlungsperimeter könnte folglich darauf hinweisen, dass in nahezu jedem Haushalt Brühen und Suppen selber zubereitet wurden. Andere Fleischteile vom Rind könnten dagegen meist ohne Knochen beim Metzger gekauft worden sein, weswegen sie in den Knochenabfällen der einzelnen Insulae seltener belegt bzw. unterrepräsentiert sind. Im Zusammenhang mit der Verwendung von Fleischbrühe ist jedoch darauf hinzuweisen, dass diese in der mediterran-römischen Kochliteratur nur sehr selten erwähnt worden ist[682] und auch Hinweise auf die Art der Zubereitung fehlen. Zu bedenken ist allerdings, dass Fleischbrühen sehr wohl Bestandteil der einheimischen, gallorömischen Küche gewesen sein könnten oder dass die Zubereitung von Brühen so gewöhnlich war, dass sich eine Erwähnung in der Kochliteratur erübrigte.

Die Skelettteilzusammensetzung bei den Schafen und Ziegen zeigt für die meisten Befundeinheiten – wie auch in den nicht berücksichtigten Fundkomplexen und im Gesamtmaterial – ein recht einheitliches Bild (Abb. 320). Mit Ausnahme von Raum B, aus dem ausschliesslich Reste von Hand- und Fussteilen *(Autopodium)* vorliegen, ist der Unter-

681 Schibler/Furger 1988, 80 ff.

682 Apicius erwähnt in wenigen Rezepten (Fleisch?-)Brühe als Zutat, z. B. in Frikassee à la Matius (De re coquinaria, IV 3.4).

Bereich	Ensemble	Datierung	**Total**	**Total ohne Rumpfteile***	Cranium	Hornzapfen	Maxilla	Unterkiefer	Zähne	Hyoid	**Total Schädel**	**% an Total ohne Rumpfteile**
Raum A	A2	10–60 n. Chr.	–	–	–	–	–	–	–	–	–	–
	A3	50–80 n. Chr.	**51**	**34**	5		2	9	1	1	**18**	**52,9**
	A5; A7; A8	100–220/250 n. Chr.	**16**	**14**				3	1		**4**	**28,6**
	A11-GH/F4; A11-EG; A11-OG	250–270 n. Chr.	**62**	**57**		8		4	1		**13**	**22,8**
		Total	**129**	**105**	5	8	2	16	3	1	**35**	**33,3**
	A6; A9; A12; A14; A15	1.–3. Jh. n. Chr.	**5**	**3**					1		**1**	**33,3**
	A2–A15	**Gesamtmaterial**	**134**	**108**	5	8	2	16	4	1	**36**	**33,3**
Raum B	–	10–60 n. Chr.	–	–	–	–	–	–	–	–	–	–
	–	50–80 n. Chr.	–	–	–	–	–	–	–	–	–	–
	–	100–220/250 n. Chr.	–	–	–	–	–	–	–	–	–	–
	B11	250–270 n. Chr.	**48**	**48**							**0**	**0,0**
	B11	**Total**	**48**	**48**	0	0	0	0	0	0	**0**	**0,0**
Raum C	–	10–60 n. Chr.	–	–	–	–	–	–	–	–	–	–
	–	50–80 n. Chr.	–	–	–	–	–	–	–	–	–	–
	C6	100–220/250 n. Chr.	**10**	**10**		1		1	1		**3**	**30,0**
	C13	250–270 n. Chr.	**4**	**4**		1					**1**	**25,0**
		Total	**14**	**14**	0	2	0	1	1	0	**4**	**28,6**
	C5; C7; C15	1.–3. Jh. n. Chr.	**15**	**15**		1		2	1		**4**	**26,7**
		Gesamtmaterial	**29**	**29**	0	3	0	3	2	0	**8**	**27,6**
Heidenlochstrasse	HL2	10–60 n. Chr.	**40**	**40**				11			**11**	**27,5**
	–	50–80 n. Chr.	–	–	–	–	–	–	–	–	–	–
	HL6; HL7	100–220/250 n. Chr.	**3**	**3**				1			**1**	**33,3**
	HL11	250–270 n. Chr.	**9**	**9**				2			**2**	**22,2**
		Total	**52**	**52**	0	0	0	14	0	0	**14**	**26,9**
Raum D	D14	50–gegen 300 n. Chr.	**6**	**6**				2	1		**3**	**50,0**
FK ohne Ensemblezuweisung			**214**	**201**	6	6		27	14		**53**	**26,4**
Total Insula 5/9			**483**	**444**	11	17	2	62	21	1	**114**	**25,7**
Total Ensembles, phasendatiert		10–60 n. Chr.	**40**	**40**				11			**11**	**27,5**
		50–80 n. Chr.	**51**	**34**	5		2	9	1	1	**18**	**52,9**
		100–220/250 n. Chr.	**29**	**27**		1		5	2		**8**	**29,6**
		250–270 n. Chr.	**123**	**118**		9		6	1		**16**	**13,6**

*Abb. 315: Augst BL, Insula 5/9 (Grabungen 1965–1967.052 und 2002.063). Skelettteiltabelle Schaf und Ziege, differenziert nach Befundeinheiten (Räumen), Ensembles und Zeitstufen. Skelettteiltabellen der Ensembles im Einzelnen siehe Anhang Tabelle 12. * = Rumpfteile: Wirbel und Rippen.*

arm-/Unterschenkelbereich *(Zygopodium)* regelmässig überrepräsentiert. Dies ist, wie die Erfahrung mit Knochenresten aus anderen Fundstellen lehrt, ein häufig anzutreffendes Phänomen und könnte mit einer besonders guten Erhaltungsfähigkeit und Bestimmbarkeit gegenüber den oberen Extremitätenteilen (Oberarm und Oberschenkel) zusammenhängen. Auch in anderen Komplexen aus Augusta Raurica sind Zygopodiumteile, aber auch das Stylopodium, regelmässig überrepräsentiert[683]. Der Unterarm- und Unterschenkelbereich von Schaf/Ziege liefert wie bei Rind und Hausschwein kulinarisch gute Fleischstücke und kann wie bei diesen als Haxen zubereitet werden. Bei der Skelettteilzusammensetzung der Ovicapriden macht eine weitere Differenzierung in Bereiche *und* Zeitstufen wegen der geringen Datenmengen keinen Sinn. Abbildung 321 zeigt aber immerhin, dass die Überrepräsentanz des Zygopodiums für praktisch alle Zeitstufen bezeichnend ist. Lediglich in der jüngsten Zeitstufe sind die Hand- und Fussteile übervertreten. Dies wird nicht allein durch die Funde aus Raum B verursacht. Auch unter Ausschluss dieser Reste sind Hand- und Fussteile übervertreten (+ 15%), das Zygopodium dagegen nur minim (< 1%). In dieser letzten Phase fallen auch Hornzapfen durch eine Überrepräsentanz gegenüber einem Vergleichsskelett auf (+ 5%, ohne Raum B: + 10%). Eine Einmischung von Gerbereiabfällen ist daher zwar nicht auszuschliessen, angesichts der geringen Datengrundlage und absolut betrachtet kleinen Menge an Hornzapfen jedoch nicht sicher postulierbar.

683 Schibler/Furger 1988.

Scapula	Pelvis	Humerus	Femur/Patella	**Total Stylopodium**	**% an Extremitätenknochen**	Radius/Ulna	Tibia	**Total Zygopodium**	**% an Extremitätenknochen**	Carpalia	Tarsalia	Metapodien	Phalangen	Sesamoidea	**Total Autopodium**	**% an Extremitätenknochen**	Rumpfteile (Wirbel, Rippen)	indet.
–	–	–	–	–	–	–	–	–	–	–	–	–	–	–	–	–	–	–
1	2	2	1	**6**	**37,5**	7	1	**8**	**50,0**		2				**2**	**12,5**	17	
3	1		1	**5**	**50,0**	1		**1**	**10,0**			2	2		**4**	**40,0**	2	
2		4	1	**7**	**16,3**	3	4	**7**	**16,3**		4	19	6		**29**	**67,4**	5	1
6	3	6	3	**18**	**26,1**	11	5	**16**	**23,2**	0	6	21	8	0	**35**	**50,7**	24	1
				0	**0,0**		1	**1**	**50,0**				1		**1**	**50,0**	2	
6	3	6	3	**18**	**25,4**	11	6	**17**	**23,9**	0	6	21	9	0	**36**	**50,7**	26	1
–	–	–	–	–	–	–	–	–	–	–	–	–	–	–	–	–	–	–
–	–	–	–	–	–	–	–	–	–	–	–	–	–	–	–	–	–	–
–	–	–	–	–	–	–	–	–	–	–	–	–	–	–	–	–	–	–
				0	**0,0**			**0**	**0,0**	7		4	18	19	**48**	**100,0**		
0	0	0	0	**0**	**0,0**	0	0	**0**	**0,0**	7	0	4	18	19	**48**	**100,0**	0	0
–	–	–	–	–	–	–	–	–	–	–	–	–	–	–	–	–	–	–
–	–	–	–	–	–	–	–	–	–	–	–	–	–	–	–	–	–	–
	1	1		**2**	**28,6**		4	**4**	**57,1**			1			**1**	**14,3**		
1				**1**	**33,3**			**0**	**0,0**			2			**2**	**66,7**		
1	1	1	0	**3**	**30,0**	0	4	**4**	**40,0**	0	0	3	0	0	**3**	**30,0**	0	0
1	1			**2**	**18,2**	4		**4**	**36,4**			5			**5**	**45,5**		
2	2	1	0	**5**	**23,8**	4	4	**8**	**38,1**	0	0	8	0	0	**8**	**38,1**	0	0
1	1	2	2	**6**	**20,7**	8	2	**10**	**34,5**		1	12			**13**	**44,8**		
–	–	–	–	–	–	–	–	–	–	–	–	–	–	–	–	–	–	–
				0	**0,0**			**0**	**0,0**			2			**2**	**100,0**		
				0	**0,0**	1	2	**3**	**42,9**			3	1		**4**	**57,1**		
1	1	2	2	**6**	**15,8**	9	4	**13**	**34,2**	0	1	17	1	0	**19**	**50,0**	0	0
		1		**1**	**33,3**				**0,0**			2			**2**	**66,7**		
7	7	20	2	**36**	**24,3**	28	17	**45**	**30,4**		4	47	16		**67**	**45,3**	13	
16	13	30	7	**66**	**20,1**	52	31	**83**	**25,2**	7	11	99	44	19	**180**	**54,7**	39	1
1	1	2	2	**6**	**20,7**	8	2	**10**	**34,5**		1	12			**13**	**44,8**		
1	2	2	1	**6**	**37,5**	7	1	**8**	**50,0**		2				**2**	**12,5**	17	
3	2	1	1	**7**	**36,8**	1	4	**5**	**26,3**			5	2		**7**	**36,8**	2	
3		4	1	**8**	**7,9**	4	6	**10**	**9,9**	7	4	28	25	19	**83**	**82,2**	5	1

Abb. 315 (Fortsetzung).

Wie bei Schaf und Ziege zeigt die Skelettteilzusammensetzung der Hausschweinknochen für alle Bereiche und im Gesamtmaterial eine Übervertretung des Unterarm-/Unterschenkelbereichs *(Zygopodium;* Abb. 322). Daneben ist auch der fleischreiche oberste Extremitätenabschnitt *(Stylopodium)* mit Ausnahme von Raum A etwas überrepräsentiert. Untervertreten sind dagegen die Hand- und Fussteile *(Autopodium)* sowie der Schädelbereich.

Die Skelettteilzusammensetzung in den einzelnen Befundzonen variiert aber zwischen den einzelnen Zeitstufen stark (Abb. 323). Wegen der geringen Datengrundlage ist eine Bewertung der einzelnen Ensembles allerdings problematisch. Die Zusammensetzung der Gesamtmenge an Hausschweinknochen pro Zeitstufe lässt aber den Schluss zu, dass die Anteile des Zygopodiums im Laufe der Zeit stark abnehmen.

Die höchste Übervertretung des Zygopodiums (+ 40%!) ist im Ensemble der ersten Zeitstufe aus dem Bereich der Heidenlochstrasse festzustellen. Wie oben bereits erläutert (vgl. S. 332), lässt die Übervertretung an Unterkieferteilen und Schulterblättern bei den Rinderknochen in diesem Ensemble vermuten, dass hier Reste von Räuchereiprodukten vorliegen. Bei den Hausschweinknochen ist in diesem Ensemble ebenfalls eine vergleichbare Überrepräsentanz des Unterkiefers (+ 14%), nur eine geringe dagegen beim Schulterblatt (+ 4%) zu erkennen (Abb. 324). Zumindest die Häufung an Unterkieferteilen könnte wiederum als Hinweis auf Räuchereiwaren gewertet werden. Dabei ist darauf hinzuweisen, dass auch der Unterschenkelbereich *(Tibia/Fibula)* bei der Räucherei von Hinterschinken zuweilen im Bein belassen und mitgeräuchert wird (sog. Schinkenbein). Ansonsten wird der Unterarm- und Unterschenkelbereich ger-

Bereich	Ensemble	Datierung	Total	Total ohne Rumpfteile*	Cranium	Oberkiefer	Zähne	Unterkiefer	Total Schädel	% an Total ohne Rumpfteile
Raum A	A2	10–60 n. Chr.	**2**	**2**					**0**	**0,0**
	A3	50–80 n. Chr.	**74**	**51**	3	2	15	9	**29**	**56,9**
	A5; A7; A8	100–220/250 n. Chr.	**67**	**67**	6		2	6	**14**	**20,9**
	A11-GH/F4; A11-EG; A11-OG	250–270 n. Chr.	**129**	**123**	6		7	11	**24**	**19,5**
		Total	**272**	**243**	15	2	24	26	**67**	**27,6**
	A6; A9; A12; A14; A15	1.–3. Jh. n. Chr.	**17**	**15**	3			2	**5**	**33,3**
	A2–A15	**Gesamtmaterial**	**289**	**258**	18	2	24	28	**72**	**27,9**
Raum C	–	10–60 n. Chr.	–	–	–	–	–	–	–	–
	–	50–80 n. Chr.	–	–	–	–	–	–	–	–
	C6	100–220/250 n. Chr.	**29**	**29**	1		2	1	**4**	**13,8**
	C13	250–270 n. Chr.	**7**	**7**	1				**1**	**14,3**
		Total	**36**	**36**	2	0	2	1	**5**	**13,9**
	C5; C7; C15	1.–3. Jh. n. Chr.	**28**	**28**	1			8	**9**	**32,1**
		Gesamtmaterial	**64**	**64**	3	0	2	9	**14**	**21,9**
Heidenlochstrasse	HL2	10–60 n. Chr.	**123**	**123**	1		8	21	**30**	**24,4**
	–	50–80 n. Chr.	–	–	–	–	–	–	–	–
	HL6; HL7	100–220/250 n. Chr.	**19**	**19**			3	2	**5**	**26,3**
	HL11	250–270 n. Chr.	**19**	**19**			5	2	**7**	**36,8**
		Total	**161**	**161**	1	0	16	25	**42**	**26,1**
Raum D	D14	50–gegen 300 n. Chr.	**13**	**13**			1		**1**	**7,7**
FK ohne Ensemblezuweisung			**477**	**430**	9	1	28	39	**77**	**17,9**
Total Insula 5/9			**1004**	**926**	31	3	71	101	**206**	**22,2**
Total Ensembles, phasendatiert		10–60 n. Chr.	**125**	**125**	1		8	21	**30**	**24,0**
		50–80 n. Chr.	**74**	**51**	3	2	15	9	**29**	**56,9**
		100–220/250 n. Chr.	**115**	**115**	7		7	9	**23**	**20,0**
		250–270 n. Chr.	**155**	**149**	7		12	13	**32**	**21,5**

*Abb. 316: Augst BL, Insula 5/9 (Grabungen 1965–1967.052 und 2002.063). Skelettteiltabelle Hausschwein, differenziert nach Befundeinheiten (Räumen), Ensembles und Zeitstufen. Skelettteiltabellen der Ensembles im Einzelnen siehe Anhang Tabelle 13. * = Rumpfteile: Wirbel und Rippen.*

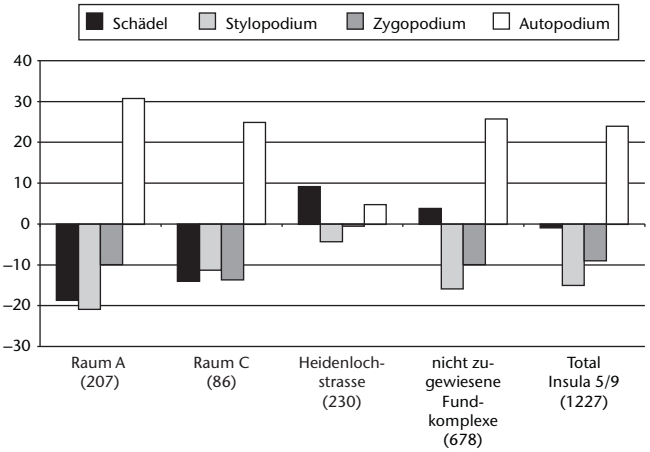


Abb. 317: Augst BL, Insula 5/9 (Grabungen 1965–1967.052 und 2002.063). Hausrind: Anteile der einzelnen Skelettregionen in den verschiedenen Befundeinheiten (Räumen), in den Fundkomplexen ohne Ensemblezuweisung und im Gesamtmaterial von Insula 5/9 in Relation zu einem Vergleichsskelett (= Null-Linie). Anteile im Vergleichsskelett: Schädel: 36%, Stylopodium: 30,9%, Zygopodium: 18,2%, Autopodium: 50,9% (in Klammern: Fundzahl).

ne zu Eisbein (Haxen) verarbeitet. Die Überrepräsentanz dieser Stücke in allen Phasen (wenn auch mit abnehmender Tendenz) ist im Vergleich mit anderen Komplexen aus Augusta Raurica nicht aussergewöhnlich: Sie sind, zusammen mit Stylopodiumteilen, auch in anderen Insulae meist überrepräsentiert[684].

Bemerkenswert ist die Überrepräsentanz der Hand- und Fussteile (+ 19%) im Erdgeschoss von Raum A im letzten Zeitabschnitt, dies im Gegensatz zum Obergeschoss, wo vor allem Zygopodiumelemente stark vertreten sind (+ 14%; Abb. 322). Auch wenn die Datengrundlage gering ist und deswegen Vorsicht bei der Interpretation geboten ist, könnte dieser Sachverhalt darauf hinweisen, dass im Untergeschoss häufig Schweinsfüsse, im Obergeschoss dagegen Haxen konsumiert wurden.

684 Schibler/Furger 1988.

Scapula	Pelvis	Humerus	Femur	**Total Stylopodium**	**% an Extremitätenknochen**	Radius/Ulna	Tibia/Fibula	**Total Zygopodium**	**% an Extremitätenknochen**	Carpalia/Tarsalia	Metapodien	Phalangen	**Total Autopodium**	**% an Extremitätenknochen**	Rumpfteile (Wirbel, Rippen)	indet.
				0	**0,0**			**0**	**0,0**		1		**1**	**100,0**		1
		1	3	**4**	**18,2**	7	3	**10**	**45,5**	1	5	2	**8**	**36,4**	23	
4	1	9	1	**15**	**31,3**	2	4	**6**	**12,5**	4	15	8	**27**	**56,3**		5
4	3	4	2	**13**	**13,3**	11	10	**21**	**21,4**	6	39	19	**64**	**65,3**	6	1
8	4	14	6	**32**	**18,9**	20	17	**37**	**21,9**	11	60	29	**100**	**59,2**	29	7
	1	2	2	**5**	**50,0**	1	2	**3**	**30,0**		1	1	**2**	**20,0**	2	
8	5	16	8	**37**	**20,7**	21	19	**40**	**22,3**	10	61	30	**102**	**57,0**	31	7
–	–	–	–	–	–	–	–	–	–	–	–	–	–	–	–	–
–	–	–	–	–	–	–	–	–	–	–	–	–	–	–	–	–
		4	1	**5**	**20,0**	6	7	**13**	**52,0**	4	3		**7**	**28,0**		
2			1	**3**	**50,0**	1		**1**	**16,7**		2		**2**	**33,3**		
2	0	4	2	**8**	**25,8**	7	7	**14**	**45,2**	4	5	0	**9**	**29,0**	0	0
1		4	2	**7**	**36,8**	3	2	**5**	**26,3**	2	4	1	**7**	**36,8**		
3	0	8	4	**15**	**30,0**	10	9	**19**	**38,0**	6	9	1	**16**	**32,0**	0	0
8	3	12	6	**29**	**31,5**	30	23	**53**	**57,6**		10		**10**	**10,9**		1
–	–	–	–	–	–	–	–	–	–	–	–	–	–	–	–	–
	1		1	**2**	**14,3**	7		**7**	**50,0**	3	2		**5**	**35,7**		
2		1	1	**4**	**33,3**	2	1	**3**	**25,0**		4	1	**5**	**41,7**		
10	4	13	8	**35**	**29,7**	39	24	**63**	**53,4**	3	16	1	**20**	**16,9**	0	1
2	1	2		**5**	**41,7**	1	2	**3**	**25,0**	2	1	1	**4**	**33,3**		
24	28	33	29	**114**	**32,9**	64	57	**121**	**35,0**	23	76	12	**111**	**32,1**	47	7
47	38	72	49	**206**	**29,2**	135	111	**246**	**34,9**	45	163	45	**253**	**35,9**	78	15
8	3	12	6	**29**	**31,2**	30	23	**53**	**57,0**		11		**11**	**11,8**		2
		1	3	**4**	**18,2**	7	3	**10**	**45,5**	1	5	2	**8**	**36,4**	23	
4	2	13	3	**22**	**25,3**	15	11	**26**	**29,9**	11	20	8	**39**	**44,8**		5
8	3	5	4	**20**	**17,2**	14	11	**25**	**21,6**	6	45	20	**71**	**61,2**	6	1

Abb. 316 (Fortsetzung).

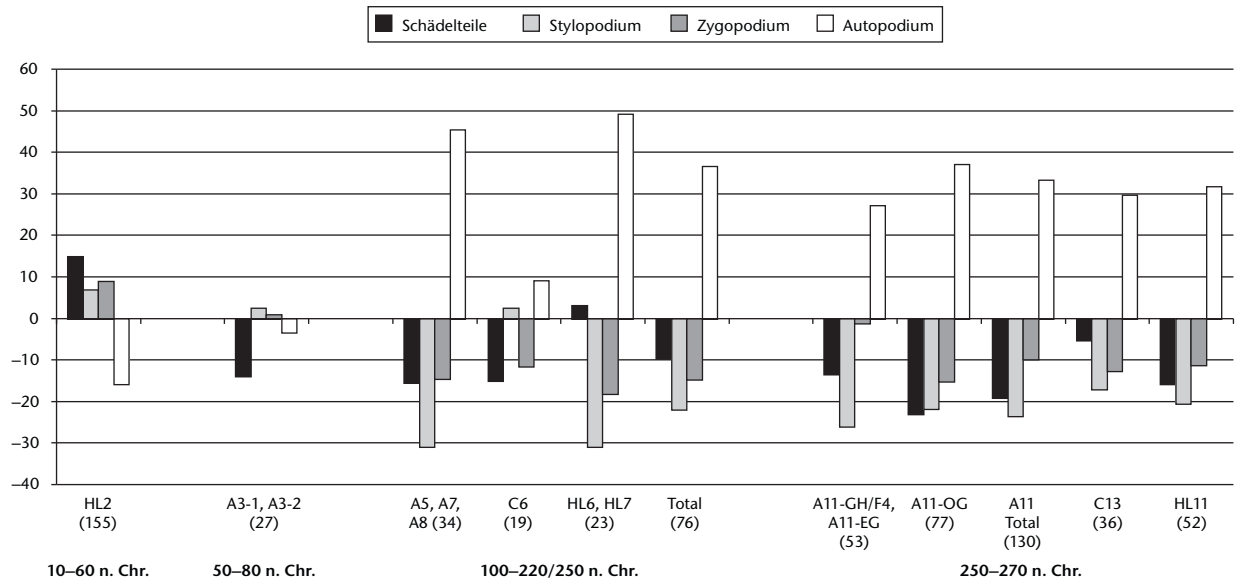


Abb. 318: Augst BL, Insula 5/9 (Grabungen 1965–1967.052 und 2002.063). Hausrind: Anteile der einzelnen Skelettregionen in den einzelnen Zeitstufen und Ensembles in Relation zu einem Vergleichsskelett (= Null-Linie). Anteile im Vergleichsskelett: vgl. Abb. 317 (in Klammern: Fundzahl).

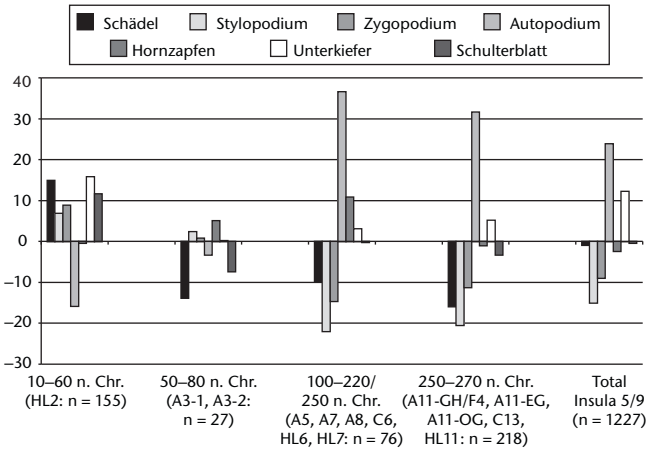


Abb. 319: Augst BL, Insula 5/9 (Grabungen 1965–1967.052 und 2002.063). Hausrind: Anteile der einzelnen Skelettregionen sowie gewerbespezifischer Skelettteile in den einzelnen Zeitstufen und Ensembles in Relation zu einem Vergleichsskelett (= Null-Linie). Anteile im Vergleichsskelett: vgl. Abb. 317; Hornzapfen: 2,3%, Unterkiefer: 3,5%, Schulterblatt: 7,3% (in Klammern: Fundzahl).

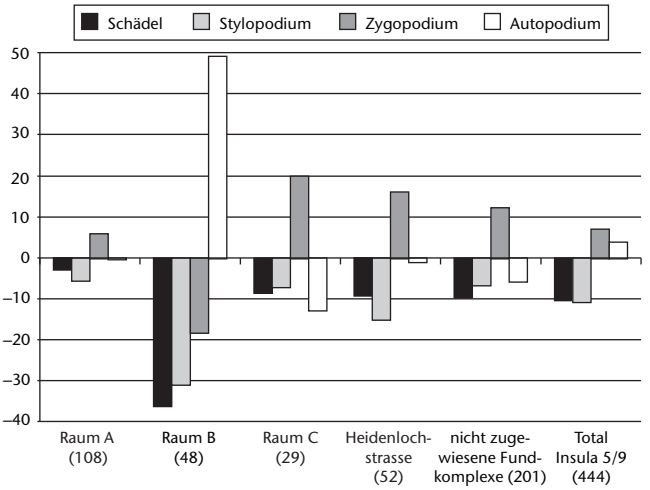


Abb. 320: Augst BL, Insula 5/9 (Grabungen 1965–1967.052 und 2002.063). Schaf/Ziege: Anteile der einzelnen Skelettregionen in den verschiedenen Befundeinheiten (Räumen), in den Fundkomplexen ohne Ensemblezuweisung und im Gesamtmaterial von Insula 5/9 in Relation zu einem Vergleichsskelett (= Null-Linie). Anteile im Vergleichsskelett: vgl. Abb. 317 (in Klammern: Fundzahl).

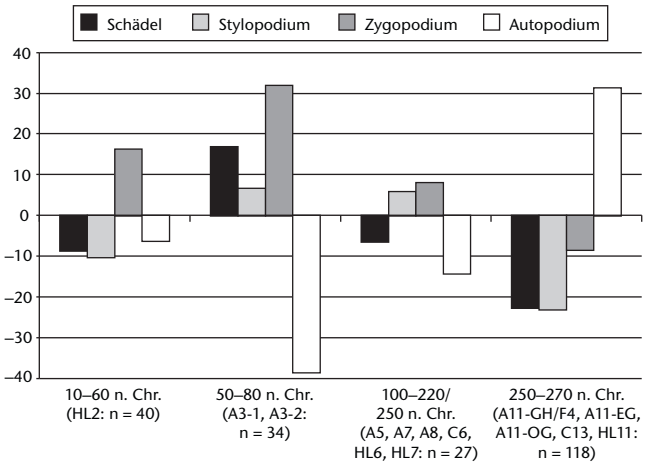


Abb. 321: Augst BL, Insula 5/9 (Grabungen 1965–1967.052 und 2002.063). Schaf/Ziege: Anteile der einzelnen Skelettregionen in den einzelnen Zeitstufen und Ensembles in Relation zu einem Vergleichsskelett (= Null-Linie). Anteile im Vergleichsskelett: vgl. Abb. 317 (in Klammern: Fundzahl).

Zusammenfassung und Schlussfolgerungen aus den Tierknochenfunden

Die Arten- und Jungtieranteile in Insula 5/9 weisen im Vergleich zu anderen Fundkomplexen aus dem Stadtgebiet von Augusta Raurica auf eine phasenweise überdurchschnittlich gute Nahrungszusammensetzung hin. Dies gilt namentlich für das Fundmaterial ab der zweiten Hälfte des 1. Jahrhunderts bis um 220/250 n. Chr. (Zeitabschnitte 2 und 3). Hier beträgt der Hausschweinanteil 45–52%, derjenige des Haushuhns gut 7%. In den späten Ensembles aus der Zeit zwischen 250 und 270 n. Chr. ist dagegen ein Qualitätsrückgang festzustellen, der sich in geringeren Hausschweinanteilen sowie abnehmenden Jungtieranteilen äussert. Dieser Qualitätsverlust ist in Raum A weniger ausgeprägt als in den anderen Befundzonen. In Raum A sinkt der Hausschweinanteil nur auf ein für Augusta Raurica in diesem Zeitraum durchschnittliches Niveau, in Raum C und im Bereich der Heidenlochstrasse werden die Anteile von Hausrind dagegen dominant. In Raum A sind in dieser letzten Zeitstufe überdurchschnittlich hohe Anteile an Schaf/Ziege, begleitet von einem hohen Anteil an Jungtieren, sowie ein sehr hoher Anteil an Haushuhn (12%!) zu verzeichnen.

Die Skelettteilzusammensetzungen von Hausrind und Hausschwein geben für den ersten Zeitabschnitt, der durch Fundmaterial aus dem Bereich der Heidenlochstrasse vertreten ist, Hinweise auf eine Einmischung von Räuchereiprodukten bzw. Räuchereiabfällen (Schulterblatt, Unterkiefer). Generell sind bei den Resten von Hausschwein und Schaf/Ziege die Unterarm- und Unterschenkelknochen *(Zygopodium)* deutlich überrepräsentiert. Bei den Rinderresten sind dagegen die Hand- und Fussteile *(Autopodium)* stark übervertreten. Da aus Insula 5/9 verhältnismässig wenig Hornzapfen und nur eine sehr geringe Zahl an Knochen mit Bearbeitungsspuren vorliegen, ist dies jedoch unseres Erachtens nicht auf die Ablagerung von Abfällen aus Gerbereien (Ausnahme eventuell im 2. Jahrhundert) oder aus Beinschnitzereien zurückzuführen. Die Skelettteilzusammensetzungen in Insula 5/9 sind im Vergleich zu jenen im übrigen Stadtgebiet von Augusta Raurica nicht aussergewöhnlich. So sind beim Rind Hand- und Fussteile generell sehr häufig. Dies könnte dahingehend gedeutet werden, dass diese Knochen häufig für die Zubereitung von Brühen oder Suppen verwendet wurden. Auch die Häufigkeiten von Stylopodium- und vor allem von Zygopodiumteilen bei Hausschwein und Schaf/Ziege sind nicht aussergewöhnlich. Der oberste Extremitätenbereich *(Stylopodium)* ist sehr fleischreich und liefert daher sehr qualitätvolle Fleischstücke. Der Unterschenkel- und Unterarmbereich *(Zygopodium)* liefert zwar weniger Fleisch, ist aber die Grundlage für die Zubereitung von Haxen (Eisbein), wie sie in der römischen Kochliteratur (z. B. bei Apicius) belegt ist.

Die Frage, ob die Tierknochen aus Insula 5/9 auf den Betrieb einer *taberna (cauponia)* weisen, wie dies von der älteren

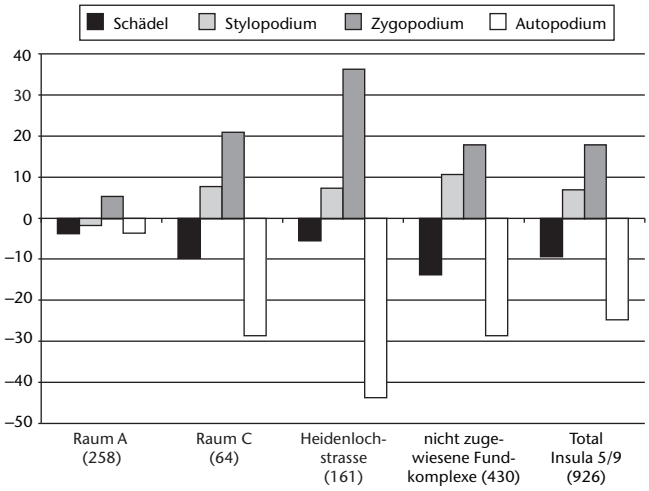


Abb. 322: Augst BL, Insula 5/9 (Grabungen 1965–1967.052 und 2002.063). Hausschwein: Anteile der einzelnen Skelettregionen in den verschiedenen Befundeinheiten (Räumen), in den Fundkomplexen ohne Ensemblezuweisung und im Gesamtmaterial von Insula 5/9 in Relation zu einem Vergleichsskelett (= Null-Linie). Anteile im Vergleichsskelett: Schädel: 31,5%, Stylopodium: 22,4%, Zygopodium: 17,1%, Autopodium: 60,5% (in Klammern: Fundzahl).

Forschung wegen des Backofens und wegen der zentralen Lage beim Theater und der Nähe zu anderen öffentlichen Anlagen vermutet wurde, ist nicht sicher zu beantworten: Eine Beweisführung lässt sich anhand der Zusammensetzung der Tierknochen nur schwer erbringen.

Ähnlichkeiten zur Artenzusammensetzung in Insula 5/9 zeigt das früher als *mansio*, heute jedoch als gewöhnliches Wohnquartier angesprochene Quartier Kurzenbettli im Süden der Stadt[685]: In der Zeit zwischen 140 und 270 n. Chr. sind Hausschweinknochen klar überrepräsentiert, daneben sind auch Haushuhn, Pferd, Hund und Wildtiere im Vergleich zum übrigen Stadtgebiet übervertreten[686]. Die gute Nahrungsqualität, die sich in den überdurchschnittlich hohen Anteilen von Hausschwein, Huhn und Wild zeigt, wurde seinerzeit in Zusammenhang mit einem vornehmen Gastronomiebetrieb bei einer *mansio* gesehen. Nach heutigen Erkenntnissen widerspiegelt sie jedoch vielmehr den Fundniederschlag in «einem sukzessiv gewachsenen Quartier, in dem Menschen gelebt, gewohnt, gearbeitet und Handel getrieben haben»[687]. Vergleichen wir die Anteile der wichtigsten Haussäugetiere (Hausrind, Schaf/Ziege, Hausschwein), so ist in Insula 5/9 in der zweiten Hälfte des 1. Jahrhunderts und im 2. Jahrhundert eine ähnliche Zusammensetzung festzustellen wie im Quartier Kurzenbettli (Abb. 310): Der Anteil des Huhns unter den Haustierknochen ist in beiden Fällen klar überdurchschnittlich (Abb. 311) und sogar die Wildtiere sind im 2. und 3. Jahrhundert in Insula 5/9 übervertreten.

Andererseits weisen die Skelettteilspektren von Hausrind, Schaf/Ziege und Hausschwein im Quartier Kurzenbettli gegenüber denjenigen aus den anderen Stadtteilen (einschliesslich Insula 5/9) keine Besonderheiten auf. Auch

685 Vgl. Bender 1975; Schibler/Furger 1988, 110; Fünfschilling 2006.
686 Schibler/Furger 1988, 112 ff.
687 Fünfschilling 2006, 280.

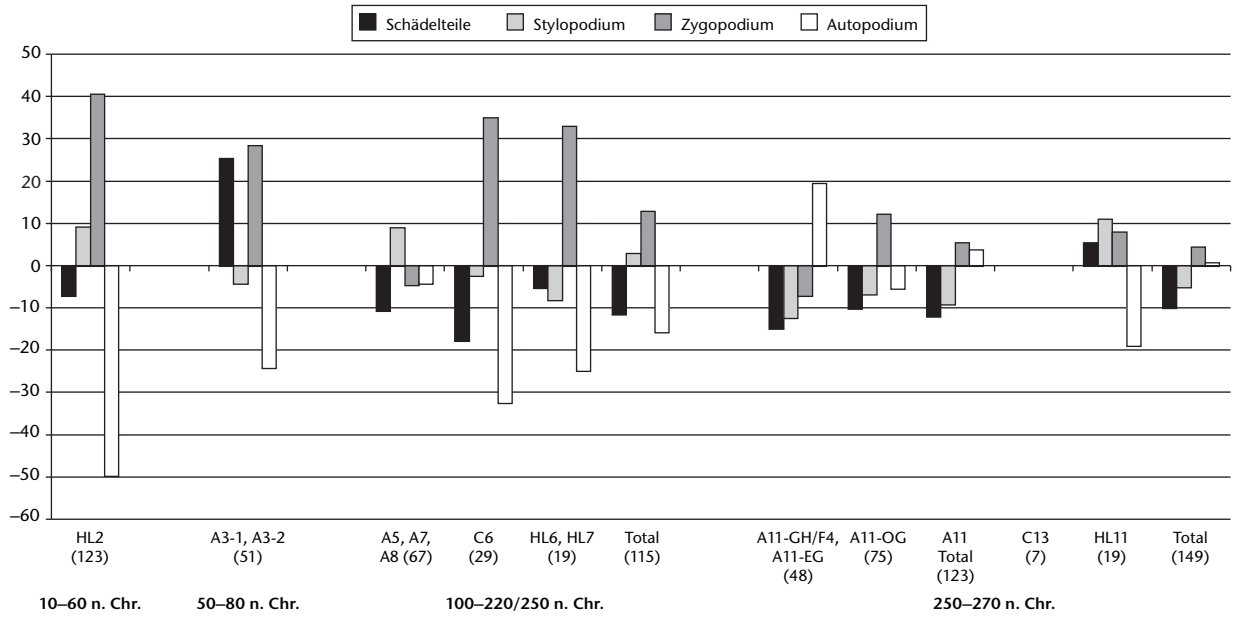


Abb. 323: Augst BL, Insula 5/9 (Grabungen 1965–1967.052 und 2002.063). Hausschwein: Anteile der einzelnen Skelettregionen in den einzelnen Zeitstufen und Ensembles in Relation zu einem Vergleichsskelett (= Null-Linie). Anteile im Vergleichsskelett: vgl. Abb. 322 (in Klammern: Fundzahl).

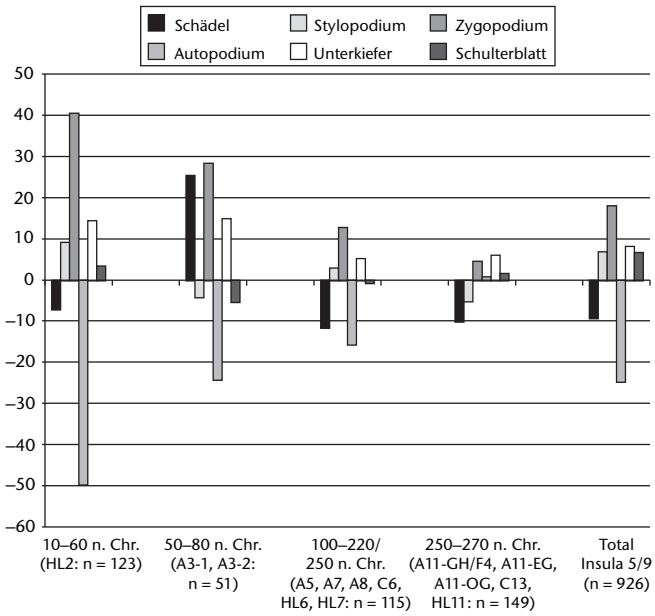


Abb. 324: Augst BL, Insula 5/9 (Grabungen 1965–1967.052 und 2002.063). Hausrind: Anteile der einzelnen Skelettregionen sowie gewerbespezifischer Skelettteile in den einzelnen Zeitstufen und Ensembles in Relation zu einem Vergleichsskelett (= Null-Linie). Anteile im Vergleichsskelett: vgl. Abb. 322; Unterkiefer: 2,7%, Schulterblatt: 5,3% (in Klammern: Fundzahl).

bei den Extremitätenknochen des Hausrinds sind Hand- und Fussteile überrepräsentiert, bei denen von Schaf/Ziege und Hausschwein die Stylo- und vor allem Zygopodiumteile[688].

Die mehr oder weniger identischen archäozoologischen Resultate zwischen dem Quartier Kurzenbettli und Insula 5/9 bezeugen folglich nicht zwingend die Existenz von (archäologisch nicht sicher nachgewiesenen) Gaststätten, sondern eine überdurchschnittliche Nahrungsqualität, die wiederum die Wohlhabenheit der jeweiligen Bewohner widerspiegelt. In diesem Zusammenhang sei auch darauf hingewiesen, dass sich auch in anderen Insulae, die als private Wohngebäude angesprochen werden, im 2. Jahrhundert vergleichbare Knochenzusammensetzungen finden, so etwa in den Insulae 28, 30 und 31 (Abb. 310).

Eine ähnliche Zusammensetzung der Knochenreste fand sich auch in Raum B8 von Insula 1[689]. Dieser wurde aufgrund der Lage und des Baubefunds ebenfalls als Taberne angesprochen, ohne dass aber mit Sicherheit festgestellt werden konnte, ob es sich um einen «Verkaufsladen, einen Handwerksbetrieb oder um eine *taberna cauponia*»[690] handelte.

Die als Abfälle einer Tabernenküche interpretierten Knochenreste aus der Kanalverfüllung bei den Frauenthermen (Insula 17) weisen hingegen eine ganz andere Zusammensetzung auf[691]. Hier ist das Hausrind mit einem Anteil von über 90% dominant vertreten. Im Skelettteilspektrum sind Rippen ausserordentlich stark vertreten, daneben auch Unterkiefer und Schulterblätter – Letzteres auch beim Hausschwein –, was für das Vorhandensein von Räuchereiwarenabfall spricht. Aufgrund dieser Zusammensetzung sowie der *sehr hohen Abfallmenge* wird hier ein Zusammenhang mit einem Tabernenbetrieb vermutet, in dem Eintopfgerichte mit Suppenfleisch und Räucherwaren angeboten wurden. Die Interpretation als *taberna cauponia* wird hier zudem auch durch die archäologischen Funde, namentlich durch die zahlreichen Fundmünzen und Trinkbecher (u. a. mit Graffiti von Trinksprüchen) unterstützt. Wie weiter unten noch ausgeführt wird (vgl. S. 354), stellt ein hoher Anteil an Trinkbechern im 3. Jahrhundert aber ein zeitspezifisches Phänomen dar und eignet sich deswegen nur bedingt als Argument für die Existenz einer *taberna cauponia*.

688 Schibler/Furger 1988, 166 Abb. 159–161.
689 Breuer/Lehmann 1999, 228; 232.
690 Sütterlin 1999, 48.
691 Deschler-Erb 1991a.

«It is perilous to infer from architecture
how a house actually was inhabited;
architecture does not dictate usage but
opens up a range of possibilities»[692]

Synthese

Einleitung

Nachstehend wird die bauliche Entwicklung der Insulae 5/9 und 5 während der Kaiserzeit bzw. während der Phasen 1–7 zusammenfassend dargestellt und in den städtebaulichen Kontext eingeordnet. Die Lückenhaftigkeit der Informationen zu den älteren Phasen 1–8 ist dabei auf den Umstand zurückzuführen, dass die älteren Schichten und Strukturen durch antike Eingriffe zum Teil gestört waren und dass die *in-situ*-Konservierung von Raum A nur eine punktuelle Untersuchung zuliess.

Die bauliche Entwicklung in den Insulae 5/9 und 5 im Überblick

Phasen 1–7

Phase 1 umschreibt die naturräumlichen Gegebenheiten (Abb. 20). Wie Abbildung 325,1 zeigt, liegen die beiden nur teilweise untersuchten Insulae am südlichen Rand der dreieckförmigen Schotterebene. Diese bildet den von Rhein, Ergolz und Violenbach eingefassten Perimeter der Oberstadt von Augusta Raurica.

In **Phase 2** (Abb. 325,2) lassen sich die ersten menschlichen Aktivitäten an dem relativ stark nach Westen und Südwesten abfallenden Hang in Form einer andeutungsweise erhaltenen *Terrassierungsmauer* (MR 1) sowie der sogenannten Heidenlochstrasse nachweisen (Abb. 23). Eine deutlich ausgeprägte, humose Schicht (Beil. 2C,5.6) zeigt, dass der zwischen der Terrassierungsmauer und der Heidenlochstrasse liegende Teil der Böschung in der ersten Hälfte des 1. Jahrhunderts nicht überbaut war, sondern dass dort bis um 50/60 n. Chr. *Siedlungsabfälle* deponiert worden sind (Ensemble HL2).

Wozu das am Fuss der Terrassierungsmauer liegende Areal während dieser Phase genutzt wurde, ist nicht geklärt. Die einzige Struktur, eine um die Mitte des 1. Jahrhunderts verfüllte Grube, lieferte kein diesbezüglich interpretierbares Fundmaterial (Ensemble A2).

Die verschiedenen Indizien deuten darauf hin, dass die südliche Grenze des Insularasters um 50/60 n. Chr. von der Heidenlochstrasse gebildet wurde. Dafür sprechen auch die Beobachtungen in den Insulae 1, 2, 5 und 6: Das von der Topografie her wesentlich besser geeignete, auf dem Kastelenplateau liegende Areal wurde nämlich ebenfalls erst ab der Mitte des 1. Jahrhunderts überbaut. Somit ist davon auszugehen, dass sich die Überbauung im zentralen Teil des *caput coloniae* zwiebelschalenförmig entwickelt hat und dass die südliche und die südwestliche Hangkante erst relativ spät überbaut worden sind[693].

In **Phase 3** (Abb. 325,3) wurde die Terrassierungsmauer abgebrochen und durch eine massive Hangstützmauer ersetzt (Abb. 35). Diese war im Areal der Insula 5/9 infolge einer Reparatur in Phase 4 nur noch am Ostende (MR 1B) bzw. am Westende (MR 1A) erhalten. Ein Blick auf den archäologischen Gesamtplan zeigt, dass der in Insula 5/9 liegende Abschnitt sehr wahrscheinlich zu der durchgehenden, auch in Insula 5 nachgewiesenen Hangstützmauer gehörte, die den südlichen und den südwestlichen Abhang des Kastelenplateaus begrenzte (Abb. 3).

Nach Aussage der Feuerstelle F1 und eines Mörtelgussbodens wurde das zwischen der neu errichteten Hangstützmauer und der Neuntürmestrasse liegende Areal spätestens in der Zeit um 50–70/80 n. Chr. überbaut. Reste von Wandlehm aus dem am Ende von Phase 3 angefallenen Brandschutt zeigen, dass es sich dabei um einen Lehmfachwerkbau mit Mörtelgussboden gehandelt hat (Abb. 41). Das vornehmlich keramische Fundgut und das Fehlen von gewerblichen Abfällen sprechen dafür, dass es sich um Wohnbauten gehandelt hat (Ensembles A3-1 und A3-2).

692 Wallace-Hadrill 1994, 110. Dies für einmal kontrovers zu *form follows function* nach Sullivan 1896.

693 Vgl. dazu Schwarz 2004, 328 ff., bes. Abb. 177; Schwarz 2005b, 164 Abb. 14.

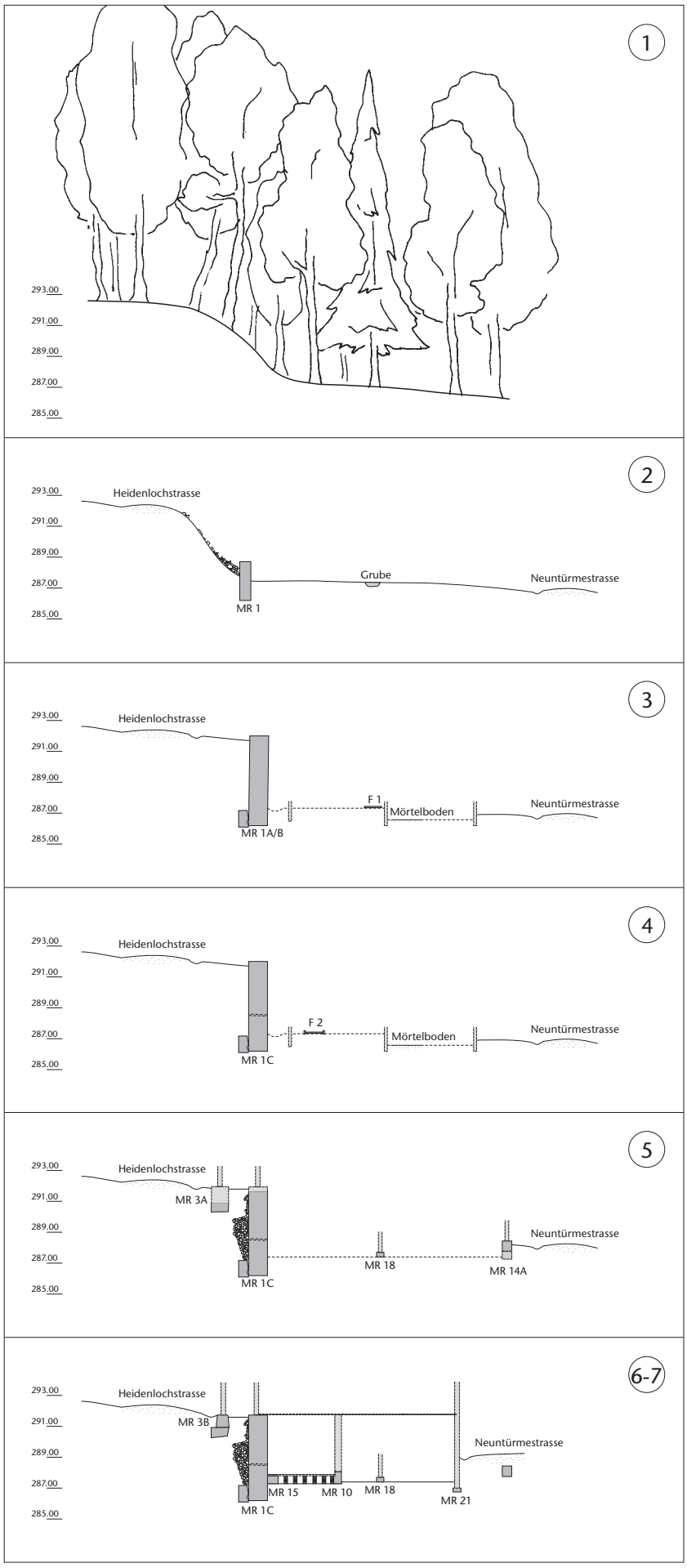


Abb. 325: Augst BL, Insula 5/9 (Grabungen 1965–1967.052 und 2002.063). Zeichnerische Rekonstruktion der aus den Befunden erschlossenen Situation vor Beginn der römischen Aktivitäten: Phase 1 und Baumassnahmen in den Räumen A, B und D während der Phasen 2–7. Blick von Süden. M. 1:400.

Mit dem Bau der Hangstützmauer erhielten der südliche und der südwestliche Abhang des Kastelenplateaus in der zweiten Hälfte des 1. Jahrhunderts eine Ausgestaltung, die die Überbauung im Areal der Insulae 5/9 und 5 massgeblich und nachhaltig bis ins dritte Viertel des 3. Jahrhunderts hinein prägte (Abb. 255). Der Bau stellt somit keine isolierte Massnahme dar, sondern erfolgte im Zusammenhang mit der Neugestaltung des öffentlichen Zentrums des *caput coloniae*. Dafür spricht der Umstand, dass er in einem Zeitraum erfolgte, in dem sowohl der Podiumtempel auf dem Schönbühl und das ältere szenische Theater errichtet wurden als auch das Forum neu gestaltet wurde[694].

Der an die Neuntürmestrasse angrenzende Fachwerkbau im Bereich des späteren Raums A fiel am Ende von Phase 3, um 70/80 n. Chr., einem *Schadenfeuer* zum Opfer. Ob dieser Brand auch die in Form der Feuerstelle F1 fassbare Überbauung am Fuss der Hangstützmauer zerstört resp. die Hangstützmauer beschädigt hat, ist ungewiss. Gesichert ist, dass der mittlere, zwischen Mauer 1A und Mauer 1B liegende Abschnitt der Hangstützmauer in der nachfolgenden Phase 4 repariert werden musste.

Die hier nur punktuell nachweisbare Brandkatastrophe ereignete sich in einem Zeitraum, in dem auch in anderen Insulae derartige Zerstörungen nachweisbar sind, so u. a. in den Insulae 1, 2, 5, 6 und 51. Auch wenn kleinere und grössere Schadenfeuer in dicht überbauten Arealen ein geläufiges Phänomen darstellen und sich der Brand am Ende von Phase 3 lediglich grob in das dritte Viertel des 1. Jahrhunderts datieren lässt, ist im konkreten Fall ein Zusammenhang mit *Ereignissen des Vierkaiserjahres 69 n. Chr.* zumindest erwägenswert – auch wenn sich dieses in Augusta Raurica (noch) nicht mit genügender Sicherheit nachweisen lässt[695].

In **Phase 4** (Abb. 325,4) ist der mittlere Abschnitt der Hangstützmauer repariert und durch die mit den beiden Mauerresten verzahnte, leicht talwärts versetzte Mauer 1C ersetzt worden (Abb. 48). Die Reparaturstelle unterscheidet sich von den beiden anschliessenden Teilen der Hangstützmauer durch die beiden Ziegelbänder (Abb. 50; 51; Beil. 2C,9), durch den sorgfältig ausgefugten *pietra-rasa*-Verputz an der talseitigen Mauerschale (Abb. 58), durch das Fehlen von Gerüsthebellöchern sowie durch vier eingebaute Meteorwasserröhren (Abb. 52; Beil. 2C,8). Der Einbau der Röhren spricht allerdings eher dafür, dass dieser Abschnitt nicht durch den Brand am Ende von Phase 3 beschädigt wurde, sondern durch den Druck der bis anhin nur ungenügend entwässerten Hinterfüllung.

Die auf dem ausplanierten Mauerschutt installierte Feuerstelle F2 zeigt, dass der an die reparierte Hangstützmauer angrenzende Teil des Areals anschliessend wieder überbaut worden ist. Indizien zur Art der Überbauung und zu deren Nutzung fehlen.

Ebenfalls offen bleibt, wann genau die Hangstützmauer repariert worden ist: Die Funde aus dem Bereich der Feuerstelle F2 lassen sich nur grob in die Zeit zwischen 140 und 200 n. Chr. datieren (Ensemble A4) und sind somit deutlich jünger, als aufgrund der stratigrafischen Gegebenheiten anzunehmen ist. Dies könnte darauf hindeuten, dass die nur punktuell untersuchten zeitgenössischen Schichten bei jüngeren Umbaumassnahmen entfernt worden sind. Aufgrund der Gesamtsituation und der Datierung der Phase 5 ist nämlich davon auszugehen, dass die Reparatur der Hangstützmauer bereits im früheren 2. Jahrhundert erfolgte. Der im keramischen Fundgut fassbare Hiatus zwischen 70/80 und 140 n. Chr. darf nicht überbewertet werden.

Phase 5 (Abb. 325,5) ist im Wesentlichen durch den Anbau des schiefwinkligen, rund 15 m langen und etwa 6 m breiten, *hallenartigen Raums A* an die Hangstützmauer charakterisiert (Abb. 56). Gebildet wird dieser von der am damaligen Nordrand der Neuntürmestrasse liegenden Mauer 14A sowie den Mauern 2 und 4. Letztere stossen an die Hangstützmauer an und verdecken die Nahtstellen zwischen der Flickstelle und den älteren Teilen der Hangstützmauer.

Eine nicht mit Sicherheit dieser Phase zuweisbare Portikus (MR 14B) am damaligen Nordrand der Neuntürmestrasse zeigt, dass das Erdgeschoss von Raum A von der Neuntürmestrasse her betreten werden konnte. Eine weitere Zugangsmöglichkeit bildet ein Durchlass in Mauer 4. Letzterer lässt vermuten, dass die Räume A und B in Phase 5 eine Einheit gebildet haben.

Allerdings ist nicht gesichert, ob es sich bei Raum B um einen Hof oder um ein geschlossenes mehrräumiges Gebäude gehandelt hat. Für Letzteres könnte die an Mauer 4 anstossende Mauer 9 sprechen, falls deren Errichtung bereits in Phase 5 erfolgte. Die beiden dicht nebeneinander liegenden, parallel zu Mauer 4 verlaufenden Balkennegative auf der Oberkante von Mauer 1A (Abb. 63) stammen wahrscheinlich von einem Treppenaufgang einer Aussen- oder Innentreppe.

Diese Balkenlager sowie der nachträglich in die Hangstützmauer eingeschrotete Lichtschacht (Abb. 58) zeigen, dass das Erdgeschoss von Raum A rund 3,5 m hoch gewesen sein muss[696].

In Zusammenhang mit dem Bau von Raum A wurde wahrscheinlich auch die Hangstützmauer mithilfe einer *Sickerpackung* trockengelegt (Beil. 2C,10), die fortan die Aufgabe der Meteorwasserröhren übernahm. Gestützt wird diese

694 Vgl. Schwarz 2005b, 166 Anm. 86; Hufschmid 2008, 137; 151; Hufschmid/Horisberger-Matter 2008, 169 f. Abb. 10; Abb. 44.
695 Vgl. dazu ausführlich Schwarz 2004, 328 ff.
696 Vgl. in diesem Zusammenhang Kaiser/Sommer 1994, 350.

Annahme durch Beobachtungen an der talseitigen Mauerschale der Hangstützmauer: Diese wurde mit Ziegelschrotmörtel isoliert und anschliessend mit einem weissen Verputz versehen (Abb. 59). Diese aufwendigen Baumassnahmen deuten darauf hin, dass der hintere Teil von Raum A ab Phase 5 für Wohnzwecke genutzt wurde.

Der mutmassliche Treppenaufgang in Raum A, ein Punktfundament (MR 18; Abb. 40) sowie die von verputzten Fachwerkwänden stammenden Wandmalereireste aus dem in Phase 8 verfüllten Hypokaust (Beil. 2F,2) deuten darauf hin, dass Raum A ab Phase 5 auch ein *Obergeschoss* besass (Abb. 84)[697].

Nicht geklärt ist, ob der nördliche Abschluss des Obergeschosses von einer auf der Hangstützmauer stehenden Mauer oder Fachwerkwand gebildet wurde oder von der neu errichteten massiven Mauer 3A. Bei Letzterer handelt es sich um eine tragende Mauer. Dies, die zwischen Mauer 3B und der Heidenlochstrasse liegende Böschung (Beil. 2C,14.15) sowie der deutlich unter dem Niveau der Heidenlochstrasse liegende Gehhorizont (Beil. 2C,17) sprechen dafür, dass es sich bei Raum C nicht wie früher vermutet um eine Portikus handelt, sondern eher um einen *geschlossenen Korridor*.

Im Vergleich zu den früheren Phasen lassen sich die Umbauten in den Räumen A und C relativ gut datieren. Die jüngsten Funde aus den unter Mauer 3A liegenden und erst nach der Sickerpackung eingebrachten Füllschichten (Beil. 2C,11) stammen aus der Mitte des 2. Jahrhunderts (Ensemble C5).

Dieser *terminus post quem* wird auch durch das Fundmaterial aus den Planieschichten in Raum A (Beil. 2E,5A) bzw. aus dem darüber liegenden dünnen Schmutzhorizont (Beil. 2E,5B) gestützt. Die jüngsten Funde aus Ensemble A5 dürften um 200 n. Chr. in den Boden gekommen sein.

Im *städtebaulichen Kontext* betrachtet, könnte der Bau von Raum A darauf hindeuten, dass der Baugrund im öffentlichen Zentrum des *caput coloniae* im Verlauf des 2. Jahrhunderts zunehmend knapp wurde, sodass die bautechnisch anspruchsvollen Hanglagen überbaut wurden. Die Praxis des «verdichteten Bauens» lässt sich nicht nur in den Insulae 5/9 und 5 beobachten, sondern auch in den Insulae 1 und 2[698] oder in der Region 9D[699].

Die Überbauung orientierte sich nicht am Verlauf der Hangstützmauer, sondern war auf die Neuntürmestrasse ausgerichtet. Bei den Räumen A und B handelte es sich um langrechteckige Streifenhäuser, die sich sonst in Augusta Raurica eher an der Peripherie des Siedlungsperimeters[700] oder in *vici* finden[701]. Die Befunde der späteren Phase 7 im Areal der Insulae 5/9 und 5 zeigen zudem, dass diese Häuser ein gemauertes Erdgeschoss und ein Obergeschoss aus Lehmfachwerk besassen.

Phase 6 (Abb. 325,6.7) ist durch eine *Verkürzung* von *Raum A* (Bau von MR 21) und den Einbau eines *hypokaustierten Zimmers (cubiculum)* in dessen Nordwestecke gekennzeichnet (Abb. 68)[702]. Ob und in welchem Ausmass diese Baumassnahmen auch das Obergeschoss von Raum A tangiert haben, liess sich nicht eruieren.

Das von den Mauern 7 und 10 gebildete und mit Wandmalereien (Abb. 72) ausgestattete *cubiculum* wurde durch einen in Mauer 7 eingelassenen, sorgfältig gemauerten Feuerkanal (Abb. 74) beheizt. Das zwischen den Mauern 2 und 7 liegende *Praefurnium I* bestand aus einer in die älteren Planien und Gehhorizonte eingetieften und mit Tonplatten ausgekleideten Bedienungsgrube (Beil. 2E,6B). Das *cubiculum* zeigt, dass der hintere Teil von Raum A ab Phase 6 sicher für Wohnzwecke genutzt worden ist. Wofür der vordere Teil von Raum A genutzt wurde, lässt sich nicht sagen. Analogien mit Grundrissen in Herculaneum[703] könnten dafür sprechen, dass dieser tatsächlich als *taberna*, also als Verkaufsladen und/oder als Werkstatt gedient hat (s. o. Anm. 17). Für Letzteres könnte das Fragment eines Düsenziegels oder Tiegels sprechen (**139**), das in der am Ende von Phase 6 oder zu Beginn von Phase 7 eingebrachten Verfüllung der Bedienungsgrube von Praefurnium I gefunden wurde.

Spätestens in Phase 6 wurden auch die westliche Abschlussmauer von Raum B sowie die an Mauer 4 anstossende Mauer 9 errichtet (Abb. 80; Beil. 1), wobei offen bleiben muss, ob es sich dabei um die südliche Abschlussmauer oder um eine Binnenmauer gehandelt hat.

Im Zusammenhang mit diesen Baumassnahmen wird auch die in Phase 5 errichtete Abschlussmauer von *Raum C*, die Mauer 3A, weitgehend abgebrochen. Sie dient in der Folge als Fundament für die neu errichtete Mauer 3B. Der beim Abbruch von Mauer 3A angefallene Schutt wird zwischen Mauer 3B und der Heidenlochstrasse angeschüttet (Beil. 2C,14.15). Am Fusse dieser mehrheitlich aus lockerem Material bestehenden und vermutlich kaum begangenen Böschung wurde dann der mit Holzbrettern verschalte *Strassengraben* angelegt (Beil. 2C,18A.18B).

Der Bau von Mauer 3B und das damit verbundene Höherlegen des Gehhorizonts im Korridor (Beil. 2C,16.17) erfolgten sehr wahrscheinlich im Zusammenhang mit dem Bau des «Gelasses im Berg» (Raum D; Abb. 88). Raum D wird von der mit einer Nische ausgestatteten Mauer 12, der mit einer dachartigen Ziegelvorblendung gegen die Erd-

697 Die Wandmalereireste **275–278** könnten auch von Binnenwänden des Erdgeschosses stammen.

698 Vgl. dazu Schwarz 2004, 103 f., bes. Anm. 423 ff.

699 Vgl. Rychener/Sütterlin 2003, 85 ff. Abb. 27.

700 Vgl. dazu etwa Rychener/Sütterlin 2003, Abb. 27; 29; Schatzmann 2003, 227 f.; Fünfschilling 2006, Abb. 4.

701 Vgl. dazu etwa Kaiser/Sommer 1994, 374 ff. Abb. 263. – Zur Parzellierung in den *vici* vgl. Kaiser/Sommer 1994, 309 ff.; Thiel 2001, 88 ff., bes. Abb. S. 89.

702 Der Einbau von hypokaustierten Räumen im späteren 2. Jahrhundert liess sich z. B. auch im Quartier Kurzenbettli beobachten (Fünfschilling 2006, 77 ff., bes. Abb. 21).

703 Vgl. Wallace-Hadrill 1994, Abb. 5.12.

feuchtigkeit isolierten Mauer 11 und der Hangstützmauer gebildet. Das Fehlen einer westlichen Begrenzungsmauer und die Existenz einer von Westen nach Osten abfallenden Rampe in dem zwischen Mauer 1C und Mauer 3B liegenden Teil der Hinterfüllung der Hangstützmauer sprechen dafür, dass es sich bei Raum D um ein Treppenhaus gehandelt hat – auch wenn seinerzeit auf der Rampe keine Reste einer (Holz-)Treppe beobachtet worden sind.

Das etwa 3,5 m lange und 2,0 m breite Treppenhaus verband den auf der Höhe des Obergeschosses von Raum A liegenden Korridor (Raum C) mit dem auf dem Niveau der Neuntürmestrasse, d. h. rund 4 m tiefer liegenden Erdgeschoss von Raum E (Abb. 93). Der Zugang vom Treppenhaus in den nicht ergrabenen Raum E erfolgte durch einen *exedra*-artigen Durchbruch durch die Hangstützmauer (MR 1B).

Die jüngsten Funde aus der Bedienungsgrube von Praefurnium I (Beil. 2E,5A.5B) belegen, dass diese bis mindestens an den Anfang des 3. Jahrhunderts offen stand (Ensemble A6). Dies bestätigen auch die keramischen Funde aus der Planie in Raum C (Ensemble C6; Beil. 2C,15) sowie ein zwischen 180 und 192 n. Chr. geprägter As des Commodus. Demzufolge ist davon auszugehen, dass der eigentliche *terminus post quem* für die der Phase 6 zuweisbaren Baumassnahmen im früheren 3. Jahrhundert liegt.

Betrachtet man die in Phase 6, also im frühen 3. Jahrhundert, erfolgten baulichen Veränderungen im städtebaulichen Kontext, wird offensichtlich, dass die Verkürzung von Raum A resp. die Verbreiterung der Neuntürmestrasse nach Norden wahrscheinlich im Zusammenhang mit dem Bau des jüngeren szenischen Theaters erfolgte[704]. Dies, obschon der knapp 9 m breite Streifen zwischen den Strebepfeilern des Theaters und der südlichen Abschlussmauer resp. der Portikus von Raum A immer noch breit genug gewesen wäre, um die Neuntürmestrasse als Durchgangsachse benutzen zu können[705]. Die öffentlichen Baumassnahmen bzw. der sogenannte *zweite Bauboom* in Augusta Raurica hatten also offensichtlich auch Auswirkungen auf die strassenseitigen Teile von Insula 5/9[706].

Bemerkenswert ist der Einbau des auf den ersten Blick eher bescheiden wirkenden *cubiculum:* Beim Blick auf den Stadtplan fällt nämlich auf, dass solche mit Hypokaustheizungen ausgestatteten *cubicula* ein Charakteristikum der an Hanglagen errichteten Streifenhäuser bilden – dies nicht nur an der südlichen bzw. südwestlichen Hangkante des Kastelenplateaus[707]. Auch wenn die Gleichzeitigkeit dieser Baumassnahmen nicht erwiesen und sicher mit einer gewissen zeitlichen Staffelung zu rechnen ist, stellt sich doch die Frage, ob sie nicht gewissermassen einen Wohlstandsanzeiger darstellen und die sehr guten ökonomischen Rahmenbedingungen im *caput coloniae* am Ende des 2. und im frühen 3. Jahrhundert widerspiegeln[708].

In **Phase 7** (Abb. 325,6.7) wurden im Inneren der Räume A–D verschiedene kleinere bauliche Veränderungen vorgenommen (Abb. 100).

In Raum A wird der Feuerkanal von Praefurnium I zugemauert (Abb. 102): Das hypokaustierte *cubiculum* wird fortan durch einen aus Mauer 4 ausgebrochenen Feuerungskanal (Praefurnium II; Abb. 103) von Raum B aus beheizt. Der Bau der südlichen Abschlussmauer von Raum B (MR 9) muss folglich zu diesem Zeitpunkt bereits erfolgt sein.

Gesichert ist auch, dass in Raum A der ältere, in Phase 6 eingebrachte Hypokaustboden im *cubiculum* (Beil. 2D,1A) durch einen neuen Terrazzoboden (Beil. 2D,1B) ersetzt wurde. Das Fehlen der im Westteil des Hypokausts nachgewiesenen, während Phase 7 abgelagerten Holzkohle- und Ascheschicht (Beil. 2G,2) könnte überdies darauf hindeuten, dass der Umbau eine Reduktion der beheizbaren Fläche zum Ziel hatte (s. o. Anm. 219).

Kleinere bauliche Veränderungen sind im Bereich des Korridors bzw. des Treppenhauses fassbar: In Raum C wird der Stampflehmboden erneuert (Beil. 2C,17), Raum D wird neu verputzt und der Durchgang zu Raum E mit zwei Gladiatorendarstellungen ausgeschmückt (Abb. 111; 112).

Die Umbaumassnahmen erfolgten nach Aussage des vornehmlich keramischen Fundguts im Verlaufe der ersten Hälfte des 3. Jahrhunderts: Die jüngsten Funde aus dem Stampflehmboden in Raum C (Ensemble C7) sowie aus der Holzkohle- und Ascheschicht im Hypokaust des *cubiculum* in Raum A (Ensemble A7) liefern einen relativ genauen, um 220/230 n. Chr. anzusetzenden *terminus post quem*.

In grösserem Zusammenhang betrachtet, lassen sich die Befunde in Insula 5/9 dahingehend interpretieren, dass die wirtschaftliche Situation in der ersten Hälfte des 3. Jahrhunderts noch so gut gewesen sein muss, dass weiterhin Umbauten und Unterhaltsmassnahmen vorgenommen werden konnten. Wie der Verputz auf dem zugemauerten Praefurnium I oder die Wandmalereien in Raum D zeigen, erfolgten diese Umbauten offensichtlich sehr fachmännisch.

704 Vgl. Schwarz 1991a, 85 ff.; Hufschmid/Horisberger-Matter 2008, 176 ff. Abb. 44. – Der Abbruch von Teilen von Privatbauten zugunsten von öffentlichen Baumassnahmen konnte auch im Bereich der Umfassungsmauer des älteren szenischen Theaters und unter dem südlich des jüngeren szenischen Theaters gelegenen Platz in der Region 2A nachgewiesen werden. Vgl. dazu Schwarz 1991a, 86 f., bes. Abb. 79; Schwarz 1991b, 157 Abb. 1 sowie zu weiteren Beispielen aus Augusta Raurica Schwarz 2005b, 165 Anm. 75 f.

705 In diesem Zusammenhang sei auch auf die Beobachtungen im Bereich des Nordzugangs des Forums hingewiesen, wo unter der Hohwartstrasse und der Basilikastrasse ebenfalls ältere Mauerzüge der Insulae 9 und 10 beobachtet worden sind. Vgl. Stehlin, Akten H7, 12c, 35 f.; 39 f.; 44 ff. (Grabung 1929.052).

706 Zum Bauboom vgl. Furger 1994, 35 sowie die oben Anm. 694 angeführte Literatur.

707 Vgl. dazu etwa Schatzmann 2003, 227 f.; Fünfschilling 2006, Abb. 2; 4.

708 In den «normalen» Insulae manifestiert sich dieser in Form von Mosaikböden. Vgl. die Zusammenstellung der datierten Mosaiken bei Schmid 1993, Abb. 91.

Dass auch die öffentliche Hand ihre Aufgaben sicher bis gegen die Mitte des 3. Jahrhunderts wahrgenommen hat, zeigt die Aufkofferung der Heidenlochstrasse (Beil. 2B,12A).

Dazu in einem gewissen Widerspruch steht die auch in der unmittelbaren Nähe feststellbare *transformation en bidonville* im Verlaufe der ersten Hälfte des 3. Jahrhunderts[709]; so wurde beispielsweise der südliche Strassengraben der Heidenlochstrasse (Beil. 2C,18B) in den Phasen 6 und 7 nicht mehr regelmässig gereinigt und verfüllte sich allmählich mit Abfällen.

Zerstörung am Ende von Phase 7

Wie in Exkurs 1 (oben S. 275 ff.) dargelegt, muss davon ausgegangen werden, dass die Überbauung im Areal der Insulae 5/9 und 5 am Ende von Phase 7 um die Mitte des 3. Jahrhunderts durch ein überraschend eingetretenes Schadensereignis grossflächig zerstört worden ist (Abb. 255)[710].

Diese Zerstörungen lassen sich oft nur indirekt, anhand von jüngeren Befunden nachweisen, einerseits weil die entsprechenden Befunde nur punktuell untersucht worden sind (Abb. 256; 276; Beil. 2H) und andererseits weil die Schäden später in Phase 8 teilweise beseitigt worden sind (Abb. 260). Wie schwierig die Beurteilung und Einordnung der wenigen *in situ* erhaltenen Schadensbilder ist, zeigt z. B. das auf der Verfüllung des Hypokausts gefundene Mauerstück (Beil. 2G,5; vgl. S. 115 ff.).

Die Befunde in den Räumen A und B zeigen jedoch zweifelsfrei, dass am Ende von Phase 7 offensichtlich Mengen an (z. T. verbranntem) Fachwerkschutt anfielen, die in der Folge in Phase 8 ausplaniert wurden und in den Phasen 9–11 den Gehhorizont bildeten (Abb. 116,4).

In Raum A überdeckte der Fachwerkschutt einen am Ende von Phase 7 verbrannten Bretterboden. Reste eines ebenfalls am Ende von Phase 7 verbrannten Bretterbodens fanden sich auch im Treppenhaus (Raum D; Abb. 88,8; 93; 123,3). Für ein grösseres Schadensereignis spricht auch der im Strassengraben der Heidenlochstrasse beobachtete Ziegelversturz (Beil. 2C,18B). Im Westen ist die Verfüllung des Strassengrabens stark mit Ziegelschutt (Abb. 96,18B) durchmischt, im Osten bildeten die von Raum C stammenden Ziegel eine eigentliche Deckschicht (Abb. 232).

In zwei Fällen deutet die Zusammensetzung der *in situ* verbliebenen Mauer- und Brandschuttpakete darauf hin, dass die Brandkatastrophe durch das vermutete Erdbeben verursacht worden sein könnte (Abb. 263; 278).

Wiederinstandstellung (Phase 8) und *squatter occupation* (Phasen 9–11)

Wie einschneidend die grossflächigen Zerstörungen im Areal der Insulae 5/9 und 5 am Ende von Phase 7 gewesen sein müssen, lässt sich anhand von improvisiert wirkenden baulichen Veränderungen und der Aufgabe oder Umnutzung einzelner Räume nachweisen.

In Insula 5/9 wird das ausgebrannte Treppenhaus D mit Mauerschutt verfüllt (Abb. 122), der teilweise mit Brandschutt verfüllte Keller H wird nicht mehr freigelegt, sondern wahrscheinlich weiter mit Mauerschutt verfüllt (Abb. 264). In Raum A wird ein Grossteil der *pilae* entfernt und der Hypokaust mit Mauerschutt und anderem Planiematerial verfüllt (Beil. 2F,2.3; 2G,3). In Raum 21 in Insula 5 werden möglicherweise die Abdeckplatten der Heizkanäle entfernt und diese anschliessend mit Schutt verfüllt (Abb. 292).

In den Räumen, die nach Ausweis der Befunde und Funde wieder instand gestellt worden sind, manifestiert sich die Zäsur zwischen der kaiserzeitlichen Überbauung und der späteren Nutzung während der Phasen 9–11 in Form einer *transformation en bidonville*[711] resp. einer *squatter occupation*[712]. Nachweisen lässt sich diese anhand verschiedener Indizien:

- Ein Teil der am Ende von Phase 7 zerstörten kaiserzeitlichen Überbauung wird nicht instand gestellt und fällt wüst (Abb. 255,1.D).
- Aufgabe resp. Umnutzung von hypokaustierten Räumen (Abb. 126; 260; 291). Dabei wird keine Rücksicht auf den früheren Zustand bzw. die frühere Ausstattung genommen. So werden z. B. die kaiserzeitlichen Wandmalereien in Raum A beim Einrichten der Feuerstelle F4 zerstört, neben Raum H werden in einem ehemaligen Korridor Feuerstellen installiert (Abb. 263,15. 16).
- Verwendung von Spolien resp. von ausgeplünderten Hypokaustinstallationen (*pilae* und *suspensura*-Platten). Andeutungsweise fassbar wird auch die Ausplünderung von öffentlichen Monumenten, z. B. in Form eines Grossbronzefragments **(985)** oder anhand einer sicher von einem öffentlichen Monument (Schönbühl- oder Forumtempel?) stammenden Säulentrommel (Abb. 267).
- in der Zusammensetzung der Fundensembles: In diesem Zusammenhang sei namentlich auf die heterogene Zusammensetzung des «*in situ* verstürzten Hausratsinventars mit Larariumsstatuetten und Gerätschaften» aus Raum 21 (Abb. 293) sowie auf die Fundensembles aus dem Brandschutt in Raum A hingewiesen (vgl. dazu unten).
- Wechsel bei den Eigentumsverhältnissen resp. Reduktion des von einzelnen Personengruppen beanspruchten Platzes: Für diese Annahme spricht in erster Linie die Zumauerung des Durchlasses zwischen den Räumen A und B (Abb. 138).
- Umnutzung von Räumen, so z. B. durch den Einbau von Backöfen und Darren (Abb. 149; 151; 281; 285; 286; 295; 298)[713] bzw. von Binnenwänden, die sich nicht an der Flucht der kaiserzeitlichen Mauern orientieren (Abb. 126).

709 In diesem Sinne z. B. auch Engeler-Ohnemus 2006, 253 ff. sowie Schatzmann (in Vorb.). Vgl. in diesem Zusammenhang ferner J.-U. Krause/Ch. Witschel, Vorwort. In: Krause/Witschel 2006, 7–9.

710 Vgl. in diesem Zusammenhang aber auch Schatzmann 2006; Schatzmann 2007; Schatzmann (in Vorb.).

711 Vgl. dazu Schwarz 2002, 89 Anm. 323; S. 181 Anm. 657; S. 443 (mit Verweis auf ältere Literatur).

712 Zum Begriff vgl. Schwarz 2002, 27, bes. Anm. 92; S. 35 Anm. 134.

713 Vgl. dazu auch Petit 2005b, 178 f. Abb. 7c.d (mit weiterführender Literatur).

Der Zustand von Raum A zum Zeitpunkt der endgültigen Zerstörung am Ende von Phase 11

Besonders gut fassen lassen sich die Veränderungen während der *squatter occupation* in *Raum A* (Abb. 149). Der Zustand des Erdgeschosses von Raum A am Ende von Phase 11 kann wie folgt charakterisiert werden (Abb. 326):

- Im Osten, Westen und Norden wurde der Raum A – wie bereits in der Kaiserzeit (Phasen 2–7) – von den Mauern 2 und 4 sowie von der Hangstützmauer (MR 1C) begrenzt.
- Den südlichen Abschluss des Erdgeschosses bildete die neu errichtete Mauer 13. Bei Letzterer handelt es sich um ein massives Streifenfundament, auf dem offensichtlich eine Fachwerkwand stand (Abb. 149).
- Eine Türschwelle sowie ein Gewände mit Türanschlag zeigen, dass das Erdgeschoss weiterhin von der Neuntürmestrasse aus betreten werden konnte (Abb. 129).
- Der zugemauerte Durchlass in Mauer 4 (Abb. 138) zeigt, dass zwischen Raum A und (dem ebenfalls wieder instand gestellten) Raum B keine Verbindung mehr bestand.
- Das Erdgeschoss von Raum A war zum Zeitpunkt des Brandausbruchs am Ende von Phase 11 mit den Feuerstellen F4 und F5 sowie dem Backofen BO1ausgestattet (Abb. 151).
- Der Bereich des ehemaligen *cubiculum* war vom restlichen Teil von Raum A durch eine Fachwerkwand (MR 100) abgetrennt (Abb. 146). Die Fachwerkwand nahm Bezug auf die damals noch mindestens 2 m hoch erhaltene Mauer 7 und schloss dort an deren Mauerhaupt an. Mauer 100 und Mauer 7 bildeten folglich eine Art «Separee». Dessen Gehhorizont lag etwas höher als der strassenseitige Teil des Erdgeschosses (Abb. 152).
- Die dem Erdgeschoss zuweisbaren Funde, die Ensembles A11-F4, A11-GH und A11-EG zeigen, dass das Erdgeschoss zum Zeitpunkt des Brandausbruchs noch genutzt wurde.

Der Zustand des Obergeschosses von Raum A am Ende von Phase 11 (Abb. 326) lässt sich aufgrund der Beobachtungen im Brandschutt und der anderen Befunde wie folgt charakterisieren (Beil. 2D,4; 2G,14):

- Die Zusammensetzung des Brandschutts zeigt, dass es sich beim Obergeschoss um eine Lehmfachwerkkonstruktion ge-

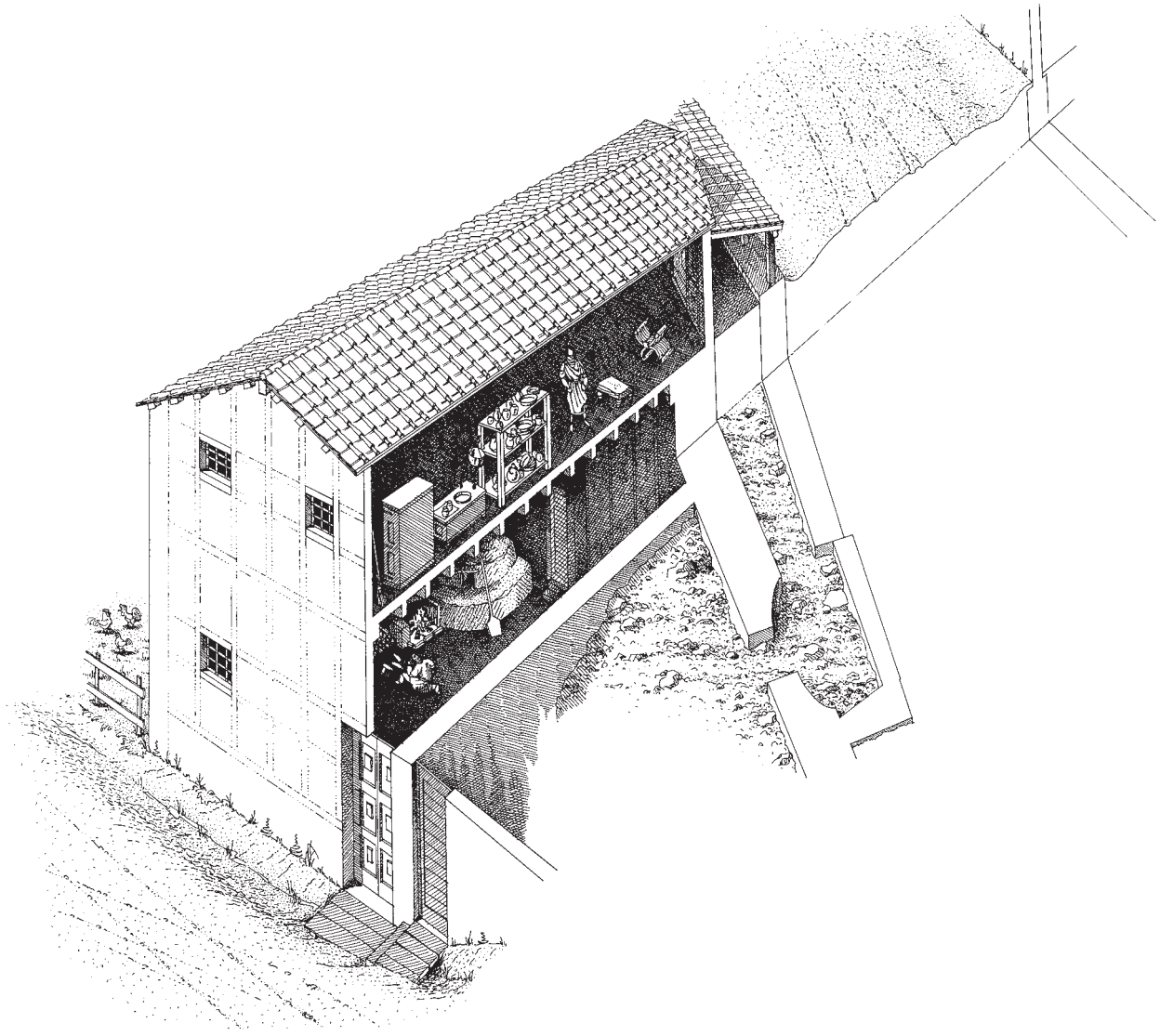


Abb. 326: Augst BL, Insula 5/9, Raum A (Grabungen 1965–1967.052 und 2002.063). Zeichnerische Rekonstruktion des Zustands von Raum A am Ende von Phase 11. Blick von Südosten.

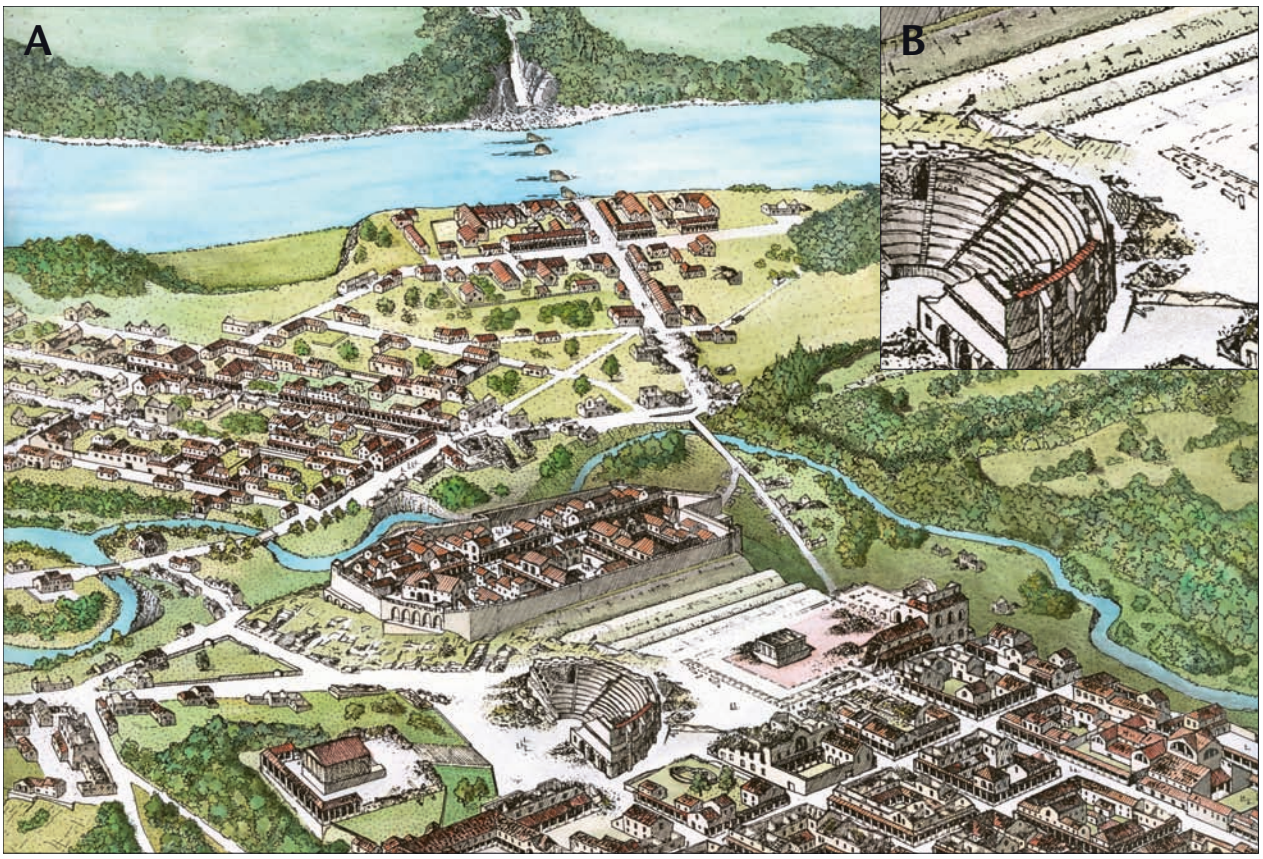


Abb. 327: Augst BL, Insula 5/9 (Grabungen 1965–1967.052 und 2002.063). Zeichnerische Rekonstruktion der Situation im Bereich des Kastelenplateaus nach dem Bau der enceinte réduite *in Phase 13 (**A**) und Detail (**B**) mit Situation im Bereich der Räume A–D nach dem Aushub des Wall-Graben-Systems. Ohne Massstab.*

handelt hat[714], deren Wände auf dem gemauerten Erdgeschoss standen. Aufgrund der Konstruktionsweise der südlichen Abschlussmauer des Erdgeschosses – Fachwerk auf gemauertem Sockel – ist davon auszugehen, dass auch die Südwand des Obergeschosses aus Fachwerk bestand. Offen bleibt, ob das Gefache mit Ruten versehen oder ob es lediglich mit Lehm und/oder mit vereinzelten Ziegelbruchstücken und Kalkbruchsteinen ausgefüllt war[715].

- Dass die Fachwerkwände des Obergeschosses verputzt und bemalt waren, zeigen Wandmalereireste[716].
- Der *Boden des Obergeschosses* ruhte offensichtlich auf rund 20 cm dicken, beim Brand aber fast restlos zerstörten Deckenbalken (Abb. 166).
- Die rund 40–50 cm langen «Lehmlagen», an denen zum Teil noch die Abdrücke und Negative von Spältlingen erkennbar waren, stammen vom Lehmestrichboden des Obergeschosses.
- Der Gehhorizont im Korridor (Raum C) zeigt, dass der Zugang zum Obergeschoss von der Heidenlochstrasse aus erfolgte (Abb. 149). Hinweise, die für die Existenz einer Innentreppe zwischen dem Erdgeschoss und dem Obergeschoss sprechen würden, fehlen.
- Die dem Obergeschoss zuweisbaren Funde in Ensemble A11-OG zeigen, dass das Erdgeschoss zum Zeitpunkt des Brandausbruchs noch genutzt wurde.

Wie oben (S. 159 ff.) dargelegt, kann davon ausgegangen werden, dass das Dach mit *tegulae* und *imbrices* gedeckt war und nicht mit Schindeln oder anderen organischen Materialien[717]. Gesicherte Hinweise zur Firstrichtung und zur Dachkonstruktion liegen nicht vor[718]: Praktische Überlegungen und die Tatsache, dass Raum B ebenfalls instand gestellt und bis ans Ende von Phase 11 genutzt worden ist, sprechen am ehesten für ein giebelständiges Sparrendach[719]. Die auf einer Fotografie (Abb. 133) zufällig festgehaltene

714 Zur Konstruktionsweise und zum nördlich der Alpen oft schwierigen Nachweis vgl. Kaiser/Sommer 1994, 350 f. – Namentlich bei den Wänden, die auf den kaiserzeitlichen Mauern (MR 2; MR 4; MR 1C) standen, wären auch Stampflehmwände denkbar.

715 In diesem Sinne auch Berger, Bericht 1966.052, 4. – Zur Rekonstruktion vgl. etwa Kraus/von Matt 1973, Abb. 161; Ginouvès/Martin 1985, 86 f. Taf. 14,4.5; Adam 1984, Abb. 134; 230–233; 281–283; 285; 286; 470. Laut Laur-Belart, Tagebuch, 02.08.1965 waren die Holzbalken möglicherweise auch mit Eisenklammern verbunden. Im Brandschutt fanden sich jedoch nur kleinere Baueisen und Nägel **(713, 717–719).**

716 Vgl. in diesem Zusammenhang auch Kaiser/Sommer 1994, Abb. 248; Grogräfe 1995, Abb. 40.

717 Vgl. dazu Kaiser/Sommer 1994, 349 f. mit zahlreichen Belegen sowie Ertl 2008, Abb. 13. Organische Materialien hätten zudem eine erheblich stärkere Dachneigung – zwischen 42° und 57° statt 15°–27° – bedingt.

718 Vgl. dazu Kaiser/Sommer 1994, 349 mit entsprechenden Beispielen.

719 Vgl. dazu Kaiser/Sommer 1994, 351 f., bes. Abb. 258.

Fundlage eines *imbrex* stützt die für die Rekonstruktionszeichnung gewählte Dachform (Abb. 326)[720].

Die Fülle der Funde aus dem Gehhorizont des Erdgeschosses sowie aus dem Brandschutt des Erd- und des Obergeschosses zeigt, dass Raum A am Ende von Phase 11 einer überraschend eingetretenen Brandkatastrophe zum Opfer fiel. Deren Ursache ist wahrscheinlich in den kriegerischen Ereignissen in den Siebzigerjahren des 3. Jahrhunderts zu suchen (vgl. dazu oben S. 22). Die hervorragende Erhaltung der Inventare aus dem Erd- und aus dem Obergeschoss ist darauf zurückzuführen, dass der Brandschutt in Raum A während der nachfolgenden Phase 12 nur sehr kurze Zeit offen lag und dann vom Aushub der Gräben der spätrömischen *enceinte réduite* in Phase 13 überdeckt wurde (Abb. 327).

Dank der guten Erhaltungsbedingungen und der an den damaligen Umständen gemessen sehr sorgfältigen Grabungsdokumentation und Protokollierung der Fundorte und Abbaueinheiten (Fundkomplexe) liess sich ziemlich genau eruieren, welche Objekte sich zum Zeitpunkt des Brandausbruchs im Erd- und welche sich im Obergeschoss befunden hatten.

Bei der Analyse des Fundmaterials aus dem Brandschutt wird folglich in erster Linie der Frage nachzugehen sein, ob Erd- und Obergeschoss eine funktionale Einheit gebildet haben, oder ob es sich um zwei selbstständige und von unterschiedlichen Personengruppen frequentierte Raumeinheiten bzw. Haushalte handelte. Des Weiteren wird abzuklären sein, ob das Erdgeschoss – wie bis anhin vermutet – als *taberna (cauponia* bzw. *vinaria)* bzw. Bäckerei *(pistrina)* genutzt wurde und ob im Obergeschoss tatsächlich ein militärischer Wachposten stationiert war.

Das Inventar von Raum A zum Zeitpunkt der endgültigen Zerstörung am Ende von Phase 11

Einleitende Bemerkungen und Begriffsdefinitionen

Unter dem Begriff «*Haushalt*» oder Englisch «household» verstehen wir in erster Linie alle Güter und Strukturen, die zu einem Haus gehören[721]. In der Antike gab es eine Einheit von Haushalt und ökonomischer Aktivität – die Ökonomik. Diese umfasste alle Tätigkeiten, die zur Erhaltung des Lebens im Allgemeinen dienten. Dabei wird die für den Bereich der Politik und für die Erhaltung der gemeinschaftlichen Werte aufgebrachte Aktivität präzis von der Tätigkeit für Haus und Familie unterschieden[722]. Die Interaktion und reziproke Konstellation von Haushalt und Staat ist für die Antike, das Mittelalter und die Frühe Neuzeit bis ins 18. Jahrhundert ein wichtiger Bestandteil der Gesellschaft – die Institution des «ganzen Hauses», das keine Trennung von Haushalt und Betrieb kannte, dominierte die Wirtschaft[723]. Eine prosperierende Wirtschaft und mit ihr eine reiche Produktion gründeten demnach auf der produktiven Wirksamkeit der einzelnen «Haushalte»[724].

Der moderne deutsche Begriff «Haushalt» bezieht den Faktor Mensch, der in einem Haus lebt und wirkt, stark mit ein. Da bei archäologischen Untersuchungen der Mensch bzw. die Besitzer nur in Ausnahmefällen fassbar werden, bevorzugen wir den Begriff «Hausrat» oder Hausinventar. Mit dem Terminus *Hausrat (lat. instrumentum)* «werden die Gegenstände miteinbezogen, die man zum täglichen Leben braucht und die den Hauptteil der beweglichen Habe ausmachen; dazu gehören in erster Linie Möbel, Tafel- und Küchengeschirr, Beleuchtungsgerät, [...] Schmuck, Kleider, Werkzeuge und ferner nach heutigem Verständnis Teile aus dem Bereich der Immobilien z. B. die Türen, Dachziegel [...]»[725].

Die Beschreibung eines Hausrats basiert folglich auf den Befunden und Funden, aus denen Rückschlüsse auf die Funktion des Hauses und auf die im Haus ausgeübten Aktivitäten abgeleitet werden können[726].

Bei einer auf archäologischen Quellen begründeten Definition und Rekonstruktion von Hausinventaren sind im Allgemeinen und bezüglich unserer zurückgelassenen Hausinventare im Speziellen einige Faktoren zu berücksichtigen[727]:

720 Vgl. in diesem Zusammenhang Ertl 2008, Abb. 13.

721 Neuere Untersuchungen zu Hausinventaren: Vgl. für Pompeji allgemein: Berry 1997; Berry 2007; Allison 1992; Allison 1997; Allison 1999, Allison 2004; für das Haus des Menander (I.10,4) in Pompeji: Allison 2006a; für das Haus der indischen Statuette in Pompeji: Fontaine 2009; für die Stadt Olynth: Cahill 2002; für das Auxiliarkastell Ellingen: Allison 2006b. Ferner vgl. auch Wallace-Hadrill 1994; Laurence/Wallace-Hadrill 1997. Zur Definition vgl. auch DNP 5, Sp. 211 ff.

722 Vgl. dazu: Arendt 1992, 18 f.: «Griechischem Denken gemäss ist die menschliche Fähigkeit für politische Organisation von dem naturhaften Zusammenleben, in dessen Mittelpunkt das Haus und die Familie stehen, nicht nur zu scheiden, sie steht sogar in einem ausgesprochenen Gegensatz dazu». Vgl. ferner Richarz 1991, 17; 23 f. oder Wallace-Hadrill 1994, 118–141.

723 Ipsen 1992.

724 Wallace-Hadrill 1994, 95.

725 DNP 5, Sp. 1022 f.

726 Vgl. in diesem Zusammenhang auch Cooley/Cooley 2008, 162 mit H10 und 116 mit F18: An der Fassade einer Gaststätte ist einerseits ein gemaltes Reklameschild mit einem Phoenix und andererseits an an derselben Aussenwand eingeritztes Wahlgraffito eines Euxinus erhalten geblieben. Darüber hinaus wurden zahlreiche Amphoren mit der Aufschrift *«Pompeiis ad Amphitheatrum – Euxino coponi»* (sinngemäss «in Pompeji, beim Amphitheater, an den Wirt Euxinus») gefunden.

727 Zu den methodischen Möglichkeiten und Einschränkungen der Aussagekraft solcher Inventare vgl. etwa Fontaine 2009; Allison 2006a; Allison 2006b, 397; Allison 1999, 57–60; Allison 1997, 112–122 (jeweils mit weiterführender Literatur).

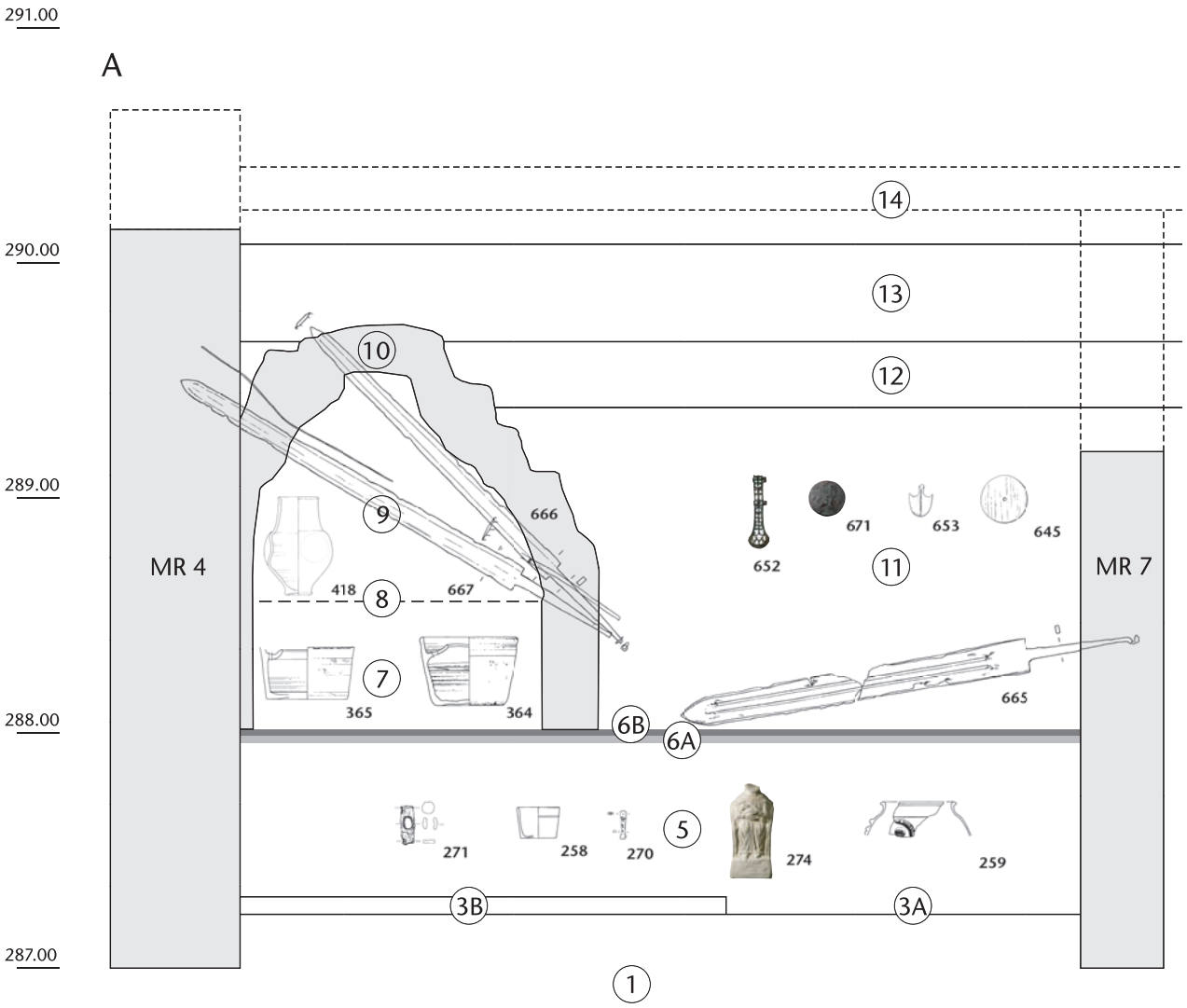


Abb. 328: Augst BL, Insula 5/9, Raum A (Grabungen 1965–1967.052 und 2002.063). Rekonstruiertes Idealprofil A–B mit Projektion der verschiedenen Ensembles aus Raum A. In den Ensembles wurden jeweils die wichtigsten Funde aus den Bereichen Geschirr, Militaria, Kult und Schmuck mit eingefügt. M. 1:30 (Profil) bzw. M. 1:12 (Funde). ***1*** *Anstehender Kies;* ***2*** *Gehhorizonte und Planien (Ensembles A2–A6);* ***3A*** *Unterboden des Hypokausts (Ensemble A6-1);* ***3B*** *Ascheschicht (Ensemble A7);* ***4*** *Mörtelboden (Ensemble A6-2);* ***5*** *durchwühlter, zum Teil eingefüllter Schutt (Ensemble A8);* ***6A*** *Mörtelboden (Ensemble A9);* ***6B*** *Ablagerungen (Ensembles A11-F4, A11-F5 und A11-GH);* ***7*** *Schuttauffüllung Backofen (Ensemble A11-EG);* ***8*** *Feuerplatte Backofen (Ensemble A11-EG);* ***9*** *Feuerraum (Ensemble A11-GH);* ***10*** *Kuppel;* ***11*** *Brandschutt (Ensembles A11-EG und A11-OG);* ***12*** *Mauerschutt;* ***13*** *Aushub Graben (Ensemble A12);* ***14*** *Humuskante (Ensemble A15).*

- eine mögliche Vermischung des Hausrats zwischen Erdgeschoss und Obergeschoss: Obwohl sich die einzelnen Fundobjekte mit einiger Sicherheit dem Ober- bzw. dem Erdgeschoss zuweisen lassen, liegen Passscherbenverbindungen vor (z. B. **576).** Diese sind entweder auf die manchmal grossen Abbaueinheiten, auf die nicht immer gut voneinander trennbaren und benachbarten Fundkomplexe, auf Verwechslungen bzw. Vermischungen bei der Inventarisation oder aber auch auf Verlagerungen beim Brand bzw. Einsturz des Obergeschosses zurückzuführen.
- Wie das rekonstruierte Idealprofil (Abb. 328) durch Raum A aufzeigt, stammen die Ensembles A11-GH, A11-EG und A11-OG aus unterschiedlich mächtigen Schichten: Der Brandschutt des Obergeschosses, aus dem Ensemble A11-OG stammt, ist weit mächtiger als die entsprechenden Brandschichten des Erdgeschosses.
- Wie bereits ausgeführt, wurden bei der Inventarisierung der Funde aus der Grabung 1965–1967.052 zahlreiche Keramikfragmente ausgeschieden[728]. Diese Tatsache erschwert heute eine Zuweisung einzelner Gefässe zu einem Geschirrensemble[729]. Falls Geschirrinventare im Haus standen, müsste man

728 Vgl. oben S. 25 ff. Für Augusta Raurica vgl. ferner Schwarz 1995a, 62. Das gleiche Problem stellte sich z. B. auch in Olynth: Cahill 2002, 68.

729 Die Selektion bei der Inventarisierung ist jedoch nicht der einzige Grund. Oftmals sind Räume mit Keramikinventaren nicht vollständig ausgegraben (vgl. Schucany 2006, 381–386).

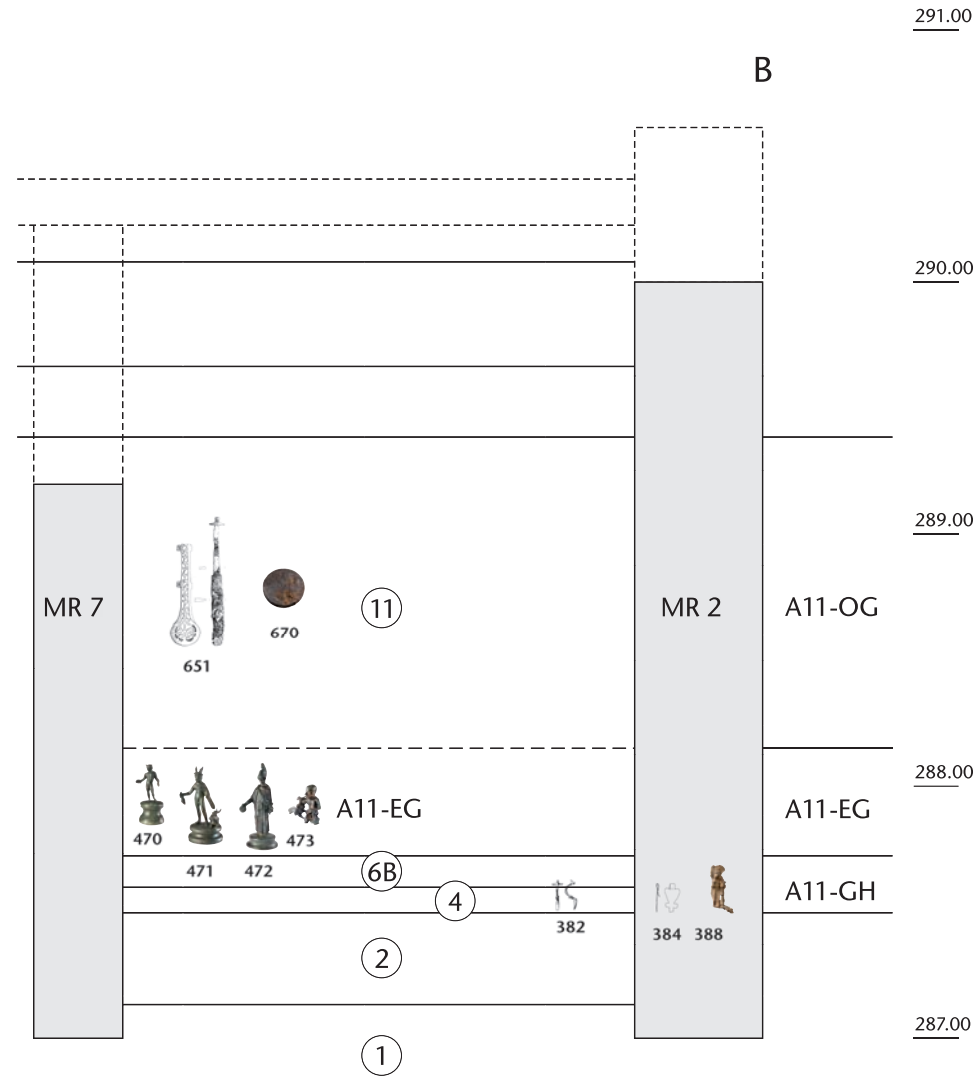


Abb. 328 (Fortsetzung).

davon ausgehen, dass die einzelnen Gefässe mit mehreren zugehörigen Fragmenten nachweisbar sind. De facto ist jedoch oftmals nur ein Teil eines Gefässes vorhanden. In diesen Fällen stellen sich dann mehrere Fragen: Wie viele Fragmente müssen vorhanden sein, um beispielsweise einen Becher zum Geschirrinventar zählen zu dürfen? Darf eine Mindestanzahl angeführt werden, die alle Ränder und übrige Gefässfragmente individualisiert? Wie die Fundzusammenstellungen für die Ensembles A11-GH, A11-EG und A11-OG im Katalog aufzeigen, haben wir uns entschieden, gegebenenfalls auch einzelne Wandscherben als Individuum anzusprechen.

- Des Weiteren stellt sich die Frage, wie Altstücke zu bewerten sind. In den Ensembles A11-GH, A11-EG und A11-OG liegen Keramikfragmente vor, die teilweise bis zu einigen Generationen früher zu datieren sind als das Gros der Funde. Die Becher **518–525** aus Ensemble A11-OG sind beispielsweise bis zu zwei Generationen davor schon in Gebrauch gewesen. Davon könnten allenfalls einige Gefässe zusammen mit den jüngeren Formen verwendet worden sein – in einem modernen Hausrat finden sich ja auch immer ältere Erbstücke. Andere Altstücke, die in das 1. und 2. Jahrhundert datieren (vgl. z. B. **491** aus Ensemble A11-OG), müssen jedoch auf andere Weise in das Inventar gelangt sein. In Ensemble A11-GH beträgt der Anteil der Altstücke 3,7%, in Ensemble A11-EG 2,8% und in Ensemble A11-OG rund 7,4%[730]. Der grösste Teil an Altfunden findet sich demnach in Ensemble A11-OG.
- Ein weiterer wichtiger Faktor kann mit dem Begriff interne bzw. externe Dynamik umschrieben werden. Erstere entsteht dadurch, dass im Inneren eines Gebäudes oftmals keine klar

730 Ensemble A11-GH: fünf Altfunde auf 132 Individuen; Ensemble A11-EG: elf Altfunde auf 381 Individuen; Ensemble A11-OG: 54 auf 728 Individuen. Zu den Altfunden wurden alle südgallischen Terra-Sigillata-Fragmente, Terra-Sigillata-Imitationen des 1. Jahrhunderts, Glanztonbecher mit Karniesrand und Gebrauchskeramik wie z. B. Schultertöpfe, Kragenrandschüsseln oder auch handgemachte Kochtöpfe mit leicht gerilltem Rand gezählt. Beim Geschirrschrank im Gewerbekomplex Kaiseraugst-Schmidmatt ist der Anteil an alten Keramikformen offenbar deutlich geringer. Allerdings sind bei der Auswertung nicht alle Funde aus dem Keller berücksichtigt worden (vgl. Furger 1989a, 217 f. Abb. 5).



Abb. 329: Augst BL, Insula 5/9, Raum A (Grabung 1965–1967.052). Auswahl von ganz erhaltenen bzw. rekonstruierten Gefässen aus Ensemble A11-GH. Im Uhrzeigersinn von oben: ***364****,* ***365****,* ***337*** *und* ***349****.*

abgegrenzten Funktionsbereiche bestanden, das heisst, es wurde – sei es gleichzeitig oder nacheinander – gearbeitet, gekocht, gespielt, Vorratshaltung betrieben und gewohnt[731]. Als Beispiel für den Faktor «externe Dynamik» können zwei Depots von Keramikhändlern aus Lausanne und Oberwinterthur erwähnt werden: Zum Zeitpunkt der Zerstörung waren zahlreiche Keramikgefässe eingelagert, die noch nicht an die Endverbraucher weitergeleitet worden waren[732].

- Die Wohn- und Arbeitsräume waren – wie heutzutage – mit Mobiliar und Apparaturen ausgestattet, die entweder fest installiert oder auch als bewegliche Habe im Raum standen. Fest installierte Einrichtungen können in der Archäologie verschiedenste Spuren hinterlassen, sei es beispielsweise in Form der Drehpfanne einer Tür oder von Wandnischen.
  Anhand der beweglichen Habe lässt sich die Funktion eines Raumes oder einzelner Raumteile wesentlich schwieriger bestimmen. Es kann lediglich versucht werden, aussagekräftige Verteilungsmuster zu erstellen, die Rückschlüsse auf mögliche Aktivitäten[733] und/oder Warenstandorte innerhalb des Raumes erlauben[734].
  Solche Verteilungsmuster sind allerdings mit gebotener Vorsicht zu interpretieren, da sie nicht mehr als eine Momentaufnahme eines Prozesses widerspiegeln. So stand der im Backofen BO1 gefundene Becher **418** normalerweise wohl auf einem Gestell oder auf einem Regal und wurde nur temporär – vermutlich zur Warmhaltung des flüssigen Inhalts – in den Backofen gestellt.
- Erschwert wird die Interpretation von möglichen Hausinventaren letztlich auch durch die Mehrfachfunktion einzelner Objekte[735]. Dies gilt für den eben erwähnten Becher **418,** aber auch für manch anderen Gefässtyp, wie beispielsweise für die Teller mit eingebogenem Rand **347–349,** die als Backplatten für das Kochen von Auflaufgerichten, aber sicher auch zum Auftragen von Speisen oder als Essteller verwendet worden sind[736].
  Multifunktional waren schliesslich auch die Futteralbeschläge **651** und **652:** Die darin aufbewahrten Messer wurden im täglichen Gebrauch zum Tranchieren oder als Essbestecke ge-

731 Wie z. B. in Bliesbruck-Reinheim (vgl. Petit 2005a, 99 f.; 115; 166 f.), in London (vgl. Hall 2005, 127 f. Abb. 8.1) oder in Pompeji (vgl. Allison 1997, 127 f.).

732 Zu Lausanne vgl. Kaenel u. a. 1982, 106 Abb. 10; zu Oberwinterthur vgl. Ebnöther/Eschenlohr 1985, 251 Abb. 1 sowie unten S. 388 f.

733 Vgl. z. B. Furger/Riederer 1995, 139–145 Abb. 6–8.

734 Geschirrgestelle fanden sich z. B. im Gewerbekomplex Kaiseraugst-Schmidmatt (Furger 1989a, 252–254 Abb. 94; Schaub 2007, 142–144 Abb. 25), im Gutshof Worb-Sunnhalde (Ramstein 1998, 111 f. Abb. 133).

735 Für Olynth: Cahill 2002, 71; für Pompeji: Allison 1999; Allison 2006a, 38; 373 ff.

736 Vgl. Furger/Deschler-Erb 1992, 89–91; Fünfschilling 2006, 152 (zur Verwendung von Schüsseln als Koch- und Serviergeschirr vgl. ebd. 149); Schucany 2006, 377; Martin-Kilcher/Schatzmann 2009, 144 Anm. 605.

braucht, und zwar sowohl von Zivilisten als auch von Militärangehörigen[737].

Trotz dieser Unsicherheiten kann davon ausgegangen werden, dass eine Analyse der drei Ensembles aus dem Brandschutt von Raum A Hinweise auf die Funktion des Erd- und des Obergeschosses und damit auch Rückschlüsse bezüglich der sozialen Stellung der Bewohner erlaubt.

Für eine Rekonstruktion der Hausinventare ist ferner wesentlich, dass die Ensembles A11-GH und A11-F4 – beide stammen aus dem Gehhorizont – dem Ensemble A11-EG zuzurechnen sind. Dass die Funde aus dem letzten, jüngsten Gehhorizont in der Befund- und Fundvorlage getrennt vorgelegt wurden, drängte sich aufgrund der Befundsituation auf: Ensemble A11-GH umfasst einerseits Funde, die während der Phasen 9–11 in den Boden gekommen sind, andererseits auch Objekte, die zum Zeitpunkt des Brandausbruchs offensichtlich auf dem Boden standen oder in Bodennähe aufbewahrt wurden. Letzteres bezeugen namentlich die beiden Milchtöpfe **364** und **365** (Abb. 329). Ensemble A11-F4 beinhaltet dagegen Funde, die aus dem Bereich der Feuerstelle F4 kommen. Dennoch umfassen sie zugleich auch Teile des Gehhorizonts. Aus dieser Befundsituation heraus werden nun die Funde A11-F4 mit dem Ensemble A11-GH zusammengeführt, um dem gesamten Fundspektrum des Gehhorizonts gerecht zu werden. Die zu einem Ensemble zusammengeschlossenen Ensembles A11-GH und A11-F4 werden nachfolgend als Ensemble A11-GH/F4 bezeichnet.

Ensemble A11-GH/F4 sowie die Ensembles A11-EG und A11-OG werden nachstehend unter dem Aspekt der Fundgruppen, d. h. der Keramik, Geschirr aus Glas, Bronze oder Eisen, Hausratsgeräte, Hausausstattung, Schmuck/Tracht oder Toilettgerät, Spiel, Handwerk, Militaria, Münzen, Bauteile sowie Wandverputz, Architekturelemente und Lehmfragmente besprochen. Dabei ist jeweils zu berücksichtigen, dass sich Funde aus Holz wie etwa Schüsseln, Fässer, Deckel, Halbfabrikate, Werkzeuggriffe usw. oder aus anderen organischen Materialien nicht erhalten haben[738]. Dass Objekte aus organischen Materialien zum Hausrat gehört haben, zeigen die möglicherweise in Holzgefässen aufbewahrten Getreidevorräte in den Räumen A und B[739].

Die Fundgruppen der Ensembles A11-GH/F4 und A11-EG werden zunächst einzeln vorgelegt, danach werden die Fundvergesellschaftung bzw. die Fundlage und die Fundverteilung im gesamten Erdgeschoss anhand der Ensembles A11-GH/F4 und A11-EG ermittelt. Dasselbe Prinzip wird dann auch für das Ensemble A11-OG angewendet.

Unter dem Begriff *Keramikgattung* werden im Folgenden Terra Sigillata, Imitation, Glanztonware, orange- und grautonige Feinkeramik, Kochware und Amphoren zusammengefasst; der Begriff *Gefässfunktion* bezieht sich auf die Verwendung der Gefässe als Teller, Becher, Schüssel, Vorratsgefäss o. ä.

Keramikgattungen/Gefässe aus dem Ensemble A 11-GH/F4	Total (MIZ)	Anteile in %
glatte Terra Sigillata	25	17
reliefierte Terra Sigillata	2	1
Terra-Sigillata-Imitation (ohne späte Imitation)	1	1
Glanztonkeramik	49	33
Späte Imitationen	–	–
orange Gebrauchskeramik	45	30
graue Gebrauchskeramik	11	7
Kochkeramik	16	11
Reibschüsseln	1	1
Amphoren	–	–
Total	150	100

Abb. 330: Augst BL, Insula 5/9, Raum A (Grabungen 1965–1967.052 und 2002.063). Ensemble A11-GH/F4. Anzahl Gefässe (MIZ) und prozentuale Anteile nach Keramikgattungen. Basis: Abb. 170; 172.

Hausrat und Mobiliar aus Ensemble A11-GH/F4

Keramik

Der Grossteil der Keramik (88%) aus Ensemble A11-GH/F4 umfasst Glanztonware, orange- und grautonige Gebrauchskeramik sowie glatte und reliefierte Terra Sigillata. Wie Abbildung 330 zeigt, stellt die Kochkeramik 11%, die Reibschüsseln weniger als 1%[740]. Auffällig ist, dass sich in Ensemble A11-GH/F4 keine einzige Amphore fand[741].

Auf Abbildung 331 sind die Keramikgefässe zu Funktionseinheiten zusammengefasst, obschon eine funktionale Zuweisung immer auch mit Unsicherheiten und Uneindeutigkeiten behaftet ist[742]. Wenn die Terra Sigillata und die Gebrauchskeramik (ohne Kochtöpfe, Töpfe, Deckel und Reibschalen) zusammengefasst werden, ist der Anteil an

737 Berger 2002, 13.

738 Hölzerne Schüsseln, Fässer und Deckel konnten z. B. aus Brandschichten aus der Mitte des 3. Jahrhunderts im Gutshof Worb-Sunnhalde nachgewiesen werden (Ramstein 1998, 85). Zu den Holzfunden aus Vitudurum und Tasgetium vgl. Hedinger/Leuzinger 2002; zu den Holzfunden aus Vindonissa vgl. Fellmann 2009; zu den Korb- und Seilerwaren vgl. Gaitzsch 1986.

739 Vgl. dazu den Beitrag von A. Schlumbaum, oben S. 234 f.

740 Die Reibschalen werden in der Folge konsequent als Küchengeschirr angesprochen, auch wenn Reibschalen aus Terra Sigillata vermutlich eher an der «Tafel» zur Verwendung kamen (Cool 2006, 46).

741 Die verschollene Amphore **315** stammt aus Ensemble A11-BO1. Dieses umfasst die Funde aus der Ofenbank von Backofen BO1. Aufgrund der unklaren Befundsituation kann es nicht sicher dem Ensemble A11-EG zugewiesen werden (vgl. oben S. 149 ff.).

742 Vgl. z. B. Fünfschilling 2006, 133; Schucany 2006, 376.

Funktion/Form	Anzahl gesamt (MIZ)	Anteile in Prozent
Tafel-/Auftragsgeschirr	**125**	**83**
• Becher	53	35
• Schälchen	11	7
• Teller/Platten	30	20
• Schüsseln	27	18
• Krüge/Flaschen/Kannen	4	3
Kochgeschirr	**20**	**13**
• Kochtöpfe	18	12
• Reibschalen	2	1
Vorratsgeschirr	**3**	**2**
• Töpfe	–	–
• Deckel	3	2
• Amphoren	–	–
Kult	**2**	**1**
Total	**150**	**100**

Abb. 331: Augst BL, Insula 5/9, Raum A (Grabungen 1965–1967.052 und 2002.063). Ensemble A11-GH/F4: Anzahl Gefässe (MIZ) und prozentuale Anteile der Gefässformen. Basis: Abb. 170; 172.

Funktion	Anzahl	Kat.
Glas		
Becher	◊◊◊	**332, 371,** o. Abb.
Becher oder Flasche?	◊	**374**
Töpfchen	◊	**372**
Krug	◊	**373**
Indet.	◊	o. Abb.
Bronze	–	–
Eisen	–	–
Stein	–	–

Abb. 332: Augst BL, Insula 5/9, Raum A (Grabungen 1965–1967.052 und 2002.063). Ensemble A11-GH/F4: Zusammenstellung der nichtkeramischen Gefässe. Basis: vgl. die entsprechenden Fundkataloge (S. 160 ff.).

Tafel- oder Auftragsgeschirr erstaunlich hoch[743]. Insgesamt wurde 83% der Keramik als «feines» Geschirr, d. h. als Tafelgeschirr «am und bei Tisch» eingesetzt. Davon entfallen 35% auf die Becher.

Kochgeschirr ist mit 13% nicht sehr häufig und die Vorratsgefässe sind mit 2% auffällig schwach vertreten. Dies könnte darauf hindeuten, dass für die Vorratshaltung vornehmlich Säcke, Körbe oder Holzgefässe verwendet wurden. In diese Richtung weisen ja auch die bereits erwähnten Holzreste in den verbrannten Getreidevorräten.

Zusammenfassend kann festgehalten werden, dass der Anteil an Tafel- oder Auftragsgeschirr im Ensemble A11-GH/F4 signifikant hoch ist, wobei namentlich der Anteil an Bechern (35%) auffällt. Die Teller und Platten mit 20% und die Schüsseln mit 18% folgen diesen Werten bereits mit einem gewissen Abstand. Bemerkenswert sind die kleineren Anteile von Schälchen (7%), Krügen (3%) und Reibschalen (1%). Der niedrige Anteil an Krügen kann chronologisch gewertet werden; es scheint, dass im 3. Jahrhundert Krüge generell seltener geworden sind[744].

Eine ähnlich hohe Anzahl an Bechern findet sich in Augusta Raurica in der nordwestlichen und in der nordöstlichen Verfüllung eines Abwasserkanals an der Nordwestfront der Frauenthermen[745]. Daraus lässt sich ableiten, dass Becher einen wichtigen Bestandteil der Geschirrinventare des 3. Jahrhunderts bildeten, aber – wie der Vergleich mit Ensembles aus anderen Fundkontexten zeigt – noch keine zwingenden Rückschlüsse auf die Funktion eines bestimmten Raums zulassen (vgl. dazu auch unten S. 391).

Geschirr aus Glas, Bronze, Eisen und Stein

Geschirr aus Bronze, Eisen oder Stein fehlt in Ensemble A11-GH/F4 vollständig (Abb. 332). Die insgesamt sieben Glasgefässe aus dem Ensemble umfassen drei Becher, ein wohl ebenfalls als Becher verwendetes «Töpfchen»[746] sowie einen Krug. Ein weiteres Glasgefäss kann nicht näher bestimmt werden. Die drei Becher (**332, 371** und o. Abb.), der Becher oder die Flasche (?) (**374**) sowie der kleine Topf oder Becher **372** mit Fadenauflage passen mit ihrer Datierungszeitspanne gut zum keramischen Geschirrinventar[747]. Beim Krug **373** könnte es sich um ein Vorratsgefäss oder um einen Bestandteil des Tafelgeschirrs gehandelt haben.

Kleinfunde

Wie Abbildung 333 zeigt, umfasst das Inventar von Ensemble A11-GH/F4 verschiedene weitere Fundgruppen, die zum Hausrat gerechnet werden.

Hausratsgeräte

Das Messer mit geradem Rücken **387** ist das einzige Objekt, das dieser Kategorie zugeschrieben werden kann. Es besitzt eine im Griff verankerte Angel, die mit einem vierkantigen

743 Die Teller aus Terra Sigillata und aus orangetoniger Gebrauchskeramik (z. B. Teller mit eingebogenem Rand) finden sich beim Tafel- und Auftragsgeschirr. Die Rubrik «Schüssel» umfasst Schüsseln aus Terra Sigillata sowie orange- und grautonige Schüsseln. Viele Teller mit eingebogenem Rand und orangetonige Schüsseln besitzen einen Überzug und könnten folglich auch als Auftragsgeschirr verwendet worden sein. Darunter finden sich aber auch Exemplare, die Brand- und Schmauchspuren aufweisen, die nicht zwingend bei der Brandkatastrophe entstanden sind.

744 Vgl. dazu auch Schmid 2008, 165 Abb. 110,7.

745 Im Nordostabschnitt des Kanals wurden 55 Becher gefunden (Hoek 1991, 119 Tabelle 2), in der unteren und oberen Abfallschicht bei der Nordwestecke der Frauenthermen 177 Becher (Engeler-Ohnemus 2006, 242; 316 f. Abb. 23 Tabelle 17). Zu den hohen Becheranteilen in den späten Siedlungsschichten aus Augst vgl. auch Schmid 2008, 164 Abb. 111,1.

746 Vgl. Rütti 1991/1, 89.

747 Zur Datierung der Glasbecher und Glastöpfe vgl. Rütti 1991/2, 70 (Form AR 60.3/Isings 96b2); 90 f. (Form AR 98.1/Isings 85b); 102 (Form AR 104.2/Trier 37).

Funktion	Anzahl	Kat.
Haushaltsgeräte		
• Messer	◊	**387**
Hausausstattung		
• Beleuchtung	◊	**370**
• Einrichtung	◊◊	**386,** o. Abb.
• Kult	◊	**388**
Privatgebrauch		
• Schmuck/Tracht	◊◊◊◊◊◊◊◊	**375, 376, 381, 382,** o. Abb.
Spiel		
• Spielsteine	◊◊◊	**378,** o. Abb.
Handwerk		
• Werkzeug	◊◊	**377, 389**
• Halbfabrikate	◊◊	**379, 380**
Militaria	◊	**384**
Bauteile	◊◊◊◊	**333, 385, 390,** o. Abb.
Münzen	◊◊◊◊	**331, 367–369**

Abb. 333: Augst BL, Insula 5/9, Raum A (Grabungen 1965–1967.052 und 2002.063). Zusammenstellung der Kleinfunde aus Ensemble A11-GH/F4. Basis: vgl. die entsprechenden Fundkataloge (S. 160 ff.).

Zwischenstück abgesetzt ist[748]. Obschon die halbrunde Schneide stark korrodiert ist, kann es der Gruppe der Hau- oder Hackmesser zugeordnet und als Fleischermesser angesprochen werden.

Hausausstattung

Die einfache Lampe **370** ist so stark fragmentiert, dass offen bleiben muss, ob sie eine Schnauze und/oder einen Henkel besass. Der Schlüssel **386** – ein zweiter Schlüssel ist zurzeit nicht auffindbar – kann der Gruppe der Schiebeschlüssel mit geradem Bart und Ringöse zugeordnet werden[749].

Eher ungewöhnlich ist das aus Blei gefertigte Votivfigürchen **388**. Leider ist es so stark beschädigt, dass es sich keinem bestimmten Kultbild zuschreiben lässt[750].

Schmuck und Trachtbestandteile

Bei insgesamt acht Objekten handelt es sich um Schmuckteile. Darunter befinden sich fünf Haarnadeln, davon vier aus Bein und eine aus Bronze. Zwei Haarnadeln aus Bein sind einfach gestaltet. Das Exemplar mit dem kleinen Balusterkopf **375** ist in Augusta Raurica eher selten und lässt sich – wie auch die Haarnadel mit Zwiebelkopf **376** – in die Jahre zwischen 170 und 280 n. Chr. datieren[751]. Die bronzene Haarnadel mit Pilzkopf **381** ist auch nicht häufig. Dieser Typ kommt im 1. Jahrhundert auf, ist aber noch im 2. und 3. Jahrhundert belegt.

Die drei Haarnadeln (und wohl auch die anderen beiden) lassen sich demzufolge in den gleichen Zeitraum datieren wie der Grossteil der Keramik aus Ensemble A11-GH/F4. Dies gilt auch für die Fibel **382**. Solche Fibeln mit kurzen Scharnierarmen und kammförmigem Bügel des Typs Riha 6.3, die in Augusta Raurica ebenfalls selten sind, werden wegen ihrer formalen Ähnlichkeiten mit den Armbrustfibeln des Typs Riha 6.4 als typische Soldatenfibeln angesprochen[752].

Bei der Fuchsschwanzkette **383** lässt sich nicht mit Sicherheit feststellen, ob es sich tatsächlich um eine im 3. Jahrhundert durchaus geläufige Schmuckkette handelt[753]. Denn der kleine Durchmesser von 0,4 cm spricht nicht gegen eine Verwendung als Aufhängevorrichtung einer Lampe oder eines anderen Geräts wie z. B. einer Waage[754].

Spiel

Die drei *tesserae* mit konzentrischen Kreisen ohne Stege werden – im Gegensatz zu denjenigen mit Stegen – erst ab dem 2. Jahrhundert geläufig[755]. Zwei der drei *tesserae* sind mit 22 und 23 mm in etwa gleich gross und mit 3 mm gleich hoch. Der Durchmesser der dritten *tessera* ist etwas kleiner (19 mm), dafür ist sie etwas höher (4 mm). Ob diese drei Spielsteine ausreichten, um gegebenenfalls ein Spielset zu bilden, lässt sich nicht feststellen[756].

Handwerk

Zu dieser Kategorie gehören die Nähnadel **377**, die Halbfabrikate **379** und **380** sowie die für die Produktion von Vierkantflaschen verwendete Formplatte **389**. Nähnadeln

748 Ein ähnliches, jedoch besser erhaltenes und grösseres Messer findet sich bei Fünfschilling 2006, 180 Taf. 157,3091.3092 und bei Fellmann 1990, Taf. 36,116; 37,121.122.

749 Vgl. Fünfschilling 2006, 190 Taf. 161,3172; Schaltenbrand 1996, 175 f. Taf. 56; 57.

750 Vgl. oben S. 163 f. Ein weiteres aus Blei gefertigtes Weihefigürchen einer Venus fand sich in einem Geschirrdepot des 3. Jahrhunderts im Lagerdorf des Kastells Langenhain (D). Vgl. dazu Simon/Köhler 1992, 15; 107. – Interessant ist in diesem Zusammenhang ein Ensemble aus dem Schiffswrack von Comacchio (Prov. Ferrara, I). Dort fanden sich – zusammen mit bronzenem Tafel- und Küchengeschirr, Toilettgerät, grossen Mengen an Keramik, Tonlampen sowie Körben und Holzbehältern – sechs *aediculae* aus Blei mit Götterstatuetten. Das Ensemble kann anhand einer Münze des Sextus Pompeius in die Jahre zwischen 45 und 27 v. Chr. datiert werden. Die Götterstatuetten (Venus, Amor und Merkur) in den *aediculae* sind alle zwischen 3 und 7 cm hoch. Sie sind also sehr klein und können mit unserem Fragment (noch 6,5 cm) verglichen werden (vgl. Martin-Kilcher/Schatzmann 2009, 94 f.; Kaufmann-Heinimann 1998, 290 Abb. 254 mit weiterer Literatur).

751 Deschler-Erb 1998, 163; 165 Abb. 237.

752 Vgl. Riha 1979, 165; Riha 1994, 22; 145.

753 Riha 1990, 76.

754 Vgl. Fünfschilling 2006, 201 Taf. 160,3145; 163,3208; Allison 2006a, Taf. 36,513.

755 Deschler-Erb 1998, 148 Abb. 225.

756 Zur Problematik der Ansprache der *tesserae* als Spielsteine vgl. Fünfschilling 2006, 216; Deschler-Erb 1998, 146. – Deschler-Erb 1998, 274; 277 f. führt drei Beispiele mit mehr oder weniger vollständigen Spielsätzen aus Augusta Raurica an: ein Set aus einem Abwasserkanal eines Privatbades mit 32 Spielsteinen (Insula 42), ein Set aus einem Portikusbereich mit drei Steinen (Insula 42) und ein Set mit zehn Spielsteinen aus einem Unterkunftshaus in Region 5B (vgl. dazu auch Schatzmann 2003, 214).

mit abgeplattetem Kopf sind oft ungewöhnlich lang, sodass sie nicht nur zum Nähen von Textilien verwendet werden konnten[757]. Da das im Gehhorizont gefundene Exemplar fragmentiert ist, bleibt der genaue Verwendungszweck offen. Denkbar ist auch, dass die Nähnadel zu einem «Werkzeugkasten» oder zu einem «Nähetui» gehörte und folglich nicht zwingend mit einem bestimmten Handwerk in Verbindung gebracht werden muss.

Die für die Produktion von Vierkantflaschen verwendete Formplatte **389** ist insofern bemerkenswert, als in Augusta Raurica bislang lediglich vier weitere Exemplare gefunden worden sind[758]. Das vorliegende Exemplar weist auf der fein gearbeiteten Innenseite der Platte parallel zu den Seiten Schmauchspuren auf; dazu sind in der Mitte weitere solche Spuren zu beobachten. Diese müssen nicht zwingend bei der Glasherstellung entstanden sein, sondern könnten auch bei einer sekundären Verwendung zustande gekommen sein[759]. Bezüglich der Datierung lässt sich festhalten, dass die meisten Vierkantflaschen in Augusta Raurica in den Jahren zwischen 50 und 110/120 n. Chr. produziert wurden, aber bis in die Zeit um 270 n. Chr. geläufig blieben und erst ab der ersten Hälfte des 4. Jahrhunderts als Altfunde angesprochen werden können[760]. Da neben der Formplatte **389** keine weiteren Funde vorliegen, die eine Glasproduktion in Raum A bezeugen würden, ist davon auszugehen, dass das vorliegende Exemplar für andere Zwecke verwendet worden ist. Für Letzteres könnten auch Beobachtungen in einem Handwerkerhaus in *Apulum* (heute Alba-Iulia, Rumänien) sprechen. Dort fanden sich neben mehreren, zweifelsfrei für die Produktion von Vierkantflaschen verwendeten Boden- und Seitenplatten aus lokalem Marmor und Ton auch Funde, die die Ausübung des Töpfer-, Bronze- und Beinhandwerks in der zweiten Hälfte des 2. und in der ersten Hälfte des 3. Jahrhunderts belegen[761]. Es wäre demzufolge denkbar, dass die Formplatte **389** sekundär für eine andere handwerkliche Tätigkeit verwendet bzw. im Hinblick auf eine mögliche Wiederverwendung oder Weiterverarbeitung behändigt wurde.

Militaria

Der Anhänger **384** stammt entweder vom Riemenschurz eines Soldaten oder von einem Pferdegeschirr. Das sehr dünn und flach gearbeitete Stück besitzt keinen profilierten Endknopf und auch keine Endöse, sondern lediglich einen Aufhängehaken. Der stilisierte herzförmige Körper mit dem unten angebrachten Querriegel erinnert an die sogenannten Phallusanhänger, die vor allem im 3. Jahrhundert geläufig waren[762]. Solche Anhänger sind jedoch normalerweise mit Ösen an einem Beschlagteil befestigt[763].

Bauteile, Wandverputz, Architekturelemente, Lehmfragmente

Im Folgenden werden diejenigen Objekte besprochen, die sich im weitesten Sinne der Innenausstattung des Erdgeschosses zuweisen lassen.

Eigentliche *Bauteile*, also Eisenobjekte, die zur Befestigung oder Verbindung von Holzteilen dienten, sind in Form des Splints **385** vertreten. Die umgehämmerten Enden der beiden Schenkel bezeugen, dass der Splint bis zur Öse in ein Holzbrett eingeschlagen worden war. Die an den Schenkeln ablesbare Dicke zeigt, dass der Splint am ehesten von einer Türe, einem Fensterladen[764] oder allenfalls von einem Schrank stammt.

Architekturelemente sind nur in Form der fast vollständig erhaltenen, annähernd rechteckigen Platte **390** aus Solothurner Marmor belegt. Die Platte ist an einer Längsseite sekundär (?) durchlocht und weist etliche Brandspuren sowie von Eisenoxidausfällungen verursachte Verfärbungen auf. Da die Marmorplatte nicht *in situ* dokumentiert worden ist, bleibt offen, ob sie auch in sekundärer Verwendung als Bodenplatte diente oder z. B. als Arbeitsunterlage verwendet wurde.

757 Deschler-Erb 1998, 141 weist darauf hin, dass lange Nadeln beim Weben als Einschusshilfen gedient haben könnten.

758 Aus Augusta Raurica waren bis anhin drei Bodenformen und eine Seitenplatte aus Sandstein bekannt. Zwei Bodenformen stammen aus der Oberstadt, südlich des Forums, und eine davon kann in die zweite Hälfte des 1. Jahrhunderts datiert werden (Rütti 1991/1, 163 f. Abb. 103,02.03). Eine weitere Bodenform für die Herstellung kleinster Vierkantflaschen stammt aus der Nordwestecke des jüngeren szenischen Theaters und datiert in die Zeit von 200–250/280 n. Chr. (Furger/Deschler-Erb 1992, 329 Kat. 20/134; S. 461). Die Seitenplatte stammt aus dem Castrum Rauracense und wurde von Beat Rütti als «möglicherweise verschlepptes Stück einer Glashütte aus dem westlichen Unterstadtgebiet» angesprochen (Rütti 1991/1, 163 f. Abb. 103,01). Abgesehen von einem Exemplar aus Avenches (vgl. Amrein/Nenna 2006) sind in der Schweiz bislang keine weiteren Formplatten gefunden oder publiziert worden. Den Hinweis verdanken wir Sylvia Fünfschilling, Augst.

759 Die Schmauchspuren, die sich parallel zur Unterseite und zum Seitenfalz der Formplatte entlang ziehen, entstanden vermutlich deswegen, weil die Profilseiten des Glases dicker sind und somit eine grössere Hitze abstrahlen. Die Dicke der Schmauchspuren entspricht auch ziemlich genau der Wanddicke der Flaschen. Die anderen Schmauchspuren in der Mitte der Platte könnten von einer sekundären Nutzung herrühren. Für Diskussionen und Hinweise in diesem Zusammenhang danken wir Sylvia Fünfschilling, Alex R. Furger und Beat Rütti, Augst.

760 Vgl. Fünfschilling 2006, 165 f.; Rütti 1991/1, 37 Abb. 29.

761 Eine kurze Zusammenfassung findet sich bei S.-P. Pánczél, The production of prismatic bottles in Roman Apulum, Livres des Résumés, Association Internationale pour l'Histoire du Verre 17, Antwerp, Belgium 4–8 September 2006, 86. Vgl. dazu auch B. Cserni, Jelentés a Colonia Apulesis területén végzett ásatsáokról. Muz. és Könyvtári Ért. 6, 1912, 106–114; 257–283. Den Hinweis verdanken wir Sylvia Fünfschilling, Augst.

762 Oldenstein 1976, 138 f.

763 Oldenstein 1976, 137 Taf. 34,260–267; Bishop/Coulston 1993, 157 Abb. 112,12.14.16 und Voirol 2000, 27 Taf. 18,184–186.

764 Vgl. dazu z. B. Tschannerl 2008, Abb. 28.



Abb. 334: Augst BL, Insula 5/9, Raum A (Grabung 1965–1967.052). Auswahl von ganz erhaltenen bzw. rekonstruierten Gefässen aus Ensemble A11-EG. Im Uhrzeigersinn von rechts oben: ***407, 425, 418*** *und* ***396****.*

Münzen

Die drei bereits von Markus Peter vorgelegten und besprochenen Münzen **367**, **368** und **369** stammen aus FK X06523, mit dem der an Mauer 2 anschliessende Teil des Gehhorizonts abgebaut wurde. Münze **331** stammt aus dem Bereich der Feuerstelle F4. Die jüngste Münze, ein leicht abgegriffener, gegossener Denar des Elagabal **369** liefert einen frühestens um 219 n. Chr. anzusetzenden, aber – wie die keramischen Mitfunde zeigen – sehr weit zu fassenden *terminus post quem* für die Ablagerung des Gehhorizonts. Beim zwischen 141 und 161 n. Chr. geprägten, stark abgegriffenen Dupondius des Antoninus Pius für Diva Faustina I. **368** kann, wie andere Aes-Prägungen des 2. Jahrhunderts zeigen, ebenfalls von einer sehr langen Zirkulationsdauer ausgegangen werden[765]. Der Dupondius könnte demzufolge durchaus erst im Verlaufe des 3. Jahrhunderts in den Boden gekommen sein. Die nicht sicher datierbare und vielleicht in einer östlichen Prägestätte hergestellte kaiserzeitliche Lokalprägung **367** und ein As des Claudius **331** müssen als Altfunde in den Raum A gelangt sein.

Hausrat und Mobiliar aus Ensemble A11-EG

Keramik

Im Erdgeschoss fanden sich einige vollständige Keramikgefässe (Abb. 334). Wie Abbildung 335 zeigt, stellen drei Keramikgattungen 79% des gesamten Keramikspektrums von Ensemble A11-EG. Die orangetonige Gebrauchskeramik dominiert mit einem Anteil von 39%, gefolgt von der Glanztonware mit 29% und der Terra Sigillata mit 11%. Die grautonige Gebrauchskeramik ist mit 9% vertreten, die Kochkeramik mit 10%, die Reibschüsseln und Amphoren jeweils mit etwa 1%.

Die orangetonige Gebrauchskeramik, die Glanztonware und die Terra Sigillata bleiben auch dann dominant, wenn die Gefässe nach funktionalen Kriterien gegliedert werden (Abb. 336)[766]: 78% der Keramik aus dem Brandschutt des

765 Peter 2001, 108.

766 Die Zahlenwerte richten sich nach den bestimmbaren Keramikformen. Zu berücksichtigen ist, dass 87 Fragmente (= 23% des gesamten Keramikbestands) so stark fragmentiert waren, dass sie keiner Funktion zugewiesen werden konnten.

Keramikgattungen/Gefässe aus dem Ensemble A11-EG	Total (MIZ)	Anteile in %
glatte Terra Sigillata	32	8
reliefierte Terra Sigillata	12	3
Terra-Sigillata-Imitation (ohne späte Imitation)	–	0
Glanztonkeramik	110	29
Späte Imitationen	–	0
orange Gebrauchskeramik	148	39
graue Gebrauchskeramik	34	9
Kochkeramik	38	10
Reibschüsseln	5	1
Amphoren	2	1
Total	381	100

Abb. 335: Augst BL, Insula 5/9, Raum A (Grabungen 1965–1967.052 und 2002.063). Ensemble A11-EG. Anzahl Gefässe (MIZ) und prozentuale Anteile nach Keramikgattungen. Basis: Abb. 174.

Funktion/Form	Anzahl gesamt (MIZ)	Anteile in Prozent
Tafel-/Auftragsgeschirr	**231**	**79**
• Becher	108	37
• Schälchen	16	5
• Teller/Platten	33	11
• Schüsseln	52	18
• Krüge/Flaschen/Kannen	22	7
Kochgeschirr	**44**	**15**
• Kochtöpfe	38	13
• Reibschalen	6	2
Vorratsgeschirr	**18**	**6**
• Töpfe	12	4
• Deckel	4	1
• Amphoren	2	1
Kult	**1**	**0**
Total Bestimmbare	**294**	**100/77**
Unbestimmt, keiner Funktion zuweisbar	87	23
Total	**381**	**100**

Abb. 336: Augst BL, Insula 5/9, Raum A (Grabungen 1965–1967.052 und 2002.063). Ensemble A11-EG. Anzahl Gefässe (MIZ) und prozentuale Anteile der Gefässformen. Basis: Abb. 174.

Erdgeschosses gehört zum Tafel- und/oder Auftragsgeschirr. Einen weiteren grossen Anteil stellt die Kochkeramik (15%), während 6% des gesamten Keramikbestands als Vorratsgeschirr angesprochen werden können.

Innerhalb dieser Werte dominieren mit einem Anteil von 37% die Becher. Die Schüsseln sind mit 18%, die Teller/Platten mit 11% und die Kochtöpfe mit 13% vertreten; die Schälchen und die Krüge stellen 5% beziehungsweise 7% des Gesamtbestands. Geringere Anteile weisen nur noch die Reibschalen (2%), die Töpfe (4%) sowie die Spezialgefässe (1%) auf.

Wie im Fall von Ensemble A11-GH/F4 ist der hohe Anteil an Tafel- und Auftragsgeschirr zunächst auf die grosse Zahl der Becher zurückzuführen. Dabei fällt unter den Bechern namentlich der Anteil der Form Nb. 33 auf. An zweiter und dritter Stelle folgen dann wie in Ensemble A11-GH/F4 die Schüsseln sowie die Teller/Platten. Bei den Tellern überwiegen die Teller mit eingebogenem Rand; bei den Schüsseln stellen die Schüsseln mit profilierter Wandung vor den Schüsseln mit profiliertem Rand den Hauptteil.

Geschirr aus Glas, Bronze, Eisen und Stein

Im Geschirrensemble des Erdgeschosses fanden sich rund elf Glasgefässe (Abb. 337); zwei davon konnten sicher bestimmt werden. Es sind dies die Becher **463** und **466** mit Schliffdekor der Form AR 60.1/Isings 96b1, die um die Mitte des 3. Jahrhunderts zum geläufigen Bestand zählten[767]. Das nicht sicher bestimmbare, mit Warzen verzierte Gefäss **467** (Becher oder Flasche?) datiert in die Zeit zwischen der Mitte des 2. und der Mitte des 3. Jahrhunderts[768].

Weitere Glasgefässe wie die Flasche oder der Krug **464** und ein Krug (o. Abb.) sind nicht genauer bestimmbar. Dies trifft auch auf weitere Boden- und Wandfragmente von Glasgefässen zu.

Ein Becher, eine Flasche oder ein Krug und ein weiterer Krug (**463**, **464** und o. Abb.) sind durch Feuereinwirkung verzogen und können folglich – zusammen mit dem Becher **466** und dem Gefäss **467** – zweifelsfrei dem Brandschutt des Erdgeschosses zugewiesen werden.

Zum Hausrat gehörte ferner ein Lavezeimer **(483).** Die Russspuren an der Unterseite des scharrierten Bodens zeigen, dass er als Kochgeschirr verwendet wurde[769].

Kleinfunde

Das Inventar von Ensemble A11-EG umfasst verschiedene weitere Fundobjekte, die ebenfalls dem Hausrat zugerechnet werden können. Alle im Folgenden aufgeführten Sachkategorien beziehen sich auf die Zusammenstellung auf Abbildung 338.

Hausratsgeräte

Dieser Kategorie können insgesamt drei Objekte zugewiesen werden. Es handelt sich dabei um einen bronzenen Löffel **474** mit beutelförmiger Laffe, eine Form, die vorwiegend im 3. Jahrhundert in Gebrauch war. Ausserdem sind ein eher kleines Hack- oder Haumesser **477** mit einer kurzen, 9 cm langen Klinge, blattförmiger Scheide und Tüllengriff aus Eisen[770] und ein fein gearbeiteter Gerätegriff aus Bein **469** mit profiliertem Ende und Durchlochung im Inventar vertreten. Beim Gerätegriff ist das ehemals dazugehörige Eisenteil nicht erhalten, weshalb nur vermutet wer-

767 Vgl. Rütti 1991/1, 95 f.
768 Vgl. Rütti 1991/2, 70. Vgl. ferner auch **374** aus Ensemble A11-GH.
769 Vgl. Siegfried-Weiss 1991, 138.
770 Vgl. Manning 1985, 120 Abb. 30,2a.

Funktion	Anzahl	Kat.
Glas		
Becher	◊◊	**463, 466**
Flasche/Krug	◊◊	**464,** o. Abb.
Becher oder Flasche?	◊	**467**
Indet.	◊◊◊◊◊◊	**465,** o. Abb.
Bronze	–	–
Eisen	–	–
Stein		
Lavezeimer	◊	**483**

Abb. 337: Augst BL, Insula 5/9, Raum A (Grabungen 1965–1967.052 und 2002.063). Ensemble A11-EG. Zusammenstellung der nichtkeramischen Gefässe. Basis: vgl. den entsprechenden Fundkatalog (S. 169 ff.).

Funktion	Anzahl	Kat.
Haushaltsgeräte		
• Löffel	◊	**474**
• Messer	◊	**477**
• Gerätegriff	◊	**469**
Hausausstattung		
• Beleuchtung	–	
• Einrichtung	◊◊	**468, 479**
• Kult	◊◊◊◊	**470–473**
Schmuck/Tracht/Toilettgerät		
• Schmuck/Tracht	–	
Spiel		
• Spielsteine	–	
Handwerk		
• Werkzeug	◊◊	**484, 485**
• Halbfabrikate	–	
Militaria	◊◊	**475, 476**
Bauteile	◊◊◊◊	**478, 480–482,** o. Abb.
Münzen	◊◊◊	**460–462**

Abb. 338: Augst BL, Insula 5/9, Raum A (Grabungen 1965–1967.052 und 2002.063). Zusammenstellung der Kleinfunde aus Ensemble A11-EG. Basis: vgl. den entsprechenden Fundkatalog (S. 169 ff.).

den kann, dass es sich dabei um den Griff eines kleinen Messerchens gehandelt hat[771].

Hausausstattung

Eigentliche Einrichtungsgegenstände sind in Form des Schlüssels **479** und eines Scharnieraufsatzes aus Bein **468** belegt. Letzterer könnte eventuell von einer kleinen Kiste, einem Kästchen oder einem kleinen Schrank stammen. Lampen oder Kienspanhalter fehlen.

Das bedeutendste Ausstattungselement im Erdgeschoss bildet sicher das in Versturzlage dokumentierte Lararium mit den vier Bronzestatuetten **470–473**: Die Minervastatuette, die zwei Merkurstatuetten – eine davon mit Ziege als Attribut – und der exotisch wirkende, aus dem alexandrinisch-hellenistischen Kunstkreis inspirierte groteske Zwerg mit um die Lenden geschwungenem Tuch, übergrossem Phallus, Hahn und Lagynos bezeugen die private Kultausübung im Erdgeschoss von Raum A. Während Merkur- und Minervastatuetten in Gallien und Kampanien quasi zum Standardinventar von Lararien gehören[772], ist die Vergesellschaftung der drei Götterdarstellungen mit einem buckligen Zwerg nicht nur aussergewöhnlich, sondern bis anhin einmalig[773]. Vielleicht erhofften sich die Bewohner von dem Zwerg eine apotropäische Wirkung – zumal Buckel und Phallus als glücksbringend und übelabwehrend galten[774].

Gesichert ist, dass das Lararium erst in der Zeit zwischen ca. 250 und 260/270 n. Chr. aufgestellt worden ist. Die stilistische Einordnung zeigt jedoch, dass diese Statuetten – wie auch zahlreiche andere figürliche Bronzen aus Augusta Raurica – bereits im 1. und 2. Jahrhundert hergestellt worden sind[775]. Dies zeigt, dass Objekte, die für private Kultausübungen verwendet wurden, so beliebt und wertvoll waren, dass sie sehr lange in Gebrauch standen[776].

Schmuck und Trachtbestandteile

In Ensemble A11-EG sind im Gegensatz zu Ensemble A11-GH/F4 keine Schmuck- oder Trachtbestandteile vertreten.

771 Messerchen besitzen öfters Durchlochungen oder Ösen am Griffende. Vgl. Manning 1985, 108 Abb. 28, Typ 1–4 und 6–7. Eine gute Parallele stammt aus dem Gräberfeld Avenches «En Chaplix» (Castella 1999/2, 332 Taf. 159,1579).

772 Vgl. Kaufmann-Heinimann 1998, 185; 193 f. Abb. 138; 139; S. 316 f. Tabelle 1; Ebnöther/Kaufmann-Heinimann 1996, 246 Anm. 1523.

773 Kaufmann-Heinimann 1998, 194; Kaufmann-Heinimann 1977, 81 f. Abb. 84.

774 So schon bei Kaufmann-Heinimann 1977, 82. Weitere Deutungen können angefügt werden. So kann der Zwerg als Dienerfigur, Groteske mit apotropäischem Charakter oder auch als Karikatur mit gesellschaftsbezogener Rolle (Unterprivilegierte, Sklaven, Bettler, Schauspieler, Tänzer u. ä.) interpretiert werden. Eine andere Deutung will insbesondere bucklige männliche Figuren, die eine Lagynos sowie einen Hahn zum Opfer bringen, dem «Flaschenfest», einem Dionysos-Kult zur Zeit des Ptolemaios IV. zuordnen. Der Zwerg folgt somit der Tradition der «Trunkenen Alten» (vgl. Fischer 1998, 327 f.; 352 f. mit weiterführender Literatur). Ausser einem mit unserem Stück äusserst gut vergleichbaren Zwerg aus einer Altgrabung aus Strassburg/F und wenigen weiteren Grotesken aus ägyptischen Grabungen, stammen unseres Wissens keine weiteren Fundstücke aus gut untersuchten Grabungen. Vgl. für den Zwerg aus Strassburg Schnitzler 1995, 74 f. mit weiterführender Literatur; für die ägyptischen Stücke vgl. Fischer 1998, 358 f.

775 Kaufmann-Heinimann 1998, 84 f.; 149 f. Abb. 108. Vgl. dazu auch oben S. 170.

776 Bronzene Kultfiguren finden sich mehrheitlich in den Lararien der sozial besser gestellten Bevölkerungsgruppen, während sich Terrakottafiguren oder gemalte Kultfiguren an Wänden oder in Nischen mit einfachen Ablageflächen für Opfergaben – zumindest in Pompeji – in den Häusern der ärmeren Bevölkerungsschichten sowie in den für Sklaven bestimmten Anlagen finden. Vgl. Kaufmann-Heinimann 1998, 184; 186; Small 2007, 191.

Spiel

In Ensemble A11-EG fanden sich im Gegensatz zu Ensemble A11-GH/F4 keine Objekte, die sich dieser Kategorie zuweisen lassen.

Handwerk

Die beiden Wetzsteine **484** und **485** bestehen aus sehr feinem, grüngrauem Sandstein[777] und tragen eindeutige Gebrauchsspuren. Der kleinere, in Längsrichtung zerbrochene Wetzstein **484** weist auf der einen Schmalseite und auf der rechteckigen Oberseite Bearbeitungsspuren in Form von länglichen, feinen Ritzungen auf. Auf der anderen Schmalseite findet sich hingegen eine feine Dellung. Dies deutet darauf hin, dass beide Seiten benutzt worden sind, um Werkzeuge zu schärfen oder zu polieren. Dies gilt auch für den grösseren Stein **485**, der – wenn man ihn auf die flache Schmalseite stellt – zwei unterschiedliche Arbeitsflächen aufweist. Die feine Schleifrille auf der einen Seite zeigt, dass diese für das Zuschleifen von Metallgegenständen verwendet wurde, die feine Abreibfläche auf der anderen Seite für das Polieren.

Militaria

Der Brandschutt des Erdgeschosses enthielt zwei Militaria: die eiserne Wurfspeerspitze **476** und den bronzenen Riemenbeschlag **475**. Die Wurflanze ist stark verbrannt und korrodiert[778]. Dennoch ist auf einer Seite der deutlich ausgeprägte Mittelgrat zu erkennen. Im Gegensatz zu den Lanzenspitzen **672–674** aus dem Brandschutt des Obergeschosses (Ensemble A11-OG) ist die Spitze etwas kürzer und gedrungener, was dafür spricht, dass es sich eher um die Spitze einer Wurflanze gehandelt hat[779].

An dem circa 3 cm breiten Zierbeschlag **475** mit ausgeschnittener oder ausgestanzter Lochung sind auf einer Längsseite noch zwei stark ankorrodierte Eisenstifte zu erkennen. Derartige Beschläge stammen von Militärgürteln und waren in der Zeit vor 200 n. Chr. und im Verlauf des 3. Jahrhunderts in verschiedenster Ausformung und Verzierung weit verbreitet[780].

Bauteile, Wandverputz, Architekturelemente, Lehmfragmente

In Ensemble A11-EG fanden sich nur sehr wenige *Bauteile*, nämlich die Nägel **480–482**, das Scharnier **478** und ein Kloben (o. Abb.). Die stark korrodierten und brandpatinierten Nägel stammen allesamt aus der Grabung 2002.063. Vermutlich haben sich die anlässlich der Grabung 1965–1967. 052 geborgenen Nägel restlos aufgelöst oder wurden ausgeschieden.

Architekturelemente sind in Form von Boden- oder Wandplatten aus Kalkstein (**486–488** und o. Abb.) vertreten. Sie weisen teilweise Brandspuren, Sägespuren sowie Mörtelreste und/oder Versinterungsspuren auf. Es dürfte sich dabei um Spolien handeln, die als Arbeitsunterlagen verwendet wurden.

Die beiden *Wandlehmbrocken* wurden auf Mauer 13 gefunden und stammen offensichtlich von der Südwand, die das Erdgeschoss von Raum A gegen die Neuntürmestrasse hin abschloss. Am Lehmfragment **489** sind Abdrücke von Holzfasern zu erkennen, die vom Rahmen des Fachwerks stammen dürften. Die Rutennegative am zweiten, etwas grösseren Fragment **490** zeigen, dass der Rahmen mit Ruten ausgefacht worden ist[781].

Münzen

Bei den drei Münzen handelt es sich ausschliesslich um Dupondien, die leichte bis deutliche Zirkulationsspuren aufweisen. Die Brandspuren am Dupondius des Traian **460** bezeugen, dass dieser im Zusammenhang mit der Brandkatastrophe am Ende von Phase 11 in den Boden gekommen ist. Dies dürfte auch auf die Prägungen des Hadrian **461** und des Antoninus Pius **462** zutreffen. Mit Letzterem lässt sich ein sehr weit zu fassender *terminus post quem* für den Eintritt der Brandkatastrophe ableiten. Die Einbettung dieser Münzen in den Brandschutt bezeugt einmal mehr, dass Aes-Prägungen sehr lange zirkulierten und deswegen auch in Fundkomplexen des 2. und 3. Jahrhunderts immer wieder vorkommen[782].

Ensembles A11-GH/F4 und A11-EG: Zusammenfassende Bemerkungen zu Fundlage und Fundverteilung

Die Ensembles A11-GH/F4 und A11-EG beschreiben gemeinsam das gesamte Fundspektrum, das im Erdgeschoss von Raum A zum Zeitpunkt des Brandes gestanden hat (Abb. 339; 340). Beide Ensembles sind von jüngeren Eingriffen verschont geblieben und es kann davon ausgegangen werden, dass die Fundobjekte *in situ* verblieben sind, das heisst, sie wurden am Ort der letzten Verwendung aufgefunden. Die Fundkartierung zeigt, dass sich die Objekte zum Zeitpunkt des Brandausbruchs entlang der Mauern 2, 4 und 13 befunden haben (Abb. 341). Dem zentralen Teil von Raum A lassen sich keine Fundkomplexe bzw. Funde zuweisen. Ob dieser Sachverhalt auf die Grabungstechnik zurückzuführen ist oder tatsächlich die antike Situation widerspie-

777 Polier- und Wetzsteine bestehen häufig aus feinem Sandstein. Vgl. Schaltenbrand Obrecht u. a. 2008, 216 Taf. 115,5695–5700.

778 Die Lanzenspitze stammt aus dem FK X06520. In der selben Abbaueinheit sind – etwa 1 m weiter südlich an Mauer 2 – auch die Statuetten zum Vorschein gekommen. Eine Vermischung mit den Militaria aus dem Obergeschoss kann deswegen mit grosser Wahrscheinlichkeit ausgeschlossen werden.

779 Vgl. Martin-Kilcher 1985, 176; 186; Schaltenbrand Obrecht 1991, 159 f. Anm. 313 und oben S. 171 bzw. unten S. 374 mit Anm. 827.

780 Vgl. Oldenstein 1976, 197; Reuter 2005, 203.

781 Rychener 2003, 80 Abb. 20; 21. Vgl. dazu auch oben S. 235 ff.

782 Peter 2001, 93; 96; 102; 108; 120 Abb. 29; 64.

Keramik: Funktion/Form	Anzahl gesamt (MIZ)	Prozent/ Bestimmbare
Tafel-/Auftragsgeschirr	**356**	**80**
• Becher	161	36
• Schälchen	27	6
• Teller/Platten	63	14
• Schüsseln	79	18
• Krüge/Flaschen/Kannen	26	6
Kochgeschirr	**64**	**14**
• Kochteller und -töpfe	56	13
• Reibschalen	8	2
Vorratsgeschirr	**21**	**5**
• Töpfe	12	3
• Deckel	7	2
• Amphoren	2	0
Kult	**3**	**1**
Total Bestimmbare	**444**	**100/84**
Unbestimmt, keiner Funktion zuweisbar	87	16
Total	**531**	**100**

Glas, Bronze, Eisen, Stein: Funktion	Anzahl	Kat.
Glas		
Becher	◊◊◊◊◊◊	**332, 371, 374, 372, 463, 466,** o. Abb.
Töpfchen	◊	**373**
Flasche/Krug	◊◊◊	**464,** o. Abb.
Becher oder Flasche?	◊	**467**
Indet.	◊◊◊◊◊◊	**465,** o. Abb.
Bronze	–	
Eisen	–	
Stein		
Lavezeimer	◊	**483**

Abb. 339: Augst BL, Insula 5/9, Raum A (Grabungen 1965–1967.052 und 2002.063). Ensembles A11-GH/F4 und A11-EG. Anzahl (MIZ) und prozentuale Anteile der Gefässe aus Keramik sowie Anzahl der nichtkeramischen Gefässe. Basis: Abb. 331; 336.

Funktion	Anzahl	Kat.
Haushaltsgeräte		
• Löffel	◊	**474**
• Messer	◊◊	**387, 477**
• Gerätegriff	◊	**469**
Hausausstattung		
• Beleuchtung	◊	**370**
• Einrichtung	◊◊◊◊	**386, 468, 479,** o. Abb.
• Kult	◊◊◊◊◊	**388, 470–473**
Schmuck/Tracht/Toilettgerät		
• Schmuck/Tracht	◊◊◊◊◊◊◊◊	**375, 376, 381–383,** o. Abb.
Spiel		
• Spielsteine	◊◊◊	**378,** o. Abb.
Handwerk		
• Werkzeug	◊◊◊◊	**377, 389, 484, 485**
• Halbfabrikate	◊◊	**379, 380**
Militaria	◊◊◊	**384, 475, 476**
Bauteile	◊◊◊◊◊◊◊◊	**333, 385, 390, 478, 480–482,** o. Abb.
Münzen	◊◊◊◊◊◊◊	**331, 367–369, 460–462**

Abb. 340: Augst BL, Insula 5/9, Raum A (Grabungen 1965–1967.052 und 2002.063). Ensembles A11-GH/F4 und A11-EG: Zusammenstellung der Kleinfunde. Basis: Abb. 333; 338.

gelt, bleibt offen[783]. Die Fundlücke im hinteren Bereich von Raum A erklärt sich teilweise durch die zum Zeitpunkt des Brandes am Ende von Phase 11 aufrecht stehende Mauer 7. Diese Mauer trennte im hintersten Raumabschnitt, der die Feuerstelle F4 abschloss, den Ost- vom Westteil des Raumes. Aus diesem Bereich stammt das Ensemble A11-F4.

Ensemble A11-BO1 lässt sich nicht mit Sicherheit der Phase 11 zuweisen (s. o. S. 143). Es wurde deswegen auf der Kartierung der Ensembles A11-GH/F4 und A11-EG nicht berücksichtigt, sondern separat kartiert (Abb. 342).

Im Folgenden werden zuerst «Mikrovergesellschaftungen», also Fundvergesellschaftungen bzw. die Fundlage einzelner Objekte, die sich einem Teilbereich innerhalb von Raum A zuweisen lassen, vorgestellt. Die Beobachtungen basieren im besten Fall auf der dreidimensionalen Einmessung von einzelnen Objekten, allenfalls sind sie nur für die Ausdehnung eines Fundkomplexes greifbar.

- Der intakte Becher **418** der Form Nb. 33 wurde im Backofen BO1 gefunden; wahrscheinlich wurde die Restwärme des Backofens genutzt, um den flüssigen Inhalt aufzuwärmen oder warm zu halten. Römische Getränke wurden oft warm serviert[784]. Gestützt wird diese Annahme durch den oben geschilderten Befund in der Region 2E: Dort wurde in einem Backofen ein vollständig erhaltener Einhenkelkrug mit Wulstrand gefunden.
- In FK X06543, der den an Mauer 4 anschliessenden, hinter Backofen BO1 bzw. auf dem Mörtelgussboden über dem verfüllten Hypokaust liegenden Teil des Gehhorizonts einbezieht, fanden sich die beiden *in situ* dokumentierten Milchkochtöpfe **364** und **365**.
- Auf der gegenüberliegenden Seite, entlang von Mauer 2 lag ein Lararіuminventar **470–473** mit zwei Merkuren, einer Minerva und einem Zwerg mit den dazugehörigen Basen sehr nahe beisammen.

Beim Vergleich der Verteilung des Keramikgeschirrs und der Kleinfunde zeigen sich zudem weitere Evidenzen:

- Entlang von Mauer 2 ist eine dichte Fundkonzentration zu verzeichnen. Hier wurde ein breites Spektrum an ganz erhaltenen Gefässen gefunden: feine und grobe Ware, Terra Sigillata, Glanztonware und Grobkeramik, Becher, Schälchen, Schüsseln, Teller und Reibschalen. Eine Dominanz einer bestimmten Qualität – sei es Tafel-, Auftrags- oder Kochgeschirr – lässt

783 Der Fundkomplex X06543, der – wie Abb. 314 zeigt – im westlichen Bereich zu lokalisieren ist, ragt am meisten in die Raummitte; die übrigen (darunter der fundleere FK Z01681) tangieren die Raummitte nicht. In diesem Zusammenhang ist darauf hinzuweisen, dass seinerzeit nur Fundkomplexe vergeben worden sind, wenn beim Abbau der entsprechenden Schicht oder Struktur Funde zum Vorschein kamen. Vgl. dazu auch oben S. 33.

784 Cool 2006, 136; De Felice 2007, 475.

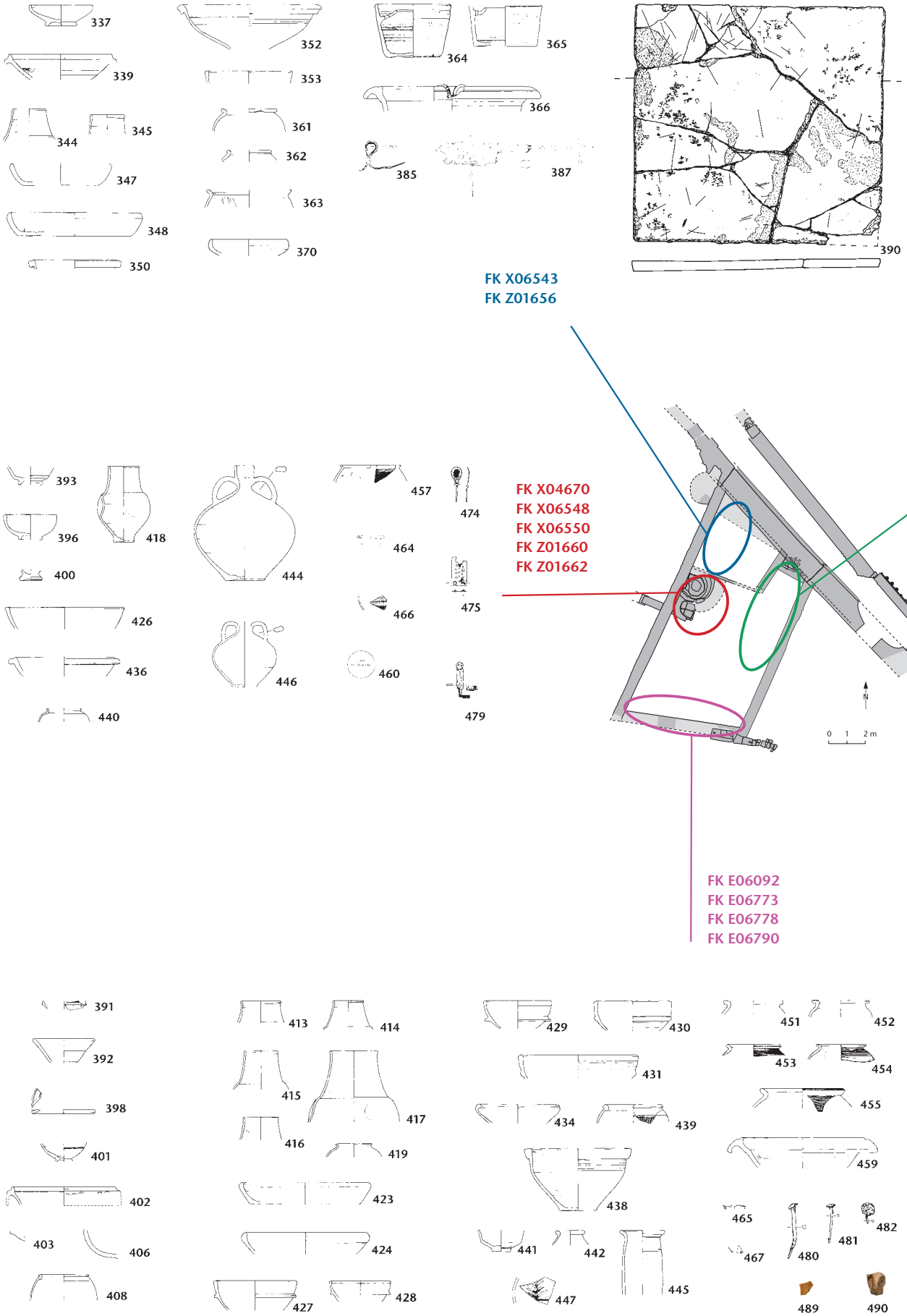
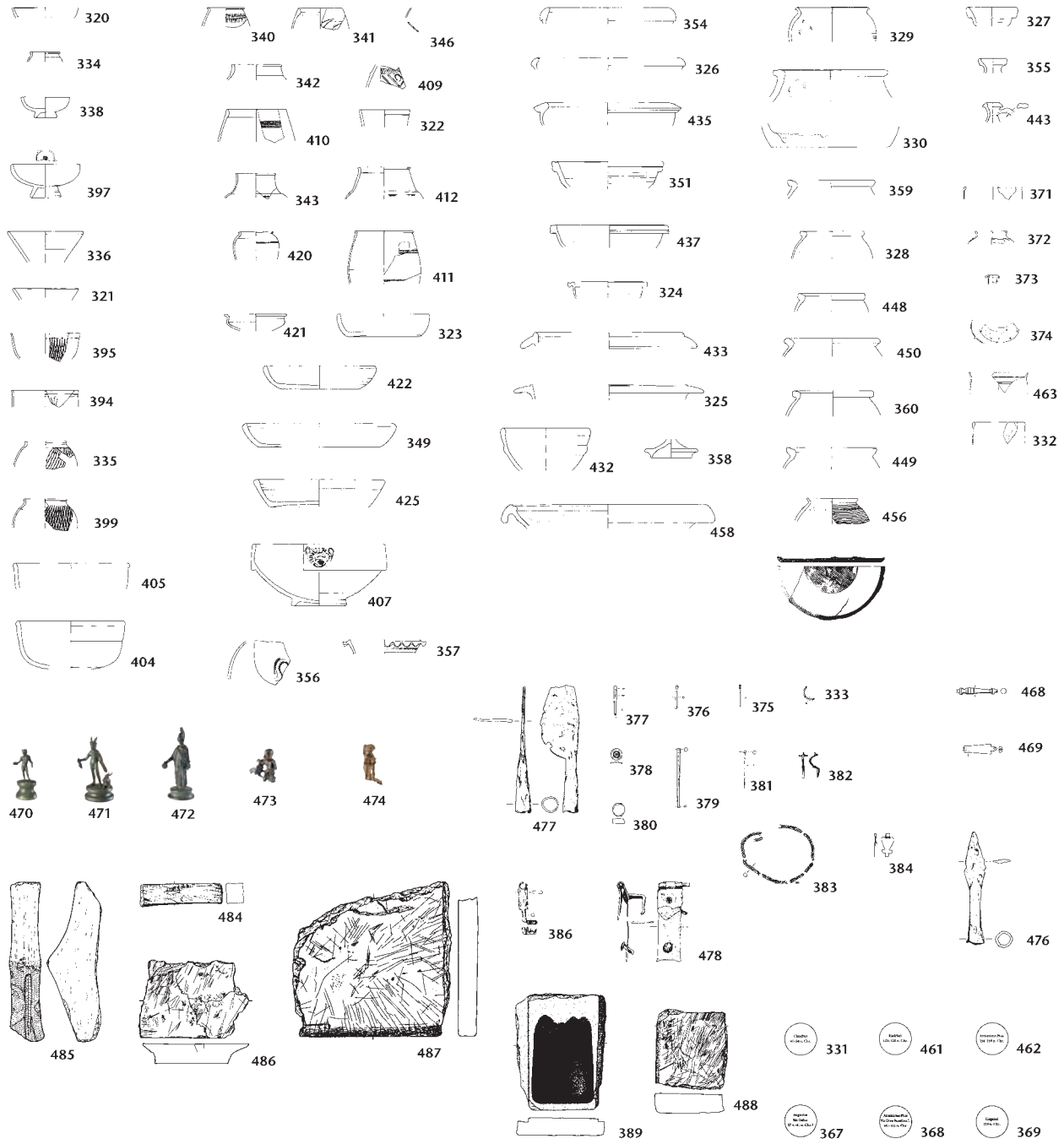


Abb. 341: Augst BL, Insula 5/9, Raum A (Grabungen 1965–1967.052 und 2002.063). Verteilung der Fundkomplexe und Funde aus den Ensembles A11-GH/F4 und A11-EG innerhalb von Raum A. M. 1:300 (Plan) bzw. M. 1:12 (Funde).



sich nicht erkennen. Im Vergleich zu den Funden aus dem Bereich von Mauer 13 fällt jedoch auf, dass sich hier weniger Glanztonbecher und vor allem weniger Becher der Form Nb. 33 fanden, während die Anteile der Teller, Schüsseln und Kochtöpfe in etwa gleich hoch sind. Die Vergesellschaftung von Kultgegenständen – im konkreten Fall mit den Bronzestatuetten **470–473** aus dem Lararium, einem Schlangentopf **356**, einem Räucherkelch **357** und einem Bleivotiv **388** – mit Geschirr findet sich in Wohnräumen, Küchen, Läden und auch Werkstätten immer wieder[785]. Aus dieser Situation heraus kann erwogen werden, dass verschiedene Gefässe und einige Kultgegenstände nahe bei der Feuerstelle F4 auf einem Regal, Schrank oder Wandbrett, durch Mauer 7 ziemlich geschützt und abgeschlossen, im hinteren Drittel des Raumes gestanden haben.

785 Annemarie Kaufmann-Heinimann führt Befunde aus den Vesuvstädten sowie Befunde ausserhalb von Kampanien an (vgl. Kaufmann-Heinimann 1998, 184; 188). Für gemalte Lararіumbilder und Lararіuminventare vgl. Fröhlich 1991, 22. Für Pompeji siehe die Fundvergesellschaftungen innerhalb der Räume bei Allison 2004, 48; 143; 146. Für Augusta Raurica vgl. Kaufmann-Heinimann 1998, 187; 277 (GF68); 283 (GF78). Ein weiteres Befundbeispiel aus Oberwinterthur belegt, dass das Lararium zusammen mit Geschirr und weiteren Hausgeräten in einem Holzschrank stand (Ebnöther/Kaufmann-Heinimann 1996, 246 f.; Kaufmann-Heinimann 1998, 288 [GF86]).

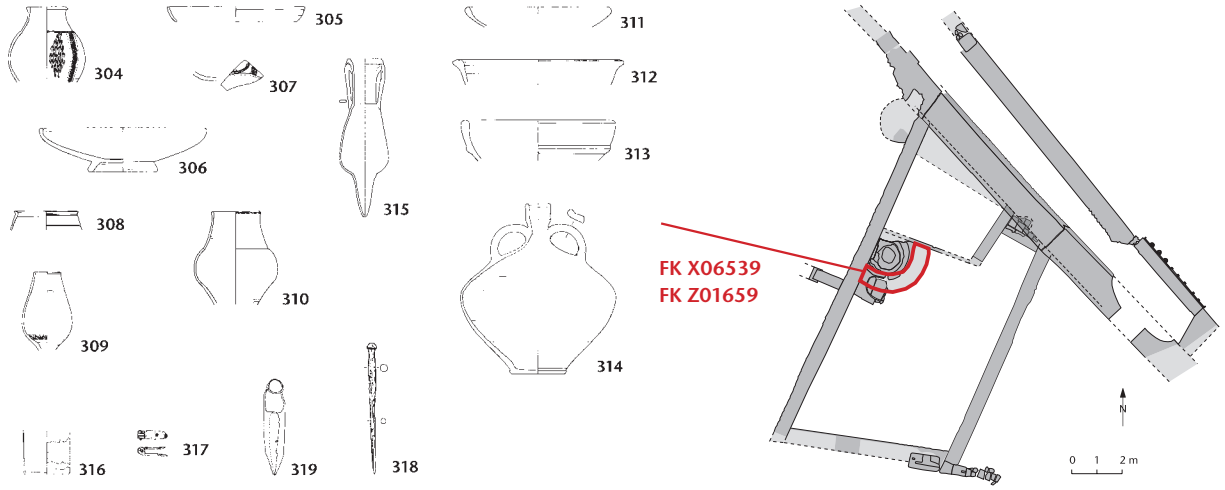


Abb. 342: Augst BL, Insula 5/9, Raum A (Grabung 1965–1967.052). Ensemble A11-BO1. Fundlage und Fundverteilung der Funde aus der Ofenbank des Backofens BO1. M. 1:300 (Plan) bzw. M. 1:12 (Funde).

Zu dieser Situation lassen sich einige Schmuckobjekte, Militaria sowie die Nähnadel, die Halbfabrikate, Arbeitsplatten, Schleifsteine, das Hackmesser, der beinerne Messergriff und die Formplatte für die Produktion von Vierkantflaschen anschliessen.

- Vis-à-vis – entlang von Mauer 4, hinter dem Backofen – fanden sich auf einer Art Podest oder einem Mörtelboden neben Glanztonbechern, Schälchen aus Terra Sigillata und orangetonigen Schüsseln oder Tellern weitere Kochgefässe. Neben den eigentlichen Kochtöpfen sind namentlich zwei Reibschalen – die eine aus Terra Sigillata, die andere eine «rätische» Reibschale – sowie die bereits oben aufgeführten sogenannten Milchkochtöpfe zu erwähnen. Ebenfalls aus diesem Raumteil stammen das Messer **387**, die Lampe **370,** die Kalksteinplatte **390** sowie der Splint **385**.
- Direkt beim Backofen, entlang von Mauer 4, fanden sich nicht sehr viele Funde. Es handelt sich neben dem erwähnten Becher **418** der Form Nb. 33 um drei vollständig erhaltene Gefässe: die kleine Schüssel **396** der Form Drag. 40 sowie die beiden zweihenkligen Krüge **444** und **446.** Zwei Glasgefässe **464** und **466,** ein Schlüssel **479** eines Kästchens (?), ein Löffel **474** und ein Beschlag **475** stammen ebenfalls aus diesem Bereich.
- Eine weitere Konzentration von Geschirrfunden lässt sich im Eingangsbereich des Erdgeschosses von Raum A, entlang des Streifenfundaments (MR 13) der abgebrannten Fachwerkwand, feststellen. Hier kamen zudem anlässlich der Grabung 2002.063 etliche Bauteile aus Eisen, namentlich ein kleiner Kloben (o. Abb.) und die Nägel **480–482** zum Vorschein, die möglicherweise von Regalen oder Schränken stammen. Es wurden hier etwa 80 Becher (davon 75 der Form Nb. 33), mindestens elf Schüsseln mit profilierter Wandung, acht Schüsseln mit profiliertem Rand, rund 16 Teller mit eingebogenem Rand, 14 Krüge sowie 25 Kochtöpfe gefunden[786]. Hingegen fanden sich nur wenige und überdies z. T. von älteren Typen stammende Fragmente von Gefässen aus Terra Sigillata.

Anhand der Fundverteilung und des daraus resultierenden Verteilungsmusters lässt sich das Erdgeschoss von Raum A in einen Ost-, einen West- und einen Südteil gliedern. Mauer 7 und Backofen BO1 bilden dabei eine Art Grenze. Die Gegenstände wurden vorwiegend im vorderen oder im hinteren Raumteil aufbewahrt und verwendet.

Dabei lassen sich aus der Verteilung und Zusammensetzung der Funde drei Formen von Aktivitäten ablesen, nämlich Kochen, Essen und Trinken, private Kultausübung und handwerkliche Aktivitäten:

- *Tafel-/Auftragsgeschirr und Kochgeschirr* fanden sich in allen drei Teilbereichen des Erdgeschosses von Raum A. Markant sind die Geschirranteile vor allem im Ost- und im Südteil. Die Anteile an Bechern, Tellern, Schüsseln und Kochgeschirr entlang von Mauer 4 sind geringer als diejenigen aus dem Ostteil (bei MR 2) sowie dem Südteil (bei MR 13). Der allergrösste Teil des Geschirrs wurde im Südteil entlang von Mauer 13, im Eingangsbereich gefunden. Konkrete Indizien für Schränke, Kisten oder Regale, in denen das Geschirr verstaut gewesen wäre, liegen keine vor[787]; vielleicht standen die Gefässe einfach der Wand entlang am Boden gestapelt. Eigentliche Geschirrsets lassen sich nicht ausmachen[788]. Für eine Interpretation als Warenlager oder als zum Verkauf über die Gasse bestimmte Gefässe könnte allenfalls der Umstand sprechen, dass – im Gegensatz zu den Gefässen aus dem Obergeschoss – wenige Gefässe Gebrauchsspuren aufweisen (vgl. dazu auch unten S. 366; 397).
- Ausschliesslich im Ostteil des Erdgeschosses fanden sich Objekte, die eine *private Kultausübung* in einem Lararium bezeugen, nämlich vier Bronzestatuetten, ein figürliches Bleivotiv, ein Schlangentopf sowie ein Räucherkelch.
- Objekte, die *handwerkliche Aktivitäten* anzeigen, fanden sich ebenfalls nur im Ostteil des Erdgeschosses. Es sind dies zwei Halbfabrikate aus Bein (Nadel und *tessera),* die Seitenplatte für

786 Die MIZ in den FK E06092, FK E06773, FK E06778 und FK E06790 (FK E07759 war fundleer) umfasst auch die «Altfunde», was v. a. bei den Krügen zu berücksichtigen ist. Vgl. Tabelle 8 (im Anhang).

787 Vgl. dazu die Befunde im Gewerbekomplex Kaiseraugst-Schmidmatt: Spuren von Balkengräbchen und Schwellbalken auf dem Fussboden, Balkennegative und Balkenlöcher in Mauer 11, Abdruck eines Pfostens und eine Nut im Verputz (Furger 1989a, 218–221 Abb. 11–13).

788 Vgl. Schucany 2000; Schucany 2006, 375–386.



Abb. 343: Augst BL, Insula 5/9, Raum A (Grabung 1965–1967.052). Auswahl von ganz erhaltenen bzw. rekonstruierten Gefässen aus Ensemble A11-OG. Im Uhrzeigersinn von rechts oben zur Mitte: ***504, 569, 565, 555, 508, 573, 509*** *sowie* ***529*** *und* ***528****.*

die Produktion von Vierkantflaschen, die zwei Schleifsteine sowie möglicherweise auch die wohl als Unterlagen verwendeten Kalksteinplatten **486–488**. Ob und wie diese Gegenstände in einer funktionalen Beziehung standen, ist nicht nachweisbar. Die wenigen Hinweise – u. a. auch das Fehlen von weiteren Produktionsabfällen – sprechen gegen eine hauptgewerbliche Ausübung eines bestimmten Handwerks. Es dürfte sich dabei eher um Utensilien handeln, die gebraucht wurden, um Hausratsgegenstände zu unterhalten oder zu reparieren (z. B. Schleifen von Messern) oder einzelne Objekte für den Privatgebrauch herzustellen (z. B. *tesserae,* Haarnadeln). Ob die Vergesellschaftung der Beinfunde, namentlich der drei *tesserae,* des *tessera*-Halbfabrikats, der vier Haarnadeln und des Nadelhalbfabrikats für eine Produktion von Beinartefakten in Raum A spricht, ist keinesfalls zwingend.

- Wenige *Schmuckteile* aus Bronze und Bein wurden im Ostteil des Erdgeschosses, entlang von Mauer 2, gefunden. Sie bezeugen, dass sich auch Frauen im Erdgeschoss aufgehalten haben.
- Zwei der drei *Militaria* sind ebenfalls im Ostteil von Raum A zum Vorschein gekommen; ein weiteres im Westteil. Mit einem Wurfspeer **476** ist aus dem Spektrum der römischen Waffenteile eine Angriffswaffe und mit den verlustanfälligen Schurzteilen **384** und **475** sind zwei Ausrüstungsgegenstände zu verzeichnen[789]. Im Vergleich zu den Militaria und Waffen, die im Brandschutt des Obergeschosses gefunden wurden, handelt es sich aber lediglich um ein «Grundrauschen», das kurz nach der Mitte des 3. Jahrhunderts nicht weiter erstaunt. Wichtig ist, dass aufgrund der Fundlage ausgeschlossen werden kann, dass die Lanzenspitze ursprünglich im Obergeschoss stand.

Hausrat und Mobiliar aus Ensemble A11-OG

Keramik

Wie Abbildung 343 zeigt, fanden sich im Brandschutt des Obergeschosses ebenfalls zahlreiche ganz erhaltene Gefässe. In diesem Keramikensemble dominiert die Glanztonware mit einem Anteil von 31% (Abb. 344). Die orangetonige Gebrauchskeramik stellt 29%, die glatte und die reliefierte Terra Sigillata zusammen 18%. Es folgen mit 6% die grautonige Gebrauchskeramik, mit 10% die Kochkeramik und mit 3% die Reibschüsseln. Der Anteil an Amphoren und an späten Imitationen bewegt sich um jeweils 1%. Wie bei den Ensembles A11-GH/F4 und A11-EG sind die Anteile an Glanztonkeramik und orangetoniger Gebrauchskeramik sehr hoch. Diese prägen dementsprechend auch die Anteile bei den Gefässfunktionen[790]: 81% der Gefässformen entfallen

789 Vgl. zur Unterteilung der römischen Angriffs- und Verteidigungswaffen Deschler-Erb 1999, 14; 29.

790 22 Fragmente (= 3% des Gesamtbestands) konnten wegen des Fragmentierungsgrads keiner Funktion zugewiesen werden. Die Prozentzahlen der funktional zuweisbaren Keramikgefässe wurden auf der Basis der bestimmbaren Fragmente errechnet.

Keramikgattungen/Gefässe aus dem Ensemble A11-OG	Total (MIZ)	Anteile in %
glatte Terra Sigillata	83	11
reliefierte Terra Sigillata	48	7
Terra-Sigillata-Imitation	3	0
Glanztonkeramik	229	31
Späte «Imitationen»	8	1
orange Gebrauchskeramik	213	29
graue Gebrauchskeramik	43	6
Kochkeramik	74	10
Reibschüsseln	19	3
Amphoren	8	1
Total	728	100

Abb. 344: Augst BL, Insula 5/9, Raum A (Grabungen 1965–1967.052 und 2002.063). Ensemble A11-OG. Anzahl Gefässe (MIZ) und prozentuale Anteile nach Keramikgattungen. Basis: Abb. 176. Die Abweichung im Total erklärt sich aus dem Ausscheiden des Malertöpfchens.

Funktion/Form	Anzahl gesamt (MIZ)	Anteile in Prozent
Tafel-/Auftragsgeschirr	**576**	**81**
• Becher	215	30
• Schälchen	47	7
• Teller/Platten	109	15
• Schüsseln	178	25
• Krüge/Flaschen/Kannen	27	4
Kochgeschirr	**97**	**14**
• Kochteller und -töpfe	74	10
• Reibschalen	23	3
Vorratsgeschirr	**29**	**4**
• Töpfe	14	2
• Deckel	7	1
• Amphoren	8	1
Kult	**4**	**1**
Total Bestimmbare	**706**	**100/97**
Unbestimmt, keiner Funktion zuweisbar	22	**3**
Total	**728**	**100**

Abb. 345: Augst BL, Insula 5/9, Raum A (Grabungen 1965–1967.052 und 2002.063). Ensemble A11-OG. Anzahl Gefässe (MIZ) und prozentuale Anteile der Gefässformen. Basis: Abb. 176.

auf das Tafel- und Auftragsgeschirr, 14% auf das Kochgeschirr und 4% auf das Vorratsgeschirr.

Innerhalb des Tafel- und Auftraggeschirrs stellen die 215 Becher – darunter befinden sich 159 Vertreter der Form Nb. 33 – einen Anteil von 30% (Abb. 345). Neben den 215 Bechern stehen aber auch die 178 Schüsseln, die 109 Teller sowie die 97 Kochgeschirrgefässe ohne Vergleich da. Weitere 23 Reibschalen und 29 Vorratsgefässe (Töpfe, Deckel, Amphoren) ergänzen das Keramikinventar.

Mit insgesamt acht Amphoren lieferte der Brandschutt aus dem Obergeschoss deutlich mehr Transportgefässe als die Ensembles im Erdgeschoss. Es handelt sich dabei um drei Fischsaucenamphoren iberischer Provenienz, zwei Weinamphoren östlicher Herkunft[791] sowie um drei Ölamphoren südspanischer Herkunft.

Hitzebedingte Verfärbungen, Fehlbrände, sekundäre Abarbeitungen, Reparaturen und Graffiti

An einigen Gefässen aus dem Brandschutt des Obergeschosses lassen sich *Brandspuren und hitzebedingte Verfärbungen* beobachten. Im Falle des Bechers Déchelette 72 (**498**), der Schälchen Nb. 12 (**495–497**), der Teller Nb. 6 (**506, 507**) und der Schüsseln Drag. 37 und 38 (**508, 509, 511, 512**) können diese eindeutig auf das Schadensfeuer zurückgeführt werden[792]: Terra Sigillata reagiert empfindlich auf Hitzeeinwirkungen und wurde normalerweise nicht als Kochgeschirr verwendet. Spuren der Brandkatastrophe lassen sich ferner auch an den Schüsseln **559–561**, den Krügen **570** und **571**, an der Reibschale **598** und an den Amphoren **600, 601, 605** und **606** beobachten.

Bei der übrigen Gebrauchsware, wie beispielsweise bei den schwarz überzogenen Bechern der Form Nb. 33 oder bei der Kochkeramik, lässt sich nicht feststellen, ob die Brandspuren durch den Gebrauch oder bei der Zerstörung des Obergeschosses entstanden sind. Der im Backofen BO1 gefundene Becher der Form Nb. 33 bzw. der in Region 2E in einem Backofen gefundene Krug weisen keine Brandspuren auf.

Die *Fehlbrände* zeigen, dass offensichtlich durch Überbrennen[793] minderwertig gewordene Produkte noch verwendet wurden, sofern dies möglich war. So konnte z. B. die Schüssel mit gerilltem Rand **555** trotz der durch den Fehlbrand entstandenen starken Verformung des Rands als Schöpfgerät verwendet werden (vgl. Abb. 343). Auch der leicht verformte Kochtopf **590** konnte problemlos zum Kochen

791 Martin-Kilcher 1987/1994, 437.

792 Im Material sind neben dem Tongeschirr auch weitere Objekte vom Schadensfeuer gezeichnet: So z. B. das Glasschälchen **629**, das durch den Brand verformt wurde. Ferner sind auch etliche Kleinfunde, so etwa die Ortbänder aus Elfenbein **642–645**, die Lanzen- und Geschossspitzen **672–678** oder auch die Münzen **609** und **621** vom Brand gezeichnet, aber nicht bis zur Unkenntlichkeit verformt. Zur Brandtemperatur ist aus diesen Beobachtungen zu schliessen, dass diese sicher nicht die Temperatur eines Scheiterhaufenbrands erreicht hat. Dort nimmt man Temperaturen von ca. 700–800° an (vgl. Ammann 2003, 87). Diese Höhe reicht aus, um Bronze oder Glas vollständig zu Tropfen zu schmelzen und Keramik zu versintern. Um Glas zu verformen reicht je nach Glasqualität (rezykliertes oder stark mit Blei durchsetztes Glas besitzt einen tieferen Schmelzpunkt) eine Temperatur von 400° aus. Den Hinweis verdanken wir Sylvia Fünfschilling, Augst. Beobachtungen an den Wandlehmfragmenten sprechen allerdings dafür, dass beim Brand punktuell durchaus mit Temperaturen von bis zu 700° zu rechnen ist. Vgl. dazu den Beitrag von Ph. Rentzel, oben S. 235 ff.

793 Vgl. dazu Schmid 2008, 133.



Abb. 346: Augst BL, Insula 5/9, Raum A (Grabungen 1965–1967.052 und 2002.063). Ensemble A11-OG. Bodenscherbe eines Schälchens der Form Nb. 12 mit Flickloch (Inv. 1967.2134a.b, FK X06535). M. 1:2.

eingesetzt werden. Ob ein Töpfer oder Händler diese Ausschussware effektiv verkaufte, ob die Käuferschaft minderwertige Produkte zu einem reduzierten Preis kaufte oder ob die Bewohner diese auf einer Abfallhalde behändigt haben, bleibt offen. Die Verwendung von Produktionsausschuss deutet aber darauf hin, dass um die Mitte des 3. Jahrhunderts offenbar weniger hohe Qualitätsansprüche bestanden[794].

Sekundäre Abarbeitungen liessen sich an der Reibschale **599** sowie an den zwei Amphoren **605** und **606** der Form Dressel 20 beobachten. Bei der Reibschale wurde der Rand abgeschlagen und die Bruchkante überschliffen, bei den beiden Ölamphoren wurden Ränder abgearbeitet und die Henkel abgesägt. Im Fall der Reibschüssel ist – wie auch beim Milchkochtopf **365** aus Ensemble A11-GH – davon auszugehen, dass defekte Gefässe umgearbeitet und weiter benutzt worden sind, möglicherweise sogar für den gleichen Zweck. Das Recycling von Amphoren der Form Dressel 20 – meist im Zusammenhang mit einer gewerblichen Verwendung – lässt sich in Augusta Raurica immer wieder beobachten[795]. Im konkreten Fall erlaubt die Fundsituation keine diesbezüglichen Rückschlüsse; zumindest wurde zum Zeitpunkt des Brandausbruchs in den Ölamphoren kein Öl aufbewahrt.

Reparaturen liessen sich lediglich am Boden einer Schale der Form Nb. 12 in Form eines gebohrten Flicklochs beobachten (Abb. 346).

Auf drei Gefässen fanden sich *Graffiti*: Das vor dem Brand angebrachte Graffito auf dem Kochtopf **594** lässt sich leider nicht entziffern; aufgrund der Gefässform ist jedoch davon auszugehen, dass er zum Typus der sogenannten Sucustöpfe gehört. Zwei Becher tragen nachträglich eingeritzte Graffiti: Im Falle des Bechers **521** handelt es sich zweifellos um einen gallischen Männernamen eines Besitzers: CRACOMOS, abgeleitet vom gallischen Wort *krako* für «Stein».

Die zweite, sehr sorgfältig angebrachte Ritzinschrift fand sich auf dem Rand eines Bechers der Form Nb. 33 **(531):** FLORASIONONAMALAVTVACVDIIQAT[---]VE /SO. Es handelt sich dabei offensichtlich um einen ganzen Satz, wobei das Fehlen von Zwischenräumen zwischen den Buchstaben das Identifizieren einzelner Wörter sowie eine sichere Lesung und Deutung erschwert. Gaële Féret und Richard Sylvestre vermuten, dass es sich um eine Inschrift mit religiösem Charakter handelt.

Vergleicht man die Anzahl der Hitzeverfärbungen, Fehlbrände, Reparaturen, sekundären Abarbeitungen sowie Graffiti auf den Gefässen aus dem Brandschutt des Obergeschosses mit anderen Geschirrensembles aus Zerstörungshorizonten, so beispielsweise aus den Gutshöfen Worb-Sunnhalde[796] oder Biberist-Spitalhof[797], fällt auf, dass diese im Inventar des Obergeschosses von Raum A relativ besehen recht häufig sind. Das Keramikinventar aus einem Geschirrschrank aus dem Gewerbekomplex Kaiseraugst-Schmidmatt weist hingegen noch mehr sekundäre Einwirkungen auf. Es finden sich dort sekundäre Brandeinwirkungen, sekundäre Abarbeitungen und Graffiti – Gefässe mit Fehlbränden scheinen hingegen zu fehlen[798].

Geschirr aus Glas, Bronze, Eisen und Stein

Neben dem Keramikgeschirr fanden sich im Brandschutt des Obergeschosses auch verschiedene Gefässe aus Glas, Bronze, Eisen und Stein (Abb. 347), nämlich rund 19 Glasgefässe, ein Bronzeschälchen, möglicherweise ein Schöpfer[799], zwei Kessel aus Eisen sowie zwei Steinmörser.

794 Im Töpferviertel an der Venusstrasse-Ost konnte festgestellt werden, dass auch Produkte mit wesentlich geringeren Produktionsschäden ausgeschieden wurden, was wiederum dafür spricht, dass Ausschussware nicht in den Handel gelangte (vgl. dazu Schmid 2008, 130). Andererseits finden sich auch in den Siedlungsschichten immer wieder Fehlbrände.

795 Martin-Kilcher 1987/1994, 177–179 mit weiteren Beispielen.

796 Hier fand sich auf einem Becher und einem Kochtopf je ein Graffito (vgl. Ramstein 1998, Taf. 1,5; 30,13).

797 Das Keramikinventar des Holzbaus J weist keine Graffiti oder Fehlbrände auf (vgl. Angaben in Schucany 2006, 382 f. Taf. 53–59), das Keramikinventar des Steinbaus J-Phase 4 und des Gebäudes O-Phase 4 weist ebenfalls keine Graffiti oder Fehlbrände auf (vgl. Schucany 2006, 384 f. und die entsprechenden Tafeln). Zu den Graffiti aus der Villa Biberist-Spitalhof allg. vgl. Féret/Sylvestre 2006.

798 Leider liegt für den Gewerbekomplex Kaiseraugst-Schmidmatt noch keine entsprechende Liste vor (vgl. Furger 1989a, 252 f. Abb. 78–89). Vgl. dazu auch unten S. 386 ff.

799 Ähnliche Exemplare finden sich bei Kappeler 2003, Taf. 7,46; 27, 165. Unser Exemplar **(657)** ist aber aus sehr dünnem Blech gearbeitet und weist keine Randgestaltung auf. Das Nietloch stammt vermutlich von einer sekundären Verwendung. Den Hinweis verdanken wir Eckhard Deschler-Erb, Zürich.

Funktion	Anzahl	Kat.
Glas		
Becher	◊◊◊◊◊◊◊	**623–628,** o. Abb.
Schale	◊◊◊◊◊?	**629–633**
Flasche/Krug	◊◊◊◊◊◊	**634–636,** o. Abb.
Eimer	◊	**637**
Indet.	◊◊◊◊◊◊◊◊	o. Abb.
Bronze		
Schälchen	◊	**658**
Eisen		
Kessel mit Henkel	◊◊	**680, 681**
Stein		
Mörser	◊◊	**733, 733A**

Abb. 347: Augst BL, Insula 5/9, Raum A (Grabungen 1965–1967.052 und 2002.063). Zusammenstellung der nichtkeramischen Gefässe aus Ensemble A11-OG. Basis: vgl. Fundkatalog (S. 179 ff.).

Sowohl in qualitativer wie auch in quantitativer Hinsicht beachtenswert ist das Glasgeschirr. Es handelt sich dabei um sieben Becher, fünf (?) Schalen, sechs Krüge sowie um das Fragment eines Eimers. Weitere Gefässe sind unbestimmbar.

Dass etliche Glasbecher aus Insula 5 (und damit auch aus Insula 5/9) vorliegen, wurde bereits von Beat Rütti konstatiert[800]. Diese Vielzahl zeigt, dass Trinkgefässe (u. a. aus Glas) im Verlauf des 3. Jahrhunderts immer beliebter wurden. Im konkreten Fall wird diese Feststellung durch das zahlreiche Vorkommen von Tonbechern der Form Nb. 33 gestützt.

Nicht weniger auffällig ist die Zahl der aus Glas gefertigten Flaschen, Krüge und Schalen. Dabei ist allerdings zu beachten, dass Glasschalen während eines relativ langen Zeitraums produziert und verwendet worden sind und somit nicht als Indikator für einen Wechsel der Ess- oder Trinkgewohnheiten zu einem bestimmten Zeitpunkt herangezogen werden dürfen[801].

Dass die Menge der Glasgefässe dennoch nicht zwingend dafür spricht, dass das Obergeschoss von sozial besser gestellten Personen bewohnt wurde, zeigt ein Vergleich mit den Metallgefässen aus dem Brandschutt des Obergeschosses. Bronzegefässe liegen mit dem kleinen Randstück **658** und mit einem vielleicht sekundär überarbeiteten Schöpfer **657** vor. Weitere Metallgefässe wie der Kesselhenkel **681** beziehungsweise der Kessel mit Bügel und fehlendem Boden **680** waren zum Zeitpunkt des Brandausbruchs nicht intakt und daher nicht funktionsfähig. Es stellt sich folglich – wie auch bei den weiter unten besprochenen Militaria – die Frage, ob es sich dabei nicht um Altmetall gehandelt hat, das seines Materialwerts wegen im Obergeschoss aufbewahrt wurde.

Des Weiteren fanden sich im Brandschutt zwei Steinmörser **733** und **733A**. Beide Mörser sind dreibeinig, auf der Aussenseite scharriert und teilweise abgestossen. Die Böden sind durch den starken Gebrauch ausgebrochen. Auch sie waren zum Zeitpunkt des Brandausbruchs nicht mehr verwendbar – zumindest nicht als Mörser.

Funktion	Anzahl	Kat.
Haushaltsgeräte		
• Messer	◊◊◊	**640, 651, 652**
• Gerätegriff	◊	**639**
Hausausstattung		
• Beleuchtung	◊◊◊◊	**607, 660, 682, 683**
• Einrichtung	◊◊◊	**650, 656, 659**
• Schloss	◊◊◊◊◊◊◊◊◊◊	**684–693**
• Kult	◊	**730**
Schmuck/Tracht/Toilettgerät		
• Schmuck/Tracht	◊◊◊◊◊◊◊	**638, 647, 648, 661–664**
• Toilettgerät: Salbgefässe	◊◊◊	**732,** o. Abb.
Handwerk		
• Werkzeug	◊◊◊◊◊◊◊◊◊ ◊?◊?	**565, 573, 720–727, 731**
• Halbfabrikate	◊	**646**
Spiel		
• Spielsteine	◊	**649**
Militaria		
• Ortband	◊◊◊◊◊◊◊◊◊	**641–645, 653, 654, 670, 671**
• Schwert	◊◊◊◊	**665–668**
• Schwertriemenhalter	◊	**669**
• Lanze/Speer/Saufeder	◊◊◊◊◊◊◊◊	**672–679**
• Schurz	◊	**655**
Bauteile		
• Flexibel	◊◊◊◊◊◊◊◊◊◊ ◊◊	**694–704, 714**
• Fixation	◊◊◊◊◊◊◊◊◊◊ ◊◊◊◊	**705–713, 715–719**
• Steinelemente	◊◊◊◊◊◊◊	**734–740**
• Wandverputz	◊◊◊◊◊	**741–745**
• Lehmfragment	◊	**746**
Münzen	◊◊◊◊◊◊◊◊◊◊ ◊◊◊◊◊◊◊	**608–622**

Abb. 348: Augst BL, Insula 5/9, Raum A (Grabungen 1965–1967.052 und 2002.063). Zusammenstellung der Kleinfunde aus Ensemble A11-OG. Basis: vgl. Fundkatalog (S. 179 ff.).

Kleinfunde

Wie Abbildung 348 zeigt, schliesst das Inventar aus dem Brandschutt des Obergeschosses weitere Kleinfunde mit ein.

Hausratsgeräte

Diese Fundgruppe umfasst insgesamt drei *Messer* **640, 651** und **652** sowie einen nicht sicher bestimmbaren *Gerätegriff* aus Bein **639.** Der beinerne, stark verbrannte Griff **640** – vielleicht mit einer Gladiatorendarstellung (?) – stammt wahrscheinlich von einem Klappmesser.

Von den durchbrochenen Messerfutteral-Beschlägen aus Bronze **651** und **652** wurde der eine – **651** – anlässlich

800 Rütti 1991/1, 199; 258 f. Abb. 237.

801 Die relativ grosse Formenvielfalt des Glasgeschirrs und das häufige Vorkommen von Schalen lässt sich bereits im 1. Jahrhundert feststellen (vgl. Rütti 1991/1, 261).





*Abb. 349: Augst BL, Insula 5/9, Raum A (Grabung 1965–1967.052). Ensemble A11-OG. **A** Der Thekenbeschlag **651** unmittelbar nach der Auffindung im Herbst 1966. **B** Der Thekenbeschlag **651** mit dazugehörigem Einlageblech und Messer.*

der Grabung 1966.052 vollständig, das heisst mit Haltebändern und Einlageblech sowie samt dazugehörigem Messer gefunden (Abb. 349,A). Aufgrund dieser Fundvergesellschaftung konnte Ludwig Berger seinerzeit nachweisen, dass diese durchbrochenen Futterale zu Messerscheiden gehörten und nicht zu Dolchscheiden[802]. Sie können demzufolge nicht *a priori* einem militärischen Kontext zugeordnet werden, auch wenn die zahlreichen vergesellschafteten Waffenfunde dies im konkreten Fall suggerieren (vgl. unten S. 374 f.).

Hausausstattung

Der *Hausausstattung* lassen sich verschiedene Beleuchtungskörper und Einrichtungsgegenstände zuweisen. Zusätzlich gehören in diese Fundgruppe Objekte, die zu kultischen Zwecken benutzt wurden.

Beleuchtungskörper liegen in Form einer geschlossenen Tonlampe **607**, eines Brenneinsatzes aus Bronze **660**, eines Kienspanhalters **683** sowie eines Kerzenhalters mit Tülle **682** aus Eisen vor. Letztere waren im Raum an den Wänden fixiert; die Tonlampe und der Brenneinsatz konnten mobil benutzt werden.

Weitere Gegenstände – ein brandgeschwärzter beinerner Möbelbeschlag **650** und ein ebenfalls durch Brand angeschmolzenes Glöckchen **659** – lassen sich dem Mobiliar des Obergeschosses zuordnen. Der auf der Rückseite zur besseren Fixierung mit Feilspuren aufgeraute Möbelbeschlag **650** und der bronzene Beschlag **656** werden wohl von kleineren Kästchen stammen. Die zwei Schlüssel **689** und **690** und drei Schiebeschlosseingerichte **691–693** stammen vermutlich von Türen, Kästen oder Schränken, allenfalls von Fensterläden. Mit dem kleineren **684** und den beiden grösseren Vorhängeschlössern **685** und **686** sowie dem Bodenstück **688** und der Kette **687** liegt eine bislang einmalige Konzentration dieser raffinierten Konstruktionen vor. Die Kartierung, Rekonstruktion und Interpretation der insgesamt 14 bislang bekannt gewordenen Vorhängeschlösser aus Augusta Raurica sowie weiterer Exemplare aus der näheren und weiteren Umgebung zeigt, dass derartige Vorhängeschlösser sowohl in militärischen wie auch in zivilen Kontexten zum Vorschein gekommen sind[803]. Schwieriger zu erklären ist die Konzentration dieser Funde im Obergeschoss von Raum A – auch wenn gut vorstellbar ist, dass der Gebrauchs- und Materialwert der hier aufbewahrten Objekte zusätzliche Sicherungsmassnahmen nötig machte. Juvenal erwähnt

802 Berger 1966, 14; Berger 2002, 13. Vgl. dazu auch die Rekonstruktionszeichnung in Berger 2002, 26 Abb. 26.

803 Furger u. a. 1990, Abb. 20 (Kartierung der Fundorte in Augusta Raurica); 23 (Entwurf einer Verbreitungskarte in den nordwestlichen Provinzen). Eine Datenbankrecherche zeigte, dass in Augusta Raurica mittlerweile mindestens ein weiteres Vorhängeschloss zum Vorschein gekommen ist (Inv. 1998.060.E02101.1). – Eine illustrative Rekonstruktion findet sich bei Rabold 2005, 95 mit Abb. 88.

jedenfalls die Verwendung derartiger Vorhängeschlösser zum Verriegeln der Brettertüren von Tabernen[804].

Sicher für kultische Zwecke verwendet wurden der Schlangentopf **575**, der Räucherkelch **574** und möglicherweise auch der Gesichtstopf **576**. Abgesehen vom letztgenannten Gefäss sind jedoch alle Kultgefässe nur als einzelne Fragmente überliefert. Dies gilt auch für die Knabenbüste aus Pfeifenton **730**. Das Glöckchen **659** gehörte, wahrscheinlich zusammen mit den identischen Glöckchen **797–800** aus Ensemble A12, vielleicht zum Gehänge einer Lampe[805] oder zu einem Lararium[806]. Von solchen *tintinnabula* erhofften sich die Anwohner eine apotropäische Wirkung, zumal sie auch als Amulette getragen wurden[807].

Schmuck und Trachtbestandteile, Toilettgerät

Schmuck und Trachtbestandteile liegen mit einer Melonenperle **638**, dreier Haarnadeln **647, 648** und **661**, eines Röhrenarmreifs **663**, einer Gürtelschnalle **664** sowie einer Distelfibel **662** vor. Letztere stammt sicher aus dem 1. Jahrhundert und ist in diesem Zusammenhang als Altfund zu taxieren (s. o. S. 182). Abgesehen von der Gürtelschnalle und der Melonenperle, die sowohl als Amulett getragen wurde[808] als auch Bestandteil des Pferdegeschirrs war[809], können alle Schmuck- und Trachtbestandteile der weiblichen Sphäre zugewiesen werden.

Toilettgerät ist in Form von zwei nicht näher bestimmbaren Amphoriskenfragmenten[810] (o. Abb.) und mit einem Steingefäss aus Marmor **732** vertreten. Derartige Steingefässe sind ausgesprochen selten und dienten zur Aufbewahrung von speziellen Essenzen, wie beispielsweise von Salben, Parfums oder Ölen[811]. Ob dies im konkreten Fall auch zutrifft, bleibt offen.

Handwerk

14 Objekte aus dem Brandschutt des Obergeschosses lassen sich mit verschiedenen handwerklichen Aktivitäten in Verbindung bringen. Im ganz erhaltenen Topf **565** fanden sich neben einem kleinen Stoffstückchen und Nagerkot Reste von einer gelb färbenden Pflanze – der gemeinen Spitzklette *(xanthium strumarium)*[812]. Im sogenannten Malertöpfchen **573** waren hingegen keine pulvrigen Farbspuren oder Farbpigmente mehr erhalten[813]. Es bleibt somit offen, ob es von einem Maler oder Färber verwendet wurde. Bei der am Öhr beschädigten Nähnadel **646** könnte es sich um ein Halb- oder Fehlfabrikat handeln.

Neben diesen Objekten, die wohl im färb- oder textilverarbeitenden Handwerk zum Einsatz kamen, fanden sich auch verschiedene Werkzeuge, so die Meissel oder Pfrieme und Ahlen **720–729.** Meissel können in Spitzmeissel, Flachmeissel, Kreuzmeissel, Beitel, Pfrieme und Ahlen eingeteilt werden[814]. Sicher identifizieren lassen sich die beiden Flachmeissel **720** und **721** sowie die Spitzmeissel **722** und **725**; bei **726–728** ist keine sichere Zuweisung möglich. Flachmeissel wurden sowohl für die Stein- als auch für die Metall- oder Holzverarbeitung verwendet, Spitzmeissel fanden ebenfalls bei der Steinbearbeitung Verwendung, dienten aber auch zum Lochen von Metall oder Leder[815]. Diese Werkzeuge lassen sich folglich nicht einem bestimmten Gewerbe zuweisen. Angesichts der zahlreichen und zum Teil beschädigten Metallfunde aus dem Brandschutt des Obergeschosses ist denkbar, dass diese Werkzeuge hier in erster Linie für die Metallverarbeitung verwendet wurden. Schlackenfunde, Schmiedehalbfabrikate, Barren, geschrotete Metallstreifen[816] oder Installationen, die diese Vermutung stützen würden, fehlen indes. Lediglich ein Tiegel **731** deutet darauf hin, dass hier in kleinen Mengen Buntmetall verarbeitet worden sein könnte.

Gleichzeitig ist zu berücksichtigen, dass die zum Teil beschädigten und nicht verwendbaren Militaria, Vorhängeschlösser, Baueisen usw. nicht nur Gebrauchsobjekte darstellen, sondern auch als zusammengetragenes «Altmetall» interpretiert werden können[817]. Diese Deutung schliesst nicht aus, dass verschiedene Objekte, so z. B. die Schwerter **665–668**, die Vorhängeschlösser **684–688** oder der Eimer **680**, im Hinblick auf eine spätere Reparatur und Wieder-

804 Juvenal, Satiren 3, 304. Im konkreten Fall scheinen die Vorhängeschlösser jedoch eher zum Anketten von wertvolleren Warenballen oder Kisten gedient zu haben. – Wie die von Thompson 1993, 57 vorgelegten Fesseln zeigen, scheint die bei Furger u. a. 1990, 165 erwogene Verwendung u. a. für die Fesselung von Gefangenen bei den Kat. 31, 33 und 34 eher unwahrscheinlich. Die ebd. (S. 152 Kat. 9a) erwähnte Handfessel aus Basel ist mittlerweile publiziert: Spichtig 1995; Spichtig 2008. Vgl. ferner den neu publizierten Fessel(?)-Kettenabschnitt bei Schuster 2009.

805 Vgl. Deschler-Erb u. a. 1996, 71 f.; Fünfschilling 2006, 221.

806 Vgl. Kaufmann-Heinimann 1998, 241 f., bes. Abb. 193.

807 Vgl. etwa Mackensen 1978, 42, bes. Anm. 111; S. 45, bes. Anm. 136; Deschler-Erb u. a. 1996, 72 bes. Abb. 59; Hintermann 2000, 129 ff., bes. Anm. 786; 792.

808 Hintermann 2000, 129 f.

809 Fünfschilling 2006, 200.

810 Die Bestimmung des Henkels (o. Abb.), der evtl. von einem Amphoriskos stammt, verdanken wir Sylvia Fünfschilling, Augst.

811 Fünfschilling 1989, 304; 318.

812 Vgl. dazu den Beitrag von M. Kühn und M. Klee, oben S. 232 f.

813 Vgl. dazu Meylan Krause 2001, 53 Abb. 72; Bender 1977.

814 Vgl. Pietsch 1983, 29; Schaltenbrand 1996, 144; 148–153 Tabelle 66.

815 Schaltenbrand 1996, 150; 152.

816 Vgl. Furger/Riederer 1995, Abb. 1,7.8.

817 Vgl. auch oben S. 184 f. und unten S. 374. Altmetall, das zum Rezyklieren als Metallvorrat diente und hierfür gesammelt wurde, konnte aus verschiedenen Befund- und Fundzusammenhängen nachgewiesen werden. Vgl. z. B. Richter 2001, Abb. 28; 29; Fünfschilling 2006, 225; Schwarz 2004, 259 Abb. 126; Furger/Riederer 1995, 136 Anm. 13; S. 138 f. Abb. 5; S. 177; Gralfs 1994, 5; 10 f. Kat. 30; S. 18 Kat. 115; S. 24 Kat. 14. Vgl. in diesem Zusammenhang auch Gralfs 1988, 17–20; 32; 40 f. (Beschreibung von Metallblechen aus dem oberen Stockwerk einer Metallwerkstatt vor der Porta Vesuvio, die offensichtlich mit Hammer und Amboss zu Gefässen, Möbelbeschlägen usw. verarbeitet wurden; im Erdgeschoss wurde zudem die Statue «des Jünglings von der Porta Vesuvio» gefunden, die sich vermutlich zur Reparatur in der Werkstatt befand).

verwendung aufbewahrt worden sind. So besehen, könnten die oben beschriebenen Werkzeuge für die Metallverarbeitung zum «Werkzeugkasten» eines privaten oder kleinindustriellen Haushaltes gehört haben (vgl. unten).

Spiel

Im Brandschutt des Obergeschosses fand sich lediglich ein einziger Spielstein **649**. Aus dem Umstand, dass sich ansonsten nur noch im Gehhorizont des Erdgeschosses (Ensemble A11-GH/F4) Spielsteine fanden, lässt sich ablesen, dass diese innerhalb des Gesamtspektrums eine vernachlässigbare Grösse darstellen und möglicherweise einzeln – im Verlauf der letzten Benutzungszeit des Obergeschosses – von den Bewohnern verloren wurden.

Militaria

Die bereits von Stefanie Martin-Kilcher in typologischer und technologischer Hinsicht ausführlich gewürdigten Waffen und Waffenbestandteile[818] haben mit der vollständigen Vorlage des Fundguts aus dem Brandschutt des Obergeschosses eine zwar marginale, aber dennoch nicht unwesentliche Erweiterung erfahren (Abb. 350–352)[819]: Neu hinzugekommen ist der Riemenendbeschlag **655**, der das ansonsten durch Angriffswaffen geprägte Ensemble A11-OG um einen militärischen Trachtbestandteil erweitert.

Wie bereits erwähnt, wurde die Konzentration von Waffen und Waffenbestandteilen schon früh als Relikt eines «militärischen Postens» interpretiert[820]. Bei der Betrachtung des militärischen Fundstoffs aus dem Brandschutt des Obergeschosses fällt aber auf[821],

- dass lediglich am Schwert **665** Reste einer verbrannten Scheide aus Ahornholz anhaften (s. o. S. 233 f.).
- dass sich an keinem der Schwerter **666–668** Reste eines Griffes oder einer Parierstange fanden[822].
- dass neun Ortbänder **641–645**, **653**, **654**, **670** und **671**, aber lediglich vier Schwerter **665–668** vorliegen[823].



*Abb. 350: Augst BL, Insula 5/9, Raum A (Grabung 1965–1967.052). Ensemble A11-OG. Das Kurzschwert **668** und die Schwerter **665–667**.*

- dass die drei peltaförmigen Ortbänder **641**, **653** und **654**, die zwei eisernen Dosenortbänder **670** und **671** sowie die vier Dosenortbänder **642–645** kein einheitliches Typenspektrum verkörpern.
- dass der Thekenbeschlag **652** sowie die Waffen und Waffenbestandteile, wie etwa die Saufeder **679** sowie die Ortbänder **641–645**, **653**, **654**, **670** und **671**, zum Zeitpunkt der Brandkatastrophe offensichtlich nicht funktionsfähig waren[824].

818 Martin-Kilcher 1985, 181–190; Bishop/Coulston 1993, 127 Abb. 86,1.6. Vgl. auch Biborski/Ilkjær 2006/1, 203 Abb. 137 (Verbreitungskarte der Schwerter vom Typ Lauriacum-Hromowka); S. 243 Abb. 151 (Verbreitungskarte der Schwerter vom Typ Straubing-Nydam); Miks 2007, 80 ff.; 92 ff.; 116 f. (Katalogverweise vgl. auch S. 208).

819 Dies, obschon zwei Bronze- und gegen 30 Eisenobjekte zurzeit nicht auffindbar sind.

820 Vgl. Berger 1966, 3; Ulbert 1974, 207; Martin-Kilcher 1985, 194.

821 Die Bemerkungen zur Fundlage bei Ulbert 1974, Anm. 49 sind in diesem Sinne zu korrigieren. Falls sich die Objekte zum Zeitpunkt des Brandausbruches im Erdgeschoss befunden hätten, müssten sie – wie z. B. die Statuetten aus dem Lararium – auf dem Gehhorizont bzw. unter dem Brandschutt des Erdgeschosses zum Vorschein gekommen sein. Ausschlaggebend ist im konkreten Fall weniger die absolute Fundhöhe, sondern der entsprechende Vermerk auf den einzelnen FK-Zetteln.

822 Vgl. in diesem Zusammenhang das gut erhaltene Schwertensemble aus Nydam (Bishop/Coulston 1993, Abb. 87). Wie die Dosenortbänder aus Elfenbein **642–645** zeigen, hätte ein Bein- oder Elfenbeingriff (vgl. etwa das bei Martin-Kilcher 1985, 156 Abb. 6 bzw. bei Biborski/Ilkjær 2006/1, 244 Abb. 150 abgebildete Exemplar aus Köln) die Feuereinwirkung ohne grössere Beschädigung überstanden.

823 Stefanie Martin-Kilcher mochte seinerzeit nicht ausschliessen, dass sich «aufgrund der Ortbänder mindestens 8 Schwerter, ein Kurzschwert sowie fünf Lanzen und weitere Geschosse [...] in diesem Haus eingerichteten Posten [befunden haben müssen]» (Martin-Kilcher 1985, 194). Da die Ortbänder im unteren Teil des Brandschutts lagen (vgl. Abb. 351; 352), kann ausgeschlossen werden, dass die allenfalls darin steckenden Schwerter später behändigt worden sind.

824 Das Messer mit Thekenbeschlag **651** und die Schwertscheide **665** belegen, dass das Fehlen von organischen Materialien nicht auf die Feuereinwirkung zurückgeführt werden kann. In den Tüllen der Lanzen- und Geschossspitzen **672–678** wurden auch keine verkohlten Reste der Holzschäftung gefunden. Diese wären gemäss Auskunft des ehemaligen Leiters des Konservierungs- und Ruinendienstes in Augusta Raurica, Werner Hürbin, sicher nicht entfernt worden.

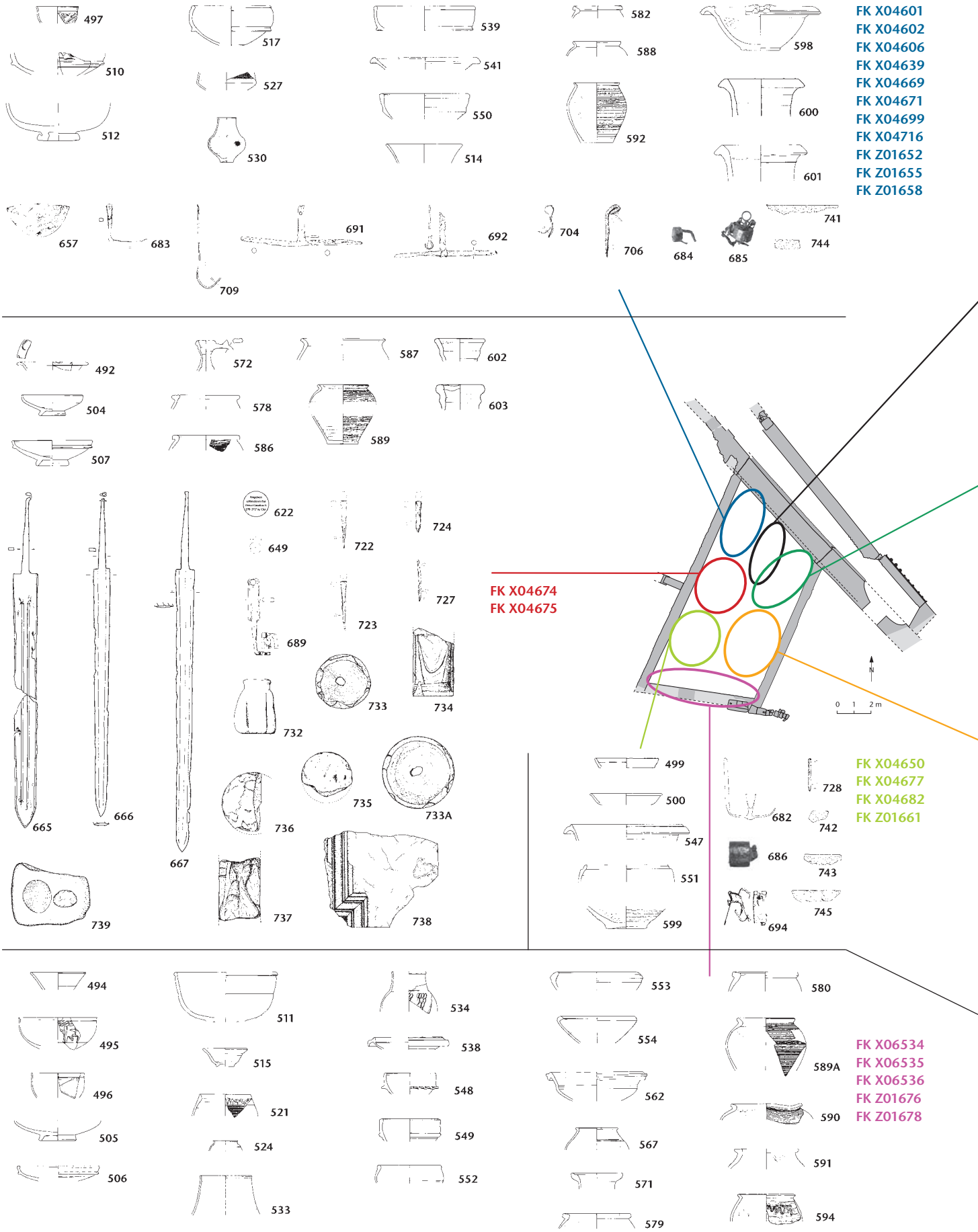
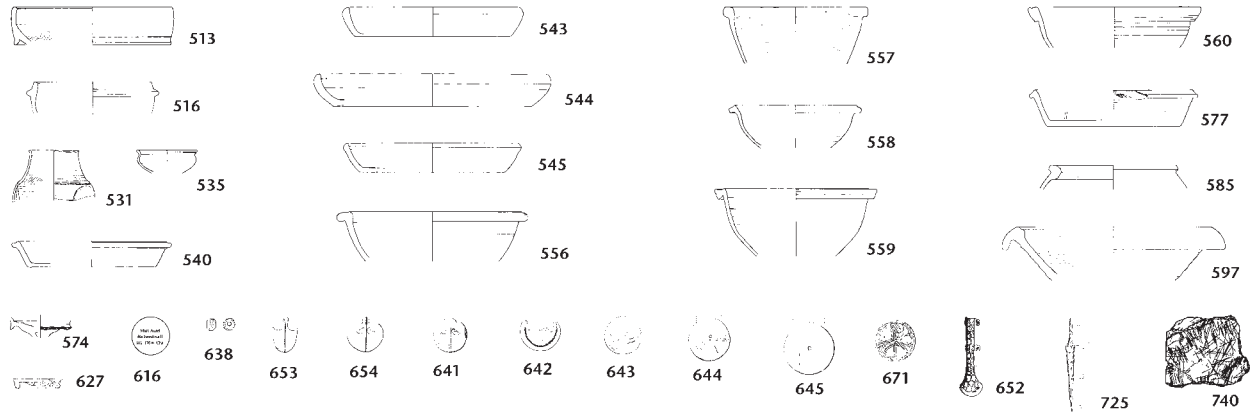


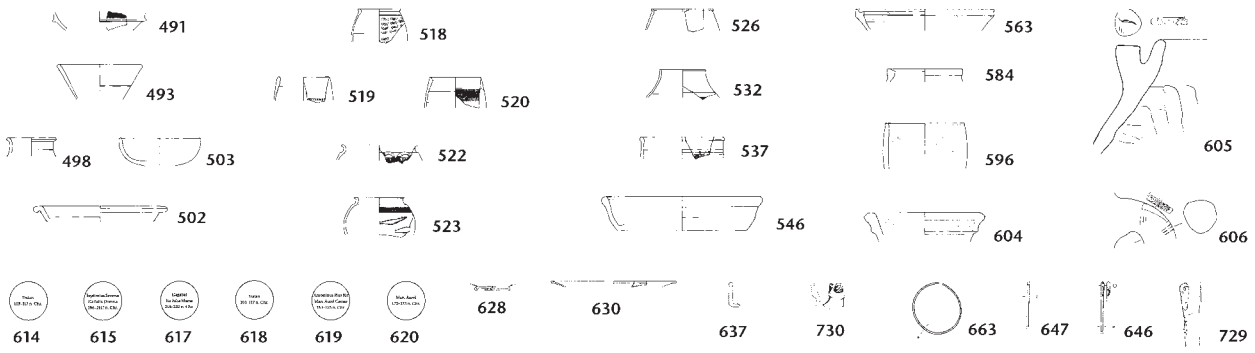
Abb. 351: Augst BL, Insula 5/9, Raum A (Grabungen 1965–1967.052 und 2002.063). Ensemble A11-OG. Fundlage und Fundverteilung der Keramik und der Kleinfunde innerhalb von Raum A. M. 1:12 (Stein M. 1:40).

FK X04624
FK X04644
FK X04648
FK X04685
FK X06544

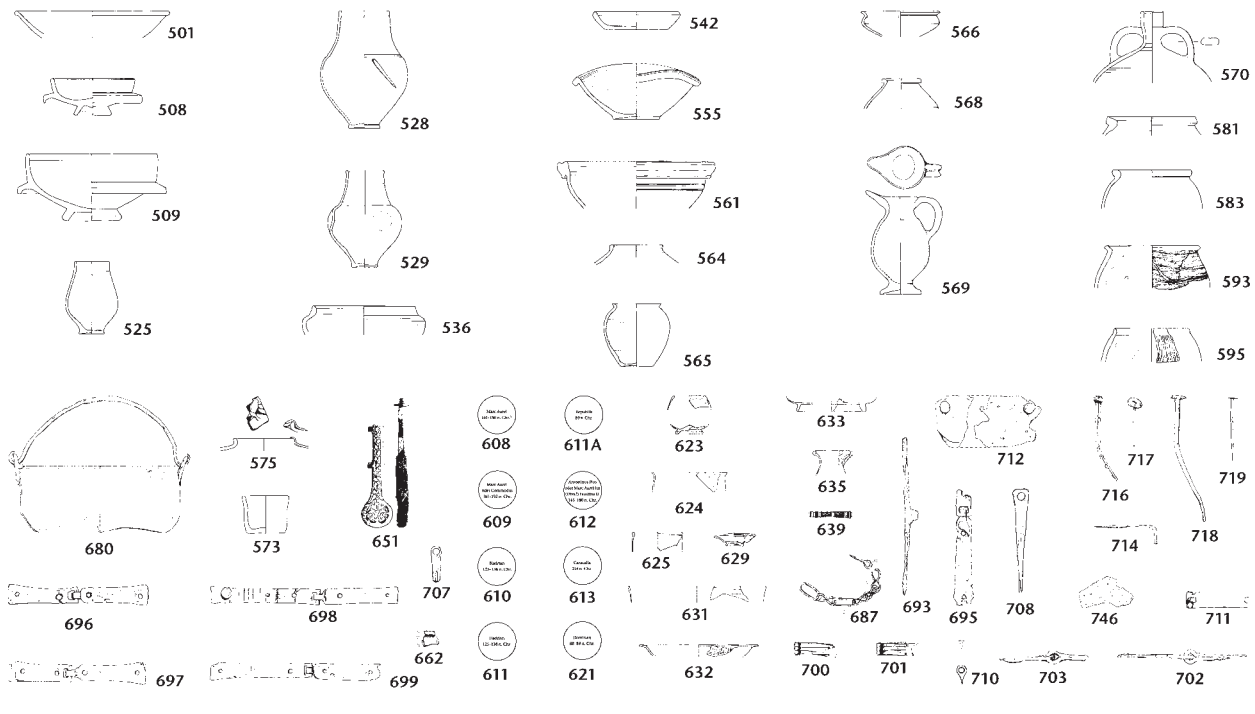


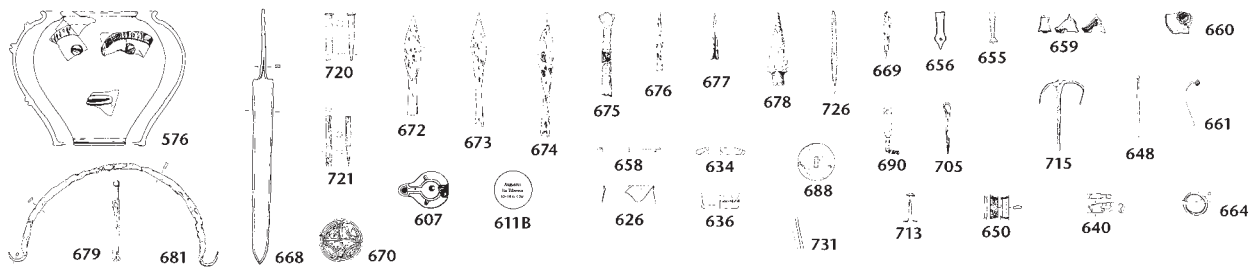
FK X04621
FK X04627
FK X04628
FK X04652
FK X04658
FK X04664

FK X04668
FK Z01679



FK X06511
FK X06514
FK X06519
FK X06521





- dass die gebogene Klinge des Schwertes **667** vom Typ Straubing-Nydam ohne Angelknopf und mit möglicherweise bereits vor dem Brand gekrümmter und somit mit beschädigter Klinge überliefert wurde.
- dass sich im Brandschutt – abgesehen vom Riemenendbeschlag **655** – keine Trachtbestandteile wie etwa Anhänger, Beschläge oder Schnallen und auch keine Schutzwaffen fanden.
- dass die insgesamt 23 Waffen und Waffenbestandteile nur einen geringen Anteil der Metallfunde und Beinartefakte stellen.

Die Zusammensetzung der Waffenfunde und Militaria – wie beispielsweise die Beigaben eines um 194 n. Chr. bestatteten Soldaten in Lyon[825] und andere in etwa zeitgenössische Grabfunde[826] zeigen – spricht gegen eine Interpretation als Relikt der Standardausrüstung eines einzelnen Armeeangehörigen oder mehrerer Soldaten[827]. Schutzwaffen fehlen vollständig. Zudem war ein Teil der Hieb- und Stosswaffen zum Zeitpunkt des Brandausbruches nicht einsatzbereit bzw. gar nicht komplett. Es scheint sich folglich eher um ein aus Waffen und anderen militärischen Ausrüstungsgegenständen zusammengesetztes «Altmetalldepot» gehandelt zu haben, das am Ende von Phase 11 ein Raub der Flammen geworden ist[828].

In diesem Zusammenhang sind namentlich die Beobachtungen von Thomas Fischer zur Zusammensetzung der Eisen- und Bronzehorte im Kastell *Quintana*-Künzing von Interesse[829]: In Künzing umfasste der sogenannte Hort I eine «durch den Brand quasi konservierte Auswahl» von Waffen und militärischen Ausrüstungsgegenständen. Die Analyse des in einer Grube gefundenen Ensembles ergab, dass es sich dabei um Objekte handelte, die zum Zeitpunkt des Brandausbruchs nicht getragen worden sind, das heisst, offensichtlich nicht zur persönlichen Ausrüstung eines Soldaten gehörten und, bevor sie dem Boden anvertraut wurden, wahrscheinlich als «Ladenhüter» in einer Waffenkammer standen[830].

Für diese Annahme könnten einerseits auch die bereits erwähnten Werkzeuge sprechen, andererseits die Zusammensetzung der Ortbänder. Diese waren zum Zeitpunkt des Brandausbruchs nur «teilweise neuesten Datums»[831]. Die etwas aus der Mode gekommenen Ortbänder aus Bronze **653** und **654** wurden vermutlich deswegen aufbewahrt, weil die Gefahr von Verlust oder Beschädigung dieser Waffenbestandteile relativ gross war und es sich – wie vielleicht auch bei den Ortbändern aus Eisen und Elfenbein – um Ersatzteile handelte. Der Umstand, dass alle Ortbänder zwischen ca. 250 und 260/270 n. Chr. ins Obergeschoss von Raum A gelangt sind, bestätigt schliesslich die Annahme, dass die peltaförmigen Ortbänder aus Bronze und die Dosenortbänder aus Eisen und Bein zwischen ca. 250 und 260/270 n. Chr. noch in Gebrauch waren bzw. erst in diesem Zeitraum aufkommen. Beim vielleicht «ad hoc gefertigten Kurzschwert» **668** könnte es sich um einen Dolchersatz handeln, der durch das allmähliche Verschwinden des Dolchs im Verlauf der zweiten Hälfte des 3. Jahrhunderts zum nicht mehr benötigten Altstück geworden ist[832].

Bei den militärischen Funden aus dem Obergeschoss lässt sich somit nicht mit Sicherheit entscheiden, ob es sich um zusammengesammeltes oder aufgekauftes Altmetall gehandelt hat oder um die Relikte einer Waffenkammer bzw. *fabrica*[833]. Auch diese müsste allerdings nicht zwingend von

825 Vgl. Ulbert 1974, 211 Abb. 4; Bishop/Coulston 1993, Abb. 92.

826 Vgl. in diesem Zusammenhang u. a. Coulston 1987, 146–149; Fischer 1988, 176–185; Martin-Kilcher 1993, 299 f.; 302 (jeweils mit ausführlicher Literatur zu militärischen Grabfunden).

827 Im fraglichen Zeitraum beim Auxiliarsoldaten: Helm, Kettenhemd, Ovalschild und allenfalls eiserne Beinschienen sowie Spatha, Lanze und Dolch (vgl. Fischer 1991, 166 f. mit weiterer Literatur). Bei der Kavallerie: Helm, Schuppenpanzer, Schild sowie Spatha, Lanze und mit Bolzen bestückte Wurflanzen (vgl. Fischer 1991, 167–169 mit weiterer Literatur). – Besonders illustrativ ist das Soldatengrab aus Lyon (vgl. Anm. 825 f.). Die (publizierten) Ausrüstungsteile umfassen u. a. einige kleinteilige Militaria wie etwa die Bronzebuchstaben einer glücksbringenden Inschrift *(utere felix),* eine Kniefibel, stabförmige Riemenzungen und die Beschlagplatte des Schwertgehänges.

828 Vgl. in diesem Zusammenhang auch Fischer 2001a, 13: «... auch bei gut beobachtetem Fundmaterial lässt ein genaues Abwägen nicht immer nur eine einzige Möglichkeit zur Erklärung des Vorkommens von Militaria in einer Zivilsiedlung übrig».

829 Fischer 1991, 164–169; zur Bedeutung des altbekannten Eisenhortes vgl. auch Ulbert 1974, 210.

830 Dies zeigte z. B. die detaillierte Analyse des Hortfundes (Hort I) aus Künzing (Fischer 1991, 129–159). Es handelt sich dabei um Metallobjekte militärischer und ziviler Provenienz, welche teilweise aus den abgebrannten *armamentaria* des Kastells sowie aus abgebrannten Häusern des *vicus* stammen und von Metallsammlern zusammengetragen und versteckt worden sind. Somit stellt Hort I aus Künzing ein willkürlich zusammengestelltes Sammelsurium dar; die darin enthaltenen Militaria dürften zum Zeitpunkt der Brandkatastrophe ebenfalls veraltet gewesen sein (Fischer 1991, 169 f.).

831 Martin-Kilcher 1985, 194 Anm. 135 und Miks 2007, 340–342, der bei den Volutenortbändern vom Typ «Zugmantel» von einem Umlaufschwerpunkt in der ersten Hälfte des 3. Jahrhunderts ausgeht.

832 Zuletzt siehe Miks 2007, 75–77 Taf. 53,A23,4 und vgl. Fischer 1991, 140 Abb. 9,17 Anm. 33; S. 167 (mit weiteren Interpretationsvorschlägen). Vgl. dazu auch Martin-Kilcher 1985, 178 Anm. 80; S. 183 (Bemerkungen zu einem möglicherweise weiteren «ad hoc gefertigten» Dolch aus der Insula 29). – Interessant sind in diesem Zusammenhang auch die von Ulbert 1974, 210 f. referierten Überlegungen von F. R. Hermann, der die ähnlich improvisiert wirkenden Kurzschwerter aus dem Kastell Künzing mit «einem akuten Bedarf an kurzen Nahkampfwaffen vor der Eroberung durch die Alamannen» erklärt. Kritisch zur *«ad-hoc*-Herstellung» solcher Kurzschwerter: Luik 2005, 184. Vgl. in diesem Zusammenhang ferner auch Ubl 1994.

833 Thomas Fischer hält in diesem Zusammenhang explizit fest, dass «verschiedene Ursachen das gleiche archäologische Fundbild bewirken» können (Fischer 1991, 173 Anm. 91). Vgl. auch die Zusammensetzung des Hortes aus Corbridge (Bishop/Coulston 1993, 35–37 Abb. 10 und mit weiterer Literatur).

Armeeangehörigen betrieben worden sein[834]: Es könnte sich auch um das Warenlager eines zivilen Handwerkers gehandelt haben, der Waffen von Armeeangehörigen oder Bürgermilizen (s. u. S. 397) reparierte, umarbeitete (vgl. das «Kurzschwert» **668**) bzw. diese mit ausgemusterten oder aufgekauften Waffen aus Armeebeständen versorgte[835].

Bauteile, Architekturelemente, Wandverputz, Lehmfragmente

Unter den eisernen *Bauteilen* aus dem Brandschutt des Obergeschosses finden sich vor allem Innenarchitektur-Bestandteile[836]. Die Fülle an Bauteilen kann – im Gegensatz zu den anderen Ensembles aus Augusta Raurica – im konkreten Fall mit der Schichtgenese resp. mit dem Liegenlassen von (theoretisch) wieder verwertbaren Metallgegenständen erklärt werden[837].

Die hier vorliegenden Bauteile, wie etwa die Scharniere **695–699**, die Splinte **700–704** sowie die Beschlagbänder **710–712** stammen von Türen, Kästen, Kisten oder Regalen, möglicherweise auch von Fensterläden. Dabei fällt auf, dass die Anzahl der erhaltenen Scharniere, insbesondere die Anzahl der Hakenösenscharniere **695–699**, erstaunlich hoch ist (vgl. Abb. 351; 353). Die fünf Hakenösenscharniere wurden zusammen mit dem nicht sicher bestimmbaren Exemplar **711** entlang von Mauer 2 aufgefunden. Dies könnte darauf hindeuten, dass im Obergeschoss mindestens drei Kisten, Truhen oder Kästen standen[838]. Zu diesen könnten auch die Splintscharniere **700–704**[839] bzw. die Ösenstifte **705** und **706**, die zum Einhängen von Haken oder Angeln gedient haben, gezählt werden[840].

Die zwei Haken mit durchlochten Rückenplatten **707** und **708** könnten zum Aufhängen eines an Seilen fixierten Regalbretts gedient haben oder als Gegenstück von scharnierartigen Verbindungen angesprochen werden[841].

Die wenigen Nagelfragmente, die noch im Fundmaterial vorhanden sind, stammen entweder von vierkantigen Scheibenkopfnägeln **(714, 717–719,** o. Abb.), von T-förmigen Nägeln **(715)** und/oder von Nägeln mit pilzförmigem Kopf **(716).** Letztere wurden vor allem als Ziernägel gebraucht, könnten also von den erwähnten Kisten, Truhen oder Kästen stammen[842]. Die T-Nägel wurden vorab als Haltevorrichtungen für Stein-, Ziegelplatten oder *tubuli* verwendet, oder zum Fixieren von Holzbrettern[843]. Scheibenkopfnägel gehören bei Holzbauten zu den geläufigen Funden; die geringe Zahl könnte jedoch darauf hinweisen, dass der Holzrahmen des Gefaches des Obergeschosses nicht vernagelt, sondern verzapft war. Dies dürfte auch auf weitere Teile des Mobiliars (Kisten, Truhen, Kästen) zutreffen.

Architekturelemente

Abgesehen von den beiden Bodenplatten aus Muschelkalk (**740**; o. Abb.) stammen alle Architekturelemente (**734–739**) aus einem einzigen Fundkomplex (FK X04675). Es handelt sich dabei um eine Halbsäule mit Schaft und Basis **734**[844], um das Kapitell oder die Basis eines Pilasters **737** mit sekundär abgearbeiteten Faszien aus Sandstein, um den Quader eines Fenstergewändes oder einer Schwelle **738** und um zwei glatte Säulentrommeln **735** und **736** aus kreidigem Muschelkalk sowie um eine grosse Kieselwacke **739**. Letztere weist auf beiden Seiten Vertiefungen auf: Diejenige auf der Oberseite ist stark ausgeschliffen, die zwei Vertiefungen auf der Unterseite sind gepickt. Es könnte sich dabei um eine sekundär verwendete Drehpfanne gehandelt haben.

Die beiden im Brandschutt des Obergeschosses gefundenen Bodenplatten (**740**; o. Abb.) dürften analog zu den Exemplaren aus dem Erdgeschoss in sekundärer Verwendung als Arbeitsunterlage verwendet worden sein.

Die mit FK X04675 geborgenen Architekturelemente **734–739** stammen alle aus einer Schicht, die in der Grabungsdokumentation als «Mauer- und Brandschutt» bezeichnet wird. Wie bereits ausgeführt (S. 242 f.), ist davon auszugehen, dass der Teil des Mauerschutts und damit auch die Architekturelemente wahrscheinlich unmittelbar *nach der Zerstörung von Raum A* auf den Brandschutt gelangt sind. Dies entweder im Zusammenhang mit der Herstellung von Branntkalk in Phase 12 oder beim Aushub des Wall-Graben-Systems der *enceinte réduite* in Phase 13. Demzufolge ist nicht gesichert, dass die Architekturelemente im Oberge-

834 Vgl. oben S. 371 f. Vgl. in diesem Sinne auch Allason-Jones 1999; Fischer 2001b. Zu den Waffenfunden in Villen vgl. Pfahl/Reuter 1996, 127; 141 Anm. 29.

835 Bei Ersterem könnte es sich z. B. auch um Ausrüstungsgegenstände handeln, welche den aus dem Dienst ausscheidenden Soldaten abgekauft worden sind. Graffiti, die diese gängige Praxis belegen würden, fanden sich jedoch an keinem der fraglichen Objekte (vgl. dazu auch Fischer 1991, 165, bes. Anm. 71 mit weiterer Literatur).

836 Zwei weitere Bronze- und gegen 30 Eisenobjekte sind zurzeit nicht auffindbar.

837 Vgl. Fünfschilling 2006, 222. Hufschmid 1996, 104; 123 und Sütterlin 1999, 117 erklären das Fehlen von Metallobjekten damit, dass es sich um sekundär umgelagerte Füllschichten handelt oder um Schichten, die nach wieder verwertbaren Materialien durchsucht worden sind.

838 Emilie Riha schliesst aus, dass solche Scharniere von Türen stammen. Ihre Zuweisung zu Kisten erfolgte aufgrund von Grabfunden (vgl. Riha 2001, 46 f.; 88 mit Abb. 22). Bei Riha 2001 sind nur drei der fünf bis sechs Hakenösenscharniere aus dem Brandschutt aufgeführt.

839 Riha 2001, 49; Schaltenbrand 1996, 178 f.

840 Vgl. Fünfschilling 2006, 223; Schaltenbrand 1996, 180 f. mit Rekonstruktionszeichnung Abb. 166.

841 Vgl. Fünfschilling 2006, 223; Schaltenbrand 1996, 191 f. (Haken als Aufhängevorrichtungen); 179 f. E669 (Scharniere).

842 Vgl. in diesem Zusammenhang auch Rychener 2004, 81 f., bes. Abb. 9 ff.

843 Vgl. Fünfschilling 2006, 223 f.; Schaltenbrand 1996, 182; 186 f.

844 Das Architekturelement konnte nur anhand von Fotos und Zeichnungen beurteilt werden.

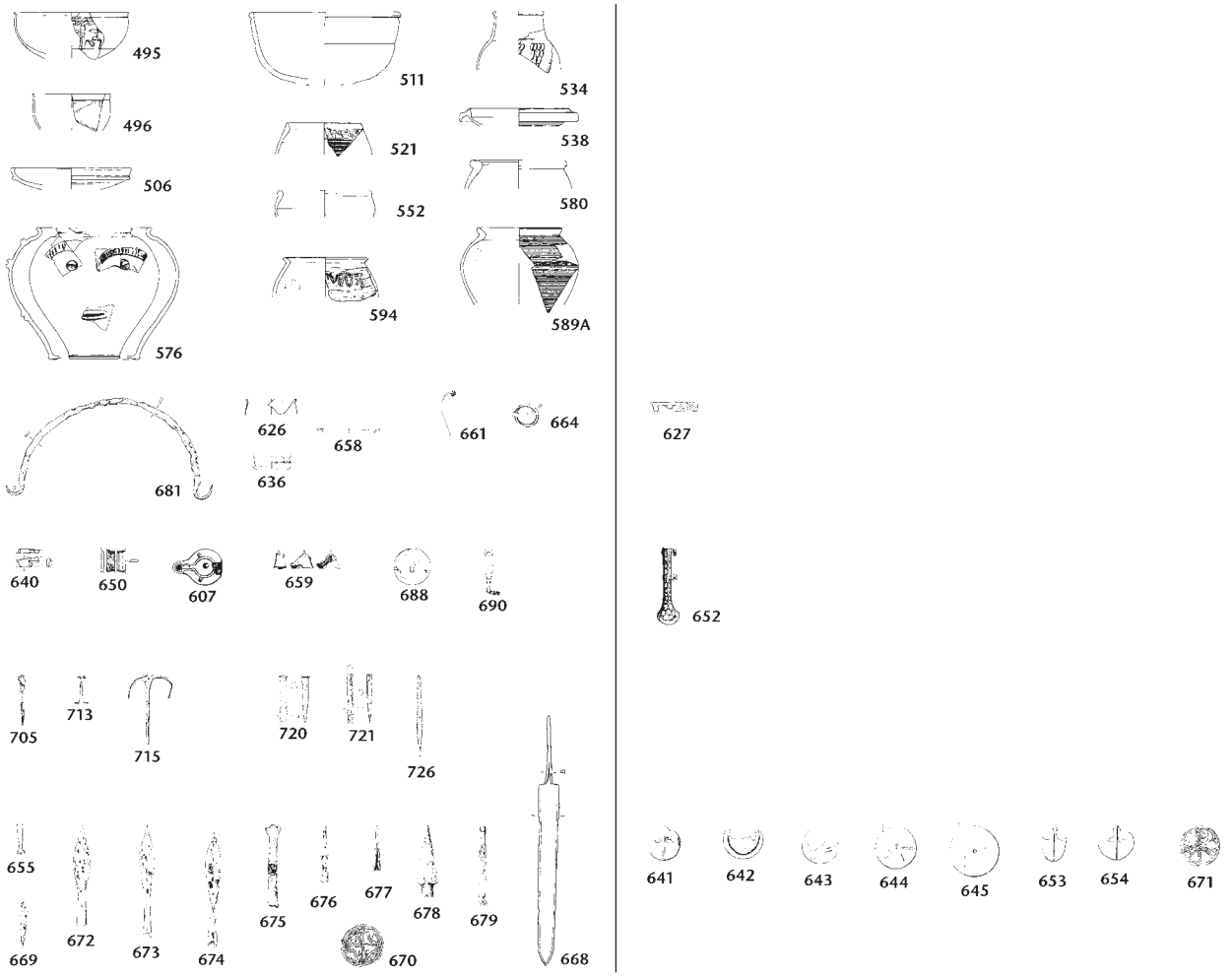


Abb. 352: Augst BL, Insula 5/9, Raum A (Grabungen 1965–1967.052 und 2002.063). Ensemble A11-OG. Zusammenstellung der Funde aus den Fundkomplexen X06535 (links) und X06544 (rechts). Die Fundkomplexe stammen aus dem Nord- und aus dem Südteil von Raum A. M. 1:12.

schoss von Raum A verbaut waren. Sie könnten aus dem Bereich der Portikus (Raum C) bzw. aus der aus Spolien errichteten Mauer 3C stammen, die beim Aushub von Graben 2 zum Teil zerstört wurde.

Die wenigen bemalten *Wandverputzfragmente* **741–745** sind von unterschiedlicher Qualität und so stark fragmentiert[845], dass sie sich kaum zusammenhängend deuten lassen. Die Qualität des Verputzes und die Dekore lassen aber den Schluss zu, dass die Fragmente wahrscheinlich von verschiedenen, übereinander liegenden Wandteilen stammen. Bei den Fragmenten **742, 743** und **745** ist die Zusammensetzung des Verputzes gleich. Bei den Fragmenten **744** und **741** sprechen die unterschiedlichen Kiesanteile sowie der Ziegelschrotmörtel vielleicht gegen eine Zugehörigkeit zur ersten Gruppe. Das Fragment **745** weist eine abgeschrägte Kante auf, was dafür spricht, dass es von der Einfassung eines Fensters, einer Türe oder einer Nische stammt. Auf dem weissgrundigen Verputzfragment **742** ist ein Pflanzendekor mit rotem Streifen und Punktdekoration zu erkennen. Es könnte, zusammen mit den beiden Fragmenten **743** und **745,** von einem Felderdekor stammen. Eine sichere Zuweisung der Wandverputzfragmente zum Obergeschoss ist lediglich bei den Fragmenten **744** und **745** möglich; auf der Rückseite dieser beiden Fragmente sind nämlich noch Reste des Wandlehms erhalten.

Andere Reste des Fachwerkoberbaus sind lediglich in Form des verziegelten *Wandlehmfragments* **746** überliefert. Das Fragment besitzt auf einer Seite den Abdruck einer Rute und auf der anderen Seite den Abdruck eines festen Holzes, die als Lehmstaken bezeichnet werden. Das Stück vereint somit die vertikalen und die horizontalen Elemente des hölzernen Gefachs.

845 Die Wandverputzstücke sind seinerzeit nicht systematisch inventarisiert und oftmals ausgeschieden worden.

Münzen

Im Brandschutt des Obergeschosses wurden insgesamt 17 Münzen gefunden. Wie im Fall der Ensembles aus dem Erdgeschoss befinden sich darunter einige Altstücke, so unter anderem der republikanische Quinar **(611A)** und der Denar des Domitian **(621)**.

Elf der 17 Münzen stammen aus dem 2. Jahrhundert: Es handelt sich dabei um zwei stark abgegriffene, zwischen 103 und 117 n. Chr. geprägte Sesterze des Traian **(614, 618)**, einen As **(611)** und einen Sesterz **(610)** des Hadrian, einen zwischen 153 und 155 n. Chr. geprägten Sesterz des Antoninus Pius **(619)** und einen zwischen 145 und 180 n. Chr. geprägten Sesterz des Antoninus Pius oder des Marc Aurel **(612)**. Zwei weitere Nominale **(616, 620)** wurden während der Regierungszeit von Marc Aurel geprägt, ein weiterer Dupondius **(609)** entweder während der Regierungszeit von Marc Aurel oder von Commodus. Der gegossene Denar des Septimius Severus **615** datiert in die Jahre zwischen 196 und 211 n. Chr.

Bei den drei jüngsten Münzen handelt es sich um einen im Jahr 214 n. Chr. geprägten As des Caracalla **(613)**, einen Denar **(617)** des Elagabal aus der Zeit zwischen 218 und 222 n. Chr. sowie um die Imitation eines zwischen 270 und 273 n. Chr. geprägten Antoninians für Divus Claudius II. **(622)**.

Die elf Aes-Münzen aus dem 2. Jahrhundert sind deutlich bis stark abgegriffen oder weisen Korrosionsspuren auf, was dafür spricht, dass sie sehr lange zirkulierten[846]. Aufgrund der Fundlage und Vergesellschaftung steht folglich fest, dass die elf Münzen aus dem 2. Jahrhundert bzw. die drei Münzen aus dem 3. Jahrhundert sowie die zwischen 250 und 260/270 n. Chr. datierte Keramik ein zeitgenössisches Ensemble bilden. Zusammenfassend kann festgehalten werden, dass der Grossteil der Nominale aus dem Brandschutt während der Benutzungszeit des Obergeschosses, das heisst während der Phasen 9–11, verloren wurde. Hinweise, die darauf hindeuten würden, dass es sich dabei um den Inhalt einer Börse oder eines Spartopfs handelt, fehlen[847].

Bei der jüngsten Prägung, einer Imitation eines zwischen 270 und 273 n. Chr. geprägten Antoninians für Divus Claudius II. **(622)** ist nicht sicher erwiesen, dass sie anlässlich der Brandkatastrophe und zusammen mit dem Inventar des Obergeschosses in den Boden gekommen ist[848]. Der Antoninian liefert aber sicherlich einen relativ präzisen *terminus post quem* für die mehr oder weniger unmittelbar nach der Brandkatastrophe erfolgte Ablagerung des Mauerschutts und damit einen relativ gut abgesicherten *terminus ante quem* für den Eintritt der Brandkatastrophe.

Ensemble A11-OG: Zusammenfassende Bemerkungen zu Fundlage und Fundverteilung

Da das Ensemble A11-OG im Vergleich zu jenen aus dem Erdgeschoss bedeutend mehr Fundkomplexe und dementsprechend auch mehr Funde umfasst, wurden die insgesamt 53 Fundkomplexe und deren Funde wiederum in einzelne Bereiche gruppiert (Abb. 351). Dabei fällt auf, dass die meisten Fundkomplexe und eingemessenen Kleinfunde aus dem Bereich von Mauer 4 bzw. von Mauer 2 stammen.

Im Folgenden werden die Fundverteilung und -zusammensetzung in den an die Mauern 2, 4 und 13 angrenzenden Raumbereichen sowie im zentralen Nordteil von Raum A beschrieben. Dabei soll auch untersucht werden, ob sich allenfalls einzelne Funktionsbereiche rekonstruieren lassen. Wie im Falle des Erdgeschosses wurden seinerzeit verschiedene «Mikrovergesellschaftungen» dokumentiert. Bei der Bewertung ist allerdings dem Umstand Rechnung zu tragen, dass die Fundlage der einzelnen Objekte in Bezug auf den ehemaligen Standort sicher etwas verschoben ist, da das Fachwerk des Obergeschosses wahrscheinlich leicht trichterförmig eingestürzt ist. Aus diesem Grund lassen sich grundsätzlich nur Trends herausarbeiten, das heisst, in den verschiedenen Raumbereichen kommen viele oder wenige Funde vor oder ein Funktionsbereich fällt besonders ins Gewicht.

- Aus FK X06544, der räumlich im zentralen Nordteil zu lokalisieren ist, stammen acht der neun Ortbänder. Auch der Thekenbeschlag **652** wurde hier gefunden. Das neunte Ortband **670** wurde bei Mauer 13, also im südlichen Raumbereich, gefunden.
- FK X04674, der knapp hinter dem Backofen entlang von Mauer 4 anschliesst, umfasst zwei Schwerter **666** und **667** vom Typ Straubing-Nydam. Die Schwerter wurden auf der Grabung *in situ* fotografiert.
- Mit FK X04675, der wie FK X04674 aus dem Bereich des Backofens stammt, wurde das Schwert vom Typ Lauriacum-Hromowka **665** aufgefunden. FK X04675 umfasst u. a. einige grossteilige Keramikgefässe **504, 507** und **589**, einen Schlüssel **689**, Werkzeuge **722–724**, das Steingefäss **732**, zwei Mörser **733** und **733A**, Architekturelemente **734–739** sowie die Münze **622**.
- Wie die Abbildungen 351 und 352 verdeutlichen, wurden mit FK X06535 entlang von Mauer 13 etliche Militaria wie ein Ortband **670**, alle Lanzenspitzen bzw. Wurfspeerspitzen **672–676**, eine Pfeilspitze **677**, ein Kurzschwert **668**, ein Schwertriemenhalter **669**, eine Signumspitze **678** und ein Saufederaufhalter **679** sowie Werkzeuge **720, 721** und **726** gefunden. Leider wurde diese Befundsituation nicht *in situ* dokumentiert und man kann deshalb keine punktgenaue Fundkartierung

846 Zu den traianischen Aes-Münzen vgl. Peter 2001, 100; zu den hadrianischen Aes-Münzen vgl. Peter 2001, 104; zu den Münzen des Antoninus Pius vgl. Peter 2001, 108; zu den Münzen des Marc Aurel vgl. Peter 2001, 113. Zu den Münzen des mittleren 3. Jahrhunderts mit Brandspuren: Peter 2001, 150 f.

847 In diesem Sinne wurden die Münzen **608** und **609** aus FK X06514 gedeutet (vgl. Peter 2001, 219); ein dazugehöriges Behältnis (aus Ton oder organischem Material) kann im Fundmaterial nicht nachgewiesen werden.

848 Vgl. dazu die Ausführungen zu Phase 11 (oben S. 139 ff.). Das Fehlen von Brandspuren muss allerdings nicht dafür sprechen, dass die Münze erst nach der Brandkatastrophe verloren wurde. Auch Münzen, die im Brandschutt eingebettet waren, weisen nicht zwingend Spuren der Feuereinwirkung auf (vgl. dazu **608–621**).

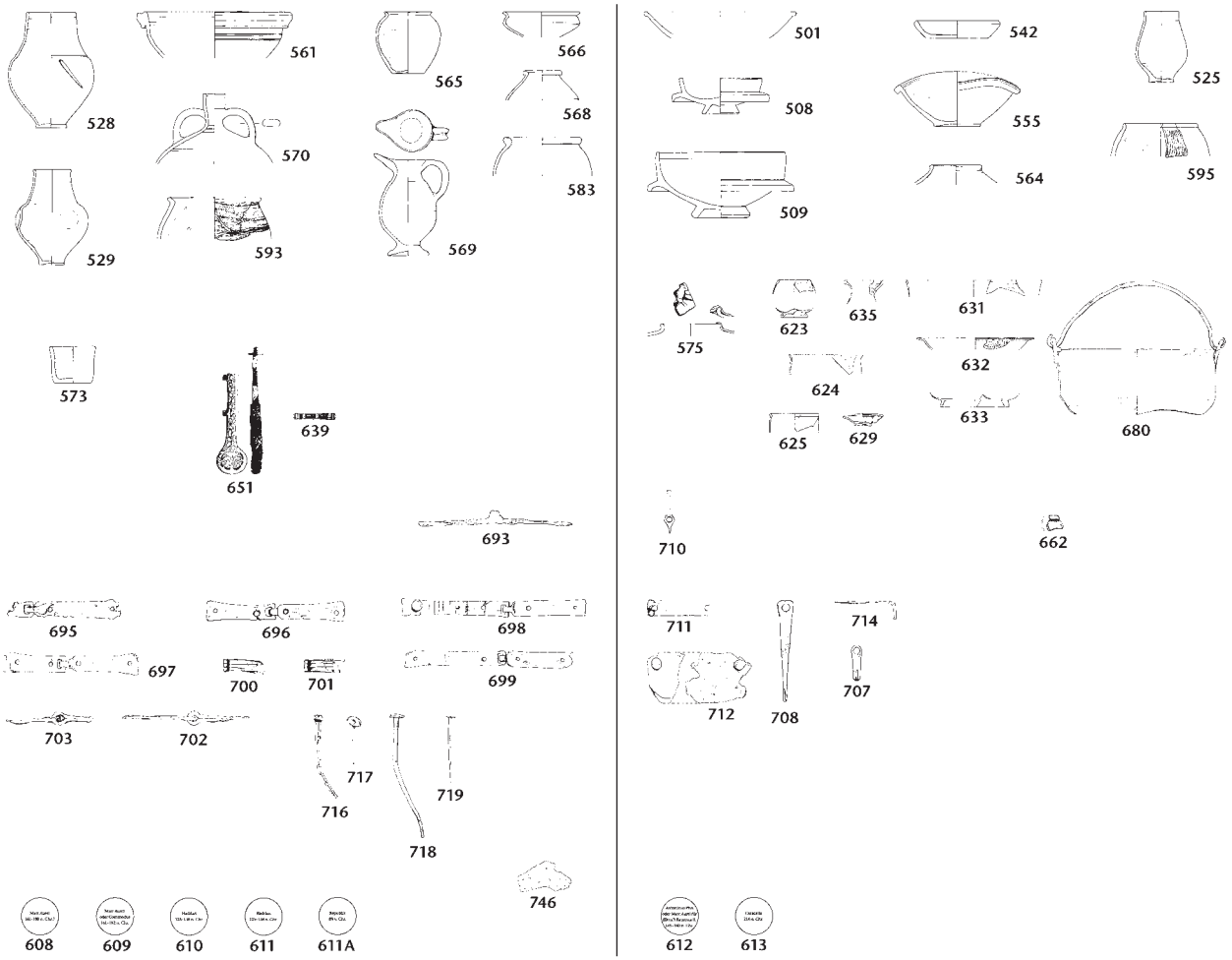


Abb. 353: Augst BL, Insula 5/9, Raum A (Grabungen 1965–1967.052 und 2002.063). Ensemble A11-OG. Zusammenstellung der Funde aus den Fundkomplexen X06514 (links) und X06519 (rechts). Beide Fundkomplexe stammen aus dem südöstlichen Teil von Raum A. M. 1:12.

vornehmen. Die Fundvergesellschaftung ist somit in erster Linie durch die Abbaueinheit, d. h. durch die Zugehörigkeit zum gleichen Fundkomplex definiert.

- Für FK X06514 (Abb. 353 links), der im vorderen Teil entlang von Mauer 2 zu lokalisieren ist, können etliche Baueisen angeführt werden. Auch hier liegen keine genaueren Angaben zur Fundlage vor. Die Häufung von fünf Hakenösenscharnieren **696–699**, zwei Splintscharnieren **700** und **701** und den Splinten **702** und **703** ist aber bemerkenswert und spricht dafür, dass ein Kasten in der Mauerecke gestanden haben könnte.
- Ebenfalls bemerkenswert ist die Vergesellschaftung von Glasgefässen in FK X06519 (Abb. 353 rechts): Zehn der insgesamt dreissig Glasgefässe des Obergeschosses stammen aus diesem Fundkomplex.

Führt man die einzelnen Fundgruppen (Keramikgattungen und weitere Kleinfunde) mit der räumlichen Fundverteilung zusammen, lassen sich folgende Beobachtungen festhalten:

- Entlang von Mauer 2 ist – wie bereits bei den Ensembles aus dem Erdgeschoss – die grösste Funddichte zu beobachten. Bei einer genaueren Betrachtung der Terra Sigillata sowie der Glanzton- und Gebrauchskeramik ergibt sich folgendes Bild: Die Terra Sigillata ist zwar in Form von einigen Bechern, Schalen und Schüsseln vertreten, aber nicht vorherrschend. Die Glanztonware ist mit den Bechern Nb. 33 und einigen älteren Becherformen gut vertreten. Die Becher, Teller, Schüsseln, aber auch die Kochgefässe stellen hier den grössten Anteil. Ebenfalls gut vertreten sind die Krüge, auch im Vergleich zu den anderen Bereichen von Raum A. Zwei sekundär verwendete Ölamphoren können zu diesem Bereich gezählt werden. Hingegen fehlen weitere Vorratsgefässe weitgehend.
  Die funktionale Verteilung des Geschirrs ist also relativ gleichmässig und hebt sich nicht wesentlich von derjenigen in den anderen Teilen von Raum A ab. Berücksichtigt man die ganzen oder weitgehend erhaltenen Gefässe, ist davon auszugehen, dass hier mindestens drei Becher, drei Schälchen, vier Teller, drei Schüsseln, drei Kochtöpfe und zwei Krüge standen. Vollständig erhalten waren die Becher **525**, **528** und **529**, das Töpfchen **565**, die Schale **508**, die Schüsseln **509** und **555**, die beiden Teller **542** und **546** und die Kleeblattkanne **569**. Des Weiteren fanden sich auch mehrere Glasgefässe, nämlich drei Becher **623–625**, eine Miniaturschale **629**, drei Schalen **631–633**, ein Krug **635** sowie eine Vierkantflasche (o. Abb.). Diese Glasgefässe stammen allesamt aus FK X06519. In den übrigen Fundkomplexen aus dem Bereich von Mauer 2 fanden sich weitere Becher und Schalen aus Glas.
  Bemerkenswert ist, dass aus FK X06519 zwei Scharnierbänder und ein Beschlag stammen und dass der benachbarte FK X06514 eine ganze Serie von Hakenösenscharnieren, Splinten sowie das Eingericht eines Schiebeschlosses enthält. Dies könnte dafür sprechen, dass die Gläser in einer Kiste oder in einem

Kasten aufbewahrt wurden[849], möglicherweise zusammen mit einigen Münzen, dem Messer mit Thekenbeschlag und Schmuckobjekten.

- Entlang der ganzen Mauer 4 entspricht die Fundverteilung und -zusammensetzung des Geschirrs in etwa derjenigen bei Mauer 2: Auch hier sind die Gefässgattungen bzw. die Gefässfunktionen relativ gleichmässig verteilt. Die Terra Sigillata ist mit Schälchen, Tellern und Schüsseln vertreten[850]; die Glanztonware mit Bechern. Die orange- und grautonige Gebrauchskeramik setzt sich vornehmlich aus Schüsseln zusammen und stellt nur einen kleinen Teil des Inventars. Das Kochgeschirr besteht vor allem aus Reibschüsseln und Kochtöpfen. Relativ gut vertreten sind hier auch die Amphoren: Es handelt sich dabei um zwei Fischsaucenamphoren **600** und **601** und um zwei ostmediterrane (Wein-?)Amphoren **602** und **603**, die keine sekundären Abarbeitungen aufweisen[851].
  Grossteilig erhalten sind das Schälchen **497**, ein Becher **530**, zwei Teller **504** und **507**, zwei Schüsseln **511** und **517**, zwei Reibschüsseln **598** und **599** sowie zwei Kochtöpfe **589** und **592**. Dies trifft möglicherweise auch auf die Amphoren zu (s. o. S. 26). Hingegen fanden sich nur wenige Gefässe aus Glas und keine aus Bronze oder Eisen.
  Unter den Kleinfunden erwähnenswert sind der Kienspanhalter **683**, der Kerzenhalter **682**, die beiden Eingerichte **691** und **692** sowie die drei Vorhängeschlösser **684–686**. Diese wurden entweder im Nordteil oder im Südteil entlang von Mauer 4 gefunden.
  Aus dem mittleren Bereich von Mauer 4 stammen drei Schwerter **665–667**. Dass zwischen den drei Schwertern und den Meisseln oder Keilen **722–724** ein Zusammenhang besteht, ist aus der Fundverteilung denkbar. Die Werkzeuge **722–724** stammen aus demselben FK X04675 wie das Schwert **665**. Objekte, die sich der Kategorie Schmuck oder Spiel bzw. Hausratsgeräte zuweisen lassen, sind im westlichen Teil von Raum A nicht oder nur marginal vertreten.
- Bei der Beurteilung des Fundguts aus dem zentralen Nordteil des Brandschutts des Obergeschosses von Raum A ist zu berücksichtigen, dass diese nicht isoliert von den Funden aus den Bereichen von Mauer 2 und von Mauer 4 betrachtet werden dürfen. Dies zeigen unter anderem auch die Passscherbenverbindungen zwischen den Gefässen **516, 539, 543** und **586**.
  Bezüglich der Verteilung der Keramikgattungen und Gefässfunktionen lässt sich im Vergleich zum Ost- und Westteil von Raum A Folgendes feststellen: Es dominiert die Gebrauchskeramik und in funktionaler Hinsicht überwiegen Teller und Schüsseln, während Reibschalen und Kochtöpfe selten sind. Krüge und Vorratsgeschirr fehlen vollständig.
  Im Zusammenhang mit den Kleinfunden fällt auf, dass im zentralen Teil des Obergeschosses von Raum A keine Baueisen und Möbelbestandteile gefunden wurden, andererseits aber acht der insgesamt neun Ortbänder sowie einer der beiden Thekenbeschläge. Wie die Abbildungen 8 und 351 zeigen, wurden die drei Schwerter **665–667** unweit von den Ortbändern gefunden. Dies deutet darauf hin, dass die Ortbänder und die Schwerter vielleicht ziemlich zentral in der Raummitte zusammen aufbewahrt worden sind[852].
- Bei der Beurteilung der horizontalstratigrafischen Verteilung der Funde aus dem Bereich von Mauer 13 ist zu berücksichtigen, dass sich zwangsläufig gewisse Überschneidungen mit den Fundkonzentrationen aus dem südlichen Bereich von Mauer 2 bzw. von Mauer 4 ergeben. Dies zeigen unter anderem auch die Passscherbenverbindungen zwischen den Gefässen **538** und **539** sowie die wohl von einem einzigen Gehänge stammenden Glöckchen **659** (Ensemble A11-OG) und **797–800** (Ensemble A12). Des Weiteren ist anzuführen, dass sich der Brandschutt des Erdgeschosses und jener des Obergeschosses in dem an die Neuntürmestrasse angrenzenden Teil von Raum A nur bedingt voneinander abgrenzen liessen[853]. Dies zeigen z. B. die Passscherbenverbindungen am Gesichtsgefäss **576**.
  Bei der Betrachtung der Verteilung der Keramikgattungen und Geschirrfunktionen fällt auf, dass hier in Bezug auf die Gesamtmenge des keramischen Fundniederschlags etliche Schälchen, Teller und Schüsseln aus Terra Sigillata gefunden worden sind. Ebenfalls gut vertreten sind die Glanztonware, die Gebrauchskeramik und Kochgeschirr.
  Bei der Gebrauchskeramik überwiegen die Schüsseln; Krüge sind – wie auch sonst im Brandschutt des Obergeschosses – selten. Das Keramikinventar des Obergeschosses wird durch verschiedene Gefässe aus Glas, Bronze, Stein und Eisen ergänzt.
  Wesentlich aussagekräftiger sind die Waffenteile **668–670, 672–679**, die Werkzeuge **720, 721** und **726**, die Gürtelschnalle **664**, der Klappmessergriff **640** und die bronzene Nadel **661**. Sie stammen alle aus dem gleichen Fundkomplex X06535. Im benachbarten FK X06536 fanden sich weitere Schmuck- und Trachtbestandteile in Form der vier Beinnadeln (**648**, o. Abb.). Auch wenn weitere Informationen zur Befundsituation fehlen[854], ist die Konzentration von mehrheitlich nicht funktionstüchtigen Militaria und deren Vergesellschaftung mit den beiden Meisseln **720** und **721** sowie dem pfriemähnlichen Gerät **726** auffällig. Es darf wiederum die Vermutung geäussert werden, dass auch hier im Südteil nicht mehr gebrauchte Militaria zusammen mit Werkzeugen aufbewahrt worden sind.

Die Funde bezeugen, dass auch im Obergeschoss gekocht, gegessen, getrunken sowie vielleicht ein privater Hauskult praktiziert wurde. Ebenfalls nachweisen lassen sich handwerkliche Aktivitäten.

- Mit insgesamt 706 einer Funktion zuweisbaren Gefässen liegt ein aussergewöhnlich grosses Keramikinventar vor. Tafel-/Auftragsgeschirr ist deutlich besser vertreten als Koch- und Vorratsgeschirr. Das Tafel- und Auftragsgeschirr mit den insgesamt 576 Gefässen wird massgebend durch die 215 Becher, 178 Schüs-

849 In einem Keller in Augst-Obermühle fand sich gläsernes Trinkservice, das – wie die mitgefundenen Beschläge und Henkelteile zeigen – offensichtlich in einer Kiste aufbewahrt worden ist (vgl. Rütti 1991/1, 96 Abb. 53; S. 238–240; Hoek-Bruder 1998).

850 Ohne die Altstücke wie **492, 499** und **500.** Es ist aber auffällig, dass diese im Südteil überwiegen.

851 Martin-Kilcher 1987/1994, 437.

852 Die fraglichen Objekte wurden zu unterschiedlichen, weit auseinander liegenden Zeitpunkten geborgen, weshalb der hier vermutete Zusammenhang seinerzeit nicht erkannt werden konnte. Die Schwerter **666** und **667** (FK X04674) wurden am 02.05.1966 und das Schwert **665** am 16.05.1966 (FK X04675), die Dosenortbänder **641–645, 653** und **654** am 26.05.1967 (FK X06544), das eiserne Ortband **670** am 06.04.1967 (FK X06535) geborgen. – Vgl. dazu auch Berger 1966, Nr. 9, der wegen der an dem Schwert **665** beobachteten Nietreste damals vermutete, dass eines der Dosenortbänder aus Elfenbein **642–645** ursprünglich daran befestigt war. – Zur Befestigungstechnik vgl. etwa Bishop/Coulston 1993, Abb. 86,4 (vollständig erhaltene Schwertscheide aus Kishfine, GB).

853 Dies ist unter anderem darauf zurückzuführen, dass der im Bereich von MR 13 liegende Teil des Brandschutts anlässlich der Grabung 1965–1967.052 nur teilweise freigelegt wurde und zudem beim Bau einer Stützmauer gestört wurde. Die Trennung der beiden Brandschuttpakete ist zudem auch wegen der Installation eines Kalkbrennofens in Phase 12 schwierig und weil der Brandschuttkegel gegen die Neuntürmestrasse hin zunehmend ausdünnt.

854 FK X06535 und FK X06536 sind bei der «Begradigung der Südböschung», d. h. während der Konservierung von Backofen BO1 im Jahr 1967 abgebaut worden.

seln und die 109 Teller geprägt. Im Gegensatz zum Keramikinventar des Erdgeschosses sind aus dem Obergeschoss Geschirr mit Graffiti, Abarbeitungen, Flickungen und Fehlbrände überliefert. Inwiefern dieses äusserst grosse Keramikinventar zu einem «normalen Geschirrbestand» eines privaten Hausrates oder auch zu einem «kleinindustriellen» Betrieb gehört, kann vorerst nicht schlüssig geklärt werden. Ins Gewicht fällt aber, dass sich in den einzelnen Bereichen des Obergeschosses von Raum A keine signifikanten Fundkonzentrationen bzw. Dominanzen in den jeweiligen Keramikspektren abzeichnen.
Das Keramikinventar wird im Ostteil, entlang von Mauer 2, mit einem relativ gut bestückten Glasinventar ergänzt. Die Fundvergesellschaftung lässt den Schluss zu, dass die Glasobjekte zusammen mit anderen Objekten in Kisten oder Kästen aufbewahrt worden sind.

- Im Gegensatz zum Erdgeschoss fanden sich im Brandschutt des Obergeschosses wenige Objekte, die sich mit dem *Hauskult* in Verbindung bringen lassen. Diese sind – abgesehen vom Gesichtsgefäss **576** – nur fragmentarisch überliefert. Aussergewöhnlich sind die Glöckchen, die eventuell von einem einzigen Glockengehänge stammen (vgl. oben S. 245).
- *Werkzeuge und andere Handwerksutensilien* fanden sich in allen Raumbereichen des Obergeschosses. Während es sich im Bereich von Mauer 2 und im zentralen Teil von Raum A um Einzelfunde handelt, zeichneten sich im Süd- und im Westteil des Obergeschosses zwei Konzentrationen von Meisseln und Pfriemen ab. Dies deutet darauf hin, dass sie wohl sehr nahe beieinander aufbewahrt worden sind bzw. dass im Obergeschoss auch gearbeitet worden ist.
- Im Brandschutt des Obergeschosses fanden sich insgesamt 23 *Waffen und Militaria*. Die Schwerter, Ortbänder, Geschossspitzen und die Riemenzunge stammen grösstenteils aus dem Süd-, aus dem West- und aus dem Nordteil von Raum A. Wie oben bereits erwähnt, muss jedoch offen bleiben, ob es sich dabei um zusammengesammeltes oder aufgekauftes Altmetall gehandelt hat oder ob es sich dabei um das Relikt einer Waffenkammer handelt, in der ältere «Ladenhüter» aufbewahrt worden sind.
- Die *Schmuck- und Trachtbestandteile* verteilen sich über das ganze Obergeschoss, sind jedoch im südlichen Bereich von Raum A am häufigsten. Abgesehen von der Gürtelschnalle **664** handelt es sich um weibliche Trachtelemente, was wiederum darauf hinweist, dass das Obergeschoss auch von Frauen frequentiert worden ist.

Zwischenfazit

Die Analyse der Inventare aus dem Gehhorizont, dem Erdgeschoss und dem Obergeschoss von Raum A hat Folgendes ergeben:

- Im Erdgeschoss dominieren drei Hauptkomponenten, nämlich ein grosser Keramikbestand, der sich sowohl dem privaten als auch dem gewerblichen Bereich zuweisen lässt, und Objekte, die auf (nicht näher spezifizierbare) handwerkliche Aktivitäten hinweisen. Die dritte Komponente bildet die private Kultausübung, die in Form eines Lararіums nachgewiesen ist. Einige wenige Schmuckobjekte sowie vereinzelte Militaria lassen den Schluss zu, dass sich im Erdgeschoss (zeitweise) auch Frauen und Armeeangehörige aufgehalten haben.
- Im Obergeschoss fanden sich ebenfalls ein grosser Geschirrbestand sowie Werkzeuge, die auch für die Ausübung eines metallverarbeitenden Handwerks genutzt worden sein könnten. Eine weitere wichtige Fundgattung bilden militärische Fundobjekte wie Schwerter, Ortbänder, Lanzenspitzen usw. Diese waren aber zum Zeitpunkt der Zerstörung von Raum A nicht mehr funktionstüchtig. Es könnte sich demzufolge um (von Zivilisten) gesammeltes und/oder aufgekauftes Altmetall gehandelt haben. Anders als im Erdgeschoss sind Objekte, die mit der Kultausübung in Zusammenhang gebracht werden können, im Obergeschoss nur marginal vertreten. Schmuck- und Trachtelemente bezeugen, dass sich im Obergeschoss auch Frauen aufgehalten haben.

Gemeinsam und auf Anhieb nicht erklärbar ist die auffällig grosse Zahl an Keramikgefässen in den beiden Inventaren. Diese werden im Folgenden mit Ensembles aus anderen Zerstörungshorizonten verglichen. Dies drängt sich deswegen auf, weil bislang noch kein einziges derart umfangreiches und vielseitiges Fundensemble aus Augusta Raurica vorgelegt wurde – auch nicht aus Brandschuttschichten, die in das 1. oder 2. Jahrhundert datieren.

Exkurs 3: Vergleich mit Ensembles aus anderen Zerstörungshorizonten

Einleitende Bemerkungen

Ausgangspunkt der folgenden Ausführungen ist die Frage nach der Funktion der Geschirrensembles aus dem Brandschutt von Raum A. Angesichts der Masse an Keramikgefässen, die zum Zeitpunkt des Brandausbruchs im Erd- und im Obergeschoss aufbewahrt worden sind, stellen sich nämlich etliche Fragen. In erster Linie müssen wir uns fragen, wofür eine solche Menge an Bechern, Schüsseln, Tellern und Kochgefässen überhaupt verwendet worden sein könnte. Widerspiegelt sich in den Ensembles aus dem Erd- und dem Obergeschoss jeweils das «normale» Hausinventar, eine gewerbliche Nutzung oder auch eine «gemischte» Nutzung?

Eine zweite wichtige Frage betrifft den Umfang eines «normalen» Hausinventars: Wie viele Keramikgefässe wurden in einem provinzialrömischen Hausrat aufbewahrt und verwendet? Wie viele Personen umfasste ein (spät-)römischer Haushalt bzw. wie viele Personen könnten im je ca. 55 m² grossen Erd- resp. Obergeschoss von Raum A gelebt haben? Ist eine Zweitverwendung von Hausratsgeschirr für eine andere gewerbliche Nutzung denkbar? Falls eine gewerbliche Nutzung vorliegt, um welche handelt es sich? Haben wir eine Lagerhaltung, ein Inventar eines römischen Schnellimbisses, einen Verkaufsladen eines Geschirrhändlers vor uns?

Diesen Fragen soll im Folgenden nachgegangen werden, indem die beiden Ensembles A11-GH/F4/EG und A11-OG mit Keramikinventaren aus Augusta Raurica, *Aventicum* und *Vitudurum* verglichen werden[855].

855 Neben den Ensembles aus Augusta Raurica, *Aventicum* und *Vitudurum* wurden im Zusammenhang mit dieser Auswertung auch Ensembles aus Villen zusammengestellt. Dabei handelte es sich um ein Ensemble aus der Villa Biberist-Spitalhof (Gebäude O-Phase 4: Schucany 2006) und um zwei Ensembles aus der Villa Worb-Sunnhalde (Räume C1 und B: Ramstein 1998). Die prozentualen Werte

Vorgehen

Aus Augusta Raurica können lediglich drei kleinere Ensembles aus Brandhorizonten bzw. aus Dach- und Mauerschuttschichten in den Insulae 1 und 2 herangezogen werden. Zwei weitere Ensembles stammen aus einer Kanalverfüllung bei der Nordwestfront der Frauenthermen und aus dem Geschirr- oder Vorratsschrank im Handels- und Gewerbekomplex Kaiseraugst-Schmidmatt. Diese fünf Ensembles bilden eine «diachrone Abfolge von Geschirrinventaren», die den Zeitraum zwischen dem 1. Jahrhundert und der Mitte des 3. Jahrhunderts abdeckt[856].

Ebenfalls analysiert werden in diesem Zusammenhang zwei Ensembles, die sich allerdings wegen ihrer Zeitstellung und aufgrund ihrer geografischen Lage bzw. wegen anderer Keramiktraditionen nur bedingt für einen Vergleich eignen. Es handelt sich dabei um das Inventar eines im dritten Viertel des 3. Jahrhunderts abgebrannten Geschirr- oder Verkaufslagers aus Avenches-En Selley sowie um das Keramiklager aus Oberwinterthur aus der Zeit um 70/80 n. Chr.[857] Die beiden Ensembles wurden berücksichtigt, weil sich aus der jeweiligen Befundsituation und aus den Keramikspektren weiterführende Erkenntnisse ableiten lassen.

Methodische Überlegungen

Erschwert wird der Vergleich der verschiedenen Ensembles durch die unterschiedliche Handhabung der Fundvorlagen durch den/die jeweiligen Autoren/-innen. Diese ergibt sich (verständlicherweise) durch die unterschiedlichen Fragestellungen, die mit der Vorlage des Fundstoffes beantwortet werden sollen. Dennoch liessen sich jeweils ungefähre Angaben zum Keramikbestand ableiten. Damit die publizierten Daten mit der statistischen Erfassung der Ensembles A11-GH/F4/EG und A11-OG verglichen werden konnten, wurden die Angaben aus den verschiedenen Katalogen unserer Reihenfolge angepasst[858].

Bei der Bewertung der zum Vergleich herangezogenen Ensembles ist Folgendes zu beachten:

- In den jeweiligen Publikationen wurden nicht immer alle Funde aufgenommen und teilweise wurden die abweichenden Bezeichnungen der Keramiktypen unserer Fundansprache angepasst. Die Werte der zum Vergleich herangezogenen Ensembles sind in tabellarischer Form aufgeführt (Tabellen 1–7; im Anhang). Um eine konkretere Vorstellung bezüglich der Zusammensetzung dieser Ensembles bzw. der Keramikinventare zu vermitteln, wurde jeder vertretene Typ auch bildlich dargestellt (Abb. 354–360).
- Da die Ensembles A11-GH/F4 und A11-EG diejenigen Funde umfassen, die sich zum Zeitpunkt der Zerstörung von Raum A offensichtlich im Erdgeschoss befanden, werden diese beiden Ensembles, wie schon bei der Diskussion der Fundverteilung, zu einer Fundeinheit zusammengefasst.
- Grundsätzlich ist festzuhalten, dass die Funktionsgruppen aus Siedlungsschichten in manchen Fällen unklare Werte ergeben[859]. Deshalb wurde eine differenziertere Einteilung durch eine Ansprache der verschiedenen Formgruppen wie Becher, Teller und Platten, Schüsseln usw. angestrebt, auch wenn eigentlich nur gleiche Formtypen, wie beispielsweise der Bechertyp Nb. 33, miteinander verglichen werden können.
- Bei den fünf Vergleichsensembles aus Augusta Raurica ist eine Reihe von Faktoren zu berücksichtigen, die die Zusammensetzung der einzelnen Ensembles mehr oder weniger stark beeinflusst haben könnte: unterschiedliche Zeitstellung, Besitz von unterschiedlichen Personengruppen und unterschiedliche Schichtgenese. Letzteres scheint allerdings nur einen geringen Einfluss auf prozentuale Anteile gehabt zu haben[860]. Die Entwicklung der Keramikformen hatte hingegen einen massiven Einfluss und führte im Laufe der Zeit zu spürbaren Veränderungen im Keramikspektrum. Des Weiteren ist zu berücksichtigen, dass die Auslese durch den Benutzer/Entsorger oder die Art und Weise des Gebrauchs innerhalb eines Hausrats die Anteile mehr oder weniger stark beeinflussen kann.
- Die eben erwähnten Faktoren sind auch bei der Beurteilung der beiden Ensembles aus *Aventicum* und *Vitudurum* zu berücksichtigen. Weitere gewichtige Faktoren bilden die geografische Lage und die regionalen Keramiktraditionen: Die Keramikspektren im westlichen und im östlichen Mittelland unterscheiden sich deutlich von denjenigen der Nordwestschweiz[861]. Inwiefern dies, namentlich im Fall von *Aventicum*, «nur» aus der Tatsache resultiert, dass sich im Westen eine viel reichere Oberschicht findet als im Nordwesten, kann hier nicht überprüft werden.

Vergleiche mit Fundensembles aus Augusta Raurica, Oberwinterthur und Avenches

Im Folgenden werden die Ensembles aus Augst, Avenches und Oberwinterthur zuerst einzeln vorgelegt und besprochen. In einem zweiten Schritt werden sie dann mit den Ensembles aus dem Erd- und aus dem Obergeschoss von Raum A (A11-GH/F4/EG bzw. A11-OG) verglichen und auf einzelne prägnante Merkmale, d. h. Formen und Funktionsgruppen der Gefässe, hin überprüft.

Augst/BL, Insula 2 (Süd) (Grabung 1979–1980.055), Phase 1.4 = Bauzustand 2[862]
Schichtart: Gehhorizont und Brandschutt
Datierung: (1–) 20–50 (–70/80) n. Chr.
Abb. 354; 361; Tabellen 1; 8 (im Anhang)
Bewertung: Innerhalb dieses Ensembles überwiegt das Tafel- und Auftragsgeschirr. Becher und Schälchen sind im

dieser Ensembles entsprechen – obgleich die Ensembles viel kleiner ausfallen – unseren Werten sehr gut. Zu den erschwerenden Faktoren, die sich im Vergleich von unterschiedlich datierten Keramikensembles ergeben, vgl. Schucany u. a. 1999, 89–95.

856 Vgl. Schwarz 2004, 111–114 Beil. 1A; Sütterlin 1999, 10 f. Abb. 6; Hufschmid 1996, 11 Abb. 3; Hoek 1991; Furger 1989a.

857 Blanc u. a. 1999; Ebnöther/Eschenlohr 1985.

858 Der besseren Nachvollziehbarkeit wegen wurden auf Abb. 354–360 auch die Katalognummern der jeweiligen Erstpublikation angeführt.

859 Vgl. in diesem Zusammenhang auch Schmid 2008, 167.

860 Schucany u. a. 1999, 84.

861 Schucany u. a. 1999, 84–87 Abb. 20. Die Regionen C, D und F betreffen unsere Vergleichsregionen Avenches (C), Oberwinterthur (F) und Augst (D).

862 Schwarz 2004, 118 f.; Rütti 2004, 172–179 Abb. 128 (Auszählung nach Angaben im Katalog).

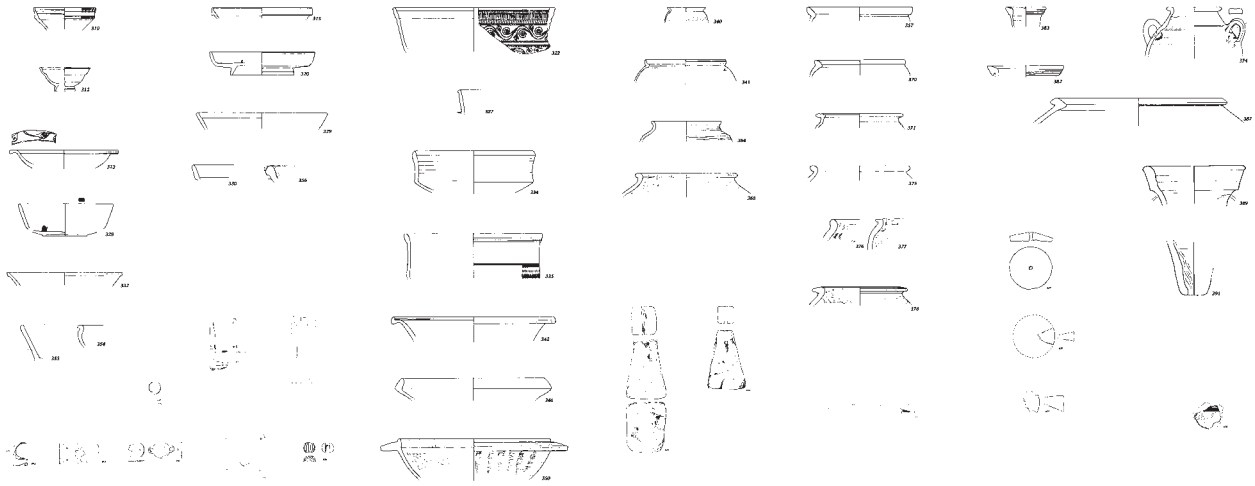


Abb. 354: Augst BL, Insula 2 (Süd). Typenspektrum der Funde aus dem Gehhorizont und Brandschutt der Phase 1.4. Die Katalognummern entsprechen denjenigen bei Rütti 2004 (Basis: Tabelle 1 im Anhang). M. 1:12 (Stein M. 1:40).

Gegensatz zu den Tellern/Platten, den Krügen sowie vor allem zu den Schüsseln eher untervertreten. Auffällig ist der relativ grosse Anteil an Vorratsgeschirr. Hier überwiegen vor allem die Töpfe. Darunter befinden sich Vorratstöpfe, wie z. B. ein Honigtopf, aber auch Schultertöpfe[863]. Bei dem mit einem Anteil von 11% eher untervertretenen Kochgeschirr fällt das Fehlen von Reibschüsseln auf.

Der übrige Hausrat umfasst ein Messerchen, Kästchenteile, evtl. eine Siegelkapsel sowie verschiedene Bauteile. Von handwerklichen Tätigkeiten zeugen zwei Webgewichte, ein Webwerkzeug (?) aus Bein sowie drei Mühlsteinfragmente. Zwei militärisch geprägte Funde sind möglicherweise im Zusammenhang mit den Ereignissen des Jahres 69 n. Chr. in den Boden gekommen[864].

Die Funde und Befunde (Herdstelle, *in situ* aufgefundener Unterlieger eines Mühlsteins) sprechen dafür, dass dieser 4 × 5 Meter grosse Raum als Küche gedient hat. Die Webgewichte und das Webwerkzeug weisen zudem auf handwerkliche Tätigkeiten. Die Menge an Tafel- und Auftragsgeschirr spricht für eine private «Tischausstattung»; die Töpfe, Dolien und Amphoren für eine Vorratshaltung.

Fazit im Vergleich mit den Ensembles A11: Mit einem Anteil von 66% Tafel- und Auftragsgeschirr weist das in das zweite Viertel des 1. Jahrhunderts zu datierende Ensemble aus Insula 2 ebenfalls hohe Werte für diese Funktionsgruppe auf. Im Vergleich zu den Ensembles aus Raum A umfasst dieses Ensemble, relativ zur Fundmenge besehen, recht viel Vorratsgeschirr. Dies dürfte chronologisch bedingt sein: Im 1. Jahrhundert setzt sich das Vorratsgeschirr hauptsächlich aus Schultertöpfen, Töpfen und Dolien zusammen. Hingegen weist das Ensemble – in Relation zu den Ensembles A11-GH/F4/EG und A11-OG – vergleichbare Werte für Schälchen, Teller, Platten und Kochgeschirr auf. Die Becher sind untervertreten, die Töpfe und Krüge übervertreten. Bei den Schultertöpfen sind daher sicherlich – zeitlich bedingt – einige Trinkgefässe untergebracht. Der Trend, dass im Verlauf des 1. Jahrhunderts immer mehr Speisen mit Saucen in Schüsseln gekocht bzw. serviert wurden, wird mit dem relativ hohen Anteil an Schüsseln innerhalb des Ensembles bestätigt[865].

Der Vergleich zeigt überdies, dass Räume, die nach Aussage der Befunde als Küchen angesprochen werden können, auch für handwerkliche Aktivitäten genutzt worden sind.

Augst/BL, Insula 1 (Grabung 1991–1993.051), Raum B8/Phase 2.6[866]
Schichtart: Brandschutt
Datierung: 100–170 n. Chr.; nur Ostteil von Raum B8 ausgegraben
Abb. 355; 361; Tabellen 2; 8 (im Anhang)
Bewertung: Die tabellarische Zusammenstellung zeigt, dass in Raum B8 Tafel- und Auftragsgeschirr dominiert. Mit einem Anteil von 72% stellt diese Funktionsgruppe fast drei Viertel des keramischen Fundguts, wobei sich die Anteile der Teller, Schälchen und Krüge ziemlich gleichmässig verteilen. Leicht untervertreten sind lediglich die Becher und Schüsseln. Das Vorratsgeschirr stellt einen Anteil von 22% – massgebend sind namentlich die 14 Töpfe und acht Deckel. Kochtöpfe und Reibschalen sind mit 6% vertreten. Letzteres ist insofern bemerkenswert, als die hier gefunde-

863 Kleinere Schultertöpfe dienten auch als Trinkbecher und könnten somit die Werte für Tafel- und Auftragsgeschirr sowie jene für die Becher etwas grösser ausfallen lassen (vgl. Martin-Kilcher 1980, 33).
864 Schwarz 2004, 119; 328.
865 Schmid 2008, 164 (mit weiterführender Literatur).
866 Sütterlin 1999, 29; 30; 48; 72 Taf. 15–18 (Auszählung nach Angaben im Katalog). Zu den Tierknochenfunden vgl. Breuer/Lehmann 1999.

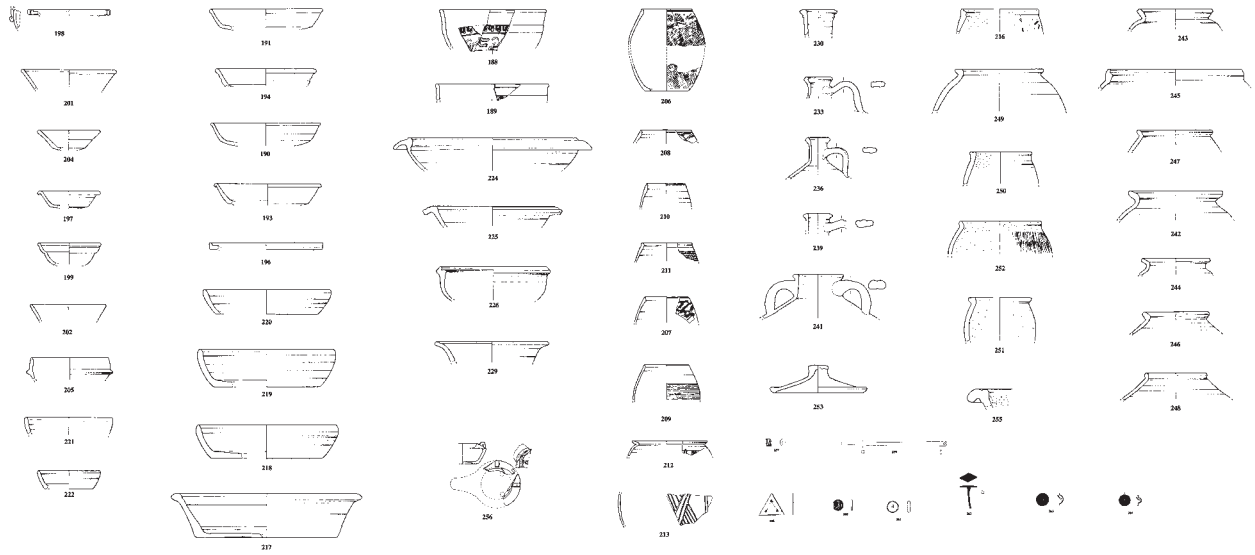


Abb. 355: Augst BL, Insula 1, Raum B8. Typenspektrum der Funde aus dem Brandschutt der Phase 2.6. Die Katalognummern entsprechen denjenigen bei Sütterlin 1999 (Basis: Tabelle 2 im Anhang). M. 1:12.

nen Tierknochen als Küchenabfälle angesprochen werden können.

Unter den Kleinfunden befinden sich Lampen, Möbelteile sowie ein Webplättchen und eine Nadel, während Hausratsgeräte, wie z. B. Messerchen, oder auch Baueisen, Militaria und Münzen vollständig fehlen. Der Spielstein, die Melonenperle und das Tintenfass liefern keine Anhaltspunkte zur Raumfunktion.

Wesentlich aussagekräftiger ist jedoch der Befund: Der Raum B8 war zur West-Ost verlaufenden Nordrandstrasse hin orientiert und war vermutlich mit einer Pfeilerportikus ausgestattet. Im Innern des Raums konnten zudem ein Lehmboden sowie eine aus Ziegel- und Sandsteinplatten gefügte Feuerstelle nachgewiesen werden. Nach einem Brand – aus dieser Schicht stammen die Funde – wurde der ebenfalls an der Hangkante liegende Raum verfüllt und in den Hanggarten einer *domus* integriert. Aufgrund der Lage am Nordrand von Insula 1 wird Raum B8 von den Ausgräbern als *taberna* im Sinne der hier verwendeten Definition interpretiert (s. o. Anm. 17).

Fazit im Vergleich mit den Ensembles A11: Die Funktionsgruppe Tafel- und Auftragsgeschirr stellt mit einem Anteil von 72% bereits einen sehr hohen Anteil der Keramik. Das Vorratsgeschirr ist mit einem Anteil von 22% – ähnlich wie im Ensemble aus Insula 2 – noch deutlich besser vertreten als in den beiden Ensembles aus Raum A. Bemerkenswert häufig sind hier die ansonsten seltenen Deckel. Dies sowie die Anzahl der Töpfe spricht für eine Verwendung bei der Vorratshaltung. Der hohe Anteil des Tafel- und Auftragsgeschirrs geht vor allem auf hohe Werte der Schälchen, Teller oder Platten und Krüge zurück; Becher und Schüsseln sind in geringerer Zahl vorhanden. Kochgeschirr wie Kochtöpfe und Reibschalen sind schwach vertreten. Die Kochtöpfe, die offenbar ab der Mitte des 1. Jahrhunderts in den Töpfereien in Augusta Raurica selten hergestellt und somit vielleicht eher im Privathaushalt produziert wurden, sind in den zeitgleichen Siedlungsschichten bei der Nordwestecke des Theaters auch unterrepräsentiert[867].

Zusammenfassend kann festgehalten werden, dass die Zusammensetzung der keramischen Funde keine Hinweise liefert, die die aufgrund der Befunde und der Lage naheliegende Interpretation von Raum B8 als *taberna* stützen würden. So vermerkt schon Hans Sütterlin: «Welchem Gewerbe in diesem Raum nachgegangen wurde, ob z. B. eher an einen Verkaufsladen, einen Handwerksbetrieb oder sogar an eine *taberna cauponia*, also eine Schenke, zu denken ist, lässt sich nicht mehr feststellen»[868].

Augst/BL, Insula 1 (Grabung 1991–1993.051), Raum C15/ Phase 3.7[869]
Schichtart: Dach- und Mauerversturz
Datierung: 200–250 n. Chr. (vereinzelte Altstücke!)
Abb. 356; 361; Tabellen 3; 8 (im Anhang)
Bewertung: Das aus einem Dach- und Mauerversturz stammende, um die Mitte des 3. Jahrhunderts in den Boden gekommene Ensemble ist vergleichsweise klein in der An-

867 Vgl. zur privaten Produktion von Kochgeschirr Schmid 2008, 164 f.; zu den Kochtöpfen aus den Siedlungsschichten bei der Nordwesthälfte des Theaters vgl. ebd. Abb. 110,6.

868 Sütterlin 1999, 48 Abb. 51. Vgl. in diesem Zusammenhang auch MacMahon 2003, 57 ff.

869 Hufschmid 1996, 35; 36; 79 Taf. 15–17 (Auszählungen nach Angaben im Katalog).

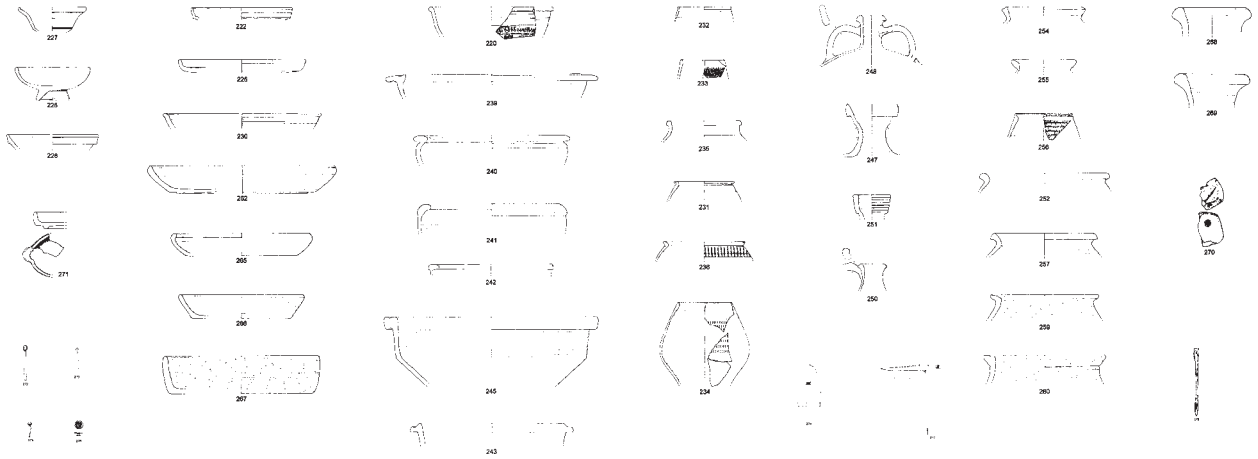


Abb. 356: Augst BL, Insula 1, Raum C15. Typenspektrum der Funde aus dem Dach- und Mauerversturz der Phase 3.6. Die Katalognummern entsprechen denjenigen bei Hufschmid 1996 (Basis: Tabelle 3 im Anhang). M. 1:12.

zahl und heterogen zusammengesetzt. Neben einigen Altstücken fand sich darin auch ein Fragment einer Schüssel aus oberrheinischer Nigra. Die Heterogenität des Ensembles kann damit erklärt werden, dass der Zerstörungsschutt vor dem Bau der *enceinte réduite* (um 276 n. Chr.) offenbar nach brauchbaren Teilen durchwühlt worden ist. So gesehen muss davon ausgegangen werden, dass die Zusammensetzung der Keramikfunde absolut zufällig entstanden ist und sich deshalb nicht für einen Vergleich mit *in situ* verbliebenen Zerstörungsschichten eignet.

Dennoch entsprechen die Funktionswerte mit einem Anteil von 76% beim Tafel- und Auftragsgeschirr beziehungsweise von 14% beim Vorratsgeschirr respektive von 9% beim Kochgeschirr in etwa den bereits konstatierten Zahlenmengen. Auffällig ist, dass die Anzahl der Becher relativ gut mit dem hohen Anteil an Bechern korrespondiert, der um die Mitte des 3. Jahrhunderts zu erwarten ist. Dies lässt den Schluss zu, dass die späteren Eingriffe nur einen geringfügigen Einfluss auf die Funktionswerte hatten.

Fazit im Vergleich mit den Ensembles A11: Grundsätzlich kann festgestellt werden, dass die Prozentanteile aus dem heterogen zusammengesetzten Ensemble aus Insula 1 erstaunlich gut mit denjenigen der Ensembles aus Raum A11 korrespondieren. Es scheint, dass dieses Ensemble trotz der Schichtgenese die Grundtendenz der zeitlich bedingten Formenzusammensetzung widerspiegelt. Jedenfalls stellen die Becher, Schüsseln und Teller mit eingebogenem Rand – wie auch bei den Ensembles A11 – innerhalb des Tafel- und Auftragsgeschirrs den Hauptanteil. Im Gegensatz zu den Ensembles aus Raum A ist hier jedoch das Vorratsgeschirr besser vertreten, während die Anteile des Kochgeschirrs markant tief sind und Reibschalen vollständig fehlen.

Augst/BL, Insula 17 (Grabung 1990.051, Kanalverfüllung und Zerstörungsschicht aus einem Kanal bei den Frauenthermen[870]
Schichtart: Planie, vermischtes Material aus unteren Schichten des Ziegelversturzes und aus dem oberen Bereich der Kanalverfüllung, nur teilweise ausgegraben
Datierung: 220/230–250 n. Chr.
Abb. 357; 361; 363; Tabellen 4; 8; 10 (im Anhang)
Bewertung: Mit ca. 203 Individuen ist das Ensemble aus einer Kanalverfüllung vor der Nordwestecke der Frauenthermen die grösste zum Vergleich ausgewählte Fundeinheit aus Augusta Raurica. Aufgrund der Schichtgenese ist davon auszugehen, dass die Zusammensetzung des keramischen Fundguts eher zufällig entstanden ist. Dies u. a. deswegen, weil es zumindest zum Teil herangeführt und im Kanal entsorgt worden ist. Die kaum verrundeten Bruchkanten an der Keramik sowie die Fundmünzen zeigen, dass die Sedimente aber nicht mehrfach umgelagert worden sind und nicht von weit her stammen.

Trotzdem weist auch die Zusammensetzung der Keramikfunde aus der Kanalverfüllung Werte auf, die sich gut mit den anderen Ensembles vergleichen lassen[871]. Mit einem Anteil von 71% ist das Tafel- und Auftragsgeschirr hier

870 Hoek 1991 (Auszählung mithilfe von Katalog, Text und Tabelle 2); Peter 1991. Zu den Tierknochenfunden vgl. Deschler-Erb 1991a.

871 Hoek 1991, 119 Tabelle 2 führt die Schüsseln und Krüge/Flaschen unter der Kategorie «Gebrauchsgeschirr» auf, weshalb unsere Angaben leicht abweichen.

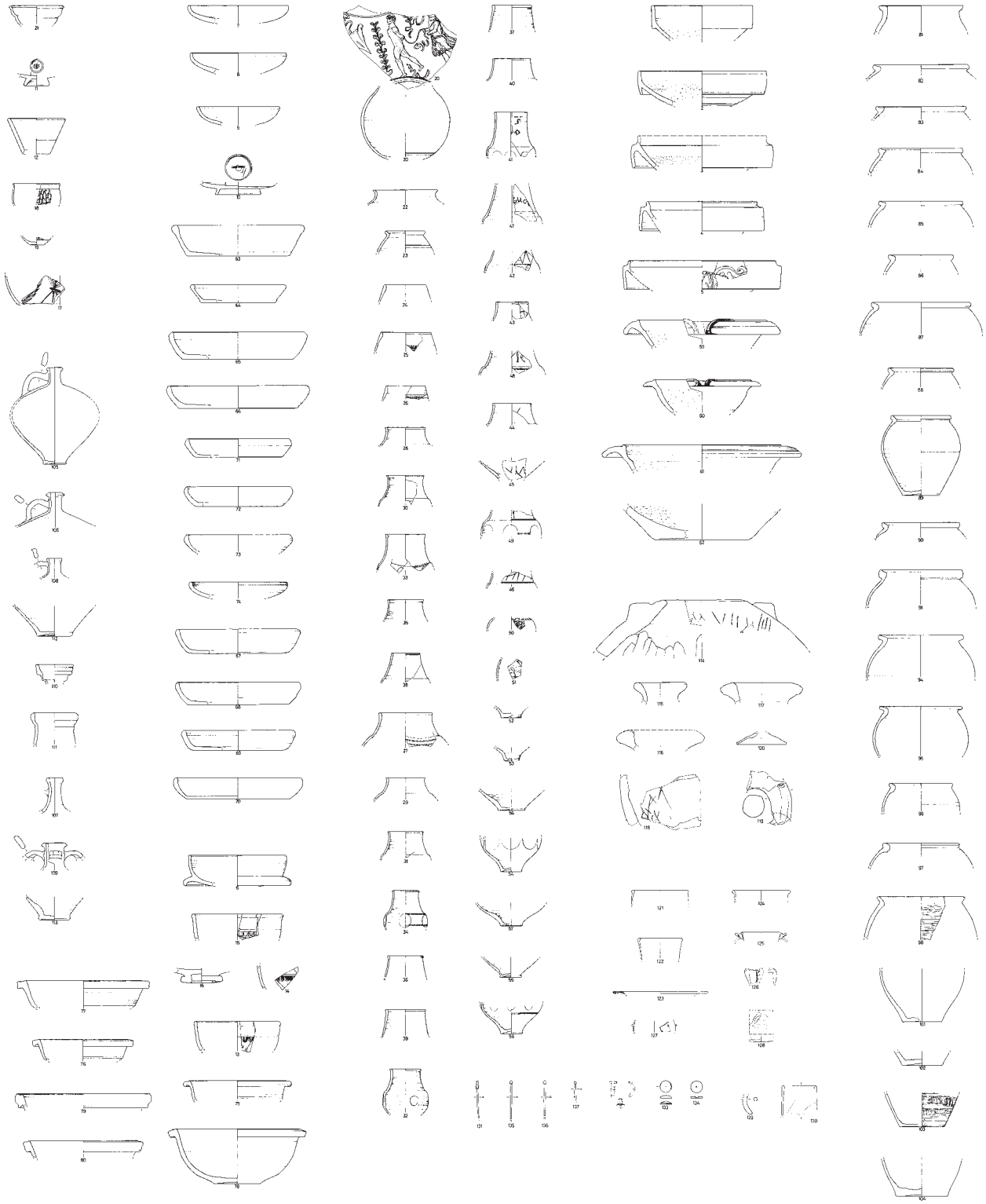


Abb. 357: Augst BL, Frauenthermen. Typenspektrum der Funde aus der Kanalverfüllung und der Zerstörungsschicht. Die Katalognummern entsprechen denjenigen bei Hoek 1991 (Basis: Tabelle 4 im Anhang). M. 1:12.

fast gleich gut vertreten wie in Raum B8 von Insula 1. Vergleichsweise gut vertreten ist auch die Kochkeramik, die einen Anteil von 22% (B8: 6%) erbringt, während das Vorratsgeschirr lediglich einen Anteil von 6% (B8: 22%) stellt. Innerhalb des Materials aus der Kanalverfüllung ragen die Einzelwerte der Becher mit einem Anteil von 28% und die Teller mit einem Anteil von 20% heraus. Die hohen Anteile an Tafel- und Auftragsgeschirr – namentlich auch die ho-

hen Becheranteile – bewogen Florian Hoek seinerzeit zur Annahme, dass es sich dabei um zerbrochenes Geschirr aus einer *taberna (cauponia* oder *vinaria)* gehandelt hat[872]. Gestützt wurde diese Interpretation durch die Zusammensetzung der Tierknochen aus der Kanalverfüllung[873].

Im Fundgut fanden sich weder Militaria noch Werkzeuge oder Hausratsgeräte, wie Messer o. ä., andererseits aber Glasgefässe, Schmuck- und Trachtbestandteile (Perlen, Fibeln, Haarnadeln), Nägel sowie viele Münzen. Nach Aussage der Schichtverhältnisse und aufgrund des Gefälles des Kanals, das das Wegspülen von «Unrat» begünstigte, darf angenommen werden, dass Kleinfunde und Keramik zusammen im Kanal entsorgt worden sind.

Fazit im Vergleich mit den Ensembles A11: Das Ensemble aus der Kanalverfüllung an der Nordwestecke der Frauenthermen entspricht in seiner Zusammensetzung den Ensembles aus Raum A recht gut. Beim Tafel- und Auftragsgeschirr, das mit 71% wiederum gut vertreten ist, dominieren vor allem die Becher und – im Vergleich zu den Werten aus dem Brandschutt in Raum A – auch die Platten und Teller. Weitere leichte Unterschiede zu den Werten aus den Ensembles A11 ergeben sich beim Kochgeschirr, bei den Reibschalen und Amphoren.

Die Funde aus der Kanalverfüllung wurden als Reste einer unweit abgebrannten «Taverne» interpretiert. Die hohen Anteile der Becher, Teller, Kochtöpfe sowie Schüsseln und das mit über 90% mit Hausrind durchsetzte, einseitige Tierartenspektrum gaben hierzu genug Anlass. Demgegenüber muss heute – nach einem Vergleich der Geschirranteile aus Siedlungshorizonten[874] – eine vorsichtigere Interpretation erwogen werden: Hohe Werte bei den Anteilen an Bechern, Tellern und Schüsseln finden sich auch in gewöhnlichen Siedlungsschichten des 3. Jahrhunderts[875]. Die Fundzusammensetzung aus der Kanalverfüllung an der Nordostecke der Frauenthermen kann demnach nicht bedingungslos als Referenzensemble für den Nachweis einer *taberna cauponia* oder einer *taberna vinaria* herangezogen werden. Aus unserer Sicht könnte es sich dabei ebenso gut um Teile eines Geschirrensembles aus einer gewöhnlichen *taberna*, das heisst aus einem Haus, das für Arbeits-, Lager- und Wohnzwecke genutzt wurde, handeln.

Kaiseraugst/AG, Schmidmatt, Raum 2, Keller Ost (Grabung 1983.055), Geschirrschrank Schmidmatt[876]
Schichtart: Brand- und Gehhorizont in einem Keller
Datierung: 250–275 n. Chr.
Abb. 358; 361; 363; Tabellen 5; 8; 10 (im Anhang)
Bewertung: Eine bis zu 2 m hohe Brandschuttschicht hat, ähnlich wie bei den Ensembles A11, ein gesamtes Geschirrensemble in einem Keller in der Flur Schmidmatt schnell und sicher vor späteren Eingriffen geschützt. Anhand der Befunde und Fundsituation konnte ein Bretterverschlag bzw. ein «Geschirrschrank» innerhalb des Kellerraums nachgebaut werden. Aufgrund der genau dokumentierten Fundlage liess sich zudem die Position der einzelnen Gefässe zum Zeitpunkt des Brandausbruchs rekonstruieren[877]. Bei der Betrachtung des Geschirrspektrums fällt der für das 3. Jahrhundert geringe Anteil an Tafel- und Auftragsgeschirr auf. Mit einem Anteil von 51% ist der vorliegende Wert deutlich niedriger als bei allen anderen vorgestellten Geschirrensembles. Hingegen liegen die Anteile des Kochgeschirrs mit 27% und des Vorratsgeschirrs mit 22% über dem Durchschnitt. Innerhalb des Kochgeschirrs fallen zudem die mit sieben Exemplaren gut vertretenen Reibschüsseln auf. Beim Tafel- und Auftragsgeschirr sind dagegen die Anteile der Becher mit 15% beziehungsweise der Schüsseln mit lediglich 5% gering, andererseits stellen die kleinen und grossen Krüge einen Anteil von 20%. Letztere könnten auch als Wasserkrüge verwendet worden sein und somit zum Vorratsgeschirr gehören. Vier fast vollständig erhaltene Amphoren vervollständigen die Keramikausstattung. Wie beim Ensemble A11-OG fanden sich hier überdies auch etliche sekundäre Umarbeitungen, beispielsweise zu einem Gefässtrichter, ferner auch Graffiti sowie sekundäre Brandspuren. Diese Abarbeitungen und Graffiti bezeugen, dass es sich dabei um Gefässe handelte, die zum Zeitpunkt des Brandausbruchs offensichtlich noch verwendet worden sind, und zwar – wie der Standort im Keller zeigt – als dort verwendete Arbeitsgefässe oder Vorratsgefässe.

Fazit im Vergleich mit den Ensembles A11: Mit dem Geschirrschrank aus dem Keller Ost des Handels- und Gewerbekomplexes Schmidmatt liegt ein mit den Ensembles A11-GH/F4/EG und A11-OG zeitgleiches und ebenfalls vollständig ergrabenes Vergleichsensemble vor, das die Unterschiede bei den Gefässfunktionen sehr deutlich aufzeigt. Auffällig ist einerseits die Anzahl der überlieferten Gefässe: Sie ist erheblich geringer als bei den Ensembles aus dem Erd- und dem Obergeschoss von Raum A[878]. Betrachtet man die Zusammensetzung der Formen, die zum Zeitpunkt des Brandausbruchs im Geschirrschrank standen, so können in diesem Fall die kleinere Zahl der Becher, Teller sowie die geringe Zahl der Schüsseln angeführt werden. Diese Zahlen liefern folgerichtig auch geringere Werte für das Tafel- und Auftragsgeschirr. Hingegen sind die Daten für Koch- und Vorratsgeschirr bedeutend aussagekräftiger. Die erhöhten Werte

872 Vgl. Hoek 1991, 120; Peter 1991, 136.
873 Vgl. Hoek 1991, 119 und Deschler-Erb 1991a, 150.
874 Hoek 1991, 119. Wegen des damals noch lückenhaften Publikationsstands basierte der Vergleich auf den Villen von Stutheien-Hüttwilen, Seeb, Bennwil und Laufen-Müschhag.
875 Schmid 2008, 167 Abb. 111.
876 Furger 1989a, 256 (Auszählungen nach Katalog).
877 Furger 1989a, 252–254 Abb. 94.
878 Leider liegt noch keine vollständige Auswertung des Fundmaterials aus dem übrigen Raumbereich von Keller Ost vor, sodass ein abschliessender Vergleich noch nicht möglich ist.

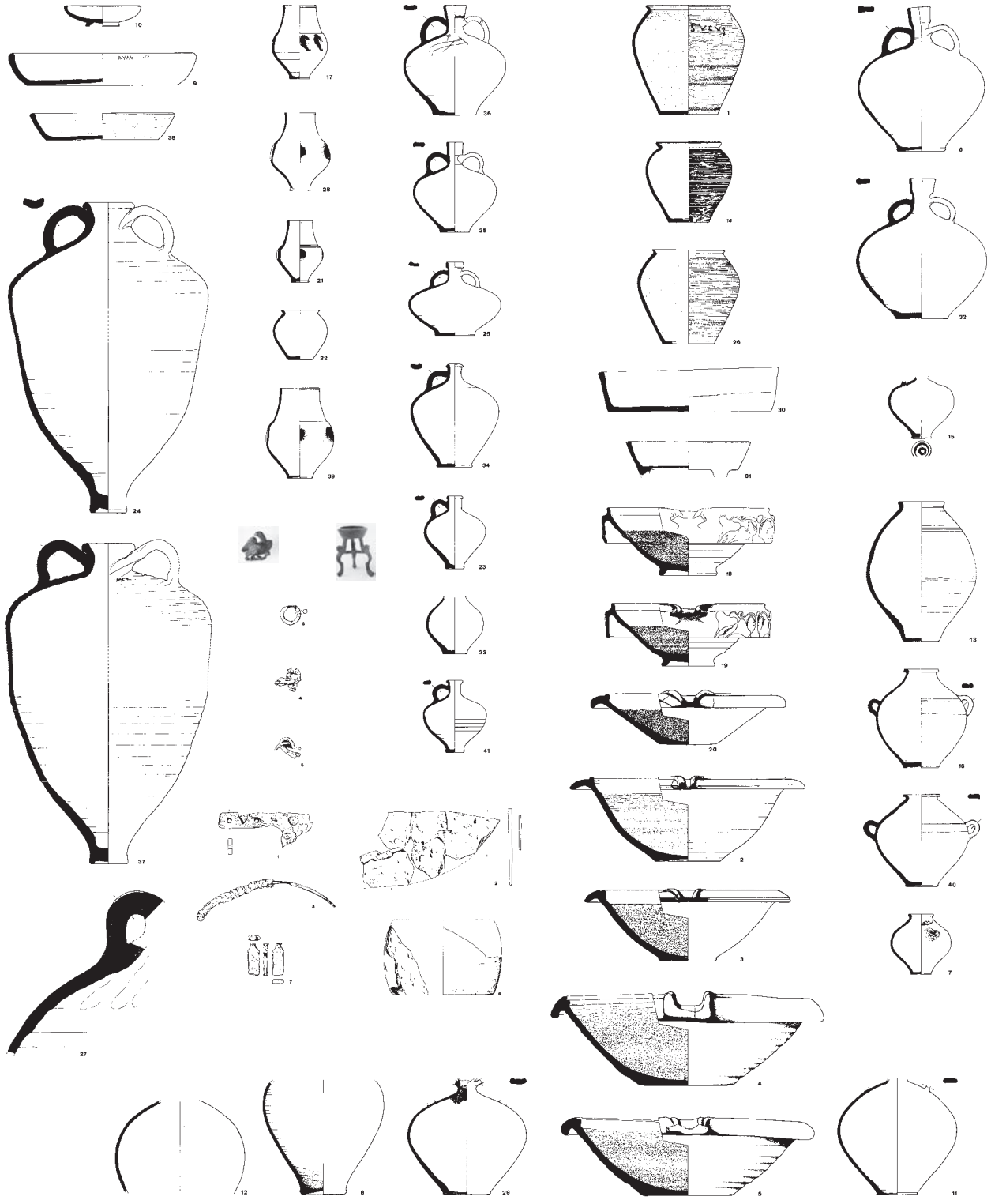


Abb. 358: Kaiseraugst AG, Schmidmatt, Keller Ost. Typenspektrum der Funde aus dem Brandschutt in Raum 2. Die Katalognummern entsprechen denjenigen bei Furger 1989 (Basis: Tabelle 5 im Anhang). M. 1:12.

beim Kochgeschirr sind im Wesentlichen durch die vergleichsweise hohe Zahl an Reibschüsseln bedingt. Gerade diese sind auch überdurchschnittlich gross dimensioniert und ihr Fassungsvermögen war beachtlich. Auch beim Vorratsgeschirr sind die Amphoren und die ansonsten in Siedlungsschichten eher seltenen Vorratstöpfe, wie z. B. Honig-

töpfe, relativ stark vertreten[879]. Eine wichtige Komponente innerhalb des Ensembles aus dem Geschirrschrank bilden auch die kleinen und die grossen Krüge. Erstere wurden sicherlich auch als Tafel- und Auftragsgeschirr verwendet, während die grossen Exemplare wohl eher als Vorratsgefässe anzusprechen sind. Dieses Ensemble darf demnach als Geschirrensemble interpretiert werden, das – teilweise mit festen oder flüssigen Vorräten[880] aufgefüllt? – der Lagerhaltung diente und im Vergleich zu den anderen Ensembles Keramik umfasst, die gewissermassen eine Selektion oder eine Spezialisierung an Gefässen widerspiegelt, die für die dort im Raum spezifisch verübten Tätigkeiten benötigt worden sind. Ferner könnte der Geschirrschrank auch als Zwischenlager für Gefässe benutzt worden sein, die gerade nicht an anderer Stelle benötigt wurden[881]. Wichtig ist diese Feststellung vor allem deswegen, weil das Ensemble eine Spezialisierung an Gefässen zeigt, wie sie bei den beiden Ensembles aus dem Brandschutt von Raum A nicht in dem Masse zutage tritt.

Oberwinterthur, Unteres Bühl. Fundensemble eines Keramiklagers aus Oberwinterthur[882]
Schichtart: Brandhorizont
Datierung: 50–70 n. Chr.[883]
Abb. 359; 362; Tabellen 6; 8; 9 (im Anhang)
Bewertung: In einem etwa 15 m² grossen Anbau im Bereich eines Hinterhofs eines strassenseitig orientierten Hauses wurde im Jahr 1982 ein als Keramiklager interpretiertes Keramikensemble entdeckt. Das annähernd 900 Gefässe umfassende Ensemble war wahrscheinlich zum Zeitpunkt der Brandkatastrophe, nach Keramikgattungen getrennt, auf Gestellen aufbewahrt und zum Verkauf bereitgestellt. Bei den Ausgrabungen konnten teilweise noch Keramikstapel *in situ* beobachtet werden, was jedoch, wie Christa Ebnöther bemerkt, Aufräumarbeiten nach dem Brand nicht ausschliesst.

Die Interpretation des Ensembles als Keramiklager wird durch verschiedene Beobachtungen gestützt: Das Formenrepertoire der einheimischen Keramik wird mit 340 Terra-Sigillata-Gefässen, vor allem mit Tellern, Platten, Schälchen und in etwas geringerem Umfang mit Schüsseln ergänzt. Das einheimische Formenspektrum ist mit Töpfen, Tonnen und geschlossenen Hochformen wie Flaschen und Krügen vertreten. Sowohl bei der Importkeramik als auch bei der einheimischen Ware sind bei bestimmten Typen erhöhte Werte festzustellen, so z. B. bei den Schälchen Drag. 27 und Drag. 22/23, bei den Tellern Drag. 18/31, bei den Schüsseln Hofheim 12 und Drag. 29 oder bei den rot überfärbten Tonnen, Flaschen oder den einhenkligen Krügen. Diese Typen stellen innerhalb des gesamten Formenrepertoires den grössten Anteil. Diese Formen, und auch noch einige weitere, waren zudem teilweise in zwei oder drei verschiedenen Grössen vorrätig. Auffällig ist, dass markant wenige Becher aus Terra Sigillata oder Gefässe mit grüner Glasur an Lager waren. Dieser Umstand könnte auf die Zeitstellung des Ensembles zurückzuführen sein oder damit zusammenhängen, dass gallo-römische Formen, wie z. B. Schultertöpfe oder Tonnen, die mediterranen Formen der Trinkbecher und Trinkschalen als Trinkgeschirr ergänzten oder diese gar ersetzten[884]. Die Flasche als einheimisches Formengut ist im Ensemble aus dem Keramiklager Oberwinterthur noch sehr gut vertreten.

Ein weiteres Argument für eine Interpretation als Verkaufslager bildet der Umstand, dass in diesem Ensemble keine Reibschüsseln und keine Vorratsgefässe wie Dolien und Amphoren sowie nur wenig Kochgeschirr gefunden wurden. Diese Gefässe wurden wohl an anderen Orten entweder *ad hoc* hergestellt oder woanders zum Verkauf angeboten, obschon im schopfartigen Anbau auch Spezialgefässe, wie Saug- und Zylindergefässe, aber auch Statuetten vorrätig waren.

Fazit im Vergleich mit den Ensembles A11: Die Befundsituation sowie die Fundkontexte und -funktionen lassen das Ensemble aus Oberwinterthur als Keramiklager interpretieren. Die Werte für das Tafel- und Auftragsgeschirr mit 70% fallen nur geringfügig kleiner aus als in den Ensembles A11. Das Tafel- und Auftragsgeschirr setzte sich vor allem aus Schälchen, Tellern und Platten, Schüsseln sowie Flaschen oder Krügen zusammen, was wiederum zeigt, dass diese Formen – zusammen mit den Töpfen und Tonnen – einen wichtigen Bestandteil des für die Käufer bereitgestellten Angebots bildeten. Da die Schälchen, Teller, Flaschen oder Krüge sowie die Töpfe und Tonnen überdies in verschiedenen Grössen vorrätig waren, kann von einer eigentlichen Spezialisierung im Verkaufsangebot gesprochen werden. Letzteres ist bei den beiden Ensembles aus dem Brandschutt von Raum A nicht der Fall. Neben vielen Bechern, Tellern und Platten aus den Ensembles A11 wurden auch bedeutende Mengen an Kochtöpfen und Reibschalen aufbewahrt und benötigt. Dies im Gegensatz zu dem Ensemble aus Oberwinterthur, wo das Kochgeschirr mit 2% in sehr geringer Menge vorkommt.

879 Schmid 2008, 164; 166 Abb. 110,5.10.
880 Ein kleiner Krug mit Bandrand mit «Teerspuren» im Innern verweist auf eine verdampfte Flüssigkeit hin (Furger 1989a, 238; 268 Abb. 68).
881 Vgl. Furger 1989a, 226: «Vorratskammer und Schrank für Ess- und Trinkgeschirr».
882 Auszählung nach Ebnöther/Eschenlohr 1985, Abb. 4,8; Ebnöther u. a. 1994.
883 Zur Datierung vgl. Schucany u. a. 1999, Taf. 120 (Fundensemble F.15 Oberwinterthur 4 *[vicus]*).
884 Vgl. Martin-Kilcher 1999, 93 Abb. 21.



Abb. 359: Oberwinterthur ZH, Unteres Bühl. Typenspektrum der Funde aus dem Keramiklager von Vitudurum. *Die Katalognummern entsprechen denjenigen bei Ebnöther/Eschenlohr 1985 (Basis: Tabelle 6 im Anhang). M. 1:12.*

Avenches, En Selley, Insula 56, Fundensemble aus Phase 3[885]
Schichtart: Brandhorizont
Datierung: 250–300 n. Chr.
Abb. 360; 362; Tabellen 7–9 (im Anhang)
Bewertung: Im Jahre 1997 wurde in der Nähe des Theaters, an der Peripherie des antiken Wohngebiets und entlang des südlichen Decumanus eine Abfolge von Wohn- und Handwerkergebäuden freigelegt. Dabei konnte festgestellt werden, dass das im 1. und 2. Jahrhundert vornehmlich handwerklich geprägte Areal um die Mitte des 3. Jahrhunderts eine Veränderung erfuhr. Im Zuge dieser Baumassnahmen wurde der strassenseitige Kellerraum mit einer Fachwerkwand zweigeteilt: Im vorderen Teil fanden sich Reste eines verbrannten Holzbodens, im hinteren Teil eine Feuerstelle. Auf der insgesamt ca. 20 m² grossen Fläche konnten mehrere Fundensembles des 3. und 4. Jahrhunderts geborgen werden, wobei in diesem Zusammenhang vor allem die Phase 3 interessiert, die in die zweite Hälfte des 3. Jahrhunderts zu datieren ist. Auf der Feuerstelle lagen *in situ* eine Waage, eine Glasflasche der Form AR 150 und ein Becher der Form Nb. 24b. Zu diesem Ensemble gehören weitere grossteilige, teilweise ganz erhaltene Keramikgefässe sowie verschiedene Kleinfunde. Im hinteren Teil des Raums wur-

885 Auszählung nach Blanc u. a. 1999, Abb. 10 und Katalog.

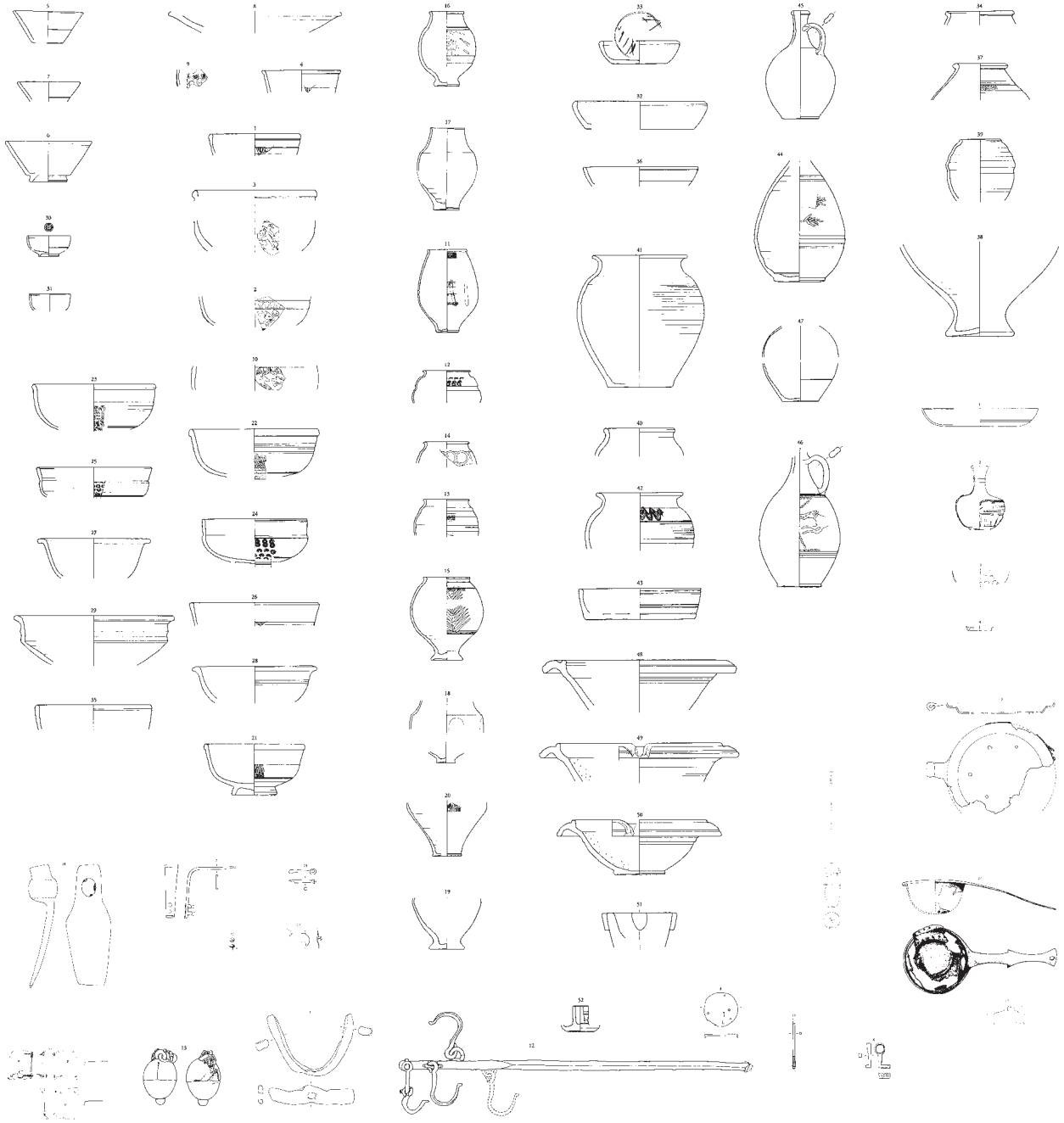


Abb. 360: Avenches VD, En Selley, Insula 56. Typenspektrum der Funde aus dem Brandschutt der Phase 3. Die Katalognummern entsprechen denjenigen bei Blanc u. a. 1999 (Basis: Tabelle 7 im Anhang). M. 1:12.

de ein Münzensemble geborgen, das als Inhalt einer Börse interpretiert wird. Nach einer Brandkatastrophe am Ende der Phase 3 wurde der Raum wieder instand gestellt – nach Aussage eines Antoninians des Tetricus I. frühestens in den Jahren nach 273 n. Chr.[886] Das Fundmaterial aus der Phase 3 wurde dabei *in situ* belassen und mit einer dicken Abbruchschicht aus Kalksteinen und Ziegeln zugedeckt.

Wie die Fundlage einer fast vollständig erhaltenen Waage zeigt, muss das Brandereignis sehr schnell und unvorhergesehen eingetreten sein. Diese Feststellung wird auch durch das übrige Fundmaterial gestützt: Der Phase 3 lassen sich insgesamt 140 zum Teil ganz erhaltene Gefässe zuweisen. Auffällig sind die vielen Becher und Schüsseln, die zusammen bereits 61% des gesamten Keramikinventars stellen.

886 Blanc u. a. 1999, 30–32; 73 mit weiterführenden Ausführungen zu den Münzen.

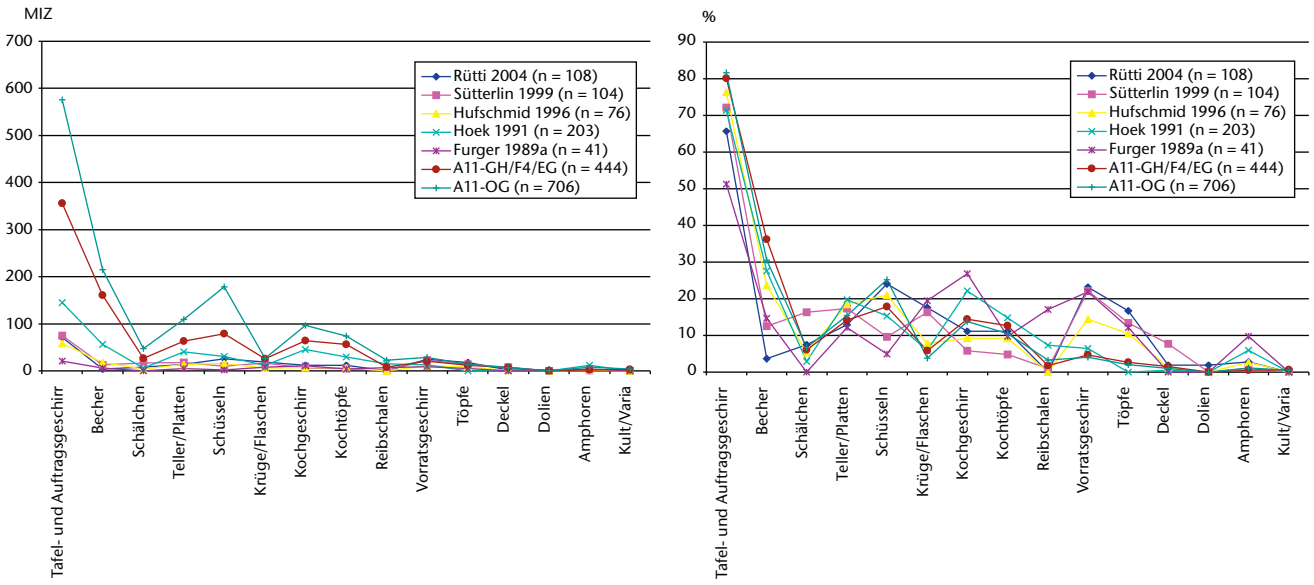


*Abb. 361: Augst BL/Kaiseraugst AG. **A** MIZ und **B** prozentuale Anteile der Gefässformen und Funktionsgruppen für die Ensembles A11-GH/F4, A11-EG und A11-OG aus Raum A im Vergleich mit anderen Ensembles aus Augusta Raurica (Basis: Tabelle 8 im Anhang). Rütti 2006: Augst, Insula 2; Sütterlin 1999: Augst, Insula 1, Raum B8; Hufschmid 1996: Augst, Insula 1, Raum C15; Hoek 1991: Augst, Insula 17; Furger 1989a: Kaiseraugst, Schmidmatt, Raum 2.*

Es folgen die Teller und Krüge mit je einem Anteil von 11%. Aussergewöhnlich sind im Vergleich zu Augusta Raurica die vielen mit Glasschliff, Kerben, décor oculé und mit Barbotine verzierten Becher, Schüsseln und Krüge. Ergänzt wird dieses vergleichsweise «reiche» Keramikinventar durch verschiedene Gefässe aus Glas, Bronze und Eisen. Trotz der Feuerstelle im hinteren Raum fanden sich eher wenige Kochtöpfe und auch nur wenig Vorratsgeschirr und Amphoren, aber vergleichsweise viele Reibschüsseln.

Eine schlüssige Interpretation dieses Ensembles ist, trotz der vielversprechenden Befundsituation und des vielfältigen Fundensembles, jedoch schwierig. Dies in erster Linie deswegen, weil der Raum nicht vollständig ergraben werden konnte. Das Ensemble liefert dennoch Hinweise, die für eine Ansprache als semi(?)-kommerzielles oder privates Geschirrlager sprechen könnten[887].

Fazit im Vergleich mit den Ensembles A11: Wie bereits erwähnt, können Fundensembles aus dem westlichen Mittelland nur bedingt mit denjenigen aus Augusta Raurica verglichen werden. Dennoch ergeben sich aus dem Vergleich mit dem Ensemble aus Avenches einige Anhaltspunkte, die für die Interpretation der Ensembles aus dem Brandschutt von Raum A herangezogen werden können. Dies betrifft in erster Linie die Vorstellung, wie viel Geschirr überhaupt in einem Raum gestanden haben könnte. So liefern die 140 Gefässe aus dem ca. 20 m² grossen und nur zum Teil ausgegrabenen Raum in *Aventicum* einen konkreten Anhaltspunkt bezüglich der Geschirrmenge, die in Wohn- und/oder gewerblich genutzten Räumen gestanden haben könnte.

Der Vergleich zeigt ferner, dass das Tafel- und Auftragsgeschirr aus *Aventicum* mit einem Anteil von 84% die ohnehin bereits hohen Werte der Ensembles aus Raum A sogar übertrifft. Dies ist vor allem auf die noch höheren Werte bei den Schüsseln und Krügen zurückzuführen. Abbildung 360 zeigt, dass es sich bei etlichen Schüsseln und Krügen um Terra Sigillata bzw. um Glanztonware handelte, was als regionaler Unterschied im Keramikspektrum bewertet werden kann. Dagegen sind die Werte der Becher, der Teller und Platten relativ gut miteinander vergleichbar. Die Ensembles aus Raum A weisen dagegen beim Kochgeschirr höhere Werte aus, während der Anteil der Keramik für die Vorratshaltung in etwa gleich gross ist. Die geringeren Werte bei den Kochtöpfen lässt die Vermutung aufkommen, dass in *Aventicum* auch Gefässe aus Eisen und Bronze zum Kochen verwendet wurden, wie entsprechende Funde nahelegen.

Schlussfolgerungen

Trotz der Gegenüberstellung der beiden Ensembles aus dem Erd- und dem Obergeschoss von Raum A mit anderen Ensembles aus Augusta Raurica, *Vitudurum* und *Aventicum* lässt sich die eingangs aufgeworfene Frage nach dem Verwendungszweck des Geschirrs in unseren Ensembles nur bedingt beantworten. Gesichert ist lediglich, dass weder En-

887 Blanc u. a. 1999, 32; 37; 73.

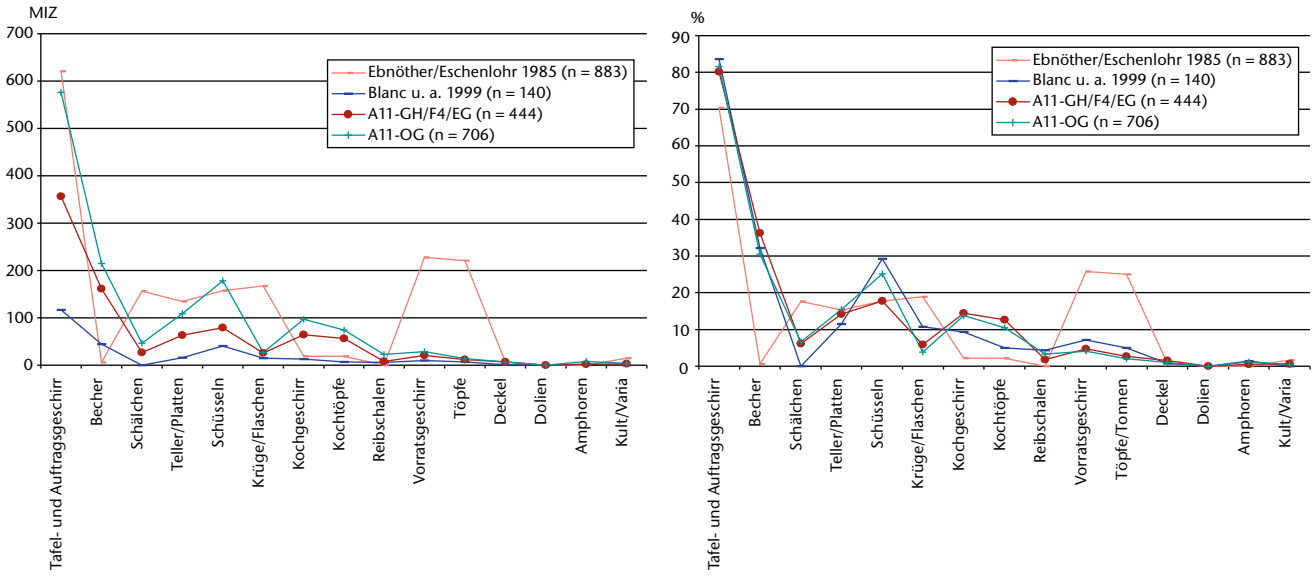


*Abb. 362: Augst BL, Insula 5/9, Raum A (Grabungen 1965–1967.052 und 2002.063). **A** MIZ und **B** prozentuale Anteile der Gefässformen und Funktionsgruppen für die Ensembles A11-GH/F4, A11-EG und A11-OG im Vergleich mit den Ensembles aus Oberwinterthur ZH, Unteres Bühl (= Ebnöther/Eschenlohr 1985) und Avenches VD, En Selley (= Blanc u. a. 1999) (Basis: Tabelle 9 im Anhang).*

semble A11-GH/F4/EG noch Ensemble A11-OG Merkmale einer besonderen Spezialisierung aufweisen, wie dies etwa beim Keramiklager von *Vitudurum* der Fall ist (Abb. 362; 364)[888]. Aus diesem Grund kann eine Lagerung von Keramikgeschirr zum reinen Zweck des Verkaufs sowohl im Erd- wie auch im Obergeschoss von Raum A ausgeschlossen werden. Dies zeigt einerseits die Zusammensetzung des Geschirrs, andererseits die Tatsache, dass etliche Gefässe, wie auch im Fall des Geschirrschranks im Handels- und Gewerbekomplex Schmidmatt/Kaiseraugst, sekundäre Abarbeitungen aufweisen, mit Graffiti gekennzeichnet sind oder als minderwertige Produkte (Fehlbrände) anzusprechen sind (s. o. S. 366 f.).

Beim Vergleich der Funktionsgruppen zeigte sich, dass die Unterschiede zwischen den verschiedenen Ensembles weniger prägnant waren als vermutet. Bei der diachronen Analyse der Anteile der einzelnen Funktionsgruppen zeigt sich vielmehr, dass sich deren relativ auf die Fundmenge bezogenen Anteile im Laufe der Zeit nur geringfügig verschieben (vgl. Abb. 361). Grössere Abweichungen, zum Teil sogar inverse Werte liessen sich lediglich beim Koch- und Vorratsgeschirr feststellen, so im Ensemble der Schmidmatt, wo die Krüge, Reibschalen und Töpfe aus dem Rahmen fallen. Dabei ist zu berücksichtigen, dass gerade diese Funktionsgruppen mögliche Zweckbestimmungen des entsprechenden Raums besser widerspiegeln als das überall vorkommende und deswegen oftmals indifferente Tafel- und Auftragsgeschirr.

Der Vergleich mit den verschiedenen Ensembles lieferte ferner gewisse Anhaltspunkte bezüglich des Umfangs bzw. der Zusammensetzung eines Inventars in einem auch für gewerbliche Zwecke genutzten Wohngebäude: In *Vitudurum* standen gegen 900 Gefässe in einem 15 m² grossen Raum, im Handels- und Gewerbekomplex Schmidmatt/Kaiseraugst wurden 41 Gefässe in einem ca. 10 m² grossen Bretterverschlag bzw. Geschirrschrank aufbewahrt.

Am ehesten vergleichbar mit unseren Ensembles aus Raum A ist der Zerstörungsschutt aus Avenches, En Selley: Hier wurden auf einer rund 20 m² grossen Fläche im Inneren eines teilweise ergrabenen Raumes rund 140 Keramikgefässe gefunden. Das Beispiel aus Avenches zeigt, dass die mindestens 531 Gefässe aus dem Erdgeschoss und die mindestens 728 Gefässe aus dem Obergeschoss von Raum A (Fläche je 55 m²) offenbar dem Geschirrinventar eines gewerblich geprägten Haushalts im späteren 3. Jahrhundert entsprechen. Derart grosse Geschirrmengen sind in multi-

888 Auf Abb. 364 wurden zwei weitere Keramikinventare aufgenommen, die beide Merkmale eines Geschirrlagers aufweisen. Da diese einerseits aus Deutschland und andererseits aus Frankreich stammen, wurden sie hier nur summarisch berücksichtigt. Zu Poitiers vgl. Wittmann/Jouquand 2003; zu Langenhain vgl. Simon/Köhler 1992, bes. 111–115 Anm. 371–373. Mit dem Ensemble aus Oberwinterthur wurden bereits die spezifischen Merkmale eines Keramiklagers herausgearbeitet. Aus diesem Grund wird das Keramiklager aus Lausanne nicht weiter vorgestellt. Zu Lausanne vgl. Kaenel u. a. 1982.

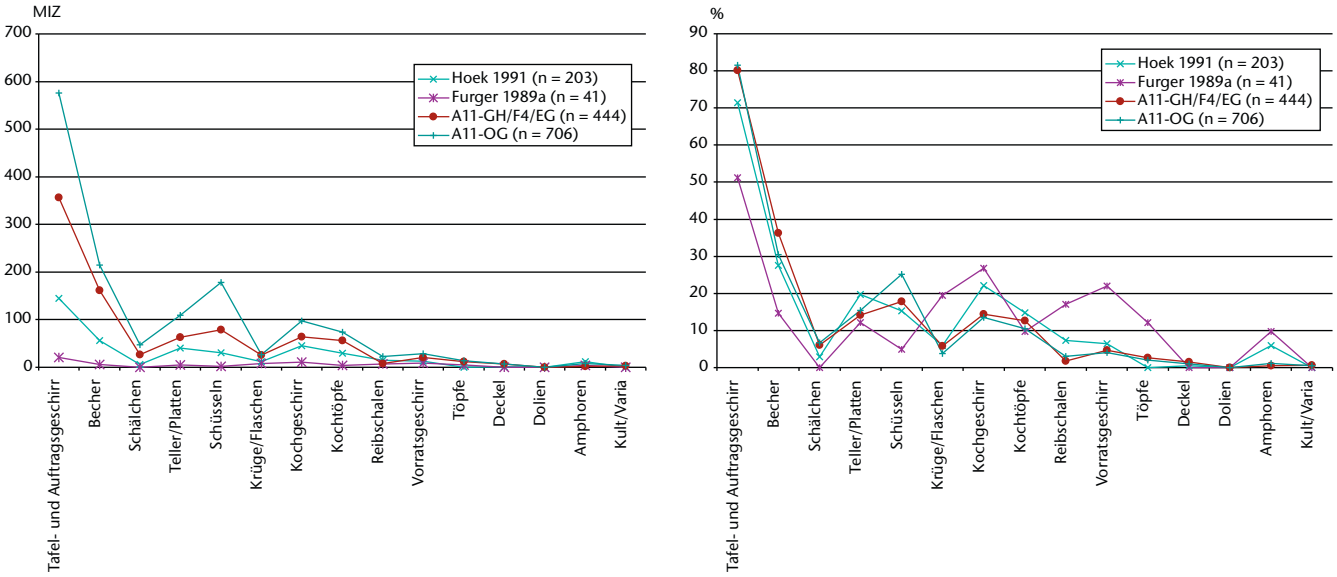


*Abb. 363: Augst BL, Insula 5/9, Raum A (Grabungen 1965–1967.052 und 2002.063). **A** MIZ und **B** prozentuale Anteile der Gefässformen und Funktionsgruppen für die Ensembles A11-GH/F4, A11-EG und A11-OG im Vergleich mit den Ensembles aus der Kanalverfüllung bei den Frauenthermen und aus dem Geschirrschrank in der Schmidmatt (Basis: Tabelle 10 im Anhang). Hoek 1991: Augst, Insula 17; Furger 1989a: Kaiseraugst, Schmidmatt, Raum 2.*

Nutzung	Keramiklager			Gewerbe		Kleinindustrieller, multifunktionaler Betrieb/Haushalt		
Fundort	Oberwinterthur (Ebnöther/Eschenlohr 1985)	Lausanne (Kaenel u. a. 1982)	Langenhain (D) (Simon/Köhler 1992)	Poitiers (F) (Wittmann/Jouquand 2003)	Kaiseraugst (Furger 1989a)	Augst, Insula 5/9: «taberna»		Avenches (Blanc u. a. 1999)
	rückwärtiger Raum, provisorischer Anbau	strassenseitiger Raum	Keller	strassenseitiger Raum	Keller – nicht vollständig publiziert	strassenseitiger Raum: Erdgeschoss	strassenseitiger Raum: Obergeschoss	strassenseitiger Raum – nicht vollständig ausgegraben
MIZ	883	139	ca. 3000?	320	41	444	706	140
Merkmale								
Spezialisierung	Ja, TS, Flaschen, Krüge, Töpfe und Tonnen	Ja, Käseformen, Reibschalen und Becher	Schwierig, aber viel TS, Becher	Ja, Krüge und Dreibeinschüsseln	Vorratsgeschirr: Krüge, Reibschalen und Amphoren	Tafelgeschirr: Becher, Teller, Schüsseln	Tafelgeschirr: Becher, Teller, Schüsseln	Tafelgeschirr: Becher, Schüsseln, Krüge
Warenpositionierung	Ja: Zonen für TS und Gebrauchskeramik	Ja	Nein			Nein	Nein	Nein
Stapelungen	Ja	Ja	Nein			Nein	Nein	Nein
Abarbeitungen	?	?	?	Ja	Ja	Ja	Ja	Nein
Ware 2. Wahl	?	?	Ja	?	Ja	Ja	Ja	Nein
Graffiti	?	?	Ja	?	Ja	Ja	Ja	Ja
Kleinfunde	Venusstatuetten	?	Bronzegefässe, Bleivotiv, Militaria	Glasensemble, weitere Kleinfunde nicht publiziert	Wenige	Kult, Werkzeug, Schmuck, Spiel, Militaria, Halbfabrikate	Militaria, Werkzeug, Schmuck, Spiel, Kult	Bronze-, Eisen- und Glasgeschirr, Waage, Hacke, Militaria

Abb. 364: Zusammenstellung verschiedener Fundensembles und ihrer Interpretation: Keramiklager, Gewerbe und kleinindustrieller, multifunktionaler Betrieb/Haushalt.

funktional genutzten Räumen offensichtlich nicht aussergewöhnlich[889].

Bezüglich einer genaueren Funktionszuweisung des Erdgeschosses muss konstatiert werden, dass die Menge an Bechern, Tellern, Schüsseln und Kochtöpfen sicherlich in einen Bezug mit dem wohl auch gewerblich genutzten Backofen BO1 zu stellen ist. Das Erdgeschoss darf aber nicht nur als reiner *«Take-away»*, in welchem Essen und Getränke über die Theke an Laufkundschaft verkauft wurde, interpretiert werden. Es diente, wie auch das Obergeschoss, zudem als Wohn-, Aufbewahrungs- und Werkraum.

Überlegungen zur Funktion und zur Nutzung von Raum A am Ende von Phase 11

Für die Klärung der Frage nach der Nutzung des Erdgeschosses und des Obergeschosses von Raum A stützen wir uns im Wesentlichen auf folgende Informationen (Abb. 365):

Erdgeschoss

Das Erdgeschoss von Raum A wurde bereits während der Freilegung und noch vor der abschliessenden Aufarbeitung des Baubefunds und des Fundguts mit dem relativ vieldeutigen Begriff *taberna* belegt[890]. In der Folge hat sich dann eine wohl durch Backofen BO1 in Raum A und Backofen BO2 in Raum B sowie die übrigen damals bekannten Backöfen und durch die Nähe zu den Theaterbauten inspirierte Interpretation des Erdgeschosses als *taberna cauponia* durchgesetzt[891].

Dies, obschon im Erdgeschoss keine Installationen gefunden wurden, die als typisch für die *tabernae cauponiae* in Pompeji oder in Ostia gelten[892]. Dazu gehören etwa:

- L-förmige, meist mit an- oder eingebauter Herdstelle und eingemauerten Gefässen versehene und oft mit Marmor verkleidete Thermopolien und/oder Tresen mit gemauerten Regalen für das Aufbewahren des Geschirrs[893];
- Herdstellen;
- Wasserbassins, welche zum Teil aus eigenen Quellen oder durch Leitungen gespiesen werden[894];
- eingegrabene Dolien *(dolia defossa)* und/oder frei im Raum stehende *dolia*[895];
- eine breite, meist die ganze Schmalseite des Raumes einnehmende Türöffnung[896].

Zudem fanden sich, trotz individueller Abweichungen bei der Einrichtung[897], in keiner der in Pompeji oder Ostia ergrabenen *tabernae cauponiae* Backöfen[898]. Neuere Grabungen im Umfeld von Raum A haben zudem gezeigt, dass ein weiteres Argument, das für eine Interpretation als *taberna cauponia* herangezogen worden ist, nämlich die Nähe zum Theater, heute nur noch bedingte Beweiskraft hat: Im frag-

889 Diese Feststellung deckt sich mit der Beobachtung, dass manchmal auch die Planieschichten aus dem 3. Jahrhundert in Augusta Raurica sehr hohe Fragmentzahlen und Geschirranteile umfassen. Zum Beispiel enthielten die anlässlich der Grabung 2006.004 (Kaiseraugst/AG-Wacht/Künzli) untersuchten Schuttschichten des 3. Jahrhunderts grosse Mengen an Bechern der Form Nb. 33, an Tellern mit eingebogenem Rand sowie an Schüsseln mit profiliertem Rand; vgl. L. Grolimund/U. Müller/C. Saner in: Müller 2007, 101–108. – Das keramische Fundmaterial ist allerdings noch nicht ausgewertet.

890 Vgl. Laur-Belart, Tagebuch, 15.07.1965. – Siehe auch oben S. 22 f.

891 Bürgin 1965; Berger 1977, 38; Berger 1996, 169. Vgl. dazu ferner Hermansen 1981, 126 (zur Problematik der Interpretation). – Dass die Nähe zu öffentlichen Bauten keinesfalls zwingend ist, zeigt die Verteilung der über 100 Schenken in Pompeji (Eschebach 1975, Plan nach Seite 331; Kleberg 1963, 9). Deutliche Konzentrationen von Schenken sind allenfalls in der Nähe der Stadttore und der Gladiatorenkaserne zu beobachten (vgl. Kleberg 1963, 10 f.). Ähnliches trifft auch auf Ostia zu, wo lediglich an besonders belebten Orten mit einer Häufung zu rechnen ist (vgl. Hermansen 1981, 134).

892 Wobei allerdings zu berücksichtigen ist, dass für einen Teil der Einrichtung auch Holz hätte verwendet werden können. Vgl. dazu Kleberg 1963, Abb. 10 (Grabgemälde aus Hadrumetum [Nordafrika] mit einem Holztresen) oder MacMahon 2003, 80 ff. – Wie wenig aussagekräftig die Raumform bzw. der Grundriss für sich alleine ist, zeigen besonders deutlich die aneinander gebauten, mit einer Portikus ausgestatteten *tabernae* an der Via del Pomerio in Ostia. Lediglich ein einziger dieser 4,5 m breiten und 10,5 m langen Räume kann mit Sicherheit als *taberna cauponia* angesprochen werden (vgl. Hermansen 1981, 134 f. Abb. 60).

893 Kleberg 1963, 9 Abb. 2 (Bsp. aus Herculaneum). Vgl. ferner Pavolini 1991, Abb. 89 *(thermopolium* an der Via di Diana); 100 (Caupona del Pavone); Weeber 1995, 131 *(thermopolium* an der Via di Diana); Hermansen 1981, Abb. 54; 55. Pompeji: *cauponia* der Aselina (Kleberg 1963, Abb. 6; Coarelli 1990, 270); *cauponia* des Sotericus (Coarelli 1990, 299). Vgl. dazu auch MacMahon 2005b, Abb. 5.1; 5.6.

894 Vgl. Hermansen 1981, 127 ff., bes. 130; 172 mit zahlreichen Beispielen.

895 Vgl. Hermansen 1981, 131. Vgl. dazu auch Martin-Kilcher 1987/1994, 177, die darauf hinweist, dass sekundär überarbeitete Amphoren auch als «Dolien» verwendet wurden.

896 Vgl. Hermansen 1981, Abb. 48; 51; 56; 60; 65; 69; 74.

897 Zum Beispiel der Weingarten und die Latrine in der *cauponia* des Euxinus in Pompeji (vgl. Coarelli 1990, 292 f.) oder Mosaikböden in Ostia (Hermansen 1981, 19 ff.). Gelegentlich, aber vergleichsweise selten, findet sich im hinteren Teil der langgestreckten Räume auch ein *cubiculum* oder eine in das Obergeschoss führende Treppe, so z. B. in den *cauponiae* der Aselina, des Euxinus und des Sotericus in Pompeji (vgl. Coarelli 1990, 270; 292 f.; 299) oder eine in benachbarte Räume führende Türe in Ostia (Hermansen 1981, Abb. 63; 65).

898 Nicht gänzlich ausschliessen möchten wir dies lediglich im Fall einer als «base or substruction serving some unknown purpose» (Hermansen 1981, 174), in der Abbildungslegende als Lararium bezeichneten (Hermansen 1981, Abb. 116) sockelförmigen Struktur in der Taverne des Alexander Helix in Ostia.

Situation im Erdgeschoss von Raum A am Ende von Phase 11 (um 270 n. Chr.)	
Bausubstanz/Inneneinrichtung	**Archäo(bio-)logisches Fundmaterial**
Befunde: • Gemauertes Erdgeschoss, das im Süden von einer auf einem gemauerten Streifenfundament stehenden Fachwerkwand abgeschlossen wird. • Zugang von der Neuntürmestrasse via eine Türe in Fachwerkwand • podestartiges Separee mit Mörtelboden im Bereich des verfüllten Hypokausts • Backofen BO1 • Feuerstellen F4 und F5	Ensemble A11-GH/F4/EG (250–260/270 n. Chr.): • **Geschirr (mind. 531 Keramikgefässe)** • **Kult (Lararium)** • **Handwerk** • Militaria • Schmuck • Tierknochen (Speiseabfälle) • verbrannter Getreidevorrat
Situation im Obergeschoss von Raum A am Ende von Phase 11	
Bausubstanz/Inneneinrichtung	**Archäo(bio-)logisches Fundmaterial**
Befunde: • Verputzte und bemalte Fachwerkwände auf gemauertem Erdgeschoss • Lehmestrichboden (mit Feuerstelle?) • Zugang von der Heidenlochstrasse via eine Portikus (Raum C) • Ziegeldach *(tegulae* und *imbrices)*	Ensemble A11-OG (250–260/270 n. Chr.): • **Geschirr (mind. 728 Keramikgefässe)** • Kult • **Handwerk** • **Militaria** • Schmuck • Tierknochen (Speiseabfälle)

Abb. 365: Augst BL, Insula 5/9 (Grabungen 1965–1967.052 und 2002.063). Synoptische Darstellung der Situation im Erdgeschoss und im Obergeschoss von Raum A am Ende von Phase 11 (um 260/270 n. Chr.).

lichen Zeitraum, d. h. zwischen ca. 250 und 260/270 n. Chr., wurde das jüngere szenische Theater wahrscheinlich nicht oder nur noch partiell benutzt[899]. Zudem sind auch in der Umgebung des Theaters von Pompeji keine besonderen Konzentrationen von Schenken u. ä. zu beobachten; diese verteilen sich mehr oder weniger gleichmässig über das ganze Stadtgebiet[900].

Wie in Exkurs 1 (S. 275 ff.) dargelegt, muss heute vielmehr davon ausgegangen werden, dass Backöfen in den an die Neuntürmestrasse angrenzenden Räumen im dritten Viertel des 3. Jahrhunderts zur Standardausstattung gehörten, ja sogar ein Charakteristikum der *squatter occupation* bildeten. Im *vicus* von Bliesbruck/F ist ab dem 3. Jahrhundert ein ähnliches Phänomen zu beobachten[901]. Interessant sind in diesem Zusammenhang auch Beobachtungen in Pompeji: Dort wurden die grossen Backöfen nämlich erst *nach* dem Erdbeben von 62 n. Chr. in das Stadtzentrum (Forum, Via Stabiana) verlegt[902].

Dennoch kann aus diesem Sachverhalt nicht gefolgert werden, dass die grossflächigen Zerstörungen in Augusta Raurica am Ende von Phase 7 zu einer Verlagerung der Bäckereien *(pistrinae)* ins Zentrum des *caput coloniae* geführt haben: Der «Backofengürtel» widerspiegelt wohl eher den Umstand, dass die Bevölkerung im dritten Viertel des 3. Jahrhunderts das Brot nicht mehr bei spezialisierten (Gross-)Bäckereien bezog, sondern dieses selbst herstellte[903]. Allerdings ist nicht erwiesen, dass in den Backöfen ausschliesslich oder vornehmlich Brot gebacken wurde: Im gesamten «Backofengürtel» fehlen nämlich Belege in Form von Mühlsteinen, Steintrögen und/oder gemauerten Backtischen[904].

899 Vgl. dazu Hufschmid/Horisberger-Matter 2008, 193 f.

900 Dies gilt sinngemäss auch für das Amphitheater von Pompeji. Vgl. Eschebach 1975, 331 (Verweis auf die Pinselaufschriften auf den in der *cauponia* des Euxinus gefundenen Amphoren: *Pompeiis, ad amphitheatrum, Euxino coponi).* Vgl. in diesem Zusammenhang ferner auch MacMahon 2003, 129; 137 ff.

901 Vgl. Petit 2005b, 177.

902 Vgl. Coarelli 1990, 104. – Vgl. in diesem Zusammenhang ferner auch Bericht der Stiftung Ziegeleimuseum Meienberg, Cham 15, 1998, 39 (um 200 n. Chr. nachträglich eingebauter Backofen im Praefurnium eines Handelshauses in Walheim, Kreis Ludwigsburg).

903 Vgl. dazu auch Berger 1977, 38, der dieser Interpretation noch eher kritisch gegenüberstand. – Angesichts der heute gut abgesicherten Zeitstellung der Backöfen (Phasen 9–11) sowie der heutigen Kenntnisse zur Spätzeit von Augusta Raurica sind die ebd. geäusserten Vorbehalte ausgeräumt. Das Fehlen von kaiserzeitlichen Backofenbefunden könnte mit den bei Berger 1977, 38 Anm. 35 erwähnten transportablen Backgeräten erklärt werden.

904 Wie z. B. in der Bäckerei des Kastells Stockstadt (Steidl 2008, Abb. 78) oder im *vicus* Bliesbruck-Reinheim (Petit 2005a, 130 ff.; Petit 2005b, 180 ff.). – Zur Ausstattung der Bäckereien vgl. ferner auch Währen/Schneider 1995, Abb. 15; 16 (Reproduktion der Reliefs vom Grabmal des Eurysaces in Rom) und Gerlach 2001, Abb. 9 (Relief vom Sarkophag des Lucius Iunius Octavius Valerianus in Rom). Vgl. in diesem Zusammenhang auch Overbeck 1968, 343 (Privatbäckerei in der Casa del Labirinto mit Mühlen, Wasserschüsseln auf gemauerten Sockeln, Backofen, Backtisch, Steingefäss zum Kneten des Teiges) und 385 (Beschreibung der gewerblichen Bäckereien); Weeber 1995, 37 f. mit instruktiven Abbildungen; Währen/Schneider 1995, 23 ff., bes. 29 ff. sowie Schnitzler/Kuhnle 2010, 109–111.

Andererseits ist angesichts der überaus zahlreichen Backplatten[905] sowie der in den Räumen A und B gefundenen Getreidevorräte durchaus denkbar, dass in den Backöfen *puls* zubereitet worden ist[906]. Gesichert ist, dass die Backöfen zum Erwärmen oder Warmhalten von Getränken genutzt wurden.

Im Erdgeschoss befanden sich zum Zeitpunkt des Brandausbruchs mindestens 531 Gefässe: darunter 161 Becher (davon 115 der Form Nb. 33), 27 Schälchen (davon vier der Form Nb. 12), 63 Teller oder Platten (davon 44 Teller mit eingebogenem Rand), 79 Schüsseln, 26 Krüge, 56 Kochtöpfe und -teller, 8 Reibschalen, 21 Vorratsgefässe (davon nur zwei Amphoren), drei Kultgefässe, 87 nicht weiter bestimmbare Keramikgefässe, rund 19 Gefässe aus Glas sowie ein Eimer aus Lavez.

Geht man von der Prämisse aus, dass ein Becher der billigen Sorte ein As und eine reliefierte Schüssel aus Terra Sigillata 5 Sesterzen (= 20 Asse) kosteten[907], entsprach das Keramikinventar des Erdgeschosses einem Wert von etwa 531–10620 Assen (= 2655 Sesterzen) oder, wenn man von einem Durchschnittspreis von drei bis sechs Assen ausgehen würde, einem Wert von 398–796 Sesterzen. Dies ist ein nicht unbeträchtlicher Geldwert, kostete doch ein Laib Brot für zwei Personen ein As, ein *modius* Weizenmehl (= ca. 9 Liter) etwa 80 Asse (16 Sesterze) und ein Arbeiter verdiente etwa fünf Asse pro Tag[908].

Die grosse Menge an Keramikgeschirr ist schliesslich auch deswegen erstaunlich, weil aufgrund der Raumgrösse (= ca. 55 m²) davon ausgegangen werden muss, dass im Erdgeschoss höchstens fünf bis acht Personen gelebt haben können[909].

Bemerkenswert ist des Weiteren, dass die Gefässe nicht in der Raummitte gefunden wurden, wo sie ja auch gestört hätten, sondern eben vor allem entlang der Mauern 2, 4 und 13. Bei Mauer 13, das heisst im Eingangsbereich, fanden sich überdies sehr viele Becher der Form Nb. 33. Da im Backofen BO1 ebenfalls ein Becher gefunden worden ist, ist denkbar, dass diese Gefässe gerade dort standen, weil sie dazu benutzt wurden, um warme Getränke «über die Gasse» zu verkaufen. Denkbar ist aber auch, dass dort bestimmte Gefässe zum Verkauf aufbewahrt worden sind.

Die Konzentration der Keramikfunde im Bereich des ehemaligen *cubiculum* zeigt aber auch, dass viele Gefässe zum Zeitpunkt des Brandausbruchs auf dem zwischen dem Backofen BO1 und der Hangstützmauer liegenden «Podest» standen, so u. a. die *in situ* dokumentierten Milchtöpfe **364** und **365**.

Entlang von Mauer 2 fanden sich neben zahlreichen Gefässen zudem auch etliche Objekte, die sich den Kategorien Kult, Handwerk, Militär sowie Schmuck und Tracht zuweisen lassen.

Die wohl bedeutendste Fundgruppe im Erdgeschoss bilden sicherlich die zwei Merkurstatuetten sowie die Statuetten einer Minerva und eines Zwergs. Diese stammen – wie vielleicht auch das Bleivotiv und die Kultgefässe – aus einem Lararium. Einige Schmuckelemente, wie beispielsweise die Haarnadeln, deuten darauf hin, dass sich im Erdgeschoss auch Frauen aufgehalten haben. Halbfabrikate und Schleifsteine sowie verschiedene weitere Objekte, darunter eine wohl sekundär als Arbeitsunterlage verwendete Seitenplatte **389** einer Glasform sowie eine Kalksteinplatte **390**, bezeugen kleingewerbliche oder für den privaten Gebrauch ausgeübte handwerkliche Aktivitäten.

Die wenigen Militaria aus dem Erdgeschoss – es handelt sich um eine Lanzenspitze **476** sowie zwei Schurzbestandteile **384** und **475** – bilden ein marginales Element innerhalb des ansonsten von zivilen Gegenständen geprägten Hausrats.

Zusammenfassend ist festzuhalten, dass sich im Hausrat keine Hinweise fanden, die für eine Nutzung des Erdgeschosses als *taberna cauponia* sprechen würden: Umfang und Zusammensetzung des Keramikgeschirrs sind, wie der Vergleich mit dem Inventar des Obergeschosses und mit anderen zeitgenössischen Ensembles gezeigt hat, nicht aussergewöhnlich, sondern eher zeitspezifisch.

Gegen die Existenz einer Spezialitätenküche im Erdgeschoss sprechen auch die geringen Unterschiede in der Zusammensetzung der Tierknochen zwischen den beiden Geschossen. Hausrind und Hausschwein sind, gemessen an den Fragmentzahlen, in beiden Geschossen etwa gleich stark vertreten (43% bzw. 40%); Schafe/Ziegen erreichen Anteile von 18–19%. Letzteres trifft auch auf den überdurchschnittlich hohen Jungtieranteil beim Rind (7–10%) und bei Schaf/Ziege (27–32%) zu. Auch bei der Skelettteilzusammensetzung sind bei Hausrind und Schaf/Ziege keine deutlichen Unterschiede zwischen den beiden Geschossen auszumachen. Signifikant sind lediglich folgende, am ehesten auf unterschiedliche Ernährungsgewohnheiten zurückzuführende Unterschiede zwischen dem Erd- und dem Obergeschoss:

905 D. h. Teller mit eingebogenem Rand (vgl. dazu oben Anm. 114; 736). Zur Verwendung der sogenannten Backplatten vgl. ferner Furger/Deschler-Erb 1992, 89 ff. mit weiterer Literatur sowie Währen/Schneider 1995, 56 f. (Zusammenstellung von Backplatten mit Krusten). – Berger 1977, 36 hält in diesem Zusammenhang fest, dass die Feueröffnung des Backofens BO1 breit genug war, um Backplatten in den Feuerraum zu schieben. Allerdings fanden sich auf den im Brandschutt gefundenen Backplatten – im Gegensatz zu den eigentlichen Kochtöpfen – kaum Russ- oder Schmauchspuren.

906 Vgl. dazu den Beitrag von M. Kühn und M. Klee, oben S. 229.

907 Zu den Preisangaben vgl. Féret/Sylvestre 2008, 75 Abb. 24 und die Rezension von Ch. Flügel, Bayer. Vorgeschbl. 74, 2009, 324–326; Reuter/Scholz 2004, 54.

908 Vgl. Szaivert/Wolters 2005, 77 f.; 88; 329; 331–333.

909 Vgl. dazu Bossart u. a. 2006, 100 ff.; Wendt 2008.

- Im Erdgeschoss sind Hand- und Fussteile des Schweins übervertreten, im Obergeschoss Unterarm-/Unterschenkelbereich. Im Erdgeschoss wurden demnach vor allem Schweinsfüsschen konsumiert, im Obergeschoss dagegen auch Haxen (Eisbein, Stelzen).
- Beim Hausschwein ist der Anteil der Jungtiere im Erdgeschoss (15%) deutlich geringer als im Obergeschoss (38%).
- Im Erdgeschoss ist der Anteil des Haushuhns deutlich höher (19%) als im Obergeschoss (6%).

Zusammenfassend ist festzuhalten, dass sich im Befund und im archäo(bio)logischen Fundmaterial keine Evidenzen abzeichnen, die für eine Nutzung des Erdgeschosses von Raum A als reine *taberna cauponia* (oder als *taberna vinaria)* sprechen würden. Dies schliesst jedoch nicht aus, dass die während der *squatter occupation* in den Phasen 9–11 im Erdgeschoss lebende, aufgrund des Geflügelanteils und der Jungtieranteile der Haussäugerarten sowie des Geldwerts des Hausrats vergleichsweise wohlhabende Personengruppe neben anderen gewerblichen Tätigkeiten auch Speisen und Getränke «über die Gasse» verkauft hat[910]. Dass es sich dabei aber lediglich um ein «Nebengeschäft» gehandelt haben kann, zeigt die Skelettzusammensetzung der im Erdgeschoss gefundenen Tierknochen: Diese entspricht nämlich mehr oder weniger derjenigen im Obergeschoss und in den anderen Insulae und Regionen in Augusta Raurica.

Obergeschoss

Bezüglich der baulichen Ausgestaltung des rund 55 m² grossen Obergeschosses lassen sich aus den Befunden nur sehr wenige Informationen ableiten. Die mit Ziegeln gedeckte Lehmfachwerkkonstruktion war mit einem Lehmestrichboden und vielleicht mit Feuerstellen ausgestattet. Die optischen Analysen des verbauten Lehms ergaben eine Herkunft vom Hangfuss des Birchhügels sowie von der von Schwemmlöss bedeckten Ebene südlich der Oberstadt, in der Flur «Im Sager/Im Liner»[911].

Der Zugang ins Obergeschoss erfolgte sicher von der Heidenlochstrasse aus, das heisst durch die mit Spolien errichtete Mauer 3C in den instand gestellten Korridor (Raum C). Ob zwischen dem Erd- und dem Obergeschoss eine Innentreppe existierte, muss offen bleiben. Angesichts der Tatsache, dass es sich nach Aussage der beiden Inventare offensichtlich um zwei selbstständige Haushalte gehandelt hat, ist eine solche jedenfalls nicht zwingend.

Im Brandschutt des Obergeschosses fanden sich mindestens 728 Keramikgefässe – eine in Bezug auf die Raumgrösse und die mutmassliche Zahl der Bewohner von 5–8 Personen beachtliche Zahl. Das Geschirrinventar umfasst 215 Becher (davon 159 der Form Nb. 33), 47 Schälchen (davon 12 der Form Nb. 12), 109 Teller oder Platten (davon 80 mit eingebogenem Rand), 178 Schüsseln (davon 39 mit profiliertem Rand), 27 Krüge, 74 Kochgefässe, 23 Reibschalen, 29 Vorratsgefässe (davon acht Amphoren), vier Kultgefässe und 22 nicht weiter bestimmbare Gefässe. Geht man von den oben referierten Prämissen aus (S. 396 mit Anm. 907), so entsprachen die 728 Keramikgefässe einem Wert von etwa 728–14560 Assen (= 3640 Sesterzen) oder bei einem Durchschnittspreis von drei bis sechs Assen einem Wert von 546–1092 Sesterzen. Sie verkörperten also ebenfalls einen beträchtlichen Geldwert. Daneben fanden sich auch etliche Gefässe aus Glas sowie wenige Gefässe aus Bronze oder Eisen.

Innerhalb des Brandschutts des Obergeschosses lassen sich jedoch keine Konzentrationen von bestimmten Keramikgattungen oder -funktionen erkennen (s. o. S. 391 ff.). Die grosse Zahl des Gebrauchsgeschirrs dürfte für weitere nicht genauer bestimmbare Zwecke aufbewahrt worden sein; die Gebrauchsspuren und die Fehlbrände deuten darauf hin, dass das Geschirrinventar unter anderem auch zu einem Privathaushalt gehört haben dürfte.

Die im Süd- und im Ostteil des Obergeschosses beobachtete Konzentration von Glasgeschirr spricht dafür, dass dieses wahrscheinlich in Kisten oder auf Regalen aufbewahrt worden ist.

Im Gegensatz zum Erdgeschoss fanden sich im Obergeschoss nur wenige Objekte, die sich mit einer privaten Kultausübung in Verbindung bringen lassen. Dazu gehört vielleicht der Becher **531** der Form Nb. 33, auf dem ein Spruch mit möglicherweise religiösem Charakter eingeritzt war (FLORASIONONAMALAVTVACVDIIQAT[---]VE /SO).

Auffällig ist die grosse Zahl von Waffen und anderen Militaria. Diese stellen aber im Inventar des Obergeschosses nur einen kleinen Anteil der Metallfunde und Beinartefakte und können nicht mehr vorbehaltlos mit einem militärischen Posten in Verbindung gebracht werden, auch wenn in diesem Zeitraum wahrscheinlich Truppeneinheiten in Augusta Raurica stationiert waren. Die mitgefundenen Werkzeuge lassen nämlich auch die Möglichkeit offen, dass es sich um zusammengesammeltes oder aufgekauftes Altmetall gehandelt hat, das im Hinblick auf eine Weiterverwendung aufbewahrt worden ist. Es könnte sich z. B. um das Warenlager eines zivilen Handwerkers gehandelt haben, der Waffen von Armeeangehörigen oder eines *collegium iuventutis* bzw. einer Bürgermiliz (*populares*)[912] reparierte bzw. Letztere mit ausgemusterten oder aufgekauften Waffen aus Armeebeständen versorgte.

Zusammenfassend ist festzuhalten, dass das Inventar des Obergeschosses keine gesicherten Rückschlüsse auf dessen Nutzung und Funktion resp. auf die darin wohnende

910 Vgl. in diesem Zusammenhang auch Petit 2005b, 191; MacMahon 2003, 142 ff.

911 Vgl. dazu den Beitrag von Ph. Rentzel, oben S. 235 ff.

912 Vgl. Pfahl/Reuter 1996, 138–140, bes. mit Anm. 85; Fischer 2001a, 13–15 sowie Rupp 1994, 237 ff. (Bemerkungen zu der nach 233 n. Chr. noch fassbaren Restbevölkerung) und bes. 246 ff. (Verweis auf CIL XIII 7424, die möglicherweise die Aufstellung einer Bürgerwehr belegt).

Personengruppe zulässt. Dank des Graffitos auf dem Becher **521** wissen wir aber immerhin, dass einer der Bewohner CRACOMOS hiess und wahrscheinlich einheimischer Herkunft war.

Der Umfang des Hausrats sowie die Zusammensetzung der Tierknochen – hoher Anteil an Geflügel und überdurchschnittlich hohe Jungtieranteile bei den wichtigsten Haussäugerarten – zeigen aber, dass die Bewohner des Obergeschosses (ebenfalls) einer sozial besser gestellten Bevölkerungsgruppe angehört haben müssen.

Abschliessend kann festgehalten werden, dass die Analyse der Funde und Befunde aus dem Brandschutt des Erd- und des Obergeschosses von Raum A einen aussergewöhnlichen und für Augusta Raurica zurzeit einmaligen Einblick in die Inventare zweier Haushalte aus der Zeit um 260/270 n. Chr. ermöglicht hat.

Die qualitative und die quantitative Zusammensetzung des Hausrats sowie die Tierknochenfunde zeigen, dass die Bewohner des Erd- und des Obergeschosses von Raum A wahrscheinlich einer sozial besser gestellten Bevölkerungsgruppe angehört haben, obwohl die in den Baubefunden fassbare *transformation en bidonville,* das Horten von teilweise nicht mehr brauchbaren bzw. minderwertigen Gegenständen sowie die vermutlich sehr beengten Wohnverhältnisse das Gegenteil suggerieren könnten. Vielmehr sprechen die hohen Anteile von Hausschwein und Haushuhn, der überdurchschnittlich hohe Jungtieranteil bei den wichtigsten Haussäugerarten sowie der Nachweis des Rebhuhns und der Auster für einen gehobenen Ernährungsstatus am Ende von Phase 11. Letzteres lässt sich auch an der Zusammensetzung der verbrannten Getreidevorräte aus den Räumen A und B ablesen: Das Fehlen von Druschresten sowie die geringe Zahl an Unkrautsamen und -früchten zeigen, dass die vornehmlich aus Nacktweizen zusammengesetzten Vorräte gut gereinigt worden sind[913].

Des Weiteren hat sich gezeigt, dass die Bezeichnung von Raum A als *taberna* im Sinn von einem Gebäude für Lagerhaltung, Ausübung von handwerklichen Tätigkeiten, Bewirtung und Beherbergung sowie Wohnzwecke nach wie vor korrekt und in dieser Bandbreite auch zutreffend ist. Daran ändert auch der Umstand nichts, dass gewisse Fundgruppen wie beispielsweise Handmühlen, Webgewichte oder *stili* (Graffiti!) in den beiden Inventaren nicht oder wie z. B. Schmuck und Toilettgerät lediglich marginal vertreten sind.

913 In dem um die Mitte des 3. Jahrhunderts verbrannten Getreidevorrat aus dem Gewerbekomplex in der Schmidmatt (Kaiseraugst/AG) stellen Unkrautsamen hingegen einen Anteil von rund 20% (L. Wick/S. Jacomet/A. Schlumbaum u. a. in: Flutsch u. a. 2002, Kommentar zu Abb. 17).

Zusammenfassung

In der vorliegenden Publikation werden die Befunde und Funde aus der Insula 5/9 und aus dem südöstlichen Teil der Insula 5 vorgestellt. Die beiden Insulae wurden in den Jahren 1952–1957, 1965–1967 und 2001–2003 im Rahmen von verschiedenen grösseren und kleineren Notgrabungen untersucht.

Insula 5/9 liegt in unmittelbarer Nähe der öffentlichen Monumentalbauten (Abb. 1) und umfasst ein annähernd dreieckiges, im Westen von der Domusgasse, im Süden von der Neuntürmestrasse (heute Giebenacherstrasse) und im Norden von der Heidenlochstrasse begrenztes Areal (Abb. 3). Dieses ist am südlichen Abhang des auf rund 293,00 m ü. M. liegenden, dreieckförmigen Niederterrassenfelds des Rheins (Abb. 20) situiert, das den etwa 1 km langen und an der südlichen Basis etwa 1,2 km breiten, von Rhein, Ergolz und Violenbach eingefassten Siedlungsperimeter der Oberstadt der Koloniestadt Augusta Raurica bildet.

Die in Exkurs 1 behandelten Teile von Insula 5 sowie von Region 2E liegen am südlichen und südwestlichen Abhang des Kastelenplateaus, dem ursprünglich kopfartig ausgebildeten Ausläufer der Niederterrasse des Rheins (Abb. 255).

Den Schwerpunkt der interdisziplinären Auswertung bilden die Befunde und Funde aus dem Ostteil der Insula 5/9. Diese decken den Zeitraum zwischen der Mitte des 1. Jahrhunderts n. Chr. und dem frühen 4. Jahrhundert ab. Die Informationen zu den älteren Phasen 1–8 sind allerdings lückenhaft, da deren Schichten und Strukturen durch antike Eingriffe partiell gestört waren bzw. wegen der *in-situ*-Konservierung der Befunde der Phasen 9–11 nur punktuell untersucht werden konnten.

Phase 1 umfasst punktuelle geologische Aufschlüsse am Südrand des Niederterrassenfelds und an dessen südwestlichem Abhang.

In **Phase 2** (Abb. 23) lassen sich an dem nach Südwesten abfallenden Hang erste menschliche Aktivitäten in Form einer nur noch rudimentär erhaltenen Terrassierungsmauer (MR 1) nachweisen. Der zwischen dieser Mauer und der weiter nördlich verlaufenden Heidenlochstrasse liegende Teil des Abhangs war in der ersten Hälfte des 1. Jahrhunderts noch nicht überbaut, sondern wurde bis um 50/60 n. Chr. als Abfalldeponie genutzt.

In welcher Form das zwischen Terrassierungsmauer und Neuntürmestrasse liegende Areal genutzt wurde, liess sich nicht eruieren. Hier fand sich lediglich eine kleine Grube, die nach Aussage des keramischen Fundmaterials um die Mitte des 1. Jahrhunderts verfüllt worden ist.

In **Phase 3** (Abb. 35), d. h. im dritten Viertel des 1. Jahrhunderts, wurde die Terrassierungsmauer abgebrochen und durch eine massive Hangstützmauer (MR 1A; MR 1B) ersetzt. Es handelt sich dabei wahrscheinlich um die östliche Fortsetzung einer auch in Insula 5 nachgewiesenen Stützmauer. Diese bildete die südliche bzw. südwestliche Begrenzung des Kastelenplateaus und hat die Überbauung in diesem Stadtteil bis in das spätere 3. Jahrhundert hinein nachhaltig geprägt.

Nach dem Bau dieser Hangstützmauer wurde auch das zwischen der Mauer und der Neuntürmestrasse liegende Areal überbaut. Der am Ende von Phase 3 (um 70/80 n. Chr.) angefallene Brandschutt zeigt, dass es sich dabei um (mindestens) einen Lehmfachwerkbau gehandelt hat, der offensichtlich mit einem Mörtelgussboden ausgestattet war. Wahrscheinlich hat auch die Feuerstelle F1 zu diesem Gebäude gehört.

In **Phase 4** (Abb. 48) wurde der mittlere Abschnitt der Hangstützmauer repariert und durch die leicht talwärts versetzte Mauer 1C ersetzt. Diese Reparaturstelle ist mit den westlich und östlich anschliessenden Teilen der Hangstützmauer verzahnt. Im Gegensatz zu diesen besitzt Mauer 1C Ziegeldurchschüsse und Entwässerungsröhren, was darauf hindeutet, dass die Reparatur wegen der ungenügenden Entwässerung der Hinterfüllung notwendig wurde. Wann die Reparatur erfolgte, lässt sich nicht genau bestimmen; die der jüngeren Phase 5 zuweisbaren Funde sprechen jedoch dafür, dass die Reparatur im früheren 2. Jahrhundert erfolgte.

Die auf dem – wohl beim Abbruch der baufälligen Hangstützmauer entstandenen – Mauerschutt installierte Feuerstelle F2 zeigt, dass das Areal anschliessend wieder überbaut worden ist, ohne dass hierzu konkretere Angaben gemacht werden können.

Phase 5 (Abb. 56) ist im Wesentlichen durch den Anbau eines schiefwinkligen, rund 15 m langen und etwa 6 m breiten, hallenartigen Raums A an die Hangstützmauer charakterisiert.

Im Zusammenhang mit dem Bau von Raum A wurde hinter der Hangstützmauer eine Sickerpackung (Drainage) eingebracht, die fortan die Aufgabe der Entwässerungsröhren übernahm. Die talseitige Mauerschale der Hangstützmauer wurde zusätzlich mit Ziegelschrotmörtel isoliert und anschliessend mit weissem Verputz versehen. Dies deutet darauf hin, dass der hintere Teil des Erdgeschosses von Raum A für Wohnzwecke genutzt worden ist.

Das rund 3,5 m hohe Erdgeschoss von Raum A konnte nicht nur von der Neuntürmestrasse aus betreten werden, sondern auch von Raum B aus. Letzteres zeigt, dass die

Räume A und B ab Phase 5 eine Einheit gebildet haben. Offen ist jedoch, ob es sich bei Raum B um einen Hof oder um einen geschlossenen Baukörper gehandelt hat. Für Letzteres könnte die an Mauer 4 anstossende Mauer 9 sprechen, wobei allerdings nicht gesichert ist, ob diese bereits in Phase 5 errichtet wurde. Aus diesem Grund bleibt auch offen, ob die auf der Krone von Mauer 1A beobachteten Balkennegative von einer Aussen- oder von einer Innentreppe stammen.

Beim Obergeschoss von Raum A handelte es sich – wie der bei der Zerstörung am Ende von Phase 7 angefallene Schutt zeigt – um eine Fachwerkkonstruktion. Der Zugang zum Obergeschoss von Raum A erfolgte von Raum C aus, dessen Gehhorizont in etwa auf der Kote der Heidenlochstrasse lag (Abb. 84).

Die Baumassnahmen in den Räumen A und C lassen sich relativ gut datieren: Die jüngsten Funde aus den über der neu eingebrachten Sickerpackung liegenden Füllschichten datieren in die Mitte des 2. Jahrhunderts.

In **Phase 6** (Abb. 68) wurde Raum A verkürzt: Die Südwand (MR 14A) wurde durch Mauer 21 ersetzt. Die Verkürzung erfolgte wahrscheinlich im Zusammenhang mit dem Bau des jüngeren szenischen Theaters resp. wegen der dadurch bedingten Verlegung der Neuntürmestrasse nach Norden (Beil. 1).

In der Nordwestecke von Raum A wurde ein mit Wandmalereien ausgestattetes, hypokaustiertes *cubiculum* eingebaut. Der vordere, an die Neuntürmestrasse angrenzende Teil von Raum A diente möglicherweise als *taberna* (Verkaufsladen, Werkstatt).

Im Zuge dieser Baumassnahmen wurde auch die nördliche Abschlussmauer (MR 3A) von Raum C abgebrochen und durch Mauer 3B ersetzt. Der beim Abbruch angefallene Schutt wurde zwischen der neu errichteten Mauer und der Heidenlochstrasse angeschüttet. Am Fusse dieser Böschung wurde in der Folge ein parallel zu Mauer 3B verlaufender und mit Holzbrettern verschalter Strassengraben angelegt.

Der Neubau der Mauer 3B und das Höherlegen des Gehhorizonts in Raum C erfolgten wahrscheinlich im Zusammenhang mit dem Bau von Raum D (Abb. 88). Es handelt sich dabei um ein ca. 3,5 m langes und ca. 2,0 m breites Treppenhaus (Abb. 93). Dieses verband Raum C mit dem Erdgeschoss von Raum E, dessen Gehniveau in etwa auf der Höhe der Neuntürmestrasse lag. Der Zugang vom Treppenhaus in den (archäologisch nicht untersuchten) Raum E erfolgte via einen *exedra*-artig ausgestalteten Durchbruch in der Hangstützmauer 1B.

Die verschiedenen Umbaumassnahmen datieren in das frühere 3. Jahrhundert.

Phase 7 (Abb. 100) umfasst verschiedene bauliche Veränderungen im Inneren der Räume A–D. In Raum A wurde der Feuerkanal von Praefurnium I zugemauert; der Hypokaust des *cubiculum* wurde in der Folge von Raum B aus beheizt. Im Zuge dieses Umbaus wurde auch der Terrazzoboden im *cubiculum* erneuert.

In Raum C wurde ein neuer Stampflehmboden eingebracht und in Raum D wurde der *exedra*-artige Durchgang mit zwei Gladiatorendarstellungen ausgeschmückt (Abb. 111; 112).

Die aufwendigen Umbaumassnahmen erfolgten nach Aussage des Fundmaterials im Verlaufe der ersten Hälfte des 3. Jahrhunderts und dürften somit auch die nach wie vor guten ökonomischen Rahmenbedingungen im *caput coloniae* widerspiegeln. Anzeichen für eine bereits in diesem Zeitraum einsetzende *transformation en bidonville* fanden sich lediglich im Bereich der Heidenlochstrasse: Der südliche Strassengraben wurde in den Phasen 6 und 7 offensichtlich nicht mehr regelmässig gereinigt und füllte sich sukzessive mit Abfällen.

Am **Ende von Phase 7**, d. h. um die Mitte des 3. Jahrhunderts, wurde die Überbauung im Areal der Insulae 5/9 und 5 durch ein grossflächig nachweisbares Schadensereignis zerstört. Die Zerstörungen liessen sich jedoch meist nur indirekt nachweisen, da die Schäden anschliessend wieder behoben wurden. Eindeutige Hinweise für eine Brandzerstörung fanden sich in Raum A und Raum D. In zwei Fällen deuten der Aufbau und die Zusammensetzung der *in situ* verbliebenen Mauer- und Brandschuttpakete darauf hin, dass die Brandkatastrophe durch das vermutete Erdbeben verursacht worden sein könnte.

Dass es sich bei diesen grossflächigen Zerstörungen – unabhängig von der Ursache – auf jeden Fall um ein einschneidendes Ereignis gehandelt haben muss, zeigt in erster Linie der Umstand, dass in der nachfolgenden **Phase 8** (Abb. 116) verschiedene Räume aufgegeben und mit Schutt verfüllt worden sind: In Insula 5/9 wurde das ausgebrannte Treppenhaus (Raum D) mit Mauerschutt verfüllt, in dem teilweise mit verbranntem Fachwerkschutt verfüllten Keller H (Abb. 256) wurde wahrscheinlich ebenfalls Mauerschutt entsorgt. In Raum A wurde der Hypokaust im *cubiculum* ausgeplündert und in der Folge mit Mauer- und Fachwerkschutt verfüllt. Ebenfalls ausgeplündert wurden die Hypokaustinstallationen in Raum F (Abb. 256). In Insula 5 wurden die Heizkanäle des Hypokausts von Raum 21 (Abb. 291) mit Mauerschutt verfüllt.

Die **Phasen 9–11** (Abb. 126; 142; 149) umschreiben die Instandstellung und (Um-)Nutzung der kaiserzeitlichen Überbauung in der Zeit zwischen 250 und 260/270 n. Chr. Typisch für diese *squatter occupation* sind der Einbau von Backöfen und Darren sowie die Verwendung von Spolien. Die in den Befunden fassbare *transformation en bidonville* ist jedoch nicht zwingend und ausschliesslich als Zeichen eines Niedergangs zu interpretieren, sondern widerspiegelt in erster Linie einen tief greifenden, nach der Mitte des 3. Jahrhunderts einsetzenden Wandel. Ob dieser bereits in der ersten Hälfte des 3. Jahrhunderts eingesetzt hat oder als Folge der grossflächigen Zerstörung am Ende von Phase 7 zu interpretieren ist, muss offen bleiben.

Exemplarisch aufzeigen lässt sich dieser Transformationsprozess anhand der Befunde in Raum A (Abb. 126): Der am

Ende von Phase 7 angefallene Fachwerkschutt wurde in Phase 8 an Ort und Stelle ausplaniert und bildete in der Folge den Gehhorizont. Die wohl beschädigte Mauer 21 wurde durch ein neu errichtetes Streifenfundament (MR 13) ersetzt, auf dem offensichtlich eine Fachwerkwand stand, die den südlichen Abschluss des Erdgeschosses bildete. Eine Türschwelle und ein Gewände mit Türanschlag zeigen, dass das Erdgeschoss weiterhin von der Neuntürmestrasse aus betreten werden konnte.

Die möglicherweise ebenfalls beschädigte Südwand des ehemaligen *cubiculum* (MR 10) wurde abgebrochen und durch eine Fachwerkwand MR 100 ersetzt, die an die noch mindestens zwei Meter hoch erhaltene Mauer 7 anschloss.

Ebenfalls den Phasen 9–11 zugewiesen werden können die aus der Hangstützmauer (MR 1C) herausgeschrotete Feuerstelle F4, die Feuerstelle F5 sowie der Backofen BO1.

Der Umstand, dass die Türe zwischen Raum A und dem ebenfalls erneuerten Raum B zugemauert wurde, zeigt zudem, dass sich nach den Zerstörungen am Ende von Phase 7 offensichtlich auch die Besitzverhältnisse geändert haben.

Ebenfalls instand gestellt wurde das Obergeschoss von Raum A (Abb. 146; 326): Die Zusammensetzung des am Ende von Phase 11 angefallenen Brandschutts zeigt, dass es sich dabei um eine Lehmfachwerkkonstruktion gehandelt hat, deren verputzte und bemalte Fachwerkwände auf der Hangstützmauer sowie auf der Ost- und Westmauer des Erdgeschosses standen. Letztere blieben offenbar von den Zerstörungen am Ende von Phase 7 mehr oder weniger vollständig verschont und trugen die rund 20 × 20 Zentimeter dicken, beim Brand am Ende von Phase 11 aber fast restlos zerstörten Deckenbalken des Erdgeschosses, auf denen der Boden des Obergeschosses ruhte. Das wohl giebelständige Sparrendach war wahrscheinlich mit *tegulae* und *imbrices* gedeckt.

Der Zugang zum Obergeschoss von Raum A erfolgte weiterhin von der Heidenlochstrasse aus. Hinweise auf die Existenz einer Innentreppe zwischen dem Erd- und dem Obergeschoss fehlen.

Die Fülle der Funde aus dem Gehhorizont des Erdgeschosses sowie aus dem Brandschutt des Erd- und des Obergeschosses zeigt, dass Raum A am **Ende von Phase 11** einer – offensichtlich überraschend eingetretenen – Brandkatastrophe zum Opfer fiel. Deren Ursache ist wahrscheinlich in den kriegerischen Ereignissen in den Siebzigerjahren des 3. Jahrhunderts zu suchen. Leider lässt sich die jüngste Münze – eine Imitation eines zwischen 270 und 273 n. Chr. geprägten Antoninians für Divus Claudius II. (**622**) – nicht mit absoluter Sicherheit dem Inventar des Obergeschosses zuweisen.

Die hervorragende Erhaltung der Funde aus dem Erd- und aus dem Obergeschoss von Raum A (Abb. 334; 343; 350) ist darauf zurückzuführen, dass der Brandschutt während der nachfolgenden **Phase 12** (Abb. 219) nur sehr kurze Zeit offen lag und offensichtlich nicht nach wieder verwertbaren Gegenständen durchsucht wurde. Der während dieser Phase betriebene Kalkbrennofen hat jedenfalls nur zu punktuellen Eingriffen geführt.

Kurze Zeit später – in der frühestens um 276 n. Chr. anzusetzenden **Phase 13** (Abb. 228) – wurden der am Ende von Phase 11 angefallene Brandschutt und der Kalkbrennofen vom Abraum überdeckt, der beim Aushub der Gräben der spätrömischen *enceinte réduite* anfiel (Abb. 327). Die Schleifung des Wall-Graben-Systems im früheren 4. Jahrhundert (**Phase 14**) sowie neuzeitliche Meliorationsarbeiten (**Phase 15**) haben in der Folge zu einer weiteren Akkumulation des Oberflächenschutts in Raum A geführt.

In der Synthese wurde die Frage nach der Funktion resp. nach der Nutzung des Erd- und des Obergeschosses von Raum A während der Phasen 9–11 bzw. zum Zeitpunkt der endgültigen Zerstörung am Ende von Phase 11 diskutiert (Abb. 365). Dabei interessierte in erster Linie, ob das Erdgeschoss – wie bis anhin vermutet – als *taberna (caupona)* bzw. als Bäckerei genutzt wurde und ob im Obergeschoss tatsächlich ein militärischer Wachtposten einquartiert war.

Ausgangspunkt bildete die detaillierte Analyse des Hausrats *(instrumentum)* aus dem Erd- und aus dem Obergeschoss von Raum A (Abb. 328). Aufgrund der Befundsituation konnte davon ausgegangen werden, dass das «pompejanisch anmutende Inventar» aus dem Brandschutt Gegenstände umfasste, die für das tägliche Leben benötigt wurden – sei es zum Wohnen (z. B. Teile des Mobiliars), zum Arbeiten (z. B. Werkzeuge, Halbfabrikate), für die Kultausübung (z. B. Götterstatuetten) oder zum Essen und Kochen (z. B. Geschirr aus Keramik, Glas oder Metall).

Die Analyse der Funde aus dem Erd- und aus dem Obergeschoss erfolgte nach Materialgruppen (Keramik, Glas, Bronze, Eisen) sowie nach Funktionsgruppen (Geräte, Hausausstattung, Schmuck, Trachtbestandteile und Toilettgerät, Spiel, Handwerk, Militaria, Bauteile und Münzen). Wichtige Hinweise für die Rekonstruktion der Situation im Erd- und im Obergeschoss zum Zeitpunkt der endgültigen Zerstörung von Raum A am Ende von Phase 11 lieferte überdies die horizontale Verteilung der einzelnen Fundensembles (Abb. 341; 351).

Im Fall des Erdgeschosses von Raum A ergab die Analyse des archäo(bio)logischen Fundmaterials keine Hinweise auf eine Nutzung als *taberna caupona* (oder als *taberna vinaria)* während der Phasen 9–11. Auch die grosse Zahl der Keramikgefässe aus dem Erdgeschoss (MIZ 531) resp. der grosse Anteil der Becher, Teller, Schüsseln und Kochtöpfe ist – wie ein Vergleich mit dem Inventar des Obergeschosses und anderen Inventaren aus Augusta Raurica und *Aventicum* gezeigt hat – kein nutzungsspezifisches, sondern ein zeitspezifisches Phänomen. Dies schliesst jedoch nicht aus, dass die im Erdgeschoss lebende und – wie der sehr hohe Anteil an Geflügel und die überdurchschnittlich hohen Jungtieranteile bei den wichtigsten Haussäugerarten sowie der Hausrat nahelegen – relativ wohlhabende Personengruppe auch

Speisen und Getränke «über die Gasse» verkauft hat. Die Skelettzusammensetzung der Tierknochen – sie entspricht mehr oder weniger derjenigen des Obergeschosses und in anderen Insulae und Regionen in Augusta Raurica – zeigt aber, dass es sich lediglich um ein «Nebengeschäft» gehandelt haben kann.

Im Brandschutt des Obergeschosses fanden sich – neben mindestens 728 Keramikgefässen, verschiedenen Alltagsgegenständen und Werkzeugen – auch zahlreiche Militaria. Diese können aus heutiger Sicht nicht mehr mit hinreichender Sicherheit als Relikte eines militärischen Wachtpostens angesprochen werden. Dies u. a. deswegen, weil Schutzwaffen vollständig fehlen und weil der Grossteil der Hieb- und Stosswaffen zum Zeitpunkt des Brandausbruchs offensichtlich nicht einsatzbereit oder nicht komplett war. Es scheint sich folglich vielmehr um gesammeltes und aufbewahrtes Altmetall gehandelt zu haben bzw. um das Warenlager eines zivilen Handwerkers, der Waffen von Armeeangehörigen oder Bürgermilizen *(populares)* reparierte oder diese mit ausgemusterten oder aufgekauften Waffen aus Armeebeständen versorgte.

Der Umfang des Hausrats sowie die Zusammensetzung der Tierknochen – hoher Anteil an Geflügel und überdurchschnittlich hohe Jungtieranteile bei den wichtigsten Haussäugerarten – zeigen aber, dass die Bewohner des Obergeschosses ebenfalls einer sozial besser gestellten Bevölkerungsgruppe angehört haben müssen. Dank eines Graffitos wissen wir auch, dass einer der Bewohner des Obergeschosses CRACOMOS hiess und wahrscheinlich einheimischer Herkunft war.

Die Gegenüberstellung der Keramikinventare aus dem Erd- und aus dem Obergeschoss von Raum A sowie ein Vergleich der beiden Inventare mit weiteren Ensembles aus Augusta Raurica, *Vitudurum* und *Aventicum* lieferten ebenfalls keine eindeutigen Hinweise bezüglich der Funktion der beiden Geschosse während der Phasen 9–11. Gesichert ist lediglich, dass sich in beiden Haushaltinventaren keine Indizien fanden, die als Belege für eine Spezialisierung – wie dies z. B. beim Keramiklager aus *Vitudurum* offensichtlich der Fall ist – gelten können.

Der Vergleich mit anderen Ensembles aus Augusta Raurica und aus *Aventicum* hat vielmehr gezeigt, dass die grosse Zahl der Keramikgefässe aus dem Erd- und aus dem Obergeschoss resp. die grosse Anzahl an Bechern, Tellern, Schüsseln und Kochtöpfen in den beiden Inventaren nicht *a priori* erstaunlich ist. Im Gegenteil: Diese Evidenzen scheinen in unserer Region auch für andere Inventare des späteren 3. Jahrhunderts typisch zu sein.

Die Bezeichnung von Raum A als *taberna* ist folglich – wenn man diesen Begriff für ein Gebäude verwendet, das sowohl für Wohnzwecke, für handwerkliche Tätigkeiten, für die Bewirtung und Beherbergung sowie für die Lagerhaltung genutzt wurde – nach wie vor korrekt und – wie die Befunde sowie die qualitative und quantitative Zusammensetzung der Funde aus dem Erd- und aus dem Obergeschoss zeigen – in dieser Bandbreite auch zutreffend. Die Zusammensetzung des archäo(bio)logischen Fundmaterials aus Raum A hat überdies gezeigt, dass die an den Baubefunden (Spolien) und an der Umnutzung von Räumen (Einbau von Backöfen, Darren) ablesbare *transformation en bidonville* nicht zwingend als Beleg für eine substanzielle Verschlechterung der materiellen Situation und der Ernährung der Bevölkerung im dritten Viertel des 3. Jahrhunderts herangezogen werden darf.

Summary

This volume presents the finds and features from insula 5/9 and from the southeastern section of insula 5. Both insulae were examined from 1952–1957, from 1965–1967 and again from 2001–2003 in a series of rescue excavations that varied in size.

Insula 5/9 is located in the immediate vicinity of the monumental public buildings (Fig. 1) and extends across an almost triangular area bordered by Domusgasse in the west, Neuntürmestrasse (today's Giebenacherstrasse) in the south and Heidenlochstrasse in the north (Fig. 3). The area lies 293.00 m a. s. l. on the southern slope of the triangular lower Rhine terrace (Fig. 20), which is approximately 1 km long and at its southern end c. 1.2 km wide. It is bordered by the Rivers Rhine and Ergolz as well as the Violenbach stream and forms the settlement perimeter of the upper district of the colony town of Augusta Raurica.

The sections of insula 5 and region 2E dealt with in excursus 1 are located on the southern and southwestern slope of the Kastelen plateau, a spur in the shape of a head jutting out from the lower Rhine terrace (Fig. 255).

The emphasis of the interdisciplinary analysis was placed on the finds and features from the eastern section of insula 5/9. These dated from the period between the mid 1st century AD to the early 4th century. However, the information available about the earlier phases 1–8 was rather limited, on one hand due to ancient intrusions which partially destroyed the layers and structures and on the other hand because of the fact that the features of phases 9–11 were conserved *in situ*, which meant that only selected features of the earlier phases could be examined.

Phase 1 encompassed individual geological outcrops at the southern edge of the lower terrace and on its southwestern slope.

For **phase 2** (Fig. 23) the earliest human traces consisted of a poorly preserved terrace wall (MR 1) running along the southwestern slope. The area between this wall and the Heidenlochstrasse located further north was not yet developed in the first half of the 1st century but used as a refuse dump until around AD 50/60.

We were not able to ascertain how the area between the terrace wall and the Neuntürmestrasse had been used. The only feature identified in this area was a small pit which, according to the ceramic finds, had been filled in around the mid 1st century.

During **phase 3** (Fig. 35), i. e. in the third quarter of the 1st century, the terrace wall was demolished and replaced by a massive retaining-wall (MR 1A; MR 1B), probably the eastern extension of a revetment wall identified in insula 5. This wall formed the southern and southwestern border of the Kastelen plateau and had a significant effect on construction in this area of the town until the late 3rd century.

Once this retaining-wall had been built, the area between it and the Neuntürmestrasse also began to be developed. Burnt rubble dating from the end of phase 3 (around AD 70/80) revealed that the development consisted of (at least) one clay timber-framed building, apparently with a mortar floor. Hearth F1 probably also belonged to this building.

In **phase 4** (Fig. 48) repairs were carried out to the middle section of the retaining-wall and it was replaced by wall 1C which was located slightly further downhill. This repaired section was bonded into the sections of the retaining-wall to its west and east. In contrast to the latter, wall 1C contained red tile courses and drainage ducts which indicates that the repairs became necessary due to insufficient drainage of the backfill. When the repair work was carried out cannot be ascertained exactly; the fact that the finds could be attributed to the latter stages of phase 5 indicates that it took place in the early 2nd century.

Hearth F2, which was constructed on top of rubble – probably the remains of the dilapidated retaining-wall – shows that the area was subsequently redeveloped; however, no definite information could be gleaned about this development.

Phase 5 (Fig. 56) is largely characterised by room A, a hall-like oblique construction of 15 m in length and 6 m in width built onto the retaining-wall.

In connection with room A, dry packing (drainage) was inserted behind the retaining-wall, which took over the function of the drainage ducts from then on. In addition, the facade of the retaining-wall facing downhill was insulated by applying a coat of mortar with crushed tile and a white plaster finish. This indicates that the rear section of the ground floor of room A was used as a living quarters.

Approximately 3.5 m high, the ground floor of room A could be accessed not only from the Neuntürmestrasse but also from room B, which means that rooms A and B functioned as a unit from phase 5 onwards. It remains open, however, whether room B was a courtyard or a closed edifice. The latter option might be supported by wall 9 which abutted wall 4, but it remains unclear whether wall 9 already existed during phase 5. For the same reasons it must remain open whether the imprints of beams observed in the crown of wall 1A were traces of an external or internal stair.

As the rubble from the demolition at the end of phase 7 showed, the top floor of room A was a timber-frame construction. It was accessed from room C, the floor of which lay at approximately the same level as today's Heidenlochstrasse (Fig. 84).

The construction work carried out in rooms A and C is relatively well dated: the most recent finds from the layers overlying the inserted dry packing date from the mid 2nd century.

In **phase 6** (Fig. 68) room A was shortened: its southern wall (MR 14A) was replaced by wall 21. This was probably done in the context of the construction of the later scenic theater, in other words because the construction had caused the Neuntürmestrasse to be moved northwards (Appx. 1).

A *cubiculum* with a hypocaust and wall paintings was built into the northwestern corner of room A. The front part of room A adjacent to the Neuntürmestrasse may have served as a *taberna* (shop, workshop).

As part of this construction work, the northern end wall (MR 3A) of room C was also demolished and replaced by wall 3B. The demolition rubble was dumped between the newly built wall and the Heidenlochstrasse. A roadside ditch lined with wooden boards was subsequently constructed parallel to wall 3B at the foot of this rubble heap.

Wall 3B was built and the floor level in room C raised probably in the context of the construction of room D (Fig. 88). This room served as a staircase of c. 3.5 m length and c. 2.0 m width (Fig. 93), which linked room C with the ground floor of room E, the floor level of which lay approximately at the height of the Neuntürmestrasse. Room E (which was not examined archaeologically) could be accessed from the staircase via an *exedra*-like opening in retaining-wall 1B.

The various alterations were carried out in the early 3rd century.

Phase 7 (Fig. 100) saw a range of constructional changes in the interiors of rooms A–D. The furnace of *praefurnium* I in room A was blocked up and the hypocaust of the *cubiculum* was subsequently heated from room B. At the same time, the terrazzo floor in the *cubiculum* was refurbished.

A new floor of rammed clay was laid in room C and the *exedra*-like passage in room D was adorned with two depictions of gladiators (Figs. 111; 112).

According to the finds, these elaborate renovations took place in the first half of the 3rd century and appear to show that the economic circumstances in the *caput coloniae* were still buoyant at that time. The only tentative signs that the settlement was already turning into a slum at this stage were identified in the area of the Heidenlochstrasse: the southern road ditch was evidently no longer cleaned out regularly during phases 6 and 7 and gradually filled up with waste.

At the **end of phase 7**, i. e. around the mid 3rd century, the constructions in the areas of insulae 5/9 and 5 were destroyed by an event that caused extensive damage. In most cases, however, the devastation could only be identified indirectly because the damage was subsequently repaired. Distinct evidence of fire damage was identified in rooms A and D. In two cases the make-up and composition of the deposits of wall debris and burnt rubble preserved *in situ* indicated that the conflagration may have been caused by an earthquake.

The theory that the extensive devastation – irrespective of what caused it – was undoubtedly the result of a catastrophic event is supported mainly by the fact that the subsequent **phase 8** (Fig. 116) saw several rooms abandoned and infilled with rubble: in insula 5/9 the burnt-out staircase (room D) was filled with rubble from demolished walls, more of which was probably dumped in cellar H (Fig. 256), which was also partially filled with burnt timber-framing. The hypocaust in the *cubiculum* in room A was torn asunder and subsequently infilled with rubble from walls and timber-framing. The hypocaust installations in room F were also plundered (Fig. 256). In insula 5 the furnace channels of the hypocaust in room 21 (Fig. 291) were filled with wall rubble.

Phases 9–11 (Figs. 126; 142; 149) included the repair work and conversion of the imperial period development between AD 250 and AD 260–270. Typical elements of a squatter occupation were the installation of ovens and drying kilns as well as the use of spolia. However, this degradation was not necessarily and exclusively a sign of demise but mirrors first and foremost a far-reaching change that began to take place some time after the mid 3rd century. Whether this change already began to occur in the first half of the 3rd century or whether it must be interpreted as a consequence of the extensive devastation that occurred at the end of phase 7, must remain unanswered.

Evidence of this process of transformation can be seen in the features uncovered in room A (Fig. 126): the timber-framing rubble that was dumped there at the end of phase 7 was levelled during phase 8 and subsequently served as a new living surface. Wall 21, which had probably suffered some damage, was replaced by a newly constructed strip foundation (MR 13), which apparently supported a timber-framed wall forming the southern end of the ground floor. A doorsill and a jamb with door stop show that the ground floor continued to be accessed from the Neuntürmestrasse.

The southern wall of the former *cubiculum* (MR 10) may also have been damaged and was demolished and replaced by a timber-framed wall MR 100. This abutted wall 7, which still stood at a height of at least two metres.

Other features belonging to phases 9–11 were hearth F4 chipped out of the retaining-wall (MR 1C), hearth F5 and oven BO1.

Furthermore, the fact that the doorway between rooms A and B was bricked up and room B was refurbished, shows that ownership changed after the devastation at the end of phase 7.

The top floor of room A (Figs. 146; 326) was also renovated: the composition of the accumulated burnt rubble at the end of phase 11 would show that it had been a timber-framed construction with plastered and painted walls built on top of the retaining-wall and on the eastern and western walls of the ground floor. The latter had obviously escaped the devastation at the end of phase 7 almost unharmed and supported the upper storey floor joists, which measured approximately 20 cm by 20 cm and were almost completely destroyed at the end of phase 11. The presumably gable-fronted rafter roof was probably covered with *tegulae* and *imbrices*.

The top floor of room A was still accessed from the Heidenlochstrasse. No evidence of any internal stairs between the ground and top floors was found.

The abundance of finds recovered from the occupation surfaces of the ground floor and from the burnt rubble of the ground and top floors showed that room A had fallen victim to an – apparently unexpected – conflagration at the **end of phase 11**. The causes for the fire were probably linked to fighting which took place during the 270s AD. Unfortunately, it was not possible to positively associate the most recently minted coin – an imitation of an Antoninian for Divus Claudius II dating from between AD 270 and 273 (**622**) – with the finds recovered from the top floor.

The excellent preservation of the finds from the ground and top floors of room A (Figs. 334; 343; 350) can be attributed to the fact that the burnt rubble only lay exposed for a very short period during the subsequent **phase 12** (Fig. 219) and did not seem to have been searched for salvageable items. Selected features showed traces of intrusion in connection with operating a lime kiln during this phase.

A short while later – in **phase 13** (Fig. 228) which began in AD 276 at the earliest – the burnt rubble from the end of phase 11 and the lime kiln were covered over with debris dug out of the ditches of the Late Roman fortification (Fig. 327). Further rubble accumulated in room A in the early 4th century AD when the bank and ditch enclosure was razed to the ground (**phase 14**) and again as a result of post-medieval land improvement work (**phase 15**).

The synthesis set out to discuss the question as to the function or usage of the ground and top floors of room A during phases 9–11 and also at the time of their final destruction at the end of phase 11 (Fig. 365). The main points of interest were whether the ground floor had indeed been used as a *taberna* (*caupona*) or bakery, as had previously been thought, and whether the top floor had in fact housed a military sentry post.

The starting point for the study was a detailed analysis of the household effects *(instrumentum)* recovered from the ground and top floors of room A (Fig. 328). Based on the overall context, it was assumed that the "apparently Pompeian assemblage" from the burnt rubble contained items that had been used in everyday life – be it for living (e. g. parts of furniture), for working (e. g. tools, half-finished objects), for religious ceremonies (e. g. statues of deities) or for cooking and dining (e. g. crockery made of pottery, glass or metal).

The analysis of the finds from the ground and top floors was carried out according to material categories (pottery, glass, bronze, iron) as well as functional aspects (tools, house furnishings, jewellery, dress accessories and toiletries, games, crafts, militaria, architectural components and coins). Important evidence for the reconstruction of the situation on the ground and top floors at the time of the final destruction of room A at the end of phase 11 was also provided by the horizontal distribution of the individual finds assemblages (Figs. 341; 351).

The analysis of the archaeo(bio)logical finds recovered from the ground floor of room A did not yield any evidence to support the theory that it was used as a *taberna caupona* (or as a *taberna vinaria)* during phases 9–11. Also, as was shown by a comparison with the assemblage from the top floor and with other assemblages from Augusta Raurica and *Aventicum*, the large number of ceramic vessels recovered from the ground floor (MNI 531) was not an indication of the room's function but rather a chronological phenomenon. Judging by the consumption of a large amount of poultry and above-average amounts of young animals of the most important domestic mammal species as well as the household effects in general, the people who lived on the ground floor were rather wealthy. However, this does not rule out the possibility that they may also have sold food and beverages 'for take-away'. However, the skeletal make-up of the animal bone assemblage – which more or less corresponds with that from the top floor and from other insulae and areas in Augusta Raurica – shows that this would only have been a 'sideline'.

Besides at least 728 ceramic vessels, various everyday objects and tools, the debris of the top floor also yielded numerous items of militaria. From today's point of view it is no longer possible to identify these with a sufficient degree of certainty as remains of a sentry post, among other things because of the complete absence of defensive weaponry and because a large proportion of the cutting and thrusting weapons were evidently not combat-ready or complete at the time of the outbreak of the fire. It appears, therefore, to have been a collection of scrap metal, or perhaps the stock of a civilian craftsman who repaired the weapons for military personnel or the militia *(populares)* or who provided the latter with weapons decommissioned or bought up from army stock.

However, both the amount of household effects and the composition of the animal bones – large amounts of poultry and above-average amounts of young animals among the most important domestic mammal species – show that

the residents of the top floor must also have represented a rather well-off section of the population. Thanks to a graffito, we also know that one of the top floor residents was called CRACOMOS and was probably from the area.

The comparison between the pottery assemblages from the ground and top floors of room A as well as the comparison of the two assemblages with others from Augusta Raurica, *Vitudurum* and *Aventicum*, did not provide any definite indications as to the function of the two floors during phases 9–11. The only verified fact is that neither of the two household assemblages yielded any evidence of a specialization – as was obviously the case, for instance, in the pottery repository in *Vitudurum*.

The comparison with other assemblages from Augusta Raurica and *Aventicum* showed, rather, that the large number of ceramic vessels recovered from the ground and top floors and the large amounts of beakers, plates, bowls and cooking pots in both assemblages was not *a priori* surprising. On the contrary: this seems to have been a characteristic shared by other late 3rd century assemblages in the region.

Therefore, it is still correct to identify room A as a *taberna*, as the term identifies a building that was used for a range of purposes including residential purposes, craft working, offering people food and accommodation as well as storage purposes; given the features and the quantity and quality of the finds recovered from the ground and top floors this was certainly the case here. Moreover, the composition of the archaeo(bio)logical finds recovered from room A showed that the 'slumification' visible in the constructional features (spolia) and in the conversion of rooms (installation of ovens, drying kilns) cannot necessarily be interpreted as evidence of a substantial deterioration of the economic circumstances and diet of the population in the third quarter of the 3rd century AD.

Translation: Sandy Haemmerle

Résumé

La présente publication traite des structures et du mobilier découverts dans l'*insula* 5/9 ainsi que dans la partie sud-est de l'*insula* 5. Ces deux *insulae* ont fait l'objet d'investigations archéologiques dans les années 1952 à 1957, de 1965 à 1967, puis de 2001 à 2003, dans le cadre de diverses interventions de sauvetage d'extensions variées.

L'*insula* 5/9 se trouve à proximité immédiate des édifices publics monumentaux (fig. 1) et occupe une surface quasi triangulaire délimitée par trois rues: à l'ouest, la «Domusgasse», au sud, la «Neuntürmestrasse» (appelée aujourd'hui «Giebenacherstrasse»), et au nord, la «Heidenlochstrasse» (fig. 3). Cette zone se trouve sur le versant sud des basses terrasses du Rhin, qui forment à cet endroit un triangle (fig. 20) situé à environ 293,00 m d'altitude. C'est ici que se dresse la Ville Haute de la colonie d'Augusta Raurica, avec un périmètre habité d'une longueur de 1 km environ pour 1,2 km à la base méridionale de la colline, ceinte par le Rhin et par deux autres cours d'eau, l'Ergolz et le Violenbach.

L'*insula* 5 et la région 2E, dont il est question dans la partie 1, se situent dans les pentes méridionales et sud-ouest du plateau de Kastelen, contrefort dont la forme évoque une tête et qui se rattache à la basse terrasse du Rhin (fig. 255).

L'étude interdisciplinaire porte essentiellement sur les structures et le mobilier de la partie orientale de l'*insula* 5/9. Ces éléments couvrent la période allant du milieu du 1er siècle apr. J.-C. au début du 4e siècle. Toutefois, les informations concernant les phases anciennes 1 à 8 sont lacunaires, les niveaux et les structures s'y rapportant ayant été en partie détruits par des travaux pratiqués durant l'Antiquité, ou parce qu'ils n'ont pu faire l'objet que d'études ponctuelles, en raison de la conservation *in situ* des structures des phases 9 à 11.

La **phase 1** correspond à des affleurements géologiques ponctuels situés en bordure méridionale de la basse terrasse et sur son versant sud-ouest.

Lors de la **phase 2** (fig. 23), on enregistre les premières activités anthropiques sur le versant sud-ouest, matérialisées par un mur de terrassement (MR 1) conservé de manière rudimentaire. La partie du versant située entre ce mur et la «Heidenlochstrasse», passant plus au nord, était durant la première moitié du 1er siècle encore exempte de bâtiments, mais fut utilisée jusque vers 50/60 apr. J.-C. pour l'évacuation des ordures.

Il n'est pas possible d'établir quel fut le mode d'exploitation de la zone située entre le mur de terrassement et la «Neuntürmestrasse». On n'a retrouvé ici qu'une petite fosse, dont le mobilier céramique indique qu'elle fut comblée vers le milieu du 1er siècle.

A **la phase 3** (fig. 35), soit au cours du troisième quart du 1er siècle, le mur de terrassement fut démantelé et remplacé par un mur de soutènement massif (MR 1A; MR 1B). Il s'agit sans doute du prolongement oriental d'un mur de soutènement repéré dans l'*insula* 5 également. Il délimitait au sud resp. au sud-ouest le plateau de Kastelen, et a marqué durablement les constructions de cette partie de la ville jusqu'à la fin du 3e siècle.

Après l'édification de ce mur de soutènement, une activité architecturale se manifeste dans la zone située entre le mur et la «Neuntürmestrasse». Les déblais d'incendie observés à la fin de la phase 3 (vers 70/80 apr. J.-C.) établissent qu'il s'agissait d'un bâtiment au minimum, à pans de bois et vraisemblablement muni d'un sol en mortier. Le foyer F1 se rattachait sans doute à cet édifice.

Au cours de la **phase 4** (fig. 48), la partie médiane du mur de soutènement fut réparée et remplacée par un mur (1C) légèrement décalé vers l'aval. Cette zone de réparation jouxte les parties orientales et occidentales du mur de soutènement. Contrairement à ce dernier, le mur 1C dispose de bandes de briques (*opus mixtum*) et de tuyaux de drainage, indiquant que les travaux de réfection visaient à corriger une évacuation insuffisante des eaux dans la zone du remblai. On ne peut déterminer avec précision la date de ces travaux; toutefois, le mobilier attribuable à la phase récente 5 indique que la réparation fut entreprise au début du 2e siècle.

Le foyer F2, installé sur les déblais résultant sans doute du démantèlement du mur de soutènement endommagé, indique que la zone fut par la suite construite à nouveau, sans que l'on puisse évoquer à ce propos des données plus concrètes.

La **phase 5** (fig. 56) se caractérise pour l'essentiel par la construction annexe de la pièce A, une salle à angles obliques mesurant 15 m de longueur pour 6 m de largeur, et accolée au mur de soutènement.

En rapport avec la construction de la pièce A, on posa une couche de percolation (drainage) à l'arrière du mur de soutènement, qui reprit dès lors le rôle des tuyaux d'évacuation des eaux. Le parement aval du mur de soutènement fut par ailleurs isolé au mortier de tuileau, indiquant que la partie postérieure du rez-de-chaussée de la pièce A servait de pièce d'habitation.

Le rez-de-chaussée de la pièce A, atteignant près de 3,5 m de hauteur, était accessible depuis la «Neuntürmestrasse» et en passant par la pièce B. Ce dernier point démontre que les pièces A et B formaient une unité dès la phase 5. On ignore cependant si la pièce B correspondait à une cour ou à un volume fermé. Le mur 9, qui vient buter

contre le mur 4, confirmerait cette dernière éventualité, bien qu'on ne soit pas certain qu'il ait déjà été érigé à la phase 5. Pour cette raison, on ignore également si les négatifs de poutres observés sur la couronne du mur 1A proviennent d'un escalier placé à l'intérieur ou à l'extérieur.

Comme l'indiquent les déblais de démolition accumulés à la fin de la phase 7, l'étage supérieur de la pièce A correspondait à une construction à pans de bois. L'étage supérieur de la pièce A était accessible depuis la pièce C, dont le niveau de circulation atteignait approximativement l'altitude de la «Heidenlochstrasse» (fig. 84).

Les interventions pratiquées dans les pièces A et C peuvent être relativement bien datées: les objets les plus récents, retrouvés dans les niveaux de remplissage situés au-dessus de la couche de percolation nouvellement mise en place, datent du milieu du 2e siècle.

Au cours de la **phase 6** (fig. 68), la pièce A fut tronquée: la paroi sud (MR 14A) fut remplacée par le mur 21. Cette transformation fut sans doute effectuée dans le cadre de la construction du théâtre scénique récent, ou en raison du déplacement vers le nord de la «Neuntürmestrasse» qu'impliqua sa construction (annexe 1).

Dans l'angle nord-ouest de la pièce A, on a découvert un *cubiculum* à hypocauste, orné de peintures murales. La partie antérieure de la pièce A, jouxtant la «Neuntürmestrasse», a peut-être servi de *taberna* (échoppe, atelier).

Dans le cadre de ces transformations architecturales, le mur de clôture nord (MR 3A) de la pièce C fut démoli et remplacé par le mur 3B. Les déblais de démolition émanant de ces travaux furent évacués entre le nouveau mur et la «Heidenlochstrasse». Au pied du talus ainsi formé, on aménagea alors un fossé coffré de planches, au tracé parallèle au mur 3B.

L'édification du mur 3B et la surélévation du niveau de circulation de la pièce C ont sans doute été réalisées dans le cadre de la construction de la pièce D (fig. 88). Cette structure correspond à une cage d'escalier longue d'environ 3,5 m pour une largeur de 2,0 m (fig. 93). Elle reliait la pièce C et le rez-de-chaussée de la pièce E, dont le niveau de circulation atteignait pratiquement l'altitude de la «Neuntürmestrasse». L'accès de la cage d'escalier à la pièce E (qui n'a pas fait l'objet d'investigations archéologiques) était assuré par un passage en exèdre pratiqué dans le mur de soutènement 1B.

Les diverses transformations apportées peuvent être datées du début du 3e siècle.

La **phase 7** (fig. 100) correspond à diverses modifications architecturales pratiquées à l'intérieur des pièces A à D. Dans la pièce A, le conduit de chauffage du *praefurnium* I a été muré; dès lors, l'hypocauste du *cubiculum* a été chauffé de la pièce B. Dans la foulée, on renouvela également le sol en terrazzo du *cubiculum*.

Dans la pièce C, on disposa un nouveau sol en terre battue et, dans la pièce 2, le passage aux exèdres fut agrémenté de deux représentations de gladiateurs (fig. 111; 112).

Comme l'indique le mobilier, d'importants travaux de transformation furent effectués au cours de la première moitié du 3e siècle; ils témoignent peut-être des conditions économiques encore favorables qui régnaient dans la *caput coloniae*. Si l'on saisit des indices de délabrement, évoquant une évolution en bidonville à cette époque déjà, c'est dans la zone occupée par la «Heidenlochstrasse»: le fossé méridional bordant la rue ne fut semble-t-il plus récuré régulièrement, aboutissant au comblement progressif de la structure.

A la **fin de la phase 7**, soit vers le milieu du 3e siècle, les bâtiments édifiés sur le périmètre des *insulae* 5/9 et 5 furent victimes d'un sinistre repérable sur une zone importante. Toutefois, de telles destructions ne peuvent généralement être établies que de manière indirecte, puisque les dommages occasionnés furent réparés ultérieurement. Dans les pièces A et D, on a trouvé les preuves irréfutables d'une destruction par le feu. A deux reprises, la structure et la composition des murs et des déblais d'incendie demeurés *in situ* indiquent que le feu aurait pu se déclarer lors d'un éventuel séisme.

Si la cause de cet évènement demeure incertaine, on peut établir avec certitude que les destructions de grande ampleur constituèrent un tournant décisif dans l'histoire de l'habitat: durant la **phase 8** qui lui succède (fig. 116), diverses pièces furent abandonnées et comblées de déblais. Dans l'*insula* 5/9, la cage d'escalier incendiée (pièce D) fut remplie des déblais de murs détruits; dans la cave H (fig. 256), en partie comblée de déblais de pans de bois calcinés, on a également évacué des éléments de murs tombés en ruines. Dans la pièce A, l'hypocauste du *cubiculum* fut pillé et comblé de déblais de murs écroulés et de pans de bois. Les installations en hypocauste de la pièce F (fig. 256) subirent le même sort. Dans l'*insula* 5, les conduits de chauffage de l'hypocauste de la pièce 21 (fig. 291) furent comblés de déblais.

Les **phases 9 à 11** (fig. 126; 142; 149) correspondent à la remise en état et à l'exploitation ou à la transformation des édifices datant de l'Empire, pour la période allant de 250 à 260/270 apr. J.-C. La construction de fours à cuire et à sécher, ainsi que l'utilisation de blocs en remploi caractérisent cette *squatter occupation*. La transformation en bidonville, que l'on peut cerner au travers des structures, ne doit cependant pas être forcément et exclusivement considérée comme un signe de déclin; elle reflète en premier lieu un tournant décisif qui coïncide avec le milieu du 3e siècle. On ne saurait dire si ce phénomène débute déjà au cours de la première moitié du 3e siècle, ou s'il découle des destructions de grande ampleur survenues à la fin de la phase 7.

Ce processus évolutif peut être illustré par les structures de la pièce A (fig. 126): les déblais de pans de bois accumulés à la fin de la phase 7 furent aplanis au cours de la phase 8 pour constituer un nouveau niveau de circulation. Le mur 21, sans doute endommagé, fut remplacé par une semelle filante (MR 13) nouvellement édifiée, sur laquelle se dressait vraisemblablement une paroi à pans de bois fermant le rez-de-chaussée au sud. Un seuil et un ébrasement

avec butée indiquent que le rez-de-chaussée était encore accessible de la «Neuntürmestrasse».

La paroi sud de l'ancien *cubiculum* (MR 10), peut-être également endommagée, fut démantelée et remplacée par la paroi à pans de bois MR 100, qui jouxtait le mur 7, encore conservé sur une hauteur de deux mètres au moins.

Le foyer F4, avec son espace dégagé dans le mur de soutènement (MR 1C), le foyer F5 et le four à pain BO1 peuvent eux aussi être attribués aux phases 9 à 11.

La porte séparant la pièce A de la pièce B, également rénovée, fut murée; on peut en déduire que, après les destructions de la fin de la phase 7, les rapports de propriété connurent des modifications.

L'étage supérieur de la pièce A subit également des réfections (fig. 146; 326): la composition des déblais d'incendie accumulés à la fin de la phase 11 indique qu'il s'agissait d'une construction à colombage, dont les parois munies d'un enduit peint reposaient sur le mur de soutènement ainsi que sur les parois orientales et occidentales du rez-de-chaussée. Il semble que ces dernières aient été plus ou moins épargnées lors des destructions de la fin de la phase 7. Elles supportaient les poutres du plafond du rez-de-chaussée, presque entièrement disparues lors de l'incendie survenu à la fin de la phase 11, malgré une épaisseur de près de 20 × 20 cm. Ces poutres servaient de substruction au sol de l'étage supérieur. La toiture à chevrons, dont le pignon donnait sur la rue, était sans doute couverte de *tegulae* et d'*imbrices*.

Depuis la pièce A, l'accès au premier étage s'effectuait encore par la «Heidenlochstrasse». On n'a pas retrouvé d'indices évoquant la présence d'un escalier interne qui aurait permis de gagner le premier étage depuis le rez-de-chaussée.

L'abondance du mobilier retrouvé dans le niveau de circulation du rez-de-chaussée, ainsi que dans les déblais d'incendie de cette même zone et de l'étage supérieur, indiquent que la pièce A fut victime à la **fin de la phase 11** d'un incendie d'une ampleur catastrophique, survenu de manière inopinée. On peut en chercher la cause dans les évènements belliqueux qui eurent lieu dans les années 70 du 3e siècle. Malheureusement, la monnaie la plus récente – une imitation d'un Antoninien frappé entre 270 et 273 pour Divus Claudius II (**622**) – ne peut être attribuée avec une certitude absolue à l'inventaire de l'étage supérieur.

L'excellente conservation du mobilier issu du rez-de-chaussée et de l'étage supérieur de la pièce A (fig. 334; 343; 350) est due au fait que les déblais d'incendie ne furent exposés à l'air libre que très brièvement, au cours de la **phase 12** ultérieure (fig. 219), et que l'on ne chercha pas à y récupérer des objets susceptibles être recyclés. Le four à chaux, en fonction à cette époque, n'a semble-t-il conduit qu'à des interventions ponctuelles.

Quelque temps plus tard, au cours de la **phase 13** - qui débute au plus tôt en 276 apr. J.-C. (fig. 228) – les déblais de construction issus de la fin de la phase 11 ainsi que le four à chaux furent recouverts des déblais accumulés lors de l'excavation du fossé pour l'enceinte réduite du Bas Empire (fig. 327). Le démantèlement du système fossé-rempart au début du 4e siècle (**phase 14**), ainsi que les travaux d'amendement modernes (**phase 15**), provoquèrent une accumulation encore plus importante de déblais de surface dans la pièce A.

Dans la synthèse, on s'attache à la problématique soulevée par la fonction et par l'utilisation du rez-de-chaussée et de l'étage supérieur de la pièce A durant les phases 9 à 11, ou à un point de la destruction définitive à la fin de la phase 11 (fig. 365). En premier lieu, on désirait établir si le rez-de-chaussée fut utilisé comme *taberna* (*caupona*) ou comme boulangerie, comme on le supposait à ce jour et si, à l'étage supérieur, fut effectivement installé un poste de garde militaire.

On s'est à cet effet basé sur l'analyse détaillée des ustensiles ménagers *(instrumentum)* mis au jour au rez-de-chaussée et à l'étage supérieur de la pièce A (fig. 328). Sur la base des structures, on pouvait admettre que l'«inventaire évoquant le style pompéien» découvert dans les déblais d'incendie comprenait des objets utilisés au quotidien, que ce soit pour habiter (p. ex. des éléments de mobilier), pour travailler (p. ex. des outils, des semi-fabricats), pour la pratique du culte (p.ex. des statuettes de divinités), ou pour les repas et la cuisine (p. ex. de la vaisselle en céramique, en verre ou en métal).

L'analyse du mobilier issu du rez-de-chaussée et de l'étage supérieur s'est basée sur les groupes de matériaux (céramiques, verre, bronze, fer) ainsi que sur les groupes fonctionnels (outils, mobilier, parures, éléments du costume et instruments de toilette, jeux, artisanat, *militaria*, éléments architecturaux et monnaies). Par ailleurs, la répartition horizontale des divers ensembles a livré des indices majeurs pour établir quelle était la situation au rez-de-chaussée et au premier étage au moment de la destruction définitive de la pièce A, à la fin de la phase 11 (fig. 341; 351).

Dans le cas du rez-de-chaussée de la pièce A, l'analyse du mobilier archéo(bio)logique n'a fourni aucun élément permettant de conclure à une utilisation comme *taberna caupona* (ou comme *taberna vinaria*) durant les phases 9 à 11. Le nombre important de récipients en céramique mis au jour dans le rez-de-chaussée (N.M.I. 530) et le pourcentage élevé de gobelets, d'assiettes, de plats et de marmites correspondent non pas à un phénomène lié à une utilisation spécifique, mais à des données d'ordre chronologique, comme le montre une comparaison de l'inventaire de l'étage supérieur avec d'autres complexes issus d'Augusta Raurica et d'*Aventicum*. Voilà qui n'exclue cependant pas qu'un groupe relativement aisé de personnes ait vendu ici des repas et des boissons «à l'emporter», comme l'indiquent la proportion très élevée de volailles, le pourcentage inhabituellement important des individus jeunes parmi les mammifères domestiques, et le mobilier retrouvé. L'association des osse-

ments d'animaux, qui correspond plus ou moins à celle de l'étage supérieur et d'autres parties d'*insulae* ou de zones d'Augusta Raurica, montre cependant qu'il ne s'agissait que d'une activité économique secondaire.

Dans les déblais d'incendie provenants de l'étage supérieur, on a retrouvé, outre près de 730 récipients en céramique, divers outils et objets de tous les jours, dont certains issus d'un contexte militaire. Il n'est plus possible aujourd'hui d'établir avec une certitude suffisante qu'il s'agirait de vestiges d'un poste de garde militaire. En effet, on n'a découvert aucune arme de jet, et la plupart des armes de taille et d'estoc n'étaient pas en état de fonctionner ou incomplètes au moment où l'incendie s'est déclaré. Il semble donc bien davantage s'agir de vieux métal récolté et stocké, ou d'un entrepôt de marchandises appartenant à un artisan civil qui aurait réparé les armes des soldats ou des milices bourgeoises (*populares*), ou qui peut-être les ravitaillait en armes mises au rebus ou rachetées à l'armée.

L'abondance du mobilier domestique ainsi les ossements d'animaux, parmi lesquels on relève un pourcentage élevé de volailles et une proportion d'animaux jeunes au-dessus de la moyenne pour les mammifères domestiques les plus importants, montre cependant que les habitants de l'étage supérieur devaient eux aussi appartenir à un groupe de population aisé. Un *graffito* révèle par ailleurs que l'occupant du premier étage se nommait CRACOMOS, et qu'il était sans doute d'origine indigène.

La comparaison des inventaires de céramiques issus du rez-de-chaussée et de l'étage supérieur de la pièce A, associée à une mise en perspective de ces deux inventaires avec d'autres ensembles provenant d'Augusta Raurica, de *Vitudurum* et d'*Aventicum*, n'ont également livré aucun indice déterminant quant à la fonction des deux étages au cours des phases 9 à 11. On sait seulement que, dans les deux inventaires domestiques, on n'a retrouvé aucun témoignage évoquant une spécialisation, comme c'est le cas par exemple pour le dépôt de céramique découvert à *Vitudurum*.

La comparaison avec d'autres ensembles provenant d'Augusta Raurica et d'*Aventicum* a davantage révélé que le nombre important de récipients en céramique retrouvés au rez-de-chaussée et à l'étage supérieur, en particulier le nombre élevé de gobelets, assiettes, plats et marmites, n'est pas à priori étonnant. Au contraire, ces éléments semblent dans notre région caractéristiques d'autres inventaires de la fin du 3e siècle.

L'interprétation de la pièce A comme *taberna* est donc plausible, dans la mesure où l'on utilise ce terme pour désigner un édifice servant tant à l'habitat qu'à des activités artisanales, à l'accueil d'hôtes ou au stockage, comme le montre la structure du mobilier issu du rez-de-chaussée et du premier étage, sur les plans tant qualitatifs que quantitatifs. Par ailleurs, la composition du mobilier archéo(bio)logique retrouvé dans la pièce A a montré que la dégradation en bidonville, décelable dans les structures architecturales (éléments en remploi) et dans la transformation de certaines pièces (installation de fours à cuire ou à sécher), ne doit pas forcément être considérée comme preuve tangible d'une détérioration marquée de la situation matérielle et alimentaire de la population au cours du troisième quart du 3e siècle.

Traduction: Catherine Leuzinger-Piccand

Riassunto

Questa pubblicazione tratta dei ritrovamenti e dei reperti dell'*insula* 5/9 e della parte sudest dell'*insula* 5 di Augusta Raurica. Le due *insulae* furono indagate nell'ambito di diversi scavi d'emergenza di grandi e piccole dimensioni negli anni 1952–1957, 1965–1967 e 2001–2003.

L'*insula* 5/9 si trova nelle immediate vicinanze dei monumenti pubblici (Abb. 1) e comprende un'area approssimativamente triangolare, delimitata dalla Domusgasse ad ovest, dalla Neuntürmestrasse (oggi Giebenacherstrasse) a sud e dalla Heidenlochstrasse a nord (Abb. 3). Questa zona è situata sul versante meridionale del terrazzamento inferiore triangolare del Reno (Abb. 20), il quale si trova a 293,00 m s. l. m. È lunga ca. 1 km, ha una base a sud larga ca. 1,2 km e rappresenta il perimetro abitativo della città alta della colonia di Augusta Raurica compresa fra Reno, Ergolz e Violenbach.

Le zone dell'*insula* 5 e della regione 2E trattate nell'appendice 1 si trovano sul versante sud e sudovest dell'altipiano di Kastelen, una propaggine del terrazzamento inferiore del Reno originariamente a forma di punta (Abb. 255).

L'analisi interdisciplinare si concentra sui ritrovamenti e i reperti della parte orientale dell'*insula* 5/9 i quali si situano tra la metà del I secolo d. C. e l'inizio del IV secolo. Le informazioni riguardanti le fasi più antiche (fasi 1–8) sono frammentarie, poichè strati e strutture sono stati in parte disturbati da interventi antichi oppure furono esaminati solo parzialmente, a causa della conservazione *in situ* dei ritrovamenti delle fasi 9–11.

La **fase 1** comprende affioramenti geologici isolati al bordo meridionale del terrazzamento inferiore del Reno e al suo versante sudovest.

Nella **fase 2** (Abb. 23) con la presenza di un muro di terrazzamento, del quale sono conservate unicamente le fondamenta (MR 1), sul pendio sudovest sono attestate le prime attività umane. La parte del pendio situata tra questo muro e la Heidenlochstrasse più a nord nella prima metà del I secolo d. C. non venne usato come terreno edificabile, bensì come discarica fino al 50/60 d. C.

Non è stato possibile determinare la funzione dell'area tra il muro di terrazzamento e la Neuntürmestrasse: vi si trovò soltanto una piccola fossa che, secondo i reperti ceramici, deve essere stata riempita verso la metà del I secolo.

Nella **fase 3** (Abb. 35), datata nel terzo quarto del I secolo, il muro di terrazzamento fu demolito e sostituito da un massiccio muro di sostegno (MR 1A; MR 1B). Si tratta probabilmente della continuazione ad est del muro di controripa rilevato anche nell'*insula* 5. Esso costituiva la delimitazione a sud rispettivamente a sudovest dell'altipiano di Kastelen ed ha influenzato l'edificazione in questo quartiere in modo duraturo, fino nel tardo III secolo.

Dopo la costruzione di questo muro di controripa si denota un insediamento anche nell'area situata tra il muro e la Neuntürmestrasse. Le macerie di un incendio alla fine della fase 3 (verso 70/80 d. C.) dimostrano che si trattava di almeno una costruzione a traliccio dotata di un pavimento in calce. Probabilmente anche il focolare F1 faceva parte di questo edificio.

Nella **fase 4** (Abb. 48) la parte centrale del muro di controripa fu riparata e sostituita dal muro 1C, spostato leggermente verso valle. La zona riparata è collegata ad ovest e ad est alle parti adiacenti del muro di controripa. A differenza di questi ultimi, il muro 1C presenta fascie laterizie e tubi di drenaggio, i quali suggeriscono che la riparazione sia stata resa necessaria dal drenaggio insufficiente del riempimento. Non è dato sapere quando avvenne esattamente la riparazione: i reperti della prima fase 5 suggeriscono che sia stata realizzata agli inizi del II secolo.

Il focolare F2, installato sulle macerie dovute probabilmente alla demolizione del muro di controripa pericolante, è la prova di una successiva occupazione dell'area, purtroppo non è possibile fornire dati più concreti a questo proposito.

La **fase 5** è caratterizzata principalmente dalla costruzione di una stanza (A) simile ad una sala (ad angoli obliqui, lunga circa 15 m e larga circa 6 m) annessa al muro di controripa.

Associato alla costruzione della stanza A dietro al muro di controripa fu aggiunto un pacco drenante, che assunse la funzione dei tubi di drenaggio. La facciata del muro di sostegno orientata verso valle fu isolata ulteriormente con cocciopesto e successivamente ricoperta con un intonaco bianco. Ciò indica che la parte posteriore del pianterreno della stanza A fu usata come abitazione.

Il pianterreno della stanza A, alto all'incirca 3,5 m, era accessibile sia dalla Neuntürmestrasse che dalla stanza B. Ciò suggerisce che a partire dalla fase 5 le stanze A e B costituissero un'unità. Resta però incerto se la stanza B fosse un cortile aperto o un edificio chiuso. Quest'ultima ipotesi parrebbe essere sostenuta dal muro 9, confinante col muro 4, del quale però non è assicurata la costruzione nella fase 5. Di conseguenza non è possibile decidere se i negativi delle travi, osservati sul coronamento del muro 1A, appartenessero ad una scala interna od esterna.

Il piano superiore della stanza A era stato costruito in traliccio, come dimostrano le macerie prodotte dalla distruzione alla fine della fase 7. L'accesso al piano superiore

della stanza A avveniva dalla stanza C, il cui livello di circolazione si trovava pressappoco alla stessa quota della Heidenlochstrasse (Abb. 84).

Gli interventi costruttivi nelle stanze A e C si possono datare in maniera relativamente precisa: i reperti più recenti provenienti dagli strati con materiale di riempimento, situati sopra il nuovo pacco drenante, si situano nella metà del II secolo.

Nella **fase 6** (Abb. 68) la stanza A fu accorciata: la parete meridionale (MR 14A) fu sostituita dal muro 21. L'intervento è probabilmente da collegare con la costruzione del nuovo teatro ed il conseguente dislocamento della Neuntürmestrasse più a nord (Beil. 1).

Nell'angolo nordovest della stanza A fu incorporato un *cubiculum,* provvisto di decorazioni parietali ed ipocausto. La parte anteriore della stanza A, confinante con la Neuntürmestrasse, potrebbe essere stata usata come *taberna* (negozio, officina).

Nel corso di questi interventi edilizi il muro di chiusura (MR 3A) della stanza C fu demolito e sostituito dal muro 3B. Le macerie accumulatesi con la demolizione furono depositate nello spazio tra il nuovo muro e la Heidenlochstrasse. In seguito, ai piedi di questa scarpata, fu costruito il fosso di una strada, parallelo al muro 3B e rivestito con assi di legno.

La costruzione del muro 3B e l'innalzamento del livello di circolazione della stanza C sono probabilmente da collegare alla costruzione della stanza D (Abb. 8). Si tratta di un vano scala lungo ca. 3,5 m e largo ca. 2,0 m (Abb. 93). Questo collegava la stanza C con il pianterreno della stanza E, il cui livello di circolazione si trovava all'altezza della Neuntürmestrasse. L'accesso dal vano scala alla stanza E (non esaminata archeologicamente) avveniva tramite un'apertura a forma di esedra nel muro di controripa 1B.

I vari interventi di ristrutturazione datano all'inizio del III secolo. Diversi sono stati eseguiti all'interno delle stanze A–D nella **fase 7**. Nella stanza A venne murato il canale di fuoco del *praefurnium* I; in seguito l'ipocausto del *cubiculum* veniva riscaldato dalla stanza B. Nel corso di questo rifacimento venne rinnovato anche il pavimento in battuto di terrazzo levigato del *cubiculum*.

Nella stanza C venne steso un nuovo pavimento di argilla battuta e nella stanza D il vano a forma di esedra venne decorato con due rappresentazioni di gladiatori (Abb. 111; 112).

Secondo i reperti questi dispendiosi interventi furono attuati nel corso della prima metà del III secolo e sembrerebbero rispecchiare le costanti buone condizioni economiche nel *caput coloniae*. Indizi che suggerissero l'inizio di una *transformation en bidonville* già in questo periodo, si trovarono unicamente nell'area della Heidenlochstrasse: nelle fasi 6 e 7 il fossato meridionale parallelo alla strada non veniva più pulito regolarmente e si riempì successivamente di rifiuti.

Alla **fine della fase 7**, cioè verso la metà del III secolo, un avvenimento che provocò danni estesi, distrusse anche gli edifici nell'area delle *insulae* 5/9 e 5. Queste devastazioni sono riconoscibili perlopiù solo indirettamente, poiché successivamente fu posto rimedio ai danni. Prove inequivocabili di una distruzione dovuta ad un incendio si trovarono nella stanza A e nella stanza D. In due casi la struttura e la composizione degli strati di macerie del muro e di carbone rimasti *in situ* fanno presupporre che l'incendio possa essere stato causato da un terremoto.

Che questa vasta distruzione, indipendentemente dalle sue cause, sia stata un avvenimento incisivo, lo dimostra in primo luogo il fatto che, nella successiva **fase 8** (Abb. 116), diverse stanze furono abbandonate e riempite di macerie: nell'*insula* 5/9 il vano scala bruciato (stanza D) fu riempito con macerie di muro. È probabile che anche nella cantina H (Abb. 256), in parte riempita con i resti bruciati di una costruzione a traliccio, siano stati deposti detriti di muro. Nel *cubiculum* della stanza A l'ipocausto fu saccheggiato ed in seguito riempito con macerie di muro e di costruzione a traliccio. Anche l'ipocausto nella stanza F fu depredato (Abb. 256). Nell'*insula* 5 i canali di riscaldamento dell'ipocausto della stanza 21 (Abb. 291) vennero riempiti con macerie di muro.

Le **fasi 9–11** (Abb. 126; 142; 149), nel periodo tra il 250 e il 260/270 d. C., segnano il ripristino e l'uso (modificato) delle strutture di età imperiale. Tipica per questa *squatter occupation* è la costruzione di forni ed essiccatoi all'interno delle abitazioni nonché l'impiego di spoglie. La *transformation en bidonville* osservabile nelle vestigia non è però da interpretare necessariamente e unicamente come un segno di declino, ma rispecchia piuttosto un profondo cambiamento, iniziato dopo la metà del III secolo. Resta da chiarire se questa trasformazione sia cominciata già nella prima metà del III secolo o se sia derivata dalle distruzioni di ampia portata alla fine della fase 7.

I ritrovamenti nella stanza A (Abb. 126) mostrano questo processo di trasformazione in modo esemplare: le macerie della costruzione a traliccio accumulatesi alla fine della fase 7 furono appianate nella fase 8 ed in seguito vennero a formare un nuovo livello di circolazione. Il muro 21, probabilmente danneggiato, venne sostituito con un fondamento (MR 13), sul quale venne posta una parete a traliccio, che delimitava il pianterreno a meridione. La soglia di una porta e la presenza di uno stipite provano che il pianterreno era ancora accessibile dalla Neuntürmestrasse.

La parete meridionale dell'ex *cubiculum* (MR 10), probabilmente anch'essa danneggiata, venne demolita e sostituita con una parete a traliccio MR 100, la quale era contigua al muro 7, conservato come minimo per 2 m di altezza.

Alle fasi 9–11 appartengono anche il focolare F4, il focolare F5 e il forno BO1 ricavati frantumando il muro di controripa (MR 1C).

Il fatto che la porta tra la stanza A e la rinnovata stanza B venne murata dimostra inoltre che, dopo le distruzioni alla fine della fase 7, devono essere cambiati anche i diritti di proprietà.

Anche il piano superiore della stanza A (Abb. 146; 326) venne riparato: la composizione delle macerie dell'incendio della fine della fase 11 indica che si trattava di una costruzione a traliccio in argilla, le cui pareti intonacate e dipinte erano costruite sia sul muro di controripa sia sui muri ad ovest e ad est del pianterreno. Evidentemente le distruzioni alla fine della fase 7 lasciarono questi muri più o meno intatti, poiché in seguito servirono a sorreggere le travi del soffitto del pianterreno, sulle quali poggiava il pavimento del primo piano. Le travi misuravano approssimativamente 20 × 20 cm e furono distrutte quasi completamente nell'incendio alla fine della fase 11. Il tetto a puntoni con il frontone rivolto verosimilmente verso la strada sembra essere stato coperto con *tegulae* e *imbrices*.

L'accesso al piano superiore della stanza A avveniva ancora dalla Heidenlochstrasse. Mancano indizi sull'esistenza di una scala interna che congiungesse i due piani.

La copiosità dei reperti provenienti dal livello di circolazione del pianterreno e dalle macerie dell'incendio di questo stesso piano e di quello superiore dimostrano che, alla **fine della fase 11**, la stanza A fu distrutta da un fuoco violento, probabilmente inaspettato e dalle conseguenze catastrofiche. La causa dell'incendio è, verosimilmente, da collegare agli avvenimenti bellici degli anni 70 del III secolo. Purtroppo la moneta più recente – un'imitazione di un antoniniano coniato tra il 270 e il 273 d. C. per il Divus Claudius II. (**622**) – non è attribuibile con assoluta certezza all'inventario del piano superiore.

La conservazione eccellente dei reperti provenienti dal piano terra e dal piano superiore della stanza A (Abb. 334; 343; 350) è riconducibile alla breve esposizione delle macerie dell'incendio durante la seguente **fase 12** (Abb. 219) e al fatto che le rovine non vennero perlustrate alla ricerca di oggetti riutilizzabili. Il forno da calce usato durante questa fase ha causato solo interventi singoli.

Poco tempo dopo – nella **fase 13** (Abb. 228), da situare non prima del 276 d. C. – le macerie dell'incendio della fine della fase 11 e il forno da calce furono coperti dallo sgombero prodotto dallo scavo delle fosse dell'*enceinte réduite* tardo romana (Abb. 327). La demolizione del sistema difensivo, composto da due valli e tre fossati, agli inizi del IV secolo (**fase 14**) e i lavori di bonifica agraria moderni (**fase 15**), causarono succesivamente un'ulteriore accumulazione di detriti superficiali nella stanza A.

Nella sintesi viene discussa la questione della funzione rispettivamente dell'uso fatto del pianterreno e del piano superiore della stanza A durante le fasi 9–11 e al momento della distruzione definitiva, alla fine della fase 11 (Abb. 365). Di interesse primario è la questione relativa al pianoterra: venne usato – come supposto finora – come *taberna (caupona)* o come panetteria? Inoltre ci si interroga se al piano superiore allogiasse effettivamente una sentinella militare.

Il punto di partenza è l'analisi dettagliata delle suppellettili domestiche *(instrumentum)* provenienti dal piano terra e dal piano superiore della stanza A (Abb. 328). Il contesto del ritrovamento dei reperti suggerisce che „lo strumentario apparentemente pompeiano" proveniente dalle macerie dell'incendio contenesse oggetti usati nella vita quotidiana: per l'abitazione (p. es. parti dell'arredamento), per il lavoro (p. es. attrezzi, manufatti incompleti), per pratiche rituali (p. es. statuette di dèi) o per la preparazione e la consumazione di cibo (p. es. stoviglie in ceramica, vetro o metallo).

L'analisi dei reperti provenienti dal pianterreno e dal piano superiore è stata eseguita raggruppandoli secondo il tipo di materiale (ceramica, vetro, bronzo, ferro) e secondo la loro funzione (attrezzi, corredi, gioielli, abiti e utensili da toilette, giochi, prodotti artigianali, militaria, elementi da costruzione e monete). La distribuzione orizzontale dei singoli *ensembles* di reperti ha fornito indizi importanti al fine di ricostruire la situazione del pianterreno e del piano superiore al momento della distruzione definitiva della stanza A, alla fine della fase 11 (Abb. 341; 351).

L'analisi del materiale archeo(bio)logico reperito al pianterreno della stanza A non contiene indizi che suggeriscano l'uso del locale come *taberna caupona* (o *taberna vinaria)* durante le fasi 9–11. Inoltre la grande quantità di recipienti in ceramica provenienti dal pianterreno (NMI 530) così come l'alta percentuale di bicchieri, piatti, scodelle e olle non è – come dimostra un confronto con l'inventario del piano superiore e con altri insiemi di Augusta Raurica ed *Aventicum* – un fenomeno da ricondurre all'utilizzo, ma da vedere piuttosto come una caratteristica di questo periodo. Tuttavia ciò non esclude che il gruppo di persone che abitava al pianterreno fosse relativamente benestante e vendesse cibo e bevande – come indicano sia le percentuali molto alte di pollame e di individui giovani dei principali mammiferi domestici, sia gli oggetti casalinghi (mobilia, masserizie). Comunque doveva trattarsi di un'occupazione secondaria poiché la composizione della fauna rinvenuta corrisponde grosso modo a quella ritrovata al piano superiore e in altre *insulae* e regioni di Augusta Raurica.

Nelle macerie dell'incendio del piano superiore si sono scoperti – oltre a circa 730 recipienti in ceramica, diversi oggetti d'uso quotidiano e attrezzi – anche numerose armi. Quest' ultime oggigiorno non possono più provare con sufficiente sicurezza la presenza di una sentinella militare. Questo perché mancano completamente armi difensive e la maggior parte delle armi da taglio e da punta o non erano adatte al combattimento o erano incomplete al momento dello scoppio dell'incendio. Sembra si tratti dunque di vecchio metallo raccolto e stoccato oppure del deposito di un artigiano, che riparava le armi di membri dell'esercito o di milizie popolari *(populares)* oppure li riforniva di armi scartate o acquistate dalle riserve dell'esercito.

Le dimensioni del corredo domestico, come pure la composizione delle ossa animali (elevata percentuale di pollame e percentuale di ossa di mammiferi domestici giovani superiore alla media), indicano che anche gli abitanti del piano superiore appartenevano ad una fascia piuttosto benestante. Grazie ad un graffito sappiamo che uno degli abitanti del piano superiore si chiamava CRACOMOS ed era probabilmente autoctono.

Anche il confronto con gli insiemi di ceramica del piano terra e del piano superiore della stanza A, come pure un paragone dei due *corpora* con ulteriori *ensembles* di Augusta Raurica, *Vitudurum* e *Aventicum* non hanno fornito indizi chiari riguardo alla funzione dei due piani durante le fasi 9–11. Certo è che in entrambi gli inventari non si sono trovati indizi che possano provare una specializzazione – com'è invece il caso, per esempio, per il deposito di ceramica di *Vitudurum.*

Il confronto con altri *ensembles* di Augusta Raurica e *Aventicum* ha dimostrato che il gran numero di recipienti in ceramica rinvenuto al pianterreno o al piano superiore e la presenza massiccia di bicchieri, piatti, scodelle e olle nei due inventari, non debba essere a priori sorprendente. Al contrario: nella nostra regione queste evidenze sembrano essere tipiche anche per altri insiemi del tardo III secolo.

Denominare la stanza A *taberna* – se si intende con questo termine un edificio usato a scopo abitativo, per attività artigianali, per ospitare e alloggiare, ma anche per lo stoccaggio – è ancora corretto e adatto ad illustrare l'ampiezza delle possibili attività svoltesi, come dimostrano sia i ritrovamenti che la qualità e la quantità dei reperti provenienti dal pianterreno e dal piano superiore. Inoltre la composizione del materiale archeo(bio)logico proveniente dalla stanza A illustra che la *transformation en bidonville*, constatata osservando la tipologia architettonica degli edifici ritrovati (l'impiego di spoglie) e il cambiamento d'uso delle stanze (costruzione di forni, essicatoi), non dimostra con certezza un degrado sostanziale della situazione materiale e dell'alimentazione della popolazione nel terzo quarto del III secolo.

Traduzione: Sophia Joray

Literatursigel und bibliografische Abkürzungen

Für Literatursigel, welche im Folgenden nicht aufgeführt sind, siehe: Richtlinien und Abkürzungsverzeichnisse für Veröffentlichungen der Römisch-Germanischen Kommission des Deutschen Archäologischen Institutes. Ber. RGK 71, 1990, 986–992 und Ber. RGK 73, 1992, 479–540.

Adam 1984: J.-P. Adam, La construction romaine. Matériaux et techniques (Paris 1984).

Aeschimann/Heitz 2005: D. Aeschimann/C. Heitz, Synonymie-Index der Schweizer Flora und der angrenzenden Gebiete. Documenta Floristicae Helvetiae 2 (Genf 2005).

Aitken/Haller 2010: C. Aitken/L. Haller, Neue Düfte aus der Brotbackstube. Augusta Raurica 2010/2, 14 f.

Albrecht 1989: H. Albrecht, Die Brandschicht der Holzbauten des Forums von Augst. Spuren einer Feuerstelle oder einer Brandkatastrophe? Jahresber. Augst u. Kaiseraugst 10, 1989, 331–345.

Alexander 1975: W. C. Alexander, A Pottery of the Middle Roman Imperial Period in Augst (Venusstrasse-Ost 1968/69). Forsch. Augst 2 (Basel/Augst/Liestal 1975).

Allason-Jones 1999: L. Allason-Jones, What is a military Assemblage? In: J. Oldenstein/O. Gupte (Hrsg.), Spätrömische Militärausrüstung. Proceedings of the Eleventh International Roman Military Equipment Conference, Mainz, 1998. Journal Roman Military Equipment Stud. 10, 1999, 1–4.

Allison 1992: P. M. Allison, Artefact assemblages: not «the Pompeii premise». In: E. Herring u. a. (Hrsg.), Papers of the fourth conference of Italian archaeology 3 (London 1992) 49–56.

Allison 1997: P. M. Allison, Roman households: an archaeological perspective. In: H. M. Parkins (Hrsg.), Roman urbanism. Beyond the Consumer City (London/New York 1997) 112–147.

Allison 1999: P. M. Allison, Labels for ladles: Interpreting the material culture of Roman households. In: P. M. Allison (Hrsg.), The archaeology of household activities (London/New York 1999) 57–78.

Allison 2004: P. M. Allison, Pompeian Households. An Analysis of Material Culture (Los Angeles 2004).

Allison 2006a: P. M. Allison (mit einem Beitr. v. T. Giove), The insula of the Menander at Pompeii 3: The finds, a contextual study (Oxford 2006).

Allison 2006b: P. M. Allison, Artefact distribution within the auxiliary fort at Ellingen: evidence for building use and for the presence of women and children. Ber. RGK 87, 2006, 389–451.

Althaus 1994: E. Althaus, Kalkbrennen, Baukalk und Kalkmörtel. In: Xantener Ber. Grabung–Forschung–Präsentation 5 (Köln 1994) 17–40.

Ammann 2002: S. Ammann, Basel, Rittergasse 16: Ein Beitrag zur Siedlungsgeschichte im römischen *vicus*. Materialh. Arch. Basel 17 (Basel 2002).

Ammann 2003: S. Ammann, Fünf Gräber und eine Villa. Befunde und Funde der Römerzeit in Reinach (BL). Arch. u. Mus. 46 (Liestal 2003).

Amrein/Nenna 2006: H. Amrein/M.-D. Nenna, Inventaire des moules destinés à la fabrication des contenants de verre. In: D. Foy (Hrsg.), Corpus des signatures et marques sur verres antiques 2. Assoc. Française Arch. Verre (Aix-en-Provence/Lyon 2006) 491–502.

André 1998: J. André, Essen und Trinken im alten Rom (Stuttgart 1998).

Andreae/Kyrieleis 1975: B. Andreae/H. Kyrieleis (Hrsg.), Neue Forschungen in Pompeji und anderen vom Vesuvausbruch 79 n. Chr. verschütteten Städten (Recklinghausen 1975).

Andritzky 1992: M. Andritzky (Hrsg.), Oikos. Von der Feuerstelle zur Mikrowelle. Haushalt und Wohnen im Wandel (Giessen 1992).

Arendt 1992: H. Arendt, Die antike Polis und der Haushalt. In: Andritzky 1992, 18–79.

Asal 2005: M. Asal (mit Beitr. v. A. M. Hirt/H. Hüster Plogmann/M. Peter/Ph. Rentzel/G. Schneider/P. Zibulski), Ein spätrömischer Getreidespeicher am Rhein. Die Grabung Rheinfelden-Augarten West 2001. Veröff. Ges. Pro Vindonissa 19 (Brugg 2005).

Asal 2007: M. Asal (mit Beitr. v. S. Bujard/G. Breuer/E. Broillet-Ramjoué), Insula 36. Die Entwicklung einer Häuserfront in Augusta Raurica. Forsch. Augst 38 (Augst 2007).

Bachmann/Czysz 1977: H.-G. Bachmann/W. Czysz, Das Grab eines römischen Malers aus Nida-Heddernheim. Germania 55, 1977, 85–107.

Bánki 1980: Z. Bánki, Forschungen in Gorsium 1977/1978. Alba Regia 18, 1980, 157–264.

Bastet 1975: F. L. Bastet, Forschungen im Haus des M. Lucretius Fronto. In: Andreae/Kyrieleis 1975, 193–197.

Baudoin u. a. 1994: C. Baudoin/B. Lion/L. Long, Une cargaison de bronzes hellénistique: L'épave «Formigue C» à Golfe-Juan. Archaeonautica 12 (Paris 1994).

Bauhofer, Tagebuch: H. Bauhofer, Technisches Tagebuch der Grabung 2002.063. Aufbewahrungsort: Archiv Ausgrabungen Augst/Kaiseraugst.

Bender 1975: H. Bender, Archäologische Untersuchungen zur Ausgrabung Augst-Kurzenbettli. Ein Beitrag zur Erforschung der römischen Rasthäuser. Antiqua 4 (Frauenfeld 1975).

Bender 1977: H. Bender, Ein römischer Malertopf aus Augusta Raurica. In: Berger u. a. 1977, 20–27.

Bender 1987: H. Bender, Kaiseraugst-Im Liner 1964/1968: Wasserleitung und Kellergebäude. Forsch. Augst 8 (Augst 1987).

Berger, Bericht 1965.052: L. Berger, Insulae 5/9, Projekt Dubler. Unpublizierter Bericht zur Grabung 1965.052. Standort: Archiv Ausgrabungen Augst/Kaiseraugst.

Berger, Bericht 1966.052: L. Berger, Augst Insula 5. Unpublizierter Bericht zur Grabung 1966.052. Standort: Archiv Ausgrabungen Augst/Kaiseraugst.

Berger/Martin, Tagebuch: L. Berger/M. Martin, Tagebuch der Grabung 1965–1967.052. Aufbewahrungsort: Archiv Ausgrabungen Augst/Kaiseraugst.

Berger 1966: L. Berger, Ausgewählte Neueingänge des Römermuseums in Augst. Jahresber. Römerhaus u. Mus. Augst 1966, 3–29.

Berger 1977: L. Berger, Ein gut erhaltener Backofen in Augusta Rauricorum. In: Berger u. a. 1977, 28–40.

Berger 1985: L. Berger (mit Arbeitsgruppe des Seminars für Ur- und Frühgeschichte der Universität Basel), Die Grabungen beim Augster Osttor im Jahre 1966. Jahresber. Augst u. Kaiseraugst 5, 1985, 6–105.

Berger 1998: L. Berger (mit einem Beitr. v. Th. Hufschmid), Führer durch Augusta Raurica (Basel 1998^{6}).

Berger 2002: L. Berger (unter Mitarb. v. N. Spichtig, EDV), Durchbrochene Messerfutteral-Beschläge (Thekenbeschläge) aus Augusta Raurica. Forsch. Augst 32 (Augst 2002).

Berger u. a. 1977: L. Berger u. a. (Hrsg.), Regio Basiliensis 18 (= Festschr. Elisabeth Schmid) (Basel 1977).

Berry 1997: J. Berry, Household artefacts: re-interpreting Roman domestic space. In: Laurence/Wallace-Hadrill 1997, 183–195.

Berry 2007: J. Berry, Instrumentum Domesticum – a case study. In: Dobbins/Foss 2007, 292–301.

Biborski/Ilkjær 2006: M. Biborski/J. Ilkjær, Illerup Ådal. Die Schwerter. Jutland Arch. Soc. Publ. 25 (Højbjerg 2006).

Bishop/Coulston 1993: M. C. Bishop/J. C. N. Coulston, Roman military equipment: from the punic wars to the fall of Rome (London 1993).

Bitterli-Brunner 1987: P. Bitterli-Brunner, Geologischer Führer der Region Basel (Basel/Boston 1987).

Blanc u. a. 1999: P. Blanc/M.-F. Meylan Krause/A. Hochuli-Gysel/A. Duvauchelle/A. Ogay, Avenches/En Selley, investigations 1997: quelques repères sur l'occupation tardive d'un quartier périphérique d'Aventicum (insula 56). Structures et mobilier des IIIième et IVième s. ap. J.-C. Bull. Assoc. Pro Aventico 41, 1999, 25–71.

BMC: British Museum Coins (London ab 1873).

Bögli/Ettlinger 1963: H. Bögli/E. Ettlinger, Eine gallorömische Villa rustica bei Rheinfelden. Argovia 75 (Aarau 1963).

Bossart u. a. 2006: J. Bossart/P. Koch/A. Lawrence/S. Straumann/I. Winet und P.-A. Schwarz (Schriftleitung), Zur Einwohnerzahl von Augusta Raurica. Jahresber. Augst u. Kaiseraugst 27, 2006, 67–108.

Bossert-Radtke 1992: C. Bossert-Radtke, Die figürlichen Rundskulpturen und Reliefs aus Augst und Kaiseraugst. Forsch. Augst 16 = CSIR Schweiz III. Germania superior. Civitas Rauracorum (Augst 1992).

Braithwaite 2007: G. Braithwaite, Faces from the past: A study of Roman face pots from Italy and the Western Provinces of the Roman Empire. BAR Internat. Ser. 1651 (London 2007).

Brem u. a. 2008: H. Brem/J. Bürgi/B. Hedinger/S. Fünfschilling/S. Jacomet/B. Janietz/U. Leuzinger/J. Riederer/V. Schaltenbrand Obrecht/O. Stefani, AD FINES. Das Spätrömische Kastell Pfyn, Befunde und Funde. Arch. Thurgau 8 (Frauenfeld 2008).

Breuer 1992: G. Breuer, Die Tierknochenfunde aus zwei Latrinengruben des 1. Jahrhunderts in Augst (Grabung 1991.65) unter besonderer Berücksichtigung der Hundeskelettreste. Jahresber. Augst u. Kaiseraugst 13, 1992, 177–196.

Breuer 2007: G. Breuer, Die Tierknochen. In: Asal 2007, 175–204; 231–264 (Tabellenanhang).

Breuer/Lehmann 1999: G. Breuer/P. Lehmann, Die Tierknochenfunde aus der Brandschicht des tabernenartigen Raumes B8. In: Sütterlin 1999, 221–240.

Bruckner 1975: A. Bruckner, Keramik der spätesten Koloniezeit aus der Insula 5. In: Rei Cretariae Romanae Rauricorum. Katalog zur Ausstellung in der Augster Curia anlässlich der 10. Tagung der Rei Cretariae Romanae Fautores in Augst und Kaiseraugst (4.–9. Sept. 1975) eingerichtet vom Römermuseum Augst (Augst 1975) 65–77.

Bujukliev 1994: H. Bujukliev, Les lanternes en bronze de la Thrace Romaine. In: Landesdenkmalamt Baden-Württemberg, Akten der 10. Internationalen Tagung über antike Bronze. Forsch. und Ber. Vor- u. Frühgesch. Baden-Württemberg 45 (Stuttgart 1994) 103–109.

Bürgin 1965: P. Bürgin, Über das Leben in den Tabernen von Augst unter Berücksichtigung des römischen Rechts. Basler Zeitschr. Gesch. u. Altkde. 65, 1965, 141–155.

Burckhardt-Biedermann, Akten: Th. Burckhardt-Biedermann, Berichte über die Ausgrabungen in Augst 1877 bis 1906. Unpublizierte Manuskripte. Aufbewahrungsort: Staatsarchiv Basel-Stadt (PA 88) sowie Archiv Ausgrabungen Augst/Kaiseraugst (Kopien).

Cahill 2002: N. Cahill, Household and Organization at Olynthus (New Haven/London 2002).

Carandini 1985: A. Carandini, Settefinestre. Una villa schiavistica nell' Etruria romana (Modena 1985).

Cardon/du Chatenet 1990: D. Cardon/G. du Chatenet, Guide des teintures naturelles (Neuchâtel, Paris 1990).

Castella 1999: D. Castella (mit Beitr. v. Ch. Kramar/C. Olive/M. A. Poro/C. Simon), La nécropole gallo-romaine d'Avenches «En Chaplix». Fouilles 1987–1992. Cahiers Arch. Romande 77 (Lausanne 1999).

Castella/Meylan Krause 1994: D. Castella/M.-F. Meylan Krause, La céramique gallo-romaine d'Avenches et de sa region. Esquisse d'une typologie. Bull. Assoc. Pro Aventico 36, 1994, 5–126.

Ciarallo 1999: A. Ciarallo (Hrsg.), Homo Faber: natura, scienza e tecnica nell'antica Pompei (Mailand 1999).

CIL: Corpus Inscriptionum Latinarum. Hrsg. von der Preussischen Akademie der Wissenschaften (Berlin 1889 ff.).

Clareboets 1994: C. Clareboets, Topochronologie von Augusta Raurica in antiker und nachantiker Zeit. Zum Verlauf der Ergolz und des Ruschenbächlis. Jahresber. Augst u. Kaiseraugst 15, 1994, 239–252.

Clarke 2003: J. R. Clarke, Art in the lives of ordinary Romans. Visual representation and non-elite viewers in Italy, 100 B.C.–A.D. 315 (Berkeley/Los Angeles/London 2003).

Coarelli 1990: F. Coarelli (Hrsg.), Pompeji. Archäologischer Führer (Bergisch-Gladbach 1990).

Cool 2006: H. E. M. Cool, Eating and drinking in Roman Britain (New York 2006).

Cooley/Cooley 2008: A. E. Cooley/M. G. L. Cooley, Pompeii: A sourcebook (New York 2004, reprint 2008).

Coulston 1987: J. C. Coulston, Roman military equipment on third century tombstones. In: M. Dawson (Hrsg.), Roman Military Equipment. The Accoutrements of War. Proceedings of the Third Roman Military Equipment Research Seminar. BAR Internat. Ser. 336 (Oxford 1987) 141–156.

Coulston 1988: J. C. Coulston (Hrsg.), Military Equipment and the Identity of Roman Soldiers. Proceedings of the Fourth Roman Military Equipment Conference. BAR Internat. Ser. 394 (Oxford 1988).

DeFelice 2007: J. DeFelice, Inns and Taverns. In: Dobbins/Foss 2007, 474–486.

Deimel 1987: M. Deimel, Die Bronzekleinfunde vom Magdalensberg. Arch. Forsch. Grabungen Magdalensberg 9 (Klagenfurt 1987).

Den Boesterd 1956: M. Den Boesterd, The Bronze Vessels. Description of the Collection in the Rijksmuseum G. M. Kam at Nijmegen 5 (Nijmegen 1956).

Desbat 1986: A. Desbat, Céramiques romaines à glaçure plombifère des fouilles de Lyon (Hauts-de-Saint-Just, Rue des Farges, La Solitude). Figlina 7, 1986, 105–124.

Deschler-Erb 1991: S. Deschler-Erb, Das Tierknochenmaterial der Kanalverfüllung nördlich der Frauenthermen: Küchenabfälle einer Taberne des 3. Viertels des 3. Jahrhunderts n. Chr. Jahresber. Augst u. Kaiseraugst 12, 1991, 143–152.

Deschler-Erb 1998: S. Deschler-Erb, Die römischen Beinartefakte aus Augst und Kaiseraugst. Untersuchungen zu Rohmaterial, Technologie, Typologie und Chronologie. Forsch. Augst 27 (Augst 1998).

Deschler-Erb 1999: E. Deschler-Erb, Ad Arma! Römisches Militär des 1. Jahrhunderts n. Chr. in Augusta Raurica. Forsch. Augst 28 (Augst 1999).

Deschler-Erb u. a. 1991: E. Deschler-Erb/M. Peter/S. Deschler-Erb (mit Beitr. v. A. R. Furger/U. Müller/S. Fünfschilling), Das frühkaiserzeitliche Militärlager in der Kaiseraugster Unterstadt. Forsch. Augst 12 (Augst 1991).

DNP: H. Cancik/H. Schneider/M. Landfester (Hrsg.), Der Neue Pauly. Enzyklopädie der Antike (Stuttgart 1996–2003).

Dobbins/Foss 2007: J. J. Dobbins/P. W. Foss (Hrsg.), The world of Pompeii (London/New York 2007).

Dolenz 1998: H. Dolenz, Eisenfunde aus der Stadt auf dem Magdalensberg. Kärnten Museumsschr. 75. Arch. Forsch. Grabungen Magdalensberg 13 (Klagenfurt 1998).

Drack 1990: W. Drack (Hrsg.), Der römische Gutshof bei Seeb, Gem. Winkel. Ausgrabungen 1958–1969. Ber. Zürcher Denkmalpfl., Arch. Monogr. 8 (Zürich 1990).

von den Driesch 1976: A. von den Driesch, Das Vermessen von Tierknochen aus Vor- und Frühgeschichtlichen Siedlungen (München 1976).

Durm 1885: H. Durm (Hrsg.), Handbuch der Architektur. 2. Theil: Die Baustile. Historische und technische Entwicklung Bd. 2. Die Baukunst der Etrusker. Die Baukunst der Römer (Darmstadt 1885).

Duvauchelle 2005: A. Duvauchelle, Les outils en fer du Musée Romain d'Avenches. Doc. Mus. Romain Avenches 11 (Avenches 2005).

Ebnöther/Eschenlohr 1985: C. Ebnöther/L. Eschenlohr, Das römische Keramiklager von Oberwinterthur-Vitudurum, Arch. Schweiz 8, 1985, 251–258.

Ebnöther/Kaufmann-Heinimann 1996: C. Ebnöther/A. Kaufmann-Heinimann (mit Beitr. v. E. Deschler-Erb/B. Rütti), Ein Schrank mit Lararium des 3. Jahrhunderts. In: Beiträge zum römischen Oberwinterthur – VITUDURUM 7 (Zürich 1996) 229–251.

Ebnöther u. a. 1994: Ch. Ebnöther/A. Mees/M. Pollack, Le dépôt de céramique du vicus de Vitudurum-Oberwinterthur (Suisse). Rapport préliminaire. In: Société Française d'Étude de la Céramique Antique en Gaule (SFECAG). Actes du Congrès de Millau (Marseille 1994) 127–131.

Engeler-Ohnemus 2006: V. Engeler-Ohnemus (m. Beitr. v. S. Fünfschilling/H. Hüster Plogmann/P. Zibulski), Abfälliges aus Augusta Raurica. Deponien und Zerfallserscheinungen zwischen den Frauenthermen und dem Theater von Augusta Raurica. Jahresber. Augst u. Kaiseraugst 27, 2006, 209–322.

Ertl 2008: C. Ertl, Römische Wohnhäuser in Raetien. In: P. Scherrer (Hrsg.), Domus – Das Haus in den Städten der römischen Donauprovinzen. Akten des 3. Internationalen Symposiums über römische Städte in Noricum und Pannonien (Wien 2008) 1–30.

Eschebach 1975: H. Eschebach, Stadtplan von Pompeji mit Angabe der Bestimmung aller Gebäude und Anlagen. In: Andreae/Kyrieleis 1975, 333 f.

Eschebach 1995: H. Eschebach/L. Eschebach, Pompeji vom 7. Jahrhundert v. Chr. bis 79 n. Chr. (Köln/Weimar/Wien 1995).

Ettlinger 1949: E. Ettlinger, Die Keramik der Augster Thermen (Insula XVII). Ausgrabungen 1937–38. Monogr. Ur- u. Frühgesch. Schweiz 6 (Basel 1949).

Ettlinger/Simonett 1952: E. Ettlinger/Ch. Simonett, Römische Keramik aus dem Schutthügel von Vindonissa. Veröff. Ges. Pro Vindonissa 3 (Basel 1952).

Ettlinger u. a. 1990: E. Ettlinger u. a., Conspectus formarum terrae sigillatae Italico modo confectae. Mat. Röm.-Germ. Keramik 10 (Bonn 1990).

Ewald u. a. 1997: J. Ewald/M. Hartmann/Ph. Rentzel, Die Römische Wasserleitung von Liestal nach Augst. Arch. u. Mus. 36 (Liestal 1997).

Fehr 2003: H. Fehr, Römervilla. Führer durch die Ausgrabungen am Silberberg in Bad Neuenahr-Ahrweiler. Arch. Mittelrhein u. Mosel 7 (Koblenz 2003[2]).

Fellmann 1990: R. Fellmann, Funde aus Eisen, Bronze und Bein. In: Drack 1990, 198–218.

Fellmann 1991: R. Fellmann, Die Funde aus Holz. In: Beiträge zum römischen Oberwinterthur – VITUDURUM 5 (Zürich 1991) 17–40.

Fellmann 2009: R. Fellmann, Römische Kleinfunde aus Holz aus dem Legionslager Vindonissa. Veröff. Ges. Pro Vindonissa 20 (Brugg 2009).

Féret/Sylvestre 2006: G. Féret/R. Sylvestre, Les Graffites sur céramique. In: Schucany 2006, 78–85.

Féret/Sylvestre 2008: G. Féret/R. Sylvestre, Les graffiti sur céramique d'Augusta Raurica. Forsch. Augst 40 (Augst 2008).

Fernandez 2001: H. Fernandez, Ostéologie comparée des petits ruminants eurasiatiques sauvages et domestiques (genres *Rupicapra, Ovis, Capra et Capreolus):* diagnose differentielle du squelette appendiculaire. Dissertation an der Universität in Genf (Genf 2001).

Feugère/Garbsch 1993: M. Feugère/J. Garbsch, Römische Bronzelaternen. Bayer. Vorgeschbl. 58, 1993, 143–184.

Filgis 1991: M. N. Filgis, Baubefunde von Metallhandwerkern und Kalkbrennern im römischen Wimpfen, Krs. Heilbronn. In: A. Hoffmann u. a. (Hrsg.), Diskussionen zur Archäologischen Bauforschung 5 (Mainz 1991) 47–52.

Fischer 1998: J. Fischer, Der Zwerg, der Phallos und der Buckel. Chronique Egypte 73, 1998, 327–361.

Fischer 1988: Th. Fischer, Zur römischen Offizierausrüstung im 3. Jahrhundert n. Chr. Bayer. Vorgeschbl. 53, 1988, 167–190.

Fischer 1991: Th. Fischer, Zwei neue Metallsammelfunde aus Künzing/Quintana (Ldkr. Deggendorf, Niederbayern). Kataloge der Prähistorischen Staatssammlung Beih. 3 (= Spurensuche, Festschr. H.-J. Kellner) (Kallmünz/Opf 1991) 125–175.

Fischer 2001a: Th. Fischer (Hrsg.), Die römischen Provinzen – Eine Einführung in ihre Archäologie (Stuttgart 2001).

Fischer 2001b: Th. Fischer, Waffen und militärische Ausrüstung in zivilem Kontext – Grundsätzliche Erklärungsmöglichkeiten. Jahresber. Ges. Pro Vindonissa 2001, 13–19.

Flügel 1999: Ch. Flügel, Der Auerberg 3. Die römische Keramik. Münchner Beitr. Vor- u. Frühgesch. 47 (München 1999).

Flügel 2000: Ch. Flügel, Bronze- und Edelmetallverarbeitung. In: Wamser 2000, 124–128.

Flutsch u. a. 2002: L. Flutsch/U. Niffeler/F. Rossi, Römische Zeit, Die Schweiz vom Paläolithikum bis zum frühen Mittelalter (SPM) 5 (Basel 2002).

Fontaine 2009: S. D. Fontaine, Le mobilier en verre de la maison de la statuette indienne (I.8,5): contribution à l'étude socio-économique d'une insula de Pompéi. In: K. Janssens u. a. (Hrsg.), Annales du 17e Congrès de l'association internationale pour l'histoire du verre, Anvers 2006 (Brüssel 2009) 115–121.

Forrer 1911: R. Forrer, Die römischen Terrasigillata-Töpfereien von Heiligenberg-Dinsheim und Ittenweiler im Elsass: ihre Brennöfen, Form- und Brenngeräte, ihre Künstler, Fabrikanten und Fabrikate (Stuttgart 1911).

Fortuné u. a. 2009: C. Fortuné u. a. (Hrsg.), Florilège de céramiques gallo-romaines en Alsace. La vaisselle régionale dans tous les états. Exposition présentée du 4. avril au 1. juin 2009 dans Musée d'Unterlinden à Colmar (Colmar 2009).

Fremersdorf 1940: F. Fremersdorf, Römische Scharnierbänder aus Bein. Serta Hoffilleriana, Festschr. V. Hoffiller (Zagreb 1940) 321–337.

Friedhoff 1991: U. Friedhoff, Der römische Friedhof an der Jakobsstrasse zu Köln. Kölner Forsch. 3 (Mainz 1991).

Fröhlich 1991: Th. Fröhlich, Lararien- und Fassadenbilder in den Vesuvstädten. Untersuchungen zur «volkstümlichen» pompejanischen Malerei. Mitt. DAI Rom Ergh. 32 (Mainz 1991).

Fünfschilling 1989: S. Fünfschilling, Ägyptisierende Steinflaschen und ein Achatschälchen aus Augusta Rauricorum. Jahresber. Augst u. Kaiseraugst 10, 1989, 283–321.

Fünfschilling 1993: S. Fünfschilling, Römische Altfunde von Augst-Kastelen. Eine Privatsammlung mit Altfunden aus Augusta Raurica, vornehmlich von Augst-Kastelen (Insulae 3, 4, 7, 8), geborgen während des Kiesabbaus im 1. Drittel des 20. Jahrhunderts. Interne Augster Arbeitspapiere 2 (August 1993).

Fünfschilling 1998: S. Fünfschilling (unter Mitarb. v. V. Vogel Müller), Funde des späten 4. bis 6. Jahrhunderts n. Chr. aus dem Nordwestteil der Grabung 1997.04, Kaiseraugst, «Löwen». Jahresber. Augst u. Kaiseraugst 19, 1998, 71–91.

Fünfschilling 2006: S. Fünfschilling, Das Quartier «Kurzenbettli» im Süden von Augusta Raurica. Untersuchungen zu einer städtischen Randzone. Forsch. Augst 35 (Augst 2006).

Furger 1984: A. R. Furger, Römermuseum Augst. Bericht über die Jahre 1978–1983. Jahresber. Augst u. Kaiseraugst 4, 1984, 89–106.

Furger 1985: A. R. Furger, Vom Essen und Trinken im römischen Augst. Kochen, Essen und Trinken im Spiegel einiger Funde. Arch. Schweiz 8, 1985, 168–184.

Furger 1989a: A. R. Furger (mit Beitr. v. S. Jacomet/W. H. Schoch/R. Rottländer), Der Inhalt eines Geschirr- oder Vorratsschrankes aus dem 3. Jahrhundert von Kaiseraugst-Schmidmatt. Jahresber. Augst u. Kaiseraugst 10, 1989, 213–268.

Furger 1989b: A. R. Furger, Römermuseum und Römerhaus Augst. Kurztexte und Hintergrundinformationen. Augster Museumsh. 10 (Augst 1987[1], 1989[2]).

Furger 1991: A. R. Furger, Die Töpfereibetriebe von Augusta Rauricorum. Jahresber. Augst u. Kaiseraugst 12, 1991, 259–279.

Furger 1993: A. R. Furger (mit einem Beitr. v. A. Mees), Die Grabenverfüllung im nördlichen Aditus des Augster Theaters (Grabung 1992.55). Jahresber. Augst u. Kaiseraugst 14, 1993, 83–107.

Furger 1994: A. R. Furger, Die urbanistische Entwicklung von Augusta Raurica vom 1. bis zum 3. Jahrhundert. Jahresber. Augst u. Kaiseraugst 15, 1994, 29–38.

Furger/Deschler-Erb 1992: A. R. Furger/S. Deschler-Erb (mit Beitr. v. M. Peter/M. Währen), Das Fundmaterial aus der Schichtenfolge beim Augster Theater. Typologische und osteologische Untersuchungen zur Grabung Theater-Nordwestecke 1986/87. Forsch. Augst 15 (Augst 1992).

Furger/Riederer 1995: A. R. Furger/J. Riederer, *Aes* und *aurichalcum*. Empirische Beurteilungskriterien für Kupferlegierungen und metallanalytische Untersuchungen an Halbfabrikaten und Abfällen aus metallverarbeitenden Werkstätten in Augusta Raurica. Jahresber. Augst u. Kaiseraugst 16, 1995, 115–145.

Furger/Schneider 1993: A. R. Furger/Ch. Schneider, Die Bronzeglocke aus der Exedra des Tempelareals Sichelen 1. Jahresber. Augst u. Kaiseraugst 14, 1993, 159–172.

Furger u. a. 1990: A. R. Furger/W. Hürbin/S. Falchi, Eiserne Vorhängeschlösser aus Augusta Raurica. Untersuchungen zu ihrem Aufbau und ein Rekonstruktionsversuch. Jahresber. Augst u. Kaiseraugst 11, 1990, 153–170.

Gaitzsch 1980: W. Gaitzsch, Eiserne römische Werkzeuge. BAR Internat. Ser. 78 (Oxford 1980).

Gaitzsch 1986: W. Gaitzsch, Antike Korb- und Seilerwaren. Schr. Limesmuseum Aalen 38 (Stuttgart 1986).

Ganschow 1989: Th. Ganschow, Untersuchungen zur Baugeschichte in Herculaneum. Antiquitas 3/30 (Bonn 1989).

Gaubatz-Sattler 1994: A. Gaubatz-Sattler, Die Villa rustica von Bondorf. Forsch. u. Ber. Vor- u. Frühgesch. Baden-Württemberg 51 (Stuttgart 1994).

Gerlach 2001: G. Gerlach, Zu Tisch bei den alten Römern: eine Kulturgeschichte des Essens und Trinkens. Arch. Deutschland Sonderh. 2001 (Stuttgart 2001).

Ginouvès/Martin 1985: R. Ginouvès/R. Martin u. a., Dictionnaire méthodique de l'architecture Grecque et Romaine. 1: Matériaux, techniques de construction, techniques et formes du décor. Collect. Ecole Française Rome 84 (Rom 1985).

Gogräfe 1995: R. Gogräfe, Die Wand- und Deckenmalereien der Villa rustica «Am Silberberg» in Bad-Neuenahr-Ahrweiler. In: H.-H. Wegner (Hrsg.), Berichte zur Archäologie an Mittelrhein und Mosel 4 (= Trierer Zeitschr. Beih. 20) (Koblenz 1995) 153–239.

Goldberg/Macphail 2006: V. P. Goldberg/R. Macphail, Practical and theoretical geoarchaeology (Oxford 2006).

von Gonzenbach 1986: V. von Gonzenbach, Die römischen Terracotten der Schweiz. Untersuchungen zu Zeitstellung, Typologie und Ursprung der mittelgallischen Tonstatuetten B. Katalog und Tafeln. Handb. Schweiz Römer- u. Merowingerzeit (Tübingen/Basel 1995).

von Gonzenbach 1995: V. von Gonzenbach, Die römischen Terracotten der Schweiz. Untersuchungen zu Zeitstellung, Typologie und Ursprung der mittelgallischen Tonstatuetten A. Handb. Schweiz Römer- u. Merowingerzeit (Tübingen/Basel 1995).

Gostenčnik 2005: K. Gostenčnik, Die Beinfunde vom Magdalensberg. Archäologische Forschungen zu den Grabungen auf dem Magdalensberg 15 (Klagenfurt 2005).

Goudineau 1979: C. Goudineau, Les fouilles de la Maison au Dauphin. Gallia Suppl. 37 (Paris 1979).

Gralfs 1988: B. Gralfs, Metallverarbeitende Produktionsstätten in Pompeji. BAR Internat. Ser. 433 (London 1988).

Gralfs 1994: B. Gralfs, Metallverarbeitende Werkstätten im Nordwesten des Imperium Romanum (Hamburg 1994).

Haeffelé 1996: Ch. Haeffelé (mit Beitr. v. M. Petrucci-Bavaud/V. Trancik Petitpierre/M. Veszeli), Die römischen Gräber an der Rheinstrasse 46 des Nordwestgräberfeldes von Augusta Raurica. Jahresber. Augst u. Kaiseraugst 17, 1996, 217–310.

Hänggi 1986: R. Hänggi, Der Podiumtempel auf dem Schönbühl in Augst. Augster Museumsh. 9 (Augst 1986).

Hänggi 1989: R. Hänggi, Zur Baustruktur der Strassen von Augusta Rauricorum. Mit einem Exkurs zu den Latrinen. Jahresber. Augst u. Kaiseraugst 10, 1989, 73–96.

Hagendorn 1999: A. Hagendorn, Die Villa rustica von Grosssachsen, Gem. Hirschberg, Rhein-Neckar-Kreis. Materialh. Arch. Baden-Württemberg 45 (Stuttgart 1999).

Hall 2005: J. Hall, The shopkeepers and craft-workers of Roman London. In: MacMahon/Price 2005, 125–145.

Hedinger/Leuzinger 2002: B. Hedinger/U. Leuzinger, Tabula rasa: Holzgegenstände aus den römischen Siedlungen Vitudurum und Tasgetium (Frauenfeld/Stuttgart/Wien 2002).

Hegi 1964–1979: G. Hegi, Illustrierte Flora von Mitteleuropa 6/3 (München 1964–1979).

Heiligmann 1990: J. Heiligmann, Der «Alb-Limes». Ein Beitrag zur römischen Besetzungsgeschichte Südwestdeutschlands. Forsch. u. Ber. Vor- u. Frühgesch. Baden-Württemberg 35 (Stuttgart 1990).

Heinz 1983: W. Heinz, Römische Thermen. Badewesen und Badeluxus (München 1983).

Heising 2003: A. Heising, Der Keramiktyp Niederbieber 32/33 – mit einem Anhang v. Stefan F. Pfahl. In: Liesen/Brandl 2003, 129–172.

Hellenkemper 1986: H. Hellenkemper, Wasserbedarf, Wasserverteilung und Entsorgung in der Colonia Claudia Ara Agrippinensium. In: K. Grewe, Atlas der römischen Wasserleitungen nach Köln (Köln 1986) 193–214.

Hermansen 1981: G. Hermansen, Ostia. Aspects of Roman city life (Edmonton 1981).

Hintermann 2000: D. Hintermann (mit Beitr. v. H. W. Doppler/S. Jacomet/B. Kaufmann/M. Petrucci-Bavaud/A. Schlumbaum/M. Veszeli), Der Südfriedhof von Vindonissa. Archäologische und naturwissenschaftliche Untersuchungen im römerzeitlichen Gräberfeld Windisch-Dägerli. Veröff. Ges. Pro Vindonissa 17 (Brugg 2000).

Hoek 1991: F. Hoek, Die vorläufigen Ergebnisse der Grabung 1990.51, Flächen 1 und 2 (Augst-Frauenthermen, Insula 17). Jahresber. Augst u. Kaiseraugst 12, 1991, 97–133.

Hoek 1992: F. Hoek, Funde und Befunde eines Stadtrandhauses aus Augusta Rauricorum (Augst BL). Teilauswertung der Grabungen 1975–1976.51 (Augst-Kindergarten). Unpublizierte Lizentiatsarbeit an der Universität Basel (Basel 1992).

Hoek-Bruder 1998: F. Hoek-Bruder, Ein aufschlussreicher römischer Keller in Augusta Raurica (Flur Obermühle). In: R. Ebersbach/A. R. Furger/M. Martin/F. Müller/B. Rütti (Hrsg.), MILLE FIORI. Festschr. Ludwig Berger. Forsch. Augst 25 (Augst 1998) 67–75.

Hochuli-Gysel 1998: A. Hochuli-Gysel, Die Bleiglasierte Keramik. In: Beiträge zum römischen Oberwinterthur – VITUDURUM 8 (Zürich 1998) 63–81.

Hochuli-Gysel 1999: A. Hochuli-Gysel, Bleiglasierte Dünnwandkeramik. In: Schucany u. a. 1999, 42 f.

Hochuli-Gysel u. a. 1986: A. Hochuli-Gysel/A. Siegfried-Weiss/E. Ruoff/V. Schaltenbrand, Chur in römischer Zeit I. Antiqua 12 (Basel 1986).

Hochuli-Gysel u. a. 1991: A. Hochuli-Gysel/A. Siegfried-Weiss/E. Ruoff/V. Schaltenbrand Obrecht, Chur in römischer Zeit II. Antiqua 19 (Basel 1991).

Hufschmid 1996: Th. Hufschmid (mit einem Beitr. v. M. Bavaud/S. Jacomet), Kastelen 3. Die Jüngeren Steinbauten in den Insulae 1 und 2. Untersuchungen zur baugeschichtlichen Entwicklung einer römischen Domus in Augusta Raurica. Forsch. Augst 21 (Augst 1996).

Hufschmid 2008: Th. Hufschmid, Die Heiligtümer von Augusta Raurica. Überlegungen zur Topographie und Interpretation. In: D. Castella/M.-F. Meylan Krause (Hrsg.), Topographie sacrée et rituels. Les cas d'Aventicum, capitale des Helvètes. Actes du colloque international d'Avenches 2–4 novembre 2006. Antiqua 43 (Basel 2008) 137–154.

Hufschmid/Horisberger-Matter 2006: Th. Hufschmid/I. Horisberger-Matter, Das römische Theater von Augst: Sanierungs- und Forschungsarbeiten 2005. Jahresber. Augst u. Kaiseraugst 27, 2006, 155–188.

Hufschmid/Horisberger-Matter 2008: Th. Hufschmid/I. Horisberger-Matter, «Ipsius autem theatri conformatio sic est facienda». 16 Jahre Forschung und Restaurierung im römischen Theater von Augst. Jahresber. Augst u. Kaiseraugst 29, 2008, 161–225.

Hufschmid/Sütterlin 1992: Th. Hufschmid/H. Sütterlin, Zu einem Lehmfachwerkbau und zwei Latrinengruben des 1. Jahrhunderts in Augst. Ergebnisse der Grabung 1991.65 im Gebiet der Insulae 51 und 53. Jahresber. Augst u. Kaiseraugst 13, 1992, 129–176.

Hürbin 1994: W. Hürbin (unter Mitarb. v. M. Bavaud/S. Jacomet/U. Berger), Römisches Brot. Mahlen – Backen – Rezepte. Augster Bl. Römerzeit 4 (Augst 1980[1], 1994[2]).

Ipsen 1992: D. Ipsen, Das ganze Haus – Zur Kontinuität des Vergangenen – Eine Skizze. In: Andritzky 1992, 32–36.

Jacomet 2000: S. Jacomet, Ein römischer verkohlter Getreidevorrat aus dem 3. Jahrhundert n. Chr. von Augusta Raurica (Kaiseraugst AG, Grabung «Adler» 1990.005). Jahresber. Augst u. Kaiseraugst 21, 2000, 225–230.

Jacomet/Brombacher 2009: S. Jacomet/Ch. Brombacher, Geschichte der Flora in der Regio Basiliensis seit 7500 Jahren. Ergebnisse von Untersuchungen pflanzlicher Makroreste aus archäologischen Ausgrabungen. Mitt. Naturforsch. Ges. beider Basel 11, 2009, 27–106.

Jacomet/Kreuz 1999: S. Jacomet/A. Kreuz, Archäobotanik (Stuttgart 1999).

Jacomet/Schibler 2002: S. Jacomet/J. Schibler, Archäobiologie: Methoden und Aussagemöglichkeiten. In: Flutsch u. a. 2002, 22–29.

Jacomet u. a. 1988: S. Jacomet/C. Wagner/N. Felice/B. Füzesi/H. Albrecht, Verkohlte pflanzliche Makroreste aus Grabungen in Augst und Kaiseraugst. Kultur- und Wildpflanzenfunde als Informationsquellen über die Römerzeit. Jahresber. Augst u. Kaiseraugst 9, 1988, 271–310.

Jagher u. a. 2003: R. Jagher/Ph. Rentzel/P.-A. Schwarz (mit Beitr. v. A. Hilgers/U. Radtke), Ein altsteinzeitliches Geröllartefakt aus Riehen – Ergebnisse der archäologischen und naturwissenschaftlichen Untersuchungen. Jahresber. Arch. Bodenforsch. Basel-Stadt 2001, 2003, 103–128.

Janietz 2000: B. Janietz (mit Beitr. v. M. Maggetti/J. Riederer/M. Wartmann, unter Mitarb. v. E. Schaller und Abteilung Schaden- und Werkstoffanalytik, Sulzer Innotec AG), Ein Depot zerschlagener Grossbronzen aus Augusta Raurica. Die Rekonstruktion der Gewandfiguren. Forsch. Augst 30 (Augst 2000).

Janietz Schwarz/Rouiller 1996: B. Janietz Schwarz/D. Rouiller (mit Beitr. v. M. Maggetti/J. Riederer/Th. Reiss/B. Rütti/E. Schaller), Ein Depot zerschlagener Grossbronzen aus Augusta Raurica. Die Rekonstruktion der beiden Pferde und Untersuchungen zur Herstellungstechnik. Forsch. Augst 20 (Augst 1996).

Kaenel u. a. 1982: G. Kaenel/D. Paunier/M. Maggetti/G. Galetti, Les ateliers de céramique gallo-romaine de Lousonna (Lausanne-Vidy VD): analyses archéologiques, minéralogiques et chimiques. Jahrb. SGUF 65, 1982, 93–132.

Kaiser/Sommer 1994: H. Kaiser/C. S. Sommer, LOPODVNVM I. Die römischen Befunde der Ausgrabungen an der Kellerei in Ladenburg 1981–1985 und 1990. Forsch. u. Ber. Vor- u. Frühgesch. Baden-Württemberg 50 (Stuttgart 1994).

Kapeller 2003: A. Kapeller, La vaisselle en bronze d'Avenches/Aventicum. Bull. Assoc. Pro Aventico 45, 2003, 83–146.

Kaufmann-Heinimann 1977: A. Kaufmann-Heinimann, Die römischen Bronzen der Schweiz 1. Augst und das Gebiet der Colonia Augusta Raurica (Mainz 1977).

Kaufmann-Heinimann 1996: A. Kaufmann-Heinimann, Halbfabrikat einer Zinnstatuette. In: Beiträge zum römischen Oberwinterthur – VITUDURUM 7 (Zürich 1996) 112–114.

Kaufmann-Heinimann 1998: A. Kaufmann-Heinimann, Götter und Lararien aus Augusta Raurica. Herstellung, Fundzusammenhänge und sakrale Funktion figürlicher Bronzen in einer römischen Stadt. Forsch. Augst 26 (Augst 1998).

Klatt 1995: U. Klatt, Römische Klapptische. Kölner Jahrb. 28, 1995, 349–573.

Kleberg 1963: T. Kleberg, In den Wirtshäusern und Weinstuben des antiken Rom. Lebendiges Altertum 12 (Berlin 1963).

Kock u. a. 2009: S. Kock/P. Huggenberger/F. Preusser/Ph. Rentzel/A. Wetzel, Formation and evolution of the Lower Terrace of the Rhine River in the area of Basel. Swiss Journal Geosciences 102, 2009, 307–321.

Kraus/von Matt 1973: Th. Kraus/L. von Matt, Pompeji und Herculaneum. Antlitz und Schicksal zweier antiker Städte (Köln 1973).

Kraus u. a. 1989: K. Kraus/S. Wisser/D. Knöfel, Über das Löschen von Kalk vor der Mitte des 18. Jahrhunderts – Literaturauswertung und Laborversuche. Arbeitsbl. Restauratoren 1, 1989, 206–221.

Krause/Witschel 2006: J.-U. Krause/Ch. Witschel (Hrsg.), Die Stadt in der Spätantike – Niedergang oder Wandel? Akten des internationalen Kolloquiums in München 30. und 31. Mai 2003. Historia Einzelschr. 190 (Stuttgart 2006).

Künzl 1993: E. Künzl, Die Alamannenbeute aus dem Rhein bei Neupotz. Plünderungsgut aus dem römischen Gallien. RGZM Monogr. 34 (Mainz 1993).

Künzl 1997: S. Künzl, Die Trierer Spruchbecherkeramik. Dekorierte Schwarzfirniskeramik des 3. und 4. Jahrhunderts n. Chr. Trierer Zeitschr. Beih. 21 (Trier 1997).

Kuhnen 1992: H.-P. Kuhnen (Hrsg.), Gestürmt – geräumt – vergessen? Der Limesfall und das Ende der Römerherrschaft in Südwestdeutschland. Württembergisches Landesmuseum Stuttgart, Archäologische Sammlungen, Führer und Bestandeskataloge 2 (Stuttgart 1992).

Lassau 1995: G. Lassau, Die Grabung 1994.13 im Gräberfeld «Im Sager». Ein Vorbericht. Jahresber. Augst u. Kaiseraugst 16, 1995, 79–90.

Laur-Belart, Feldbuch: R. Laur-Belart, Feldbücher 1931–1972. Aufbewahrungsort: Archiv Ausgrabungen Augst/Kaiseraugst.

Laur-Belart, Tagebuch: R. Laur-Belart, Tagebücher 1931–1972. Aufbewahrungsort: Archiv Ausgrabungen Augst/Kaiseraugst.

Laur-Belart 1952: R. Laur-Belart (Red.), 17. Jahresber. Stiftung Pro Augusta Raurica [1951/52]. Basler Zeitschr. Gesch. u. Altkde. 51, 1952, S. XIII–XVIII.

Laur-Belart 1953: R. Laur-Belart, 18. Jahresber. Stiftung Pro Augusta Raurica [1952/53]. Basler Zeitschr. Gesch. u. Altkde. 52, 1953, S. XXIII–XXVII.

Laur-Belart 1954: R. Laur-Belart, 19. Jahresber. Stiftung Pro Augusta Raurica [1953/54]. Basler Zeitschr. Gesch. u. Altkde. 53, 1954, S. XV–XXII.

Laur-Belart 1954/1955: R. Laur-Belart, Fundbericht Augst (Bez. Liestal BL). Jahrb. SGU 44, 1954/1955, 95–124.

Laur-Belart 1957: R. Laur-Belart, 22. Jahresber. Stiftung Pro Augusta Raurica [1956/57]. Basler Zeitschr. Gesch. u. Altkde. 56, 1957, S. XV–XXII.

Laur-Belart 1966: R. Laur-Belart, 30. Jahresber. Stiftung Pro Augusta Raurica [1965]. Basler Zeitschr. Gesch. u. Altkde. 66, 1966, S. XX-XIX–LIV.

Laur-Belart 1967: R. Laur-Belart, 31. Jahresber. Stiftung Pro Augusta Raurica [1966]. Basler Zeitschr. Gesch. u. Altkde. 67, 1967, S. XLI–LXII.

Laur-Belart 1968: R. Laur-Belart, 32. Jahresber. Stiftung Pro Augusta Raurica [1967]. Basler Zeitschr. Gesch. u. Altkde. 68, 1968, S. XVII–XXXIV.

Laurence/Wallace-Hadrill 1997: R. Laurence/A. Wallace-Hadrill (Hrsg.), Domestic space in the Roman world: Pompeii and beyond. Journal Roman Arch. Suppl. 22 (Portsmouth 1997).

Leibundgut 1977: A. Leibundgut, Die römischen Lampen in der Schweiz. Eine kultur- und handelsgeschichtliche Studie (Bern 1977).

Liesen/Brandl 2003: B. Liesen/U. Brandl (Hrsg.), Römische Keramik. Herstellung und Handel. Kolloquium Xanten, 15.–17.6.2000. Xantener Ber. 13 (Mainz 2003).

Lüdin u. a. 1962: O. Lüdin/M. Sitterding/R. Steiger (mit einem Beitr. von H. Doppler), Insula XXIV, 1939–1959. Ausgr. Augst 2 (Basel 1962).

Luik 2005: M. Luik, Ein Spathafund aus einer Zerstörungsschicht der Alamanneneinfälle von Grinario/Köngen. Carnuntum Jahrb. 2005, 181–187.

MacMahon 2003: A. MacMahon, The Taberna Structures of Roman Britain. BAR British Series 356 (London 2003).

MacMahon 2005a: A. MacMahon, The shops and workshops of Roman Britain. In: MacMahon/Price 2005, 48–69.

MacMahon 2005b: A. MacMahon, The taberna counters of Pompeji and Herculaneum. In: MacMahon/Price 2005, 70–87.

MacMahon/Price 2005: A. MacMahon/J. Price (Hrsg.), Roman Working Lives and Urban Living (Oxford 2005).

Mangin 1981: M. Mangin, Un quartier de commerçants et d'artisans d'Alesia. Contribution à l'histoire de l'habitat urbain en Gaule. Bibl. Pro Alesia 8 (Dijon 1981).

Manning 1985: W. H. Manning, Catalogue of the Romano-British iron tools, fittings and weapons in the British Museum (London 1985).

Marchese 1999: B. Marchese u. a., Intonaco, malte e calci. In: Ciarallo 1999, 238 f.

Marti 1996: R. Marti (mit Beitr. v. S. Fünfschilling/M. Peter), Frühmittelalterliche Siedlungsfunde aus dem Castrum Rauracense (Grabung Kaiseraugst, «Jakoblihaus» 1994.02). Jahresber. Augst u. Kaiseraugst 17, 1996, 149–167.

Martin, Bericht 1967.052: M. Martin, Insula V. Teil des unpublizierten Arbeitsberichtes über die Tätigkeit der Ausgrabungsequipe «Steinler» vom 16.05.–12.12.1967. Standort Archiv Ausgrabungen Augst/Kaiseraugst.

Martin 1978: M. Martin, Römische Bronzegiesser in Augst BL. Arch. Schweiz 1, 1978, 112–120.

Martin 1979: M. Martin, Zur Topographie und Stadtanlage von Augusta Rauricorum. Arch. Schweiz 2, 1979, 172–177.

Martin 1987: M. Martin, Römermuseum und Römerhaus Augst. Augster Museumsh. 4 (Augst 1981[1], 1987[2]).

Martin-Kilcher 1980: S. Martin-Kilcher, Die Funde aus dem römischen Gutshof von Laufen-Müschhag (Bern 1980).

Martin-Kilcher 1985: S. Martin-Kilcher, Ein silbernes Schwertortband mit Niellodekor und weitere Militärfunde des 3. Jahrhunderts aus Augst. Jahresber. Augst u. Kaiseraugst 5, 1985, 147–203.

Martin-Kilcher 1987/1994: S. Martin-Kilcher, Die römischen Amphoren aus Augst und Kaiseraugst. Forsch. Augst 7. 7/1: Die südspanischen Ölamphoren (Gruppe 1) (Augst 1987). 7/2: Die Amphoren für Wein, Fischsauce, Südfrüchte (Gruppen 2–24) und Gesamtauswertung (Augst 1994). 7/3: Archäologische und naturwissenschaftliche Tonbestimmungen. Katalog und Tafeln (Augst 1994).

Martin-Kilcher 1993: S. Martin-Kilcher, A propos de la tombe d'un officier de Cologne (Severinstor) et de quelques tombes à armes vers 300. In: F. Vallet/M. Kazanski (Hrsg.), L'armée romaine et les Barbares du III[e] au VII[e] siècle. Mém. Publ. Assoc. Française Arch. Mérovingienne 5 (Condé sur Noireau 1993) 297–312.

Martin-Kilcher 1999: S. Martin-Kilcher (mit einem Beitr. von P.-A. Schwarz), Eine Silberplatte aus Augst-Kastelen und späte Rheinzaberner Sigillaten. Jahresber. Augst u. Kaiseraugst 20, 1999, 181–206.

Martin-Kilcher/Schatzmann 2009: S. Martin-Kilcher/R. Schatzmann (Hrsg.), Das römische Heiligtum von Thun-Allmendingen, die Regio Lindensis und die Alpen. Schr. Bern. Hist. Mus. 9 (Bern 2009).

Massart/Cahen-Delhaye 1994: C. Massart/A. Cahen-Delhaye u. a., Rapport des fouilles de sauvetage de 1979 à 1986 sur le plateau de Mageroux à Saint-Mard (Virton). In: Service national des Fouilles (Hrsg.), Etudes et Documents Fouilles (Gambloux 1994) 11–50.

Mau 1908: A. Mau, Pompeji in Leben und Kunst (Leipzig 1908[2]).

McPhee 2000: I. McPhee, Falaieff Bell-Kraters from ancient Corinth. Hesperia 69, 2000, 453–486.

Meier-Arendt 1983: W. Meier-Arendt, Römische Steindenkmäler aus Frankfurt a. Main (Frankfurt 1983).

Menzel 1969: H. Menzel, Antike Lampen im Römisch-Germanischen Zentralmuseum zu Mainz. RGZM Katalog 15 (Mainz 1969).

Merten 2006: H. Merten, Der Weisheit eine Gasse. Eine römische Bleistatuette der Göttin Minerva aus dem Bereich des Trierer Domes. Instrumentum 23, 2006, 7.

Meyer 2006: W. Meyer, Das Basler Erdbeben von 1356 – Verlauf und Bewältigung einer Katastrophe. Mittelalter. Zeitschr. Schweizer. Burgenverein 11, 2006, 125–132.

Meyer-Freuler 2003: Ch. Meyer-Freuler, Nicht nur Scherben – Analyse und Datierung der Keramik. In: A. Hagendorn/H. W. Doppler/A. Huber/H. Hüster Plogmann/S. Jacomet/Ch. Meyer-Freuler/B. Pfäffli/J. Schibler, Zur Frühzeit von Vindonissa. Auswertung der Holzbauten der Grabung Windisch-Breite 1996–1998. Veröff. Ges. Pro Vindonissa 18 (Brugg 2003) 280–346.

Meylan Krause 2001: M.-F. Meylan Krause, Die Handwerker und die Stadt. Arch. Schweiz 24, 2001, 50–59.

Miks 2007: Ch. Miks, Studien zur römischen Schwertbewaffnung in der Kaiserzeit. Kölner Stud. Arch. Röm. Provinzen 8 (Rahden 2007).

Moosbrugger 1959/60: R. Moosbrugger, Grabungen 1959 Areal Oelhafen. Jahresber. Ges. Pro Vindonissa 1959/60, 5–23.

Monnier 2009: J. Monnier, Une statuette de Vénus en plomb à Vallon/Sur Dompierre. Cahiers Arch. Fribourgeoise 11, 2009, 206 f.

Mühlenbrock/Richter 2005: J. Mühlenbrock/D. Richter (Hrsg.), Verschüttet vom Vesuv: Die letzten Stunden von Herculaneum (Mainz 2005).

Müller 1985: U. Müller, Die römischen Gebäude in Kaiseraugst-Schmidmatt. Arch. Schweiz 8, 1985, 15–29.

Müller 2000: U. Müller (mit Beitr. v. R. Glauser/L. Grolimund), Ausgrabungen in Kaiseraugst im Jahre 1999. Jahresber. Augst u. Kaiseraugst 21, 2000, 97–118.

Müller 2007: U. Müller (mit Beitr. v. G. Faccani/L. Grolimund/C. Saner/E. Weber/S. Wyss), Ausgrabungen in Kaiseraugst im Jahre 2006. Jahresber. Augst u. Kaiseraugst 28, 2007, 93–114.

Nuber/Seitz 1992: H. U. Nuber/G. Seitz, Römische Strassenstation Sontheim/Brenz-«Braike», Kreis Heidenheim. Arch. Ausgr. Baden-Württemberg 1992, 193–198.

Oelmann 1914: F. Oelmann, Die Keramik des Kastells Niederbieber. Mat. Röm.-Germ. Keramik 1 (Frankfurt a. M. 1914).

Offers, Tagebuch: D. F. Offers, Technisches Tagebuch der Grabung 2001.907. Aufbewahrungsort: Archiv Ausgrabungen Augst/Kaiseraugst.

Offers 2002: D. F. Offers, Aus «Taberne» wird «Bäckerei und Wachposten». AUGUSTA RAURICA 2002/2, 6–8.

Offers/Furger 2002: D. F. Offers/A. R. Furger, Monumentenkonservierung und Ruinendienst. «Bäckerei und Wachposten»: Der Backofen. In: A. R. Furger (mit Beitr. v. C. Aitken/K. Kob/U. Müller/D. F. Offers/B. Rütti/J. Rychener/D. Suter/M. Wartmann/J. Zeller), Augusta Raurica. Jahresbericht 2001. Jahresber. Augst u. Kaiseraugst 23, 2002, 42–45.

Offers/Furger 2003: D. F. Offers/A. R. Furger, Monumentenkonservierung und Ruinendienst. Bäckerei und Wachposten (2002.907). In: A. R. Furger (mit einem Beitr. von C. Aitken/H. Hebeisen/Th. Hufschmid/U. Müller/D. F. Offers/B. Rütti/J. Rychener/M. Schaub/D. Suter/M. Wartmann und J. Zeller), Augusta Raurica. Jahresbericht 2002. Jahresber. Augst u. Kaiseraugst 24, 2003, 52–55.

Oldenstein 1976: J. Oldenstein, Zur Ausrüstung römischer Auxiliareinheiten. Studien zu Beschlägen und Zierart an der Ausrüstung der römischen Auxiliareinheiten des obergermanisch-raetischen Limesgebietes aus dem zweiten und dritten Jahrhundert n. Chr. Ber. RGK 57, 1976, 49–284.

Oswald/Pryce 1966: F. Oswald/T. D. Pryce, An Introduction to the study of Terra Sigillata (London 1920, Reprint 1966).

Overbeck 1968: J. Overbeck, Pompeji in seinen Gebäuden, Alterthümern und Kunstwerken (Rom 1968[4]).

van Ossel 1987: P. van Ossel, Les établissements ruraux au Bas-Empire dans le Nord de la Gaule. Arch. Belgica, N. S. 3, 1987, 185–497.

van Ossel 1992: P. van Ossel, Etablissements ruraux de l'antiquité tardive dans le nord de la Gaule. Gallia Suppl. 51 (Paris 1992).

Otten 1994: H.-P. Otten, Die römischen Wandmalereien aus Augst und Kaiseraugst (Dissertation München 1994, unpubliziertes Manuskript).

Pauli-Gabi 2004: Th. Pauli-Gabi, Ausgrabungen im Gebiet der spätlatènezeitlichen Befestigung von Vindonissa. Ein Vorbericht zu den Ergebnissen der Grabung Römerblick 2002–2004 (V.002.11). Jahresber. Ges. Pro Vindonissa 2004, 13–39.

Pavolini 1991: C. Pavolini, La vita quotidiana a Ostia (Rom-Bari 1991).

Perrier 1993: J. Perrier, La Haute Vienne. Carte Arch. Gaule 87 (Paris 1993).

Peter 1991: M. Peter, Die Fundmünzen aus einer Kanalverfüllung nördlich der Augster Frauenthermen – ein Ensemble des 3. Jahrhunderts. Jahresber. Augst u. Kaiseraugst 12, 1991, 135–142.

Peter 1992: M. Peter, Die Münzen. In: Furger/Deschler-Erb 1992, 32–35.

Peter 1996: M. Peter, Augusta Raurica I. Die Fundmünzen aus Augst. Inventar Fundmünzen Schweiz 3 (Lausanne 1996).

Peter 2001: M. Peter, Untersuchungen zu den Fundmünzen aus Augst und Kaiseraugst. Stud. Fundmünzen Ant. 17 (Berlin 2001).

Petit 2005a: J.-P. Petit (unter Mitarb. v. P. Brunella/X. Deru/R. Echt/W. Reinhard/F. Sarateanu-Müller), Bliesbruck-Reinheim. Celtes et Gallo-Romains en Moselle et en Sarre. Collect. Hauts lieux hist. (Paris 2005).

Petit 2005b: J.-P. Petit (unter Mitarb. v. P.-A. Albrecht), L'artisanat alimentaire dans les petits villes gallo-romaines de Bliesbruck (France, département Moselle) et Schwarzenacker (Allemagne, Land de Sarre) au IIIe siècle apr. J.-C. In: M. Polver (Hrsg.), Artisanat et économie romaine: Italie et provinces occidentales de l'Empire. Actes du 3e colloque international d'Erpeldange (Luxemburg) sur l'artisanat romain – 14–16 octobre 2004 (Montagnac 2005) 169–193.

Pfäffli u. a. 2004: B. Pfäffli/H. Sütterlin/Ö. Akeret/S. Deschler-Erb/E. Langenegger/A. Schlumbaum, Die Gräber aus dem Areal der Sägerei Ruder – ein Ausschnitt aus dem Nordwestgräberfeld von Augusta Raurica. Jahresber. Augst u. Kaiseraugst 25, 2004, 111–178.

Pfahl 2003: S. E. Pfahl, Die römischen Gesichtsgefässe von Nida-Heddernheim. In: Liesen/Brandl 2003, 173–196.

Pfahl/Reuter 1996: S. Pfahl/M. Reuter, Waffen aus römischen Einzelsiedlungen rechts des Rheines. Ein Beitrag zum Verhältnis Militär und Zivilbevölkerung im Limeshinterland. Germania 74, 1996, 119–167.

von Pfeffer 1960: W. von Pfeffer, Kultgefäss mit aufgemalter Mithrasdarstellung aus Mainz. Germania 38, 1960, 145–148.

Pferdehirt 1976: B. Pferdehirt, Die Keramik des Kastells Holzhausen. Limesforschungen 16 (Berlin 1976).

Piccottini/Vetters 1990: G. Piccottini/H. Vetters, Führer durch die Ausgrabungen auf dem Magdalensberg (Klagenfurt 1990^{4}).

Pietsch 1983: M. Pietsch, Die römischen Eisenwerkzeuge von Saalburg, Feldberg und Zugmantel. Saalburg Jahrb. 39, 1983, 5–132.

Pirling/Siepen 2006: R. Pirling/M. Siepen (mit einem Beitr. von Ch. Reichmann), Die Funde aus den römischen Gräbern von Krefeld-Gellep: Katalog der Gräber 6348–6361 (Stuttgart 2006).

Rabold 2005: B. Rabold, Ladenburg «Ziegelscheuer». Von der neckarsuebischen Siedlung zur römischen Villa. In: Imperium Romanum. 2: Roms Provinzen an Neckar, Rhein und Donau. Begleitband zur Ausstellung des Landes Baden-Württemberg im Kunstgebäude Stuttgart. 1. Oktober 2005–8. Januar 2006 (Stuttgart 2005) 91–96.

Rabold u. a. 2000: B. Rabold/E. Schallmayer/A. Thiel, Der Limes – Die deutsche Limesstrasse vom Rhein bis zur Donau (Stuttgart 2000).

Ramstein 1998: M. Ramstein, Worb-Sunnhalde. Ein römischer Gutshof im 3. Jahrhundert (Bern 1998).

RE: G. Wissowa (Hrsg.), Pauly's Realencyclopaedie der classischen Altertumswissenschaft (Stuttgart 1894 ff.).

Rebourg 1993: A. Rebourg, Autun. Carte Arch. Gaule 71/1 (Paris 1993).

Rentzel 2004: Ph. Rentzel, Geoarchäologische Untersuchungen zur Holzbauperiode. In: Schwarz 2004, 137–148.

Rentzel/Schwarz 2004: Ph. Rentzel/P.-A. Schwarz, Die geologischen und topographischen Verhältnisse. In: Schwarz 2004, 45–50.

Rentzel u. a. 2009: Ph. Rentzel/F. Preusser/Ch. Pümpin/J.-J. Wolf, Loess and Palaeosols on the High Terrace at Sierentz (F), and Implications for the Chronology of Terrace Formation in the Upper Rhine Valley. Swiss Journal Geosciences 102, 2009, 397–401.

Rettner 1988: A. Rettner, Bemerkungen zu einem Kellerbefund aus der Spätzeit der Koloniestadt Augusta Raurica. Jahrb. SGUF 71, 1988, 209–217.

Reuter 2005: S. Reuter, Ein Zerstörungshorizont der Jahre um 280 n. Chr. in der Retentura des Legionslagers Reginum/Regensburg. Die Ausgrabungen in der Grasgasse-Maximilianstrasse 26 in den Jahren 1979/1980. Bayer. Vorgeschbl. 70, 2005, 183–281.

Reuter/Scholz 2004: M. Reuter/M. Scholz, Geritzt und Entziffert, Schriftzeugnisse der römischen Informationsgesellschaft. Schr. Limesmuseum Aalen 57 (Stuttgart 2004).

RIC: H. Mattingly/E. A. Sydenham, The Roman Imperial Coinage (London ab 1923).

Richarz 1991: I. Richarz, Oikos, Haus und Haushalt (Göttingen 1991).

Richter 2001: E. Richter, Römische Siedlungsplätze im rechtsrheinischen Vorfeld von Augst. Ausgrabungen 1981–2001 (Grenzach-Wyhlen 2001).

Ricken/Fischer 1963: H. Ricken/Ch. Fischer, Die Bilderschüsseln der römischen Töpfer von Rheinzabern. Mat. Römisch-germanische Keramik 7 (Bonn 1963).

Riha 1979: E. Riha (mit einem Beitr. v. R. Fichter/Ch. Hochhaus), Die römischen Fibeln aus Augst und Kaiseraugst. Forsch. Augst 3 (Augst 1979).

Riha 1986: E. Riha (mit Beitr. v. M. Joos/J. Schibler/W. B. Stern), Römisches Toilettgerät und medizinische Instrumente aus Augst und Kaiseraugst. Forsch. Augst 6 (Augst 1986).

Riha 1990: E. Riha (mit Beitr. v. C. W. Beck/A. R. Furger/W. B. Stern), Der römische Schmuck aus Augst und Kaiseraugst. Forsch. Augst 10 (Augst 1990).

Riha 1994: E. Riha, Die römischen Fibeln aus Augst und Kaiseraugst. Die Neufunde seit 1975. Forsch. Augst 18 (Augst 1994).

Riha 2001: E. Riha, Kästchen, Truhen, Tische – Möbelteile aus Augusta Raurica. Forsch. Augst 31 (Augst 2001).

Riha/Stern 1982: E. Riha/W. B. Stern (mit Beitr. v. M. Martin/Ph. Morel), Die römischen Löffel aus Augst und Kaiseraugst. Archäologische und metallanalytische Untersuchungen. Forsch. Augst 5 (Augst 1982).

van Rijn 1993: P. van Rijn, Wooden artefacts. In: R. M. van Dierendonck/D. P. Hallewas/K. E. Waugh (Hrsg.), The Valkenburg excavation 1985–1988. Valkenburg Project 1 (Amersfoort 1993) 146–215.

Rivet 2009: L. Rivet, Les céramiques communes. In: C. Goudineau u. a. (Hrsg.), Le camp de la flotte d'Agrippa à Fréjus: Les fouilles du quartier de Villeneuve (1979–1981) (Paris 2009) 429–534.

Roduit 2006: L. Roduit, Les graffiti figuratifs sur peinture murale en Suisse. Unpubl. Lizentiatsarbeit (Lausanne 2006).

Rothkegel 1994: R. Rothkegel (mit einem Beitr. v. L. G. White), Der römische Gutshof von Laufenburg/Baden. Forsch. u. Ber. Vor- u. Frühgesch. Baden-Württemberg 43 (Stuttgart 1994).

Roth-Rubi 1986: K. Roth-Rubi, Die Villa von Stutheien/Hüttwilen TG. Ein Gutshof der mittleren Kaiserzeit. Antiqua 14 (Basel 1986).

RRC: M. Crawford, Roman Republican Coinage (London 1974).

Rütti 1991: B. Rütti, Die römischen Gläser aus Augst und Kaiseraugst. Forsch. Augst 13 (Augst 1991).

Rütti 2004: B. Rütti, Fundkommentare. In: Schwarz 2004, 149–200.

Rupp 1994: V. Rupp, Die ländliche Besiedlung und Landwirtschaft in der Wetterau und im Odenwald während der Kaiserzeit (bis 3. Jahrhundert einschliesslich). In: H. Bender/H. Wolf (Hrsg.), Ländliche Besiedlung und Landwirtschaft in den Rhein-Donau-Provinzen des römischen Reiches. Passauer Univschr. Arch. 2 (Passau 1994) 237–253.

Rychener 1984: J. Rychener (mit Beitr. v. B. Rütti/H.-M. von Kaenel), Der Kirchhügel von Oberwinterthur. Beiträge zum römischen Oberwinterthur – VITUDURUM 1 (Zürich 1984).

Rychener 2003: J. Rychener, 2002.63 Augst – Taberne (jetzt «Bäckerei und Wachposten»). In: Rychener/Sütterlin 2003, 80–82.

Rychener 2004: J. Rychener, 2003.51 Augst – Wasserleitung Giebenacherstrasse. In: J. Rychener/H. Sütterlin, Ausgrabungen in Augst im Jahre 2003. Jahresber. Augst u. Kaiseraugst 25, 2004, 77–94.

Rychener/Sütterlin 2003: J. Rychener/H. Sütterlin (mit einem Beitr. v. B. Pfäffli), Ausgrabungen in Augst im Jahre 2002. Jahresber. Augst u. Kaiseraugst 24, 2003, 61–96.

Rychener/Sütterlin 2010: J. Rychener/H. Sütterlin, Ausgrabungen in Augst im Jahre 2009. Jahresber. Augst u. Kaiseraugst 31, 2010, 87–140.

Rychener u. a. 2002: J. Rychener/H. Sütterlin/M. Schaub, Ausgrabungen in Augst im Jahre 2001. Jahresber. Augst u. Kaiseraugst 23, 2002, 47–84.

Rychener, Tagebuch: J. Rychener, Wissenschaftliches Tagebuch der Grabung 2002.063. Aufbewahrungsort: Archiv Ausgrabungen Augst/Kaiseraugst.

Schaltenbrand 1986: V. Schaltenbrand, Eisen. In: Hochuli-Gysel u. a. 1986, 170–185.

Schaltenbrand Obrecht 1991: V. Schaltenbrand Obrecht, Eisen. In: Hochuli-Gysel u. a. 1991, 153–196.

Schaltenbrand Obrecht 1996: V. Schaltenbrand Obrecht, Die Eisenfunde. In: Beiträge zum römischen Oberwinterthur – VITUDURUM 7 (Zürich/Egg 1996) 141–210.

Schaltenbrand Obrecht 2008: V. Schaltenbrand Obrecht, Blei. In: Brem u. a. 2008, 127–131.

Schaltenbrand Obrecht u. a. 2008: V. Schaltenbrand Obrecht/B. Hedinger/U. Leuzinger, Steinobjekte. In: Brem u. a. 2008, 216 f.

Schatzmann 2000: R. Schatzmann, Späte Steinbauten im Innenbereich des Castrum Rauracense. Teilauswertung der Grabung «Adler» 1990.05. Jahresber. Augst u. Kaiseraugst 21, 2000, 145–224.

Schatzmann 2003: R. Schatzmann (mit einem Beitr. v. D. Schmid), Das Südwestquartier von Augusta Raurica. Untersuchungen zu einer städtischen Randzone. Forsch. Augst 33 (Augst 2003).

Schatzmann 2005: R. Schatzmann, Militaria und Siedlungskontexte des späten 3. Jahrhunderts aus Augst. Carnuntum Jahrb. 2005, 217–226.

Schatzmann 2006: R. Schatzmann, Ein Erdbeben? – Die Koloniestadt August Raurica als Fallbeispiel. Mittelalter 11, 2006, 165–170.

Schatzmann 2007: R. Schatzmann, Anmerkungen zur Annahme eines Erdbebens um die Mitte des 3. Jahrhunderts in Augusta Raurica. In: A. Smolka/G. H. Waldherr (Hrsg.), Antike Erdbeben im alpinen und zirkumalpinen Raum. Befunde und Probleme in archäologischer, historischer und seismologischer Sicht (Earthquakes in Antiquity in the Alpine and Circum-alpine Region. Findings and Problems from an Archaeological, Historical and Seismological Viewpoint). Beiträge des interdisziplinären Workshops, Schloss Hohenkammer, 14./15. Mai 2004. Geographica Hist. 24 (Stuttgart 2007) 50–68.

Schatzmann (in Vorb.): R. Schatzmann, Die Spätzeit der Oberstadt von Augusta Raurica – Untersuchungen zur Stadtentwicklung im 3. Jahrhundert (Forsch. Augst. 48, in Vorb.).

Schaub 1991: M. Schaub, Neue Erkenntnisse zur Umfassungsmauer des Grabmonumentes beim Augster Osttor (Grabung 1990.52). Jahresber. Augst u. Kaiseraugst 12, 1991, 233–245.

Schaub 1992: M. Schaub, Zur Baugeschichte und Situation des Grabmonumentes beim Augster Osttor (Grabung 1991.52). Jahresber. Augst u. Kaiseraugst 13, 1992, 77–102.

Schaub 1994: M. Schaub (mit einem Beitr. v. B. Rütti), Das Osttor und die Stadtmauer von Augusta Raurica (Grabung 1993.52). Jahresber. Augst u. Kaiseraugst 15, 1994, 73–132.

Schaub 2007: M. Schaub (mit Beitr. v. C. Brombacher/S. Deschler-Erb/S. Fünfschilling/M. Peter), Archäologie vor Ort vermittelt: Die Publikumsgrabung 2006.058 in Augusta Raurica bringt ein Fundensemble um 100 n. Chr. ans Licht. Jahresber. Augst u. Kaiseraugst 28, 2007, 125–145.

Schenk 2008: A. Schenk, Regard sur la tabletterie antique. Les objets en os, bois de cerf et ivoire du Musée Romain d'Avenches. Doc. Mus. Romain Avenches 15 (Avenches 2008).

Schibler 1989: J. Schibler, Ergebnisse einer Analyse von 220000 Knochenfunden der Grabungsjahre 1955–1974. Tierknochen als Schlüssel zur Geschichte der Wirtschaft, der Ernährung, des Handwerks und des sozialen Lebens in Augusta Raurica. Augster Mush. 12 (Augst 1989) 5–33.

Schibler/Furger 1988: J. Schibler/A. R. Furger, Die Tierknochenfunde aus Augusta Raurica (Grabungen 1955–1974). Forsch. Augst 9 (Augst 1988).

Schibler/Stopp 1987: J. Schibler/B. Stopp, Osteoarchäologische Auswertung der hochmittelalterlichen (11.–13. Jh.) Tierknochen aus der Barfüsserkirche in Basel (CH). In: D. Rippmann, Basel-Barfüsserkirche, Grabungen 1975–77. Ein Beitrag zur Archäologie und Geschichte der mittelalterlichen Stadt. Schweizer Beitr. Kulturgesch. u. Arch. Mittelalter 13 (Olten/Freiburg i. Br. 1987) 307–335.

Schindler-Kaudelka 1980: E. Schindler-Kaudelka, Die römische Modelkeramik vom Magdalensberg. Arch. Forsch. Magdalensberg 3 (Klagenfurt 1980).

Schlumbaum 2006: A. Schlumbaum, Verkohlte Holzreste. In: Schucany 2006, 625–634.

Schlumbaum 2007: A. Schlumbaum, Archäobotanische Untersuchungen: Holz. In: R. Zwahlen u. a., Vicus Petinesca-Vorderberb. Die Ziehbrunnen, Petinesca 4 (Bern 2007) 114–116.

Schmid 1991: D. Schmid, Die römischen Schlangentöpfe aus Augst und Kaiseraugst. Forsch. Augst 11 (Augst 1991).

Schmid 1993: D. Schmid, Die römischen Mosaiken aus Augst und Kaiseraugst. Forsch. Augst 17 (Augst 1993).

Schmid 2008: D. Schmid, Die ältere Töpferei an der Venusstrasse-Ost in Augusta Raurica. Untersuchungen zur lokal hergestellten Gebrauchskeramik und zum regionalen Keramikhandel. Forsch. Augst 41 (Augst 2008).

Schmid 2010: D. Schmid, Bauopfer in Augusta Raurica: Zu kultischen Deponien im häuslichen Bereich. In: Ch. Ebnöther/R. Schatzmann (Hrsg.), Oleum non perdidit. Festschr. Stefanie Martin-Kilcher. Antiqua 47 (Basel 2010) 285–293.

Schmid/Vogel Müller (im Druck): D. Schmid/V. Vogel Müller, Eine Terra-Sigillata-ähnliche Keramikproduktion des 3. Jahrhunderts in Augusta Raurica. In: D. Bird (Hrsg.), Dating and interpreting the past in the western Roman Empire: Essays in honour of Brenda Dickinson (im Druck).

Schnitzler 1995: B. Schnitzler, Bronzes antiques d'Alsace. Inv. Collect. Publiques Françaises 37 (Paris 1995).

Schnitzler/Kuhnle 2010: B. Schnitzler/G. Kuhnle (Hrsg.), Strasbourg – Argentorate. Un camp légionaire sur le Rhin (Ier au IVe siècle après J.-C.) (Strasbourg 2010).

von Schnurbein 1990: S. von Schnurbein, Die ausseritalischen Produktionen. In: Ettlinger u. a. 1990, 17–20.

Schramm 1967: Z. Schramm, Long bones and height in withers of goat. (Polnisch mit englischer und russischer Zusammenfassung). Roczniki Wyższej Szkoly Rolniczej Poznaniu 36, 1967, 89–105.

Schucany 1996: C. Schucany, Aquae Helveticae. Zum Romanisierungsprozess am Beispiel des römischen Baden. Grabung 1977. Antiqua 27 (Basel 1996).

Schucany u. a. 1999: C. Schucany/S. Martin-Kilcher/L. Berger/D. Paunier (Hrsg.), Römische Keramik in der Schweiz. Antiqua 31 (Basel 1999).

Schucany 2000: C. Schucany, Alle Tassen im Schrank? Geschirrhaushalte im römischen Gutshof von Biberist-Spitalhof SO. Arch. Schweiz 23, 2000, 138–143.

Schucany 2006: C. Schucany (mit Beitr. v. R. Delage/E. Deschler-Erb/S. Deschler-Erb/C. Doswald/G. Féret/S. Frey-Kupper/S. Fünfschilling/A. Huber/H. Hüster Plogmann/S. Jacomet/B. Kaumann/M. Petrucci-Bavaud/A. Schlumbaum/V. Serneels/J. E. Spangenberg/R. Sylvestre/S. Wyss), Die römische Villa von Biberist-Spitalhof/SO (Grabungen 1982, 1983, 1986–1989). Untersuchungen im Wirtschafteil und Überlegungen zum Umland. Ausgr. u. Forsch. 4 (Remshalden 2006).

Schuster 2009: J. Schuster, Ein römischer Fessel(?)-Kettenabschnitt aus Nordostdeutschland. Arch. Korrbl. 39, 2009, 415–425.

Schwarz 1990: P.-A. Schwarz (mit einem Beitr. v. M. Schaub), Die spätrömische Befestigung auf Kastelen in Augst BL – Ein Vorbericht 1990. Jahresber. Augst u. Kaiseraugst 11, 1990, 25–51.

Schwarz 1991a: P.-A. Schwarz (mit Beitr. v. S. Fünfschilling/M. Peter), Zur Chronologie und Typologie der drei Theaterbauten von Augusta Rauricorum (Augst BL). Die vorläufigen Ergebnisse der Grabung 1990.51, Fläche 3 (Region 2A, Giebenacherstr. 22, Parzelle 521). Jahresber. Augst u. Kaiseraugst 12, 1991, 33–96.

Schwarz 1991b: P.-A. Schwarz, Neue Erkenntnisse zur Westfront des Hauptforums von Augusta Rauricorum (Augst BL). Die Ergebnisse der Grabung 1990.069. Jahresber. Augst u. Kaiseraugst 12, 1991, 153–160.

Schwarz 1994: P.-A. Schwarz, Ausgrabungen in Augst im Jahre 1993. Jahresber. Augst u. Kaiseraugst 15, 1994, 39–62.

Schwarz 1995a: P.-A. Schwarz (mit einem Beitr. v. H. Sütterlin), Ausgrabungen in Augst im Jahre 1994. Jahresber. Augst u. Kaiseraugst 16, 1995, 31–64.

Schwarz 1995b: P.-A. Schwarz, Colonia Raurica. In: E. Deschler/G. Helmig/P.-A. Schwarz/N. Spichtig, Regio Basiliensis im Vergleich. In: G. Kaenel/S. Martin-Kilcher/D. Wild (Hrsg.), Siedlungen, Baustrukturen und Funde im 1. Jh. v. Chr. zwischen oberer Donau und mittlerer Rhone. Kolloquium in Zürich, 17.–18. Januar 2003/Sites et structures d'habitat et trouvailles du 1er s. av. J.-C., entre le Haut-Danube et la moyenne vallée du Rhône. Colloque de Zurich 17–18 janvier 2003. Cahiers Arch. Romande 101 (Lausanne 2005) 155–169, bes. 164–166.

Schwarz 2002: P.-A. Schwarz (mit Beitr. v. P. Lehmann/G. Breuer [unter Mitarb. v. M. Mundschin/S. Ulrich-Bochsler]/H. Hüster Plogmann/M. Petrucci-Bavaud/S. Jacomet/M. Peter), Kastelen 4. Die Nordmauer und die Überreste der Innenbebauung der spätrömischen Befestigung auf Kastelen. Die Ergebnisse der Grabung 1991–1993.51 im Areal der Insulae 1 und 2 von Augusta Raurica. Forsch. Augst 24 (Augst 2002).

Schwarz 2004: P.-A. Schwarz (mit Beitr. v. S. Jacomet/M. Petrucci-Bavaud/P. Lehmann/G. Breuer/U. Leuzinger/Ph. Rentzel/B. Rütti/M. Peter), Kastelen 1. Die prähistorischen und die frühkaiserzeitlichen Holzbauten auf dem Kastelenplateau. Die Ergebnisse der Grabungen 1991–1993.51 sowie 1979–1980.55 und 1980.53 im Areal der Insulae 1, 2, 5 und 6 von Augusta Raurica. Forsch. Augst 21 (Augst 2004).

Schwarz/Berger 2000: P.-A. Schwarz/L. Berger (Hrsg.), Tituli Rauracenses 1. Testimonien und Aufsätze. Zu den Namen und ausgewählten Inschriften von Augst und Kaiseraugst. Forsch. Augst 29 (Augst 2000).

Siegfried-Weiss 1991: A. Siegfried-Weiss, Lavezgefässe. In: Hochuli-Gysel u. a. 1991, 135–138.

Simon/Köhler 1992: H.-G. Simon/H.-J. Köhler, Ein Geschirrdepot des 3. Jahrhunderts. Grabungen im Lagerdorf des Kastells Langenhain. Mat. Röm.-Germ. Ker. 11 (Bonn 1992).

Small 2007: A. M. Small, Urban, suburban and rural religion in the Roman period. In: Dobbins/Foss 2007, 184–211.

Sommer 1994: C. S. Sommer, Ausgrabungen im römischen und mittelalterlichen Ladenburg, Rhein-Neckar-Kreis. Arch. Ausgr. Baden-Württemberg 1994, 129–133.

Spichtig 1995: N. Spichtig, Eine eiserne Handfessel aus der spätlatènezeitlichen Siedlung Basel-Gasfabrik. Arch. Schweiz 18, 1995, 118–124.

Spichtig 2008: N. Spichtig, Sklaverei am Oberrhein? Archäologische Bodenforschung Basel-Stadt/Historisches Museum Basel (Hrsg.), Unter Uns. Archäologie in Basel (Basel 2008) 162 f.

Steidl 2008: B. Steidl, Welterbe Limes – Roms Grenze am Main. Ausstellungskat. Arch. Staatssammlung 36 (München 2008).

Stehlin, Akten: K. Stehlin, Römische Forschungen. Antiquarische Aufnahmen von Augst und anderen Orten. Unpublizierte Manuskripte. Aufbewahrungsort: Staatsarchiv Basel-Stadt (PA 88) sowie Archiv Ausgrabungen Augst/Kaiseraugst (Kopien).

Stehlin 1994: K. Stehlin (1859–1934), Ausgrabungen in Augst 1890–1934 (bearb. v. C. Clareboets, hrsg. v. A. R. Furger). Forsch. Augst 19 (Augst 1994).

Steiger u. a. 1977: R. Steiger/G. Th. Schwarz/R. Strobel/H. Doppler, Augst, Insula 31. Ausgrabungen und Funde 1960/61. Forsch. Augst 1 (Augst 1977).

Strocka 1977: V. M. Strocka (mit einem Beitr. von H. Vetters), Die Wandmalerei der Hanghäuser in Ephesos. Forsch. Ephesos 8/1 (Wien 1977).

Sullivan 1896: L. H. Sullivan, The tall office building artistically considered. Lippincott's Magazine 57, 1896, 403–409.

Sütterlin 1996: H. Sütterlin, Ausgrabungen in Augst im Jahre 1995. Jahresber. Augst u. Kaiseraugst 17, 1996, 33–57.

Sütterlin 1999: H. Sütterlin (mit Beitr. v. M. Petrucci-Bavaud/G. Breuer/P. Lehmann/H. Hüster-Plogmann), Kastelen 2. Die Älteren Steinbauten in den Insulae 1 und 2 von Augusta Raurica. Forsch. Augst 22 (Augst 1999).

Sütterlin 2002a: H. Sütterlin, 2001.61 Augst – Wasserleitung Giebenacherstrasse. In: Rychener u. a. 2002, 65–70.

Sütterlin 2002b: H. Sütterlin, 2001.67 Augst – Kabelgraben Schulstrasse. In: Rychener u. a. 2002, 78 f.

Sütterlin 2007: H. Sütterlin (mit einem Beitr. v. M. Spring), Ausgrabungen in Augst im Jahre 2006. Jahresber. Augst u. Kaiseraugst 28, 2007, 71–92.

Swoboda 1972/1973: R. M. Swoboda (mit einem Beitr. v. B. Overbeck), Neue Ergebnisse zur Geschichte des Castrum Rauracense. Jahrb. SGUF 57, 1972/1973, 185–202.

Szaivert/Wolters 2005: W. Szaivert/R. Wolters, Löhne, Preise, Werte. Quellen zur römischen Geldwirtschaft (Darmstadt 2005).

Terrier u. a. 1993: J. Terrier/M.-A. Haldimann/F. Wiblé, La villa gallo-romaine de Vandoeuvres (GE). Arch. Schweiz 16, 1993, 25–34.

Thiel 2001: A. Thiel, Streifenhäuser. In: Fischer 2001a, 88–91.

Thomas 2006: M. Thomas, Ars clostraria – die römische Schliesskunst. In: Historisches Museum der Pfalz Speyer (Hrsg.), Geraubt und im Rhein versunken. Der Barbarenschatz (Stuttgart 2006) 144–146.

Thompson 1993: H. Thompson, Iron Age and Roman slave-shackles. Arch. Journal 150, 1993, 57–168.

Tschannerl 2008: M. Tschannerl, Wohnhaus und Kultbau. Die Häuser 1 und 2 der Grabung Klostergarten in St. Pölten/Aelium Cetium. In: P. Scherrer (Hrsg.), Domus. Das Haus in den Städten der römischen Donauprovinzen. Akten des 3. Internationalen Symposions über römische Städte in Noricum und Pannonien. Österr. Arch. Inst. Sonderschr. 44 (Wien 2008) 75–104.

Ubl 1994: H.-J. Ubl, Wann verschwand der Dolch vom römischen Militärgürtel? In: C. von Carnap-Bornheim (Hrsg.), Beiträge zur römischen und barbarischen Bewaffnung in den ersten vier nachchristlichen Jahrhunderten. Akten des 2. Internationalen Kolloquiums in Marburg a. d. Lahn (20.–24. Februar 1994). Veröff. Vorgesch. Seminar Philipps-Univ. Marburg Sonderband 8 (Marburg/Lublin 1994) 137–144.

Ulbert 1974: G. Ulbert, Straubing und Nydam. Zu römischen Schwertern der späten Limeszeit. In: G. Kossak/G. Ulbert (Hrsg.), Studien zur Vor- und Frühgeschichtlichen Archäologie 1 (= Festschr. Joachim Werner) (München 1974) 197–216.

Vetters 1977: H. Vetters, Zur Baugeschichte der Hanghäuser. In: Strocka 1977, 12–28.

Vetters/Piccottini 1986: H. Vetters/G. Piccottini, Die Ausgrabungen auf dem Magdalensberg 1975–1979. Magdalensberg-Grabungsbericht 15 (Klagenfurt 1986).

Vogel Müller/Schmid 1999: V. Vogel Müller/D. Schmid, Les productions céramiques d'Augusta Raurica (Augst et Kaiseraugst): Chronologie, formes, fonctions. In: Société Française d'Étude de la Céramique Antique en Gaule (SFECAG). Actes du Congrès de Fribourg (Marseille 1999) 45–61.

Voirol 2000: A. Voirol, «Etats d'armes». Les militaria d'Avenches/Aventicum. Bull. Assoc. Pro Aventico 42, 2000, 7–93.

Währen/Schneider 1995: M. Währen/Ch. Schneider (mit Beitr. v. S. Fünfschilling/A. R. Furger), Die *puls*. Römischer Getreidebrei. Augster Mush. 14 (Augst 1995).

Wallace-Hadrill 1994: A. Wallace-Hadrill, Houses and Society in Pompeii and Herculaneum (Princeton 1994).

Wallat 1993: K. Wallat, Opus testaceum in Pompeji. Mitt. DAI Rom 100, 1993, 353–382.

Wamser 2000: L. Wamser (Hrsg.), Römer zwischen Alpen und Nordmeer. Zivilisatorisches Erbe einer europäischen Militärmacht. Schriftenr. Arch. Staatsslg. 1 (Mainz 2000).

Weder 1990: M. Weder, Der «Bachofensche Münzschatz» (Augst 1884). Mit einem Exkurs über die unter Aureolus in Mailand geprägten Postumusmünzen. Jahresber. Augst u. Kaiseraugst 11, 1990, 53–72.

Weeber 1995: K.-W. Weeber, Alltag im Alten Rom – Ein Lexikon (Zürich 1995).

Wendt 2008: K. P. Wendt (unter Mitarb. v. A. Zimmermann), Bevölkerungsdichte und Landnutzung in den germanischen Provinzen des römischen Reichs im 2. Jahrhundert n. Chr. Ein Beitrag zur Landschaftsarchäologie. Germania 86, 2008, 191–226.

Wittmann 1961: O. Wittmann, Die Niederterrassenfelder im Umkreis von Basel und ihre kartographische Darstellung (Basel 1961).

Wittmann/Jouquand 2003: A. Wittmann/A.-M. Jouquand, La boutique d'un marchand de vases dans la seconde moitié du IIIième siécle après J.-C. à Poitiers (Vienne). In: Société Française d'Étude de la Céramique Antique en Gaule (SFECAG). Actes du Congrès de Saint-Romain-en-Gal (Marseille 2003) 621–639.

Youinou 2008: F. Youinou, Der Rex und sein Hofstaat in den romano-barbarischen Königreichen (5.–7. Jahrhundert). In: Rom und die Barbaren: Europa zur Zeit der Völkerwanderungszeit. 22. August bis 7. Dezember 2008 in der Kunst- und Ausstellungshalle der Bundesrepublik Deutschland, Bonn (München 2008) 254–257.

Zanier 1992: W. Zanier, Das römische Kastell Ellingen. Limesforsch. 23 (Mainz 1992).

Zimmer 1982: G. Zimmer, Römische Berufsdarstellungen. Arch. Forsch. 12 (Berlin 1982).

Zsidi 2000: P. Zsidi, Bleivotive aus Aquincum. Kölner Jahrb. 33, 2000, 313–328.

Abkürzungen

AAK:
Ausgrabungen Augst/Kaiseraugst

Abb.:
Abbildung

AE:
aes (Bronze)

AUK:
Bezeichnung des Botanischen Instituts der Universität Basel für die aus Augst/Kaiseraugst stammenden Sedimentproben

B.:
Breite

BS:
Bodenscherbe

dext.:
dexter (rechts)

Dm.:
Durchmesser

Drack:
Formen der Terra-Sigillata-Imitationen nach W. Drack, Die helvetische Terra Sigillata-Imitation des 1. Jahrhunderts n. Chr. Schr. Inst. Ur- u. Frühgesch. Schweiz 2 (Basel 1945).

Drag.:
Bezeichnung der Terra-Sigillata-Formen nach H. Dragendorff, Terra Sigillata. Ein Beitrag zur Geschichte der griechischen und römischen Keramik. Bonner Jahrb. 96/97, 1895, 18–155.

DR:
Typenbezeichnung der römischen Amphoren nach H. Dressel (vgl. Martin-Kilcher 1987/1994, 10 Abb. 1).

ebd.:
ebenda

evtl.:
eventuell

f./ff.:
folgend(e)

FK:
Fundkomplex

FO:
Fundort

Gew.:
Gewicht

GSTL-Nr.:
Foto- und Zeichnungsnummer des Grosssteinlagers des RMA

H.:
Höhe

HE:
Henkel

indet.:
indeterminabel, nicht (näher) bestimmbar

i. e.:
id est (das ist)

Inv.:
Inventarnummer(n)

Jh.:
Jahrhundert

Kat.:
Katalognummer

L.:
Länge

M.:
Massstab

MIZ:
Mindestindividuenzahl

MR:
Mauer

m ü. M.:
Meter über Meer

n. Chr.:
nach Christus

Nb.:
Niederbieber, Formen nach Oelmann 1914.

Nr.:
Nummer

OF:
Oberfläche

OK:
Oberkante

P:
Profil

RMA:
Römermuseum Augst

RS:
Randscherbe

S.:
Seite

s.:
siehe

sin.:
sinister (links)

s. v.:
sub voce (unter dem Stichwort)

Taf.:
Tafel

TS:
Terra Sigillata

UK:
Unterkante

v. Chr.:
vor Christus

vgl.:
vergleiche

WS:
Wandscherbe

Abbildungsnachweise

Abb. 1:
Zeichnung Michael Vock.
Abb. 2:
Foto Ines Horisberger-Matter.
Abb. 3:
Zeichnung Michael Vock.
Abb. 4,A–D:
Fotos Ludwig Berger.
Abb. 5,A:
Zeichnung Anonymus.
Abb. 5,B:
Foto nach Berger 1998, Abb. 165.
Abb. 6,A:
Foto Donald Offers.
Abb. 6,B:
Foto Hans-Peter Bauhofer.
Abb. 6,C:
Foto Ursi Schild.
Abb. 7:
Foto Sandra Ammann; Gestaltung Michael Vock.
Abb. 8:
Zeichnung Michael Vock auf Basis von Skizzen aus Berger/Martin, Tagebuch.
Abb. 9; 10:
Zusammenstellungen Sandra Ammann; Gestaltung Mirjam T. Jenny.
Abb. 11,A:
Foto Ludwig Berger.
Abb. 11,B:
Foto Susanne Schenker.
Abb. 12:
Zusammenstellung Elisabeth Marti-Grädel; Gestaltung Mirjam T. Jenny.
Abb. 13:
Grafik Elisabeth Marti-Grädel; Gestaltung Mirjam T. Jenny.
Abb. 14:
Zusammenstellung Elisabeth Marti-Grädel; Gestaltung Mirjam T. Jenny.
Abb. 15–17:
Grafiken Elisabeth Marti-Grädel; Gestaltung Mirjam T. Jenny.
Abb. 18:
Gestaltung Michael Vock.
Abb. 19:
Zusammenstellung Sandra Ammann; Gestaltung Mirjam T. Jenny.
Abb. 20:
Zeichnung Markus Schaub.
Abb. 21:
Foto Ludwig Berger.
Abb. 22:
Foto Hans-Peter Bauhofer.
Abb. 23:
Zeichnung Michael Vock.
Abb. 24:
Zusammenstellung Sandra Ammann und Peter-A. Schwarz; Gestaltung Mirjam T. Jenny.
Abb. 25; 26:
Fotos Ludwig Berger.
Abb. 27:
Zusammenstellung Sandra Ammann; Gestaltung Mirjam T. Jenny.
Abb. 28:
Zeichnungen Denise Grossenbacher; Sylvia Fünfschilling (Abb. 28,3); Fotos Susanne Schenker; Gestaltung Mirjam T. Jenny.
Abb. 29:
Foto Ludwig Berger.
Abb. 30:
Zusammenstellung Sandra Ammann; Gestaltung Mirjam T. Jenny.
Abb. 31:
Zeichnungen Denise Grossenbacher; Thomas Reiss (Abb. 31,55); Gestaltung Mirjam T. Jenny.
Abb. 32:
Zusammenstellung Elisabeth Marti-Grädel; Gestaltung Mirjam T. Jenny.
Abb. 33; 34:
Grafiken Elisabeth Marti-Grädel; Gestaltung Mirjam T. Jenny.
Abb. 35:
Zeichnung Michael Vock.
Abb. 36:
Zusammenstellung Sandra Ammann und Peter-A. Schwarz.
Abb. 37:
Foto Hans-Peter Bauhofer.
Abb. 38–40:
Fotos Ludwig Berger.
Abb. 41:
Foto Hans-Peter Bauhofer.
Abb. 42:
Zusammenstellung Sandra Ammann; Gestaltung Mirjam T. Jenny.
Abb. 43:
Zeichnungen Denise Grossenbacher; Fotos Susanne Schenker; Gestaltung Mirjam T. Jenny.
Abb. 44:
Zusammenstellung Sandra Ammann; Gestaltung Mirjam T. Jenny.
Abb. 45:
Zeichnungen Denise Grossenbacher; Gestaltung Mirjam T. Jenny.
Abb. 46:
Zusammenstellung Elisabeth Marti-Grädel; Gestaltung Mirjam T. Jenny.
Abb. 47:
Grafik Elisabeth Marti-Grädel; Gestaltung Mirjam T. Jenny.
Abb. 48:
Zeichnung Michael Vock.
Abb. 49:
Zusammenstellung Sandra Ammann und Peter-A. Schwarz; Gestaltung Mirjam T. Jenny.
Abb. 50–53:
Fotos Ludwig Berger.
Abb. 54:
Zusammenstellung Sandra Ammann; Gestaltung Mirjam T. Jenny.
Abb. 55:
Zeichnungen Denise Grossenbacher; Gestaltung Mirjam T. Jenny.
Abb. 56:
Zeichnung Michael Vock.
Abb. 57:
Zusammenstellung Sandra Ammann und Peter-A. Schwarz; Gestaltung Mirjam T. Jenny.
Abb. 58; 59:
Fotos Ludwig Berger.
Abb. 60:
Foto Hans-Peter Bauhofer.

Abb. 61:
Zusammenstellung Sandra Ammann; Gestaltung Mirjam T. Jenny.
Abb. 62:
Zeichnungen Denise Grossenbacher; Foto Susanne Schenker; Gestaltung Mirjam T. Jenny.
Abb. 63; 64:
Fotos Ludwig Berger.
Abb. 65:
Zusammenstellung Sandra Ammann; Gestaltung Mirjam T. Jenny.
Abb. 66:
Zeichnungen Denise Grossenbacher; Thomas Reiss (Abb. 66,125); Fotos Susanne Schenker; Gestaltung Mirjam T. Jenny.
Abb. 67:
Zusammenstellung Elisabeth Marti-Grädel; Gestaltung Mirjam T. Jenny.
Abb. 68:
Zeichnung Michael Vock.
Abb. 69:
Zusammenstellung Sandra Ammann und Peter-A. Schwarz; Gestaltung Mirjam T. Jenny.
Abb. 70:
Skizze aus Berger/Martin, Tagebuch; Ergänzungen Michael Vock.
Abb. 71:
Foto Hans-Peter Bauhofer.
Abb. 72–74:
Fotos Ludwig Berger.
Abb. 75:
Zusammenstellung Sandra Ammann; Gestaltung Mirjam T. Jenny.
Abb. 76:
Zeichnungen Denise Grossenbacher; Michael Vock (Abb. 76,139); Fotos Susanne Schenker; Gestaltung Mirjam T. Jenny.
Abb. 77:
Zusammenstellung Elisabeth Marti-Grädel; Gestaltung Mirjam T. Jenny.
Abb. 78; 79:
Zusammenstellungen Marlu Kühn; Gestaltung Mirjam T. Jenny.
Abb. 80:
Foto Hans-Peter Bauhofer.
Abb. 81–83:
Fotos Ludwig Berger.
Abb. 84:
Zeichnung Michael Vock.
Abb. 85:
Zusammenstellung Sandra Ammann; Gestaltung Mirjam T. Jenny.
Abb. 86:
Zeichnungen Denise Grossenbacher; Sylvia Fünfschilling (Abb. 86,174.175); Michael Vock (Abb. 86,180.181); Fotos Susanne Schenker; Gestaltung Mirjam T. Jenny.
Abb. 87:
Zusammenstellung Elisabeth Marti-Grädel; Gestaltung Mirjam T. Jenny.
Abb. 88:
Feldaufnahme Erich Fehlmann; Umzeichnung Michael Vock.
Abb. 89–92:
Fotos Ludwig Berger.
Abb. 93:
Zeichnung Michael Vock.
Abb. 94:
Zusammenstellung Sandra Ammann; Gestaltung Mirjam T. Jenny.
Abb. 95:
Zeichnungen Denise Grossenbacher; Gestaltung Mirjam T. Jenny.
Abb. 96:
Skizze aus Berger/Martin, Tagebuch; Ergänzungen Michael Vock.
Abb. 97:
Zusammenstellung Sandra Ammann; Gestaltung Mirjam T. Jenny.
Abb. 98:
Zeichnungen Denise Grossenbacher; Gestaltung Mirjam T. Jenny.
Abb. 99:
Zusammenstellung Elisabeth Marti-Grädel; Gestaltung Mirjam T. Jenny.
Abb. 100:
Zeichnung Michael Vock.
Abb. 101:
Zusammenstellung Sandra Ammann und Peter-A. Schwarz; Gestaltung Mirjam T. Jenny.
Abb. 102:
Fotos Ludwig Berger.
Abb. 103:
Foto Donald F. Offers.
Abb. 104:
Feldaufnahme Erich Fehlmann; Ergänzungen Michael Vock.
Abb. 105:
Zusammenstellung Sandra Ammann; Gestaltung Mirjam T. Jenny.
Abb. 106:
Zeichnungen Denise Grossenbacher; Sylvia Fünfschilling (Abb. 106,199.213); Fotos Susanne Schenker; Gestaltung Mirjam T. Jenny.
Abb. 107:
Foto Hans-Peter Bauhofer.
Abb. 108:
Zusammenstellung Sandra Ammann; Gestaltung Mirjam T. Jenny.
Abb. 109:
Zeichnungen Denise Grossenbacher; Gestaltung Mirjam T. Jenny.
Abb. 110:
Feldaufnahme Erich Fehlmann; Ergänzungen Michael Vock.
Abb. 111; 112:
Feldaufnahmen Erich Fehlmann; Fotos Ludwig Berger; Ergänzungen Michael Vock.
Abb. 113:
Zusammenstellung Sandra Ammann; Gestaltung Mirjam T. Jenny.
Abb. 114:
Zeichnungen Denise Grossenbacher; Gestaltung Mirjam T. Jenny.
Abb. 115:
Zusammenstellung Elisabeth Marti-Grädel; Gestaltung Mirjam T. Jenny.
Abb. 116:
Zeichnung Michael Vock.
Abb. 117:
Zusammenstellung Sandra Ammann und Peter-A. Schwarz; Gestaltung Mirjam T. Jenny.
Abb. 118:
Fotos Ludwig Berger.
Abb. 119:
Zusammenstellung Sandra Ammann; Gestaltung Mirjam T. Jenny.
Abb. 120:
Zeichnungen Denise Grossenbacher; Sylvia Fünfschilling (Abb. 120,269); Otto Garraux (Abb. 120,268); Fotos Susanne Schenker; Gestaltung Mirjam T. Jenny.
Abb. 121:
Zusammenstellung Elisabeth Marti-Grädel; Gestaltung Mirjam T. Jenny.
Abb. 122:
Foto Ludwig Berger.
Abb. 123:
Feldaufnahme Erich Fehlmann; Ergänzungen Michael Vock.
Abb. 124:
Zusammenstellung Sandra Ammann; Gestaltung Mirjam T. Jenny.
Abb. 125:
Zeichnungen Denise Grossenbacher; Gestaltung Mirjam T. Jenny.
Abb. 126:
Zeichnung Michael Vock.
Abb. 127:
Zusammenstellung Sandra Ammann und Peter-A. Schwarz; Gestaltung Mirjam T. Jenny.
Abb. 128–131:
Fotos Hans-Peter Bauhofer.

Abb. 132; 133:
Fotos Ludwig Berger.
Abb. 134; 135:
Feldaufnahmen Erich Fehlmann; Ergänzungen Michael Vock.
Abb. 136:
Zusammenstellung Sandra Ammann; Gestaltung Mirjam T. Jenny.
Abb. 137:
Zeichnungen Denise Grossenbacher; Fotos Susanne Schenker; Gestaltung Mirjam T. Jenny.
Abb. 138:
Foto Ludwig Berger.
Abb. 139:
Fotos Hans-Peter Bauhofer.
Abb. 140:
Foto Ludwig Berger.
Abb. 141:
Fotos Hans-Peter Bauhofer.
Abb. 142:
Zeichnung Michael Vock.
Abb. 143:
Zusammenstellung Sandra Ammann und Peter-A. Schwarz; Gestaltung Mirjam T. Jenny.
Abb. 144:
Foto Donald Offers.
Abb. 145:
Foto Peter-A. Schwarz.
Abb. 146:
Zeichnung Markus Schaub.
Abb. 147:
Zusammenstellung Sandra Ammann; Gestaltung Mirjam T. Jenny.
Abb. 148:
Zeichnungen Denise Grossenbacher; Gestaltung Mirjam T. Jenny.
Abb. 149:
Zeichnung Michael Vock.
Abb. 150:
Zusammenstellung Sandra Ammann und Peter-A. Schwarz; Gestaltung Mirjam T. Jenny.
Abb. 151:
Nach Berger 1977, Abb. 3; Ergänzungen Michael Vock.
Abb. 152:
Zeichnung Michael Vock.
Abb. 153:
Foto Donald Offers.
Abb. 154:
Skizze Rudolf Laur-Belart; Ergänzungen Michael Vock.
Abb. 155:
Feldaufnahme Erich Fehlmann; Foto Donald Offers; Ergänzungen Michael Vock.
Abb. 156,A:
Foto Donald Offers.
Abb. 156,B–D; 157:
Fotos Ludwig Berger.
Abb. 158:
Zusammenstellung Sandra Ammann; Gestaltung Mirjam T. Jenny.
Abb. 159:
Zeichnungen Denise Grossenbacher; Sylvia Fünfschilling (Abb. 159,316); Fotos Susanne Schenker; Gestaltung Mirjam T. Jenny.
Abb. 160:
Foto Ludwig Berger.
Abb. 161:
Foto Ursi Schild.
Abb. 162; 163,A.B:
Fotos Ludwig Berger.
Abb. 163,C:
Foto Rudolf Laur-Belart.
Abb. 164:
Foto Ludwig Berger.
Abb. 165:
Foto Hans-Peter Bauhofer.
Abb. 166:
Foto Ludwig Berger.
Abb. 167:
Feldaufnahme Erich Fehlmann; Ergänzungen Michael Vock.
Abb. 168; 169:
Fotos Ludwig Berger.
Abb. 170:
Zusammenstellung Sandra Ammann; Gestaltung Mirjam T. Jenny.
Abb. 171:
Zeichnungen Denise Grossenbacher; Sylvia Fünfschilling (Abb. 171,332); Gestaltung Mirjam T. Jenny.
Abb. 172:
Zusammenstellung Sandra Ammann; Gestaltung Mirjam T. Jenny.
Abb. 173:
Zeichnungen Denise Grossenbacher; Sylvia Fünfschilling (Abb. 173,371–374.381); Thomas Reiss (Abb. 173,379.380); Otto Garraux (Abb. 173,382); Peter Schaad (Abb. 173,389.390); Fotos Susanne Schenker; Gestaltung Mirjam T. Jenny.
Abb. 174:
Zusammenstellung Sandra Ammann; Gestaltung Mirjam T. Jenny.
Abb. 175:
Zeichnungen Denise Grossenbacher; Sylvia Fünfschilling (Abb. 175,463.466); Thomas Reiss (Abb. 175,468.469); Otto Garraux (Abb. 175,483); Michael Vock (Abb. 175,489.490); Peter Schaad (Abb. 175, 484–488); Fotos Susanne Schenker; Gestaltung Mirjam T. Jenny.
Abb. 176:
Zusammenstellung Sandra Ammann; Gestaltung Mirjam T. Jenny.
Abb. 177:
Zeichnungen Denise Grossenbacher; Sylvia Fünfschilling (Abb. 177,504.589.600–603.605.623–637.641–645.649.653.654.661. 665–674.676–679.689.697–701.732); Thomas Reiss (Abb. 177,639. 640.646.648.650); Michael Vock (Abb. 177,741–746); Peter Schaad (Abb. 177,733–740); Theodor Imholz, mit Ergänzungen von Stefan Bieri (Abb. 177,651.652); Fotos Susanne Schenker; Nina Fernandez (Abb. 177,660); Helga Obrist (Abb. 177,684–686); Gestaltung Mirjam T. Jenny.
Abb. 178:
Foto Ludwig Berger.
Abb. 179:
Foto Hans-Peter Bauhofer; Ergänzungen Michael Vock.
Abb. 180–182:
Fotos Hans-Peter Bauhofer.
Abb. 183:
Foto Hans-Peter Bauhofer.
Abb. 184:
Foto Hans-Peter Bauhofer.
Abb. 185:
Zusammenstellung Sandra Ammann; Gestaltung Mirjam T. Jenny.
Abb. 186:
Zeichnungen Denise Grossenbacher; Fotos Susanne Schenker; Gestaltung Mirjam T. Jenny.
Abb. 187:
Foto Hans-Peter Bauhofer.
Abb. 188; 189:
Fotos Ludwig Berger.
Abb. 190:
Zusammenstellung Sandra Ammann; Gestaltung Mirjam T. Jenny.
Abb. 191:
Zeichnungen Denise Grossenbacher; Fotos Susanne Schenker; Gestaltung Mirjam T. Jenny.
Abb. 192:
Zusammenstellung Elisabeth Marti-Grädel; Gestaltung Mirjam T. Jenny.
Abb. 193:
Grafik Elisabeth Marti-Grädel; Gestaltung Mirjam T. Jenny.

Abb. 194–196:
Zusammenstellungen Elisabeth Marti-Grädel; Gestaltung Mirjam T. Jenny.
Abb. 197:
Grafik Elisabeth Marti-Grädel; Gestaltung Mirjam T. Jenny.
Abb. 198; 199:
Zusammenstellungen Elisabeth Marti-Grädel; Gestaltung Mirjam T. Jenny.
Abb. 200:
Grafik Elisabeth Marti-Grädel; Gestaltung Mirjam T. Jenny.
Abb. 201:
Zusammenstellung Elisabeth Marti-Grädel; Gestaltung Mirjam T. Jenny.
Abb. 202; 203:
Grafiken Elisabeth Marti-Grädel; Gestaltung Mirjam T. Jenny.
Abb. 204; 205:
Zusammenstellungen Elisabeth Marti-Grädel; Gestaltung Mirjam T. Jenny.
Abb. 206; 207:
Zusammenstellungen Marlu Kühn; Gestaltung Mirjam T. Jenny.
Abb. 208; 209:
Grafiken Marlu Kühn; Gestaltung Mirjam T. Jenny.
Abb. 210:
Foto Susanne Schenker.
Abb. 211; 212:
Zusammenstellungen Marlu Kühn; Gestaltung Mirjam T. Jenny.
Abb. 213:
Nach Hegi 1964–1979, 270.
Abb. 214:
Zusammenstellung Angela Schlumbaum; Gestaltung Mirjam T. Jenny.
Abb. 215:
Grafik Angela Schlumbaum; Gestaltung Mirjam T. Jenny.
Abb. 216:
Zusammenstellung Philippe Rentzel; Gestaltung Mirjam T. Jenny.
Abb. 217,A:
Foto Susanne Schenker.
Abb. 217,B; 218:
Fotos Ines Horisberger-Matter.
Abb. 219:
Zeichnung Michael Vock.
Abb. 220:
Zusammenstellung Sandra Ammann und Peter-A. Schwarz; Gestaltung Mirjam T. Jenny.
Abb. 221:
Foto Hans-Peter Bauhofer; Ergänzungen Mirjam T. Jenny.
Abb. 222:
Foto Hans-Peter Bauhofer; Ergänzungen Mirjam T. Jenny.
Abb. 223; 224:
Fotos Hans-Peter Bauhofer.
Abb. 225:
Zusammenstellung Sandra Ammann; Gestaltung Mirjam T. Jenny.
Abb. 226:
Zeichnungen Denise Grossenbacher; Gestaltung Mirjam T. Jenny.
Abb. 227:
Zusammenstellung Elisabeth Marti-Grädel; Gestaltung Mirjam T. Jenny.
Abb. 228:
Zeichnung Michael Vock.
Abb. 229:
Zusammenstellung Sandra Ammann und Peter-A. Schwarz; Gestaltung Mirjam T. Jenny.
Abb. 230:
Feldaufnahme Erich Fehlmann; Ergänzungen Michael Vock.
Abb. 231; 232:
Fotos Ludwig Berger.
Abb. 233:
Zusammenstellung Sandra Ammann; Gestaltung Mirjam T. Jenny.
Abb. 234:
Zeichnungen Denise Grossenbacher; Sylvia Fünfschilling (Abb. 234, 836); Gestaltung Mirjam T. Jenny.
Abb. 235:
Zusammenstellung Elisabeth Marti-Grädel; Gestaltung Mirjam T. Jenny.
Abb. 236:
Fotos Ludwig Berger.
Abb. 237; 238:
Zeichnungen Michael Vock.
Abb. 239:
Zusammenstellung Sandra Ammann und Peter-A. Schwarz; Gestaltung Mirjam T. Jenny.
Abb. 240:
Zeichnungen Denise Grossenbacher.
Abb. 241:
Foto Archiv Ausgrabungen Augst/Kaiseraugst.
Abb. 242:
Zusammenstellung Sandra Ammann; Gestaltung Mirjam T. Jenny.
Abb. 243:
Zeichnungen Denise Grossenbacher; Stefan Bieri (Abb. 243,894); Fotos Susanne Schenker; Gestaltung Mirjam T. Jenny.
Abb. 244:
Zusammenstellung Elisabeth Marti-Grädel; Gestaltung Mirjam T. Jenny.
Abb. 245:
Zusammenstellung Sandra Ammann und Peter-A. Schwarz; Gestaltung Mirjam T. Jenny.
Abb. 246:
Emanuel Büchel in: D. Bruckner, Versuch einer Beschreibung historischer und natürlicher Merkwürdigkeiten der Landschaft Basel (Basel 1748–1763), Antiq: Tab. I.
Abb. 247:
Foto Ludwig Berger.
Abb. 248:
Zusammenstellung Sandra Ammann; Gestaltung Mirjam T. Jenny.
Abb. 249:
Zeichnungen Denise Grossenbacher; Thomas Reiss (Abb. 249,918); Gestaltung Mirjam T. Jenny.
Abb. 250:
Zusammenstellung Elisabeth Marti-Grädel; Gestaltung Mirjam T. Jenny.
Abb. 251:
Zusammenstellung Sandra Ammann; Gestaltung Mirjam T. Jenny.
Abb. 252:
Zeichnungen Denise Grossenbacher; Sylvia Fünfschilling (Abb. 252,933); Gestaltung Mirjam T. Jenny.
Abb. 253:
Foto Aviatik beider Basel.
Abb. 254:
Foto Kantonsarchäologie Zürich.
Abb. 255; 256:
Zeichnungen Michael Vock.
Abb. 257–259:
Fotos Rudolf Laur-Belart.
Abb. 260; 261:
Zeichnungen Michael Vock.
Abb. 262; 263:
Skizzen Rudolf Laur-Belart; Ergänzungen Michael Vock.
Abb. 264; 265:
Fotos Rudolf Laur-Belart.
Abb. 266:
Skizze Rudolf Laur-Belart; Ergänzungen Michael Vock.
Abb. 267; 268:
Fotos Rudolf Laur-Belart.
Abb. 269:
Zusammenstellung Sandra Ammann; Gestaltung Mirjam T. Jenny.

Abb. 270:
Zeichnungen Christine Stierli; Fotos Susanne Schenker; Gestaltung Mirjam T. Jenny.
Abb. 271:
Zusammenstellung Sandra Ammann; Gestaltung Mirjam T. Jenny.
Abb. 272:
Zeichnungen Christine Stierli; Sylvia Fünfschilling (Abb. 272,958); Fotos Susanne Schenker; Otto Pilko (Abb. 272,948.950.963); Gestaltung Mirjam T. Jenny.
Abb. 273:
Zusammenstellung Sandra Ammann; Gestaltung Mirjam T. Jenny.
Abb. 274:
Zeichnungen Christine Stierli; Sylvia Fünfschilling (Abb. 274,983); Gestaltung Mirjam T. Jenny.
Abb. 275,A.B:
Fotos Archiv Ausgrabungen Augst/Kaiseraugst.
Abb. 276:
Zeichnung Michael Vock.
Abb. 277:
Foto Rudolf Laur-Belart.
Abb. 278:
Skizze Rudolf Laur-Belart; Ergänzungen Michael Vock.
Abb. 279:
Zeichnung Karl Stehlin.
Abb. 280:
Foto Rudolf Laur-Belart.
Abb. 281:
Zeichnung Michael Vock.
Abb. 282:
Foto Rudolf Laur-Belart.
Abb. 283:
Zusammenstellung Sandra Ammann; Gestaltung Mirjam T. Jenny.
Abb. 284:
Zeichnungen Christine Stierli; Stefan Bieri (Abb. 284,1001); Gestaltung Mirjam T. Jenny.
Abb. 285–287:
Fotos Rudolf Laur-Belart.
Abb. 288:
Zusammenstellung Peter-A. Schwarz; Fotos Hans-Peter Bauhofer; Gestaltung Mirjam T. Jenny.
Abb. 289:
Zusammenstellung Sandra Ammann; Gestaltung Mirjam T. Jenny.
Abb. 290:
Zeichnungen Christine Stierli; Fotos Susanne Schenker; Gestaltung Mirjam T. Jenny.
Abb. 291:
Nach Kaufmann-Heinimann 1998, Abb. 39; Ergänzungen Michael Vock.
Abb. 292:
Feldaufnahme Karl Stehlin; Ergänzungen Michael Vock.
Abb. 293:
Nach Kaufmann-Heinimann 1998, Abb. 105.
Abb. 294,A:
Zeichnung Michael Vock.
Abb. 294,B:
Feldaufnahme Constant Clareboets; Ergänzungen Michael Vock.
Abb. 295:
Fotos Constant Clareboets.
Abb. 296,A:
Zeichnung Michael Vock.
Abb. 296,B; 297:
Feldaufnahmen Constant Clareboets; Ergänzungen Michael Vock.
Abb. 298:
Fotos Hans Sütterlin.
Abb. 299:
Foto Susanne Schenker.
Abb. 300–302:
Zusammenstellung Sandra Ammann und Peter-A. Schwarz; Gestaltung Mirjam T. Jenny.
Abb. 303; 304:
Zusammenstellung Elisabeth Marti-Grädel; Gestaltung Mirjam T. Jenny.
Abb. 305–310:
Grafiken Elisabeth Marti-Grädel; Gestaltung Mirjam T. Jenny.
Abb. 311; 312:
Zusammenstellung Elisabeth Marti-Grädel; Gestaltung Mirjam T. Jenny.
Abb. 313:
Grafik Elisabeth Marti-Grädel; Gestaltung Mirjam T. Jenny.
Abb. 314–316:
Zusammenstellung Elisabeth Marti-Grädel; Gestaltung Mirjam T. Jenny.
Abb. 317–324:
Grafiken Elisabeth Marti-Grädel; Gestaltung Mirjam T. Jenny.
Abb. 325:
Zeichnung Michael Vock.
Abb. 326:
Zeichnung Markus Schaub.
Abb. 327:
Zeichnung Markus Schaub; Gestaltung Michael Vock.
Abb. 328:
Gestaltung Michael Vock.
Abb. 329:
Foto Susanne Schenker.
Abb. 330–333:
Zusammenstellung Sandra Ammann; Gestaltung Mirjam T. Jenny.
Abb. 334:
Foto Susanne Schenker.
Abb. 335–340:
Zusammenstellung Sandra Ammann; Gestaltung Mirjam T. Jenny.
Abb. 341; 342:
Zusammenstellung Sandra Ammann; Gestaltung Michael Vock und Mirjam T. Jenny.
Abb. 343:
Foto Susanne Schenker.
Abb. 344; 345:
Zusammenstellung Sandra Ammann; Gestaltung Mirjam T. Jenny.
Abb. 346:
Foto Susanne Schenker.
Abb. 347; 348:
Zusammenstellung Sandra Ammann; Gestaltung Mirjam T. Jenny.
Abb. 349,A:
Foto Ludwig Berger.
Abb. 349,B; 350:
Fotos Susanne Schenker.
Abb. 351:
Zusammenstellung Sandra Ammann; Gestaltung Michael Vock und Mirjam T. Jenny.
Abb. 352–360:
Zusammenstellung Sandra Ammann; Gestaltung Mirjam T. Jenny.
Abb. 361–363:
Grafiken Sandra Ammann; Gestaltung Mirjam T. Jenny.
Abb. 364:
Zusammenstellung Sandra Ammann; Gestaltung Mirjam T. Jenny.
Abb. 365:
Zusammenstellung Sandra Ammann und Peter-A. Schwarz; Gestaltung Mirjam T. Jenny.

Tabellen 1–10:
Zusammenstellungen Sandra Ammann; Gestaltung Mirjam T. Jenny.
Tabellen 11–17:
Zusammenstellungen Elisabeth Marti-Grädel; Gestaltung Mirjam T. Jenny.

Beil. 1; 2A:
Zeichnungen Michael Vock.
Beil. 2B–G:
Feldaufnahmen K. Eberhard, Ernst Trachsel und Erich Fehlmann; Ergänzungen Michael Vock.
Beil. 2H:
Feldaufnahme Constant Clareboets; Ergänzungen Michael Vock.

Konkordanzen

Konkordanz 1: Inventarnummer (Inv.) – Fundkomplexnummer (FK) – Katalognummer (Kat.)/Anmerkung (Anm.) – Ensemblezugehörigkeit (Ensemble)

Kat./Anm.: **Halbfette Zahl:** Katalognummer, Anm.: Anmerkungsnummer, **–:** Katalog ohne Nummer, leer: nicht im Katalog.

Inv.	FK	Kat./Anm.	Ensemble
1953.1	V05989	Anm. 627	
1953.2	V05989	Anm. 627	
1953.3	V05989	Anm. 627	
1953.4	V05989	Anm. 627	
1953.5	V05989	Anm. 627	
1953.6	V05989	Anm. 627	
1953.7	V05989	Anm. 627	
1953.8	V05989	Anm. 627	
1953.9	V05989	Anm. 627	
1953.10	V05989	Anm. 627	
1953.11	V05989	Anm. 627	
1953.12	V05989	Anm. 627	
1953.13	V05989	Anm. 627	
1953.14	V05989	Anm. 627	
1953.15	V05989	Anm. 627	
1953.16	V05989	Anm. 627	
1953.17	V05989	Anm. 627	
1953.18	V05989	Anm. 627	
1953.19	V05989	Anm. 627	
1953.20	V05989	Anm. 627	
1953.21	V05989	Anm. 627	
1953.22	V05989	Anm. 627	
1953.23	V05989	Anm. 627	
1953.24	V05989	Anm. 627	
1953.25	V05990	Anm. 627	
1953.26	V05990	Anm. 627	
1953.27	V05990	Anm. 627	
1953.28	V05990	Anm. 627	
1953.29	V05990	Anm. 627	
1953.30	V05990	Anm. 627	
1954.74	V05368	**945**	H7-2
1954.75	V05368		H7-2
1954.76	V05368	**946**	H7-2
1954.77	V05368	**946**	H7-2
1954.78	V05368	**945**	H7-2
1954.79	V05368	**947**	H7-2
1954.80	V05368	**948**	H7-2
1954.81	V05368		H7-2
1954.82	V05368	**950**	H7-2
1954.83	V05368	**949**	H7-2
1954.84	V05368	**951**	H7-2
1954.85	V05368	**944**	H7-2
1954.86	V05368	**944**	H7-2
1954.87	V05368		H7-2
1954.88	V05368		H7-2
1954.89	V05368		H7-2
1954.90	V05368		H7-2

Inv.	FK	Kat./Anm.	Ensemble
1954.91	V05368	**946**	H7-2
1954.92	V05368		H7-2
1954.93	V05368	**953**	H7-2
1954.94	V05368		H7-2
1954.95	V05368	**952**	H7-2
1954.96	V05368		H7-2
1954.97	V05368		H7-2
1954.98	V05368		H7-2
1954.99	V05368		H7-2
1954.100	V05368	**955**	H7-2
1954.101	V05368	**953**	H7-2
1954.102	V05368		H7-2
1954.103	V05368	**957**	H7-2
1954.104	V05368	**957**	H7-2
1954.105	V05368	**957**	H7-2
1954.106	V05368		H7-2
1954.107	V05368		H7-2
1954.108	V05368		H7-2
1954.109	V05368		H7-2
1954.110	V05368		H7-2
1954.111	V05368		H7-2
1954.112	V05368		H7-2
1954.113	V05368		H7-2
1954.114	V05368		H7-2
1954.115	V05368	**956**	H7-2
1954.116	V05368	**960**	H7-2
1954.117	V05368	**975**	H7-2
1954.118	V05368	**959**	H7-2
1954.119	V05368	**958**	H7-2
1954.120	V05368	**963**	H7-2
1954.121	V05368	**961**	H7-2
1954.122	V05368	962	H7-2
1954.123	V05368		H7-2
1954.124	V05368		H7-2
1954.125	V05368	**966**	H7-2
1954.126	V05368	**964**	H7-2
1954.127	V05368	–	H7-2
1954.128	V05369	**969**	H8–11
1954.129	V05369	**968**	H8–11
1954.130	V05369		H8–11
1954.131	V05369	**982**	H8–11
1954.132	V05369	**977**	H8–11
1954.133	V05369	**977**	H8–11
1954.134	V05369	**978**	H8–11
1954.135	V05369	**979**	H8–11
1954.136	V05369	**980**	H8–11
1954.137	V05369		H8–11

Inv.	FK	Kat./Anm.	Ensemble
1954.138	V05369		H8–11
1954.139	V05369	**972**	H8–11
1954.140	V05369		H8–11
1954.141	V05369	**971**	H8–11
1954.142	V05369	**974**	H8–11
1954.143	V05369	**981**	H8–11
1954.144	V05369		H8–11
1954.145	V05369	**976**	H8–11
1954.146	V05369	**975**	H8–11
1954.147	V05369	**967**	H8–11
1954.148	V05369	**967**	H8–11
1954.149	V05369	**973**	H8–11
1954.150	V05369	**987**	H8–11
1954.151	V05369	**988**	H8–11
1954.152	V05369	–	H8–11
1954.152a	V05369	**986**	H8–11
1954.153	V05369	**983**	H8–11
1954.154	V05369	–	H8–11
1954.155	V05369	**985**	H8–11
1954.155A	V05369	–	H8–11
1954.180	V05370	**994**	R2/9–11
1954.181	V05370	**992**	R2/9–11
1954.182	V05370		R2/9–11
1954.183	V05370	**994**	R2/9–11
1954.184	V05370		R2/9–11
1954.185	V05370		R2/9–11
1954.186	V05370		R2/9–11
1954.187	V05370	**997**	R2/9–11
1954.188	V05370		R2/9–11
1954.189	V05370	**995**	R2/9–11
1954.190	V05370	**995**	R2/9–11
1954.191	V05370		R2/9–11
1954.192	V05370		R2/9–11
1954.193	V05370		R2/9–11
1954.194	V05370	**1002**	R2/9–11
1954.195	V05370		R2/9–11
1954.196	V05370		R2/9–11
1954.197	V05370	**1003**	R2/9–11
1954.198	V05370	**1000**	R2/9–11
1954.272	V05371	**934**	H7-1
1954.273	V05371	**936**	H7-1
1954.274	V05371	**935**	H7-1
1954.275	V05371		H7-1
1954.276	V05371		H7-1
1954.277	V05371		H7-1
1954.278	V05371		H7-1
1954.279	V05371		H7-1
1954.280	V05371		H7-1
1954.281	V05371		H7-1
1954.282	V05371	**937**	H7-1
1954.283	V05371		H7-1
1954.284	V05371		H7-1
1954.285	V05371	**939**	H7-1
1954.286	V05371		H7-1
1954.287	V05371		H7-1
1954.288	V05371	**940**	H7-1
1954.289	V05371	**940**	H7-1
1954.290	V05371		H7-1
1954.291	V05371	**941**	H7-1
1954.292	V05371		H7-1
1954.293	V05371	**938**	H7-1
1954.294	V05371		H7-1

Inv.	FK	Kat./Anm.	Ensemble
1954.295	V05371	**942**	H7-1
1954.296	V05371	**943**	H7-1
1954.297	V05371	–	H7-1
1954.298	V05372	**989**	R2/9–11
1954.299	V05372	**993**	R2/9–11
1954.300	V05372	**991**	R2/9–11
1954.301	V05372	**990**	R2/9–11
1954.302	V05372		R2/9–11
1954.303	V05372		R2/9–11
1954.304	V05372	**996**	R2/9–11
1954.305	V05372		R2/9–11
1954.306	V05372		R2/9–11
1954.307	V05372		R2/9–11
1954.308	V05372		R2/9–11
1954.309	V05372		R2/9–11
1954.310	V05372		R2/9–11
1954.311	V05372		R2/9–11
1954.312	V05372	**998**	R2/9–11
1954.313	V05372		R2/9–11
1954.314	V05372		R2/9–11
1954.315	V05372		R2/9–11
1954.316	V05372		R2/9–11
1954.317	V05372		R2/9–11
1954.318	V05372	**1001**	R2/9–11
1954.379	V05947	**954**	H7-2
1954.380	V05947		H7-2
1954.384	V05373	**970**	H8–11
1954.385	V05373		H8–11
1954.386	V05373	**984**	H8–11
1954.392	V05374	**1005**	R3/9–11
1954.393	V05374	**1004**	R3/9–11
1954.394	V05374		R3/9–11
1954.395	V05374		R3/9–11
1954.396	V05374		R3/9–11
1954.397	V05374		R3/9–11
1954.398	V05374		R3/9–11
1954.399	V05374		R3/9–11
1954.400	V05374	**1006**	R3/9–11
1954.401	V05374		R3/9–11
1954.402	V05374	**1007**	R3/9–11
1954.403a.b	V05374	**1008**	R3/9–11
1954.404	V05374	**1012**	R3/9–11
1954.405	V05374	**1011**	R3/9–11
1954.406	V05374	**1010**	R3/9–11
1954.407	V05374	**1009**	R3/9–11
1954.408	V05374		R3/9–11
1954.409	V05374	**1013**	R3/9–11
1954.438	V05375	**965**	H7-2
1954.471	V05376	**999**	R2/9–11
1965.3176	X04717	**756**	HL11
1965.3177	X04717	**756**	HL11
1965.3178	X04717		HL11
1965.3179	X04717	**756**	HL11
1965.3180	X04717	**753**	HL11
1965.3181	X04717		HL11
1965.3182	X04717		HL11
1965.3183	X04717		HL11
1965.3184	X04717		HL11
1965.3185	X04717	**765**	HL11
1965.3186	X04717		HL11
1965.3187	X04717		HL11
1965.3188	X04717		HL11

Inv.	FK	Kat./Anm.	Ensemble
1965.3189	X04717		HL11
1965.3190	X04717	**759**	HL11
1965.3191	X04717	**769**	HL11
1965.3192	X04717	**766**	HL11
1965.3193	X04717		HL11
1965.3194	X04717		HL11
1965.3195	X04717		HL11
1965.3196	X04717		HL11
1965.3197	X04717		HL11
1965.3198	X04717		HL11
1965.3199	X04717		HL11
1965.3200	X04717	**777**	HL11
1965.3201	X04717		HL11
1965.3202	X04717		HL11
1965.3203	X04717		HL11
1965.3204	X04717		HL11
1965.3205	X04717		HL11
1965.3206	X04717		HL11
1965.3207	X04717		HL11
1965.3208	X04717		HL11
1965.3209	X04717		HL11
1965.3210	X04717		HL11
1965.3211	X04717		HL11
1965.3212	X04717		HL11
1965.3213	X04717		HL11
1965.3214	X04717	**774**	HL11
1965.3215b	X04717	**775**	HL11
1965.3297	X04717		HL11
1965.3298	X04717		HL11
1965.3299	X04717		HL11
1965.3300	X04717		HL11
1965.3301	X04717		HL11
1965.3302	X04717		HL11
1965.3303	X04717		HL11
1965.3304	X04717		HL11
1965.3305	X04717		HL11
1965.3306	X04717		HL11
1965.3307	X04717		HL11
1965.3308	X04717		HL11
1965.3309	X04714	**750**	HL11
1965.3310	X04714		HL11
1965.3311	X04714		HL11
1965.3312	X04714		HL11
1965.3313a.c–f.h.i	X04714	**762**	HL11
1965.3314	X04714		HL11
1965.3315	X04714		HL11
1965.3316a	X04714	**761**	HL11
1965.3317	X04714		HL11
1965.3318	X04714	**784**	HL11
1965.3319	X04714		HL11
1965.3320	X04714		HL11
1965.3321	X04714		HL11
1965.3322	X04714		HL11
1965.3323	X04714		HL11
1965.3324	X04714		HL11
1965.3325	X04714		HL11
1965.3326	X04714		HL11
1965.3327	X04714	**779**	HL11
1965.3328	X04714		HL11
1965.3329	X04714		HL11
1965.3330	X04714		HL11
1965.3331	X04714		HL11

Inv.	FK	Kat./Anm.	Ensemble
1965.3332	X04714		HL11
1965.3333	X04714		HL11
1965.3334	X04714		HL11
1965.3335	X04714		HL11
1965.3336	X04714		HL11
1965.3337	X04714		HL11
1965.3338	X04714		HL11
1965.3339	X04714		HL11
1965.3340	X04714	**793**	HL11
1965.3341	X04714		HL11
1965.3342	X04714		HL11
1965.3343	X04714		HL11
1965.3344	X04714		HL11
1965.3345	X04714		HL11
1965.3346	X04714	**772**	HL11
1965.3347	X04714		HL11
1965.3348	X04714		HL11
1965.3349	X04714		HL11
1965.3350	X04714	–	HL11
1965.3351	X04714	–	HL11
1965.3633	X04739	–	A14
1965.3634	X04739	–	A14
1965.3635	X04739	–	A14
1965.3636	X04739	**837**	A14
1965.3637	X04739	**838**	A14
1965.3638	X04739		A14
1965.3639	X04739		A14
1965.3640	X04739	**840**	A14
1965.3641	X04739	**839**	A14
1965.3669	X04602		A11-OG
1965.3670	X04602		A11-OG
1965.3671	X04602	**588**	A11-OG
1965.3672	X04602	**582**	A11-OG
1965.3673	X04602		A11-OG
1965.3674	X04602		A11-OG
1965.3675	X04602	**550**	A11-OG
1965.3676	X04602		A11-OG
1965.3677	X04602		A11-OG
1965.3678	X04602		A11-OG
1965.3745	X04734		C5
1965.3746	X04734		C5
1965.3747	X04734		C5
1965.3748	X04734	**107**	C5
1965.3749	X04734		C5
1965.3750	X04734		C5
1965.3751	X04734		C5
1965.3752	X04734		C5
1965.3753	X04734		C5
1965.3754	X04734	**110**	C5
1965.3755	X04734	**121**	C5
1965.3760	X04601		A11-OG
1965.3761	X04601		A11-OG
1965.3762	X04601		A11-OG
1965.3763	X04601		A11-OG
1965.3764	X04601		A11-OG
1965.3765	X04601		A11-OG
1965.3766	X04601		A11-OG
1965.3767	X04601	**744**	A11-OG
1965.3768	X04750		A11-OG
1965.3769	X04750		A11-OG
1965.3770	X04750		A11-OG
1965.3771	X04750		A11-OG

Inv.	FK	Kat./Anm.	Ensemble
1965.3784	X04747		C13
1965.3785	X04747		C13
1965.3803	X04716		A11-OG
1965.3804	X04716		A11-OG
1965.3805	X04716		A11-OG
1965.3806	X04716		A11-OG
1965.3807	X04716		A11-OG
1965.3808	X04716	**683**	A11-OG
1965.3809	X04716		A11-OG
1965.3918	X04712	–	HL6
1965.3919	X04712		HL6
1965.4016	X04606	**510**	A11-OG
1965.4017	X04606		A11-OG
1965.4018	X04606	**497**	A11-OG
1965.4019	X04606		A11-OG
1965.4020	X04606	**512**	A11-OG
1965.4021	X04606	**539**	A11-OG
1965.4022	X04606		A11-OG
1965.4023	X04606	**517**	A11-OG
1965.4024	X04606		A11-OG
1965.4025	X04606		A11-OG
1965.4026	X04606		A11-OG
1965.4027	X04606		A11-OG
1965.4028	X04606		A11-OG
1965.4029	X04606		A11-OG
1965.4030	X04606		A11-OG
1965.4031	X04606		A11-OG
1965.4032	X04606		A11-OG
1965.4033	X04606		A11-OG
1965.4034	X04606		A11-OG
1965.4035	X04606		A11-OG
1965.4036	X04606		A11-OG
1965.4037	X04606		A11-OG
1965.4038	X04606		A11-OG
1965.4039	X04606		A11-OG
1965.4040	X04606		A11-OG
1965.4041	X04606		A11-OG
1965.4085	X04627		A11-OG
1965.4086	X04627		A11-OG
1965.4087	X04627	**523**	A11-OG
1965.4088	X04627		A11-OG
1965.4089	X04627		A11-OG
1965.4090	X04627		A11-OG
1965.4091	X04627		A11-OG
1965.4092	X04627		A11-OG
1965.4093	X04627		A11-OG
1965.4094	X04627		A11-OG
1965.4095	X04627		A11-OG
1965.4096	X04627	**606**	A11-OG
1965.4097	X04627	**630**	A11-OG
1965.4098	X04627	–	A11-OG
1965.4099	X04621		A11-OG
1965.4100	X04621		A11-OG
1965.4101	X04621		A11-OG
1965.4102	X04621		A11-OG
1965.4103	X04621		A11-OG
1965.4104	X04621		A11-OG
1965.4105	X04621		A11-OG
1965.4106	X04621	**604**	A11-OG
1965.4107	X04621		A11-OG
1965.4108	X04737		C6
1965.4109	X04737		C6

Inv.	FK	Kat./Anm.	Ensemble
1965.4110	X04737		C6
1965.4111	X04737		C6
1965.4112	X04710	**214**	C7
1965.4113	X04710		C7
1965.4114	X04710		C7
1965.4115	X04710	**215**	C7
1965.4116	X04710		C7
1965.4117	X04710	**216**	C7
1965.4118	X04710	**219**	C7
1965.4122	X04731		C7
1965.4123	X04731		C7
1965.4124	X04731		C7
1965.4125	X04731	**217**	C7
1965.4126	X04731	**218**	C7
1965.4169	X04713	**104**	C5
1965.4170	X04713	**102**	C5
1965.4171	X04713		C5
1965.4172	X04713		C5
1965.4173	X04713		C5
1965.4174	X04713	**115**	C5
1965.4175	X04713	**124**	C5
1965.4203	X04718	**100**	C5
1965.4204	X04718		C5
1965.4205	X04718	**103**	C5
1965.4206	X04718	**106**	C5
1965.4207	X04718		C5
1965.4208	X04718		C5
1965.4209	X04718	**109**	C5
1965.4210	X04718	**113**	C5
1965.4216	X04624		A11-OG
1965.4217	X04624		A11-OG
1965.4218	X04624		A11-OG
1965.4219	X04624		A11-OG
1965.4220	X04624		A11-OG
1965.4221	X04624		A11-OG
1965.4222	X04624		A11-OG
1965.4223	X04624		A11-OG
1965.4224	X04624	**574**	A11-OG
1965.4225	X04624		A11-OG
1965.4226	X04624		A11-OG
1965.4227	X04624	**740**	A11-OG
1965.4228	X04624	–	A11-OG
1965.4229	X04624	–	A11-OG
1965.4291	X04628		A11-OG
1965.4292	X04628	**546**	A11-OG
1965.4293	X04628		A11-OG
1965.4294	X04628		A11-OG
1965.4295	X04628	–	A11-OG
1965.4296	X04628	**614**	A11-OG
1965.4297	X04628	**615**	A11-OG
1965.4311	X04724	**194**	HL6
1965.4312	X04724	–	HL6
1965.4364	X04715		A11-OG
1965.4365	X04715		A11-OG
1965.4366	X04715		A11-OG
1965.4367	X04715		A11-OG
1965.4368	X04715		A11-OG
1965.4369	X04715		A11-OG
1965.4370	X04715		A11-OG
1965.4371	X04715		A11-OG
1965.4372	X04728		HL2
1965.4373	X04728		HL2

Inv.	FK	Kat./Anm.	Ensemble
1965.4374	X04728	**12**	HL2
1965.4397a–e	X04628	**605**	A11-OG
1965.4437	X04614		A11-OG
1965.4438	X04614		A11-OG
1965.4439	X04614		A11-OG
1965.4640	X04639		A11-OG
1965.4652A	X04652	**619**	A11-OG
1965.4828	X04648		A11-OG
1965.4829	X04648		A11-OG
1965.4830	X04648		A11-OG
1965.4831	X04648		A11-OG
1965.4832	X04648	**535**	A11-OG
1965.4833	X04648		A11-OG
1965.4834	X04648		A11-OG
1965.4835	X04648	**516**	A11-OG
1965.4836a.b	X04648	**560**	A11-OG
1965.4837	X04648		A11-OG
1965.4838	X04648	**540**	A11-OG
1965.4839	X04648	**556**	A11-OG
1965.4840	X04648	**559**	A11-OG
1965.4841	X04648	**577**	A11-OG
1965.4842	X04648		A11-OG
1965.4843	X04648		A11-OG
1965.4844	X04648	**577**	A11-OG
1965.4845	X04648	**577**	A11-OG
1965.4846	X04648		A11-OG
1965.4847	X04648		A11-OG
1965.4848	X04648	**544**	A11-OG
1965.4849	X04648		A11-OG
1965.4850	X04648	**725**	A11-OG
1965.4881	X04644		A11-OG
1965.4882	X04644		A11-OG
1965.4883	X04644		A11-OG
1965.4884	X04644		A11-OG
1965.4885	X04644		A11-OG
1965.4886	X04644	**598**	A11-OG
1965.4887	X04644	**597**	A11-OG
1965.4888	X04644	**543**	A11-OG
1965.4889	X04644		A11-OG
1965.4890	X04644		A11-OG
1965.4891	X04644		A11-OG
1965.4907	X04636		A11-OG
1965.4908	X04636		A11-OG
1965.4909	X04636		A11-OG
1965.4923	X04645		C13
1965.4924	X04645		C13
1965.4925	X04645		C13
1965.4926	X04645		C13
1965.4927	X04645		C13
1965.4928	X04645		C13
1965.4929	X04645		C13
1965.4930	X04645		C13
1965.4931	X04645		C13
1965.5084	X04650		A11-OG
1965.5085	X04650		A11-OG
1965.5086	X04650		A11-OG
1965.5087	X04650		A11-OG
1965.5088	X04650		A11-OG
1965.5089	X04650		A11-OG
1965.5090	X04650		A11-OG
1965.5091	X04650		A11-OG
1965.5092	X04650		A11-OG

Inv.	FK	Kat./Anm.	Ensemble
1965.5093	X04650		A11-OG
1965.5094	X04650	**694**	A11-OG
1965.5230	X04649	**274**	A8
1965.5248	X04663		A15
1965.5249	X04663		A15
1965.5250	X04663		A15
1965.5251	X04663	**901**	A15
1965.5252	X04663	**910**	A15
1965.5253	X04663		A15
1965.5254	X04663		A15
1965.5255	X04663	**909**	A15
1965.5256	X04663		A15
1965.5257	X04663		A15
1965.5258	X04663		A15
1965.5259	X04663		A15
1965.5260	X04663	**905**	A15
1965.5261	X04663	**914**	A15
1965.5262	X04663		A15
1965.5263	X04663	**920**	A15
1965.5264	X04663	**917**	A15
1965.5320	X04649	**233**	A8
1965.5321	X04649	**236**	A8
1965.5322	X04649		A8
1965.5323	X04649		A8
1965.5324	X04649		A8
1965.5325	X04649		A8
1965.5326	X04649	**265**	A8
1965.5327	X04649	**246**	A8
1965.5328	X04649	**260**	A8
1965.5328A	X04649	**531**	A8
1965.5329	X04649		A8
1965.5330	X04649		A8
1965.5331	X04649		A8
1965.5332	X04658		A11-OG
1965.5333	X04658	**503**	A11-OG
1965.5334	X04658		A11-OG
1965.5335	X04658	**518**	A11-OG
1965.5336	X04658		A11-OG
1965.5337	X04658	**520**	A11-OG
1965.5338	X04658		A11-OG
1965.5339	X04658		A11-OG
1965.5340	X04658		A11-OG
1965.5341	X04658		A11-OG
1965.5342	X04658		A11-OG
1965.5343	X04658		A11-OG
1965.5344	X04658		A11-OG
1965.5345	X04658		A11-OG
1965.5346	X04658		A11-OG
1965.5347	X04658	**637**	A11-OG
1965.5348	X04658	**646**	A11-OG
1965.5349	X04658	**647**	A11-OG
1965.5350	X04658	–	A11-OG
1965.5351	X04658	**663**	A11-OG
1965.5352	X04652		A11-OG
1965.5353	X04659		A11-OG
1965.5354	X04659		A11-OG
1965.5355	X04659		A11-OG
1965.5356	X04659		A11-OG
1965.5357	X04625	**191**	HL6
1965.5358	X04625		HL6
1965.5359	X04625	**192**	HL6
1965.5360	X04625		HL6

Inv.	FK	Kat./Anm.	Ensemble
1965.5361	X04625	**193**	HL6
1965.5409	X04639		A11-OG
1965.5410	X04639		A11-OG
1965.5411	X04639		A11-OG
1965.5412	X04639	**530**	A11-OG
1965.5413	X04639		A11-OG
1965.5414	X04639		A11-OG
1965.5415a–n	X04639	**592**	A11-OG
1965.5416	X04639		A11-OG
1965.5417	X04639		A11-OG
1965.5418a–c	X04639	**598**	A11-OG
1965.5419	X04639	**692**	A11-OG
1965.5420	X04639	**691**	A11-OG
1965.5421	X04639	–	A11-OG
1965.5498	X04652		A11-OG
1965.5499	X04652		A11-OG
1965.5500	X04652	**502**	A11-OG
1965.5501	X04652	**493**	A11-OG
1965.5502	X04652		A11-OG
1965.5503	X04652		A11-OG
1965.5504	X04652		A11-OG
1965.5505	X04652		A11-OG
1965.5506	X04652		A11-OG
1965.5507	X04652		A11-OG
1965.5508	X04652		A11-OG
1965.5509	X04652		A11-OG
1965.5510	X04652		A11-OG
1965.5511	X04652		A11-OG
1965.5512	X04652	**537**	A11-OG
1965.5513	X04652		A11-OG
1965.5514	X04652		A11-OG
1965.5515	X04652	**522**	A11-OG
1965.5516	X04652		A11-OG
1965.5517	X04652		A11-OG
1965.5518	X04652		A11-OG
1965.5519	X04652	**532**	A11-OG
1965.5520	X04652	**526**	A11-OG
1965.5521	X04652		A11-OG
1965.5522	X04652		A11-OG
1965.5523	X04652		A11-OG
1965.5524	X04652		A11-OG
1965.5525	X04652		A11-OG
1965.5526	X04652		A11-OG
1965.5527	X04652		A11-OG
1965.5528	X04652		A11-OG
1965.5529	X04652		A11-OG
1965.5530	X04652	**563**	A11-OG
1965.5531	X04652		A11-OG
1965.5532	X04652	**584**	A11-OG
1965.5533	X04652		A11-OG
1965.5534	X04652		A11-OG
1965.5535	X04652		A11-OG
1965.5536	X04652		A11-OG
1965.5537	X04652		A11-OG
1965.5538	X04652	**628**	A11-OG
1965.5539	X04652	**620**	A11-OG
1965.5580	X04639	**657**	A11-OG
1965.5939	X04649	**273**	A8
1965.5940	X04649	**267**	A8
1965.5941	X04649	**270**	A8
1965.7827	X04664	**498**	A11-OG
1965.7828	X04664	**598**	A11-OG

Inv.	FK	Kat./Anm.	Ensemble
1965.7829	X04664	**729**	A11-OG
1966.879	X04682	**682**	A11-OG
1966.880	X04682	**686**	A11-OG
1966.881	X04674	**666**	A11-OG
1966.882	X04674	**667**	A11-OG
1966.883	X04675	**665**	A11-OG
1966.883A.E	X04675	–	A11-OG
1966.883B	X04675		A11-OG
1966.883C	X04675		A11-OG
1966.883D	X04675		A11-OG
1966.884	X04675	**739**	A11-OG
1966.885	X04675	**734**	A11-OG
1966.886	X04675	**736**	A11-OG
1966.887	X04675	**735**	A11-OG
1966.888	X04675	**733**	A11-OG
1966.889	X04675	**733A**	A11-OG
1966.890	X04675	**738**	A11-OG
1966.891	X04675	–	A11-OG
1966.892a.c	X04675	–	A11-OG
1966.893	X04675	**737**	A11-OG
1966.894	X04675	–	A11-OG
1966.895	X04675		A11-OG
1966.896	X04675		A11-OG
1966.897	X04675		A11-OG
1966.898	X04675		A11-OG
1966.899	X04675		A11-OG
1966.900	X04675		A11-OG
1966.901	X04669		A11-OG
1966.902	X04669		A11-OG
1966.903	X04669		A11-OG
1966.904	X04669		A11-OG
1966.905	X04669		A11-OG
1966.906a–c	X04669	**600**	A11-OG
1966.940	X04677	**500**	A11-OG
1966.941	X04677		A11-OG
1966.942	X04677		A11-OG
1966.943	X04677		A11-OG
1966.944	X04677	**499**	A11-OG
1966.945	X04677		A11-OG
1966.946	X04677		A11-OG
1966.947	X04677		A11-OG
1966.948	X04677		A11-OG
1966.949	X04677		A11-OG
1966.950	X04677		A11-OG
1966.951	X04677		A11-OG
1966.952	X04677	–	A11-OG
1966.953	X04677		A11-OG
1966.954	X04677		A11-OG
1966.955	X04677		A11-OG
1966.956	X04677	**551**	A11-OG
1966.957	X04677		A11-OG
1966.958	X04677		A11-OG
1966.959	X04677		A11-OG
1966.960	X04677		A11-OG
1966.961	X04677		A11-OG
1966.962	X04677	**547**	A11-OG
1966.963	X04677		A11-OG
1966.964	X04677		A11-OG
1966.965	X04677		A11-OG
1966.966a–d	X04677	**599**	A11-OG
1966.967	X04677		A11-OG
1966.968	X04677		A11-OG

Inv.	FK	Kat./Anm.	Ensemble
1966.969	X04677	–	A11-OG
1966.970	X04677	**728**	A11-OG
1966.971	X04677	–	A11-OG
1966.972	X04666		A15
1966.973	X04666	**899**	A15
1966.974	X04666	**896**	A15
1966.975	X04666		A15
1966.976	X04666		A15
1966.977	X04666		A15
1966.978	X04666		A15
1966.979	X04666		A15
1966.980	X04666	**904**	A15
1966.981	X04666	**902**	A15
1966.982	X04666		A15
1966.983	X04666		A15
1966.984	X04666	**912**	A15
1966.985	X04666		A15
1966.986	X04666	**908**	A15
1966.987	X04666		A15
1966.988	X04666		A15
1966.989	X04666	**911**	A15
1966.990	X04666		A15
1966.991	X04666		A15
1966.992	X04666		A15
1966.993	X04666		A15
1966.994	X04666		A15
1966.995	X04666		A15
1966.996	X04666	–	A15
1966.998	X04671	**514**	A11-OG
1966.999	X04671		A11-OG
1966.1000	X04671		A11-OG
1966.1001	X04671		A11-OG
1966.1002	X04671		A11-OG
1966.1003	X04671		A11-OG
1966.2021	X04699	**685**	A11-OG
1966.2022	X04699	**684**	A11-OG
1966.2023	X04699	–	A11-OG
1966.2024	X04699	–	A11-OG
1966.2025	X04699	–	A11-OG
1966.2671	X04668	**618**	A11-OG
1966.2997	X06227		D14
1966.2998	X06227		D14
1966.2999	X06227		D14
1966.3000	X06227	**873**	D14
1966.3001	X06227		D14
1966.3002	X06227		D14
1966.3003	X06227		D14
1966.3004	X06227		D14
1966.3005	X06227		D14
1966.3006	X06227	**885**	D14
1966.3007	X06227	–	D14
1966.3029	X06230		HL2
1966.3030	X06230		HL2
1966.3031	X06230		HL2
1966.3032	X06230		HL2
1966.3033	X06230		HL2
1966.3034	X06230		HL2
1966.3049	X06244	**99**	C5
1966.3050	X06244		C5
1966.3051	X06244		C5
1966.3052	X06244	**112**	C5
1966.3053	X06244		C5

Inv.	FK	Kat./Anm.	Ensemble
1966.3054	X06244		C5
1966.3055	X06244	–	C5
1966.3056	X06244	–	C5
1966.3057	X06244		C5
1966.3058	X06244	–	C5
1966.3059	X06244		C5
1966.3093	X06203	**222**	HL7
1966.3094	X06203	**220**	HL7
1966.3095	X06203	**221**	HL7
1966.3096	X06203		HL7
1966.3097	X06203		HL7
1966.3098	X06203	**228**	HL7
1966.3099	X06203	**225**	HL7
1966.3100	X06203	**224**	HL7
1966.3101	X06203		HL7
1966.3102	X06203		HL7
1966.3103	X06203		HL7
1966.3104	X06203	**223**	HL7
1966.3105	X06217		D14
1966.3106	X06217		D14
1966.3107	X06217		D14
1966.3108	X06217		D14
1966.3109	X06217		D14
1966.3110	X06217		D14
1966.3111	X06217		D14
1966.3112	X06217		D14
1966.3113	X06217	**850**	D14
1966.3114	X06217		D14
1966.3115	X06217		D14
1966.3116	X06217		D14
1966.3117	X06217		D14
1966.3118	X06217		D14
1966.3119	X06217		D14
1966.3120	X06217	**866**	D14
1966.3121	X06217		D14
1966.3122	X06217	**860**	D14
1966.3123	X06217		D14
1966.3124	X06217		D14
1966.3125	X06217		D14
1966.3126	X06217		D14
1966.3127	X06217	**883**	D14
1966.3128	X06217		D14
1966.3129	X06217	–	D14
1966.3176	X06214		HL11
1966.3177	X06214		HL11
1966.3178	X06214		HL11
1966.3179	X06214		HL11
1966.3180	X06214		HL11
1966.3181a–d	X06214	**756**	HL11
1966.3182	X06214		HL11
1966.3183	X06214	**758**	HL11
1966.3184	X06214		HL11
1966.3185	X06214		HL11
1966.3186	X06214	**771**	HL11
1966.3187	X06214		HL11
1966.3188	X06214		HL11
1966.3189	X06214		HL11
1966.3190	X06214		HL11
1966.3191	X06214		HL11
1966.3192	X06214		HL11
1966.3193	X06214		HL11
1966.3194	X06214		HL11

Inv.	FK	Kat./Anm.	Ensemble
1966.3195	X06214		HL11
1966.3196	X06214		HL11
1966.3197	X06214		HL11
1966.3198	X06214		HL11
1966.3199	X06214		HL11
1966.3200	X06214		HL11
1966.3201	X06214		HL11
1966.3202	X06214		HL11
1966.3203	X06214		HL11
1966.3204	X06214		HL11
1966.3205	X06214	**767**	HL11
1966.3206	X06214		HL11
1966.3207	X06214		HL11
1966.3208	X06214	**773**	HL11
1966.3209	X06214		HL11
1966.3210	X06214	**785**	HL11
1966.3211	X06214	**783**	HL11
1966.3212	X06214		HL11
1966.3213a–d	X06214	**776**	HL11
1966.3214	X06214		HL11
1966.3215	X06214		HL11
1966.3216	X06214		HL11
1966.3217	X06214		HL11
1966.3218	X06214		HL11
1966.3219	X06214		HL11
1966.3220	X06214		HL11
1966.3221	X06214		HL11
1966.3222	X06214	**775**	HL11
1966.3223	X06214		HL11
1966.3224	X06214		HL11
1966.3225	X06214		HL11
1966.3226	X06214		HL11
1966.3227	X06214		HL11
1966.3228	X06214		HL11
1966.3229	X06214		HL11
1966.3230	X06214		HL11
1966.3231	X06214		HL11
1966.3232a.b	X06214	**770**	HL11
1966.3233	X06214	**781**	HL11
1966.3234	X06214		HL11
1966.3237	X06228		D14
1966.3238	X06228		D14
1966.3239	X06228	**843**	D14
1966.3240	X06228		D14
1966.3241	X06228		D14
1966.3242	X06228		D14
1966.3243	X06228		D14
1966.3244	X06228		D14
1966.3245	X06228		D14
1966.3246	X06228		D14
1966.3247	X06228	**847**	D14
1966.3248	X06228		D14
1966.3249	X06228		D14
1966.3250	X06228		D14
1966.3251	X06228		D14
1966.3252	X06228		D14
1966.3253	X06228		D14
1966.3254	X06228		D14
1966.3255	X06228		D14
1966.3256	X06228		D14
1966.3257	X06228		D14
1966.3258	X06228		D14

Inv.	FK	Kat./Anm.	Ensemble
1966.3259	X06228		D14
1966.3260	X06228	**849**	D14
1966.3261	X06228		D14
1966.3262	X06228		D14
1966.3263	X06228		D14
1966.3264	X06228		D14
1966.3265	X06228		D14
1966.3266	X06228		D14
1966.3267	X06228		D14
1966.3268	X06228	–	D14
1966.3269	X06228		D14
1966.3270	X06228	**884**	D14
1966.3271	X06228	**861**	D14
1966.3272	X06228	**859**	D14
1966.3273	X06228		D14
1966.3274	X06228		D14
1966.3275	X06228	**891**	D14
1966.3276	X06228	–	D14
1966.3277	X06228	**892**	D14
1966.3278	X06228	**892**	D14
1966.3279	X06228	**894**	D14
1966.3280	X04691		D14
1966.3281	X04691	**845**	D14
1966.3282	X04691		D14
1966.3283	X04691		D14
1966.3284	X04691		D14
1966.3285	X04691		D14
1966.3286	X04691		D14
1966.3287	X04691		D14
1966.3288a	X04691	**842**	D14
1966.3289	X04691		D14
1966.3290	X04691		D14
1966.3291	X04691		D14
1966.3292	X04691		D14
1966.3293a–f	X04691	**858**	D14
1966.3294	X04691		D14
1966.3295	X04691		D14
1966.3296	X04691		D14
1966.3297	X04691		D14
1966.3298	X04691		D14
1966.3299a.b	X04691	**855**	D14
1966.3299e	X04691	**854**	D14
1966.3300	X04691		D14
1966.3301	X04691		D14
1966.3302	X04691		D14
1966.3303	X04691		D14
1966.3304	X04691		D14
1966.3305	X04691		D14
1966.3306	X04691	**882**	D14
1966.3307	X04691		D14
1966.3308	X04691		D14
1966.3309	X04691		D14
1966.3310	X04691		D14
1966.3311	X04691		D14
1966.3312	X04691		D14
1966.3313	X04691	**866**	D14
1966.3314	X04691		D14
1966.3315	X04691		D14
1966.3316	X04691	**865**	D14
1966.3317b	X04691	**867**	D14
1966.3318	X04691		D14
1966.3319	X04691		D14

Inv.	FK	Kat./Anm.	Ensemble
1966.3320	X04691		D14
1966.3321	X04691		D14
1966.3322	X04691	**872**	D14
1966.3323	X04691		D14
1966.3324	X04691		D14
1966.3325	X04691		D14
1966.3326	X04691	**870**	D14
1966.3327	X04691		D14
1966.3328	X04691		D14
1966.3329	X04691		D14
1966.3330	X04691		D14
1966.3331	X04691		D14
1966.3332	X04691		D14
1966.3333	X04691		D14
1966.3334	X04691	**888**	D14
1966.3335	X04691	**886**	D14
1966.3336	X04691		D14
1966.3337	X04691	**862**	D14
1966.3338	X04691		D14
1966.3339	X04691		D14
1966.3340	X04691		D14
1966.3341	X04691	**893**	D14
1966.3342	X04691	–	D14
1966.3343	X04698		C13
1966.3344a–c	X04698	**814**	C13
1966.3345b	X04698	**812**	C13
1966.3346	X04698		C13
1966.3347	X04698		C13
1966.3348	X04698		C13
1966.3349	X04698		C13
1966.3350a.b	X04698	**923**	C13
1966.3351	X04698		C13
1966.3352	X04698		C13
1966.3353	X04698		C13
1966.3354	X04698		C13
1966.3355	X04698	**820**	C13
1966.3356	X04698		C13
1966.3357a.b	X04698	**828**	C13
1966.3358	X04698		C13
1966.3359	X04698		C13
1966.3360	X04698		C13
1966.3361	X04698		C13
1966.3362	X04698	**816**	C13
1966.3363	X04698		C13
1966.3364	X04698		C13
1966.3365	X04698		C13
1966.3366	X04698		C13
1966.3367	X04698		C13
1966.3368	X04698	**821**	C13
1966.3369	X06508	Anm. 44	
1966.3370	X06247		HL2
1966.3371	X06247		HL2
1966.3372	X06247		HL2
1966.3373	X06247		HL2
1966.3374	X06247		HL2
1966.3375a.b	X06247	**30**	HL2
1966.3376	X06247		HL2
1966.3377	X06247		HL2
1966.3414	X06234	**891**	D14
1966.3445	X04690		C6
1966.3446	X04690		C6
1966.3447	X04690		C6

Inv.	FK	Kat./Anm.	Ensemble
1966.3448	X04690		C6
1966.3449	X04690	**161**	C6
1966.3450	X04690		C6
1966.3451	X04690		C6
1966.3452	X04690	**170**	C6
1966.3459	X04685		A11-OG
1966.3460	X04685		A11-OG
1966.3461	X04685		A11-OG
1966.3462	X04685		A11-OG
1966.3463	X04685		A11-OG
1966.3464	X04687		HL7
1966.3465	X04687		HL7
1966.3466	X04687	**227**	HL7
1966.3467	X04687		HL7
1966.3468	X04687		HL7
1966.3469	X04687		HL7
1966.3470	X04687	**226**	HL7
1966.3471	X04687	**229**	HL7
1966.3472	X04687		HL7
1966.3473	X04687		HL7
1966.3474	X04687	–	HL7
1966.3475	X04687	**230**	HL7
1966.3476	X04668	**491**	A11-OG
1966.3477	X04668		A11-OG
1966.3478	X04668	–	A11-OG
1966.3479	X04668		A11-OG
1966.3480	X04668	**519**	A11-OG
1966.3481	X04668		A11-OG
1966.3482	X04668		A11-OG
1966.3483	X04668		A11-OG
1966.3484	X04668	**596**	A11-OG
1966.3485	X04668		A11-OG
1966.3486	X04668	**730**	A11-OG
1966.3487	X04668	–	A11-OG
1966.3488	X04682		A11-OG
1966.3489	X04692	**805**	C13
1966.3490	X04692		C13
1966.3491	X04692	**818**	C13
1966.3492	X04692		C13
1966.3493	X06514	**651**	A11-OG
1966.3495	X04675	**504**	A11-OG
1966.3496a–i	X04675	**507**	A11-OG
1966.3497	X04675		A11-OG
1966.3498	X04675	**492**	A11-OG
1966.3499	X04675		A11-OG
1966.3500	X04675		A11-OG
1966.3501	X04675		A11-OG
1966.3502	X04675		A11-OG
1966.3503	X04675		A11-OG
1966.3504	X04675		A11-OG
1966.3505	X04675		A11-OG
1966.3506	X04675		A11-OG
1966.3507	X04675		A11-OG
1966.3508	X04675		A11-OG
1966.3509	X04675		A11-OG
1966.3510	X04675		A11-OG
1966.3511	X04675		A11-OG
1966.3512	X04675		A11-OG
1966.3513	X04675		A11-OG
1966.3514	X04675		A11-OG
1966.3514A	X04675	–	A11-OG
1966.3515	X04675	**589**	A11-OG

Inv.	FK	Kat./Anm.	Ensemble
1966.3515b	X04675		A11-OG
1966.3516	X04675		A11-OG
1966.3517a–c	X04675	**587**	A11-OG
1966.3518a	X04675		A11-OG
1966.3518b	X04675	**586**	A11-OG
1966.3519a	X04675		A11-OG
1966.3519b	X04675		A11-OG
1966.3520	X04675		A11-OG
1966.3521	X04675		A11-OG
1966.3522	X04675		A11-OG
1966.3523	X04675		A11-OG
1966.3524	X04675		A11-OG
1966.3525	X04675	**578**	A11-OG
1966.3526	X04675		A11-OG
1966.3527	X04675		A11-OG
1966.3528	X04675		A11-OG
1966.3529a–b	X04675		A11-OG
1966.3530	X04675		A11-OG
1966.3531	X04675		A11-OG
1966.3532	X04675		A11-OG
1966.3533	X04675		A11-OG
1966.3534	X04675	**603**	A11-OG
1966.3535	X04675	**602**	A11-OG
1966.3536	X04675	**622**	A11-OG
1966.3537	X04675	**572**	A11-OG
1966.3538	X04675		A11-OG
1966.3539	X04675	**732**	A11-OG
1966.3540	X04675	–	A11-OG
1966.3541C	X04675	**624**	A11-OG
1966.3542	X04675	–	A11-OG
1966.3543	X04675	**649**	A11-OG
1966.3544	X04675	–	A11-OG
1966.3545	X04675	–	A11-OG
1966.3546	X04675	**689**	A11-OG
1966.3547	X04675	–	A11-OG
1966.3548	X04675	**727**	A11-OG
1966.3549	X04675	**723**	A11-OG
1966.3550	X04675	**724**	A11-OG
1966.3551	X04675	**722**	A11-OG
1966.3552	X04675	–	A11-OG
1966.3603	X06202	**760**	HL11
1966.3604	X06202		HL11
1966.3605	X06202		HL11
1966.3606	X06202		HL11
1966.3607	X06202		HL11
1966.3608	X06202		HL11
1966.3609	X06202		HL11
1966.3610	X06202		HL11
1966.3611	X06202		HL11
1966.3612	X06202		HL11
1966.3613	X06202		HL11
1966.3614	X06202		HL11
1966.3615	X06202		HL11
1966.3616	X06202		HL11
1966.3617	X06202		HL11
1966.3618	X06202		HL11
1966.3619	X06202		HL11
1966.3620	X06202	**791**	HL11
1966.3629	X04695	**922**	C15
1966.3630	X04695		C15
1966.3631	X04695	**924**	C15
1966.3632	X04695		C15

Inv.	FK	Kat./Anm.	Ensemble
1966.3633	X04695		C15
1966.3634	X04695		C15
1966.3635	X04695	**923**	C15
1966.3636	X04695	**929**	C15
1966.3637	X04695		C15
1966.3638	X04695	**928**	C15
1966.3639	X04695	**927**	C15
1966.3640	X04695		C15
1966.3641	X04695		C15
1966.3642	X04695	**926**	C15
1966.3643	X04695	**925**	C15
1966.3644	X04695		C15
1966.3645	X04695	**930**	C15
1966.3646	X04695	–	C15
1966.3647	X06201		C13
1966.3648	X06201		C13
1966.3649	X06201		C13
1966.3650	X06201	**809**	C13
1966.3651	X06201	**810**	C13
1966.3652	X06201		C13
1966.3653	X06201		C13
1966.3654	X06201		C13
1966.3676	X06242	**105**	C5
1966.3677	X06242		C5
1966.3678	X06242	**101**	C5
1966.3679	X06242		C5
1966.3680	X06242	**117**	C5
1966.3681	X06242	**114**	C5
1966.3682	X06242	**116**	C5
1966.3683	X06242		C5
1966.3684	X06242	**123**	C5
1966.3685	X06213		A11-OG
1966.3778	X04680	**834**	C13
1966.3779	X04680	**835**	C13
1966.3834	X04691	**889**	D14
1966.3835	X04680	**806**	C13
1966.3836	X04680		C13
1966.3837	X04680		C13
1966.3838	X04680	**807**	C13
1966.3839	X04680		C13
1966.3840	X04680	Anm. 527	C13
1966.3841	X04680		C13
1966.3842	X04680		C13
1966.3843	X04680		C13
1966.3844	X04680		C13
1966.3845	X04680		C13
1966.3846	X04680	**808**	C13
1966.3847	X04680		C13
1966.3848	X04680		C13
1966.3849	X04680	Anm. 527	C13
1966.3850	X04680	**811**	C13
1966.3851	X04680	**812**	C13
1966.3852	X04680		C13
1966.3853	X04680		C13
1966.3854a	X04680	–	C13
1966.3854b.c	X04680	**813**	C13
1966.3855	X04680	–	C13
1966.3856	X04680	–	C13
1966.3857	X04680	Anm. 527	C13
1966.3858	X04680		C13
1966.3859	X04680		C13
1966.3860	X04680		C13

Inv.	FK	Kat./Anm.	Ensemble
1966.3861	X04680		C13
1966.3862	X04680		C13
1966.3863	X04680		C13
1966.3864	X04680		C13
1966.3865	X04680		C13
1966.3866	X04680		C13
1966.3867	X04680		C13
1966.3868	X04680	**822**	C13
1966.3869	X04680		C13
1966.3870	X04680		C13
1966.3871	X04680		C13
1966.3872	X04680	**822**	C13
1966.3873	X04680		C13
1966.3874	X04680		C13
1966.3875	X04680		C13
1966.3876	X04680		C13
1966.3877	X04680		C13
1966.3878	X04680		C13
1966.3879	X04680		C13
1966.3880	X04680		C13
1966.3881	X04680		C13
1966.3882	X04680		C13
1966.3883	X04680		C13
1966.3884	X04680		C13
1966.3885	X04680		C13
1966.3886	X04680		C13
1966.3887	X04680	**823**	C13
1966.3888	X04680		C13
1966.3889	X04680		C13
1966.3890	X04680		C13
1966.3891	X04680		C13
1966.3892	X04680	**819**	C13
1966.3893	X04680		C13
1966.3894	X04680		C13
1966.3895	X04680	**825**	C13
1966.3896	X04680		C13
1966.3897	X04680		C13
1966.3898	X04680		C13
1966.3899a.b	X04680	**833**	C13
1966.3900	X04680		C13
1966.3901	X04680		C13
1966.3902	X04680	**824**	C13
1966.3903	X04680		C13
1966.3904	X04680		C13
1966.3905	X04680		C13
1966.3906	X04680		C13
1966.3907	X04680		C13
1966.3908	X04680	**831**	C13
1966.3909	X04680		C13
1966.3910	X04680		C13
1966.3911	X04680		C13
1966.3912	X04680		C13
1966.3913	X04680		C13
1966.3914	X04680		C13
1966.3915	X04680		C13
1966.3916	X04680		C13
1966.3917	X04680	**829**	C13
1966.3918	X04680	**830**	C13
1966.3919	X04680		C13
1966.3920	X04680		C13
1966.3921	X04680		C13
1966.3922	X04680		C13

Inv.	FK	Kat./Anm.	Ensemble
1966.3923	X04680		C13
1966.3924	X04680		C13
1966.3925	X04680		C13
1966.3926	X04680	**827**	C13
1966.3927	X04680		C13
1966.3928	X04680		C13
1966.3929	X04680	**832**	C13
1966.3930	X04680	**815**	C13
1966.3931	X04680		C13
1966.3932	X04680		C13
1966.3933	X04680		C13
1966.3934	X04680		C13
1966.3935	X04680		C13
1966.3936	X04680		C13
1966.3937	X04680		C13
1966.3938	X04680		C13
1966.3939	X04680	**817**	C13
1966.3940	X04680	**826**	C13
1966.3941	X04680	–	C13
1966.3942	X04680	–	C13
1966.3943	X04680	**836**	C13
1966.3944	X04680	–	C13
1966.3951	X06512	**5**	HL2
1966.3952	X06512	**29**	HL2
1966.3953	X06512	**28**	HL2
1966.3954	X06512	**28**	HL2
1966.3955a.b	X06512	**30**	HL2
1966.3956	X06512	**44**	HL2
1966.3957	X06512		HL2
1966.3958	X06512	**52**	HL2
1966.3959	X06512	**49**	HL2
1966.3960	X06231	**55**	HL2
1966.3961	X06231	–	HL2
1966.3962	X06231	**54**	HL2
1966.3963	X06520	**472**	A11-EG
1966.3964	X06520	**471**	A11-EG
1966.3965	X06520	**470**	A11-EG
1966.3966	X06520	**473**	A11-EG
1966.3967	X06511		A11-OG
1966.3968	X06511		A11-OG
1966.3969	X06511		A11-OG
1966.3970	X06511		A11-OG
1966.3971	X06511		A11-OG
1966.3972	X06511		A11-OG
1966.3973	X06511		A11-OG
1966.3974	X06511	–	A11-OG
1966.3975	X06511	**621**	A11-OG
1966.3976	X06511	**687**	A11-OG
1966.3977	X06511	–	A11-OG
1966.3978	X06511	–	A11-OG
1966.3979	X06513	**4**	HL2
1966.3980a.b	X06513	**9**	HL2
1966.3981	X06513		HL2
1966.3982	X06513		HL2
1966.3983	X06513	**8**	HL2
1966.3984	X06513	**7**	HL2
1966.3985	X06513	**15**	HL2
1966.3986	X06513	**13**	HL2
1966.3987	X06513		HL2
1966.3988	X06513		HL2
1966.3989	X06513	**19**	HL2
1966.3990	X06513	**20**	HL2

Inv.	FK	Kat./Anm.	Ensemble
1966.3991	X06513	–	HL2
1966.3992	X06513		HL2
1966.3993	X06513		HL2
1966.3994	X06513		HL2
1966.3995	X06513		HL2
1966.3996	X06513		HL2
1966.3997	X06513		HL2
1966.3998	X06513		HL2
1966.3999	X06513		HL2
1966.4000	X06513		HL2
1966.4001	X06513		HL2
1966.4002	X06513		HL2
1966.4003	X06513		HL2
1966.4004	X06513		HL2
1966.4005	X06513		HL2
1966.4006	X06513		HL2
1966.4007	X06523		A11-GH
1966.4008	X06523	**397**	A11-GH
1966.4009	X06523		A11-GH
1966.4010	X06523		A11-GH
1966.4011	X06523		A11-GH
1966.4012	X06523	**336**	A11-GH
1966.4013	X06523	**338**	A11-GH
1966.4014	X06523		A11-GH
1966.4015	X06523	**334**	A11-GH
1966.4016	X06523		A11-GH
1966.4017	X06523		A11-GH
1966.4018b–e.g	X06523	**335**	A11-GH
1966.4019	X06523		A11-GH
1966.4020	X06523		A11-GH
1966.4021	X06523		A11-GH
1966.4022	X06523		A11-GH
1966.4023	X06523		A11-GH
1966.4024c.d	X06523	**346**	A11-GH
1966.4025	X06523		A11-GH
1966.4026	X06523		A11-GH
1966.4027	X06523		A11-GH
1966.4028	X06523	**340**	A11-GH
1966.4029	X06523		A11-GH
1966.4030	X06523		A11-GH
1966.4031	X06523		A11-GH
1966.4032	X06523		A11-GH
1966.4033	X06523		A11-GH
1966.4034	X06523		A11-GH
1966.4035	X06523		A11-GH
1966.4036	X06523		A11-GH
1966.4037	X06523		A11-GH
1966.4038	X06523		A11-GH
1966.4039	X06523		A11-GH
1966.4040	X06523	**341**	A11-GH
1966.4041	X06523	**343**	A11-GH
1966.4042	X06523	**356**	A11-GH
1966.4043	X06523		A11-GH
1966.4044	X06523		A11-GH
1966.4045	X06523		A11-GH
1966.4046	X06523		A11-GH
1966.4047	X06523	**342**	A11-GH
1966.4048	X06523		A11-GH
1966.4049	X06523	**360**	A11-GH
1966.4050	X06523		A11-GH
1966.4051	X06523		A11-GH
1966.4052	X06523	**359**	A11-GH

Inv.	FK	Kat./Anm.	Ensemble
1966.4053	X06523	**360**	A11-GH
1966.4054a.b	X06523	**358**	A11-GH
1966.4055	X06523		A11-GH
1966.4056	X06523		A11-GH
1966.4057	X06523		A11-GH
1966.4058	X06523	**357**	A11-GH
1966.4059	X06523		A11-GH
1966.4060	X06523		A11-GH
1966.4061	X06523	**351**	A11-GH
1966.4062	X06523		A11-GH
1966.4063	X06523		A11-GH
1966.4064	X06523		A11-GH
1966.4065	X06523	**349**	A11-GH
1966.4066	X06523		A11-GH
1966.4067	X06523		A11-GH
1966.4068	X06523		A11-GH
1966.4069	X06523		A11-GH
1966.4070	X06523		A11-GH
1966.4071	X06523		A11-GH
1966.4072	X06523	**354**	A11-GH
1966.4073	X06523		A11-GH
1966.4074	X06523	**355**	A11-GH
1966.4075	X06523		A11-GH
1966.4076	X06523	**372**	A11-GH
1966.4077	X06523	–	A11-GH
1966.4078	X06523	**373**	A11-GH
1966.4079	X06523	–	A11-GH
1966.4080	X06523	**374**	A11-GH
1966.4081	X06523	**371**	A11-GH
1966.4082	X06523	–	A11-GH
1966.4083	X06523	–	A11-GH
1966.4084	X06523	**375**	A11-GH
1966.4085	X06523	**376**	A11-GH
1966.4086	X06523	**377**	A11-GH
1966.4087	X06523	**379**	A11-GH
1966.4088	X06523	**380**	A11-GH
1966.4089	X06523	–	A11-GH
1966.4090	X06523	**378**	A11-GH
1966.4091	X06523	–	A11-GH
1966.4092	X06523	–	A11-GH
1966.4093	X06523	–	A11-GH
1966.4094	X06523	**368**	A11-GH
1966.4095	X06523	–	A11-GH
1966.4096	X06523	**381**	A11-GH
1966.4097	X06523	**367**	A11-GH
1966.4098	X06523	–	A11-GH
1966.4099	X06523	**384**	A11-GH
1966.4100	X06523	**383**	A11-GH
1966.4101	X06220	**841**	D14
1966.4102	X06220		D14
1966.4103	X06220		D14
1966.4104	X06220		D14
1966.4105	X06220		D14
1966.4106	X06220		D14
1966.4107	X06220		D14
1966.4108	X06220		D14
1966.4109	X06220	**851**	D14
1966.4110	X06220		D14
1966.4111	X06220		D14
1966.4112	X06220		D14
1966.4113	X06220		D14
1966.4114	X06220		D14

Inv.	FK	Kat./Anm.	Ensemble
1966.4115	X06220		D14
1966.4116	X06220		D14
1966.4117	X06220		D14
1966.4118	X06220	**877**	D14
1966.4119	X06521		A11-OG
1966.4120	X06521		A11-OG
1966.4121	X06521		A11-OG
1966.4122	X06521		A11-OG
1966.4123	X06521		A11-OG
1966.4124	X06521	**536**	A11-OG
1966.4125	X06521		A11-OG
1966.4126	X06521	**581**	A11-OG
1966.4127	X06521		A11-OG
1966.4128	X06521		A11-OG
1966.4129	X06521		A11-OG
1966.4143	X04671		A11-OG
1966.4144	X04671		A11-OG
1966.4145	X04671		A11-OG
1966.4146	X04671		A11-OG
1966.4147	X04671		A11-OG
1966.4148	X04671	**527**	A11-OG
1966.4149	X04671		A11-OG
1966.4150	X04671		A11-OG
1966.4151	X04671		A11-OG
1966.4152	X04671		A11-OG
1966.4153	X04671		A11-OG
1966.4154	X04671	**601**	A11-OG
1966.4155	X04671	–	A11-OG
1966.4156	X04671	**704**	A11-OG
1966.4157	X04671	**709**	A11-OG
1966.4216	X06519		A11-OG
1966.4217	X06519		A11-OG
1966.4218	X06519	**501**	A11-OG
1966.4219	X06519		A11-OG
1966.4220	X06519	**508**	A11-OG
1966.4221	X06519	**509**	A11-OG
1966.4222	X06519		A11-OG
1966.4223	X06519		A11-OG
1966.4224	X06519	**525**	A11-OG
1966.4225	X06519		A11-OG
1966.4226	X06519	**595**	A11-OG
1966.4227	X06519		A11-OG
1966.4228	X06519	**564**	A11-OG
1966.4229	X06519		A11-OG
1966.4230	X06519		A11-OG
1966.4231	X06519		A11-OG
1966.4232	X06519		A11-OG
1966.4233	X06519		A11-OG
1966.4234	X06519		A11-OG
1966.4235	X06519		A11-OG
1966.4236	X06519		A11-OG
1966.4237	X06519		A11-OG
1966.4238	X06519		A11-OG
1966.4239	X06519		A11-OG
1966.4240	X06519		A11-OG
1966.4241	X06519	**555**	A11-OG
1966.4242	X06519	**542**	A11-OG
1966.4243	X06519		A11-OG
1966.4244	X06519	**575**	A11-OG
1966.4245	X06519		A11-OG
1966.4246	X06519		A11-OG
1966.4247	X06519	**623**	A11-OG

Inv.	FK	Kat./Anm.	Ensemble
1966.4248	X06519	**625**	A11-OG
1966.4249	X06519	**635**	A11-OG
1966.4250	X06519	–	A11-OG
1966.4251	X06519	**631**	A11-OG
1966.4252	X06519	**633**	A11-OG
1966.4253	X06519	**629**	A11-OG
1966.4254	X06519		A11-OG
1966.4255	X06519	–	A11-OG
1966.4256	X06519	**662**	A11-OG
1966.4257	X06519	–	A11-OG
1966.4258	X06519	–	A11-OG
1966.4259	X06519	–	A11-OG
1966.4259A	X06519	**624**	A11-OG
1966.4259B	X06519	**632**	A11-OG
1966.4259C	X06519	–	A11-OG
1966.4263	X06514	–	A11-OG
1966.4264	X06511	–	A11-OG
1966.4265	X06511	–	A11-OG
1966.4266	X06514	**693**	A11-OG
1966.4267	X06514	–	A11-OG
1966.4268	X06514	–	A11-OG
1966.4269	X06514	–	A11-OG
1966.4270	X06514	–	A11-OG
1966.4271	X06514	–	A11-OG
1966.4272	X06514	–	A11-OG
1966.4273	X06514	–	A11-OG
1966.4274	X06514	–	A11-OG
1966.4275	X06514	**695**	A11-OG
1966.4276	X06514	**696**	A11-OG
1966.4277	X06514	**698**	A11-OG
1966.4278	X06514	**697**	A11-OG
1966.4279	X06514	**699**	A11-OG
1966.4280	X06514	**700**	A11-OG
1966.4281	X06514	**701**	A11-OG
1966.4282	X06514	**702**	A11-OG
1966.4283	X06514	**703**	A11-OG
1966.4284	X06514	–	A11-OG
1966.4285	X06514	–	A11-OG
1966.4286	X06514	–	A11-OG
1966.4287	X06514	–	A11-OG
1966.4288	X06520		A11-EG
1966.4289	X06520		A11-EG
1966.4290	X06519	**707**	A11-OG
1966.4291	X06519	**708**	A11-OG
1966.4292	X06519	**710**	A11-OG
1966.4293	X06519	**711**	A11-OG
1966.4294	X06519	–	A11-OG
1966.4295	X06519	**714**	A11-OG
1966.4296	X06523	–	A11-GH
1966.4297	X06514	**718**	A11-OG
1966.4298	X06514	**719**	A11-OG
1966.4299	X06514	**717**	A11-OG
1966.4300	X06514	**716**	A11-OG
1966.4301	X06514	–	A11-OG
1966.4302	X06514	**712**	A11-OG
1966.4303	X06514	**712**	A11-OG
1966.4304	X06520	**476**	A11-EG
1966.4305	X06520	**478**	A11-EG
1966.4306	X06520	**477**	A11-EG
1966.4307	X06520		A11-EG
1966.4308	X06520		A11-EG
1966.4309	X06520		A11-EG

Inv.	FK	Kat./Anm.	Ensemble
1966.4310	X06520		A11-EG
1966.4311	X06523	–	A11-GH
1966.4312	X06514	–	A11-OG
1966.4313	X06523	**389**	A11-GH
1966.4314	X06523	–	A11-GH
1966.4315	X06523	–	A11-GH
1966.4316	X06520	**486**	A11-EG
1966.4317	X06520	–	A11-EG
1966.4318	X06520	**487**	A11-EG
1966.4319	X06520	**488**	A11-EG
1966.4320a.b	X06520	–	A11-EG
1966.4321a–c	X06520	–	A11-EG
1966.4322	X06520	**484**	A11-EG
1966.4323	X06520	**485**	A11-EG
1966.4324	X06520	–	A11-EG
1966.4325	X06520	–	A11-EG
1966.4326	X06519	**680**	A11-OG
1966.4327	X06519		A11-OG
1966.4328	X06519		A11-OG
1966.4329	X06514		A11-OG
1966.4330	X06514		A11-OG
1966.4331	X06514		A11-OG
1966.4332	X06514		A11-OG
1966.4333	X06514		A11-OG
1966.4334	X06514		A11-OG
1966.4335	X06514		A11-OG
1966.4336	X06514		A11-OG
1966.4337	X06514	**538**	A11-OG
1966.4338	X06514		A11-OG
1966.4339	X06514		A11-OG
1966.4340a–b	X06514		A11-OG
1966.4341	X06514		A11-OG
1966.4342	X06514		A11-OG
1966.4343	X06514		A11-OG
1966.4344	X06514		A11-OG
1966.4345	X06514		A11-OG
1966.4346a	X06514	**528**	A11-OG
1966.4347	X06514	**529**	A11-OG
1966.4348	X06514		A11-OG
1966.4349	X06514	**565**	A11-OG
1966.4349A	X06514		A11-OG
1966.4350	X06514	**573**	A11-OG
1966.4351a–c	X06514	**566**	A11-OG
1966.4352	X06514		A11-OG
1966.4353	X06514		A11-OG
1966.4354	X06514		A11-OG
1966.4355	X06514		A11-OG
1966.4356	X06514		A11-OG
1966.4357	X06514		A11-OG
1966.4358	X06514		A11-OG
1966.4359	X06514		A11-OG
1966.4360	X06514		A11-OG
1966.4361	X06514		A11-OG
1966.4362	X06514		A11-OG
1966.4363	X06514		A11-OG
1966.4364	X06514		A11-OG
1966.4365	X06514		A11-OG
1966.4366	X06514		A11-OG
1966.4367	X06514	**561**	A11-OG
1966.4368	X06514		A11-OG
1966.4369	X06514		A11-OG
1966.4370	X06514		A11-OG

Inv.	FK	Kat./Anm.	Ensemble
1966.4371	X06514		A11-OG
1966.4372	X06514		A11-OG
1966.4373	X06514		A11-OG
1966.4374a.b	X06514	**583**	A11-OG
1966.4375	X06514	**568**	A11-OG
1966.4376	X06514		A11-OG
1966.4377	X06514		A11-OG
1966.4378	X06514	**516**	A11-OG
1966.4379a–k	X06514	**593**	A11-OG
1966.4380	X06514	**746**	A11-OG
1966.4381	X06514	–	A11-OG
1966.4382	X06514	–	A11-OG
1966.4383	X06514	–	A11-OG
1966.4384	X06514		A11-OG
1966.4385	X06514	**569**	A11-OG
1966.4386	X06514		A11-OG
1966.4387	X06514	**570**	A11-OG
1966.4388	X06514		A11-OG
1966.4389	X06514		A11-OG
1966.4390	X06514		A11-OG
1966.4391	X06514		A11-OG
1966.4392	X06514		A11-OG
1966.4393	X06514		A11-OG
1966.4394	X06514		A11-OG
1966.4395	X06520		A11-EG
1966.4396	X06520	**397**	A11-EG
1966.4397a	X06520	**407**	A11-EG
1966.4398	X06520		A11-EG
1966.4399a–c	X06520	**404**	A11-EG
1966.4400	X06520		A11-EG
1966.4401	X06520		A11-EG
1966.4402	X06520	**405**	A11-EG
1966.4403	X06520		A11-EG
1966.4404	X06520	**394**	A11-EG
1966.4405a–d	X06520	**399**	A11-EG
1966.4406a–c	X06520	**395**	A11-EG
1966.4407	X06520		A11-EG
1966.4408	X06520	**410**	A11-EG
1966.4409	X06520		A11-EG
1966.4410a–s	X06520	**411**	A11-EG
1966.4411a.b	X06520	**409**	A11-EG
1966.4412	X06520		A11-EG
1966.4413	X06520		A11-EG
1966.4414	X06520		A11-EG
1966.4415	X06520		A11-EG
1966.4416	X06520		A11-EG
1966.4417	X06520		A11-EG
1966.4418	X06520		A11-EG
1966.4419	X06520	**412**	A11-EG
1966.4420	X06520		A11-EG
1966.4421	X06520		A11-EG
1966.4422	X06520		A11-EG
1966.4423	X06520		A11-EG
1966.4424a–d	X06520	**420**	A11-EG
1966.4425	X06520		A11-EG
1966.4426	X06520	**421**	A11-EG
1966.4427	X06520	**450**	A11-EG
1966.4428	X06520		A11-EG
1966.4429	X06520		A11-EG
1966.4430	X06520		A11-EG
1966.4431	X06520		A11-EG
1966.4432	X06520	**448**	A11-EG

Inv.	FK	Kat./Anm.	Ensemble
1966.4433	X06520	**449**	A11-EG
1966.4434	X06520	**456**	A11-EG
1966.4435	X06520		A11-EG
1966.4436	X06520	**435**	A11-EG
1966.4437	X06520	**433**	A11-EG
1966.4438	X06520		A11-EG
1966.4439	X06520		A11-EG
1966.4440	X06520		A11-EG
1966.4441a.b	X06520	**458**	A11-EG
1966.4442	X06520	**437**	A11-EG
1966.4443	X06520		A11-EG
1966.4444	X06520		A11-EG
1966.4445	X06520		A11-EG
1966.4446	X06520	**432**	A11-EG
1966.4447A–D	X06520	**422**	A11-EG
1966.4448	X06520	**425**	A11-EG
1966.4449	X06520	**483**	A11-EG
1966.4450	X06520		A11-EG
1966.4451	X06520		A11-EG
1966.4452	X06520		A11-EG
1966.4453	X06520		A11-EG
1966.4454	X06520		A11-EG
1966.4455	X06520		A11-EG
1966.4456	X06520	**443**	A11-EG
1966.4457	X06520	**463**	A11-EG
1966.4458	X06520	–	A11-EG
1966.4459	X06520	–	A11-EG
1966.4460	X06520	–	A11-EG
1966.4461	X06520		A11-EG
1966.4462	X06520	**469**	A11-EG
1966.4463	X06520	**468**	A11-EG
1966.4464	X06514	**610**	A11-OG
1966.4465	X06514	**609**	A11-OG
1966.4466	X06512	**53**	HL2
1966.4467	X06514	**608**	A11-OG
1966.4468	X06514	**611A**	A11-OG
1966.4469	X06514	**611**	A11-OG
1966.4470	X06514	**639**	A11-OG
1966.4475	X06220	**890**	D14
1966.4477	X04666	**916**	A15
1966.4478	X06205	**195**	HL6
1966.4479	X06205	**196**	HL6
1966.4481	X06523	**388**	A11-GH
1966.4482	X06515	**125**	C5
1966.4483	X04677	–	A11-OG
1966.4485	X06503		C5
1966.4486	X06503		C5
1966.4487	X06503	**120**	C5
1966.4488	X06503	**122**	C5
1966.4489	X06503		C5
1966.4490	X06503	**119**	C5
1966.4491	X06503		C5
1966.4492	X06510		HL2
1966.4493	X06510	**6**	HL2
1966.4494	X06510		HL2
1966.4495	X06510		HL2
1966.4496	X06510		HL2
1966.4497	X06510		HL2
1966.4498	X06510		HL2
1966.4499	X06510		HL2
1966.4500a	X06510	**51**	HL2
1966.4946	X06218	**176**	C6

Inv.	FK	Kat./Anm.	Ensemble
1966.4946A	X04670	**418**	A11-EG
1966.4997	X06231		HL2
1966.4998	X06231	–	HL2
1966.4999	X06231	**8**	HL2
1966.5000	X06231		HL2
1966.5001	X06231	–	HL2
1966.5002	X06231		HL2
1966.5003	X06231	**22**	HL2
1966.5004	X06231	**23**	HL2
1966.5005	X06231	**25**	HL2
1966.5006	X06231	**28**	HL2
1966.5007	X06231	–	HL2
1966.5008	X06231		HL2
1966.5009	X06231		HL2
1966.5010	X06231		HL2
1966.5011	X06231		HL2
1966.5012	X06231	**26**	HL2
1966.5013	X06231	–	HL2
1966.5014	X06231		HL2
1966.5015	X06231		HL2
1966.5016	X06231		HL2
1966.5017	X06231		HL2
1966.5018	X06231		HL2
1966.5019	X06231		HL2
1966.5020	X06231		HL2
1966.5021	X06231		HL2
1966.5022	X06231	**39**	HL2
1966.5023	X06231	**45**	HL2
1966.5024	X06231	**46**	HL2
1966.5025	X06231	**46**	HL2
1966.5026	X06231	**48**	HL2
1966.5027a.b	X06231	**35**	HL2
1966.5028	X06231		HL2
1966.5029	X06231	–	HL2
1966.5030	X06231	–	HL2
1966.5031	X06231	–	HL2
1966.5032	X06231	–	HL2
1966.5033	X06231	–	HL2
1966.5034	X06231		HL2
1966.5035	X06202	**749**	HL11
1966.5036	X06202		HL11
1966.5037	X06202	**751**	HL11
1966.5038	X06202		HL11
1966.5039	X06202	**752**	HL11
1966.5040	X06202		HL11
1966.5041	X06202	**768**	HL11
1966.5042	X06202		HL11
1966.5043	X06202		HL11
1966.5044	X06202		HL11
1966.5045	X06202		HL11
1966.5046	X06202		HL11
1966.5047	X06202		HL11
1966.5048	X06202		HL11
1966.5049	X06202		HL11
1966.5050a	X06202	**763**	HL11
1966.5051	X06202	**768**	HL11
1966.5052	X06202		HL11
1966.5053	X06202		HL11
1966.5054	X06202		HL11
1966.5055	X06202		HL11
1966.5056	X06202		HL11
1966.5057	X06202		HL11

Inv.	FK	Kat./Anm.	Ensemble
1966.5058	X06202		HL11
1966.5059	X06202		HL11
1966.5060	X06202		HL11
1966.5061	X06202		HL11
1966.5062	X06202		HL11
1966.5063	X06202	**778**	HL11
1966.5064	X06202		HL11
1966.5065	X06202		HL11
1966.5066	X06202		HL11
1966.5067	X06202		HL11
1966.5068	X06202		HL11
1966.5069	X06202		HL11
1966.5070	X06202		HL11
1966.5071	X06202		HL11
1966.5072	X06202		HL11
1966.5073	X06202		HL11
1966.5074	X06202		HL11
1966.5075	X06202	**780**	HL11
1966.5076	X06202		HL11
1966.5077	X06202		HL11
1966.5078	X06202		HL11
1966.5079	X06202		HL11
1966.5080	X06202		HL11
1966.5081	X06202		HL11
1966.5082	X06202	**790**	HL11
1966.5083	X06202		HL11
1966.5084	X06202		HL11
1966.5085	X06202		HL11
1966.5086	X06202		HL11
1966.5087	X06202		HL11
1966.5088	X06202	**789**	HL11
1966.5089	X06202		HL11
1966.5090	X06202		HL11
1966.5091	X06202		HL11
1966.5092	X06202		HL11
1966.5093	X04696	**140**	C6
1966.5094	X04696		C6
1966.5095	X04696	**141**	C6
1966.5096	X04696		C6
1966.5097	X04696	**149**	C6
1966.5098	X04696		C6
1966.5099	X04696		C6
1966.5100	X04696	**152**	C6
1966.5101	X04696	**153**	C6
1966.5102	X04696		C6
1966.5103a.b	X04696	**150**	C6
1966.5104	X04696	**171**	C6
1966.5105	X04696	**160**	C6
1966.5106	X04696		C6
1966.5107	X04696		C6
1966.5108	X04696		C6
1966.5109	X04696	**164**	C6
1966.5110	X04696	**165**	C6
1966.5111	X04696	**166**	C6
1966.5112	X04696	**167**	C6
1966.5113	X04696		C6
1966.5114	X04696		C6
1966.5115	X04696	**172**	C6
1966.5116	X04696		C6
1966.5117	X06236		C6
1966.5118	X06236		C6
1966.5119	X06236		C6

Inv.	FK	Kat./Anm.	Ensemble
1966.5120	X06236	**151**	C6
1966.5121	X06236		C6
1966.5122	X06236		C6
1966.5123	X06236		C6
1966.5124	X06236	**159**	C6
1966.5125	X06236		C6
1966.5126	X06236	**175**	C6
1966.5127	X06236	**180**	C6
1966.5128	X06236	**181**	C6
1966.5129	X06218	**146**	C6
1966.5130	X06218	**142**	C6
1966.5131	X06218	**143**	C6
1966.5132	X06218	**145**	C6
1966.5133	X06218	**144**	C6
1966.5134	X06218		C6
1966.5135	X06218		C6
1966.5136	X06218		C6
1966.5137	X06218		C6
1966.5138	X06218		C6
1966.5139	X06218		C6
1966.5140	X06218	**148**	C6
1966.5141	X06218		C6
1966.5142	X06218	**147**	C6
1966.5143	X06218	**168**	C6
1966.5144	X06218		C6
1966.5145	X06218		C6
1966.5146a.b	X06218	**155**	C6
1966.5147	X06218		C6
1966.5148	X06218		C6
1966.5149	X06218	**154**	C6
1966.5150	X06218	**162**	C6
1966.5151	X06218	**163**	C6
1966.5152	X06218		C6
1966.5153	X06218		C6
1966.5154	X06218		C6
1966.5155	X06218	**158**	C6
1966.5156	X06218	**156**	C6
1966.5157	X06218	**157**	C6
1966.5158	X06218		C6
1966.5159a.b	X06218	**169**	C6
1966.5160	X06218	**173**	C6
1966.5161	X06218	–	C6
1966.5162	X06218	**174**	C6
1966.5163	X06218	**177**	C6
1966.5196	X04695	**933**	C15
1966.5197	X04689	**754**	HL11
1966.5198	X04689		HL11
1966.5199	X04689		HL11
1966.5200	X04689		HL11
1966.5201	X04689		HL11
1966.5202	X04689		HL11
1966.5203	X04689		HL11
1966.5204	X04689		HL11
1966.5205	X04689		HL11
1966.5206	X04689		HL11
1966.5207	X04689		HL11
1966.5208	X04689		HL11
1966.5209	X04689		HL11
1966.5210	X04689		HL11
1966.5211	X04689		HL11
1966.5212	X04689		HL11
1966.5213	X04689		HL11

Inv.	FK	Kat./Anm.	Ensemble
1966.5214	X04689		HL11
1966.5215	X04689		HL11
1966.5216	X04689		HL11
1966.5217	X04689		HL11
1966.5218	X04689		HL11
1966.5219	X04689		HL11
1966.5220	X04689		HL11
1966.5221	X04689		HL11
1966.5222	X04689		HL11
1966.5223	X04689		HL11
1966.5224	X04689		HL11
1966.5225	X04689		HL11
1966.5226	X04689		HL11
1966.5227	X04689		HL11
1966.5228	X04689		HL11
1966.5229	X04689	–	HL11
1966.5230	X04689		HL11
1966.5231	X06204		HL11
1966.5232	X06204	**755**	HL11
1966.5233	X06204	**757**	HL11
1966.5234	X06204		HL11
1966.5235	X06204		HL11
1966.5236	X06204		HL11
1966.5237	X06204		HL11
1966.5238	X06204		HL11
1966.5239	X06204		HL11
1966.5240	X06204		HL11
1966.5241	X06204		HL11
1966.5242	X06204		HL11
1966.5243	X06204		HL11
1966.5244	X06204		HL11
1966.5245	X06204		HL11
1966.5246	X06204		HL11
1966.5247	X06204		HL11
1966.5248	X06204		HL11
1966.5249	X06204		HL11
1966.5250	X06204		HL11
1966.5251	X06204	**764**	HL11
1966.5252	X06204		HL11
1966.5253	X06204	**766**	HL11
1966.5254	X06204		HL11
1966.5255	X06204	**786**	HL11
1966.5256	X06204		HL11
1966.5257	X06204		HL11
1966.5258	X06204		HL11
1966.5259	X06204		HL11
1966.5260	X06204	**787**	HL11
1966.5261	X06204	**788**	HL11
1966.5262	X06204		HL11
1966.5263	X06204		HL11
1966.5264	X06204		HL11
1966.5265	X06204	**782**	HL11
1966.5266	X06204		HL11
1966.5267	X06204		HL11
1966.5268	X06204		HL11
1966.5269	X06204		HL11
1966.5270	X06204		HL11
1966.5271	X06204		HL11
1966.5272	X06204		HL11
1966.5273	X06204		HL11
1966.5274	X06204		HL11
1966.5275	X06204		HL11

Inv.	FK	Kat./Anm.	Ensemble
1966.5276	X06204		HL11
1966.5277	X06204		HL11
1966.5278	X06204		HL11
1966.5279	X06204		HL11
1966.5280	X06204		HL11
1966.5281	X06204		HL11
1966.5282	X06204		HL11
1966.5283	X06204		HL11
1966.5284	X06204		HL11
1966.5285	X06204		HL11
1966.5286	X06204		HL11
1966.5287	X06204		HL11
1966.5288	X06204		HL11
1966.5289	X06204		HL11
1966.5290	X06204		HL11
1966.5291	X06204		HL11
1966.5292	X06204		HL11
1966.5293	X06204		HL11
1966.5294	X06204		HL11
1966.5295	X06204		HL11
1966.5296	X06515		C5
1966.5297	X06515		C5
1966.5298a.b	X06515	**111**	C5
1966.5299	X06515		C5
1966.5300	X06515	**108**	C5
1966.5301	X06515	**118**	C5
1966.5302	X06515		C5
1966.5303	X06515		C5
1966.5304	X06515		C5
1966.5305	X06515		C5
1966.5306	X06515		C5
1966.5307	X06515		C5
1966.5308	X06515		C5
1966.5309	X06515		C5
1966.5310	X06515		C5
1966.5311	X06518		HL2
1966.5312	X06518		HL2
1966.5313	X06518		HL2
1966.5314	X06518		HL2
1966.5315a–c	X06518	**10**	HL2
1966.5316	X06518	**16**	HL2
1966.5317	X06518	**18**	HL2
1966.5318	X06518		HL2
1966.5319	X06518	**20**	HL2
1966.5320	X06518		HL2
1966.5321	X06518	**24**	HL2
1966.5322	X06518	**27**	HL2
1966.5323	X06518		HL2
1966.5324	X06518	**40**	HL2
1966.5325	X06518	**41**	HL2
1966.5326	X06518		HL2
1966.5327	X06518		HL2
1966.5328	X06518	**38**	HL2
1966.5329	X06518		HL2
1966.5330	X06518	**34**	HL2
1966.5331	X06518		HL2
1966.5332	X06518	**31**	HL2
1966.5333	X06518	**33**	HL2
1966.5334	X06518		HL2
1966.5335	X06516		HL2
1966.5336	X06516	**8**	HL2
1966.5337a–c	X06516	**11**	HL2

Inv.	FK	Kat./Anm.	Ensemble
1966.5338	X06516		HL2
1966.5339	X06516	**17**	HL2
1966.5340	X06516	**14**	HL2
1966.5341	X06516	–	HL2
1966.5342	X06516	–	HL2
1966.5343	X06516	–	HL2
1966.5344	X06516	**21**	HL2
1966.5345	X06516	**28**	HL2
1966.5346a–d	X06516	**30**	HL2
1966.5347	X06516	**37**	HL2
1966.5348	X06516		HL2
1966.5349	X06516		HL2
1966.5350	X06516	**50**	HL2
1966.5351	X06516		HL2
1966.5352	X06516	**32**	HL2
1966.5353	X06516		HL2
1966.5354	X06516		HL2
1966.5355	X06516		HL2
1966.5356	X06516		HL2
1966.5357	X06516	**47**	HL2
1966.5358	X06516		HL2
1966.5359	X06516		HL2
1966.5360	X06516		HL2
1966.5361	X06516		HL2
1966.5362	X06516	**36**	HL2
1966.5363	X06516	**51**	HL2
1966.5364	X06516		HL2
1966.5365	X06516	**43**	HL2
1966.5366	X06516	**42**	HL2
1966.5367	X06516		HL2
1966.5856	X04666		A15
1966.5857	X04666	**897**	A15
1966.5858	X04666		A15
1966.5859	X04666		A15
1966.5860	X04666		A15
1966.5861	X04666		A15
1966.5862	X04666		A15
1966.5863	X04666		A15
1966.5864	X04666	**898**	A15
1966.5865	X04666		A15
1966.5866	X04666	**900**	A15
1966.5867	X04666		A15
1966.5868	X04666	**903**	A15
1966.5869	X04666		A15
1966.5870	X04666		A15
1966.5871	X04666		A15
1966.5872	X04666		A15
1966.5873	X04666		A15
1966.5874	X04666		A15
1966.5875	X04666		A15
1966.5876	X04666	**907**	A15
1966.5877	X04666		A15
1966.5878	X04666		A15
1966.5879	X04666		A15
1966.5880	X04666		A15
1966.5881	X04666	**915**	A15
1966.5882	X04666		A15
1966.5883	X04666		A15
1966.5884	X04666		A15
1966.5885a.b	X04666	**906**	A15
1966.5886	X04666	**913**	A15
1966.5887	X04666		A15

Inv.	FK	Kat./Anm.	Ensemble
1966.5888	X04666		A15
1966.5889	X04666	**918**	A15
1966.5890	X04666	**919**	A15
1966.8125	X06204	**792**	HL11
1966.8126	X06523	**386**	A11-GH
1966.8127	X06523	**382**	A11-GH
1966.8128	X06519	**612**	A11-OG
1966.8129	X06519	**613**	A11-OG
1966.8130	X06520	**461**	A11-EG
1966.8131	X06520	**462**	A11-EG
1966.8132	X06523	**369**	A11-GH
1966.8133	V05058	**931**	C15
1966.8134	X04695	**932**	C15
1966.8731	X06525	**891**	D14
1966.9425	X04689	–	HL11
1966.9427	X04675	–	A11-OG
1966.9434	X04680	–	C13
1966.9447	X06218	**179**	C6
1966.9448	X06218	–	C6
1966.9449	X06218	**178**	C6
1966.9450	X04691	–	D14
1966.9451	X04691		D14
1966.9452	X04691	–	D14
1966.9746	X06518	**56**	HL2
1967.1	X06529	**294**	D8
1967.2	X06529	–	D8
1967.3	X06529	–	D8
1967.4	X06529	–	D8
1967.5	X06529	–	D8
1967.523	X06530	**182**	D6
1967.524a.b	X06530	**183**	D6
1967.525	X06530		D6
1967.526	X06530		D6
1967.527	X06530	**184**	D6
1967.528	X06530		D6
1967.529	X06530		D6
1967.530	X06530		D6
1967.531	X06530		D6
1967.532	X06530		D6
1967.533	X06530		D6
1967.534	X06530	**185**	D6
1967.535	X06530		D6
1967.536	X06530	**187**	D6
1967.537	X06530	**186**	D6
1967.538a–c	X06530	**188**	D6
1967.539	X06530	–	D6
1967.540	X06530	**190**	D6
1967.541	X06530	–	D6
1967.542	X06530	**189**	D6
1967.543	X06529	**279**	D8
1967.544a.b	X06529	**280**	D8
1967.545	X06529	**282**	D8
1967.546a.b	X06529	**282**	D8
1967.547	X06529		D8
1967.548	X06529		D8
1967.549	X06529		D8
1967.550	X06529	**283**	D8
1967.551	X06529		D8
1967.552	X06529		D8
1967.553	X06529		D8
1967.554	X06529	**281**	D8
1967.555	X06529		D8

Inv.	FK	Kat./Anm.	Ensemble
1967.556	X06529	**287**	D8
1967.557	X06529	**288**	D8
1967.558	X06529		D8
1967.559	X06529	**285**	D8
1967.560	X06529	**286**	D8
1967.561	X06529	**284**	D8
1967.562	X06529	–	D8
1967.563	X06529		D8
1967.563A.C	X06529	**293**	D8
1967.563B	X06529	–	D8
1967.564	X06529	**292**	D8
1967.565	X06529	–	D8
1967.566	X06529	**291**	D8
1967.567a–g	X06528	**846**	D14
1967.568	X06528		D14
1967.569a–c	X06528	**844**	D14
1967.570	X06528		D14
1967.571a–f	X06528	**848**	D14
1967.572	X06528	**848**	D14
1967.573	X06528		D14
1967.574	X06528		D14
1967.575	X06528	**856**	D14
1967.576	X06528		D14
1967.577	X06528		D14
1967.578	X06528		D14
1967.579	X06528	**852**	D14
1967.580	X06528		D14
1967.581	X06528		D14
1967.582a–d	X06528	**853**	D14
1967.583	X06528		D14
1967.584	X06528		D14
1967.585a.b	X06528	**857**	D14
1967.586	X06528		D14
1967.587a.b	X06528	**875**	D14
1967.588	X06528	**879**	D14
1967.589	X06528		D14
1967.590	X06528	**864**	D14
1967.591	X06528	**868**	D14
1967.592	X06528	**871**	D14
1967.593	X06528	**863**	D14
1967.594	X06528		D14
1967.595	X06528	**876**	D14
1967.596	X06528	**869**	D14
1967.597	X06528		D14
1967.598	X06528		D14
1967.599	X06528	**887**	D14
1967.600a.b	X06528	**880**	D14
1967.601	X06528		D14
1967.602	X06528		D14
1967.603	X06528	**881**	D14
1967.604	X06528		D14
1967.605a.b	X06528	**878**	D14
1967.606	X06528		D14
1967.607	X06528	**874**	D14
1967.608	X06528	–	D14
1967.609	X06528	**895**	D14
1967.610	X06529	**290**	D8
1967.611	X06529	**289**	D8
1967.616	X06522		A11-OG
1967.617	X06522		A11-OG
1967.1556	X06534		A11-OG
1967.1557	X06534		A11-OG

Inv.	FK	Kat./Anm.	Ensemble
1967.1558	X06534		A11-OG
1967.1559	X06534		A11-OG
1967.1560	X06534		A11-OG
1967.1561	X06534		A11-OG
1967.1562	X06534		A11-OG
1967.1563	X06534		A11-OG
1967.1564	X06534		A11-OG
1967.1565	X06534		A11-OG
1967.1566	X06534		A11-OG
1967.1567	X06534	**571**	A11-OG
1967.1568	X06534		A11-OG
1967.1569	X06534	**579**	A11-OG
1967.1570	X06534		A11-OG
1967.1571	X06534		A11-OG
1967.1572	X06534		A11-OG
1967.1573	X06534		A11-OG
1967.1574	X06534		A11-OG
1967.1575	X06534		A11-OG
1967.1576	X06534		A11-OG
1967.1577	X06534		A11-OG
1967.1578	X06534	**553**	A11-OG
1967.1579	X06534		A11-OG
1967.1580	X06534		A11-OG
1967.1581	X06534	**445**	A11-OG
1967.1582	X06534		A11-OG
1967.1583	X06534	–	A11-OG
1967.1584	X06534	–	A11-OG
1967.1585	X06534	–	A11-OG
1967.1586	X06534	**656**	A11-OG
1967.1587	X06534	**660**	A11-OG
1967.1588	X06534	–	A11-OG
1967.1589	X06534	–	A11-OG
1967.1615	X06535	**674**	A11-OG
1967.1616	X06535	**678**	A11-OG
1967.1617	X06535	**672**	A11-OG
1967.1618	X06535	**668**	A11-OG
1967.1619	X06535	**673**	A11-OG
1967.2133	X06535		A11-OG
1967.2134a.b	X06535	Abb. 346	A11-OG
1967.2135	X06535		A11-OG
1967.2136	X06535		A11-OG
1967.2137	X06535		A11-OG
1967.2138	X06535		A11-OG
1967.2139a–h	X06535	**511**	A11-OG
1967.2140	X06535		A11-OG
1967.2141b.c.e.f	X06535	**506**	A11-OG
1967.2142a–k	X06535	**496**	A11-OG
1967.2143h–g.l	X06535	**534**	A11-OG
1967.2144a–g	X06535	**495**	A11-OG
1967.2145	X06535	**521**	A11-OG
1967.2146	X06535		A11-OG
1967.2147	X06535		A11-OG
1967.2148	X06535		A11-OG
1967.2149	X06535		A11-OG
1967.2150	X06535		A11-OG
1967.2151	X06535		A11-OG
1967.2152	X06535		A11-OG
1967.2153	X06535		A11-OG
1967.2154	X06535		A11-OG
1967.2155	X06535		A11-OG
1967.2156	X06535		A11-OG
1967.2157	X06535		A11-OG

Inv.	FK	Kat./Anm.	Ensemble
1967.2158	X06535		A11-OG
1967.2159	X06535		A11-OG
1967.2160	X06535		A11-OG
1967.2161	X06535		A11-OG
1967.2162	X06535		A11-OG
1967.2163	X06535		A11-OG
1967.2164	X06535		A11-OG
1967.2165a–c	X06535	**538**	A11-OG
1967.2166a–i	X06535	**576**	A11-OG
1967.2167	X06535		A11-OG
1967.2168a–c	X06535	**594**	A11-OG
1967.2169	X06535		A11-OG
1967.2170	X06535		A11-OG
1967.2171	X06535		A11-OG
1967.2172a–f	X06535	**589A**	A11-OG
1967.2173a.b	X06535	**580**	A11-OG
1967.2174	X06535		A11-OG
1967.2175	X06535		A11-OG
1967.2176	X06535		A11-OG
1967.2177	X06535		A11-OG
1967.2178	X06535		A11-OG
1967.2179	X06535		A11-OG
1967.2180	X06535		A11-OG
1967.2181	X06535		A11-OG
1967.2182a–c	X06535	**552**	A11-OG
1967.2183	X06535		A11-OG
1967.2184	X06535		A11-OG
1967.2185	X06535		A11-OG
1967.2186	X06535		A11-OG
1967.2187	X06535		A11-OG
1967.2188	X06535		A11-OG
1967.2189	X06535		A11-OG
1967.2190	X06535		A11-OG
1967.2191	X06535		A11-OG
1967.2192	X06535		A11-OG
1967.2193	X06535		A11-OG
1967.2194	X06535		A11-OG
1967.2195	X06535		A11-OG
1967.2196	X06535		A11-OG
1967.2197	X06535		A11-OG
1967.2198	X06535		A11-OG
1967.2199a.b.d	X06535	**636**	A11-OG
1967.2199c.g	X06535	**626**	A11-OG
1967.2200	X06535	–	A11-OG
1967.2201	X06535	–	A11-OG
1967.2202	X06535	–	A11-OG
1967.2203	X06535	–	A11-OG
1967.2203A	X06535		A11-OG
1967.2204	X06535	**650**	A11-OG
1967.2205	X06535	**640**	A11-OG
1967.2206	X06535		A11-OG
1967.2207	X06535	**655**	A11-OG
1967.2208	X06535	–	A11-OG
1967.2209	X06535	–	A11-OG
1967.2210	X06535	–	A11-OG
1967.2211	X06535		A11-OG
1967.2212	X06535	–	A11-OG
1967.2213	X06535		A11-OG
1967.2214	X06535	**659**	A11-OG
1967.2215	X06535	**658**	A11-OG
1967.2216	X06535	–	A11-OG
1967.2217	X06535	**661**	A11-OG

Inv.	FK	Kat./Anm.	Ensemble
1967.2218a.b	X06535	**675**	A11-OG
1967.2219	X06535	**670**	A11-OG
1967.2220	X06535	**688**	A11-OG
1967.2221A.B	X06535	**681**	A11-OG
1967.2222	X06535	**676**	A11-OG
1967.2223	X06535	**677**	A11-OG
1967.2224	X06535	**679**	A11-OG
1967.2225	X06535	**726**	A11-OG
1967.2226	X06535	–	A11-OG
1967.2227	X06535	**721**	A11-OG
1967.2228	X06535	–	A11-OG
1967.2229	X06535	**669**	A11-OG
1967.2230	X06535	**690**	A11-OG
1967.2231	X06535		A11-OG
1967.2232	X06535	**715**	A11-OG
1967.2233A	X06535	**713**	A11-OG
1967.2233B.C	X06535	–	A11-OG
1967.2234	X06535	–	A11-OG
1967.2235	X06535	**664**	A11-OG
1967.2236	X06535	**705**	A11-OG
1967.2237	X06535	–	A11-OG
1967.2486	X06530	Abb. 11,B	D6
1967.2539	X06543	**365**	A11-GH
1967.2560	X06536		A11-OG
1967.2561	X06536		A11-OG
1967.2562	X06536		A11-OG
1967.2563	X06536		A11-OG
1967.2564	X06536		A11-OG
1967.2565	X06536		A11-OG
1967.2566	X06536		A11-OG
1967.2567	X06536		A11-OG
1967.2568	X06536		A11-OG
1967.2569	X06536		A11-OG
1967.2570	X06536		A11-OG
1967.2571	X06536		A11-OG
1967.2572	X06536	**539**	A11-OG
1967.2573	X06536		A11-OG
1967.2574	X06536		A11-OG
1967.2575	X06536		A11-OG
1967.2576	X06536		A11-OG
1967.2577	X06536		A11-OG
1967.2578	X06536		A11-OG
1967.2579	X06536		A11-OG
1967.2580	X06536	**533**	A11-OG
1967.2581	X06536		A11-OG
1967.2582	X06536		A11-OG
1967.2583	X06536		A11-OG
1967.2584	X06536		A11-OG
1967.2585	X06536		A11-OG
1967.2586	X06536		A11-OG
1967.2587	X06536		A11-OG
1967.2588	X06536		A11-OG
1967.2589	X06536		A11-OG
1967.2590	X06536		A11-OG
1967.2591	X06536		A11-OG
1967.2592	X06536		A11-OG
1967.2593	X06536		A11-OG
1967.2594	X06536		A11-OG
1967.2595	X06536		A11-OG
1967.2596	X06536		A11-OG
1967.2597	X06536		A11-OG
1967.2598	X06536		A11-OG

Inv.	FK	Kat./Anm.	Ensemble
1967.2599	X06536	**567**	A11-OG
1967.2600	X06536		A11-OG
1967.2601	X06536		A11-OG
1967.2602	X06536	**515**	A11-OG
1967.2603	X06536	**548**	A11-OG
1967.2604	X06536		A11-OG
1967.2605	X06536	**549**	A11-OG
1967.2606	X06536		A11-OG
1967.2607a.b	X06536	**562**	A11-OG
1967.2608	X06536	**554**	A11-OG
1967.2609	X06536		A11-OG
1967.2610a.b	X06536	**445**	A11-OG
1967.2611	X06536		A11-OG
1967.2612	X06536		A11-OG
1967.2613	X06536		A11-OG
1967.2614	X06536		A11-OG
1967.2615	X06536	**590**	A11-OG
1967.2616	X06536		A11-OG
1967.2617	X06536		A11-OG
1967.2618	X06536	**591**	A11-OG
1967.2619	X06536		A11-OG
1967.2620	X06536		A11-OG
1967.2621	X06536		A11-OG
1967.2622	X06536		A11-OG
1967.2623	X06536		A11-OG
1967.2624	X06536		A11-OG
1967.2625	X06536		A11-OG
1967.2626	X06536		A11-OG
1967.2627	X06536		A11-OG
1967.2628	X06536		A11-OG
1967.2629	X06536	–	A11-OG
1967.2630	X06536	**648**	A11-OG
1967.2631	X06536	–	A11-OG
1967.2632	X06536	–	A11-OG
1967.2633	X06536	–	A11-OG
1967.2634	X06536	**611B**	A11-OG
1967.3408	X06535	**720**	A11-OG
1967.3409	X06544	**641**	A11-OG
1967.3410	X06544	**654**	A11-OG
1967.3411	X06544	**671**	A11-OG
1967.3412	X06544	**653**	A11-OG
1967.3413	X06544	**627**	A11-OG
1967.3414	X06544	**652**	A11-OG
1967.3415	X06544	**643**	A11-OG
1967.3416	X06544	**644**	A11-OG
1967.3417	X06544	**645**	A11-OG
1967.3418	X06544	**642**	A11-OG
1967.3419	X06544		A11-OG
1967.3500	Z01657	**211**	A7
1967.3501	X06544	–	A11-OG
1967.3502	X06544	–	A11-OG
1967.3503	X06544	–	A11-OG
1967.3504	X06544	–	A11-OG
1967.3505	X06544	–	A11-OG
1967.4459	X06547	**238**	A8
1967.4460A	X06547	**255**	A8
1967.4461	X06547		A8
1967.4462	X06547	**249**	A8
1967.4463	X06547	**272**	A8
1967.4464	X06544		A11-OG
1967.4465	X06544		A11-OG
1967.4466	X06544		A11-OG

Inv.	FK	Kat./Anm.	Ensemble
1967.4467	X06544	**586**	A11-OG
1967.4468	X06544		A11-OG
1967.4469	X06544		A11-OG
1967.4470	X06544		A11-OG
1967.4471	X06544		A11-OG
1967.4472	X06544		A11-OG
1967.4473	X06544		A11-OG
1967.4474	X06544		A11-OG
1967.5010	X06543	**339**	A11-GH
1967.5011	X06543		A11-GH
1967.5012	X06543		A11-GH
1967.5013	X06543	**337**	A11-GH
1967.5014	X06543		A11-GH
1967.5015	X06543		A11-GH
1967.5016	X06543	**370**	A11-GH
1967.5017F	X06543	**344**	A11-GH
1967.5018	X06543		A11-GH
1967.5019	X06543		A11-GH
1967.5020	X06543		A11-GH
1967.5021	X06543		A11-GH
1967.5022a	X06543	**345**	A11-GH
1967.5023	X06543		A11-GH
1967.5024	X06543		A11-GH
1967.5025	X06543		A11-GH
1967.5026	X06543		A11-GH
1967.5027	X06543		A11-GH
1967.5028	X06543	**352**	A11-GH
1967.5029	X06543		A11-GH
1967.5030	X06543		A11-GH
1967.5031	X06543		A11-GH
1967.5032	X06543		A11-GH
1967.5033	X06543		A11-GH
1967.5034	X06543		A11-GH
1967.5035	X06543	**348**	A11-GH
1967.5036	X06543	**348**	A11-GH
1967.5037	X06543		A11-GH
1967.5038	X06543		A11-GH
1967.5039	X06543		A11-GH
1967.5040	X06543		A11-GH
1967.5041	X06543		A11-GH
1967.5042	X06543		A11-GH
1967.5043	X06543		A11-GH
1967.5044	X06543		A11-GH
1967.5045	X06543	**366**	A11-GH
1967.5046	X06543		A11-GH
1967.5047	X06543	**362**	A11-GH
1967.5048	X06543		A11-GH
1967.5049	X06543		A11-GH
1967.5050B	X06543	**363**	A11-GH
1967.5051	X06543		A11-GH
1967.5052	X06543		A11-GH
1967.5053	X06543		A11-GH
1967.5054A–G	X06543	**390**	A11-GH
1967.5055	X06543	**385**	A11-GH
1967.5056	X06543	**364**	A11-GH
1967.5057	X06545	**531**	A11-OG
1967.5057A.B	X06545	**531**	A11-OG
1967.5058	X06545		A11-OG
1967.5059	X06545		A11-OG
1967.5060	X06545		A11-OG
1967.5061	X06545		A11-OG
1967.5062	X06545		A11-OG

Inv.	FK	Kat./Anm.	Ensemble
1967.5063	X06545		A11-OG
1967.5064	X06545		A11-OG
1967.5065	X06545	**539**	A11-OG
1967.5066	X06545		A11-OG
1967.5067	X06545		A11-OG
1967.5068	X06545		A11-OG
1967.5069	X06545		A11-OG
1967.5070	X06545		A11-OG
1967.5071	X06545		A11-OG
1967.5072	X06545		A11-OG
1967.5073	X06545		A11-OG
1967.5074	X06545		A11-OG
1967.5075	X06545		A11-OG
1967.5076	X06545		A11-OG
1967.5077	X06545		A11-OG
1967.5078	X06545		A11-OG
1967.5079	X06545		A11-OG
1967.5080	X06545		A11-OG
1967.5081	X06545		A11-OG
1967.5082	X06545		A11-OG
1967.5083	X06545		A11-OG
1967.5084	X06545		A11-OG
1967.5085	X06545	**638**	A11-OG
1967.5087	X06545	**616**	A11-OG
1967.5350	Z01655		A11-OG
1967.5351	Z01655		A11-OG
1967.5352	Z01655		A11-OG
1967.5353	Z01655		A11-OG
1967.5354	Z01655		A11-OG
1967.5355	Z01655		A11-OG
1967.5356	Z01655		A11-OG
1967.5357	Z01655		A11-OG
1967.5358	Z01655	**543**	A11-OG
1967.5359	Z01655		A11-OG
1967.5365	Z01651		A11-OG
1967.5366	Z01651		A11-OG
1967.5367	Z01651		A11-OG
1967.5368	Z01656	**361**	A11-GH
1967.5369	Z01656	**350**	A11-GH
1967.5370	Z01656	**353**	A11-GH
1967.5371	Z01656	**347**	A11-GH
1967.5372	Z01656		A11-GH
1967.6022	X06546		A8
1967.6023	X06546		A8
1967.6024	X06546		A8
1967.6025	X06546		A8
1967.6026A–E	X06546	**259**	A8
1967.6027	X06546		A8
1967.6028A–C	X06546	**240**	A8
1967.6029	X06546		A8
1967.6030	X06546		A8
1967.6031	X06546		A8
1967.6032	X06546	**243**	A8
1967.6033	X06546		A8
1967.6034	X06546		A8
1967.6035	X06546		A8
1967.6036	X06546		A8
1967.6037	X06546		A8
1967.6038	X06546		A8
1967.6039	X06546		A8
1967.6040A	X06546	**258**	A8
1967.6041A–C	X06546		A8

Inv.	FK	Kat./Anm.	Ensemble
1967.6042	X06546	**262**	A8
1967.6043	X06546		A8
1967.6044	X06546		A8
1967.6045	X06546		A8
1967.6046	X06546		A8
1967.6047	X06546		A8
1967.6048	X06546		A8
1967.6049	X06546		A8
1967.6050	X06546		A8
1967.6051	X06546		A8
1967.6052	X06546	**250**	A8
1967.6053	X06546		A8
1967.6054B	X06546		A8
1967.6055	X06546		A8
1967.6056	X06546		A8
1967.6057	X06546		A8
1967.6058	X06546		A8
1967.6059	X06546		A8
1967.6060	X06546	**264**	A8
1967.6061	X06546		A8
1967.6062	X06546		A8
1967.6063	X06546		A8
1967.6064	X06546		A8
1967.6065	X06546		A8
1967.6066	X06546		A8
1967.6067	X06546		A8
1967.6068	X06546		A8
1967.6069	X06546		A8
1967.6070	X06546		A8
1967.6071	X06546		A8
1967.6072	X06546		A8
1967.6073	X06546		A8
1967.6074	X06546		A8
1967.6075	X06546		A8
1967.6076	X06546		A8
1967.6077	X06546		A8
1967.6078	X06546		A8
1967.6079	X06546		A8
1967.6080	X06546		A8
1967.6081	X06546		A8
1967.6541	X06541		A11-OG
1967.6542	X06541		A11-OG
1967.6543	X06541		A11-OG
1967.6544	X06541		A11-OG
1967.6545	X06541		A11-OG
1967.6546	X06541		A11-OG
1967.6547	X06541		A11-OG
1967.6615	Z01652		A11-OG
1967.6616	Z01652		A11-OG
1967.6617	Z01652		A11-OG
1967.6618	Z01652		A11-OG
1967.6619	Z01652		A11-OG
1967.6620	Z01652		A11-OG
1967.6621	Z01652		A11-OG
1967.6622	Z01652		A11-OG
1967.6623	Z01652		A11-OG
1967.6624	Z01652		A11-OG
1967.6625	Z01652		A11-OG
1967.6626	Z01652		A11-OG
1967.6627	Z01652		A11-OG
1967.6628	Z01652		A11-OG
1967.6629	Z01652		A11-OG

Inv.	FK	Kat./Anm.	Ensemble
1967.6630	Z01652		A11-OG
1967.6631	Z01652	**706**	A11-OG
1967.6633	Z01657	**197**	A7
1967.6634	Z01657	**198**	A7
1967.6635	Z01657		A7
1967.6636	Z01657	**199**	A7
1967.6637	Z01657		A7
1967.6638	Z01657	**200**	A7
1967.6639	Z01657		A7
1967.6640	Z01657		A7
1967.6641	Z01657		A7
1967.6642	Z01657	**206**	A7
1967.6643	Z01657	**203**	A7
1967.6644	Z01657	**207**	A7
1967.6645	Z01657		A7
1967.6646	Z01657	**208**	A7
1967.6647B.D	Z01657	**201**	A7
1967.6647C	Z01657	**209**	A7
1967.6648	Z01657	**202**	A7
1967.6649	Z01657		A7
1967.6650	Z01657		A7
1967.6651	Z01657	**210**	A7
1967.6652	Z01657		A7
1967.6653A–E	Z01657	**204**	A7
1967.6654	Z01657	**205**	A7
1967.6655	Z01657	–	A7
1967.6656	X06542		A11-OG
1967.6657	X06542		A11-OG
1967.6658	X06542		A11-OG
1967.6659	X06542		A11-OG
1967.6660	X06542		A11-OG
1967.6661	X06542		A11-OG
1967.6662	X06542		A11-OG
1967.6663	X06542		A11-OG
1967.6664	X06542		A11-OG
1967.6665A–E	X06542	**390**	A11-OG
1967.6666	Z01653		A8
1967.6667	Z01653		A8
1967.6668	Z01653		A8
1967.6669	Z01653		A8
1967.6670	Z01653		A8
1967.6671	Z01653	**240**	A8
1967.6672	Z01653	**242**	A8
1967.6673	Z01653		A8
1967.6674	Z01653		A8
1967.6675	Z01653		A8
1967.6676	Z01653		A8
1967.6677	Z01653	**261**	A8
1967.6678	Z01653	**244**	A8
1967.6679	Z01653		A8
1967.6680	Z01653		A8
1967.6681	Z01653		A8
1967.6682	Z01653	**242**	A8
1967.6683	Z01653		A8
1967.6684A–C	Z01653	**263**	A8
1967.6685	Z01653		A8
1967.6686	Z01653	**252**	A8
1967.6687	Z01653		A8
1967.6688	Z01653		A8
1967.6689	Z01653		A8
1967.6690	Z01653		A8
1967.6691	Z01653		A8

Inv.	FK	Kat./Anm.	Ensemble
1967.6692	Z01653	**253**	A8
1967.6693	Z01653	**254**	A8
1967.6694	Z01653	**251**	A8
1967.6695	Z01653		A8
1967.6696	Z01653		A8
1967.6697	Z01653		A8
1967.6698	Z01653		A8
1967.6699	Z01653		A8
1967.6700	Z01653		A8
1967.6701	Z01653		A8
1967.6702	Z01653		A8
1967.6703	Z01653	**248**	A8
1967.6704A	Z01653	**247**	A8
1967.6705	Z01653		A8
1967.6706	Z01653	**252**	A8
1967.6707	Z01653		A8
1967.6708	Z01653		A8
1967.6709	Z01653		A8
1967.6710	Z01653		A8
1967.6711	Z01653		A8
1967.6712	Z01653		A8
1967.6713	Z01653		A8
1967.6714	Z01653	**257**	A8
1967.6715	Z01653		A8
1967.6716	Z01653	**266**	A8
1967.6717	Z01653	–	A8
1967.6718	X06550	**393**	A11-EG
1967.6719	X06550		A11-EG
1967.6720	X06550	**400**	A11-EG
1967.6721	X06550		A11-EG
1967.6722	X06550		A11-EG
1967.6723	X06550		A11-EG
1967.6724A–C	X06550	**440**	A11-EG
1967.6725	X06550		A11-EG
1967.6726	X06550		A11-EG
1967.6727	X06550		A11-EG
1967.6728	X06550		A11-EG
1967.6729	X06550	**436**	A11-EG
1967.6730	X06550	**457**	A11-EG
1967.6731	X06550		A11-EG
1967.6732	X06550		A11-EG
1967.6733	X06550		A11-EG
1967.6734	X06550		A11-EG
1967.6735	X06550		A11-EG
1967.6736	X06550		A11-EG
1967.6737	X06550	**426**	A11-EG
1967.6738	X06550		A11-EG
1967.6739	X06550		A11-EG
1967.6740	X06550		A11-EG
1967.6741	X06550		A11-EG
1967.6742	X06550		A11-EG
1967.6743a–m	X06550	**444**	A11-EG
1967.6744	X06550		A11-EG
1967.6745A	X06550	**444**	A11-EG
1967.6746	X06550		A11-EG
1967.6747	X06550		A11-EG
1967.6748A	X06550	**466**	A11-EG
1967.6748B	X06550	**464**	A11-EG
1967.6749	Z01653	**268**	A8
1967.6750	Z01653	**271**	A8
1967.6751	X06550	**475**	A11-EG
1967.6752	X06550	**479**	A11-EG

Inv.	FK	Kat./Anm.	Ensemble
1967.6753	X06539	**306**	A11-BO1
1967.6754	X06539	**304**	A11-BO1
1967.6755	X06539		A11-BO1
1967.6756a–h	X06539	**310**	A11-BO1
1967.6757	X06539	**308**	A11-BO1
1967.6758	X06539		A11-BO1
1967.6759a–m	X06539	**314**	A11-BO1
1967.6760	X06539	**316**	A11-BO1
1967.6761	X06539	–	A11-BO1
1967.6762	X06539	–	A11-BO1
1967.6763	X06539	**317**	A11-BO1
1967.6764	X06539	**318**	A11-BO1
1967.6765	X06539	–	A11-BO1
1967.6766	X06539	–	A11-BO1
1967.6767A	X06539	**319**	A11-BO1
1967.9884	Z01668	**60**	A3-1
1967.9885	Z01668	**61**	A3-1
1967.9885b.c	Z01668	**62**	A3-1
1967.9886C	Z01668	**59**	A3-1
1967.9887A	Z01668	**59**	A3-1
1967.9888	Z01668		A3-1
1967.9889A.B	Z01668	**57**	A3-1
1967.9890A.B	Z01668	**58**	A3-1
1967.9891B.D	Z01668	**58**	A3-1
1967.9892A.B	Z01668	**63**	A3-1
1967.9893	Z01668		A3-1
1967.9894	Z01668	**64**	A3-1
1967.9895	Z01668		A3-1
1967.9896	Z01668		A3-1
1967.9897	Z01668		A3-1
1967.9898	Z01668		A3-1
1967.9899	Z01668		A3-1
1967.9900	Z01668		A3-1
1967.9901	Z01668		A3-1
1967.9902	Z01668		A3-1
1967.9903	Z01668	**65**	A3-1
1967.9904	Z01668		A3-1
1967.9905	Z01668		A3-1
1967.9906	Z01668		A3-1
1967.9907	Z01668		A3-1
1967.9908	Z01668		A3-1
1967.9909	Z01668		A3-1
1967.9910	Z01668		A3-1
1967.9911	Z01668		A3-1
1967.9912	Z01668		A3-1
1967.9913	Z01668		A3-1
1967.9914	Z01668		A3-1
1967.9915	Z01668		A3-1
1967.9916	Z01668		A3-1
1967.9917	Z01668		A3-1
1967.9918	Z01668	**66**	A3-1
1967.9919	Z01668	**71**	A3-1
1967.9920	Z01668	**70**	A3-1
1967.9921	Z01668		A3-1
1967.9922	Z01668		A3-1
1967.9923	Z01668	**69**	A3-1
1967.9924	Z01668	**67**	A3-1
1967.9925	Z01668		A3-1
1967.9926	Z01668		A3-1
1967.9927	Z01668		A3-1
1967.9928	Z01668		A3-1
1967.9929	Z01668		A3-1

Inv.	FK	Kat./Anm.	Ensemble
1967.9930A–E	Z01668	**68**	A3-1
1967.9931	Z01668	**72**	A3-1
1967.9932	Z01668	–	A3-1
1967.9933	Z01668	–	A3-1
1967.9934	Z01668	–	A3-1
1967.9935	Z01668	–	A3-1
1967.9936	Z01664	**320**	A11-F4
1967.9937	Z01664	**321**	A11-F4
1967.9938	Z01664		A11-F4
1967.9939	Z01664		A11-F4
1967.9940	Z01664		A11-F4
1967.9941	Z01664		A11-F4
1967.9945	Z01664	**322**	A11-F4
1967.9946	Z01664	**324**	A11-F4
1967.9947	Z01664	**324**	A11-F4
1967.9948	Z01664		A11-F4
1967.9949	Z01664	**326**	A11-F4
1967.9950	Z01664		A11-F4
1967.9951	Z01664	**325**	A11-F4
1967.9952	Z01664	**323**	A11-F4
1967.9953	Z01664		A11-F4
1967.9954A–E	Z01664	**328**	A11-F4
1967.9955A.B	Z01664	**329**	A11-F4
1967.9956A–C	Z01664	**330**	A11-F4
1967.9957	Z01664		A11-F4
1967.9958	Z01664	**327**	A11-F4
1967.9959	Z01664	**332**	A11-F4
1967.9960	Z01664	**333**	A11-F4
1967.9961	Z01664	**331**	A11-F4
1967.9962	Z01672		A8
1967.9963B–D	Z01672	**232**	A8
1967.9964	Z01672		A8
1967.9965	Z01672	**231**	A8
1967.9966	Z01672		A8
1967.9967	Z01672		A8
1967.9968	Z01672		A8
1967.9969	Z01672		A8
1967.9970	Z01672		A8
1967.9971	Z01672		A8
1967.9972	Z01672		A8
1967.9973	Z01672		A8
1967.9974	X06548		A11-EG
1967.9975	X06548		A11-EG
1967.9976	X06548		A11-EG
1967.9977	X06548		A11-EG
1967.9978	X06548		A11-EG
1967.9979	X06548		A11-EG
1967.9980	X06548		A11-EG
1967.9981	X06548		A11-EG
1967.9982	X06548		A11-EG
1967.9983	X06548		A11-EG
1967.9984	X06548		A11-EG
1967.9985	X06548		A11-EG
1967.9986	Z01659		A11-BO1
1967.9987	Z01659	**307**	A11-BO1
1967.9988	Z01659		A11-BO1
1967.9989	Z01659		A11-BO1
1967.9990	Z01659		A11-BO1
1967.9991	Z01659	**311**	A11-BO1
1967.9992	Z01659	**312**	A11-BO1
1967.9993A	Z01659	**313**	A11-BO1
1967.9994A	Z01659	**305**	A11-BO1

Inv.	FK	Kat./Anm.	Ensemble
1967.9994l.n–p.r–z	Z01659	**309**	A11-BO1
1967.10045	Z01666	**127**	A6
1967.10046	Z01666	**126**	A6
1967.10047	Z01666		A6
1967.10048	Z01666	**129**	A6
1967.10048A.B	Z01666	**128**	A6
1967.10049	Z01666		A6
1967.10050	Z01666		A6
1967.10051	Z01666		A6
1967.10052	Z01666		A6
1967.10053	Z01666	**131**	A6
1967.10054A–C	Z01666	**132**	A6
1967.10055	Z01666		A6
1967.10056	Z01666		A6
1967.10057	Z01666		A6
1967.10058	Z01666	**136**	A6
1967.10059A.B	Z01667	**90**	A5
1967.10060	Z01667	**93**	A5
1967.10061A.B	Z01667	**89**	A5
1967.10062	Z01667	**91**	A5
1967.10063	Z01667	**92**	A5
1967.10064	Z01667		A5
1967.10065	Z01667	**88**	A5
1967.10066	Z01667	**94**	A5
1967.10067	Z01667		A5
1967.10068	Z01667	**95**	A5
1967.10069A.B.D.E	Z01667	**97**	A5
1967.10069C	Z01667	**96**	A5
1967.10070	Z01667	**98**	A5
1967.10071	Z01667	–	A5
1967.10084	Z01665		A6
1967.10085	Z01665		A6
1967.10086	Z01665		A6
1967.10087	Z01665		A6
1967.10088	Z01665	**130**	A6
1967.10089	Z01665		A6
1967.10090	Z01665		A6
1967.10091	Z01665		A6
1967.10092	Z01665	**133**	A6
1967.10093	Z01665	**134**	A6
1967.10094	Z01665		A6
1967.10095	Z01665		A6
1967.10096	Z01665	**135**	A6
1967.10097	Z01665		A6
1967.10098	Z01665	–	A6
1967.10099	Z01665	**138**	A6
1967.10100	Z01665	**137**	A6
1967.10101	Z01661		A11-OG
1967.10102	Z01661		A11-OG
1967.10103	Z01661	–	A11-OG
1967.10104	Z01661	**745**	A11-OG
1967.10105	Z01661	**743**	A11-OG
1967.10106	Z01661	**742**	A11-OG
1967.10107	Z01661	–	A11-OG
1967.10129	Z01660		A11-EG
1967.10130	Z01660		A11-EG
1967.10131	Z01660		A11-EG
1967.10132	Z01660		A11-EG
1967.10133	Z01660		A11-EG
1967.10134	Z01660		A11-EG
1967.10135	Z01660		A11-EG
1967.10136	Z01660		A11-EG

Inv.	FK	Kat./Anm.	Ensemble
1967.10137	Z01660	**396**	A11-EG
1967.10138	Z01660		A11-EG
1967.10139	Z01660		A11-EG
1967.10140	Z01660		A11-EG
1967.10141	Z01660		A11-EG
1967.10142	Z01660		A11-EG
1967.10143	Z01660		A11-EG
1967.10144	Z01660	**446**	A11-EG
1967.10145	Z01660	**460**	A11-EG
1967.10180	Z01673	**234**	A8
1967.10181	Z01673		A8
1967.10182	Z01673	**235**	A8
1967.10183	Z01673		A8
1967.10184	Z01673	**237**	A8
1967.10185	Z01673		A8
1967.10186	Z01673		A8
1967.10187	Z01673		A8
1967.10188	Z01673	**241**	A8
1967.10189	Z01673		A8
1967.10190	Z01673		A8
1967.10191	Z01673		A8
1967.10192	Z01673	**245**	A8
1967.10193	Z01673		A8
1967.10194	Z01673		A8
1967.10195	Z01673		A8
1967.10196	Z01673		A8
1967.10197	Z01673		A8
1967.10198	Z01673		A8
1967.10199	Z01673		A8
1967.10200	Z01673	**239**	A8
1967.10201	Z01673		A8
1967.10202	Z01673		A8
1967.10203	Z01673		A8
1967.10204	Z01673		A8
1967.10205	Z01673		A8
1967.10206	Z01673		A8
1967.10207	Z01673		A8
1967.10208	Z01673		A8
1967.10209	Z01673		A8
1967.10210	Z01673		A8
1967.10211	Z01673		A8
1967.10212	Z01673		A8
1967.10213	Z01673		A8
1967.10214	Z01673		A8
1967.10215	Z01673		A8
1967.10216	Z01673		A8
1967.10217	Z01673	**256**	A8
1967.10218	Z01673	–	A8
1967.10219	Z01673	–	A8
1967.10220	Z01673	–	A8
1967.10277	Z01663	**300**	A10-F5
1967.10278	Z01663	**302**	A10-F5
1967.10279	Z01663		A10-F5
1967.10280	Z01663	**301**	A10-F5
1967.10281	Z01663	–	A10-F5
1967.10282	Z01663	**303**	A10-F5
1967.10288	Z01674		A8
1967.10289	Z01674		A8
1967.10290	Z01674		A8
1967.10291	Z01674		A8
1967.10292	Z01674		A8
1967.10293	Z01676	**505**	A11-OG

Inv.	FK	Kat./Anm.	Ensemble
1967.10294	Z01676	**494**	A11-OG
1967.10295	Z01676		A11-OG
1967.10296	Z01676		A11-OG
1967.10297	Z01676		A11-OG
1967.10298	Z01676		A11-OG
1967.10299	Z01676		A11-OG
1967.10300	Z01676		A11-OG
1967.10301	Z01676		A11-OG
1967.10302	Z01676		A11-OG
1967.10303	Z01676		A11-OG
1967.10304	Z01676		A11-OG
1967.10305	Z01676	**731**	A11-OG
1967.10306	Z01676	**634**	A11-OG
1967.10307	Z01676	–	A11-OG
1967.10308	Z01658		A11-OG
1967.10309	Z01658		A11-OG
1967.10310	Z01658		A11-OG
1967.10311	Z01658		A11-OG
1967.10312	Z01658	**541**	A11-OG
1967.10313	Z01658		A11-OG
1967.10314	Z01658		A11-OG
1967.10315	Z01658		A11-OG
1967.10316	Z01658		A11-OG
1967.10317	Z01658	–	A11-OG
1967.10318	Z01658	–	A11-OG
1967.10374	Z01662		A11-EG
1967.10387	Z01669		A2
1967.10388	Z01669	**1**	A2
1967.10389	Z01669	**2**	A2
1967.10390	Z01669	–	A2
1967.10391	Z01669	**3**	A2
1967.10608	X06526	–	C6
1967.11494	X06545		A11-OG
1967.11495	X06545		A11-OG
1967.11496	X06545		A11-OG
1967.11497	X06545		A11-OG
1967.11498	X06545		A11-OG
1967.11499	X06545	**513**	A11-OG
1967.11500	X06545		A11-OG
1967.11501	X06545		A11-OG
1967.11502	X06545		A11-OG
1967.11503	X06545		A11-OG
1967.11504	X06545		A11-OG
1967.11505	X06545		A11-OG
1967.11506	X06545		A11-OG
1967.11507	X06545		A11-OG
1967.11508	X06545		A11-OG
1967.11509	X06545		A11-OG
1967.11510	X06545		A11-OG
1967.11511b	X06545	**558**	A11-OG
1967.11512	X06545	**263**	A11-OG
1967.11513	X06545	**585**	A11-OG
1967.11514	X06545	**557**	A11-OG
1967.11515	X06545		A11-OG
1967.11516	X06545		A11-OG
1967.11517b.c.e.f	X06545	**545**	A11-OG
1967.11518	X06545		A11-OG
1967.11519	X06545		A11-OG
1967.11520	X06545		A11-OG
1967.11521	X06545		A11-OG
1967.11522	X06545		A11-OG
1967.11523	X06545		A11-OG

Inv.	FK	Kat./Anm.	Ensemble
1967.11524	X06545		A11-OG
1967.14042	Z01677		A9
1967.14043	Z01677		A9
1967.14044	Z01677		A9
1967.14045	Z01677		A9
1967.14046	Z01677	**295**	A9
1967.14047	Z01677		A9
1967.14048	Z01677	**296**	A9
1967.14049	Z01677		A9
1967.14050	Z01677		A9
1967.14051a–c	Z01677	**297**	A9
1967.14052	Z01677		A9
1967.14053	Z01677		A9
1967.14054	Z01677	**298**	A9
1967.14055	Z01677	**299**	A9
1967.14158	Z01679		A11-OG
1967.14159	Z01679		A11-OG
1967.14160	Z01679		A11-OG
1967.14161	Z01679		A11-OG
1967.14162	Z01679	**617**	A11-OG
1967.14163	Z01679	–	A11-OG
1967.14164	Z01679		A11-OG
1967.14165	Z01680	**84**	A4
1967.14166	Z01680		A4
1967.14167	Z01680	**86**	A4
1967.14168	Z01680	**85**	A4
1967.14169	Z01680	–	A4
1967.14170	Z01680		A4
1967.14171	Z01680	**87**	A4
1967.14172	Z01678		A11-OG
1967.14173	Z01678		A11-OG
1967.14174	Z01678		A11-OG
1967.14175	Z01678		A11-OG
1967.14176	Z01678	**524**	A11-OG
1967.14177	Z01678		A11-OG
1967.14178	Z01678		A11-OG
1967.14179	Z01678	–	A11-OG
1967.16174	Z01682	–	B15
1967.16454	Z01682	**921**	B15
1967.16467	V05075	–	A5
1967.18983	Z01682	–	B15
1967.18983A	Z01682	–	B15
1967.18985	X06543	**387**	A11-GH
1967.18986	Z01657	**213**	A7
1967.18987	X06550	**474**	A11-EG
1967.18988	X06535	**607**	A11-OG
1967.18989	Z01657	**212**	A7
1967.18990	Z01673	**269**	A8
1967.18991	Z01672	**270A**	A8
1967.28358	Z01653	–	A8
1967.28358A	Z01653	–	A8
1967.28362A	Z01653	**275**	A8
1967.28362B	Z01653	**276**	A8
1967.28362C	Z01653	**277**	A8
1967.28362D	Z01653	**278**	A8
1967.28363	Z01658	**741**	A11-OG
1967.28364	Z01658	–	A11-OG
1967.29585	Z01659	**315**	A11-BO1
2001.063.E04434.1		Anm. 250	
2001.067.E06055.1		Abb. 299	
2002.063.E06091.4		Anm. 514	
2002.063.E06092.1			A11-EG

Inv.	FK	Kat./Anm.	Ensemble
2002.063.E06092.2			A11-EG
2002.063.E06092.3			A11-EG
2002.063.E06092.4		**392**	A11-EG
2002.063.E06092.5		**398**	A11-EG
2002.063.E06092.6			A11-EG
2002.063.E06092.7			A11-EG
2002.063.E06092.8			A11-EG
2002.063.E06092.9			A11-EG
2002.063.E06092.10		**391**	A11-EG
2002.063.E06092.11			A11-EG
2002.063.E06092.12			A11-EG
2002.063.E06092.13			A11-EG
2002.063.E06092.14			A11-EG
2002.063.E06092.15			A11-EG
2002.063.E06092.16			A11-EG
2002.063.E06092.17			A11-EG
2002.063.E06092.18		**403**	A11-EG
2002.063.E06092.19			A11-EG
2002.063.E06092.20			A11-EG
2002.063.E06092.21			A11-EG
2002.063.E06092.22a.b		**406**	A11-EG
2002.063.E06092.23			A11-EG
2002.063.E06092.24		**408**	A11-EG
2002.063.E06092.25			A11-EG
2002.063.E06092.26			A11-EG
2002.063.E06092.27			A11-EG
2002.063.E06092.28		**419**	A11-EG
2002.063.E06092.29			A11-EG
2002.063.E06092.30a–g		**417**	A11-EG
2002.063.E06092.31			A11-EG
2002.063.E06092.32			A11-EG
2002.063.E06092.33			A11-EG
2002.063.E06092.34			A11-EG
2002.063.E06092.35		**413**	A11-EG
2002.063.E06092.36			A11-EG
2002.063.E06092.37			A11-EG
2002.063.E06092.38			A11-EG
2002.063.E06092.39			A11-EG
2002.063.E06092.40			A11-EG
2002.063.E06092.41			A11-EG
2002.063.E06092.42			A11-EG
2002.063.E06092.43			A11-EG
2002.063.E06092.44			A11-EG
2002.063.E06092.45			A11-EG
2002.063.E06092.46			A11-EG
2002.063.E06092.47			A11-EG
2002.063.E06092.48			A11-EG
2002.063.E06092.49			A11-EG
2002.063.E06092.50			A11-EG
2002.063.E06092.51			A11-EG
2002.063.E06092.52			A11-EG
2002.063.E06092.53			A11-EG
2002.063.E06092.54		**415**	A11-EG
2002.063.E06092.55			A11-EG
2002.063.E06092.56			A11-EG
2002.063.E06092.57			A11-EG
2002.063.E06092.58a.b		**414**	A11-EG
2002.063.E06092.59			A11-EG
2002.063.E06092.60			A11-EG
2002.063.E06092.61			A11-EG
2002.063.E06092.62		**416**	A11-EG
2002.063.E06092.63			A11-EG

Inv.	FK	Kat./Anm.	Ensemble
2002.063.E06092.64			A11-EG
2002.063.E06092.65			A11-EG
2002.063.E06092.66			A11-EG
2002.063.E06092.67			A11-EG
2002.063.E06092.68			A11-EG
2002.063.E06092.69			A11-EG
2002.063.E06092.70			A11-EG
2002.063.E06092.71			A11-EG
2002.063.E06092.72			A11-EG
2002.063.E06092.73			A11-EG
2002.063.E06092.74			A11-EG
2002.063.E06092.75			A11-EG
2002.063.E06092.76			A11-EG
2002.063.E06092.77			A11-EG
2002.063.E06092.78			A11-EG
2002.063.E06092.79			A11-EG
2002.063.E06092.80			A11-EG
2002.063.E06092.81			A11-EG
2002.063.E06092.82			A11-EG
2002.063.E06092.83			A11-EG
2002.063.E06092.84			A11-EG
2002.063.E06092.85			A11-EG
2002.063.E06092.86			A11-EG
2002.063.E06092.87			A11-EG
2002.063.E06092.88			A11-EG
2002.063.E06092.89			A11-EG
2002.063.E06092.90			A11-EG
2002.063.E06092.91			A11-EG
2002.063.E06092.92			A11-EG
2002.063.E06092.93			A11-EG
2002.063.E06092.94			A11-EG
2002.063.E06092.95			A11-EG
2002.063.E06092.96			A11-EG
2002.063.E06092.97			A11-EG
2002.063.E06092.98			A11-EG
2002.063.E06092.99			A11-EG
2002.063.E06092.100			A11-EG
2002.063.E06092.101			A11-EG
2002.063.E06092.102			A11-EG
2002.063.E06092.103			A11-EG
2002.063.E06092.104			A11-EG
2002.063.E06092.105			A11-EG
2002.063.E06092.106			A11-EG
2002.063.E06092.107			A11-EG
2002.063.E06092.108			A11-EG
2002.063.E06092.109			A11-EG
2002.063.E06092.110			A11-EG
2002.063.E06092.111			A11-EG
2002.063.E06092.112			A11-EG
2002.063.E06092.113			A11-EG
2002.063.E06092.114			A11-EG
2002.063.E06092.115			A11-EG
2002.063.E06092.116			A11-EG
2002.063.E06092.117			A11-EG
2002.063.E06092.118			A11-EG
2002.063.E06092.119			A11-EG
2002.063.E06092.120			A11-EG
2002.063.E06092.121			A11-EG
2002.063.E06092.122			A11-EG
2002.063.E06092.123			A11-EG
2002.063.E06092.124			A11-EG
2002.063.E06092.125			A11-EG

Inv.	FK	Kat./Anm.	Ensemble
2002.063.E06092.126			A11-EG
2002.063.E06092.127			A11-EG
2002.063.E06092.128			A11-EG
2002.063.E06092.129			A11-EG
2002.063.E06092.130			A11-EG
2002.063.E06092.131			A11-EG
2002.063.E06092.132			A11-EG
2002.063.E06092.133			A11-EG
2002.063.E06092.134			A11-EG
2002.063.E06092.135			A11-EG
2002.063.E06092.136			A11-EG
2002.063.E06092.137			A11-EG
2002.063.E06092.138			A11-EG
2002.063.E06092.139			A11-EG
2002.063.E06092.140			A11-EG
2002.063.E06092.141			A11-EG
2002.063.E06092.142			A11-EG
2002.063.E06092.143			A11-EG
2002.063.E06092.144			A11-EG
2002.063.E06092.145			A11-EG
2002.063.E06092.146			A11-EG
2002.063.E06092.147			A11-EG
2002.063.E06092.148			A11-EG
2002.063.E06092.149			A11-EG
2002.063.E06092.150			A11-EG
2002.063.E06092.151			A11-EG
2002.063.E06092.152			A11-EG
2002.063.E06092.153			A11-EG
2002.063.E06092.154			A11-EG
2002.063.E06092.155			A11-EG
2002.063.E06092.156			A11-EG
2002.063.E06092.157			A11-EG
2002.063.E06092.158			A11-EG
2002.063.E06092.159			A11-EG
2002.063.E06092.160			A11-EG
2002.063.E06092.161			A11-EG
2002.063.E06092.162			A11-EG
2002.063.E06092.163			A11-EG
2002.063.E06092.164			A11-EG
2002.063.E06092.165			A11-EG
2002.063.E06092.166			A11-EG
2002.063.E06092.167			A11-EG
2002.063.E06092.168			A11-EG
2002.063.E06092.169			A11-EG
2002.063.E06092.170			A11-EG
2002.063.E06092.171			A11-EG
2002.063.E06092.172			A11-EG
2002.063.E06092.173			A11-EG
2002.063.E06092.174			A11-EG
2002.063.E06092.175			A11-EG
2002.063.E06092.176			A11-EG
2002.063.E06092.177			A11-EG
2002.063.E06092.178			A11-EG
2002.063.E06092.179			A11-EG
2002.063.E06092.180			A11-EG
2002.063.E06092.181			A11-EG
2002.063.E06092.182			A11-EG
2002.063.E06092.183			A11-EG
2002.063.E06092.184			A11-EG
2002.063.E06092.185			A11-EG
2002.063.E06092.186			A11-EG
2002.063.E06092.187			A11-EG

Inv.	FK	Kat./Anm.	Ensemble
2002.063.E06092.188			A11-EG
2002.063.E06092.189			A11-EG
2002.063.E06092.190			A11-EG
2002.063.E06092.191			A11-EG
2002.063.E06092.192			A11-EG
2002.063.E06092.193			A11-EG
2002.063.E06092.194			A11-EG
2002.063.E06092.195			A11-EG
2002.063.E06092.196			A11-EG
2002.063.E06092.197			A11-EG
2002.063.E06092.198			A11-EG
2002.063.E06092.199			A11-EG
2002.063.E06092.200			A11-EG
2002.063.E06092.201			A11-EG
2002.063.E06092.202			A11-EG
2002.063.E06092.203			A11-EG
2002.063.E06092.204			A11-EG
2002.063.E06092.205			A11-EG
2002.063.E06092.206			A11-EG
2002.063.E06092.207			A11-EG
2002.063.E06092.208			A11-EG
2002.063.E06092.209			A11-EG
2002.063.E06092.210			A11-EG
2002.063.E06092.211			A11-EG
2002.063.E06092.212			A11-EG
2002.063.E06092.213			A11-EG
2002.063.E06092.214			A11-EG
2002.063.E06092.215			A11-EG
2002.063.E06092.216			A11-EG
2002.063.E06092.217			A11-EG
2002.063.E06092.218			A11-EG
2002.063.E06092.219			A11-EG
2002.063.E06092.220			A11-EG
2002.063.E06092.221			A11-EG
2002.063.E06092.222			A11-EG
2002.063.E06092.223			A11-EG
2002.063.E06092.224			A11-EG
2002.063.E06092.225			A11-EG
2002.063.E06092.226			A11-EG
2002.063.E06092.227			A11-EG
2002.063.E06092.228			A11-EG
2002.063.E06092.229			A11-EG
2002.063.E06092.230			A11-EG
2002.063.E06092.231			A11-EG
2002.063.E06092.232			A11-EG
2002.063.E06092.233			A11-EG
2002.063.E06092.234			A11-EG
2002.063.E06092.235			A11-EG
2002.063.E06092.236			A11-EG
2002.063.E06092.237			A11-EG
2002.063.E06092.238			A11-EG
2002.063.E06092.239			A11-EG
2002.063.E06092.240			A11-EG
2002.063.E06092.241			A11-EG
2002.063.E06092.242			A11-EG
2002.063.E06092.243			A11-EG
2002.063.E06092.244			A11-EG
2002.063.E06092.245			A11-EG
2002.063.E06092.246			A11-EG
2002.063.E06092.247			A11-EG
2002.063.E06092.248			A11-EG
2002.063.E06092.249			A11-EG

Inv.	FK	Kat./Anm.	Ensemble
2002.063.E06092.250			A11-EG
2002.063.E06092.251			A11-EG
2002.063.E06092.252			A11-EG
2002.063.E06092.253			A11-EG
2002.063.E06092.254			A11-EG
2002.063.E06092.255			A11-EG
2002.063.E06092.256			A11-EG
2002.063.E06092.257			A11-EG
2002.063.E06092.258			A11-EG
2002.063.E06092.259		**401**	A11-EG
2002.063.E06092.260			A11-EG
2002.063.E06092.261			A11-EG
2002.063.E06092.262			A11-EG
2002.063.E06092.263			A11-EG
2002.063.E06092.264			A11-EG
2002.063.E06092.265			A11-EG
2002.063.E06092.266			A11-EG
2002.063.E06092.267			A11-EG
2002.063.E06092.268			A11-EG
2002.063.E06092.269			A11-EG
2002.063.E06092.270			A11-EG
2002.063.E06092.271			A11-EG
2002.063.E06092.272			A11-EG
2002.063.E06092.273			A11-EG
2002.063.E06092.274			A11-EG
2002.063.E06092.275			A11-EG
2002.063.E06092.276			A11-EG
2002.063.E06092.277			A11-EG
2002.063.E06092.278			A11-EG
2002.063.E06092.279			A11-EG
2002.063.E06092.280			A11-EG
2002.063.E06092.281			A11-EG
2002.063.E06092.282			A11-EG
2002.063.E06092.283			A11-EG
2002.063.E06092.284			A11-EG
2002.063.E06092.285a–j		**576**	A11-EG
2002.063.E06092.286		**576**	A11-EG
2002.063.E06092.287		**428**	A11-EG
2002.063.E06092.288		**427**	A11-EG
2002.063.E06092.289			A11-EG
2002.063.E06092.290		**429**	A11-EG
2002.063.E06092.291			A11-EG
2002.063.E06092.292a–c		**434**	A11-EG
2002.063.E06092.293		**431**	A11-EG
2002.063.E06092.294			A11-EG
2002.063.E06092.295			A11-EG
2002.063.E06092.296			A11-EG
2002.063.E06092.297			A11-EG
2002.063.E06092.298			A11-EG
2002.063.E06092.299a.b		**438**	A11-EG
2002.063.E06092.300			A11-EG
2002.063.E06092.301a–c		**424**	A11-EG
2002.063.E06092.302			A11-EG
2002.063.E06092.303			A11-EG
2002.063.E06092.304			A11-EG
2002.063.E06092.305		**423**	A11-EG
2002.063.E06092.306			A11-EG
2002.063.E06092.307		**442**	A11-EG
2002.063.E06092.308		**445**	A11-EG
2002.063.E06092.309			A11-EG
2002.063.E06092.310			A11-EG
2002.063.E06092.311			A11-EG

Inv.	FK	Kat./Anm.	Ensemble
2002.063.E06092.312			A11-EG
2002.063.E06092.313			A11-EG
2002.063.E06092.314		**447**	A11-EG
2002.063.E06092.315			A11-EG
2002.063.E06092.316			A11-EG
2002.063.E06092.317			A11-EG
2002.063.E06092.318			A11-EG
2002.063.E06092.319			A11-EG
2002.063.E06092.320			A11-EG
2002.063.E06092.321			A11-EG
2002.063.E06092.322			A11-EG
2002.063.E06092.323			A11-EG
2002.063.E06092.324			A11-EG
2002.063.E06092.325			A11-EG
2002.063.E06092.326			A11-EG
2002.063.E06092.327			A11-EG
2002.063.E06092.328			A11-EG
2002.063.E06092.329			A11-EG
2002.063.E06092.330			A11-EG
2002.063.E06092.331			A11-EG
2002.063.E06092.332			A11-EG
2002.063.E06092.333			A11-EG
2002.063.E06092.334			A11-EG
2002.063.E06092.335			A11-EG
2002.063.E06092.336			A11-EG
2002.063.E06092.337			A11-EG
2002.063.E06092.338			A11-EG
2002.063.E06092.339			A11-EG
2002.063.E06092.340			A11-EG
2002.063.E06092.341			A11-EG
2002.063.E06092.342			A11-EG
2002.063.E06092.343			A11-EG
2002.063.E06092.344			A11-EG
2002.063.E06092.345			A11-EG
2002.063.E06092.346			A11-EG
2002.063.E06092.347a–c		**445**	A11-EG
2002.063.E06092.348			A11-EG
2002.063.E06092.349			A11-EG
2002.063.E06092.350			A11-EG
2002.063.E06092.351			A11-EG
2002.063.E06092.352			A11-EG
2002.063.E06092.353			A11-EG
2002.063.E06092.354			A11-EG
2002.063.E06092.355			A11-EG
2002.063.E06092.356			A11-EG
2002.063.E06092.357			A11-EG
2002.063.E06092.358			A11-EG
2002.063.E06092.359			A11-EG
2002.063.E06092.360			A11-EG
2002.063.E06092.361			A11-EG
2002.063.E06092.362			A11-EG
2002.063.E06092.363			A11-EG
2002.063.E06092.364			A11-EG
2002.063.E06092.365			A11-EG
2002.063.E06092.366			A11-EG
2002.063.E06092.367			A11-EG
2002.063.E06092.368			A11-EG
2002.063.E06092.369			A11-EG
2002.063.E06092.370			A11-EG
2002.063.E06092.371			A11-EG
2002.063.E06092.372			A11-EG
2002.063.E06092.373		**441**	A11-EG

Inv.	FK	Kat./Anm.	Ensemble
2002.063.E06092.374			A11-EG
2002.063.E06092.375			A11-EG
2002.063.E06092.376			A11-EG
2002.063.E06092.377			A11-EG
2002.063.E06092.378			A11-EG
2002.063.E06092.379			A11-EG
2002.063.E06092.380			A11-EG
2002.063.E06092.381			A11-EG
2002.063.E06092.382			A11-EG
2002.063.E06092.383			A11-EG
2002.063.E06092.384			A11-EG
2002.063.E06092.385			A11-EG
2002.063.E06092.386			A11-EG
2002.063.E06092.387			A11-EG
2002.063.E06092.388			A11-EG
2002.063.E06092.389			A11-EG
2002.063.E06092.390			A11-EG
2002.063.E06092.391			A11-EG
2002.063.E06092.392			A11-EG
2002.063.E06092.393			A11-EG
2002.063.E06092.394			A11-EG
2002.063.E06092.395			A11-EG
2002.063.E06092.396			A11-EG
2002.063.E06092.397a–c		**430**	A11-EG
2002.063.E06092.398		**439**	A11-EG
2002.063.E06092.399			A11-EG
2002.063.E06092.400			A11-EG
2002.063.E06092.401			A11-EG
2002.063.E06092.402			A11-EG
2002.063.E06092.403			A11-EG
2002.063.E06092.404			A11-EG
2002.063.E06092.405			A11-EG
2002.063.E06092.406			A11-EG
2002.063.E06092.407			A11-EG
2002.063.E06092.408			A11-EG
2002.063.E06092.409			A11-EG
2002.063.E06092.410			A11-EG
2002.063.E06092.411			A11-EG
2002.063.E06092.412			A11-EG
2002.063.E06092.413			A11-EG
2002.063.E06092.414		**452**	A11-EG
2002.063.E06092.415			A11-EG
2002.063.E06092.416			A11-EG
2002.063.E06092.417			A11-EG
2002.063.E06092.418			A11-EG
2002.063.E06092.419		**454**	A11-EG
2002.063.E06092.420			A11-EG
2002.063.E06092.421			A11-EG
2002.063.E06092.422		**455**	A11-EG
2002.063.E06092.423		**453**	A11-EG
2002.063.E06092.424			A11-EG
2002.063.E06092.425		**451**	A11-EG
2002.063.E06092.426			A11-EG
2002.063.E06092.427			A11-EG
2002.063.E06092.428			A11-EG
2002.063.E06092.429			A11-EG
2002.063.E06092.430			A11-EG
2002.063.E06092.431			A11-EG
2002.063.E06092.432			A11-EG
2002.063.E06092.433			A11-EG
2002.063.E06092.434			A11-EG
2002.063.E06092.435			A11-EG

Inv.	FK	Kat./Anm.	Ensemble
2002.063.E06092.436			A11-EG
2002.063.E06092.437			A11-EG
2002.063.E06092.438			A11-EG
2002.063.E06092.439			A11-EG
2002.063.E06092.440			A11-EG
2002.063.E06092.441			A11-EG
2002.063.E06092.442			A11-EG
2002.063.E06092.443			A11-EG
2002.063.E06092.444			A11-EG
2002.063.E06092.445			A11-EG
2002.063.E06092.446			A11-EG
2002.063.E06092.447			A11-EG
2002.063.E06092.448			A11-EG
2002.063.E06092.449			A11-EG
2002.063.E06092.450			A11-EG
2002.063.E06092.451			A11-EG
2002.063.E06092.452			A11-EG
2002.063.E06092.453			A11-EG
2002.063.E06092.454			A11-EG
2002.063.E06092.455			A11-EG
2002.063.E06092.456			A11-EG
2002.063.E06092.457			A11-EG
2002.063.E06092.458		**459**	A11-EG
2002.063.E06092.459			A11-EG
2002.063.E06092.460			A11-EG
2002.063.E06092.461			A11-EG
2002.063.E06092.462			A11-EG
2002.063.E06092.463			A11-EG
2002.063.E06092.464			A11-EG
2002.063.E06092.465			A11-EG
2002.063.E06092.466		–	A11-EG
2002.063.E06092.467a–c		–	A11-EG
2002.063.E06092.467d		**467**	A11-EG
2002.063.E06092.468			A11-EG
2002.063.E06092.469			A11-EG
2002.063.E06092.470		–	A11-EG
2002.063.E06092.471		–	A11-EG
2002.063.E06092.472		–	A11-EG
2002.063.E06092.473		–	A11-EG
2002.063.E06092.474		–	A11-EG
2002.063.E06092.475		–	A11-EG
2002.063.E06092.476		**480**	A11-EG
2002.063.E06092.477		–	A11-EG
2002.063.E06092.478		**481**	A11-EG
2002.063.E06092.479		–	A11-EG
2002.063.E06092.480		–	A11-EG
2002.063.E06092.481		–	A11-EG
2002.063.E06092.482		–	A11-EG
2002.063.E06092.483			A11-EG
2002.063.E06092.484			A11-EG
2002.063.E06092.485			A11-EG
2002.063.E06092.486			A11-EG
2002.063.E06092.487			A11-EG
2002.063.E06092.488			A11-EG
2002.063.E06092.489		**490**	A11-EG
2002.063.E06093.1			A12
2002.063.E06093.2			A12
2002.063.E06093.3			A12
2002.063.E06093.4			A12
2002.063.E06094.1		**797**	A12
2002.063.E06094.2		**798**	A12
2002.063.E06094.2a		**798**	A12

Inv.	FK	Kat./Anm.	Ensemble
2002.063.E06094.3		**799**	A12
2002.063.E06094.4		**800**	A12
2002.063.E06094.5		**804**	A12
2002.063.E06094.6		–	A12
2002.063.E06094.7		–	A12
2002.063.E06094.8		–	A12
2002.063.E06094.9		–	A12
2002.063.E06094.10		–	A12
2002.063.E06094.11		–	A12
2002.063.E06094.12			A12
2002.063.E06094.13			A12
2002.063.E06094.14			A12
2002.063.E06094.15		–	A12
2002.063.E06094.16			A12
2002.063.E06094.17			A12
2002.063.E06094.18			A12
2002.063.E06094.19			A12
2002.063.E06094.20			A12
2002.063.E06094.21			A12
2002.063.E06094.22		–	A12
2002.063.E06094.23		–	A12
2002.063.E06094.24		–	A12
2002.063.E06094.25		–	A12
2002.063.E06094.26		–	A12
2002.063.E06094.27		–	A12
2002.063.E06094.28		–	A12
2002.063.E06094.29		–	A12
2002.063.E06094.30		**801**	A12
2002.063.E06094.31		**802**	A12
2002.063.E06094.32		–	A12
2002.063.E06094.33		–	A12
2002.063.E06094.34		–	A12
2002.063.E06094.35		**803**	A12
2002.063.E06094.36		–	A12
2002.063.E06094.37		–	A12
2002.063.E06094.38		–	A12
2002.063.E06094.39			A12
2002.063.E06095.1		**794**	A12
2002.063.E06095.2		**795**	A12
2002.063.E06095.3			A12
2002.063.E06095.4		**796**	A12
2002.063.E06095.5			A12
2002.063.E06095.6			A12
2002.063.E06095.7		–	A12
2002.063.E06095.8		–	A12
2002.063.E06095.9		–	A12
2002.063.E06095.10		–	A12
2002.063.E06770.155		Anm. 449	
2002.063.E06773.1			A11-EG
2002.063.E06773.2		**402**	A11-EG
2002.063.E06773.3			A11-EG
2002.063.E06773.4		**482**	A11-EG
2002.063.E06773.5		–	A11-EG
2002.063.E06773.6			A11-EG
2002.063.E06773.7			A11-EG
2002.063.E06773.8			A11-EG
2002.063.E06773.9			A11-EG
2002.063.E06773.10			A11-EG
2002.063.E06773.11			A11-EG
2002.063.E06773.12		–	A11-EG
2002.063.E06773.13		–	A11-EG
2002.063.E06773.14		–	A11-EG

Inv.	FK	Kat./Anm.	Ensemble
2002.063.E06773.15		–	A11-EG
2002.063.E06773.16		–	A11-EG
2002.063.E06773.17		–	A11-EG
2002.063.E06773.18		–	A11-EG
2002.063.E06773.19		–	A11-EG
2002.063.E06773.20		–	A11-EG
2002.063.E06773.21		–	A11-EG
2002.063.E06773.22		–	A11-EG
2002.063.E06773.23		–	A11-EG
2002.063.E06773.24		–	A11-EG
2002.063.E06773.25		–	A11-EG
2002.063.E06773.26		–	A11-EG
2002.063.E06773.27		–	A11-EG
2002.063.E06773.28		–	A11-EG
2002.063.E06773.29		–	A11-EG
2002.063.E06773.30		–	A11-EG
2002.063.E06773.31		–	A11-EG
2002.063.E06773.32			A11-EG
2002.063.E06774.1		–	B11
2002.063.E06774.2		–	B11
2002.063.E06774.3		–	B11
2002.063.E06774.4		–	B11
2002.063.E06774.5		–	B11
2002.063.E06774.6		–	B11
2002.063.E06776.1		**748**	B11
2002.063.E06777.1		**747**	B11
2002.063.E06778.1			A11-EG
2002.063.E06778.2			A11-EG
2002.063.E06778.3			A11-EG
2002.063.E06778.4			A11-EG
2002.063.E06778.5			A11-EG
2002.063.E06778.6			A11-EG
2002.063.E06778.7			A11-EG
2002.063.E06778.8			A11-EG
2002.063.E06778.9			A11-EG
2002.063.E06778.10a–d		**465**	A11-EG
2002.063.E06778.11		–	A11-EG
2002.063.E06778.12			A11-EG
2002.063.E06778.13			A11-EG
2002.063.E06778.14			A11-EG
2002.063.E06778.15			A11-EG
2002.063.E06778.16		**489**	A11-EG
2002.063.E06790.1		–	A11-EG
2002.063.E06790.2			A11-EG
2002.063.E06790.3		–	A11-EG
2002.063.E06790.4		–	A11-EG
2002.063.E06790.5		–	A11-EG
2002.063.E06790.6		–	A11-EG
2002.063.E06790.7		–	A11-EG
2002.063.E06790.8		–	A11-EG
2002.063.E06790.9		–	A11-EG
2002.063.E06790.10		–	A11-EG
2002.063.E06790.11		–	A11-EG
2002.063.E06790.12		–	A11-EG
2002.063.E06790.13		–	A11-EG
2002.063.E06790.14		–	A11-EG
2002.063.E06790.15		–	A11-EG
2002.063.E06790.16			A11-EG
2002.063.E06791.1		-	A6
2002.063.E06791.2		-	A6
2002.063.E06791.3		-	A6
2002.063.E06791.4		-	A6

Inv.	FK	Kat./Anm.	Ensemble
2002.063.E06791.5		–	A6
2002.063.E06791.6		–	A6
2002.063.E06791.7		–	A6
2002.063.E06791.8		–	A6
2002.063.E06791.9		–	A6
2002.063.E06791.10		–	A6
2002.063.E06791.11		–	A6
2002.063.E06791.12		–	A6
2002.063.E06791.13		–	A6
2002.063.E06791.14		–	A6
2002.063.E06791.15		–	A6
2002.063.E06791.16		–	A6
2002.063.E06791.17		–	A6
2002.063.E06791.18		–	A6
2002.063.E06791.19		–	A6
2002.063.E06791.20		–	A6
2002.063.E06791.21		–	A6
2002.063.E06791.22		–	A6
2002.063.E06791.23		–	A6
2002.063.E06791.24		–	A6
2002.063.E06791.25		–	A6
2002.063.E06791.26		–	A6
2002.063.E06791.27		–	A6
2002.063.E06791.28		–	A6
2002.063.E06791.29		–	A6
2002.063.E06791.30		–	A6
2002.063.E06791.31		–	A6
2002.063.E06791.32		–	A6
2002.063.E06791.33		–	A6
2002.063.E06791.34		–	A6
2002.063.E06791.35		–	A6
2002.063.E06791.36		–	A6
2002.063.E06791.37		–	A6
2002.063.E06791.38		–	A6
2002.063.E06791.39		–	A6
2002.063.E06791.40		–	A6
2002.063.E06791.41		–	A6
2002.063.E06791.42		–	A6
2002.063.E06791.43		–	A6
2002.063.E06791.44		–	A6
2002.063.E06791.45		–	A6
2002.063.E06791.46			A6
2002.063.E06791.47			A6
2002.063.E06791.48			A6
2002.063.E06791.49			A6
2002.063.E06791.50			A6
2002.063.E06791.51			A6
2002.063.E06791.52			A6
2002.063.E06791.53			A6
2002.063.E06791.54			A6
2002.063.E06791.55			A6
2002.063.E06791.56			A6
2002.063.E06791.57			A6
2002.063.E06791.58			A6
2002.063.E06791.59			A6
2002.063.E07251.1		**73**	A3-2
2002.063.E07251.2		**76**	A3-2
2002.063.E07251.3		**75**	A3-2
2002.063.E07251.4			A3-2
2002.063.E07251.5		**76**	A3-2
2002.063.E07251.6		**76**	A3-2
2002.063.E07251.7		**74**	A3-2

Inv.	FK	Kat./Anm.	Ensemble
2002.063.E07251.8			A3-2
2002.063.E07251.9			A3-2
2002.063.E07251.10			A3-2
2002.063.E07251.11			A3-2
2002.063.E07251.12			A3-2
2002.063.E07251.13			A3-2
2002.063.E07251.14			A3-2
2002.063.E07251.15			A3-2
2002.063.E07251.16			A3-2
2002.063.E07251.17			A3-2
2002.063.E07251.18			A3-2
2002.063.E07251.19			A3-2
2002.063.E07251.20			A3-2
2002.063.E07251.21			A3-2
2002.063.E07251.22			A3-2
2002.063.E07251.23			A3-2
2002.063.E07251.24			A3-2
2002.063.E07251.25			A3-2
2002.063.E07251.26			A3-2
2002.063.E07251.27		**77**	A3-2
2002.063.E07251.28			A3-2
2002.063.E07251.29			A3-2
2002.063.E07251.30		**78**	A3-2
2002.063.E07251.31			A3-2
2002.063.E07251.32			A3-2
2002.063.E07251.33			A3-2
2002.063.E07251.34			A3-2
2002.063.E07251.35			A3-2
2002.063.E07251.36			A3-2
2002.063.E07251.37			A3-2
2002.063.E07251.38			A3-2
2002.063.E07251.39			A3-2
2002.063.E07251.40			A3-2
2002.063.E07251.41			A3-2
2002.063.E07251.42			A3-2
2002.063.E07251.43			A3-2
2002.063.E07251.44			A3-2
2002.063.E07251.45			A3-2
2002.063.E07251.46			A3-2
2002.063.E07251.47			A3-2
2002.063.E07251.48			A3-2
2002.063.E07251.49			A3-2
2002.063.E07251.50			A3-2
2002.063.E07251.51			A3-2
2002.063.E07251.52			A3-2
2002.063.E07251.53			A3-2
2002.063.E07251.54			A3-2
2002.063.E07251.55			A3-2
2002.063.E07251.56			A3-2
2002.063.E07251.57			A3-2
2002.063.E07251.58			A3-2
2002.063.E07251.59			A3-2
2002.063.E07251.60		**80**	A3-2
2002.063.E07251.61		**79**	A3-2
2002.063.E07251.62		**79**	A3-2
2002.063.E07251.63a.b		**79**	A3-2
2002.063.E07251.64			A3-2
2002.063.E07251.65			A3-2
2002.063.E07251.66			A3-2
2002.063.E07251.67			A3-2
2002.063.E07251.68			A3-2
2002.063.E07251.69			A3-2

Inv.	FK	Kat./Anm.	Ensemble
2002.063.E07251.70			A3-2
2002.063.E07251.71			A3-2
2002.063.E07251.72			A3-2
2002.063.E07251.73		**81**	A3-2
2002.063.E07251.74			A3-2
2002.063.E07251.75			A3-2
2002.063.E07251.76a–c		**2**	A3-2
2002.063.E07251.77		–	A3-2
2002.063.E07251.78		–	A3-2
2002.063.E07251.79		–	A3-2
2002.063.E07251.80		–	A3-2
2002.063.E07251.81		–	A3-2
2002.063.E07251.82		–	A3-2
2002.063.E07251.83		–	A3-2
2002.063.E07251.84		–	A3-2
2002.063.E07251.85		**82**	A3-2
2002.063.E07251.86		–	A3-2
2002.063.E07251.87		–	A3-2
2002.063.E07251.88		–	A3-2
2002.063.E07251.89		–	A3-2
2002.063.E07251.90		–	A3-2
2002.063.E07251.91		–	A3-2
2002.063.E07251.92		–	A3-2
2002.063.E07251.93		–	A3-2
2002.063.E07251.94		–	A3-2
2002.063.E07251.95		–	A3-2
2002.063.E07251.96		–	A3-2
2002.063.E07251.97		–	A3-2
2002.063.E07251.98		–	A3-2
2002.063.E07251.99		–	A3-2
2002.063.E07251.100		–	A3-2
2002.063.E07251.101		–	A3-2

Inv.	FK	Kat./Anm.	Ensemble
2002.063.E07251.102		–	A3-2
2002.063.E07251.103		–	A3-2
2002.063.E07251.104		–	A3-2
2002.063.E07251.105		–	A3-2
2002.063.E07251.106		–	A3-2
2002.063.E07251.107		–	A3-2
2002.063.E07251.108		–	A3-2
2002.063.E07251.109		–	A3-2
2002.063.E07251.110		–	A3-2
2002.063.E07251.111		–	A3-2
2002.063.E07251.112		–	A3-2
2002.063.E07251.113		**83**	A3-2
2002.063.E07251.114		–	A3-2
2002.063.E07251.115		–	A3-2
2002.063.E07251.116		–	A3-2
2002.063.E07251.117		–	A3-2
2002.063.E07251.118		–	A3-2
2002.063.E07251.119		–	A3-2
2002.063.E07251.120		–	A3-2
2002.063.E07251.121			A3-2
2002.063.E07251.122			A3-2
2002.063.E07251.123			A3-2
2002.063.E07251.124		–	A3-2
2002.063.E07251.125			A3-2
2002.063.E07251.126			A3-2
2002.063.E07252.1		–	A6
2002.063.E07253.1			A6
2002.063.E07253.2			A6
2002.063.E07253.3			A6
2002.063.E07253.4			A6
2002.063.E07253.5		**139**	A6

Konkordanz 2: Katalognummer (Kat.)/Seitenzahl (S.)/Abbildungsnummer (Abb.)/Tafelnummer (Taf.) früherer Publikationen – Katalognummer (Kat.) – Inventarnummer (Inv.) – Fundkomplexnummer (FK) – Ensemblezugehörigkeit (Ensemble)

Berger 1966

Abb.	Kat.	Inv.	FK	Ensemble
23	**365**	1967.2539	X06543	A11-GH
24,a	**565**	1966.4349	X06514	A11-OG
24,b	**418**	1966.4946A	X04670	A11-EG
24,c	**569**	1966.4385	X06514	A11-OG

Berger 2002

Taf.	Kat.	Inv.	FK	Ensemble
7,AR 16	**651**	1966.3493	X06514	A11-OG
7,AR 20	**652**	1967.3414	X06544	A11-OG

Biborski/Illkjær 2006/2

S.	Kat.	Inv.	FK	Ensemble
338	**666**	1966.881	X04674	A11-OG
338	**665**	1966.883	X04675	A11-OG

Bruckner 1975

S.	Kat.	Inv.	FK	Ensemble
67,1	**846**	1967.567a–g	X06528	D14
67,2	**397**	1966.4008	X06523	A11-GH
67,2	**397**	1966.4396	X06520	A11-EG
67,3		1965.5502	X04652	A11-OG
67,4	**753**	1965.3180	X04717	HL11
67,5		1966.4119	X06521	A11-OG
67,6		1966.4331	X06514	A11-OG

S.	Kat.	Inv.	FK	Ensemble
67,7	**502**	1965.5500	X04652	A11-OG
67,8		1965.5410	X04639	A11-OG
67,10	**221**	1966.3095	X06203	HL7
67,11	**538**	1966.4337	X06514	A11-OG
67,12	**926**	1966.3642	X04695	C15
67,15	**404**	1966.4399a–c	X06520	A11-EG
67,16		1965.5508	X04652	A11-OG
68,13		1965.5507	X04652	A11-OG
68,14		1966.4120	X06521	A11-OG
68,17		1965.5322	X04649	A8
68,18	**236**	1965.5321	X04649	A8
68,19		1965.4881	X04644	A11-OG
68,20		1966.4022	X06523	A11-GH
68,21		1966.4333	X06514	A11-OG
68,22	**756**	1965.3176	X04717	HL11
68,22	**756**	1965.3177	X04717	HL11
68,22	**756**	1965.3179	X04717	HL11
68,22	**756**	1966.3181a–d	X06214	HL11
68,23		1965.5518	X04652	A11-OG
68,24	**526**	1965.5520	X04652	A11-OG
68,25		1966.4418	X06520	A11-EG
68,26	**412**	1966.4419	X06520	A11-EG
68,27	**346**	1966.4024c.d	X06523	A11-GH
68,28	**532**	1965.5519	X04652	A11-OG
69,29		1965.5521	X04652	A11-OG
69,30	**420**	1966.4424a–d	X06520	A11-EG
69,31		1966.4021	X06523	A11-GH
69,32	**220**	1966.3094	X06203	HL7
69,32	**842**	1966.3288a	X04691	D14
69,33	**395**	1966.4406a–c	X06520	A11-EG
69,34	**399**	1966.4405a–d	X06520	A11-EG
69,35	**394**	1966.4404	X06520	A11-EG
69,36		1966.4344	X06514	A11-OG
69,37	**765**	1965.3185	X04717	HL11
70,38		1965.5511	X04652	A11-OG
70,39		1966.4122	X06521	A11-OG
70,40	**759**	1965.3190	X04717	HL11
70,41		1965.5514	X04652	A11-OG
70,42	**522**	1965.5515	X04652	A11-OG
70,43		1966.4341	X06514	A11-OG
70,44		1965.5513	X04652	A11-OG
70,45	**409**	1966.4411a.b	X06520	A11-EG
70,46		1966.4338	X06514	A11-OG
70,47		1966.4340a–b	X06514	A11-OG
70,48		1966.3291	X04691	D14
70,49		1965.5527	X04652	A11-OG
70,50	**240**	1967.6028A–C	X06546	A8
70,50	**240**	1967.6671	Z01653	A8
71,51		1966.3644	X04695	C15
71,52	**537**	1965.5512	X04652	A11-OG
71,53	**342**	1966.4047	X06523	A11-GH
71,54	**410**	1966.4408	X06520	A11-EG
71,55		1966.3290	X04691	D14
71,56		1966.4417	X06520	A11-EG
71,57		1967.6036	X06546	A8
71,58		1965.5526	X04652	A11-OG
71,59		1965.5516	X04652	A11-OG
71,61		1965.3189	X04717	HL11
71,62	**766**	1965.3192	X04717	HL11
71,62	**766**	1966.5253	X06204	HL11
72,63		1965.3202	X04717	HL11
72,64		1965.5528	X04652	A11-OG

S.	Kat.	Inv.	FK	Ensemble
72,65		1966.4125	X06521	A11-OG
72,66	**356**	1966.4042	X06523	A11-GH
72,67	**421**	1966.4426	X06520	A11-EG
72,68	**566**	1966.4351a–c	X06514	A11-OG
72,69		1966.4073	X06523	A11-GH
72,70	**357**	1966.4058	X06523	A11-GH
72,71		1966.3301	X04691	D14
72,72		1965.4884	X04644	A11-OG
72,73		1965.5534	X04652	A11-OG
73,74		1965.4885	X04644	A11-OG
73,75	**543**	1965.4888	X04644	A11-OG
73,76	**358**	1966.4054a.b	X06523	A11-GH
73,77	**563**	1965.5530	X04652	A11-OG
73,78		1966.4057	X06523	A11-GH
73,80	**224**	1966.3100	X06203	HL7
73,81		1966.4127	X06521	A11-OG
73,82		1966.4128	X06521	A11-OG
73,83		1965.3203	X04717	HL11
73,84		1965.5529	X04652	A11-OG
73,85	**258**	1967.6040A	X06546	A8
73,86		1965.5531	X04652	A11-OG
74,87		1965.5325	X04649	A8
74,88	**561**	1966.4367	X06514	A11-OG
74,89		1966.3320	X04691	D14
74,90	**225**	1966.3099	X06203	HL7
74,91		1966.4060	X06523	A11-GH
74,92		1966.4063	X06523	A11-GH
74,93	**862**	1966.3337	X04691	D14
74,94	**774**	1965.3214	X04717	HL11
74,96		1967.6054B	X06546	A8
75,97	**598**	1965.4886	X04644	A11-OG
75,97	**598**	1965.5418a–c	X04639	A11-OG
75,97	**598**	1965.7828	X04664	A11-OG
75,98	**265**	1965.5326	X04649	A8
75,99	**888**	1966.3334	X04691	D14
75,100	**886**	1966.3335	X04691	D14
75,101	**458**	1966.4441a.b	X06520	A11-EG
75,102	**250**	1967.6052	X06546	A8
75,103	**870**	1966.3326	X04691	D14
75,104	**432**	1966.4446	X06520	A11-EG
75,105		1966.4445	X06520	A11-EG
76,107		1965.5536	X04652	A11-OG
76,108		1965.3182	X04717	HL11
76,113		1965.5537	X04652	A11-OG
76,106	**260**	1965.5328	X04649	A8
76,109	**228**	1966.3098	X06203	HL7
76,110	**581**	1966.4126	X06521	A11-OG
76,111		1966.3335	X04691	D14
76,112	**584**	1965.5532	X04652	A11-OG
76,114		1967.6062	X06546	A8
76,115	**593**	1966.4379a–k	X06514	A11-OG
76,116	**354**	1966.4072	X06523	A11-GH
76,117	**435**	1966.4436	X06520	A11-EG
77,a	**555**	1966.4241	X06519	A11-OG
77,b	**418**	1966.4946A	X04670	A11-EG
77,c	**529**	1966.4347	X06514	A11-OG
77,d	**528**	1966.4346a	X06514	A11-OG
77,e		1966.4345	X06514	A11-OG
77,g	**565**	1966.4349	X06514	A11-OG
77,i		1966.4393	X06514	A11-OG
77,k	**569**	1966.4385	X06514	A11-OG

Deschler-Erb 1998

Kat.	Kat.	Inv.	FK	Ensemble
34	**273**	1965.5939	X04649	A8
54	**639**	1966.4470	X06514	A11-OG
61	**468**	1966.4463	X06520	A11-EG
82	**640**	1967.2205	X06535	A11-OG
89	**469**	1966.4462	X06520	A11-EG
233	**125**	1966.4482	X06515	C5
306	**55**	1966.3960	X06231	HL2
686	**377**	1966.4086	X06523	A11-GH
690	**212**	1967.18989	Z01657	A7
1436	**378**	1966.4090	X06523	A11-GH
1447	–	1966.4089	X06523	A11-GH
1448	–	1966.4091	X06523	A11-GH
1546	**137**	1967.10100	Z01665	A6
1915	**649**	1966.3543	X04675	A11-OG
2096	**376**	1966.4085	X06523	A11-GH
2173	–	1966.4083	X06523	A11-GH
2180	**647**	1965.5349	X04658	A11-OG
2188	**793**	1965.3340	X04714	HL11
2422	**648**	1967.2630	X06536	A11-OG
2428	**272**	1967.4463	X06547	A8
2447	–	1967.28358	Z01653	A8
3340	**375**	1966.4084	X06523	A11-GH
3436	–	1966.4082	X06523	A11-GH
3679	–	1965.5350	X04658	A11-OG
3691	–	1966.3542	X04675	A11-OG
4015	**918**	1966.5889	X04666	A15
4027	**641**	1967.3409	X06544	A11-OG
4028	**645**	1967.3417	X06544	A11-OG
4029	**643**	1967.3415	X06544	A11-OG
4030	**642**	1967.3418	X06544	A11-OG
4144	**960**	1954.116	V05368	H7-2
4451	**650**	1967.2204	X06535	A11-OG
4642	–	1967.2632	X06536	A11-OG
5391	–	1967.28358A	Z01653	A8
5788	–	1966.9452	X04691	D14
5790	–	1966.9427	X04675	A11-OG
5791	–	1966.9425	X04689	HL11
5791	–	1966.9450	X04691	D14
5864	**379**	1966.4087	X06523	A11-GH
5872	**646**	1965.5348	X04658	A11-OG
5893	**380**	1966.4088	X06523	A11-GH

Deschler-Erb 1999

Kat.	Kat.	Inv.	FK	Ensemble
22	**894**	1966.3279	X06228	D14
679	**1001**	1954.318	V05372	R2/9–11

Féret/Sylvestre 2008

Kat.	Kat.	Inv.	FK	Ensemble
19	**521**	1967.2145	X06535	A11-OG
70	**199**	1967.6636	Z01657	A7
136	**764**	1966.5251	X06204	HL11
218	**531**	1967.5057	X06545	A11-OG
218	**531**	1967.5057A.B	X06545	A11-OG
1777	**594**	1967.2168a–c	X06535	A11-OG

Fünfschilling 1989

Abb.	Kat.	Inv.	FK	Ensemble
41,1	**732**	1966.3539	X04675	A11-OG
41,2	**504**	1966.3495	X04675	A11-OG
41,3	**507**	1966.3496a–i	X04675	A11-OG
41,4		1966.3497	X04675	A11-OG
41,5	**492**	1966.3498	X04675	A11-OG
41,6		1966.3501	X04675	A11-OG
41,7		1966.3499	X04675	A11-OG
41,8		1966.3500	X04675	A11-OG
41,9		1966.3502	X04675	A11-OG
41,10		1966.3503	X04675	A11-OG
41,11		1966.3505	X04675	A11-OG
41,12		1966.3504	X04675	A11-OG
41,13		1966.3506	X04675	A11-OG
41,14		1966.3509	X04675	A11-OG
41,14		1966.3512	X04675	A11-OG
42,15		1966.3511	X04675	A11-OG
42,16		1966.3507	X04675	A11-OG
42,17		1966.3510	X04675	A11-OG
42,18		1966.3508	X04675	A11-OG
42,19		1966.3513	X04675	A11-OG
42,20		1966.3522	X04675	A11-OG
42,21		1966.3524	X04675	A11-OG
42,22		1966.3514	X04675	A11-OG
42,23		1966.3518a	X04675	A11-OG
42,24		1966.3519a	X04675	A11-OG
42,25		1966.3516	X04675	A11-OG
42,26		1966.3520	X04675	A11-OG
42,27	**578**	1966.3525	X04675	A11-OG
42,28	**586**	1966.3518b	X04675	A11-OG
43,29		1966.3515b	X04675	A11-OG
43,29.33		1966.3521	X04675	A11-OG
43,30	**589**	1966.3515	X04675	A11-OG
43,31		1966.3523	X04675	A11-OG
43,32	**587**	1966.3517a–c	X04675	A11-OG
43,34		1966.3519b	X04675	A11-OG
43,35		1966.3530	X04675	A11-OG
43,36		1966.3527	X04675	A11-OG
43,37		1966.3526	X04675	A11-OG
43,38		1966.3529a–b	X04675	A11-OG
43,39		1966.3528	X04675	A11-OG
43,40		1966.3532	X04675	A11-OG
43,41		1966.3533	X04675	A11-OG
44,42		1966.3538	X04675	A11-OG
44,43	**572**	1966.3537	X04675	A11-OG
44,44	**603**	1966.3534	X04675	A11-OG
44,45	–	1966.3514A	X04675	A11-OG
44,46	–	1966.3544	X04675	A11-OG
44,47	**622**	1966.3536	X04675	A11-OG
44,48	**665**	1966.883	X04675	A11-OG
44,49	–	1966.3547	X04675	A11-OG
44,50	**727**	1966.3548	X04675	A11-OG
44,51	**722**	1966.3551	X04675	A11-OG
44,52	**723**	1966.3549	X04675	A11-OG
44,53	**724**	1966.3550	X04675	A11-OG
44,54	**689**	1966.3546	X04675	A11-OG
44,55	**649**	1966.3543	X04675	A11-OG
44,56	–	1966.3542	X04675	A11-OG
44,57	–	1966.3540	X04675	A11-OG

Furger 1985

S.	Kat.	Inv.	FK	Ensemble
171 Abb. 5,1	**364**	1967.5056	X06543	A11-GH
171 Abb. 5,2	**365**	1967.2539	X06543	A11-GH

Furger u. a. 1990

Kat.	Kat.	Inv.	FK	Ensemble
1 Abb. 2,1–4	**684**	1966.2022	X04699	A11-OG
4 Abb. 5,1–5	**686**	1966.880	X04682	A11-OG
9 Abb. 10,1–3	**685**	1966.2021	X04699	A11-OG

von Gonzenbach 1986

Taf.	Kat.	Inv.	FK	Ensemble
80,5	**274**	1965.5230	X04649	A8
100,3	**730**	1966.3486	X04668	A11-OG

von Gonzenbach 1995

S.	Kat.	Inv.	FK	Ensemble
195	**274**	1965.5230	X04649	A8

Kaufmann-Heinimann 1977

Kat.	Kat.	Inv.	FK	Ensemble
283	**211**	1967.3500	Z01657	A7

Kaufmann-Heinimann 1998

Abb./Kat.	Kat.	Inv.	FK	Ensemble
44,1	**357**	1966.4058	X06523	A11-GH
44,2	**575**	1966.4244	X06519	A11-OG
44,3	**356**	1966.4042	X06523	A11-GH
18	**470**	1966.3965	X06520	A11-EG
31	**471**	1966.3964	X06520	A11-EG
63	**472**	1966.3963	X06520	A11-EG
84	**473**	1966.3966	X06520	A11-EG
283	**211**	1967.3500	Z01657	A7

Martin-Kilcher 1985

S./Abb.	Kat.	Inv.	FK	Ensemble
186 Kat. 32	**476**	1966.4304	X06520	A11-EG
25,1	**665**	1966.883	X04675	A11-OG
25,2	**666**	1966.881	X04674	A11-OG
25,4	**667**	1966.882	X04674	A11-OG
25,6	**668**	1967.1618	X06535	A11-OG
27,1	**669**	1967.2229	X06535	A11-OG
27,2	**653**	1967.3412	X06544	A11-OG
27,3	**654**	1967.3410	X06544	A11-OG
27,4	**641**	1967.3409	X06544	A11-OG
27,5	**671**	1967.3411	X06544	A11-OG
28,1	**670**	1967.2219	X06535	A11-OG
28,2	**643**	1967.3415	X06544	A11-OG
28,4	**642**	1967.3418	X06544	A11-OG
28,5	**645**	1967.3417	X06544	A11-OG
29,1	**672**	1967.1617	X06535	A11-OG
29,2	**673**	1967.1619	X06535	A11-OG
29,3	**674**	1967.1615	X06535	A11-OG
30,1 und S. 186 Kat. 37	**675**	1967.2218a.b	X06535	A11-OG
30,2	**676**	1967.2222	X06535	A11-OG
30,3	**677**	1967.2223	X06535	A11-OG
30,4	**678**	1967.1616	X06535	A11-OG
30,5	**679**	1967.2224	X06535	A11-OG

Martin-Kilcher 1987/1994

Kat.	Kat.	Inv.	FK	Ensemble
317	**123**	1966.3684	X06242	C5
739	**266**	1967.6716	Z01653	A8
866 mit ST 85	**998**	1954.312	V05372	R2/9–11
1557 und ST 140	**606**	1965.4096	X04627	A11-OG
1769 und ST 35	**605**	1965.4397a–e	X04628	A11-OG
2739	**124**	1965.4175	X04713	C5
2870	**173**	1966.5160	X06218	C6
3937	**604**	1965.4106	X04621	A11-OG
4307	**601**	1966.4154	X04671	A11-OG
4309	**600**	1966.906a–c	X04669	A11-OG
5514	**602**	1966.3535	X04675	A11-OG
5515	**603**	1966.3534	X04675	A11-OG

Miks 2007

Taf.	Kat.	Inv.	FK	Ensemble
53,A23,4	**668**	1967.1618	X06535	A11-OG
58,A23,2	**666**	1966.881	X04674	A11-OG
58,A24,2	**667**	1966.882	X04674	A11-OG
103,A23,1	**665**	1966.883	X04675	A11-OG

Otten 1994

S.	Kat.	Inv.	FK	Ensemble
67 Kat. 324	–	1965.3633	X04739	A14
67 Kat. 324	–	1965.3634	X04739	A14
67 Kat. 324	–	1965.3635	X04739	A14
71 Kat. 504; 505	**275**	1967.28362A	Z01653	A8
71 Kat. 504; 505	**276**	1967.28362B	Z01653	A8
71 Kat. 504; 505	**277**	1967.28362C	Z01653	A8
71 Kat. 504; 505.	**278**	1967.28362D	Z01653	A8
72 Kat. 325	**744**	1965.3767	X04601	A11-OG
72 Kat. 402	**745**	1967.10104	Z01661	A11-OG
72 Kat. 403	**743**	1967.10105	Z01661	A11-OG
72 Kat. 403	**742**	1967.10106	Z01661	A11-OG
72 Kat. 506	**741**	1967.28363	Z01658	A11-OG
73 Abb. 345	**180**	1966.5127	X06236	C6
73 Abb. 345	**181**	1966.5128	X06236	C6
74 Kat. 413	–	1967.10608	X06526	C6

Peter 1996

Ins. 5.9/	Kat.	Inv.	FK	Ensemble
1	**53**	1966.4466	X06512	HL2
2	**611A**	1966.4468	X06514	A11-OG
5	**611B**	1967.2634	X06536	A11-OG
7	**289**	1967.611	X06529	D8
8	**54**	1966.3962	X06231	HL2
9	**367**	1966.4097	X06523	A11-GH
10	**835**	1966.3779	X04680	C13
11	**331**	1967.9961	Z01664	A11-F4
15	**889**	1966.3834	X04691	D14
16	**621**	1966.3975	X06511	A11-OG
19	**890**	1966.4475	X06220	D14
20	**921**	1967.16454	Z01682	B15
21	–	1967.16467	V05075	A5
22	**834**	1966.3778	X04680	C13
23	**460**	1967.10145	Z01660	A11-EG
24	**618**	1966.2671	X04668	A11-OG
25	**614**	1965.4296	X04628	A11-OG
26	**932**	1966.8134	X04695	C15
28	**461**	1966.8130	X06520	A11-EG
29	**917**	1965.5264	X04663	A15
31	**610**	1966.4464	X06514	A11-OG
32	**611**	1966.4469	X06514	A11-OG
33	**916**	1966.4477	X04666	A15
34	**462**	1966.8131	X06520	A11-EG
35	**368**	1966.4094	X06523	A11-GH
37	**619**	1965.4652A	X04652	A11-OG
38	**620**	1965.5539	X04652	A11-OG
39	**616**	1967.5087	X06545	A11-OG
40	**290**	1967.610	X06529	D8
42	**612**	1966.8128	X06519	A11-OG
43	**195**	1966.4478	X06205	HL6
44	**931**	1966.8133	V05058	C15
45	**615**	1965.4297	X04628	A11-OG
46	**613**	1966.8129	X06519	A11-OG
47	**369**	1966.8132	X06523	A11-GH
48	**617**	1967.14162	Z01679	A11-OG
50	**999**	1954.471	V05376	R2/9–11
52	**622**	1966.3536	X04675	A11-OG
E1/1	**608**	1966.4467	X06514	A11-OG
E1/2	**609**	1966.4465	X06514	A11-OG

Riha 1979

Kat.	Kat.	Inv.	FK	Ensemble
165	**961**	1954.121	V05368	H7-2
568	**662**	1966.4256	X06519	A11-OG
746	**56**	1966.9746	X06518	HL2
882	**138**	1967.10099	Z01665	A6
986	**196**	1966.4479	X06205	HL6
1029	**176**	1966.4946	X06218	C6
1427	**382**	1966.8127	X06523	A11-GH

Riha 1986

Kat.	Kat.	Inv.	FK	Ensemble
222	**213**	1967.18986	Z01657	A7
244	**269**	1967.18990	Z01673	A8

Riha 1990

Kat.	Kat.	Inv.	FK	Ensemble
152	**792**	1966.8125	X06204	HL11
559	**663**	1965.5351	X04658	A11-OG
710	**211**	1967.3500	Z01657	A7
1472	**661**	1967.2217	X06535	A11-OG
1559	**648**	1967.2630	X06536	A11-OG
1881	**647**	1965.5349	X04658	A11-OG
1893	–	1966.4083	X06523	A11-GH
1894	**376**	1966.4085	X06523	A11-GH
2265	**381**	1966.4096	X06523	A11-GH
2520	**375**	1966.4084	X06523	A11-GH
2558	**933**	1966.5196	X04695	C15
2728	–	1966.4082	X06523	A11-GH

Riha 2001

Kat.	Kat.	Inv.	FK	Ensemble
7	**965**	1954.438	V05375	H7-2
326	**698**	1966.4277	X06514	A11-OG
327	**697**	1966.4278	X06514	A11-OG
328	**699**	1966.4279	X06514	A11-OG
344	**700**	1966.4280	X06514	A11-OG
345	**701**	1966.4281	X06514	A11-OG
347	**983**	1954.153	V05369	H8–11

Riha/Stern 1982

S./Kat.	Kat.	Inv.	FK	Ensemble
26 Abb. 12	**294**	1967.1	X06529	D8
214	**268**	1967.6749	Z01653	A8
247	**474**	1967.18987	X06550	A11-EG

Rütti 1991/2

Kat.	Kat.	Inv.	FK	Ensemble
191	**3**	1967.10391	Z01669	A2
287	–	1967.9932	Z01668	A3-1
629	**72**	1967.9931	Z01668	A3-1
772	**632**	1966.4259B	X06519	A11-OG
814	**629**	1966.4253	X06519	A11-OG
888	**836**	1966.3943	X04680	C13
920	**633**	1966.4252	X06519	A11-OG
1306	**624**	1966.3541C	X04675	A11-OG
1306	**624**	1966.4259A	X06519	A11-OG
1309	**463**	1966.4457	X06520	A11-EG
1330	**466**	1967.6748A	X06550	A11-EG
1360	**374**	1966.4080	X06523	A11-GH
1574	**630**	1965.4097	X04627	A11-OG
1664	**631**	1966.4251	X06519	A11-OG
1754	**332**	1967.9959	Z01664	A11-F4
1756	**371**	1966.4081	X06523	A11-GH
1767	**174**	1966.5162	X06218	C6
1777	**625**	1966.4248	X06519	A11-OG
1785	–	1966.4077	X06523	A11-GH
1858	**637**	1965.5347	X04658	A11-OG
1866	**627**	1967.3413	X06544	A11-OG
1875	–	1966.5229	X04689	HL11

Kat.	Kat.	Inv.	FK	Ensemble
1933	**628**	1965.5538	X04652	A11-OG
1967	**623**	1966.4247	X06519	A11-OG
1978	**626**	1967.2199c.g	X06535	A11-OG
2009	**372**	1966.4076	X06523	A11-GH
2384	**958**	1954.119	V05368	H7-2
2608	**636**	1967.2199a.b.d	X06535	A11-OG
2777	**891**	1966.3275	X06228	D14
3126	–	1966.4250	X06519	A11-OG
3338	**175**	1966.5126	X06236	C6
3588	–	1966.4460	X06520	A11-EG
3699	**373**	1966.4078	X06523	A11-GH
3720	**635**	1966.4249	X06519	A11-OG
3734	–	1967.2203	X06535	A11-OG
3847	**634**	1967.10306	Z01676	A11-OG
3907	**464**	1967.6748B	X06550	A11-EG
4128	**316**	1967.6760	X06539	A11-BO1
4657	–	1966.3487	X04668	A11-OG
4709	–	1966.4259C	X06519	A11-OG
4715	–	1966.4079	X06523	A11-GH
4766	**959**	1954.118	V05368	H7-2
4934	–	1967.2202	X06535	A11-OG
4949	–	1966.3276	X06228	D14
5114	**219**	1965.4118	X04710	C7

Rychener 2003

S.	Kat.	Inv.	Ensemble
82 Abb. 22; 23	**747**	2002.063.E06777.1	B11

Schmid 1991

Kat.	Kat.	Inv.	FK	Ensemble
29	**575**	1966.4244	X06519	A11-OG
120	**356**	1966.4042	X06523	A11-GH

Anhang: Tabellen

Tabelle 1: Augst BL, Insula 2 (Süd). Zusammenstellung der Funde aus dem Gehhorizont und Brandschutt der Phase 1.4 nach Rütti 2004. Zahlengrundlagen in MIZ und Prozenten.

Funktion/Form	MIZ	Prozent
Tafel-/Auftragsgeschirr	**71**	**66**
• Becher	4	4
• Schälchen	8	7
• Teller/Platten	14	13
• Schüsseln	26	24
• Krüge/Flaschen/Kannen	19	18
Kochgeschirr	**12**	**11**
• Kochtöpfe	12	11
• Reibschalen	–	0
Vorratsgeschirr	**25**	**23**
• Töpfe (Schultertöpfe)	18	17
• Deckel	2	2
• Dolien	2	2
• Amphoren	3	3
Kult	–	0
Total	**108**	**100**
Nichtkeramische Gefässe	–	–
Übrige Beifunde		
Haushaltsgeräte (Messerchen)	◊	
Hausausstattung (Möbelteile)	◊◊◊	
Privatgebrauch (Siegelkapsel?)	◊	
Handwerk (Webgewichte, Webutensil, Handmühlen)	◊◊◊◊◊◊	
Schmuck (Melonenperle)	◊	
Spiel	–	
Militaria (Schnalle, Gürtelblech)	◊◊	
Bauteile (Nägel, Tülle, Wandverputz)	◊◊◊◊◊◊◊◊	
Münzen	◊◊◊◊◊◊◊◊	
	◊◊◊◊◊◊◊	

Tabelle 2: Augst BL, Insula 1, Raum B8. Zusammenstellung der Funde aus dem Brandschutt der Phase 2.6 nach Sütterlin 1999. Zahlengrundlagen in MIZ und Prozenten.

Funktion/Form	MIZ	Prozent
Tafel-/Auftragsgeschirr	**75**	**72**
• Becher	13	13
• Schälchen	17	16
• Teller/Platten	18	17
• Schüsseln	10	10
• Krüge/Flaschen/Kannen	17	16
Kochgeschirr	**6**	**6**
• Kochtöpfe	5	5
• Reibschalen	1	1
Vorratsgeschirr	**23**	**22**
• Töpfe/Tonnen	14	13
• Deckel	8	8
• Dolien	–	0
• Amphoren	1	1
Kult/Schlangentopf	–	0
Total	**104**	**100**
Nichtkeramische Gefässe	–	
Übrige Beifunde		
Haushaltsgeräte	–	
Hausausstattung (Lampen, Möbelteile)	◊◊◊◊◊◊◊◊	
	◊◊	

Tabelle 2 (Fortsetzung).

Funktion/Form	MIZ	Prozent
Privatgebrauch (Tintenfass)	◊	
Handwerk (Webplättchen, Nadel)	◊◊	
Schmuck (Melonenperle)	◊	
Spiel	◊◊	
Militaria (Schnalle, Gürtelblech)	–	
Bauteile (Nägel)	–	
Münzen	–	

Tabelle 3: Augst BL, Insula 1, Raum C15. Zusammenstellung der Funde aus dem Dach- und Mauerversturz der Phase 3.6 nach Hufschmid 1996. Zahlengrundlagen in MIZ und Prozenten.

Funktion/Form	MIZ	Prozent
Tafel-/Auftragsgeschirr	**58**	**76**
• Becher	18	24
• Schälchen	4	5
• Teller/Platten	14	18
• Schüsseln	16	21
• Krüge/Flaschen/Kannen	6	8
Kochgeschirr	**7**	**9**
• Kochtöpfe	7	9
• Reibschalen	–	0
Vorratsgeschirr	**11**	**14**
• Töpfe/Tonnen	8	11
• Deckel	1	1
• Dolien	–	0
• Amphoren	2	3
Kult/Schlangentopf	–	0
Total	**76**	**100**
Nichtkeramische Gefässe	1	
Übrige Beifunde		
Haushaltsgeräte	–	
Hausausstattung (Lampen, Möbelteile)	◊◊◊	
Privatgebrauch (Stilus)	◊	
Handwerk (Webgewicht, Nadel)	◊◊	
Schmuck (Haarnadel)	◊	
Spiel	–	
Militaria (Niet)	◊	
Bauteile (Nägel)	–	
Münzen	–	

Tabelle 4: Augst BL, Frauenthermen. Zusammenstellung der Funde aus der Kanalverfüllung und der Zerstörungsschicht nach Hoek 1991. Zahlengrundlagen in MIZ und Prozenten.

Funktion/Form	MIZ	Prozent
Tafel-/Auftragsgeschirr	**145**	**71**
• Becher	56	28
• Schälchen	6	3
• Teller/Platten	40	20
• Schüsseln	31	15
• Krüge/Flaschen/Kannen	12	6

Tabelle 4 (Fortsetzung).

Funktion/Form	MIZ	Prozent
Kochgeschirr	**45**	**22**
• Kochtöpfe	30	15
• Reibschalen	15	7
Vorratsgeschirr	**13**	**6**
• Töpfe/Tonnen	–	0
• Deckel	1	0
• Dolien	–	0
• Amphoren	12	6
Kult/Schlangentopf	–	0
Total	**203**	**100**
Nichtkeramische Gefässe	14	
Übrige Beifunde		
Haushaltsgeräte	–	
Hausausstattung (Möbelteile)	◊◊◊?	
Privatgebrauch (Ohrlöffel)	◊	
Handwerk	–	
Schmuck (Perlen, Armring, Fibeln, Haarnadeln)	◊◊◊◊◊◊◊◊ ◊◊◊◊◊◊◊◊	
Spiel	◊◊	
Militaria	–	
Bauteile (Nägel)	mind. 41 × ◊	
Münzen	◊◊◊◊◊◊◊◊ ◊◊◊◊◊◊◊◊ ◊◊◊◊	

Tabelle 5: Kaiseraugst AG, Schmidmatt, Keller Ost. Zusammenstellung der Funde aus dem Brandschutt in Raum 2 nach Furger 1989a. Zahlengrundlagen in MIZ und Prozenten.

Funktion/Form	MIZ	Prozent
Tafel-/Auftragsgeschirr	**21**	**51**
• Becher	6	15
• Schälchen	–	0
• Teller/Platten	5	12
• Schüsseln	2	5
• Krüge/Flaschen/Kannen	8	20
Kochgeschirr	**11**	**27**
• Kochtöpfe	3	7
• Reibschalen	7	17
• Trichter	1	2
Vorratsgeschirr	**9**	**22**
• Töpfe/Tonnen	5	12
• Deckel	–	0
• Dolien	–	0
• Amphoren	4	10
Kult/Schlangentopf	–	0
Total	**41**	**100%**
Nichtkeramische Gefässe	mind. ◊◊?	
Übrige Beifunde		
Haushaltsgeräte (Hackmesser)	◊	
Hausausstattung (Kerzenständer, Möbelteile)	◊◊◊◊◊◊◊	
Privatgebrauch (Pigment)	◊	
Handwerk (Gewichtsstein, Tülle, Bolzen, Werkzeugbruchstück)	◊◊◊◊	
Schmuck	–	
Spiel	–	
Militaria	–	
Bauteile (Ring, Ketten, Nägel)	◊◊◊ mind. 48 x ◊	
Münzen (teilweise unsichere Fundlage)	◊◊◊◊◊◊◊◊ ◊	

Tabelle 6: Oberwinterthur ZH, Unteres Bühl. Zusammenstellung der Funde aus dem Keramiklager von Vitudurum *nach Ebnöther/Eschenlohr 1985. Zahlengrundlagen in MIZ und Prozenten.*

Funktion/Form	MIZ	Prozent
Tafel-/Auftragsgeschirr	**621**	**70**
• Becher	6	1
• Schälchen	156	18
• Teller/Platten	135	15
• Schüsseln/Zylindergefässe	157	18
• Krüge/Flaschen/Kannen	167	19
Kochgeschirr	**19**	**2**
• Kochtöpfe/Kochteller	19	2
• Reibschalen	–	0
Vorratsgeschirr	**228**	**26**
• Töpfe/Tonnen	221	25
• Deckel	7	1
• Dolien	–	0
• Amphoren	–	0
Kult/Schlangentopf	–	0
Sauggefässe, Varia	15	2
Total	**883**	**100**
Nichtkeramische Gefässe	?	
Übrige Beifunde		
Venusstatuetten	mind. 20	

Tabelle 7: Avenches VD, En Selley, Insula 56. Zusammenstellung der Funde aus dem Brandschutt der Phase 3 nach Blanc u. a. 1999. Zahlengrundlagen in MIZ und Prozenten.

Funktion/Form	MIZ	Prozent
Tafel-/Auftragsgeschirr	**117**	**84**
• Becher	45	32
• Schälchen	–	0
• Teller/Platten	16	11
• Schüsseln	41	29
• Krüge/Flaschen/Kannen	15	11
Kochgeschirr	**13**	**9**
• Kochtöpfe/Kochteller	7	5
• Reibschalen	6	4
Vorratsgeschirr	**10**	**7**
• Töpfe/Tonnen	7	5
• Deckel	1	1
• Dolien	–	0
• Amphoren	2	1
Kult/Schlangentopf	–	0
Total	**140**	**100**
Nichtkeramische Gefässe	**7**	
Glas	4	
Bronze	2	
Eisen	1	
Übrige Beifunde		
Haushaltsgeräte (Waage, Feuerschaufel?)	◊◊	
Hausausstattung (Lampe, Vorhängeschloss, Schlüssel, Möbelteile)	◊◊◊◊◊◊◊◊ ◊◊	
Privatgebrauch (Pyxis, Stilus)	◊◊◊	
Handwerk (Hacke)	◊	
Schmuck (Haarnadeln)	◊◊◊?	
Spiel	◊	
Militaria (Beschläge)	◊◊	
Bauteile (Ketten, Nägel)	◊◊◊◊◊◊	
Münzen	23 ◊	

Tabelle 8: Augst BL/Kaiseraugst AG. Vergleich der Anteile der Gefässformen und Funktionsgruppen in den Ensembles A11-GH/F4, A11-EG und A11-OG aus Raum A mit anderen Ensembles aus Augusta Raurica. Angaben in MIZ und%. Rütti 2006: Augst, Insula 2; Sütterlin 1999: Augst, Insula 1, Raum B8; Hufschmid 1996: Augst, Insula 1, Raum C15; Hoek 1991: Augst, Insula 17; Furger 1989a: Kaiseraugst, Schmidmatt, Raum 2.

	Total		**Tafel-/Auf-tragsgeschirr**		Becher		Schälchen		Teller/Platten		Schüsseln		Krüge/ Flaschen	
	MIZ	%	**MIZ**	**%**	MIZ	%	MIZ	%	MIZ	%	MIZ	%	MIZ	%
Rütti 2004 (n = 108)	108	100	**71**	**66**	4	4	8	7	14	13	26	24	19	18
Sütterlin 1998 (n = 104)	104	100	**75**	**72**	13	13	17	16	18	17	10	10	17	16
Hufschmid 1996 (n = 76)	76	100	**58**	**76**	18	24	4	5	14	18	16	21	6	8
Hoek 1991 (n = 203)	203	100	**145**	**71**	56	28	6	3	40	20	31	15	12	6
Furger 1989a (n = 41)	41	100	**21**	**51**	6	15	0	0	5	12	2	5	8	20
A11-GH/F4/EG (n = 444)	444	100	**356**	**80**	161	36	27	6	63	14	79	18	26	6
A11-OG (n = 706)	706	100	**576**	**82**	215	30	47	7	109	15	178	25	27	4

Tabelle 9: Augst BL. Vergleich der Anteile der Gefässformen und Funktionsgruppen in den Ensembles A11-GH/F4, A11-EG und A11-OG aus Raum A mit den Ensembles aus Oberwinterthur ZH, Unteres Bühl (Ebnöther/Eschenlohr 1985) und Avenches VD, En Selley (Blanc u. a. 1999). Angaben in MIZ und%.

	Total		**Tafel-/Auf-tragsgeschirr**		Becher		Schälchen		Teller/Platten		Schüsseln		Krüge/ Flaschen	
	MIZ	%	MIZ	%	MIZ	%	MIZ	%	MIZ	%	MIZ	%	MIZ	%
Ebnöther/Eschenlohr 1985 (n = 883)	883	100	621	70	6	1	156	18	135	15	157	18	167	19
Blanc u. a. 1999 (n = 140)	140	100	117	84	45	32	0	0	16	11	41	29	15	11
A11-GH/F4/EG (n = 444)	444	100	356	80	161	36	27	6	63	14	79	18	26	6
A11-OG (n = 706)	706	100	576	82	215	30	47	7	109	15	178	25	27	4

Tabelle 10: Augst BL/Kaiseraugst AG. Vergleich der Anteile der Gefässformen und Funktionsgruppen der Ensembles A11-GH/F4, A11-EG und A11-OG aus Raum A mit anderen Ensembles aus Augusta Raurica. Angaben in MIZ und%. Hoek 1991: Augst, Insula 17; Furger 1989a: Kaiseraugst, Schmidmatt, Raum 2.

	Total		**Tafel-/Auf-tragsgeschirr**		Becher		Schälchen		Teller/Platten		Schüsseln		Krüge/ Flaschen	
	MIZ	%	**MIZ**	**%**	MIZ	%	MIZ	%	MIZ	%	MIZ	%	MIZ	%
Hoek 1991 (n = 203)	203	100	**145**	**71**	56	28	6	3	40	20	31	15	12	6
Furger 1989a (n = 41)	41	100	**21**	**51**	6	15	0	0	5	12	2	5	8	20
A11-GH/F4/EG (n = 444)	444	100	**356**	**80**	161	36	27	6	63	14	79	18	26	6
A11-OG (n = 706)	706	100	**576**	**82**	215	30	47	7	109	15	178	25	27	4

Tabelle 8 (Fortsetzung).

Kochgeschirr		Kochtöpfe		Reibschalen		**Vorrats-geschirr**		Töpfe		Deckel		Dolien		Amphoren		**Kult/Varia**	
MIZ	**%**	MIZ	%	MIZ	%	**MIZ**	**%**	MIZ	%	MIZ	%	MIZ	%	MIZ	%	**MIZ**	**%**
12	**11**	12	11	0	0	**25**	**23**	18	17	2	2	2	2	3	3	**0**	**0**
6	**6**	5	5	1	1	**23**	**22**	14	13	8	8	0	0	1	1	**0**	**0**
7	**9**	7	9	0	0	**11**	**14**	8	11	1	1	0	0	2	3	**0**	**0**
45	**22**	30	15	15	7	**13**	**6**	0	0	1	0	0	0	12	6	**0**	**0**
11	**27**	4	10	7	17	**9**	**22**	5	12	0	0	0	0	4	10	**0**	**0**
64	**14**	56	13	8	2	**21**	**5**	12	3	7	2	0	0	2	0	**3**	**1**
97	**14**	74	10	23	3	**29**	**4**	14	2	7	1	0	0	8	1	**4**	**1**

Tabelle 9 (Fortsetzung).

Kochgeschirr		Kochtöpfe		Reibschalen		**Vorrats-geschirr**		Töpfe		Deckel		Dolien		Amphoren		**Kult/Varia**	
MIZ	%	MIZ	%	MIZ	%	MIZ	%	MIZ	%	MIZ	%	MIZ	%	MIZ	%	MIZ	%
19	2	19	2	0	0	228	26	221	25	7	1	0	0	0	0	15	2
13	9	7	5	6	4	10	7	7	5	1	1	0	0	2	1	0	0
64	14	56	13	8	2	21	5	12	3	7	2	0	0	2	0	3	1
97	14	74	10	23	3	29	4	14	2	7	1	0	0	8	1	4	1

Tabelle 10 (Fortsetzung).

Kochgeschirr		Kochtöpfe		Reibschalen		**Vorrats-geschirr**		Töpfe		Deckel		Dolien		Amphoren		**Kult/Varia**	
MIZ	**%**	MIZ	%	MIZ	%	**MIZ**	**%**	MIZ	%	MIZ	%	MIZ	%	MIZ	%	**MIZ**	**%**
45	**22**	30	15	15	7	**13**	**6**	0	0	1	0	0	0	12	6	**0**	**0**
11	**27**	4	10	7	17	**9**	**22**	5	12	0	0	0	0	4	10	**0**	**0**
64	**14**	56	13	8	2	**21**	**5**	12	3	7	2	0	0	2	0	**3**	**1**
97	**14**	74	10	23	3	**29**	**4**	14	2	7	1	0	0	8	1	**4**	**1**

Tabelle 11: Augst BL, Insula 5/9, Raum A (Grabungen 1965–1967.052 und 2002.063). Hausrind: Skelettteiltabelle mit Fragmentzahlen.

Phase -->	**2**		**3**			**5**	**6**			**7**			**8**
	A2	HL2	A3-1	A3-2	Total A3	C5	A6-1	C6	HL6	A7	C7	HL7	A8
Os cornu		3		2	2	2		2				4	4
Cranium		1		2	2								
Dentes sup.		16				2						1	
Mandibula		30		1	1	4		1	1			1	2
Dentes inf.		24				1		1	2				
Dentes inf./sup.		4											
Hyoid		1	1		1								1
Total Schädel	0	79	1	5	6	9	0	4	3	0	0	6	7
Atlas													1
Axis				1	1								
Vertebrae cervicales													
Vertebrae thoracicae				3	3								
Vertebrae lumbales				2	2								
Os sacrum													
Vertebrae caud.				1	1								
Vertebrae indet.				2	2								
Costa				4	4		1						
Rippenknorpel													
Total Rumpf	0	0	0	13	13	0	1	0	0	0	0	0	1
Scapula		14				2		4					
Humerus		5					1						
Pelvis		5		6	6			1			1		
Femur		4		1	1								
Patella	1												
Total Stylopodium	1	28	0	7	7	2	1	5	0	0	1	0	0
Radius		11				1		1					
Ulna		4											1
Tibia		5	2	2	4								
Total Zygopodium	0	20	2	2	4	1	0	1	0	0	0	0	1
Carpus							1						
Metacarpus III/IV	1	6				3		1	2	2		2	3
Phalanx II ant.													
Talus									1				
Calcaneus		2				1		2					
Centrotarsale								1				1	
Tarsale (Rest)				1	1								
Metatarsus III/IV		10		2	2			2		2	1		3
Phalanx I post.													
Metapodium						1						2	1
Phalanx I ant./post.		4	1	2	3	1		1	1			3	3
Phalanx II ant./post.		1				2		2		3		1	5
Phalanx I/II ant./post.			1		1	1							
Phalanx III ant./post.		3	1	2	3	4						1	4
Total Autopodium	1	26	3	7	10	13	1	9	4	7	1	10	19
indet.		2											
Gesamttotal	2	155	6	34	40	25	3	19	7	7	2	16	28

11						12	13	14		15		FK ohne Ensemblezuweisung	Gesamtmaterial Insula 5/9	<-- Phase
A11-GH	A11-F4	A11-EG	A11-OG	Total A11	HL11	A12	C13	A14	D14	A15	C15			
1			1	2			1		2			22	44	Os cornu
		6	1	7			1					26	37	Cranium
			2	2	1							23	45	Dentes sup.
		4	4	8	7		4		1	1		132	193	Mandibula
			1	1	7							45	81	Dentes inf.
												20	24	Dentes inf./sup.
		1	1	2	1							2	8	Hyoid
1	0	11	10	22	16	0	6	0	3	1	0	270	432	Total Schädel
			1	1								0	2	Atlas
												3	4	Axis
		1		1								1	2	Vertebrae cervicales
		1		1								4	8	Vertebrae thoracicae
												6	8	Vertebrae lumbales
		1		1								1	2	Os sacrum
												0	1	Vertebrae caud.
												0	2	Vertebrae indet.
		3		3								25	33	Costa
												1	1	Rippenknorpel
0	0	6	1	7	0	0	0	0	0	0	0	41	63	Total Rumpf
		1	2	3	4				1			25	53	Scapula
			1	1			4					9	20	Humerus
			2	2	1							16	32	Pelvis
		1	1	2								8	15	Femur
							1					0	2	Patella
0	0	2	6	8	5	0	5	0	1	0	0	58	122	Total Stylopodium
		1	2	3	1		1					17	35	Radius
		2		2	1							3	11	Ulna
		4		4								12	25	Tibia
0	0	7	2	9	2	0	1	0	0	0	0	32	71	Total Zygopodium
												0	1	Carpus
2		3	5	10	4				6	2	1	60	103	Metacarpus III/IV
												3	3	Phalanx II ant.
												8	9	Talus
	1		1	2			1					10	18	Calcaneus
							1					4	7	Centrotarsale
												0	1	Tarsale (Rest)
	1	2	9	12	2		3	1	2	2	1	53	96	Metatarsus III/IV
												1	1	Phalanx I post.
6		1	3	10	5		5		6			32	62	Metapodium
4	1	3	17	25	8	1	5	1	5	2	1	67	131	Phalanx I ant./post.
2		2	18	22	6		6		2	1	1	41	93	Phalanx II ant./post.
												3	5	Phalanx I/II ant./post.
		4	5	9	4		2		1			13	44	Phalanx III ant./post.
14	3	15	58	90	29	1	23	2	22	7	4	295	574	Total Autopodium
			1	1			1			1		23	28	indet.
15	3	41	78	137	52	1	36	2	26	9	4	719	1290	Gesamttotal

Tabelle 12: Augst BL, Insula 5/9, Raum A (Grabungen 1965–1967.052 und 2002.063). Schaf/Ziege: Skelettteiltabelle mit Fragmentzahlen.

Phase -->	**2**		**3**			**5**		**6**			**7**			**8**	**9**
	A2	HL2	A3-1	A3-2	Total A3	A5	C5	A6-1	C6	HL6	A7	C7	HL7	A8	A9
Os cornu							1		1						
Cranium				5	5										
Maxilla				2	2										
Dentes sup.						1									
Mandibula		11	4	5	9		2		1	1				3	
Dentes inf.			1		1				1						
Dentes inf./sup.							1								
Hyoid				1	1										
Total Schädel	0	11	5	13	18	1	4	0	3	1	0	0	0	3	0
Atlas						1									
Axis															
Vertebrae cervicales				1	1										
Vertebrae thoracicae				2	2						1				
Vertebrae lumbales				1	1										
Costa				13	13										
Total Rumpf	0	0	0	17	17	1	0	0	0	0	1	0	0	0	0
Scapula		1		1	1		1				1			2	
Humerus		2		2	2				1						
Pelvis		1		2	2	1	1		1						
Femur		2		1	1									1	
Total Stylopodium	0	6	0	6	6	1	2	0	2	0	1	0	0	3	0
Radius		8	1	5	6		1					2		1	
Ulna				1	1										
Radius+Ulna															
Tibia		2	1		1				4						1
Total Zygopodium	0	10	2	6	8	0	1	0	4	0	0	2	0	1	1
Carpus															
Metacarpus III/IV		6					3							1	
Phalanx I ant.															
Phalanx II ant.															
Phalanx III ant.															
Talus															
Calcaneus		1		1	1										
Centrotarsale				1	1										
Tarsale (Rest)															
Metatarsus III/IV		6					2		1	2				1	
Phalanx I post.															
Phalanx II post.															
Phalanx III post.															
Metapodium															
Sesamoid															
Phalanx I ant./post.														1	
Phalanx II ant./post.														1	
Phalanx III ant./post.															
Total Autopodium	0	13	0	2	2	0	5	0	1	2	0	0	0	4	0
indet.															
Gesamttotal	0	40	7	44	51	3	12	0	10	3	2	2	0	11	1

11							12	13	14		15		FK ohne Ensemblezuweisung	Gesamtmaterial Insula 5/9	<-- Phase
A11-GH	A11-F4	A11-EG	A11-OG	Total A11	B11	HL11	A12	C13	A14	D14	A15	C15			
2		2	4	8				1					6	17	Os cornu
													6	11	Cranium
														2	Maxilla
							1						7	9	Dentes sup.
		1	3	4		2				2			27	62	Mandibula
		1		1						1			7	11	Dentes inf.
														1	Dentes inf./sup.
														1	Hyoid
2	0	4	7	13	0	2	1	1	0	3	0	0	53	114	Total Schädel
														1	Atlas
			1	1										1	Axis
													1	2	Vertebrae cervicales
													3	6	Vertebrae thoracicae
		1		1										2	Vertebrae lumbales
		3		3			2						9	27	Costa
0	0	4	1	5	0	0	2	0	0	0	0	0	13	39	Total Rumpf
		2		2				1					7	16	Scapula
			4	4						1			20	30	Humerus
													7	13	Pelvis
1				1									2	7	Femur
1	0	2	4	7	0	0	0	1	0	1	0	0	36	66	Total Stylopodium
		1		1		1						1	24	45	Radius
			2	2									3	6	Ulna
													1	1	Radius+Ulna
		1	3	4		2							17	31	Tibia
0	0	2	5	7	0	3	0	0	0	0	0	1	45	83	Total Zygopodium
					7									7	Carpus
1		1	7	9	2	1		2					18	42	Metacarpus III/IV
					4								2	6	Phalanx I ant.
					4								1	5	Phalanx II ant.
					2									2	Phalanx III ant.
													1	1	Talus
			3	3									3	8	Calcaneus
														1	Centrotarsale
			1	1										1	Tarsale (Rest)
2		1	5	8	2	2				2			27	53	Metatarsus III/IV
					2									2	Phalanx I post.
					2									2	Phalanx II post.
					1									1	Phalanx III post.
		2		2									2	4	Metapodium
					19									19	Sesamoid
1		2	3	6		1	1						10	19	Phalanx I ant./post.
					2								1	4	Phalanx II ant./post.
					1								2	3	Phalanx III ant./post.
4	0	6	19	29	48	4	1	2	0	2	0	0	67	180	Total Autopodium
			1	1										1	indet.
7	0	18	37	62	48	9	4	4	0	6	0	1	214	483	Gesamttotal

Tabelle 13: Augst BL, Insula 5/9, Raum A (Grabungen 1965–1967.052 und 2002.063). Hausschwein: Skelettteiltabelle mit Fragmentzahlen.

Phase -->	**2**		**3**			**5**		**6**			**7**			**8**	**9**
	A2	HL2	A3-1	A3-2	Total A3	A5	C5	A6-1	C6	HL6	A7	C7	HL7	A8	A9
Cranium		1		3	3	1	1	2	1		1			4	
Maxilla				2	2										
Dentes sup.				2	2								1	1	
Mandibula		21	2	7	9		5		1	1	1	2	1	5	1
Dentes inf.		8	3	10	13	1							2		
Dentes inf./sup.									2						
Total Schädel	0	30	5	24	29	2	6	2	4	1	2	2	4	10	1
Atlas															
Axis															
Vertebrae cervicales				1	1										
Vertebrae thoracicae				5	5			1							
Vertebrae lumbales				3	3										
Sacrum				3	3										
Costa				11	11										
Sternum															
Total Rumpf	0	0	0	23	23	0	0	1	0	0	0	0	0	0	0
Scapula		8				1	1							3	
Humerus		12		1	1		2		4		2	2		7	1
Pelvis		3				1				1					
Femur		6		3	3		2	1	1	1				1	
Total Stylopodium	0	29	0	4	4	2	5	1	5	2	2	2	0	11	1
Radius		12	1	3	4		1		5				1	1	
Ulna		18	2	1	3		1		1	4		1	2	1	
Tibia		20		2	2		1		6		2			1	
Fibula		3		1	1		1		1		1				1
Total Zygopodium	0	53	3	7	10	0	4	0	13	4	3	1	3	3	1
Carpalia															
Metacarpus indet.		5					2			2				7	
Metacarpus III				1	1										
Metacarpus IV				1	1										
Talus							1		2					1	
Calcaneus				1	1	1	1		2	1			2	1	
Tarsale (Rest)														1	
Metatarsus	1	5	1		1		2		2					3	1
Metatarsus III				1	1										
Metatarsus IV															
Metatarsus V															
Metapodium															
Metapodium			1		1				1		1			4	
Phalanx I ant./post.			1		1		1				3			4	
Phalanx II ant./post.				1	1									1	
Total Autopodium	1	10	3	5	8	1	7	0	7	3	4	0	2	22	1
indet.	1	1												5	
Gesamttotal	2	123	11	63	74	5	22	4	29	10	11	5	9	51	4

11						12	13	14		15		FK ohne Ensemblezuweisung	Gesamtmaterial Insula 5/9	<-- Phase
A11-GH	A11-F4	A11-EG	A11-OG	Total A11	HL11	A12	C13	A14	D14	A15	C15			
1			5	6		1	1					9	31	Cranium
												1	3	Maxilla
			1	1								5	10	Dentes sup.
6			5	11	2			1			1	39	101	Mandibula
		1	4	5	5				1			20	55	Dentes inf.
			1	1								3	6	Dentes inf./sup.
7	0	1	16	24	7	1	1	1	1	0	1	77	206	Total Schädel
												5	5	Atlas
												1	1	Axis
												0	1	Vertebrae cervicales
												11	17	Vertebrae thoracicae
		1		1		1						7	12	Vertebrae lumbales
												0	3	Sacrum
		4		4								23	38	Costa
			1	1								0	1	Sternum
0	0	5	1	6	0	1	0	0	0	0	0	47	78	Total Rumpf
		2	2	4	2		2		2			24	47	Scapula
	1	1	2	4	1				2	1		33	72	Humerus
			3	3					1	1		28	38	Pelvis
			2	2	1		1	1				29	49	Femur
0	1	3	9	13	4	0	3	1	5	2	0	114	206	Total Stylopodium
1			4	5	1				1			37	68	Radius
1			5	6	1		1	1				27	67	Ulna
	1		5	6					1	1		48	88	Tibia
1			3	4	1				1			9	23	Fibula
3	1	0	17	22	3	0	1	1	3	1	0	121	246	Total Zygopodium
			1	1								0	1	Carpalia
4			7	11	1		1		1			27	57	Metacarpus indet.
												1	2	Metacarpus III
												1	2	Metacarpus IV
1			2	3								4	11	Talus
			2	2					2			19	32	Calcaneus
												0	1	Tarsale (Rest)
4			7	11	3		1					22	52	Metatarsus
												0	1	Metatarsus III
		1		1								3	4	Metatarsus IV
												2	2	Metatarsus V
	3			3								0	3	Metapodium
5			8	13								20	40	Metapodium
10	1		3	14	1					1		9	34	Phalanx I ant./post.
2		1	2	5					1			3	11	Phalanx II ant./post.
26	4	2	31	63	5	0	2	0	4	1	0	111	253	Total Autopodium
			1	1								7	15	indet.
36	6	11	76	129	19	2	7	3	13	4	1	477	1004	Gesamttotal

Tabelle 14: Augst BL, Insula 5/9, Raum A (Grabungen 1965–1967.052 und 2002.063). Haushuhn und weitere Vogelarten: Skelettteiltabelle mit Fragmentzahlen.

	Phase -->	**2**		**5**	**6**		**7**			**8**	**9**	**11**					**14**	FK ohne Ensemblezuweisung	Gesamtmaterial Insula 5/9
		HL2	A3-2	C5	C6	HL6	C7	A7	HL7	A8	A9	A11-GH	A11-F4	A11-EG	A11-OG	HL11	D14		
Gallus domesticus - Haushuhn	Total Schädel	0	0	0	0	0	0	1	0	0	0	0	0	0	0		0	0	1
	Coracoid											1						0	1
	Clavicula		1							1		2		1	1		1	4	11
	Scapula		1							2								0	3
	Sacrum		1															0	1
	Sternum		2															0	2
	Total Rumpf	0	5	0	0	0	0	0	0	3	0	3	0	1	1	0	1	4	18
	Humerus		1					1		1		2		2	1			3	11
	Radius					1						8			1			3	13
	Ulna	1	3				2							1	4			7	18
	Carpometacarpus											1						1	2
	Total Flügelknochen	1	4	0	0	1	2	1	0	1	0	11	0	3	6	0	0	14	44
	Pelvis		2					1										2	5
	Femur	2								1		1		2	1			6	13
	Tibiotarsus	1	2	1	1			1	1	3	1	2		4	1		1	7	26
	Tarsometatarsus							1		1		3		2	4			3	14
	Total Beinknochen	3	4	1	1	0	0	3	1	5	1	6	0	8	6		1	18	58
	indet.												2					0	2
	Gesamttotal	4	13	1	1	1	2	5	1	9	1	20	2	12	13	-	2	36	
Perdix perdix - Rebhuhn	Femur											1							1
	Total	0	0	0	0	0	0	0	0	0	0	1	0	0	0	0	0	0	1
Turdus pilaris - Wacholderdrossel	Ulna							1											1
	Total	0	0	0	0	0	0	1	0	0	0	0	0	0	0	0	0	0	1
Turdus philomelos - Singdrossel	Humerus							1											1
	Ulna							1											1
	Total	0	0	0	0	0	0	2	0	0	0	0	0	0	0	0	0	0	2
Anser dom./spec. - Haus-/Wildgans	Unterkiefer		1																1
	Ulna														1				1
	Carpometacarpus															1			1
	Femur	1																	1
	Tibiotarsus									1								1	2
	Tarsometatarsus																	1	1
	Total	1	1	0	0	0	0	0	0	1	0	0	0	0	1	1	0	2	7
Columba dom./livia - Haus-/Felsentaube	Humerus																	1	1
	Ulna		1																1
	Femur																	1	1
	Total	0	1	0	0	0	0	0	0	0	0	0	0	0	0	0	0	2	3
Galliformes indet. - unbest. Hühnervogel	Radius													1					1
	Total	0	0	0	0	0	0	0	0	0	0	0	0	1	0	0	0	0	1
Aves indet. - unbest. Vogel	Humerus									1									1
	Radius																	1	1
	Tarsometatarsus											1							1
	Total	0	0	0	0	0	0	0	0	1	0	1	0	0	0	0	0	1	3

Tabelle 15: Augst BL, Insula 5/9, Raum A (Grabungen 1965–1967.052 und 2002.063). Haussäuger (ohne Hausrind, Schaf/Ziege, Hausschwein: siehe separate Listen), Wildsäuger und unbestimmte Haus- oder Wildwiederkäuer: Skelettteiltabelle mit Fragmentzahlen.

	Phase -->	**2**	**3**	**5**	**6**	**11**		**13**	**14**	**15**		
		HL2	A3-1	C5	A6-1	A11-GH	A11-OG	C13	D14	C15	FK ohne Ensemblezuweisung	Gesamtmaterial Insula 5/9
Equus spec. - Equide	Dentes sup.							1				1
	Mandibula	1										1
	Dentes inf.					1	1			1		3
	Clavicula										1	1
	Radius										1	1
	Metacarpus					1						1
	Tibia						1					1
	Metatarsus			1								1
	Total	1	0	1	0	2	2	1	0	1	2	10
Canis familiaris - Hund	Mandibula						1		1			2
	Humerus	1									1	2
	Femur				1							1
	Calcaneus										1	1
	Total	1	0	0	1	0	1	0	1	0	2	6
Cervus elaphus - Rothirsch	Humerus										1	1
	Calcaneus	1									1	2
	Metatarsus										2	2
	Total	1	0	0	0	0	0	0	0	0	4	5
Sus scrofa - Wildschwein	Mandibula							1				1
	Dentes inf.							1				1
	Dentes sup./inf.							1				1
	Humerus							2				2
	Radius							1				1
	Metacarpus							1				1
	Femur							1				1
	Fibula							1				1
	Phalanx I ant./post.							1				1
	Total	0	0	0	0	0	0	10	0	0	0	10
Vulpes vulpes - Rotfuchs	Tibia							1				1
	Total	0	0	0	0	0	0	1	0	0	0	1
Lepus europaeus - Feldhase	Humerus										2	2
	Pelvis						1				2	3
	Metapodium										2	2
	Total	0	0	0	0	0	1	0	0	0	6	7
Kleiner Wiederkäuer	Femur										1	1
	Phalanx I ant./post.						1					1
	Phalanx III ant./post.						1					1
	Total	0	0	0	0	0	2	0	0	0	1	3
Wiederkäuer unbest.	Metacarpus							1				1
	Metatarsus							1				1
	Phalanx I ant./post.							1				1
	Total	0	0	0	0	0	0	3	0	0	0	3

Tabelle 16: Augst BL, Insula 5/9, Raum A (Grabungen 1965–1967.052 und 2002.063). Unbestimmbare Knochen: Skelettteiltabelle mit Fragmentzahlen.

Phase -->	**2**		**3**			**5**		**6**			**7**			**8**	**9**
	A2	HL2	A3-1	A3-2	Total A3	A5	C5	A6-1	C6	HL6	A7	C7	HL7	A8	A9
Cranium				3	3										
Total Schädel	0	0	0	3	3	0	0	0	0	0	0	0	0	0	0
Vertebrae thoracicae				1	1										
Vertebrae lumbales				3	3										
Vertebrae indet.	1	18	9	5	14	5	10		8	3	10	2	5	20	
Costa	4	141	9	2	11	7	38		19	6	19	4	3	50	8
Rippenknorpel															
Total Rumpf	5	159	18	11	29	12	48	0	27	9	29	6	8	70	8
Humerus															
Pelvis			1		1									1	
unbest. Röhrenknochen	3	138	8	14	22		21		22	5	2	5	37	9	2
Total Extremitäten	3	138	9	14	23	0	21	0	22	5	2	5	37	10	2
unbest. Plattenknochen		23					5		5	3	3	1	2		2
indet.	1	3	1	21	21			1	1						
Total unbestimmbar	1	26	1	21	21	0	5	1	6	3	3	1	2	0	2
Gesamttotal	9	323	28	49	76	12	74	1	55	17	34	12	47	80	12

Tabelle 17: Augst BL, Insula 5/9, Raum A (Grabungen 1965–1967.052 und 2002.063). Ensemble B11 (FK E06772): Masstabelle. Masse nach von den Driesch 1976 (Masse 1–6) und Fernandez 2001(Masse 7–16). Bestimmungen und Messungen: Guido Breuer.

Capra hircus

Skelettteil	**Metacarpus**	**Metatarsus**	**Metatarsus**
Seite	sin.	dext.	dext.
Epiphysen	d+	d+	d-/ im Verwachsen
Alter	adult	adult	subadult
1. Bp	24,2	20,0	20,8
2. Dp	17,5	19,0	19,5
3. SD	15,3	12,7	14,0
4. Bd	28,9	24,3	27,3
5. Dd	17,4	16,0	16,9
6. GL	119,5	120,8	134,4
7. DTpM (Bp)	24,2	20,0	20,8
8. DTdM	28,4	24,1	25,2
9. DAPpM (Dp)	17,5	19,0	19,5
10. DAPdM (Dd)	17,4	16,0	16,9
11. DTTm	13,4	11,6	11,7
12. DTTl	13,0	10,7	11,1
13. DAPVm	17,3	16,2	16,8
14. DAPCpm	10,8	10,1	10,0
15. DAPVl	17,4	15,4	16,1
16. DAPCpl	10,6	9,5	9,8
Widerristhöhenberechnung (Faktoren nach Schramm 1967)			
Faktor	5,75	5,34	5,34
WRH	**68,7**	**64,5**	**71,8**

11						12	13	14		15		FK ohne Ensemblezuweisung	Gesamtmaterial Insula 5/9	<-- Phase
A11-GH	A11-F4	A11-EG	A11-OG	Total A11	HL11	A12	C13	A14	D14	A15	C15			
		1		1								7	11	Cranium
0	0	1	0	1	0	0	0	0	0	0	0	7	11	Total Schädel
												1	2	Vertebrae thoracicae
		1		1								0	4	Vertebrae lumbales
5	2	3	30	40	5		3		7	1		9	161	Vertebrae indet.
23	1	16	71	111	19	2	13	2	16	2	1	143	619	Costa
												226	226	Rippenknorpel
28	3	20	101	152	24	2	16	2	23	3	1	379	1012	Total Rumpf
		1		1								1	2	Humerus
												0	2	Pelvis
3		16	42	61	48		17		37	6	1	523	959	unbest. Röhrenknochen
3	0	17	42	62	48	0	17	0	37	6	1	524	963	Total Extremitäten
4			11	15	1		3		3	1		80	147	unbest. Plattenknochen
	1	6	4	11	2	1						61	103	indet.
4	1	6	15	26	3	1	3	0	3	1	0	141	250	Total unbestimmbar
35	4	44	158	241	75	3	36	2	63	10	2	1051	2236	Gesamttotal

Tabelle 17 (Fortsetzung).

	Bp	SD	Bd	GLpe	vermutlich passend zu:
Phalanx I ant.	13,8	12,0	13,9	41,1	Metacarpus (s. o.).
	14,2	12,2	13,8	41,7	Metacarpus (s. o.).
Phalanx I post.	12,5	9,9	11,9	41,4	Metatarsus, subadult (s. o.).
	12,7	9,8	11,7	41,2	Metatarsus, subadult (s. o.).
Phalanx II ant.	13,4	10,8	11,6	26,4	Metacarpus (s. o.).
	13,9	10,8	11,9	26,7	Metacarpus (s. o.).
Phalanx II post.	11,6	8,5	9,6	26,6	Metatarsus, subadult (s. o.).
	11,5	8,4	9,5	27,0	Metatarsus, subadult (s. o.).
Phalanx II ant./post.	13,1	9,8	11,0	26,3	–
	13,5	9,6	10,6	25,3	–

	DLS	Ld	MBS	vermutlich passend zu:
Phalanx III ant.	34,40	27,10	5,70	Metacarpus (s. o.).
	32,30	26,00	5,40	Metacarpus (s. o.).
Phalanx III post.	28,60	22,30	5,30	Metatarsus, subadult (s. o.).
Phalanx III ant./post.	31,80	24,40	5,20	–